This is a digital copy of a book that was preserved for generations on library shelves before it was carefully scanned by Google as part of a project to make the world's books discoverable online.

It has survived long enough for the copyright to expire and the book to enter the public domain. A public domain book is one that was never subject to copyright or whose legal copyright term has expired. Whether a book is in the public domain may vary country to country. Public domain books are our gateways to the past, representing a wealth of history, culture and knowledge that's often difficult to discover.

Marks, notations and other marginalia present in the original volume will appear in this file - a reminder of this book's long journey from the publisher to a library and finally to you.

Usage guidelines

Google is proud to partner with libraries to digitize public domain materials and make them widely accessible. Public domain books belong to the public and we are merely their custodians. Nevertheless, this work is expensive, so in order to keep providing this resource, we have taken steps to prevent abuse by commercial parties, including placing technical restrictions on automated querying.

We also ask that you:

+ *Make non-commercial use of the files* We designed Google Book Search for use by individuals, and we request that you use these files for personal, non-commercial purposes.

+ *Refrain from automated querying* Do not send automated queries of any sort to Google's system: If you are conducting research on machine translation, optical character recognition or other areas where access to a large amount of text is helpful, please contact us. We encourage the use of public domain materials for these purposes and may be able to help.

+ *Maintain attribution* The Google "watermark" you see on each file is essential for informing people about this project and helping them find additional materials through Google Book Search. Please do not remove it.

+ *Keep it legal* Whatever your use, remember that you are responsible for ensuring that what you are doing is legal. Do not assume that just because we believe a book is in the public domain for users in the United States, that the work is also in the public domain for users in other countries. Whether a book is still in copyright varies from country to country, and we can't offer guidance on whether any specific use of any specific book is allowed. Please do not assume that a book's appearance in Google Book Search means it can be used in any manner anywhere in the world. Copyright infringement liability can be quite severe.

About Google Book Search

Google's mission is to organize the world's information and to make it universally accessible and useful. Google Book Search helps readers discover the world's books while helping authors and publishers reach new audiences. You can search through the full text of this book on the web at `http://books.google.com/`

Über dieses Buch

Dies ist ein digitales Exemplar eines Buches, das seit Generationen in den Regalen der Bibliotheken aufbewahrt wurde, bevor es von Google im Rahmen eines Projekts, mit dem die Bücher dieser Welt online verfügbar gemacht werden sollen, sorgfältig gescannt wurde.

Das Buch hat das Urheberrecht überdauert und kann nun öffentlich zugänglich gemacht werden. Ein öffentlich zugängliches Buch ist ein Buch, das niemals Urheberrechten unterlag oder bei dem die Schutzfrist des Urheberrechts abgelaufen ist. Ob ein Buch öffentlich zugänglich ist, kann von Land zu Land unterschiedlich sein. Öffentlich zugängliche Bücher sind unser Tor zur Vergangenheit und stellen ein geschichtliches, kulturelles und wissenschaftliches Vermögen dar, das häufig nur schwierig zu entdecken ist.

Gebrauchsspuren, Anmerkungen und andere Randbemerkungen, die im Originalband enthalten sind, finden sich auch in dieser Datei – eine Erinnerung an die lange Reise, die das Buch vom Verleger zu einer Bibliothek und weiter zu Ihnen hinter sich gebracht hat.

Nutzungsrichtlinien

Google ist stolz, mit Bibliotheken in partnerschaftlicher Zusammenarbeit öffentlich zugängliches Material zu digitalisieren und einer breiten Masse zugänglich zu machen. Öffentlich zugängliche Bücher gehören der Öffentlichkeit, und wir sind nur ihre Hüter. Nichtsdestotrotz ist diese Arbeit kostspielig. Um diese Ressource weiterhin zur Verfügung stellen zu können, haben wir Schritte unternommen, um den Missbrauch durch kommerzielle Parteien zu verhindern. Dazu gehören technische Einschränkungen für automatisierte Abfragen.

Wir bitten Sie um Einhaltung folgender Richtlinien:

+ *Nutzung der Dateien zu nichtkommerziellen Zwecken* Wir haben Google Buchsuche für Endanwender konzipiert und möchten, dass Sie diese Dateien nur für persönliche, nichtkommerzielle Zwecke verwenden.

+ *Keine automatisierten Abfragen* Senden Sie keine automatisierten Abfragen irgendwelcher Art an das Google-System. Wenn Sie Recherchen über maschinelle Übersetzung, optische Zeichenerkennung oder andere Bereiche durchführen, in denen der Zugang zu Text in großen Mengen nützlich ist, wenden Sie sich bitte an uns. Wir fördern die Nutzung des öffentlich zugänglichen Materials für diese Zwecke und können Ihnen unter Umständen helfen.

+ *Beibehaltung von Google-Markenelementen* Das "Wasserzeichen" von Google, das Sie in jeder Datei finden, ist wichtig zur Information über dieses Projekt und hilft den Anwendern weiteres Material über Google Buchsuche zu finden. Bitte entfernen Sie das Wasserzeichen nicht.

+ *Bewegen Sie sich innerhalb der Legalität* Unabhängig von Ihrem Verwendungszweck müssen Sie sich Ihrer Verantwortung bewusst sein, sicherzustellen, dass Ihre Nutzung legal ist. Gehen Sie nicht davon aus, dass ein Buch, das nach unserem Dafürhalten für Nutzer in den USA öffentlich zugänglich ist, auch für Nutzer in anderen Ländern öffentlich zugänglich ist. Ob ein Buch noch dem Urheberrecht unterliegt, ist von Land zu Land verschieden. Wir können keine Beratung leisten, ob eine bestimmte Nutzung eines bestimmten Buches gesetzlich zulässig ist. Gehen Sie nicht davon aus, dass das Erscheinen eines Buchs in Google Buchsuche bedeutet, dass es in jeder Form und überall auf der Welt verwendet werden kann. Eine Urheberrechtsverletzung kann schwerwiegende Folgen haben.

Über Google Buchsuche

Das Ziel von Google besteht darin, die weltweiten Informationen zu organisieren und allgemein nutzbar und zugänglich zu machen. Google Buchsuche hilft Lesern dabei, die Bücher dieser Welt zu entdecken, und unterstützt Autoren und Verleger dabei, neue Zielgruppen zu erreichen. Den gesamten Buchtext können Sie im Internet unter `http://books.google.com` durchsuchen.

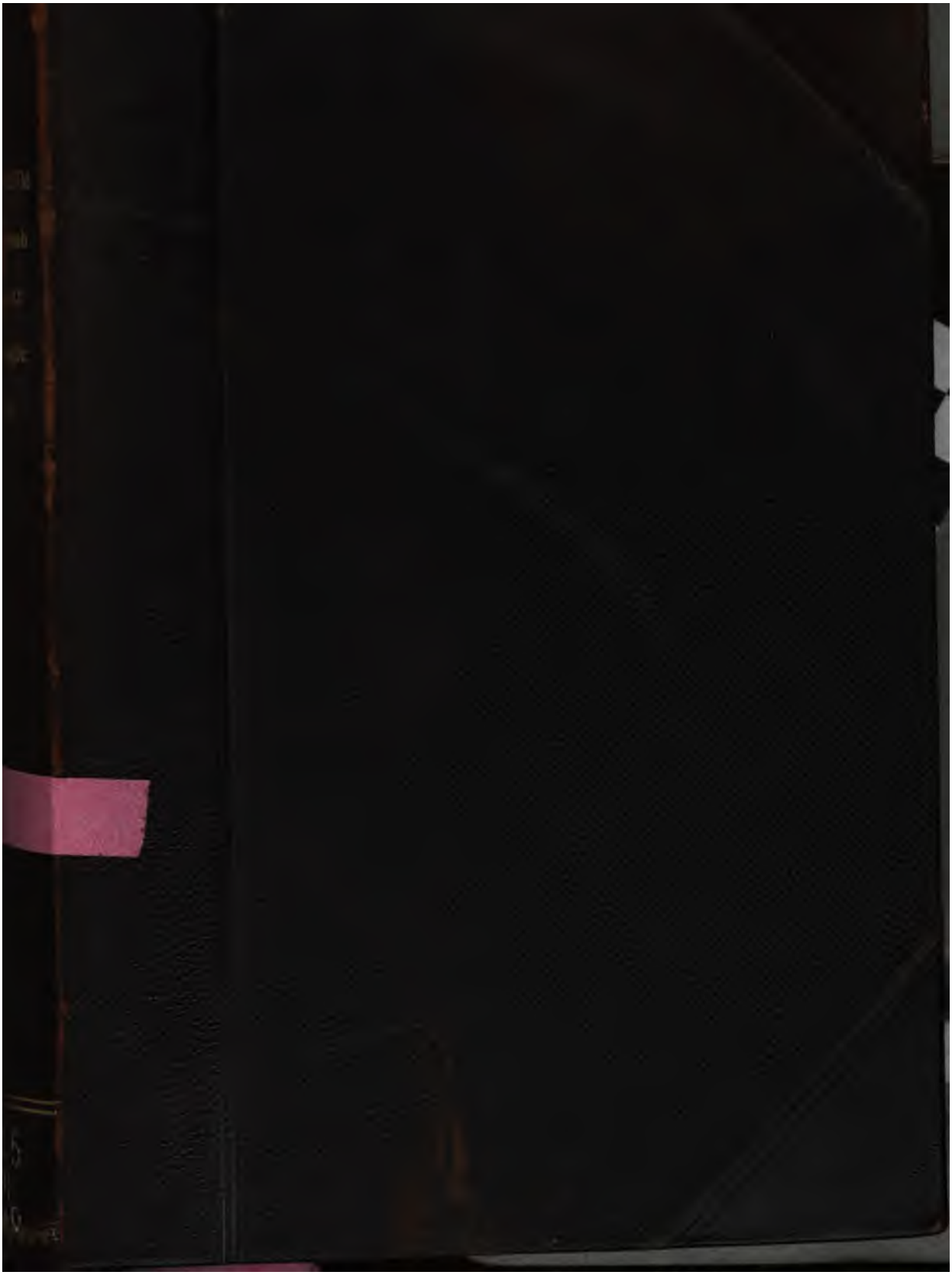

The Branner Geological Library

LELAND·STANFORD·JVNIOR·VNIVERSITY

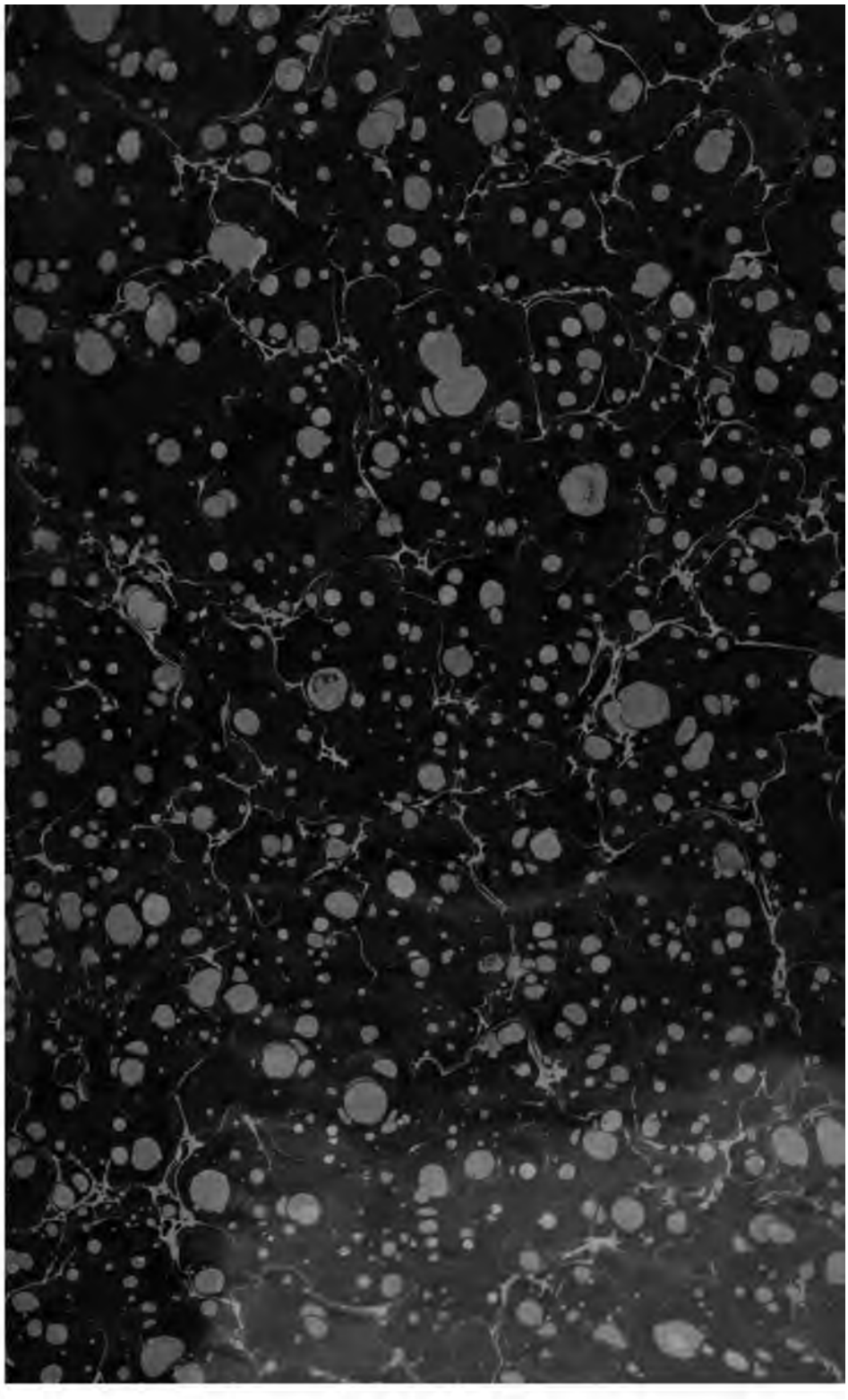

J. C. Branner

REPERTORIUM

zum

Neuen Jahrbuch für Mineralogie

Geologie und Palaeontologie

für die

Jahrgänge 1900—1904, das Centralblatt für Mineralogie, Geologie und Palaeontologie Jahrgänge 1—5 (1900—1904) und die Beilage-Bände XIII—XX.

Ein Personen-, Sach- und Orts-Verzeichniss

für die darin enthaltenen Originalabhandlungen und Referate.

Stuttgart.
E. Schweizerbart'sche Verlagshandlung (E. Nägele).
1906.

210981

Druck von Carl Grüninger, K. Hofbuchdruckerei Zu Gutenberg (Klett & Hartmann), Stuttgart.

Inhalt.

	Seite
I. Personenverzeichniss	1
II. Sach- und Ortsverzeichniss	206

Das Ortsverzeichniss ist mit dem Sachverzeichniss vereinigt.

Die Seitenzahlen der Originalabhandlungen und -Mittheilungen sind durchweg cursiv, die der Referate mit gewöhnlichen Lettern gedruckt. Im Personenverzeichniss sind ausserdem die Titel der Originalabhandlungen und -Mittheilungen durch cursive Schrift hervorgehoben.

Vor dem Gebrauch des Repertoriums wolle man einige am Schluss mitgetheilte Nachträge berücksichtigen.

I. Personenverzeichniss.

BB. bedeutet Beilageband. — CBl. Centralblatt. — Die Abhandlungen und briefliche Mittheilungen sind durch *cursive* Schrift hervorgehoben.

A.

	Jahrg.	Bd.	Seite
Abbot, G.: The Cellular Magnesian Limestone of Durham	1904	I	393
Abegg, R. und W. Seitz: Das dielektrische Verhalten einer krystallinischen Flüssigkeit	01	I	1
Abel, O.: Studien in den Tertiärbildungen von Eggenburg (Profil zwischen dem Kuenringer Thal und dem Schindergraben)	1900	I	124
— Studien im Klippengebiete zwischen Donau und Thaya. I. Pollau-Schweinbarth (Aufnahmebericht)	1900	II	418
— Die Beziehungen des Klippengebiets zwischen Donau und Thaya zum alpin-karpathischen Gebirgssysteme	1900	II	418
— Ueber einige artesische Brunnenbohrungen in Ottakring und deren geologische und palaeontologische Resultate	02	I	455
— Les Dauphins longirostres du Boldérien (Miocène supérieur) des environs d'Anvers	03	I	549
— Ueber die Hautbepanzerung fossiler Zahnwale	03	II	138
— Untersuchungen über die fossilen Platanistiden des Wiener Beckens	03	II	135
— *Zwei Menschenaffen aus den Leithakalkbildungen des Wiener Beckens*	*CBl*	*1903*	*176*
Abt, A.: Nachweis und Bestimmung des magnetischen Zustandes einiger Erze	02	I	163
d'Achiardi, A.: Considerazioni sull' acqua di cristallizzazione	03	I	364
— Guida al corso di mineralogia. Mineralogia generale	CBl	1900	101
— Alla memoria di Antonio d'Achiardi, professore di mineralogia nell' università di Pisa	CBl	1904	55
d'Achiardi, G.: Note di mineralogia italiana: Quarzo con la base della Verruca (Monte Pisani)	1900	I	10
— I quarzi delle gessaie toscane	1900	I	10
— Note di mineralogia italiana: Mossotite di Montieri (Grosseto)	1900	I	14
— Note di mineralogia italiana: Aragonite di Jano (San Miniato)	1900	I	14

	Jahrg.	Bd.	Seite
d'Achiardi, G.: Note di mineralogia italiana: Kupferallophan, Kupferzinkallophan, Limarit, Anglesit, Raimondit, Gyps	1900	I	16. 29
— Note di mineralogia italiana: Calcite e pyrite del Bargallo	1900	I	26
— Fosforescenza di alcune dolomie dell' Elba	1900	II	14
— Studio ottico di quarzi bipiramidati senza potere rotatorio	1900	II	179
— Osservazioni sulle anomalie ottiche del granato dell' Affaccata (Elba)	1900	II	195
— Studio di alcuni opali della Toscana	1900	II	348
— Minerali dei marmi di Carrara	01	I	30
— Pleocroismo e policromismo delle tormaline elbane	01	II	24
— La Cordierite dei filoni tormaliniferi nel granito di S. Piero in Campo (Elba)	01	II	355
— Minerali del Sarabus (Sardegna)	01	II	361
— Acido borico e borati dei soffioni e lagoni boriferi della Toscana	02	I	170
— Larderelite dei soffioni della Toscana	02	I	171
— Geocronite di Val di Castello presso Pietrasanta (Toscana)	02	II	19
— Emimorfismo e geminazione della stefanite del Sarrabus	02	II	338
— Cenni sui minerali della miniera di antimonio delle Cetine di Cotorniano	03	I	184
— Thomsonite e apofillite di Schiket nella Colonia Eritrea	1903	I	33. 391
— Descrizione di alcune rocce della Colonia Eritrea, raccolte dal Dott. G. Bartolomei Gioli	03	II	78
— Studio di alcune rocce sienitiche di Kadi-Kalé (Provincia di Smirne) nell' Asia Minore	04	I	221
— Forme cristalline del Cadmio	04	I	328
— Le forme cristalline della pirrotina del Bottino	04	I	343
— Notizie sul giacimento cinabrifero di Kara-Barun nell' Asia Minore	04	II	349
Ackroyd, W.: On the Circulation of Salt in its Relations to Geology	03	I	219
Acland, H. D.: On a Volcanic Series in the Malvern Hils, near the Herefordshire Beacon	1900	I	234
Adami, E.: Sulla tettonica delle colline eoceniche del Monferrato	1900	I	448
Adams, F. D.: Nodular Granite from the Pine Lake, Ontario	1900	I	67
— Experimental Work on the Flow of Rocks. (Abstract.)	02	II	252
— The Excursion to the Pyrenees in Connection with the eighth international geological Congress	03	I	418
— Notes on the Iron Ore deposits of Bilbao, Northern Spain	04	II	73
— The Monteregian Hills — a canadian petrographical province	04	II	408
Adams, F. D. and J. Th. Nicolson: An experimental investigation into the Flow of Marble	02	II	252
Adams, G. J.: A geological map of Logan and Gove Counties	1900	I	85
— The Upper Cretaceous of Kansas, a historical review	01	II	280
— Oil and gas fields of the western interior and northern Texas coal measures and the upper cretaceous and tertiary of the western gulf coast	02	II	358
Adelphe, siehe Gonnard, A. et Adelphe.			
Adlerz, G.: Fynd af ett stenredskap i Östersjölera	1900	II	455
Adloff, P.: Zur Entwickelungsgeschichte des Nagethiergebisses	1900	II	306
— Zur Frage nach der Entstehung der heutigen Säugethierzahnformen	04	II	300

	Jahrg.	Bd.	Seite
Agafonoff, V.: Sur l'absorption de la lumière par les cristaux et sur le polychroisme dans la partie ultra-violette du spectre	1904	II	340
Agamennone, M. G.: Tremblement de terre d'Aidin (Asie Mineure) du 19 août 1895	1900	I	378
— Vitesse de propagation du tremblement de terre d'Aidin (Asie Mineure) du 19 août 1895	1900	I	378
— Velocità di propagazione del terremoto di Pergamo (Asia Minore) della notte 13—14 novembre 1895	1900	II	375
— I terremoti nel corso inferiore del fiume Velino (Umbria-Abruzzi)	1900	II	376
— I terremoti nell' isola di Labuan (Borneo) del 21 settembre 1897	1900	II	376
— Il terremoto dell' India del 12 giugno 1897 registrato in Europa	1900	II	376
— Il terremoto nell' isola di Haiti (Antille) del 29 dicembre 1897	1900	II	377
— Sopra un nuovo tipo di sismoscopio	01	I	211
— Sopra una sistema di doppia registrazione negli strumenti sismici	01	I	212
— Il terremoto Emiliano della notte dal 4 al 5 marzo 1898	01	I	214
— Il terremoto di Balikesri (Asia M.) del 14 settembre 1896	01	I	214
— Sismoscopio elettrico a doppio effetto per le scosse sussultorie	02	II	209
— Il pendolo orizontale nella sismometria	02	II	209
— Gli strumenti sismici e le perturbazioni atmosferiche	03	I	49
— Il microseismometrografo a tre componenti	03	I	49
— Sopra un sismografo per forti terremoti	04	I	371
Agassiz, A.: A Visit to the Great Barrier Reef of Australia in the Steamer Croydon during April and May 1896	1900	II	380
Agnus, Al. N.: 1. note sur les Blattides paléozoïques. Description d'un Mylacridae de Commentry	04	I	310
— Description d'un Névroptère fossile nouveau, Homoioptera gigantea	04	I	310
Aguirre, E.: Notas geológicas sobra la Sierra de la Tinta	1900	I	100
Ahlenius, K.: Beiträge zur Kenntniss der Seenkettenregion in Schwedisch-Lappland	03	I	282
Ahrens, F. B.: Schlesiens chemische Industrie und die technische Hochschule in Breslau	1900	II	407
— Die Goldindustrie der südafrikanischen Republik (Transvaal)	01	I	175
Aigner, A.: Die Salzberge der Alpen am Ende des neunzehnten Jahrhunderts	1900	II	408
Aimonetti, C.: Determinazione della gravità relativa in Piemonte	01	I	46
Airaghi, C.: Di alcune Conoclypeidi	01	II	483
— Echinidi del Bacino della Bormida	01	II	485
— Echinidi postpliocenici di Monteleone Calabro	03	II	452
— Echinidi terziari del Piemonte e della Liguria	03	II	453
— Echinofauna oligomiocenica della Conca benacense	04	I	152
— Dell' Echinolampas Laurillardi Agas. e Des.	04	I	152
— Di alcune Conoclypeidi	04	I	152
Alban, St.: Notes on the Osteology of Bison antiquus Leidy	01	I	149
Alessandri, G. de: Avanzi di Oxyrrhina hastalis del Miocene di Alba	01	II	481
— La pietra da Cantoni di Rosignano e di Vignale (Basso Monferrato). Studi stratigrafici e palaeontologici	02	I	464

	Jahrg.	Bd.	Seite
Alessandri, G. de: Sopra alcuni fossili aquitaniani dei dintorni di Aqui	1902	II	439
— Appunti di geologia e di paleontologia sui dintorni di Aqui	04	I	276
Allen, H. A.: On an Insect from the Coal Measures of South Wales	04	I	311
Allenspach, G.: Dünnschliffe von gefältetem Röthidolomit-Quartenschiefer am Piz Urlaun	02	I	219
Aloisi, P.: Su di alcune rocce di Ripafratta (Monte Pisano)	04	II	218
— Rocce dell' isola Dissei (Colonia Eritrea)	04	II	402
— Rocce della Penisola di Buri (Colonia Eritrea)	04	II	402
Ameghino, Fl.: Notes on the Geology and Paleontology of Argentina	1900	I	102
— Première notice sur le Neomylodon Listai, un représentant vivant des anciens Gravigrades fossiles de l'Argentine	1900	II	142
— Mammifères crétacés d'Argentine. Deuxième Contribution à la connaissance de la Faune mammalogique des couches à Pyrotherium	1900	II	296
— Sur l'Arrhinolemur, genre du tertiaire de Parana, représentant un type nouveau de la classe des Mammifères	01	II	471
— Los Arrhinolemuridae, un nuevo orden de mamíferos extinguidos	01	II	471
— On the Primitive Type of the Plexodont Molars of Mammals	02	II	134
— Notas sobre algunos Mamíferos fossiles nuevos ó poco conocidos delle valle de Tarija	04	I	289
— Cuadro Sinóptico de los Formaciones Sedimentarias. Tertiarias y Cretáceas de la Argentina en Relacion con el Desarollo y Descendencia de los Mamíferos	04	II	464
— Linea Filogenetica de los Proboscídeos	04	II	464
— siehe Roth, Santiago.			
Ami, H. M.: The cambrian age of the Dictyonema-slates of Nova Scotia	03	I	115
Ammon, L. v.: Petrographische Ergebnisse der Reise des Herrn Roman Oberhummer in Kleinasien nebst allgemeinen geologischen Bemerkungen	1900	II	61
— Ueber eine Tiefbohrung durch den Buntsandstein und die Zechsteinschichten bei Mellrichstadt an der Rhön	02	I	264
— Ueber das Vorkommen von „Steinschrauben" (Daemonhelix) in der Molasse Oberbayerns	02	I	280
— Ueber Anthracomartus aus dem pfälzischen Carbon	02	II	150
— Die Malgersdorfer Weisserde	1902	II	225. 270
— Petrographische und palaeontologische Bemerkungen über einige kaukasische Gesteine	02	II	389
— Ueber Conchylien aus Münchner Schotterablagerungen und über erratische Blöcke	03	I	520
Ampferer, O.: Ueber den geologischen Zusammenhang des Karwendel- und Sonnwendjochgebirges	04	I	246
Anderson, F. M.: The geology of Point Reyes Peninsula	01	II	266
Anderson, T. and J. S. Flett: Report on the eruptions of the Soufrière, in St. Vincent, in 1902, and on a visit to Montagne Pelée, in Martinique. Part I	04	II	369
Andersson, F.: Jordskalfvet i Schemacha den 13. Februari 1902	04	I	373
Andersson, G.: Den Centraljämska Issjön. (Der centraljemtländer Eissee)	1900	I	454
— Ett exempel på blixten som geologisk faktor	03	I	51

	Jahrg.	Bd.	Seite
Andersson, G.: Ueber die Stratigraphie und Tektonik der Bäreninsel	1901	II	258
Andersson, J. G. und N. Sahlbom: Ueber den Fluorgehalt schwedischer Phosphorite	03	I	195
Andreae, A.: Biotitaplite im Granitit von Baveno	01	II	388
— Untermiocäne Landschneckenmergel bei Oppeln in Schlesien	03	I	538
— Zweiter Beitrag zur Binnenconchylienfauna des Miocäns von Oppeln in Schlesien	03	I	538
— Landschnecken aus Central- und Ostasien	03	I	542
— Land- und Süsswasserschnecken aus Central- und Ostasien	03	I	542
Andrée, K.: Ueber Steinsalzkrystalle von hexagonal-rhomboëdrischer Pseudosymmetrie aus Sicilien	*CBl*	*1904*	*88*
Andrews, C. W.: Note on the pelvis of Cryptoclidus oxoniensis Phill.	1900	I	310
— On the extinct birds of Patagonia. I. The skull and skeleton of Phororhacos inflatus Ameghino	1900	II	467
— On the remains of a new bird from the London Clay of Sheppey	1900	II	468
— Note on a nearly complete skeleton of Dinornis maximus	01	I	155
— On some remains of birds from the Cakedwellings of Glastonbury, Somersetshire	01	I	155
— Fossil Mammalia from Egypt	01	II	460
— On a New Species of Chelonian from the Lower Miocene of Egypt	01	II	460
— Fossil Mammalia from Egypt I.	1901 II 460	02	II 459
— Preliminary Note on some Recently Discovered Extinct Vertebrates from Egypt	1902 I 466	04	I 134
— Fossil Mammalia from Egypt II.		02	II 459
— The Pliocene Vertebrate Fauna from the Wadi Natrun, Egypt	1903 I 566	04	II 304
— Preliminary Note on some Recently Discovered Extinct Vertebrates from Egypt. Part III	1903 I 566	04	II 304
— A Monograph of Christmas Island (Indian Ocean). 1. History and physical features. 6. Geology	1903	II	99. 101
— On the Evolution of the Proboscidea		04	II 318
Andrews, C. W. and H. J. L. Beadnell: A Preliminary Note on some New Mammals from the Upper Eocene of Egypt	1903 I 565	04	I 135
Andrews, E. C.: Notes on the limestones and general geology of the Fiji islands, with special reference to the Lau group, based upon surveys made for Alexander Agassiz, with a preface by T. W. Edgeworth David		03	II 98
Andrews, Th.: Microcrystalline Structure of Platinum		03	I 372
Andrussow, N.: Die südrussischen Neogenablagerungen. 2. Theil: Die Verbreitung und die Gliederung der sarmatischen Stufe	1900	I	290
— Bemerkungen über das Miocän der kaspischen Länder		01	I 127
— Fossile und lebende Dreissensidae Eurasiens		01	II 319
— Kritische Bemerkungen über die Entstehungshypothesen des Bosporus und der Dardanellen		02	I 207
— Geologische Untersuchungen auf der Halbinsel Taman		04	II 435
Anert, E.: Ueber nutzbare Mineralien und Gesteine in der Mandschurei		01	II 404
— Geologische Recognoscirungen nach Lagerstätten, ausgeführt in den Jahren 1897—1898 in der Mandschurei		03	I 261

	Jahrg.	Bd.	Seite
Angelis d'Ossat, G. de: Mammiferi fossili del antico Lago del Mercure (Calabria)	1900	II	140
— I ciottoli esotici nel Miocene del Monte Deruta (Umbria) 1902 II 439	03	I	279
— L'origine dei ciottoli esotici nel Miocene del Monte Deruta	02	II	439
— Un pozzo trivellato presso Napoli	03	I	43
— Appunti sopra alcuni Minerali di Casal di Pari (Comune Campagnatico, Provincia Grosseto)	03	I	204
— Sulla geologia della provincia di Roma	03	I	280
— L'età del marmogiallo della Montagnola Senese	04	II	258
— siehe Cerulli-Irelli, S. und G. de Angelis d'Ossat.			
— siehe Verri, A. e G. de Angelis d'Ossat.			
Angelis d'Ossat, G. de e G. F. Luzi: I fossili delle Schlier di San-Severino (Marche)	1900	I	448
— — Altri fossili dello Schlier delle Marche	01	I	476
Angelis d'Ossat, G. de e F. Millosevich: Cenni intorno alle raccolte geologiche dell' ultima spedizione Bottego	01	I	104
— — Studio geologico sul materiale raccolto da Maurizio Sacchi (Seconda Spedizione Bottego)	01	I	452
— — La miniera di antimonio a Montanto di Maremma e suoi dintorni	03	I	202
Angelis d'Ossat, G. de e A. Neviani: Corallarii e Briozoi neogenici di Sardegna 1900 I 479	1900	II	317
Angermann, E.: Ueber das Genus Acanthoteuthis Münst. aus den lithographischen Schiefern in Bayern	*BB*	*XV*	*205*
Anikin, W. P.: Ueber die Schwankungen im Bestande der Salze der Salzseen des Kaspi-Bassins	1900	I	228
d'Ans, J.: Die chemische Classification der Eruptivgesteine des Grossherzogthums Hessen. (Vorläufige Mittheilung.)	*03*	*II*	*33*
Anselme, M. A. d': Löslichkeit von Calciumsulfathydrat in Lösungen von Kochsalz	04	I	364
Anthula, D. J.: Ueber die Kreidefossilien des Kaukasus, mit einem allgemeinen Ueberblick über die Entwickelung der Sedimentärbildungen des Kaukasus	01	I	470
Antipoff, J.: Ueber den Bucklandit von Achmatowsk	01	II	193
— Ueber eine neue Lagerstätte von Uranglimmer in Russland und über natürliches Zinkoxyd aus den Gruben von Olkusch	02	II	365
Antunes, R. Pr., siehe Delgado, J. F. Nery.			
Arcidiacono, S.: Principali fenomeni eruttivi avvenuti in Sicilia e nell' isole adiacenti nell' anno 1899	02	I	210
Armstrong, E. F., siehe J. H. van't Hoff und Mitarbeiter.			
Arnaud, H.: Quelques observations sur les Salenia crétacées du sud-ouest	1900	II	160
— Observations sur le Cidaris pseudopistillum Cott.	1900	II	485
— Brissopneustes aturensis	1900	II	485
— Divisions naturelles du Crétacé supérieur au-dessus du Santonien	02	I	452
— Les „echinocorys“ de Tercis (Landes)	03	I	529
Arnold-Bemrose, H. H.: On a quarz-rock in the carboniferous limestone of Derbyshire	1900	I	232
— — siehe Gibson, W. and W. Hind.			
Arreola, J. M.: The Recent Eruptions of Colima	04	II	381
Arrhenius, S.: Zur Physik des Vulcanismus	01	II	370

	Jahrg.	Bd.	Seite
Arsaudaux, H.: Sur un gisement de tourmaline ferrifère dans l'Aveyron	1903	I	33
— Analyses de quelques minéraux	03	I	180
— Sur quelques minéraux des environs de Brassac (Tarn)	03	I	206
Arthaber, G. v.: Ueber Trionyx rostratus n. sp. von Au am Leithagebirge	01	II	314
— Ueber die Fundstelle von Senonfossilien bei Sirab in Persien	02	II	119
Artini, E.: Ancora sulla leadhillite di Sardegna	01	II	358
— Intorno ad alcuni minerali di Laorca e Ballabio	02	II	203
— Calcite di Pradalunga (Val Seriana)	03	I	189
— Osservazioni sopra alcune minerali del granito di Baveno	03	II	33
Artini, E. und G. Melzi: Intorno ad un meteorite caduto ad Ergheo, presso Brava, nella penisola dei Somali	1900	I	357
Arzruni, A. und K. Thadeef: Ein neues basisches Wismuthcarbonat von Schneeberg	1900	II	351
— — Neue Minerale aus Chile; ein neues Vorkommen von Utahit	1900	II	369
Ashington Bullen, R.: Shells from Portland rubble drift	03	II	123
Ashley, G. H.: Note on an Area of Compressed Structure in Western Indiana	1900	II	42
Athanasiu, S.: Ueber die Kreideablagerungen bei Glodu in den nordmoldauischen Karpathen	1900	I	289
— Morphologische Skizze der nordmoldauischen Karpathen mit einem Ueberblick über die Tektonik	1900	II	420
Aubel, E. van: Ueber das thermoelektrische Verhalten einiger Oxyde und Metallsulfide	03	II	167
Audenino, L.: Terreni terziari e quaternari dei dintorni di Chieri	04	I	278
Auerbach, F.: Die Gleichgewichtsfiguren pulverförmiger Massen	03	I	97
Autenrieth, W.: Ueber das Vorkommen von Jod im Cuprit und Malachit	1900	II	350
Authelin, Ch.: Feuille de Saint-Affrique. (Terrains secondaires)	02	II	96
Avebury: An Experiment in Mountain-Building	04	II	83

B.

Bäckström, H.: Phenakit von Kragerö	1900	I	188
— Ueber jungvulcanische Eruptivgesteine aus Tibet	02	II	236
Bagaschew, J.: Analyse des Almandins von der Insel Olchon im Baikal-See	03	II	176
Bagg, R. M.: The cretaceous foraminifera of New Jersey	1900	I	319
Bagg jr., R. M.: The occurrence of cretaceous fossils in the Eocene of Maryland	02	II	438
Bailey, E. H. S., siehe Grimsley, G. P. and E. H. S. Bailey.			
Baker, B. A.: Cölestinablagerungen der Umgebung von Bristol	04	II	236
Baker, M.: The Northwest boundary of Texas	04	II	252
Baker, R. T.: A new Meteorite from New South Wales	02	I	370
— Note on an Obsidian „Bomb" from New South Wales	02	I	370
Bakersville, Ch.: Kunzite, a new Gem	04	I	358
Bakhuis-Roozeboom, H. W.: Erstarrungspunkte der Mischkrystalle zweier Stoffe	01	I	177
— Umwandlungspunkte bei Mischkrystallen	01	I	178

	Jahrg.	Bd.	Seite
Bakhuis-Roozeboom, H. W.: Eisen und Stahl vom Standpunkte der Phasenlehre	1901	II	10
— Die Bedeutung der Phasenlehre	CBl 1901		150
— Die heterogenen Gleichgewichte vom Standpunkte der Phasenlehre	CBl 1901		664
Baldacci, L. e S. Franchi: Studio geologico della Galeria del Col di Tenda (Linea Cuneo-Ventimiglia)	03	I	277
Baldacci, L. e A. Stella: Sulle condizioni geognostiche del territorio di Salò (prov. di Brescia) rispetto al terremoto del 30 ottobre 1901	03	II	48
Balfour, L., siehe Officer, G. etc.			
Ball, J.: Serpentine and associated rocks of Davos	1900	I	221
— Kharga Oasis: Its topography and geology	02	I	259
— On the topographical and geological results of a reconnaissance-survey of Jebel Garra and the Oasis of Kurkur	04	I	268
— The Semna Cataract or Rapid of the Nile: A Study in River Erosion	04	I	376
Ballore, siehe Montessus de Ballore, F. de.			
Baltzer, A.: Zur Entstehung der Alpenseen	1900	I	214
— Studien am unteren Grindelwaldgletscher. Glacialerosion, Längen- und Dickenveränderungen in den Jahren 1892—1897	1900	II	46
— Bericht über einleitende Arbeiten am unteren Grindelwaldgletscher, zur empirischen Bestimmung der Eiserosion	1900	II	46
— Geologie der Umgebung des Iseo-Sees	02	II	255
— *Die granitischen Intrusivmassen des Aarmassivs*	*BB XVI*		*292*
— *Ueberschiebung im Iseogebiet*	*CBl 1901*		*311*
— *Zur Entstehung des Iseosee- und Comerseebeckens*	*CBl 1902*		*323*
— *Chauvinismus in der Wissenschaft*	*CBl 1903*		*264*
Baratta, M.: Il Vesuvio, sua descrizione e storia delle sue eruzioni dai tempi più remoti ai nostri giorni	1900	I	40
— Filippo Luigi Gilii e le osservazioni sismiche alla Specola Vaticana	1900	II	377
— Saggio dei materiali per una storia dei fenomeni sismici avvenuti in Italia raccolti dal Prof. Michele Stefano de Rossi	01	I	215
Barber, W. B., siehe Nutter, E. H. and W. B. Barber.			
Barbot de Marny, E.: Der Berg Katschkanar und seine Magneteisenerzlagerstätten	04	I	86
Barbour, E. H.: Decline of Geysir Activity in the Yellowstone National Park	02	II	50
— Sand crystals and their relation to certain concretionary forms	1902 II 21	03	I 435
Barchet, E.: Ueber die Beziehungen zwischen Mischkrystallen und Doppelsalzen	*BB XVIII*		*377*
Baren, J. v.: Quantitatief gesteende-onderzoek op de Veluwe	04	II	127
Barlow, A. E. and W. F. Ferrier: On the relations and structure of certain granites and associated arkoses on Lake Temiscaming, Canada	1900	I	68
Barlow, W.: Geometrische Untersuchungen über eine mechanische Ursache der Homogenität der Structur und Symmetrie; mit besonderer Anwendung auf Krystallisation und chemische Verbindung. (Uebersetzt von J. Stark.)	1900	I	162
— Die Symmetrie der Krystalle. Die wirkliche Grundlage der 32 Symmetrieclassen	02	I	333

	Jahrg.	Bd.	Seite
Barlow, W. and Miers, H. A.: The Structure of Crystals	CBl	1902	83
Barras de Aragón, F. de las: Apuntes para una descripción geológico-mineralogica de la Provincia de Sevilla	1901	II	110
Barrell, J.: The Physical Effects of Contact Metamorphism	03	II	61
Barrett-Hamilton, G. E. H.: Traces of Past Glacial Action in the Orange River Colony, South Afrika	04	II	457
Barrois, Ch.: L'extension du limon quaternaire en Bretagne	1900	II	129
— Sur le gisement des roches cristallines anciennes du massif de Paimpol	1900	II	402
— Découverte de la faune silurienne de Wenlock à Liévin (Pas-de-Calais)	01	I	271
— L'extension du silurien supérieur dans le Pas-de-Calais	01	I	271
— Sketch of the geology of Central Brittany	01	II	108
— Nouvelles observations sur les faunes siluriennes des environs de Barcelone	02	I	435
— Sur les spongiaires de la Craie du Nord-est du bassin de Paris	02	I	495
— Sur les Hexactinellides de la Craie de Lezennes	02	I	495
— Note sur les Graptolites de la Catalogne et leurs relations avec les étages graptolitiques de France	03	I	327
Barron, T. and W. F. Hume: Notes on the Geology of the Eastern Desert of Egypt	02	I	428
Barrow, G.: On the occurrence of chloritoid in Kincardineshire	1900	I	231
Bartalini, G.: Dimostrazione semplice che non vi possono essere che assi di simmetria, 2, 3, 4, 6-nari, compatibili con la legge di rationalità	01	II	334
Bartholin, C., siehe Rördam, K. og C. Bartholin.			
Bartonec, F.: Die Steinkohlenablagerung Westgaliziens und deren volkswirthschaftliche Bedeutung	03	II	387
Barus, C.: Thermodynamic relations of Hydrated Glass	01	I	438
— The Aqueous Fusion of Glass, its Relation to Pressure and Temperature	01	I	438
— The Absorption of Water in Hot Glass	01	I	438
— Die Einwirkung des Wassers auf heisses Glas	01	I	439
— Hot Water and Soft Glass in their Thermodynamic Relations	01	I	439
Barvíř, H. L.: Ueber einige Cerussitkrystalle von Mies I. II. III. 1901 II 352 02 I 173	03	II	22
— Ueber den Gold- und Silbergehalt einiger Gesteine und Gangmassen, hauptsächlich in Mittelböhmen, auf Grund von Analysen eigener Proben	01	II	401
— Betrachtungen über den Ursprung des Goldes bei Eule und an einigen anderen Stellen in Böhmen	03	I	440
— Ueber zwei Quarzkrystalle	03	II	17
— Ueber einige Verwachsungen von Augit von der Insel Stromboli	03	II	23
— Ueber den Epidot von Eule	03	II	25
— Ueber die chemischen Verhältnisse einiger Gesteine von Eule	04	I	49
Basch, E. E.: Künstliche Darstellung des Polyhalit	02	II	12
Bascom, F.: Volcanics of Neponset Valley, Massachusetts	02	II	237
Bassani, Fr.: Aggiunte all' Ittiofauna eocenica dei monti Bolca e Postale	1900	I	466
— La ittiofauna del calcare eocenico di Gassino in Piemonte	01	I	308

	Jahrg.	Bd.	Seite
Bassani, Fr.: Avanzi di Clupea (Meletta) crenata nelle marne di Ales in Sardegna	1902	I	308
— Su alcuni avanzi di pesci nelle marne stampiane del bacino di Ales in Sardegna	02	I	308
— Su alcuni avanzi di pesci del pliocene toscano	04	I	143
— Nuove osservazioni paleontologiche sul bacino stampiano di Ales in Sardegna	04	I	143
Bassett, H.: Note on the Preparation of Spherulites	03	I	451
— Fossiliferous Oldhaven beds at Ipswich	04	I	100
Bassler, siehe Nikles and Bassler.			
Bather, F. A.: A record of and Index to the Literature of Echinodermata published during the year 1898 with a few items from previous years . . . 1900 II 162	03	I	528
— The genera and species of Blastoidea, with a list of the specimens in British Museum (Natural History)	1900	II	485
— Studies in Edrioasteroidea. I. Dinocystis Barroisi n. g. n. sp., Psammites of Condroz	04	I	153
— Studies on Edrioasteroidea. II. Edrioaster Buchianus Forb. sp.	04	I	153
— *Herrn Professor Rudolf Burckhardt's Beobachtungen im Elgin-Sandstein*	*CBl*	*1901*	*473*
Baucke, H., siehe Behrens, H. und H. Baucke.			
Bauer, F.: Ichthyosaurus bambergensis sp. n. Beschreibung einer neuen Ichthyosaurus-Art aus dem oberen Lias von Gaisfeld nebst einigen vergleichend anatomischen Bemerkungen über den Schultergürtel	01	II	314
— Die Ichthyosaurier des oberen weissen Jura	01	II	476
— Osteologische Notizen über Ichthyosaurier	03	II	441
Bauer, K.: Zur Conchylienfauna des Florianer Tegels	02	I	472
Bauer, Max: Ueber einige Diabase von Curaçao	*1900*	*II*	*140*
— Beiträge zur Kenntniss der niederhessischen Basalte	01	II	386
— *Fuchsit als Material zu prähistorischen Artefacten aus Guatemala*	*CBl*	*1900*	*291*
— Lehrbuch der Mineralogie. 2. Auflage	CBl	1903	730
— *Jadeit und Chloromelanit in Form prähistorischer Artefacte aus Guatemala*	*CBl*	*1904*	*65*
Baumberger, E.: Ueber Facies und Transgressionen der unteren Kreide am Nordrande der mediterrano-helvetischen Bucht im westlichen Jura	02	I	446
Baumberger, E. et H. Moulin: La série néocomienne à Valangin	1900	I	283
Baumgartner, K.: Ueber Störungen und eigenartige Druckerscheinungen (sog. „Pfeilerschüsse" oder „Kohlenstoss-Explosionen") der oberbayerischen tertiären Kohlenmulde auf Grube Hausham	01	II	445
— Ueber vulcanische Auswürflinge von Bad Tusnád in Siebenbürgen	04	I	60
Baumhauer, H.: Ueber den Rutil des Binnenthals im Canton Wallis	1900	I	12
— Beiträge zur Kenntniss und Theorie der Zwillingsbildung an Krystallen. Erste Mittheilung	1900	II	5
— Darstellung der 32 möglichen Krystallclassen auf Grund der Deck- und Spiegelaxen nebst Beschreibung von Axenmodellen zur Demonstration der Symmetrieverhältnisse der Krystalle	1900	II	331
— Ueber die Krystallformen des Muscovit	01	I	198

	Jahrg.	Bd.	Seite
Baumhauer, H.: Ueber die krystallographischen Verhältnisse des Jordanit	1901	II	347
— Ueber den Seligmannit, ein neues dem Bournonit homöomorphes Mineral aus dem Dolomit des Binnenthals	02	II	18
— Ueber einen neuen flächenreichen Krystall von Seligmannit	03	I	185
— Beitrag zur Kenntniss des Hyalophan	04	I	348
— Mineralien aus dem Binnenthal, Canton Wallis	04	I	180
— Ueber den Krystallbau des Lepidolith	04	II	178
— Ueber den Ursprung und die gegenseitigen Beziehungen der Krystallformen	CBl	1902	113
— *Ueber Flächenentwicklung und Krystallstruktur des rhombischen Schwefels und des Anatas*	*CBl*	*1903*	*665*
Baur, E.: Ueber die Bildungsverhältnisse von Orthoklas und Albit	03	II	329
Bavink, B.: Beiträge zur Kenntniss der magnetischen Influenz in Krystallen	*BB*	*XIX*	*377*
Bayer, E.: O rostlinstvu vrestev chlomeckych. Die Flora der Chlomeker Schichten	01	I	527
Bayet, L.: Note sur un dépôt de silex crétacé dans la vallée de la Sambre	02	II	436
Bayley, L. W.: Report on the Geology of South-West Nova Scotia	01	I	448
Beadnell, H.: The Geological Survey of Egypt	01	II	90
— On some Recent Geological Discoveries in the Nile Valley and Libyan Desert	02	I	103
— Farafra Oasis: Its topography and geology	02	I	427
— Dakhla Oasis: Its topography and geology	02	II	109
— The Fayum Depression: A Preliminary Notice of the Geology of a District in Egypt containing a new Palaeogene Vertebrate Fauna	03	I	487
— A Preliminary Note on Arsinoitherium Zitteli Beadn. from the Upper Eocene Strata of Egypt 1903 I 565	04	I	135
— The Cretaceous Region of Abu Roash near the Pyramides of Giza	04	I	271
— siehe Andrews, C. W. und H. J. L. Beadnell.			
Becher, J. Ph.: Mineralogische Beschreibung der Oranien-Nassauischen Lande nebst einer Geschichte des Siegenschen Hütten- und Hammerwesens	CBl	1902	602
Beck, R.: Die Diamantlagerstätte von Newland in Griqua Land West	1900	I	336
— Neues von den afrikanischen Diamantlagerstätten	1900	I	337
— Beiträge zur Kenntniss von Brokenhill	01	I	86
— Ueber einige mittelschwedische Eisenerzlagerstätten	01	I	432
— Ueber einige Eruptivgneisse des sächsischen Erzgebirges	03	I	236
— Ueber die Gesteine der Zinkblendelagerstätte der Långfallsgrube bei Räfvåla in Schweden	03	I	257
— Ueber eine neue Nickelerzlagerstätte in Sachsen	04	I	225
— Ueber eine neue Nickelerzlagerstätte in Sachsen (Ergänzung)	04	I	225
— Lehre von den Erzlagerstätten	CBl	1901	83. 558
— Nach W. v. Fircks: Die Antimonlagerstätten von Kostaïnik in Serbien	03	I	91
Beck, R. und W. v. Fricks: Die Kupfererzlagerstätten von Rebeli und Wis in Serbien	03	II	384
Becke, F.: Bericht über das Graslitzer Erdbeben, 24. October bis 25. November 1897	1900	II	214

	Jahrg.	Bd.	Seite
Becke, F.: Optische Orientirung des Anorthit vom Vesuv	1900	II	186
— Zur optischen Orientirung des Anorthit	1900	II	186
— Die Orientirung der optischen Axe A in Anorthit	1900	II	186
— Zur Bestimmung der Plagioklase in Dünnschliffen in Schnitten senkrecht zu M und P	1900	II	193
— Chemische Analysen aus dem Laboratorium der deutschen Universität Prag	1900	II	388
— Der Hypersthenandesit der Insel Alboran	01	I	69
— Vorläufige Mittheilung über die Auffindung von Theralith am Flurhübel bei Duppau	01	II	387
— Ueber Alboranit und Santorinit und die Grenzen der Andesitfamilie	02	I	214
— Optische Orientirung des Oligoklas-Albit	02	I	343
— Optische Orientirung des Albit von Amelia	02	I	349
— Blaugrüne Hornblende aus dem Grünschiefer vom Lämmerbüchl bei Lanersbach (Duxer Thal)	03	I	25
— Ueber Bestimmung der Dispersion der Doppelbrechung	04	I	161
— Einige Bemerkungen über die Einschlüsse des Granites von Flamanville	04	I	218
— Einfluss der Zwillingsbildung auf die Ausbildung der Krystallform beim Orthoklas	04	I	349
— Excursion durch das Westende der Hohen Tauern (Zillerthal)	04	II	83
Beckenkamp, J.: Bemerkung zu H. Franke: Ueber das Kalkspathvorkommen von Nieder-Rabenstein	1900	I	13
— Zur Symmetrie der Krystalle. 7. Mitthlg.	1900	II	4
— Zur Symmetrie der Krystalle. 8. Mitthlg.	1900	II	334
— Zur Symmetrie der Krystalle. 9. Mitthlg.	01	II	329
— Zur Symmetrie der Krystalle. 10. Mitthlg.	03	I	177
— Die vicinalen Flächen und das Rationalitätsgesetz	03	II	158
— Ueber Zwillingsbildung von Krystallmassen und von Molecülen	03	II	159
— Ueber den Paramagnetismus einiger hexagonaler und regulärer Krystalle	03	II	167
— Ueber einen Fund von gediegenem Eisen	04	II	349
— siehe Sandberger, F. v.			
Becker, A.: Krystalloptik	CBl	1903	557
Becker, G.: Zur Kenntniss der sesquioxyd- und titanhaltigen Augite	CBl	1902	730
Becker, G. F.: Auriferous conglomerate of the Transvaal	1900	I	240
— Report on the Geology of the Philippine-Islands followed by a Version of „Ueber tertiäre Fossilien von den Philippinen (1895)“ by K. Martin	03	I	420
Becker, O.: Die Eruptivgesteine des Niederrheins und die darin enthaltenen Einschlüsse	CBl	1902	147
Beckmann, E.: Ueber Spektrallampen 1902 II 3	03	II	9
Beecher, Ch. E.: The reconstruction of a cretaceous Dinosaur, Claosaurus annectens Marsh	03	I	157
— Revision of the Phyllocarida from the Chemung- and Waverly Groups of Pennsylvania	03	I	334
— Restoration of Stylonurus Lacoanus, a giant arthropod from the upper devonian of the United States	03	I	334
— Conrad's Types of Syrian Fossils	03	I	489
— The ventral integument of trilobites	03	I	547
Beekman, E. H. M.: On the behaviour of disthene and of sillimanite at high temperature	04	I	28

	Jahrg.	Bd.	Seite
Beermann, H.: Kritische Studien über die neueren quantitativen Bestimmungsmethoden der Borsäure mit Einschluss der Turmalinanalyse	1900	II	26
Behme, F.: Geologischer Führer durch die Umgebung der Stadt Clausthal im Harz, einschliesslich Wildemann, Grund und Osterode	1900	I	91
Behr, J.: Beiträge zu den Beziehungen zwischen eutropischen und isomorphen Substanzen	*03*	*I*	*135*
Behrens, H.: Mikrochemische Technik	*CBl*	*1900*	*297*
— Anleitung zur mikrochemischen Analyse	1900	I	327
Behrens, H. and H. Baucke: On chemical and microscopical examination of antimonial alloys for axle boxes	1900	I	84
Belar, A.: Ein Ausflug auf den Aetna	1900	II	371
— Ueber Erdbebenbeobachtung in alter und gegenwärtiger Zeit und die Erdbebenwarte in Laibach	1900	II	372
— Ueber moderne Erdbebenforschung	1900	II	372
— Laibacher Erdbebenstudien	1900	II	373
— Graslitzer Erschütterungen vom Jahre 1824	01	I	210
Bell, D.: The „great submergence" again: Clava	1900	II	448
Bell, R.: Report on the geology of French river sheet, Ontario	01	I	269
— On an exploration of the northern side of Hudson Strait	04	I	419
Bell, W. T.: The remarkable Concretions of Ottawa County, Kansas	02	II	399
Bellamy, C. V.: A Description of the Salt-Lake of Lanarca in the Island of Cyprus	03	II	392
Bellen, E. v. d.: Beiträge zur Kenntniss des Asbests	01	II	354
— Ueber die Bildung von Asbest auf mechanischem Wege	01	II	354
Bellini, R.: La grotta dello zolfo nei Campi Flegrei	03	I	252
— Alcuni appunti per la geologia dell' Isola di Capri	03	I	277
— Ancora sulla geologia dell' isola di Capri	04	II	421
Bemmelen, J. F. van: Der Schädelbau der Monotremen	03	II	283
Bemmelen, J. M. van: Ueber das Vorkommen, die Zusammensetzung und Bildung von Eisenanhäufungen in und unter den Mooren 1901 II 379	02	I	288
Bemrose, siehe Arnold-Bemrose, H. H.			
Bemrose-Arnold, H. H., siehe Gibson, W. and W. Hind.			
Benecke, E. W.: Nachtrag zu Myophoria inflata Emmr.	*CBl*	*1900*	*5*
— *Myophoria inflata Emmr. im schwäbischen Rhät*	*1900*	*I*	*218*
— Lettenkohlengruppe und Lunzer Schichten	1900	I	275
— Beitrag zur Kenntniss des Jura in Deutsch-Lothringen	1900	II	282
— Ueberblick über die palaeontologische Gliederung der Eisenerzformation in Deutsch-Lothringen und Luxemburg	02	I	269
Benecke, E. W., H. Bücking, E. Schumacher und L. van Werveke: Geologischer Führer durch das Elsass	01	II	421
Benedicks, C.: Thalenit, ein neues Mineral aus Oesterby in Dalekarlien	01	II	25
— Ueber das Verhalten des Canadabalsams in Dünnschliffen	04	I	377
Benham, W. B.: Note on an entire egg of a Moa, now in the Museum of the University of Otago	04	II	470
Benner, H.: Beiträge zur Geologie und Agronomie des Schwabachthales bei Erlangen	1900	I	428
Benton, J. R.: An Experimental Method in the Flow of Solids and its Application on the Compression of a Cube of Plastic Material	03	I	452

	Jahrg.	Bd.	Seite
Berendt, G.: Posener Flammenthon im schlesischen Kreise Militsch	1904	II	259
Berendt, G., K. Keilhack, H. Schröder und F. Wahnschaffe: Führer durch Theile des norddeutschen Flachlandes	01	I	285
Berg, G.: Ueber einen neuen Fundort des Caledonits in Chile	02	II	356
— Beiträge zur Kenntnis der Goldlagerstätten von Raposos in Brasilien	04	I	233
Berg, L. und P. Ignatow: Die Salzseen Seleta-Dengis, Teke und Kysyl-kak des Omsk'schen Kreises. Physisch-geographische Skizze	02	I	204
— — Ueber die Schwankungen der Seespiegel Mittelasiens und des westlichen Sibiriens	02	I	204
Berg, L., W. Elpatjewsky und P. Ignatow: Ueber die Salzseen des Omsk'schen Kreises	1900	I	228
Bergeat, A.: Die äolischen Inseln (Stromboli, Panaria, Salina, Lipari, Vulcano, Filicudi und Alicudi) geologisch beschrieben	1900	II	49
— Der Stromboli	1900	II	49
— Von den äolischen Inseln	1900	II	49
— *Beiträge zur Kenntniss der Erzlagerstätten von Campiglia Marittima (Toscana), insbesondere des Zinnsteinvorkommens dortselbst*	*01*	*I*	*135*
— Zur geographischen Verbreitung der Vulcane	03	II	345
— Ueber merkwürdige Einschlüsse im Kieslager des Rammelsbergs bei Goslar	04	I	398
— *A. Stübel's Untersuchungen über die Eruptionscentren in Südamerika*	*CBl*	*1902*	*718*
— *Die Produkte der letzten Eruption am Vulcan S. Maria in Guatemala (Oktober 1902)*	*CBl*	*1903*	*112*
— *Nachtrag zu K. Sapper's Aufsatz: Ueber die jüngsten Ereignisse am Vulcan Izalco*	*CBl*	*1903*	*129*
— *Einige weitere Bemerkungen über die Produkte des Ausbruchs am S. Maria, Guatemala*	*CBl*	*1903*	*290*
Bergt, W.: Zur Geologie von San Domingo	1900	II	94
— Das erste Anhydritvorkommen in Sachsen (und Böhmen)	1900	II	198
— Lausitzer Diabas mit Kantengeröllen	03	I	233
— Die älteren Massengesteine, krystalline Schiefer und Sedimente	03	II	202
— Ueber einige sächsische Gesteine	04	I	39
— Ueber einige sächsische Minerale. (Magnetkies von Burgk bei Dresden. Zinkspath von Freiberg. Minerale von Heidelbach bei Wolkenstein.)	04	II	361
Bertainchaud, E.: Sur les poussières atmosphériques observées à Tunis le 10 mars 1901	03	II	67
Bertiaux, A.: Esquisse d'une étude paléontologique sur le Charbonnage de Bonne-Espérance à Herstal	02	I	112
Bertrand, M.: Les phénomènes volcaniques et les tremblements de Terre de l'Amérique centrale	01	I	49
Bertrand, M. et Ph. Zurcher: Etude géologique sur l'Isthme de Panama	01	I	105
Berwerth, Fr.: Neue Scheelitvorkommen in den östlichen Centralalpen	1900	II	33
— Mikroskopische Structurbilder der Massengesteine in farbigen Lithographien	1900	II	215
— Grosser Diamantkrystall aus dem Capland	01	II	7

	Jahrg.	Bd.	Seite
Berwerth, Fr.: Chemische Analyse von Jadeitbeilen . .	1902	I	351
— Chloromelanitbeilchen von Černikal im Küstenland, Oesterreich	02	I	352
— Apatit vom Ankogl, Hohe Tauern, Oberkärnten . . .	02	I	353
— Der Meteorstein von Zavid	03	I	210
— Ueber das neue Meteoreisen von Mukerop	03	I	212
— Verzeichnis der Meteoriten im k. k. naturhistorischen Hofmuseum. Ende October 1902. Mit zwei Anhängen: I. Alphabetisch geordnete Liste sämtlicher Meteoriten mit Nachweisungen der wichtigsten Namens- und Ortsbezeichnungen. II. Vertheilung der Meteoriten nach Ländern	04	I	187
— Ueber den jetzigen Stand der Meteoritensammlung im naturhistorischen Hofmuseum und über die Vertheilung der Meteoriten nach Ländern	04	I	188
— *Ueber die Structur der chondritischen Meteorsteine* . .	*CBl*	*1901*	*641*
Berwerth, Fr. und Ferd. Wachter: Mineralogisches und Geologisches aus der Umgebung des Sonnblicks. I. Die Minerale der Rauris	1900	II	359
Bettoni, A.: Fossili domeriani della provincia di Brescia	02	I	441
Beushausen, L.: Das Devon des nördlichen Oberharzes mit besonderer Berücksichtigung der Gegend zwischen Zellerfeld und Goslar	01	II	435
— Cardiola interrupta im Silur des Harzes	02	I	437
Beyer, O.: Die erste Erzlagerstätte der Oberlausitz . . .	04	I	224
Beyer, S. W.: The Sioux quartzite and certain associated rocks	1900	I	66
Beykirch, J.: Ueber den Strontianit des Münsterlandes .	*BB*	*13*	*389*
— *Ueber Calcit aus dem Carbon von Dortmund*	*CBl*	*1901*	*494*
Beyle: M.: Ueber ein altes Torfmoor im hohen Elbufer vor Schulau	04	II	454
Beyschlag, Fr.: Das Manganeisenerzvorkommen der „Lindener Mark“ bei Giessen in Oberhessen	1900	I	411
— Beitrag zur Genesis des Kupferschiefers	03	I	90
— Die Aufgaben der geologischen Landesaufnahme von Preussen und den benachbarten Bundesstaaten . . .	03	II	93
Beyschlag, Fr. und K. v. Fritsch: Das jüngere Steinkohlengebirge und das Rothliegende in der Provinz Sachsen und den angrenzenden Gebieten 1901 I 458	04	I	470
Beyschlag, Fr. und P. Krusch: Die Goldgänge von Donnybrook in Westaustralien	02	II	249
Bibbins, A., siehe Clark, W. B. und A. Bibbins.			
Biddle, H. C.: The deposition of copper by solutions of ferrous salts	02	II	334
Biedermann, W.: Untersuchungen über Bau und Entstehung der Molluskenschalen	03	I	162
— Ueber den Zustand des Kalkes im Crustaceenpanzer .	03	I	165
— Ueber die Bedeutung von Krystallisationsprocessen bei der Bildung der Skelette wirbelloser Thiere, namentlich der Molluskenschalen	03	I	328
Biehringer, J.: Einführung in die Stöchiometrie oder die Lehre von der quantitativen Zusammensetzung der Körper und ihrer mit dieser zusammenhängenden Eigenschaften	CBl	1901	81
Billows, E.: Zeoliti, Prehnite, Rodonite ed altri minerali dell' Agordino superiore	03	I	202

	Jahrg.	Bd.	Seite
Birkinbine, J.: The Production of Iron Ores in 1901	1904	I	34
Bisching, A., siehe Toula, F.			
Bistram, A. v.: Beiträge zur Kenntnis der Fauna des unteren Lias in der Val Solda	04	II	111
— Das Dolomitgebiet der Luganer Alpen	04	II	244
— *Ueber geologische Aufnahmen zwischen Luganer und Comer See*	*CBl*	*1901*	*737*
— siehe Steinmann, G. etc.			
Bittner, A.: Ueber die stratigraphische Stellung des Lunzer Sandsteins in der Triasformation	1900	I	275
— Ueber zwei neue Fundstellen der Posidonomya alpina Gras in den niederösterreichischen Kalkalpen	1900	II	264
— Ueber zwei neue Brachiopoden aus dem Lias und der Gosaukreide von Salzburg	1900	II	316
— Versteinernngen aus den Triasablagerungen des Süd-Ussuri-Gebietes in der ostsibirischen Küstenprovinz	1900	II	434
— Neue Daten über die Verbreitung cretacischer Ablagerungen mit Orbitolina concava Lam. in den niederösterreichischen Kalkalpen, bei Alland und Sittendorf nächst Wien	01	I	443
— Ueber ein von Herrn Berghauptmann G. Grimmer in Serajevo untersuchtes Kohlenvorkommen nächst Trebinje	01	I	464
— Geologisches aus der Gegend von Weyer in Oberösterreich. Der angebliche Zug von Lunzer Schichten zwischen Seebach und Weyer	01	II	123
— Ueber die triadische Lamellibranchiaten-Gattung Mysidioptera und deren Beziehungen zu palaeozoischen Gattungen	01	II	153
— Brachiopoden aus der Trias des Bakonyer Waldes	01	II	155
— Zur Verbreitung der Brachiopoden aus der Familie der Koninckiniden in den Triasablagerungen Ungarns	01	II	156
— Lamellibranchiaten aus der Trias des Bakonyerwaldes	02	I	313
— Neue Fundorte von Hoplophragmium grande Reuss in der Gosau-Kreide der nordöstlichen Kalkalpen	02	I	451
— Ueber Petrefacte von norischem Alter aus der Gegend von Čevljanovič in Bosnien	02	I	467
— Lamellibranchiaten aus der Trias von Hudiklanec nächst Loitsch in Krain	02	I	484
— Ueber Pseudomonotis Telleri und verwandte Arten der unteren Trias	02	II	307
— Lamellibranchiaten der alpinen Trias. I. Revision der Lamellibranchiaten von St. Cassian	02	II	486
— Stylolithen aus unterem Muschelkalk von Weissenbach an der Enns	03	I	59
— Aus den Kalkvoralpen des Traisen-Thales, den Umgebungen von Lilienfeld und von St. Veit a. d. Gölsen	03	I	100
— Geologisches aus der Gegend von Altenmarkt an der Enns	03	I	100
— Trias Brachiopoda and Lamellibranchiata	03	I	169
— Brachiopoden und Lamellibranchiaten aus der Trias von Bosnien. Dalmatien und Venetien	04	I	114
Björlykke, K. O.: Geologisk kart med beskrifelse over Kristiania	1900	I	423
Blaas, J.: Katechismus der Petrographie (Gesteinskunde). Lehre von der Beschaffenheit, Lagerung und Bildungsweise der Gesteine	1900	I	47
— Ueber ein Eisenerzvorkommen im Stubai-Thale	03	I	86

	Jahrg.	Bd.	Seite
Blaas, J.: Notiz über das Mendelgebirge	*CBl*	*1903*	*451*
Blackman, V. H., siehe Murray, G. and V. H. Blackman.			
Blake, J. C.: Die Farben der allotropen Modificationen des Silbers	1904	I	329
Blake, J. F.: The lakkolites of Dutch and their relations to the other igneous masses of the district	1900	I	237
— On Aggregate Deposits, and their Relations to Zones	1900	II	406
— On a Remarkable Inlier among the Jurassic Rocks of Sutherland, and its Bearing on the Origin of the Breccia Beds	03	II	403
Blake, W. P.: Hübnerit in Arizona	1900	I	195
Blanckenhorn, M.: Studien in der Kreideformation im südlichen und westlichen Siebenbürgen	01	II	279
— Neues zur Geologie und Palaeontologie Egyptens. I.	02	I	99
— Zur Frage des Untergangs von Sodom und Gomorrha	02	I	374
— Neues zur Geologie und Palaeontologie Egyptens. III. Das Miocän	02	I	427
— Das Urbild der Ammonshörner . . . . . 1902 I 480	03	I	166
— Neues zur Geologie und Palaeontologie Egyptens. IV. Das Pliocän- und Quartärzeitalter in Egypten ausschliesslich des Rothen Meergebietes	02	II	106
— Geologie Egyptens, ein Führer durch die geologische Vergangenheit Egyptens von der Steinkohlenperiode bis zur Jetztzeit	02	II	109
— Die Geschichte des Nilstromes in der Tertiär- und Quartärperiode, sowie des palaeolithischen Menschen in Egypten	03	I	485
— Neue geologisch-stratigraphische Beobachtungen in Egypten	03	I	487
— Oberpliocän mit Mastodon arvernensis auf Blatt Ostheim vor der Rhön	03	I	512
— Die Mineralschätze Palästinas	04	II	425
— Ueber das Vorkommen von Phosphaten, Asphaltkalk, Asphalt und Petroleum in Palästina und Egypten	04	II	237, 425
— *Die Volo-Arten des egyptischen und syrischen Neogens*	*BB*	*XVII*	*163*
— *Das Neogen in Egypten und seine Pectinidenfauna*	*CBl*	*1900*	*209*
— *Nachträge zur Kenntniss des Palaeogens in Egypten*	*CBl*	*1901*	*265*
Blasdale, W. C.: Contributions to the mineralogy of California	03	I	402
Blasius, W.: Bericht über die fortgesetzten Ausgrabungen in den neuen Theilen der Baumannshöhle bei Rübeland am Harz während der Jahre 1898 und 1899	03	II	122
— Die Vogelfauna der Rübeländer Höhlen	04	I	136
— Der Riesen-Alk Alca impennis L. oder Plautus impennis L. in der ornithologischen Literatur der letzten 15 Jahre	04	I	137
Blatchford, T.: The Geology of the Coolgardie Goldfield	01	II	402
Bleicher, M.: Contribution à l'étude lithologique, microscopique et chimique des roches sédimentaires secondaires et tertiaires du Portugal	1900	I	235
— Sur les phénomènes du métamorphisme, de la production de minerai de fer, consécutifs à la dénudation du plateau de Haye (Meurthe et Moselle)	01	I	428
Bleier, O. und L. Kohn: Ueber die Dampfdichte des Schwefels	01	II	7
Blondlot, R.: Sur l'emmagasinement des rayons n par certains corps	04	II	334

	Jahrg.	Bd.	Seite
Blue, A.: Corundum in Ontario	1900	I	180
— Mineral industries of Ontario	1900	I	345
Blümcke, A. und H. Hess: Untersuchungen am Hintereisferner	01	I	390
Bobeck, O.: Klivometern	1900	I	35
Boca, Del: Die Goldlagerstätten des Boeni in Madagaskar	1900	I	242
Bodenbender, W.: Wismuthspath (cerhaltig) in Gangform	1900	II	16
— Comunicaciones Mineras y Mineralógicas, II. V.	02	I	40
— Glimmer aus Argentinien	02	II	402
— El oro, produccion en los últimos 50 años. — Reseña histórico-géologico-metallurgica guía general para el reconocimiento y beneficio de los criaderos de dicho metal. Conferencia leida en los salones de la biblioteca de la universidad de Cordoba el miercoles 23 de Octubre de 1901	03	I	371
— Comunicaciones mineras y mineralógicas	04	II	196
— Los minerales su descripción y análisis con especialidad de los esistentes en la Republica Argentina. Cordoba	CBl 1901		50
Bodmann, G.: Ueber die Isomorphie zwischen den Salzen des Wismuths und der seltenen Erden	02	II	176
Bodmer-Beder, A.: Beiträge zur Petrographie des östlichen Rhätikons	*1900*	*I*	*120*
— *Petrographische Untersuchungen von Steinwerkzeugen und ihrer Rohmaterialien aus schweizerischen Pfahlbaustätten*	*BB*	*XVI*	*166*
— *Durch Gebirgsdruck gebogene Quarzkrystalle*	*CBl 1900*		*81*
— *Der Malencoserpentin und seine Asbeste auf Alp Quadrato bei Poschiavo, Graubünden*	*CBl 1902*		*488*
Böckh, H.: Beiträge zur Frage über Pecten denudatus und Pleuronectia comitatus auf Grund neuerer ungarländischer Funde	03	I	168
Böckh, J.: Die geologischen Verhältnisse von Sósmező im Comitate Háromszék	03	II	245
Böckh, J. und A. Gesell: Die im Betrieb stehenden und im Aufschlusse begriffenen Lagerstätten von Edelmetallen, Erzen, Eisensteinen, Mineralkohlen, Steinsalz und anderen Mineralien auf dem Territorium der Länder der ungarischen Krone	1900	I	410
Boeggild, O. B.: On Ilvaite from Siorarsuit at Julianehaab, Greenland	03	I	383
— Om Skurestriber i Danmark og beslaegtede faenomener	01	I	135
Boeggild, O. B. und Chr. Winter: Ueber einige Mineralien aus dem Nephelinsyenit von Julianehaab in Grönland (Epistolit, Britholit, Schizolith und Steenstrupin), gesammelt von G. Flink	01	I	373
Boehm, G.: Ueber Caprinidenkalke aus Mexico 1900 I 123	1900	II	121
— Mitteilungen aus dem Aufnahmegebiete des Blattes Kandern	1900	I	428
— Beiträge zur Kenntnis mexicanischer Capriniden-Kalke	1900	II	121
— Geologische Beobachtungen am Lago di Santa Croce	1900	II	121
— Beitrag zur Gliederung der Kreide in den Venetianer Alpen	1900	II	121
— Zur Kenntnis der Gattung Joufia	1900	II	122
— Ueber einige Fossilien von Buchara	1900	II	287
— Reisenotizen aus Ostasien	01	I	455
— Aus den Molukken	02	II	425

	Jahrg.	Bd.	Seite
Boehm, G.: Weiteres aus den Molukken	1903	II	103
— *Eurydesma und Leiomyalina*	*CBl 1903*		*296*
Böhm, J.: Ueber cretaceische Gastropoden vom Libanon und vom Karmel 1901 I 488	02	I	312
— Ueber Ammonites Pedernalis L. v. Buch	02	I	140
— Ueber die Fauna der Pereiros-Schichten	02	I	468
— Fossilien von General Roca	04	I	432
— Ueber cretaceische und eocäne Versteinerungen aus Fergana	04	II	458
Böhmig, P. O.: Beiträge zur Kenntniss der Gesteine des Greifensteins	1900	II	388
Boeris, G.: Sopra la perowskite di S. Ambrogio in Valle di Susa	01	II	16
— Sopra la tridimite di S. Pietro Montagnon negli Euganei	01	II	176
— Nuove osservazioni sopra i minerali della Comba di Compare Robert	01	II	204
— Pirite di Valgioie	02	II	182
— Sulla diffusione della titanolivina nelle Alpi Piemontesi	03	I	27
— Sulla ottaedrite di Scipsius (S. Gottardo)	03	I	381
Böse, E.: Ueber Lias in Mexico	1900	II	120
— Geologia de los alrededores de Orizaba con un perfil de la vertiente oriental de la mesa central de Mexico	01	II	444
— Sobre la independencia de los volcanes de grietas preexistentes	02	I	208
— *Zur Abwehr*	*CBl 1901*		*657*
Böse, E. und M. Schlosser: Ueber die mittelliasische Brachiopodenfauna von Südtirol	01	I	166
Böttger, W.: Löslichkeitsstudien an schwer löslichen Salzen	CBl 1904		441
Bogatschew, V.: Traces du deuxième étage méditerrané près de Novotcherkask	02	II	120
— Observations géologiques dans le bassin de la rivière Manytsch	04	I	436
Bogdanowitsch, K.: Marekanit von Ochotsk	01	II	70
— Die Goldvorkommen am Ochotskischen Meere	02	II	241
— Ueber die Resultate einer Reise nach der Halbinsel Tschukotskoi und Alaska	02	II	366
Bogoslovsky, N. A.: Sur quelques phénomènes d'altération des dépôts superficiels dans la plaine russe	01	I	231
— Ueber das untere Neocom im Norden des Gouvernements Simbirsk und den Rjazan-Horizont	01	II	126
— Geologische Untersuchungen im nordwestlichen Theile des Gouvernements Pensa	02	I	258
— Geologische Beobachtungen auf der Eisenbahnstrecke Nischni-Nowgorod—Timirjasewo	03	II	248
Bogojawlensky, A.: Ueber die Krystallisationsgeschwindigkeit	1900	I	334
Boistel, H.: Quelques coupes du Miocène de la Bresse dans l'anse du Bas-Bugey	02	II	442
Bombicci, L.: Le interessanti anomalie (dissimmetrie e spostamenti) dei mirabili cristalli di solfo nativo della miniera di Cà Bernardi. — Confronto con le anomalie e contorsioni elicoidi del quarzo di Porretta. — La ipotesi del Prof. G. Tschermak sulle curvature delle lastre paraboloidi del quarzo. — Obbiezioni a questa ipotesi—spiegazione proposta per le suddette curvature	1900	II	174

	Jahrg.	Bd.	Seite
Bombicci, L.: Nuove considerazioni sulla probabilità che talune anomalie di forma nei cristalli dipendano da durevoli movimenti negli spazi naturalmente cristalligeni	1900	II	174
— Sulla Cubosilicite e sulla sua posizione tassonomica nella serie delle varietà di silice anidra e idrata	01	I	189
— Alcune obbiezioni circa i supposti cristalli liquidi ed i pretesi cristalli viventi	03	I	178
— Replica a due obbiezioni sulla cristallizzazione cubiforme della silice nella cubosilicite	03	I	187
— Sopra una nuova contorsione arcuata di speziali allineamenti nei cristalli di quarzo	03	I	187
— Di un sensibile aumento di volume negli aghetti di Rutilo (Sagenite) diffusi nei limpidi cristalli di Quarzo	03	I	188
— Sui probabili modi di formazione dei cristalli di granato	03	I	189
Bonnard, A., siehe Gennes, A. de et A. Bonnard.			
Bonarelli, G.: Le Ammoniti del „Rosso Ammonitico" descritte e figurate de Gius. Meneghini	01	I	468
— Alcune formazioni terziarie fossilifere dell' Umbria	02	I	120
— Ricerche analitiche sopra una roccia sedimentaria di Lombardia	02	I	407
— Miscellanea di note geologiche e paleontologiche per l'anno 1902. II. Prospetto cronologico del Giura italiano	04	II	431
Bonjeau: Analyses chimiques de quelques roches volcaniques provenants de l'étoilement periphériques du Mont-Dore	01	I	225
Bonnema, J. H.: Leperditia baltica His. sp., their identity with Leperditia Eichwaldii Fr. v. Schm. and their being found in Groningen diluvial erratics	01	II	151
— Cambrian erratic blocks at Hemelum in the SW. of Frisia	03	I	137
— Some new Under-Cambrium Blocks from the Dutch Diluvium	04	II	124
— Two new mid-cambrian erratic-blocks from the Dutch Diluvium	04	II	124
— A piece of Limestone of the Ceratopyge-zone from the Dutch Diluvium	04	II	127
Bonney, T. G.: The parent rock of the diamond in South Africa	1900	I	337
— Fulgurites from Tupungato and the Summit of Aconcagua	01	I	413
— The Parent-Rock of the Diamond. Reply to a Criticism	01	II	342
— On the Limburgite from near Sasbach	03	I	410
— Schists and Schistose Rocks in the Lepontine Alps: Reply to Criticisms by Prof. A. Heim	03	I	416
— Alpine Valleys in Relation to Glaciers	04	I	374
— The Basalt of the Moabite Stone	04	II	52
— On a Sodalite Syenite (Ditroite) from Ice River Valley, Canadian Rocky Mountains	04	II	60
— On some Rock specimens collected by E. Whymper, Esq., F. R. S. E., in the Canadian Rocky Mountains	04	II	62
— On the Relation of Certain Breccias to the Physical Geography of their Age	04	II	203
— The Magnetite-Mines near Cogue	04	II	413
Bonney, T. G. and Edwin Hill: Relations of the Chalk and Drift in Möen and Rügen	02	I	460
— Additional Notes on the Drifts of the Baltic Coast of Germany	02	I	460

	Jahrg.	Bd.	Seite
Bonney, T. G. and J. Parkinson: On Primary and Secondary Devitrification in Glassy Igneous Rocks . . .	1904	II	47
Bonney, T. G. and C. A. Raisin: On Varieties of Serpentine and Associated Rocks in Anglesey	01	I	75
*Borchert, A.: Das Alter der Paraná-Stufe	*CBl 1901*		*111*
Borckert, P.: Das Diluvium der Provinz Sachsen in Bezug auf Bodenbau, Pflanzen-, Thierverbreitung und Bodennutzung	03	II	268
Bordas, F., siehe Girard, C. et F. Bordas.			
Bordeaux, M. A.: Le Murchison Range et ses champs aurifères	01	I	84
Borgström, L. H.: Mineralogische Notizen (Baryt, Quarz, Manganit, Dolomit, Flussspath, Uwarowit, Hackmanit)	02	II	361
— siehe Ramsay, W. und L. H. Borgström.			
Borissiak, A.: Geologische Untersuchungen in den Bezirken von Isium und Pawlograd	02	II	105
— Die letzten Untersuchungen von V. A. Nalivkin im District von Isium. Vorläufiger Bericht	03	II	244
— *Ueber die Tektonik des Donez-Höhenzuges in seinen nordwestlichen Ausläufern	*CBl 1903*		*644*
Bornträger, H.: Zur Analyse des Torfes	02	I	248
— siehe Tacke, Br.			
Borodowsky, W.: Ueber die Abhängigkeit der Kristallisationsgeschwindigkeit von der Temperatur bei Stoffen, die eine geringe Krystallisationsgeschwindigkeit haben	04	II	344
Bortolotti, A.: Contribuzione alla conoscenza dei fossili del Miocene medio nel Bolognese	01	I	127
Bosco, C.: Hystrix etrusca n. sp.	02	II	463
— I roditori pliocenici del Val d'Arno superiore	02	II	463
Bosshard, E.: Chemische Analyse der Trinkquelle Chasellas bei der Unter-Alpina in Campfèr (Oberengadin) . .	02	II	415
Botto-Micca, L.: Contribuzione allo studio degli echinidi terziarii del Piemonte (famiglia Spatangidi)	1900	I	143
Boule, M.: Note sur de nouveaux fossiles secondaires de Madagascar	1900	II	454
— Séance de la société géologique de France du 5 juin 1899	01	II	264
— Observations sur quelques equidés fossiles	02	II	459
— Revision des espèces européennes de Machairodus . . .	03	I	345
— La caverne à ossements de Montmaurin, Haute-Garonne	04	II	291
— Le Pachyaena de Vaurigard	04	II	307
Boulenger, G. A.: A contribution to the history of the carboniferous ganoid Benedenius deneensis Traquair, with notes on two newly discovered specimens . . .	01	II	148
— Remains from the Trias of Elgin	04	I	138
Boury, E. de: Révision des Pleurotomes éocènes du bassin de Paris	1900	II	479
Bow, J. A.: Lower Seine Gold Mines	01	I	180
Bowman, H. L.: Beiträge zur Kenntniss des Monazit . .	02	I	185
— Communications from the Oxford Mineralogical Laboratory	02	I	188
— On an occurrence of minerals at Haddam Neck, Connecticut, U. S. A.	03	II	186
Boyd, Dawkins W., siehe Dawkins, W. Boyd.			
*Bräuhäuser, M.: Die Diluvialbildungen der Kirchheimer Gegend (Württemberg)	*BB XIX*		*85*
Branco, W.: Die menschenähnlichen Zähne aus dem Bohnerz der Schwäbischen Alb	1900	I	457

	Jahrg.	Bd.	Seite
Branco, W.: Art und Ursachen der Reduction des Gebisses der Säuger	1900	II	132
— Das Salzlager bei Kochendorf am Kocher und die Frage seiner Bedrohung durch Wasser. Mit einer Antwort an die Herren Endriss, Lueger und Miller	01	I	435
— Wirkungen und Ursachen der Erdbeben	04	II	43
— Zur Spaltenfrage der Vulcane	04	II	200
— Das vulcanische Ries bei Nördlingen in seiner Bedeutung für Fragen der allgemeinen Geologie	04	I	408
Branco, W. und E. Fraas: Beweis für die Richtigkeit unserer Erklärung des vulcanischen Ries bei Nördlingen	04	I	415
Brandes, G.: Ueber eine Ursache des Aussterbens einiger diluvialen Säugethiere	03	I	554
Brandes, G.: Vorläufige Mittheilung über ein Profil in Kohlen- und Gypskeuper bei Thale am Harz	*CBl*	*1901*	*1*
— Weitere Mittheilung über den Keuper in der Gegend von Thale am Harz	*CBl*	*1904*	*373*
Branner, J. C.: On the origin of novaculites and related rocks	1900	I	408
— The Oil-Bearing Shales of the Coast of Brazil	01	II	267
— Results of the Branner-Agassiz Expedition to Brazil. IV. Two characteristic geological Sections on North-east Coast of Brazil	02	I	435
— Ants as Geological Agents in the Tropics	02	II	216
— Occurrence of fossil Remains of Mammals in the interior States of Pernambuco and Alagôas, Brazil	04	II	148
Branner, J. C. and J. F. Newsom: The Phosphate Rocks of Arkansas	04	I	401
Braun, C.: Die Gravitationsconstante, die Masse und mittlere Dichte der Erde nach einer neuen experimentellen Bestimmung	1900	I	39
Brauns, R.: Ueber die Krystallisation des Schwefels aus Schmelzfluss	1900	I	3
— Ein Projectionsapparat für den mineralogischen Unterricht	*03*	*II*	*1*
— Das Mineralreich	04	I 1.	321
— Beobachtungen über die Krystallisation des Schwefels aus seinem Schmelzfluss	*BB*	*XIII*	*39*
— Der oberdevonische Pikrit und die aus ihm hervorgegangenen Neubildungen	*BB*	*XVIII*	*285*
— Ueber das Verhältnis von Conchit zu Aragonit	*CBl*	*1901*	*134*
— Ungewöhnlich lange Beständigkeit einiger Schwefelmodifikationen	*CBl*	*1902*	*7*
— Asche des Vulkans Sta. Maria in Guatemala	*CBl*	*1903*	*132*
— Ueber die Asche des Vulkans Sta. Maria in Guatemala	*CBl*	*1903*	*290*
Breddin, G.: Wanzen aus den untermiocänen Braunkohlen von Salzhausen	04	I	311
Bréon, R.: Sur les tufs à quartz cristallisé des environs de la Bourboule	1900	I	221
Bresson: Sur quelques affleurements fossilifères de l'horizon de Rognac	01	I	126
— Sur quelques affleurements fossilifères de l'horizon de Rognac aux environs de Monthoumet (Hautes-Corbières)	01	II	277
— Sur la présence de fossiles du niveau de Rognac aux environs de Vignevieille sur la feuille de Quillan	01	II	277

	Jahrg.	Bd.	Seite
Bresson: Observations à propos de l'existence de couches marines nummulitiques audessus du Calcaire de Ventenac, sur la bordure méridionale de la Montagne noire	1901	II	446
— Le trias dans le synclinal d'Albières et d'Arques (Corbières)	03	I	122
Breusing, Ed.: Untersuchungen über Breithaupt's Manganocalcit (Agnolith Breusing)	*BB*	*XIII*	*265*
Brezina, A.: Das Eisen. Culturhistorische Skizzen	1900	I	175
— Die Kohle. Culturhistorische Skizze	1900	I	196
— Neue Beobachtungen an Meteoriten	1900	I	352
Brezina, A. und E. Cohen: Ueber ein Meteoreisen von Mukerop, Bezirk Gibeon, Grossnamaland	03	I	212
Briart, A.: Les couches du Placard (Mariemont)	01	II	442
Brittlebank, C. C., G. Sweet and T. W. E. David: Further Evidence as to the Glacial Action in the Bacchus Marsh District, Victoria	1900	II	111
Brodhun, E. und O. Schönrock: Apparate zur Untersuchung von senkrecht zur Axe geschliffenen Quarzplatten auf ihre Güte	04	I	164
Broeck, E. van den: A propos du Rupélien de la région Léau—Rummen et de l'existence probable d'un synclinal primaire dans ces parages	02	II	440
— Les coupes du gisement de Bernissart. — Caractères et dispositions sédimentaires de l'argile ossifère du Cran aux Iguanodons	03	I	305
— Le Diestien et les Sables de Lenham, le Miocène démantelé	03	I	309
— Le dossier hydrologique du régime aquifère en terrains calcaires et le rôle de la géologie dans les recherches et études des traveaux d'eaux alimentaires	03	II	272
Brögger, W. C.: Konglomerater i Kristiania feltet. I. Om porfyrkonglomeratet på oeräkken Revlingen-Söstrene, en ny sedimentärformation fra Kristianiafeltet	01	I	406
— Om de senglaciale og postglaciale Nivåforandinger i Kristianiafeltet (Molluskfaunan)	02	II	447
Broili, F.: Ein Beitrag zur Kenntniss von Eryops megacephalus Cope	1900	II	144
— Ueber die Fauna der Orbitolinen führenden Schichten der untersten Kreide in der Krim	03	I	323
— Die Fauna der Pachycardientuffe der Seiser Alp (mit Ausschluss der Gastropoden und Cephalopoden)	04	I	118
— *Ueber Diacranodus texensis Cope (= Didymodus? compressus Cope)*	*BB*	*XIX*	*467*
— *Zur Fauna der Pachycardientuffe der Seiser Alp*	*CBl*	*1900*	*369*
— *Ein Beitrag zur Kenntniss von Diplocaulus Cope*	*CBl*	*1902*	*536*
Brooks, A. H.: A new occurrence of cassiterite in Alaska	02	II	189
— Ein Vorkommen von Stromzinn in der New York-Region, Alaska	CBl	1902	245
— siehe Schrader, F. C. and A. H. Brooks.			
— siehe Wolff, J. E. and A. H. Brooks.			
Brooks, A. H. (mit G. B. Richardson und A. J. Collier): A Reconnaissance of the Cape Nome and adjacent Gold Fields of Seward Peninsula, Alaska, in 1900	04	II	71
Brooks, A. H., G. B. Richardson, A. J. Collier and W. C. Mendenhall: Reconnaissances in the Cape Nome and Norton Bay Regions, Alaska, in 1900	04	II	71

	Jahrg.	Bd.	Seite
Broom, R.: On the lower jaw of a small Mammal from the Karoo beds of Ariwal North, South Africa . . .	1903	II	421
— On the leg and toe bones of Ptychosiagum	03	II	439
— On the Mammalian and Reptilian Vomerine Bones . .	03	II	439
— On the structure of the palate in the primitive Theriodonts	03	II	441
— On two new species of Dicynodonts	03	II	439
— Remarks on certain differences in the skulls of Dicynodonts, appearently due to sex	03	II	439
Brown, B.: Ueber das Genus Hybodus und seine systematische Stellung	04	I	304
— A new species of fossil Edentate from the Santa Cruz Formation of Patagonia	04	II	306
Brücher, M.: Der Schichtenaufbau des Müsener Bergbaudistrictes	03	I	467
Brückner, E.: Die feste Erdrinde und ihre Formen. Ein Abriss der Geologie und der Morphologie der Erdoberfläche	1900	I	36
— siehe Penck, A. und E. Brückner.			
Brugnatelli, L.: Ueber ein wahrscheinlich neues Mineral aus den Asbestgruben im Val Brutta (Veltlin) . . .	1900	II	17
— Ueber ein alpines Vorkommen von Chrysoberyll . . .	1900	II	363
— Ottaëdrite e Brookite della Piatta grande, presso Sondalo in Valtellina	01	I	190
— Berillo ed altri minerali delle pegmatiti di Sondalo in Valtellina	02	I	358
— Sopra un giacimento di titanolivina in Val Malenco .	03	I	27
— Beryll und andere Mineralien der Pegmatite von Sondalo im Veltlin	03	II	32
— Ueber einen Fundort von Titanolivin im Val Malenco (Veltlin)	03	II	331
— Idromagnesite ed Artinite di Emarese (Valle d'Aosta)	04	I	168
— *Ueber Artinit, ein neues Mineral der Asbestgruben von Val Lanterna (Veltlin)*	*CBl*	*1903*	*144*
— *Ueber Hydromagnesit und Artinit von Emarese im Aostathal*	*CBl*	*1903*	*663*
Bruhns, W.: Verzeichniss der Meteoriten des Mineralogischen und Petrographischen Instituts der Universität Strassburg	04	I	190
— Elemente der Krystallographie	CBl	1902	661
— Petrographie (Gesteinskunde)	CBl	1904	54
Bruhns, W. und H. Bücking: Beitrag zur Kenntnis der Laterite	*CBl*	*1904*	*467*
Brun, A.: Etude sur le point de fusion des minéraux . .	03	I	4
— Excursion géologique au Stromboli	03	II	345
Bruner, L. und St. Tolloczko: Ueber die Auflösungsgeschwindigkeit fester Körper	02	I	161
Brunhes, B. et P. David: Sur la direction d'aimantation dans les couches d'argile transformée en brique par des coulées de lave	02	II	370
Brunhes, J.: Sur le rôle de tourbillons dans l'érosion éolienne	03	II	353
— Sur un principe de classification rationelle des gorges creusées par les cours d'eau	03	II	353
Brunhuber: Geologische Neuigkeiten: 1. Tertiär im Untergrund der bayerischen Zuckerfabrik. 2. Hellkofener Kreidemergel	01	I	446
Bruni, G. e M. Padoa: Sulla formazione dei cristalli misti per sublimazione	03	II	5

	Jahrg.	Bd.	Seite
Buchholz, Y.: Der Wassergehalt des Kupferuranits	*CBl*	*1903*	*362*
Buckley, E. R.: On the building and ornamental stones of Wisconsin	CBl	1901	145
Buckman, S. S.: A monograph on the inferior oolite ammonites of the British Islands. Part X. Suppl. I. Revision of, and addition to the Hildoceratidae	1900	I	314
— A monograph on the inferior oolite ammonites of the British Islands. Part XI. Suppl. II	01	II	316
— River Development	04	II	45
Bue, G. Del: Contributo alla conoscenza dei Terreni miocenici di Castelnuovo nei Monti	02	II	274
Bücking, H.: Leucitbasalt aus der Gegend von Pangkadjene in Südcelebes	01	I	421
— Cordierit von Nordcelebes und aus den sogen. verglasten Sandsteinen Mitteldeutschlands	01	II	72
— Grosse Carnallitkrystalle von Beienrode	02	II	13
— Sulfoborit von der Asee	03	II	19
— Ueber die vulcanischen Durchbrüche in der Rhön und am Rande des Vogelsberges	04	II	41
— Ueber Porphyroidschiefer und verwandte Gesteine des Hinter-Taunus	04	II	382
— siehe Benecke, E. W. und H. Bücking.			
— siehe Bruhns, W. und H. Bücking.			
Bütschli, O.: Ueber die Löslichkeit des Schwefels in Wasser und Glycerin	1900	I	336
— Untersuchungen über die Mikrostructur künstlicher und natürlicher Kieselsäuregallerten (Tabaschir. Hydrophan, Opal)	01	II	175
— Untersuchungen über Mikrostructuren des erstarrten Schwefels nebst Bemerkungen über Sublimation, Ueberschmelzung und Uebersättigung des Schwefels und einiger anderer Körper	CBl	1900	293
Bukowski, G. v.: Neue Ergebnisse der geologischen Durchforschung von Süddalmatien	01	I	100
— Beitrag zur Geologie der Landschaften Korjeniči und Klobuk in der Hercegovina	02	I	439
Bukowský, A.: Kuttenberger Manganmineralien	03	II	338
— Neue Kuttenberger Mineralien	03	II	338
Bulić, Fr.: Tre sarcofaghi romani nel villagio da Vranjic (Urania?) sotto il livello del mare	01	II	51
Bullen, siehe Ashington R. Bullen.			
Bumüller, J.: Das menschliche Femur nebst Beiträgen zur Kenntniss der Affenfemora	01	II	141
Bunge, A. v.: Einige Worte zur Bodeneisfrage	03	II	348
Burckhardt, C.: Rapport préliminaire sur une expédition géologique dans la région andine située entre Las Lajas (Argentine) et Curacantin (Chili) (38°—39° L. G.)	1900	I	432
— Traces géologiques d'un ancien Continent pacifique	02	II	429
— Sur les fossiles marins du Lias de la Piedra Pintada	04	I	430
— Le gisement supracrétacique de Roca (Rio Negro)	04	I	432
— Beitrag zur Kenntniss der Jura- und Kreideformation der Cordillere	04	II	87
— Profils géologiques transversaux de la Cordillère Argentino-Chilienne. Stratigraphie et Tectonique. Ie partie du Rapport définitif sur une expédition géologique	CBl	1901	207

	Jahrg.	Bd.	Seite
Burckhardt, C.: Coupe géologique de la Cordillère entre Las Lajas et Curacantin	CBl	1903	55
— siehe Roth, Santiago.			
— siehe Wehrli, Leo et Carl Burckhardt.			
Burckhardt, Rud.: Die Invertebraten der Elginsandsteine	*CBl*	*1901*	*261*
— Hyperodapedon Gordoni	1901	II	475
— Note on certain Impressions of Echinoderms observed on the Sandstone Shales in which the Skeletons of Hyperodapedon Gordoni and Rhynchosaurus are preserved	02	I	318
— Das Gehirn zweier subfossilen Riesenlemuren aus Madagascar	03	II	288
Burhenne, H.: Beitrag zur Kenntniss der Fauna der Tentaculitenschiefer im Lahngebiet, mit besonderer Berücksichtigung der Schiefer von Leun unweit Braunfels	1900	II	280
Buschman, J. O. Freih. v.: Das Salz, dessen Production, Vertrieb und Verwendung in Oesterreich mit besonderer Berücksichtigung der Zeit von 1848—1898	1900	I	176
Busz, K.: Mittheilungen über Manganosphärit, Schwefel, Brookit, Augit und Pyrit	*01*	*II*	*129*
— On a Granophyre Dyke Instrusive in the Gabbro of Ardnamurchan, Scotland	02	II	68
— *Heptorit, ein Hauyn-Monchiquit aus dem Siebengebirge am Rhein*	*04*	*II*	*86*
— *Mittheilungen über den Granit des Dartmoor Forest in Devonshire, England, und einige seiner Contactgesteine*	*BB*	*XIII*	*90*
— *Ueber die Umwandlung von Spatheisenstein in Magneteisen durch Contact an Basalt*	*CBl*	*1901*	*489*
— *Datolith in Thaumasit von West-Paterson, New Jersey*	*CBl*	*1901*	*547*
Buttgenbach, H.: Cristaux de pyrite accompagnant la Zunyite	01	I	183
— Mispickel de Kassandra (Turquie)	01	I	183
— La chalcopyrite de Visé	01	I	185
— Cuprite, malachite et azurite d'Engihoul	01	I	186
— Forme nouvelle de la calcite	01	I	191
— La céruse de Villers-en-Fagne	01	I	192
— Cristaux de céruse de Moresnet	01	I	192
— Note sur une forme nouvelle de la calamine	01	I	194
— Formes nouvelles de l'idocrase	01	I	196
— Forme nouvelle de la barytine	01	I	203
— Gypse dans la Richellite	01	I	203
— Ueber ein trigonales Trapezoëder von Nil-Saint-Vincent	02	I	168
— Sur une forme nouvelle de la calamine (rectification)	02	II	27
— Forme e_5 sur des cristaux de calcite d'Engis	03	II	174
— Céruse de Sta. Rosalia (Pérou)	03	II	175
— Lamelles d'aragonite dans la houille des environs de Liège	03	II	175
— siehe Cesàro, G. und H. Buttgenbach.			
Butureanu, V. C.: Consideratiuni asupra clasificatiei si constitutiei silicati lor	1900	I	184
— Asupra constitutiei si clasificatiei sulfoarsenitilor-sulfoantimonitilor si sulfobismutitilor	1900	I	340
— Études pétrographiques et chimiques sur les roches éruptives du district de Suceava. II. Partie	01	I	68
Buxtorf, A.: Ueber vor- und altmiocäne Verwerfungen im Basler Tafeljura	01	II	107

	Jahrg.	Bd.	Seite
Buxtorf, A.: Geologie der Umgebung von Gelterkinden im Basler Tafeljura	1903	I	106
— Beiträge zur Kenntniss der Sedimente im Basler Tafeljura	03	I	106

C.

Cacciamali, C. B.: Bradisismi e terremoti della regione Benacense	03	II	48
Calderon, S.: Existencia del Infraliásico en España y Geologia fisiográfica de la meseta de Molina de Aragón	1900	II	114
— siehe Tenne, A. und S. Calderon.			
Calker, F. J. P. van: Ueber eine Sammlung von Geschieben von Kloosterholt (Prov. Groningen)	01	I	132
— De Ontwikkeling onzer Kennis van den Groninger Hondsrug gedurende de laatste Eeuw	02	II	127
— *Beitrag zur Kenntniss der Verbreitung der erratischen Vorkommnisse von Schonenschen Basalttypen in Niederland*	*CBl*	*1904*	*694*
Callaway, Ch.: On the metamorphism of a series of grits and shales Northern Anglesey	1900	I	233
— A Descriptive Outline of the Plutonic Complex of Central Anglesey	04	I	219
— The Zigzag Course of the Cheddar Gorge	04	II	45
— On a Cause of River Curves	04	II	46
Campbell, H. D. and J. L. Howe: A new (?) meteoric Iron from Augusta Co., Virginia	04	I	194
Campbell, M. R.: Reconnaissance of the Borax Deposits of Death Valley and Mohave Desert	1904	II	17. 82
Canaval, R.: Die Blei- und Zinkerzlagerstätte des Bergbaues Radnig bei Hermagor in Kärnten	1900	II	75
— Zur Kenntniss der Erzvorkommen des Lamnitz- und Wellathales in Kärnten	1900	II	76
— Zur Kenntniss der Erzvorkommen in der Umgebung von Irschen und Zwickenberg bei Oberdrauburg in Kärnten	01	I	248
— Zur Kenntniss der Goldvorkommen von Lengholz und Siflitz in Kärnten	02	II	34
— Bemerkungen über das Kiesvorkommen von Lading in Kärnten	02	II	34
— Die Blende- und Bleiglanz-führenden Gänge bei Mettnitz und Zweinitz in Kärnten	02	II	34
— Das Erzvorkommen am Kulmberg bei St. Veit an der Glan	04	I	177
— Das Erzvorkommen von Wandelitzen bei Völkermarkt in Kärnten	04	I	178
— Bemerkungen über das Eisenglanzvorkommen von Waldenstein in Kärnten	04	I	179
Canavari, M.: Hopliti titoniani dell' Appennino centrale	1900	II	150
Cancani, A.: Nuovo sismometrografo a registrazione velocecontinua	01	I	212
— Sopra alcune obbiezioni sollevate contro il sismometografo a registrazione veloce-continua	01	I	212
— Periodicità dei terremoti adriatico-marchigiani e loro velocità di propagazione a piccole distanze	01	I	212
— Sopra i resultati che si ottengono dai moderni sismografi	02	II	209
Canu, F.: Bryozoaires du cénomanien des Janières (Sarthe)	1900	II	159
— Bryozoaires du cénomanien de St.-Calais (Sarthe)	1900	II	159

	Jahrg.	Bd.	Seite
Canu, F.: Étude sur les ovicelles des Bryozoaires du Bathonien d'Occaignes (Orne)	1900	II	317
— Les ovicelles des Céidées	01	II	157
— Revision des Bryozoaires du Crétacé figurés par d'Orbigny. II. Part. Cheilostomata	02	I	488
— Bryozoaires fossiles	03	I	536
— Note préliminaire sur les Bryozoaires de Tours	03	II	300
Capeder, G.: Sui fenomeni di erosione nei dintorni di Bra e di Castellamonte (Piemonte)	01	I	393
— Sulla struttura dell' anfiteatro morenico di Rivoli in rapporto alle diverse fasi glaciali	04	II	457
— siehe Viglino, A. e G. Capeder.			
Cappelle, H. van: Nieuwe Waarnemingen op het nederlandsche Diluviaalgebied	01	II	453
— Nieuwe Waarnemingen op het nederlandsche Diluviaalgebied. II.	02	I	289
Capellini, G.: Di un uovo di Aepyornis nel Museo di Storia Naturale di Lione, e di altre uova e ossa fossili dello stesso uccello raccolte a Madagascar nell' ultimo decennio del secolo XIX	01	I	303
— La rovina della piana del soldato presso Grotta Arpaia a Porto Venere nel 1895	02	II	51
Caralp, J.: Sur une diorite andésitique traversant le carbonifère de l'Ariège	02	I	70
Carapezza, E. et L. Schopen: Sopra alcune nuove Rhynchonellina della Sicilia	01	II	157
Card, G. W.: Notes on the country rock of the Kalgoorlie Goldfield, Western Australia, with a bibliography	1900	I	243
Carlo, R.: Brochantite di Rosas (Sulcis)	1900	II	357
Carnot, A.: Analyses des eaux minérales françaises	02	II	74
— Sur les tellurures d'or et d'argent de la région de Kalgoorlie (Australie occidentale)	03	I	20
Carraroli, A.: Avanzi di pesci fossili pliocenici del Parmense e del Piacentino	1900	I	466
Carrière, G., siehe Depéret, Ch. et G. Carrière.			
Carter, J.: A Contribution to the Palaeontology of the Decapod Crustacea of England	1900	II	307
Carter, W. E. H.: The mines of Ontario	03	II	341
— Mines of Eastern Ontario	04	II	363
Case, E. C.: Palaeontological Notes	04	I	140
Cassetti, M.: Rilevamento geologico nell' Abruzzo Aquilano e in Terra di Lavoro, eseguito nel 1897	1900	I	253
— Osservazioni geologiche su alcuni Monti tra le valli del Volturno e del Liri, eseguite nel 1898	01	I	99
— Nuove osservazioni geologiche sui monti di Gaeta	02	I	99
— Dalla valle del Liri a quelle del Giovenco e del Sagittario. Rilevamento geologico eseguito nell' anno 1900	02	I	426
— Dal Fucino alla valle del Liri. Rilevamento geologico fatto nel 1901	03	I	481
— Appunti geologici sui monti di Tagliacozzo e di Scurcola nella Marsica	04	II	246
Cathrein, A.: Dioritische Gang- und Stockgesteine aus dem Pusterthal	1900	I	381
— Bestätigung und Begründung der Kritik über Salomon's Darstellungen	02	I	64
— Die Symmetrie im Reiche der Krystalle	CBl	1902	114

	Jahrg.	Bd.	Seite
Cayeux, L.: Existence du Crétacé inférieur en Argolide (Grèce)	1903	II	405
— Existence du Jurassique supérieur et de l'Infracrétacé dans l'île de Crète	03	II	405
— Sur la composition et l'âge des terrains métamorphiques de la Crète	04	I	65
Cermenati, M.: Considerazioni e notizie relative alla storia delle scienze geologiche ed a due precursori bresciani	02	II	368
Cerulli-Irelli, S. e G. de Angelis d'Ossat: I molluschi fossili pliocenici di Palombara-Marcellina	1900	II	131
Cesàro, G.: Trapézoèdre $a\frac{1}{2}$ dans la galène	01	I	183
— Risoluzione grafica dei cristalli	01	II	334
— Su d'una dimostrazione della legge di Miller	01	II	334
— Pyrite du Bois des Dames	01	II	343
— Pyrite de Muso (Nouvelle Grenade)	01	II	344
— I mezzi omogenei del Sig. Viola	03	I	178
Cesàro, G. et H. Buttgenbach: Sur un sulfate basique de cuivre qui semble constituer une nouvelle espèce minérale	01	I	204
Cesàro, G. et P. Destinez: Grenat en roche à Salm-Château	01	I	195
Ceipek, L., siehe Erben, Fr. und L. Ceipek.			
Chalmas, siehe Munier-Chalmas.			
Chantre, E. et C. Gaillard: Sur la faune du gisement sidérolithique éocène de Lissien, Rhône	01	I	147
Chapman, F.: The Bargate beds of Surrey and their microscopical contents	1900	I	483
— On a Patellina-limestone and another Foraminiferal Limestone from Egypt	01	II	164
— Foraminiferal Limestones from Sinai	01	II	165
— On the Constituents of the Sands and Loams of the Plateau Gravel occurring in the Pit Sections near Ash, Sevenoaks	02	II	67
— On an Alveolina Limestone and Nummulitic Limestones from Egypt	03	I	484
— On some new and interesting Foraminifera from the Funafuti Atoll, Ellice Islands	04	II	160
— siehe Jones, T. R. and F. Chapman.			
Chappuis, P.: Ueber einige Eigenschaften des geschmolzenen Quarzes	04	I	17
Charitschkow, K.: Analyse des im Caspischen Meere unweit der Bucht von Baku sich entwickelnden brennbaren Gases	04	I	230
Charpentier, H.: Géologie et Minéralogie appliquées. Les minéraux utiles et leurs gisements	01	II	399
Chartron, C. et Cossmann: Note sur l'Infralias de la Vendée et spécialement sur un gisement situé dans la Commune du Simon-la-Vineuse	04	II	114
Chatelet, C.: Sur la présence de blocs de molasse dans les sables pliocènes de Jonquerettes (Vaucluse)	03	I	128
— Sur l'Aquitanien d'Aramon (Gard)	03	I	129
Chatelier, H. Le, siehe Le Chatelier, H.			
Chaumet: L'action de la lumière sur les pierres précieuses	03	I	360
Checchia-Rispoli, G.: Nuove osservazioni sulla fauna triasica della Punta delle Pietre Nere presso il Lago di Lesina (Capitanata)	01	II	154
— Gli echinidi eocenici del Monte Gargano	04	I	465

	Jahrg.	Bd.	Seite
Checchia-Rispoli, G.: Nuova contribuzione alla Echinofauna eocenica del Monte Gargano	1904	I	465
Chelius, C.: Molybdänglanz im Gabbro von Vierstöck	02	I	336
— Geologische Karte des Grossherzogtums Hessen. Blatt Lindenfels	03	II	90
— *Melaphyrgänge im Melaphyr von Darmstadt*	*CBl*	*1902*	*513*
Chester, A. H.: On Krennerite, from Cripple Creek, Colorado	1900	I	7
— Ueber Krennerit vom Cripple Creek, Colorado	01	I	183
— Mineralogical notes and explorations	02	I	360
Chiaraviglia, D., siehe Hoff, J. H. van't und Mitarbeiter.			
Chlopin, W. G.: Die organischen Basen des russischen Erdöls	02	I	423
Choffat, P.: Sur les dolomites des terrains mésozoiques du Portugal	1900	I	234
— Les eaux d'alimentation de Lisbonne. Rapport entre leur origine géologique et leur composition chimique	1900	I	235
— Les ammonées du Bellasien, des couches à Neolobites Vibrayeanus, du Turonien et du Sénonien. Recueil d'études paléontologiques sur la faune crétacique du Portugal. I. Espèces nouvelles ou peu connues. Sér. 2	1900	II	476
— Echantillons de roches recueillies entre Benguella et Catoco (Provincia d'Angola)	01	I	103
— Les eaux souterraines et les sources	01	I	395
— Sur le crétacique supérieur à Moçambique	01	II	281
— Bibliographie récente du groupe de „Ostrea Joannae"	02	I	147
— Notice préliminaire sur la limite entre le Jurassique et le Crétacique en Portugal	02	I	273
— Subdivisions du Sénonien (s. l.) du Portugal	02	I	279
— Faciès ammonitique et faciès récifal du Turonien portugais	02	I	452
— Gesteinsproben aus dem District Mossamedes (portugiesisch Westafrika)	02	II	233
— Recueil d'études paléontologiques sur la faune crétacique du Portugal. Vol. I. Espèces nouvelles ou peu connues. 3ième Série: Mollusques du Sénonien à facies fluvio-marin. 4ième Série: Espèces diverses	02	II	437
— Sur l'âge de la teschenite	03	I	419
— Le Crétacique de Conducia	03	II	274
— Découverte du Terebratula Renieri Cat. en Portugal	04	I	429
— L'Infralias et le Sinémurien du Portugal	04	II	112
Chree, Ch.: Denudation and deposition	01	II	46
Christomanos, A. C.: Die Magnesite Griechenlands	04	I	346
Cirkel, F.: Vorkommen und Gewinnung von Asbest in Canada	04	II	237
Clark, W. B. and A. Bibbins: Geology of the Potomac group in the Middle Atlantic slope	04	I	98
Clarke, F. W.: The Constitution of Tourmaline	1900	II	198
— A Pseudo-Serpentine from Stevens County, Washington 1904 I 345	04	II	64
— Mineral Analyses from the Laboratories of the U. S. Geological Survey, 1880 to 1903	04	II	346
— siehe Hillebrand, W. F.			
Clarke, F. W. and N. H. Darton: On a Hydromica from New Jersey	1900	II	198
Clarke, F. W. and G. Steiger: Experiments relative to the Constitution of Pectolite, Pyrophyllite, Calamine and Analcite	01	I	25

	Jahrg.	Bd.	Seite
Clarke, F. W. and G. Steiger: The Action of Ammonium Chloride upon Analcite and Leucite	1901	I	27
— — The action of Ammonium Chloride upon Natrolite, Scolecite, Prehnite and Pectolite	01	II	339
— — The action of Ammonium Chloride upon certain Silicates	03	I	393
— — The Action of Ammonium Chloride upon Silicates	04	II	3
Clarke, J. M.: The Naples fauna (fauna with Manticoceras intumescens) in Western New York	1900	I	128
— The palaeozoic faunas of Pará, Brazil. I. The silurian fauna of the Rio Trombetas. II. The devonian mollusca of the state of Pará	01	I	297
— The Oriskany fauna of Becraft mountain	01	II	457
— Limestones of central and western New York interbedded with bituminous shales of the Marcellus stage with notes on the nature and origin of their faunas	03	I	117
— Preliminary statement of the paleontologic results of the areal survey of the Olean quadrangle	03	I	118
— The indigene and allied faunas of the New York devonic	03	I	119
— Value of Amnigenia as an indicator of freshwater deposits during the devonic of New York, Ireland and the Rhineland	03	I	120
— New Agelacrinites	03	I	172
— A new genus of palaeozoic brachiopods, Eunoa, with some considerations therefrom on the organic bodies known as Discinocaris, Spathiocaris and Cardiocaris	03	I	172
— Notes on palaeozoic crustaceans	03	I	335
— Parapsonema cryptophya, a peculiar echinoderm from the Intumescens-Zone of western New York	03	I	482
— The water biscuit of Squaw Island, Canandaigua Lake, N. Y.	03	I	482
— A remarkable occurrence of Orthoceras in the Oneonta beds of the Chenango valley	03	I	482
— Dictyonine hexactinellid sponges from the upper devonic of New York	03	I	482
— Percé, a brief sketch of its geology	04	II	428
Clarke, J. M. and R. Rüdemann: Catalogue of type specimens of palaeozoic fossils in New York State Museum	03	II	273
— — Guelph Fauna in the state of New York	04	I	112
Clarke, J. M., R. Rüdemann and D. D. Luther: Contact lines of upper siluric formations on the Brockport and Medina quadrangles	03	I	108
Clarke, J. M. and Ch. Schuchert: The nomenclature of the New York series of geological formations	01	II	265
Classen, A.: Ausgewählte Methoden der analytischen Chemie. 1. u. 2. Band	CBl 1901	203; 1903	621
Cleland, H. F.: A study of the fauna of the Hamilton formation of the Cayuga lake section in Central New York	04	I	112
Clements, J. M.: A Study of some examples of rock variation	1900	I	73
— A Contribution to the Study of Contact Metamorphism	01	I	238
Clements, J. M. and H. L. Smyth: The Crystal Falls Iron-Bearing District of Michigan. With a chapter on the Sturgeon River Tongue by W. S. Bayley and an Introduction by Ch. R. van Hise	01	II	411

	Jahrg.	Bd.	Seite
Clerici, E.: Appunti per la geologia del Viterbese . . .	1902	I	120
— Contribuzione alla conoscenza dei capisaldi per la geologia dei dintorni di Roma	02	I	257
— Sulle sabbie di Bravetta presso Roma	02	II	59
— Ancora sulle polveri sciroccali e sulle pallottole dei tufi vulcanici	03	I	46
— Sulla innondazione del Tevere del Dicembre 1900 . .	03	I	252
— Sulle polveri sciroccali cadute in Italia nel marzo 1901	03	II	67
Clough, C. T. and W. Pollard: On Spinel and Forsterite from the Glenelg Limestone (Inverness Shire) . . .	1900	II	365
Clowes, F.: Schwerspath als Bindemittel im Sandstein .	1900	I	195
Cocchia, E.: La forma del Vesuvio nelle pitture e descrizioni antiche	01	I	47
Cohen, E.: Ueber den Wülfing'schen Tauschwerth der Meteoriten im Vergleich mit den Handelspreisen . .	1900	I	351
— Ueber eine zum Schneiden von Meteoreisen geeignete Maschine	1900	I	351
— Meteoreisenstudien. VIII.	1900	I	353
— Ueber das Meteoreisen von Morradal bei Grjotli zwischen Skiaker und Stryn, Norwegen	1900	I	354
— Ueber das Meteoreisen von Quesa, Provinz Valencia, Spanien	1900	I	355
— Ueber ein neues Meteoreisen von San Cristobal, Antofagasta, Chile	1900	I	355
— Meteoreisenstudien. IX.	1900	II	200
— Contacterscheinungen an den Liparit-Lakkolithen der Gegend von Pjatigorsk im nördlichen Kaukasus . .	01	I	73
— Meteoreisenstudien. X.	01	II	35
— Die beiden Meteoreisen von Los Muchachos, Tuscon, Arizona	01	II	37
— Meteoreisenstudien. XI.	02	I	364
— Zusammenfassung der bei der Untersuchung der körnigen bis dichten Meteoreisen erhaltenen Resultate	02	I	367
— Das Meteoreisen von Surprise Springs, Bagdad, San Bernardino Co., Südcalifornien	02	I	368
— Verzeichniss der Meteoriten in der Greifswalder Sammlung am 1. Januar 1901	02	I	368
— The meteoric iron from Griqualand East, South-Africa .	02	I	369
— The meteoric iron from Bethany, Great Namaqualand .	02	I	369
— Das Meteoreisen von Rafrüti im Emmenthal, Canton Bern, Schweiz	03	I	208
— Das Meteoreisen von N'Goureyma, unweit Djenne, Provinz Macina, Sudan	03	I	213
— Meteoritenkunde. II. Heft. Structurformen; Versuche künstlicher Nachbildung von Meteoriten: Rinde und schwarze Adern; Relief der Oberfläche; Gestalt, Zahl und Grösse der Meteorite; Nachträge zu Heft I . .	04	I	182
— Ein neuer Pallasit aus Finmarken, Norwegen	04	I	191
— Ueber die Meteoreisen von Cuernavaca und Iredell . .	04	I	194
— Die Meteoreisen von Ranchito und Casas Grandes . .	04	I	195
— Meteoric Iron from N'Goureyma, near Djenne, Province of Macina, Soudan	04	I	196
— Ueber die Pseudomorphosen im mittleren Buntsandstein der Gegend von Heidelberg	04	II	174
Cohen, E., siehe Brezina, A. und E. Cohen.			
Cohen, E.: Eine neue Art Umwandlungselemente (sechste Art)	01	I	339

	Jahrg.	Bd.	Seite
Cohen, E.: Physikalisch-chemische Studien am Zinn . . .	1902	II	181
Cohen, E. und C. van Eijk: 1. Physikalisch-chemische Studien am Zinn	01	II	9
— — 2. On the enantiotropy of tin	01	II	9
Cole, G. A. J.: On Rock Specimens dredged on the Bank	1900	II	405
— On the Age of certain Granites in the Counties of Tyrone and Londonderry	01	I	74
Coleman, A. P.: Clastic Huronian rocks of Western Ontario	1900	II	429
— Copper in Parry Sound District	01	I	181
— Iron ranges of North-western Ontario	03	II	340
— The Relation of Changes of Level to Interglacial Periods	04	II	44
— Nepheline- and other Syenites near Port Coldwell, Ontario	04	II	62
— The Sudbury Nickel Deposits	04	II	364
Coleman, A. P. and A. B. Willmott: Michipicoten Iron Range . . . . . 1901 I 187	03	II	340
Colenutt, G. W.: Note on the Geology of the Osborne beds	03	II	114
Coles, C. St.: An exposure of quarzite and syenitic rock near Martley, Worcestershire	1900	I	399
Collie, G. L.: Wisconsin shore of Lake Superior	04	I	439
Collier, A. J., siehe A. H. Brooks etc.			
Collins, H. F.: Eine neue Form des Goldvorkommens . .	01	I	181
Colomba, L.: Ricerche mineralogiche sui giacimenti di anidrite e di gesso dei dintorni di Oulx (alta valle della Dora Riparia)	1900	I	26
— Su alcuni materiali da costruzione in leucotefrite del sottosuolo di Torino	1900	II	398
— Sopra una iadeitite di Cassine (Acqui)	02	II	26
— Sul deposito d'una fumarola silicea alla fossa delle Rocche rosse (Lipari)	02	II	57
— Ricerche microscopiche e chimiche su alcune quarziti dei dintorni di Oulx (alta valle della Dora Riparia) e su alcune roccie associate	02	II	232
— Sopra alcune lave alterate di Vulcanello	03	I	253
— Sulla presenza della dispersione nei pirosseni giadeitoidi in rapporto colla loro composizione chimica	03	I	382
— Sopra una varietà di Ptilolite dell' isola Principe Rodolfo	03	II	26
— Zeoliti dell' isola del Principe Rodolfo	04	I	362
— Cloromelanite e pirosseni cloromelanitoidi	04	II	23
Conte, J. le: Earth-Crust Movements and their Causes . .	01	II	371
Conwentz, H.: Betula nana lebend in Westpreussen . .	02	I	463
Coomáraswámy, A. K.: Note on the Occurrence of Corundum as a Contact-Mineral at Pont Paul near Morlaix (Finistère) . . . . . 1902 I 11	03	I	418
— On Ceylon Rocks and Graphite	02	I	74
— The Crystalline Limestones of Ceylon	03	I	380
— The Point-de-Galle Group (Ceylon): Wollastonite-Skapolite Gneisses	04	I	383
— Observations on the Tiree Marble, with Notes on others from Jona	04	I	384
— Origin of the Crystalline Limestone of Ceylon	04	II	54
— siehe Prior, G. T. and A. K. Coomáraswámy.			
Cooper, C. A.: Wolframerze von San Juan County in Colorado	1900	I	195
Cooremann, T. et G. Dollfus: Compte rendu des excursions de la Session extraordinaire de la Société belge de Géologie etc., dans les départements français de la Marne et de l'Aisne	03	II	113

	Jahrg.	Bd.	Seite
Cope, E. D.: Toxodontia	1900	II	457
— The Position of the Periptychidae	01	I	149
— Vertebrate remains from Fort Kennedy bone deposit	02	II	140
Coppa, A.: Studio geologico e palaeontologico del Miocene del Siracusano	01	I	476
Corrazza, O.: Geschichte der artesischen Brunnen	CBl	1902	435
Corbin, P., siehe Haug, E. etc.			
Cornet, J.: Sur l'Albien et le Cénomanien du Hainaut	02	II	117
— Documents sur l'extension souterraine du Maestrichtien et du Montien dans la vallée de la Haine	02	II	435
— Note sur la présence du Calcaire de Mons, du tuffeau de Saint-Symphorien et de la Craie phosphatée de Ciply au sondage des Herbières (Commune de Tertre)	03	I	127
— Observations sur la géologie du Congo occidental	03	I	488
— Etudes sur la géologie du Congo occidental (suite)	03	I	488
— Sur l'existence de bancs de poudingue dans la partie supérieure du terrain houiller	03	II	109
— Le Quaternaire sableux de la vallée de la Haine	03	II	272
Cornet, J. et G. Schmitz: Note sur les puits naturels du terrain houiller du Hainaut et sur le gisement des Iguanodons de Bernissart	03	I	305
Cornish, V.: On Desert Sand-Dunes bordering the Nil-Delta	02	II	215
Cornu, A.: Détermination des trois paramètres optiques principaux d'un cristal, en grandeur et direction, par le réfractomètre	03	I	360
— Démonstration et usage des formules relatives au réfractomètre	03	I	360
Cornu, F.: Ueber Zeolithvorkommen des böhmischen Mittelgebirges	04	I	175
Cornwall, H. B.: Occurrence of Greenockite on Calcite from Joplin, Missouri	03	I	375
Cossmann, M.: Mollusques éocèniques de la Loire-inférieure. Tome II	1900	II	125
— Contribution à la Paléontologie française des terrains jurassiques. Études sur les Gastropodes des terrains jurassiques	1900	II	152
— Contribution à la Paléontologie française des terrains jurassiques. Nérinées	1900	II	153
— Observations sur quelques espèces crétaciques recueillies en France	1900	II	286
— Faune pliocènique de Karikal (Inde Française)	02	I	296
— Observations sur quelques fossiles crétaciques recueillies en France. 3. article	02	I	313
— Additions à la faune nummulitique de l'Egypte	02	I	464
— Sur quelques grandes Vénéricardes de l'Éocène	02	II	310
— Mollusques éocèniques de la Loire inférieure	03	I	127
— Note sur l'Infralias de la Vendée et des Deux-Sèvres (Suite)	04	II	429
— Rectifications de Nomenclature	04	II	473
— siehe Chartron, C. et Cossmann.			
Cotteau, G., siehe Egozcue y Cia.			
Cotter, J. C. B.: Sur les mollusques terrestres de la nappe basaltique de Lisbonne	02	I	483
Couriot, H.: Examen d'un combustible minéral au moyen des rayons de Röntgen	1900	II	409
Cowper Reed, F. R.: Blind Trilobites	1900	I	133

	Jahrg.	Bd.	Seite
Cowper Reed, F. R.: Placoparia from the Skiddaw-slates	1900	II	150
— Notes on the affinities of the genera of the Cheiruridae	1900	II	472
— The lower palaeozoic bedded rocks of county Waterford	01	I	116
— A new Trilobite from Mt. Stephen, Field, B. C.	01	I	509
— A new carboniferous Trilobite	01	I	510
— The British Species of the Genus Conocoryphe	01	II	149
— The genera Apatokephalus (Brögger) and Tramoria (Reed)	01	II	150
— The Igneous Rocks of the Coast of County Waterford	02	II	69
— Woodwardian Museum notes. J. W. Salter's undescribed species . . . 1901 II 150	02	II	485
Crammer, H.: Das Alter, die Entstehung und Zerstörung der Salzburger Nagelfluh	*BB XVI*		*325*
— *Eis- und Gletscherstudien*	*BB XVIII*		*57*
— *Ueber den Zusammenhang zwischen Schichtung und Blätterung und über die Bewegung der Gletscher*	*CBl 1902*		*103*
Credner, H.: Die seismischen Erscheinungen im Königreiche Sachsen während der Jahre 1898 und 1899 bis zum Mai 1900	01	II	374
— Die vogtländischen Erdbebenschwärme während des Juli und des August 1900	01	II	375
— Armorika, ein Vortrag	02	II	258
— Das sächsische Schüttergebiet des Sudetischen Erdbebens vom 10. Januar 1901	03	I	47
— Die vogtländischen Erderschütterungen in dem Zeitraume vom September 1900 bis zum März 1902, insbesondere die Erdbebenschwärme im Frühjahr und Sommer 1901	03	II	347
— Ueber die erzgebirgische Gneissformation und die sächsische Granulitformation	04	II	384
— Elemente der Geologie	CBl	1904	306
Credner H. und E. Danzig: Die neueren Anschauungen über die genetischen Verhältnisse des Granulitgebirges	04	II	383
Credner, R.: Das Eiszeit-Problem. Wesen und Verlauf der diluvialen Eiszeit . . . . . 1903 II 114;	CBl	1904	280
Crema, C.: Sul Pecten subclavatus Cantraine ed il P. Estheris Crema	04	I	315
— Il petrolio nel territorio di Tramutola (Potenza)	04	II	81
Crick, G. C.: The buccal membrane of Acanthoteuthis Ferussacii	1900	I	140
— List of the types and figured specimens of fossil cephalopoda in the British Museum (Natural History)	1900	I	141
— On the muscular attachment of the animal to its shell in some Fossil Cephalopoda (Ammonoidea)	1900	I	475
— Species of Nautilus from the inferior Oolite	1900	II	478
— On a deformed example of Hoplites tuberculatus J. Sow. sp., from the Gault of Folkestone	01	I	163
— Note on Ammonites calcar Zieten	01	I	166
— Note on Ammonites euomphalus	01	I	166
— Note on a Chalk Ammonite, probably referable to Ammonites Ramsayanus Sharpe . . . . . 1902 II 436	03	I	333
— Note on Ephippioceras clitellarium Sow. and E. costatum Foord	03	I	331
— Note on the Horizon and Locality of Sowerby's Type-Specimen of Nautilus truncatus	03	I	331
— Note on a Dibranchiate Cephalopod from the London Clay of Sheppey	03	I	332

	Jahrg.	Bd.	Seite
Crick, G. C.: On the Type-Specimen of Belemnotheutis Montefiorei J. Buckman	1903	I	332
— Note on Zieten's Type-Specimens of Ammonites polygonius and A. discoides	03	I	333
Cross, W., J. P. Iddings, L. V. Pirsson, H. S. Washington: Quantitative Classification of Igneous Rocks enthaltend: 1. W. Cross: An introductory review of the development of systematic petrography in the nineteenth century. 2. W. Cross, J. P. Iddings, L. V. Pirsson, H. S. Washington: Quantitative Classification of igneous rocks, based on chemical and mineral characters, with a systematic nomenclature	CBl	1903	677
Cumenge, E.: Von Diestit	1900	II	350
— Sur le gîte cuprifère d'Inguaran, État de Michoacan (Mexique)	01	I	87
— siehe Friedel, C. et E. Cumenge.			
Cumings: Lower Silurian system of eastern Montgomery County, New York	01	I	270
Cunningham, J. A.: A Contribution to the Theory of the Order of Crystallization of Minerals in Igneous Rocks	03	I	52
Curran, J. M.: On the Evidence (so-called) of Glacier-Action on Mount Kosciusko Plateau	1900	II	130
Curtis, G. C.: Secondary Phenomena of West Indian Volcanic Eruptions of 1902	04	II	380
— siehe Smith, G. O. and G. C. Curtis.			
Cushing, H. P.: Syenite-Porphyry Dikes in the Northern Adirondacks	1900	II	62
— Augit-Syenite Gneiss near Loon Lake, NewYork	01	II	244
Cvijić, J.: Das Rila-Gebirge und seine ehemalige Vergletscherung	1900	II	381
— Glacijalne i morfološke studije o planinama Rosne, Hercegovine i Crne Gore	1900	II	382
— Forschungsreisen auf der Balkanhalbinsel	03	II	247

D.

D'Achiardi, siehe Achiardi.			
Dacqué, E.: Mittheilungen über den Kreidecomplex von Abu Roasch bei Cairo	04	I	269
Dahlbom, Th.: Ueber magnetische Erzlagerstätten und deren Untersuchung durch magnetische Messungen	CBl	1900	235
Dahms, P.: Ueber ein eigenartiges chloritisches Geschiebe von der Endmoräne zwischen Mühlenkamp und Breitenberg bei Bublitz in Pommern	1900	I	65
— Mineralogische Untersuchung des Bernsteins. VI. Ueber eine alte Methode der künstlichen Trübung des Succinit	1900	II	34
— Mineralogische Untersuchung über Bernstein. VII. Ein Beitrag zur Constitution des Bernsteins	02	I	355
— Ueber das Vorkommen und die Verwendung des Bernsteins	02	I	356
Dainelli, G.: Il monte Promina in Dalmazia	03	I	275
— Il miocene inferiore di Monte Promina in Dalmazia	03	I	275
— Appunti geologici sulla parte meridionale del Capo di Leuca	03	I	280
— Fossili batoniani della Sardegna	04	II	285

	Jahrg.	Bd.	Seite
Dakyns, J. R.: Modern denudation in North Wales . . .	1901	I	228
— Firstfruits of a Geological Examination of Snowdon .	02	II	69
Dall, W. H.: A table of the North American Tertiary horizons, correlated with one another and with those of western Europe, with annotations	1900	I	291
— Synopsis of the recent and tertiary Leptonacea of North America and the West Indies	1900	II	315
Dalmer, K.: Die westerzgebirgische Granitformation . .	02	II	227
— *Beiträge zur Kenntniss der Chloritgruppe*	*CBl*	*1901*	*627*
— *Nachtrag zu dem Aufsatz: Ueber die chemischen Vorgänge bei der Contactmetamorphose etc.*	*CBl*	*1903*	*15*
— *Ueber das Cambrium und das Silur Sachsens*	*CBl*	*1903*	*577*
— *Zur Theorie der Genesis der archäischen Formation des Erzgebirges*	*CBl*	*1904*	*566*
Dal Piaz, G.: Sopra l'analcime ed altri minerali di Pendisetta negli Euganei	01	II	361
Dalta, P. N., E. Vredenburg und R. D. Oldham, siehe Oldham, R. D.			
Daly, R. A.: Studies on the so-called Porphyritic Gneiss of New Hampshire I, II	1900	II	73
— A comparative study of etch-figures. — The Amphibols and Pyroxenes	1900	II	336
— On a new variety of Hornblende	1900	II	336
— The calcareous concretions of Kettle Point, Lambton County, Ontario	01	I	351
— The Mechanics of Igneous Intrusion	04	II	64
— The Mechanics of Igneous Intrusion (Second Paper) .	04	II	64
— On the Optical Characters of the Vertical Zone of Amphiboles and Pyroxens; and a New Method of determining the Extinction Angles of these Minerals by means of Cleavage Planes	CBl	1900	127
Dana, E. S.: First appendix to the sixth edition of DANA's system of Mineralogy, completing the work to 1899	1900	I	162
Daněk, J. J.: Ueber Granitporphyr und Gneiss aus dem Sibeničnì vrch bei Schüttenhofen	03	I	410
Daniel, K.: Ueber die Constitution des Topas	04	II	185
Daniells, W. W.: On the Analysis of the Water of a Flowing Artesian Well at Marinette, Wisconsin . .	1900	II	407
Dannenberg, A.: Die vulcanischen Erscheinungen im Lichte der STÜBEL'schen Theorie	02	II	41
— Beiträge zur Petrographie der Kaukasusländer	02	II	72
— Der Monte Ferru in Sardinien. I.	04	II	222
— *Die Excursionen III (Pyrenäen, krystalline Gesteine) und XIV (Mont-Dore, chaine des Puys, Limagne) des VIII. internationalen Geologencongresses* . . .	*CBl*	*1901*	*97*
— *Die Excursionen III (Pyrenäen, krystalline Gesteine) und IV (Mont-Dore, chaine des Puys, Limagne) des VIII. internationalen Geologencongresses (Schluss)*	*CBl*	*1901*	*289*
— *Die Deckenbasalte Sardiniens*	*CBl*	*1902*	*331*
d'Anselme, M. A., siehe Anselme, M. A. d'.			
Danzig, E., siehe Credner, H. und E. Danzig.			
Danziger, J. L.: Eine neue Reaction auf Kobalt. . . .	03	II	11
Darapsky, L.: Mineralien etc. aus dem Salpetergebiete von Chile	01	I	364
Dartin, G. C.: An Occurrence of Dunite in Western Massachusetts	1900	II	69

	Jahrg.	Bd.	Seite
Darton, N. H., siehe Clarke, F. W. und N. H. Darton.			
Dathe, E.: Die Verbreitung der Variolitgerölle in Schlesien	1903	I	235
— Die Lagerungsverhältnisse des Oberdevon und Culm am Kalkberge bei Ebersdorf in Schlesien	03	II	108
Dautzenberg, Ph., siehe Dollfus, G. F. et Ph. Dautzenberg.			
David, P., siehe Brunhes, B. und P. David.			
David, T. W. E., siehe Brittlebank, C. C. und T. W. E. David.			
— siehe Tate, R. etc.			
David, T. W. E. and W. Howchin: Notes on the Glacial Features of the Imnan Valley, Yankalilla and Cape Dervis District	1900	II	109
— On the Evidence of Glacial Action in the Port Victor and Imnan Valley Districts, South Australia. Fourth Report of the Committee (appointed to collect Evidence as to Glacial Action in Australasia)	1900	II	109
Davis, B. F.: Occurrence of Gadolinite in West Australia. With notes by W. G. Woolnough and T. W. Edgworth Davis	04	I	362
Davis, W. M.: The Geographical Cycle	01	I	51
— The Drainage of Cuestas	01	I	52
— Fault Scarp in the Lepini Mountains, Italy	02	II	215
Davis, W. M. assisted by W. H. Snyder: Physical Geography	1900	I	36
Davison, Ch.: On the Cornish Earthquakes of March 29th to April 2nd. 1898	02	II	211
— On some Minor British Earthquakes of the Years 1893—1899	02	II	211
— On the British Earthquakes of 1900	03	I	225
— The Carlisle Earthquakes of July 9th and 11th, 1901 .	04	I	371
— The Inverness Earthquake of September 18th, 1901, and its accessory shocks	04	I	371
Davison, J. M.: Platinum and Iridium in Meteoric Iron	1900	II	199
Dawkins, W. Boyd: On the discovery of a Pliocene ossiferous Cavern at Doveholes Buxton, Derbyshire . . .	04	I	100
Dawson, C.: On the Discovery of natural Gas in East Sussex	1900	II	410
Dawson, H. M.: Ein Beitrag zur Erklärung der Bildung der oceanischen Salzablagerungen, insbesondere des Stassfurter Salzlagers. Der Einfluss des Drucks auf die Bildung von Tachhydrit	01	I	13
- siehe Hoff, J. H van't und Mitarbeiter.			
Day, A., siehe Holborn, L. und A. Day.			
Day, D. T.: Mineral resources of the United States, 1896 und 1897	1900	I	198
— Mineral Resources of the United Staates. Calendar Year 1901	04	I	33
Day, W. C.: Die Darstellung von Erdpechen aus thierischen und pflanzlichen Stoffen im Laboratorium	01	II	200
De Alessandri, siehe Alessandri, de.			
Dean, B.: Palaeontological Notes. I. On two new Arthrodires from the Cleveland shale of Ohio. II. On the characters of Mylostoma Newberry. III. Further Notes on the relationships of the Arthrognathi . . .	03	I	339
Deane, H.: Notes on Fossil Leaves from the Tertiary Deposits of Wingello and Bungonia	04	I	156

	Jahrg.	Bd.	Seite
de Angelis d'Ossat, siehe Angelis d'Ossat.			
Deecke, W.: Ein drittes Neubrandenburger Triasgeschiebe	1900	II	127
— Einige Beobachtungen im Bornholmer Lias	1900	II	435
— Geologischer Führer durch Bornholm	01	I	95
— Geologischer Führer durch Pommern	01	I	262
— Ueber ein Vorkommen von bearbeiteten Säugethierresten bei Endingen (Kreis Franzburg)	01	II	131
— Ueber eine als Diluvialgeschiebe vorkommende palaeocäne Echinodermenbreccie	01	II	132
— Die geologische Zusammensetzung und Schichtung der Insel Rügen	02	I	457
— Neue Materialien zur Geologie von Pommern	03	II	270
— Geologische Miscellen	04	II	123
— Das Miocän von Neddemin (Tollense-Thal) und seine silurischen Gerölle	04	II	259
— Ueber ein reichliches Vorkommen von Tertiärgesteinen im Diluvialkies bei Polzin, Hinterpommern	04	II	433
— *Ueber die kohlereichen gebänderten Sommablöcke*	*CBl*	*1901*	*309*
— *Ueber Hexagonaria v. Hag. und Goniolina Roem.*	*CBl*	*1901*	*469*
— *Ein Versuch, die Bänke der Ostsee vor der pommerschen Küste geologisch zu erklären*	*BB*	*XX*	*445*
Degrange, Emile, siehe Duparc, L., Emile Degrange etc.			
Degrange-Touzin, A.: Les Dreissensidae fossiles du Sud-Ouest de la France	1900	II	315
— Sur divers affleurements de Faluns, situés dans la vallée du Pengue et aux Eyquems	01	I	478
Del Bue, G., siehe Bue, G. del.			
Delebecque, M. A.: Contribution à l'étude du système glaciaire des Vosges Françaises	03	I	522
Delgado, J. F. Nery: Einige Worte über die vom R. Pr. Antunes gesammelte Gesteinssuite aus der Provinz Angola (portugiesisch Westafrika)	02	II	233
— Faune cambrienne du Haut-Alemtejo (Portugal)	04	II	471
Delkeskamp, R.: Schwerspathvorkommnisse in der Wetterau und Rheinhessen und ihre Entstehung, zumal in den Manganerzlagerstätten	02	I	354
— Die weite Verbreitung des Baryums in Gesteinen und Mineralquellen und die sich hieraus ergebenden Beweismittel für die Anwendbarkeit der Lateralsecretions- und Thermaltheorie auf die Genesis der Schwerspathgänge 1903 II 180	04	I	217
— Ueber die Krystallisationsfähigkeit von Kalkspath, Schwerspath und Gyps bei ungewöhnlich grosser Menge eingeschlossenen Quarzsandes	03	II	181
— Die technisch nutzbaren Mineralien und Gesteine des Taunus und seiner nächsten Umgebung	04	II	239
Demaret, L.: Les gisements des minerais de cuivre	03	II	383
Denckmann, A.: Geologische Untersuchung der Wolkersdorfer Quelle bei Frankenberg in Hessen	02	II	416
— Der geologische Bau des Kellerwaldes	03	I	467
— Goniatiten im Obersilur des Steinhorns bei Schönau im Kellerwalde	03	I	505
— Bericht über die Aufnahmen im Kellerwalde im Sommer 1899	03	II	94
— Neue Beobachtungen aus dem Kellerwalde	03	II	94

	Jahrg.	Bd.	Seite
Denckmann, A.: Ueber die untere Grenze des Oberdevons im Lennethale und im Hönnethale	1904	II	255
Deninger, K.: Beitrag zur Kenntniss der Molluskenfauna der Tertiärbildungen von Reit im Winkel und Reichenhall	03	II	420
— Ronzotherium Reichenaui aus dem Oligocän von Weinheim bei Alzey	04	II	469
— *Die Jura- und Kreidebildungen in Nord- und Ostsardinien*	*BB*	*XX*	*436*
Depéret, Ch.: Aperçu général sur la bordure nummulitique du massif ancien de Barcelone et étude de la faune oligocène de Calaf. 1900 II 125	02	I	303
— Observations sur les terrains néogènes de la région de Barcelone	1900	II	287
— Sur la découverte des nouveaux gisements des mammifères fossiles dans l'île de Corse	1900	II	463
— Sur le gisement de Vertébrés aquitaniens des mines d'asphalte de Pyrimont, Savoie	01	I	146
— Etude des dépôts miocènes d'Autignac	02	I	284
— L'Éocène du bois de Levas	02	I	284
— Revision des Hyracotheridés européens	03	I	351
— Sur les anciennes lignes de rivage pliocènes et quaternaires sur les côtes françaises de la Méditerranée	04	I	101
— Sur les caractères craniens des Lophiodon	04	II	148
— Sur le Lophiodon	04	II	148
— Sur l'âge des graviers du Belvedere	04	II	435
— Etudes paléontologiques sur les Lophiodon de Minerrois, Structure de crâne, des membres et affinités générales des Lophiodon	04	II	465
Depéret, Ch. et G. Carrière: Sur un nouveau gisement de mammifères de l'Éocène moyen à Robiac, près St. Mamert (Gard)	03	II	284
Depéret, Ch. et H. Douxami: Les Vertébrés oligocènes de Pyrimont et Challonges (Savoie)	04	I	443
Depéret, Ch. et R. Fourtau: Sur les terrains néogènes de la Basse Égypte et de l'isthme de Suès	02	I	121
Depéret, Ch. et F. Roman: Monographie des Pectinidés néogènes de l'Europe et des régions voisines. I. Pecten	03	I	537
Depéret, Ch. et G. Seyn: Monographie de la faune fluvio-terrestre du Miocène supérieur de Cucuron (Vaucluse)	02	I	130
Derby, O. A.: On the accessory elements of itacolumite, and the secondary enlargement of tourmaline	1900	I	217
— Notes on Arkansas novaculite	1900	I	408
— On the Association of Argillaceous Rocks with Quartz Veins in the Region of Diamantina, Brazil	01	I	412
— Notes on certain schists of the Gold and Diamond Regions of Eastern Minas Geraes, Brazil	02	I	416
— On the Manganese Ore Deposits of the Queluz (Lafayette) District, Minas Geraës, Brazil	03	II	381
— Notes on Brazilian Gold Ores	04	II	411
Derjavin, A.: Geologische Untersuchungen im Bezirk von Maloarchangelsk	02	II	105
Dervieux, E.: Osservazioni paleozoologiche sopra le linguline terziarie del Piemonte	1900	II	162
Dervis, V.: Sur les laccolithes du flanc nord de la chaine du Caucase	04	II	401

	Jahrg.	Bd.	Seite
Destinez, P.: Découverte de Protaster dans l'assise d'Esneux (ta 1 c). à Tohogne . . . . . 1901 II 321	1902	I	148
— Quelques fossils nouveaux du Famennien	03	II	106
— Syringothyris cuspidatus dans le petit granit de Chansche	03	II	111
— siehe Cesàro, G. und P. Destinez.			
— siehe Forir, H. et P. Destinez.			
— siehe Fraipont, J. et P. Destinez.			
Dewalque, G.: Les schistes à Spiriferina octoplicata T 16 à Dolhain	01	II	442
— Sur la faune des chalchistes de Tournay	02	I	113
— Carte géologique de la Belgique et des provinces voisines. 2 édit.	04	II	243
Dick, A.: Note on the crystals of Lead described in the preceding communication	01	I	182
— siehe Miers, H. A.			
Dickson, C. W.: Note on the Condition of Platinum in the Nickel Copper Ores from Sudbury	04	I	344
Didier, P.: Sur l'attaque des silicates par le gaz sulfhydrique	01	I	172
Diener, C.: Zur Altersstellung der Korallenkalke des Jainzen bei Ischl	01	I	123
— The Permocarboniferous Fauna of Chitichun. No. I. Himalâyan Fossils	01	I	274
— *Mittheilungen über einige Cephalopodensuiten aus der Trias der Südalpen*	*01*	*II*	*23*
— Ueber den Einfluss der Erosion auf die Struktur der südtirolischen Dolomitstöcke	01	II	417
— Anthracolitic fossils of Kashmir and Spiti	02	I	263
— Der Gebirgsbau der Ostalpen	02	II	420
— Mittheilungen über einige Cephalopodensuiten aus der Trias des südlichen Bakony	03	I	123
— Neue Beobachtungen über Muschelkalk-Cephalopoden des südlichen Bakony	03	I	123
— Einige Bemerkungen über die stratigraphische Stellung der Krimmler Schichten und über den Tauerngraben im Oberpinzgau	03	I	126
— Excursion in die Dolomiten von Südtirol (Seiser Alpe, Schlern, Ampezzaner Dolomiten)	04	I	252
— *Ueber die Grenze des Perm- und Triassystems im ostindischen Faunengebiete*	*CBl 1900*		*1*
— *Ueber die systematische Stellung der Ammoniten des südalpinen Bellerophonkalkes*	*CBl 1901*		*436*
— *Ueber das Alter der Otoceras beds des Himalaya* . .	*CBl 1901*		*513*
— *Zur Frage des Alters der Otoceras beds im Himalaya*	*CBl 1901*		*655*
— *Ueber den Typus der Gattung Pseudomonotis Beyr.*	*CBl 1902*		*342*
— *Noch ein Wort über den Typus der Gattung Pseudomonotis*	*CBl 1903*		*17*
— *Nomadisirende Schubmassen in den Ostalpen*	*CBl 1904*		*161*
Dieseldorff, A.: Ueber jodhaltige Kupfererze aus Neu-Süd-Wales	1900	II	41
— Beiträge zur Kenntniss der Gesteine und Fossilien der Chatham-Inseln, sowie einiger Gesteine und neuer Nephrit-Fundorte Neu-Seelands	03	I	255
— *Neue Funde von Tellurnickel (Melonit)*	*CBl 1900*		*98*
— *Zur „Melonit"-Frage*	*CBl 1901*		*168*
— *Nephrit im Muttergestein und neue Nephritfundorte auf Neu-Seeland*	*CBl 1901*		*334*

	Jahrg.	Bd.	Seite
Dietrich, W.: Aelteste Donauschotter auf der Strecke Immendingen—Ulm	*BB*	*XIX*	*1*
Diller, J. S.: Crater Lake, Oregon	1900	I	369
— Origin of Paleotrochis	01	I	411
— The Educational Series of Rock Specimens collected and distributed by the United States Geological Survey	CBl	1900	102
Dippel, L.: Einrichtung des gewöhnlichen Arbeitsmikroskopes zur Beobachtung der Axenbilder doppeltbrechender Körper	02	I	161
Ditte, A.: Sur la cristallisation de l'or	01	II	8
— Sur une circonstance de cristallisation du peroxyde de fer	03	I	380
Dittrich, M.: Ueber die chemischen Beziehungen zwischen den Quellwässern und ihren Ursprungsgesteinen	03	I	54
— Chemisch-geologische Untersuchungen über „Absorptionserscheinungen“ bei zersetzten Gesteinen	03	I	55
— *Ueber Genauigkeit von Gesteinsanalysen*	*03*	*II*	*69*
Djatschkow-Tarassow, A.: Der Asphalt von Gagry	04	I	228
Döll, E.: Ueber das Auftreten des Talkes im Magnesit	1900	I	15
— Hornblende nach Granat; Chlorit nach Granat; Magnetit nach Pyrrhotin, eine neue Pseudomorphose	1900	I	18
— Dolomitischer Kalk nach Magnesit, Gymnit nach Kämmererit, zwei neue Pseudomorphosen	1900	I	19
— Prehnit nach Orthoklas, Bergleder nach Biotit, Chlorit nach Bergleder, drei neue Pseudomorphosen; Chlorit nach Biotit	1900	I	19
— I. Calcit nach Aragonit. II. Serpentin nach Kämmererit, Polybasit nach Stephanit, Epidot nach Axinit, drei neue Pseudomorphosen	1900	I	20
— Pyrit nach Epidot von St. Lorenzen, Lasur nach Lasur, Limonit nach Lasur und Malachit von Chessy, vier neue Pseudomorphosen	1900	I	21
— Pyrolusit nach Rhodonit, Quarz nach Rhodonit, Limonit nach Karpholith, drei neue Pseudomorphosen	01	II	6
— Ueber einige Pseudomorphosen aus Brasilien	01	II	6
— Kämmererit nach Strahlstein, Gymnit nach Talk, Serpentin nach Talk und Talk nach Kämmererit, vier neue Pseudomorphosen	02	II	180
— Ueber die Beobachtung des Falles von Meteoriten und das Aufsammeln derselben	04	I	185
Doelter, C.: Die Dichte des flüssigen und des festen Magmas	*01*	*II*	*141*
— Ueber die Bestimmung der Schmelzpunkte bei Mineralien und Gesteinen 1902 II 216	03	I	4
— Die Schmelzbarkeit der Mineralien und ihre Löslichkeit in Magmen 1902 II 216	03	I	7
— Neue Bestimmungen von Schmelzpunkten 1903 I 8	03	II	60
— Chemische Zusammensetzung und Genesis der Monzoni-Gesteine	04	I	66
— Bericht über eine neue Gesteinsart, den Rizzonit	04	I	388
— Bericht über Arbeiten am Monzoni in Südtirol	04	I	389
— Excursion nach Predazzo	04	II	85
— Beziehungen zwischen Schmelzpunkt und chemischer Zusammensetzung der Mineralien	04	II	165
— Zur Altersfolge der Eruptivgesteine von Predazzo	04	II	211
— *Zur Bestimmung der Schmelzpunkte*	*CBl*	*1901*	*589*
— *Ueber gegenseitige Löslichkeit geschmolzener Mineralien*	*CBl*	*1902*	*199*

	Jahrg.	Bd.	Seite
Doelter, C.: Ueber zwei neue elektrische Oefen und über Schmelzpunktsbestimmungen	*CBl*	*1902*	*426*
— *Ueber einige petrogenetische Fragen*	*CBl*	*1902*	*545*
— *Krystallisationsgeschwindigkeit und Krystallisationsvermögen geschmolzener Mineralien*	*CBl*	*1903*	*608*
Dörfler, Franz: Hilfstafeln zur Mineralogie nebst einem Schlüssel zum Bestimmen	CBl	1904	572
Doermer, L.: Beiträge zur Kenntniss der Diabasgesteine aus dem Mitteldevon der Umgebung von Dillenburg	*BB*	*XV*	*594*
Dokutschajew, W.: Ueber die Zonalität im Mineralreich	1901	II	65
— Zur Frage über die Repetek'schen Gypse	01	II	67
Dollfus, G. F.: Trois excursions aux environs de Paris	01	II	447
— Sur les sables de la Sologne	03	I	309
— Classification du Tertiaire moyen et supérieur de la Belgique	04	I	100
— Classification des couches de l'Eocène inférieur dans le bassin de Paris	04	I	101
— Une grande Vénus du Miocène supérieur de l'Anjou	04	I	151
— Faune malacologique du Miocène supérieur de Rennes, étage Redonien, Gîte d'Apigné (Ille-et-Vilaine)	04	II	459
— siehe Cooremann, T. und G. Dollfus.			
Dollfus, G. F. et Ph. Dautzenberg: Sur quelques coquilles nouvelles ou mal connues des faluns de la Touraine	01	I	477
— — Nouvelle liste des Pelecypodes et des Brachiopodes fossiles du Miocène moyen du Nord-Ouest de la France	02	I	465
— — Découverte du Tympanotomus lignitarum Eichw. dans le Miocène du Bolderberg en Belgique	02	I	483
— — Conchyliologie du Miocène moyen du bassin de la Loire. I. partie: Description des gisements fossilifères; Pélécypodes	03	II	299
— — Conchyliologie fossile du bassin de la Loire. Suite	04	II	473
Dollo, L.: Les ancêtres des Marsupiaux étaient-ils arboricoles?	01	II	472
— Le pied du Diprotodon et l'origine arboricole des Marsupiaux	02	II	472
— Les Dinosauriens de la Belgique	03	II	440
Dollot, A.: Sur les travaux en cours d'exécution du Métropolitain de Paris, entre la Place de l'Etoile et la Place de la Nation, par les boulevards extérieurs	02	II	271
— Profil géologique de la Circulaire nord du Métropolitain entre la Place de l'Etoile et la place de la Nation sur environ 11 kil. 500	04	I	98
Don, J. R.: Die Entstehung von Goldgängen in Australien und Neuseeland	1900	I	245
Donald, J.: Remarks on the genera Ectomaria Koken and Hormotoma Salter, with description of british species	02	I	311
— On Turritellidae and Murchisonidae	02	II	149
— Observations on the genus Aclisina de Kon., with descriptions of British species and of some other carboniferous gasteropoda	02	II	149
Donath, E.: Betrachtungen über das Backen und über die Bildung von Steinkohle	04	I	405
Donath, E. und K. Pollak: Neuerungen in der Chemie des Kohlenstoffes und seiner anorganischen Verbindungen	01	I	175
Doncieux, L.: Note sur l'extension de l'étage de Rognac dans les Corbières orientales	01	II	277

	Jahrg.	Bd.	Seite
Doncieux, L.: Note sur les terrains tertiaires et le quaternaire marin du Sud-Est du département de l'Aude	1904	II	259
Dorlodot, H. de: Genèse de la faille de Thuex	03	II	97
— Note sur le Compte rendu de la session extraordinaire de la société géologique de Belgique, tenue à Hastières, à Beauraing et à Honych, le 31 août et les 1, 2, 3 septembre 1895	03	II	98
— Le Calcaire carbonifère de Fonds de Tahaux et de la vallée de la Lesse	03	II	110
Doss, Br.: Uebersicht und Natur der in den Ostseeprovinzen vorgekommenen Erdbeben	1900	I	371
— Die postglaciale Hebung des Rigaer Strandes, mit einem Beitrag zur Kenntniss des Torfschiefers	1900	I	455
— Ueber das Vorkommen von grossen erratischen Blöcken im Gebiete der baltischen Provinzen	1900	I	455
— Ueber Inselbildung und Verwachsung von Seen in Livland unter wesentlicher Betheiligung koprogener Substanz	1900	I	456
— Pseudomorphosen von Dolomit nach Steinsalz	01	II	6
— Ueber den Limanschlamm des südlichen Russlands, sowie analoge Bildungen in den Ostseeprovinzen und die eventuelle technisch-balneologische Ausnutzung des Kangerseeschlamms	01	II	384
— Vorläufige Uebersicht der von IGNATOW gelegentlich der Untersuchung des Akmolinsk'schen Seegebietes gesammelten Gesteine	02	I	204
— Ueber die Möglichkeit der Erbohrung von Naphthalagerstätten bei Schmarden in Kurland	02	I	422
— Orographische und geologische Verhältnisse des Bodens von Riga	04	II	86
— *Johann Jacob Ferber, der älteste Vertreter der Drifttheorie*	*CBl*	*1901*	*705*
d'Ossat, siehe Angelis d'Ossat.			
Douglas, J.: Die Copper-Queen-Lagerstätten in Arizona	03	I	90
Douglass, E.: New Species of Merycochoerus in Montana	03	I	346
— Fossil Mammalia of the White River beds of Montana	03	II	425
Douvillé, H.: Sur les couches à rudistes du Texas	1900	II	480
— Sur quelques rudistes américains	1900	II	480
— Sur quelques fossiles du Pérou	01	I	141
— Sur les couches à Orbitoïdes (Lepidocyclina) du bassin de l'Adour	01	I	168
— Sur les roches à Orbitoïdes du bassin de l'Adour	01	I	169
— Sur la distribution géographique des rudistes, des orbitolines et des orbitoïdes	02	I	449
— Études sur les rudistes	02	I	486
— Recherches sur les Nummulites	02	II	317
— Note sur les fossiles recueillis par M. LEVAT au Turkestan	03	II	408
— Sur le genre Chondrodonta STANTON	04	I	151
— Nummulites et Orbitoïdes de Biarritz	04	I	154
— Découverte par M. H. THOMAS, dans le bassin de Paris, d'un Ferussacina voisin de F. lapicida	04	II	260
Douvillé, H. et R.: Le terrain éocène aux environs de Royan	02	I	456
— — Sur le terrain nummulitique de l'Aquitaine	02	II	121
Douxami, H.: Les formations tertiaires et quaternaires de la vallée de Bellegard	02	I	283
— siehe Depéret, Ch. et H. Douxami.			
Dowling, siehe Tyrrell, J. B. and Dowling.			

	Jahrg.	Bd.	Seite
Draghicenu, M. M.: Les tremblements de terre de la Roumanie et des pays environnants	1900	I	204
Dreger, J.: Vorläufiger Bericht über die geologische Untersuchung des Possruckes und des nördlichen Theiles des Bachergebirges in Südsteiermark	02	II	419
— Die Lamellibranchiaten von Häring bei Kirchbichl in Tirol	04	II	115
— Ueber die unteroligocänen Schichten von Häring und Kirchbichl in Tirol mit einem Verzeichniss der bisher von dort bekannten Lamellibranchiaten	04	II	115
Dressel, L.: Elementares Lehrbuch der Physik nach den neuesten Anschauungen für höhere Schulen und zum Selbstunterricht	CBl	1901	634
Dresser, J. A.: A Petrographical Contribution to the Geology of the Eastern Townships of the Province of Quebec	04	I	395
Drevermann, Fr.: Die Fauna der oberdevonischen Tuffbreccie von Langenaubach bei Haiger	02	II	112
— Zusammenstellung der bei Oberstadtfeld in der Eifel vorkommenden Versteinerungen	03	I	527
— Fauna der Untercoblenzschichten von Oberstadtfeld	03	I	527
— Ueber Triaenoceras costatum A. V. sp.	03	II	444
— *Ueber Untersilur in Venezuela*	*04*	*I*	*91*
— *Ueber ein Vorkommen von Frankenberger Kupferletten in der Nähe von Marburg*	*CBl*	*1901*	*427*
Drygalski, E. v.: Ueber die Structur des grönländischen Inlandeises und ihre Bedeutung für die Theorie der Gletscherbewegung	*1900*	*I*	*71*
— *Structur und Bewegung des Eises*	*01*	*I*	*37*
Dubois, E.: The Amount of the Circulation of the Carbonate of Lime and the Age of the Earth	02	I	45
Ducru, O.: Sur les arséniates ammoniacaux de cobalt	02	I	187
— Sur les arséniates ammoniacaux de nickel	02	I	187
Dudenhausen, H.: Optische Untersuchungen an Flussspath und Steinsalz	*04*	*I*	*8*
Düll, E.: Gesteine und Mineralien der Acherwiese bei Schönbrunn im Fichtelgebirge. Ein Beitrag zur Kenntniss bayerischer Mineralfundstätten	1900	II	357
Dürst, U.: Notes sur quelques Bovidés préhistoriques	03	II	133
Dufau, E.: Aluminate de manganèse	03	II	326
Dufet, H.: Sur les propriétés optiques du calomel (protochlorure de mercure)	1900	I	6
— Sur une nouvelle espèce minérale, la cérulèite	02	I	15
— Notices cristallographiques	02	II	329
— Etude cristallographique et optique des sulfates de néodyme, de praséodyme et de samarium à $8H_2O$	03	I	179
— Notices cristallographiques	03	I	359
— Description d'un cristal d'Oligiste	04	I	345
— Forme cristalline et propriétés optiques du bromure de baryum	04	II	161
Dunnington, F. P.: Corrosion of some ancient coins	04	I	330
Duparc, L.: Deux mois d'exploration dans l'Oural (Rastesskaya Datcha)	02	II	389
— Recherches géologiques et pétrographiques sur l'Oural du Nord. I	02	II	389
— Sur la classification pétrographique des schistes de Casanna et des Alpes valaisannes	03	I	65

	Jahrg.	Bd.	Seite
Duparc, L.: Sur l'origine de la coupure transversale de la Kosva (Oural du Nord)	1904	II	87
— Analysen des Wassers und Schlammes von Schweizer Gebirgsseen	04	II	389
— Les gisements platinifères de l'Oural	1904	II	347. 411
— siehe Mrazec, L. et L. Duparc.			
— siehe Pearce, F. et L. Duparc.			
Duparc, L., E. Degrange et A. Monnier: Traité de chimie analytique qualitative suivi detabelles systématiques pour l'analyse minérale	CBl	1900	330
Duparc, L. et L. Mrazec: Recherches géologiques et pétrographiques sur le Massif du Mont-Blanc	1900	I	50
— — Carte géologique du Massif du Mont-Blanc, avec collaboration pour la région du Val Ferret et du synclinal de Courmayeur du Dr. F. Pearce	02	I	89
— — Origine de l'épidote	1902	II	27. 222
Duparc, L. et F. Pearce: Note sur la composition des zones l'accroissement concentriques de certains plagioklases	1900	II	194
— — Sur quelques roches granitoides du cap Marsa	01	I	403
— — Sur les andésites et les basaltites albitisées du Cap Marsa	02	I	409
— — Sur les plagioliparites du Cap Marsa (Algérie)	02	I	409
— — Les roches éruptives des environs de Ménerville (Algérie). Étude pétrographique. Étude géologique par E. Ritter	02	I	410
— — Sur la dunite du Koswinsky-Kamen (Oural)	02	II	387
— — Sur la Koswite, une nouvelle pyroxénite de l'Oural	02	II	388
— — Sur les roches éruptives du Tilai-Kamen (Oural)	02	II	388
— — Recherches géologiques et pétrographiques sur l'Oural du Nord dans la Rastesskaya et Kizelowskaya-Datcha (gouvernement de Perm). Première partie	03	II	362
Duparc, L. et E. Ritter: Le minéral de Fer d'Ain-Oudrer (Algérie)	1900	I	400
— — Sur les roches éruptives du Cap-Blanc (Algérie)	01	I	228
Dvorský E.: Ueber die wichtigsten Mineralfunde in Westmähren	01	II	202
Dwerryhouse, A. R.: On the Glaciation of Teesdale, Weardale and the Tyne Valley, and their Tributary Valleys	03	II	121

E.

Eakle, A. S.: Miargyrit von Zacatecas, Mexico	1900	I	340
— A Biotite-Tinguáite Dike from Manchester by the Sea, Essex County, Mass.	1900	II	71
— Petrographical Notes on some Rocks from the Fiji Islands	01	I	246
— Mineralogical notes. With chemical analyses by W. T. Schaller	03	II	34
— Colemanite from Southern California. A description of the crystals and of the method of measurement with the two-circle goniometer. (Mit 6 Figuren.)	03	II	171
— Mineral Tables for the determination of minerals by their physical properties	04	II	161
— Palacheite	04	II	189
— Note on the identity of Palacheite and Botryogen	04	II	191

	Jahrg.	Bd.	Seite
Earle, Ch.: On the Affinities of Tarsius, a Contribution to the Phylogeny of Primates	1900	II	464
— The Lemurs as Ancestors of the Apes	1900	II	464
— Relations of Tarsius to the Lemurs and Apes	1900	II	464
— Notes on the Fossil Mammalia of Europe. VI. Remarks on the Fossil Tapiroids of France. VII. Note on the Structure of the Skull in Dichodon	01	II	468
— Relationship of the Chriacidae to the Primates 1901 II 467	02	I	301
Eastman, C. R.: Fossil Lepidosteids from the Green River Shales of Wyoming	01	II	480
— The carboniferous fish-fauna of Mazon Creek, Illinois	04	I	140
— Carboniferous fishes from the Central western States	04	I	140
— Pisces of the eocene deposits of Maryland	04	I	303
— *Einige neue Notizen über devonische Fischreste aus der Eifel*	*CBl*	*1900*	*177*
Eck, H.: Ueber den Grund des Zutagetretens der Wildbader Thermen	*CBl*	*1902*	*231*
— *Historische Notiz über tufferfüllte Ausbruchsröhren*	*CBl*	*1902*	*353*
— *Bemerkung zur Lethaea geognostica, betr. Schwämme aus dem Muschelkalk*	*CBl*	*1904*	*464*
— *Zweite Bemerkung zur Lethaea geognostica, betreffend die deutsche Trias*	*CBl*	*1904*	*503*
Eckert, M.: Die Karren oder Schratten. Resultate der Untersuchungen über Karrenfelder in den deutschen Alpen	1900	I	214
Edgren, J. E.: Melanterit von Falun (Falugrube)	02	II	29
— Baryt von Bölet	02	II	29
Egger, J. G.: Foraminiferen und Ostracoden aus den Kreidemergeln der oberbayrischen Alpen	02	I	155
— Der Bau der Orbitolinen und verwandter Formen	04	II	473
— Ergänzungen zum Studium der Foraminiferenfamilie der Orbitoliniden	04	II	473
Egozcue y Cia, J.: Descripcion de los equinoides fósiles de la Isla de Cuba por M. G. Cotteau	1900	I	143
Ehlert, R.: Das dreifache Horizontalpendel	1900	I	370
— Horizontalpendelbeobachtungen im Meridian zu Strassburg i. E.	1900	I	370
— Zusammenstellung, Erläuterung und kritische Beurtheilung der wichtigsten Seismometer mit besonderer Berücksichtigung ihrer praktischen Verwendbarkeit	1900	I	370
— Horizontalpendelbeobachtungen im Meridian zu Strassburg i. E. Vom Winter 1895 bis 1. April 1896	01	I	206
Ehrenhaft, F.: Optisches Verhalten der Metallcolloide und deren Theilchengrösse	04	I	323
Eichleiter, C. F., siehe C. v. John und C. F. Eichleiter.			
Eisel, R.: Ueber die Zonenfolge ostthüringischer und voigtländischer Graptolithenschiefer	03	I	294
— Nachtrag zum Fundortsverzeichnisse wie zur Zonenfolge thüringisch-vogtländischer Graptolithen	04	II	97
Eisenhuth, K.: Beiträge zur Kenntniss der Bitterspäthe	03	I	21
Eisfelder, G.: Der Silber-, Blei- und Zinkerzbau von Broken Hill in Neu-Süd-Wales	02	II	87
Elbert, J.: Die Entwickelung des Bodenreliefs von Vorpommern und Rügen, sowie den angrenzenden Gebieten der Uckermark und Mecklenburgs während der letzten diluvialen Vereisung. I. Theil	04	II	448

	Jahrg.	Bd.	Seite
Elich, E.: Mineralogisch-petrographische Untersuchung (zu Reiss, W.: Ecuador 1870—1874. Heft I. Die vulkanischen Gebirge der Ostcordillere vom Pamba-Marca bis zum Antisana.)	1903	II	218
Elles, G. L.: The occurrence of Placoparia in the Skiddaw-slates	1900	II	150
Elpatjewsky, W., siehe Berg, L. und W. Elpatjewsky.			
Emerson, B. K.: Geology of Old Hampshire County, Mass., comprising Franklin, Hampshire and Hampden Counties	1900	II	85
— Geology of Old Hampshire County, Massachusetts	01	I	34
— Supplement to the authors Mineral Lexicon of Franklin, Hampshire and Hampden Counties	01	I	36
— A new bivalve from the Connecticut River Trias	01	II	153
— The Geology of Eastern Berkshire County, Massachusetts	01	II	430
— Holyokeite, a purely Feldspathic Diabase from the Trias of Massachusetts	04	II	404
Emmons, S. F.: Map of Alaska with Descriptive Text. 1898	1900	II	77
— Secundäre Anreicherung von Erzlagerstätten	02	II	78
— Sulfidische Lagerstätten vom Cap Garonne	04	I	400
— The Little Cottonwood Granite Body of the Wasatch Mountains	04	II	69
Enderle, J.: Ueber eine anthrakolithische Fauna von Balina Maaden in Kleinasien	02	I	114
Endter, A.: Das Kupfererzlager von Amolanas im Departement Copiapó (Chile)	04	I	240
Engelhardt, H.: Sardinische Tertiärpflanzen	1900	II	167
— Beiträge zur Palaeontologie des böhmischen Mittelgebirges. I. Fossile Pflanzen Nordböhmens	1900	II	328
— Beiträge zur Palaeontologie des böhmischen Mittelgebirges. II. Fossile Pflanzenreste aus dem Polirschiefer vom Natternstein beim Zautig	1900	II	328
— Beiträge zur Palaeontologie des böhmischen Mittelgebirges. Fossile Pflanzenreste aus dem Tephrit-Tuff von Birkigt und den Zwergsteinen bei Franzensthal	1900	II	328
— Beiträge zur Palaeontologie des böhmischen Mittelgebirges. Zur Kenntniss der Tertiärpflanzen von Sulloditz	1900	II	328
Engler, C.: Zur Geschichte der Bildung des Erdöls 1901 II 35	02	I	424
English, Th.: Coal- and Petroleum-Deposits in European Turkey	04	II	80
Erb, J.: Ein Vorkommen von Fuchsit (Chrom-Glimmer) in den Schweizer Alpen	1900	I	189
— Die vulkanischen Auswurfsmassen des Höhgaus	01	II	224
Erben, Fr. und L. Ceipek: Analyse des Albit von Amelia	02	I	350
Erdmann, E.: Schwefelkrystalle auf und in quartärem Thon gebildet	02	II	332
Erdmann, H.: Ueber das Wesen des metallischen Zustandes	03	II	12
— Ueber die Constitution des Arsensesquioxyds	03	II	324
— Lehrbuch der anorganischen Chemie	CBl	1900	365
— Lehrbuch der anorganischen Chemie. 3. Aufl.	CBl	1902	431
Erdmann, H. und M. v. Unruh: Ueber gelbes Arsen	03	II	324
Ermisch: Die Kupfererze der Sünikgruben im Gouvernement Elisabetpol, Transkaukasien	04	I	239

	Jahrg.	Bd.	Seite
Ernst, C. v.: Studie über die Eisenindustrie in der Lombardei	1901	I	431
Ertborn, B. van, siehe Velge, G. et B. van Ertborn.			
Ertborn, E. van, siehe Mourlon, M.			
Ertborn, O. van: Les sondages de Zele, de Malines-Arsenal et de Termonde	02	II	120
— Le puits artésien du Royal Palace Hôtel à Ostende	02	II	120
— Allure générale de l'argile rupélienne dans le Nord de la Belgique	02	II	271
— Le puits artésien de Heyst-op-den-Berg	02	II	271
— Les puits artésiens de Droogenbosch, Forest et Uccle	02	II	271
— Les sondages du Camp de Brasschaet et du château de Saalhof (voisin du camp)	02	II	272
— Quelques mots à propos du Sondage d'Asch	02	II	272
— Contribution à l'étude des étages rupélien, boldérien, diestien et poedertien	02	II	441
— Quelques mots au sujet du Boldérien	03	I	128
— Un desideratum stratigraphique au sujet de l'âge des couches de Lenham par rapport au Pliocène belge	03	I	308
— Le Système éocène, l'étage sparnacien et sa faune en Belgique	03	II	113
— Mélanges relatifs aux éléments nouveaux de la géologie de la Campine	03	II	113
Erving, J. A. and W. Rosenhain: The Crystalline Structure of Metals (Bakerian Lecture)	01	II	170
Esch, E.: Der Vulcan Etinde in Kamerun und seine Gesteine	03	I	425
Estreicher-Rozbierski, T., siehe Hoff, J. H. van't und Mitarbeiter.			
Etheridge jun., R.: The cretaceous mollusca of South Australia and the Northern Territory	04	I	119
Euler-Chelpin, H. v., siehe Hoff, J. H. van't und Mitarbeiter.			
Eury, siehe Grand'Eury, C.			
Evans, J. W.: The alteration of Pyrite by underground water	02	I	8
— Mechanically-formed Limestones from Junagarh (Kathiawar) and other Localities 1902 I 77	02	I	391
— A Monchiquite from Mount Girnar, Junagarh (Kathiawar)	02	I	415
Evans, N. N.: Native Arsenic from Montreal	04	I	328
Everding: Die Schwerspathvorkommen am Rösteberge und ihre Beziehung zum Spaltennetz der Oberharzer Erzgänge	04	II	236
Exton, H.: Geological Notes on the Neighbourhood of Ladysmith, Natal.			
No. 1. On some Igneous Rocks	03	I	428
No. 2. On some travelled Blocks in the Ecca Shales	03	I	287
Eyk, C. v.: Ueber die Bildung und Umwandlung der Mischkrystalle von Kaliumnitrat und Thalliumnitrat	01	I	180
— siehe Cohen, E. und C. van Eyk.			

F.

Fabre, L. A.: Sur le courant et le littoral des Landes	03	II	352
Fairfield, O. H.: A complete Skeleton of Teleoceras fossiger. Notes upon the Growth and Sexual Characters of this Species	01	I	499
— The Extinct Rhinoceroses	01	II	300

	Jahrg.	Bd.	Seite
Fallot, E.: Sur l'extension de la mer Aquitanienne dans l'Entre-deux-mers (Gironde)	1902	II	442
Fantappiè, L.: Sopra alcuni blocchi erratici a granato ed idocrasio nella regione Cimina	1900	I	28
— Minerali nuovi od in nuove condizioni di giacitura per la regione Cimina	1900	II	363
— Contribuzioni allo studio dei Cimini	04	II	217
— siehe Stefani, C. de e L. Fantappiè.			
Farrington, O. C.: Datolite from Guanajuato	1900	I	192
— A fossil egg from South Dakota	01	I	156
— Crystal forms of Calcite from Joplin, Missouri	01	I	347
— New Mineral Occurrences	01	I	364
— Observations on Indiana Caves	02	II	398
— On the nature of the metallic veins of the Farmington meteorite	03	I	207
— On Occurrence of free Phosphorus in the Saline Township Meteorite	04	I	190
— The action of Copper Sulphate upon Iron Meteorites	04	I	190
— Meteorite Studies. I.	04	I	191
Fedorow, E. v.: Cursus der Krystallographie	1900	I	163
— Beitrag zur Syngonielehre	1900	I	165
— Nachträgliche Studie über Symmetrielehre	1900	I	166
— Versuch einer Theorie der Thermodynamik der Krystalle	1900	I	167
— Neue Auffassung der Syngonie, eines Grundbegriffes der Krystallographie	1900	II	1
— Aus dem Gebiete des Hypothetischen	1900	II	2
— Mikroskopische Bestimmung des Periklingesetzes	1900	II	192
— Constatirung der optischen Anomalien in Plagioklasen	1900	II	193
— Biegungsaxe der Feldspäthe	1900	II	195
— Ueber Krystallzeichnen	01	II	1
— Weiss'sches Zonengesetz und neue Krystallographie (ohne Rechnung)	01	II	1
— Beiträge zur zonalen Krystallographie. 1. Ein besonderer Gang der zonalen Formenentwickelung. 2. Universalgoniometer mit mehr als zwei Drehaxen und genaue graphische Reehnung	01	II	2
— Ueber das Studium des Chemismus der Mineralien und Gesteine	01	II	53
— Zur Theorie der krystallographischen Projectionen	01	II	329
— Beiträge zur zonalen Krystallographie. III. Syngonie-Ellipsoidgesetz	02	I	1
— Ein extremer Fall in dem Schalenbau der Plagioklase	02	I	342
— Beiträge zur zonalen Krystallographie. IV. Zonale Symbole und richtige Aufstellung der Krystalle	02	II	174
— Geologische Untersuchungen im Sommer 1900	03	I	260
— Beiträge zur zonalen Krystallographie II. 5. Complicationsgesetze und richtige Aufstellung der Krystalle	03	II	1
— Beiträge zur zonalen Krystallographie III. 6. Zonale Verhältnisse des Berylls und der Krystalle des hypohexagonalen Typus überhaupt	03	II	2
— Theorie der Krystallstructur. II. Theil. Reticuläre Dichtigkeit und erfahrungsgemässe Bestimmung der Krystallstructur	03	II	3
— Zonale Krystallographie und Theorie der Krystallstructur	03	II	3
— Kedabekit und Violait	03	II	71

	Jahrg.	Bd.	Seite
Fedorow, E. v.: Ueber die Anwendung des Dreispitzenzirkels für krystallographische Zwecke	1903	II	311
— Axendispersionsarten und ihre Bestimmung	03	II	315
— Notiz, betreffend die Krystallisation des Calaverit	04	I	343
— Neue Vorrichtungen für das Polarisationsmikroskop	04	II	1
— Bestimmung der Brechungsindices in Dünnschliffen	04	II	2
— Die letzten Schritte der universal-optischen Untersuchungen. Anwendung auf die Feldspäthe	04	II	20
— *Bemerkungen, betreffend des Herrn Souza de Brandao Aufsatz „Ueber Krystallsysteme“*	*CBl 1901*		*545*
Fedorow, E. v. und W. Nikitin: Die Mineralien des Bogoslowsk'schen Bergreviers	1900	I	343
— — Das Bogoslowsk'sche Bergrevier. Beschreibung seiner Topographie, Mineralogie, Geologie und Erzlagerstätten. Mit 2 Beilagen von E. Stratonowitsch: 1. Ueber die fossile Fauna und Flora des Reviers; 2. Kurzer Bericht über die Thätigkeit des geologischen Instituts des Bogoslowsk'schen Bergreviers im Jahre 1900	03	II	226
Felix, J.: Studien an cretaceischen Anthozoen	02	II	154
— Studien über die korallenführenden Schichten der oberen Kreideformation in den Alpen und den Mediterrangebieten. I. Theil: Die Anthozoen der Gosauschichten in den Ostalpen	04	II	150
— *Verkieselte Korallen als Geschiebe im Diluvium von Schlesien und Mähren*	*CBl 1903*		*561*
Felix, J. und H. Lenk: Zur Frage der Abhängigkeit der Vulkane von Dislocationen	*CBl 1902*		*449*
Fellenberg, E. v.: Der Meteorit von Rafrüti im Emmenthal, Canton Bern	*CBl 1900*		*152*
Fellenberg, E. v. und C. Schmidt: Neuere Untersuchungen über den sogen. Stamm im Gneisse von Gutannen	1900	II	394
Fellinger, R.: Bestimmung der Dielektricitätsconstanten von Krystallen im homogenen elektrischen Felde	03	II	7
Fels, G.: Ueber die Frage der isomorphen Vertretung von Halogen und Hydroxyl	02	I	4
— Ein Anorthitauswürfling von der Insel St. Christopher	04	I	355
Ferrier, W. F., siehe Barlow, A. E. und W. F. Ferrier.			
Ficheur, E.: Note sur quelques échinides nouveaux de l'aptien d'Algérie	02	I	318
Fiebelkorn, M.: Geologische Ausflüge in die Umgegend von Berlin	1900	II	267
Filippi, Filippo de: Die Forschungsreise S. K. H. des Prinzen Ludw. Amadeus von Savoyen, Herzogs der Abruzzen, nach dem Eliasberge in Alaska im Jahre 1897	CBl 1901		313
Finckh, L.: Beiträge zur Kenntniss der Gabbro- und Serpentingesteine von Nordsyrien	1900	I	401
— *Ueber die Gesteine des Kenya und des Kilimandjaro*	*CBl 1902*		*204*
— *Erklärung*	*CBl 1902*		*206*
Finsterwalder et Muret: Les variations périodiques des glaciers 1902 II 375	03	II	348
Fircks, W. v.: Die Zinnerzlagerstätten des Mount Bischoff in Tasmanien	01	I	423
Fircks, W. v., siehe Beck, R. und W. v. Fircks.			
Fischer, E.: Eiszeittheorie	02	II	447

	Jahrg.	Bd.	Seite
Fischer, F.: Zur Untersuchung von Brennstoffen	1900	II	247
— Einfluss der Industrie auf das Flusswasser	01	I	437
— Ueber Lagerungsverluste und Selbstentzündung von Steinkohlen	01	II	80
Fischer, Th.: Die Bodenschätze Marokko's	02	I	84
— Wissenschaftliche Ergebnisse einer Reise im Atlasvorlande von Marokko	02	I	258
Fišer, J.: Der Granitrand und die Natur der benachbarten Gesteine an der Moldau oberhalb der St. Johann-Stromschnellen	02	I	61
Fišer, J., siehe Slavík, Fr. und J. Fišer.			
Fisher, O.: On Rival Theories of Cosmogony	02	II	368
Flamini, G. Sc. G. e L. Foresti: Sopra alcuni fossili raccolti nei colli fiancheggianti il fiume Santerno nelle vicinanze d'Imola	1900	I	448
Flegel, Kurt: Ueber das Alter der oberen Quader des Heuscheuergebirges	*CBl*	*1904*	*395*
Fleischer, A.: Beiträge zur Theorie der Gebirgsbildungen und vulcanischer Erscheinungen	04	II	368
Fletcher, H.: Descriptive Note on the Sidney Coal Field, Cape Breton, Nova Scotia	02	I	114
Fletcher, L.: On a mass of Meteoric Iron from the neighbourhood of Caperr, Rio Senguerr, Patagonia	1900	II	203
— On the Cliftonite and Taenite of the Meteoric Iron found in 1884 in the Sub-District of Youndegin, Western Australia	1900	II	203
— On the Meteoric Stones which fell near Zomba, British Central Africa, on January 25th, 1899; with notes on the chemical analysis of such bodies	02	I	371
Flett, J. S.: On scottish rocks containing orthite	1900	I	400
— The Trapp Dykes of the Orkneys	02	II	65
— Note on a Preliminary Examination of the Ash that fell on Barbados after the Eruption at St. Vincent (West Indies)	04	I	223
Flett, J. S., siehe Anderson, T. und J. S. Flett.			
Fliche, P.: Sur un insecte fossile trouvé dans le Trias en Lorraine	04	I	310
Flink, G.: Bericht über eine mineralogische Reise in Südgrönland im Sommer 1897	1900	I	346
— Ueber einige seltene Mineralien (Eudidymit, Epididymit, Albit, Diaspor) aus der Gegend von Langesund in Norwegen	1900	II	366
— Ueber die Mineralien von Narsarsuk am Meerbusen von Tunugdliarfik im südlichen Grönland	02	I	18
— Mineralogische Notizen (über Synchysit, Pyroaurit, Pyrochroit, Molybdophyllit, Inesit, Hydrocerussit, Scheelit)	02	I	358
Florence, W.: Ueber Stolzit und Scheelit von Marianna de Itacolumy im Staate Minas Geraës (Brasilien)	*CBl*	*1903*	*725*
Florentino, A.: Sur l'évolution des dents des mammifères	02	I	296
Flores, E.: La grotta ossifera di Palinuro, stazione neolitica	04	II	141
— Polveri sciroccali e pisoliti meteoriche	04	II	215
Focke, F.: Ueber ein neues Skolezitvorkommen in Salzburg	03	I	393
— Regelmässige Verwachsung von Nemaphyllit und Dolomit vom Wildkreuzjoch	03	II	328
— Ueber den als Desmin angesehenen Albit von Schlaggenwald	04	I	351

	Jahrg.	Bd.	Seite
Förster, B.: Jüngerer Löss auf der Niederterrasse . . .	1901	I	131
Foniakoff, A.: Nutzbare Lagerstätten Sibiriens	01	I	249
Foord, A. H.: Monograph on the Carboniferous Cephalopoda of Ireland. Part I. Orthoceratidae	01	I	511
Foote, H. W.: Ueber die physikalisch-chemischen Beziehungen zwischen Aragonit und Calcit	01	II	351
Foote, H. W., siehe Penfield, S. L. and H. W. Foote.			
Foote, W. M.: Note on a new meteoric Iron found near Iredell, Bosque Co., Texas, U. S. A.	01	II	88
— Note on a New Meteoric Iron near the Tombigbee River, in Choctaw and Sumter Counties, Alabama, U. S. A.	01	II	38
Ford, W. E.: Rickardite, a new Mineral	04	II	12
— Ueber die chemische Zusammensetzung des Dumortierits	04	II	27
— On the Chemical Composition of Axinite	04	II	27
Ford, W. E., siehe Penfield, S. L. and W. E. Ford.			
Forel, F. A.: Handbuch der Seenkunde. Allgemeine Limnologie	02	I	200
Forel, F. A. et L. du Pasquier: Les variations périodiques des Glaciers	1900	I	211
Foresti, L., siehe Flamini, G. Sc. G. e L. Foresti.			
Forir, H.: Sur la série rhenane des planchettes de Felenne, de Vencimont et de Pondrôme	01	II	116
— Les schistes de Matagne dans la région de Saut-sur-Surice	01	II	440
— Sur la présence de Rhynchonella Dumonti et de Cyrtia Murchisoni dans les schistes de Matagne	01	II	440
— Hypothèse sur l'origine de la structure des bassins primaires belges	03	II	96
— Le massif de Theux. Réplique à M. Fourmarier . . .	03	II	97
— Rhynchonella Omaliusi et Rh. Dumonti ont-elles une signification stratigraphique?	03	II	106
Forir, H., siehe Lohest, M. et H. Forir.			
Forir, H. et P. Destinez: Contribution à la détermination de l'âge du massif carbonifèrien de Visé	03	II	110
Forir, H. et M. Lohest: Quelques découvertes intéressantes faites pendant les excursions du cours de géologie de l'Université de Liége	03	II	104
Forir, H., G. Soreil et M. Lohest: Compte rendue de la Société géologique de Belgique tenue à Hastières, à Beauraing et à Houyet le 31 août et les 1, 2 et 3 Septembre 1895	01	II	115
Fornasini, C.: Intorno a l'Uvigerina bononiensis Forn.	1900	I	149
— Indice ragionato de le Rotaline fossile d'Italia spettanti ai generi Truncatulina, Planorbulina, Anomalina, Pulvinulina, Rotalia e Discorbina	1900	I	318
— Di alcuni foraminiferi miocenici del Bolognese illustrati in una tavola pubblicata dall' autore nell' anno 1889	1900	I	483
— Note micropalaeontologiche	1900	I	483
— Indice ragionato delle Frondicularie fossile d'Italia . .	1900	I	484
Forster, A. E.: Verzeichniss von Photographien aus Oesterreich-Ungarn und Nachbarländern	CBl	1901	280
Forsyth Major, C. J., siehe Major, C. J. Forsyth.			
Fortin, R.: Notes de Géologie normande. IV. Sur deux échinides crétacés recueillis dans ce département de la Seine-inférieure (Gauthiera radiata Sorign. sp. et Micraster Fortini J. Lamb.)	1900	II	161

	Jahrg.	Bd.	Seite
Fortin, R.: Notes de Géologie normande. V. Sur la craie blanche de Louviers (Eure) et sur un Echinide irregulier (Micraster cormarinum Park.) nouveau pour la faune fossile de la Normandie	1900	II	323
— Notes de géologie normandie VI. Sur un Discoides inferus Des. recueilli à Tancarville. Seine-inf.	01	II	321
Fouqué, F.: Contribution à l'étude des minéraux du groupe de la mélilite	01	II	19
Fourmarier, P.: Le bassin dévonien et carbonifère de Theux	03	II	95
— Le bassin dévonien et carbonifèrien de Theux. Reponse à la note de M. H. Forir	03	II	97
— Sur la présence de psammites exploités dans le Famennien inférieur à Angleur	03	II	105
— Etude du Givetien et de la partie inférieure du Frasnien au bord oriental du bassin de Dinant	03	II	105
Fournier, E.: Nouvelles observations sur la tectonique de la Basse-Provence	1900	II	264
Fournier, G.: Aragonite sur les schistes houillers, à Namur	01	I	191
— Découverte de Wavellite à Bioulx	01	I	200
— Quartz violet à Maredsous	01	II	350
— Sur des cristaux de quartz dans le calcaire carbonifère	01	II	350
— Chalcedoine dans le calcaire carbonifère, à Maredret	01	II	351
Fourtau, R.: Briefliche Mittheilung über neue Seeigelfunde in Aegypten	01	II	482
— Sur la présence de fragments d'Astéries dans les couches de la base du Mokattam	01	II	483
— Note sur les sables pliocènes des environs des pyramides de Ghizeh	01	II	484
— Les Sismondia du Nummulitique d'Égypte	01	II	484
— Sur la constitution géologique du Massif du Gebel Galala el Baharieh (Égypte)	02	I	103
— Revision des Échinides fossiles de l'Égypte	02	I	148
— Notes pour servir à l'Étude des Échinides fossiles de l'Égypte	02	I	149
— Notes sur les Échinides fossiles de l'Égypte II.	02	I	149
— Sur le crétacé du massif d'Abou-Roach (Égypte)	02	II	423
— Sur la provenance de valves de Crustacés ostracodes fossiles tombées à Oullins, près de Lyon, le 24 septembre 1898	03	I	98
— Notes sur les Échinides fossiles d'Égypte	03	I	531
— Sur le grès nubien	04	I	416
— Sur la faune échinitique du golfe de Suez	04	II	426
Fourtau, R., siehe Depéret, Ch. et R. Fourtau.			
Fourtau, R. et D. E. Pachundaki: Sur la constitution géologique des environs d'Alexandrie	04	II	426
Fox, C. E.: The Volcanic beds of the Waitemata Series	04	II	253
Fraas, E.: Geognostische Specialkarte von Württemberg. Atlasblatt Stuttgart, Böblingen, Liebenzell und Kirchheim	1900	I	249
— Die geologischen Verhältnisse des Oberamtes Ulm	1900	I	257
— Die schwäbischen Trias-Saurier, nach dem Material der Kgl. Naturalien-Sammlung in Stuttgart zusammengestellt	1900	I	308
— Reste von Zanclodon aus dem oberen Keuper vom Langenberge bei Wolfenbüttel	1900	I	311

	Jahrg.	Bd.	Seite
Fraas, E.: Proganochelys Quenstedti Baur (Psammochelys Keuperina Qu.)	1900	II	469
— Die Bildung der germanischen Trias, eine petrogenetische Studie	01	I	119
— Geognostisches Profil vom Nil zum Rothen Meer	02	I	101
— Die Sibyllenhöhle auf der Teck bei Kirchheim	02	I	286
— Zanclodon Schützii n. sp. aus dem Trigonodus-Dolomit von Hall	02	II	301
— Labyrinthodon aus dem Buntsandstein von Teinach	02	II	301
— Die Meereskrokodile (Thalattosuchia), eine neue Saurier-gruppe der Juraformation	03	I	152
— Die Meereskrokodilier (Thalattosuchia) des oberen Jura unter specieller Berücksichtigung von Dacosaurus und Geosaurus	03	I	152
— Die Höhlen der schwäbischen Alb	03	II	284
— Das geologische Problem im Ries	04	I	407
— *Scheinbare Glacialerscheinungen im Schönbuch nördlich Tübingen*	*CBl*	*1901*	*6*
Fraas, E., siehe Branco, W. und E. Fraas.			
Fraipont, J. et P. Destinez: Quelques nouveaux fossiles du calcaire carbonifère de Belgique, appartenant aux genres Rhineoderma, Callonema, Dualina, Zaphrentis	01	II	456
Franchi, S.: Sull' età mesozoica della zona delle pietre verdi nelle Alpi Occidentali	1900	I	426
— Sulla geologia di alcuni parti delle Alpi Marittime e Cozie	1900	II	265
— Sopra alcuni giacimenti di roccie giadeitiche nelle Alpi occidentali e nell' Appennino ligure	02	I	408
— *Ueber Feldspath-Uralitisirung der Natron-Thonerde-Pyroxene aus den eklogitischen Glimmerschiefern der Gebirge von Biella (Graiische Alpen)*	*1902*	*II*	*112*
— Sulla dispersione nei pirosseni cloromelanitici di alcune roccie cristalline delle Alpi occidentali	03	I	382
— Ancora sulla dispersione dei pirosseni cloromelanitici	04	II	23
Franchi, S., siehe Baldacci, L. e S. Franchi.			
Franchis, De: Molluschi della creta media del Leccese	04	I	120
Francke, H. G.: Die Porphyre des Burgstalles und der Traschke bei Wechselburg im Königreich Sachsen	1900	I	380
Franco, L., siehe Riccò, A. e L. Franco.			
Franco, P.: Le sublimazioni saline dell' ultima eruzione vesuviana	1900	I	53. 175
Franco, S. di: Studio sulla Herschelite dei basalti siciliani	04	I	363
Frank, L.: Ueber Bestimmung, Bewerthung und Fälschung der Edelsteine	CBl	1901	203
Frank, W.: Beiträge zur Geologie des südöstlichen Taunus, insbesondere der Porphyroide dieses Gebietes	1900	I	111
Franke, H., siehe Beckenkamp, J.			
Franz, V.: Ueber „Nautilus bidorsatus" und seine Verwandten	*BB*	*XVII*	*486*
Franzenau, A.: Krystallographische Untersuchungen am Pyrit von Belábanya	1900	II	10
Fraprie, F. R., siehe Palache, Ch. and F. R. Fraprie.			
Frasch, G., siehe Zaloziecki, R. und G. Frasch.			
Frech, F.: Lethaea geognostica oder Beschreibung und Abbildung der für die Gebirgsformationen bezeichnendsten Versteinerungen. I. Theil. Lethaea palaeozoica. 2. Band. 1. und 2. Lieferung	01	I	

	Jahrg.	Bd.	Seite
Frech, F.: Ueber glaciale Druck- und Faltenerscheinungen im Odergebiet	1902	I	459
— *Ueber Diceras-ähnliche Zweischaler aus der mittleren Alpentrias*	*02*	*II*	*127*
— Ueber devonische Ammoneen	03	II	144
— Lethaea geognostica oder Beschreibung und Abbildung der für die Gebirgsformationen bezeichnendsten Versteinerungen. Herausgegeben von einer Vereinigung von Palaeontologen. I. Theil: Lethaea palaeozoica. 2. Band. 3. u. 4. Lieferung. Die Dyas	04	II	102
— Lethaea geognostica. Handbuch der Erdgeschichte u. s. w. III. Theil. Das Caenozoicum. 2. Band. Quartär. Erste Abtheilung. Lieferung 1. 1—41. 1903. Flora und Fauna des Quartärs, mit Beiträgen von E. Geinitz	1904	II	131. 261
— *Ueber das Rothliegende an der schlesisch-böhmischen Grenze*	*CBl 1900*		*337*
— *Ueber Trias-Ammoniten aus Kaschmir*	*CBl 1903*		*134*
— *Ueber Epitornoceras und Tornoceras*	*CBl 1902*		*172*
— *Ueber Gervilleia*	*CBl 1902*		*609*
Frech, F., siehe Roemer, F. und F. Frech.			
Fredholm, K. A.: Också ett exempel på blixten som geologisk faktor	03	I	51
Frenzel, A.: Ein Türkis-Lager in Mohave County, Arizona	1900	I	194
— Argyrodit ist Breithaupt's Plusinglanz	01	II	12
— Ueber den Plusinglanz	01	II	12
— Neue Pseudomorphosen	03	I	181
— *Nekrolog*	*CBl 1902*		*641*
Fresenius, H.: Chemische Untersuchung des Kiedricher Sprudels im Kiedrich-Thal bei Eltville am Rhein	02	II	414
Freyn, R.: Ueber einige neue Mineralfunde und Fundorte in Steiermark	03	II	30
Friedel, Charles: Nekrolog	*CBl 1900*		*53*
Friedel, C. et E. Cumenge: Sur un nouveau minéral d'urane, la Carnotite	1900	I	17
Friedel, G.: Muscovite compacte de Montrambert (Loire)	1900	I	15
— Analyse d'un silicate d'aluminium et de sodium artificiel	1900	II	351
— Sur un nouveau silico-aluminate artificiel	1900	II	351
— Nouveaux essais sur les Zéolithes	01	I	22. 23
— Sur la Termiérite et la Lassalite, deux espèces nouvelles de silicates	02	II	197
— Sur un silicate de lithium cristallisé	02	II	330
— Sur les figures de corrosion du quartz à haute température	03	II	16
— Remarques sur une macle de quartz	03	II	16
— Sur deux clivages de la calcite	03	II	19
— Sur l'anthophyllite de Saint-Germain-l'Herm et sur les rangées de clivage cylindrique	03	II	24
Friedländer, E.: Contribuzioni alla geologia delle Isole Pontine. Lettera al Signore P. Franco	02	II	58
Friedrich, P.: Der Untergrund von Oldesloe, nebst einer kurzen Darstellung der Geschichte der ehemaligen Saline	03	I	137
— Beiträge zur Lübeckischen Grundwasserfrage. III.	03	I	139
— Geologische Aufschlüsse im Wakenitz-Gebiet der Stadt Lübeck	03	II	270

	Jahrg.	Bd.	Seite
Friedrich, P.: Eine Brunnenbohrung in der Feriencolonie auf dem Priwall bei Travemünde. Eine Brunnenbohrung bei der Villa des H. Senator Possehl an der Strandpromenade von Travemünde	1903	II	409
Frischauf, J.: Beweis des Zonengesetzes	1900	I	328
Fritsch, A.: Studien im Gebiete der böhmischen Kreideformation. VI. Die Chlomeker Schichten	1900	I	439
Fritsch, K. v.: Ueber Taubach und andere Thüringer Fundstätten ältester Spuren und Reste des Menschen	03	II	115
— Ein alter Wasserlauf der Unstrut von der Freyburger nach der Merseburger Gegend	03	II	265
— Pflanzenreste aus Thüringer Culm-Dachschiefer	04	I	320
Fritsch, K. v., siehe Beyschlag, F. und K. v. Fritsch.			
Fromme, J.: Ueber die Systematik der Minerale, mit besonderer Berücksichtigung der in den Lehrbüchern von Naumann-Zirkel und Tschermak aufgestellten Mineralsysteme	1900	I	336
— Kalkspath vom Ith	1900	II	13
— Mineralien aus dem Radauthale	01	II	360
— „Brunsvigit", ein neuer Leptochlorit aus dem Radauthal	03	I	29
— Minerale aus dem Radauthale, u. A. Pyknochlorit, eine neue Chloritart	03	II	336
Frosterus, B.: Bergbyggnadeni sydöstra Finland (Der Gebirgsbau des südöstlichen Finnland)	03	II	73
Früh, J.: Ueber Moorausbrüche	1900	II	45
— Der postglaciale Löss im St. Galler Rheinthal mit Berücksichtigung der Lössfrage im Allgemeinen	01	II	448
— Ueber postglacialen, intramoränischen Löss (Lösssand) im Schweizerischen Rhônethal	01	II	449
Fuchs, A.: Zur Geologie der Lorelei-Gegend	01	I	273
— Das Unterdevon der Lorelei-Gegend	01	I	273
— Die unterdevonischen Rensselaerien des Rheingebietes	04	II	328
Fuchs, Th.: Ueber eine transversale Schieferung im Werfener Schiefer	1900	I	141
— Ueber Daemonhelix Krameri Ammon	03	II	112
— Beiträge zur Kenntniss der Tertiärbildungen von Eggenburg	04	I	273
— Nachträge zur Kenntniss der Tertiärbildungen von Eggenburg	04	I	275
— Ueber eine neuartige Ausbildungsweise pontischer Ablagerungen in Niederösterreich	04	I	434
— Ueber einige Störungen in den Tertiärbildungen des Wiener Beckens	04	I	435
— Ueber Anzeichen einer Erosionsepoche zwischen Leitha-Kalk und sarmatischen Schichten	04	I	435
— Ueber ein neuartiges Pteropodenvorkommen aus Mähren, nebst Bemerkungen über einige muthmaassliche Aequivalente der sogen. „Niemtschitzer Schichten"	04	II	116
— *Ueber Medusina geryonoides von Huene*	*CBl*	*1901*	*166*
Fucini, A.: Sopra alcuni fossili oolitici del Monte Timilone in Sardegna	01	I	141
— Ammoniti del Lias medio dell' Appennino centrale esistenti nel Museo di Pisa 1901 I 165	01	II	152
— Altre due nuove specie di Ammoniti dei Calcari rossi ammonitiferi inferiori della Toscana	02	I	310

	Jahrg.	Bd.	Seite
Fucini, A.: Cephalopodi liassici del Monte di Cetona . .	1903	I	301
— Sopra l'età del marmo giallo di Siena	03	II	407
— Il Lytoceras crebricosta Mgh.	04	I	148
Fürer, F. A.: Salzbergbau und Salinenkunde	01	II	246
Fugger, E.: Das Salzburger Vorland	02	I	276
— Flyschbreccie am Kolmannsberge bei Gmunden	03	I	109
Fuller, M. L. Etching of Quarz in the Interior of Conglomerates	04	II	406
Futterer, K.: Beiträge zur Kenntniss des Jura in Ostafrika. IV. Der Jura von Schoa (Süd-Abessinien) . .	1900	I	438
— Das Erdbeben in der Umgebung von Lahr am 19. Januar 1897	01	II	208
— Ein Beispiel für Winderosion am Heidelberger Schloss	01	II	218
— Beiträge zur Geologie des Süd-Ural	01	II	402
— Land und Leute in Nordost-Tibet	02	I	104
— Die allgemeinen wissenschaftlichen Ergebnisse einer Forschungsreise durch Central-Asien, Nordost-Tibet und Inner-China	02	I	105
— Vorträge über Forschungen und Studien in Centralasien und China. I. Beiträge zur Geschichte des östlichen Centralasien und China während der letzten geologischen Perioden	02	I	107
— Beobachtungen am Eise des Feldberges im Schwarzwalde im Winter 1901	02	II	185
— Ueber die Structur der Eiszapfen	02	II	185
— Ueber die Erosionsphänomene der Wüste Gobi	03	II	352
— *Erklärung*	*CBl*	*1902*	*309*
— *Vorläufige Notiz. Ein neuer Aufschluss mit glacialer Schleppung auf dem Granitmassiv bei der Burg Alt-Lauf (oder Neu-Windeck)*	*CBl*	*1903*	*448*

G.

Gäbert, C.: Die geologische Umgebung von Graslitz im böhmischen Erzgebirge	02	II	53
— Die Erzlagerstätten zwischen Klingenthal und Graslitz im westlichen Erzgebirge	03	I	442
— *Geröllführende Schichten in der Gneissformation bei Boden im sächsischen Erzgebirge*	*CBl*	*1903*	*465*
Gagel, C.: Bericht über die Aufnahmen auf den Blättern Angerburg und Kruglanden	02	I	125
— Ueber einen neuen Aufschluss im pommer'schen Tertiär	02	I	455
— Ueber eine diluviale Süsswasserfauna bei Tarbeck in Holstein	03	I	133
— Ueber das angebliche Tertiär von Angerburg und Lötzen in Ostpreussen	03	I	512
— Ueber einige neue Spatangiden aus dem norddeutschen Miocän	04	I	466
— Ueber miocäne Geschiebe im südöstlichen Holstein . .	04	I	466
— Ueber die geologischen Verhältnisse der Gegend von Ratzeburg und Mölln	04	II	283
Gagel, C. und F. Kaunhowen: Ueber ein Vorkommen von senoner Kreide in Ostpreussen	01	II	278
Gagel, C. und G. Müller: Die Entwickelung der ostpreussischen Endmoränen in den Kreisen Ortelsburg und Neidenburg	01	I	284

	Jahrg.	Bd.	Seite
Gaillard, C.: Nouveau genre d'insectivores du Miocène moyen de la Grive St. Alban, Isère	1901	I	149
— Apparition des ours de l'époque miocène	01	I	496
— Mammifères miocènes nouveaux ou peu connus de La Grive St. Alban, Isère	03	II	124
— Le bélier de Mendès, ou le mouton domestique de l'ancienne Egypte. Ses rapproches avec les antilopes vivants et fossiles	03	II	294
— siehe Chantre, E. und C. Gaillard.			
Gamba, P.: Determinazione delle constanti elastiche di flessione della lavagna	01	I	395
Gane, H. St.: Some neocene corals of the United States	01	II	327
Gannett, H.: A gazetteer of Kansas	CBl	1900	159
— A dictionary of altitudes in the United Staates (third edition)	CBl	1900	159
Gardiner, C. J.: The Silurian and Ordivician rocks exposed on the shore near Balbriggan, County Dublin	01	I	457
Gardiner, C. J. and S. H. Reynolds: The Bala beds and associated igneous rocks of Lambay Island, County Dublin	1900	I	269
— — The Fossiliferous Silurian Beds and Associated Igneous Rocks of the Clogher Head District (County Kerry)	03	I	504
Gardiner, J. S.: The geology of Rotuma. With an appendix by H. Woods	1900	I	238
Gardner, F. W.: The diamond mines of South Africa, some account of their rise and development	CBl	1904	153
Gareis, A.: Ueber Pseudomorphosen nach Cordierit	02	II	193
Garnier, J.: Sur la fluorine odorante à fluor libre du Beaujolais	02	II	17
Garrigou, F.: La diffusion de l'arsénic dans la nature	03	II	360
Garwood, E. J.: On the Origin of some Hanging Valleys in the Alps and Himalayas	04	I	374
Gary, M.: Zum Aufsatz des Herrn Dr. O. Herrmann-Chemnitz	02	I	242
Gaubert, P.: Sur la coloration artificielle des cristaux	02	I	162
— Sur les faces de dissolution de la calcite et sur les figures de corrosion des carbonates rhomboédriques	02	II	347
— Sur les figures d'efflorescence	03	I	1
— Sur les bandes biréfringentes provoquées par la pression, avec rupture des faces, sur les cristaux cubiques	03	II	165
— Contribution à l'étude de la formation et de l'accroissement des cristaux	03	II	312
— Sur l'apatite de Priziac (Morbihan)	03	II	333
Gaudry, A.: Sur la similitude des dents de l'homme et de quelques animaux	03	II	428
Gauthier, V.: Contribution à l'étude des échinides fossiles	02	I	319
Gautier, A.: Origines de l'hydrogène atmosphérique	01	II	376
— Production de l'hydrogène dans les roches ignées	01	II	376
— Produits gazeux dégagés par la chaleur de quelques roches ignées	01	II	377
— Sur l'existence d'azotures, argonures, arséniures et jodures dans les roches cristalliniennes	02	II	376
— Origine des eaux thermales sulfureuses, sulfosilicates et oxysulfures dérivés des silicates naturels	02	II	418
Gautier, P., siehe Lacroix, A. et P. Gautier.			

	Jahrg.	Bd.	Seite
Gavelin, A.: On the glacial lakes in the upper part of the Ume-river-valley	1904	I	438
Geer, G. de: Om rullstensåsarnes bildningssätt	1900	I	292
— Om den senkvartära landhögningen kring Bottniska viken	1900	I	452
— Sandproben aus der Takla-makan-Wüste	02	II	236
Geiger, A.: Künstliche Darstellung des Krugits	04	II	195
Geiger, P.: Die Nerineen des schwäbischen Jura	02	I	481
Geikie, A.: Geological map of England and Wales, 1 : 633 600	1900	I	252
Geikie, J.: Earth sculpture or the origin of land-forms	1900	I	36
— The last great baltic glacier	1900	I	296
Geinitz, E.: Ichthyosaurus von Dobbertin in Mecklenburg	*1900*	*I*	*63*
— Mitteilungen aus der Grossherzoglich Mecklenburgischen Geologischen Landesanstalt. XI. Die Wasserversorgung der Stadt Wismar 1900 I 289	02	II	416
— Grundzüge der Oberflächengestaltung Mecklenburgs	1900	II	85
— Tertiär im Untergrunde von Wismar	1900	II	287
— Kritik der Frage der interglacialen Torflager Norddeutschlands	01	I	289
— Die geologischen Aufschlüsse (Litorina-Ablagerungen) des neuen Warnemünder Hafenbaues	03	I	135
— Das Land Mecklenburg vor 3000 Jahren	03	II	412
— *Die Einheitlichkeit der quartären Eiszeit*	*BB*	*XVI*	*1*
— *Postglaciale Niveauschwankungen der mecklenburgischen Küste*	*CBl*	*1901*	*582*
— *Aphrocallistes (Hexagonaria) als Senongeschiebe*	*CBl*	*1901*	*584*
— *Zur Methodik des krystallographischen Unterrichts*	*CBl*	*1903*	*5*
— *Recente Riesentopfbildungen im Geschiebemergel der Ostseeküste*	*CBl*	*1903*	*414*
Geinitz, E. und G. Schacko: Das Kreidevorkommniss vom Kalkberg bei Rehna	02	I	451
Geinitz, Hanns Bruno: Nekrolog (mit Portrait)	*CBl*	*1900*	*6*
Gemböck, H.: Zum alpinen Cordierit	1900	II	352
Gennes, A. de et A. Bonnard: Les roches volcaniques du Protectorat des Somalis	02	I	411
Gentil, L.: Le volcan andésitique de Tifarouine (Algérie)	01	I	405
Gentile, G.: Su alcune nummuliti dell' Italia meridionale	03	II	153
— Contribuzione allo studio dell' Eocene dell' Umbria	04	I	277
Gerassimow, A.: Skizze der Goldseifen des Olekmischen Systems	02	II	334
— Geologische Untersuchungen in den Bassins der Flüsse Watscha und Katali im Lena'schen Bergrevier im Jahre 1900. Vorläufiger Bericht	02	II	409
— Ueber goldhaltige Schwefelkiese von der Goldwäscherei der Jekaterinenskij-Grube am Ugachan im Lena'schen Bergrevier	03	II	171
Gerhardt, K.: Elonichthys Scheidi n. sp. aus dem Culm von Lenzkirch im Schwarzwald	1900	II	144
Gerhardt, P.: Handbuch des deutschen Dünenbaues	CBl	1900	161
Gerland, G.: Das südwestdeutsche Erdbeben vom 22. Januar 1896	1900	I	42
— Seismographische Kleinigkeit	1900	I	371
— Die kaiserliche Erdbebenstation für Erdbebenforschung in Strassburg und die moderne Seismologie	02	I	379

	Jahrg.	Bd.	Seite
Gernez, D.: Sur les changements de couleur qu'éprouvent les jodures mercuriques aux diverses températures	1904	I	327
— Sur la forme que prend toujours le jodure mercurique en sortant de dissolution	04	I	327
Gervais, F.: Eine neue Lagerstätte von Boghead	04	I	230
Gesell, A.: Die geologischen Verhältnisse des Verespataker Grubenbezirkes und des Orlaer Szt. Kereszt-Erbstollens	03	II	243
-- siehe Böckh, J. und A. Gesell.			
Geyer, G.: Ueber die geologischen Aufnahmen im Westabschnitt der karnischen Alpen	01	I	93
— Zur Kenntniss der Triasbildungen von Sappada, San Stefano und Auronzo in Cadore	01	I	461
— Ueber die Verbreitung und stratigraphische Stellung der schwarzen Tropites-Kalke bei San Stefano in Cadore	01	I	462
— Uggowitzer Breccie und Verrucano	02	I	261
— Geologische Aufnahmen im Weissenbachthal, Kreuzengraben und in der Spitzegelkette	03	I	102
Giattini, G. B.: Fossili del Lovcen nel Montenegro	03	II	302
Gibson, Th. W.: Statistics for 1901, Ontario, Bureau of Mines	03	II	339
— Statistics für 1902	04	II	363
Gibson, Th. W. and W. Hind: On the Agglomerates and Tuffs of Congleton Edge. Mit einem Anhang von H. H. Arnold-Bemrose: On the Petrography of the Rocks of Congleton Edge	01	II	118
Gibson, W.: On the correlation of the palaeozoic rocks of South Africa	03	I	290
— siehe Strahan, A. and W. Gibson.			
Gidley, J. W.: A new Species of Pleistocene Horse from the Staked Plains of Texas	03	I	562
— Tooth Characters and Revision of the North American Species of the Genus Equus	04	I	122
Giesel, F.: Ueber die Ursache der Färbung von Haloidsalzen unter dem Einfluss der Kathodenstrahlen	1900	II	344
Gilbert, G. K.: Rhythms and Geologic Time	02	I	375
Gillii, Luigi, siehe Baratta, M.			
Gilpin, E.: Minerals for the Paris Exhibition	02	I	362
Girard, C. et F. Bordas: Analyse de quelques travertins du bassin de Vichy	02	II	348
Giraud, J.: Sur l'Oligocène de la région comprise entre Issoire et Brioude	01	I	125
— Les basaltes miocènes des environs de Clermont	1901	I	71 282
— Sur l'âge des formations volcaniques anciennes de la Martinique	03	II	377
— siehe Lacroix, A. etc.			
Girty, G. H.: Devonian fossils from southwestern Colorado: the fauna of the Ouray limestone	04	I	428
Giustiani, E., siehe Matteucci, R. V. e E. Guistiani.			
Gläser, M., siehe Kalmann, W. und M. Gläser.			
Glangeaud, Ph.: L'enseignement de la Minéralogie à la faculté de Clermont-Ferrand, leçon d'ouverture	1900	II	1
— Le volcan de Gravenoire et les sources minérales de Royat	02	I	71
— Les faciès et les conditions de dépôt du Turonien de l'Aquitaine	02	I	278

	Jahrg.	Bd.	Seite
Glangeaud, Ph.: Quelques mots sur les faciès et la tectonique du Crétacé des environs de Périgueux et de Champagne de Bel-tir (Dordogne)	1902	I	453
— Formation de nappes de glace, en été, dans les volcans d'Auvergne	02	II	373
Glinka, K.: Einiges über die phosphorsauren Verbindungen des Berges Bokuwka, Gouvernement Kielce	01	II	199
Glinka, S. F.: Ueber die Erscheinungen der Veränderung eines Gneisses unter dem Einfluss von Dynamitsprengungen	1900	I	416
Gmehling, A.: Beitrag zur Kenntniss der westaustralischen Goldfelder	1900	I	244
Gössl, J.: Pseudomorphosen von Quarz nach Kalkspath oder Dolomit	04	II	7
Götze, A.: Bernstein an der Wesermündung	02	I	17
Götzen, G. de: Notizia sulla maggior durezza di talune varietà di „calcite"	02	II	189
Goldring, N.: Mikroskopische Untersuchung der Steinkohlen der Golubowskoj'schen und Korsunskij'schen Lagerstätte des Donezer Steinkohlenbassins	01	II	82
Goldschmidt, V.: Ueber Lorandit von Allchar in Macedonien	1900	I	7
— Notiz zur Definition eines Zwillings	1900	I	330
— Ueber Krystallsysteme, deren Definition und Erkennung	1900	II	4
— Ueber einen Krystallmodellierapparat	1900	II	345
— Ueber Trögerit und künstlichen Uranospinit	01	I	202
— Ueber Abtheilungen der Krystallsysteme	01	II	330
— Zur Theorie der Zwillings- und Viellingsbildung, illustriert am Chrysoberyll	02	I	166
— Ueber Vanadinit (Endlichit) von Hillsboro, New Mexico	02	I	186
— Ueber Winkelprojectionen	03	II	157
— Pyrit von Porkura, Kis-Almas, Csetras	04	II	13
— *Zur Theorie und Discussion der Viellinge. Illustrirt am Cerussit von Mapimi (Mexico)*	*BB*	*XV*	*562*
— Ueber Harmonie und Complication	CBl	1902	433
— *Ueber Danburit von Piz Casanel im Petersthal (Graubünden)*	*CBl*	*1904*	*725*
Goldschmidt, V. and W. Nicol: New Forms of Sperrylite	04	I	344
— — *Spinellgesetz beim Pyrit und über Rangordnung der Zwillingsgesetze*	*04*	*II*	*93*
Goldschmidt, V. und H. Philipp: Pyrit von Csetras	03	II	13
Goldschmidt, V. und H. Preiswerk: Chrysoberyllzwilling von Ceylon	02	I	166
Goldschmidt, V. und Fr. E. Wright: Ueber Aetzfiguren, Lichtfiguren und Lösungskörper, mit Beobachtungen am Calcit	*BB*	*XVII*	*355*
— — *Ueber Lösungskörper und Lösungsgeschwindigkeiten von Calcit*	*BB*	*XVIII*	*335*
Gomes, J. P.: O bitume do Libollo (Prov. d'Angola)	1900	I	18
— Mineraes descobertos en Portugal	1900	I	30
— Neue Bemerkungen über den Libollit	02	II	234
Gonnard, A. et Adelphe: Sur l'apatite de certaines enclaves granulitiques du Chuguet-Genestoux (Puy-de-Dôme)	1900	I	17
Gonnard, F.: Sur un groupe de cristaux de quartz de Striegau (Silésie)	1900	II	178

	Jahrg.	Bd.	Seite
Gonnard, F.: Étude cristallographique du quartz des géodes des marnes oxfordiennes de Meylan (Isère)	1900	II	178
— Ueber Quarz von Bourg d'Oisans	02	II	341
— Sur quelques cristaux de quartz du Brésil	03	II	16
— Sur un cristal d'améthyste du Brésil	03	II	16
— Notes cristallographiques sur le quartz	03	II	17
— Sur une face Γ_1 observée sur un cristal de quartz du Valais par M. Termier	03	II	17
Goppelsröder, F.: Capillaranalyse, beruhend auf Capillaritäts- und Adsorptionserscheinungen	03	I	54
Gordon, Ogilvie M., siehe Ogilvie-Gordon, M.			
Górecki, Th. v.: Die Magneteisenerzlagerstätten der Hütte „Nikolajewski Zawod" im Gouvernement Irkutsk (Westsibirien)	04	II	416
Gorjanović-Kramberger, K.: Die Fauna der oberpontischen Bildungen von Podgradje und Višanovec in Kroatien	02	I	471
— Der palaeolithische Mensch und seine Zeitgenossen aus dem Diluvium von Krapina in Kroatien	02	II	132
Gosselet, J.: De l'alimentation en eau des villes et des industrie du nord de la France	1900	II	48
— Aperçu général sur la géologie du Boulonnais	02	I	90
— Quelques mots sur l'excursion de la Société belge de Géologie aux environs de Laon	02	I	456
— Les sables à galets de Mt. Hulin près St. Josse (P.-d.-C.)	02	I	457
— Note sur les gîtes de craie phosphatée des environs de Roisel suivie de considérations générales sur les dépôts de craie phosphatée de Picardie	03	II	263
— Excursion aux carrières de craie des envirions d'Arras	03	II	264
— Excursion dans la craie de Lumbres	03	II	264
— Excursion à la craie d'Aix-Noulette	03	II	264
Gossner, B.: Untersuchung polymorpher Körper	04	I	325
Gottsche, C.: Die Endmoränen und das marine Diluvium Schleswig-Hosteins. Theil I. Die Endmoränen	1900	II	289
— Die Endmoränen und das marine Diluvium Schleswig-Holsteins. Theil II. Das marine Diluvium	01	II	286
— Der Untergrund Hamburgs	02	II	281
Gould, Ch. N.: Tertiary Springs of Western Kansas and Oklahoma	02	II	417
— The lower Cretaceous of Kansas	02	II	435
— Some phases of the Dakota Cretaceous in Nebraska	02	II	436
Goyder, G. A.: Sulvanite, a new Mineral	1902	I	164. 165
Grabau, A. W.: The faunas of the Hamilton group of Eighteen-mile creek and vicinity in Western New York	02	II	267
— Stratigraphy of the Traverse Group of Michigan	03	II	259
— Palaeozoic coral reefs	04	II	97
— Stratigraphy of Becraft Mountain, Columbia County, New York	04	II	249
— siehe Shimer, H. W. and A. W. Grabau.			
Graber, H. V.: Ueber die Plasticität granitischer Gesteine	03	II	62
— Die Gesteine des niederösterreichischen Mühlviertels und der Cordierit von Linz a. D. 1903 II 332	04	I	58
— *Zur Klärung des Begriffes „Spalte" in seiner Anwendung auf Eruptionserscheinungen*	*CBl 1903 374*		
Grablowitz, G.: Propagazione dei terremoti	04	I	370

	Jahrg.	Bd.	Seite
Graeff, F.: Erster Nachweis von Kersantit im Schwarzwald	1901	I	399
— Petrographische und geologische Notizen aus dem Kaiserstuhl	01	I	400
Gramann, A.: Ueber die Andalusitvorkommnisse im rhätischen Flüela- und Scaletta-Gebiet und die Färbung der alpinen Andalusite	01	II	193
Grand'Eury, C.: Sur les Fougères fossiles enracinées du terrain houiller	03	II	153
— Forêt fossile de Calamites Suckowii, identité spécifique des C. Suckowii Br., C. Cistii Br., C. schatzlarensis St., C. foliosus Gr., Calamocladus parallelinervis Gr., Calamorhachys vulgaris Gr.	03	II	154
— Sur les Calamariées debout et enracinées du terrain houiller	03	II	155
— Sur les Stigmaria	03	II	302
— Sur les tiges debout, les souches et racines de Cordaites	03	II	303
— Sur les forêts fossiles et les sols de végétation du terrain houiller	03	II	305
— Sur la formation des couches de houille	03	II	307
— Sur les troncs debout, les souches et racines de Sigillaires	03	II	309
Grandidier, G.: Descriptions d'ossements des Lemuriens disparus	01	II	141
— Description de l'Archaeolemur robustus, nouvelle espèce de Lémurien subfossile de Madagascar	03	I	353
— Note sur des ossements d'animaux disparus provenant d'Ambolisatra sur la côte sud-est de Madagascar	03	I	353
Granger, W., siehe Osborn, H. F. and W. Granger.			
Grant, U. S.: Contact Metamorphism of a Basic Igneous Rock	02	II	239
— Preliminary Report on the copper-bearing rocks of Douglas County, Wisconsin. 2. Edition	CBl	1902	282
Grassinow, A.: Der Jablonowyj-Gebirgszug und das Witim-Plateau in Transbaikalien	01	II	110
Grassmann, H.: Ableitung der Krystallgestalten aus dem allgemeinen Gesetze der Krystallbildung	CBl	1904	154
Gray, P. L., siehe Poynting, J. H. and P. L. Gray.			
Greco, B.: Fauna della zona con Lioceras opalinum Rein. sp. di Rossano in Calabria	1900	II	453
— Sulla presenza del Dogger inferiore al Monte Foraporta presso Lagonegro	01	I	124
Green, A. H.: First lessons in modern Geology	CBl	1900	69
Green, J.: On some new and peculiar fossils from the Lower Devonians of the south coast of Cornwall	1900	II	433
Greenly, E.: On the Age of the Later Dykes of Anglesey	01	I	389
— Recent Denudation in Nant Ffrancon, North Wales	03	I	225
— The Origin and Associations of the Jaspers of South Eastern Anglesey	04	I	219
Gregor, J.: Trigonometrische Höhenbestimmung des Punktes Uranschitz (Rašica) im Erdbebengebiete von Laibach	1900	II	212
Gregorio, A. de: Quelques fossiles nouveaux de Lavacille près de Bassano des assises de S. Gonini	01	II	128
— Description de quelques fossiles miocènes de l'horizon à Cardita Jouanneti de Forabosco (Asolo) et de Romano (Bassano)	01	II	129

	Jahrg.	Bd.	Seite
Gregory, H. E.: Volcanic Rocks from Temiscouta Lake, Quebec	1901	I	413
— Contributions to the Geology of Maine. Part II. Geology of the Aroostock Volcanic Area including an Account of the Clastic Rocks of Aroostock County	03	I	428
Gregory, J. W.: A collection of Egyptian fossil echinoidea	1900	I	317
— On the classification of the palaeozoic echinoderms of the group of Ophiuroidea	1900	I	481
— On Lysechinus, a new genus of fossil echinoderms from the Tyrolese Trias	1900	I	482
— The Plan of the Earth and its Causes	1900	II	211
— Catalogue of the fossil Bryozoa in the Department of Geology	1900	II	484
— On Lindstromaster and the Classification of the Palaeasterids	1900	II	486
— A Note on the Geology of Socotra and Abd-El-Kuri	01	I	232
— A Collection of Egyptian Fossil Madreporaria	01	II	162
— Millestroma, a Cretaceous Milleporoid Coral from Egypt	01	II	162
— A note on the Geology of Socotra and Abd-El-Kuri	01	II	263
— Contributions to the Geology of British East Africa. Part II. The Geology of Mount Kenya	02	I	231
— Contributions to the Geology of British East Africa. Part III. The Nepheline-Syenite and Camptonitic Dykes intrusive in the Coast Series	02	I	236
— Fossil Echinoidea of Lake Urmi	02	II	154
— The fossil Corals of Christmas Island	03	II	100
Greppin, Ed.: Description des fossiles du Bajocien supérieur des environs de Bâle	02	I	469
Gresley, W. S.: Clay-veins vertically intersecting coal measures	1900	I	207
— Some new carboniferous plants, and how they contributed to the formation of coal seams	1900	I	240
Greven, Fr.: Manganerze in Brasilien	1900	II	40
Grigoriew, N.: Ueber die oberpalaeozoische, bei den Dörfern Troitzkoje und Luganskoje im Donetz-Becken gesammelte Flora	02	I	321
— Die jurassische Flora der Umgegend von Kamenka, District Isium, Gouv. Charkow	02	II	171
Grimmer, J.: Einsendung neuer Petrefactenvorkommnisse tertiären Alters aus der Umgebung von Tešanj in Bosnien	02	I	471
— Das Kohlenvorkommen von Bosnien und der Hercegovina	03	II	388
Grimsley, G. P. and E. H. S. Bailey: Special Report on Gypsum and Gypsum Cement Plasters	CBl	1901	280
Griswold, W. T.: The Berea grit Oil Sand in the Cadix quadrangle, Ohio	04	II	81
Grönwall, K. A.: Recent kalktuff ved Lellinge	1900	I	454
— Bidrag til Bornholms Geologi: Bemärkninger om Bornholms sedimentäre Dannelser og deres tektoniske Forhold	01	I	102
— Släktet Dimyodon i Danmarks krita	02	I	147
— Några anmärkningar om lagerserien i Stevns Klint	02	II	434
— Studier öfver Skandinaviens Paradoxides-Lag	03	I	545
— *Von Organismen angebohrte Seeigelstacheln der Kreidezeit*	*CBl*	*1901*	*73*

	Jahrg	Bd.	Seite
Groom, Th.: Note on the Martley Quartzite	1900	II	404
— On the Igneous Rocks Associated with the Cambrian Beds of the Malvern Hills	02	II	64
— On Polyphyma, a new Genus belonging to the Leperditidae, from the Cambrian Shales of Malvern	03	I	161
— On the Cambrian and Associated Beds of the Malvern Hills (with an Appendix on the Brachiopoda by Mr. C. A. Matley)	03	I	292
— On a new Trilobite from the Dictyonema-shales of the Malvern Hills	03	I	337
Grosser, P.: Geologische Betrachtungen auf vulcanischen Inseln	01	I	48
Grossouvre, A. de: Oxfordien et Rauracien de l'est et du sud-ouest du bassin de Paris	1900	I	281
— Sur quelques fossiles crétacés de Madagascar	1900	II	287
— Quelques observations sur les bélemnitelles et en particulier sur celles des Corbières	01	II	317
— Sur l'Ammonites peramplus et quelques autres fossiles turoniens	01	II	317
— Note sur l'Oligocène et le Miocène dans le Sud du bassin de Paris	02	I	119
— Oligocène et Miocène du Sud du bassin de Paris	02	I	283
— Sur la limite du Crétacé et du Tertiaire	02	I	452
— Réponse aux observations de MM. Douvillé et Munier-Chalmas	02	I	452
— Sur la constitution des sables de la Sologne aux environs de Gien	03	I	128
— Contribution à la géologie des Corbières	03	II	408
Groth, P.: Sur les notations cristallographiques	04	I	322
— siehe Wyrouboff, G.			
Grubenmann, U.: Ueber die Rutilnadeln einschliessenden Bergkrystalle vom Piz Aul im Bündner Oberland	1900	II	12
— Entstehung, Benennung und Beurtheilung der natürlichen Bausteine nach ihrer petrographischen Beschaffenheit und geologischen Stellung	CBl	1901	144
Gruber, K.: Der Schwefel- und Magnetkiesbergbau am Silberberg bei Bodenmais	03	I	444
Grünhut, L.: Die Gewinnung des Goldes	01	I	79
Grünling, F.: Ueber die Mineralvorkommen von Ceylon	02	I	191
Grunert, O.: Die Scaphopoden und Gastropoden der deutschen Trias	1900	I	316
Gruss, K.: Beiträge zur Kenntniss der Gesteine des Kaiserstuhlgebirges. Tephritische Strom- und Ganggesteine	02	I	392
Grzybowski, J.: Die Mikrofauna der Karpathenbildungen. II. Foraminiferen der naphthaführenden Schichten der Umgebung von Krosno	1900	II	163
— Die Mikrofauna der Karpathenbildungen. III. Die Foraminiferen der Inoceramenschichten von Gorlice	03	II	152
Guébhard, A.: Sur le bassin lacustre de La Roque-Esclapon (Var)	01	I	126
— Quatre gisements nouveaux de plantes tertiaires en Provence	01	II	446
— Sur quelques gisements nouveaux de plantes tertiaires en Provence	02	I	283
— Deux lambeaux de Miocène lacustre sur la rive gauche de la Siagne	02	II	440

	Jahrg.	Bd.	Seite
Guébhard, A.: Un faciès inférieur du Miocène	1902	II	440
— L'âge pliocène de la Brêche du Broc	04	II	435
Gümbel, C. W. v.: Ueber die in den letzten Jahren in Bayern wahrgenommenen Erdbeben	1900	I	376
Günther, S.: Handbuch der Geophysik	CBl	1900	135
— A. v. Humboldt und Leopold v. Buch	CBl	1900	296
— Geschichte der anorganischen Naturwissenschaften im Neunzehnten Jahrhundert	CBl	1901	599
Gürich, G.: Ueber Gabbro im Liegenden des oberdevonischen Kalkes von Ebersdorf bei Neurode in der Grafschaft Glatz	02	I	57
— Edelopal von White Cliffs in Neu-Südwales	02	I	167
— Festigkeitsuntersuchungen an natürlichen Bausteinen	02	II	240
— Das Devon von Dębnik bei Krakau	04	II	98
— Ueber einen angeblichen Fund von Spirifer mosquensis bei Krakau	04	II	98
— Ueber die Entstehungsweise schlesischer Erzlagerstätten (Oberschlesien und Kupferberg)	04	II	229
— Zur Genese der oberschlesischen Erzlagerstätten	04	II	230
— *Nachträge zum Palaeozoicum des Polnischen Mittelgebirges*	*BB*	*XIII*	*331*
— *Edelopal und Opal-Pseudomorphosen von White Cliffs, Australien*	*BB*	*XIV*	*472*
— *Jura- und Devon-Fossilien von White Cliffs, Australien*	*BB*	*XIV*	*484*
— *Ueber eine neue Lichas-Art aus dem Devon von Neu-Süd-Wales und über die Gattung Lichas überhaupt*	*BB*	*XIV*	*519*
— *Ein diluvialer Nephritblock im Strassenpflaster von Breslau*	*CBl*	*1901*	*71*
— *Cambrium (?) in Deutsch-Südwestafrika*	*CBl*	*1902*	*65*
— *Ueber das sogen. Lepidophyllum Waldenburgense Potonié = Calycocarpus thuoides Goeppert*	*CBl*	*1902*	*233*
Gulliver, F. P.: Cuspate Forelands	1900	I	45
— Shoreline Topography	01	I	52
— Planation and Dissection of the Ural Mountains	01	I	392
Gumaelius, T. H., siehe Jonson, P. A. und T. H. Gumaelius.			
Gunnar-Andersson: Grundzüge der physischen Geographie von Schweden	CBl	1901	140
— siehe auch Andersson, Gunnar.			
Gutzwiller, A.: Zur Altersfrage des Löss. 1901 II 449;	03	I	519
— siehe Schalch, F. und A. Gutzwiller.			

H.

Haag, F.: Zur Geologie von Rottweils Umgebung	01	I	132
— *Bemerkungen zum Diluvium im obersten Neckargebiet*	*CBl*	*1902*	*181*
— *Zur Thalgeschichte der oberen Donau*	*CBl*	*1903*	*597*
Haas, H.: Aus der Sturm- und Drangperiode der Erde	CBl	1903	462
Haasy, v., siehe W. Hempel und v. Haasy.			
Haber, E.: Die geschwefelten Erzvorkommen an der Westküste von Tasmania	02	II	84
Hackmann, V.: Neue Mittheilungen über das Ijolithmassiv in Kuusamo	01	II	237
Häpke: Die Erdölwerke der Lüneburger Heide	02	I	17
— Nachtrag zu den Bernsteinfunden (im nordwestlichen Deutschland	02	I	17

	Jahrg.	Bd.	Seite
Häpke: Der Staubfall vom 10. und 11. März 1901 und dessen Eisengehalt	1903	II	362
— Die Erdölwerke und Tiefbohrungen in der Lüneburger Heide	04	I	403
Hagmann: Ein Spatangid aus dem Septarienthon von Laufen (Berner Jura)	1900	I	144
— Die diluviale Wirbelthierfauna von Vöklinshofen (Ober-Elsass). I. Theil. Raubthiere und Wiederkäuer, mit Ausnahme der Rinder	01	I	494
Hague, A.: Early Tertiary Volcanoes of the Absaroka Range	01	I	234
Haizmann, W.: Der weisse Jura γ und δ in Schwaben	*BB*	*XV*	*473*
Halaváts, J.: Die geologischen Verhältnisse des Alföld (Tieflandes) zwischen Donau und Theiss	1900	I	93
— Die geologischen Verhältnisse der Umgebung von Uj-Gredistye, Lunkány und Hátszeg im Comitate Hunyad	03	II	243
Hall, A. L., siehe Lewis, W. J. und A. L. Hall.			
Hall, C. W.: The Gneisses, Gabbro Schists and Associated Rocks of Southwestern Minnesota	01	II	245
— Keweenawan Area of Eastern Minnesota	03	I	436
— Keewatin Area of Eastern and Central Minnesota	03	I	437
Hall, C. W. and F. W. Sardeson: Eolian deposits of Eastern Minnesota	01	II	219
Hall, T. S.: The graptolite-bearing rocks of Victoria, Australia	1900	II	430
— On the Occurrence of the Anchoring Tubes of Adeona in the Older Tertiaries of Victoria with an Account of their Structure	1900	II	483
— A new genus and a new species of fish from the mesozoic rocks of Victoria	04	I	308
Hall, T. S. and G. B. Pritchard: Geology of the lower Mooraboool	1900	I	261
Hamberg, A.: Ueber die Basalte des König Karl-Landes	01	I	71
Hamilton, A.: A list of recent and fossil Bryozoa collected in various parts of New Zealand	01	II	158
— List of papers on the geology of New Zealand	04	II	252
— On the Septarian Boulders of Moeraki, Otago	04	II	260
Hamilton, S. H.: Monazite in Delaware Co., Penns.	01	I	200
Hamilton, S. H. and James R. Withrow: The progress of Mineralogy in 1899	CBl	1901	50
Hamm, H.: Ueber Gerölle von Geschiebelehm in diluvialen Sanden	02	II	127
Hammer, W.: Olivingesteine aus dem Nonsberg, Sulzberg und Ultenthal	1900	II	392
— Die krystallinen Alpen des Ultenthales. I. Das Gebirge südlich der Faltschauer	04	I	61
— Die krystallinen Bildungen im Bereiche des Blattes Cles	04	I	64
— Ueber die Pegmatite der Ortler Alpen	04	II	208
Handlirsch, A.: Ueber Eugereon Boeckingi Dohrn	04	I	312
— Zur Phylogenie der Hexapoden	04	I	463
Handmann, R.: Ueber ein Vorkommen von Cordierit und Sillimanit bei Linz in Oberösterreich	03	I	193
Hanssen, H.: Die Bildung des Feuersteins in der Schreibkreide	CBl	1902	659
Harboe, F. G.: Das Erdbeben von Agram am 9. November 1880	02	II	208
Harbort, E.: Die Schaumburg-Lippe'sche Kreidemulde	*03*	*I*	*59*

	Jahrg.	Bd.	Seite
Harbort, E.: Zur Frage nach der Entstehung gewisser devonischer Rotheisenerzlagerstätten	*1903*	*I*	*179*
— Ueber mitteldevonische Trilobitenarten im Iberger Kalk bei Grund im Harz	04	II	323
Harder, P.: En ny sönderjysk lokalitet for marint diluvium	03	I	524
Harding, C. N.: Thorium in Phosphaten von Tennessee	1900	II	31
Harker, A.: On the Average Composition of British Igneous Rocks	1900	II	386
— On a Question relative to Extinction-angles in Rock-slices	02	II	3
— The Sequence of the Tertiary Igneous Rocks of Skye	03	I	420
— The Overthrust Torridonian Rocks of the Isle of Rum, and the Associated Gneisses	03	II	422
Harker, G.: On the composition of N. S. Wales Labradorite and Topazes with a comparaison of methods for the estimation of Fluorine	02	I	184
Harlé, E.: Age de la plaine de la Garonne en amont et en aval de Toulouse	1900	I	451
— Porc épic quaternaire de Montsaunès (Haute-Garonne)	01	I	497
— Une machoire de Dryopithèque	01	I	497
— Nouvelles pièces de Dryopithèque et quelques coquilles de St. Gaudens (Haute-Garonne)	01	II	145
— Catalogue de paléontologie quaternaire des collections de Toulouse	02	II	143
— Rochers creusés par des colimaçons à Salies-du-Salat	02	II	214
— Restes d'élan de La Plagnotte (Ariège)	03	I	563
— Gisements à Saiga	03	II	132
Harmancsok, G.: Soóvár	1900	II	408
Harmer, F. W.: On the range in time and space of Fusus (Neptunea) antiquus and its allies	1900	II	479
— On a proposed new Classification of the Pliocene deposits of the East of England	03	I	308
— On the Pliocene deposits of the East of England	03	I	308
— The Influence of the Winds upon Climate during the Pleistocene Epoch: a palaeometeorological explanation of some geological problems	03	II	354
Harmer, S. F.: Notes on Cyclostomatous Polyzoa	1900	I	478
Harmes, T. W.: On the Crag of Essex (Waltonian) and its Relation to that of Suffolk and Norfolk	01	II	283
Harnecker, O.: Das Erdbeben von Tocopilla, 9. Mai 1877	1900	I	43
Harrington, B. J.: On the Formula of Bornite	04	II	13
— On the composition of some Canadian Amphiboles	04	II	23
Hartley, E. G. J.: Communications from the Oxford Mineralogical Laboratory. On the constitution of the mineral Arsenates and Phosphates. I. Chalcophyllit	01	I	201
— Communication from the Oxford Mineralogical Laboratory: On the constitution of the natural Arsenates and Phosphates. II. Pharmakosiderit	01	I	201
— On the constitution of the natural Arsenates and Phosphates. III. Plumbogummit und Hitchcockit	1901	I	358. 359
Hartz, N.: Planteforsteninger fra Cap Stewart; Östgrönland, med en historisk Oversigt	02	II	318
Hartz, N. und V. Milthers: Det senglaciale Ler i Alleröd Teglvärksgrav	02	II	129
Haskovec, A, siehe Kovar, F. und A. Haskovec.			
Hasselblatt, B.: Magneteisenerz im Süd-Ural	03	I	187

	Jahrg.	Bd.	Seite
Hasslinger, R. v.: Künstliche Diamanten aus Silicatschmelzen	1903	I	367
Hatch, F. H.: The Kolar Gold-Field, being a description of Quartz-Mining and Gold-Recovery as practised in India	CBl	1902	312
— siehe Hayden, H. H. and F. H. Hatch.			
Hatcher, J. B.: Diceratherium proavitum	1900	II	140
— Sedimentary Rocks of Southern Patagonia	1900	II	425
— On the Cranial Elements and the deciduous and permanent Dentition of Titanotherium	03	II	285
— Some new and little known fossil Vertebrates	03	II	286
— A Mounted Skeleton of Titanotherium dispar Marsh	04	I	299
— Oligocene Canidae	04	II	308
Hatzeg, siehe Popovici-Hatzeg, V.			
Haug, E.: Portlandien, Tithonique et Volgien	1900	I	116
— Sur le Cénomanien de Diego-Suarez (Madagascar)	02	I	280
— Sur l'âge des couches à Nummulites contortus et Cerithium Diaboli	04	I	98
— Sur la date d'apparition des Bélemnites	04	II	325
Haug, E., M. Lugeon et P. Corbin: Sur la découverte d'un nouveau massif granitique dans la vallée de l'Arve, entre Servoz et les Houches	04	I	218
Hauswaldt, Hans: Interferenzerscheinungen an doppelbrechenden Krystallplatten im convergenten polarisirten Licht	CBl	1904	472
— — Interferenzerscheinungen im polarisirten Licht	CBl	1904	472
Hauthal, R.: Ueber patagonisches Tertiär	1900	II	441
— Erforschung der Glacialerscheinungen Südpatagoniens	1900	II	442
— Réponse à M. Mercerat au sujet de ses embrouillements géologiques dans ses travaux sur la Patagonie australe	1900	II	442
— Reseña de los hallazgos en las cavernas de Ultima Esperanza	01	II	309
— Contribuciones al conocimiento de la Geologia de la Provincia de Buenos Aires. I. Excursión á la Sierra de la Ventana. II. Apuntes geológicos de las Sierras de Olavarría	02	II	428
— Büsserschnee (Nieve penitente)	03	I	50
Haworth, E.: Relations between the Ozark Uplift and Ore Deposits	03	I	95
— Annual bulletin on mineral resources of Kansas for 1897	CBl	1901	90
Hay, O. P.: Bibliography and Catalogue of the fossil Vertebrata of North America	03	I	343
— Descriptions of some vertebrates of the Carboniferous	03	II	442
Hayden, H. H.: On the Geology of Tirah and the Bazar Valley	02	I	432
— Some Auriferous Localities in North Cocinbatore	CBl	1902	312
Hayden, H. H. and F. H. Hatch: The Gold-Field of Waenàd	CBl	1902	311
Hayes, C. W.: Der Eisenerzdistrict von Catersville	03	I	89
— The Arkansas Beauxite Deposits	03	II	18
— Tennessee White Phosphate	03	II	27
Headden, W. P.: Some products found in the hearth of an old furnace upon the dismantling of the Trethellan tin works, Truro, Cornwall	1900	I	22
Hecker, O.: Beitrag zur Theorie des Horizontalpendels	01	I	206
— Ergebnisse der Messung von Bodenbewegungen bei einer Sprengung	01	I	252

	Jahrg.	Bd.	Seite
Hecker, O.: Ueber die Vortheile der Anwendung von Instrumenten mit Dämpfung für die Erdbebenforschung	1903	I	47
— *Petrographische Untersuchung der Gabbrogesteine des oberen Veltlin*	*BB XVII*		*313*
Heddle, M. Forster: The mineralogy of Scotland	CBl 1901		530
Hedström, H.: Gahnit von Snuggens Kupfergrube, Kirchspiel Färila in Helsingland	02	I	165
— Om ändmoräner och strandlinier i trakten af Waberget	02	II	283
Heer, W. H.: Der Ursprung des Salpeters in den Höhlen	01	I	193
Heim, A.: Die Gletscherlawine an der Altels am 11. September 1895	1900	I	209
— Geologische Nachlese. 9. Querprofil durch den Central-Kaukasus, längs der grusinischen Heerstrasse, verglichen mit den Alpen	1900	I	423
— Geologische Nachlese. 8. Die Bodenbewegungen von Campo im Maggia-Thal	1900	II	43
— Nachschrift über das anstehende Gestein am Ostfuss des Glärnisch	01	II	209
— Geologische Nachlese. No. 10. Der Schlammabsatz am Grund des Vierwaldstättersees	02	I	217
— Geologische Nachlese. No. 12. Gneissfältelung im alpinen Centralmassiv, ein Beitrag zur Kenntniss der Stauungsmetamorphose	02	I	218
— Geologische Nachlese. No. 11. Ueber das Eisenerz am Gonzen, sein Alter und seine Lagerung	03	I	85
Heimann, P.: Beiträge zur Kenntniss des Gabbrozuges bei Neurode mit specieller Berücksichtigung der daraus entstandenen feuerfesten Schieferthone	01	II	54
Heineck, Fr.: Die Diabase an der Bahnstrecke Hartenrod—Uebernthal bei Herborn	*BB XVII*		*77*
— *Die mikrophotographische Aufnahme von Dünnschliffen*	*CBl 1903*		*628*
Heller, K. M., siehe Meyer, A. B. und K. M. Heller.			
Hellmann, G. und W. Meinardus: Der grosse Staubfall vom 9.—12. März 1901 in Nordafrika, Süd- und Mitteleuropa	03	II	64
Helm, O.: Ueber die durch eingeschlossenes oder eingedrungenes Wasser und andere Flüssigkeiten im Succinit hervorgebrachten Erscheinungen	1900	II	33
Hempel, W. und v. Haasy: Ueber die Darstellung von amorphem Silicium, Siliciumsulfid, Siliciumchlorid und von Sulfosilicaten	01	II	4
Henkel, L.: Neue Aufschlüsse bei der Sachsenburg an der Unstrut	03	II	403
— Alte Ablagerungen der Saale zwischen den Mündungen der Ilm und der Unstrut	03	II	415
— *Zur Störungszone der Finne*	*CBl 1903*		*660*
— *Cölestin im Wellenkalk der Naumburger Gegend*	*CBl 1904*		*116*
Hennig, A.: Kullens kristalliniska bergarter. I. Den prekambriska granitit-, banatit-, hypersthengabbroserien	1900	I	222
— Studier öfver den baltiska yngre kritans bildningshistoria	1900	I	285
— Om skrifkritan i skåne	1900	I	289
— Apophyllit von Sulitelma	1900	II	354
— Faunan i Skånes yngre krita. II. Lamellibranchiaterna	01	I	280
— Kullens kristalliniska Bergarter. II. Den postsiluriska gangformationen	01	II	57
— Studier öfver Skånes ytskulptur. No. I. Odensjön	04	I	366
— *Basalt-Tuff von Lillö*	*CBl 1902*		*357*

	Jahrg.	Bd.	Seite
Henning, F., siehe Holborn und F. Henning.			
Henniger, K. A.: Lehrbuch der Chemie und Mineralogie mit Einschluss der Elemente der Geologie	CBl 1904		281
Henrich, F.: Ueber Einlagerungen von Kohle im Taunusquarzit	1902 II 267	1903 I	230
Henriksen, G.: On the Iron Ore Deposits in Syd-Varanger (Finmarken-Norway) and relative geological problems	04	II	415
Heraeus, H.: Ueber Quarzglas	04	II	173
Herbing, J.: Ueber eine Erweiterung des Gebietes der produktiven Steinkohlenformation bei Landeshut i. Schles.	*CBl 1904*		*403*
Hermann: Der geologische Aufbau des deutschen Westufers des Victoria Nyansa	03	I	489
Hermann, Paul: Apatit vom Rautenkranz im Erzgebirge	*CBl 1904*		*433*
— Ueber den Doppelgang bei Schriesheim im Odenwald .	*CBl 1904*		*622*
Hermann, Rudolph, siehe Vischniakoff, N. und Rudolph Hermann.			
Herrmann, L.: Die vogtländischen Kieselschieferbrüche .	02	II	226
Herrmann, O.: Die Prüfung der natürlichen Baugesteine	02	I	242
— Zur Mittheilung des Herrn M. Gary	02	I	242
— Die Bezeichnung technisch nutzbarer Gesteine	03	I	81
— siehe Martens, A.			
Hershey, O. H.: The Geology of the central Portion of the Isthmus of Panama	02	II	430
Herz, W.: Ueber die wichtigsten Beziehungen zwischen der chemischen Zusammensetzung von Verbindungen und ihrem physikalischen Verhalten	01	I	176
— Ueber die Moleculargrösse der Körper im festen und flüssigen Aggregatzustande	01	I	177
Hess, H.: Ueber den Zusammenhang zwischen Schichtung und Bänderung der Gletscher	*02*	*I*	*23*
— Elasticität und innere Reibung des Eises	04	I	14
— *Einiges über Gletscher . . . . . .*	*CBl 1902*		*225*
— siehe Blümcke, A. und H. Hess.			
Hess von Wichdorff, H.: Die beiden Vorkommnisse von metamorphem Oberdevonkalk bei Weitisberga und der genetische Zusammenhang derselben mit dem Granitmassiv des Hennbergs bei Weitisberga	*CBl 1901*		*113*
Hesse, E.: Die Mikrostructur der fossilen Echinoideenstacheln und deren systematische Bedeutung	*BB XIII*		*185*
Hewitt, J. T : Note on Natural Gas at Heathfield Station (Sussex)	1900 II		410
Heydweiler, A.: Ueber Schmelzpunkterhöhung durch Druck und den continuirlichen Uebergang von festem zum flüssigen Aggregatzustand	01	II	254
— Erwiderung auf Hrn. G. Tammann's Bemerkung . . .	01	II	254
Heyn, E.: Mikroskopische Untersuchungen an tiefgeätzten Eisenschliffen	1900	I	174
— Die Umwandlung des Kleingefüges bei Eisen und Kupfer durch Formänderung im kalten Zustande und darauf folgendes Ausglühen	01	II	172
Heynemann, D. F.: Kupfernickel, Nickel und Kobalt . .	01	I	181
Hezner, L.: Ueber einige in schweizerischen Pfahlbauten gefundene Steinwerkzeuge	*BB XX*		*133*
Hibsch, J. E.: Geologische Karte des böhmischen Mittelgebirges. Blatt II. Rongstock-Bodenbach nebst Erläuterungen	1900 II		81

	Jahrg.	Bd.	Seite
Hibsch, J. E.: Versuch einer Gliederung der Diluvialgebilde im nordböhmischen Elbthale	1901	I	481
— Beiträge zur Geologie des böhmischen Mittelgebirges. II.	02	II	52
— Die Denudation im Gebiete der oberen Elbe	02	II	212
— Ueber Sodalithaugitsyenit im böhmischen Mittelgebirge und über die Beziehungen zwischen diesem Gestein und dem Essexit	04	I	57
— *Der Essexitkörper von Rongstock ist kein Lakkolith*	*CBl*	*1901*	*119*
Hick, Th.: On the primary structure of the Stem of Calamites	1900	I	321
Hidden, W. E.: The Hayden Creek, Idaho, Meteoric Iron	01	II	40
— Corundum twins	03	I	380
— siehe Judd, J. W. and W. E. Hidden.			
Hidden, W. E. and J. H. Pratt: On rhodolite, a new variety of garnet	1900	I	187
— — On the associated minerals of rhodolite	1900	I	187
Hilber, V.: Fossilien der Kainacher Gosau	04	I	120
Hilber, V. und J. A. Ippen: Gesteine aus Nordgriechenland und dessen türkischen Grenzländern	*BB*	*XVIII*	*1*
Hilgendorf, F.: Der Uebergang des Planorbis multiformis trochiformis zum Planorbis multiformis oxystomus	03	I	166
Hill, siehe Bonney und Hill.			
Hill, H.: On the geology of the district between Napier and Puketitiri	04	II	253
Hill, J. B.: On the Progressive Metamorphism of some Dalradian Sediments in the Region of Loch Awe	1900	II	221
— On the Crush-Conglomerates of Argillshire	03	I	74
Hill, J. B. and H. Kynaston: On Kentallinite and its Relations to other Igneous Rocks in Argyllshire	01	II	233
Hill, R. T.: The geological history of the Isthmus of Panama and portions of Costa Rica 1900 I 259	1900	II	269
— The Occurrence of the Texas Mercury Minerals	04	I	338
— The Beaumont oil field, with notes on other oil fields of the Texas Region	04	I	403
Hill, R. T. and Th. W. Vaughan: The lower cretaceous Gryphaeas of the Texas region	1900	II	481
— — Geology of the Edwards Plateau and Rio Grande Plain adjacent to Austin and San Antonio, Texas, with Reference to the Occurrence of Underground Waters	01	I	450
Hill, W.: Note on the Upper Chalk of Lincolnshire	04	I	271
Hillebrand, W. F.: Praktische Anleitung zur Analyse der Silicatgesteine nach den Methoden der geologischen Landesanstalt der Vereinigten Staaten. Nebst einer Einleitung, enthaltend einige Principien der petrographisch-chemischen Forschung von F. W. Clarke und W. F. Hillebrand	1900	I	379
— Distribution and Quantitative Occurrence of Vanadium and Molybdenum in Rocks of the United States	1900	II	68
— Mineralogical Notes: Analyses of Tysonite, Bastnäsite, Prosopite, Jeffersonite, Covellite etc.	01	I	33
— Mineralogical Notes: Melonite (?), Coloradoite, Petzite Hessite	01	I	184
— Mineralogical notes (Calaverit und andere Telluride, Epidot, Anorthit. Mariposit etc.)	01	II	345
— Some Principles and Methods of Rocks Analysis	02	II	52
— siehe Turner, H. W.			

	Jahrg.	Bd.	Seite
Hillebrand, W. F. and S. L. Penfield: Some additions to the Alunite-Jarosite-group of minerals	1903	II	183
Hillebrand, W. F. and F. L. Ransome: On Carnotite and associated vanadiferous minerals in Western Colorado	01	II	357
Hillebrand, W. F., H. W. Turner and F. W. Clarke: On Roscoelite	1900	II	20
Hilton, H.: A simple proof of the rationality of the anharmonic ratio of four faces of a Zone	02	II	173
— Ueber Viola's Methode der Ableitung der Krystallclassen aus dem Principe der Homogenität	03	II	160
— Mathematical crystallography and the theory of groups of movements	04	II	335
— *Ein Vergleich der verschiedenen Bezeichnungen, die in der Theorie der Krystallstructur benutzt werden, und eine Revision der 230 Bewegungsgruppen*	*CBl*	*1901*	*746*
— *Ueber die Capillaritätsconstanten der Krystallflächen*	*CBl*	*1901*	*753*
Hind, W.: Note of the life-zones in the carboniferous deposits of Europe	1900	I	113
— siehe Gibson, W. and W. Hind.			
Hinde, G. J.: Description of fossil radiolaria from the rocks of central Borneo, obtained by Prof. Dr. G. A. F. Molengraaff in the Dutch exploring expedition of 1893—94	02	II	490
Hinrichsen, W., siehe Hoff, J. H. van't und Mitarbeiter.			
Hinterlechner, K.: Vorläufige Mittheilungen über die Basaltgesteine in Ostböhmen	01	I	401
— Bemerkungen über die krystallinischen Gebiete bei Pottenstein a. d. Adler und östlich von Reichenau—Lukawitz—Skuhrow auf dem Blatte „Reichenau und Tyništ", Zone 5, Col. XIV (1 : 75000)	03	I	244
— Beiträge zur Kenntniss der geologischen Verhältnisse Ostböhmens. I. Der Gneissgranit und die Dislocation von Pottenstein a. d. Adler	03	I	244
— Ueber Basaltgesteine aus Ostböhmen	03	I	245
— Granitit als Einschluss im Nephelin-Tephrite des Kunětitzer Berges bei Pardubitz in Böhmen	03	I	245
— Vorläufige petrographische Bemerkungen über Gesteine des westböhmischen Cambriums	03	I	249
— Ueber neue Einschlüsse fremder Gesteine im Nephelintephrite des Kunětitzer Berges bei Pardubitz in Böhmen	04	I	56
— Ueber den Granit und die Gneisse aus der Umgebung und westlich von Deutschbrod in Böhmen	04	II	385
Hintze, C.: Ueber ungewöhnliche Ausbildung eines Karlsbader Zwillings von Striegauer Kalifeldspath	02	I	173
Hintze, V.: Jordskaelvet i Thy og paa Mors 16. August 1900	03	I	50
Hirata, K., siehe Omori, F. and K. Hirata.			
Hirschi, H.: Beiträge zur Kenntniss der gesteinsbildenden Biotite und ihrer Beziehung zum Gestein	03	II	360
Hirschwald, J.: Ueber ein neues Mikroskopmodell und ein „Planimeter-Ocular" zur geometrischen Gesteinsanalyse	*CBl*	*1904*	*626*
Hise, C. R. van: Earth movements	1900	I	367
— Metamorphism of rocks and rock flowage 1900 I 409	01	I	218
— The Training and Work of a Geologist	04	II	198
— Some Principles Controlling the Deposition of Ores	CBl	1901	501

	Jahrg.	Bd.	Seite
Hissink, J. D.: Ueber die Bildung und Umwandlung der Mischkrystalle von Natriumnitrat mit Kaliumnitrat und von Natriumnitrat mit Silbernitrat	1901	I	340
Hitchcock, C. H.: Note on the stratigraphy of certain homogeneous rocks	1900	I	259
— Volcanic Phenomena on Hawaii	03	I	422
— Evidences of interglacial deposits in the Connecticut Valley. (Abstract.)	04	I	439
Hjorth, A.: Om Vellengsbyleret og dets Flora	01	I	102
Hlawatsch, C.: Krumme Flächen und Aetzerscheinungen am Stolzit. Element p_0 des Raspit	1900	I	196
— Aetzversuche an Krystallen von metallischem Magnesium	02	I	7
— Bestimmung der Doppelbrechung für verschiedene Farben an einigen Mineralien	03	I	359
— Ueber den Nephelinsyenitporphyr von Predazzo	03	I	415
— Titanit von Moos im Passeier	04	I	170
— Ein Chabasitvorkommen von Predazzo	04	I	175
— Zwei krystallisirte Hüttenproducte von Beraun	04	II	11
— Absorptionsspectrum b und c des Alexandrits	04	II	14
— Eine merkwürdige Hornblende aus dem Gabbro-Diorit von Jablanica	04	II	24
Hobbs, W. H.: The diamond field of the great lakes	1900	I	338
— Goldschmidtite, a new mineral	1900	II	176
— A Spiral Fulgurite from Wisconsin	01	I	15
— Suggestions regarding the Classification of the Igneous Rocks	01	I	396
— Die Diamantfelder an den grossen Seen	02	I	246
— The old Tungsten Mine at Trumbull, Conn.	03	II	28
— The Mapping of the Crystalline Schists. Part I: Methods. Part II: Basal Assumptions	04	II	405
Hochstetter, F. v., siehe Toula, F.			
Hocker, F.: Die Conchylienfauna der diluvialen Sand- und Tuffablagerung bei Brüheim im Herzogthum Gotha	03	II	276
— Zur Kenntniss der pleistocänen Helix (Tachea) tonnensis Sdbg.	03	II	277
Hödlmoser, C.: Chemische Analyse des Meteoriten von Zavid	1900	II	202
Höfer, H.: Zur Bestimmung des Alters der Gänge	1900	II	247
— Zur Geologie des Erdöles	02	I	421
— Die Wärmeverhältnisse im kohleführenden Gebirge	03	II	44
Högbom, A. G.: Om de vid syenitbergarter bundna jernmalmerna i östra Ural	1900	I	81
— Ueber einige Mineralverwachsungen	1900	I	169
— Om sparagmiterna vester om Ströms Vattudal	1900	I	269
— Till frågan om den senglaciala hafsgränsen i Norrland	1900	I	453
— Om Ragundadalens geologi	02	I	93
— Om några fluvioglaciala erosionsföreteelser	02	II	283
— Eine meteorstatistische Studie	03	I	206
— Om nomenclaturen för våra losa jordslag	04	I	377
Höhnemann, E.: Zur Entstehungsgeschichte der neumärkischen Thäler	03		519
Hoek, H.: Geologische Untersuchungen im Plessurgebirge um Arosa	04	I	240
— siehe Steinmann, G. etc.			
Hören, L.: Ueber Regelmässigkeiten bei der Krystallisation concentrirter Salzlösungen	01	II	86

	Jahrg.	Bd.	Seite
Hörhager, J.: Das Erzrevier von Beślinac-Trgove in Kroatien	1904	II	240
— Das Eisensteinvorkommen bei Neumarkt in Obersteier.	04	II	412
Hörnes, R.: Erdbeben in Steiermark während des Jahres 1897	1900	II	375
— Bericht über die obersteirischen Beben des ersten Halbjahres 1899, zumal über die Erschütterungen vom 1., 7. und 29. April	01	I	209
— Erdbeben in Steiermark während des Jahres 1898	01	I	210
— Sarmatische Conchylien aus dem Oedenburger Comitat	01	I	474
— Beitrag zur Kenntniss der Megalodonten aus der oberen Trias des Bakony	03	I	171
— Chondrodonta (Ostrea) Joannae Choffat in den Schiosi-Schichten von Görz, Istrien, Dalmatien und der Hercegovina	04	I	149
Hoff, J. H. van't: La formation de l'anhydrite naturelle et le rôle du temps dans les transformations chimiques	02	II	12
— Ueber das Auskrystallisiren complexer Salzlösungen bei constanter Temperatur unter besonderer Berücksichtigung der natürlichen Salzvorkommnisse	02	II	13
— Cristallisation à température constante	02	II	13
— Zinn, Gyps und Stahl vom physikalisch-chemischen Standpunkt	03	II	12
— Vorlesungen über theoretische und physikalische Chemie	CBl	1901	149
Hoff, J. H. van't und W. Meyerhoffer: Ueber Anwendung der Gleichgewichtslehre auf die Bildung oceanischer Salzablagerungen mit besonderer Berücksichtigung des Stassfurter Salzlagers. I. Die Hydrate des Magnesiumchlorids. II. Die Gleichgewichtsverhältnisse des Carnallits	01	I	13
— siehe auch Kubierschky.			
Hoff, J. H. van't und Mitarbeiter: Untersuchungen über die Bildungsverhältnisse der oceanischen Salzablagerungen, insbesondere des Stassfurter Salzlagers.			
VII.—XI. Die Lösungen von Magnesiumchlorid, Kaliumsulfat, Magnesiumsulfat, Kaliumchlorid und deren Doppelsalzen bei gleichzeitiger Sättigung an Chlornatrium bei 25°.			
VII. Qualitativer Theil. 1. Thenardit, Glaserit und Sulphohalit.			
VIII. Qualitativer Theil. 2. Magnesiumsulfatpenta- und -Tetrahydrat.			
IX. Quantitativer Theil. 1. Die Umwandlung des Sättigungsfeldes.			
X. Qualitativer Theil. 3 Das Auftreten des Kaliastrakanit Leonit).			
XI. Quantitativer Theil. 2. Die Krystallisationsbahnen und der Krystallisationsendpunkt.			
XII. Das Magnesiumsulfatfünfviertelhydrat			
XIII. Das Eintrocknen des Meerwassers bei 25°.			
XIV. Einfluss des Drucks auf die Thenarditbildung.			
XV. Die Bildung von Glauberit bei 25°	01	I	6
XVI. Das Magnesiumkaliumsulfatfünfviertelhydrat.			
XVII. Eine Beziehung in der Zusammensetzung der bei 25° an Chlornatrium und Chlorkalium gesättigten Lösungen.			

	Jahrg.	Bd.	Seite
XVIII. Gyps und Anhydrit. 1. Das Halbhydrat von schwefelsaurem Kalk, $CaSO_4 . \frac{1}{2} H_2O$.			
XIX. Die Maximaltensionen der Lösungen von den Chloriden und Sulfaten des Magnesiums und Kaliums bei gleichzeitiger Sättigung von Chlornatrium bei 25° und das Auftreten von Kainit bei dieser Temperatur.			
XX. Die Bildung von Syngenit bei 25°.			
XXI. Die Bildung von Kainit bei 25°.			
XXII. Gyps und Anhydrit. 2. Der lösliche Anhydrit.			
XXIII. Das Auftreten von Kieserit bei 25°. Abschluss und Zusammenfassung der bei Sättigung von Chlornatrium bei 25° und Anwesenheit der Chloride und Sulfate von Magnesium und Kalium erhaltenen Resultate.			
XXIV. Gyps und Anhydrit. 3. Der natürliche Anhydrit und dessen Auftreten bei 25°.			
XXV. Die Bildung von Langbeinit und deren untere Temperaturgrenze in den Salzlagern bei 37°. Von J. H. VAN'T HOFF, W. MEYERHOFFER und T. G. COTTRELL.			
XXVI. Die Bildung von Loeweït und deren untere Temperaturgrenze bei 43°. Von J. H. VAN'T HOFF und A. O'FARELLY	1903	I	38
Hoffmann, G. Chr.: On some new mineral occurrences in Canada	02	II	37. 366
Hoffmann, L.: Das Vorkommen der oolithischen Eisenerze (Minette) in Luxemburg und Lothringen	02	II	88
— Die wiederholten Vereisungen der Erdoberfläche	CBl	1904	28
Hoffmann, P.: Untersuchung der Moorerde von Bad Sülze und Göldenitz, sowie vergleichende Tabellen einiger Moorerden	03	II	390
Hofmann, A.: Antimonitgänge von Přičov in Böhmen.	03	I	92
— Ueber den Pyrolusit von Narysov	04	II	16
— Jugendliche Pyritbildung	04	II	172
— Vorläufiger Bericht über turmalinführende Kupferkiese vom Monte Mulatto	04	II	184
Hofmann, A. und F. Ryba: Leitpflanzen der palaeozoischen Steinkohlenablagerungen in Mitteleuropa	CBl	1900	25
Hofmann, K. A. und W. Heidepriem: Eine Bröggerit-Analyse	02	II	341
Hofmann, K. A. und W. Prandtl: Ueber die Zirkonerde im Euxenit von Brevig	02	II	349
Hofmann, K. A. und E. Strauss: Radioactives Blei und radioactive seltene Erden	02	I	336
— Ueber das radioactive Blei	02	I	336
Hogenraad, G. B.: On an „Eisenrose" of the St. Gotthard	04	I	168
Hogg, E. G.: On the Glacial Beds of Tolleen, Coleraine and Wanda Dale	1900	II	110
— siehe Officer, G. etc.			
Holborn, L. und A. Day: Ueber den Schmelzpunkt des Goldes	03	II	13
— Ueber die Ausdehnung einiger Metalle in hoher Temperatur	03	II	167
Holborn, L. und F. Hennig: Ueber die Ausdehnung des geschmolzenen Quarzes . . . . . 1903 II 326	04	I	168
Holland, R., siehe Newton, R. B. and R. Holland.			

	Jahrg.	Bd	Seite
Holland, Th. H.: The Comparative Actions of Subaërial and Submarine Agents in Rock Decomposition . . .	1901	I	229
— A Contribution to the Discussion on Rockweathering and Serpentinization	01	I	229
— The Mica Deposits of India	03	I	27
— On a peculiar form of altered Peridotite in the Mysore State	03	I	78
Hollein, L.: Die Kohlen- und Eisenindustrie der Welt .	01	II	74
Hollender, A.: Om Sveriges nivåförändringar efter människans invandring	02	II	129
Hollmann, R.: Ueber die Dampfspannung von Mischkrystallen einiger isomorpher Salzhydrate	02	II	176
— *Ueber die Doppelsalze isomorpher Salzpaare*	*CBl*	*1904*	*513*
Hollmann, R. und G. Tammann: Zwei Zustandsdiagramme	03	II	10
Holm, G.: Ueber die Organisation des Eurypterus Fischeri Eichw.	1900	I	466
— Palaeontologiska notiser. 13. Om den yttre anatomien hos Eurypterus Fischeri	1900	I	466
Holmes, Murton W., siehe Murton Holmes, W.			
Holmes, W. R., siehe Smith, A. and W. R. Holmes.			
Holmquist, P. J.: Ueber mechanische Störungen und chemische Umsetzungen in dem Bänderthon Schwedens	1900	I	207
— Om Rödöområdets rapakivi och gångbergarter	1900	II	218
— Bidrag till diskussionen om den skandinaviska fjällkedjans tektonik	03	I	283
— En geologisk profil öfver den Skandinaviska fjällkjedan vid Torneträsk	04	II	223
— Bihang till Torneträskprofilen	04	II	223
Holmström, L.: Geologisk profil från Akarp till Lomma	01	II	288
Holroyd, W. S. and J. Barnes: On the Superposition of Quartz Crystals on Calcite in the Igneous Rocks occurring in the Carboniferous Limestone of Derbyshire	01	I	70
Holst, N. O.: Några subfossila björnfynd	03	I	525
— Om skrifkritan i Tullstorpstrakten och de båda moräner, i hvilka den ai inbäddat	04	I	105
— siehe Moberg, J. C. und N. O. Holst.			
Holzapfel, E.: Steinsalz und Kohle im Niederrheinthal .	01	I	437
— Zusammenhang und Ausdehnung der deutschen Kohlenfelder	01	II	268
— Die cambrischen und ältesten Unterdevonschichten der Gegend von Aachen	01	II	421
— Beobachtungen im Unterdevon der Aachener Gegend .	02	I	112
Hoover, H. C.: Die Anreicherung westaustralischer Goldlagerstätten an ihrem Ausgehenden	01	I	83
Hopkins, Th. C.: Clays and Clay Industry of Pennsylvania. 1. Clays of Western Pennsylvania (in part)	1900	II	21
— Concentric Weathering in Sedimentary Rocks	1900	II	65
— Cambro-Silurian limonite ores of Pennsylvania	03	I	87
Hoppe, A.: Ueber einige Eruptivgesteine aus dem mexicanischen Staat Puebla	1900	II	229
Horn, F. R. van: Andesitic Rocks near Silverton, Colorado	03	I	435
Hornung, F.: Zur Beurtheilung der Regionalmetamorphose am Harz und der Kupferschieferfrage	*CBl*	*1903*	*258*
— *Neueres Thatsachenmaterial im Lichte der harzer Regionalmetamorphose*	*CBl*	*1903*	*357*
Hořovský, Z.: Eine Reise nach Klondyke	01	I	82

	Jahrg.	Bd.	Seite
Horusitzky, H.: Die agro-geologischen Verhältnisse der Gemarkungen der Gemeinden Muszla und Béla . . .	1903	II	245
— Die hydrographischen und agro-geologischen Verhältnisse der Umgebung von Komárom (Komorn)	03	II	246
— Die agro-geologischen Verhältnisse des unteren Ipoly- und Garam-Thales	04	I	256
Hovelacque, M., siehe W. Kilian et M. Hovelacque.			
Hovey, E. O.: Note on a calcite group from Bisbee, Arizona	01	I	16
— Erosion Forms in Harney Peak District, South Dakota	01	I	394
— Table of Ores of Economic Importance, showing percentage of metal contained	04	II	229
— Martinique and St. Vincent; a preliminary report upon the eruptions of 1902	04	II	369
— Martinique and St. Vincent revisited	04	II	369
— The new cone of Mont Pelée and the gorge of the Rivière blanche, Martinique	04	II	369
— Mont Pelée from May to October 1903	04	II	369
— The 1902—1903 eruptions of Mont Pelé, Martinique and the Soufrière, St. Vincent	04	II	369
Howchin, W.: Further discoveries of Glacial Remains in South Australia	1900	II	110
— siehe David und W. Howchin.			
— siehe Tate, R. etc.			
Howe, J. L., siehe Campbell, H. D. und J. L. Howe.			
Hoyer: Die geologischen Verhältnisse der Umgegend von Sehnde	03	II	241
— *Der untere Lias von Empelde bei Hannover*	*CBl*	*1902*	*33*
— *Neue Molluskenfunde in den Posidonienschiefern des oberen Lias Nordwestdeutschlands*	*CBl*	*1904*	*385*
Hoyningen-Huene, siehe Huene, F. v.			
Hrabak, J.: Das Berg- und Hüttenwesen im Königreiche Böhmen	04	I	224
Huber, J., siehe K. v. Kraatz-Koschlau und J. Huber.			
Huber, O. v.: Beitrag zu einer geologischen Karte des Fleimser Eruptivgebietes	03	I	59
Huber, U.: Ueber die Klüftigkeit des Jeschkengebirges .	02	II	213
Hudleston, W. H.: A monograph of the British Jurassic Gasteropoda	01	I	512
— siehe Mc Mahon and Hudleston.			
Hudson, R. W. H. T.: On the determination of the position of points and planes after rotation through a definite angle about a known axis	01	II	333
Huene, F. v.: Ueber schwäbische Aucellen und eine verwandte Form	*1900*	*I*	*48*
— *Devonische Fischreste aus der Eifel*	*1900*	*I*	*64*
— Die silurischen Craniaden der Ostseeländer mit Ausschluss Gotlands	1900	II	155
— *Kleine palaeontologische Mittheilungen. 1. Medusina geryonides. 2. Zamites infraoolithicus*	*01*	*I*	*1*
— *Kleine palaeontologische Mittheilungen. 3. Der vermuthliche Hautpanzer des Compsognathus longipes Wagn.*	*01*	*I*	*157*
— Geologische Beschreibung der Gegend von Liestal im Schweizer Tafeljura	01	I	444
— *Vorläufiger Bericht über die triassischen Dinosaurier des europäischen Continents*	*01*	*II*	*89*
— Ueber Aulacomerella, ein neues Brachiopodengeschlecht	01	II	154

	Jahrg.	Bd.	Seite
Huene, F. v.: Supplement zur Beschreibung der silurischen Craniaden der Ostseeländer	1901	II	155
— *Rhynchodus emigratus v. Huene*	*CBl 1900*		*178*
— *Pseudoglaciale Schrammung*	*CBl 1900*		*265*
— *Beiträge zur Beurteilung der Brachiopoden*	*CBl 1901*		*33*
— *Nochmals Medusina geryonoides von Huene*	*CBl 1901*		*167*
— *Notizen aus dem Woodwardian Museum in Cambridge*	*CBl 1901*		*715*
— *Geologische Notizen aus Oeland und Dalarne, sowie über eine Meduse aus dem Untersilur*	*CBl 1904*		*450*
— *Dystrophaeus viaemalae Cope in neuer Beleuchtung*	*BB XIX*		*319*
— *Pelycosaurier im deutschen Muschelkalk*	*BB XX*		*321*
Hug, O: Beiträge zur Kenntniss der Lias- und Dogger-Ammoniten aus der Zone der Freiburger Alpen. I. Die Oberlias-Ammonitenfauna von Les Pueys und Teysachaux am Moléson	1900	I	139
— Beiträge zur Kenntniss der Lias- und Dogger-Ammoniten aus der Zone der Freiburger Alpen. II. Die Unter- und Mittellias-Ammonitenfauna von Blumenstein-allmend und Langeneckgrat am Stockhorn	01	I	163
Hugo, Otto: Titanit aus der Schweiz	*CBl 1904*		*464*
Hugounenq, siehe Lortet et Hugounenq.			
Hulett, G. A.: Beziehungen zwischen Oberflächenspannung und Löslichkeit	02	II	178
Hull, E.: Prof. J. W. Spencer on Changes of Level in Mexico	01	I	53
— On the Physical History of the Norwegian Fjords	03	I	225
Hulth, J. M.: Ueber einige Kalktuffe aus Westergötland 1900 II 494	01	I	138
Hume, W. F.: The cretaceous strata of County Antrim	01	II	276
— The Rift Valleys of Eastern Sinai	02	II	263
— Geology of Eastern Sinai	02	II	263
— siehe Barron, T. und W. F. Hume.			
Hundt, R.: Die Gliederung des Mitteldevon am Nordwestrande der Attendorn—Elsper Doppelmulde	1900	I	272
Hunt, A. R.: Notes on Certain Granitoid Fragments from the Culm Conglomerates, and Tourmalinized Grits from the New Red Conglomerates of South Devon	1900	II	404
— Lord Kelvin on the Origin of Granite	02	I	390
— The Age of the Earth and the Sodium of the Sea	03	I	219
Hupfeld, Fr.: Die Eisenindustrie in Togo	03	I	87
— Das Steinkohlenbecken von San Juan de las Abadesas in den Ostpyrenäen	03	II	389
Hussak, E.: Ueber ein leukokrates gemischtes Ganggestein aus dem Nephelinsyenitgebiete der Serra de Caldas, Brasilien	*1900*	*I*	*22*
— Der goldführende kiesige Quarzlagergang von Passagem in Minas Geraës, Brasilien	1900	I	242
— Mineralogische Notizen aus Brasilien (III. Theil)	1900	II	36
— *Ueber die Mikrostructur einiger brasilianischer Titanmagneteisensteine*	*04*	*I*	*94*
— *Ueber Chalmersit, ein neues Sulfid der Kupferglanzgruppe von der Goldmine „Morro Velho" in Minas Geraës, Brasilien*	*CBl 1902*		*69*
— Katechismus der Mineralogie	CBl 1902		150
— *Ueber den Raspit von Sumidouro, Minas Geraës (Brasilien)*	*CBl 1903*		*723*

	Jahrg.	Bd.	Seite
Hussak, E. and G. T. Prior: Florencite, a new hydrated Phosphate of Aluminium and the Cerium Earths, from Brazil	1901	I	359
Hussak, E. und J. Reitinger: Ueber Monazit, Xenotim, Senait und natürliches Zirkonoxyd aus Brasilien	04	II	357
Hutchings, W. M.: The contact-rocks of the great Whin Sill	1900	I	395
Hutchinson, A.: On Stokesit, a new mineral from Cornwall	01	I	19
— On Stokesite, a new mineral containing tin, from Cornwall	01	II	355
— The Chemical Composition and Optical Characters of Calybite from Cornwall	04	I	20
Hutton, F. W.: The geological history of New Zealand	04	II	89
— On a new fossil Pecten from the Chatham Islands	04	II	473
Huyghens, Ch.: Abhandlung über das Licht. Herausg. v. E. Lommel	CBl	1904	441

I.

Iddings, J. P., siehe Cross, W., J. P. Iddings etc.			
Ignatow, P.: Das Tenis-Kurgaldshin'sche Seebassin im Gebiet von Akmolinsk	02	I	204
— siehe Berg, L. und P. Ignatow.			
Ihering, H. v.: Observaçoes sobre os peixes fosseis de Taubaté	01	II	149
— Notes sur quelques mollusques fossiles du Chile	04	II	138
— On the Molluscan Fauna of the Patagonian Tertiary	04	II	139
— Les mollusques des terrains crétaciques supérieurs de l'Argentine orientale	04	II	286
— Nuevas observaciones sobre moluscos cretáceos y terciarios de Patagonia	04	II	288
Imkeller, H.: Die Kreide- und Eocänbildungen am Stallauer Eck und Enzenauer Kopf bei Tölz	02	I	117
— Die Kreidebildungen und ihre Fauna am Stallauer Eck und Enzenauer Kopf bei Tölz. Ein Beitrag zur Geologie der bayrischen Alpen	02	I	117
— Einige Betrachtungen über die Kreideablagerungen im Leitzachthal, am Schlier- und Tegernsee	02	I	276
Ingen, G. van: The Potsdam sandstone of the Lake Champlain basin. Notes on field work	03	I	115
Ippen, J. A.: Ueber einen Alkalisyenit von Malga Gardone (Predazzo)	*03*	*II*	*11*
— Gesteine der Schladminger Tauern. (Neue Beiträge zur Petrographie Steiermarks. V.)	04	I	64
— Analyse eines nephelinporphyritischen Gesteins (Allochetit) von Allochet (Monzoni)	04	I	389
— Ueber den Allochetit vom Monzoni	04	II	210
— *Ueber den „rothen Schnee" (gefallen am 11. März 1901)*	*CBl*	*1901*	*578*
— *Ueber einige aplitische Ganggesteine von Predazzo*	*CBl*	*1902*	*369*
— *Ueber Melaphyre vom Cornon und theralithische Gesteine vom Viezzenathal bei Predazzo*	*CBl*	*1903*	*6*
— *Ueber dioritporphyritische Gesteine vom Monzoni*	*CBl*	*1903*	*383*
— *Petrographisch-chemische Untersuchungen aus dem Fleimser Eruptivgebiet.*			
I. Ueber ein kersantitähnliches Gestein vom Monzoni	*CBl*	*1903*	*636*
II. Zwei Ganggesteine von Boscampo	*CBl*	*1903*	*639*

	Jahrg.	Bd.	Seite
III. Ueber einen Kersantit vom Mulatto	*CBl*	*1904*	*417*
IV. Ueber ein allochetitisches Gestein vom Pizmeda, SO.-Tirol	*CBl*	*1904*	*428*
Ippen, J. A., siehe Hilber, V. und J. A. Ippen.			
Irmler, A.: Gold in Böhmen	1901	II	173
Ishitzky, N.: Vorläufiger Bericht über geologische Untersuchungen im Jahre 1898	02	II	402
— Kurzer vorläufiger Bericht für das Jahr 1899	02	II	403
Isle, R. de l', siehe Lacroix, A. etc.			
Issel, A.: Morfologia e genesi del Mar Rosso	01	I	265
— Essai sur l'origine de la formation de la Mer Rouge	01	I	265
— Osservazioni sul Tongriano di Santa Giustina e Sassello	02	II	272
Ites, P.: Ueber die Abhängigkeit der Absorption des Lichtes von der Farbe	04	II	162
Ivolas, J. et A. Peyrot: Contribution à l'étude paléontologique des Faluns de la Touraine	1902	I	129. 465
Iwan, A.: Mittheilungen über den Steinsalzbergbau in Heilbronn	01	I	436
Iwanoff, L.: Ueber Muscovit von Kossoj-Brod im Ural	04	II	25
Iwanow, M.: Geologische Untersuchungen im Goldbezirk der Seja im Jahre 1898. Vorläufiger Bericht	02	II	406
— Dasselbe im Jahre 1899. Kurzer vorläufiger Bericht	02	II	406
Iwasaki, C. (Kyoto): Augite of Yoneyama (Japan)	1900	II	18
— On the Orthoclase Crystals from Spinano, Japan	01	I	17
— siehe Yoshiwara, S. and C. Iwasaki.			

J.

Jackson, H., siehe Solly, R. H.			
Jaczewsky, L. A.: Primäre Nephritlagerstätten im Gouvernement Irkutsk	1900	I	389
— Ueber die Mikrostructur des Nephrits	1900	I	389
— Ueber primäre Nephritlagerstätten im Gouvernement Irkutsk	1900	I	389
— Der Fall einer Gypsablagerung unter Mitwirkung von Eis	01	II	68
— Die Alibert'sche Graphititlagerstätte auf dem Botogolskij-Golez	01	II	74
— Ueber die Diamanten des Jenissei-Districtes	01	II	169
— Ueber Versuche zur Bestimmung der Druck-, Zerreissungs-, Biegungs- und Drehfestigkeit des Nephrits	01	II	189
— Die Bassins der Flüsse Teja und Jenaschimo	02	II	402
— *Das Wärmeregime der Erdoberfläche und seine Beziehungen zu geologischen Erscheinungen*	*CBl*	*1904*	*721*
Jaeger, F. M.: Krystallographische Untersuchungen an einer Reihe organischer Verbindungen	*03*	*I*	*1*
— Ueber die Identität des Hallstatter Simonyits mit dem Astrakanit	04	I	29
Jaekel, O.: Ueber Hybodus Agassiz	1900	II	470
— Stammesgeschichte der Pelmatozoen. I. Bd. Thecoidea und Cystoidea	01	I	316
— Die Zusammensetzung des Kiefers und Schultergürtels von Acanthodes	01	II	478
— Dipterus aus dem rheinischen Devon	01	II	478
— *Ueber Placochelys n. g. und ihre Bedeutung für die Stammesgeschichte der Schildkröten*	*02*	*I*	*127*
— *Ueber Ceraterpeton, Diceratosaurus und Diplocaulus*	*03*	*I*	*109*

	Jahrg.	Bd.	Seite
Jaekel, O.: Ueber Carpoideen, eine neue Classe von Pelmatozoen	1903	I	533
— Bemerkungen über den Beinbau der Trilobiten	03	I	547
— Ueber die Organisation der Trilobiten. Theil I	03	I	547
— Ueber Coccosteus und die Beurtheilung der Placodermen	04	II	321
— *Ueber jurassische Zähne und Eier von Chimäriden*	*BB XIV*		*540*
— siehe Rüdemann, R.			
Jahn, J. J.: Ueber das Vorkommen der Moldavite in den nordböhmischen Pyropensanden	1900	I	364
Jakowlew, N.: Die Fauna einiger oberpalaeozoischer Ablagerungen Russlands. I. Die Cephalopoden und Gastropoden	01	I	309
— Restes d'un Mosasaurien trouvé dans le Crétacé supérieur du sud de la Russie	03	I	344
— siehe Tschernyschew, Th. und N. Jakowlew.			
Janensch, W.: Die Jurensis-Schichten des Elsass	03	I	299
Janet, L.: Existence de l'étage bartonien dans la vallée du Loing, entre Nemours et Montigny	01	I	126
— Conférence de géologie appliquée sur le captage et la protection des sources d'eaux potables	02	I	418
— Note sur la position stratigraphique, la nature et le mode de formation de la roche du Breuillet (Seine-et-Oise)	04	II	434
Jansson, M. et J. Westmann: Quelques recherches sur la couverture de neige	04	I	375
Jaquement, E.: Pliocène marin des bassins de l'étang de Thau, de l'Hérault, de l'Orb et de l'Aude	02	II	270
— Note sur les formations miocènes des basins de l'étang de Thau, de l'Hérault, de l'Orb et de l'Aude	02	II	270
Jaworowsky, P.: Ueber die Krystallformen des Goldes aus den Seifen von Seisk	02	II	333
— Geologische Untersuchungen im Goldbezirk der Seja im Jahre 1898. Vorläufiger Bericht	02	II	406
— Geologische Untersuchungen im Goldbezirk der Seja im Jahre 1899. Vorläufiger Bericht	02	II	406
Jegunow, M.: Schwefeleisen und Eisenoxydhydrat in den Böden der Limane und des Schwarzen Meeres	1900	I	224
Jelinek, A.: Granatgneiss von Tábor	01	II	227
Jenkins, H. C.: An interesting occurrence of Gold in Victoria	04	I	329
Jennings, siehe Vaughan Jennings, A.			
Jenny, F.: Das Birsthal. Ein Beitrag zur Kenntniss der Thalbildung im Faltengebirge	1900	I	256
Jensen, A. S.: Hvorfra stamme Otolitherne i „Ingolf"s Bundpröver	02	I	463
— Om Levninger af Grundvandsdyr paa store Haveyb mellem Jan Mayen og Island. Ueber Reste von Seichtwasserthieren in grosser Meerestiefe zwischen Jan Mayen und Island	02	II	318
Jentzsch, A.: Maasse einiger Renthierstangen aus Wiesenkalk	01	I	155
— Neue Gesteinsaufschlüsse in Ost- und Westpreussen	01	I	288
— Der tiefere Untergrund Königsbergs mit Beziehung auf die Wasserversorgung der Stadt	02	II	279
— Beobachtungen über Kreide, Tertiär, Diluvium und Alluvium Westpreussens	02	II	446
— Erläuterungen zur geologischen Specialkarte von Preussen (Westpreussen)	04	II	417

	Jahrg.	Bd.	Seite
Jentzsch, A. und R. Michael: Ueber die Kalklager im Diluvium bei Zlottowo in Westpreussen	1904	II	128
Jentzsch, E.: Das Cadmium, sein Vorkommen, seine Darstellung und Verwendung	01	I	175
Jeremejeff, P.: Ueber Auerbachit und das ihn einschliessende Gestein	1900	I	391
— Die Resultate der Untersuchungen kleiner Diamantkrystalle von Transvaal	01	II	169
— Ueber einen zweiten Fund eines Diamantkrystalls in einer der Goldgruben der nördlichen Taiga im Jenissei'schen Gouvernement	01	II	169
— Einige seltene gediegene Elemente der Platinmetallgruppe aus den Goldseifen der nördlichen und südlichen Jenissei'schen Taiga	01	II	173
— Ueber die Paramorphosen von Schwefelkies nach den Krystallformen des Markasit	01	II	174
— Ueber die russischen Brucite	01	II	177
— Ueber den Cerussit von Syrjanowsk am Altai	01	II	179
— Ueber zwei neue Mineralgruben am Tschuwasch-Berge im Districte Slatoust	01	II	179
— Ueber die Pseudomorphosen des Steatit, Serpentin und Epidot nach den Krystallformen des Olivins von den Schischimsk'schen und Nasjamsk'schen Bergen im Ural	01	II	193
— Lasur-Oligoklas, Albit und Titanit vom Baikal-See	02	I	38
Jevons, H. St.: A systematic Nomenclature for Igneous Rocks	03	I	226
Jimbo, K.: Notes on the Minerals of Japan	1900	II	40
Johansen, A. C., siehe Ussing, N. v.			
John, C. v.: Ueber Eruptivgesteine aus dem Salzkammergut	01	I	61
— Ueber Gesteine von Požoritta und Holbak	01	I	63
— Ueber die chemische Zusammensetzung der Moldavite	01	I	195
— Ueber einige neue Mineralvorkommen aus Mähren	01	I	353
— Ueber Gabbro- und Granititeinschlüsse im Basalt von Schluckenau in Böhmen	04	I	54
John, C. v. und C. F. Eichleiter: Arbeiten aus dem chemischen Laboratorium der k. k. geologischen Reichsanstalt, ausgeführt in den Jahren 1898—1900	03	I	249
Johnsen, A.: Natronsyenite und verwandte Gesteine von Miask	01	II	117
— *Biegungen und Translationen*	*02*	*II*	*133*
— *Die anomalen Mischkrystalle*	*03*	*II*	*93*
— *Petrographische Untersuchung der Harzer Porphyroide*	*BB*	*XIV*	*1*
— *Eisenkies von Traversella*	*CBl*	*1902*	*566*
— *Bemerkungen zum Krystallvolumen*	*CBl*	*1902*	*591*
— *Quarzzwillinge nach P2 von Annaberg i. S.*	*CBl*	*1902*	*649*
— *Ein neues Mischungsglied der Mg CO_3-Reihe*	*CBl*	*1903*	*13*
— *Ueber Zwillingsbildung*	*CBl*	*1903*	*534*
— *Zur Entstehung der Facettengesteine*	*CBl*	*1903*	*593*
— *Bemerkung zu meiner Notiz über Facettengesteine*	*CBl*	*1903*	*662*
— *Bittersalz-Zwillinge nach {110}*	*CBl*	*1903*	*728*
Johnson, C. W.: New and interesting species in the Isaac Lea collection of Eocene Mollusca	01	I	128
— New cretaceous fossils from an artesian wellboring at Mount Laurel, N. J.	01	II	299
Johnson, P. J.: Some sections in the cretaceous rocks around Glynde and their fossil contents	02	II	436

	Jahrg.	Bd.	Seite
Johnson, P. J.: Notes on Fossil and Recent Shells obtained on a visit to Cornwall	1903	II	278
Joleaud, A.: Contribution à l'étude de l'infracrétacé à faciès vaseux pélagique en Algérie et en Tunisie	02	II	115
Joly, J.: An Estimate of the Geological Age of the Earth	01	II	46
— The Geological Age of the Earth	01	II	51
— On the Geological Investigation of Submarine Rocks	01	II	53
— Theory of the Order of Formation of Silicates in Igneous Rocks	03	I	51
— The Circulation of Salt and Geological Time	03	I	219
Jones, T. R.: On the Enon conglomerate and its fossil Estheriae	02	II	268
— Cambrian Ostracoda from N. E. America	03	I	336
— History of the Sarsens	03	I	419
Jones, T. R. and F. Chapman: On the foraminifera of the orbitoidal Limestones and reef rocks of Christmas Island	03	II	101
Jonker, H. G.: Bijdragen tot de Kennis der Sedimentaire Zwerfsteenen in Nederland. I. De Honsrug in de Prov. Groningen. 1. Inleiding. Cambrische en ondersilurische Zwerfsteenen	04	II	456
Jonson, P. A. och T. H. Gumaelius: Några geologiska notiser från en vandring i trakten vester om Ströms Vattudal	1900	I	269
Jooss, C.: Beiträge zur Schneckenfauna des Steinheimer Obermiocäns	03	I	544
Jordan, A.: Die Fauna der miocänen Thone von Hasendorf	01	II	445
Joukowsky, E.: Sur les éclogites des Aiguilles Rouges 1903 I 416	04	I	69
Judd, J. W.: The earliest engraved geological maps of England and Wales	1900	I	85
— The earliest geological maps of Scotland and Ireland	1900	I	85
— On the Petrology of Rockall	1900	II	405
— Note on the Structure of Sarsens	03	I	419
Judd, J. W. and W. E. Hidden: On a new mode of occurrence of Ruby in North Carolina. With crystallographic notes by J. H. Pratt	01	I	187
Jukes-Browne, A. J.: Note on Holaster altus Ag.	1900	I	317
— A boring through the Chalk and Gault near Dieppe	01	II	278
— On an outlier of Cenomanian and Turonian (equivalent to Lower and Middle Chalk) near Honiton, with a note on Holaster altus Ag.	01	II	278
— The Cenoman overlap	03	II	407
Jukes-Browne, A. J. and J. Milne: Cretaceous fossils found at Moreseadt in Aberdeenshire	01	II	299
Jukowsky, E. siehe Joukowsky.			

K.

Kaech, M.: Notiz über einen neuen Fund von Fischschiefern im Flysch der schweizerischen Nordalpen	*CBl*	*1903*	*742*
Kaemmerer, P.: Ueber die Reflexion und Brechung des Lichtes an inactiven durchsichtigen Krystallplatten	*BB*	*XX*	*159*
Kästner, A.: Die nordöstliche Heide Mecklenburgs nach ihrer geologischen Beschaffenheit und Entstehung	02	II	282

	Jahrg.	Bd.	Seite
Kästner, M.: Zur Genesis des sächsischen Granulitgebirges	*CBl*	*1904*	*196*
— *Berichtigung*	*CBl*	*1904*	*625*
Kahlbaum, G. W. A., K. Roth und Ph. Siedler: Ueber Metalldestillation und über destillirte Metalle	1903	I	368
Kahle, P.: Zur Untersuchung von Mittheilungen über Verschiebungen in der Aussicht	1900	II	211
Kaiser, E.: Cerussit von Rheinbreitbach und Honnef, Rheinprovinz	1900	II	16
— Nephelin vom Vesuv und die Verwandtschaft von Nephelin und Davyn	1900	II	17
— Melilith vom Vesuv	1900	II	18
— Natrolith vom Limberger Kopf bei Asbach (östlich vom Siebengebirge). Thomsonit und Apophyllit aus dem Siebengebirge und dessen Umgebung	1900	II	29
— Aluminit aus dem Melb-Thale bei Bonn	1900	II	32
— Die Mineralien der Goldlagerstätten bei Guanaco in Chile 1900 II 368	01	II	401
— Die Basalte am Nordabfalle des Siebengebirges 1901 I 282	01	II	222
— Die Ausbildung des Rheinthales zwischen Neuwieder Becken und Bonn-Kölner Bucht	04	II	440
— *Mineralogische Notizen*	*CBl*	*1900*	*94*
— *Zur Osann'schen Berechnung der Gesteinsanalysen*	*CBl*	*1904*	*338*
Kalecsinsky, A. v.: Ueber die ungarischen warmen und heissen Kochsalzseen als natürliche Wärmeaccumulatoren, sowie über die Herstellung von warmen Salzseen und Wärmeaccumulatoren	04	I	165
— Die Mineralkohlen der Länder der ungarischen Krone mit besonderer Rücksicht auf ihre chemische Zusammensetzung und praktische Wichtigkeit	CBl	1904	52
Kalkowsky, E.: Die Verkieselung der Gesteine in der nördlichen Kalahari	03	I	55
Kalmann, W. und M. Gläser: Das Mineralwasser von Arva-Polhora (Ungarn)	1900	II	390
Kann, L.: Neue Theorie über die Entstehung der Steinkohlen und Lösung des Mars-Räthsels	02	I	246
Kapp, A. W.: Ueber vollständige Gefrierpunktscurven binärer Metalllegirungen	03	II	166
Karakasch, N.: Ueber einige Eisenerzlagerstätten im Kreise Shisdra des Kaluga'schen Gouvernements	01	II	408
— Kreideablagerungen des europäischen Russlands	02	I	280
— Note sur le Crétacé inférieur de Biassala (Crimée)	03	II	406
Karnoschitzky, A.: Ueber neue Fundorte von Beryll im Bezirk Slatoust	01	II	192
Karpinsky, A.: Ueber die Reste von Edestiden und die neue Gattung Helicoprion	1900	II	144
— Ueber einen Schriftgranit von Mursinka im Ural	02	II	366
— Ueber einen bei Iwangorod im Gouvernement Lublin gefallenen vulcanischen Staub	03	II	68
— Ueber den bei der Tetschinskij-Hütte im Kreise Kyschtym aufgefundenen Korund	03	II	171
— Ueber die Verbreitung von Gesteinen mit Natriumpyroxenen im Ilmengebirge und über den Charakter genannter Mineralien	03	II	368
— Ueber die untercambrische Cephalopodengattung Volborthella Schmidt	04	I	145

	Jahrg.	Bd.	Seite
Kassatkin, N., siehe van't Hoff, J. H. und Mitarbeiter.			
Katzer, F.: Ein eigenthümliches Manganerz des Amazonas-Gebietes	1900	I	411
— Ueber die Grenze zwischen Cambrium und Silur in Mittelböhmen	01	I	269
— Das Eisenerzgebiet von Vareš in Bosnien	01	I	428
— Die geologische Grundlage in der Wasserversorgungsfrage von D. Tuzla in Bosnien	01	I	437
— Die Prüfung der natürlichen Baugesteine	02	I	242
— Die ehemalige Vergletscherung der Vratnica planina in Bosnien	02	II	447
— Zur Verbreitung der Trias in Bosnien	03	I	110
— Der landschaftliche Charakter von Ceará (Brasilien)	03	II	250
— Ueber die Zusammensetzung einer Goldseife in Bosnien	03	II	378
— Grundzüge der Geologie des unteren Amazonas-Gebietes	04	I	420
— *Die Hauptzüge des geologischen Aufbaues des Majevica-Gebirges und der Umgebung von Dolnja Tuzla in Bosnien*	*CBl*	*1900*	*218*
— *Zur näheren Altersbestimmung des „Süsswasserneogen" in Bosnien*	*CBl*	*1901*	*227*
— *Ueber ein Kohlenvorkommen in den Werfener Schichten Bosniens*	*CBl*	*1902*	*9*
— *Lithiotiden-Schichten in der Hercegovina*	*CBl*	*1904*	*327*
— *Ueber ein Glaubersalzvorkommen in den Werfener Schichten Bosniens*	*CBl*	*1904*	*399*
Kaul, H.: Geologisch-chemische Studien über die Thon- und Lehmvorkommen um Nürnberg	02	II	223
Kaunhowen, F.: Die Gastropoden der Maestrichter Kreide	01	I	312
— siehe Gagel, C. und F. Kaunhowen.			
Kayser, E.: Ueber den nassauischen Culm	1900	I	132
— Devon-Fossilien vom Bosporus und von der Nordküste des Marmara-Meeres	1900	II	431
— Ueber zwei neue Fossilien aus dem Devon der Eifel	01	I	139
— Alguno fosseis paleozoicos do Estado do Paraná	01	II	133
— Mittheilung über die Revision auf Blatt Lengefeld im Sommer 1900	03	II	93
— Ueber grosse, flache Ueberschiebungen im Dill-Gebiet	03	II	93
— *Jovellania triangularis im Mitteldevon der Eifel*	*CBl*	*1900*	*118*
— Lehrbuch der Geologie. II. Geologische Formationskunde	CBl	1904	304
Keilhack, K.: Aufnahmen 1898	1900	I	417
— Die Stillstandslagen des letzten Inlandeises und die hydrographische Entwickelung des pommerschen Küstengebietes	1900	II	443
— Beobachtungen über die Bewegungsgeschwindigkeit zweier Wanderdünen zwischen Rügenwald und Stolpmünde	01	I	285
— Die Drumlinlandschaft in Norddeutschland	01	I	289
— Einführung in das Verständniss der geologisch-agronomischen Specialkarten des norddeutschen Flachlandes	02	II	282
— Die geologische Geschichte der Gegend von Frankfurt a. d. Oder	03	I	519
— Ueber das Auftreten zweier verschiedenaltriger Lösse in der Gegend von Altenburg und Meuselwitz	03	II	268
— Geologische Beobachtungen während des Baues der Brandenburgischen Städtebahn	04	II	452
— siehe Berendt, G. und K. Keilhack.			
Keith, A., siehe Marton, N. H. und A. Keith.			

	Jahrg.	Bd.	Seite
Keller, R.: Beiträge zur Tertiärflora des Cantons St. Gallen. II. III. Mittheilung	1900	I	485
Kelly, A.: Ueber Conchit, eine neue Modification des kohlensauren Kalks	01	I	347
Kelvin, Lord, siehe Hunt, A. R.			
Kemp, J. F.: Granites of Southern Rhode Island and Connecticut with observations on Atlantic Coast Granites in General	01	II	244
— The Titaniferous Iron Ores of the Adirondacks	01	II	410
— The deposits of copper ores at Ducktown, Tenn.	03	II	188
— Geological Relations and Distribution of Platinum and Associated Minerals	03	II	319
— Platinum in the Rambler Mine, Wyoming	04	II	10
Kennard, A. S. and B. B. Woodward: On the occurrence of Neritina Grateloupiana Fér. (hitherto misidentified as N. fluviatilis), in the pleistocene gravels of the Thames at Swanscomb	04	I	279
— — The pleistocene non-marine Mollusca of Ilford	04	I	437
— — The post-pliocene non-marine Mollusca of the South of England	04	I	437
— — The non-marine Mollusca of the River Lea Alluvium at Walthamstow, Essex	04	I	438
Kerforne, F.: Le niveau à Trinucleus Bureaui Oehl. dans le massif armoricain et en particulier dans la presqu'île de Crozon, Finistère	01	I	271
— Sur le Gothlandien de la presqu'île de Crozon	01	I	271
— siehe Seunes et Kerforne.			
Kerner, F. v.: Vorläufiger Bericht über das Erdbeben von Sinj am 2. Juli 1898	1900	I	377
Keyes, Ch. R.: Ueber die Classification der Erzlagerstätten	02	II	76
— Time Values of Provincial Carboniferous Terranes	02	II	369
Keyserling, H. Graf: Ueber ein Kohlenvorkommen in den Wengener Schichten der Südtiroler Trias 1902 II 114	04	II	78
Kiaer, J.: Etage 5 i Asker ved Kristiania	02	I	111
Kidston, R.: On the various Divisions of British Carboniferous Rocks as determined by their fossil Flora	01	I	517
— On some new species of fossil plants from the Lower Carboniferous Rocks of Scotland	01	I	517
— On the fossil flora of the Yorkshire Coal Field	03	I	356
Kiesow, J.: Bemerkungen zu den Gattungen Cyclocrinus, Coelosphaeridium und Apidium	02	II	162
Kiessling, F.: Ueber das Vorkommen von freiem Zinkoxyd im Mineralreich	01	II	175
Kilian, W.: Observations au Mémoire de M. Haug sur le Portlandien, le Tithonique et le Volgien	1900	I	116
— Observations: 1. sur le Néocomien du Jura; 2. sur le tectonique du Jura; 3. sur le Barrémien de Catalogne	1900	I	283
— Découverte de calcaire à Nummulites, dans le petit synclinal de la Gourre, près de Séderon (Drôme)	02	I	284
— Sur la fréquence de certains Rhacophyllites dans le Lias moyen des Alpes de Savoie	02	I	441
— *Ueber Aptien in Südafrika*	*CBl*	*1902*	*465*
Kilian, W. et M. Hovelacque: Examen microscopique de Calcaires alpins	1900	I	425
Kilian, W., P. Lory et V. Paquier: Notice géologique sur la feuille Die de la carte géol. de France (1 : 80 000)	04	I	416

	Jahrg.	Bd.	Seite
Kilian, W. et J. Révil: Contributions à la connaissance de la zone du Briançonnais (le Jurassique supérieur)	1904	I	430
Kilian, W. et P. Termier: Note sur divers types petrographiques et sur le gisement de quelques roches éruptives des Alpes françaises	1900	I	220
— — Nouveaux documents relatifs à la Géologie des Alpes françaises	02	II	60
Kilroe, J. R. and A. McHenry: On intrusive, Tuff-Like, Igneous Rocks and Breccias in Ireland	03	I	75
Kinahan, G. H.: The Beaufort Dyke, of the Coast of the Mull of Galloway	02	II	51
Kinkelin, F.: Beitrag zur Geologie von Syrien	1900	I	122
— Beiträge zur Geologie der Umgegend von Frankfurt a. M.	01	II	282
— Kleine Notizen aus der geologisch-palaeontologischen Section	02	I	302
— Ueber das Vorkommen eines erratischen Blockes von Nummulitenkalk in den Mosbacher Sanden	03	II	269
— Brooksella rhenana, das erste Medusenfossil aus dem Devon	03	II	455
Kispatić, M.: Die krystallinischen Gesteine der bosnischen Serpentinzone	02	I	67
Kittl, E.: Die Gastropoden der Esino-Kalke nebst einer Revision der Gastropoden der Marmolata-Kalke	02	I	141
— Gastropoden aus der Trias des Bakonywaldes	02	II	305
— Die Cephalopoden der oberen Werfener Schichten von Muć in Dalmatien, sowie von anderen dalmatinischen, bosnisch-hercegovinischen und alpinen Localitäten	03	II	444
Kjellén, R.: Bidrag till Sveriges endogena geografi. No. I. När konstaterades fornvulkanismen i vårt land. No. II. Berzelius' förtjenster om Sveriges endogena geografi. No. III. En svensk kittelkrater? No. IV und V. Meddelanden om jordstötar i Sverige före 1846. No. VI. Kittelkrater eller „dödt fall"? No. VII. Nya basaltfyndigheter i Skåne	04	I	366
Kjellmark, K.: Om den forna förekomsten af Trapa natans i Norra Nerike	01	I	480
Klaatsch, H.: Das Gliedmaassenskelett des Neanderthalmenschen	03	II	280
— Die Fortschritte der Lehre von den fossilen Knochenresten des Menschen in den Jahren 1900—1903	04	II	294
— *Zur Deutung von Helicoprion Karp.*	*CBl*	*1901*	*429*
Klautzsch, A.: Die Gesteine der Ecuadorianischen Westcordillere von den Ambato-Bergen bis zum Azuay	1900	I	409
— Bericht über die Aufnahmen auf den Blättern Seehesten und Sensburg	02	I	125
— Bericht über Endmoränen und Tiefbohrungen im Grundmoränengebiete des Blattes Rastenburg	02	II	128
Klebs, R.: Das Sumpferz (Raseneisenstein), unter besonderer Berücksichtigung des in Masuren vorkommenden	1900	I	13
— Die diluvialen Wälle in der Umgegend von Nechlin	01	I	289
— Exposition d'ensemble de l'industrie de l'ambre	CBl	1900	297
Klein, C.: Optische Studien. I. (Anorthit, Albit, Total reflexion in der Petrographie)	1900	II	181
— Die Anwendung der Methode der Totalreflexion in der Petrographie	1900	II	384

	Jahrg.	Bd.	Seite
Klein, C.: Das Krystallpolymeter, ein Instrument für krystallographisch-optische Untersuchungen	1901	II	3
— Ueber den Brushit von der Insel Mona (zwischen Haïti und Portorico)	02	II	28
— Optische Studien. II. Totalreflectometer mit Fernrohrmikroskop	1903	I 28.	180
— Pennin und Klinochlor	03	I	180
— Resultate der Untersuchung der Proben des am 10. bezw. 11. März 1901 in Italien, Oesterreich und Deutschland gefallenen Staubregens	03	II	64
— Ueber die am 7. Mai 1902 vom Vulcan Soufrière auf St. Vincent ausgeworfene vulcanische Asche	03	II	86
— Die Meteoritensammlung der kgl. Friedrich-Wilhelm-Universität zu Berlin am 5. Februar 1903	04	I	186
— *Apatit (Moroxit) vom Flusse Swakop, Südwestafrika*	*CBl*	*1902*	*748*
— *Pyromorphitzwilling nach 2P(20$\bar{2}$1) von Friedrichssegen bei Ems*	*CBl*	*1902*	*748*
Klemm, G.: Ueber die Entstehung der Parallelstructur im Quarzporphyr von Thal im Thüringer Wald	01	II	224
— Bemerkungen zu KINKELIN's Arbeit „Beiträge zur Geologie der Umgebung von Frankfurt am Main" 1903 I 459	03	II	268
— Ueber Blasenzüge (sogen. „Steinnägel") im Melaphyr von Darmstadt	04	I	47
— Die beim Bau der Bahnlinie Laubach—Mücke in Oberhessen entstandenen Aufschlüsse	04	II	51
— *Ueber die sogen. „Contractionscylinder" aus dem Melaphyr bei Darmstadt. Entgegnung an Herrn E. Küppers*	*CBl*	*1903*	*217*
Kley, P.: Ueber mikrochemische Analyse	*CBl*	*1902*	*198*
Kleye, F. F.: Der Steinkohlenbergbau auf der Insel Sachalin	01	II	83
Klockmann, F.: Lehrbuch der Mineralogie für Studirende und zum Selbstunterricht. 2. Aufl.	1900	I	325
— Ueber eine merkwürdige Rinnenbildung und ein neues Zwillingsgesetz an Krystallen des Andreasberger Rothgültigerzes	01	II	175
— Montangeologische Reiseskizzen	02	I	83
— Ueber den Antheil v. GRODDECK's an der Deutung der Zinnerzlagerstätte des Mt. Bischoff	03	I	91
- Lehrbuch der Mineralogie. 3. Aufl.	04	I	2
— Ueber das Auftreten und die Entstehung der südspanischen Kieslagerstätten	04	I	399
Klönne, F. W.: Beobachtungen eigenthümlicher Auftriebserscheinungen der Wasser grösserer Quellengebiete	1900	II	48
Kloos, J. H.: Ueber ein Vorkommen von Analcim auf Steinkernen von Pleuroceras costatum von Lehre bei Braunschweig	1900	I	193
— Analcim von Lehre bei Braunschweig	1900	I	193
— Mineralien aus dem Siebengebirge	1900	I	197
— Ueber Mineralien aus dem Basalt vom Oelberg im Siebengebirge	1900	I	197
— Feuersteinabdrücke von Cidaritenstacheln von Königslutter	02	II	154
Klotz, O. J.: Notes on Glaciers of South-Eastern Alaska and Adjoining Territory	01	I	391
Knett, J.: Verhalten der Karlsbader Thermen während des vogtländisch-westböhmischen Erdbebens im October bis November 1897	1900	I	374

	Jahrg.	Bd.	Seite
Knett, J.: Meteorbeobachtungen am 19. Februar 1899 . .	1900	II	207
— Das erzgebirgische Schwarmbeben zu Hartenberg vom 1. Januar bis 5. Februar 1824	01	I	210
— Zur Kenntniss der Beeinflussung der Teplitzer Urquelle durch das Lissaboner Erdbeben	01	I	586
— Ueber die Erregungsart von Erdbeben und andere die Propagation bestimmende Factoren	02	I	381
— Ueber die Beziehungen zwischen Erdbeben und Detonationen	02	II	206
— Bericht über das Detonationsphänomen im Duppauer Gebirge am 14. August 1899	02	II	207
— Vorläufige Mittheilung über die Fortsetzung der „Wiener Thermenlinie" (Winzendorf—Baden—Meidling) nach Nord	03	I	221
— Neue Erdbebenlinien Niederösterreichs	03	I	221
— Die geologischen Verhältnisse von Karlsbad	03	II	393
— Die geologisch-balneotechnischen Verhältnisse von Trencsin—Teplicz	03	II	394
— *Partielle Perimorphose am Calcit*	*CBl 1900*		*113*
— *Quarz von Aich und Karlsbad*	*CBl 1903*		*292*
Knett, J. und F. Wiesbaur: Meteore, beobachtet im nordwestlichen Böhmen in der Nacht vom 8. auf 9. November 1898	1900	II	207
Knight, N.: Apatite Crystals, Antwerp, New York . . .	04	I	363
Knight, W. C.: Some new jurassic Vertebrates. Paper No. III	03	I	342
Knoop: Stachelabdrücke eines Cidariten in Feuerstein von Börsum	02	II	154
Knorre, G. v.: Ueber das Magnesiumcarbonat und einige Doppelverbindungen desselben	04	II	346
Knott, C. G.: Reflexion and Refraction of Elastic Waves, with Seismological Applications	01	II	373
Kobell, Fr. v.: Tafeln zur Bestimmung der Mineralien mittelst einfacher chemischer Versuche auf trockenem und nassem Wege	CBl	1901	501
Koch, G. A.: Die geologischen Verhältnisse der Umgebung von Gmunden	03	II	241
— Geologisches Gutachten über das Vorkommen von brennbaren Natur- oder Erdgasen, jod- und bromhältigen Salzwässern, sowie Petroleum und verwandten Mineralproducten im Gebiete von Wels und in Oberösterreich	04	II	78
Koch, K. R.: Relative Schweremessungen in Württemberg	02	II	369
Koch, M.: Ueber die Umdeutung der geologischen Verhältnisse im Unterharz	1900	II	267
— Beiträge zur geologischen Kenntniss des Harzes . . .	01	II	421
Köchlin, R.: Ein neuer Bornitfund und andere Funde aus dem Mellitzgraben	01	II	14
— Ueber ein neues Vorkommen von farblosem Titanit . .	01	II	352
— Ueber Simonyit- und Glauberitkrystalle von Hallstatt .	01	II	359
— Ueber Glauberit vom Dürnberg bei Hallein	02	I	16
— Verschiedene Salze von Kalucz in Ostgalizien	03	I	400
— Ueber Zirkon	04	I	20
— Zur Schneebergitfrage	04	I	167
Koenen, A. v.: Ueber die Gliederung der norddeutschen unteren Kreide	02	I	271
— Die Ammonitiden des norddeutschen Neocom	03	II	447

	Jahrg.	Bd.	Seite
Koenen, c.: Ueber den Rupelthon	*CBl 1902*		*567*
— *Ueber die Buntsandsteinwüste*	*CBl 1904*		*107*
Koenig, G. A.: On Mohawkite, Stibio-domeykite, Domeykite, Algodonite and some artificial copperarsenides	1902	I	7
König, W.: Doppelbrechung in transversal schwingenden Glasplatten	03	II	6
Königsberger, Joh.: Ueber die färbende Substanz im Rauchquarz	1900	II	345
— Bestimmung von Feldspath im Biotitprotogin nach der Methode von Fedorow	01	I	344
— Das färbende Medium im Rauchquarz	02	II	336
— Ueber die Abhängigkeit der Absorption des Lichtes in festen Körpern von der Temperatur	03	II	164
— Ueber Quarz als Reflexionsnormale	04	I	161
— *Die Minerallagerstätten im Biotitprotogin des Aarmassivs*	*BB*	*XIV*	*43*
— *Zur optischen Bestimmung der Erze*	*CBl 1901*		*195*
— *Ueber Bestimmung von Feldspath im Biotitprotogin*	*CBl 1902*		*396*
Körner, J. A.: Beitrag zur Kenntniss der Elsässer Thone	02	II	222
Koert, W.: Blatt Artlenburg	1900	I	417
— Zwei neue Aufschlüsse von marinem Oberoligocän im nördlichen Hannover	02	I	281
Koert, W. und C. Weber: Ueber ein neues interglaciales Torflager	01	II	286
Koettlitz, R.: Observations on the Geology of Franz Josef-Land	02	II	318
Kohler, E.: Adsorptionsprocesse als Factoren der Lagerstättenbildung und Lithogenesis	04	II	70
Kohlmann: Die Minette-Ablagerung in Lothringen	02	II	90
Kohn, L., siehe Bleier, O. und L. Kohn.			
Koken, E.: Hochterrasse und Steppenfauna bei Tübingen	*1900*	*I*	*143*
— *Ueber triasische Versteinerungen aus China*	*1900*	*I*	*186*
— *Löss und Lehm in Schwaben*	*1900*	*II*	*154*
— *Die Schlifflächen und das geologische Problem im Ries*	*01*	*II*	*67*
— *Eine Nachschrift zu dem Aufsatz: „Die Schlifflächen und das geologische Problem im Ries"*	*01*	*II*	*128*
— Geologische Specialkarte der Umgegend von Kochendorf	02	I	85
— Beiträge zur Kenntniss der Gastropoden des süddeutschen Muschelkalkes	02	I	143
— Die Gastropoden der Trias um Hallstatt	02	I	144
— Ueber das Ries und Steinheimer Becken	04	I	406
— *Beiträge zur Kenntniss des schwäbischen Diluviums*	*BB*	*XIV*	*120*
— *Geologische Studien im fränkischen Ries. Zweite Folge*	*BB*	*XV*	*422*
— *Bewegung grosser Schichtmassen durch glacialen Druck*	*CBl 1900*		*115*
— *Bemerkungen über das Tertiär der Alb. I.*	*CBl 1900*		*145*
— *Die Glacialerscheinungen im Schönbuch*	*CBl 1901*		*10*
— *Helicoprion im Productus-Kalk der Saltrange*	*CBl 1901*		*225*
— *Ueber die Gekröskalke des obersten Muschelkalkes am unteren Neckar*	*CBl 1902*		*74*
— *Eine altsilurische Bohrmuschel, Lithobia atava Ko.*	*CBl 1902*		*132*
— *Das Diluvium im Gebiete der Saltrange (nordwestliches Indien)*	*CBl 1903*		*433*
— *Kreide und Jura in der Saltrange*	*CBl 1903*		*439*
— *Facettengeschiebe*	*CBl 1903*		*625*
— *Eurydesma und der Eurydesmen-Horizont in der Saltrange*	*CBl 1904*		*97*
— *Das geologisch-mineralogische Institut in Tübingen*	*CBl 1904*		*673*

	Jahrg.	Bd.	Seite
Koken, E. und Fr. Noetling: Geologische Mittheilungen aus der Saltrange. No. I. Das permische Glacial	*CBl*	*1903*	*45*
— — Geologische Mittheilungen aus der Saltrange. No. II. Ueber die Geschiebe des permischen Glacials	*CBl*	*1903*	*72*
— — Geologische Mittheilungen aus der Saltrange. No. III. Die wahrscheinliche Entstehung der Facettengeschiebe	*CBl*	*1903*	*97*
Kolbeck, F. u. P. Uhlich: Untersuchung verschiedener Mineralien auf Radioactivität mittelst des photographischen Verfahrens	*CBl*	*1904*	*206*
Kolderup, C. F.: Lofotens og Vesteraalens Gabbrobergarter	1900	I	384
— Einige Bemerkungen über Ausscheidungen von Titaneisenerz in Norwegen	03	I	85
— Jordskjälv i Norge i 1902	04	I	372
— Die Labradorfelse des westlichen Norwegens. II. Die Labradorfelse und die mit denselben verwandten Gesteine in dem Bergensgebiete	04	II	390
— siehe Reusch, H. und C. F. Kolderup.			
Kolesch, K.: Ueber Versteinerungen aus dem Mittleren Buntsandstein von Ostthüringen	*CBl*	*1903*	*660*
Konchin, A.: Geologischer Bau der Naphthalagerstätten Balachan, Sabuntschin, Romanin und Sabratsk	01	II	85
— Beschreibung der Mineralquellen des nördlichen Kaukasus	02	I	419
— Untersuchung des orogeographischen Baues des Schwarzmeer-Districtes	04	I	228
— Geologische Untersuchung des nördlichen Teiles des Schwarzmeer-Districtes	04	I	228
Koninck, L. L. de: Bestimmung des Eisenoxyduls in Silicaten und Gesteinen; Einfluss des Pyrits	02	I	55
Konjuschewsky, L.: Geologische Untersuchungen im Erzdistrict von Bakal	03	I	265
— Vorläufiger Bericht über geologische Untersuchungen im südlichen Ural im Jahre 1901	04	I	85
Kontkiewitsch, S.: Bericht über geologische Untersuchungen und Schürfungen im Bereiche der Zinkerzlagerstätten der Umgebung von Slawkow	04	I	227
Korn: Blätter Massin, Hohenwalde und Költschen d. preuss. geol. Landesanstalt	02	II	446
Kornhuber, A.: Opetiosaurus Bucchichi, eine neue fossile Eidechse aus der unteren Kreide von Lesina in Dalmatien	02	II	145
— Ueber die Thonschiefer bei Mariathal in der Pressburger Gespanschaft	02	II	226
— Ueber das Geweih eines fossilen Hirsches in einem Leithakalk-Quader des Domes zur Pressburg	03	I	348
Kortazzi, J.: Les perturbations du pendule horizontal à Nicolajew en 1897, 1898 et 1899	02	II	208
Kossmat, F.: Untersuchungen über die südindische Kreideformation. I. II. III.	1900	I	441
— Das Gebirge zwischen Idria und Tribuša	01	II	123
— Geologisches aus dem Bača-Thale im Küstenlande	04	I	95
Kotô, B.: The Scope of the Vulcanological Survey of Japan	02	I	49
— Notes on the Geology of the Dependent Isles of Taiwan	02	I	411
Kovář, F.: Chemische Untersuchung einiger Mineralien von Wür bei Bistritz in Mähren	1900	I	23
— Analysen einiger Mineralien aus den Graphitbergwerken bei Klein-Tressny in Mähren	1900	I	24

	Jahrg.	Bd.	Seite
Kovář, F.: Chemische Untersuchung einiger Mineralien der Umgebung von Oels in Mähren	1900	I	24
— Chemisch-mineralogische Mittheilungen 1900 I 25 1901 II 364 1903 I 401	04	II	31
— Chemische Untersuchung einiger Mineralien aus der Umgebung von Polička	01	II	203
— Mittheilungen aus dem Laboratorium der čechoslavischen Handelsakademie in Prag	01	II	225
— Chemische Untersuchung einiger bulgarischen Mineralien	01	II	362
— Beitrag zur Kenntniss der Zusammensetzung der Mineralien der Bolgruppe	03	I	388
— Analysen von vier Mineralien aus Westmähren	03	I	402
Kovář, F. und A. Haškovec: Ueber zwei feuerfeste Thone von Vranová bei Křetín in Mähren	01	II	226
Kovář, F. und F. Slavík: Ueber Triplit von Wien und Cyrillhof in Mähren und seine Zersetzungsproducte	01	I	354
Kowalew, P.: Geologische Untersuchungen im Erzdistrict von Bakal. Die Lagerstätten des Berges Irkuskan	03	I	265
Kraatz-Koschlau, K. v.: Ueber mikroskopische Mineralien aus Steinsalz	1900	I	175
— siehe Wöhler, L. und K. v. Kraatz-Koschlau.			
Kraatz-Koschlau, K. v. und J. Huber: Zwischen Ocean und Guamá	CBl	1901	120
Kraatz-Koschlau, K. v. und L. Wöhler: Die natürlichen Färbungen der Mineralien	1900	II	342
Krämer, A.: Ueber den Bau der Korallenriffe und die Planktonvertheilung an den samoanischen Küsten, nebst vergleichenden Bemerkungen	1900	I	46
Krämer, H.: Die Hausthierfunde von Vindonissa	03	I	148
Krafft, A. v.: Mittheilungen über das ost-bokharische Goldgebiet	01	I	80
— Notes on the „Exotic Blocks“ of Malla Johar in the Bhot Mahals of Kumaon	03	I	112
— Zur Gliederung des Muschelkalks im Himalaya	03	I	122
— *Zur Unteren Trias von Spiti*	*CBl*	*1901*	*197*
— *Ueber das Permische Alter der Otoceras-Stufe des Himalaya*	*CBl*	*1901*	*275*
Krahmann, M.: Fortschritte der praktischen Geologie	CBl	1904	151
Kramberger, C. G.: Ueber fossile Fische von Tüffer in Steiermark und Jurjevčani in Kroatien	01	I	307
— Der palaeolithische Mensch und seine Zeitgenossen aus dem Diluvium von Krapina in Kroatien. Nachtrag	03	II	281
— siehe auch Gorjanović-Kramberger.			
Kranz, W.: Stratigraphie und Alter der Ablagerungen bei Unter- und Oberkirchberg, südlich Ulm a. D.	*CBl*	*1904*	*481. 528. 545*
Krasnopolsky, A.: Die Eisenerzlagerstätten von Bakal, Inser, Bjeloretzk, Awsjan-Petrowsk und Sigasa im südlichen Ural	03	I	264
— Vorläufiger Bericht über die Untersuchung der Erzdistricte des südlichen Urals im Jahre 1901	04	I	85
— Bestimmung des Erzvorraths der Kronsgrube von Bakal im südlichen Ural	04	I	86
Kratochvil, J.: Ueber einige massige Gesteine der Umgebung von Neu-Knin und über einen Theil der gneissartigen Gesteine von Zleby	02	I	57

	Jahrg.	Bd.	Seite
Kraus, E. H.: Ueber eigenthümlich verzerrte Salmiakkrystalle	1902	I	164
— siehe Viola, C. und E. H. Kraus.			
Kraus, E. H. und G. Mez: Ueber topische Axenverhältnisse	02	I	332
Kraus, E. H. und J. Reitinger: Hussakit, ein neues Mineral und dessen Beziehung zum Xenotim	02	II	199
Krause, G.: Aepyornis-Eier, oologische Studie	01	I	302
— Madagassische Riesenstrausse, ornithologische Studie	01	I	302
Krause, P. G.: Obsidianbomben aus Niederländisch-Indien	1900	I	360
— Blatt Kutten (Ostpr.) d. preuss. geol. Landesanstalt	02	II	446
— Bericht über die Ergebnisse der Aufnahme auf Blatt Kutten (Ostpreussen) im Jahre 1900	03	II	413
— Die Fauna der Kreide von Temojoh in West-Borneo	04	I	120
Krebs, W.: Nothwendigkeit und leichte Ausführbarkeit fliegender Grundwasser-Aufnahmen	03	II	352
Kreider, D. A.: A Method for the Detection and Separation of Dextro- and Laevo-rotating Crystals, with some Observations upon the Growth and Properties of Crystals of Sodium Chlorate	01	I	171
Krejči, A.: Beitrag zur Morphologie des Titanit	1900	I	14
— Weitere Bemerkungen über einige Mineralien von Pisek	01	II	202
— Nachträge zu den Piseker Mineralien	03	II	31
Krenner, J. A.: Jadeitsteine aus Birma. 1. Jadeit. 2. Szechenyiit	1900	I	341
Kretschmer, F.: Die Eisenerzlagerstätten des mährischen Devon	01	I	426
— Die Entstehung der Graphitlagerstätten	04	I	405
Krigar-Menzel, O., siehe Richarz, F. und O. Krigar-Menzel.			
Krischtafowitsch, N.: Classificationszeichen-Scala zur Bezeichnung posttertiärer Ablagerungen	*CBl*	*1900*	*48*
Kříž, M.: Beiträge zur Kenntniss der Quartärzeit in Mähren	04	II	442
Krone, R.: As grutas calcareas de Iporanga	01	I	392
Krotow, P.: Wolkonskoit von Uchtym, Gouvernement Wjatka	03	II	177
Kruft, L.: Die Phosphoritführung des vogtländischen Obersilur und die Verbreitung des Phosphorits im Altpalaeozoicum Europas	*BB*	*XV*	*1*
Krug: Beitrag zur Kenntniss der Braunkohlenablagerung in der Provinz Posen	04	II	79
Krusch, P.: Ueber eine Kupfererzlagerstätte in Nieder-Californien	01	II	73
— Die Classification der Erzlagerstätten von Kupferberg in Schlesien	03	I	438
— Beitrag zur Kenntniss der nutzbaren Lagerstätten Westaustraliens	04	II	242
— *Ueber einige Tellurgoldsilberverbindungen von den westaustralischen Goldgängen*	*CBl*	*1901*	*199*
— siehe Beyschlag, F. und P. Krusch.			
Kubierschky, K.: Ueber ein eigenthümliches Salzvorkommen im sogenannten Magdeburg-Halberstädter Becken. Mit einem Nachtrag von J. H. van't Hoff	03	I	37
Kühn, B.: Erläuterungen zur geol. Spezialkarte von Preussen (Westpreussen)	04	II	417
Künzli, E.: Die Contactzone um die Ulten-Iffingermasse bei Meran	1900	II	391
— Die petrographische Ausbeute der Schöller'schen Expedition in Aequatorial-Ostafrika (Massailand)	03	I	79

	Jahrg.	Bd.	Seite
Kovář, F.: Chemische Unte[illegible] [illegible] *aus dem Mela-* der Umgebung von Oel[illegible]	*CBl*	*1901*	*481*
— Chemisch-mineralogische M[illegible] *Melaphyr von* 1900 I [illegible]	*CBl*	*1901*	*609*
— Chemische Untersuchu[illegible] *[illegible]züge aus dem* Umgebung von Polič[illegible]	*CBl*	*1902*	*521*
— Mittheilungen aus dem [illegible]tafeln für Chemiker	CBl	1902	751
Handelsakademie i[illegible] [illegible] Gebrauch schwerer			
— Chemische Untersu[illegible] [illegible] und Petrographie	1901	II	220
— Beitrag zur Kennt[illegible] [illegible]uenstedtite near Mont- ralien der Bolgr[illegible]	1900	II	32
— Analysen von vi[illegible] [illegible]neral Resources of the	1900	I	199. 200
Kovář, F. und A[illegible] Thone von [illegible] [illegible] Stones in 1898	01	I	32
Kovář, F. und I[illegible] Cyrillhof i[illegible] [illegible] Stones in 1901	03	II	38
	04	I	357
Kowalew, P.: [illegible] von Bak[illegible] [illegible] Transparent Spodumene from Pala, California	04	II	168
	04	II	179
Kraatz-Kosc[illegible] aus St[illegible] [illegible] new ornamental stone	1904	II	196. 365
	CBl	1902	403
— siehe W[illegible] [illegible] stones in 1902	CBl	1902	405
Kraatz-K[illegible] und [illegible] Eisenerzlagerstätten des öst- und [illegible]	1900	I	84
Kraatz-[illegible] [illegible]kopajew: Ueber die chemische li[illegible] [illegible] der Kobalterze von Neu-Caledonien	02	II	343
Kräme[illegible] [illegible]tribuciones á la palaeophytologia [illegible]	02	I	497
Krä[illegible] [illegible] Rájmahálienne dans le gouverne- [illegible] (Piedra Pintada, entre Limay et			
Kra[illegible] [illegible] Santiago.	04	I	430
— [illegible]gische Excursionen im nordwestlichen [illegible]vernements Woronesch längs der Flüsse [illegible] und Wieducha	03	I	262
[illegible]sillien von Saray und Massasyr auf der [illegible]scheron	03	II	296
[illegible] siehe Hill, J. B. and H. Kynaston.			

L.

	Jahrg.	Bd.	Seite
[illegible] Note sur les minéraux et les roches du gise- [illegible] diamantifère de Monastery (État libre d'Orange) [illegible] du Griqualand	1900	I	1
[illegible] gemme métamorphique de Salies-du-Salat	1900	I	4
[illegible] diagonistic de la préhnite dans les roches	1900	I	15
[illegible] à axinite (limurites) des contacts granitiques [illegible] Hautes Pyrénées	1900	I	16
[illegible] des Pyrénées et ses phénomènes de contact. [illegible] contacts de la Haute-Ariège	1900	I	57
[illegible] du Pallet et ses modifications	1900	II	398
[illegible] granulitiques et pegmatiques des contacts [illegible] de l'Ariège. Leur importance théorique	01	I	63
[illegible] modifications endomorphes du gabbro du Pallet [illegible] Inférieure)	01	I	64
[illegible] l'existence, aux environs de Corinthe, de lherzolithes [illegible] à celles de Pyrénées	01	I	65

	Jahrg.	Bd.	Seite
Lacroix, A.: Les roches volcaniques à leucite de Trébizonde	1901	I	226
— Sur les rhyolithes à aegirine et riebeckite du pays des Somalis	01	I	226
— Sur un gîte de magnétite en relation avec le granite de Quérigut (Ariège)	01	I	227
— Sur les transformations endomorphiques de l'andésite de Santorin sous l'influence d'enclaves enallogènes calcaires	01	I	404
— Sur un nouveau groupe d'enclaves homoeogènes des roches volcaniques, les microtinites des andésites et des téphrites	01	I	404
— Les Pyrénées (roches cristallines)	01	I	405
— Sur une forme de silice anhydre optiquement négative	01	II	15
— Sur l'origine de la gédrite des Pyrénées et sur un nouveau gisement de ce minéral	01	II	20
— Sur la téphroïte des Hautes-Pyrénées	01	II	57
— Sur les phénomènes de recristallisation présentés par les blocs de diabase du fort vitrifié du camp de Péran, près Saint-Brieuc	01	II	85
— Le granite des Pyrénées et ses phénomènes de contact. (Deuxième mémoire.) Les contacts de la Haute-Ariège, de l'Aude des Pyrénées-Orientales et des Hautes-Pyrénées	01	II	228
— Les roches à néphéline du Puy de Saint-Sandoux (Puy-de-Dôme)	01	II	388
— Sur l'origine des brèches calcaires secondaires de l'Ariège; conséquence à en tirer au point de vue de l'âge de la lherzolite	01	II	389
— Sur la willémite d'Algérie et du Congo	02	I	12
— Sur une roche de fayalite	02	I	71
— Sur les minéraux des gîtes metallifères d'Ambatofangehana (Madagascar)	02	I	191
— Sur les minéraux des gisements manganésifères des Hautes-Pyrénées	02	I	191
— Les Pyrénées (roches cristallines)	02	I	219
— Sur les granites et syénites quartzifères à aegirine, arfvedsonite et aenigmatite de Madagascar	02	I	220
— Sur la composition minéralogique des téschenites	02	I	220
— Sur l'origine de l'or de Madagascar	02	II	4
— Sur la forstérite et les pseudomorphoses de dipyre en forstérite et spinelle des contacts des roches lherzolitiques de l'Ariège	02	II	26
— Les calcaires à prehnite des contacts granitiques des Hautes-Pyrénées	02	II	194
— La prehnite considérée comme élément constitutif de calcaires métamorphiques	02	II	194
— Note sur les roches à lépidolite et topaze du Limousin	02	II	196
— Sur la kaolinite cristallisée de Nosy-Bé	02	II	197
— Sur un arséniate d'alumine de la mine de la Garonne	02	II	201
— Sur quelques cas de production d'anatase par voie secondaire	02	II	342
— Sur la province pétrographique du nord-ouest de Madagascar	03	I	79
— Sur les gisements stannifères de Hin-Boun (Laos)	03	I	188
— Note préliminaire sur une nouvelle espèce minérale	03	I	387
— Conclusion à tirer de l'étude de la série des enclaves homoeogènes d'une roche volcanique. La série des enclaves homoeogènes des andésites à haüyne du Mont-Dore	03	I	416

	Jahrg.	Bd.	Seite
Lacroix, A.: Sur un nouveau groupe de roches très basiques	1903	I	417
— Sur la klaprothine de Madagascar	03	II	27
— Sur les cendres des éruptions de la Montagne Pélée de 1851 et de 1902	03	II	80
— Les roches volcaniques de la Martinique	03	II	80
— Mission de la Martinique	03	II	82
— Sur les roches rejetées par l'éruption actuelle de la Montagne Pélée	03	II	85
— Les enclaves des andésites de l'éruption actuelle de la Montagne Pélée	03	II	85
— État actuel du volcan de la Martinique	03	II	375
— Nouvelles observations sur les éruptions volcaniques de la Martinique	03	II	376
— Quelques observations minéralogiques faites sur les produits de l'incendie de Saint Pierre (Martinique)	03	II	378
— Minéralogie de la France et de ses colonies	CBl	1902	146
— Madagascar au début du XX. siècle. Minéralogie	CBl	1902	696
— siehe Michel-Lévy, A. etc.			
Lacroix, A. et P. Gautier: Sur les minéraux des fumerolles basaltiques de Royat (Puy-de-Dôme)	1900	I	30
Lacroix, A., R. de l'Isle et Giraud: Sur l'éruption de la Martinique	03	II	82
Ladoff, E.: Die neu entdeckten Kohlenflötze von Tkwartschali im Kaukasus	03	II	389
Lago, D. dal: Fauna eocenica nei tufi basaltici di Rivagna in Novale. 1902 I 286	04	I	288
Lake, Ph.: The Trilobites of the Bokkeveld beds	04	II	323
Lakowitz, C.: Beiträge zur Kenntniss der Tertiärflora des Oberelsass. Die Oligocänflora der Umgegend von Müllhausen i. E.	1900	I	486
Lamansky, W.: Die Mineralreichthümer Russlands	04	I	226
— *Neue Beiträge zur Vergleichung des Ost-Baltischen und Skandinavischen Unter-Silurs*	*CBl*	*1901*	*611*
Lambe, L. M.: On some species of canadian palaeozoic corals	01	II	325
Lambert, M. J.: Note sur quelques échinides éocènes de l'Aude	1900	I	141
— Note sur les échinides de la craie de Ciply	1900	I	480
— Étude sur quelques échinides de l'Infra-Lias et du Lias	02	I	150
— Les échinides fossiles de la province de Barcelone	03	I	529
Lamplough, F. E. E.: On some new forms prominently developed on crystals of Proustite	04	I	11
Lamplugh, G. W.: On some Effects of Earth-Movement on the Carboniferous Volcanic Rocks of the Isle of Man	01	I	408
Lane, A. C.: Geological Report on Isle Royale, Michigan	1900	II	224
— Geothermal Gradient in Michigan	02	I	45
Lang, H. v.: Die Eiszeiten und ihre Perioden	02	II	373
Langenbeck, R.: Das Erdbeben vom 13. Januar 1895 im südlichen Schwarzwald und den benachbarten Gebieten des Elsass und der Schweiz	1900	I	43
Langsdorff, W.: Beiträge zur Kenntniss der Schichtenfolge und Tektonik im nordwestlichen Oberharz	1900	I	429
Lankaster, E. R.: Note on the Molar of a Trilophodont Mastodon from the Base of the Suffolk Crag	02	II	459
Lapouge, G. Vacher de: L'Aryen, son rôle social. (Cours libre de science politique professé à l'université de Montpellier [1889—1900].)	CBl	1900	358

	Jahrg.	Bd.	Seite
Lapparent, A. de: Notions générales sur l'écorce terrestre	1900	I	35
— Leçons de géographie physique	1900	I	36
— Traité de géologie. Quatrième édition refondue et considérablement augmentée	1900 I 365 CBl	1900	193
— Sur l'érosion régressive dans la chaîne des Andes	02	II	375
Lapworth, H.: The silurian sequence of Rhayader	01	I	456
Láska, W.: Bericht über die Erdbebenbeobachtungen in Lemberg	03	I	223
Lasne, H.: Sur la composition de l'amblygonite	02	II	353
La Souche, J. D.: Geology of Western Rajputana	03	I	111
Laspeyres, H.: Das Siebengebirge am Rhein	02	I	254
Laube, G.: Die an der Urquelle in Teplitz am 1. November 1755 während des Erdbebens von Lissabon wahrgenommenen Erscheinungen	1900	I	203
— Ueber bearbeitete Knochen von Rhinoceros (Coelodonta) antiquitatis Blmbch. aus quartären Ablagerungen der Umgebung von Prag	1900	II	455
— Salmoniden aus der böhmischen Braunkohlenformation	1900	II	470
— Neue Schildkröten und Fische aus der böhmischen Braunkohlenformation	01	I	143
— Goethe's Beziehungen zu Deutsch-Böhmen	01	II	41
— Die im Auftrage der böhmischen Sparkasse durchgeführten Vorarbeiten zur Wasserversorgung von Prag und seinen Vororten	01	II	52
— Säugethierzähne aus dem Basalttuff von Waltsch	03	I	349
— Bericht über einen Säugethierrest aus den aquitanischen Thonen von Preschen bei Bilin in Böhmen	03	I	355
— Batrachier- und Fischreste aus der Braunkohle von Skiritz bei Brüx	04	I	286
— Synopsis der Wirbelthierfauna der böhmischen Braunkohlenformation und Beschreibung neuer oder bisher unvollständig bekannter Arten	04	I	286
— Die geologischen Verhältnisse des Thermalgebietes von Teplitz—Schönau	04	II	51
Launay, L. de: Beitrag zum Studium der Erzlagerstätten	1900	I	75
— Les variations des filons metallifères en profondeur	02	I	244
— Les mouvements des eaux souterraines dans la région de Teplitz et de Brüx en Bohême	02	I	388
— Les mines du Laurion dans l'antiquité	02	II	83
— Les roches éruptives carbonifères de la Creuse	03	II	373
— Recherche, captage et amenagement des sources thermo-minérales. Origine des eaux thermo-minérales, géologie, propriétés physiques et chimiques. Cours professé à l'école supérieure des Mines	CBl	1900	181
— siehe Munier-Chalmas et L. de Launay.			
Laurent, L., siehe Marion, A. F. et L. Laurent.			
Laurie, M.: On a silurian scorpion and some additional eurypterid remains from the Pentland Hills	03	I	544
Laus, H.: Chabasit von Wachendorf in Mähren	01	I	200
— Mineralogische Notizen	03	I	199
Lawrsky, A.: Die Plagioklasaugitgesteine zwischen dem Jenissei und der Lena	02	II	234
Lawson, A. C.: The post-pliocene diastrophism of the coast of southern California	04	I	108
— The Geomorphogeny of the Coast of Northern California	04	I	110

	Jahrg.	Bd.	Seite
Lawson, A. C. and Ch. Palache: The Berkeley Hills. A detail of Coast Range geology	1904	II	249
Lebedeff, N. J.: Das Kieselguhr-(Infusorienerde-)Lager im Bezirke Achaltisch, Gouv. Tiflis	01	II	69
— Das Naphthagebiet von Bibi-Eïbat in geologischer und industrieller Beziehung	01	II	84
— Gold im Kaukasus. Historischer Abriss der Nachforschungen und Schürfungen	01	II	404
Geologische Untersuchungen und Nachforschungen nach Gold im Flussthale des Tschoroch	01	II	405
Bemerkungen über die Mineralquellen von Amagleb	02	I	419
— Geologie im Museum Caucasicum	03	II	250
— Geologische Untersuchung eines Theiles des Bortschalinskschen Kreises (Somchetien) im Gouvernement Tiflis	04	I	226
Geologischer Bau der bei der Halbinsel Apscheron gelegenen Inseln des Caspischen Meeres	04	I	229
— Schürfungen auf Naphtha auf der Halbinsel Apscheron	04	I	229
— Schürfungen auf Naphtha im Bereiche des Gouvernements Baku (ausserhalb der Halbinsel Apscheron) und des Dagestan'schen Gebietes	04	I	229
Le Chatelier, H.: Applications de la loi des phases aux alliages et aux roches	01	II	256
Leche, W.: Zur Morphologie des Zahnsystems der Insectivoren	01	I	299
— Zur Entwickelungsgeschichte des Zahnsystems der Säugethiere. II. Phylogenie. 1. Heft. Die Familie der Erinaceidae	04	II	144
Leclère, A.: Étude chimique du granite de Flamanville	03	II	373
— siehe Michel-Lévy, A. etc.			
Le Conte, J., siehe Conte, J. le.			
Lehmann, Joh.: Eigenthümliche Art von Schichtenbildung	*CBl*	*1900*	*379*
Lehmann, O.: Ueber Structur, System und magnetisches Verhalten flüssiger Krystalle	01	II	338
— Ueber flüssige Krystalle	01	II	338
— Structur, System und magnetisches Verhalten flüssiger Krystalle und deren Mischbarkeit mit festen	01	II	338
— Flüssige Krystalle, Entgegnung auf die Bemerkungen des Herrn G. Tammann	02	II	3
— Ueber künstlichen Dichroismus bei flüssigen Krystallen und Herrn Tammann's Ansicht	03	II	163
— Plastische, fliessende und flüssige Krystalle; erzwungene und spontane Homöotropie derselben	04	I	159
Lehmann-Nitsche, R.: Coexistencia de l'hombre con un gran desdentado y un equino en las cavernas patagónicas	01	II	309
— Zur Vorgeschichte der Entdeckung von Grypotherium bei Ultima Esperanza	03	I	554
— Die Gleichzeitigkeit der südpatagonischen Höhlenbewohner mit dem Grypotherium und anderen ausgestorbenen Thieren der argentinischen Höhlenfauna	03	II	282
— Nuevos objectos de Industria humana encontrados en la Caverna Eberhardt	04	I	121
Leiner, Ludwig: Nekrolog	*CBl*	*1901*	*344*
Leiss, C.: Theodolitgoniometer nach Czapski mit gewöhnlicher Signalgebung	1900	II	7
— Bemerkung zu der Abhandlung des Herrn Dr. C. Pulfrich „Ueber die Anwendbarkeit der Methode der Totalreflexion auf kleine und mangelhafte Krystallflächen“	1900	II	174

	Jahrg.	Bd.	Seite
Leiss, C.: Die optischen Instrumente der Firma R. Fuess, deren Beschreibung, Justirung und Anwendung	1901	I	216
— Ueber eine Verbesserung an der Polarisationseinrichtung von Mikroskopen	03	I	361
— Krystallpolymeter nach C. Klein	03	I	362
— Ueber ein neues Projectionsmikroskop für den mineralogisch-petrographischen Unterricht	03	II	9
— Neues Krystallrefractometer zur Bestimmung grösserer und mikroskopisch kleiner Objecte	04	I	163
— Ueber eine neue Camera zur stereoskopischen Abbildung mikroskopischer und makroskopischer Objecte	04	II	340
Leith, C. K.: Moose Mountain Iron range	04	II	364
Lemberg, Johannes: Nekrolog	*CBl 1903 241*		
Lemoine, P. et C. Rouyer: Note préliminaire sur l'étage kimmeridgien entre la vallée de l'Aube et celle de la Loire	04	I	431
Lenarčič, J.: Petrogenetische Studien	*BB XIX 152*		
— *Ueber gegenseitige Löslichkeit und Ausscheidungsfolge der Mineralien im Schmelzfluss*	*CBl 1903 705*	*CBl 1903 743*	
Lenk, H.: Ueber vulcanische Tuffe aus Mexico	1900	II	232
— Ueber das Auftreten von Melilith in Basalten der Hassberge	03	I	235
— siehe Felix, J. und H. Lenk.			
Leonard, A. G.: Lead and zinc deposits of Iowa	1900	I	414
— *Geologische Skizze des galatischen Andesitgebietes nördlich von Angora*	*BB XVI 99*		
Lépinay, J. M. de: Ueber die Form der ordentlichen Wellenfläche im Quarz	01	II	335
Leppla, A.: Die Prüfung der natürlichen Bausteine	02	I	242
— Geologisch-hydrographische Beschreibung des Niederschlagsgebietes der Glatzer Neisse (oberhalb der Steinemündung)	04	I	87
Leppla, A. und F. Wahnschaffe: Geologisch-agronomische Darstellung der Umgebung von Geisenheim a. Rhein	CBl	1902	439
Lepsius, R.: Ueber die Zeit der Entstehung der Tonalitmasse des Adamello in Südtirol	1900	I	51
Leriche, M.: Description de la faune d'eau douce sparnacienne de Cuvilly (Oise)	01	I	125
— Notice sur les fossiles sparnaciens de la Belgique et en particulier sur ceux rencontrés dans un récent forage a Ostende	01	I	477
— Description de deux Unions nouveaux de l'Éocène inférieur du Nord de la France et de la Belgique	02	I	148
— Le Lutétien supérieur aux environs de Pargnan (Aisne)	02	I	456
— Faune ichthyologique des sables à Unios et Teredines des environs d'Epernay (Marne)	02	II	302
— 1. Sur quelques éléments nouveaux pour la faune ichthyologique du Montien inférieur du Bassin de Paris. 2. Sur deux Pycnodontidés des terrains secondaires du Boulonnais. 3. Contribution à l'étude des Siluridés fossiles	02	II	303
— Les poissons paléocènes de la Belgique	03	II	442
— L'Éocène des environs de Trélon (Nord)	04	II	258
— Sur une Pholade (Martesia Heberti Deshayes) du Tuffeau landénien (Thanétien) du Nord de la France	04	II	328

	Jahrg.	Bd.	Seite
Le Roy, O. E.: Geology of Rigaud Mountain, Canada . .	1903	I	437
Leuze, A.: Ueber neue Funde am Rosenegg	1900	I	22
— Ueber optisch interessante Mineralien von Brasilien . .	1900	I	33
— Mineralogische Notizen (1. Anhydrit von Wilhelmsglück. 2. Riesenkrystalle von Gyps aus Untertürkheim. 3. Minerale vom Rosenegg)	01	I	29
Lévat, E. D.: Sur les phosphates noirs des Pyrénées . .	01	II	73
— Guide pratique pour la recherche et l'exploitation de l'or en Guyane Française	02	II	85
Levi, T.: Osservazioni sulla distribuzione dei fossili negli strati pliocenici di Castellarquato	02	II	273
Levison, W. G.: A crystal of Chrysoberyl from the Borough of Manhattan, New York City	02	I	339
Lévy, siehe Michel-Lévy, A.			
Lewis, W. J.: On GRASSMANN's method of axial representation, and its application to the solution of certain crystallographic problems	01	II	333
— Notes on minerals from the neighbourhood of Binn (Switzerland)—Mispickel, Pyrites, Diopside, and Quartz	04	I	32
— A treatise on crystallography	CBl	1900	295
Lewis, W. J. and A. L. Hall: On some remarkable composite crystals of copper pyrites from Cornwall . . .	02	I	9
Lewkojeff, J., siehe Werigin, N. etc.			
Liburnau, L. L. v.: Ueber einige Reste ausgestorbener Primaten von Madagascar	03	I	344
— Ueber Hadropithecus stenognathus nebst Bemerkungen zu einigen anderen ausgestorbenen Primaten von Madagascar	03	I	344
Liebenam, W.: Goldbergbau in Aegypten	04	I	232
— Vorkommen und Gewinnung von Gold in Niederländisch-Ostindien	04	I	233
— Die Kohlenfelder im nordöstlichen China	04	II	79
*Liebisch, Th.: Ueber das Minimum der Ablenkung durch Prismen optisch zweiaxiger Krystalle	1900	I	57
— Die Synthese der Mineralien und Gesteine	03	II	89
*Liebus, A.: Ueber die Foraminiferenfauna des Bryozoenhorizontes von Priabona	01	I	111
— Einige ergänzende und berichtigende Bemerkungen zu FR. MATOUSCHEK's „Mikroskopische Fauna des Baculitenmergels von Tetschen"	03	II	151
— Ueber einige Fossilien aus der karpathischen Kreide. Mit stratigraphischen Bemerkungen von V. UHLIG . .	03	II	262
Lienau, H.: Ueber das Vorkommen carbonathaltiger Mangansilicate im Aure-Thal der Hoch-Pyrenäen	1900	II	21
Lienenklaus: Ueber das Tertiär des Dobergs bei Bünde	03	I	513
Liffa, A.: Beiträge zur krystallographischen Kenntniss des Chrysoberylls von Ceylon	04	I	15
Limanowski: Spirifer mosquensis und supramosquensis (?) aus der Umgegend von Krakau	04	II	98
— Dasselbe. Eine Berichtigung	04	II	98
Limburg-Stirum, A. de: Sur les nummulites du terrain bruxellien . . . . . 1900 I 451	01	I	478
*Lincio, G.: Beiträge zur krystallographischen Kenntniss des Quarzes	BB	XVIII	155
— *Ueber das angebliche Vorkommen von Germanium in den Mineralien Euxenit, Samarskit etc.	CBl	1904	142

	Jahrg.	Bd.	Seite
Lincio, G.: Ueber einen einfachen Durchstechapparat für krystallographische Zeichnungen	*CBl 1904*		*461*
Linck, G.: Der Meteorit (Chondrit) von Meuselbach in Thüringen	1900	I	355
— Ueber die heteromorphen (allotropen) Modificationen des Phosphors und des Arsens, sowie des Einfach-Schwefeleisens	1900	II	346
— Die Pegmatite des oberen Veltlin	1900	II	360
— Antwort auf die Bemerkungen des Herrn MUTHMANN zu meinen krystallographischen Abhandlungen	02	I	3
— Ueber die dunklen Rinden der Gesteine der Wüsten	02	I	56
— Bericht über seine Reise nach Kordofan	02	II	263
— *Die Bildung der Oolithe und Rogensteine*	*BB XVI*		*495*
— *Beiträge zur Geologie und Petrographie von Kordofan*	*BB XVII*		*391*
— *Apparat zur Demonstration der Gebirgsfaltung*	*CBl 1902*		*362*
— *Beitrag zur Lehre von der Differentiation der Magmen*	*CBl 1903*		*605*
Lindemann, B.: Ueber einige wichtige Vorkommnisse von körnigen Carbonatgesteinen mit besonderer Berücksichtigung ihrer Entstehung und Structur	*BB XIX*		*197*
Lindgren, W.: Granodiorite and other Intermediate Rocks	01	II	239
— The Gold and Silver Veins of Silver City, De Lamar and other mining districts in Idaho	03	I	450
— Tests for gold and silver in shales from western Kansas 1904 I 329	04	II	73
Lindner, A.: Trennung von Titansäure und Zirkonerde	1900	I	48
Lindström, A.: Några allmänna upplytningar till Översigtskarta angifvande de kvartära hafsaflagringarnes område samt Kalkstens- och Mergelförekomsters utbredning i Sverige	01	I	259
— Beskrifning till Kartbladet Örkelljunga	01	I	259
— Beskrifning till Kartbladet Ulricehamn	01	I	442
Lindström, G.: On Thecocyathus Nathorsti n. sp., a Neocomian coral from King Charles Land	01	II	163
— On a species of Tetradium from Beeren Eiland	01	II	163
— Researches on the visual organs of the trilobites	03	I	545
— *Nekrolog*	*CBl 1901*		*527*
Linstow, O. v.: Ueber Triasgeschiebe	02	II	444
— Ueber jungglaciale Feinsande des Fläming	03	II	411
— Neuere Beobachtungen aus dem Fläming und seinem südwestlich gelegenen Vorlande	04	II	446
Lippitsch, C.: Stereometrie der einfachen isoaxialen Formen des regulären Krystallsystems	04	II	333
Liversidge, A.: On the crystalline structure of some silver and copper nuggets	02	I	5
— On the crystalline structure of some gold nuggets from Victoria, New Zealand and Klondyke	02	I	6
Loczka, J.: Chemische Analyse eines Tetraëdrits vom Berge Botes in Ungarn	02	I	11
— Chemische Analyse zweier Magnesite	02	I	340
— Chemische Analyse des Anapait	03	II	333
— Ueber den Berthierit von Bräunsdorf	04	I	10
Lóczy, L. v.: Palaeontologische und stratigraphische Ergebnisse. In: Wissenschaftliche Ergebnisse der Reise des Grafen BÉLA SZÉCHENYI in Ostasien. 1877—1880. Dritter Band: Die Bearbeitung des gesammelten Materiales	1900	II	92

	Jahrg.	Bd.	Seite
Löfstrand, G.: Gnesta silfvergrufva och Mölnbo zinkgrufva. Nyupptächta malmfyndigheter i Södermanland	1900	I	412
— Ueber die Grube Skrickerum, Kirchspiel Tryserum, Gouv. Kalmar	01	I	361
— Beryll von Heerestad bei Kärda, Gouv. Tönköping	01	II	19
— Die Nickelgruben Slattberg und Kuso in Dalarne	04	II	171
Lörenthey, E.: Foraminiferen der Pannonischen Stufe Ungarns	*1900*	*II*	*99*
— Ueber die Brachyuren der Palaeontologischen Sammlung des Bayerischen Staates	1900	II	148
— Beiträge zur Decapodenfauna des Ungarischen Tertiärs	1900	II	473
— Mikroskopische Untersuchungen der palaeozoischen Gesteine. (Aus: Wissensch. Ergebnisse der Reise des Grafen Béla Széchenyi in Ostasien. 3. Abth. IV. Pesth 1898)	1900	II	488
— Sepia im ungarischen Tertiär (Sepia hungarica n. sp.)	03	I	166
Loeser, Carl: Handbücher der keramischen Industrie für Studirende und Praktiker. II. Theil. Aufsuchen, Abbohren und Bewerthung von Lehm-, Thon- und Kaolin-Lagern	CBl	1904	410
Löwe, L.: Ueber secundäre Mineralbildung auf Kalisalzlagern	04	I	331
Loewinson-Lessing, F.: Kritische Beiträge zur Systematik der Eruptivgesteine	1900	II	388
— Kritische Beiträge zur Systematik der Eruptivgesteine. II—IV	1902	I	214
— Geologische Skizze der Besitzung Jushno-Saosersk und des Berges Deneshkin Kamen im nördl. Ural	03	II	355
— Geologisch-petrographische Untersuchungen im Bereich des Massivs und der Ausläufer des Kasbek im Jahre 1899	02	I	395
— Die Grundprobleme der Geologie. Im Sep.-Abdr. unter dem Titel: Die Grundprobleme der physikalischen Geologie	02	II	390
— Studien über die Eruptivgesteine. 1. Nachtrag: Berichtigungen zu den Zahlen	03	I	218
— Das Wallerant'sche Refractometer und dessen Anwendung	03	II	60
— Studien über die Eruptivgesteine	03	II	165
— *Zur Frage über die Krystallisationsfolge im Magma*	CBl	1900	183
— *Eine Voraussetzung über den Isomorphismus der Kalknatronfeldspäthe*	*CBl*	*1900*	*288*
Löwl, F.: Excursion quer durch den mittleren Abschnitt der Hohen Tauern	*CBl*	*1901*	*708*
Logan, W. N.: The invertebrates of the Benton, Niobrara and Fort Pierre groups	04	II	83
— A discussion and correlation of certain subdivisions of the Colorado formation	01	II	297
— Some additions to the cretaceous invertebrates of Kansas	02	I	118
— Contributions to the palaeontology of the Upper Cretaceous Series	02	I	147
Lohest, M.: De la présence du calcaire à Paléchinides dans le Carbonifère du Nord de la France	02	II	119
— Discours, prononcé au XXV. anniversaire de la Société géologique de Belgique sur les progrès réalisés en géologie de 1874 à 1898	01	I	460
— Millerit auf Kalkspath	02	I	89
	03	II	171

	Jahrg.	Bd.	Seite
Lohest, M., siehe Forir, H. etc.			
Lohest, M. et H. Forir: Stratigraphie du Massif Cambrien de Stavelot	1901	II	114
— — Exposé des motifs du projet de légende du calcaire carbonifère	01	II	443
— — Allure du Cambrien au sud de Vielsalm	03	II	104
Lohmann, H.: Das Höhleneis, unter besonderer Berücksichtigung einiger Eishöhlen des Erzgebirges	1900	I	207
Lohr, A.: Geognostische Beobachtungen im Nordosten von Pressburg	03	I	268
Lomnicki, J.: Otwornice miocenu Pokucia	03	I	271
Longhi, P.: Di alcune Gymnites della nuova fauna triassica di Val di Pena presso Lorenzago (in Provincia di Belluno)	01	II	151
— Cefalopodi della fauna triassica di Val di Pena presso Lorenzago	03	II	149
— Contribuzione alla conoscenza della fauna del calcare cretaceo di Calloneghe presso il Lago di S. Croce nelle Alpi venete	03	II	273
Loomis, F.: Siluric fungi from western New York	03	I	482
— On Jurassic Stratigraphy on the West side of the Black Hills. Second paper on American Jurassic Stratigraphy	03	II	404
— Die Anatomie und die Verwandtschaft der Ganoid- und Knochenfische aus der Kreideformation von Kansas U. S. A.	04	I	308
— The dwarf fauna of the pyrite layer at the horizon of the Tully limestone in Western New York	04	I	427
Lord, E. C. E.: Petrographic Report on Rocks from the United States — Mexico Boundary	01	I	410
Lorenz, P.: Histoire de l'exploitation des mines dans le Canton des Grisons	02	II	82
— Weitere chemische Analysen von Bündner Erzen	03	I	86
Lorenz, Th.: Geologische Studien im Grenzgebiete zwischen helvetischer und ostalpiner Facies. II. Th. Südlicher Rhätikon	CBl	1902	120
— *Ascosomaceae, eine neue Familie der Siphoneen aus dem Cambrium von Schantung*	*CBl*	*1904*	*193*
Lorenzo, G. de: Guida geologica dei dintorni di Lagonegro in Basilicata	1900	I	253
— Cenni geologico-agrari sulla Basilicata	1900	I	253
— Reliquie di grandi Laghi pleistocenici nell' Italia meridionale	01	I	290
— I grandi Laghi pleistocenici delle falde del Vulture	01	I	290
— Influenza dell' acqua atmosferica sull' attività del Vesuvio	02	I	378
— La pioggia e il Vesuvio	02	I	378
— Sulla probabile causa dell' attuale aumentata attività del Vesuvio	02	I	378
— Considerazioni sull' origine superficiale dei vulcani	02	II	372
— Un paragone tra il Vesuvio e il Vulture	03	I	41
— Geologia e geografia fisica dell' Italia meridionale	CBl	1904	407
Lorenzo, G. de e C. Riva: Il cratere di Vivara nell' isole flegree	02	I	404
— — Il cratere di Astroni nei Campi Flegrei	03	I	43
Lorié, J.: Het brongas in Nederland	01	II	84
— Beschrijving van eenige nieuwe Grondboringen	01	II	452
— Onze brakke, ijzerhoudende en alkalische Bodemwateren	01	II	454

	Jahrg.	Bd.	Seite
Lorié, J.: Beschrijving van eenige nieuwe Grondboringen. II. und III. 1902	II	127.	442
— Beschrijving van eenige nieuwe Grondboringen. IV. .	04	I	105
— Contributions à la géologie des Pays-Bas. X. Sondages en Zélande et en Brabant	04	I	106
— Beschrijving van eenige nieuwe Grondboringen. V. . .	04	II	456
Loriol, P. de: Étude sur les mollusques et brachiopodes de l'Oxfordien inférieur ou zone à Ammonites Renggeri du Jura Bernois . . . . . 1900 I 315	01	I	139
— Notes pour servir à l'étude des échinodermes. V. . . . 1900	I		318
— Notes pour servir à l'étude des échinodermes. VI. . . 1900	I		479
— Notes pour servir à l'étude des échinodermes. VII. 1900 II 486 1903	II	453.	454
— Notes pour servir à l'étude des échinodermes. VIII. . .	01	II	321
— Ueber einen neuen fossilen Seestern	01	II	484
— Étude sur les Mollusques et Brachiopodes de l'Oxfordien inférieur du Zone à Ammonites Renggeri du Jura Lédonien. Accompagnée d'une notice stratigraphique par Abel Girardot	02	I	292
— Étude sur les Mollusques et Brachiopodes de l'Oxfordien supérieur et moyen du Jura Bernois	03	I	322
Lortet et Hugounenq: Coloration noire des rochers formant les cataractes du Nil	03	II	78
Lory, P.: Les mouvements du sol et la sédimentation en Dévoluy durant le Crétacé supérieur	02	I	279
— siehe Kilian, W. etc.			
Lotti, B.: Rilevamento geologico nei dintorni del Lago Trasimeno, di Perugia e d'Umbertide. Relazione sulla campagna 1898 . . . . . 1901 I 99	01	II	128
— Sulla genesi dei giacimenti metalliferi di Campiglia Marittima in Toscana	02	I	82
— Sull' età della formazione marnoso-arenacea fossilifera dell' Umbria superiore	02	I	285
— Ancora sull' età della formazione marnoso-arenacea fossilifera dell' Umbria superiore . . . 1902 I 285	03	I	281
— Die geschichteten Erzlagerstätten und das Erzlager vom Cap Garonne in Frankreich	03	I	82
— Die zinnober- und antimonführenden Lagerstätten Toscanas und ihre Beziehungen zu den quartären Eruptivgesteinen	03	I	92
— Sulla probabile esistenza di un giacimento cinabrifero nei calcari liasici presso Abbadia S. Salvatore (Monte Amiata)	03	I	94
— Sulla questione del terreno cretaceo nei dintorni di Firenze	03	I	280
— Conclusione sulla polemica geologica Trabucco-Lotti .	03	I	280
— Inocerami nella scaglia cinerea senoniana presso Titignano (Orvieto)	03	I	282
— Sul giacimento di Bauxite di Colle Carovenzi presso Pescosolido (circ. di sora) nella Valle del Liri . . .	04	II	235
— Sulla costituzione geologica del gruppo montuoso d'Amelia (Umbria)	04	II	247
I terreni secondari nei dintorni di Narni e di Terni. Relazione sulla campagna geologica del 1902	04	II	248
— Il Casentino è una Valle anticlinale?	04	II	420
Lotz, H.: Die Fauna des Massenkalks der Lindener Mark	01	I	272
— Pentamerus-Quarzit und Greifensteiner Kalk	02	II	265
— Ein neuer Fundpunkt des Pentamerus rhenanus F. Roem.	04	I	97

	Jahrg.	Bd.	Seite
Louis, H.: Grundsätze der Classification der Minerallagerstätten	1902	I	244
Lourent, L.: Note a propos des Ficus des gisement de Célas	1900	II	496
Lovisato, D.: Notizia sopra alcune spezie minerali nuove per la Sardegna	1900	I	202
— Fayalite alterata delle granuliti di Villacidro	01	II	20
— La bournonite nella miniera dell' Argentiera della Nurra (Portotorres Sardegna)	03	II	14
— Il crisocolla e la vanadinite della miniera cuprifera di Bena (de) Padru presso Ozieri	04	I	360
— La greenockite nelle Miniere di Montevecchio	04	II	170
— Le specie fossili finora trovate nel calcare compatto di Bonaria e di San Bartolomeo	04	II	286
Low, A. P.: Report on a traverse of the northern part of the Labrador Peninsula from Richmond Golf to Ungava Bay	01	I	447
Lowag, J.: Die Goldvorkommen am Hohenberg und Oelberg bei Würbenthal und Engelsberg in Oesterreichisch-Schlesien	03	II	379
— Die Eisenerzvorkommen und die ehemalige Eisenerzerzeugung bei Römerstadt in Mähren	03	II	380
— Das Vorkommen von Manganerzen in Gesellschaft von Eisenerzen bei Platten in Böhmen und Johanngeorgenstadt in Sachsen	04	I	238
— Mangan- und Eisenerzvorkommen im Thüringer Wald	04	I	239
— Die Vorkommen von silberhaltigem Bleiglanz, Kobalt- und Nickelerz bei Pressnitz im böhmischen Erzgebirge	04	II	411
Lowuds, L.: Ueber das thermomagnetische und thermoelektrische Verhalten des krystallisirten Wismuths	03	II	323
Lucas, F. A.: Characters and relations of Gallinuloides, a fossil gallinaceous bird from the Green River shales of Wyoming	01	II	474
— A new dinosaur, Stegosaurus Marshi, from the lower Cretaceous of South Dakota . . . . . 1901 II 475	03	I	343
— A new fossil cyprinoid, Leuciscus Turneri, from the Miocene of Nevada . . . . . 1901 II 477	04	I	461
— The fossil Bison of North America	03	I	146
— A flightless auk, Mancalla californiensis, from the Miocene of California	04	I	460
Luczizky, W. v.: Petrographische Studien zwischen Erbendorf und Neustadt an der Waldnaab (Oberpfalz)	*CBl*	*1904*	*577*
— siehe Lutschitzky, W.			
Ludwig, A.: Die directe Umwandlung der Kohle in Diamant	03	I	366
Ludwig, E. und Th. Panzer: Ueber die Gasteiner Thermen	02	II	411
— — Ueber die Therme von Monfalcone	02	II	413
Lüdecke, C.: Die Boden- und Wasserverhältnisse der Provinz Rheinhessen, des Rheingaus und Taunus	03	II	122
Luedecke, O.: Ueber ein neues Vorkommen von Laumonit	01	I	24
— Ueber Thüringer Meteoriten	02	I	370
— *Die kataklastischen Massengesteine des Kyffhäusers*	*03*	*II*	*44*
Lühmann, H.: Ueber eine angebliche Pseudomorphose	1900	I	173
Lugeon, M.: Sur la découverte d'une racine des Préalpes suisses	03	I	99
— siehe Haug, E. etc.			
Lundbohm, H.: Kiirunavaara och Luossavaara jernmalmsfält i Norbottens län	1900	I	79

	Jahrg.	Bd.	Seite
Lundbohm, H.: The iron-ore fields at Kiirunavaara and Luossavaara in the Province of Norrbotten	1900	I	79
Lungwitz, E.: Der geologische Zusammenhang von Vegetation und Goldlagerstätten	02	II	240
— Die Goldseifen von British Guiana	02	II	248
Luquer, L. McJ.: Minerals in rock sections. The practical methods of identifying minerals in rock sections with the microscope	1900	I	217
Luther, D. D.: Stratigraphic value of the Portage sandstones	03	I	119
— siehe Clarke, J. M., R. Rüdemann und D. D. Luther.			
Lutschitzky, W.: Ueber den mikroskopischen Bau einiger tertiärer Sandsteine des südlichen Russlands	02	II	398
— siehe Luczizky, W. v.			
Luzj, G. F., siehe Angelis d'Ossat, G. de e G. F. Luzj.			
Lyborn, F. St. J.: Mining and Minerals in the Transvaal and Swazieland	03	I	94
Lydekker, R.: The Dental Formula of the Marsupial and Placental Carnivora	03	I	140
— On the Skull of a Chiru like Antelope from the Ossiferous Deposits of Hundes, Tibet, and on Pantholops hundiensis	03	I	347

M.

Maas, G.: Ueber Thalbildungen in der Gegend von Posen	01	II	450
— Ueber Endmoränen in Westpreussen und angrenzenden Gebieten	02	I	122
— Geologische Skizzen aus der Tucheler Heide	02	I	124
— Zur Entwickelungsgeschichte des sogen. Thorn-Eberswalder Hauptthales	04	II	124
— Ueber präglaciale marine Ablagerungen im östlichen Norddeutschland	04	II	446
Mac, siehe auch Mc.			
Mácha, B.: Ueber Ganggesteine von Záběhlic und Diabas von Hodkovičky	02	I	59
Macco, A.: Uebersicht der geologischen Verhältnisse von Krivoi Rog in Südrussland, unter besonderer Berücksichtigung der Eisenerzlager	1900	I	82
— Die nutzbaren Bodenschätze der deutschen Schutzgebiete	04	II	243
Mackie, W.: The Conditions under which Manganese Dioxide has been deposited in Sedimentary Rocks, as illustrated by the Elgin Sandstones	04	II	82
Maclaren, J. M.: Field Notes on the influence of Oranic Matter on the Deposition of Gold in Veins	04	II	230
McClung, C. E.: Microscopic organisms of the Upper Cretaceous	01	II	165
McConnell, R. G.: Preliminary Report on the Klondike Gold Fields, Yukon District, Canada	02	II	244
McEvoy, J.: Report on the Geology and Natural Resources of the Country traversed by the Yellow Head Pass Route from Edmonton to Tête Jaune Cache comprising Portions of Alberta and British Columbia	02	I	430
McHenry, A., siehe Kilroe, J. R. and A. McHenry.			
McMahon, C. A.: On the Occurrence of Allanite in the Hornblende-Granite of Lairg, Sutherlandshire	01	I	79
— The Persian Volcano Koh-I-Taftan	01	I	233

	Jahrg.	Bd.	Seite
McMahon, C. A.: Notes on the Geology of Gilgit . . .	1902	I	237
— Petrological Notes on some Peridotites, Serpentines, Gabbros and associated Rocks from Ladakh, North Western Himalaya	03	I	79
— Notes on the Tourmaline of the White Granite of Meldon, Dartmoor	03	I	420
— Rock Metamorphism; Address to the Geological Section of the British Association for the Advancement of Science	04	II	50
McMahon, C. A. and H. Hudleston: Fossils from the Hindu Khoosh	03	I	291
Madsen, V.: Indelingen af danske Kvartärdannelser . .	01	I	133
— The pleistocene Foraminifera of Slesvick and Holstein	01	II	328
— Beskrifelse til Geologisk Kort over Danmark. 1 : 100000. 1. Raekke. No. 7. Kortbladet Bogense	03	I	266
— Forchhammer's tertiärlokalitet ved Issehoved paa Samsö	03	I	286
— Jura-, Neocom- og Gault-Blokke fra Danmark	03	I	286
— Brev til Hr. Staatsgeolog Dr. phil. H. Munthe	03	I	287
— siehe Skeat, E. G. and V. Madsen.			
Madsen, V. und V. Nordmann: Det interglaciale Nematurella-Ler ved Gudbjerg paa Fyn	03	I	526
Madsen, V., V. Nordmann, K. J. V. Steenstrup und E. Oestrup: Leda pernula lered ved Selbjergård i Vester Hanherred	03	I	524
Major, G. J. Forsyth: Note on a Table of Contemporary Geological Deposits arranged Stratigraphically with their Characteristic Genera of Mammalia	02	II	274
— Pliohyrax graecus from Samos	02	II	458
— On Fossil Dormice	02	II	461
— On Fossil and Recent Lagomorpha	03	I	141
— Some Rodents from the Middle Miocene lacustrine Deposits of Oeningen, Southern Germany	03	I	352
— On the reported occurrence of the Camel and the Nilgan in the Upper Miocene of Samos	03	I	553
— A Summary of our Present Knowledge of Extinct Primates from Madagascar	03	I	562
— On the Skull of Enhydrictis galictoides n. sp. from the Pleistocene ossiferous breccia of Sardinia	03	II	429
— The Madagascar pigmy Hippopotamus	04	II	142
— Some account on a nearly complete skeleton of Hippopotamus madagascariensis Guldberg from Sirabé . .	04	II	142
— On the Pigmy Hippopotamus from the Pleistocene of Cyprus	04	II	143
— On Mustela palaeattica from the Upper Miocene of Pikermi and Samos	04	II	143
— On some Jaws and Teeth of Pliocene Voles (Mimomys n. g.) from the Norwich Crag at Thorpe and from the Upper Val d'Arno	04	II	306
Makowsky, A.: Der Mensch der Diluvialzeit Mährens mit besonderer Berücksichtigung der in den mineralogisch-geologischen Sammlungen der k. k. technischen Hochschule in Brünn aufbewahrten Fundobjecte	02	II	289
Malaise, C.: Etat actuel de nos connaissances sur le Silurien de la Belgique	02	I	435
— Découverte du Llandeilo dans le massif silurien du Brabant	03	II	103
— Découverte d'un calcaire silurien (marbre noir) le plus ancien de Belgique	03	II	104

	Jahrg.	Bd.	Seite
Mallet, F. R.: On Langbeinite from the Punjab Salt Range	1901	II	34
Mamontow, W.: Bemerkung über die Lagerstätten des Diamantes im Ural	03	II	169
Manasse, E.: Nuovo modo di presentarsi della tormalina elbana	1900	I	192
— Analisi chimica della limonite di Monte Valerio	01	I	187
— Stilbite e foresite del granito elbano	01	II	28
— Di una sabbia ferro-cromo-titanifera rinvenuta a Castiglioncello	02	II	233
— Su di alcune rocce della Crocetta presso San Piero in Campo (Isola d'Elba)	03	I	250
— Studio chimico-microscopico sul gabbro rosso del Romito	03	I	250
— Rocce trachitiche del cratere di Fondo Riccio nei Campi Flegrei	03	II	369
— Le rocce della Gorgona	04	II	219
— Porfiriti dioritiche e andesiti del Montenegro	04	II	222
— Rocce della Colonia Eritrea raccolte a Sud di Aràfali.	04	II	401
Maplestone, C. M.: Further descriptions of the Tertiary Polyzoa of Victoria. Part I	1900	II	483
Marckwald, W.: Ueber Photographie	01	I	6
Mariani, E.: Sopra alcune pozzi della pianura trevigiana	1900	I	218
— Fossili del Giura e dell' Infracretaceo nella Lombardia	01	I	142
— Fossili miocenici del Cameriense	02	II	273
— Nuove osservazioni geologiche e paleontologiche sul gruppo della Presolana e sulla Cima di Camino	03	I	477
Marinelli, O.: Osservazioni geologiche sopra i terreni secondari del gruppo del M. Judica in Sicilia	01	II	109
— Descrizione geologica dei dintorni di Tarcento in Friuli	03	I	478
Marino, L., siehe Piccini, A. und L. Marino.			
Marion, A. F. et L. Laurent: Examen d'une collection de végétaux fossiles de Roumanie	1900	II	490
Marsh, O. C.: The dinosaurs of North America	1900	I	462
— Principal characters of the Protoceratidae. I	1900	II	139
— The skull of Protoceras	1900	II	139
— Footprints of jurassic Dinosaurs	01	I	305
Marshall, P.: The Kingston moraine	04	II	282
Martel, E. A.: Sur l'éboulement de Saint-Pierre-de-Livron et les infiltrations des plateaux de tuf	1900	II	46
Martelli, A.: Le formazioni geologiche ed i fossili di Paxos ed Antipaxos nel mare Jonio	03	I	276
— Note geologiche su Paxos e Antipaxos nelle Isole Ionie	03	I	480
Martens, A.: Die Prüfung der natürlichen Baugesteine	02	I	242
— Zum Aufsatz des Herrn Dr. O. Herrmann-Chemnitz (über die Prüfung der natürlichen Baugesteine)	02	I	242
Martens, F. F.: Ueber die Dispersion von Flussspath, Sylvin, Steinsalz, Quarz und Kalkspath, sowie über die Dispersion von Diamant	03	II	8
Martin, D.: Sur des lambeaux de molasse marine situés au fond du cañon de Régalon (Vaucluse)	01	II	283
Martin, Fr.: Ueber scheinbar spaltbaren Quarz von Karlsbad	02	II	188
— Untersuchung der Aufschlüsse der Bahnstrecke Karlsbad—Marienbad sowie der angrenzenden Gebiete	03	I	237
— Ueber den sogenannten Syenit von Plan	03	I	414
Martin, J.: Zur Frage der Entstehung der Felsbecken	01	II	130
— Ueber die geologischen Aufgaben einer geologisch-agronomischen Kartirung des Herzogthums Oldenburg	03	II	411

	Jahrg.	Bd.	Seite
Martin, J.: Erwiderung an J. **Petersen** in Betreff der Basaltgeschiebe im Westen der Weser	1903	II	412
— *Ein Wort zur Klarstellung*	*CBl 1903*		*453*
Martin, K.: Notiz über den Lias von Borneo	1900	II	119
— Die Fauna der Mĕlawi-Gruppe, einer tertiären (eocänen?) Brackwasserablagerung aus dem Inneren von Borneo	1900	II	132
— On Brackish-water deposits of the Mĕlawi in the interior of Borneo	1900	II	132
— Die Fossilien von Java, auf Grund einer Sammlung von R. D. M. **Verbeek** bearbeitet. Heft VI—VIII. Mollusken (Forts.)	1900	II	288
— Einige Worte über den Wawani sowie über Spaltenbildungen und Strandverschiebungen in den Molukken	01	I	50
— Die Eintheilung der versteinerungsführenden Sedimente von Java	02	I	121
— Concerning tertiary fossils in the Philippines	02	II	438
— *Lithothamnium in cretaceischen und jüngeren Ablagerungen tropischer Inseln*	*CBl 1901*		*161*
— *Reise-Ergebnisse aus den Molukken*	*CBl 1901*		*321*
— *Orbitoides von den Philippinen*	*CBl 1901*		*326*
— *Reise-Ergebnisse aus den Molukken. II.*	*CBl 1902*		*1*
— *Reise-Ergebnisse aus den Molukken. III.*	*CBl 1902*		*460*
Marton, N. H. and A. **Keith**: On Dikes of Felsophyre and Basalt in Paleozoic Rocks in Central Appalachian Virginia	1900	II	69
Maschke, O.: Mikroskopische Studien über die Krystallisation des Gypses. Versuche von Otto **Maschke**, mitgetheilt von Heinrich **Vater**	01	II	358
Masoni, G, siehe **Sestini**, F. e G. **Masoni**.			
Mathews, E. B., siehe **Merrill**, G. P. and E. B. **Mathews**.			
Matteucci, R. V.: L'apparato dinamico dell' eruzione vesuviana del 3 luglio 1895	1900	I	41
— Jodio e bromo nei prodotti delle fumarole dell' eruzione vesuviana del 1895	1900	I	52
— Le rocce porfiriche dell' isola d'Elba. Aplite porfirica	1900	I	53
— Sur l'état actuel des volcans de l'Europe mèridionale 1901 I 46	01	II	207
— Su fenomeni magmastatici verificatisi nei mesi di luglio —agosto 1899 al Vesuvio	01	I	46
— Sulla causa verosimile, che determinò la cessazione della fase effusiva cominciata il 3 luglio 1895 al Vesuvio	01	I	215
— Sur les particularités de l'éruption du Vésuve	01	II	207
— Sur la production simultanée de deux sels azotés dans le cratère du Vésuve	02	I	209
— *Salmiak vom Vesurkrater, einem neuen Fundorte*	*CBl 1901*		*45*
— *Silberführender Bleiglanz vom Monte Somma*	*CBl 1901*		*47*
— *Das Vorkommen des Breislakits bei der Vesuveruption von 1895—1899*	*CBl 1901*		*48*
Matteucci, R. V. ed E. **Giustiani**: Il selenio nei prodotti delle fumarole dell' eruzione vesuviana del 3 luglio 1895	1900	I	52
Matthew, G. F.: The cambrian system in the Kennebecasis Valley	1900	I	111
— A new cambrian trilobite 1900 I 132	01	I	162
— Recent discoveries in the St. John group. No. 2	1900	I	267
— A palaeozoic terrane beneath the cambrium	1900	I	434

	Jahrg.	Bd.	Seite
Matthew, G. F.: Preliminary notice of the Etcheminian fauna of Newfoundland	1900	I	435
— Preliminary notice of the Etcheminian fauna of Cape Breton	1900	II	292
— Studies on Cambrian faunas. No. 3: Upper Cambrian fauna of Mount Stephen, British Columbia. No. 4: a) Fragments of the Cambrian faunas of Newfoundland. b) The Etcheminian fauna of Smith Sound, Newfoundland	1900	II	292
— New species of cambrian fossils from Cape Breton	01	II	133
— Additional notes on the Cambrian of Cape Breton	03	I	292
— 1. Acrothyra and Hyolithes, a comparison. 2. Hyolithes gracilis etc. 3. A backward step in palaeobotany	03	I	330
— Ostracoda of the basal Cambrian rocks in Cape Breton	03	I	336
— Stratigraphy versus Palaeontology in Nova Scotia	03	I	506
— Notes on Cambrian faunas	03	II	401
— Report on the Cambrian rocks of Cape Breton	03	II	401
Matthew, W. D.: A revision of the Puerco-Fauna	1900	I	299
— Is the White River Tertiary an Aeolian Formation?	1900	II	441
— Development of the facets in the Palaeosyopinae	01	I	148
— A Provisional Classification of the Fresh Water Tertiary of the West	01	II	136
— Additional Observations on the Creodonta	03	II	430
— Fossil Mammals of the Tertiary of North Eastern Colorado	04	I	123
— New Canidae from the Miocene of Colorado	04	I	294
— A Skull of Dinocyon from Texas	04	I	294
— On the Skull of Bunaelurus, a Musteline from the White River Oligocene	04	I	296
— List of the pleistocene fauna from Hay Springs, Nebraska	04	I	296
— A horned Rodent from the Colorado Miocene, with a Revision of the Mylagauli, Beavers and Hares of the American Tertiary	04	I	301
— The Skull of Hypisodus, the smallest of the Artiodactyla, with a Revision of the Hypertragulidae	04	II	141
— A complete Skeleton of Merycodus	04	II	311
— The Fauna of the Titanotherium-beds of Pipestone Springs, Montana	04	II	460
— The Evolution of the horse	04	II	462
— siehe Wortman, J. L. and W. D. Matthew.			
Mattirolo, E.: Relazione sul rilevamento geologico nella valle di Champorcher (Alpi Graie) eseguito nel 1897	1900	II	265
Maurer, Fr.: Der Quarzit von Neuweilnau	03	I	506
Maury, E.: Sur un nouveau gisement de terrain miocène à l'intérieur de la Corse	02	II	272
Mayer-Eymar, Ch.: Description de coquilles fossiles des terrains tertiaires inférieurs 1900 I 131	04	II	459
— Neue Echiniden aus den Nummulitengebilden Egyptens	01	II	483
— Interessante Gastropoden aus dem Untertertiär Egyptens	02	I	483
— Rectification d'une erreur de détermination	02	II	486
— Sur le Flysch et en particulier sur le Flysch de Biarritz	04	I	99
— Revue des grandes Ovules ou Gisortia, Jousseaume	04	II	472
Mazelle, Ed.: Verdunstung des Meerwassers und des Süsswassers	1900	II	47
— Erdbebenstörungen zu Triest, beobachtet am Rebeur-Ehlert'schen Horizontalpendel vom 1. März bis Ende December 1899	02	II	47

	Jahrg.	Bd.	Seite
Mazelle, Ed.: Die tägliche periodische Schwankung des Erdbodens nach den Aufzeichnungen eines dreifachen Horizontalpendels zu Triest	1903	I	222
Means, T. H.: A Rapid Method for the Determination of the Amount of Soluble Mineral in a Soil	01	I	240
Medanich, G.: Beiträge zur experimentellen Petrographie	*03*	*II*	*20*
Mehring, H., siehe Wohltmann, F. und H. Mehring.			
Meigen, W.: Beiträge zur Kenntnis des kohlensauren Kalkes	03	II	19
— *Eine einfache Reaktion zur Unterscheidung von Aragonit und Kalkspath*	*CBl*	*1901*	*577*
Meister, A.: Die Bassins der Flüsse Uderej und Udoronga. Vorläufiger Bericht	02	II	403
— Geologische Untersuchungen im Süd-Jenissei'schen Bergrevier im Jahre 1899. (Die Bassins der Grossen und Kleinen Muroschnaja, Tschornaja und Rybnaja.) Vorläufiger Bericht	02	II	403
Melander, A.: Some additions to the Carboniferous terrestrial Arthropod Fauna of Illinois	04	I	311
Melczer, G.: Ueber einige Mineralien, vorwiegend von Ceylon	02	I	195
— Ueber einige krystallographische Constanten des Korund	02	II	339
— Pyrit von Monzoni	04	I	8
— Ueber den Aragonit von Urvölgy (Herrengrund)	04	II	18
— Ueber die Symmetrie und das Axenverhältnis des Hämatit	04	II	351
Meli, R.: Fluorite cristallizzata della miniera di Congians presso Iglesias (Sardegna)	1900	I	6
— Sull' opale nobile della Tolfa	1900	I	10
— Osservazioni sul Pecten (Macrochlamys) Ponzii Meli e confronti con alcune forme di pectinidi neogenici affini che vi si collegano	01	II	320
— Sulle Chamacèe e sulle Rudiste del Monte Affilano presso Subiaco nel circondaria di Roma	03	II	409
— Brevi notizie sulle rocce che si riscontrano nell' Abruzzo lungo il percorso dell' antica Via Valeria, nel tratto Arsoli—Carsoli—Sante Marie—Tagliacozzo—Avezzano—Forca Caruso—Collarmele	04	II	421
— Sulla costituzione geologica del Monte Palatino in Roma	04	II	421
Melion, V.: Neuer Fundort von Beryll bei Zöptau-Petersdorf	04	I	30
Melzi, G., siehe Artini E. und G. Melzi.			
Mendenhall, W. C.: A Reconnaissance in the Norton Bay Region, Alaska, in 1900	04	II	71
— siehe Brooks, A. H. etc.			
— siehe Smith, G. O. and W. C. Mendenhall.			
Mennel, F. P.: The Wood's Point Dyke, Victoria, Australia 1903 II 259	04	II	59
— Contributions to South African Petrography	04	II	55
Menteath, siehe Stuart-Menteath.			
Mentzel, H.: Die Lagerstätten der Stahlberger und Klinger Störung im Thüringer Wald	1900	I	78
Menzel, H.: Der Galgenberg und das Vorholz bei Hildesheim	*02*	*I*	*35*
— Ueber Pseudogeschiebelehm von Holzen a. Ith.	03	II	415
— Beiträge zur Kenntniss der Quartärbildungen im südlichen Hannover. I. Die Interglacialschichten von Wallensen in der Hilsmulde	04	II	455
— Zwei neue Arten von Valvata Müller (Gruppe Cincinna Hübner)	04	II	472

	Jahrg.	Bd.	Seite
Menzel, H.: Ueber das Alter des Turons von Nettlingen bei Hildesheim	*CBl*	*1902*	*305*
— Ueber Glacialschrammen im südlichen Hannover	*CBl*	*1903*	*509*
Menzel, O. Krigar-, siehe Krigar-Menzel, O., oder Richarz, F.			
Menzel, P.: Beitrag zur Kenntniss der Tertiärflora des Jesuitengrabens bei Kundratitz	1900	II	328
— Die Flora des tertiären Polirschiefers von Sulloditz im böhmischen Mittelgebirge	1900	II	328
Mercalli, G.: I terremoti della Calabria meridionale e del Messinese	1900	I	377
— Tufi olivinici di S. Venanzio (Umbria)	1900	II	373
— Notizie Vesuviane (Luglio—Dicembre 1898)	01	I	48
— La nuova cupola lavica formatasi sul Vesuvio	01	I	48
— Escursioni al Vesuvio; la fine della fase eruttiva 1895—1899	01	I	48
— Il Vesuvio	02	I	376
— Escursioni al Vesuvio	02	I	376
— Notizie vesuviane (anno 1899)	02	I	376
— Notizie vesuviane (Gennaio—Giugno 1900)	02	I	376
— Notizie vesuviane (Luglio—Decembre 1900)	02	I	377
— Notizie vesuviane (anno 1901)	03	I	42
— Sul modo di formazione di una cupola lavica vesuviana	03	I	42
— Le antiche eruzioni della Montagna Pelée	03	II	79
— Sulle modificazioni proposte alla scala sismica de Rossi-Forel	03	II	346
— Notizie vesuviane (anno 1902)	04	I	369
— Ueber den jüngsten Ausbruch des Vesuv	04	I	369
— Contribuzione allo studio geologico dei vulcani Viterbesi	04	II	216
Mercer, H. C.: The Bone cave at Port Kennedy, Pennsylvania, and its partial Excavation 1894, 1895 and 1896	02	II	287
Mercerat, A.: Essai de classification des terrains sédimentaires du versant oriental de la Patagonie australe	1900	I	100
— Coupes géologiques de la Patagonie australe	1900	I	100
— Sur la géologie de la Patagonie; réponse aux attaques de M. R. Hauthal	1900	II	442
Mercey, N. de: Sur l'origine du minerai de fer hydroxydé du Néocomien moyen du Bray, par l'altération superficielle du fer carbonaté, et sur la continuité en profondeur et l'importance du minerai carbonaté	01	I	427
— Sur les minerais de fer et les eaux de la nappe de l'Hauterivien du Bray	03	I	88
Merriam, J. C.: The tertiary Sea-Urchins of Middle California	01	II	324
— A contribution to the geology of the John Day Basin	04	I	417
— The Pliocene and Quaternary Canidae of the Great Valley of California	04	II	469
Merrill, G. P.: A Discussion on the Use of the Terms Rock-weathering, Serpentinization, and Hydrometamorphism	01	I	229
— On a stony meteorite, which fell near Felix County, Alabama, May 15, 1900	03	I	215
— A newly found meteorite from Admire, Lyon County, Kansas	03	I	216
— Guide to the study of the collections in the section of applied geology. The nonmetallic minerals	CBl	1901	499
Merrill, G. P. and E. B. Mathews: The Building and Decorative Stones of Maryland	1900	II	410

	Jahrg.	Bd.	Seite
Merrill, G. P. and H. N. Stokes: A new stony meteorite from Allegan, Michigan, and a new iron meteorite from Mart, Texas	1903	I	214
Messerschmitt, J. B.: Ueber Höhenmessungen und Höhenänderungen	1900	II	211
— Ueber den Einfluss der sichtbaren Massen des Harzes auf die Stellung des Lothes	01	I	382
— Die Gestalt der Erde in der modernen Geodäsie	01	II	41
Metzmacher, A.: Die Fauna des miocänen Glimmerthons von Kummer, Hohenwoos und Bockup	04	II	121
Meunier, F.: Ueber einige Coelopteren-Flügeldecken aus der präglacialen Braunkohle und dem interglacialen Torflager von Lauenburg, Elbe	02	II	444
Meunier, St.: Chute de météorite récemment observée en Finlande 1900 I 356	01	II	40
— Sur l'origine de grains siliceux et de grains quartzeux contenus dans la craie	01	I	403
— Examen de la météorite tombée le 12 mars 1899 à Bierbélé, près de Borgo en Finlande	01	II	40
— Examen chimique et minéralogique de la météorite de Lançon	1902	I	42. 368
— Examen d'une météorite tombée dans l'île de Ceylan le 13 avril 1795 1902 I 371	03	I	208
— Sur une masse de fer métallique, qu'on dit être tombée du ciel au Soudan le 15 juin 1900	1902	I	369. 373
— Le tuffeau silicieux de la Côte-aux-Buis, à Grignon	02	II	441
— Examen du fer météorique de Guatémala 1903 I 208	04	I	196
— Complément expérimental à l'histoire des galets striés	03	I	451
— Production actuelle de soufre natif dans le soussol de la Place de la République, à Paris	03	II	318
— Sur l'origine et le mode de formation du minerai de fer oolithique de Lorraine	03	II	380
— La géologie expérimentale	CBl	1901	633
Meyer, A.: Eine Mikroskopirlampe	02	II	175
Meyer, A. B.: On the eggs of the Moa	04	I	137
— Zur Nephritfrage (Neu-Guinea, Jordansmühl u. a., Alpen, Bibliographisches)	04	I	172
Meyer, A. B. und K. M. Heller: Aepyornis-Eier	02	I	305
Meyer, E.: Der Süsswasserkalk im Peminken-Thal bei Jena	02	II	125
Meyer, R. J.: Ueber die Umwandlung polymorpher Substanzen 1903 I 364	04	II	345
— Der mikroskopische Nachweis der seltenen Erden	03	II	11
Meyerhoffer, W.: Ueber die die Umwandlung des Boracits begleitende Volumänderung	01	I	16
— Schmelzpunkte und Ausscheidungsfolge von Mineralien	03	I	364
— Ueber tetragene Doppelsalze mit besonderer Berücksichtigung des Kainits	04	II	349
— siehe Hoff, J. H. van't und W. Meyerhoffer, sowie J. H. van't Hoff und Mitarbeiter.			
Mez, G., siehe Kraus, E. H. und G. Mez.			
Michael, P.: Die Gerölle- und Geschiebe-Vorkommnisse in der Umgegend von Weimar	03	II	266
— Der alte Ilmlauf von Rastenberg über die Finne	03	II	267
— Der alte Ilmlauf von Süssenborn bei Weimar nach Rastenberg an der Finne	03	II	267
Michael, R.: Blatt Schwochow und Beyersdorf	1900	I	416

	Jahrg.	Bd.	Seite
Michael, R.: Blatt Lippehne und Schönow	1900	I	418
— Ueber Kreidefossilien von der Insel Sachalin	01	II	298
— Tertiäre Landschnecken von Königlich-Neudorf bei Oppeln	03	I	538
— Ueber das Vorkommen einer tertiären Landschneckenfauna im Bereich der jüngsten Schichten der Kreidescholle von Oppeln	03	I	538
— Die Gliederung der oberschlesischen Steinkohlenformation	03	II	107
— Ein neuer Fundpunkt von mariner Fauna im oberschlesischen Steinkohlengebirge	03	II	109
— Ueber eine Tiefbohrung bei Oppeln	03	II	111
— Geologische Mittheilungen über die Gegend von Gilgenburg und Geierswalde in Ostpreussen	04	II	127
— Ueber einen Schädel von Ovibos aus dem Diluvium von Bielschowitz in Oberschlesien und das Alter der schlesischen Diluvialbildungen	04	II	148
— siehe Jentzsch, A. und R. Michael.			
Michailowsky, G.: Bericht über die Resultate der Untersuchung der Eisenerzlagerstätten im Liwny'schen Kreise des Orel'schen Gouvernements im Jahre 1898	01	II	409
— Geologische Untersuchungen im Balta'schen Kreise des Gouvernements Podolien	02	II	396
— Geologische Untersuchungen längs der Berschad—Ustje'er Eisenbahn . . . . . 1902 II 396	03	II	249
— Das Pliocän einiger Gegenden des westlichen Kaukasus	03	I	511
— Die Mediterranablagerungen von Tomakowka (Gouvernement Jekaterinoslaw)	04	II	119
Michalet, siehe Rupelin, J.			
Michel, L.: Sur une molybdénite bismuthifère	1900	II	350
Michel-Lévy, A.: Séparation en deux groupes naturels des épauchements volcaniques du Mont-Dore; caractères chimiques distinctifs de leurs magmes et de celui qui a alimenté les éruptions de le chaîne des Puys	01	I	225
— Nouvelles observations sur la haute vallée de la Dordogne	01	II	389
— Sur la composition des cendres projetées, le 3 mai 1902, par la Montagne Pélée	03	II	80
Michel-Lévy, A., A. Lacroix et Leclère: Note sur les roches cristallines et éruptives de la Chine méridionale	01	I	405
Micheli, F. J.: Ueber den Einfluss der Temperatur auf die Dispersion ultravioletter Strahlen in Flussspath, Steinsalz, Quarz und Kalkspath	03	II	8
Mieg, M. et H. G. Stehlin: Sur l'âge et la faune de la station préhistorique d'Istein (Baden)	04	II	289
Miers, H. A.: Communications from the Oxford Mineralogical Laboratory. Mineralogical Notes: Zinc-Blende; Galena; Pyrites; Lead. With Analyses by E. G. J. Hartley	01	I	182
— Note on Hitchcockite, Plumbogummite and Beudantite analysed by Mr. Hartley	01	I	359
— An Enquiry into the Variation of Angles observed in Crystals, especially of Potassium—Alum and Ammonium—Alum . . . . . 1904 I 159	04	II	329
— Yukon, a visit to the Yukon-Gold-Fields	CBl	1902	432
— Mineralogy, an introduction to the scientific study of minerals	CBl	1903	698
— siehe Barlow, W. und H. A. Miers.			
Milch, L.: Mineralogische Mittheilungen	*1900*	*I*	*152*
— Die Grundlagen der Bodenkunde	1900	I	216

	Jahrg.	Bd.	Seite
Milch, L.: Ueber dynamometamorphe Erscheinungen an einem nordischen Granitgneiss	*1900*	*II*	*39*
— Ueber Gesteine von der Battak-Hochfläche (Central-Sumatra)	1900	II	235
— *Ueber den Granitgneiss des Roc noir (Massiv der Dent Blanche, südwestliches Wallis)*	*01*	*I*	*49*
— Ueber basische Concretionen in Tiefengesteinen	03	II	361
— Ueber die Entstehungsweise der Tiefengesteinsmassive	04	I	204
— *Ueber Malchit und Durbachit und ihre Stellung in der Reihe der Ganggefolgschaft granitodioritischer Tiefengesteine*	*CBl*	*1902*	*676*
— *Ueber eine Schmelze von Quarzkörnern und Kalk*	*CBl*	*1902*	*713*
— *Ueber den möglichen Zusammenhang zwischen der Dichtigkeits-Verminderung (den Massendefecten) in der Erdrinde und der Entstehung von Tiefengesteins-Massiven*	*CBl*	*1903*	*445*
— *Aus einem Augit herrorgegangene Carbonate*	*CBl*	*1903*	*505*
— *Ueber homogene Deformation von Quarz und Piëzokrystallisation*	*CBl*	*1904*	*181*
— *Beiträge zur Kenntniss der granitischen Gesteine des Riesengebirges. II. Theil*	*BB*	*XV*	*105*
— *Die Ergussgesteine des galatischen Andesitgebietes (nördlich von Angora)*	*BB*	*XVI*	*110*
— *Beiträge zur Petrographie der Landschaft Ulu Rawas, Süd-Sumatra. Mit Einleitung von W. Volz*	*BB*	*XVIII*	*409*
— *Ueber Gesteinsumwandlung, herrorgerufen durch erzzuführende Processe (Beobachtungen an Gesteinen der Landschaft Ula Rawas, Süd-Sumatra)*	*BB*	*XVIII*	*452*
Milde, E.: Ueber Aluminium und seine Verwendung	01	I	176
Miller, K.: Die Schneckenfauna des Steinheimer Obermiocäns	02	I	483
— *Zum Alter des Sylvanakalks*	*CBl*	*1901*	*129*
— *Zu Rollier, das Alter des Sylvanakalkes*	*CBl*	*1903*	*141*
Miller, N. H. J.: The Amounts of Nitrogen and Organic Carbon in some Clays and Marls	04	I	379
Miller, W. G.: Corundum and other Minerals	01	I	189
— Minerals of Ontario with notes	01	II	366
— The eastern Ontario gold belt	03	II	340
— Mines of Northwestern Ontario	04	II	363
— Iron ranges of Northern Ontario	04	II	364
Miller jr., W. W.: Analyse von Smithsonit aus Arkansas	01	II	352
Millett, F. W.: Report on the recent foraminifera of the Malay Archipelago collected by Mr. DURRAND. II, III	1900	I	149
Millosevich, F.: Zolfo ed altri minerali della miniera di Malfidano presso Buggerru (Sardegna)	1900	I	2
— Minerali e pseudomorphosi della miniera di Malfidano (Sardegna) 1901 I 363	01	II	5
— Appunti di mineralogia sarda	1901	II	14. 32
— Perowskite di Emarese in Val d'Aosta	02	I	339
— Di alcuni giacimenti di Alunogeno in provincia di Roma	03	I	253
— Alcune osservazioni sopra l'anglesite verde di Montevecchio (Sardegna)	04	I	346
— Di una rimarchevole combinazione osservata nei cristalli di celestina della solfara Cà Bernardi presso Bellisio	04	I	364
— siehe (bei A) Angelis d'Ossat, G. de e F. Millosevich.			
Milne, J.: Earthquakes and other Earth Movements	CBl	1900	134
— siehe Jukes-Browne, A. J. and J. Milne.			

	Jahrg.	Bd.	Seite
Milthers, V.: Norske Blokke paa Själland	1900	II	128
— Tellina calcaria leret ved Höve i Odsherred	03	I	524
— Skurstriberna ved Fakse	03	I	526
— siehe Hartz, N. und V. Milthers.			
Milthers, V. und Nordmann: Ueber einige interglaciale Süsswassermollusken der Umgegend von Posen	03	I	138
Missuna, A.: Ueber die Endmoränen von Weissrussland und Lithauen	03	II	412
Mitzopulos, C.: Die Erdbeben von Tripolis und Triphylia in den Jahren 1898 und 1899	02	II	210
Moberg, J. C.: Untersuchungen über die Grünsteine des westlichen Blekinge und der angrenzenden Theile Schonens	1900	I	65
— Zur Kenntniss des Steenstrupins	1900	II	27
— Supplement till „Om Acerocare-Zonen"	1900	II	103
— Sveriges älsta kända Trilobiter	1900	II	149
— En trilobit från Skånes Dictyograptus-Skiffer	1900	II	307
— Ueber einige Kalkspathkrystalle von Nordmarken	01	I	344
— Nya bidrag till frågan om gränsen mellan Undersilur och Kambrium	03	I	295
— Bidrag till kännedomen om trilobiternas byggnad	03	I	544
— Om kaolinfyndigheten å Ifö	04	II	76
— Om Sularpsbäckens dalgång	04	II	246
Moberg, J. C. och N. O. Holst: De sydskånska rullstensåsarnes vittnesbörd i frågan om istidens kontinuitet	01	II	289
Moberg, J. C. und H. Möller: Om Acerocare-Zonen. ett bidrag till kännedomen om Skånes Olenidskiffrar	1900	II	103
Moderni, P.: Osservazioni geologiche fatte nell' Umbria e nel Piceno durante gli anni 1897 e 1898, con Appendice sul terremoto di Rieti	1900	II	423
— Osservazioni geologiche fatte al confine dell' Abruzzo teramano colla provincia di Ascoli nell' anno 1896	01	II	110
— Note geologiche preliminari su i dintorni di Leonessa in provincia di Aquilas	02	I	98
— Osservazioni geologiche fatte nel 1899 al piede orientale della catena dei Sibillini	02	I	98
— Osservazioni geologiche fatte in provincia di Macerata nell' anno 1900	02	II	259
— Osservazioni geologiche fatte nei dintorni di Cingoli in provincia di Macerata nel 1901	03	I	481
Möhle, Fr.: Beitrag zur Petrographie der Sandwich- und Samoa-Inseln	*BB*	*XV*	*66*
Möller, H.: Ueber Elephas antiquus Falc. und Rhinoceros Mercki als Jagdthiere des altdiluvialen Menschen in Thüringen und über das erste Auftreten des Menschen in Europa	02	II	132
— Ueber Feuerstätten im Kalktuffsand von Taubach und über die geologische Stellung der Weimar-Taubacher Kalktufflager	03	II	116
— siehe Moberg, J. C. und H. Möller.			
Mönch, W.: Ueber die elektrische Leitfähigkeit von Kupfersulfür, Silber-, Blei- und schwarzem Quecksilbersulfid	*BB*	*XX*	*365*
Moesch, C.: Sur l'existence de dégagements importants d'acide carbonique dans la région de Schuls-Tarasp	01	II	56
Mohr, E. C. J.: Gleichgewichtsstudien über das System: Wasser, Salmiak, Eisenchlorid	1900	I	335

	Jahrg.	Bd.	Seite
Moidrey, de: Phénomènes observés à Zi-Ka-Wei (Chine) lors de l'éruption de la Martinique	1903	II	86
Moissan, H.: Sur la température d'inflammation et sur la combustion, dans l'oxygène, des trois variétés de carbone	03	II	317
— Sur la présence de l'argon dans les gaz de la source Bordeu à Luchon, et sur la présence du soufre libre dans l'eau sulfureuse de la grotte et dans les vapeurs de humage	03	II	361
— Sur la présence de l'oxyde de carbone et des carbures d'hydrogène dans les gaz des fumarolles du Mont Pelé à la Martinique	03	II	377
— Sur la température d'inflammation et sur la combustion lente du soufre dans l'oxygène et dans l'air	04	II	346
Mojsisovics, E. v.: Allgemeiner Bericht und Chronik der im Jahre 1897 innerhalb des Beobachtungsgebietes erfolgten Erdbeben	1900	I	372
— Allgemeiner Bericht und Chronik der im Jahre 1898 innerhalb des Beobachtungsgebietes erfolgten Erdbeben	01	I	208
— Allgemeiner Bericht und Chronik der im Jahre 1899 innerhalb des Beobachtungsgebietes erfolgten Erdbeben	02	II	49
— Ueber das Alter des Kalkes mit Asteroconites radiolaris von Oberseeland in Kärnten	02	II	114
— Allgemeiner Bericht und Chronik der im Jahre 1900 im Beobachtungsgebiet eingetretenen Erdbeben	03	I	223
— Das Gebirge um Hallstatt. I. Abth.: Die Cephalopoden der Hallstätter Kalke	03	I	311
Mojsvar, Mojsisovics, Edler v., siehe Mojsisovics.			
Moldenhauer, F.: Melanit von Cortejana, Prov. Huelva (Spanien)	04	I	23
Molengraaff, G. A. F.: Die Reihenfolge und Correlation der geologischen Formationen in Südafrika	1900	I	113
— Annual report of the state geologist of the South African Republic for the year 1897	1900	I	263
— On the occurrence of diamonds on the farm Rietfontein	1900	I	338
— Geologische Aufnahme der Südafrikanischen Republik	01	II	91
— The Glacial Origin of the Dwyka Conglomerate	01	II	274
— Borneo-Expeditie. Geologische vekenningstochten in Central-Borneo (1893—1894)	02	I	109
— Géologie de la République Sud-Africaine du Transvaal	03	I	287
Monaco, E.: Sull' impiego delle roccie leucitiche nella concimazione	04	II	238
Monckton, H. W.: On some gravels of the Bagshot district	01	I	127
— On some Examples of Marine and Subaerial Erosion	04	II	46
Monke, H.: Beiträge zur Geologie von Schantung. I. Obercambrische Trilobiten von Yen-tsy-yai	04	II	322
Monkowsky, T.: Zur Geologie von Kriwoi Rog (Saksagan'sches Becken)	1900	II	95
— Längsfaltung und Erzflötze von Kriwoi Rog	1900	II	95
— Berg-Meridianoskop oder Vorrichtung ohne Magnetnadel zum Bestimmen des Streichens und Fallens von Gesteinsschichten	02	I	374
Monnier, A., siehe Duparc, L. etc.			
Montessus de Ballore, F. de: Le Japon sismique	1900	I	205
— Introduction à un essai de description sismique du globe et mesure de la sismicité	02	I	380

	Jahrg.	Bd.	Seite
Montessus de Ballore, F. de: Sur l'impossibilité de représenter par des courbes isophygmiques, ou d'égale fréquence de séismes, la répartition de l'instabilité dans une région sismique donnée	1903	I	46
— Ueber das vermeintlich regelmässige Fortschreiten des Epicentrums bei Erdbeben mit zahlreichen Nachbeben	03	II	346
Morena, T.: Le formazioni eoceniche e mioceniche fiancheggianti il gruppo del Catria nel Appennino Centrale	01	II	128
Morgan, C. L. and S. H. Reynolds: The Igneous Rocks and Associated Sedimentary Beds of the Tortworth Inlier	03	I	75
Morozewicz, J.: Ueber den lithologischen Aufbau des südrussischen krystallinischsn Plateaus in den Grenzen des Mariupoler Kreises	1900	I	390
— Geologische Untersuchungen im Mariupoler Kreise	1900	I	391
— Isztucznym Korundzie (künstlicher Korund)	1900	II	11
— Experimentelle Untersuchungen über die Bildung der Minerale im Magma	1900	II	248
— Geologische Beobachtungen im Kreise Berdjansk	01	II	111
— Geologische Beobachtungen in den Districten von Alexandrowsk und Taganrog, ausgeführt im Jahre 1901. Vorläufiger Bericht	02	II	393
— Ueber Mariupolit, einem extremen Gliede der Eläolithsyenitfamilie, und die mit ihm verbundenen Gesteine des Mariupoler Kreises	02	II	394
— Ueber ein blaues Mineral aus der Umgegend der Stadt Troizk im Orenburger Gouvernement	03	II	178
— Der Berg Magnitnaja und seine nächste Umgebung	03	II	235
— Bericht über eine Reise ins Ausland	03	II	240
— Ueber die Verwitterung des erzführenden Gesteines des Berges Magnitnaja	03	II	366
— Resultate der chemischen Untersuchung des Dioritgesteins aus dem niederösterreichischen Waldviertel nebst Bemerkungen über die chemische Untersuchung von Silicatgesteinen im Allgemeinen	03	II	367
— Ueber zwei neue, dem Pyrophyllit ähnliche Mineralverbindungen	04	I	24
— Ueber Mariupolit, ein extremes Glied der Eläolithsyenite	04	I	220
Morsbach: Die Oeynhauser Thermalquellen	02	II	414
Moses, A. J.: Mineralogical notes	02	II	32
— Eglestonite, Terlinguaite and Montroydite, New Mercury Minerals from Terlingua, Texas	04	I	339
— Simple tables for the determination of the common or economically important minerals	CBl	1901	372
Moses, A. J. und Ch. L. Parsons: Elements of mineralogy, crystallography and blowpipe analysis from a practical standpoint etc.	CBl	1900	298
Moses, A. J. und A. F. Rogers: Formeln und graphische Methoden zur Bestimmung von Krystallen auf Grund von Coordinatenwinkeln und Miller'schen Indices	04	II	334
Moulin, H., siehe Baumberger, E. und H. Moulin.			
Moureu, Ch.: Sur quelques sources de gaz minérales	03	II	362
Mourlon, M.: Sur les dépôts tertiaires de la campine limbourgeoise à l'ouest de la Meuse	1900	I	125. 290

	Jahrg.	Bd.	Seite
Mourlon, M.: Sur l'âge rélatif des sables noirs à lignites du sous-sol de la campine limbourgeoise	1900	I	289
— Les mers quaternaires en Belgique, d'après l'étude stratigraphique des dépôts flandriens et campiniens et de leurs relations avec les couches tertiaires pliocènes	1900	II	448
— Quelques mots au sujet des observations de M. le Baron O. VAN ERTBORN sur l'allure probable de l'argile rupélienne dans le sous-sol de la campine limbourgeoise	01	I	126
Mrazec, L.: Considérations sur la zone centrale des Carpathes Roumaines	1900	I	61
— Essai d'une classification des roches cristallines de la zone centrale des Carpathes Roumaines	1900	I	62
— Note sur une marne à efflorescences salines de Scăpĕu (Distr. Mehedinţi)	1900	I	64
— Note sur un tuf andésitique des environs de Bacau	1900	I	64
— Sur un granite à Riebeckite et Aegyrine des environs de Turcoaia (Dobrogea)	01	I	68
— Contributions à l'histoire de la Vallée du Jiu	01	I	101
— Quelques remarques sur le cours des rivières en Valachie	01	I	293
— Sur l'existence d'anciens glaciers sur le versant sud des Carpathes méridionales	01	I	391
— siehe **Duparc**, L. et L. **Mrazec**.			
— siehe **Teisseyre**, W. und L. **Mrazec**.			
Mrazec, L. und L. **Duparc**: Ueber die Brauneisensteinlagerstätten des Bergrevieres von Kisel im Ural (Kreis Solikamsk des Perm'schen Gouvernements)	04	II	415
Mrazec, L. et G. **Munteanu-Murgoci**: Contributions à l'étude pétrographique des roches de la zone centrale des Carpathes méridionales. II. Sur le gneiss à cordiérite des Montagnes du Lotru. III. La wehrlite du Mont Ursu	1900	I	63
Mrha, J.: Beiträge zur Kenntniss des Kelyphit	01	I	19
Mügge, O.: Ueber neue Structurflächen an den Krystallen der gediegenen Metalle	1900	I	4
— *Zur graphischen Darstellung der Zusammensetzung der Gesteine*	*1900*	*I*	*100*
— Künstlicher Korund	1900	II	12
— *Weitere Versuche über die Translationsfähigkeit des Eises, nebst Bemerkungen über die Bedeutung der Structur des grönländischen Inlandeises*	*1900*	*II*	*80*
— Ueber regelmässige Verwachsung von Arsen und Arsenblüthe	01	I	181
— Die Gleitungen der Krystalle	01	II	167
— Ueber Facettengerölle von Hiltrup bei Münster in Westfalen	02	I	288
— Ueber regelmässige Verwachsung von Bleiglanz mit Eisenkies und Kupferkies mit Kobaltglanz	02	II	329
— Die regelmässigen Verwachsungen von Mineralen verschiedener Art	03	II	168
— *Krystallographische Untersuchungen über die Umlagerungen und die Structur einiger mimetischer Krystalle*	*BB XIV*		*246*
— *Die regelmässigen Verwachsungen von Mineralien verschiedener Art*	*BB XVI*		*335*
— *Zur Contactmetamorphose am Granit des Hennberges bei Weitisberga*	*CBl 1901*		*368*
— *Zur Structur der Rutilkrystalle*	*CBl 1902*		*72*

	Jahrg.	Bd.	Seite
Mügge, O.: Ueber einige regelmässige Verwachsungen der Glimmer mit anderen Substanzen	*CBl*	*1902*	*353*
— *Abreissungsfiguren am Kalkspath*	*CBl*	*1904*	*405*
Mühlberg, F.: Ueber die Beziehungen des Hauptrogensteins der Schweiz zum Dogger im benachbarten schwäbischen Faciesgebiet	1900	I	282
— Die scheinbaren Bewegungen der Kiesbänke in den Flussbetten	1900	II	43
— Vorläufige Mittheilung über die Stratigraphie des Braunen Jura im nordschweizerischen Juragebirge	01	I	464
— Bericht über die Erstellung einer Quellenkarte des Cantons Aargau, mit fünf Beilagen und einer Quellenkarte der Umgebung von Brugg	03	I	98
— Programm der Excursionen der schweizerischen geologischen Gesellschaft, 7.—10. August 1901	03	I	107
— *Zur Tektonik des nordschweizerischen Kettenjura*	*BB*	*XVII*	*464*
Mühlhäuser, A.: Ueber einige Zwillingskrystalle von Zinkblende	02	II	182
— Ueber natürlich geätzte Gypskrystalle von Commern	02	II	357
Müller, E. C.: Optische Studien am Antimonglanz	*BB*	*XVII*	*187*
Müller, G.: Blatt Lüneburg	1900	I	417
— Blatt Wartenburg und Mensguth	1900	I	418
— Oberer Muschelkalk auf der Schafweide bei Lüneburg	1900	II	433
— Zur Altersfrage der N.—S.-Störungen in der Kreide von Lüneburg	01	II	130
— Versteinerungen des Jura und der Kreide in Deutsch-Ostafrika	01	II	294
— Die Gliederung der Actinocamax-Kreide im nordwestlichen Deutschland	02	I	115
— Die Molluskenfauna des Untersenon von Braunschweig und Ilsede. I. Lamellibranchiaten und Glossophoren	02	I	127
— Ergebnisse der Untersuchungen auf Blatt Lauenburg a. d. Elbe im Sommer 1899	02	I	458
— Präglaciale marine und Süsswasserablagerungen bei Boizenburg a. d. Elbe	02	I	458
— *Lias und Rhät am Niederrhein*	*CBl*	*1903*	*722*
— siehe Gagel, C. und G. Müller.			
Müller, G. und C. A. Weber: Ueber ältere Flussschotter bei Bad Oeynhausen und Alfeld und eine über ihnen abgelagerte Vegetationsschicht	04	I	279
— — Ueber eine frühdiluviale und vorglaciale Flora bei Lüneburg	04	II	454
Müller, H.: Die Erzgänge des Freiberger Bergrevieres	CBl	1901	236
Muller, P Th.: Sur la variation de composition des eaux minérales et des eaux de source décélée à l'aide de la conductibilité électrique	02	II	411
Müller, W.: Notiz über die Krystallform von Calcium-, Baryum- und Strontiumsulfid	*CBl*	*1900*	*178*
Müllner, J.: Die Seen am Reschen-Scheideck	01	II	212
Mulgan, E. K.: On the Volcanic Grits and Ask beds in the Waitemata Series	04	II	253
Munier-Chalmas: Sur les caractères généraux du Bartonien dans le bassin de Paris	1900	II	123
— Sur les plissements du Pays de Bray pendant la période tertiaire	1900	II	124

	Jahrg.	Bd.	Seite
Munier-Chalmas et de Launay: Sur l'Oligocène du golfe d'Ebreuil	1900	II	126
Munteanu-Murgoci, G.: Calcare si fenomene de erosiune in Carpati meridionali	1900	I	379
— Granat- und Vesuvianfels aus dem Serpertin von Parîngu	02	I	68
— siehe Mrazec, L. et G. Munteanu-Murgoci.			
Munthe, H.: On the interglacial submergence of Great Britain	1900	II	447
— Om faunan i Vestgötaslättens Yoldia-Lera mellan Skara-Herrljunga och Wenern	02	II	131
Murdoch, R.: Description of some new species of pliocene mollusca from the Wanganui District, with notes on other described species	04	II	289
Muret, siehe Finsterwalder und Muret.			
Murgoci, siehe Munteanu-Murgoci, G.			
Murray, G. and V. H. Blackman: On the nature of the Coccospheres and Rhabdospheres	1900	I	487
Murray, Sir John und E. Philippi: Die Grundproben der Valdivia-Expedition	*CBl 1901 525*		
Murton Holmes, W.: On Radiolaria from the Upper Chalk at Coulsdon (Surrey)	02	II	155
Muschketow, J. W.: Nekrolog	*CBl 1902 209*		
Muthmann, W.: Bemerkungen zu den krystallographischen Abhandlungen von G. Linck	02	I	3
Mylius, F. und J. v. Wrochem: Ueber das Calciumchromat	02	II	179

N.

Nabl, A.: Ueber färbende Bestandtheile des Amethystes, Citrines und gebrannten Amethystes	1900	II	343
— Natürliche Färbungen der Mineralien	01	II	336
Name, van: On crystals of Crocoite from Tasmania	03	I	396
Namias, J.: Collezione di molluschi pliocenici di Castelarquato esistenti nel Museo dell' Università di Modena	1900	II	131
Narton, A. H.: Artesian wells of Iowa	1900	I	47
Nathorst, A. G.: Några upplysningar till den nya Kartan öfver Beeren Eiland	01	II	258
— Ueber die oberdevonische Flora („Ursaflora") der Bäreninsel 1901 II 258	02	II	318
— Fossil plants from Franz Josef-Land	02	II	318
— Nachträgliche Bemerkungen über die mesozoische Flora Spitzbergens	02	II	318
— Bidrag till Kung Karls lands geologi	03	I	284
— Den svenska expeditionen till nordöstra Grönland 1899	03	I	466
— Die kartographische und geologische Aufnahme des Kaiser Franz Joseph-Fjords und des König Oskar-Fjords in Nordostgrönland 1899	03	I	466
— A. E. Nordenskjöld's polarfärder och A. E. Nordenskjöld såsom Geolog	03	I	477
— Beiträge zur Kenntniss der mesozoischen Cycadophyten	04	I	154
— Zur fossilen Flora der Polarländer. I. Theil. 3. Lieferung: Zur oberdevonischen Flora der Bäreninsel	04	II	474
Natterer, K.: Chemisch-geologische Tiefseeforschung	01	I	53
Naumann, E.: Geotektonik und Erdmagnetismus	1900	I	40
— Geologische Arbeiten in Japan, in der Türkei und in Mexico	03	II	252
Naumann, K. Fr.: Elemente der Mineralogie	CBl 1902		24

	Jahrg.	Bd.	Seite
Navarra, Br.: Zum Erzreichthum Chinas	1902	II	83
Negris, Ph.: Tektonik und Mineralisation des Laurion. (Ph. Negris: Plissements et dislocations de l'écorce terrestre en Grèce etc.)	04	II	241
Nehring, A.: Ueber Myodes lemmus crassidens nov. var. foss. aus Portugal	02	II	457
— Neue Funde diluvialer Thierreste von Pössneck in Thüringen	02	II	458
— Ueber einen Ovibos- und einen Saiga-Schädel aus Westpreussen	02	II	458
— Fossile Kameele in Rumänien und die pleistocäne Steppenzeit Mitteleuropas	03	I	347
— Ueber einen fossilen Kameel-Schädel (Camelus Knoblochi) von Sarepta an der Wolga	03	II	139
— Spalax Fritschi n. sp. aus der Antelias-Höhle am Libanon	04	II	147
— *Ein diluvialer Steppen-Iltis von Quedlinburg*	*CBl*	*1904*	*13*
Nelli, B.: Il Raibliano del Monte Judica nella provincia di Catania	1900	I	114
— Il Raibl dei dintorni di Monte Judica	1900	I	115
— Fossili miocenici dell' Appennino aquilano	03	I	132
— Il Langhiano di Rocca di Mezzo	04	I	276
— siehe Stefano, C. di e B. Nelli.			
Nenadkewitsch, K.: Analyse von Zinkblendekrystallen vom Nagolnij-Höhenzug	03	II	171
Nery Delgado, J. F., siehe Delgado, J. F. Nery.			
Nessig, R.: Graphitreiche Zermalmungsproducte des Lausitzer Granites	04	II	207
Netschajew, A.: Vorläufige Mittheilung über geologische Untersuchungen im Gouvernement Orenburg (Blatt 130)	03	II	250
Neuber, A.: Wissenschaftliche Charakteristik und Terminologie der Bodengestalten der Erdoberfläche	02	I	52
Neumann, B.: Die Metalle. Geschichte, Vorkommen und Gewinnung nebst ausführlicher Produktions- und Preis-Statistik	CBl	1904	281
— siehe Wittich, E. und B. Neumann.			
Neumann, L.: Franz Neumann. Erinnerungsblätter von seiner Tochter	CBl	1904	410
Neuville, M.: Contribution à l'étude géologique des communes de Mérignac et de Pessac	1900	I	291
Neuwirth, V.: Magnetit im Granit von Wiesenberg in Mähren	02	I	338
— Titanit von der Hüttellehne bei Wermsdorf in Mähren	02	II	33
— Neue Mineralvorkommen in der Umgebung von Wermsdorf bei Zöptau (in Mähren)	03	I	198
— Neue Beiträge zur Kenntniss der mineralogischen Verhältnisse der Umgebung von Zöptau	04	I	30
— Neue mineralogische Mittheilungen über die Umgebung von Zöptau	04	I	30
— Der Epidot von Zöptau in Mähren	04	II	179
— Ueber einige interessante Epidotkrystalle von Zöptau	04	II	179
— Die wichtigsten Mineralvorkommen im Gebiet des hohen Gesenkes	CBl	1901	171
— Ueber einige interessante und zum Theil neue Mineralvorkommen im hohen Gesenke	CBl	1901	172
— Ueber ein neues Apophyllit- und Heulanditvorkommen im mährischen Gesenke	CBl	1901	172

	Jahrg.	Bd.	Seite
Neviani, A.: Briozoi neocoici di alcune località d'Italia 1900 II 157	1902	II	310
— Briozoi delle formazioni plioceniche e postplioceniche di Palo, Anzio e Nettuno	1900	II	318
— Briozoi terziari e postterziari della Toscana	02	II	310
— Revisione generale dei briozoi fossili Italiani. I. Idmonee	02	II	310
— Briozoi neogenici delle Calabrie	02	II	311
— Sulla Terebripora Manzonii Rov. e sulla Protulophila Gestroi Rov.	03	I	534
— Briozoi ctenostomi fossili	03	I	535
— Rhyncopora incurvata n. sp.	03	I	535
— I briozoi pliocenici e miocenici di Pianosa raccolti dal Prof. V. Simonelli e studiati dal dott. G. Gioli	03	I	536
— siehe Angelis d'Ossat, G. de e A. Neviani.			
Newsom, J. F., siehe Branner, J. C. und J. F. Newsom.			
Newton, E. T.: On a megalosauroid jaw from rhaetic beds near Bridgend (Glamorganshire)	1900	I	310
— The evidence for the existence of Man in the tertiary period	1900	II	455
— On a remarkable bone from the chalk of Cuxton, possibly referable to the Rhynchocephalia	02	II	300
— Additional Notes on the Vertebrate Fauna of the Rock fissure at Ightham (Kent)	03	I	564
— British pleistocene fishes	04	I	307
— The Elk (Alces machlis Ogilby) in the Thames Valley	04	II	314
— The Giant Beaver (Trogontherium) from the Thames Valley	04	II	465
Newton, E. T. and J. J. H. Teall: Notes on a Collection of Rocks and Fossils from Franz Josef-Land, made by the Jackson-Harmsworth Expedition during 1894—1896	02	II	318
— Additional Notes on Rocks and Fossils from Franz Josef-Land	02	II	318
Newton, R. B.: On Archanodon Jukesi Baily, from the Old Red Sandstone of Monmoutshire	1900	II	314
— On some Cretaceous Shells from Egypt	01	I	281
— Note on some Miocene Shells from Egypt	01	I	283
— On marine triassic Lamellibranchs discovered in the Malay Peninsula	01	I	454
— Notes on Lower Tertiary Shells from Egypt	01	I	476
— Pleistocene Shells from the Raised Beach Deposits of the Red Sea	01	II	291
— Egyptian Newer tertiary Shells	01	II	300
— Fossil Mollusca from the reef-limestone of Christmas Island	03	II	100
Newton, R. B. and R. Holland: On some Fossils from the Islands of Formosa and Riukiu (Loochoo)	03	II	255
Nichols, H. W.: The Ores of Columbia from mines in Operation in 1892	01	I	434
Nickles, R. and Bassler: Synopsis of American fossil Bryozoa including Bibliography and Synonymy	02	II	151
Nicklès, R.: Feuille de Metz	1900	I	423
— Feuille de Sarrebourg	1900	I	423
— Note sur quelques Ammonites du Bajocien des environs de Belfort	1900	II	478
— Études géologiques sur la Woëvre. I. Callovien	01	I	468
— Sur un Aptychus de Sonninia du Bajocien des environs de Nancy	01	I	511

	Jahrg.	Bd.	Seite
Nicol, W.: Magnetkies von Frontenac County, Canada. .	1900	II	10
— siehe Goldschmidt, V. und W. Nicol.			
Nicolau, Th.: Beiträge zur Kenntniss rumänischer Felsarten	1900	II	393
— Untersuchungen an den eisenführenden Gesteinen der Insel Disko	03	I	182
— Diabasporphyrit und Variolit aus Rumänien	03	I	419
Nicolis, E.: Successione stratigrafica nella porzione orientale dell' anfiteatro morenico della Garda	02	II	284
— Intorno al supposto miocene medio tipico nelle vicinanze immediate di Verona	04	II	260
— Terrazzi e formazioni diluviali in rapporto col bacino del Garda	04	II	284
Nicolson, J. Th., siehe Adams, F. D. und J. Th. Nicolson.			
Nikitin, S.: Bemerkungen über die geologische Karte und die Eisenerze des Gouvernements Saratow. Manganerzlagerstätte im Kreise Morschansk	01	II	408
— Ueber die Eisenerze des Liwny'schen Kreises und der benachbarten Gegenden	01	II	409
— Geologische Untersuchungen an Eisenbahnlinien zwischen Moskau uud Windau	02	I	290
— Bemerkung über das Vorkommen von Braunkohle im westlichen Theile des Gouv. Moskau	02	I	420
Nikitin, W.: Beitrag zur Universalmethode. Zur Bestimmung der Doppelbrechung	03	I	1
— siehe Fedorow, E. v. und W. Nikitin.			
Nitsche, Lehmann, R., siehe Lehmann-Nitsche, R.			
Nitze, H. B. C. und C. W. Purington: Die Goldminen zu Kotschkar im Ural	01	I	79
Noë, F.: Bericht über das niederösterreichische Beben vom 11. Juni 1899.	02	II	47
Noetling, F.: Ueber die Auffindung von Otoceras sp. in der Salt Range	1900	I	139
— The Miocene of Burma	02	II	122
— The Fauna of the Miocene Beds of Burma	02	II	122
— The Occurrence of Petroleum in Burma and its technical exploitation	02	II	250
— *Beiträge zur Morphologie des Pelecypodenschlosses* . .	*BB XIII*		*140*
— *Beiträge zur Geologie der Salt Range, insbesondere der permischen und triassischen Ablagerungen*	*BB XIV*		*369*
— *Beiträge zur Morphologie der Pelecypoden*	*BB XV*		*394*
— *Ueber das Alter der Otoceras-Schichten von Rimkin Paiar (Painkhanda) im Himalaya*	*BB XVIII*		*528*
— *Ueber Medlicottia Waag. und Episageceras n. g. aus den permischen und triadischen Schichten Indiens* .	*BB XIX*		*334*
— *Die Otoceras beds in Indien*	*CBl*	*1900*	*216*
— *Ueber die Ceratiten-Schichten der Salt Range*	*CBl*	*1901*	*109*
— *Uebergang zwischen Kreide und Eocän in Baluchistan*	*CBl*	*1903*	*514*
— *Ueber die Sculptur des Productus Abichi Waagen* . .	*CBl*	*1903*	*529*
— *Ueber das Vorkommen von Gondwana-Schichten in Kashmir*	*CBl*	*1904*	*129*
— *Ueber das Verhältniss zwischen Productuskalk und Ceratitenschichten in der Salt Range (Indien)* . . .	*CBl*	*1904*	*321*
— siehe Koken, E. und Fr. Noetling.			
— siehe Rüdemann, R.			
Nogaoka, H.: Elastic Constants of Rocks and the Velocity of Seismic Waves	02	I	51

	Jahrg.	Bd.	Seite
Nolan, J.: Note on the Volcanic Agglomerate of Forkill, Co. Armagh	1903	I	422
Nopcsa, Fr. v.: Dinosaurierreste aus Siebenbürgen (Schädel von Limnosaurus transsylvanicus n. g. n. sp.)	01	I	307
— Jurakalk am Stenuletye	01	I	467
— Synopsis und Abstammung der Dinosaurier	03	I	155
— Dinosaurierreste aus Siebenbürgen (Schädelreste von Mochlodon). Anhang: zur Phylogenie der Ornithopodidae	03	I	156
— *Neues über Compsognathus*	*BB XVI 476*		
— *Limnosaurus (Nopcsa) durch Telmatosaurus (nov. nom.) zu ersetzen*	*CBl 1903 54*		
— *Ueber Stegoceras und Stereocephalus*	*CBl 1903 266*		
— *Ueber die systematische Stellung von Neustosaurus Raspail*	*CBl 1903 504*		
Nordenskiöld, A. E.: Mikrolit von Skogböle, Kirchspiel Kimito in Finnland	01	I	352
— *Nekrolog*	*CBl 1903 161. 193*		
Nordenskjöld, E.: Om skiffer bitar, som träffats flytande på hafsytan i sydvestra Patagonien	01	I	57
— La Grotte de Glossotherium	01	II	309
— La Grotte du Glossotherium (Neomylodon) en Patagonie	02	II	291
Nordenskjöld, I.: Analyse des Triplits von Lilla Elysjöbrottet	04	II	185
Nordenskjöld, O.: Ueber die posttertiären Ablagerungen der Magellansländer nebst einer kurzen Uebersicht ihrer tertiären Gebilde	1900	I	106
— Die geologischen Verhältnisse der Goldlagerstätten des Klondike-Gebietes	01	I	81
— Geological Map of the Magellan Territories	01	I	92
— Ueber die Contactverhältnisse zwischen den archäischen Porphyren („Hälleflinten") und Graniten im nordöstlichen Småland	03	I	77
Nordmann, V.: En Klump sammenkittede Molluskaller fra Havbunden ved Läsö	04	II	457
— siehe Madsen, V. etc.			
— siehe Milthers, V. und Nordmann.			
Nositz, R.: Eisenglanz nach Eisenspath. Eine interessante Pseudomorphose	03	II	325
Novarese, V.: I giacimenti di grafite delle Alpi Cozie	1900	I	415
— Strati pontici dei dintorni di Campagnatico e Paganico (prov. di Grosseto)	1900	I	448
— La serpentina di Traversella e la sua origine	03	II	371
— L'origine dei giacimenti metalliferi di Brosso e Traversella in Piemonte	03	II	381
— Die Erzlagerstätten von Brosso und Traversella in Piemont	04	I	235
— Der Bauxit in Italien	04	II	236
Nowacki, A.: Praktische Bodenkunde. Anleitung zur Untersuchung, Classification und Kartirung des Bodens	1900	I	381
Nussberger, G.: Chemische Untersuchung der eisenhaltigen Gypsthermen von Vals im Lugnetz	02	II	75
— Die chemische Untersuchung der Mineralquellen von Val sinestra bei Sent (Unter-Engadin)	02	II	75
— Analyses faites au laboratoire cantonal de Chimie	02	II	82
Nutter, E. H. and W. B. Barber: On some Glaucophane and Associated Schists in the Coast Range of California	04	II	405

	Jahrg.	Bd.	Seite
O.			
Oberholzer, J.: Monographie einiger prähistorischer Bergstürze in den Glarner Alpen	1901	II	209
Ochsenius, C.: Ueber das Vorkommen von Jod im Cuprit und Malachit	1900	II	351
— Natürlicher Coaks in den Santa Clara-Kohlenfeldern, Sonora, Mexico	02	I	247
— Krystalloide von gediegenem Kupfer, aus Kupferkies auf Holz in Salzwasser hervorgegangen	02	II	335
— Ueber junge Hebungen von vollen Seebecken	02	II	376
— Salzwasser im Carbon	03	II	392
— Ueber secundäre Mineralbildung auf Kalisalzlagern	04	I	331
— Natronsalpeter in Californien	04	I	401
— *Das Gesetz der Wüstenbildung von Johannes Walther-Berlin 1900*	*CBl 1902*		*551. 577. 620*
— *Blaues Steinsalz*	*CBl 1903*		*381*
— *Die Entstehung von Salz und Gyps durch topographische oder klimatische Ursachen*	*CBl 1903*		*416*
Oebbeke, K.: Das Erdöl und die Bedeutung Regensburgs für den Petroleummarkt	02	I	357
— Ueber die Verbreitung und die Production des Erdöls unter besonderer Berücksichtigung der für Deutschland wichtigsten Productionsgebiete	02	I	420
Oeckinghaus, E.: Ueber die Zunahme der Dichtigkeit, Abplattung und Schwere im Innern der Erde auf Grundlage einer neuen Hypothese	01	II	42
Oehmichen, H.: Die böhmischen Granatlagerstätten und die Edelsteinseife des Seufzergründels bei Hinterhermsdorf in Sachsen	01	II	21
— Eine Excursion zur Kupfersulfatlagerstätte von Copaquire im nördlichen Chile	04	I	239
Oestrup, E., siehe Madsen, V. etc.			
Officer, G., L. Balfour and E. G. Hogg: The Glacial Geology of Coimadai	1900	II	108
Officer, G. and E. G. Hogg: The Geology of Coimadai	1900	II	108
Offret, A. et H. Vittenet: Sur trois formes cristallines de la métadinitrodiphénylcarbamide	1900	II	170
Ogilvie, J. H.: An Analcite-Bearing Camptonite from New Mexico	04	II	403
Ogilvie-Gordon, M.: Ueber die obere Cassianer Zone an der Falzarego-Strasse	01	II	121
— The Torsion-Structure of the Dolomites	01	II	417
— Sigmoidal Curves	01	II	417
— Torsion Structurs in the Alps	01	II	417
— The Crust-Basins of Southern Europe	01	II	417
— On Alpine Crust-Basin	01	II	417
— Fauna of the upper Cassian zone, South Tirol	03	I	123
— The Geological Structure of Monzoni and Fassa	04	I	247
O'Harra, C. C.: The mineral wealth of the Black Hills	03	I	406
Ohm, H.: Ueber das Weissbleierz von der Grube Perm bei Ibbenbüren und einige andere Weissbleierzvorkommen Westfalens	*BB XIII*		*1*
Oldham, R. D.: Report on the Great Earthquake of June 12, 1897	01	II	372

	Jahrg.	Bd.	Seite
Oldham, R. D.: On the Propagation of Earthquake Motion to Great Distances	1901	II	372
— The Great Earthquake of June 12, 1897	01	II	372
— On the Origin of the Dunmail Raise (Lake District)	03	I	51
— The Periodicity of Earthquakes	03	II	47
— *Das grosse Erdbeben in Indien am 12. Juni 1897*	*CBl 1901*		*482*
Oldham, R. D., P. N. Dalta und E. Vredenburg: Geology of the Son Valley in the Rewah State and of parts of the adjoining districts of Jabalpur and Mirzapur	02	I	430
Olds, H. F.: Bemerkungen über den blauen Asbest	1900	II	19
Olsson, P. H.: En Trapa-förande torfmosse frå Åland	01	I	481
Omboni, G.: Denti di Lophiodon degli strati eocenici del Monte Bolca	04	I	299
Omori, F.: Note on the Preliminary Tremor of Earthquake Motion	01	I	387
— Notes on the Earthquake Investigation Committee. Catalogue of Japanese Earthquakes	01	I	389
— Note on the Great Mino-Owari Earthquake of Okt. 28th 1891	02	I	47
— Horizontal Pendulum Observations of Earthquakes, July 1898 to Dec. 1899, Tokyo	02	I	47
— Results of the Horizontal Pendulum Observations of Earthquakes, July 1898 to Dec. 1899, Tokyo	02	I	47
— Seismic Experiments on the Fracturing and Overturning of Columns	02	I	48
— Note on the After-shoks of the Hokkaido Earthquake of March 22nd 1894	02	I	49
— Earthquake Measurement in a Brick Building	02	I	50
— Note on the Tokyo Earthquake of June 20th 1894	02	I	50
— siehe Sekiya, S. and F. Omori.			
Omori, F. and K. Hirata: Earthquake Measurement at Miyako	01	I	388
Ongaro, G.: Analisi di una zeolite	01	II	357
— siehe Squinabol, S. e G. Ongaro.			
Oort, E. D. van: Ein Beitrag zur Kenntniss von Halitherium (Lendengegend, Becken und Zungenbeinkörper)	04	II	316
Oppenheim, P.: Ueber die grossen Lucinen und das Alter der „miocänen" Macigno-Mergel des Appennin	*1900 I 87*	03	I 129
— Ueber einige irrige Bestimmungen (von Tertiärpetrefakten)	1900	II	127
— Palaeontologische Miscellaneen. 1. 2. Ueber einen neuen Echiniden vom Doberg bei Bünde. 3. Ueber einige Echiniden des venetianischen und Südtiroler Tertiärs	1900	II	161
— Zur Fauna des Septarienthons	1900	II	439
— Ueber Miocän (Helvétien) in der unmittelbaren Umgebung Veronas	01	II	129
— Il Miocene di Verona ed il Pecten Besseri degli autori	01	II	130
— Palaeontologische Miscellen (Tertiärpetrefakten)	01	II	282
— Zur Kenntniss der alttertiären Binnenmollusken Südostfrankreichs	01	II	282
— Ueber Orcagnia trivigiana n. g. n. sp., einen neuen dibranchiaten Cephalopoden	01	II	318
— Sul Pecten aduncus Eichwald nel Neogene di Toscana	01	II	320
— Lambertia Gardinalei n. g. n. sp.	01	II	485
— Ueber Kreide und Eocän bei Pinguente in Istrien	02	I	277
— Palaeontologische Miscellaneen. II. (Korallen)	02	II	153

	Jahrg.	Bd.	Seite
Oppenheim, P.: Sopra due nuovi Pecten del Miocene di Bassano	1903	I	168
— Die Priabona-Schichten und ihre Fauna im Zusammenhange mit gleichalterigen und analogen Ablagerungen vergleichend betrachtet	04	I	282
— Ancora il miocene di Verona	04	II	260
— *Noch einmal über die grossen Lucinen des Macigno im Appennin*	*CBl 1900*	03	I 129
— *Ueber ein überraschendes Auftreten von Exogyra columba Lk. bei Crespano Veneto*	*CBl 1900*		500
— *Ueber Kerunia cornuta Mayer-Eymar aus dem Eocän Aegyptens*	*CBl 1902*		44
— *Ueber die Fauna des Mt. Promina in Dalmatien und das Auftreten von Oligocän in Macedonien*	*CBl 1902*		266
— *Noch einmal über die Tiefenzone des Septarienthones*	*CBl 1902*		468
— *Vorläufige Mittheilung über das Auftreten von Eocän in Kamerun*	*CBl 1903*		373
— *Bemerkungen zu der neuen Korallenarbeit der Sign. Osasco*	*CBl 1903*		484
Oppliger, F.: Die Juraspongien von Baden (Schweiz)	02	II	311
Ordoñez, E.: Les filons argentifères de Pachuca (Mexique)	1900	I	413
— Das Bergbaurevier von Pachuca in Mexico	04	I	230
O'Reilly, J. P.: On the Epidiorite and Mica Schists of Killiney Park, Co. Dublin	02	II	65
Orff, K. v.: Bemerkungen über die Beziehung zwischen Schweremessungen und geologischen Untersuchungen und Berichte über die in Bayern begonnenen Pendelbestimmungen	01	I	380
Orlow, N.: Neuer Fundort des Berylls in der Nähe der mongolischen Grenze und der Stanitza Narassun	01	II	192
Orlowsky, W.: Ueber Cölestin und Scheelit vom Kaukasus	01	II	199
Ortmann, A. E.: The Fauna of the Magellanian Beds of Punta Arenas, Chile	01	I	128
— Synopsis of the collections of invertebrate fossils made by the Princeton Expedition to Southern Patagonia 02 I 295	03	II	396
— Tertiary Invertebrates	03	II	396
— *Ueber die Decapoden-Gattungen Linuparus und Podocrates*	*CBl 1901*		713
Orton, E.: Geological Probabilities as to Petroleum	1900	II	247
Osann, A.: Versuch einer chemischen Classification der Eruptivgesteine. I. Tiefengesteine	02	I	212
— Versuch einer chemischen Classification der Eruptivgesteine. II. Die Ergussgesteine	03	I	226
— Versuch einer chemischen Classification der Eruptivgesteine. III. Die Ganggesteine	03	II	356
— *Entgegnung (gegen W. Ostwald, betr. „Beiträge zur chemischen Petrographie, I. Theil")*	*CBl 1903*		737
Osborn, H. F.: The Huerfano Lake basin, Southern Colorado, and its Wind river and Bridger fauna	1900	I	132
— The Origin of the Mammalia	1900	II	135
— Lambdotherium not related to Palaeosyops or the Titanotheres	01	I	150
— Trituberculy. A Review dedicated to the late Professor Cope	01	I	151
— A complete Mesosaur Skeleton, osseous and cartilaginous	01	I	156

	Jahrg.	Bd.	Seite
Osborn, H. F.: A Skeleton of Diplodocus	1901	I	156
— Fore and hind limbs of carnivorous and herbivorous Dinosaurs from the Jurassic of Wyoming	01	I	305
— A Complete Skeleton of Coryphodon radians	01	II	460
— Remounted Skeleton of Phenacodus primaevus. Comparison with Euprotogonia	02	I	300
— Evolution of the Amblypoda. I. Taligrada and Pantodonta	02	I	472
— Correlations between Tertiary Mammal Horizons of Europe and America. An Introduction to the more exact Investigation of Tertiary Zoogeography. Preliminary Study	02	II	275
— The Geological and Faunal Relations of Europe and America during the Tertiary Periode and the Theory of the Successive Invasions of an African Fauna	02	II	276
— Habits of Thylacoleo	02	II	457
— Origin of the Mammalia. III. Occipital Condyles of Reptilian tripartite Type	03	I	144
— The Angulation of the Limbs of Proboscidia, Dinocerata and other Quadrupeds in Adaptation to Weight	03	I	145
— Frontal Horn on Aceratherium incisivum	03	I	145
— Reconsideration of the evidence for a common Dinosaur-Avian stem in the Permian	03	I	149
— Recent Palaeontology	03	I	347
— Phylogeny of the Rhinoceroses of Europe	03	I	554
— Oxyaena and Patriofelis restituted as terrestrial Creodonts	03	I	560
— American Eocene Primates and the supposed Rodent Family Mixodectidae	04	I	290
— The Four Phyla of Oligocene Titanotheres	04	I	297
— Dolichocephaly and Brachycephaly in the Lower Mammals	04	II	302
— Glyptotherium texanum, a new Glyptodont from the lower Pleistocene of Texas	04	II	306
Osborn, H. F. and W. Granger: Dinosaur Contributions No. 6. Fore and hind limbs of Sauropoda from the Bone Cabin Quarry	03	I	157
Osmond, F.: Sur les alliages de fer et de nickel	1900	I	352
Osokow, P.: Die Verbreitung der untercretaceischen eisenhaltigen Gesteine im Gebiete der Sasursk'schen Wälder	01	II	406
Ossat, siehe Angelis d'Ossat.			
Osthoff, A.: Ueber die Reflexion und Brechung des Lichtes an Zwillingsebenen vollkommen durchsichtiger, inactiver, einaxiger Krystalle	*BB*	*XX*	*1*
Ostwald, W.: Lehrbuch der allgemeinen Chemie	CBl	1901	150
Oyen, P. A.: Rondesparagmiten	1900	I	268
Oschegow, P.: Contact von Granit und Kalkstein bei der Station Berdjausch der Samara-Slatouster Eisenbahn	01	II	69

P.

Paalzow, R.: Eine neue Bryozoe aus dem Zechsteinriff von Pössneck	1900	II	483
Pabst, W.: Die Thierfährten im Ober-Rothliegenden von Tambach in Thüringen	1900	I	311
— Beiträge zur Kenntniss der Thierfährten in dem Rothliegenden Deutschlands	02	I	308
Pachundaki, D. E.: Sur la constitution géologique des environs de Mirsa Matrouh (Marmarique)	04	I	369

	Jahrg.	Bd.	Seite
Pachundaki, D. E., siehe Fourtau, R. et D. E. Pachundaki.			
Padoa, M., siehe Bruni, G. und M. Padoa.			
Palache, Ch.: The crystallisation of the calcite from the Copper mines of Lake superior	1900	I	180
— Powellite crystals from Michigan	1900	II	33
— Note on Epidote and Garnet from Idaho	01	I	195
— Note on Tellurides from Colorado	01	II	344
— A description of Epidote crystals from Alaska	03	I	30
— siehe Lawson, A. C. and Ch. Palache.			
— siehe Wolff, J. E. and Ch. Palache.			
Palache, Ch. and F. R. Fraprie: 1. Babingtonite from Somerville, Mass.; 2. Babingtonite from Athol, Mass.	04	I	358
Palazzo, L.: Sul terremoto del 24 aprile 1901 nei pressi di Palombara Sabina	03	I	49
Pálfy, M. v.: Geologische Notizen über das Kalkgebiet Szkerisora und über die südlichen und südöstlichen Theile der Gyaluer Alpen	03	I	99
Pallary, P.: Sur les faunes fossiles des mollusques terrestres et d'eau douce de l'Algérie	01	I	489
— Note sur la giraffe et le chameau du Quaternaire algérien	03	I	347
Palmer, C. M.: Chrysocolla. A Remarkable Case of Hydration	04	I	361
Pampaloni, L.: Scorie trachitiche del' Averno nei Campi flegrei	03	I	252
Panebianco, G.: Sopra una reazione cromatica della calcite e della aragonite	03	I	189
Panebianco, R.: Nota su di alcune concrezioni delle argille scagliose . . . . . 1900 I 14	1900	II	288
— Caratteri chimici fondamentali dei minerali	01	II	169
— Sulla inesistenza della legge delle zone e di altre leggi cristallografiche	01	II	334
— Su d'una simboleggiatura semplice delle classi e dei sistemi cristallini	03	I	178
Panichi, U.: Flüssige Luft als Erkaltungsmittel bei krystallographisch-optischen Untersuchungen	*CBl*	*1902*	*321*
Pantanelli, D.: Sul Diodon Scillae Agassiz-Guiscardi	1900	I	465
— Selci mioceniche	01	I	127
— Di alcuni giacimenti solfiferi della Provincia di Siena	04	II	236
Panzer, Th., siehe Ludwig, E. und Th. Panzer.			
Papp, K.: Triaskorallen aus dem Bakony	02	I	153
Paquier, V.: Recherches géologiques dans le Dioïs et les Baronnies orientales	02	I	249
— siehe Kilian, W. etc.			
Parent, H.: Acanthoceras Cayeusi, nouvelle ammonite sénonienne	01	II	317
Pařik, V.: Ueber die Pyroplagerstätten unter dem böhmischen Mittelgebirge	03	I	383
Park, J.: On the secular movements of the New Zealand coast line	04	II	253
— On the geology of the rock-phosphate deposits of Clarendon, Otago	04	II	254
— Notes on some glacier moraines in the Leith Valley, Dunedin	04	II	282
Park, J. and F. Rutley: Notes on the Rhyolites of the Hauraki Goldfields (New Zealand)	01	I	78

	Jahrg.	Bd.	Seite
Parker, E. W.: The production of Fluorspar in 1900	CBl	1902	242
— The production of Mica in 1900, with a review of the Mica industry in 1900 by J. A. Holmes	CBl	1902	242
Parkinson, J.: The Glaucophane Gabbro of Pegli, North Italy	1901	I	67
— On an Intrusion of Granite into Diabase at Sorel Point (Northern Jersey)	01	I	77
— The Rocks of La Saline (Northern Jersey)	01	I	409
— The Rocks of the South-eastern Coast of Jersey	01	I	409
— The hollow Spherulites of the Yellowstone and Great Britain	03	I	53
— Notes on the Geology of South-Central Ceylon	03	I	78
— The Petrographical Characters of the Darjéling Gneiss	04	II	53
— On the Making of a Quartz Schist	04	II	54
— The Geology of the Tintagel and Davidstow District (Northern Cornwall)	04	II	389
— siehe Bonney, T. G. und J. Parkinson.			
Parona, C. F.: Note sui cefalopodi tertiari del Piemonte	01	II	318
Parsons, Ch. L., siehe Moses, A. J. and Ch. L. Parsons.			
Partridge, Miss E. M.: Echinocaris Whidbornei Jones et Woodward and Echinocaris slohiensis n. sp. 1903 1 544	04	I	144
Partsch, J.: Der Ausflug des XIII. Deutschen Geographentages zu den Glacialablagerungen des Riesengebirges	02	I	286
Paschen, F.: Eine neue Bestimmung der Dispersion des Flussspathes im Ultraroth	03	II	8
Pasquier, L. du: Sur un mode de striage non-glaciaire des roches	1900	I	208
— L'avalanche de l'Altels le 11 septembre 1895	1900	I	209
— Quelques recherches nouvelles sur les glaciers et les causes de leur ancienne extension	1900	I	211
— La cause des variations périodiques des glaciers et la théorie de ces variations	1900	I	211
— Le loess préalpin, son âge et sa distribution géographique	1900	I	297
— siehe Forel, F. A. und L. du Pasquier.			
Pasquier, L. du und A. Penck: Bemerkungen über das Alter und die Verbreitung des Lösses	1900	I	297
Passarge, S.: Die Kalkschlammablagerungen in den Seen von Lychen, Uckermark	03	I	134
Patton, H. B.: Tourmaline and Tourmaline Schists from Belcher Hill, Colorado	1900	II	26
— Thomsonite, Mesolite and Chabazite from Golden, Colorado	01	II	197
Paul, C. M.: Der Wienerwald. Ein Beitrag zur Kenntniss der nordalpinen Flyschbildungen	02	I	276
Pauw, L. de: Observations sur le gisement de Bernissart	03	I	305
Pavlow, A. P.: Le Crétacé inférieur de la Russie et sa faune	02	I	442
Pavlow, A. W.: Vorläufige Mittheilung über geologische Untersuchungen im nordöstlichen Theile des Blattes 75 (Gouv. Saratow)	03	II	248
Pavlow, M.: Nouvelles trouvailles de Mastodon Borsoni Lart. au sud de la Russie	03	I	350
— Etudes sur l'histoire paléontologique des Ongulés. VII. Artiodactyles anciens	03	II	288
— Etudes sur l'histoire paléontologique des Ongulés. VIII. Selenodontes tertiaires de la Russie	04	II	315
— Protohippus en Russie	04	II	316
— Procamelus du gouvernement de Cherson	04	II	316

	Jahrg.	Bd.	Seite
Pavlow, M.: Mastodon angustidens Cuv. et Mastodon cf. longirostris Kaup de Kertsch	1904	II	468
Peachey, St. J., siehe Pope, W. J. und St. J. Peachey.			
Pearce, F.: Recherches sur le versant sud-est du massif du Mont-Blanc. Études sur la protogine, les porphyres quartzifères, les schistes cristallins et les terrains sédimentères	01	I	65
— siehe Duparc, L. et J. Pearce.			
Pearce, F. et L. Duparc: Sur les feldspaths contenus dans les roches de la série des gabbros provenant de la montagne de Tilai-Kamen dans le bassin supérieur de la Kosswa	02	I	346
— — Sur les données optiques relatives à la mâcle de la péricline	02	II	193
— — Gabbros à olivine du Koswinsky-Kamen	02	II	387
— — Propriétés optiques de la mâcle de la péricline	02	II	389
Pearson, H. W.: Oscillations in the Sea-Level	03	II	49
Peckham, H. E.: On the Bituminous Deposits situated at the South and East of Cárdenas, Cuba	03	II	391
Peetz, v.: Beiträge zur Kenntniss der Fauna der devonischen Schichten am Rande des Steinkohlenbeckens von Kusnetzk	02	I	437
— *Berichtigung (betr. das vorherg. Ref.)*	*CBl*	*1902*	*568*
Peirce, B. O. and R. W. Wilson: On the Thermal Diffusivities of different Kinds of Marble	02	I	390
Pélabon, H.: Sur la fusibilité des mélanges de sulfure d'antimoine et de sulfure d'argent	04	I	328
Pelikan, A.: Die Schalsteine des Fichtelgebirges, aus dem Harz, von Nassau und aus den Vogesen	01	I	59
— Hornfels-Chiastolith-Seebenit aus Ost-Bokhara	01	I	74
— Eine Pseudomorphose von Granat nach Augit	01	I	172
— Der Augit aus dem krystallinischen Kalksteine von Mährisch Altstadt-Goldenstein	01	I	193
— Pseudomorphose von Edelopal nach Gyps	01	II	5
— Pseudomorphose von Magnetit und Rutil nach Ilmenit	03	I	182
— Beiträge zur Kenntniss der Zeolithe Böhmens	03	I	389
— Petrographische Untersuchungen von Gesteinen der Inseln Sokótra, Abdel Kûri und Sêmha	03	II	195
— Gabbro von Wischkowitz in Böhmen	04	I	48
Pellat, E.: Sur la présence de l'Infra-Tongrien à Plan d'Orgon (Bouches-du-Rhône)	01	II	446
Pelloux, A.: Sulla Wulfenite di Gennamari in Sardegna	01	II	32
— Appunti sopra alcuni minerali delle Cetine di Cotorniano presso Rosia (in Provincia di Siena)	02	II	36
Penck, A.: Die vierte Eiszeit im Bereiche der Alpen	1900	II	443
— Die Eiszeiten Australiens	02	II	129
— Die Uebertiefung der Alpenthäler	02	II	282
— Der Bodensee	03	I	513
— Einige neuere Ergebnisse der Eiszeitforschung in den Alpen	03	I	514
— Die Erdoberfläche	CBl	1900	70
— siehe Pasquier, L. du und A. Penck.			
Penck, A. und E. Brückner: Die Alpen im Eiszeitalter. 1. und 2. Lieferung	03	II	51
Penck, A. und E. Richter: Glacialexcursion in die Ostalpen	04	II	281

	Jahrg.	Bd.	Seite
Penfield, S. L.: On Graftonite, a new Mineral from Grafton, New Hampshire, and its Intergrowth with Triphylite	1901	I	356
— On the interpretation of mineral analyses: a criticism of recent articles on the constitution of Tourmaline	01	II	23
— Contactgoniometer und Transporteur einfacher Construction	01	II	337
— On the chemical composition of Sulphohalite	01	II	343
— On the chemical composition of Tourquois	01	II	357
— The stereographic projection and its possibilities, from a graphical standpoint	02	II	2
— siehe Hillebrand, W. F. and S. L. Penfield.			
— siehe Wells, H. L. and S. L. Penfield.			
Penfield, S. L. and H. W. Foote: On Clinohedrite, a new mineral from Franklin, N. J.	1900	I	186
— — On the chemical composition of Tourmaline	1900	II	22
— — Ueber Klinoëdrit, ein neues Mineral von Franklin, N. J.	01	I	197
Penfield, S. L. and W. E. Ford: On some interesting developments of Calcite Crystals	01	I	345
— — Siliceous Calcites from the Bad Lands, Washington County, South Dakota	01	I	346
— — On Calaverite	03	I	14
Penfield, S. L. und L. V. Pirsson: Contributions to mineralogy and petrography from the laboratories of the Sheffield scientific school of Yale University	CBl	1902	24
Penfield, S. L. and C. H. Warren: On the Chemical Composition of Parisite and a new occurrence of it in Ravalli Co., Montana	01	I	17
— — Some new Minerals from the Zinc Mines at Franklin, N. J., and Note concerning the Chemical Composition of Ganomalite	01	I	367
Pergens, E.: Note sur l'identification et la séparation des espèces dans le groupe des bryozoaires	1900	I	477
— Bryozoaires des environs de Buda	1900	I	478
Perner, J.: Etudes sur les graptolites de Bohême. Suite de l'ouvrage: Système silurien du centre de la Bohême, par Joachim Barrande. IIIième partie: Monographie des graptolites de l'étage E.—section a	1900	I	146
Peron, A.: La zone à Placenticeras Uhligi et la zone à Marsupites ornatus dans le Crétacé de l'Algérie	02	I	453
Perrot, F. L.: Conductibilité thermique du bismuth cristallisé	04	II	10
Perry, J. H.: Notes on the Geology of Mount Kearsarge, New Hampshire	04	II	406
Pervinquière, L.: Sur un faciès particulier du Sénonien de Tunisie	01	II	281
— Sur l'Éocène de Tunisie et d'Algérie	01	II	488
Petersen, J.: Ueber die krystallinen Geschiebe der Insel Sylt	01	I	99
— Die Behandlung der Geologie und Mineralogie im naturwissenschaftlichen und geographischen Unterricht. I. und II. Theil	01	I	205
— Geschiebestudien. I. (1. Basalt von Schonen. 2. Cancrinit-Aegirinsyenit, sog. Phonolith, von Särna. 3. Gesteine der Diabasfamilie)	01	I	478
— Geschiebestudien. II. (Beiträge zur Kenntniss der Bewegungsrichtungen des diluvialen Inlandeises)	01	II	131

	Jahrg.	Bd.	Seite
Petersen, J.: Untersuchungen über die kristallinen Geschiebe von Sylt, Amrum und Helgoland	*1903*	*I*	*91*
— Auch ein Wort zur Klarstellung (gegen J. Martin, s. d.)	*CBl 1904*		*216*
Petersen, Th.: Zur Kenntnis der natürlichen Phosphate	1900	II	31
Petersson, W.: Geologisk beskrifning öfver Nordmarks grufvors Odalfält . . . . . 1900 I 78	01	I	434
Pethö, J.: Der Nordabfall des Kodru-Gebirges und das Thal der Schwarzen Körös von Belenyes bis Urszád im Comitate Bihar	1900	I	92
— Geologische Beiträge über die Umgebung von Fenes, Sólyom und Urszád im Com. Bihar	03	I	268
— Ueber das Vorkommen von Hippurites (Pironaea) polystylus in den Hypersenonschichten zu Cserevitz im Pétervárader Gebirge	04	I	151
Petitclerc, P.: Note sur une nouvelle espèce d'Echinide	03	II	454
Petrasch, K.: Beiträge zur experimentellen Petrographie	*BB XVII*		*498*
Petraschek, W.: Ueber das Alter des Ueberquaders im sächsischen Elbthal-Gebirge	1900	II	438
— Ueber eine Discordanz zwischen Kreide und Tertiär bei Dresden	02	I	441
— Studien über Faciesbildungen im Gebiete der sächsischen Kreideformation	02	I	449
— Das Vorkommen von Kohle im Diabas von Radotin	04	II	77
Peyrot, A.: Découverte d'un Céphalopode dans les faluns de la Touraine	1900	II	477
— Les faluns de la Touraine	04	II	434
— Note sur quelques fossiles des faluns de la Touraine (Helvétien inférieur) et des environs d'Orther	04	II	459
— siehe Ivolas, J. et A. Peyrot.			
Pfaff, F. W.: Versuch einer Zusammenstellung der gelogisch-mineralogischen Literatur vom Königreich Bayern	1900	I	34
— *Ueber Dolomitbildung*	*CBl 1903*		*659*
Pfeil, K.: Ueber die Aufschliessung der Silicate und anderer schwer zersetzbarer Mineralien mit Borsäureanhydrid	CBl 1902		143
Pflüger, A.: Prüfung des Kirchhoff'schen Gesetzes an der Emission und Absorption glühenden Turmalins	03	II	177
Philipp, H., siehe Goldschmidt, V. und H. Philipp.			
Philippi, E.: Die Fauna des unteren Trigonodus-Dolomits vom Hühnerfeld bei Schwieberdingen und des sogen. „Cannstatter Kreidemergels“	1900	I	436
— Avicula reticulata Hisinger	02	I	316
— Zur Stammesgeschichte der Pectiniden	02	I	316
Ueber ein Triasprofil von Uehrde im Braunschweigischen	02	II	267
— Ein interessantes Vorkommen von Placunopsis ostracina Schl. sp.	02	II	484
— *Bericht über die Excursion X des Pariser Geologen-Congresses (Centralplateau)*	*CBl 1900*		*305*
— *Ueber die Bildungsweise der buntgefärbten klastischen Gesteine der continentalen Trias*	*CBl 1901*		*463*
— *Erwiderung auf A. Tornquist's Aufsatz: Das Vorkommen von nodosen Ceratiten auf Sardinien etc.*	*CBl 1901*		*551*
— *Ueber recente Kantengeschiebe von antarktischen Eisbergen*	*CBl 1904*		*734*
— siehe Murray, Sir J. und E. Philippi.			
Philippi, R. A.: Los Fósiles Secondarios de Chile. (I. Theil)	01	I	484

	Jahrg.	Bd.	Seite
Philippson, A.: La tectonique de l'Égéide (Grèce, Mer Egée, Asie mineure occidentale)	1900	I	98
— Die Entstehung der Flusssysteme	1900	I	214
— Der Gebirgsbau der Agäis und seine allgemeineren Beziehungen	02	II	261
— Nachträge zur Kenntniss der griechischen Inselwelt	03	II	251
— 1. Vorläufiger Bericht über die im Sommer 1901 ausgeführte Forschungsreise im westlichen Kleinasien	03	II	251
— 2. Vorläufiger Bericht über die im Sommer 1902 ausgeführte Forschungsreise im westlichen Kleinasien	03	II	251
Phillips, A. H.: The Mineralogical Structure and Chemical Composition of the Trap of Rocky Hill, N. J.	1901	I	243
Phillips, W. B.: Die Goldlagerstätten in Alabama	1900	I	241
— Texaspetroleum	02	II	358
Piatnitzky, siehe Pjatnitzky.			
Picard, E.: Beitrag zur Kenntniss der Glossophoren der mitteldeutschen Trias	04	I	312
Picard, K.: Ueber Cephalopoden aus dem unteren Muschelkalk von Sondershausen . . . . . 1901 II 151	02	I	310
Piccini, A. und L. Marino: Ueber die Alaune des Rhodiums	02	II	179
Pickardt, E. v.: Die moleculare Verminderung der Krystallisationsgeschwindigkeit durch Zusatz von Fremdkörpern 1903 II 4	04	II	345
Piette, E.: Classification et terminologie des temps préhistoriques	02	II	289
Pietursson, H., siehe Pjetursson, H.			
Pilgrim, L.: Versuch einer rechnerischen Behandlung des Eiszeitproblems	04	II	129
Piolti, G.: Sulla presenza della jadeïte nella Valle di Susa	1900	I	341
— Sopra una macina romana in leucotefrite trovata nei dintorni di Rivoli (Piemonte)	01	I	66
— I manufatti litici del „Riparo sotto Roccia" di Vayes (Val di Susa) . . . . . 1903 I 25	03	II	370
— Sulla Mohsite della Beaume (alta valle della Dora Riparia)	03	II	14
— I basalti dell' Isola del Principe Rodolfo	04	II	227
Piperoff, Ch.: Geologie des Calanda	1900	I	254
Pirsson, L. V.: On the Phenocrysts of Intrusive Igneous Rocks	01	I	240
— On Aegirite-Granite from Miask, Ural Mts.	01	II	242
— siehe Cross, W., Iddings, J. P. etc.			
— siehe Penfield, S. L. and L. V. Pirsson.			
— siehe Weed, W. H. and L. V. Pirsson.			
Pirsson, L. V. and H. H. Robinson: On the Determination of Minerals in the Rock-Sections by their Maximum Birefringence	1901	II	220. 334
Pjatnitzky, P.: Untersuchung der krystallinischen Schiefer der Steppenzone Südrusslands	1900	II	95
Pjetursson, H.: The Glacial Palagonite-Formation of Iceland	01	II	291
Plieninger, F.: Beiträge zur Kenntniss der Flugsaurier	02	II	144
— *Ueber Dogger und oberen Lias in den Chiemgauer Alpen*	*CBl 1901*		*361*
— *Erwiderung auf E. Böse's Aufsatz: „Zur Abwehr"*	*CBl 1901*		*719*
Počta, Ph.: Ueber einige neue Spongien aus der Kreideformation	04	II	156
— Beiträge zur Kenntniss der Calcispongien aus der Kreideformation	04	II	157

	Jahrg.	Bd.	Seite
Podkopajew, N., siehe Kurnakow, N. und N. Podkopajew.			
Poech, F.: L'industrie minérale de Bosnie-Herzégovine	1902	I	81
— Die Eisenindustrie auf der Insel Elba	04	II	413
Pohl, O.: Ueber Turnerit und Anatas von Prägratten in Tirol	1904	II	15. 29
Polak, J. M.: Ueber Kalkspathkrystalle aus der Umgebung von Prag	01	I	343
Polenow, B.: Zur Frage der Orthoklasplagioklasgesteine	02	I	221
— Die massigen Gesteine des nördlichen Theiles des Witim-Plateaus	02	I	222
Pollak, K., siehe Donath, E. und K. Pollak.			
Pollard, W., siehe Clough, C. T. und W. Pollard.			
Pomel, A.: Mammifères quaternaires fossiles algériens. Monographie des Porcins	01	I	147
— Monographie des Carnassiers fossiles quaternaires de l'Agérie	01	I	148
— Les Hippopotames	01	I	500
— Les Suilliens. Porciens	01	I	500
— Les mammifères quaternaires de l'Algérie	01	II	146
Pompeckj, J. F.: Ueber Euloma und Pharostoma	*1900*	*I*	*135*
— *Aucellen im Fränkischen Jura*	*01*	*I*	*18*
— The Jurassic fauna of Cape Flora. With a geological sketch of Cape Flora and its Neighbourhood by F. Nansen	01	I	277
— Marines Mesozoicum von König Karls-Land	01	II	112
— Jurafossilien aus Alaska	01	II	124
— *Ueber Tmaegoceras Hyatt*	*01*	*II*	*158*
— *Aus dem Tremadoc der Montagne Noire (Süd-Frankreich)*	*02*	*I*	*1*
— Die Juraablagerungen zwischen Regensburg und Regenstauf	03	I	301
— *Ueber Aucellen und Aucellen-ähnliche Formen*	*BB*	*XIV*	*319*
Poni, P: Fapte pentru a servi la descrierea mineralogica a Romaniei. Beiträge zu einer Mineralogie Rumäniens	01	II	364
Poole, H. S.: Notes on a Cape Breton Mineral containing Tungsten etc.	02	I	353
Pope, W. J.: Die Refractionsconstanten krystallisirter Salze	1900	I	167
— Eine nicht zwillingsartige Verwachsung von Natriumchloratkrystallen	1900	I	328
Pope, W. J. und St. J. Peachey: Eine neue, partiell racemische Verbindung	1900	I	169
Popoff, B.: Ueber Rapakiwi aus Südrussland	04	I	70
— Beitrag zum Studium der Sphärolithbildungen	04	I	378
Popoff, S.: Materialien zur Mineralogie der Krym 1901 II 205 1902 II 364	04	II	32
— Ueber Tamanit, ein neues Eisencalciumphosphat	03	II	333
— siehe Vernadsky, W. und S. Popoff.			
Popovici-Hatzeg, V.: Contribution à l'étude de la faune du crétacé supérieur de Roumaine. Environs de Campulung et de Sinaia	1900	II	286
Porro, C.: Cenni preliminari ad un rilievo geologico della Catena Orobica dalla Valsassina al M. Venerocolo	1900	I	426
Portis, A.: Di alcuni pseudofossili esistenti nello Istituto geologico universitario di Roma: lettera aperta al presidente della società geologica italiana	03	I	280
— Di una formazione presso la Basilica ostiense di Roma e degli avanzi fossili vertebrati in essa rinvenuti	04	I	278

	Jahrg.	Bd.	Seite
Pošepný, F.: Die Genesis der Erzlagerstätten	1903	II	87
Posewitz, Th.: Szinevér-Polana und Umgebung im Com. Mármaros	03	I	267
Post, H. v.: Om Färöarnes uppkomst	03	II	374
Potonié, H.: Ueber Autochthonie von Carbonkohlenflötzen und des Senftenberger Braunkohlenflötzes	02	I	156
— Excursion in das Braunkohlenrevier der Niederlausitz	02	I	156
— Die floristische Gliederung des deutschen Carbon und Perm	02	I	322
— *Erwiderung auf Prof. Westermaier's Besprechung meiner Rede über „Die von den fossilen Pflanzen gebotenen Daten für die Annahme einer allmählichen Entwickelung vom Einfacheren zum Verwickelteren"*	*02*	*II*	*97*
— Die Silur- und die Culmflora des Harzes und des Magdeburgischen. Mit Ausblicken auf die anderen altpalaeozoischen Pflanzenfundstellen des Variscischen Gebirgssystems	02	II	495
— Ueber den Culm bei Leschnitz in Oberschlesien	03	II	109
— Lehrbuch der Pflanzenpalaeontologie	CBl	1900	195
Poussin, Ch. de la Vallée, siehe Vallée-Poussin, Ch. de la.			
Power, Fr. D.: Die nutzbaren Lagerstätten Neu-Caledoniens	03	I	95
Poynting, J. H.: Recent Studies in Gravitation	01	I	380
Poynting, J. H. and P. L. Gray: Experiment in Search of a Directive Action of one Quartz-Crystall on another	01	I	380
Pranter, V.: Ein billiger Ersatz für Deckgläser	02	II	175
Pratt, J. H.: On the origin of the corundum associated with the peridotites in North Carolina	1900	I	8
— Mineralogical notes on anthophyllite, enstatite and beryl (emerald) from North Carolina	1900	I	32
— Mineralogical notes on cyanite, zircon and anorthite from North Carolina	1900	I	32
— On the occurrence, origin and chemical composition of Chromite	1900	II	177
— On the Separation of Alumina from Molten Magma, and the formation of Corundum	1900	II	385
— On the crystallography of the Rubies from Macon County, North Carolina	01	I	189
— Gediegenes Silber und Quecksilber in den Gruben zu Sala in Schweden	01	II	173
— On two new occurrences of Corundum in North Carolina	01	II	349
— Talc and pyrophyllite deposits in North Carolina	02	I	12
— The occurrence and distribution of corundum in the United States	02	II	340
— The Production of Barytes in 1901	04	I	34
— The Production of Monazite 1901	04	I	34
— The Production of Lithium in 1901	04	I	35
— The Occurrence of Strontium Ores	04	I	35
— The Production of Tungsten, Molybdenite, Uranium and Vanadium 1901	04	I	35
— The Production of Asbestos in 1901	04	I	36
— Chromite or Chromic Iron Ore	04	I	37
— The Production of Abrasive Materials in 1901	04	I	37
— The production of fluorspar and cryolite 1902	04	II	12
— The production of Lithium in 1902	04	II	25
— The production of tungsten, molybdenum, uranium and vanadium in 1902	04	II	31
— The production of barytes in 1902	04	II	31

	Jahrg.	Bd.	Seite
Pratt, J. H.: The Mining Industry in North Carolina during 1901	1904	II	33
— The production of Nickel and Cobalt in 1902	04	II	357
— The production of graphite in 1900	CBl	1902	243
— The production of Abrasive Materials in 1900	CBl	1902	243
— Die Gewinnung von Wolfram, Molybdän, Uran und Vanadium im Jahre 1900	CBl	1902	245
— The production of Asbestos in 1900, with notes on the occurrence of Asbestos in Lamoille and Orleans Counties, Vermont, by J. F. Kemp	CBl	1902	431
— siehe Hidden, W. E. and J. H. Pratt.			
— siehe Judd, J. W. etc.			
Prchlík, A.: Beitrag zur Morphologie des böhmischen Baryts	03	I	397
Preiswerk, H.: Untersuchung eines Grünschiefers von Brusson (Piemont)	*CBl*	*1901*	*303*
— siehe Goldschmidt, V. und H. Preiswerk.			
Preller, Riche. Ch. S. du, siehe Riche Preller, Ch. S.			
Prendel, R.: Notiz über Bergkrystalle vom Berge Kasbék	1900	I	10
Preston, H. L.: Illinois Gulch Meteorite	01	II	39
— Two new American Meteorites	01	II	39
— On a new Meteorite from Oakley, Logan Co., Kansas	01	II	39
Priem, F.: Sur des poissons fossiles éocènes de l'Egypte et de Roumanie et rectification relative à Pseudolates Heberti Gervais sp.	01	II	148
— Note sur des poissons fossiles de l'Éocène de l'Égypte	01	II	148
— Sur les poissons fossiles du Gypse de Paris	02	II	301
— Sur les poissons de l'Eocène inférieur des environs de Reims	04	I	305
Prinz, G.: Ueber Rückschlagsformen bei liassischen Ammoniten	*04*	*I*	*30*
Prior, G. T.: Petrographical Notes on the Rock-speciemens collected in Antarctic Regions during the voyage of H. M. S. Erebus and Terror under Sir James Clark Ross in 1839—1843	1900	II	236
— Riebeckite in Trachytic Rock from Abyssinia	01	I	18
— Minerals from Swaziland: Niobates and titanates of the rare earths, chemically allied to Euxenite and Fergusonite; Cassiterite, Monazite etc. The „Aeschynite from Hitterö“	01	I	31
— Hamlinite, Florencite, Plumbogummite (Hitchcockite), Beudantite and Svanbergite, as members of a natural group of minerals	01	I	360
— Aegirine and Riebeckite Anorthoclase Rocks related to the „Grorudite-Tinguaite“ series, from the neighbourhood of Adowa and Axum, Abyssinia	01	II	391
— Tinguáites from Elfdalen and Rupbachthal; Basalts from Madagascar and the Soudan	02	II	56
— The Identity of Kilbrickenite with Geocronite and Analyses of Miersite, Marshite and Copper-Pyrites	03	II	374
— Note on a connexion between the molecular volume and chemical composition of some crystallographically similar minerals	04	I	4
— Contributions to the Petrology of British East Africa. Comparison of volcanic rocks from the Great Rift Valley with rocks from Pantelleria, the Canary Islands, Ascension, St Helena, Aden and Abyssinia	04	II	55
— siehe Hussak, E. and G. T. Prior.			

	Jahrg.	Bd.	Seite
Prior, G. T. und A. K. Coomáraswámy: Serendibite, a new borosilicate from Ceylon	1904	I	25
Prior, G. T. and L. J. Spencer: The identity of Binnite with Tennantite; and the chemical composition of Fahlerz	01	II	12
— — The Cerargyrite Group holohedral-cubic silver haloids	03	I	373
Pritchard, G. B., siehe Hall, T. S. and G. B. Pritchard.			
Proboscht, H.: Analcim-Melaphyr von Pizmeda	*CBl*	*1904*	*79*
Prosser, Ch.: Gas-well sections in Central New York	01	I	270
— Stratigraphy of Mohawk valley	01	I	270
— The Shenandoah limestone and Martinsburg shale	01	I	456
— Correlation of Carboniferous rocks of Nebraska with those of Kansas	01	I	460
— Note on the distribution of the Cheyenne sandstone	02	I	280
— The classification of the Waverly series of Central Ohio	02	II	439
— Sections of the formations along the northern and of the Helderberg plateau	03	I	296
— The nomenclature of the Ohio geological formations	04	II	102
Przibilla, C.: Das specifische Gewicht des Sylvins, des Bischofits und des Carnallits und die Bildung des letzteren aus seinen Componenten	*CBl*	*1904*	*234*
Pulfrich, C.: Ueber ein neues Refractometer mit veränderlichem brechenden Winkel	1900	II	172
— Ueber die Anwendbarkeit der Methode der Totalreflexion auf kleine und mangelhafte Krystallflächen	1900	II	173
— Erwiderung auf die vorstehende Bemerkung (von C. Leiss: Bemerkungen zu der Abhandlung des Herrn Dr. C. Pulfrich „Ueber die Anwendbarkeit der Methode der Totalreflexion auf kleine und mangelhafte Krystallflächen")	1900	II	174
— Bemerkungen zu der Compensationsmethode des Herrn A. E. Tutton und über die Verwendung von Quarz als Vergleichskörper bei dilatometrischen Messungen	01	II	168
Purington, C. W.: Die Platinlager im Tura-Flussgebiete im Ural	1900	I	339
— Goldhaltiges Holz	1900	I	339
— siehe Nitze, H. B. C. and C. W. Purington.			
Purkyně, C. Ritter v.: Kaolin im Pilsener Steinkohlenbecken	03	II	25

Q.

Quaas, A.: Beitrag zur Kenntniss der Fauna der obersten Kreidebildungen in der Libyschen Wüste (Overwegi-Schichten und Blätterthone)	03	I	507
Quereau, E. Ch.: Topography and History of Jamesville Lake, New York	01	I	296
Quincke, G.: Ueber die Klärung trüber Lösungen	03	I	453
— Ueber Krystalle	04	I	162

R.

Rabot, Ch.: Les variations de longueur des glaciers dans les régions artiques et boréales. II.	02	I	386
Radovanovics, S.: Ueber die unterliasische Fauna von Krška Čuka in Ostserbien	01	I	467

	Jahrg.	Bd.	Seite
Raisin, C. A.: On certain Altered Rocks from near Bastogne, and their Relations to others in the District	1902	II	63
— Petrological Notes on Rocks from Southern Abyssinia, collected by Dr. Reginald Koettlitz	04	I	394
— Notes on the Geology of Perim Island	04	II	53
— siehe Bonney, T. G. und C. A. Raisin.			
Ralli, G.: Le bassin houiller d'Heraclée	01	II	441
Rammelsberg, K. F.: Nekrolog	*CBl 1900*	*221.*	*319. 342*
Ramsay, W.: Ueber die geologische Entwickelung der Halbinsel Kola in der Quartärzeit	1900	II	449
— Das Nephelinsyenitgebiet auf der Halbinsel Kola. II.	02	II	377
— Neue Beiträge zur Geologie der Halbinsel Kola	02	II	385
Ramsay, W. und L. H. Borgström: Der Meteorit von Bjurböle bei Borgå (Finland)	03	I	209
Ramsay, W. und A. Zilliacus: Monazit von Impilaks	1900	I	17
Range, P.: Das Diluvialgebiet von Lübeck und seine Dryasthone	04	II	127
Ransome, F. L.: Some lava flows of the western slope of the Sierra Nevada, California . . . . . 1900 I 69	1900	II	65
— On a New Occurrence of Nepheline Syenite in New Jersey	01	I	245
— A Peculiar Clastic Dike near Ouray, Colorado, and its Associated Deposit of Silver Ore	02	II	243
— A report on the economic geology of the Silverton Quadrangle, Colorado	03	II	341
— siehe Hillebrand, W. F. and F. L. Ransome.			
Rathke, B.: Neuere Untersuchungen über Eisen und Stahl	01	II	10
Raulin, V.: Succession des mollusques terrestres et d'eau douce dans le bassin tertiaire de l'Aquitaine	1900	II	439
Ravn, J. P. J.: Trilobitfaunan i den bornholmske Trinucleusskifer	01	I	102
— Et par bemaerkningar i anledning af A. Hennig: Studier öfver den baltiska yngre kritans bildningshistoria	01	I	281
— Löse blokke af Cerithium-Kalk, fundne i Nord-Tyskland	02	I	451
— Molluskerne i Danmarks Kridtaflejringer	02	II	433
— *Vorläufige Mittheilung über eine Lacune oder Discordanz zwischen Senon und Danien in Dänemark*	*CBl 1903*		*267*
Raymaekers, D.: Note sur un gisement botanique d'âge landénien supérieur, à l'est de Tirlemont	02	I	119
Raymond, R. W.: Note on Limonite Pseudomorphs from Dutch Guiana	01	I	173
— Neue Beiträge zur Lehre der Erzlagerstätten	02	II	77
Read, Th. T.: Nodular-Bearing Schists near Pearl, Colorado	04	II	407
Reader, G. J.: Report on the Rampur Coal-Field	02	I	438
Rechat, L.: Une excursion minéralogique et géologique de Clermont au Puy de Dôme (Excursion de la faculté des Sciences)	1900	II	1
Redlich, K. A: Die Kreide des Görtschitz- und Gurkthales	1900	II	285
— Geologische Studien im Gebiete des Olt- und Oltetzthales in Rumänien	01	II	280
— Eine Wirbelthierfauna aus dem Tertiär von Leoben	01	II	456
— The Cambrian fauna of the Eastern Saltrange	02	I	260
— Vorläufige Mittheilung über die Kreide bei Pinguente in Istrien	02	I	277
— Die Kohlen östlich und westlich von Rötschach in Untersteiermark	02	I	420

	Jahrg.	Bd.	Seite
Redlich, K. A.: Ueber Kreideversteinerungen aus der Umgebung von Görz und Pinguente	1902	I	486
— Die sogenannten Granulite des nördlichen Böhmerwaldes	02	II	52
— Ueber Wirbelthierreste aus dem Tertiär von Neufeld (Ujfalu) bei Ebenfurth an der österreichisch-ungarischen Grenze	03	I	349
— Der Kiesbergbau der Flatschach und des Feistritzgrabens bei Knittelfeld in Steiermark	03	I	445
— Der Metamorphismus der obersteierischen Graphitlagerstätten	03	II	385
— Anleitung zur Löthrohranalyse	04	I	4
— Turmalin in Erzlagerstätten	04	II	183
— Ueber das Alter und die Entstehung einiger Erz- und Magnesitlagerstätten der steirischen Alpen	04	II	240
Reed, Fr.: Die Goldlagerstätten von Peak Hill in West-Australien	1900	I	243
Reed, F. R. C.: Notes on the Genus Lichas	03	I	161
— Woodwardian Museum notes: SALTER's undescribed species	1903	I	117. 295
— Woodwardian museum notes: Brachymetopus Strzeleckii M'Coy 1847	04	I	144
Regelmann, C.: Gletscherspuren im Weissachthal	02	I	287
— *Woher stammt die Moräne auf dem Hohenberg bei Denkingen?*	*CBl*	*1903*	*602*
Regelmann, K.: Schwerspath als Spaltenausfüllung im Wellenkalk von Leimen bei Heidelberg	1900	I	194
— Geologische Untersuchung der Quellgebiete von Acher und Murg im nördlichen Schwarzwald	1904	I	253. 385
Regny, P. E. Vinassa de, siehe Vinassa de Regny, P. E.			
Rehbinder, B. v.: Eine Kreidefauna aus der Astrachaner Steppe	*1900*	*I*	*216*
— Fauna und Alter der cretaceischen Sandsteine in der Umgebung des Salzsees Baskuntschak	04	II	431
Reichenau, W. v.: Notizen aus dem Museum zu Mainz (aus dem Mainzer Becken)	*1900*	*II*	*52*
Reichenbach, E. Stromer von, siehe Stromer, E.			
Reid, Cl.: On a probable eocene outlier off the Cornish coast	04	II	435
Reidemeister, C.: Ueber sogenannten Asbest	01	II	354
Reinach, A. v.: Geologische Spezialkarte von Preussen und den Thüringischen Staaten. Blätter Hüttengesäss, Windecken und Hanau nebst Theilblatt Gross-Kratzenburg	02	II	93
— Der Schläferskopfstollen bei Wiesbaden	03	II	94
— Schildkrötenreste im Mainzer Tertiärbecken und in benachbarten, ungefähr gleichalterigen Ablagerungen	03	II	141
— Vorläufige Mittheilung über neue Schildkröten aus dem ägyptischen Tertiär	04	II	148
— Neuere Aufschlüsse im Tertiär des Taunusvorlandes	04	II	258
Reinders, W.: Ueber die Bildung und Umwandlung der Mischkrystalle von Quecksilberbromid und Quecksilberjodid	01	I	341
Reinisch, R.: Teschenit aus Sibirien	01	I	232
— Petrographisches Praktikum. Erster Theil: Gesteinsbildende Mineralien	03	I	225
— Druckproducte aus Lausitzer Biotitgranit und seinen Diabasgängen	04	I	41

	Jahrg.	Bd.	Seite
Reinisch, R.: Mineralogie und Geologie für höhere Schulen	CBl	1903	24
— *Ueber Astrolith, ein neues Mineral*	*CBl*	*1904*	*108*
Reis, O.: Die Fauna der Hachauer Schichten. I. Gastropoden	1900	II	295
— Die Fauna der Hachauer Schichten. I a. Nachtrag zu I. Gastropoden (Geognost. Jahresh. 1896) mit Cephalopoden, Brachiopoden etc. II. Lamellibranchiaten	1900	II	295
— Die westpfälzische Moorniederung, ein geologisch-hydrographisches Problem	02	II	103
— Coelacanthus lunzensis Teller	02	II	483
— Ueber Lithiotiden	04	II	326
Reiss, W.: Ecuador 1870—1874. Heft 1. Berlin 1901. Die vulcanischen Gebirge der Ostcordillere vom Pamba-Marca bis zum Antisana. Geologisch-topographische Einleitung	03	II	218
Reiss, W. und A. Stübel: Reisen in Südamerika. Geologische Studien in der Republik Colombia. II. — Petrographie. 2.	03	II	202
— — Reisen in Südamerika. Das Hochgebirge der Republik Equador. II. Petrographische Untersuchungen. 2. Ost-Cordillere. Der Cotopaxi und die umgebenden Vulcanberge: Pasochoa, Rumiñahui, Sincholagua und Quilindaña	03	II	209
Reitinger, J., siehe Hussak, E. und J. Reitinger.			
— siehe Kraus, E. H. und J. Reitinger.			
Rekstad, J.: Ueber die frühere höhere Lage der Kiefern-grenze und Schneelinie in Norwegen	*CBl*	*1903*	*469*
Remeš, M.: Beiträge zur Kenntniss der Brachiopoden des Stramberger Tithon	1900	II	315
— Die Fauna des Kalkes von Skalička	03	I	323
— Nachträge zur Fauna von Stramberg. I. Die Fauna des rothen Kalksteins (Nesselsdorfer Schichten)	03	II	418
Renard, A. F.: Notice préliminaire sur la météorite de Lesves	1900	I	357
— Recherches sur le mode de formation des météorites pierreuses (chondrites)	1900	II	205
— Recherches sur le mode de structure des météorites chondritiques. Universalité des phénomènes du metamorphisme méchanique	1900	II	205
Renard, A. F. und F. Stöber: Notions de minéralogie	1900	I	161
	CBl	1900	192
Renault, B.: Fructifications des Macrostachya	1900	II	166
— Notice sur les Calamariées	1900	II	324
— Bassin houiller et permien d'Autun et d'Epinac. Fasc. IV. Flore fossile	02	II	164
— Plantes fossiles miocènes d'Advent Bay (Spitzberg)	02	II	318
Renevier, E.: Chronographe géologique. 12 tableaux en couleurs avec texte explicatif	1900	I	265
— Resumé du chronographe géologique	1900	I	265
— L'axe anticlinal de la molasse aux environs de Lausanne	03	II	112
Renz, C.: Der Jura von Daghestan	*04*	*II*	*71*
— Neue Beiträge zur Geologie der Insel Corfu	04	II	430
— *Ueber neue Vorkommen von Trias in Griechenland und von Lias in Albanien*	*CBl*	*1904*	*257*
Repelin, J.: Sur le Jurassique de la Chaîne de la Nerthe et de l'Étoile	1900	II	113
— Note sur l'Aptien supérieur des environs de Marseille	01	I	468

	Jahrg.	Bd.	Seite
Repossi, E.: Il Mixosauro degli strati triassici di Besano in Lombardia	1904	I	139
Reuber, O.: Die Basalte südlich von Homberg a. d. Efze bis zum Knüllgebirge	*BB XIX*		*503*
Reusch, H. und C. F. Kolderup: Fjeldbygningen og bergarterne ved Bergen	04	I	391
Révil, J. siehe Kilian, W. et J. Révil.			
Reynolds, S. H., siehe Gardiner, C. J. und S. H. Reynolds.			
— siehe Morgan, C. L. and S. H. Reynolds.			
Rheineck, H.: Formulirung des Turmalins	1900	II	26
Riaz, A. de: Description des Ammonites des couches à Peltoceras transversarium (Oxfordien supérieur) de Trept (Isère)	1900	II	150
— Contribution à l'étude du système crétacé dans les Alpes maritimes	02	I	279
Ricci, A.: Mammiferi postpliocenici di Kurgan in Siberia	03	I	324
— L'Elephas primigenius Blum. nel Post Pliocene della Toscana . . . . . 1903 I 348 1903 I 349	03	II	288
— L'Elephas primigenius della Dobrogea, Rumania	03	I	348
— L'Elephas trogontherii Pohlig di Montecatini in Val di Nievole	03	I	349
Riccò, A.: Riassunto della sismografia del terremoto del 16 novembre 1894. Parte I a: Intensità, linee isosismiche, registrazioni strumentali	01	I	213
— Riassunto della u. s. w. Parte II: Oggetti lanciati a distanza, velocità di propagazione, profondita dell' ipocentro, repliche, confronto col terremoto del 1783	01	I	213
Riccò, A. e L. Franco: Stabilità del suolo all' Osservatorio Etneo	02	I	210
Richards, J. W.: Mohawkite	02	II	17
Richards, Th. W.: Notiz über die Anwendung der Phasenregel auf die Schmelzpunkte von Kupfer, Silber und Gold	03	II	318
Richardson, G. B., siehe Brooks, A. H. etc.			
Richarz, F. und O. Krigar-Menzel: Bemerkungen zu dem auf dem internationalen Physiker-Congress zu Paris von C. V. Boys über die Gravitationsconstante und die mittlere Dichtigkeit der Erde erstatteten Bericht	04	I	365
Riche Preller, Ch. S. du: On Pliocene Glacio-Fluviatile Conglomerates in Subalpine France and Switzerland	03	I	309
Richlý, H.: Ueber zwei neuentdeckte Fundstätten von Moldaviten (Tektiten) bei Neuhaus—Wittingau	02	I	41
Richter, A.: Ueber einen angeblichen Meteoritenfall bei Weliki Ustjug im Gouvernement Wologda	02	I	42
— Ueber den Meteoriten von Borgå	02	I	42
Richter, E.: Die Grenzen der Geographie	02	I	198
— Gebirgshebung und Thalbildung	02	I	198
— Rapport de la commission internationale des glaciers	02	I	383
— Les variations périodiques des glaciers	02	I	384
— *Der Staubfall vom 11. März und die Gletscherforschung*	*CBl 1901*		*662*
— siehe Penck, A. und E. Richter.			
Richter, O.: Ein Beitrag zur Kenntniss des Magnesium-Ammonium-Phosphates $Mg(NH_4)PO_4 + 6H_2O$	02	II	29
— Mikrochemischer Nachweis des Kobalts als Ammonium-Kobaltphosphat	02	II	176

	Jahrg.	Bd.	Seite
Richthofen, F. v.: Ueber Gestalt und Gliederung einer Grundlinie in der Morphologie Ost-Asiens	1903	I	490
Rickard, T. A.: Die Gänge von Cripple Creek	04	II	231
Rickmers, W.: Die goldhaltigen Conglomerate von Bokhara	01	I	180
Riedel, O.: Ueber Gletschertöpfe im Bitterfelder Kohlenrevier	04	I	278
Ries, Al.: Pfahl und Pfahlschiefer im bayerischen Walde	*CBl 1903*		*186*
Ries, H.: Die Vorkommen von Töpferthon in den Vereinigten Staaten	04	II	238
Riggs, E. S.: On the Skull of Amphictis	01	II	469
— The Dinosaur beds of the Grand River Valley of Colorado	02	II	432
— The fore leg and pectoral girdle of Morosaurus. With a note on the genus Camarosaurus	02	II	478
— The Mylagaulidae, an extinct family of Sciuromorph Rodents	03	I	354
— Structure and relationships of epistocoelian Dinosaurs. Pt. I: Apatosaurus Marsh	04	II	320
Rimatori, C.: Sulle Cabasiti di Sardegna e della granulite di Striegau nella Slesia	01	II	356
— Dati analitici su alcuni campioni di manganese di Sardegna 1902 II 343	03	II	383
— La Prehnite ed altre zeoliti nelle granuliti di Cala Francese	03	I	194
— La galena bismutifera di Rosas (Sulcis) e blende di diverse località di Sardegna	04	I	341
— Su alcune blende di Sardegna	04	II	169
— Il Fahlerz nella miniera di Palmavexi (Sardegna)	04	II	350
Ringer, W. E.: Mischkrystalle von Schwefel und Selen	03	II	12
Rinne, F.: Notiz über Rubin und Chromverbindungen	*1900*	*I*	*168*
— *Ueber den Einfluss des Eisengehaltes auf die Modificationsänderung des Boracits*	*1900*	*II*	*108*
— Skizzen zur Geologie der Minahassa in Nord-Celebes	1901	II	262. 392
— Beitrag zur Petrographie der Minahassa in Nord-Celebes	01	II	393
— Ein natürliches Faltungspräparat	02	II	56
— *Beitrag zur Kenntniss der Umformung von Kalkspathkrystallen und von Marmor unter allseitigem Druck*	*03*	*I*	*160*
— Notiz über Sattel- und Muldengänge in Handstücken von Quarzit aus Griqualand, Süd-Afrika	03	I	256
— Kupferreiche Sande im Malaguit-Gebiet bei Paracale, Luzon	03	II	384
— *Plastische Umformung von Steinsalz und Sylvin unter allseitigem Druck*	*04*	*I*	*114*
— Ueber eine Magneteisenerzlagerstätte bei Paracale in Nord-Camarines auf Luzon	04	I	234
— *Bemerkung über die Polarisationswirkung von Linsenrändern*	*CBl 1900*		*88*
— Das Mikroskop im chemischen Laboratorium	CBl 1901		19
— *Kupferuranit und seine Entwässerungsprodukte: Metakupferuranit*	*CBl 1901*		*618*
— *Notiz über die Bestimmung des Charakters der Doppelbrechung im convergenten, polarisirten Lichte mit Hülfe des Gypsblättchens vom Roth 1. Ordnung*	*CBl 1901*		*653*
— *Kalkuranit und seine Entwässerungsprodukte: Metakalkuranite*	*CBl 1901*		*709*
— *Flüssige Luft als Erkaltungsmittel bei krystallographischen Untersuchungen*	*CBl 1902*	*11.*	*402*
— *Chalmersit*	*CBl 1902*		*207*

	Jahrg.	Bd.	Seite
Rinne, F.: Gesteinskunde für Techniker, Bergingenieure und Studirende der Naturwissenschaften	CBl	1902	239
— *Bemerkungen über die Druckfestigkeit einiger Quarz- und Feldspathwürfel sowie über die Zugfestigkeit von Glimmerstreifen*	*CBl*	*1902*	*262*
— *Ueber das Verschwinden und Wiedererscheinen des Magnetismus beim Erhitzen und Abkühlen von Magneteisenerz*	*CBl*	*1902*	*294*
— *Bemerkung über die Methode der optischen Untersuchung von Krystallen in kalten Flüssigkeiten*	*CBl*	*1903*	*11. 402*
— *Koenenit*	*CBl*	*1902*	*493*
— *Arsensulfurit*	*CBl*	*1902*	*499*
— *Die Lockerung des Krystallgebäudes von Zeolithen unter dem Einfluss von Salzsäure*	*CBl*	*1902*	*594*
— *Verwandtschaft von Bromradium und Brombaryum in krystallographischer Hinsicht*	*CBl*	*1903*	*134*
— *Pleochroismus des grünen Mikroklins*	*CBl*	*1903*	*450*
— *Richtungsverschiedenheiten bezüglich der Löslichkeit von Gipsspaltblättchen*	*CBl*	*1904*	*116*
— *Zur chemischen Reactionsfähigkeit von Quarz*	*CBl*	*1904*	*333*
— *Le microscope polarisant, guide pratique pour les études élémentaires de cristallographie et d'optique, traduit et adapté aux notations françaises par L. Pervinquière, avec une préface de M. A. de Lapparent*	*CBl*	*1904*	*507*
Rippas, P.: Bericht über geologische Untersuchungen an der Eisenbahnstrecke Moskau—Briansk	1903	II	249
— Bericht über geologische Untersuchungen in den Forstbezirken des Gouvernements Tula	03	II	249
Ristori, G.: L'Orso pliocenico di Valdarno e d'Olivola in Val di Magra	1900	II	141
— Le formazioni ofiolitiche del Poggio dei Leccioni (Serrazzano) ed il filone fra Gabbro-Rosso e Serpentina presso il torrente Sancherino	02	II	58
Ritter, E.: La bordure S.—W. du Mont Blanc. Les plis couches du Mont Joly etc.	1900	I	255
— siehe Duparc, L. et E. Ritter.			
Riva, C.: Sopra la formazione diabasica e sopra alcuni minerali di Rosas nel Sulcis (Sardegna)	1900	I	28
— Escursioni nel Caucaso e nell' Armenia in occasione del congresso geologico internazionale di Pietroburgo	1900	I	230
— Ueber einige Mineralien von Rosas (Sardinien)	1900	II	364
— I Feldispati del Granito di Cala Francese (Isola della Maddalena, Sardegna) e alcuni minerali chè li accompagnono	02	I	346
— Sopra due Sanidiniti delle Isole Flegree con alcuni considerazioni intorno all' impiego dei liquidi a noto indice di rifrazione per la determinazione dei minerali componenti	02	I	348
— Ueber die Brechungsexponenten des Anorthoklas von Portoscuso (Sardinien)	02	I	349
— Sul metamorfismo subito dai gneiss a contatto coi porfidi quarziferi nelle vicinanze di Porto Ceresio (Lago di Lugano)	02	I	407
— *Nekrolog*	*CBl*	*1902*	*673*
— siehe Lorenzo, G. de e C. Riva.			
Rivière, E.: Les tufs de la Gaubert (Dordogne)	1900	II	490

	Jahrg.	Bd.	Seite
Robinson, H. H.: On Octahedrite and Brookite, from Brindletown, North Carolina	1903	I	21
— siehe Pirsson, L. V. and H. H. Robinson.			
Roccati, A.: Ricerche mineralogiche sulla sabbia della Grotta del Bandito in Val del Gesso (Cuneo)	1902 I 18	03	I 251
Roemer, F. und Fr. Frech: Lethaea geognostica oder Beschreibung und Abbildung der für die Gebirgsformationen bezeichnendsten Versteinerungen. I. Theil. Lethaea palaeozoica. 1. Bd. 3. Liefg.		01	I 328
Rördam, K. og C. Bartholin: Om forekomsten af juraforsteninger i löse blokke i moraeneler ved Kjöbenhavn	1900	I	296
Rörig, A.: Ueber den gegenwärtigen Stand unserer Kenntniss der Cerviden, sowie deren Geweihentwickelung und Geweihbildung		03	II 423
Rösler, H.: Ueber Hussakit (Xenotim) und einige andere seltene gesteinsbildende Mineralien		03	II 178
— *Beiträge zur Kenntniss einiger Kaolinlagerstätten*		*BB*	*XV 231*
Roger, O.: Wirbelthierreste aus dem Dinotherium-Sande der bayerisch schwäbischen Hochebene	1901 I 498	04	II 140
Rogers, A. F.: Sphalerite Crystals of a peculiar habit and with one new form, from Galena, Kansas		01	II 11
— New Bryozoans from the Coal Measures of Kansas and Missouri		01	II 157
— Mineralogical Notes		01	II 365
— A list of minerals arranged according to the thirty-two crystal classes		02	II 2
— A list of the crystal forms of calcite, with their interfacial angles		02	II 21
— Mineralogical notes (krystallographische Mittheilungen über Kalkspath, Bleiglanz, Schwefelkies, Topas, Leadhillit, Linarit, Caledonit, Schwerspath u. Cölestin)		02	II 204
— Minerals observed on buried Chinese Coins of the Seventh Century		04	I 330
— Mineralogical Notes (krystallographische Mittheilungen über Gyps, Schwerspath, Anglesit, Weissbleierz, Vesuvian, Kalkspath, Dolomit, Schwefelkies u. Quarz)		04	II 34
— siehe Moses, A. J. and A. F. Rogers.			
Rogers, A. W.: On a glacial conglomerate in the Table Mountain Sandstone		04	I 428
Rogers, A. W. and E. H. L. Schwarz: The Orange River Ground Moraine		03	II 261
Rohland, P.: Ueber die Plasticität der Thone		03	I 389
Rohon, J. V.: Die devonischen Fische vom Timan in Russland		02	II 304
Rollier, L.: Sur l'âge des calcaires à Helix sylvana		03	I 307
— Sur l'âge du Conglomérat subalpin ou Nagelfluh de la Suisse	1903 I 512	04	I 100
— Le Calcaire grossier du Randen et l'Helvétien dans le Nord de la Suisse		03	II 113
— *Vorläufige Notiz über das Alter des Sylvanakalkes.*		*CBl*	*1900 89*
— *Ueber das Verhältnis von Helvétien zum Randengrobkalk in der Nordschweiz*		*CBl*	*1903 477*
Roman, F.: Recherches stratigraphiques et paléontologiques dans le Bas-Languedoc	1900	I	95
— Monographie de la faune lacustre de l'Eocène moyen	1900	I	131
— Contribution à l'étude des bassins lacustres de l'Éocène et de l'Oligocène du Languedoc		04	II 433

	Jahrg.	Bd.	Seite
Roman, F., siehe Depéret, Ch. et F. Roman.			
Romanowsky, E. O.: Arzruniana	1900	I	325
— Nephritlagerstätten in Cisbaikalien	1900	I	389
Romberg, J.: Vorarbeiten zur geologisch-petrographischen Untersuchung des Gebietes von Predazzo (Südtirol) 1903 I 415	03	II	68
— Geologisch-petrographische Studien im Gebiete von Predazzo, I. und II.	03	II	68
— Geologisch-petrographische Studien in den Gebieten von Predazzo und Monzoni. III.	04	II	210
— Zur Richtigstellung (betr. Ippen: Ueber den Allochetit vom Monzoni)	04	II	211
— Ueber die Altersbeziehungen der Eruptivgesteine im Fassa- und Fleims-Thale	04	II	213
— *Entgegnung (zu M. Weber: Beiträge zur Kenntniss des Monzonigebietes)*	*CBl*	*1902*	*13*
— *Schlusswort*	*CBl*	*1902*	*139*
— *Zur Abwehr (gegen Ippen: Ueber dioritporphyritische Gesteine, und: Ueber einen Alkalisyenit von Malga Gardone, Predazzo)*	*CBl*	*1903*	*497*
— *Ueber Melaphyr und Camptonit aus dem Monzonigebiete*	*CBl*	*1904*	*275*
Rompel, J.: Ueber die Moose aus der Culturschicht von Schussenried	02	I	329
Roozeboom, H. W. Bakhuis, siehe Bakhuis-Roozeboom, H. W.			
Rosati, A.: Le rocce vulcaniche dei dintorni di Pachino (Sicilia)	02	II	59
— Studio microscopico e chimico delle rocce vulcaniche dei dintorni di Vizzini	03	I	254
— Rocce a glaucofane di Val d'Ala nelle Alpi occidentali	04	I	389
Rosenbusch, H.: Zur Deutung der Glaukophangesteine	1900	I	48
— Ueber Euktolith, ein neues Glied der theralithischen Effusivmagmen	1900	II	216
— Studien im Gneissgebirge des Schwarzwaldes (Rench- und Schapbachgneisse; Pelitgneiss vom Bahnhof Waldkirch; graphitführende Hornfelsgneisse vom Blatt Zell a. H.)	01	I	57
— Aus der Geologie von Heidelberg	01	II	420
— Studien im Gneissgebirge des Schwarzwaldes. II. Die Kalksilicatfelse im Rench- und Kinzigit-Gneiss	03	I	231
Rosenhain, W., siehe Erving, J. A. und W. Rosenhain.			
Rosenheim, O.: Some observations on the fluorescence and phosphorescence of diamonds, and their influence on the photographic plate	03	II	168
Rosenthal, L.: Ueber den Chemismus bei der Braunkohlenbriquettirung	01	II	83
Rosický, V.: Ueber zwei Minetten und den Granit aus der Umgebung von Eule	03	I	413
— Ueber den böhmischen Anthophyllit	03	II	23
— Beitrag zur Morphologie des Pyrits von Porkura	04	II	13
— Ueber den Basalt von der Burg Trosky	04	II	387
Roth, K., siehe Kahlbaum, G. W. A. etc.			
Roth, Santiago: Einige Bemerkungen über Herrn Ameghino's „Sinopsis Geologico y Paleontologica“	1900	I	224
— Descripcion de los restos encontrados en la caverna de Ultima Esperanza	01	II	309

	Jahrg.	Bd.	Seite
Roth, Santiago: Aviso preliminar sobre mamíferos mesozóicos encontrados en Patagonia	1901	II	469
— Catalogo de los mamíferos fosiles conservados en el Museo de la Plata. Grupo Ungulata. Orden Toxodontia	02	I	130
— Apuntes sobre la geologia y la paleontologia de los territorios del Rio Negro y Neuquen	1902	I	303. 433
— Some Remarks on the latest publications of Fl. Ameghino	03	II	131
— Notas sobre algunos nuevos mamíferos fósiles	03	II	292
— Nuevos restos de mamíferos de la caverna Eberhardt en Ultima Esperanza	04	I	121
— La découverte du gisement de la Piedra Pintada	04	I	429
Roth, Santiago, F. Kurtz und C. Burckhardt: Le Lias de la Piedra Pintada (Neuquen)	04	I	429
Rothpletz, A.: Ueber die Flysch-Fucoiden und einige andere fossile Algen, sowie über liasische, diatomeenführende Hornschwämme	1900	I	150
— Geologische Excursion auf die Seisser Alp und den Schlern. (Erläuterungen und Bericht.)	02	I	425
— Ueber den Ursprung der Thermalquellen von St. Moriz	03	II	350
— Ueber die Jodquelle bei Tölz	03	II	395
— *Antwort auf den offenen Brief des Herrn Dr. Tarnuzzer CBl 1901 353*	CBl	1902	115
— Geologische Alpenforschungen. I. Das Grenzgebiet zwischen den Ost- und Westalpen und die rhätische Ueberschiebung	CBl	1902	114
— Ueber den Rhätikon und die grosse rhätische Ueberschiebung	CBl	1902	115
— siehe Tarnuzzer, Chr.			
Rouvillé, de: Le Bartonien sur la feuille de Montpellier	01	II	446
Rouyer, C. siehe Lemoine, P. et C. Rouyer.			
Rovereto, G.: Note preventive sui pelecipodi del Tongriano ligure	1900	II	314
— Note preliminarie sui pelecipodi del tongriano ligure. Parte II und III	1900	II	482
— Serpulidae del terziario e del quaternario in Italia	02	I	320
Rovereto, S.: Diabasi e serpentine terziarie nella Liguria occidentale	1900	I	218
Rowe, A. W.: An Analysis of the Genus Micraster, as determined by rigid zonal collecting from the zone of Rhynchonella Cuvieri to that of Micraster coranguinum	01	I	515
Roy, O. E. Le, siehe Le Roy, O. E.			
Rudolph, E.: Ueber submarine Erdbeben und Eruptionen. Zweiter Beitrag	1900 I 371	01	I 383
Rudzki, M. P.: Deformationen der Erde unter der Last des Inlandeises	1900	II	208
— Ueber die scheinbare Geschwindigkeit der Verbreitung der Erdbeben. I. Studie aus der Theorie der Erdbeben	1900	II	371
— Von der Gestalt elastischer Wellen in Gesteinen. II. Studie aus der Theorie der Erdbeben	1900	II	371
— Weitere Untersuchungen über die Deformationen der Erde unter der Last des Inlandeises	01	I	383
— Ueber die Gestalt elastischer Wellen in Gesteinen. — IV. Studie aus der Theorie der Erdbeben	01	I	384
— Sur la nature des vibrations sismiques	01	I	385
— Sur l'âge de la terre	03	I	41

	Jahrg.	Bd.	Seite
Rüdemann, R.: Hudson river beds near Albany and their taxonomic equivalents	1901	II	434
— The Graptolite (Levis) Facies of the Beekmantown Formation in Rensselaer County, N. Y.	03	I	115
— Trenton conglomerate of Rysedorph Hill, Rensselaer Co., N. Y. and its fauna	03	I	116
— Discovery of a sessile Conularia	03	I	537
— Prof. JAEKEL's theses on the mode of existence of Orthoceras and other cephalopods	03	II	298
— NOETLING on the morpholo gy of the pelecypods	03	II	300
— The cambric Dictyonema-Fauna in the slate belt of Eastern New York	04	II	96
— siehe Clarke, J. und R. Rüdemann.			
Rüetschi, G.: Zur Kenntniss des Rofna-Gesteines, ein Beitrag zur Gesteinsmetamorphose	04	II	387
Rümpler, A.: Vorläufige Mittheilung über eine Methode zur Erzielung von Krystallen aus schwerkrystallisirenden Stoffen	02	II	177
Ruff, O.: Ueber das Eisenoxyd und seine Hydrate	02	II	345
Rupelin, J.: Observations au sujet du mémoire de M MICHALET sur le Cénomanien des environs de Toulon et ses échinides	03	II	408
Russell, J. C.: Volcanoes of North America. A Reading Lesson for Students of Geography and Geology	CBl	1900	163
Rutley, F.: On a Small Section of Felsitic Lavas and Tuffs near Conway (Caernarvonshire)	01	I	74
— Additional Notes on some Eruptive Rocks from New Zealand	01	II	70
— On some Tufaceous Rhyolitic Rocks from Dufton Pike (Westmoreland)	02	II	64
— On an Altered Siliceous Sinter from Built (Brecknockshire)	04	I	222
— siehe Park, J. and F. Rutley.			
Rutot, A.: Nouvelles observations géologiques faites le long du nouveau canal de Bruges	01	I	456
— Sur la cote de contact des étages bruxellien et yprésien sous Bruxelles	01	I	456
— Première note sur la faune des couches sénoniennes inférieures de la vallée de Méhaigne	02	I	128
— Observations nouvelles sur le sous-sol profond de Bruges 1902 I 456	03	I	510
— Sur la découverte d'une flore fossile dans le Montien du Hainaut	02	II	440
— Nouvelles observations sur le Flandrien	03	II	272
— Quelques découvertes paléontologiques nouvelles	04	I	120
Ryba, Fr.: Ueber einen Calamarien-Fruchtstand aus dem Stiletzer Steinkohlenbecken	04	II	474
— Ueber ein neues Megaphytum aus dem Miröschauer Steinkohlenbecken	04	II	474
— siehe Hofmann, A. und F. Ryba.			
Rydberg, J. R.: Die Härte der einfachen Körper	02	I	161
Rzehak, A.: Ueber die Herkunft der Moldavite	1900	I	362
— Beitrag zur Kenntniss der Fauna der Congerienschichten von Leobersdorf	03	I	131
— Das Porcellanitvorkommen von Medlowitz bei Gaya in Mähren und die Verbreitung der Congerienschichten am Südabhange des Marsgebirges	03	I	243

	Jahrg.	Bd.	Seite
Rzehak, A.: Barytführende Septarien im Alttertiär der Umgebung von Saybusch in Westgalizien 1904 I 176	1904	II	382
-- Neue Entdeckungen im Gebiete des mährischen Miocäns	04	I	275

S.

Sabatini, V.: Relazione sul lavoro eseguito nel triennio 1896—97—98 sui vulcani dell' Italia centrale ed i loro prodotti . . . . . 1900 II 217			
— Sopra alcune roccie della Colonia Eritrea. III. Roccie trachitoidi	01	I	67
— Osservazioni sulla profondità dei focolari vulcanici . .	02	II	372
-- Il terremoto di Mignano (giugno—luglio 1902)	03	II	49
— siehe Stefano, G. di e V. Sabatini.			
Sacco, F.: Novità malacologiche . . . . . 1900 II 131	02	II	309
-- La Valle Padana. Schema geologico	01	II	428
-- Essai d'une classification générale des roches	02	I	389
— Sur les couches à Orbitoïdes du Piemont	02	II	438
— Sull' età di alcuni terreni terziari dell' Appennino . .	03	I	129
— Sul valore stratigrafico delle grandi lucine dell' Appennino	04	I	314
— I molluschi dei terreni terziarii del Piemonte e della Liguria	04	II	315
Sachs, A.: Der Anapaït, ein neues Kalkeisenphosphat von Anapa am Schwarzen Meere	02	II	200
— Beiträge zur Kenntnis des Langbeinits und zur Auffassung der Tetartoëdrie im regulären System . . .	03	I	37
— Ueber die Krystallform des Rothnickelkieses	03	I	375
Ueber neue Kalkspathformen von Tharandt in Sachsen	03	II	327
— Ueber Anpassungserscheinungen bei Karlsbader und Bavenoer Verwachsungen des Kalifeldspathes . . .	04	I	21
-- Ueber die Beziehungen des Rubidiums zum Kalium einerseits und zum Cäsium andererseits nach krystallographischen Untersuchungen an neuen Uranyldoppelsalzen dieser Metalle	04	II	167
— Die Krystallform des Indiums und seine Stellung im periodischen System	04	II	168
— *Der „Weissstein" des Jordansmühler Nephritvorkommens*	*CBl 1902*		*385*
— *Apatit von Grube Prinzenstein bei St. Goar, Rheinpreussen*	*CBl 1903*		*420*
— *Kalinatronglimmer als Drusenmineral in Striegau* . .	*CBl 1903*		*422*
— *Die Bildung der oberschlesischen Erzlagerstätten* . .	*CBl 1904*		*40*
— *Die chemische Zusammensetzung des Gismondins nach einem neuen schlesischen Vorkommen dieses Minerales im Basalte von Nicolstadt bei Liegnitz*	*CBl 1904*		*215*
— *Ueber ein Vorkommen von Jordanit in den oberschlesischen Erzlagerstätten*	*CBl 1904*		*723*
Sadakoff, K.: Les mines, carrières, eaux minérales et thermales de Bulgarie. Monographie de la mine de lignite de l'état à Pernik	02	I	82
Sahlbom, N., siehe Andersson J. G. und N. Sahlbom.			
Salisbury, R. D.: Salient Points concerning the glacial Geology of North Greenland II 1900	I	294	
Salle, E.: Il caolino dei dintorni della Spezia	02	I	173
— Del calcare nummulitico della Poggia, località nei Monti livornesi . . . . . 1903 I 129	03	I	476

	Jahrg.	Bd.	Seite
Salmojraghi, F.: Contributo alla limnologia del Sebino con un abbozo di carta batometrica	1900	I	127
— Esiste la „bauxite“ in Calabria?	01	II	15
— Steatite nella dolomia principale del Monte Bogno	02	I	352
— Il pozzo detto glaciale di Tavernola Bergamasca sul Lago d'Iseo 1903 I 133	03	I	310
Salomon, W.: Ueber eine neue Bildungsweise der dritten Modification des Schwefels	1900	I	3
— Neue Beobachtungen aus den Gebieten des Adamello und des St. Gotthard	1900	I	51
— Ueber das Alter des Asta-Granites	1900	I	51
— *Die Krystallformen des Methyläthers des Dibrom-p-oxy-Mesitylalkohols und des p-p-Dimethylbenzoins*	*1900*	*I*	*95*
— Bemerkung zu meiner Notiz: Ueber eine neue Bildungsweise der dritten Modification des Schwefels	1900	I	336
— Bemerkungen zu der CATHREIN'schen Arbeit: Dioritische Gang- und Stockgesteine aus dem Pusterthal	1900	I	382
— *Können Gletscher in anstehendem Fels Kare, Seebecken und Thäler erodiren?*	*1900*	*II*	*117*
— Neue Bemerkungen zu den von A. CATHREIN gegen mich gerichteten Angriffen	02	I	64
— Ueber neue geologische Aufnahmen in der östlichen Hälfte der Adamello-Gruppe	02	I	65
— Muschelkalk und Lias am Katzenbuckel. 1903 I 472	*CBl 1902*		*651*
— Ueber eine eigenthümliche Grabenversenkung bei Eberbach im Odenwalde	03	I	473
— Ueber die Lagerungsform und das Alter des Adamello-Tonalites	04	I	68
— *Die Familienzugehörigkeit der Pleuronectiten*	*CBl 1902*		*19*
Salter, A. E.: On the Occurrence of Pebbles of Schorl-Rock from the Southwest of England in the Drift-Deposits of Southern and Eastern England	01	II	455
Sam, T. B. F.: On the origin of the auriferous conglomerates of the Gold Coast Colony (West-Africa)	1900	I	241
Samojloff, J.: Beresowit	1900	I	195
— Turjit und die ihn begleitenden Mineralien aus der Uspenskij-Grube im südlichen Ural	01	II	177
— Béresowite, un nouveau minéral de Béreosowsk en Oural	01	II	200
— Ueber den Berësowit, ein neues Mineral von Berësowsk im Ural	01	II	200
— Die Schlammvulcane von Jenikale	01	II	209
— Zur Frage über die Lagerstätten und die Paragenesis der Eisenerze Centralrusslands	01	II	407
— Ueber Hydrogoethit, ein bestimmtes Eisenoxydhydrat	02	II	346
— Carbonate aus den Bakal'schen Gruben im südlichen Ural	02	II	347
— Ueber Baryte einiger russischer Lagerstätten	02	II	355
— Zur Mineralogie der Erzlagerstätte von Bakal im südlichen Ural	02	II	366
— Materialien zur Krystallographie des Baryts	03	I	397
— Calamin aus Transbaikalien	03	II	176
— Cölestin von der Insel Nikolai I (Aral-See)	03	II	182
— Labrador und Kaolin aus dem Kreise Jelisawetgrad, Gouv. Cherson	04	II	21
— Ueber Abreissungsfiguren auf Calcit	04	II	175
— Die Turjiterze Russlands	04	II	416

	Jahrg.	Bd.	Seite
Sandberger, F. v.: Gedächtnisrede gehalten in der Festsitzung der Physikal.-med. Gesellsch. zu Würzburg am 24. Nov. 1898 von J. Beckenkamp	1900	I	4
Sangiorgi, D.: Fossili tortoniani dell' alta valle dell' Idice	1900	II	440
— Fossili pliocenici raccolti nei colli fiancheggianti il Santerno	02	I	121
Sapper, C.: Ueber die Infiernillos von Chinameca	1900	I	41
— Das nicaraguanische Erdbeben vom 29. April 1898 und die Maribios-Vulcane	01	II	208
— Der Vulcan Las Pilas in Nicaragua	02	I	210
— Die südlichsten Vulcane Mittel-Amerikas	02	II	371
— *Die vulcanischen Ereignisse in Mittelamerika im Jahre 1902*	*04*	*I*	*39*
— *Die vulkanischen Kleinen Antillen und die Ausbrüche der Jahre 1902 und 1903*	*04*	*II*	*1*
— *Der Ausbruch des Vulkans Santa Maria in Guatemala (Oktober 1902)*	*CBl*	*1903*	*33. 65*
— *Weitere Mitteilungen über den Ausbruch des Vulkans Sta. Maria in Guatemala*	*CBl*	*1903*	*71*
— *Die jüngsten Ereignisse am Vulkan Izalco (Salvador)*	*CBl*	*1903*	*103*
— *Ein Besuch der Insel Grenada*	*CBl*	*1903*	*182*
— *Bericht über einen Besuch von St. Vincent*	*CBl*	*1903*	*248*
— *Zur Kenntniss der Insel S. Lucia in Westindien*	*CBl*	*1903*	*273*
— *Ein Besuch der Insel Montserrat (Westindien)*	*CBl*	*1903*	*279*
— *Ein Besuch der Inseln Nevis und S. Kitts (S. Christopher)*	*CBl*	*1903*	*284*
— *Ein Besuch von Dominica*	*CBl*	*1903*	*305*
— *Ein Besuch von S. Eustatius und Saba*	*CBl*	*1903*	*314*
— *Ein Besuch von Guadeloupe*	*CBl*	*1903*	*319*
— *Ein Besuch von Martinique*	*CBl*	*1903*	*337*
— *Der Krater der Soufrière von St. Vincent*	*CBl*	*1903*	*369*
— *Neuere vulcanische Ereignisse in Mittelamerika*	*CBl*	*1904*	*449*
— siehe Bergeat, A.			
Sarasin, Ch: Les formations infracrétaciques de la chaîne Pléiades-Corbettes-Niremont	03	II	405
Sarasin, Ch. et Ch. Schöndelmayer: Étude monographique des Ammonites du Crétacique inférieur de Châtel-St. Denis	03	I	333
— — Étude monographique des Ammonites du Crétacique inférieur de Châtel Saint-Denis. II partie	04	I	145
Sarasin, P. und F.: Ueber die geologische Geschichte der Insel Celebes auf Grund der Thierverbreitung	02	II	424
— — Entwurf einer geographisch-geologischen Beschreibung der Insel Celebes	02	II	426
— — Ueber die muthmasslichen Ursachen der Eiszeit	02	II	443
— — siehe Schmidt, C.			
Sarauw, G. F. L.: Lyngheden i Oldtiden: Iagtagelser fra gravhöje	01	I	138
Sardeson, F. W., siehe Hall, C. W. and F. W. Sardeson.			
Sarle, C. J.: A new Eurypterid fauna from the base of the Saline of Western New York	04	II	98
Sauer, A.: Geologische Specialkarte des Grossherzogthums Baden. Blatt Hornberg-Schiltach, Blatt Triberg	1900	I	419
— Geologische Beobachtungen im Aarmassiv	01	II	227
— Granat als authigener Gemengtheil im bunten Keuper	02	I	57
— Excursion nach dem Kesselberg und Triberg	02	II	228

	Jahrg.	Bd.	Seite
Sauer, A.: Geologische Specialkarte des Grossherzogthums Baden. Herausgegeben von der Grossh. bad. geol. Landesanst. Blatt Dürrheim. No. 111	1903	I	464
— Petrographische Studien an den Lavabomben aus dem Ries	04	I	408
Sauer, J.: Das Rossitzer Kohlenrevier	03	II	387
Saunders, A. P., siehe Hoff, J. H. van't und Mitarbeiter.			
Sauvage, H. E.: Les reptiles et les poissons des terrains mésozoiques du Portugal	03	I	325
— Recherches sur les vertébrés du Kimméridgien supérieur de Fumel (Lot-et-Garonne)	04	I	281
— Les pycnodontes du Jurassique supérieur du Boulonnais	04	II	303
Sayn, G.: Les ammonites pyriteuses des marnes valangiennes du sud-est de la France	03	II	446
Saytzeff, A., Ueber die Goldlagerstätte des Atschinsk-Minuseinskischen Kreises in Sibirien	*CBl*	*1901*	*136*
Scacchi, E.: Ulteriori osservazioni sui cristalli di Hauerite di Sicilia	1900	II	176
Schacko, G., siehe Geinitz, E. und G. Schacko.			
Schäfer, C.: Ueber den Einfluss der Temperatur auf die Elasticität der Metalle	03	II	164
Schäfer, Fr.: Pholodomya Fuchsi, ein neues charakteristisches Fossil aus mediterranen Tiefseebildungen	1900	II	482
Schafarzik, F.: Ueber die geologischen Verhältnisse der südwestlichen Umgebung von Klopotiva und Malomviz	03	I	269
Schaffer, F.: Die Fauna des Dachschiefers von Mariathal bei Pressburg (Ungarn)	01	I	123
— Beiträge zur Parallelisirung der Miocänbildungen des piemontesischen Tertiärs mit denen des Wiener Beckens	01	II	447
— Zur Abgrenzung der ersten Mediterranstufe und zur Stellung des „Langhiano" im Piemontesischen Tertiärbecken	01	II	447
— Die Fauna des glaukonitischen Mergels vom Monte Brione bei Riva am Gardasee	03	I	130
— Geologische Studien im südöstlichen Kleinasien	03	I	291
Schalch, F.: Der braune Jura (Dogger) des Donau-Rheinzuges nach seiner Gliederung und Fossilführung	1900	II	111
— Erläuterungen zu Blatt Rappenau (No. 43). Geologische Spezialkarte des Grossherzogthums Baden	03	I	460
Schalch, F. und A. Gutzwiller: Zur Altersfrage des Randengrobkalkes und der Austernagelfluh	*CBl*	*1904*	*135*
Schall, C.: Zur Dampfdichte des Schwefels	01	II	7
Schaller, W. T.: Minerals from Leona Heights, Alameda County, California	04	II	37
— Spodumene from San Diego Co., California	04	II	354
— The tourmaline localities of Southern California	04	II	356
Schardt, H.: Die exotischen Gebiete, Klippen und Blöcke am Nordrande der Schweizer Alpen	1900	I	87
— Les régions exotiques du versant nord des Alpes suisses (Préalpes du Chablais et du Stockhorn et les Klippes). Leurs relations avec l'origine des blocs et brèches exotiques et la formation du flysch	1900	I	87
— Note sur des remplissages sidérolithiques dans une carrière sous Belle-Roche près Gibraltar (Neuchâtel)	01	I	124
— Compte rendu des excursions de la Société géologique suisse Juillet-Août 1899	01	I	261

	Jahrg.	Bd.	Seite
Schardt, H.: Notice sur l'origine des sources vauclusiennes du Mont-de-Chamblon	1901	I	394
— Sur un lambeau de calcaire cénomanien dans le Néocomien à Cressier	01	I	443
— Ueber die Recurrenzphase der Juragletscher nach dem Rückzug des Rhônegletschers	01	I	480
— Revue géologique suisse pour l'année 1898. No. XXIX	CBl	1900	393
Scharff, R. F.: Some Remarks on the Atlantis Problem	04	II	46
— The Exploration of the Caves of Kesh, County Sligo	04	II	292
Scharizer, Rud.: Beiträge zur Kenntniss der chemischen Constitution und der Genese der natürlichen Eisensulfate II	01	II	34
— Beiträge zur Kenntniss der chemischen Constitution und der Genese der natürlichen Eisensulfate. III	03	I	36
— Ueber das Werden und Vergehen im Reiche der Steine	04	II	50
— Beiträge zur Kenntniss der chemischen Constitution und der Paragenese der natürlichen Eisensulfate. IV.	04	II	191
— Lehrbuch der Mineralogie und Geologie für die oberen Classen der Gymnasien	CBl	1900	286
Schaum, K.: Ueber Bewegungserscheinungen sich auflösender Krystalle	1900	I	5
— Die Aenderungen des Gefrierpunktes. Anhang: Experimentelle Untersuchungen über die Umwandlung des Schwefels durch Erhitzen	1900	I	173
— Ueber hylotrop-isomere Körperformen	01	I	4
Schaum, K. und F. Schönbeck: Unterkühlung und Krystallisation von Schmelzflüssen polymorpher Stoffe	03	II	317
Scheel, K.: Die Wärmeausdehnung des Quarzes in Richtung der Hauptaxe	03	II	326
Scheibe, R.: Arsenikalkies aus dem Radau-Thal im Harz	*CBl*	*1900*	*119*
Schellwien, E.: Beiträge zur Systematik der Strophomeniden des oberen Palaeozoicum	*1900*	*I*	*1*
— Bericht über die Ergebnisse einer Reise in die Karnischen Alpen und die Karavanken	01	II	118
— Die Fauna der Trogkofelschichten in den Karnischen Alpen und den Karavanken. I. Brachiopoden	01	II	118
— Ueber Semionotus Ag.	01	II	477
Schenck, A.: Transvaal und Umgebungen	03	I	287
— Ueber den Geitsei gubib, einen porphyrischen Stratovulcan in Deutsch-Südwestafrika	03	II	46
— Ueber eine im vorigen Jahre in der Walfischbai neu entstandene und wieder verschwundene Insel	03	II	50
— Deutsch-Südwestafrika im Vergleich zum übrigen Südafrika	03	II	252
— Ueber die Kupfererzlagerstätte von Ookiep in Kleinnamaland	04	I	239
Schenck, R.: Untersuchungen über die krystallinischen Flüssigkeiten. III.	01	I	1
— Die beiden Arten der Dimorphie und ihre gegenseitigen Beziehungen	01	I	3
— Ueber eine Methode zur Ermittelung des Umwandlungspunktes monotrop-dimorpher Körper . 1901 I 3. 339	01	I	440
— Die Ergebnisse der bisherigen Untersuchungen über die flüssigen Krystalle	01	I	339
— Ueber den rothen Phosphor	03	I	10
— Ueber die Natur der flüssigen Krystalle	03	II	163

	Jahrg.	Bd.	Seite
Schenk, R.: Ueber die Dynamik der Krystalle	*CBl*	*1900*	*313*
Schenck, R. und F. Schneider: Untersuchungen über die krystallinischen Flüssigkeiten. IV.	1901	I	1
Schepotieff, A.: Ueber abnorme Berippung der dorsalen Schalen von Crania anomala O. F. M.	*CBl*	*1904*	*12*
Schepowalnikow, A.: Materialien zur Kenntnis der Erzlagerstätten der Datsche Tulomosersk im Gouvernement Olonez	03	I	262
Schilling, J.: Das Vorkommen der „seltenen Erden" im Mineralreich	CBl	1904	218
Schirmeisen, C.: Systematisches Verzeichniss mährisch-schlesischer Mineralien und ihrer Fundorte	04	I	176
— siehe Slavik, F.			
Schkljarewsky, V. A.: Zur Mineralogie des Omsk'schen Kreises	02	I	204
Schkljarewsky, A. (†): Schwefelkrystalle von Czarkow und von der Insel Tschelekenj	04	II	10
Schkljarewsky, A., siehe Vernadsky, W. u. A. Schkljarewsky.			
Schlechtendal, D. v.: Thuja occidentalis-thuringiaca	04	I	156
Schlegel, K.: Das Magneteisenerzlager vom Schwarzen Krux bei Schmiedefeld im Thüringer Wald	04	I	235
Schloesing, Th.: Recherches sur l'état de l'alumine dans des terres végétales	02	II	342
Schlosser, M.: Ueber neue Funde von Leptodon graecus Gaudry und die systematische Stellung dieses Säugethieres	1900	I	66
— Ueber die Bären und bärenähnlichen Formen des europäischen Tertiärs	1900	II	142
— Die Ausgrabungen im Dürrloch bei Schwaighausen nordwestlich von Regensburg	01	I	479
— Die Fauna des Lias und Dogger in Franken und der Oberpfalz	03	I	318
— Eine untermiocäne Fauna aus dem Teplitzer Braunkohlenbecken. Mit Bemerkungen von J. E. Hibsch: Ueber die Lagerungs- und Altersverhältnisse der Braunkohlengebilde im Teplitzer Becken 1904 I 101	04	I	286
— Zur Kenntnis der Säugethierfauna der böhmischen Braunkohlenformation	04	I	286
— Nachtrag zur Säugethierfauna der böhmischen Braunkohlenformation	04	I	286
— *Notizen über einige Säugetierfaunen aus dem Miocän von Württemberg und Bayern*	*BB*	*XIX*	*485*
— *Ursus oder Ursavus oder Hyaenarctos?*	*CBl*	*1900*	*261*
— *Erwiderung gegen A. Gaudry*	*CBl*	*1901*	*135*
— *Die fossilen Säugethiere Chinas*	*CBl*	*1902*	*529*
— *Ueber Tullberg's System der Nagethiere nebst Bemerkungen über die fossilen Nager und die während des Tertiärs existirenden Landverbindungen*	*CBl*	*1902*	*17. 737*
— *Anthropodus oder Neopithecus?*	*CBl*	*1903*	*512*
— *Neue Funde von Versteinerungen der oberen Kreide in den Nordalpen*	*CBl*	*1904*	*654*
— siehe Böse, E. und M. Schlosser.			
Schlüter, C.: Podocrates im Senon von Braunschweig und Verbreitung und Benennung der Gattung	01	I	508
— Ueber einige Versteinerungen des Unterdevon	01	II	133

	Jahrg.	Bd.	Seite
Schlüter, C.: Ueber einige von Goldfuss beschriebene Spatangiden	1901	II	161
— Ueber einige von Goldfuss beschriebene Spatangiden. II. Stück	01	II	162
— Ueber einige Kreide-Echiniden	02	I	319
— Zur Gattung Caratomus	03	I	530
— *Zur Keuperkohle östlich vom Teutoburger Walde*	*CBl*	*1902*	*368*
Schlüter, O.: Die Siedelungen im nordöstlichen Thüringen	04	II	125
Schlüter, W.: Schwingungsart und Weg der Erdbebenwellen. I. Theil: Neigungen	03	I	220
Schlumberger, C.: Note sur un Lepidocyclina nouveau de Borneo	02	II	490
Schmidt, Alb.: Ueber den Fichtelit und über Vorkommen von Dopplerit	*CBl*	*1901*	*519*
— Tabellarische Uebersicht der Mineralien des Fichtelgebirges und des Steinwaldes	CBl	1903	650
Schmidt, Alex.: Die Classen der Krystalle	01	II	330
Schmidt, Aug.: Bericht der Erdbebencommission über die vom 1. März 1900 bis 1. März 1901 in Württemberg und Hohenzollern beobachteten Erdbeben	03	I	48
Schmidt, C.: Mineralien aus dem Triasdolomit des Baltschiederthales im Wallis	*1900*	*I*	*16*
— Wulfenit aus der Mine Collioux bei St. Luc im Val d'Anniviers (Wallis)	02	II	354
— Untersuchung einiger Gesteinssuiten, gesammelt in Celebes von P. und F. Sarasin	03	I	424
— Ueber einen zweiten Scheelitkrystall aus dem Maderanerthal in der Schweiz	03	II	29
— Die Erzbergwerke in Wallis	04	II	241
— *Ueber vulcanische Asche, gefallen in San Cristobal L. C. (Süd-Mexico) am 25. October 1902*	*CBl*	*1903*	*131*
— *Ueber tertiäre Süsswasserkalke im westlichen Jura*	*CBl*	*1904*	*609*
— siehe Fellenberg, E. v. und C. Schmidt.			
Schmidt, F.: Revision der ostbaltischen silurischen Trilobiten. Abth. V. Asaphiden. Liefg. 1	1900	I	137
— Revision der ostbaltischen silurischen Trilobiten. Abth. V. Asaphiden, Liefg. 2	03	I	337
— Ueber eine neue Merostomenform Stylonurus? Simonsoni aus dem Obersilur von Rotziküll auf Oesel	04	II	471
— *Ausgang und Resultate der russischen Polarexpedition unter Baron E. v. Toll*	*CBl*	*1904*	*225*
— *Nachtrag zum Aufsatz über den Ausgang und die Resultate der russischen Polarexpedition unter Baron E. v. Toll*	*CBl*	*1904*	*437*
— *Weiterer Nachtrag zum Aufsatz über den Ausgang und die Resultate der russischen Polarexpedition unter Baron E. v. Toll*	*CBl*	*1904*	*527*
Schmidt, M.: Unteroligocän von Vardeilsen bei Einbeck	02	I	281
— Ueber Wallberge auf Blatt Naugard	02	II	126
Schmidt, W.: Bestimmung der Dielektricitätsconstanten von Krystallen mit elektrischen Wellen	03	II	316
— Krystallisation im elektrischen Felde	04	I	160
Schmierer, Th.: Das Altersverhältniss der Stufen ε und ζ des weissen Jura	04	II	255
Schmierer, Th. und F. Soenderop: Fossilführende Diluvialschichten bei Mittenwalde (Mark)	04	II	283

	Jahrg.	Bd.	Seite
Schmitz, G., siehe Cornet, J. und G. Schmitz.			
Schmutz, K.: Zur Kenntniss einiger archäischer Schiefergesteine der Niederen Tauern und Seethaler Alpen .	1901	II	56
Schnarrenberger, K. L.: Ueber die Kreideformation der Monte d'Ocre-Kette in den Aquilaner Abruzzen . . .	04	I	97
Schneider, F.: Beiträge zur Kenntnis der krystallinischen Flüssigkeiten	01	I	2
— siehe Schenck, R. und F. Schneider.			
Schneider, G.: Ueber den Ersatz von Glas durch Gelatine	02	II	175
Schneider, P. F.: New Exposures of Eruptive Dikes in Syracuse, N. Y.	04	I	394
Schönbeck, F.: Beiträge zur Kenntniss der polymorphen Körper	CBl	1902	150
— siehe Schaum, K. und F. Schönbeck.			
Schöndelmayer, Ch., siehe Sarazin, Ch. et. Schöndelmayer.			
Schoenflies, A.: Krystallsysteme und Krystallstructur .	04	II	335
Schönrock, O.: Theoretische Bestimmung des Axenfehlers von Krystallplatten	04	I	163
— siehe Brodhun, E. und O. Schönrock.			
Scholtz, M.: Der Einfluss der Raumerfüllung der Atomgruppen auf den Verlauf chemischer Reactionen . .	01	I	177
Schopen, L, siehe Carapezza, E. und L. Schopen.			
Schopp, H.: Beiträge zur Kenntniss der diluvialen Flussschotter im westlichen Rheinhessen	03	II	269
Schorn, J.: Die Erdbeben von Tirol und Vorarlberg . .	03	II	347
Schottler, W.: Ueber einige Basalte der Umgegend von Giessen	01	II	223
— Ueber die beim Bau der Bahn Lauterbach-Grebenhain entstandenen Aufschlüsse	04	I	46
— *Bemerkung über die in San Cristobal (S. Mexico) am 25. October 1902 gefallene Asche*	*CBl*	*1903*	*288*
Schrader, F. C. and A. H. Broocks: Preliminary Report on the Cape Nome Gold Region, Alaska	02	II	246
Schrader, F. C. and A. C. Spencer: The Geology and Mineral Resources of a portion of the Copper River District, Alaska	04	II	74
Schrammen, A.: Beitrag zur Kenntniss der Nothosauriden des unteren Muschelkalkes in Oberschlesien	02	I	307
— *Ueber den Horizont der Thecosiphonia nobilis Roem. sp.*	*CBl*	*1903*	*19*
Schröder, H.: Revision der Mosbacher Säugethierfauna .	1900	II	456
— Schädel eines jungen Rhinoceros antiquitatis Blumb. .	03	I	562
— siehe Berendt, G. und H. Schröder etc.			
Schroeder v. d. Kolk, J. L. C.: Bijdrage tot de Karteering onzer Zandgronden III.	1900	I	136
— Mikroskopische Studien über Gesteine aus den Molukken. 2. Gesteine von Seran	1900	I	240
— Tabellen zur mikroskopischen Bestimmung der Mineralien nach ihrem Brechungsindex	1900	I	326
— Over de Sympathieën en Antipathieën der elementen in de Stollingsgesteenten. I.	04	II	47
— *Beiträge zur Kenntniss der Gesteine aus den Molukken. III. Gesteine von Buru*	*CBl*	*1900*	*373*
— *Der Strich der sogenannten opaken Mineralien* . . .	*CBl*	*1901*	*75*
— *Ueber die Farbe des ausgeriebenen Strichs des Bornits*	*CBl*	*1901*	*519*
— Over hardheid in verband met splijtbaarheid bij mineralen	CBl	1902	376

	Jahrg.	Bd.	Seite
Schubert, R. J.: Chondrites Moldavae Schub., ein Algenrest aus dem böhmischen Obersilur	1900	I	129
— Beitrag zur Kenntniss der pleistocänen Conchylienfauna Böhmens	01	I	144
— Ueber Oligocänbildungen aus dem südlichen Tirol	02	I	281
— Kreide und Eocänfossilien von Ordu am Schwarzen Meere (Kleinasien)	03	I	109
— Ueber die recente Foraminiferenfauna von Singapore	03	I	324
— Bemerkungen über einige Foraminiferen der ostgalizischen Oberkreide	03	II	150
— Flabellinella, ein neuer Mischtypus aus der Kreideformation	03	II	150
— Ueber die Foraminiferenfauna und Verbreitung des nordmährischen Miocäntegels	03	II	151
— Die miocäne Foraminiferenfauna von Karwin	03	II	152
— Ueber die Foraminiferen des grünen Tuffes von S. Giovanni Ilarione	03	II	152
— Beitrag zur Kenntniss der pleistocänen Conchylienfauna Böhmens	03	II	277
— Der Wärmeaustausch im festen Erdboden, in Gewässern und in der Atmosphäre	03	II	345
— Das Gebiet der Promina-Schichten im Bereiche des Kartenblattes Zaravecchia—Stretto (Zone 30, Col. XIII)	04	I	91
— Der Bau der Sättel des Vukšić, Stankovac und Debeljak und der Muldenzüge von Kolarine, Stankovac und Banjevac im Bereiche der NO.- und SO.-Section des Blattes Zaravecchia—Stretto	04	I	91
— Der geologische Aufbau des dalmatinischen Küstengebietes Vodice—Canal Prosjek und der demselben vorgelagerten Scoglien	04	I	92
— Der Bau des Festlandgebietes im Bereiche der NW.-Section des Kartenblattes Zaravecchia—Stretto (Umgebung von Zaravecchia und Vrana)	04	I	93
— Zur Geologie der norddalmatinischen Inseln Zut, Incoronata, Peschiera, Lavsa und der sie begleitenden Scoglien auf Kartenblatt 30, XIII	04	I	94
— Der geologische Bau des Inselzuges Morter, Vergada, Pašman und der sie begleitenden Scoglien auf Blatt 30, Zone XIII (Zaravecchia—Stretto)	04	I	94
— Ueber einige Bivalven des istrodalmatinischen Rudistenkalkes. I. Vola Lapparenti Choff. und Chondrodonta Joannae-Munsoni	04	I	149
Schuchart, Ch., siehe White, D. and Ch. Schuchart.			
Schuchert, Ch.: Lower Devonic aspect of the Lower Helderberg and Oriskany formations	01	I	117
— On the lower Silurian fauna of Baffins Land	01	I	482
— On the Helderbergian fossils near Montreal, Canada	03	I	297
— On the lower Devonic and Ontaric formations of Maryland	03	II	107
— On the Manlius formation of New York	03	II	260
— The J. H. Harris Collection of invertebrate fossils in the United States National Museum	03	II	273
— Morse on living brachiopoda	03	II	300
— On the faunal provinces of the middle devonic of America and the devonic coral sub-provinces of Russia, with two paleographic maps	04	II	101
— siehe Clarke, J. M. und Ch. Schuchert.			
— siehe Ulrich, E. O. and Ch. Schuchert.			

	Jahrg.	Bd.	Seite
Schütt, R.: Die Horizontalpendelstation Hamburg 1901 I 207 1902 I 383	1903	II	47
Schütze, E.: Die Fauna der schwäbischen Meeresmolasse. I. Spongien und Echinodermen	04	II	458
— *Glacialerscheinungen bei Gross-Wanzleben, unweit Magdeburg*	*CBl 1900*		*85*
— *Bemerkungen zu der Störungszone der Finne (siehe Henkel, L.)*	*CBl 1903*		*532*
Schuhfeldt, R. W., siehe Shufeldt.			
Schulten, A. de: Sur la production de vanadinites de cadmium	01	II	4
— Production des carnallites jodées de potassium et d'ammonium	01	II	4
— Reproduction artificielle de la monétite	02	II	354
— Synthèse de la boronatrocalcite (ulexite)	03	I	188
— Recherches sur l'arséniate dicalcique. Reproduction artificielle de la pharmacolite et de la haidingerite	04	I	363
— Recherches sur le phosphate et l'arséniate dimagnésien. Reproduction artificielle de la newberyite	04	II	30
— Reproduction artificielle de la scheelite par voie humide	04	II	186
— Sur la roesslérite et la wapplérite. Production simultanée de la roesslérite et de la pharmacolithe	04	II	187
— Reproduction artificielle par voie humide de la barytine, de la célestine et de l'anglésite	04	II	187
— Recherches sur le phosphate dicalcique. Reproduction artificielle de la brushite. Reproduction de la monétite par un nouveau procédé	04	II	187
— Sur un procédé de cristallisation de corps peu solubles	04	II	187
— Recherches sur le phosphate et l'arséniate trimagnésien. Reproduction artificielle de la bobierrite et de la hoernesite	04	II	187
— Reproduction artificielle de l'érythrine, de l'annabergite et de la cabrérite	04	II	187
— Reproduction artificielle de la koettigite et de l'adamine	04	II	187
— Recherches sur la struvite et la struvite arséniée artificielle. Production simultanée de la struvite et de la newberyite, de la struvite arséniée et de la roesslérite	04	II	187
— Production des jodates anhydres cristallisés de baryum et de strontium	04	II	195
Schultz, W.: Beiträge zur Kenntniss der Basalte aus der Gegend von Homberg a. Efze	*BB XVI*		*241*
Schulz, Aug.: Entwickelungsgeschichte der phanerogamen Pflanzendecke Mitteleuropas nördlich der Alpen	04	I	279
— Die Verbreitung der halophilen Phanerogamen in Mitteleuropa nördlich der Alpen	04	I	439
— Die Verbreitung der halophilen Phanerogamen im Saale-Bezirke und ihre Bedeutung für die Beurtheilung der Dauer des ununterbrochenen Bestehens der Mansfelder Seen	04	I	440
— *Das Schicksal der Alpenvergletscherung nach dem Höhepunkte der letzten Eiszeit 1904 II 436*	*CBl 1904*		*266*
— Die Wandlungen des Klimas, der Flora, der Fauna und der Bevölkerung der Alpen und ihrer Umgebung vom Beginne der letzten Eiszeit bis zur jüngeren Steinzeit	04	II	436
— Ueber Briquet's xerothermische Periode	04	II	437
— Ueber die Entwickelungsgeschichte der gegenwärtigen Flora und Pflanzendecke Schwedens	04	II	437

	Jahrg.	Bd.	Seite
Schumacher, E.: Ueber eine merkwürdige Conchylienfauna aus den Lössprofilen von Achenheim und Bläsheim	1902	II	126
— siehe Benecke, E. W., E. Schumacher etc.			
Schumacher, R.: Ueber Trilobitenreste aus dem Untercarbon im östlichen Theil des Rossbergmassivs in den Südvogesen	04	II	324
Schwab, F.: Bericht über Erdbebenbeobachtungen in Kremsmünster	02	II	46
Schwager, A.: Hydrochemische Untersuchungen oberbayerischer Seen	1900	II	71
— Analysen von Gesteinen der Münchener Gegend und einiger anderer Gebietstheile	01	I	397
Schwalbe, B.: Das geologische Experiment in der Schule	01	I	251
— Mineralogie und Geologie	04	I	38
Schwalbe, G.: Studien über Pithecanthropus erectus Dubois. Theil I: Das Schädelfragment. Abtheilung 1: Allgemeines; Stirn-, Schläfen- und Scheitelregion	01	II	139
— Der Neanderthalschädel	03	II	278
— Ueber die specifischen Merkmale des Neanderthalschädels	03	II	278
— Die Vorgeschichte des Menschen	04	II	294
Schwantke, A.: Die Basalte der Gegend von Homberg an der Ohm, insbesondere der Dolerit des Hohen Berges bei Ofleiden	*BB*	*XVIII*	*460*
— Ueber ein Vorkommen von gediegenem Eisen in einem Auswürfling aus dem basaltischen Tuff bei Ofleiden	*CBl*	*1901*	*65*
— Ueber eine interessante Verwachsung von monoklinem und rhombischem Augit im Basalt	*CBl*	*1902*	*15*
— Ueber eine merkwürdige Bildung im Dolerit von Nordeck	*CBl*	*1904*	*38*
— Ueber die Bildung von Tridymit in einem vom Blitz geschmolzenen Dachschiefer	*CBl*	*1904*	*87*
Schwarz, E. H. L., siehe Rogers, A. W. and E. H. L. Schwarz.			
Schwarzmann, M.: Krystallophotogrammetrie. Neues Hilfsverfahren bei der Krystallmessung	*1900*	*II*	*1*
— Zur Krystallophotogrammetrie. Exacte bildliche Darstellung, Hilfstabellen, Instrumente und Modelle	*1901*	*I*	*9*
— Die Polarisationsbank für die mineralogisch-optische Schausammlung	*CBl*	*1904*	*330*
Schweder, G.: Meteoritensammlung des Naturforscher-Vereins zu Riga 1900 I 352	03	I	205
Schweig, M.: Untersuchungen über die Differentiation der Magmen	*BB*	*XVII*	*516*
Schweinfurth, G.: Die Umgegend von Heluan als Beispiel der WüstenDenudation. 1:30000	01	I	92
Schweinfurth, G. und L. Lewin: Beiträge zur Topographie und Geochemie des ägyptischen Natron-Thales	1900	I	236
Scott, D. H.: Studies in Fossil Botany	CBl	1901	724
Scott, W. B.: Die Osteologie von Hyracodon Leidy	1900	II	460
— On the Osteology of the genus Protoceras	01	I	489
— Notes on the Canidae of the White River Oligocene	02	I	297
— The Osteology of Elotherium	02	II	136
— The Selenodont Artiodactyls of the Uinta Eocene	02	II	291
Scrivenor, J. B.: The Granite and Greisen of Cligga Head (Western Cornwall)	04	I	390

	Jahrg.	Bd.	Seite
Scrivenor, J. B.: 1. Anatase in the Trias of the Midlands of England. 2. A peculiar occurrence of Magnetite in the Upper Bunter Sands	1904	II	354
— Notes on the geology of Patagonia	04	II	427
Scupin, H.: Ueber exotische, zur Gruppe des Spirifer primaevus gehörige Formen	1900	II	316
— Die Spiriferen Deutschlands	01	I	314
— Die Trilobiten des niederschlesischen Untercarbon	03	I	336
Sederholm, J. J.: Ueber eine archäische Sedimentformation im südwestlichen Finland und ihre Bedeutung für die Erklärung der Entstehungsweise des Grundgebirges	01	II	59
Seeley, H. G.: Associated remains of two small skeletons from Klipfontein, Fraserburg	1900	I	309
— On large terrestrial Saurians from the rhaetic beds of Wedmore Hill	1900	I	310
Seeley, H. G.: On Ceratodus Kannemeyeri Seeley	1900	I	311
— On a anomodont reptile, Aristodesmus Rütimeyeri (Wiedersh.), from the Bunter Sandstone near Basel	02	I	306
— On the skeleton of a theriodont reptile from the Baviaans River (Cape Colony): Dicranozygoma leptoscelus gen. et sp. nov.	02	II	300
— Further evidence of the skeleton of Eurycarpus Oweni	02	II	301
— On the Distal End of a Mammalian Humerus from Tonbridge. Hemiomus major	02	II	462
— Dragons of the air, an account of extinct flying reptiles	01	II	478
Segrè, C.: Note sulla struttura dei terreni considerata riguardo ai lavori ferroviari eseguiti dalla Società Italiana per le strade ferrate meridionali (Rete Adriatica)	04	I	260
Seguenza, L.: I vertebrati fossili della provincia di Messina. I. Th. Pesci	03	I	160
— I pesci fossili della Provincia di Reggio (Calabria) citati dal Prof. G. Seguenza	04	I	460
Seibt, W.: Gesetzmässige wiederkehrende Höhenverschiebung von Nivellements-Festpunkten	1900	II	212
Seidl, F.: Die Erderschütterungen Laibachs in den Jahren 1851—1886	1900	I	373
— Uebersicht der Laibacher Osterbebenperiode für die Zeit vom 16. April 1895 bis Ende December 1898	02	II	45
Seignette, A.: Paléontologie animale	CBl	1900	180
Seitz, W., siehe Abegg, R. und W. Seitz.			
Sekiya, S.: The Earthquake Investigation Committee Catalogue of Japanese Earthquakes	01	I	389
Sekiya, S. and F. Omori: The Diagram of the Semi-destructive Earthquake of June 20th 1894	02	I	50
Sellards, E. H.: Some New Structural Characters of Palaeozoic Cockroaches	04	I	462
Sementschenko, A.: Schurfarbeiten auf Asbest im Kreise Jekaterinenburg	04	I	401
Semiatschensky, P., siehe Zemiatschensky.			
Semon, R.: Ueber das Verwandtschaftsverhältniss der Dipnoer und Amphibien	03	I	158
Semper: Beiträge zur Kenntniss der Goldlagerstätten des Siebenbürgischen Erzgebirges	CBl	1901	172
Sergejew, M.: Die mineralischen Reichthümer im Kreise Sotschi des Schwarzmeerdistricts, im Gebiete des Flusses Msymta	03	I	263

	Jahrg.	Bd.	Seite
Sernander, R.: Zur Kenntniss der quartären Säugethier-Fauna Schwedens	1901	I	146
Sestini, F. e G. Masoni: Ricerche analitiche eseguite sul calcare nero di Avane	04	II	218
Setz, W.: Die Erzlagerstätten der Gegend von Deutsch-Feistritz-Peggau, Frohnleiten, Uebelbach und Thalgraben	04	I	225
Seunes et Kerforne: Observations sur un gisement tertiaire des bords de la Vilaine aux environs de Rennes	02	II	120
Seward, A. C.: Fossil plants for Students of Botany and Geology	CBl	1900	195
— On the Genus Myeloxylon (Brongn.)	1900	I	319
Se mour, H. J.: On the Occurrence of a Blue Amphibole in a Hornblende-Kersantite from Co. Down	01	II	390
— A (Preliminary) list of the Minerals occurring in Ireland	04	II	33
Seyn, G., siehe Depéret, Ch. et G. Seyn.			
Shaler, N. S.: Evidences as to Change of Sealevel	1900	I	44
— Spacing of Rivers with Reference to Hypothesis of Baseleveting	01	II	219
— Formation of Dikes and Veins	01	II	398
Sharpe, R. B.: A Hand-List of the genera and species of birds (Nomenclator avium tum fossilium tum viventium)	01	I	503
Shimer, H. W. and A. W. Grabau: The Hamilton group of Thedford, Ontario	03	II	260
Shufeldt, R. W.: Osteology of the Woodpeckers	03	II	434
— On the osteology of the Striges (Strigidae and Bubonidae)	03	II	435
— The osteology of the Cuckoos (Coccyges)	03	II	436
— The osteology of the Steganopodes	03	II	436
— Osteology of the Herodiones	03	II	437
— Osteology of the Flamingoes (Odontoglossae)	03	II	438
— Osteology of the Limnicolidae	03	II	438
— Osteology of the Psittaci	03	II	438
Sidorenko, M.: Petrographische Untersuchung einiger Schlammproben des Kujalnik-Limans	1900	I	224
— Ueber die krystallinische Form der in Odessa am 30. Mai (11. Juni) 1899 gefallenen Hagelkörner	01	II	175
— Petrographische Daten über die gegenwärtigen Ablagerungen im Liman von Hadshibey und die lithologische Zusammensetzung der oberflächlichen Sedimente des Peressips von Kujalnik-Hadshibey	02	II	397
Siebenrock, F.: Ueber einige fossile Fische aus Bosnien	03	I	160
Sieberg, A.: Handbuch der Erdbebenkunde	CBl	1904	408
Siedentopf, H. und R. Zsigmondi: Ueber Sichtbarmachung und Grössenbestimmung ultramikroskopischer Theilchen, mit besonderer Anwendung auf Goldrubingläser	04	I	161
Siedler, Ph., siehe Kahlbaum, G. W. A. etc.			
Siegert, L.: Die versteinerungsführenden Sedimentgeschiebe im Glacialdiluvium des nordwestlichen Sachsens	1900	II	128
Siemiradzki, J. v.: Monographische Beschreibung der Ammonitengattung Perisphinctes	1900	II	309
— Ueber eine Collection von Fossilien des podolischen unteren Cenomans	02	I	295
— Die stratigraphischen Verhältnisse der oberen Kreide in Polen	02	II	117
— Geologia ziem Polskich (Polens Geologie). I. Bd.: Aeltere Formationen bis zum Jura inclusive	04	I	260

	Jahrg.	Bd.	Seite
Siethoff, E. G. A. ten: Eine einfache Construction des sogen. Interferenzkreuzes der zweiaxigen Krystalle	*CBl*	*1900*	*267*
— *Beitrag zur Krystalluntersuchung im convergenten polarisirten Lichte*	*CBl*	*1903*	*657*
Sigismund, P.: I minerali del comune di Sondalo	1901	II	369
Sigmund, A.: Die Basalte der Steiermark. 6. Die Basalttuffe	1900	II	389
— Niederösterreichische Mineralvorkommen	03	I	400
— Die Eruptivgesteine bei Gleichenberg	04	I	59
— Die Sammlung niederösterreichischer Minerale im k. k. naturhistorischen Hofmuseum	CBl	1903	781
Silberberg, L.: Zur Frage über die Schwefelwasserstoffgährung in den Odessaer Limanen und im Schwarzen Meere	01	II	382
Silberberg, L. und M. Weinberg: Zur Frage über die Bakterien der Salzsoole und des Schlammes des Kujalnik-Limans	01	II	382
Silvestri, A.: Biloculina Guerrerii nuova specie fossile siciliana	02	I	154
— Sull' esistenza dello Zancleano nell' Alta Valle Tiberina	03	I	108
Simionescu, J.: Ueber die Geologie des Quellgebietes der Dimbovicioara (Rumänien)	1900	I	429
— Asupra presenteĭ callovianului în Carpaţii Românescĭ	1900	I	429
— Ueber die Kelloway-Fauna von Valea Lupului in den Südkarpathen Rumäniens	1900	II	294
— Studii geologice şi paleontologice din Carpaţii Sudici. III. Fauna callovianǎ din valea Lupului (Rucăr) Bucuresci 1899	1900	II	294
— Note sur quelques Ammonites du Neocomien français	01	I	165
— Ueber die obercretacische Fauna von Uermös (Siebenbürgen)	01	I	469
— Fauna cretacica superiora de la Uermös (Transilvania)	01	I	469
— Crida superioarǎ si calcarul cu Lithothamnium de pe malul Prutului	01	I	488
— Câte va date din Geologie judetului Neamtz	01	I	489
— Ueber das Auftreten von Hipparion gracile in Rumänien	03	I	351
— *Erreicht die russische Tafel Rumänien?*	*CBl*	*1901*	*193*
Simonds, F. W.: The minerals and mineral localities of Texas	04	II	34
Simonelli, V.: I Rinoceronti fossili del Museo di Parma	01	I	151
— Antozoi neogenici del Museo parmense	02	I	154
— Appunti sopra la fauna e l'età dei terreni di Vigolene	02	I	295
Simpson, G.: Preliminary descriptions of new genera of palaeozoic rugose corals	03	I	482
Sinclair, W. A.: A Preliminary Account of the Exploration of the Potter Creek Cave, Shasta County, California	04	II	291
Sinzow, J.: Die Erdrutsche von Odessa und ihre Ursachen	1900	I	215
— Bemerkungen über einige Ammoniten des Aptien	1900	II	477
— Notizen über die Jura-, Kreide- und Neogen-Ablagerungen der Gouv. Saratow, Simbirsk, Samara und Orenburg	01	I	263
Sioma, J.: Analyse eines weissen Mikroklins aus der Umgegend von Miask im Ilmengebirge	01	II	179
— Ueber einen Fund von Schefferit (Manganhedenbergit) im Kaukasus	01	II	189
— Ueber das Vorkommen des Schefferits (Eisenschefferit) am Kaukasus	02	II	350

	Jahrg.	Bd.	Seite
Sirks, A. H.: On the advantage of metal-etching by means of the electric current	1904	I	7
Sjögren, H.: Auffindung von gediegen Silber, Quecksilber, Amalgam und Zinnober in der Salagrube	1900	I	31
— Chemische Untersuchung einiger Mineralien von Klein-Arö und Ober-Arö im Langesundfjord	02	II	361
Skeat, E. G. and V. Madsen: On Jurassic, Neocomian and Gault boulders found in Denmark	1900	II	435
Skeats, E. W.: Note on the composition of some dolomitic and other limestones from Christmas Island	03	II	101
Slavík, F.: Ueber Neogenkalksteine bei Čejkovice und Čejč NW. von Göding	1900	I	292
— Glimmerdiabas von Prišednice und Drahoňův Ujezd bei Zbirov	02	I	63
— Bemerkungen über den Quarzporphyr unter dem Kozákov-Berge	02	I	63
— Krystallographische Mittheilungen (Stephanit von Pribram, Topas von San Luis Potosi, Apatit von der Knappenwand, Baryt von Bránik bei Prag, Struvitkrystalle aus dem menschlichen Enddarm)	1903	I	186. 193. 195. 197. 198
— Mineralogische Mittheilungen aus Westmähren	03	I	200
— Beiträge zur Kenntniss der Ammoniumhalogenverbindungen	03	II	170
— Kleine mineralogische und petrographische Mittheilungen aus Mähren (Chrysoberyll von Marschendorf, Mähr. Asbeste)	03	II	339
— Beitrag zur Kenntniss der Eruptivgesteine des mittelböhmischen Präcambriums	04	I	50
— Zur Frage der Kohle im Diabas von Radotin	04	II	77
— *Ueber die rothen Zoisite aus Mähren*	*CBl*	*1901*	*686*
— *Ueber die wahrscheinliche Identität von Lussatit und Tridymit*	*CBl*	*1901*	*690*
— *Zur Mineralogie von Mähren (Bemerkungen zu Schirmeisen, K., siehe diesen)*	*CBl*	*1904*	*353*
— *Ueber einen Granathornfels von Predazzo*	*CBl*	*1904*	*661*
Slavík, F. und J. Fišer: Datolith unterhalb Listic bei Beroun	*CBl*	*1903*	*229*
Slavík, F., siehe Kovář, F. und F. Slavík.			
Smirnoff, W.: Zur Frage über den chemischen Charakter des Cimolits	04	II	26
Smith, A. und W. R. Holmes: Ueber den amorphen Schwefel	03	I	9. 367
Smith, G. F. Herbert: On some lead minerals from Laurium, namely Laurionite, Phosgenite, Fiedlerite and (new species) Paralaurionite	01	I	14
— Note on the identity of Paralaurionite and Rafaelite	01	I	15
— On a three-circle goniometer	01	I	171
— Preliminary Note on an Improved Form of Three-Circle Goniometer	02	II	175
— On the remarkable problem presented by the crystalline development of Calaverite; with a chemical Analysis by G. T. Prior	03	I	17
— Das bemerkenswerthe Problem der Entwickelung der Krystallformen des Calaverit	03	I	377
— Some new crystal-forms on Krennerite	04	I	10
Smith, G. O.: The Rocks of Mount Rainier	1900	II	66
— siehe Tower, jr. G. W. and G. O. Smith.			

	Jahrg.	Bd.	Seite
Smith, G. O. and G. C. Curtis: Camasland: A Valley Remnant	1902	II	214
Smith, G. O. and W. C. Mendenhall: Tertiary Granite in the Northern Cascades	02	II	238
Smith, J.: Crystals from Decomposed Trap	01	I	79
Smith, J. P.: Ueber Pelecypoden-Zonen in der Trias Nord-Amerikas	*CBl*	*1902*	*689*
— Geographical relations of the Trias of California	01	I	276
— Larval stages of Schlönbachia	02	I	480
— The border-line between palaeozoic and mesozoic in Western America	03	I	121
— The development of Glyphioceras and the Phylogeny of the Glyphioceratidae	03	II	148
Smith, Norman, siehe Hoff, J. H. van't und Mitarbeiter.			
Smith, W. S. T.: A Topographic Study of the Islands of Southern California	02	II	215
Smolař, G.: Einige neue Aufgaben der geometrischen Krystallographie	03	II	157
Smyčka, F.: Bericht über das erste mährische Meteoreisen, gefunden bei Alt-Bělá (nächst Mährisch-Ostrau)	02	I	42
Smyth jr., C. H.: Weathering of Alnöite in Manheim, New York	1900	II	64
— Petrography of recently Discovered Dikes in Syracuse, N. Y.; with Note on the Presence of Melilite in the Green Street Dike	04	I	394
Smyth, H. L., siehe Clements, J. M. und H. L. Smyth.			
Snelling, W. O.: The Production of Titanium	04	I	35
Snyder, W. H., siehe Davis, W. M. und W. H. Snyder.			
Söhle, U.: Ueber das Cenoman im Schwarzraingraben bei Ohlstadt	1900	II	285
— Geologische Aufnahme des Labergebirges bei Oberammergau mit besonderer Berücksichtigung des Cenomans in den bayerischen Alpen	1900	II	415
— Beitrag zur Kenntniss der Erzlagerstätte des Rammelsberges bei Goslar	01	I	247
— Das Ammergebirge	01	I	260
— Vorläufiger Bericht über die stratigraphisch-geologischen Verhältnisse der Insel Lesina	02	I	454
— Geognostisch-palaeontologische Beschreibung der Insel Lesina	02	I	454
— Neuere Mittheilungen aus dem Tiefbauschachte in Witkowitz bei Mährisch-Ostrau	03	I	271
— Ueber den Kiesbergbau in Oeblarn in Obersteiermark	03	I	446
Soellner, J.: Geognostische Beschreibung der Schwarzen Berge in der südlichen Rhön	04	II	205
Soenderop, F., siehe Schmierer, Th. und F. Soenderop.			
Sokolow, N.: Einige Daten über die periodischen Veränderungen des Salzgehaltes des Wassers im Bug-Liman	1900	I	224
— Die Schichten mit Venus konkensis am Flusse Konka	1900	II	123
— Explorations géologiques dans la partie sud du district de Marioupol	1900	II	127
— Die Manganerzlager in den tertiären Ablagerungen des Gouvernements Jekaterinoslaw und der Umgebung von Kriwoi-Rog	03	I	257
— Ueber die Erzlagerstätte in der Domäne Pokrowskaja Sr. K. H. des Grossfürsten Michael Nikolajewitsch	03	I	280

	Jahrg.	Bd.	Seite
Sokolow, N.: Ueber einige Aucellen aus Ostrussland . .	1908	II	452
Sokolow, W.: Lagerstätte von Calcit am Baidarthor in der Krym	01	II	178
Solger, F.: Ueber ein Enstatitporphyrit-führendes Gangsystem im Mittelharz	03	I	233
— *Ueber die Benutzung der Lichtfiguren geätzter Krystallflächen zur krystallographischen Bestimmung der Aetzfiguren*	*BB XIII*		*469*
Sollas, W. J.: Fossils in the University Museum, Oxford. IV. On silurian Echinoidea and Ophiuroidea	1900	II	318
— A Map to show the Distribution of Eskers in Ireland	1900	II	446
— Order of Consolidation of Minerals in Igneous Rocks	01	II	221
— Derived Limestones	01	II	378
— On the Rate of Increase of Underground Temperature	03	I	220
— A Process for the Mineral Analysis of Rocks	03	II	58
— The Figure of the Earth	04	II	198
Solly, R. H.: Bleisulfarsenite aus dem Binnenthal. 1. Jordanit, 2. Rathit	02	II	336
— Sulpharsenites of Lead from the Binnenthal. Part II. Rathite	02	II	182
— Sulpharsenites of Lead from the Binnenthal. Part III. Baumhauerite, a new mineral; and Dufrenoysite. With an analysis by H. Jackson	03	I	377
Solly, R. H. and H. Jackson: Sulpharsenites of Lead from the Binnenthal. With Analyses by H. Jackson. Part I: General Description and Chemical Analyses, with a Chrystallographic account of Jordanite	01	II	348
Solms-Laubach, H. Graf zu: Monograph of the Acetabularieae	1900	I	159
— Ueber Medullosa Leuckarti	1900	II	164
— Bowmanites Roemeri, eine neue Sphenophylleen-Fructification	04	I	315
— Ueber die seinerzeit von Unger beschriebenen structurbietenden Pflanzenreste des Unterculm von Saalfeld in Thüringen	04	I	315
— Ueber die in den Kalksteinen des Culm von Glätzisch-Falkenberg in Schlesien enthaltenen structurbietenden Pflanzenreste. III. Abhandlung	04	I	315
— Ueber das Genus Pleuromeia	04	I	316
Somervail, A.: On the Age and Origin of the Granite of Dartmoor, and its Relations to the Adjoining Strata	1900	II	403
Sommerfeldt, E.: Studien über den Isomorphismus	*02*	*II*	*43*
— *Ueber Meteoriten der Tübinger Universitätssammlung. I. Zur Kenntniss des Toluca-Mani-Eisens*	*04*	*II*	*118*
— *Thermochemische und thermodynamische Methoden, angewandt auf den Vorgang der Bildung von Mischkrystallen*	*BB XIII*		*434*
— *Natürliche Aetzfiguren am Baryt*	*CBl 1902*		*97*
— *Bemerkungen zu der Volumtheorie von Krystallen*	*CBl 1902*		*633*
— *Kettenbruchähnliche Entwickelungen zur Beurtheilung der Wahrscheinlichkeit des Auftretens bestimmter Flächenkombinationen an Krystallen*	*CBl 1903*		*537*
— Beiträge zur Kenntniss wasserhaltiger Mineralien	CBl 1903		752
— *Ueber den Satz, dass Symmetrieaxen mit einer Drehungsperiode gleich fünf oder grösser als sechs bei Krystallen nicht auftreten*	*CBl 1904*		*18*

	Jahrg.	Bd.	Seite
Sommerfeldt, E.: Zur Unterscheidung von Doppelsalzen und Mischkrystallen	*CBl 1904*		*641*
Soreil, G.: Schwefel im Kohlenkalk der Stufe von Landelies	1903	II	169
— siehe Forir, H. etc.			
Souche, J. D. La, siehe La Souche, J. D.			
Souza Brandão, V. de: Ueber Krystallsysteme	*01*	*II*	*37*
— Ueber die Bestimmung des Winkels der optischen Axen in den gesteinsbildenden Mineralien	02	II	217
— Ueber die Bestimmung der Lage der optischen Axen mittelst Beobachtungen der Auslöschungsschiefen	02	II	218
— Ueber die krystallographische Orientirung der Durchschnitte von gesteinsbildenden Mineralien in Dünnschliffen	02	II	219
— *Ueber einen portugiesischen Alkaligranulit*	*CBl 1902*		*49*
— *Ueber den Staubfall in Portugal vom Januar 1902*	*CBl 1902*		*257*
— *Entgegnung*	*CBl 1903*		*323*
— *Ueber eine Skala von Lichtbrechungs-Indicatoren*	*CBl 1904*		*14*
Spandel, E.: Die Foraminiferen des deutschen Zechsteines und ein zweifelhaftes mikroskopisches Fossil	1900	II	163
— Untersuchungen aus dem Foraminiferengeschlecht Spiroplecta im Allgemeinen und an Spiroplecta carinata d'Orb. im Besonderen	03	II	152
Spechtenhauser, B.: Diorit- und Norit-Porphyrite von St. Lorenzen im Pusterthal	1900	I	383
Spencer, A. C.: The Manganese Deposits of Santiago Province, Cuba	04	II	231
— siehe Schrader, F. C. and A. C. Spencer.			
Spencer, B. M. A.: A Description of Wynyardia bassiana, a Fossil Marsupial from the Tertiary Beds of Table Cape, Tasmania	03	II	140
Spencer, J. W.: Late formations and great changes of Level in Jamaica	1900	I	260
— Great Changes of Level in Mexico and the Interoceanic Connections	01	II	292
— On the Geological and physical development of Antigua	03	II	255
— On the geological and physical development of Guadeloupe	03	II	255
— On the geological and physical development of Anguilla, St. Martin, St. Bartholomew and Sombrero	03	II	255
— On the geological and physical development of the St. Christopher Chain and Saba Bank	03	II	255
— siehe Hull, E.			
Spencer, L. J.: Miersite, a cubic modification of native silver jodide	1900	I	5
— Leadhillite in Ancient Leads Slags from the Mendip Hills	1900	II	31
— Supplementary List of British Minerals	1900	II	36
— Plagionite, Heteromorphite and Semseyite as Members of a Natural Group of Minerals	01	I	185
— A List of New Mineral Names	02	I	1
— Marshite, Miersite and Jodyrite from Broken Hill, New South Wales	02	II	14
— Crystallised Stannite from Bolivia	02	II	17
— Crystalline forms of Carbides and Silicides of Iron and Manganese (Ferro-manganese)	04	I	6
— Mineralogical notes on Western Australian Tellurides; the nonexistence of „Kalgoorlite“ and „Coolgardite“ as mineral specimens	04	I	8

	Jahrg.	Bd.	Seite
Spencer, L. J., siehe Prior, G. T. and L. J. Spencer.			
Spencer, W. K.: The hypostomic eyes of trilobites . . .	1904	II	149
Spendiaroff, L.: Ueber einige Seeigel aus dem Jura des Kaukasus	1900	II	323
Spezia, G.: Sul colore del zircone	1900	II	344
— Contribuzioni di geologia chimica. Solubilità del quarzo nelle soluzioni di silicato sodico	01	I	222
— Sopra un deposito di quarzo e di silice gelatinosa trovato nel traforo del Sempione	01	I	222
— Contribuzioni di geologia chimica. Solubilità del quarzo nelle solucioni di tetraborato sodico	02	II	93
— Contribuzioni di geologia chimica. Sulla trasformazione dell' opale xiloide in quarzo xiloide	03	I	97
— Sulla anidrite micaceo-dolomitica e sulle rocce decomposte della frana del traforo del Sempione	04	II	228
Spirek, V.: Das Zinnobervorkommen am Monte Amiata, Toscana	04	I	400
Sprecher, F. W.: Grundlawinenstudien	02	II	49
Spriestersbach, J.: Vorläufige Mittheilung über die Stellung der devonischen Schichten in der Umgebung von Remscheid	*CBl 1904*		*599*
Spring, W.: La plasticité des corps solides et ses rapports avec la formation des roches	01	I	87
— Sur la floculation des milieux troubles	02	II	90
— Quelques expériences sur la perméabilité de l'argile . .	03	I	96
— Recherches expérimentales sur la filtration et la pénétration de l'eau dans le sable et le limon	03	II	89
— Propriété des solides sous pression, diffusion de la matière solide, mouvement de la matière solide . . .	CBl	1901	140
Sprockhoff, M.: Beiträge zu den Beziehungen zwischen dem Krystall und seinem chemischen Bestand . .	*BB*	*XVIII*	*117*
Spurr, J. E.: Geology of the Aspen Mining District, Colorado	01	II	431
— Scapolite Rocks from Alaska	02	I	416
Squinabol, S. e G. Ongaro: Sulla Pelagosite	02	II	189
Stadlinger, H.: Ueber die Bildung von Pseudophit in granitischen Gesteinen mit besonderer Berücksichtigung der geologischen Verhältnisse des Strehlerberges bei Markt-Redwitz im Fichtelgebirge	02	II	224
Stahl, A. F.: Das Naphthavorkommen von Woznesensk bei Wladikawkas	1900	II	35
Stainier, X.: Stratigraphie du bassin houiller de Charleroi et de la Basse-Sambre	01	II	271
— L'extension du Landénien dans la province de Namur .	02	II	272
Stanton, T. W.: Mesozoic fossils of the Yellowstone National Park	02	I	128
— Dr. E. Böse: Geologia de los aldredores de Orizaba, con un perfil de la vertiente oriental de la mesa central	02	II	119
— The marine cretaceous invertebrates in Patagonia . .	02	II	434
— Chondrodonta, a new genus of ostreiform mollusks from the Cretaceous with description of the genotype and a new species	04	I	150
— A new fresh-water molluscan faunula from the Cretaceous of Montana	04	I	271
Stecher, E.: Die festen Carbide und ihre muthmaassliche Bedeutung für die Geologie	01	II	7
Steenstrup, K. J. V., siehe Madsen, V. etc.			

	Jahrg.	Bd.	Seite
Stefani, C. de: Come l'età dei graniti si debba determinare con criteri stratigrafici	1900	II	394
— Le acque atmosferiche nelle fumarole a proposito di Vulcano e di Stromboli	02	I	378
— Il Miocene nell' Appennino settentrionale a proposito di due recenti lavori di Oppenheim e di Sacco	03	I	129
— Molluschi pliocenici di Viterbo	04	I	289
— I terreni terziari della Provincia di Roma. I. Eocene	04	II	118
— Desgl. II. Miocene medio	04	II	118
— Desgl. III. Miocene superiore und IV. Pliocene	04	II	119
Stefani, C. de e L. Fantappiè: I terreni terziari superiori dei dintorni di Viterbo	01	I	475
Stefani, C. de e B. Nelli: Fossili miocenici dell' Appennino Aquilano	01	II	129
Stefano, G. di: Le argille a Coenopsammia Scillae Seg. e le sabbie marine della contrada Corvo in Reggio di Calabria	03	I	132
— Alcuni pesci pliocenici di Calanna in Calabria	03	I	160
— I molluschi degli strati di Gallina (Regio Calabria) e la loro età	04	I	441
Stefano, G. di e V. Sabatini: Sopra un calcare pliocenico dei dintorni di Viterbo	01	I	476
Steger, A.: Mischkrystalle von Quecksilberjodid und Silbernitrat	04	II	345
Stehlin, H. G.: Ueber die Geschichte des Suiden-Gebisses	02	II	463
— Ueber die Grenze zwischen Oligocän und Helvétien in der Schweizer Molasse	04	I	285
— Ueber die Säugethierfauna aus dem Bohnerz des Chamblon bei Yverdon	04	II	305
— siehe Mieg, M. et H. G. Stehlin.			
Steiger, G.: The solubility in water of certain natural silicates	01	II	342
— Preliminary Note on Silver Chabazite and Silver Analcite	03	I	392
— siehe Clarke, F. W. und G. Steiger.			
Steiner, F.: Ergiebigkeitsmessung intermittirender Quellen	03	II	393
Steinmann, G.: Ueber neue Aufschlüsse im Jura am Schönberge bei Freiburg	1900	I	283
— Ueber fossile Dasycladaceen vom Cerro Escamela, Mexico	1900	I	323
— Blatt Hartheim-Ehrenstetten	1900	I	421
— Ueber Boueïna, eine fossile Alge aus der Familie der Codiaceen	1900	II	329
— Ueber die Entwickelung des Diluviums in Südwest-Deutschland	01	I	129
— Die Bildungen der letzten Eiszeit im Bereiche des alten Wutach-Gebietes	03	I	516
— Nachträge zur Fauna von Stramberg. II. Milleporidium, eine Hydrocoralline aus dem Titon von Stramberg	04	II	155
— *Beiträge zur Geologie und Palaeontologie von Südamerika. Unter Mitwirkung von Fachgenossen herausgegeben.* *IX. A. Borchert: Die Molluskenfauna und das Alter der Paraná-Stufe*	*BB XIV*		*171*
— *Beiträge zur Geologie und Palaeontologie von Südamerika.* *X. W. Paulcke: Ueber die Kreideformation in Südamerika und ihre Beziehungen zu anderen Gebieten. I. Theil*	*BB XVII*		*252*

	Jahrg.	Bd.	Seite
Steinmann, G.: Beiträge zur Geologie und Palaeontologie von Südamerika. XI. Wilckens, O.: Revision der Fauna der Quiriquina-Schichten	*BB*	*XVIII*	*181*
— *Das tektonische Problem der Provence. Bericht über die XX. Exkursion des internationalen Geologen-Congresses zu Paris*	*CBl*	*1901*	*449*
— *Zur Tektonik des nordschweizerischen Kettenjura. (Mit einer tektonischen Kartenskizze)*	*CBl*	*1902*	*481*
— Einführung in die Palaeontologie	CBl	1904	303
Steinmann, G., H. Hoek und A. v. Bistram: Zur Geologie des südöstlichen Boliviens	*CBl*	*1904*	*1*
Stella, A.: Calcari fossiliferi e scisti cristallini dei monti del Saluzzese, nel cosidetto elissoide gneissico Dora-Maira	1900	II	266
— Lo studio geognostico-agrario del suolo italiano e le carte agronomiche	01	II	89
— Sulle condizioni geognostiche della pianura piemontese, rispetto alle acque del suolo	02	I	125
— Sulla presenza di fossili microscopici nelle roccie a solfo della formazione gessoso-solfifera italiana	02	II	58
— siehe Baldacci, L. e A. Stella.			
Stenzel, G.: Nachträgliche Bemerkungen zur „Gattung Tubicaulis Cotta“	1900	I	484
Stephens, T.: On an Intrusion of Diabase into Permo-Carboniferous Rocks in Frederick Henry Bay (Tasmania)	02	I	79
Sternberg, E. v. Ungern-, siehe Ungern-Sternberg, E. Freih. v.			
Sterneck, R. v.: Untersuchungen über den Zusammenhang der Schwere unter der Erdoberfläche mit der Temperatur	02	I	43
Sterzel, J. T.: Gruppe verkieselter Araucaritenstämme aus dem versteinerten Rothliegend-Walde von Chemnitz-Hilbersdorf, aufgestellt im Garten vor der naturwissenschaftlichen Sammlung der Stadt Chemnitz	02	II	491
— Der versteinerte Wald von Chemnitz	02	II	491
— Ueber zwei neue Palmoxylonarten aus dem Oligocän der Insel Sardinien	02	II	495
— Palaeontologischer Charakter der Steinkohlenformation und des Rothliegenden von Zwickau	1903	II	403. 455
— *Die Flora des Rothliegenden von Ilfeld am Harz*	*CBl*	*1901*	*417*
— *Weitere Beiträge zur Revision der Rothliegendflora der Gegend von Ilfeld am Harz*	*CBl*	*1901*	*590*
Steuer, A.: Bemerkungen über einige im Sommer 1900 beobachtete neue Aufschlüsse im Rupelthon	02	I	455
— Ueber geologische Vorarbeiten für die Trinkwasserversorgung einiger Orte in Rheinhessen 1903 II 128	04	II	81
Stevanović, S. v.: Künstlicher Domeykit	04	I	7
— Ueber einige Kupfererze und Beiträge zur Kenntnis der Zirkongruppe	04	I	12
— Beiträge zur Kenntniss der Mineralien der Zirkongruppe	04	I	17
— Ueber die Farbe der Zirkone	04	II	173
Stevenson, J.: The Chemical and Geological History of the Atmosphere	02	I	375
Stewart, A.: Some notes on the genus Saurodon and allied species	01	I	308
— A preliminary description of seven new species of fish from the cretaceous of Kansas	01	I	308

	Jahrg.	Bd.	Seite
Stewart, A.: Individual variations in the genus Xiphactinus Leidy	1901	I	309
— Notes on the osteology of Anogmius polymicrodus Stewart	01	II	479
— Notice of three new cretaceous fishes, with remarks on the Saurodontidae Cope	01	II	479
— A preliminary description of the opercular and other cranial bones of Xiphactinus Leidy	01	II	480
— Pachyrhizodus minimus, a new species of fish from the cretaceous of Kansas	01	II	480
Stibing, L.: Cerussit von Riddersk	04	II	20
Stille, H.: Zur Geschichte des Almethales südwestlich Paderborn	04	II	441
Stingelin, Th.: Ueber ein im Museum zu Olten aufgestelltes Cranium von Elephas primigenius Blumb	04	II	139
Stirling, E. C.: Fossil Remains of Lake Callabonna	03	I	355
Stirling, E. C. und A. H. Zietz: Fossil Remains of Lake Callabonna. II. Genyornis Newtoni, a new genus and species of fossil struthious bird	01	I	501
— — Fossil Remains of Lake Callabonna. Part I: Diprotodon australis. Description of Manus and Pes	03	I	355
Stirrup, M.: The Earthquake of February 27th	02	I	211
Stockes, H. N.: On Pyrite and Marcasite	03	I	10
— siehe Merrill, G. P. and H. N. Stockes.			
— siehe Turner, H. W.			
Stocks, H. B.: On the Origin of Certain Concretions in the Lower Coal-Measures	03	II	374
Stöber, F.: Sur une méthode de dessin des cristaux	1900	II	333
— Sur un procédé pour tailler des grains minéraux en lames minces	1900	II	346
— *Erwiderung auf die „Entgegnung" des Herrn Vicente de Souza-Brandao*	*CBl 1903*		*554*
— siehe Rénard, A. F. et F. Stöber.			
Stoeckel, K. und L. Vanino: Ueber die Natur der sogen. colloidalen Metalllösungen	01	I	5
Stöckl, K.: Das Fedorow'sche Universalgoniometer in der Construction von Fuess. Anwendung dieses Instrumentes zur Auflösung sphärischer Dreiecke	04	I	159
Stoller, J.: Die alten Flussschotter im oberen Neckargebiete (Strecke Horb—Altenburg)	*1902*	*I*	*60*
Stolley, E.: Ueber Diluvialgeschiebe des London-Thons in Schleswig-Holstein und das Alter der Moler-Formation Jütlands, sowie das baltische Eocän überhaupt	1900	II	125
— Ueber Eocängeschiebe des London clay und ihre Beziehungen zu der jütischen „Mo-Formation"	1900	II	125, 127
— Geologische Mittheilungen von der Insel Sylt. I.	02	I	124
— Untersuchungen über Coelosphaeridium, Cyclocrinus, Mastopora und verwandte Genera des Silur	02	II	156
— Neue Siphoneen aus baltischem Silur	02	II	160
Stone, G. H.: The granitic breccias of the Cripple creek region	1900	I	68
— The Granitic Breccias of Grizzly Peak, Colorado	01	I	237
Stoney, G. J.: Denudation and Deposition I. II	01	II	46
Stortenbecker, W.: Ueber die Löslichkeit von hydratirten Mischkrystallen. III.	02	I	335

	Jahrg.	Bd.	Seite
Strahan, A.: On the Passage of a Seam of Coal into a Seam of Dolomite	1903	I	76
— On the Origin of the River System of South Wales, and its Connection with that of the Severn and the Thames	04	II	204
Strahan, A. and W. Gibson: The Geology of the South Wales Coal-field. II.	01	II	274
Strandmark, J. E.: Künstlicher Cuprit und Dolerophanit von Atvidaberg	03	I	186
— Dolerophanit als Hüttenproduct	03	II	334
— Leonit aus Leopoldshall	03	II	335
— Beitrag zur Kenntniss des Celsians und anderer Barytfeldspäthe	04	II	175
Stratonowitsch, E., siehe Fedorow, E. v. und W. Nikitin.			
Straubel, R.: Ueber die Bestimmung zeitlicher Veränderungen der Lothlinie	1900	I	369
— Ueber Quarzprismen	03	II	327
Strecker, C. Ch.: Auf den Diamanten- und Goldfeldern Südafrikas	CBl	1901	635
Strishow, J.: Einige Erzlagerstätten im mittleren Theile des nördlichen Kaukasus	01	II	405
— Die Manganerzlagerstätte beim Dorfe Masjata im Bogoslowsk'schen Bergrevier	01	II	406
— Das Silber-Bleibergwerk von Demonsagatsk	03	I	262
— Neue Lagerstätten von Bleiganz und Zinkblende im Ter-Gebiet	04	I	227
— Geologischer Bau der Schlucht von Kartatinsk und der an ihrem Beginn gelegenen Kupferkieslagerstätten	04	I	227
— Der geologische Bau der Dargaw-Schlucht und die daselbst vorkommende Graphitlagerstätte (beim Dorfe Dshimara im nördlichen Kaukasus unweit des Kasbek)	04	I	227
Stromer, E.: Ist der Tanganyika ein Relicten-See?	02	II	264
— Ueber Rhinoceros-Reste im Museum zu Leiden	02	II	298
— *Haifischzähne aus dem unteren Mokattam bei Wasta in Egypten*	*03*	*I*	*29*
— Betrachtungen über die geologische Geschichte Aethiopiens	03	I	486
— *Nematognathi aus dem Fajûm und dem Natronthale in Aegypten*	*04*	*I*	*1*
— Ueber die Bedeutung des Foramen entepicondyloideum und des Trochanter tertius der Säugethiere	04	I	121
— Die Wirbel der Land-Raubthiere, ihre Morphologie und systematische Bedeutung	04	I	441
— Ein Acceratherium-Schädel aus dem Dinotherium-Sand von Niederbayern	04	II	314
— *Ein Beitrag zu den Gesetzen der Wüstenbildung*	*CBl*	*1903*	*1*
Struck, R.: Der Verlauf der nördlichen und südlichen Hauptmoräne in der weiteren Umgebung Lübecks 1902 I 460	03	II	115
— Diluviale Schichten mit Süsswasserfauna an der Untertrave	02	II	445
— Der baltische Höhenrücken in Holstein. Ein Beitrag zur Geographie und Geologie Holsteins	04	II	449
Strübin, K.: Neue Untersuchungen über Keuper und Lias bei Niederschönthal (Basler Tafeljura)	02	I	440
— Beiträge zur Kenntniss der Stratigraphie des Basler Tafeljura, speciell des Gebietes von Kartenblatt 28, Kaiseraugst	03	I	105

	Jahrg.	Bd.	Seite
Strübin, K.: Ein Aufschluss der Opalinus-Murchisonaeschichten im Basler Tafeljura	*CBl*	*1901*	*327*
— *Ueber das Vorkommen von Lioceras concavum im nordschweizerischen Jura*	*CBl*	*1901*	*585*
Strüver, J.: Die Minerallagerstätten der Alpe Saulera und der Rocca Nera an der Mussa-Ebene im Ala-Thal	*CBl*	*1900*	*41*
— *Eine chemische Reaction zwischen Hauerit und einigen Metallen bei gewöhnlicher Temperatur*	*CBl*	*1901*	*257*
— *Chemische Reaction der natürlichen Eisensulfide und des gediegenen Schwefels auf Kupfer und Silber bei gewöhnlicher Temperatur*	*CBl*	*1901*	*401*
Struthers, J.: The Production of Borax and Bromine	1904	I	33
— The Production of Quicksilver 1901	04	I	36
— The production of platinum in 1902	04	II	10
— The production of mineral paints 1902	04	II	16
— The production of borax in 1902	04	II	17
Stuart-Menteath, P. W.: Sur le rôle des roches ignées dans les Pyrénées	02	I	70
— The Pyrenees at the last Geological Congress	04	II	52
Stuckenberg, A.: Der Meteorit vom Dorfe Tschuwaschskja Kissy im Bezirke Tschistopol des Gouvernements Kasan	03	I	212
— Ueber eine primäre Goldlagerstätte am Flusse Wischera im Kreise Tscherdyn, Gouvernement Perm	04	I	232
Studer, Th.: Zwei neue Brachyuren aus der miocänen Molasse	1900	II	308
— Die prähistorischen Hunde in ihrer Beziehung zu den gegenwärtig lebenden Rassen	03	II	421
Stübel, A.: Ein Wort über den Sitz der vulcanischen Kräfte in der Gegenwart	02	II	42
— Ueber die genetische Verschiedenheit vulcanischer Berge	04	I	197
— siehe Reiss, W. und A. Stübel.			
Stürtz, B.: Ein weiterer Beitrag zur Kenntniss palaeozoischer Asteroiden	01	II	322
Sturm, F.: Das sudetische Erdbeben vom 10. Januar 1901	*BB*	*XVI*	*199*
Suess, Ed.: La face de la terre. Traduit avec l'autorisation de l'auteur et annotée sous la direction de E. De Margerie	CBl	1900	358
Suess, F. E.: Ueber den kosmischen Ursprung der Moldavite	1900	I	361
— Studien über unterirdische Wasserbewegung. I. Die Thermalquellen von Teplitz und ihre Geschichte. II. Die Schwimmsandeinbrüche von Brüx	1900	II	377
— Contact zwischen Syenit und Kalk in der Brünner Eruptivmasse	01	II	387
— Der Granulitzug von Borry in Mähren	02	II	229
— Geologische Mittheilungen aus dem Gebiete von Trebitsch und Jarmeritz in Mähren 1902 II 421.	03	I	272
— Zur Tektonik der Gneissgebiete am Ostrande der böhmischen Masse	02	II	422
— Ueberreste von Rhinoceros sp. aus der östlichen Mongolei	03	I	145
— Vorläufiger Bericht über die geologische Aufnahme im südlichen Theile der Brünner Eruptivmasse	04	II	385
Sundt, L.: La época glacial en Bolivia	01	II	292
Supan, A.: Die Bodenformen des Weltmeeres	02	I	199
— Grundzüge der physikalischen Geographie	CBl	1900	393
Surgunoff, N.: Analyse eines Minerales aus der Bolusgruppe vom Werchnje Bulansky-Bergwerk im Ural	04	II	26

	Jahrg.	Bd.	Seite
Sussmann, O.: Zur Kenntnis einiger Blei- und Zinkerzvorkommen der alpinen Trias bei Dellach im Oberdrau-Thal	1904	I	396
Sustschinsky, P.: Mineralogische Beobachtungen in den Ilmen-Bergen und dem Bergwerksbezirk Kyschtim im Ural	01	I	361
— Einige mineralogische Beobachtungen im Ilmengebirge und Bezirk Kyschtym im Ural	01	II	205
— Ueber den Cölestin aus dem Cementsteinbergwerk Marienstein bei Tegernsee in Bayern	02	II	202
— Beiträge zur Kenntniss des Geikielith, Ilmenit und Hämatit	04	I	14
— Mikroskopische Untersuchung einiger Pseudomorphosen	04	I	164
— Untersuchung einiger künstlich dargestellten Verbindungen. 3. Künstlicher Kupferglanz	04	I	166
— Untersuchung einiger künstlich dargestellter Verbindungen. 2. Künstlicher Titanit	04	I	169
Svedmark, E.: Meddelanden om jordstötar in Sverige 1903 I 50	04	I	372
Svenonius, F.: Strandlinierna vid Torne Träsk	1900	II	449
Sweet, G., siehe C. C. Brittlebank, G. Sweet etc.			
Swerinzew, L.: Zur Entstehung der Alpenseen	1900	I	212
Swidkes, J.: Die miocänen Foraminiferen der Umgebung von Kolomea	03	II	150
Szádeczky, G. v.: Description des minéraux et des roches présentés à l'exposition de Paris 1900 par le laboratoire de minéralogie et de géologie de l'Université de Kolozsvar et par le „Museum Transsylvanicum“	01	I	402
— Ueber einige verkannte Gesteine des Vlegyásza-Gebirges	03	II	72
Szajnocha, W.: Numulit z Dory nad Prutem	03	I	271
— Atlas Geologiczny Galicyi. 1 : 75000. 13. Liefg.	03	II	91

T.

Tacchini, P.: Misure magnetiche eseguite in Italia nel 1891, e contribuzioni allo studio delle anomalie nei terreni vulcanici	1900	II	214
— Il terremoto nell' Emilia della sera del 4 marzo 1898	1900	II	377
— Il terremoto Romano del 19 luglio 1899	01	I	215
Tacconi, E.: Ueber Wulfenit von Sarrabus	1901	II	31
— Alcune notizie geologiche sul gruppo della Presolana	1901	II	110
— Sulla Wulfenite del Sarrabus	1901	II	360
— Sopra alcuni minerali del granito di Montorfano	04	I	181
Tacke, Br.: Bemerkungen zu der Abhandlung: Zur Analyse des Torfes von H. Bornträger	03	II	390
Tagliarini, F. P.: Monografia sui Nautili del Dogger inferiore di Monte San Giuliano (Erice)	03	I	331
Tammann, G.: Ueber die Krystallisationsgeschwindigkeit. III.	1900	I	333
— Ueber die Dampfspannung von krystallisierten Hydraten, deren Dampfspannung sich continuirlich mit der Zusammensetzung ändert	1900	I	334
— Ueber die Abhängigkeit des elektrischen Leitvermögens vom Druck	01	I	440
— Ueber die Grenzen des festen Zustandes. I—IV. 1901 II 252 V.	03	I	452

	Jahrg.	Bd.	Seite
Tammann, G.: Ueber adiabatische Zustandsänderungen eines Systems, bestehend aus einem Krystall u. seiner Schmelze	1901	II	255
— Ueber die Ausflussgeschwindigkeit krystallisierter Stoffe 1902 I 337	03	II	311
— Ueber die sogenannten flüssigen Krystalle . 1902 II 3	03	II	163
— Ueber Tripelpunkte	03	II	10
— Krystallisiren und Schmelzen, ein Beitrag zur Lehre der Aenderungen des Aggregatzustandes	CBl 1904		51
— siehe Hollmann R. und G. Tammann.			
— siehe Werigin, N. etc.			
Taramelli, T.: Di alcuni scoscendimenti nel Vicentino	1900	II	264
— Osservazioni stratigrafiche a proposito delle fonti di S. Pellegrino in provincia di Bergamo	02	II	60
— Sulla probabile tectonica del gruppo del Sempione	03	I	481
— Sulle bombe di Vulcano e sulla forma dello Stromboli	03	II	46
— Di alcune condizioni tectoniche nella Lombardia occidentale	04	II	420
Tarassenko, W.: Materialien zur Beurtheilung des chemischen Baues der Kalknatronplagioklase	01	II	180
— Ueber ein Effusivgestein im Lipowez'schen Kreise des Gouv. Kiew	02	II	57
— Ueber ein Magnetitgestein vom Dorfe Michailowka im Kreise Winniza, Gouvernement Podolien	02	II	397
— Note sur la constitution chimique des plagioclases calco-sodiques	03	I	22
Tarnuzzer, Chr.: Les principaux gisements metallifères du Canton des Grisons	02	II	81
— Gesteine an der Albula-Bahn zwischen Filisur und Bellaluna	03	II	395
— Glacialreste von Chur und Filisur, aufgedeckt 1900	03	II	416
— Ein diluvialer Bergsturz der Bündner Schieferzone auf der Flimserbreccie von Valendas	03	II	416
— Die Asbestlager der Alp Quadrata bei Poschiavo (Graubünden)	04	I	401
— *an Herrn Dr. A. Rothpletz* . . . . . *CBl 1901 233*	CBl 1902		115
— siehe Rothpletz, A.			
Tassin, W.: Catalogue of the mineral collections in the U. S. National Museum	01	I	173
— Catalogue of the series illustrating the properties of minerals	01	I	174
— Descriptive catalogue of the meteorite collection in the United States National Museum, to January 1. 1902	03	I	207
— The Casas Grandes Meteorite	03	I	208
— Descriptive catalogue of the collection of gems in the U. S. National Museum	03	II	11
Tate, R., W. Howchin and T. W. E. David: Report of the Research Committee appointed to collect Evidence as to Glacial Action in Australasia	1900	II	107
Taubert, E.: Ueber rothes Quecksilberjodid (HgJ_2)	*CBl 1902*		*365*
Taylor, F. B.: Origin of the gorge of the Whirlpool rapids at Niagara	01	I	293
Teall, J. J. H.: A phosphatized trachyte from Clipperton Atoll (Northern Pacific)	1900	I	239
— On Nepheline-Syenite and its Associates in the North-West of Scotland	02	I	72
— The Revolution of Petrological Ideas	03	II	58
— siehe Newton, E. T. und J. J. H. Teall.			

	Jahrg.	Bd.	Seite
Teisseyre, W. und L. Mrazec: Das Salzvorkommen in Rumänien	1904	II	232
Telegd, L. R. v.: Der NO.-Rand des siebenbürgischen Erzgebirges in der Umgebung von Vidaly, Nagy-Oklos, Oláh-Rákos und Oerménies	03	I	274
Tenne, C. A. und S. Calderón: Die Mineralfundstätten der Iberischen Halbinsel	CBl	1902	662
Tenow, O.: Ueber einen mineralführenden Albitpegmatit von Stripåsen in Westmanland	04	I	390
Termier, P.: Sur l'élimination de la chaux par métasomatose dans les roches éruptives basiques de la région du Pelvoux	1900	I	54
— Quecksilbererze in China	1900	I	179
— Sur une variété de zoïsite des schistes métamorphiques des Alpes et sur les propriétés optiques de la zoïsite classique	1900	I	190
— Sur la composition chimique et les propriétés optiques de la Leverriérite	1900	II	353
— Sur une tachylyte du fond de l'Atlantique nord	01	I	228
— Sur l'apatite rouge de l'andésite de Guillestre	01	I	352
— Nouvelle contribution à l'étude cristallographique du cadmium et du zinc métalliques	01	II	8
— Sur le quartz prase des cargueules de Lazer	01	II	15
— Sur une association d'épidote et de zoisite et sur les rapports cristallographiques de ces espèces minérales	02	I	15
— Sur les micaschistes, les gneiss, les amphibolites et les roches vertes des schistes lustrées des Alpes occidentales	03	I	63
— Nouvelles observations géologiques sur la chaîne de Belledonne	03	I	66
— Sur les trois séries cristallophylliennes des Alpes occidentales	03	I	66
— Études lithologiques dans les Alpes françaises	03	I	66
— Sur la néotantalite, espèce minérale nouvelle	03	II	27
— Sur la célestine du Djebel Kebbouch et du Djebel Bezina (Tunisie)	03	II	334
— Sur le granite alcalin du Filfila (Algérie)	04	I	221
— siehe Kilian, W. et P. Termier.			
Tertsch, H.: Ueber die Lage der Hämatitschuppen im Oligoklas von Tvedestrand 1903 I 24	04	I	352
— Optische Orientirung von Feldspäthen der Oligoklasgruppe	04	I	354
Thadeef, K., siehe Arzruni A. und K. Thadeef.			
Thévenin, A.: Le bassin tertiaire d'Asprières (Aveyron) 1900 II 122	01	II	284
— Les échantillons-types de la Monographie des Nummulites de d'Archiac. Liste de leurs provenances	04	I	154
Thiele, F. C.: Ueber Texas-Petroleum	03	II	391
Thierry: Sur l'éruption volcanique du 8 mai à la Martinique	03	II	81
Thiot, L.: Sur la découverte d'un Rhynchoteuthis dans le Sénonien des environs de Beauvais	02	I	481
Thomas, H.: Note sur la géologie de Provins	01	II	284
— Sur l'existence du Lutétien supérieur (Calcaire grossier supérieur) dans la vallée de la Seine entre Villenauxe et Montereau et à Villiers-Saint-Georges au Nord de Provins	02	II	440

	Jahrg.	Bd.	Seite
Thomas, H. H.: Fossils in the Oxford University Museum, IV: Notes on some undescribed trilobites	1903	I	336
— The Mineralogical Constitution of the Finer Material of the Bunter Pebble-Bed in the West of England	04	I	218
Thoulet, J.: Analyse de fonds marins recueillies dans l'Iroise	01	II	378
— Fixation des argiles en suspension dans l'eau par les corps poreux	01	II	379
— Fixation par les corps poreux de l'argile en suspension dans l'eau	01	II	379
— Analyse mécanique des sols sous-marins	02	I	391
— Sur la constitution du sol des grands fonds océaniques	02	II	377
— Sur la constitution du sol subocéanique	03	II	63
Thürach, H.: Blatt Zell am Harmersbach (Baden)	1900	I	419
— Beiträge zur Kenntniss des Keupers in Süddeutschland	02	I	265
— Geologische Spezialkarte des Grossherzogthums Baden. Erläuterungen zu Blatt Haslach	03	I	455
Thugutt, St. J.: Ueber den Zeagonit als neues Zersetzungsproduct des Nephelins	*1900*	*II*	*65*
Thumann, H.: Der Grothan'sche „Stratameter"-Apparat zur Ermittelung des Streichens und Einfallens der Gebirgsschichten in Bohrlöchern und der Abweichung der letzteren von der Lothlinie	03	I	81
Tiddeman, R. H.: On the Formation of Reef Knolls	03	II	50
Tietze, E.: Zur Frage der Wasserversorgung der Stadt Brünn	03	II	395
Tietze, O.: Krystallographische Untersuchungen einiger neuer chemischer Verbindungen	*01*	*II*	*105*
Tietze, W.: Blätter Lebus, Seelow, Kustrin und Sonnenberg der preussischen geologischen Landesanstalt	02	II	445
Tobler, A.: Der Jura im Südosten der oberrheinischen Tiefebene	1900	I	279
Törnebohm, A. E.: Upplysninga till geologisk öfversigtskarta öfver Sveriges berggrund	02	II	97
— Om formationsgrupperna inom det nordligaste Skandinavien	03	I	283
— Några erinringar i anledning af P. J. Holmquist's Bihang till Torneträskprofilen	04	II	223
— En blick på den moderna petrografiens uppkomst och utveckling	CBl	1901	346
Toldo, G.: Strati a congerie nelle vicinanze d'Imola	1900	II	440
— Sezioni geologiche riguardanti la coltre alluvionale padana	02	II	284
Toll, E. v.: Beiträge zur Kenntniss des sibirischen Cambriums	01	I	114
— *Die Polarexpedition*	*CBl*	*1904*	*289*
Toll, E. v., siehe Schmidt, F. (über die russ. Polarexpedition).			
Tolloczko, St, siehe Bruner, L. und St. Tolloczko.			
Tolmatschew, J.: Das Bodeneis vom Flusse Beresowka in Nordostsibirien	03	II	348
Tolmatschow, J. P.: Ueber den Variolit vom Flusse Jenissei	1900	I	387
— Biotitgranit vom Flusse Ussuri	1900	I	389
— Der Ural-Rapakiwi und sein Contact mit mitteldevonischem Kalkstein	1900	I	389
— *Neue Funde zur Geologie Sibiriens*	*CBl*	*1904*	*233*

	Jahrg.	Bd.	Seite
Tommasi, A.: Alcuni fossili nel trias inferiore delle nostre Alpi	1900	II	314
— La Fauna dei calcari rossi e grigi del Monte Clapsavon nella Carnia occidentale	01	II	134
Tornquist, A.: Einige Bemerkungen über das Vorkommen von Ceratites subnodosus nov. var. romanicus in der Dobrudscha	*1900*	*I*	*173*
— Neue Beiträge zur Geologie und Palaeontologie der Umgebung von Recoaro und Schio (im Vicentin) II. Die Subnodosus-Schichten	1900	I	115
— Neue Beiträge zur Geologie und Palaeontologie der Umgebung von Recoaro und Schio (im Vicentin). III. Der Spitzkalk	1900	I	274
— Der Dogger am Espinazito-Pass, nebst einer Zusammenstellung der jetzigen Kenntnisse von der argentinischen Juraformation	1900	II	116
— Neue Beiträge zur Geologie und Palaeontologie der Umgebung von Recoaro und Schio (im Vicentin). IV. Der Sturia-Kalk	1900	II	433
— Das vicentinische Triasgebirge. Eine geologische Monographie	01	II	98
— Das fossilführende Untercarbon am östlichen Rossbergmassiv in den Südvogesen. III. Beschreibung der Echiniden-Fauna	01	II	158
— Die im Jahre 1900 aufgedeckten Glacialerscheinungen am Schwarzen See	02	I	287
— Ergebnisse einer Bereisung der Insel Sardinien	03	I	476
— *Die Daonellen des deutschen Muschelkalkes*	*03*	*II*	*83*
— Der Gebirgsbau Sardiniens und seine Beziehungen zu den jungen, circum-mediterranen Faltenzügen	04	I	259
— *Beiträge zur Geologie der westlichen Mittelmeerländer. I.*	*BB*	*XX*	*149*
— *Beiträge zur Geologie der westlichen Mittelmeerländer. II. (Siehe Deninger, K.)*	*BB*	*XX*	*436*
— *Beiträge zur Geologie der westlichen Mittelmeerländer. III. Die carbonische Granitbarre zwischen dem oceanischen Triasmeer und dem europäischen Triasbinnenmeer. Die Entwicklung der Trias auf Corsica*	*BB*	*XX*	*466*
— *Eine Neubenennung des Ceratites subnodosus (Münster) mihi*	*CBl*	*1900*	*92*
— *VIII. Congrès géologique international zu Paris im Jahre 1900*	*CBl*	*1900*	*241*
— *Das Vorkommen von nodosen Ceratiten auf Sardinien und über die Beziehungen der mediterranen zu den deutschen Nodosen*	*CBl*	*1901*	*385*
— *Wenige Worte über Philippi's Erwiderung, die nodosen Ceratiten betreffend*	*CBl*	*1901*	*740*
Toucas, A.: Observations au sujet du mémoire de M. Grossouvre sur la Craie supérieure	03	II	408
— Sur l'évolution des Hippurites	03	II	451
— Sur l'origine et la classification des Hippurites	03	II	451
Toula, F.: Neue geologische Mittheilungen aus der Gegend von Rustschuk in Bulgarien	*1900*	*I*	*29*
— Neue Erfahrungen über den geognostischen Aufbau der Erdoberfläche. VII. 1896—1898. Abgeschlossen am 31. Januar 1899	1900	I	34
— Phoca vindobonensis n. sp. von Nussdorf bei Wien	1900	II	459

	Jahrg.	Bd.	Seite
Toula, F.: Ueber den neuesten Stand der Goldfrage	1901	I	422
— Verschiedene Ansichten über das Innere der Erde	01	II	44
— Die Erosionsformen des Granits und die vorgeschichtlichen Steindenkmäler	02	II	212
— Führer für die Excursion auf den Semmering	04	I	251
— Das Nashorn von Hundsheim. Rhinoceros (Ceratorhinus Osborn) hundsheimensis nov. form. Mit Ausführungen über die Verhältnisse von elf Schädeln von Rh. (Cer.) sumatrensis	04	I	300
Toula, Fr. und Bisching, A.: Dr. F. v. Hochstetter's und Dr. A. Bisching's Leitfaden der Mineralogie und Geologie für die oberen Klassen der österreichischen Realschulen	CBl	1904	55
Tournouer, A.: Note sur la géologie et la paléontologie de la Patagonie	04	II	122
Tower jr., G. W. and G. O. Smith: Geology and Mining Industry of the Tintic District, Utah	01	II	414
Trabucco, G.: Sul Tongriano di Casinelle nell' Alto Monferrato	1900	II	288
— Sulla questione della stratigrafia dei terreni del bacino di Firenze	02	II	423
— Fossili, stratigrafia ed età dei terreni del Casentino (Toscana)	03	I	109
— Il carattere paleontologico nella cronologia del Miocene dell' Appennino	03	I	131
— Fossili, stratigrafia ed età della Creta superiore del Bacino di Firenze	03	II	409
— Sulla posizione ed età del Macigno dei monti di Cortona	04	I	277
— Studio geo-idrologico per provvedere di aqua potabile le frazione Impruneta e Desco (Comune di Galluzzo) presso Firenze	04	II	82
Traquair, R. H.: On Cladodus Neilsoni (Traquair), from the Carboniferous limestone of East Kilbride	1900	I	464
— Thelodus Pagei Powrie sp. from the Old Red Sandstone of Forfarshire	01	I	504
— On a new species of Cephalaspis, discovered by the geological Survey of Scotland, in the Old Red Sandstone of Oban	01	I	504
— Report on the fossil fishes collected by the geological Survey of Scotland in the silurian rocks of the South of Scotland	01	I	505
— Notes on the lower carboniferous fishes of Eastern Fifeshire	04	I	306
— On the distribution of fossil fish-remains in the carboniferous rocks of the Edinburgh district	04	I	460
Traube, Herm.: Ueber künstliche Darstellung von Mineralien durch Sublimation	*CBl*	*1901*	*679*
Traube, J.: Ueber den Raum der Atome	01	I	177
Travers, M. W.: The origin of the gases evolved on heating Mineral Substances, Meteorites etc.	1900	II	199
Travers, S.: Ricerche geognostiche e microscopiche su alcune roccie dell' Alto Canavese	1900	I	218
— Roccie granitiche e porfiriche del Sarrabus	1900	I	218
— Su alcune roccie di Fontanaccio e di Flumentorgiu in Sardegna	1900	I	219
— Le roccie della Val di Trebbia con appendico su alcuni graniti recenti	1900	I	219

	Jahrg.	Bd.	Seite
Trechmann, C. O.: Note on a British Occurrence of Mirabilite	1902	II	202
— Ueber einen Fund von ausgezeichneten Pseudogaylussit- (= Thinolith = Jarrowit-) Krystallen	02	II	346
Treitz, P.: Bodenkarte der Umgebung von Magyar-Ovár) (Ungarisch-Altenburg)	01	II	90
— Bericht über die agro-geologische Specialaufnahme im Jahre 1898	04	I	256
Trener, G. B.: Bericht aus der Gegend von Borgo 1902 II 420	03	I	122
— Reisebericht aus der Cima d'Asta-Gruppe	02	II	420
— Ueber das Vorkommen von Vanadium, Chrom und Molybdän in Silicatgesteinen	04	II	381
Trenkler, H.: Die Phonolithe des Spitzberges bei Brüx in Böhmen	03	I	242
Trentanove, G.: Il miocene medio die Popogna e Cafaggio nei Monti Livornesi	04	I	288
Trenzen, C.: Beiträge zur Kenntniss einiger niederhessischer Basalte	*02*	*II*	*1*
Treptow, E.: Die Mineralbenutzung in vor- und frühgeschichtlicher Zeit	03	I	81
Treubert, Fr.: Die Sonne als Ursache der hohen Temperatur in den Tiefen der Erde, der Aufrichtung der Gebirge und der vulcanischen Erscheinungen	CBl	1904	572
Trouton, F. T.: Arrangement of the Crystals of certain Substances on Solidification	01	I	438
Trüstedt, O.: Ueber die Erzlagerstätten von Pitkäranta	04	II	412
Tschermak, G.: Ueber das Mischungsgesetz der Turmaline	1900	II	24
— Bemerkungen über das Mischungsgesetz der Turmaline	03	I	31
— Die gewöhnliche Umwandlung der Turmaline	03	I	32
— Quarz mit fremden Einschlüssen	04	I	16
— Eine Beziehung zwischen chemischer Zusammensetzung und Krystallform	04	I	323
Tschernik, G.: Die Zusammensetzung und Natur eines Ceritminerals aus dem Batum'schen Gebiete	03	II	190
— Einige Worte über die Zusammensetzung eines Gadolinits aus dem Batum'schen Gebiete	03	II	190
— Einige Worte über die Zusammensetzung zweier seltener Mineralien, welche zusammen im Batum'schen Kreise gefunden worden	03	II	190
— Einiges über den auf dem Kaukasus gefundenen Fergusonit	03	II	190
— Resultate der Untersuchung der chemischen Zusammensetzung zweier seltener Mineralien, welche im Batum'schen Gebiete des Kaukasus gefunden worden	03	II	190
Tschernyschew, Th. und N. Jakowlew: Die Kalksteinfauna des Cap Grebeni auf der Insel Waigatsch und des Flusses Nechwatowa auf Nowaja-Semlja	1900	I	271
Tschirwinsky, P. de: Sur des globules siliceux contenus dans un grès	04	II	173
Tschugaeff, L.: Ueber Triboluminiscenz	02	II	176
Turner, H. W.: Notes on rocks and minerals from California	1900	I	31. 72
— The occurrence and origin of diamonds in California	1900	I	338
— Some rockforming Biotites and Amphiboles; with analyses by W. F. Hillebrand, H. N. Stokes and W. Valentine 1900 II 197	1901	I	241
— The Nomenclature of Feldspathic Granolites	01	II	220

	Jahrg.	Bd.	Seite
Turner, H. W.: Replacement Ore Deposits in the Sierra Nevada	1902	II	242
— The pleistocene geology of the south central Sierra Nevada with especial reference to the origin of Yosemite valley	02	II	284
— Notes on unusual minerals from the Pacific States	03	I	389
— siehe Hillebrand, W. F. etc.			
Tutkowski, P.: Zur Geologie des Lutzk'schen Kreises im Gouv. Wolhynien. 2. Ueber den See-Löss und den subaëralen Löss	1900	I	298
— Index bibliographique de la litérature sur les foraminifères vivants et fossiles (1888—1898)	02	I	154
— Les foraminifères de la marne à Spondylus de Kiew	03	I	327
Tutton, A. E.: Ein Compensationsinterferenzdilatometer	01	II	168
— Ueber die Bemerkungen des Herrn Dr. Pulfrich, betreffend mein Compensationsinterferenzdilatometer	01	II	169
— Verbesserungen an dem Apparate zum Schneiden, Schleifen und Poliren genau orientirter Krystallplatten	01	II	337
Tyrrell, J. B.: Report on the Doobaunt, Kazan and Ferguson Rivers and the nord-west coast of Hudson Bay and on the overland routes from Hudson Bay to Lake Winnipeg	01	I	267
Tyrrell, J. B. and Dowling: Report on the country between Athabasca Lake and Churchill River	1900	I	258
Twrdy, K.: Methodischer Lehrgang der Krystallographie	1900	II	169

U.

Udden, J. A.: The Mechanical Composition of Wind Deposits	1900	II	74
Ugolini, P. R.: Contribuzione allo studio del pliocene di una parte del bacino dell Era	01	II	129
— Monografia dei pettinidi miocenici dell' Italia centrale	01	II	319
— Molluschi nuovi o poco noti del pliocene della Val d'Era	01	II	481
— Appendice al catalogo dei molluschi fossili pliocenici del' Bacino dell Era	01	II	481
— Sulla presenza del Pecten aduncus Eichw. nella panchina pliocenica dei Monti livornesi	01	II	482
— Il Pectunculus glycimeris L. e il Pectunculus insubricus Brocc. del pliocene italiano	01	II	482
— Sopra alcuni pettinidi delle arenarie mioceniche del circondario di Rossano in Calabria	01	II	482
— Sopra alcuni fossili dello Schlier del Monte Cedrone (Umbria)	02	I	120
— Resti di Sus erymanthius della lignite di Corvarola di Bagnone, Val di Magra	04	II	143
Uhlich, P., siehe Kolbeck, F. und P. Uhlich.			
Uhlig, V.: Ueber eine unterliassische Fauna aus der Bukowina 1901 I 483	02	II	268
— Ueber die Cephalopodenfauna der Teschener und Grodischter Schichten 1902 II 146	03	II	296
— Abwehrende Bemerkungen zu R. Zuber's Stratigraphie der karpathischen Formationen	02	II	260
— Bericht über die seismischen Ereignisse des Jahres 1900 in den deutschen Gebieten Böhmens	03	I	224
Uličný, J.: Neuer Fundort von Lepidolith in Mähren	01	II	192
— Mineralogische Nachlese in Westmähren	03	II	31

	Jahrg.	Bd.	Seite
Ulrich, E. O. and Ch. Schuchert: Paleozoic seas and barriers in eastern North Amerika	1903	I	104
Ungern-Sternberg, E. Freih. v.: Die Hexactinelliden der senonen Diluvialgeschiebe in Ost- und Westpreussen	04	II	158
Unruh, M. v., siehe Erdmann, H. und M. v. Unruh.			
Upham, W.: Niagara gorge and St. Davids channel	01	I	293
Uroschewitsch, S.: Ueber eine Pseudomorphose von Asbest nach Biotit	01	I	173
Uspensky, N.: Die Eisenerzlagerstätten im Bogoslowsk'schen Bergrevier	03	II	235
Ussher, W. A. E.: The Culm measure typs of Great Britain	03	I	297
— The Geology of the country around Torquay	04	I	96
Ussing, N. V.: Mineralogisch-petrographische Untersuchungen von grönländischen Nephelinsyeniten und verwandten Gesteinen. II. Die kieselsäurearmen Hauptmineralien	01	I	38
— Sandstengange i Granit paa Bornholm	1901	I	72. 102
— Om et nyt Findested for marint Diluvium vid Hostrup i Salling. Med bemaerkninger om Molluskfaunaen af A. C. Johansen	04	II	128
— Mineralproduktionen i Danmark ved Aaret 1900	CBl	1902	663

V.

Vacek, M.: Ueber Säugethierreste der Pikermifauna vom Eichkogel bei Mödling	03	II	132
Vacher de Lapouge, G., siehe Lapouge, G. Vacher de.			
Vaffler, A.: Sur le terrain carbonifère des environs de Mâcon	04	II	478
— Étude géologique et paléontologique du carbonifère inférieur du Maconnais	04	II	478
Valentine, W., siehe Turner, H. W.			
Vallée-Poussin, Ch. de la: Observations sur la série de Bure aux environs d'Esneux	01	II	440
Vallot, J.: Nouvelles recherches scientifiques exécutées dans le tunnel du Mont Blanc	1900	II	212
— La moraine profonde et l'érosion glaciaire	1900	II	213
— Explorations des moulins de la mer de glace	1900	II	213
Vanhöffen, E.: Die fossile Flora von Grönland	02	II	318
Vanhove, D.: Description cristallographique du Quartz de Nil-Saint-Vincent	02	I	168
— Description cristallographique du Quartz de Quenast	02	I	169
Vanino, L., siehe Stoeckel, K. und L. Vanino.			
Vasseur, G.: Sur la découverte de fossiles dans les assises qui constituent en Provence la formation dite étage de Vitrolles, et sur la limite des terrains crétacés et tertiaires dans le bassin d'Aix (Bouches-du-Rhône)	01	II	299
— Sur les formations tertiaires supranummulitiques de l'Ariège, et en particulier sur la réapparition dans ce département de la bande des calcaires stampiens de Briatexte	03	I	511
Vater, H.: Ueber den Einfluss der Lösungsgenossen auf die Krystallisation des Calciumcarbonates. VII. Theil. Der Einfluss des Calciumsulfates, Kaliumsulfates und Natriumsulfates	1900	II	7

	Jahrg.	Bd.	Seite
Vater, H.: Ueber den Einfluss der Lösungsgenossen auf die Krystallisation des Calciumcarbonates. VIII. Theil. Ueber die Einwirkung von Alkalicarbonatlösungen auf Gyps und Anhydrit	1900	II	9
— Ueber die Einwirkung von Alkalicarbonatlösungen auf Gyps und Anhydrit	1900	II	9
— Einige Versuche über die Bildung des marinen Anhydrites	01	II	33
— Ueber Ktypeït und Conchit	02	II	348
Vaughan, C.: On Kumatology	01	I	392
Vaughan, T. W.: Trochocyathus Woolmani, a new coral from the cretaceous of New Jersey	01	II	326
— A new fossil species of Caryophyllia from California and a new genus and species of Turbinolid Coral from Japan	01	II	326
— A tertiary coral reef near Bainbridge, Georgia	01	II	327
— Some fossil corals from the elevated reefs of Curaçao, Arube and Bonaire	02	I	320
— Maryland Geological Survey. Eocene	03	II	301
— Some recent changes in the nomenclature of West Indian Corals	03	II	301
— The stony Corals of the Porto-Rican Waters	03	II	301
— The Eocene and lower Oligocene Coral Faunas of the United States, with descriptions of a few doubtfully cretaceous species	04	I	466
— siehe Hill, R. T. and T. W. Vaughan.			
Vaughan Jennings, A.: The Geology of the Davos District (Switzerland)	01	II	94
Vélain, Ch.: Cours élémentaire de géologie stratigraphique	CBl	1900	24
Velge, G.: De l'identité des sables anversiens et des sables distiens	1900	I	125
— De l'identité des sables éocènes laekeniens à travers la Hesbaye et la Haute-Belgique	1900	I	451
— Sur les Nummulites du terrain bruxellien	1900	I	451
	01	I	478
Velge, G. et B. van Ertborn: Le puits artésien de Westerloo, 2me note	1900	I	126
Velio, Z.: Nota su di una sostanza cristallina estratta dalla lignite di Monte Pulli (Vicenza)	02	I	16
Verbeek, R. D. M.: Die Geologie von Java	1900	I	261
— Ueber die Zinnerzlagerstätten von Bangka und Billiton	01	I	422
Vernadsky, W.: Zur Theorie der Silicate	02	II	190
— Ueber Thuringit und Stilpnomelan russischer Lagerstätten	02	II	351
— Ueber die Krystalle von α-Schwefel und über dessen Lagerstätten in Russland	04	II	8
— Ueber Apatit von Choranta-Choch im Kaukasus	04	II	30
Vernadsky, W. und S. Popoff: Die Schlammvulcane von Jenikale	01	II	209
— — *Zur Paragenese des Goldes von Siebenbürgen*	*CBl*	*1903*	*331*
Vernadsky, W. und A. Schkljarewsky: Ueber kugelige Graphitausscheidungen aus dem Ilmengebirge	02	II	333
Verneuil, A.: Production artificielle du rubis par fusion	03	II	325
Verri, A.: Sulla trivellazione di Capo di Bove	02	II	59
— Sul Vesuvio e sul vulcano Laziale	03	I	42
— Sul vulcano laziale	03	II	46
— Rapporti tra il vulcano laziale e quello di Bracciano	04	I	369
— Sulla divergenza di vedute circa le formazioni eoceniche e mioceniche dell' Umbria	04	II	117

	Jahrg.	Bd.	Seite
Verri, A.: Elenco di scritti contenenti applicazioni della geologia	1904	II	198
— Sull' andesite augitica del Piano delle Macinaie nel Monte Amiata	04	II	218
— Problemi orogenici dell' Umbria	04	II	422
Verri, A. e de Angelis d'Ossat: Contributo allo studio del Miocene nell' Umbria	02	I	119
— — Secondo contributo allo studio del Miocene nell' Umbria	03	I	131
— — Terzo contributo allo studio del Miocene nell' Umbria	04	I	277
Very, F. W.: A Cosmic Cycle	03	II	42
Vesterberg, A.: Chemische Studien über Dolomit und Magnesit	03	I	190
Viard, G.: Sur une préparation du sulfure de zinc et du sulfure de cadmium cristallisés	04	I	343
Vidal, L. M.: Sur le Crétacé superieur de la Vallée de la Muga (Province de Gerona)	02	I	453
Viglino, A. e G. Capeder: Communicazione preliminare sul Loess piemontese	01	I	292
Vigo, G.: Studio petrografico su alcune roccie della Carnia	1900	II	396
Villain, P.: Sur la genèse des minerais de fer de la région lorraine	01	I	428
Villiaume: Sur une coupe de Madagascar, présentée par H. Douvillé	01	II	264
— Extrait d'un rapport de mission à M. le général Gallieni	01	II	264
Vinassa de Regny, P. E.: I pozzi artesiani del comune di Cascina	1900	II	49
— I molluschi degli strati con Serpula spirulaea e la posizione del piano di Priabona	1900	II	288
— Studi geologici sulle rocce dell' Appennino Bolognese. I. Le roccie dei dintorni di Gaggio Montano	1900	II	396
— Sinopsis dei molluschi terziarii delle Alpi Venete. Parte I. Schluss. Parte II. Strati oligocenici	1900	II	440
— Il Chenopus uttingerianus Risso e il Ch. pespelecani L. del Pliocene italiano	1900	II	479
— Sopra un nuovo pteropode miocenico del Bolognese	1900	II	480
— Nuovi generi di radiolari del miocene di Arcevia	01	I	169
— Trias-Spongien aus dem Bakony. Resultate der wissenschaftlichen Erforschung des Balaton-Sees	02	I	491
— Appunti di geologia montenegrina	02	II	259
— Tracce glaciali nel Montenegro	03	I	310
— *Ueber Kerunia cornuta May.-Eym.*	*CBl*	*1902*	*137*
Vincent, E.: Description de deux espèces nouvelles de mollusques provenantes du Tongrien supérieur	02	I	130
— Contribution à la paléontologie de l'Éocène Belge. Céphalopodes dibranchiata	02	I	141
— Contribution à la paléontologie de l'Éocène Belge. Amplosipho	02	II	486
— Panopaea Honi Nyst	02	II	486
— Lucina Volderi Nyst	03	II	299
Viola, C.: Ueber den Verticalpendelseismograph	*1900*	*I*	*145*
— Homogenität und Aetzung (allgemeine Asymmetrie der Krystalle)	1900	II	3
— Ueber die Berechnung des Axenwinkels zweiaxiger Krystalle aus den Grenzwinkeln der Totalreflexion	1900	II	170
— Sulla determinazione delle costanti ottiche nei cristalli	1900	II	171
— Ueber die Bestimmung der optischen Constanten eines beliebig orientirten zweiaxigen Krystallschnittes	1900	II	171

	Jahrg.	Bd.	Seite
Viola, C.: Ein neues Refractometer und eine neue Methode zur Bestimmung der Hauptbrechungsindices eines optisch zweiaxigen Krystalles mit Hilfe des Prismas	1900	II	172
— Ueber eine neue Methode, die drei Hauptbrechungsindices eines beliebigen doppeltbrechenden Krystalles zu bestimmen	1900	II	172
— Optische Studien über italien. Mineralien. Steinsalz	1900	II	176
— Ueber einige im mineralogischen Institute zu München ausgeführte Untersuchungen	1900	II	180
— Per l'anortite del Vesuvio	1900	II	184
— Optische Studien über italien. Mineralien. Feldspath	1900	II	188
— Feldspathstudien	1900	II	188
— Optische Studien über italienische Mineralien. Muscovit vom Monte Orfano (Lago Maggiore)	1900	II	196
— Optische Studien über italienische Mineralien. Gyps aus der Romagna	1900	II	199
— Osservazioni geologiche fatte sui Monti Sablacensi nel 1897	01	I	97
— Die Methoden der Totalreflexion bei mehreren übereinander gelegten Schichten	01	II	3
— Ueber die Minima der Lichtablenkung durch Prismen anisotroper Medien	01	II	167
— Sopra alcuni pettini del calcare a piccole nummuliti dei dintorni di Subiaco in provincia di Roma	01	II	320
— Ueber optische Erscheinungen am Quarz	01	II	334
— Ueber optische Erscheinungen am Turmalin von Elba	01	II	334
— Ueber die Form der ordinären Wellenfläche	01	II	335
— *Beitrag zur Lehre von der Spaltbarkeit der Krystalle*	*02*	*I*	*9*
— Zur Begründung der Krystallsymmetrie	02	I	331
— Ueber das Glaukisiren verschiedener Feldspäthe	02	I	341
— La legge degli indici razionali semplici e i cristalli liquidi	02	II	1
— Ueber Ausbildung und Symmetrie der Krystalle	02	II	173
— Beitrag zur Symmetrie des Gypses	02	II	357
— A proposito del calcare con pettini e picole nummuliti di Subiaco (prov. di Roma)	02	II	438
— Ueber die optische Orientierung des Albites und das Tschermak'sche Gesetz	03	I	24
— Sulla genesi dei minerali di Monteponi	03	I	201
— L'augitite anfibolica di Giummarra presso Rammacca (Sicilia)	03	I	253
— Observation sur la note de M. A. Cornu	03	I	360
— Détermination des trois paramètres optiques principaux d'un cristal	03	I	360
— Die Bestimmung der optischen Constanten eines Krystalles aus einem einzigen beliebigen Schnitte	03	II	7
— Beitrag zur Zwillingsbildung. XII. Trikl. Feldspath	03	II	158
— Bemerkungen zur vorhergehenden Notiz	03	II	160
— Beziehungen zwischen Cohäsion, Capillarität und Wachsthum der Krystalle	03	II	161
— Lichtbrechungsverhältnisse des Turmalins	03	II	332
— I principali tipi di lave dei Vulcani Ernici	03	II	371
— Die Minimalablenkung des Lichtes durch doppeltbrechende Prismen und die Totalreflexion der optisch zweiaxigen Krystalle	04	I	322
— Osservazioni geologiche nella Valle dell' Aniene, eseguite nell' anno 1902	04	II	247

	Jahrg.	Bd.	Seite
Viola, C.: Beitrag zur Zwillingsbildung	1904	II	334
— *Ein Wort zur Krystallstruktur*	*CBl 1903*		*389*
Viola, C. und E. H. Kraus: Ueber Fedorowit	02	I	174
Virchow, R.: Ein Flachbeil aus Jadeit aus der Beeker Haide am Niederrhein	1900	II	19
Virgilio, Fr.: Le nuove teorie sulla erosione glaciale	02	II	374
— L'Ostrea Joannae Choefat in provincia di Bari (Puglie)	03	II	409
— Geomorfogenia della provincia di Bari	CBl 1901		20
Vischniakoff, N.: Allgemeine Beschreibung der Mineraliensammlung von Rudolph Hermann	CBl 1900		160
Vittenet, H., siehe Offret, A. et H. Vittenet.			
Vogel, F.: Neue Mollusken aus dem Jura von Borneo	01	I	487
Vogt, J. H. L.: Künstliche Bildung von Kassiterit durch einen einfachen Oxydationsprocess ohne Gegenwart von sogenannten „agents minéralisateurs“	1900	II	13
— Ueber die relative Verbreitung der Elemente, besonders der Schwermetalle, und über die Concentration des ursprünglich fein vertheilten Metallgehaltes zu Erzlagerstätten	1900	II	239
— Ueber die Bildung des gediegenen Silbers, besonders des Kongsberger Silbers, durch Secundärprocesse aus Silberglanz und anderen Silbererzen, und ein Versuch zur Erklärung der Edelheit der Kongsberger Gänge an den Fahlbandkreuzen	01	I	85
— Söndre Helgeland	02	I	91
— Weitere Untersuchungen über die Ausscheidungen von Titaneisenerzen in basischen Eruptivgesteinen	03	I	82
— Om silikatsmeltelösninger og deres smeltepunktsnedsaettelse	03	II	59
— Problems in the geology of Ore-Deposits	04	I	75
— Weitere Untersuchungen über die Ausscheidungen von Titaneisenerzen in basischen Eruptivgesteinen	04	I	84
— Platingehalt im norwegischen Nickelerz	04	I	237
— Das Bleiglanz-Silbererz-Gangfeld von Svenningdal im nördlichen Norwegen	04	I	398
— Die Theorie der Silicatschmelzlösungen	04	II	163
— Die regional-metamorphosirten Eisenerzlager im nördlichen Norwegen (Dunderlandsthal u. s. w.)	04	II	414
— Ueber den Export von Schwefelkies und Eisenerz aus norwegischen Häfen	04	II	414
— *Ueber die Beziehung zwischen den Schmelzpunkten der Mineralien und deren Krystallisationsfolge in Silicatschmelzlösungen und Eruptivmagmen*	*CBl 1904*		*49*
Voigt, W.: Ueber die Parameter der Krystallphysik und über gerichtete Grössen höherer Ordnung	03	II	6
— Beiträge zur Aufklärung der Eigenschaften pleochroitischer Krystalle	03	II	314
— Ueber Pyro- und Piëzomagnetismus der Krystalle	03	II	316
Voit, F. W.: Geognostische Schilderung der Lagerstättenverhältnisse von Dobschau in Ungarn	03	I	446
— Das Kupfererzvorkommen bei Senze do Itombe in der portugiesischen Provinz Angola, Westafrika	04	I	240
Volz, W.: Pithecanthropus erectus Dub.	1900	II	138
— Die Anordnung der Vulcane auf Sumatra	02	II	40
— Proneusticosaurus, eine neue Sauropterygier-Gattung aus dem unteren Muschelkalk Oberschlesiens	03	II	141

	Jahrg.	Bd.	Seite
Volz, W.: Beiträge zur geologischen Kenntniss von Nord-Sumatra	1904	I	426
— *Lavarinnen am Vulcan Guntur in West-Java*	*04*	*II*	*114*
— Ueber eine Korallenfauna aus dem Neocom der Bukowina. I. Theil	04	II	149
— *Der Vulcan Papandajan in West-Java*	*BB*	*XX*	*123*
— *Die Insel Pulo Laut bei SO.-Borneo als Beispiel einer Hebung durch einen Massenerguss*	*BB*	*XX*	*354*
— *Ueber Elephas Trogontherii in Schlesien. Eine Richtigstellung*	*CBl*	*1901*	*588*
— *Elephas Trogontherii Pohl. in Schlesien*	*CBl*	*1902*	*55*
Vorwerg, O.: Beiträge zur Diluvialforschung im Riesengebirge	1900	I	126
— Sur la mode d'expression et de représentation de la direction et de l'inclinaison des couches. VIII. Congrès géol. internat. 1900	03	II	42
Vrba, K.: Ueber die isomorphe Gruppe des Strengits und Skorodits	03	I	396
— Ueber einige Mineralien der Umgebung von Kuttenberg	03	I	401
Vredenburg, E.: Recent Artesian Experiments in India	02	II	417
Vredenburg, E., Dalton, P. N. und Oldham, R. D., siehe Oldham, R. D.			
Vučnik, Michaela: Ueber das Verhalten von Silicaten im Schmelzflusse	*CBl*	*1904*	*295. 340. 364*
Vukits, Berta: Beobachtungen an Silicaten im Schmelzfluss	*CBl*	*1904*	*705. 739*

W.

Waagen, L.: Ein Beitrag zur Geologie der Insel Veglia	04	I	257
— *Werfener Schichten in der Salt-Range*	*CBl*	*1900*	*285*
Waagen, W.: Nekrolog	*CBl*	*1900*	*380*
Wachter, F.: Die Minerale der Rauris	1900	II	359
— siehe Berwerth, Fr. und Fr. Wachter.			
Wadsworth, M. E.: Some methods of determining the positive or negative character of mineral plates in converging polarized light with the petrographical microscope	1900	I	48
Wägler, C.: Die geographische Verbreitung der Vulcane	02	II	39
Wähner, F.: Ueber Gesteinsschichtung und deren Einfluss auf die Gestaltung der Landschaft	1900	I	206
— Beiträge zur Kenntniss der tieferen Zonen des unteren Lias in den nordöstlichen Alpen. VIII. Theil	1900	I	312
— Das Sonnwendgebirge im Unterinnthal. Ein Typus alpinen Gebirgsbaues	03	I	494
Wahnschaffe, F.: Ueber das Vorkommen von Glacialschrammen auf den Culmbildungen des Magdeburgischen bei Hundisburg	01	I	135
— Ueber Aufschlüsse im Diluvium bei Halbe	01	I	288
— Bemerkungen zu den von E. Althans beschriebenen muthmaasslichen Endmoränen eines Gletschers vom Rehorn-Gebirge und Kolbenkamme bei Liebau in Schlesien . . . . . 1902 II 127	03	II	415
— Die eiszeitliche Endmoräne am Eingange des Oetzthales	02	II	446
— Auffindung der Paludinenbank in dem Bohrloche Carolinenhöhe bei Spandau	03	I	135

	Jahrg.	Bd.	Seite
Wahnschaffe, F.: Ueber das Vorkommen von Gletschertöpfen auf dem Sandstein bei Gommern unweit Magdeburg	1903	II	115
— Ueber Entwickelung der in den Braunkohlentagebauen von Nachterstedt und Frose aufgeschlossenen Quartärablagerungen	03	II	268
— Die glacialen Störungen in den Kreidegruben von Finkenwalde bei Stettin	04	II	446
— Die Ursachen der Oberflächengestaltung des norddeutschen Flachlandes	CBl	1901	204
— Anleitung zur wissenschaftlichen Bodenuntersuchung	CBl	1904	150
— siehe Berendt, G. und F. Wahnschaffe etc..			
— siehe Leppla, A. und F. Wahnschaffe.			
Waidelich: Einiges über die Keuper-Liasgrenze in der Balinger Gegend	02	I	269
Walcott, Ch. D.: Cambrian Brachiopoda: Obolella, Subgenus Glyptias; Bicia; Obolus, Subgenus Westonia; with descriptions of new species	02	I	486
— Cambrian Brachiopoda: Acrotreta, Linnarsonella, Obolus; with descriptions of new species	03	II	300
Waldschmidt, E.: 1. Dolinen im mitteldevonischen Kalk bei Elberfeld. 2. Zur Lenneschieferfrage	03	I	471
Walker, G. J.: Die optischen Eigenschaften dünner Metallplatten	03	II	315
Walker, T. L.: The crystalline form of Torbernite	1900	I	18
— Examination of some triclinic minerals by means of etching figures	1900	I	169
— Causes of Variation in the Composition of Igneous Rocks	1900	II	70
— The crystal symmetry of the minerals of the Mica group	1900	II	196
Walkoff, O.: Die diluvialen menschlichen Knochenreste in Belgien und Bonn in ihrer structurellen Anordnung und Bedeutung für die Anthropologie	04	II	299
Wallérant, F.: Mémoire sur la fluorine	1900	I	176
— Sur les lois régissant les macles proprements dites	1900	I	328
— Explication des macles obtenues par action mécanique	1900	I	329
— Théorie des anomalies optiques, de l'isomorphisme et du polymorphisme déduite des théories de MM. Mallard et Sohncke	1900	I	330
— Perfectionnement au réfractomètre pour les cristaux microscopiques	1900	I	332
— Sur la non-existence du système hexagonal	01	II	332
— Sur une catégorie de groupements cristallins échappant aux investigations optiques	01	II	332
— Sur la maille du résau et la forme primitive d'un corps cristallisé	02	I	2
— De la symmétrie apparente dans les cristaux	02	II	2
— Sur un nouveau modèle de réfractomètre	03	II	9
— Sur les groupements de cristaux d'espèces différentes	03	II	168
Walter: Ueber Nemertites Sudeticus Roem., sein Vorkommen und seine Entstehung	*CBl*	*1903*	*76*
Walther, Johs.: Das Gesetz der Wüstenbildung in Gegenwart und Vorzeit	01	II	212
— Ueber Mastodon im Werragebiet	03	II	285
— *Die Entstehung von Salz und Gyps durch topographische oder klimatische Ursachen. Eine Entgegnung*	*CBl*	*1903*	*211*
— *Ueber die Fauna eines Binnensees in der Buntsandsteinwüste*	*CBl*	*1904*	*5*

	Jahrg.	Bd.	Seite
Walther, Johs.: Estheria im Buntsandstein	*CBl*	*1904*	*195*
— siehe Ochsenius, C.			
Walther, K.: Das Unterdevon zwischen Marburg a. Lahn und Herborn (Nassau)	*BB*	*XVII*	*1*
Wanner, J.: Die Fauna der obersten weissen Kreide der Libyschen Wüste	1903	I	509
Ward, H. L.: A new Kansas Meteorite	1900	II	199
— Notice of a new Meteorite from Murphy, Cherokee Co. N. C.	01	II	38
— Notice of an Aerolite that recently fall at Allegan, Michigan	01	II	38
— The Bath Furnace Meteorite	04	I	194
— The Andover Meteorite	04	I	194
Ward, L. F.: The cretaceous formation of the Black Hills as indicated by the fossils plants	1900	II	438
— Descriptions of the species of Cycadoidea, or fossil Cycadean trunks, thus far determined from the lower cretaceous rim of the Black Hills	1900	II	496
Warren, C. H.: Mineralogische Notizen	01	I	37
— Mineralogical Notes 1902 I 351. 353	04	II	197
— siehe Penfield, S. L. and C. H. Warren.			
Warth, H.: Diagram of Composition of Igneous Rocks	01	II	220
— On Gibbsite from the Palni Hills in Southern India	03	I	381
— *Ueber Hydrargillit von den Palni-Bergen im Süden Indiens*	*CBl*	*1902*	*176*
— *Die Bildung des Aragonits aus wässriger Lösung*	*CBl*	*1902*	*492*
Washington, H. S.: Sölvsbergite and Tinguáite from Essex County, Mass.	1900	II	66
— Some Analyses of Italian Volcanic Rocks	01	I	223
— Some Analyses of Italian Volcanic Rocks. II.	01	I	224
— The Statement of Rock Analyses	01	I	396
— Igneous Complex of Magnet Cove, Arkansas	02	II	238
— Igneous Rocks from Eastern Siberia	03	II	199
— siehe Cross, W., Iddings, J. P. etc.			
Wassiljeff, A.: Die Untersuchung des Kujalnik-Limans. Topographischer Theil	01	II	382
Waters, A. W.: Interzooecial communication in Flustridae and notes on Flustra	1900	I	478
— Jurassic Bryozoa	1900	I	478
— Observations on Membraniporidae	1900	II	158
Watson, Th. L.: On the occurrence of Uranophane in Georgia	03	I	392
— Weathering of Granitic Rocks of Georgia	03	I	436
— The Georgia Beauxite Deposits; their chemical constitution and genesis	04	II	17
— Copper-bearing rocks of Virgilina Copper District, Virginia and North Carolina	04	II	73
— On the Occurrence of Aplite, Pegmatite and Tourmaline Bunches in the Stone Mountain Granite of Georgia.	04	II	402
Wauters, A. J.: L'état indépendant du Congo	02	I	84
Weber, C., siehe W. Koert und C. Weber.			
Weber, C. A.: Ueber die Vegetation zweier Moore bei Sassenberg in Westfalen. Ein Beitrag zur Kenntniss der Moore Nordwestdeutschlands	1900	II	492
— Untersuchung der Moor- und einiger anderer Schichtenproben aus dem Bohrloche des Bremer Schlachthofes	01	I	169

	Jahrg.	Bd.	Seite
Weber, C. A.: Zur Kritik interglacialer Pflanzenablagerungen	1901	I	290
— Ueber die fossile Flora von Honerdingen und das nordwestliche Diluvium	01	II	290
— Ueber Litorina- und Praelitorina-Bildungen der Kieler Föhrde	04	II	452
— siehe Müller, G. und C. A. Weber.			
Weber, H.: Die Goldlagerstätten des Cape Nome-Gebietes	02	II	247
— Ueber die Aufschliessung der Silikate durch Borsäureanhydrid und über eine neue Methode zur Bestimmung des Fluors im Kryolith	CBl	1902	504
Weber, M.: Ueber Flussspath von Epprechtstein im Fichtelgebirge	04	I	166
— Ueber Danburit aus Japan	04	II	177
— *Beiträge zur Kenntniss des Monzonigebietes*	*CBl*	*1901*	*673*
— *Erwiderung (gegen Romberg, Monzonit-Aplit)*	*CBl*	*1902*	*81*
Weber, W.: Notiz über die Steinkohlenlagerstätte bei Otschemtschiri am Ufer des Schwarzen Meeres	04	I	230
Wedding: Die Eisenerzvorkommen von Gellivara und Grängesberg in Schweden	1900	I	80
Weed, W. H.: Enrichement of Mineral Veins by later Metallic Sulphides 1901 I 372	02	II	79
— Notes on the ore deposits of the Little Belt Mountains	01	II	366
— Secundäre Anreicherung von Gold- und Silber-Erzgängen	02	II	80
— The El Paso Tin Deposits	02	II	342
— Geology of the Little Belt Mountains, Montana, with notes on the Mineral Deposits of the Neihart, Barker, Yogo and other Districts, accompanied by a Report on the Petrography of the Igneous Rocks of the District by L. V. Pirsson	03	I	430
— Der Einfluss des Nebengesteines auf die Gangfüllung	04	II	230
— Contactmetamorphe Erzlagerstätten	04	II	231
Weed, W. H. and L. V. Pirsson: Geology and mineral resources of the Judith Mountains of Montana	1900	I	405
Weeks, F. B.: North American geologic formation names: Bibliography, Synonymy and Distribution	03	II	418
— Bibliography and index of North American geology, paleontology, petrography and mineralogy for 1897 and 1898	CBl	1900	159
Wehrli, L. et C. Burckhardt: Rapport préliminaire sur une expédition géologique dans la Cordillère argentino-chilienne entre le 33° et 36° lat. sud.	CBl	1901	207
— — Réplique (hierauf bezüglich)	CBl	1901	207
Weibull, M.: Notiz über die optischen und krystallographischen Eigenschaften des Fluocerit	1900	I	179
— Ueber Ransätit von Ransäter, Wermland	1900	I	187
— Ueber Manganapatitkrystalle von Vestanå	1900	I	193
— Ueber einige Mineralien von Vestanå. 1. Ueber Vestanit, Pyrophyllit und Kaolin	1900	I	197
— Einige Kalkspathkrystalle von Gräsberg in Dalarne	02	I	172
— Ueber Barylit und Cordierit	02	I	176
Weidman, S.: A Contribution to the Geology of the Precambrian Rocks of the Fox River Valley, Wisconsin	01	II	242
— Note on the Amphibole Hudsonite previously called a Pyroxene	04	II	23
Weigert, F., siehe Hoff, J. H. van't und Mitarbeiter.			

	Jahrg.	Bd.	Seite
Weinberg, M., siehe Silberberg, L. und M. Weinberg.			
Weingarten, P.: Ueber die chemische Zusammensetzung und Constitution des Vesuvian	CBl	1902	726
Weinschenk, E.: Zur Classification der Meteoriten	1900	II	204
— Natürliche Färbung der Mineralien	1900	II	344
— Zur Kenntniss der Graphitlagerstätten. Chemisch-geologische Studien. II. Alpine Graphitlagerstätten. (Anhang: Die Talkschiefer und ihr Verhältniss zu den Graphitschiefern.) III. Die Graphitlagerstätten der Insel Ceylon	01	II	77
— Ueber einige bemerkenswerthe Minerallagerstätten der Westalpen	01	II	201
— Der Silberberg bei Bodenmais im Bayrischen Wald	02	I	80
— Ueber eine Verbesserung an der Polarisationseinrichtung von Mikroskopen	03	I	362
— Die Kieslagerstätte am Silberberg bei Bodenmais	03	I	444
— Korund aus Tirol	03	II	325
— Ueber den Breislakit	04	I	174
— Die Tiroler Marmorlager	04	I	380
— Ueber einen eigenartig ausgebildeten Diopsid von Moravicza (Vaskö) in Ungarn	04	II	21
— Vergleichende Studien über den Contactmetamorphismus	04	II	50
— Die Erzlagerstätte des Schneebergs in Tirol und ihr Verhältniss zu jener des Silberbergs bei Bodenmais im Bayrischen Wald	04	II	239
— Einige Beobachtungen über die Erzlagerstätte im Pfunderer Berg bei Klausen in Südtirol	04	II	239
— Dynamométamorphisme et piézocristallisation	CBl	1901	51
— Anleitung zum Gebrauch des Polarisationsmikroskops	CBl	1901	500
— *Ueber die Plasticität der Gesteine*	*CBl*	*1902*	*161*
— *Dynamometamorphismus und Piëzokrystallisation*	*CBl*	*1902*	*193*
— *Die Resultate der petrographischen Untersuchung des Gross-Venedigerstockes in den Hohen Tauern und die daraus sich ergebenden Beziehungen für die Geologie der Centralalpen überhaupt*	*CBl*	*1903*	*401*
— Grundzüge der Gesteinskunde. 1. Theil. Allgemeine Gesteinskunde als Grundlage der Geologie	CBl	1904	242
Weisbach, A.: Tabellen zur Bestimmung der Mineralien mittelst äusserer Kennzeichen 1900 II 169 CBl 1900 22	CBl	1903	620
— *Nekrolog: Mit einem Portrait*	*CBl*	*1902*	*417*
Weiss, A.: Die Conchylienfauna der Kiese von Süssenborn bei Weimar	03	II	276
— Die Conchylienfauna der altpleistocänen Travertine des Weimarisch-Taubacher Kalktuffbeckens. (1. Nachtrag)	03	II	277
— Ueber die Conchylienfauna der interglacialen Travertine (Kalktuffe) von Burgtonna und Gräfentonna in Thüringen. Eine revidirte Liste der bis jetzt dort nachgewiesenen Conchylien	03	II	277
Weiss, K.: Der Staurolith in den Alpen	02	II	352
— Kurze Mittheilungen über Lagerstätten im westlichen Anatolien	03	I	449
Weissermel, W.: Mesozoische und känozoische Korallen aus Deutsch-Ostafrika	01	II	326
— Blätter Grabow, Rambow und Karstädt (Westpr.) d. preuss. geol. Landesanstalt	02	II	445
— Bericht über die Aufnahme von Blatt Rambow 1899	03	II	413

	Jahrg.	Bd.	Seite
Weithofer, K. A.: Der Schatzlarer-Schwadowitzer Muldenflügel des niederhessisch-böhmischen Steinkohlenbeckens	1902	I	262
— Einige Querprofile durch die Molassebildungen Oberbayerns	03	I	510
— Zur Kenntniss der oberen Horizonte der oligocänen Brackwassermolasse Oberbayerns und deren Beziehungen zur miocänen (oberen) Meeresmolasse im Gebiete zwischen Inn und Lech	03	II	112
Wellburn, E. D.: On the pectoral fin of Coelacanthus	02	I	309
— On Rhadinichthys monensis EGERTON and its distribution in the Yorkshire Coalfield	02	I	309
— On the fish fauna of the Millstone Grits of Great Britain	02	II	482
— On the fish fauna of the Yorkshire Coal measures	02	II	483
— On the occurrence of fish-remains in the limestone shales (Yoredale) at Crimsworth Dean (Horse Bridge Clough) near Hebden Bridge, in the West Riding of Yorkshire	02	II	484
Weller, St.: The Stokes collection of Antarctic fossils	04	I	434
Wellisch, S.: Das Alter der Welt	CBl	1900	234
Wells, H L. and S. L Penfield: On a new occurrence of Sperrylite	03	I	377
Wells, J. W.: Arsenic in Ontario	03	II	340
Wenglein, O.: Ueber Perthitfeldspäthe	04	I	350
Wenjukow, P.: Die Fauna der silurischen Ablagerungen des Gouvernements Podolien	1900	II	104
– Eine unterpliocäne Säugethierfauna in den Sanden des südlichen Bessarabien	03	I	325
Werigin, N., J. Lewkojeff und G. Tammann: Ueber die Ausflussgeschwindigkeit einiger Metalle	04	I	327
Wernadsky, siehe Vernadsky.			
Werneke, Eisenerze im südlichen Portugal	04	I	234
Werth, E.: Zur Kenntniss des Diluviums im nördlichen Riesengebirge. (Vorläufige Mittheilung.)	*01*	*I*	*89*
— Zur Kenntniss der jüngeren Ablagerungen im tropischen Ostafrika, nebst einem Anhang von E. PHILIPPI: Diagnosen	02	II	264
Werveke, L. van: Ueber Glacialschrammen auf den Graniten der Vogesen. Nachweis einiger bisher nicht bekannter Moränen zwischen Masmünster und Kirchberg im Doller-Thale	02	I	288
— Ueber das Kohlenvorkommen von Laach nebst kurzer Bemerkung über den Kohlensattel in Lothringen	03	I	475
— Die Kohlenablagerungen des Reichslandes	03	II	385
— Die Gliederung der Lehmablagerungen im Unterelsass und in Lothringen	04	I	102
— Beitrag zur Kenntniss der lothringischen Mardellen	04	I	102
— *Der lothringische Hauptsattel und seine Bedeutung für die Aufsuchung der Fortsetzung des Saarbrücker Kohlensattels*	*CBl*	*1904*	*390*
— siehe Benecke, E. W. und L. van Werveke.			
Westermaier, M.: Die Pflanzen des Palaeozoicums im Lichte der physiologischen Anatomie	*02*	*I*	*99*
— *Grundsätzliches zur Beurtheilung der Zweckmässigkeit palaeozoischer Pflanzen*	*03*	*I*	*42*
Westhoff, F.: Untersuchungen über die Krystallstructur der Glieder der Aragonitgruppe	1900	II	14
Westmann, J., siehe Jansson, M. et J. Westmann.			

	Jahrg.	Bd.	Seite
Weyberg, Z.: Studien über relative Wachsthumsgeschwindigkeit der Krystallflächen	1902	I	334
— Einige Beobachtungen über das Wachsthum der Kalium-Aluminium-Alaun-Krystalle	03	II	161
— *Zur Kenntniss der Sodalithreihe*	*CBl 1904*		*727*
— *Ueber einige basische haloidhaltige Calciumalumosilicate*	*CBl 1904*		*729*
Wharton, W. J.: Note on Clipperton Atoll (Northern Pacific)	1900	I	239
Whidborne, G. F.: Devonian fossils from Devonshire	02	II	266
White, D.: Fossil Flora of the Lower Coal Measures of Missouri	01	II	485
— Description of a fossil alga from the Chemung of New York with remarks on the Genus Haliserites STERNBERG	03	I	120
— The stratigraphic succession of the fossil floras of the Pottsville Formation in the southern anthracite coal field, Pennsylvania	04	II	479
White, D. and Ch. Schuchart: Cretaceous Series of the West Coast of Greenland	02	II	318
White, J. C.: Origine of Grahamite	1900	II	35
Whitfield, R. P.: Observations on some „Mud Flow" Markings on Rocks from near Albany, N. Y., now in the American Museum of Natural History, New York	03	I	428
— Observations on and emended Description of Heteroceras simplicostatum WHITFIELD	03	II	446
Whitlock, H. P.: Guide to the mineralogic collections of the New York State Museum	04	I	32
Wichdorff, siehe Hess von Wichdorff.			
Wichmann, A.: Der Wawani auf Amboina und seine angeblichen Ausbrüche III	01	I	49
— Der Ausbruch des Gunung-Ringgit auf Java im Jahre 1593	02	I	211
— Sur l'ouralite de l'Ardenne	02	II	222
— Der Vulcan der Insel Una Una (Nanguna) im Busen von Tomini, Celebes	03	II	86
— *Ueber einige Gesteine von der Humboldt-Bai (Neu-Guinea). (Mit 1 Karte)*	*CBl 1901*		*647*
Wickes, W. H.: A new rhaetic section at Bristol	03	I	298
Wiechert, E.: Seismometrische Beobachtungen im Göttinger Geophysikalischen Institut	01	I	386
Wiegers, F.: Bericht über die am 14. Februar und 3 Juli 1899 in Baden beobachteten Erdbeben	01	I	207
— Zur Kenntniss des Diluviums der Umgegend von Lüneburg	01	II	285
— Ueber Aetzungserscheinungen an Gyps	02	I	187
Wiesbaur, F., siehe Knett, J. und J. Wiesbaur.			
Wiese, Th.: Die nutzbaren Eisensteinlagerstätten — insbesondere das Vorkommen von oolithischem Rotheisenstein — im Wesergebirge bei Minden	04	II	412
Wiik, F. J.: Om en kosmo-geologisk antiaktualistik teori och dess tillämpning på den geologiska formationsserien	04	I	365
— *Ueber eine kosmo-geologische antiactualistische Theorie*	*CBl 1904*		*658*
Wilckens, Otto: Revision der Fauna der Quiriquina-Schichten	*BB XVIII*		*181*
— *Ueber Fossilien der oberen Kreide Süd-Patagoniens*	*CBl 1904*		*597*

	Jahrg.	Bd.	Seite
Wilder, F. A.: The Age and Origin of the Gypsum of Central Iowa	1904	II	408
Williams, E. G.: Die Manganerzlagerstätten des Kreises Panama in Colombia, S. America	04	II	232
Williams, H. S.: On the Occurrence of Paleotrochis in Volcanic Rocks in Mexico	01	I	411
— The Silurian-Devonian boundary in North America: The Chapman sandstone fauna	01	II	117
— Silurian-Devonian boundary in North America	01	II	117
Williams, Percy, siehe Hoff, J. H. van't und Mitarbeiter.			
Willis, B.: Some Coast Migrations, Santa Lucia Range, California	02	II	206
Williston, S. W.: A new species of Sagenodus from the Kansas Coal Measures	01	II	149
— A new genus of fishes from the Niobara Cretaceous	01	II	479
— Hind Limb of Protostega	03	I	158
— The Dinosaurian Genus Creosaurus Marsh	03	I	344
— The Fossil Man of Lansing, Kansas	04	II	299
— An arrow Head found with Bones of Bison occidentalis Lucas in Western Kansas	04	II	299
Wilmott, A. B.: The mineral Industries of Sault Ste. Marie	03	II	340
— siehe Coleman, A. P. und A. B. Willmott.			
Wilson, H. A.: On the Velocity of Solidification and Viscosity of supercooled Liquids	02	I	425
— siehe Hoff, J. H. van't und Mitarbeiter.			
Wilson, R. W., siehe Peirce, B. O. and R. W. Wilson.			
Wiman, C.: Ueber Dictyonema cavernosum n. sp.	1900	I	144
— The structure of the graptolites	1900	I	145
— Ueber den Bau einiger gotländischer Graptolithen	1900	I	145
— Ueber die Borkholmer Schicht im mittelbaltischen Silurgebiet	03	I	505
Winchell, A. N.: Note on certain copper minerals	02	II	336
Winchell, H. V.: Synthesis of Chalcocite and its genesis at Butte, Montana	04	II	171
Winchell, N. H.: Chlorastrolite and Zonochlorite from Isle Royale	1900	II	29
— The optical characters of Jacksonite	1900	II	29
— Common Zeolites of the Minnesota shore of Lake Superior	1900	II	29
— Thalite and Bowlingite from the North shore of Lake Superior	1900	II	29
Winklehner, H.: Schürfungen in Persien	01	I	250
Winkler, Cl.: Die relative Seltenheit der Elemente mit Bezug auf ihre technische Verwendung	1900	II	239
— Ueber die Möglichkeit der Einwanderung von Metallen in Eruptivgesteinen unter Vermittelung von Kohlenoxyd	CBl	1900	160
— Wann endet das Zeitalter der Verbrennung?	CBl	1901	122
Winkler, L. W.: Bestimmung des in natürlichen Wassern enthaltenen Calciums und Magnesiums	02	II	410
Winteler, F.: Die Aluminium-Industrie	04	I	3
Winter, Chr, siehe Boeggild, O. B. und Chr. Winter.			
Winterfeld, Fr.: Der Lenneschiefer, geologische Studien des Bergschen Landes. I.	1900	I	273
Wislicenus, W.: Ueber Tautomerie	01	I	175

	Jahrg.	Bd.	Seite
Witheaves, J. F.: The Devonian system in Canada . .	1900	II	432
— Mesozoic Fossils. Part IV. On some additional or imperfectly understood fossils from the Cretaceous rocks of the Queen Charlotte Islands, with a revised list of the species from these rocks	02	I	292
Withrow, James R., siehe Hamilton, S. H. and James R. Withrow.			
Wittich, E.: Beiträge zur Kenntniss der Messeler Braunkohle und ihrer Fauna. I. Theil: Geologie der Messeler Braunkohle. II. Theil: Rhynchaeites messelensis n. g., n. sp.	1900	I	449
— Neue Fische aus den mitteloligocänen Meeressanden des Mainzer Beckens. III. Theil	02	I	309
— Beitrag zur Kenntniss des unteren Diluviums und seiner Fauna in Rheinhessen	03	II	275
— Diluviale Conchylienfaunen aus Rheinhessen	03	II	275
— Diluviale und recente Conchylienfaunen der Darmstädter Gegend	03	II	275
— Beitrag zur Kenntniss der altalluvialen Fauna im Mainthal	03	II	276
— Ueber Blasenzüge aus dem Melaphyr	04	I	48
— *Cryptopithecus macrognathus n. spec., ein neuer Primate aus den Braunkohlen von Messel*	*CBl*	*1902*	*289*
— *Myolagus Zitteli n. spec., ein neuer Nager von Eppelsheim in Rheinhessen*	*CBl*	*1902*	*562*
Wittich, E. und B. Neumann: Ein neues Cadmium-Mineral	*CBl*	*1901*	*549*
— — *Ueber ein neues Vorkommen von Kakoxen am Taunusrande*	*CBl*	*1902*	*656*
Wöhler, L.: Natürliche Färbungen der Mineralien . . .	01	II	335
— siehe Kraatz-Koschlau, K. v. und L. Wöhler.			
Wöhler, L. und K. v. Kraatz-Koschlau: Natürliche Färbung der Mineralien	1900	II	342
Woerle, H.: Der Erderschütterungsbezirk des grossen Erdbebens zu Lissabon. Ein Beitrag zur Geschichte der Erdbeben	02	II	44
Wohltmann, F.: Böden aus Deutsch-Südwest-Afrika . .	01	I	234
Wohltmann, F. und H. Mehring: Welche Bedeutung hat die chemische Bodenuntersuchung für die Ackerbonitirung?	01	II	222
Woldřich, J. (Sohn): Ueber Ganggesteine und den Zuzlawitzer Kalk im Wolynka-Thale des Böhmerwaldes . . . . . 1903 I 412	04	I	52
Woldřich, J. N.: Beitrag zur Moldavitfrage	1900	I	363
— Geologische Studien aus Südböhmen. I. Aus dem böhmisch-mährischen Hochlande. Das Wassergebiet der oberen Nežárka	1900	II	268
— Bericht über die unterirdische Detonation von Melnik in Böhmen vom 8. April 1898	1900	II	374
— Geologisch-palaeontologischer Beitrag aus dem Kreidegebiet bei Ostroměř in Böhmen	03	I	306
Wolff, F. v.: Beiträge zur Geologie und Petrographie Chile's unter besonderer Berücksichtigung der beiden nördlichen Provinzen Atacama und Coquimbo	01	I	414
— *Ueber zwei mineralogisch interessante Steinbeile* . . .	*CBl*	*1903*	*51*
— *Ueber eine pantelleritartige Liparitlava von Mayor Island in der Bay of Plenty, Neu-Seeland*	*CBl*	*1904*	*208*

	Jahrg.	Bd.	Seite
Wolff, J. E.: On Hardystonite, a new calcium-zinc silicate from Franklin Furnace, New Jersey	1900	II	20
— Hardystonit und Zinkschefferit von Franklin Furnace. New Jersey	1902	I	174. 175
— Leucite-Tinguàite from Beemerville, New Jersey	03	II	375
Wolff, J. E. and A. Brooks: The age of the Franklin white limestone of Sussex county, New Jersey	1900	II	103
Wolff, J. E. und Ch. Palache: Apatite from Minot, Maine	03	I	34
Wolff, W.: Nördl. Kassubei, Blätter Prangenau und Gross-Paglau d. preuss. geol. Landesanst.	02	II	445
— Erläuterungen zur geologischen Spezialkarte von Preussen (Westpreussen)	04	II	417
— Bemerkungen zu de Geer's neuer Stellung zur Frage der zweiten Vereisung	04	II	444
Wolfskron, siehe Wolfstrigl-Wolfskron, M. v.			
Wolfstrigl-Wolfskron, M. v.: Die Tiroler Erzbergbaue 1301—1665	04	II	238
Wollemann, A.: Die Fauna des Senons von Biewende bei Wolfenbüttel	01	II	297
— Aufschlüsse und Versteinerungen im Turon des Kreises Braunschweig und Wolfenbüttel einschliesslich des Oderwaldes	03	I	306
— Einige Bemerkungen über die Versteinerungen aus der Kreide von Misburg bei Hannover	03	I	307
— Neue Funde von Versteinerungen in der Kreideformation in Misburg bei Hannover	03	II	274
— Die Fauna der Lüneburger Kreide	03	II	274
— *Einige Bemerkungen über die Dicke der Schale der Aucella Keyserlingi Lahusen*	*CBl*	*1901*	*497*
— *Das Alter des Turons von Nettlingen bei Hildesheim*	*CBl*	*1902*	*179*
— *Noch einmal Nettlingen*	*CBl*	*1902*	*398*
— *Geologische und palaeontologische Notizen aus der Umgegend Braunschweigs*	*CBl*	*1903*	*49*
— *Die Fauna des Untersenons von Querum bei Braunschweig*	*CBl*	*1904*	*33*
Woltersdorff, W.: Das Untercarbon von Neustadt, Magdeburg und seine Fauna	01	I	483
— Ueber ausgestorbene Riesenvögel	01	II	474
— Ueber ein Exemplar von Rana Meriani v. Meyer im Senckenbergischen Museum in Frankfurt a. M.	04	II	320
Wood, E.: Marcellus (Stafford) limestones of Lancaster, Erie Co., N. Y.	03	I	118
Wood, H.: A monograph of the Cretaceous Lamellibranchia of England Part I	01	II	154
— The mollusca of the Chalk rock. Part II	01	I	280
— A monograph of the Cretaceous Lamellibranchia of England. Parts II, III, IV	03	II	298
— A monograph of the Cretaceous Lamellibranchia of England. Part V	04	II	472
Woodward, A. S.: Observations on Señor Ameghino's „Notes on the Geology and Palaeontology of Argentina"	1900	I	105
— A new specimen of the Mesosaurian Reptile, Stercosternum tumidum, from San Paulo, Brasil	1900	I	311
— On a new specimen of the Stegocephalian Ceraterpeton Galvani Huxley, from the coal measures of Castlecomer, Kilkenny, Ireland	1900	I	312

	Jahrg.	Bd.	Seite
Woodward, A. S.: Considerações sobre alguno peixes terciarios dos schistos de Taubaté, Estado de S. Paulo, Brazil	1901	II	149
— On a Portion of Mammalian Skin, named Neomylodon Listai from a Cavern near Consuelo Cave, Last Hope Inlet, Patagonia by Dr. F. Moreno; with a Description of the Specimen by A. Smith Woodward	01	II	309
— On some Remains of Grypotherium (Neomylodon Listai) and associated Mammals from a Cave near Consuelo Cave, Last Hope Inlet, Patagonia	01	II	310
— On the cretaceous fish Plethodus	01	II	315
— Additional notes on some type specimens of cretaceous fishes from Mount Lebanon in the Edinburgh Museum of Science and Art	01	II	315
— On a new specimen of the Clupeoid Fish Aulolepis typus from the English Chalk	02	II	302
— Notes on fossil fish-remains collected in Spitzbergen by the Swedish arctic expedition 1898	02	II	304
— Evidence of an extinct Eel (Urenchelys anglicus) from the English Chalk	02	II	304
— Notes on Footprints from the Keuper of Staffordshire	03	I	158
— On the bone beds of Pikermi, Attika, and similar deposits in Euboea	03	II	283
— Notes on some upper devonian fish remains discovered by Prof. A. G. Nathorst in East Greenland	03	II	444
— On a cornu of Cephalaspis Carteri from the lower Devonian of Looe	03	II	444
— O some fish-remains from the Paranáformation, Argentine Republic	04	I	143
— On an Amioid fish (Megalurus Mawsoni) from the Cretaceous of Bahia, Brazil	04	I	143
— The fossil fishes of the English chalk. Part II	04	II	322
Woodward, B. B., siehe Kennard, A. S. und B. B. Woodward.			
Woodward, H. B.: On a new species of Brachyurous Crustacean from the Chert beds (Upper Greensand), Baycliffe, near Maiden Bradley, Wilts	1900	II	149
— On the discovery of Cyclosphaeroma in the Purbeck of Aylesbury	1900	II	149
— On Pleurotoma prisca Solander sp.	02	II	149
— Note on Elephas (Stegodon) ganesa Falc. a. Cautt. from the Pliocene Deposits of the Sewalik Hills, India	02	II	463
— Note on the Occurrence of Bagshot beds at Combe Pyne, near Lyme Regis	03	I	512
— On a collection of middle cambrian fossils obtained by Edward Whymper from Mount Stephen, British Columbia	04	I	144
— On a collection of trilobites from the Coddon Hill beds, Lower Culm Measures, near Barnstaple, North Devon, and one from Glamorganshire	04	II	149
Woodward, S.: A Note on some cretaceous clupeoid fishes with pectinated scales (Ctenothrissa and Pseudoberyx)	02	I	310
Woodward, T. R. J. and H.: Contributions to Fossil Crustacea	01	I	510
Woodworth, J. B.: Unconformities of Martha's Vineyard and of Block Island	1900	I	99

	Jahrg.	Bd.	Seite
Woodworth, J. B.: Vertebrate footprints on Carboniferous shales of Plainville, Massachusetts	1903	I	342
— Glacial origin of older Pleistocene in Gay Head Cliffs, with note on fossil horse of that section	04	I	438
Woolman, L.: Fossil mollusks and diatoms from the Dismal swamp, Virginia and North Carolina; indication of the geological age of the deposit. With notes on the diatoms by Ch. S. Boyer	1900	I	125
Worobieff, W. v.: Ueber Antimonit von Brixlegg, Tirol	1900	II	9
— Krystallographische Studien über Turmalin von Ceylon und einigen anderen Vorkommen	02	I	178
— Krystallographische Studien über Turmalin von Ceylon und einigen anderen Lagerstätten	02	II	350
— Ueber Demantoidkrystalle aus den Seifen des Teljapskij-Kljutsch bei Nishnij-Tagil	03	II	176
— Ueber weitere Untersuchungen des Turmalins	03	II	177
Wortman, J. L.: The extinct Camelidae of North America and some associated forms	01	II	462
— Restoration of Oxyaena lupina Cope with descriptions of certain new species of eocene Creodonts	03	I	146
— Studies of eocene Mammalia in the Marsh Collection, Peabody Museum	04	I	446
Wortman, J. L. and W. D. Matthew: The ancestry of certain members of the Canidae, the Viverridae and Procyonidae	02	I	134
Wrany, A.: Geschichte der Chemie und der auf chemischer Grundlage beruhenden Betriebe in Böhmen bis zur Mitte des 19. Jahrhunderts	04	I	223
Wright, F. E.: Der Alkalisyenit von Beverley	02	II	73
— Die foyaitisch-theralithischen Eruptivgesteine der Insel Capo Frio, Rio de Janeiro, Brasilien	02	II	399
— A new Combination Wedge for use with the Petrographical Microscope	02	II	399
Wright, Fr. E., siehe Goldschmidt, V. und Fr. E. Wright.			
Wroblewski, A.: Ueber eine Methode der Krystallisation von Substanzen aus ihren Lösungen ohne Krustenbildung auf der Flüssigkeitsoberfläche	02	II	177
Wrochem, J. v., siehe Mylius, T. and J. v. Wrochem.			
Wülfling, E. A.: Ueber Gesteinsanalyse	01	I	216
— Untersuchung des bunten Mergels der Keuperformation auf seine chemischen und mineralogischen Bestandtheile	01	I	217
— *Ueber einen vereinfachten Apparat zur Herstellung orientierter Krystallschliffe*	*01*	*II*	*1*
— Ueber neuere mineralogische Untersuchungsmethoden und ihre Anwendung auf die Turmaline	02	II	28
— Ueber eine neue Methode zur Orientirung der Plagioklase	04	I	352
— Ueber einige krystallographische Konstanten des Turmalins und ihre Abhängigkeit von seiner chemischen Zusammensetzung	CBl	1901	15
— *Ueber die Lichtbewegung im Turmalin*	*CBl*	*1901*	*299*
Würtenberger, Th.: Der Ueberlinger Eisenbahntunnel und seine Bedeutung für die Bodenseegeologie	03	I	471
Wüst, E.: Die geologische Stellung des Kieslagers von Süssenborn bei Weimar	02	II	125

	Jahrg.	Bd.	Seite
Wüst, E.: Beiträge zur Kenntniss des pleistocänen Kalktuffes von Schwanebeck bei Halberstadt	1903	I	137
— Untersuchungen über das Pliocän und das älteste Pleistocän Thüringens nördlich vom Thüringer Walde und westlich von der Saale	03	II	117
— Beiträge zur Kenntniss des Flussnetzes Thüringens vor der ersten Vereisung des Landes	03	II	120
— Eine alte Verwitterungsdecke im Diluvium der Gegend von Sonnendorf bei Grossheringen	03	II	267
— Ein Sandlöss mit Succinea Schumacheri Andreae in Thüringen	04	I	103
— Ein fossilführender Saalekies bei Uichteritz bei Weissenfels	04	I	103
— „Helix banatica (= canthensis Beyr.)“ aus dem Kalktuffe von Bilzingsleben	04	I	103
— Säugethierreste aus dem Kalktuffe von Bilzingsleben bei Kindelbrück	04	I	103
— Ein pleistocäner Unstrutkies mit Corbicula fluminalis Müll. sp. und Melanopsis acicularis Fér. in Bottendorf bei Rossleben	04	I	103
— Pleistocäne Flussablagerungen mit Succinea Schumacheri Andr. in Thüringen und im nördlichen Harzvorlande	04	I	103
— Pliocän zwischen dem Thüringer Walde und der Rhön	04	II	121
— Der alte Ilmlauf über die Finne	04	II	124
— Weitere Beobachtungen über fossilführende pleistocäne Flussablagerungen im unteren Unstrutgebiete. I.	04	II	441
— *Ueber Elephas Trogontherii Pohl. in Schlesien. Antwort auf die Richtigstellung des Herrn Wilh. Volz*	*CBl 1901*		*683*
— *Ein interglacialer Kies mit Resten von Brackwasserorganismen bei Benkendorf im Mansfeldischen Hügellande*	*CBl 1902*		*107*
— *Ueber Elephas Trogontherii Pohl. in Schlesien*	*CBl 1902*		*183*
— *Ein pleistocäner Valvaten-Mergel mit Brackwasser-Ostrakoden bei Memleben an der Unstrut*	*CBl 1903*		*586*
Wulff, G.: Zur Frage der Geschwindigkeit des Wachsthums und der Auflösung der Krystallflächen	02	I	334
— Untersuchungen im Gebiete der optischen Eigenschaften isomorpher Krystalle	03	I	363
— Ein Beitrag zur Theodolitmethode	03	II	7
— Ueber den Gang der Rechnung in der Theodolitmethode	03	II	158
Wurm, Fr.: Beiträge zu den Contactmetamorphosen der Gesteine in Nordböhmen	03	I	411
Wyrouboff, G.: Recherches sur quelques oxalates	01	I	342
— Sur un nouveau corps doué du double pouvoir rotatoire	02	I	2
— Note sur la forme cristalline du quelques oxalates alcalins	02	I	5
— Sur quelques acétates triples	02	II	179
— Quelques mots à propos de la note de M. Groth	04	I	322
Wysogórski, J.: Ueber einen neuen Fundpunkt nordischen Diluviums bei Landshut in Schlesien	*CBl 1900*		*341*
Wyssotzky, N.: Les mines d'or du district de Kotchkar dans l'Oural du midi	CBl 1902		345

Y.

Yabe, H.: Note on three Upper cretaceous Ammonites from Japan, outside of Hokkaidō 1902 II 485	04	I	148
— Notes on some Shark's teeth from the mesozoic formation of Japan	03	II	295

	Jahrg.	Bd.	Seite
Yakowlew, N.: Mittheilung über das obere Palaeozoicum des Donetz-Beckens und der Halbinsel Samara . . .	1902	II	106
— Neue Funde von Triassauriern auf Spitzbergen	03	II	440
Yokoyama, M.: Jurassic Ammonites from Echizen and Nagato	04	II	324
Yoshiwara, S.: Geological Age of the Ogasamara Group (Bonin Islands) as indicated by the occurrence of Nummulites	03	II	253
— Geologic structure of the Riukiu (Loochoo) curve, and its relations to the northern part of Formosa . . .	03	II	253
— Notes on the raised coral reefs in the Islands of the Riukiu curve	03	II	254
Yoshiwara, S. and C. Iwasaki: Notes on a New Fossil Mammal	04	II	464
Young, A.: Mineralogisch-petrographische Untersuchungen	03	II	209

Z.

Zaccagna, D.: Nuove osservazioni sui terreni costituenti la zona centrale dell' Appennino adiacente all' Alpe Apuana	01	I	98
Zahalka, C.: Bericht über die Resultate der stratigraphischen Arbeiten in der westböhmischen Kreideformation	02	I	117
— Ueber die Schichtenfolge der westböhmischen Kreideformation	02	I	117
Zahn, H.: Baumaterialienlehre mit besonderer Berücksichtigung der badischen Baustoffe	CBl	1901	144
Zalinski, E. R.: Untersuchungen über Thuringit und Chamosit aus Thüringen und Umgebung	*BB*	*XIX*	*40*
— *Ueber eigenthümliche Glaseinschlüsse in andesitischen Feldspathen . . . . . .*	*CBl*	*1902*	*129*
— *Ueber die Löslichkeit der Eisenerze in Fluorwasserstoffsäure . . . . . .*	*CBl*	*1902*	*647*
Zaloziecki, R. und G. Frasch: Untersuchung des galizischen Erdöls. Nitrirung der Iso-Hexanfractionen . .	04	I	404
Zambonini, F.: Magnetite dei fossi di Acquacetosa e del Tavolato	1900	I	9
— *Ueber zwei flächenreiche Epidotkrystalle von Sulzbach*	*1900*	*I*	*181*
— Ueber den Olivin Latiums	01	I	194
— Ueber zwei neue Hydrosilicate	01	I	199
— Sul Sanidino	01	II	17
— Anortite di S. Martino (Viterbo)	1901	II	18. 353
— Sull' esistenza della Sodalite nei „blocchi erratici" del Viterbese	1901	II	19. 354
— Ueber den Pyroxen Latiums	02	II	24
— Su un pirosseno sodifero dei dintorni di Oropa nel Biellese	02	II	25
— *Kurzer Beitrag zur chemischen Kenntniss einiger Zeolithe der Umgegend Roms . . . . . .*	*02*	*II*	*63*
— Mineralogische Mitteilungen	1902	II	30. 195. 196
— Su alcuni minerali della Rocca Rossa e Monte Pian Real (Val di Susa)	02	II	203
— Sul glaucofane di Chateyroux (Valle di Gressoney) . .	03	I	26
— Wavellite di Manziana (Provincia di Roma)	03	I	36
— Krystallographisches über den Epidot	04	I	25
— Amphibol von Cappuccini di Albano	04	I	170
— Sull' epidoto del passo Bettolina, vallone di Verra . .	04	II	183
— *Ueber ein merkwürdiges Mineral von Casal Brunori bei Rom . . . . . .*	*CBl*	*1901*	*397*

	Jahrg.	Bd.	Seite
Zambonini, F.: Notizen über den Guarinit	*CBl*	*1902*	*524*
— Beiträge zur Mineralogie Piemonts	*CBl*	*1903*	*78. 117*
Zanet, L.: Sur l'âge des gypses de Bagneux (Seine)	01	I	283
Zanna, P. del: I laghi di S. Antonio in provincia di Siena	01	I	392
— I fenomeni carsici nel Bacino dell' Elsa	01	I	393
— I travertini di Colle e le incrustacioni attuali dell' Elsa	03	I	251
Zanolli, Velio: Di un nuovo giacimento di Zeoliti nell gruppo montuoso degli Euganei	03	I	391
Zech, L.: Die Schichten der Kreideformation bei Halberstadt	02	I	116
Zeiller, R.: Sur les subdivisions du Westphalien du Nord de la France d'après les caractères de la flore	01	I	523
— Étude sur quelques plantes fossiles en particulier Vertebraria et Glossopteris des environs de Johannesburg (Transvaal)	02	I	495
— Sur l'attribution du genre Vertebraria	02	I	495
— Sur la flore des dépôts houillers d'Asie Mineure et sur la présence, dans cette flore, du genre Phyllotheca	02	I	496
— Note sur la flore fossile des gisements houillers de Rio Grande do Sul	02	I	497
— Remarques sur la flore fossile de l'Altai à propos des dernières découvertes paléobotaniques de MM. les Drs Bodenbender et Kurtz dans la République Argentine	02	I	499
— Observations sur quelques fougères des dépôts houillers d'Asie Mineure	03	I	172
— Étude sur la flore fossile du bassin houiller d'Héraclée (Asie Mineure)	03	I	173
— Notes sur la flore des gisements houillers de la Rhune et d'Ibantelly (Basses-Pyrénées)	03	I	357
— Sur une Sélaginellée du terrain houiller de Blanzy	03	I	358
— Contribution à l'étude de la flore ptéridologique des schistes permiens de Lodève	04	I	157
— Éléments de paléobotanique	CBl	1900	195
Zeisberg, M.: Erdmagnetische Untersuchungen im Zobten-Gebiet	01	II	45
Zeise, O.: Ueber einige Aufnahme- und Tiefbohr-Ergebnisse in der Danziger Gegend	01	II	451
— Geologisches vom Kaiser Wilhelm-Kanal	03	II	413
— Erläuterungen zur geolog. Karte von Preussen (Westpreussen)	04	II	417
Zeleny, V.: Serpentin mit Eisenglanz im Hornungsthale bei Grünbach (Niederösterreich)	04	II	207
Zelizko, J. V.: Das Feldspathvorkommen in Südböhmen 1901 II 353	03	I	82
— Ueber die Fauna der Bande F_1 im mittelböhm. Silur	02	I	261
— Die Kreideformation der Umgebung von Pardubitz und Přelouč in Ostböhmen	02	I	276
— Ueber Fluorit von Harrachsdorf im Riesengebirge sowie von einigen anderen Fundorten	03	II	13
Zeller, H. v.: Die Entstehung des geognostischen Atlasses von Württemberg im Maassstab 1 : 50000	01	I	88
Zemjatschensky, P.: Smaragd und Beryll der Uralischen Smaragdgruben	01	II	190
— Zur Mineralogie des Kaukasus	01	II	205
— Der farblose Chlorit vom Fluss Aj in der Umgegend von Zlatoust	02	II	351
— Ueber die Genesis der Eisenerze auf dem Ural	03	I	263

	Jahrg.	Bd.	Seite
Zemjatschensky, P.: Der Calcit vom Berge Foros und die ersten russischen Nicols	1903	II	174
— Die Kalkspathlagerstätte des Berges Tschelebi-jaurn-beli in der Nähe des Baidar-Thores	03	II	174
— (P. Zemiatčenski): Die Kalkspathlagerstätte am Berge Čelebi-jaurn-beli in der Umgegend des Baidar-Thores	03	II	174
Zengelis, C.: Ueber einen Retinit in Thessalien 1902 I 357	03	II	389
— Neue Braunkohlen in Griechenland	03	II	389
Zietz, A. H. C., siehe Stirling, E. C. and A. H. C. Zietz.			
Zilliacus, A., siehe Ramsay, W. und A. Zilliacus.			
Zimányi, K.: Ueber den rosenrothen Aragonit von Dognacska im Comitate Krasso-Szörény	01	I	191
— Ueber einen Axinit aus Japan	01	I	199
— Ueber einen Pyrit von Montana	01	II	344
— Ueber den Tetraëdrit vom Botes-Berge	02	I	10
— Mineralogische Mittheilungen (Cerussit und Pyromorphit von Tarkaicza; Apophyllit und Kalkspath von Rezbanya)	03	II	185
— Notiz über die regelmässige Verwachsung des Bleiglanzes mit dem Fahlerz vom Botes-Berge	04	II	168
Zimmermann, E.: Ueber eine Tiefbohrung bei Gross-Zöllnig, östlich unweit Oels in Schlesien	02	II	268
— Ueber eine Faltung der Eisdecke des ehemaligen Salzigen Sees bei Eisleben	03	II	50
— Ueber die in der Gliederung zum Ausdrucke gelangende bisherige Kenntniss vom thüringischen Diluvium und über dessen künftige systematische Erforschung, nebst Discussion zwischen Dathe, Zimmermann und Scheibe	03	II	264
— Bericht über eine Begehung der neugebauten Eisenbahnstrecken Corbetha—Deuben und Naumburg—Deuben, mit besonderer Rücksicht auf das Diluvium	03	II	264
— Ein neuer Fund diluvialer Knochen bei Pössneck in Thüringen	03	II	295
— Zur Geologie und besonders zur Tektonik des vogtländisch-ostthüringischen Schiefergebirges	04	I	90
Zimmermann, R.: Neue Mineralien aus dem Quarzporphyr von Augustusburg	*CBl*	*1903*	*294*
— Die Mineralien. Eine Anleitung zum Sammeln und Bestimmen derselben nebst einer Beschreibung der wichtigsten Arten	CBl	1904	507
Zinndorf, J.: Mittheilungen über die Baugrube des Offenbacher Hafens etc.	02	I	282
Zirkel, F.: Ueber Urausscheidungen in rheinischen Basalten	04	I	205
Zirngiebl, H.: Beitrag zur Kenntniss der Beziehungen zwischen Krystall und Molecül	03	I	362
Ziska, W.: Beitrag zur Theorie, wie die Schichten überhaupt und die Steinkohlenflötze insbesondere entstanden sind	04	I	403
Zittel, K. A. v.: Ueber Wengener, St. Cassianer und Raibler Schichten auf der Seisser Alp in Tirol	1900	II	416
— Geschichte der Geologie und Palaeontologie bis Ende des 19. Jahrhunderts	CBl	1900	23
Zona, T.: Nuova ipotesi sui terremoti	1900	I	41
Zsigmondy, A.: Ueber den schwedischen Eisenerzbergbau	04	II	413
Zsigmondy, R.: Ueber die Absorption des Lichtes in Farbgläsern	03	II	164
— siehe Siedentopf, H. und R. Zsigmondi.			

	Jahrg.	Bd.	Seite
Zuber, R.: Kritische Bemerkungen über die modernen Petroleum-Entstehungs-Hypothesen	1900	II	79
— Geologie der Erdölablagerungen in den galizischen Karpathen. I. Allgemeiner Theil. I. Heft. Stratigraphie der karpathischen Formationen	02	II	260
Zulkowski, K.: Ueber die Constitution des Andalusits und des Disthens	02	I	15
— Ueber die Constitution der Hochofenschlacke	03	I	454
Zurcher, Ph.: Note sur l'influence de la nature d'ensemble des masses sédimentaires sur leur mode de dislocation	1900	II	42
— Stratigraphie du Permien dans la région des Maures et de l'Estoul	02	I	114
Zurcher, Ph., siehe Bertrand, M. und Ph. Zurcher.			
Zwiesele, H.: Der Amaltheenthon bei Reutlingen . . .	1900	II	113

II. Sachverzeichniss.

Die Seitenzahlen der Abhandlungen und Briefe sind *cursiv* gedruckt.

A.

Aachen
— Cambrium u. Unterdevon . . . . . 1901 II 421
— Unterdevon . . . . 02 I 112
Aargau, Quellenkarte . 03 I 98
Aarmassiv
— geol. Beobachtungen 01 II 227
— granit. Intrusivmassen BB XVI *292*
— Minerallagerstätten im Biotitprotogin . . BB XIV *43*
Abd-el-Kuri
— Geologie . . . . . 01 II 263
— Gesteine . . . . . 03 II 195
— u. Socotra, Geol. . . 01 I 232
Abessynien
— Aegirin- u. Riebeckit-Gesteine . . . . . 01 II 392
— Geologie . . . . . 01 I 104
— — u. Petr. d. südl. 04 I 394
— Jura von Schoa . . 1900 I 438
— phonolith. Gest., vergl. mit St. Helena und Ascension . . . . . CBl 1903 25
— Trachyt m. Riebeckit 01 I 18
— (Schoa), Jura . . . 1900 I 438
Abkühlungsgesetze bei Eruptivgesteinen, Isle Royale, Mich. . . . 1900 II 225
Ablagerungen
— aggregirte . . . . . 1900 II 407
— mänotische, Gebiet v. Krivoi Rog . . . . CBl 1902 411
Abnormativer Modus d. Eruptivgesteine . . CBl 1903 687
Abplattung d. Erde, neue Hypothese . . . . . 01 II 42
Abrasionsfläche, Schwarzwald . . . . . 1900 I 419
Abreissungsfiguren, Kalkspath CBl 1904 *405* 1904 II 175
Abrutschungen im Geschiebelehm, Scarborough . . . . . CBl 1901 666
Abruzzen
— Geol. Karten . . . . 1900 I 253
— Kreide der Monte d'Ocre-Kette . . . . 04 I 97
— — u. Tertiär . . . 04 II 421
— von Teramo, Geol. . 01 II 110
Absaroka-Floren, Tertiär, Absaroka Range, Wyoming . . . . . 01 I 236
Absaroka Range, Wyoming, Tertiärvulkane 01 I 234
Absarokit . . . . . 02 I 216
Absonderung, prismatische, in Eruptivgesteinen . . . . . CBl 1901 *481*
Absonderungscylinder, Melaphyr. Darmstadt CBl 1901 *481. 609* 1902 *513. 521* 1903 *217. 409* 1904 I 47. 48
Absorption des Lichts
— abhängig v. Farbe . 04 II 162
— in Farbgläsern . . . 03 II 164
— in festen Körpern, Abhängigkeit v. d. Temperatur . . . . . 03 II 164
— in Krystallen . . . 04 II 340
Absorptionserscheinungen an zersetzten Gesteinen . . . . . 03 I 55
Absorptionsspectrum b und c des Alexandrits 04 II 14
Abu Roasch, b. Kairo, Kreide u. Geologie . 04 I 271
Acadian division, Cambrium, Cape Breton 03 II 402

Acanthina javana, Tertiär, Java . . . . . 1900 II 289
Acanthoceras, südind. Kreide . . . . . 1900 I 444
— aff. A. angulicostatum, Kreide, Bulgarien . 1900 I *40*
— athleta, Kreide, Siebenbürgen . . . . . 01 II 279
— Cayeuxi, Senon, Elnes b. Lunbres . . . . 01 II 317
— Marques Costai u. mozambiquensis, Kreide, Conducia-Mündung . 03 II 275
— (Parahoplites) Martini var. Gottschei, Aptien, Südafrika. . CBl 1902 *465*
— (?) pseudonodosoides, Portugal, Kreide . . 1900 II 477
Acanthocoelata . . . . BB XIII *189*
Acanthocoenia neocomensis, Neocom, Bukowina . . . . . 04 II 150
Acanthodes, Kiefer und Schultergürtel . . . 01 II 478
Acanthodes Beecheri u. Marshi, Carbon, Mazon Creek, Ill. . . . 04 I 140
Acanthodictyota . . . . BB XIII *190*
Acantholenus, Cambr., Kennebecasis Valley, Canada . . . . . 1900 I 111
Acanthopleurella Grindrodi, Malvern Hills. Dictyonema shales . 03 I 337
Acanthosphenota . . . BB XIII *190*
Acanthostraca . . . . . BB XIII *190*
Acanthoteuthis, lithogr. Schiefer, Bayern . . BB XV *205*
— speciosa, ebendort . BB XV *209*
— Ferussacii, Mundmembran . . . . . 1900 I 140
Acasta formae, pietra da Cantoni, Monferrato 02 I 465
Acera mediojurensis, Jura, Frankreich . . . . . 1900 II 153
Aceratherien d. amerik. Oligocän . . . . . 01 II 306
Aceratheriinae . . . . 03 I 556
Aceratherium, Niederbayern, Schädel aus d. Dinotherium-Sand 04 II 304
— Blanfordi, Filholi, incisivum, lemanense, perimense, Persiae, platyodon u. tetradactylum . . . . . 03 I 556
Aceratherium Copei, hesperium, mite (= pumilum), occidentale, platycephalum, simplicidens, tridactylum, amerik. Oligocän . . 1901 II 307
— incisivum, Eppelsheim, horntragend . . . . 03 I 145
— minutum, Olig., Pyrimont u. Challonges . 04 I 444
— profectum, Tert., Nordamerika . . . . . 01 II 139
Acerocare claudicans, granulatum, paradoxum u. Tullbergi, Cambrium, Schonen . 1900 II 104
Acerocare-Zone, Cambrium, Schonen. . . 1900 II 103
Acetabularieae, Foss. . . 1900 I 159
Achat
— Nordamerika . . . . 03 II 40
— Nordamerika, Edelstein . . . . CBl 1902 404. 407
Acher- u. Murg-Quelle, Schwarzwald, Geol. . 04 I 253. 385
Acherwiese, Fichtelgeb., Mineralien . . . . . 1900 II 357
Acicularia . . . . . 1900 I 159
Acidaspis pigra, Iberger Kalk b. Grund i. Harz 04 II 324
Aciditätscoëfficient der Gesteine . . . . . CBl 1900 183
Acidite (saure Gesteine) CBl 1900 184
Acilia, Trias, Hallstatt 02 I 145
Acirsa britana, coislinensis, hybrida u. Vasseuri, Eocän, Loire inférieure . . . . . 03 I 127
Aclis Dumasi, guetensis und hybrida, Eocän, Loire inférieure . . 03 I 127
Aclisina aciculata, attenuata, elegantula, grantonensis, parvula, pusilla, quadrata, similis, tenuistriata u. terebra, Carbon, England . . . . . 02 II 149
Aclisoides, Carbon, Engl. 02 II 150
Acoelodus oppositus. Pyrotherium-Schichten, Argentinien . . . . . 1900 II 301
Acotherulum, Gebiss . . 02 II 469
Acretotherium acridens, White River beds, Montana . . . . . 03 II 426

Acrilla minutigranum, Nummulitenschichten, Egypten . . . . . 1902 I 464
Acritis rugatus, Nevada, Cambrium . . . . . 02 I 488
Acrocidaris abdaensis, Kreide, Libanon . . 03 II 454
Acrocosmia, Trias, Hallstatt . . . . . 02 I 145
Acrodelphis, Wiener Becken . . . . . 03 II 136
— Krahuletzi, sarmat. Tegel von Nussdorf 03 II 137
Acrodus orientalis, Palaeogen . . . . . 01 I 264
Acrosalenia Chartroni, Infralias, Vendée . . 04 II 430
Acrosolarium, Trias, Hallstatt . . . . . 02 I 144
Acrostylus, Jura, Frankreich . . . . . 1900 II 154
Acrotherium . . . . . 1900 II 458
Acrothyra, vergl. m. Hyolithes . . . . . 03 I 330
Actaeon abatis, Tertiär, Lavacille b. Bassano 01 II 129
— Bonneti, Plioc., Karikal . . . . . 02 I 296
— Pissaroi, Eocän, Loire inférieure . . . . . 03 I 128
— semilaevis, patagon. Formation . . . . . 02 I 295
Actaeonella acuminata, Chlomeker Schichten, böhm. Kreide . . . 1900 I 440
Actaeonina Martini, Jura, Borneo . . . . . 01 I 488
— ovata, mitteldeutsch. Muschelkalk . . . . 04 I 314
— ultima, Jura, Frankreich . . . . . 1900 II 152
Actaeopsis Wiltshirei, Lower Greensand, Atherfield . . . . . 1900 II 308
Actinacis decaphylla u. Remeši, verkieselt in Diluvialgesch. Schlesiens u. Mährens CBl 1903 567. 573
— possagnensis, Priabona-Schichten . . . 04 I 283
Actinocamax-Kreide, nordwestl. Deutschland . 02 I 115
Actinodesma erectum, var. eifeliensis, Untercoblenz, Oberstadtfeld a. Eifel . . . . . 03 I 528
Actualismus, Bekämpfung 1904 I 365
Adamellit, Lofoten und Vesteraalen, Norw. . 1900 I 384
Adamello, Tonalit, Alter, Lagerung etc. . . 1900 I 51. 68
Adamellogebiet, Gesteine u. Geologie . . . . 02 I 64
Adamellogranit, Ursache d. Ueberschiebung im Iseogebiet . . . . . CBl 1901 312
Adamellos . . . . . CBl 1903 697
Adamin
— künstl. Nachbildung. 04 II 187
— Chile . . . . . CBl 1904 57
Adelopoma Martensi, tert. Landschneckenmergel, Oppeln . . . . . 03 I 541
Adelphotherium . . . . 1900 II 458
Adeona, ält. Tert., Victoria, Austr. . . . . 1900 II 488
Adeorbis liscaviensis, unt. Muschelk., Lieskau . 04 I 313
— namnetensis, Eocän, Loire inférieure . . 03 I 127
— subalpinus, Tertiär, Reit im Winkel . . 03 II 420
Adeorbisina Canavarii, Zone d. Lioc. opalinum, Rossano in Calabrien . . . . . 1900 II 453
Adergneisse, Finnland . 01 II 63
Adern, schwarze, in Meteoreisen, Kendall Co., Analyse . . . . . 02 I 365
Adiabatische Zustandsänderung zw. Krystall u. seiner Schmelze . 01 II 255
Adiantidae, Pyrotherium-Schichten, Argentinien 1900 II 301
Adinole
— Dartmoor Forest, Devonshire, Diabascontact . . . . . BB XIII 138
— Michigan . . . . . 01 I 239
— Nordgriechenland u. türk. Grenzländer . . BB XVIII 25
Adinotherium . . . . . 1900 II 458
Adirondacks
— nördl., gangförmige Syenitporphyre . . . 1900 II 62
— Titaneisenerze im Gabbro . . . . . 01 II 410
Adler-Grund, pomm. Ostsee, Geologie . . . . BB XX 445
Admiralty-Bay-Inseln, Gesteine . . . . . 03 I 255

Adnether Kalk, Bukowina . . . . . 1901 I 483
Adorfer Kalk, östl. Oberharz . . . . . 01 II 438
Adour-Becken, Orbitoides-Schichten . . . . . 01 I 168
Adriat. Küstengebiet u. Marken, Erdbeben . 01 I 212
Adsorption wasseraufnehmender Substanzen 03 I 96
Adsorptionsprocesse bei Lagerstätten- u. Gesteinsbildung . . . . 04 II 70
Adular
— Polychroismus . . . 04 II 342
— Aarmassiv, in Biotitprotogindrusen . . . BB XIV *66 ff.*
— Binnenthal, Vierling 04 I 181
— Nordamerika, Mondstein . . . . . 03 II 39
— Pisek . . . . . 01 II 203
— Zillerthal, Glaukisiren 02 I 342
Adularisiren d. Mondsteins etc. . . . . 02 I 342
Aegäis, Geologie. . . . 02 II 261
Aegäische Küstenländer, Tektonik . . . . . 1900 I 98
Aegäisches Meer, Untersuchung . . . . . 01 I 55
Aegirin
— Einwirkung v. Salmiak . . 1903 I 395 04 II 6
— verwachsen mit Lorenzenit . . . . . BB XVI *413*
— Gloggnitz, Dispersion der Doppelbrechung . 04 I 161
— Grönland, südl. . . . 1900 I 346
— —, —, Narsarsuk, im Syenit . . . . . 02 I 25
— —, im Nephelin-Syenit . . . . . 01 I 42
— Kola . . . . . 02 II 378
— Mariupoler Kreise im Eläolithsyenit 1900 I 395 02 II 395
— Monteregian Hills, Canada, Limonit, pseud. nach Aegirin . . . . 04 II 410
— Portugal, im Alkaligranit . . . . . CBl 1902 *50*
Aegirinaplit, Miask 1901 II *117.* 242
Aegirin-Augit
— Ilmengebirge . . . . 01 II 206
— Mayor Island, Neuseeland, im Liparit CBl 1904 *209. 213*
Aegirinaugit-Natrongranit, Miask . . . . . 1901 II *117*
Aegirinaugit-Natronsyenit, Miask . . . . . 01 II *118*
Aegirin-Cancrinit-Tinguáit, Elfdalen . . . 02 II 56
Aegirin-Feldspathgesteine, Abessynien . . . . 01 II 391
Aegirin-Foyait=Tinguáit CBl 1900 186
Aegiringesteine, Ilmengebirge . . . . . 03 II 368
Aegiringranit
— Dobrudscha . . . . 01 I 68
— Miask . . . . . 1901 II *117.* 242
— u. -Syenit, Madagascar 02 I 220
Aegirin-Granitporphyre, Judith Mts. Mont. . 1900 I 405
Aegirin-Kataphorit-Trachyt, Insel Vivara . 02 I 348
Aegirin-Nephelinsyenit = Mariupolit, Mariupol, Russl. . . . . 02 II 395
Aegirin-Riebeckit-Tinguáit, Rupbachthal 02 II 57
Aegirin-Rhyolith, Somaliland . . . . . 01 I 226
Aegirin-Trachyt, Bukowina . . . . . 01 I 63
Aeglina Kontkiewiczi, pachycephala, princeps, prisca u. speciosa, poln. Mittelgeb. . . BB XIII *363*
Aeglina Sicardi, Tremadoc, Montagne noire 02 I *3*
Aegoceras imbricatum u. Paronai, Medolo, Brescia . . . . . 02 I 441
— Lorioli, Oosteri und Steinmanni, Freiburger Alpen . . . . . 01 I 164
Aegypten, siehe Egypten.
Aeluropus, Tibet, zu Procyoniden . . . . . CBl 1901 26
Aelurotherium bicuspis u. latidens, Eocän, Marsh Collection . . . . . 04 I 451
Aenigmatit, siehe Ainigmatit.
Aeolische Inseln, Geol. 1900 II 49
Aeolische Sedimente, östl. Minnesota . . . . . 01 II 219
Aeol. Ursprung d. Junagarh-Kalksteins . . 02 I 77
Aeolische Zone, Russland 01 II 68
Aepyornis, Eier etc. 1901 I 302 02 I 305

Aequipecten . . . . . 1902 I 317
— Kreide, England . . 03 II 299
— Fourtaui u. sub-Malvinae, Miocän, Egypten . . . . . 02 I 428
Ärö, Tranderup Klint. . BB XVI *73*
— Vejsnäs Nakke, Diluvium . . . . . BB XVI *73*
Aeschynit, Miask . . . 01 II 205
Aethiopien, Geologie . . 03 I 486
Aethylaether der para-Methoxyzimmtsäure, Kryst. . . . . 03 I *26*
Aetna, Besteigung . . . 1900 II 371
— Eruptionen 1890 . . 02 I 210
— Stabilität des Observatoriums . . . . . 02 I 210
Aetna-Lava, Tre Castagne, Dichte nach Schmelzen 01 II *154*
Aetzen d. Quarzes in Conglomeraten, Blossburg, Tioga Co., Pa. 04 II 406
Aetzerscheinungen
— Gyps . . . . . 02 I 187
— Scheelbleierz v. Broken Hill . . . . . 1900 I 196
Aetzfiguren
— Einfluss fremder Beimengung . . . . . 1900 II 335
— krystallogr. bestimmt durch Lichtfiguren . BB XIII *469*
— mikrosk. Beobachtung 02 II 402
— Augite u. Hornblende 1900 II 336
— Boleït u. Pyrenäit . 1900 I 332
— Columbit, Kragerö . 1900 I *162*
— Eisenschliffe, tiefe . 1900 I 174
— Flussspath . . . . . 1900 I 176
— Gyps, Kommern bei Brüx, natürliche . . 02 II 357
— Kalkspath BB XVII *355. 18. 339* 04 II 329
— metall. Magnesium . 02 I 7
— Quarz bei hoh. Temp. 03 II 16
— rhomboëdr. Carbonate 02 II 347
— Schwerspath, natürl. CBl 1902 *97*
— trikl. Kryst. . . . . 1900 I 169
Aetzung u. Homogenität d. Kryst. . . . . 1900 II 3
Affen
— Braunkohle, Messel CBl 1902 *289*
— Femora . . . . . 01 II 141
— fossile . . . . . 1900 II 464
— Algier, quartäre . . 01 II 147
— Madagascar 1903 I 344. 352. 562
Afrika
— Geologie . . . . . 03 I 486
Afrika
— britisch Ost-, Petrographie CBl 1902 *313* 1904 II 55
— Deutsch-Südwest-, Böden . . . . . 01 I 234
— — Cambrium? . . . CBl 1902 *65*
— — Geologie . . . . 03 II 252
— Ost-, jüngere Ablagerungen . . . . . 02 II 264
— südl., Aptien . . . . CBl 1902 *465*
— — Eruptivgest. . . 04 II 55
— — Reihenfolge und Correlation d. Formationen . . . . . 1900 I *113*
— — Trilobiten der Bokkeveld beds . . . 04 II 323
— West-, portug., Gesteine . . . . . 02 II 233
Aganides praecursor und Gürichi, Devon, Nehden 03 II 146
Agassiceras miserrimum, Lias, Centralappennin 01 I 165
Agdlunguak, Grönl. . . 1900 I 351
Agelacrinidae . . . . . 01 I 317
Agelacrinites, Chemungsandstein, New York 03 I 172
Agelacrinitidae, Chemungsandstein, New York 03 I 172
Ageladiscus, Chemungsandstein, New York 03 I 172
Agglomerat, vulkan., Forkill . . . . . 03 I 422
Aggregirte Ablagerungen 1900 II 407
Agnolith = Manganocalcit BB XIII *265*
Agnostus cfr. bavaricus, Tremadoc, Combes de Barroubis, Südfrankr. 02 I *6*
— Koerferi, obercambr., Schantung . . . . . 04 II 323
— Schmidti, Lenakalk, Cambrium, Sibirien . 01 I 114
Agordino superiore, Mineralien . . . . . 03 I 202
Agri-See, pleistocäner, Unteritalien . . . . 01 I 290
Agriochoeridae, Uinta-Eocän . . . . . 02 II 296
Agriochoerus minimus, White River beds, Montana . . . . . 03 II 426
Aidin, Kleinasien, Erdbeben 19. VIII. 95 . 1900 I 378
Ainigmatit
— Aetzfiguren . . . . 1900 II 341
— verwachsen m. Arfvedsonit . . . . . BB XVI *437*

Ainigmatit
— Grönland, im Neph.-Syenit . . . . . 1901 I 45
— Kangerdluarsuk 1900 I 348. 349
— Mayor Island, Neuseeland, im Liparit . CBl 1904 *209*
Ainigmatit-Granit und -Syenit, Madagascar 02 I 220
Akerit, Diluv.-Geschiebe, Sylt . . . . . 01 I *106*
Akeros . . . . . CBl 1903 697
Akmit
— und Leucit, zusammengeschmolzen . . CBl 1904 *344*
— — Orthoklas, ebenso CBl 1904 *366*
— aus Eudialyt entstanden im Neph.-Syenit, Grönland . . . . . 01 I 41
Aktinolith
— Ilmen-See . . . . . 01 I 363
— Nordamerika, im Quarz 01 I 33
— Old Hampshire Co., Mass. . . . . 01 I 35
— siehe Strahlstein.
Aktinolithtypus der Aetzfiguren d. Hornblende 1900 II 337
Alabama, Goldlagerstätten . . . . . 1900 I 241
Alabandin, siehe Manganblende.
Alandsinseln, Ursprungsgebiet von Diluv.-Geschieben, Sylt . . . 01 I *109*
Alaria Berlieri und Mairei, Z. d. Am. Renggeri, Lons-le-Saunier . . . 02 I 293
— Choffati u.? flora, Renggeri-Schichten. Berner Jura . . . . . 01 I 139
Alaska
— Geol. u. Cu-Erze im Copper River-District 04 II 74
— — u. Gold . . . . CBl 1901 215
— — u. Lagerstätten . 1900 II 77
— Gletscher d. südöstl. 01 I 391
— Jurafossilien . . . . 01 II 124
— todter Malaspina-Gletscher . . . . . CBl 1900 *331*
— Cape Nome u. Norton Bay, Seward-Halbinsel, Geol. u. Gold . 04 II 71
— Yukon Distr., Goldlagerstätten 1902 II 244 CBl 1902 432
Alaskit, Silverton Quadrangle, Colorado . . 03 II 343
Alaskyt . . . . . 1902 I 216
Ala-Thal, Piemont
— Minerallagerstätten . CBl 1900 *41*
— Vesuvian etc. . . . CBl 1900 *41*
Alatau-Gebirge, Sibirien, Gesteine . . . . . 01 I 232
Alaun
— Schwefelgrotte bei Porto di Miseno . . 03 I 252
— Eisen-, magnet. Influenz . . . . . BB XIX *419*
— Kali-, Krystallwachsthum . . . . . 03 II 161
Alaunkrystall, Winkelmessung während des Wachstums . . . . 04 II 329
Alaunstein, siehe Alunit.
Alb
— schwäb., Höhlen, Mensch etc. . . . 03 II 284
— — Tertiär . . . . . CBl 1900 *145*
— Kirchheim u. T., Diluvialbildungen . . . BB XIX *85*
— Ulmer, alte Gerölle . BB XIX *4*
Albaner Gebirge, vulk. Thätigkeit . . . . . 04 I 369
Albanien, Lias . . . . CBl 1904 *257*
Alberta, Geologie . . . 02 I 430
Albien, französische Voralpen . . . . . 02 I 253
Albit
— Ausscheidung aus Schmelzflüssen . . . CBl 1904 *369*
— Bildungsweise und Eruptivgesteine . . 03 II 329
— Brechungsindices . . 1900 II 180
— opt. Orientierung . . 03 I 24
— geschmolzen, Lösungsvermögen . . . . . CBl 1902 *201*
— u. Diopsid, zusammengeschmolzen . . . . CBl 1904 *366*
— u. Hedenbergit, zusammengeschmolzen CBl 1904 *342*
— u. Magneteisen, zusammengeschmolzen CBl 1903 *720*
— u. Olivin, zusammengeschmolzen . . CBl 1904 *345. 364*
— Aarmassiv, in Biotitprotogindrusen . . BB XIV *87 ff.*
— Acherwiese, Fichtelgebirge . . . . . 1900 II 359
— Amelia, Glaukisieren 02 I 341
— — optisch 1900 II 190 02 I 349
— — Zusammensetzung 02 I 350
— Baikalsee, Lasursteingrube . . . . . 02 I 39

Albit
— Bakal, Ural, umgew. in Kaolin . . . . . 1902 II 366
— Binnenthal . . . . CBl 1904 57
— Brusson, Piemont, im Grünschiefer . . . . CBl 1901 *303*
— Carrara, opt. Const. 1900 II 189
— Comba Peraegue, Piemont, Kryst. . . . . CBl 1903 *119*
— Dobruvka, Mähren . 03 I 201
— Grönland . . . . . 1900 I 350
— Haddam Neck, Conn. im Granit . . . . . 03 II 188
— Klein-Arö, Anal. . . 02 II 361
— Kramkogel, Rauris, opt. Const. . . . . 1900 II 191
— Lakus, Bestimmung d. opt. Const. . . . 1900 II 171
— Langesund, Norw., im Nephelinsyenit . . . 1900 II 368
— Massachusetts . . . 01 I 36
— Portugal, im Alkaligranit . . . . . CBl 1902 *54*
— Radauthal . . . . . 01 II 361
— San Pablo, Calif. . . 03 I 405
— Schlaggenwald, sog. Desmin . . . . . 04 I 351
— Schmirn, Bavenoer Zwillinge . . . . . 1900 I *151*
— — opt. Const. . 1900 II 183. 185
— Stripåsen, Westmanland, im Pegmatit . 04 I 391
— Tintagel, Cornwall . 02 I 190
— Uspenskij-Gruben, sdl. Ural . . . . . 01 II 178
— Waldhornthörl, Prägrätten, opt. Const. . 1900 II 190
Albitit . . . . . 01 II 220
— Bukowina . . . . . 01 I 63
Albit-Oligoklas
— Bakersville, opt. Constanten . . . . 1900 II 191
— Cala Francese, Insel Maddalena, im Granit 02 I 347
Albitpegmatit, Stripåsen Westmanland, mineralführend . . . . . 04 I 390
Albitporphyrit, Bukowina 01 I 63
Alboran, Insel, Hypersthenandesit . . . . 01 I 69
Alboranit . . . . . 02 I 214
Albula-Bahn, Gesteine zw. Filisur u. Bellaluna . . . . . 03 II 395
Alburnus Steindachneri, böhm. Braunkohle . 04 I 286
Alca impennis, ausgestorben . . . . . 1904 I 137
— siehe auch Alk.
Alces latifrons, Mosbach, interglacial . . . . 1900 II *56*
Alces machlis, Themsethal . . . . . 04 II 314
Alchar, siehe Allchar.
Alcicephalus, Samos, ob. Miocän . . . . . 03 I 553
— sinensis, Tertiär, China . . . . . CBl 1902 *533*
Alcicomopteris Zeilleri, Carbon, Mâcon . . . 04 II 478
Aldrichia elegans, Palaeogen, Nordamerika 04 I 468
Alethopteris pontica, Carbon, Heraclea (Kleinasien) . . . . . 03 I 174
— (Asterotheca) sub-Davreuxi, Carbon, Zwickau . . . . . 03 II 459
Aletodus, Jura, Schwaben BB XIV *548*
Aletschgletscher, Geol. . BB XVI *293*
Aletschhorn, Geologie . BB XVI *303*
Alexandrien, Geologie . 04 II 426
Alexandrit, Absorptionsspektrum b u. c . . 04 II 14
Alexandrowsk, Geol. u. Gesteine . . . . . 02 II 393
Alferrischer Modus der Eruptivgesteine . . CBl 1903 688
Alföld, Ungarn, Geol. . 1900 I 93
Algacites . . . . . 1900 I 157
Algen, fossile . . . . . 1900 I 150
— Chemung-Schichten, New York . . . . . 03 I 120
Algenrest, böhm. Obersil. 1900 I 129
Algier
— Ain Oudrer, Eisenerze in metam. Schiefern 1900 I 400
— Andesitvulkan Tifarouine . . . . . 01 I 405
— Eocän . . . . . 01 II 448
— Giraffe und Kameel. 03 I 347
— Granit, Alkali-. Filfila 04 I 222
— Infracrétacé . . . . 02 II 115
— Kreide, Zone d. Placenticeras Uhligi u. Marsupites ornatus . 02 I 453
— quartäre Carnivoren und Suiden . . 1901 I 147. 148
— Tertiärmollusken . . 01 I 489
Algodonit, Lake Superior 02 I 7
Algonkian
— Massachusetts . . . 1900 II 87

Algonkian
— Michigan . . . . . 1901 II 411
— Schweden . . . . . 02 II 100
Alibertgraphit, Lagerstätte 01 II 74
Alicudi, Geologie . . . . 1900 II 49
Alk, Miocän, Californien 04 I 460
— siehe auch Alca.
Alkalicalcische Eruptivgesteine . . . . . CBl 1903 685
Alkaligranit
— Filfila (Algier) . . . 04 I 222
— Hougnatten, graph. Darstellung der Zusammensetzung . . 1900 I *111*
— Portugal . . . . . CBl 1902 *49*
Alkalihaloide, Eigenschaften und eutrop. Beziehungen . . . BB XVIII *117*
Alkalimirlische Eruptivgesteine . . . . . CBl 1903 686
Alkalisalze, lösliche, Bestimmung im Boden 01 I 240
Alkalische Schwefelquellen, Entstehung . . 02 II 418
Alkalisyenit
— Beverley . . . . . 02 II 73
— Malga Gardone, Predazzo . 1903 II *11* CBl 1903 *497*
Allanit, Lairg, Sutherlandshire, im Hornblendegranit . . . . . 01 I 79
— siehe auch Orthit.
Allauch-Massiv, Lagerung . . . . . 1900 II 264
Allchar, Macedonien, Lorandit . . . . . 1900 I 7
Allenberg b. Wehlau, Diluvium . . . . . BB XVI *51*
Allochetit
— Allochet (Monzoni) . 04 I 389
— Monzoni . . . . . 04 II 210
— ähnl. Gestein, Pizmeda . . . . . CBl 1904 *428*
Allochthonie d. Kohlenlager . . . . . 02 I 159
Alloërisma carniolicum, Trias, Idria . . . . 02 I 485
Alloiopteris dentata, Carbon, Zwickau . . . 03 II 459
Allophan
— Lading, Kärnten . . 02 II 36
— Rosas, Sard. (Kupferzink-) . . 1900 I 16 1900 II 364
Allops-Species, Amerika, Oligocän . . . . . 04 I 298
Allosaurus, Wyoming . 01 I 305
Alluvium
Gross-Seran, Molukken . . . . . CBl 1901 *321*
— Lomthal, Bulgarien . 1900 I *31*
— siehe auch Quartär etc.
Almadén, Concentration der Elemente . . . 1900 II 242
Almandin
— Olchon-Insel im Baikal-See, Anal. . . . 03 II 176
— Nordamerika, Edelst., Vorkommen . . . . CBl 1902 404
— siehe auch Granat.
Almeras . . . . . CBl 1903 696
Almeros . . . . . CBl 1903 696
Almethal, südw. Paderborn, Entstehung . . 04 II 441
Alnites latifolia, tert., Australien . . . . . 04 I 156
Alnöit
— syst. Stellung . . . 03 II 358
— Manheim, N. Y., Verwitterung . . . . . 1900 II 64
— — gangförmig . . . 04 I 394
— Orkney-Inseln . . . 02 II 66
— Syracuse N. Y., gangförmig . . . . . 04 I 395
Alocopteris Winslovii, Lower coal measures, Missouri . . . . . 01 II 490
Alpen
— Centralgneiss, Alter . CBl 1902 197
— Diceras-ähnl. Zweischaler d. mittl. Trias 02 II *127*
— Eiszeit . 1903 I 514 1903 II 51
— Eiszeit, vierte . . . 1900 II 443
— Geologie . 1900 I 87 1900 II 264
— Glacialbildungen der östlichen . . . . . 04 II 281
— Gletschererosion . . 04 I 374
— Grenze v. Muschelk. u. Lettenkohle . . . 1900 I 437
— Grenzgebiet zw. Ost- u. Westalpen . CBl 1902 114. 120
— Kalke, mikrosk. Untersuchung . . . . . 1900 I 425
— Kaolinlager . . . . BB XV *335*
— Karrenfelder . . . . 1900 I 214
— Korallen der Gosauschichten . . . . . 04 II 150
— krystallin. Schiefer . CBl 1902 665
— metam. Schiefer mit Zoisit . . . . . 1900 I 190
— nomadisierende Schubmassen der Ost- . . CBl 1904 *161*
— Salzberge . . . . . 1900 II 408

Alpen
— Staurolithvorkommen 1902 II 352
— Tektonik der Dolomitalpen . . . . . 01 II 417
Thäler und Gletscher CBl 1902 570
Ueberschiebungen . . CBl 1902 250
— — im Rhônethal . . 1900 I 87
— Vergletscherung nach der letzten Eiszeit . CBl 1904 *266*
— — b. letzt. Eiszeit, Aenderung d. Klimas etc. . . . . 04 II 436
— verglichen mit Kaukasus längs d. grusin. Heerstrasse . . . . 1900 I 423
— Vollendung d. Gletscher . . . . . 02 I 384
— Adamello-Tonalit, Lagerung u. Alter . . 04 I 68
— Ammergebirge . . . 01 I 260
— Bieler See, Taschen . 01 I 261
— Centralmassiv, Gneissfältelung . . . . . 02 I 218
— Chiemgauer, Dogger u. ob. Lias . CBl 1901 *361. 719*
— Cima d'Asta-Gruppe, Geologie . . . . . 02 II 420
— Comasker, südl. . . 04 II 244
— Cottische, Graphitlager . . . . . 1900 I 415
— Davos-Distrikt, Geol. 01 II 94
— Dellach, Oberdrauthal, Blei- u. Zinklagerstätten . . . . 04 I 297
— Falzarego-Thal, ob. St. Cassianer-Schichten . . . . . 01 II 121
— Fassa u. Monzoni . 04 I 247
— Frankreich (Diois u. Baronnies Orientales) 02 I 249
— französische, Entstehung der Fächerstruktur . . . . . CBl 1904 92
— französische, Geol. (Gesteine) CBl 1901 475 02 II 60
— — Gesteine . . . . 1900 I 220
— — West-, triad. submar. Barre . . . . BB XX *498*
— Freiburger, Ammon. d. ob. Lias . . . . 1900 I 139
— Gaflenthal, Graubünden, Tektonik . . . CBl 1901 *353*
— Gailthaler . . . . . 03 I 102
— Glarner, alte Bergstürze . . . . . 01 II 209
Alpen
— Graubünden, Geol. . CBl 1902 114
— Gross-Venedigerstock, petrogr. Untersuchg., Beziehung z. Geologie der Centralalpen . . CBl 1903 *401*
— Hohe Tauern u. Zillerthaler A., Geol. . 1904 II 83
— Karnische, Faunen d. rothen und grauen Kalke d. Mte. Clapsavon . . . . . 01 II 134
— — Gesteine . . . . 1900 II 396
— — westl. Abschnitt . 01 I 93
— — und Karavanken, Trogkofelschichten . 01 II 118
— Labergebirge b. Oberammergau . . . . . 1900 II 415
— Luganer, Dolomitgebiet . . . . . 04 II 244
— Monzoni, Zusammensetzung u. Genesis d. Gesteine . . . . . 04 I 66
— Niederösterr. Kalkalpen, Verbreitung d. Kreide m. Orbitulina concava . . . . . 01 I 443
— nördliche, Versteinerungen der oberen Kreide . . . . . CBl 1904 *654*
— nordöstliche, tiefere Zonen d. unt. Lias . 1900 I 312
— Oberbayr., Ostracoden und Foraminiferen d. Kreidemergel . . . . 02 I 155
— Orobische . . . . . 1900 I 426
— Orteler-, Pegmatit . 04 II 208
— Ostalpen, Geologie . 02 II 420
— piemontesische West-, Geologie . . . . . 1900 II 266
— Plessurgebirge um Arosa . . . . . 04 I 240
— Recoaro und Schio, Trias . . . . . 1900 II 433
— St. Cassian, Lamellibranchiaten . . . . 02 II 486
— Savoische, Rhacophyllites im Mittellias . 02 I 441
— Schladminger Tauern, Gesteine . . . . . 04 I 64
— Schweizer, Chromglimmer . . . . . 1900 I 189
— — Nord-, Fischschiefer im Flysch . . . CBl 1903 *742*
— westliche, Glacial . . 01 I 261
— Seealpen, Kreide . . 02 I 279

Alpen
— Seethaler und nied. Tauern, Schiefergesteine . . . . . 1901 II 56
— Seiser Alp, Trias . . 1900 II 416
— — und Schlern . . . 02 I 425
— Semmering . . . . . 04 I 251
— Sonnwendgebirge . . 03 I 494
— Steiermark, Entstehung v. Erz- u. Magnesit-Lagerstätten . . 04 II 240
— — (Possruck u. nördl. Bachergeb.), Geol. . 02 II 419
— südliche, Ammoniten des Bellerophonkalkes CBl 1901 *436*
— —, triass. Cephalopoden . . . . . 01 II *23*
— Südtirol, Dolomiten . 04 I 252
— Ultenthal, südlich v. Faltenschauer . . . 04 I 61
— Venetianische, Oligocänmollusken . . . . 1900 II 440
— — Vor-, Oligocän . 01 II 282
— vicentinische, Geol. . 01 II 98
— Walliser, Petrographie . . . . . 03 I 65
— westliche, mesoz. Alter d. „pietre verdi“ 1900 I 426
— —, Minerallagerstätten 01 II 201
— Zusammenhang zw. Karwendelgeb. und Sonnenwendjochgeb. 04 I 246
Alpenseen, Entstehg. 1900 I 212. 214
Alpenthäler, Beziehung zu Gletscher . . . . CBl 1902 570
— Uebertiefung . . . . 02 II 282
Alsbachyt, syst. Stellung 03 II 357
Alsen, Diluvium . . . . BB XVI *71*
Altai
— Carbonflora, Kusnezk 02 I 501
— quart. Säugethiere . 03 I 324
Altait
— Californien . . . . . 03 II 37
— West-Australien . . 04 I 9
Altenburg, Flussschotter des Neckars . . . . 02 I *60*
Altenhagen, geol. Karte, Flachland . . . . . 1900 II 413
Altenmarkt a. Enns, Geologie . . . . . 03 I 100
Altenvers, Haliseritenschichten, Unterdevon BB XVII *28*
Alter der Erde
— Berechnung . . . . 02 I 375
— nach dem Salzgehalt d. Meeres . . . . . 03 I 219
Alter der Erde
— und Calciumcarbonate im Meerwasser . . . 1902 I 45
— Schätzung 1901 II 46. 51 03 I 41
Altersbestimmung der Gänge . . . . . 1900 II 247
Altersfolge d. Eruptivgest.
— Fassa- u. Fleims-Thal 04 II 212
— Predazzo u. Monzoni 04 II 211
Alticamelus, Tert., NO.-Colorado . . . . . 04 I 132
Aluminé-Hochfläche, Grenze zw. Argentinien und Chile . . 1900 I 433
Aluminit, Melbthal bei Bonn . . . . . 1900 II 32
Aluminium, Darstellung und Verwendung . . 01 I 176
Aluminiumindustrie . . 04 I 3
Aluminiumoxydhydrate im Boden . . . . . 02 II 342
Alumosilikate . . . . . 02 II 191
— Calcium-, haloidhaltige CBl 1904 *729*
— siehe auch Laterit.
Alunit
— Isomorphismus . . . CBl 1901 *507*
— Silverton Quadrangle, Colorado . . . . . 03 II 342
— -Jarosit-Gruppe . . . 03 II 183
— (Quarz-) Gestein, Tres Cerritos . . . . . 1900 I 73
Alunogen
— Alma Mine, Calif. . 04 II 40
— Dshusaly-kul-See, Omsk 02 I 207
— Prov. Rom. . . . . 03 I 253
Amalgam
— Alaska . . . . . 1900 II 79
— Salagrube . . . . . 1900 I 31
Amaltheenthon
— Jurascholle bei Offenburg a. Rheinthal . CBl 1900 29
— Reutlingen . . . . . 1900 II 113
Amathusia veneriformis, Quiriquina-Schichten, Chile . . . . . BB XVIII *237*
Amauropsis (?) crassitesta, Hantkeni und papodensis, Hauptdolomit, Trias, Bakonywald . . . . . 02 II 307
Amauropsis Martensi. Quartär, Egypten . . 02 II 108
Amazonas-Gebiet
— Manganerz . . . . . 1900 I 411
— unteres, Geologie . . 04 I 420

Amazonas-Niederung, Geologie . . . . . CBl 1901 120
Amazonenstein, Pleochroismus . . . . . CBl 1903 *450*
Amberleya cygnea, densinodosa, elongata, obornensis, Orbignyana, pagodiformis und turbinoides, Jura, England . . . . . 1901 I 513
Amblyacrum namnetense, Eocän, Loire inférieure 03 I 128
Amblygonit
— Californien, Production 1901 . . . . . 04 I 35
— Montebras, Zusammensetzung . . . . 02 II 353
— Pala, Calif., Anal. . 04 II 26
Amblypoda, Entwicklung 02 I 472
Amblypristis cheops, unt. Mokattam, Wasta in Egypten . . . . . 03 I *35*
Amblysiphonella Lörentheyi, Trias, Bakony 02 I 493
Amboina, angebl. Ausbrüche d. Wawani 1901 I 49. 50
Ambon, Molukken, Geologie . . . . . 03 II 103
Ameisen, geol. Wirksamkeit in Tropen . . . 02 II 216
Amelia-Berge (Umbrien) Geologie . . . . . 04 II 247
Amerika
— Formationsnamen u. Schichtenbezeichnungen 03 II 418
— Mineralproduktion d. Verein. Staaten im Jahr 1901 . . . . . 04 I 33
— Rudisten . . . . . 1900 II 480
— Vulkane u. Erdbeben von Central- . . . . 01 I 49
— vulk. Eruptionscentren in Süd-, nach STÜBEL CBl 1902 *718*
Amethyst
— Färbung . . . . 1900 II 342. 343
— Polychroismus . . . 04 II 342
— Brasilien, Kryst. . . 03 II 16
— Lowesville, Virg. . . 04 II 367
— Maredsous, Belgien . 01 II 350
— Nordamerika . . . . CBl 1901 404
— Rosenegg im Opaltuff 1900 I 22
Amia Lemoinei, Epernay, Sande mit Unio und Teredo . . . . . 02 II 302
— robusta, Eocän, Reims . . . . . 04 I 306
Amianth, zersetzt durch H_2S-Gas . . . . . 1901 I 172
Ammergebirge, Geol. . 01 I 260
Ammodiscus dubius und gorlicensis, Inoceramenschichten, Gorlice 03 II 153
— Geinitzi, gordiformis u. involutus, deutscher Zechstein . . . . . 1900 II 164
— incertus, Bryozoenhorizont, Priabona . 01 I *125*
Ammonea leiostraca und trachyostraca, Hallstätter Kalk . . 1903 I 315. 317
Ammoneen, Devon . . . 03 II 144
Ammoniak, siehe Ammonium.
Ammoniten
— Lebensweise . . . . CBl 1904 92
— Lias, Rückschlagsformen . . . . . 04 I *30*
— Turon, bes. Amm. peramplus . . . . . 01 II 317
— unt. Kreide, Châtel-St. Denis . . . . . 03 I 333
— Appennin, centraler, Lias . . 1901 I 165 01 II 152
— England, Unteroolith 1900 I 314 01 II 316
— Frankreich, Neocom . 01 I 165
— Freiburger Alpen, Lias . . 1900 I 139 01 I 163
— Grossbritannien, Unteroolith, Hildoceratidae . . . . . 1900 I 314
— Rosso ammonitico . 01 I 468
— Südalpen, Bellerophonkalk, systemat. Deutung . . . . . CBl 1901 *436*
— — Trias . . . . . 01 II *23*
— Südindien, Kreide . 1900 I 441
Ammonites arnesensis, Kreide, Portugal . . 1900 II 477
— calcar, Schwaben . . 01 I 166
— discoides u. polygonius, Original von Zieten 03 I 333
— euomphalus, Lower Chalk, Dorset . . . 01 I 166
— pedernalis . . . . . 02 I 140
— peramplus, Turon . . 01 II 317
— Ramsayanus, Chalk marl v. Eversholt 1902 II 436 03 I 333
Ammonitiden, Neocom, Norddeutschland . . 03 II 453
Ammonitico Rosso, Ammoniten . . . . . 01 I 468

Ammonoidea, Haftmuskel 1900 I 475
Ammonoideen, Ursprung aus Orthoceras . . . 1900 I 130
Ammoniumchlorid
— Einwirkung auf Analcium und Leuzit . . 01 I 27
— — — Zeolithe . . . 01 II 339
— — — Silicate . . . 04 II 3
Ammoniumanalcim . . . 04 II 5
Ammoniumhologenverbindungen, Kryst. . 03 II 170
Ammoniumsalze, Bestandth. v. kryst. Gest. 02 II 376
Ammonshörner, Urbild 1902 I 480 03 I 166
Amnigenia in devon. Süsswasserschichten . . 03 I 120
Amorphocystis . . . . 01 I 321
Amphibien, Verwandtschaft m. Dipnoi . . 03 I 158
Amphibol (siehe auch Hornblende etc.)
— Aetzfiguren . . . . 1900 II 336
— Analysen 1900 II 197 01 I 241
— opt. Charakter der Vertikalzone . . . . CBl 1900 127
— Schmelzpunkte . . . 04 II 166
— Baveno, im Granit . 03 II 34
— Canada, Zusammensetzung . . . . . 04 II 23
— Cappuccini b. Albano 04 I 170
— Ceylon, im Marmor . 04 I 381
— Co. Down, blauer, im Hornblendekersantit. 01 II 390
— Grönland, im Nephelin-Syenit . . . . . 01 I 42
— Portugal, im Staubfall vom Januar 1902 CBl 1902 *259*
— siehe auch Hornblende, Strahlstein, Tremolit etc.
Amphibole, gesteinsbildende, Analysen . . 01 I 241
Amphibolandesit, Mariupoler Kreis, Südrussl. 1900 I 393
Amphibolanthophyllit, Zinkblendelagerst. v. Räfvåla, Schweden . 03 I 257
Amphibolaugitit, Giumarra bei Ramacca (Sicilien) . . . . . 03 I 253
Amphibolgranit
— Trebitsch u. Jarmeritz, Mähren . . . . 03 I 272
— Gross-Meseritsch, Mähren . . . . . 02 II 421
Amphibolisation d. Augits 02 I 225
Amphibolisierter Gabbro, Pallet, Loire inférieure . . . . . 1900 II 400
Amphibolit
— bosn. Serpentinzone . 02 I 68
— Crocetta b. S. Piero, Elba, Analyse . . . 03 I 250
— Nordgriechenland u. türk. Grenzländer . BB XVIII *43*
— Oberpfalz . . . . . CBl 1904 *583*
— Radlbach (Steiermark), Umschmelzungs-Produkte . . . . . BB XIX *167*
— Sarjektrakt . . . . CBl 1901 441
— Tepler Hochland . . 03 I 239
Amphibolmineralien, Neph.-Syenit, Grönland . . 01 I 42
Amphibol-Natronsyenit, Miask . . . . . 01 II *122*
Amphibolobas, Kasbek . 02 II 391
Amphibololivinfels, Tirol 1900 II 392
Amphibolpikrit, Dillenburger Gegend, Mitteldevon . . . . . BB XV *597*
Amphibolpyroxengestein, Mariposa County, Cal. 1900 I 73
Amphibolpyroxenit, Pfahlbauten, Schweiz BB XVI *182*
Amphibolschiefer, nephritähnl., Steinbeil von Kaaden, Böhmen . . CBl 1903 *51*
Amphiclina Bukowskii, ob. Trias, Gajine in Bosnien . . . . . 04 I 117
Amphiclinodonta Katzeri, oberer Trias, Gajine, Bosnien . . . . . 04 I 117
Amphictis, Schädel . . . 01 II 469
Amphicyon lemanensis var. leptorhynchus, Oligocän, Pyrimont und Challonges . . . 04 I 444
— rugosidens, Tertiär, Europa . . . . . 1900 II 143
— sinapius, Miocän, Colorado . . . . . 04 I 295
— socialis, Solnhofen, Spalten im lith. Schiefer, Miocän . . . . BB XIX *496*
Amphigoniacea . . . . BB XV *416*
Amphihelia natitochensis, Palaeogen, Nordamerika 04 I 468
Amphijanira janirulaeformis, Trias, Bakony 02 I 315
Amphion, genetische Beziehungen . . . . . 1900 II 473

Amphiope pedemontana, Tert., Piemont . . . 1901 II 485
Amphiperatherium rhodanicum, Olig, Pyrimont und Challonges 04 I 443
Amphisphyra philinoides, Jura, Frankreich . . 1900 II 153
Amphitragalus elegans, Olig.. Pyrimont und Challonges . . . . . 04 I 444
— Pomeli, Hydrobienkalk bei Biebrich . . . . 02 I 302
Amplosipho nilensis, Eocän. Belgien . . . . . 02 II 486
Ampullaria bicarinata planoconvexa, rotundata u. semidepressa, Unterlias, Serbien . 01 I 467
— Burdeti, Pasquali, Sandbergeri u. transiens, Untertertiär, Egypten . . . . . 02 I 484
Ampullina australis, Quiriquinaschichten, Chile BB XVIII *196*
— latispira, patuliformis und similis, Priabona-Schichten . . . . . 04 I 283
— namnetensis u. Vasseuri, Eocän, Loire inférieure . . . . . 03 I 127
— pullula var. alsatica süddeutsch. Muschelk. 02 I 143
Ampullospira infraliassica, Infralias, Vendée 04 II 115
Amrum
— kryst. Geschiebe . . 03 I *91*
— norweg. kryst. Diluvialgeschiebe . . . . CBl 1903 *453*
Amussium . . . . . 02 I 317
Amygdalus praecommunis, böhm. Mittelgebirge . . . . . 1900 II 329
Anabaia anticostiana und Paraia, Silur, Para, Brasilien . . . . . 01 I 297
Anabantische Abkühlungsdifferentiation im Magma . . . . . CBl 1900 190
Anacodon, syst. Stellung 03 II 432
Anadoxides, Cambrium. Neufundland . . . . 01 I 162
Anadyomene Huysseni, jüng. Steinkohlengeb., Prov. Sachsen . . . 01 I 458
— —, Wettiner Schichten, Schladebach . . 04 I 475
Anagenit, Rupecava (Mte. Pisano), Anal. . . . 1904 II 219
Analcim
— Ammoniak-, künstlich 04 II 5
— Constitution . . . . 01 I 26
— Einwirkung von Ammoniumchlorid 1901 I 27 04 I 4
— Agordo . . . . . 03 I 203
— Beemerville, N. J., im Camptonit . . . . . 03 II 375
— Grönland . 1900 I 347. 349. 351 1901 I 38. 39 02 I 29
— —, aus Nephelin, Sodalith etc., Neph.-Syenit . . . . . 1901 I 38. 39
— — bei Narsarsuk, im Syenit . . . . . 02 I 29
— Euganeen, im Basalt 01 II 361
— Feodosia, Krym . . 01 II 205
— Lehre b. Braunschweig, i. Sphärosideritknollen 1900 I 193
Analcim-Basalt
— Einwirkung von NH_4Cl 04 II 7
— Little Belt Mountains, Montana . . . . . 03 I 433
Analcim-Camptonit, Las Vegas, Neu-Mexico . 04 II 404
Analcim-Melaphyr, Pizmeda, Fassathal . . CBl 1904 *79*
Analysen
— mikrochemische 1900 I 327 CBl 1902 *198*
— bayrischer Gesteine . 01 I 397
— der k. k. geol. Reichsanstalt . . . . . 03 I 249
— Gesteins-, Schreibweise 01 I 396
— von Mineralien, Interpretation . . . . . 01 II 23
— von Silicatgesteinen 1900 I 379
Anapait = Tamanit, Anal. 03 II 333
— Anapa, am Schwarzen Meer . . . . . 02 II 200
Anaptogonia, Knochenhöhle. Fort Kennedy 02 II 140
Anaptomorphidae, Eocän. America . . . . . 04 I 293
Anarthrocanna Göpperti. Devon, Bäreninsel . 04 II 476
Anaspida, Silur, Schottl. 01 I 508
Anastylops vallatus, Pyrotherium-Schichten, Argentinien . . . . . 1900 II 303
Anatas
— Darstellung auf trockenem Weg . . . . 02 II 342

Anatas
— Flächenentwicklung und Krystallstruktur CBl 1903 *665*
— Formel Ti_4O_8 . . . CBl 1903 25
— Mol.-Vol. vergl. mit Kalomel und Formel 1904 I 5
— Polychroismus . . . 04 II 342
— Vork. im Granit . . 03 II 179
— Pseudom. von Rutil nach Anatas . . . . BB XVI *392*
— Aarmassiv, in Biotitprotogindrusen . . BB XIV *75 ff.*
— Baltschiederthal, Wallis im Triasdolomit . 1900 I *20*
— Bogoslowsk'sches Bergrevier, im Leukoxen . . . . . 1900 I 345
— Brindletown, N. Car. 03 I 21
— Fichtelgebirge, im Schalstein . . . . . 01 I 59
— Hinksford, in den „Upper Bunter Sands" CBl 1903 *333*
— Jasenic, Mähren . . 03 I 200
— Kuttenberg, Böhmen 1903 I 401 CBl 1901 504
— Midlands (Engl.), in Triasgesteinen . . . 04 II 354
— Prägratten . . . . 04 II 15
— Scipius-See (St. Gotthard) . . . . . 03 I 381
— Tintagel, Cornwall . 02 I 190
— Veltlin im Gneiss . . 01 I 190
Anaxiale Krystallklassen 1900 II 331
Anchitheriomys Wiedemanni, bayr.-schwäb. Dinotheriumsand . . 01 I 498
Anchitherium Zitteli, Tertiär, China . . . . . CBl 1902 *533*
?Anchura pergracilis, Kreide, Mt. Laurel N. J. . . . . 01 II 300
Ancodus Corringei, Eocän, Egypten 1903 I 565 04 I 136
Ancolioceras, Unteroolith, England . . . . . 01 II 317
Ancyloceras Ackermanni, Aptien, Südafrika . CBl 1902 *466*
— incumbens, laeviusculum und nodulosum, Neocom, Norddeutschland . . . . . 03 II 449
— Kossmati, ob. Kreide, Ürmös, Siebenbürgen 01 I 469
Ancylopoda, Pyrotherium-Schichten, Argentien 1900 II 302
Andalusit
— Constitution . . . . 1902 I 15
— Polychroismus . . . 04 II 343
— Verwachsungen . . . 01 II 336
— verwachsen m. Cyanit BB XVI *416*
— — m. Sillimanit . . BB XVI *397*
— Vork. im Granit . . 03 II 180
— Allerheiligen, im Granit . . . . . 04 I 254
— Brassac (Tarn), im Glimmerschiefer . . 03 I 207
— Graubünden u. Färbung . . . . . 01 II 193
— Ost-Bokhara, im Seebenit . . . . . 01 I 74
— Pasek b. Pisek . . . 01 II 203
— Pisek, Kryst. . . . . 03 II 32
— Schenkenzell i. Schwarzwald im Pegmatit . CBl 1900 29
Andalusithornfels
— ecuador. Westcordillere 1900 I 410
— Hohwald, graph. Darstellg. d. Zusammensetzung . . 1900 I *104. 106. 110*
Andalusitschiefer, Columbia . . . . . 03 II 207
Andas, Andos . . . . . CBl 1903 697
Anden, rückgreif. Erosion 02 II 375
Andengranit, Grenze zw. Argent. u. Chile . . 1900 I 433
Andesit
— künstlich . . . . . 1900 II 253
— Absaroka Range, Wyoming . . . . . 01 I 234
— Alboran, Insel, Hypersthen- . . . . . 01 I 69
— Aroostock County, Maine . . . . . 03 I 429
— Battak-Hochfläche. Sumatra . . . . . 1900 II 235
— Berkeley Hills, Calif. 04 II 251
— Buru, Molukken . . CBl 1900 *374*
— Cap Marsa, Algier . 02 I 409
— Chile, nördl. . . . . 01 I 419
— cimin. Gebirge (Viterbo), Augit- . . . . . 04 II 216
— Columbia . . . . . 03 II 208
— Cotopaxi . . . . . 03 II 217
— Disco, eisenführend . 05 I 182
— Ecuador . . . . . 03 II 225
— ecuador. Westcordillere . . . . . 1900 I 410
— erythr. Kolonie . . 01 I 67
— Fidschi-Inseln . . . 01 I 246
— galat. Andesitgebiet, Kleinasien . . . . . BB XVI *110*

Andesit
— Gleichenberg, Steierm. 1904 I 59
— Guillestre (Hautes Alpes) . . . . . 02 II 60
— Kasbek . . . . . 02 II 390
— Kasbek, Ararat, und Elbrus . . . . . 1900 I 230
— Kaukasusländer . . 02 II 72
— Lambay-Insel, Irel., in Bala beds . . . . 1900 I 270
— Mariupoler Kreis, Südrussland . . . . 1900 I 393. 395
— Massailand, Ostafrika 03 I 80
— Minahassa, Nord-Celebes . . . . . 1901 II 263. 396
— Montenegro, Amphibol- . . . . . 04 II 222
— Mt. Pélée, Martinique 03 II 80
— Mt. Rainier, Hypersthen- . . . . . 1900 II 66
— Neuseeland . . . . 01 I 79
— Newscheher, Kleinasien . . . . . 1900 II 61
— Pachuca, Mexico 1900 I 413 1904 I 230
— Pallet, Loire inférieur, lamprophyr, Hornblende- . . . . . 1900 II 401
— Piano delle Macinaie (Mte. Amiato), Augit- 04 II 218
— Piatra Mori, Umschmelzen m. Natriumthiosulfat . . . . . BB XIX *189*
— Puebla, Mexico . . . 1900 II 231
— Radicofani, Anal. . . 01 I 224
— Rockall-Island . . . 1900 II 406
— Santorin, Veränderg. durchKalkeinschlüsse 1900 I 404
— Silverton, Colorado, Hornblende- . . . . 03 I 435
— Sta. Maria, Guatemala, Erupt. Okt. 1902, biotitführ. Hypersthen-Hornblende- . . . . CBl 1903 *112*
— Stenzelberg, Hornblende-, Umläufer . CBl 1903 *226*
— Taiwan-Inseln . . . 02 I 414
— Temiscouta Lake, Quebeck, Augit-, m. Olivin 01 I 413
— Tibet. Bronzit- . . . 02 II 236
— Tifarnin, Algier . . 01 I 405
— Tintic-District, Utah 01 II 415
— Tusnad, Bad, Siebenbürgen, Bomben . . 04 I 60
— Ulu Rawas. Süd-Sumatra, Pyroxen- . BB XVIII *432*
Andesitfamilie, Grenze . 1902 I 214
Andesitfels, Bergen-Gebiet, Norw. . . 1904 II 393. 400
Andesitgebiet, galatisches, Kleinasien, Geologie u. Ergussgesteine BB XVI *99. 110*
Andesitischer Diorit, Ariège-Dep. . . . . 02 I 70
Andesittuff
— Bacau, Rumän. . . . 1900 I 64
— Mexico . . . . . 1900 II 232
Andrias bohemicus, böhm. Braunkohle . . . . 04 I 286
Androstrobus Scotti, Mesozoisch . . . . . 04 I 154
Anglesey
— Alter der Eruptivgänge . . . . . 01 II 389
— metamorph. Schiefer etc. . . . . 1900 I 233
— Geol. u. Petrogr. . . 04 I 219
— Mynydd-y-Garn, Geologie . . . . . CBl 1901 53
— pluton. Complex v. Central- . . . . . CBl 1902 570
— Serpentin etc. . . . 01 I 75
Anglesit, künstl. Nachbildung . . . . . 04 II 187
— Eureka, Utah, Kryst. 04 II 35
— Malfidano, Sardinien 1900 I 3 1901 I 364
— —, —, Pseudom. von Weissbleierz nach A., Sardinien . . . . . 01 II 5
— Montevecchio, Sard., grün . . . . . 04 I 346
— Valdaspra . . . . . 1900 I 30
Angola, Westafrika, Gesteine . 1901 I 103 1902 II 233
Angoumien, Turon, Aquitan. Becken . . . . 02 I 278
Anhedron . . . . . 1900 I 70
Anhydrit
— Bildung in ocean. Salzablagerungen . . 02 II 5
— Einwirkg. v. Alkalicarbonat . . . . . 1900 II 9
— löslicher . . . . . 02 II 5
— natürlicher, Auftreten bei 25° . . . . . 1902 II 5. 12
— Umlagerungen und Struktur . . . . . BB XIV *311*
— Vorkommen in Kalisalzlagern . . . . . 04 I 332
— Kretin, Mähren . . 03 I 401
— Mähren . . . . . CBl 1904 *359*

Anhydrit
— Oulx, ob. Dora Riparia . . . . . 1900 I 26
— Sachsen u. Böhmen 1900 II 198
— Simplon-Tunnel, Glimmer-u. Dolomitführend 04 II 228
— Wilhelmsglück (Württ.) 01 I 29
Anhydrosodalithe, chemisch . . . . . CBl 1904 *727*
Anio-Thal, Geol. d. linken Ufers . . . . . 04 II 247
Anisoceras awajiensis, ob. Kreide, Hokkaidó, Japan . . . . . 02 II 485
Anisochiton, Eocän, Loire inférieure . . . . . 03 I 128
Anisonchinae, Puerco . 1900 I 304
Anisonchus, Puerco . . 1900 I 304
Anisostoma, Trias, Hallstatt . . . . . 02 I 144
Anisotrope Medien, Lichtablenkung d. Prismen 01 II 167
Ankerit
— Bakal'sche Gruben, Südural . . . . . 02 II 347
— Kuttenberg, Anal. 1903 II 338 CBl 1901 504
— Little Belt Mountains, Mont. . . . . 01 II 368
Ankyropteris, Diagnose . 1900 I 484
Anlegegoniometer, einfache . . . . . 01 II 337
Annularia, Rothl., Chemnitz . . . . . 02 II 492
Annulus, Ammonoidea . 1900 I 475
Anodontophora Telleri, Trias, Idria . . . . 02 I 485
Anodontopleura Felixi, Mexiko . . . . . 1900 II 481
Anogmius polymicrodus, Osteologie . . . . . 01 II 479
Anolcites, versch. Spec., Cassianer Kalk, Idria u. Gereuth . . . . 01 II *30*
Anomale Mischkrystalle 03 II *93*
Anomalien
— optische, Theorie . . 1900 I 330
— —, Flussspath . . . 1900 I 176
Anomalina, tert., Italien 1900 I 318
— cfr. austriaca, Bryozoenhorizont. Priabona . . . . . 01 I *129*
Anomia Balestrai, Priabona-Schichten . . . 04 I 283
— hydruntina, Cenoman, Galatina . . . . . 04 I 120
Anomia linensis, Kreide, Königin Charlotte-Inseln . . . . . 1902 I 292
— papyracea, Paraná-Stufe . . . . . BB XIV *189*
Anomit m. Anthophyllit, Dürnstein b. Krems CBl 1902 *58*
Anomocare stenotoides-Schichten, Cambrium, Kennebecasis-Valley, Canada . . . . . 1900 I 111
Anomosaurus
— deutscher Muschelkalk, unterer und mittlerer . . . . . BB XX *334*
— vergl. m. anderen Reptilgruppen . . . . . BB XX *336*
— Strunzi, Muschelkalk, Laineck b. Bayreuth BB XX *321*
Anoplophora Portisi, Trias, Pietre nere b. Lesina . . . . . 01 II 154
— wilbrahamensis, Trias, Massachusetts . . . 01 II 153
Anoplotheriden, Tertiär, Russland . . . . . 03 II 290
Anorthit
— Ausscheidung aus Schmelzflüssen . . . CBl 1904 *369*
— Dichte u. Schmelzen 01 II *153*
— m. Magnetit u. Hedenbergit zusammengeschmolzen . . . . . CBl 1904 *297*
— Buck Creek, N.-Car. 1900 I 33
— Franklin Furnace, N.-Jersey . . . . . 02 I 351
— Philippsburg, Maine, im Kalk . . . . . 01 II 346
— S. Martino, Viterbo 1901 II 18. 353
— St. Christopher-Insel, Westindien, Auswürfling . . . . . 04 I 355
— Vesuv, kryst. u. opt. 1900 II 181. 184. 186
Anorthit-Dioritschiefer, Senftenberg, niederösterr. Waldviertel, Analyse . . . . . 03 II 367
Anorthit-Nephelin-Magmen, künstlich . . . 1900 II 255
Anorthoklas, Portoscuso (Sard), Brechungscoëfficienten . . . . 02 I 349
Anorthoklastrachyt, ägirinführend, Vivara . 02 I 405

Anorthosit
-- als Gruppenname . . 1904 II 393
— Crocetta b. S Piero, Elba . . . . . 03 I 250
— Rawdon, graph. Darstellung d. Zusammensetzung . . . . 1900 I *111*
Anreicherung
— d. Erzgänge durch Verwitterung . . . 01 I 372
— sekundäre, von Erzlagerstätten . 1902 II 78. 79. 80
— —, v. Gold- u. Silber-Erzgängen . . . . . 02 II 80
Antale chilensis, Quiriquina-Schichten, Chile BB XVIII *222*
Antarkt. Gegenden, Gesteine . . . . . 1900 II 236
Antedon Almerai, Kreide 01 II 321
-- Gevreyi u. Iheringi, Tert., Patagonien . . 03 II 454
— koprivnicensis u. Lorioli, Tithon, Stramberg . . . . . 03 II 419
Antherangiopsis rediviva, mesozoisch . . . . . 04 I 155
Antholithus debilis und permiensis, Kohlenbecken, Autun und Epinac . . . . . 02 II 167
Anthophyllit
-- Aetzfiguren . . . . 1900 II 341
— Amphibol-. Zinkerzlagerstätte von Räfvåla, Schweden . . . 03 I 257
— verwachsen m. Hornblende . . . . . BB XVI *413*
— Bakersville, N.-Car. . 1900 I 32
— Böhmen . . . . . 03 II 23
— Dolni Bory, Mähren 03 I 200
— Dürnstein b. Krems, m. Anomit . . . . . CBl 1902 58
— Mähren . . . . . CBl 1904 *362*
— Old Hampshire Co., Mass. . . . . 01 I 34
— Rockport, Mass., mit Fayalit . . . . . 04 II 197
— San Pablo, serpentinisirt . . . . . 03 I 405
-- St. Germain l'Herm . 03 II 24
— Solotoi Kamen, Doppelbrechung . . . . 03 I 3
Anthophyllitähnl. Hornbl. 1900 I 351
Anthophyllit-Asbest, Mähren . . . . . 03 II 339
Anthracit, Hodkovicky, Böhmen, im Diabas . 1902 I 61
Anthracolith. Fauna
— Balia Maaden, Kleinasien . . . . . 02 I 114
— Kaschmir u. Spiti . 02 I 263
Anthracomartus palatinus, obere Ottweiler Schichten, Ohmbach, Pfalz . . . . . 02 II 150
Anthracotherium, Tertiär, Russland . . . . . 03 II 289
— Rütimeyeri, von dort 03 II 289
Anthrapalaemon glaber, Coal measures, Ayreshire . . . . . 01 I 510
Anthropodus, Name . . CBl 1903 *512*
Anthropoiden, Femur . . 01 II 142
Anthropomorphe, foss. . 1900 I 457
-- siehe auch Menschenaffen.
Antiactualismus . . . . 04 I 365
Antiactualistische kosmogeol. Theorie . . . . CBl 1904 *658*
Antigorit nach Diopsid . BB XVI *413*
Antigoritserpentin, Malenco . . . . . CBl 1902 *489*
Antigua, Geologie 1903 II 255 CBl 1901 538
Antiguaformation, Antillen . . . . . 03 II 256
Antillen
— kleine, vulkan. Erscheinungen 1902 u. 1903 . . . . . 04 II *1*
— nordöstliche, Geol. . 03 II 256
Antilocapridae, Tertiär, NO.-Colorado . . . . 04 I 133
Antilope, Chiru-artig, Schädel, Tibet . . . CBl 1901 664
— Pallasi u. sivalensis, Südrussland, Tertiär 04 II 315
Antilopen
— Gehörn, Unterschied v. Schaf . . . . . 03 II 294
— Quartär, Algier . . 01 II 146
Antilopenreste, Südrussland, Tertiär . . . . 04 II 315
Antimon, destilliertes . 03 I 371
Antimonblüthe siehe Valentinit.
Antimonerze, Kostaïnik, Serbien . . . . . 03 I 91
Antimonglanz
-- Brechungscoëff. . . . CBl 1904 315
-- Diathermansie . . . CBl 1903 *333*

Antimonglanz
— opt. Eigenschaften . BB XVII *187*
— Brixlegg, Tirol . . . 1900 II 9
— Cetine di Cotorniano, Prov. Siena 1902 II 36 03 I 184
— Kostaïnik, Serbien . 03 I 91
— Mähren . . . . . CBl 1904 *356*
— Montanto di Maremma, Toscana . . . . . 03 I 202
— Neu-Schottland . . . 02 I 363
— Přičow in Böhmen . 03 I 92
— Selva (Grosseto) . . 03 I 204
Antimonlegirungen, chem. u. mikrosk. Verhalten 1900 I 84
Antimonluzonit, Peru . 04 I 13
Antimonocker
— Kostaïnik, Serbien . 03 I 91
— Přičow, Böhmen . . 03 I 92
— Selva (Grosseto) . . 03 I 204
Antimonsilber, Kryst. . 04 I 8
Antipaxos
— Insel, Geologie . . . 03 I 480
— u. Paxos, jon. Meer, Geologie . . . . . 03 I 276
Antisana . . . . . 03 II 219
Antrim, Grafschaft, Kreide 01 II 276
Anversiens, sables, Belgien . . . . . 1900 I 125
Anzio, plioc. u postplioc. Bryozoen . . . . . 1900 II 318
Apatit
— magnet. Moment . . 03 II 316
— mit Labrador, zusammengeschmolzen . CBl 1904 *739*
— Aarmassiv, in Biotit-protogindrusen . BB XIV *14. 66 ff.*
— Ankogl, Hohe Tauern 02 I 353
— Antwerp, N. Y., Kryst. 04 I 363
— Auburn, Maine, purpurfarbig . . . . . 03 II 41
— Banow, Mähren . . CBl 1904 *361*
— Baveno, im Granit . 03 II 33
— Canada, Färbung . . 1900 II 343
— Cappuccini b. Albano 04 I 170
— Ceylon, im Dolomit . 01 I 192
— —, im Tiree Marble 04 I 384
— Choranta Choch, Kauk. 04 II 30
— Comba di Compare Robert . . . . . 01 II 204
— Dobruvka, Mähren . 03 I 201
— Guillestre, roth, im Andesit . . . . . 01 I 352
— Haddam Neck, Conn., im Granit . . . . . 03 II 187
— Ilmengebirge . . . . 01 II 206
Apatit
— Knappenwand, Krystalle . . . . . 1903 I 195
— Marschendorf, Mähren CBl 1904 *360*
— Minot, Maine, im Pegmatit . . . . . 03 I 34
— Narsarsuk, südl. Grönl., im Syenit . . . . . 02 I 37
— Norwegen, im Labradorfels . . . . . 1900 I 385
— Pisek . . . . . 01 II 203
— Prinzenstein-Grube b. St. Goar . . . . . CBl 1903 *420*
— Priziac. Morbihan . 03 II 333
— Puy-de-Dôme, im Basalt . . . . . 1900 I 17
— Radauthal, im Gabbro 03 II 337
— Rautenkranz, Grube, im Erzgebirge . . . CBl 1904 *433*
— rhein. Basalt . . . . 04 I 217
— Saulera, Alathal . . CBl 1900 *43*
— Sondalo, Veltlin, im Pegmatit 1902 I 358 03 II 33
— Swakop, SW.-Afrika (Moroxit) . . . . . CBl 1902 *748*
— Ural, im Syenit . . 01 I 362
— ob. Veltlin, im Pegmatit . . . . . 1900 II 362
— siehe auch Sondalo.
Apatitgänge, Norwegen, vulc. Nachwirkung . 04 I 76
Apatitlagerstätten, Entstehung . . . . . 1900 II 245
Apatokephalus u. Tramoria, Silur, England u. Norwegen . . . . 01 II 150
Apatosaurus, Bau und Verwandtschaft . . 04 II 320
Apedogyria, Unteroolith, England . . . . . 01 II 317
Aphanite Eruptivgesteine CBl 1903 694
Aphanoptyxis, Jura, Frankreich . . . . . 1900 II 154
Aphanotaenia, Jura, Frankreich . . . . . 1900 II 154
Aphlebia sub-Goldenbergii, Lower coal measures, Missouri . . . . . 01 II 490
Aphlebien . . . . . 02 I *123*
Aphrocallistes, als Senongeschiebe . . . . . CBl 1901 *584*
Aphrodit, Tempelstein . 04 II 31
Aphrosiderit, chem. . . CBl 1901 *632*
Aphthalose, Kalusz . . 03 I 400
Aphyllites Barroisi, Devon 03 II 144
Aphyllitidae, Devon . . 03 II 145

Aphyrische Andesite, Kasbek . . . . . 1902 II 390
Apidium pygmaeum und sororis, Jewe'sche Schicht . . . 1902 II 159. 162
Aplit
— kaolinisirt . . . . . BB XV *337*
— Elba . . . . . 1900 I 53
— Gilgit, Hindukusch . 02 I 237
— Kordofan . . BB XVII *393. 413*
— Massachusetts . . . 1900 II 89
— Monzoni, Monzonit- . CBl 1902 *81*
— —, Quarz-Syenit-, Umschmelzen m. Melaphyr BB XIX *187*
— Roc Noir, Dent Blanche-Massiv, Wallis . . . 01 I *84*
— Stone Mountain, Georgia 04 II 403
— südrussisches kryst. Plateau . . . . . 1900 II 96
— Wolynkathal, Böhmerwald . 1903 I 413 04 I 53
Aplitische Ganggesteine, Predazzo . . . . . CBl 1902 *369*
Aplodiadema Langi, Oxford, Mittelfrankreich 03 II 453
Aplosmilia crucifera, Gosauschichten, Ostalpen . . . . . 04 II 153
Apo-Andesit
— Neponset Valley, Mass. 02 II 237
— Taiwan-Inseln . . . 02 I 414
Apophyllit
— Beziehung zw. Krystallform u. Zusammensetzung . . . . 04 I 324
— Polychroismus . . . 04 II 343
— Aarmassiv, in Biotit-protogindrusen . . BB XIV *78 ff.*
— Böhmen . . . . . 03 I 391
— Ceylon . . . . . 04 I 384
— mähr. Gesenke . . . CBl 1901 172
— Radauthal . . . . . 01 II 361
— Rezbanya . . . . . 03 II 185
— Schiket, Erythraea 1903 I 33. 391
— Seisser Alp, Kryst. . 02 II 196
— Siebengebirge . . . 1900 II 29
— südafrik. Diamantlager . . . . . 1900 I 1
— Sulitelma . . . . . 1900 II 354
Aporrhais protuberatus, Kreide, Patagonien . 02 II 435
— tannenbergica, Chlomeker Schicht., böhm. Kreide . . . . . 1900 I 440
Apo-Trachyt-Porphyr, Neponset Valley, Mass. 02 II 237
Appalach. Oelfeld, Petroleum und Gase im Berea grit Oil Sand, Cadix quadrangle, Ohio . . . . . 1904 II 81
Apparat
— z. Demonstration d. Gebirgsfaltung . . . CBl 1902 *362*
— z. Herstellung orientirt. Krystallschliffe 1901 II *1.* 373
Appennin
— grosse Lucinen und Alter d. „mioc." Macigno-Mergels . . . 1900 I *87* 1903 I *129* CBl 1900 *375*
— von Aquila, Miocänfossilien . . . . . 01 II 129
— — —, Kreide . . . 04 I 98
— bologneser, Eruptivgesteine . . . . . 1900 II 396
— ligurischer, Geologie 01 I 98 ff.
Appenninenkalk, Gaggio Montano, bologneser Appennin . . . . . 1900 II 397
Aprionodon frequens, unt. Mokattam, Wasta in Egypten . . . . . 03 I *33*
Apternodus mediaevus, Titanotherium-Schicht, Montana . . . . . 04 II 460
Aptien
— franz. Voralpen . . 02 I 252
— Marseille, oberes . . 01 I 468
— Saratow u. Ssimbirsk, Ammoniten . . . . 1900 II 477
— Südafrika . . . . . CBl 1902 *465*
Aptychus margaritatus, Amaltheenthon, Reutlingen . . . . . 1900 II 113
— von Sonninia, Bajocien, Nancy . . . . 01 I 511
Aptyxiella Engeli, Ewaldi, Quenstedti, speciosa u. umbilicata, schwäb. Jura . . . . . 02 I 481
— subconica, Jura, England . . . . . 01 I 512
Aquamarin
— Miask, Ural, Anal. . 01 II 205
— Nordamerika, Edelst. CBl 1902 404
Aquila-Appennin, Miocänfossilien . . . . . 01 II 129
Aquilaner Abruzzen, Kreide 04 I 98
Aquitanien
— Nummulitenschichten CBl 1902 213
— Aramon (Gard) . . . 03 I 129

Aquitanisches Becken, Turon . . . . . 1902 I 278
— Meer, Gironde, Ausdehnung . . . . . CBl 1901 666
Arachniden, Carbon, Commentry . . . . CBl 1902 212
Arafali (Erythraea), Gesteine . . . . . 04 II 401
Aragonit
— Beziehungen z. Kalkspath . . . . . 01 II 351
— Bildung aus wässer. Lösung . . . . . CBl 1902 *492*
— Dielektricitätsconstante 03 II 8
— Entstehung u. Unterscheidung von Kalkspath . . . . . 03 II 19
— Krystallstructur . . 1900 II 5. 14
— künstl. Darstellung . BB XVI *495*
— Muschelschalen (Conchit) . . 1901 I 347 CBl 1901 *134*
— Reaction zur Unterscheidung von Kalkspath . 1903 I 189 03 II 19 CBl 1901 *577* CBl 1902 442
— Reaction mit Kobaltnitrat . . 1903 I 189 CBl 1902 442
— Umlagerungen, Structur und Umwandlung in Kalkspath . . . . BB XIV *247*
— verwachsen mit Gyps BB XVI *406*
— — mit Kalisalpeter . BB XVI *404*
— — mit Kalkspath . BB XVI *379*
— Zwillingsbildung . . 03 II 159
— pseudom. nach Gyps (Schaumkalk) . . . BB XVI *406*
— nach Kalkspath 1900 I 20 BB XVI *379*
— Agordo . . . . . 03 I 203
— Aragonien, Kryst. u. Aetzfiguren . . . . 1900 II 335
— Bakal'sche Gruben, Südural . . . . . 02 II 347
— Bilin, opt. Const. . . 1900 II 183
— —, Polychroismus . 04 II 341
— Centralrussland, Kalkspath nach A., im Eisenerze . . . . . 01 II 408
— Dognacska, rosenroth, Krystallformen . . . 01 I 191
— Herrengrund, Kryst. 04 II 18
— Hohe, im Westerwald, pseudom. nach Kalkspath im Basalt . . BB XVI *381*
— Indiana, Tropfsteine in Höhlen . . . . . 02 II 399

Aragonit
— Jano (San Miniato) . 1900 I 14
— Lüttich, in der Kohle 03 II 175
— Mähren . . . . CBl 1904 *358. 360*
— Monticri (Grosseto), blau . . . . . 1900 I 14
— Portugal, im Staubfall vom Jan. 1902 . CBl 1902 *258*
— siehe auch Kalkcarbonat, Ktypeït etc.
Aragonitgruppe, Krystallstructur . . . . . 1900 II 5. 14
Aralsee, Contouren . . 02 I 204
Ararat, Petrographie . . 1900 I 230
Araucarioxylon, Chemnitz, Rothliegendes . 02 II 492
— White Cliff, Austr. Jura . . . . . BB XIV *495*
Araucaritenhölzer, Chemnitz-Hilbersdorf, Rothliegendes, und Verkieselungsprocess . . 02 II 491
Arbacina Fraasi, Miocän, Egypten . . . . . 03 I 532
Arca Berlieri, Z. d. Am. Renggeri, Lons-le-Saunier . . . . . 02 I 293
— Bonplandiana u. platensis, Parana-Stufe BB XIV *196*
— brevis, Chile, untere Kreide . . . . . BB XVII *290*
— Cossmanni, Priabona-Schichten . . . . . 04 I 283
— Drya, oberes Oxford, Berner Jura . . . . 03 I 323
— esnaensis, ob. Kreide, Egypten . . . . . 01 I 477
— Gagnebini, Renggeri-Schichten, Berner Jura 01 I 139
— Helenae, Tegel, Gross-Florian . . . . . 02 I 472
— Justinae, Senon, Biewende bei Wolfenbüttel . . . . . 01 II 297
— melaviensis, tert., Melavi-Gruppe Borneo . 1900 II 132
— modioloides, ob. Kreide, lib. Wüste . . . . . 03 I 510
— (Macrodon) montaneyensis, ob. Oxford, Berner Jura . . . . 03 I 323
— tenuifilosa, Nummulitenschichten, Egypt. 02 I 464
— tirolensis, Pachycardienschichten der Seiser Alp . . . . . CBl 1900 *372*

Arca uitenhagensis, Kreide, Deutsch-Ostafrika . . 1901 II 295
— (Barbatia) valbertensis, ob. Oxford, Berner Jura . . . . . 03 I 323
Arca-Thon, Christiania, Diluvium . . . . . 02 II 448
Archaeocalamites, Glätzisch-Falkenberg, Kulmkalk 04 I 318
Archaeocidaris Wervekei, Untercarbon, Rossbergmassiv, Elsass . 01 II 161
Archaeocyathinen, syst. Stellung . . . . . 01 I 115
— Salair-Gebirge am Altai, Devon . . . . . CBl 1901 214
— Sibirien, Cambrium . CBl 1904 439
Archaeocyathus Jjizkii, Proskurjakowi und sibiricus, Torgoschinoschichten, Cambrium, Sibirien . . . . . 01 I 115
Archaeohyrax patagonicus und propheticus Pyrotherium-Schichten, Argentinien . . 1900 II 299
Archaeolemur robustus, Madagascar . . . . 03 I 353
Archaeolophus praecursor, Palaeotherium-Schichten, Argentinien . . 1900 II 301
Archaeophylus patrius, Pyrotherium-Schichten, Argentinien . . 1900 II 298
Archaeopithecus Rogeri, Pyrotherium-Schichten, Argentinien . . 1900 II 298
Archaeopteris fimbriata, mesoz. Flora, Spitzbergen . . . . . 02 II 319
— intermedia, Devon. Bäreninsel . . . . . 04 II 476
Archaeopteryx . . . . . 02 II 480
Archaeozonites conica, tert. Landschneckenmergel, Oppeln . . . 03 I 539
Archaicum
— Canada, zw. Athabasca Lake und Churchill River . . . . . 1900 I 258
— Eastern Berkshire County, Mass. . . . 01 II 430
— Erzgebirge, Entstehg. CBl 1904 566
— Finnland . . . . . 03 II 74
— — Sedimentformation und Grundgebirge . 01 II 59
Archaicum
— Pará, Brasilien . . . 1904 I 424
— Parîngu, Rumänien . 02 I 69
— Socotra . . . . . 01 II 263
— Somali-Länder . . . 01 I 452
— südruss. kryst. Plateau 1900 II 95
— (siehe auch Praecambrium etc.)
Archanodon Jukesi, Old Red, Monmouthshire 1900 II 314
Archiacia araidahensis, Cenoman, Egypten . 03 I 531
Arcomya Meneghini, Bath-Stufe, Sardinien . . 04 II 285
Arco-Pass, Grenze zw. Argent. und Chile . 1900 I 434
Arcoptera, St. Cassian . 02 II 487
— ampla, areata, latearеata und vixareata, Pachycardientuffe, Seiser Alp . . . . . CBl 1900 372
Arctica (?) aequisulcata, Chalk, England . . 01 I 280
Arcticum, foss. Floren . 02 II 319
Arctocyonidae, Eocän, Marsh Collection . . 04 I 452
— syst. Stellung . . . 03 II 432
— Puerco . . . . . 1900 I 303
Arctomys, Mosbach . . 1900 II 60
Arctotherium tarijense u. Wingei, Tarija-Thal Argentinien . . . . 04 I 289
Ardennen, klast. Gesteine, Metamorphose . . . 02 II 63
Ardrishaig-Formation, Loch Awe-Gegend, Schottland . . . . . 1900 II 221
Areia, genet. Beziehg. . 1900 II 472
Areniscas abigarradas, Kreide, sdl. Patagon. 1900 II 426
Arfvedsonit verwachsen mit Ainigmatit . . . BB XVI 437
— Grönland, im Nephelin-Syenit . 1900 I 346 01 I 43
— Kola . . . . . 02 II 378
— Montregian Hills, Can., Limonit nach A. . . 04 II 410
Arfvedsonitamphibole . 1900 I 48
Arfvedsonitgranit, Witim-Plateau, Sibirien . . 02 I 224
Arfvedsonitgranit und -Syenit, Madagascar 02 I 220
Arfvedsonit-Typus der Aetzfiguren . . . . 1900 II 339
Argaeus, Kleinasien, Geol. u. Petrographie 1900 II 61

Argentinien
— Carbonflora . . 1902 I 497. 500
— Dogger a. Espinazito-Pass . . . . . 1900 II 116
— Geologie . . . . . 02 I 433
— Geol. d. Cordillere . CBl 1901 207
— Geologie und Palaeontologie . 1900 I *224*. 102. 105
— Glimmer . . . . . 02 II 402
— Grenze gegen Chile . 1900 I 432
— Kreide von Roca (Rio Negro) . . . . . 04 I 432
— Kreidemollusken des östlichen . . . . . 04 II 286
— Lias, Fauna u. Flora von Pietra Pintada . 04 I 429
— Mineralien CBl 1901 50 02 I 40
— Parana-Formation, Fische . . . . . 04 I 143
— Paraná-Stufe . . . . BB XIV *171*
— Querschnitt durch d. Cordillere . . . . . CBl 1903 55
— Säugethiere der Pyrotherienschichten . . 1900 II 296
— — des Tarija-Thales 04 I 289
— — u. Kunstproducte der Eberhardt-Höhle, Ultima Esperanza . 04 I 121
— siehe auch Patagonien.
Argolis, Geologie . . . CBl 1904 306
Argon
— Bestandtheile von kryst. Gesteinen . . 02 II 376
— Luchon, im Wasser d. Bordeu-Quelle . . . 03 II 361
— Mt. Pelé, Martinique, in den Fumarolen . 03 II 377
— Pyrenäen in Quellen 03 II 362
Argophyllites levis, Australien . . . . . 04 I 156
Argyllshire, Eruptivgesteine . . . . . 01 II 233
Argyrodit = Plusinglanz 01 II 12
Argyrohyrax proavus u. proavunculus, Pyrotheriumschichten, Argentinien . . . . . 1900 II 300
Ariège-Departement, Pegmatitgänge d. Granitcontacte . . . . . 01 I 63
Ariègit
— systemat. Stellung . 03 II 357
— Ariège mit Lherzolith 03 I 417
Arier, Bedeutung in Anthropologie . . . . . CBl 1900 359
Arieticeras dolosum, Lias, Central-Appennin . . 1901 I 165
Arietites, Frechiella als Rückschlagsform . . 04 I *36*
— Böhmi, Favrei, Meigeni u. Studeri, Freiburger Alpen . . . 01 I 164
— Bösei, Herbichi, romanicus u. Wähneri, unt. Lias, Bukowina 1901 I 483 02 II 269
— (Asteroceras) peregrinus, unt. rother Ammonitenkalk, Toskana . . . . . 02 I 311
Aristocystidae . . . . . 01 I 321
Aristodesmus Rütimeyeri, Buntsandstein, Basel 02 I 306
Arius Dutemplei, Epernay, Sande mit Unio und Teredo . . . . 02 II 302
— Iheringi, Tert., Taubaté, S. Paulo, Bras. 01 II 149
— (?) Lemoinei, Eocän, Reims . . . . . 04 I 306
Arizona, Türkis . . . . 1900 I 194
Arkansas
— Beauxitlager . . . . 03 I 18
— Phosphatlager . . . 04 I 401
Arkansit, Magnet Cove, Analyse . . . . . CBl 1902 144
Arkansos . . . . . CBl 1903 697
Arkesin, Roc noir, Dent Blanche-Massiv, Wallis 01 I *49*
Arkosen, Beziehungen z. Granit, Canada . . 1900 I 69
Arktis, Beschreibung . . CBl 1901 533
Arktische Flora, Schwed. 1900 II 495
Arktisch-pacifische Triasprovinz . . . . . CBl 1902 666
Armenien, Petrographie 1900 I 230
Armorica . . . . . 02 II 258
Armorican. Massiv, Graptolithen . . . . . CBl 1902 285
Arno- (Casentino-)Thal, Tektonik . . . . . 04 II 420
Arö, Ober- und Klein-, Langesundfjord, Mineralien . . . . . 02 II 361
Aroostock County, Maine, vulk. Gesteine . . . 03 I 428
Arosa, Geol. d. Plessurgebirges . . . . . 04 I 240
Arpadites n. sp. ex aff. A. Arpadis, Esinokalk, Südalpen . . . . . 01 II *26*

Arpadites Manzonii, Cassianer Kalk, Idria u. Gereuth . . . . . 1901 II *30*
Arrakan-Series, Miocän, Birma . . . . . 02 II 122
Arran, tert. Vulcanschlot m. tert. Granit . . . CBl 1901 537
Arrhinolemur, Tertiär, Parana . . . . . 01 II 471
Arsen
— Bestandthl. v. kryst. Gesteinen . . . . . 02 II 376
— gelbes . . . . . 03 II 324
— heteromorphe Modificationen . . . . . 1900 II 345
— Translationen . . . 01 I 181
— Verbreitung in der Natur . . . . . 03 II 360
— verwachsen mit Arsenolith . 1901 I 181 BB XVI *342*
— Arizona . . . . . 04 II 197
— Montreal . . . . . 04 I 328
Arsenblüthe, Verwachsg. mit Arsen 1901 I 181 BB XVI *342*
Arseneisen
— Galway, Canada . . CBl 1901 372
— Mähren . . . . . CBl 1904 *356*
— Radauthal, Harz . . CBl 1900 *119*
Arsenide, gebildet d. Zusammenpressen der Bestandtheile . . . CBl 1901 142
Arsenikalkies, siehe Arseneisen.
Arsenkies
— React. auf Cu u. Ag bei gew. Temperatur CBl 1901 *401*
— verwachsen m. Bleiglanz . . . . . BB XVI *366*
— — mit Schwefelkies (und Markasit) verwachsen m. Magnetkies . . . . . BB XVI *363*
— Binnenthal . . . . . BB XVI *381*
— Grönland . . . . . 04 I 32
— Grossau, Niederösterr. 1900 I 350
— Kassandra, Türkei, Krystallformen . . . 03 I 401
— Radauthal . . . . . 01 I 183
— Sault Ste Marie, Ontario . . . . . 01 II 360
— Sulitjelma-Grube, Norwegen . . . . . 03 II 340
Arsenolith, siehe Arsenblüthe. CBl 1904 *442*
Arsenopyrit, siehe Arsenkies.
Arsensesquioxyd, Constitution . . . . . 1903 II 324
Arsenstruvit, künstl. Darstellung . . . . . 04 II 187
Arsensulfurit, Papandajan-Vulcan, Java . . CBl 1902 *499*
Arsinoitherium Zitteli, Eocän, Egypten 1903 I 565 04 I 135
Artefakte, prähistorische
— quartär . . . . . 1900 II 455
— Eberhardt-Höhle, Ultima Esperanza, Argentinien . . . . . 04 I 121
— Endingen, Pommern, bearbeitete Säugethierknochen . . . . 01 II 131
— England . . . . . CBl 1904 123
— Guatemala aus Fuchsit CBl 1800 *291*
— Prag, aus Rhinocerosknochen . . . . . 1900 II 455
Artesische Brunnen, Geschichte . . . . . CBl 1902 435
— Cascina, Italien . . 1900 II 49
— Indien . . . . . 02 II 417
— Iowa . . . . . 1900 I 47
— Texas, östl. . . . . 01 I 450
Arthrognathi . . . . . 03 I 341
Arthropityostachys borgensis und Williamsonis, Kohlenbecken, Autun u. Epinac . . 02 II 166
Arthropitys
— anatomischer Bau. . 1900 II 324
— aufrecht eingewurzelt, Kohlenformation, Frankreich . . . . 03 II 155
— Classification . . . . 1900 II 327
— Rothliegendes, Chemnitz . . . . . 02 II 492
— medullata, porosa u. Rochei, Kohlenbecken, Autun u. Epinac . . 02 II 166
— (Calamites) bistriata, Rothliegendes, Ilfeld CBl 1901 *422*
Arthropoden, terrestr., d. Carbons, Illinois . . 04 I 311
Artinit
— Emarese im Aostathal CBl 1903 *663* 04 I 168
— Val Lanterna, Veltlin im Asbest . . . . . CBl 1903 *144*
Artinsk'scher Sandstein, nördl. Dsungarei . . CBl 1900 *333*
Artiodactyla
— Colorado, Tertiär . . 04 I 128

, Uinta-
te River 1902 II 291
ertiär . 03 II 288
egendes,
. . . . 02 II 492
Ungarn,
r, Anal. 1900 II 390
. . . . 1900 I 325
oisi, Tre-
gne noire 02 I 3
nus, Tre-
reton . 03 I 292
. . . . 03 I 337
. . . . 1900 I 137
ntstehg. 1900 I 292
Bildung CBl 1901 124
. . . . CBl 1900 *331*
Island . CBl 1901 *729*
Rull-
. . . . 01 II 289
u. Rügen 04 II 449
. . . . 01 II 354
mechan.
. . . . 01 II 354
S. Pro-
1902 431 1904 I 36
kommen
g . . . 04 II 237
Leoben,
. . . . 03 II 30
g, (Ser-
winnung 04 I 401
II 339 CBl 1904 *363*
, im Ser-
. CBl 1902 488. *491*
ire Co.,
. . . . 01 I 34
b. Po-
bünden),
. . . . 04 I 401
en, pseu-
iotit . . 01 I 173
and,
. . . . 1900 II 19
ianth etc.
Veltlin,
gnesium-
. . . . 1900 II 17
hwarzer
lithische
rglichen
chen etc. CBl 1903 25

Ascensionsabkühlungsdifferentiation im Magma.
intensive . . . . . CBl 1900 190
Ascharit, Vorkommen in Kalisalzlagern . . . 1904 I 336
Asche von Vulkanen
— Santa Maria (Guatemala), gefallen San Cristobal, Mexico CBl 1903 *112. 132. 288. 290*
— St. Vincent . . . . CBl 1902 569
— Soufrière, St. Vincent, vom Mai 1902 . . . CBl 1902 442
Aschenstructur, Porphyrtuff, Sachsen . . . . 04 I 40
Ascosoma phaneroporata, Cambrium, Schantung CBl 1904 *194*
Ascosomaceae, Cambrium, Schantung . . . . . CBl 1904 *193*
Asien
— Central- und Ost-, Land- u. Süsswasserschnecken . . . . . 03 I 542
— nördliches u. centrales, recente geol. Veränderungen . . . . . CBl 1901 536
Asmodeus Scotti u. Osborni, Pyrotherium-Schichten, Argentinien 1900 II 303
Aspen Mining District, Col.
— Erzgänge, Anreicherung, Zersetzung . . 01 I 373
— Geologie . . . . . 01 II 431
Asphalt
— Cardenas, Cuba . . . 03 II 391
— Gagry, Kaukasus . . 04 I 228
— siehe auch Erdpech, Bitumen etc.
— u. Asphaltkalk, Palästina u. Egypten 1904 II 237. 425
Asphaltgruben, Pyrimont (Savoyen) mit aquitan. Säugethieren . . . . 01 I 146
Aspidoceras Favrei, Transversarius - Schichten, Trept (Isère) . . . . 1900 II 151
— Helenae, Bathonien, argentin.-chilen. Cordillere . . . . . 04 II 88
— horridus u. Richthofeni, Jura, Deutsch-Ostafrica . . . . . 01 II 294
— perisphinctoides u. sub-Babeanum, Jura, südöstl. Russland . . . 01 I 264

Asprières (Aveyron), Tertiär . . 1900 II 122
Aspromonte b. Reggio, pliocäne Fische . . . 03 I 160
Assimilationstheorie . . CBl 1900 189
Assuk (Grönland), eisenführende Gesteine . . 03 I 182
Asta-Granit, Alter . . . 1900 I 51
Astarte borneensis und Eastonii, Jura, Borneo 01 I 488
— Chartroni, Infralias, Vendée . . . . . 04 II 430
— Fourtaui, Nummulitenfauna, Egypten . . 02 I 464
— Girardoti, Z. d. Am. Renggeri, Lons-le-Saunier . . . . . 02 I 293
— Meeki, Jura, Yellowstone Nat. Park . . 02 I 129
— Pagnardi, ob. Oxford., Berner Jura . . . . 03 I 323
— peralta u. postsulcata, Kreide, Patagonien . 02 II 435
— Rivae, Bath-Stufe, Sardinien . . . . . 04 II 285
— Steinmanni, Callovien, Espinazito-Pass, Argentinien . . . . . 1900 II 117
— trapezoidea, Kreide, Kaukasus . . . . . 01 I 474
Asteroconites radiolaris-Kalk, Oberseeland, Kärnten . . . . . 02 II 114
Asteroiden, palaeozoische 01 II 322
Asterolepis incisa, unt. Devon, Ost-Grönland 03 II 444
Asteromys prospicuus u. punctus Pyrotherium-Schichten, Argentinien . . . . . 1900 II 304
Asteropecten Ludwigi, penangensis, Zebra, nagashimensis, Verrili, inermis, Köhleri, rubidus, lebend . . . 1900 II 486
Asterophyllites, Rothl., Chemnitz . . . . . 02 II 492
— striatus = Paracalamostachys striata . . 04 II 474
Asthenoceras, Unteroolith, England . . . . . 01 II 317
Astieria convoluta u. ovalina, Neocom, Norddeutschland . . . . 03 II 449
Astrachaner Steppe, Kreideform. 1900 I *216* 04 II 431
Astrakanit
— Entstehg. aus Meerwasser . . . . . 1901 I 10
— ident. m. Simonyit von Hallstatt . . . . . 04 I 29
— Kalisalzlager, Vorkommen . . . . . 04 I 335
Astralium Bornhardti, Untersenon, Braunschweig u. Ilsede . . 02 I 128
— Loëi, Untersenon, Mehaigne-Thal . . . . 02 I 128
— turritum, Vesprémer Mergel, Trias, Bakonywald . . . . . 02 II 306
Astrangia d'Achiardi, Tert., Vicentin . . . 02 II 153
— expansa, Harrisi, ludoviciana und wilcoxensis, Palaeogen, Nordamerika . . . . 04 I 469
— solitaria var. portoricensis, gehobene Riffe, Portorico . . . . . 03 II 301
Astrapotherium, Pyrotherium-Schichten, Argentinien . . . . 1900 II 301
Astrapotheroidea, Pyrotherium-Schichten, Argentinien . . . . 1900 II 301
Astrocoenia conica, Bentonstufe, Nordamerika 02 II 119
— cf. decaphylla u. subornata var. africana, Kreide, Deutsch-Ost-Afrika . . . . . 01 II 326
— Pumpellyi, Palaeogen, Nordamerika . . . . 04 I 469
Astrohelia Bursoni und neglecta, Palaeogen, Nordamerika . . . . 04 I 468
Astrolith, Neumark, sächs. Vogtl., im Diabastuff CBl 1904 *108*
Astroni, Krater . . . . 03 I 43
Astrophyllit
— verwachsen m. Lepidomelan BB XVI *407* CBl 1902 *353*
— Kangerdluarsuk . . 1900 I 349
Asymmetrie, allgemeine, der Krystalle . . . 1900 II 3
Asymptoceras kornegensis, Oberpaläocän, Russland . . . . . 01 I 309
Atacama, Gesteine . . . 01 I 414
Atacamit, Chile, Krystalle . . . . . 02 II 32

Ataphrus planilabium, Infralias, Vendée . . 1904 II 115
Atatschit, Magnitnaja-Berg 03 II 236
Ataxit, Los Muchachos, Arizona . . . . . 01 II 37
Ataxitische Erzlagerstätte 02 II 76
Ateleaspis tesselata, Silur, Schottland . . . . . 01 I 505
Atelodinae . . . . . 03 I 558
Atelodus megarhinus, Parma, Skelett . . . 01 I 151
— Neumayri und pachygnathus . . . . . 03 I 559
Athabasca Lake gegen Churchill River, Can., Geologie . . . . . 1900 I 258
Athabaska-Sandstein, Cambrium, Hudsonsbay-Länder . . . . 01 I 267
Athyris torenoides, Leun, Tentaculitenschiefer 1900 II 281
Atlantis-Problem . . . 04 II 46
Atlant. Vulcankette, Gesteine . . . . . CBl 1903 25
Atlasvorland, Marokko . 02 I 258
Atmosphäre, chem. und geol. Geschichte . . 02 I 375
Atom, Wirkungssphäre in Krystallen . . . 1900 II 2
Atome, Raum der . . . 01 I 177
Atrypa, Devon, White Cliff. Australien . . BB XIV 504
— Kadzielniae, Kadzielnia-Kalk, poln. Mittelgeb. BB XIII *359*
Atryptheriidae . . . . 1900 II 457
Attendorn-Elsper Doppelmulde, NW.-Rand, Devon . . . . . 1900 I 272
Aturia Aturi, Faluns de la Touraine . . . . 1900 II 477
— Formae und Rovasendiana, Miocän, Piemont . . . . . 01 II 318
Atys panaulax. Pliocän, Karikal . . . . . 02 I 296
Aucella caucasica, impressae, Kayserlingi, parva und radiata . . . . BB XIV *360*
— contracta, impressae u. solodurensis, Jura, Schwaben . . . . . 1900 I *48*
— Kayserlingi, Dicke der Schale . . . . . CBl 1901 *497*
— kirghisiensis, Pavlowi paradoxa u. scythica, Ostrussland . . . . 03 II 452
Aucella impressae, Bronni, Pallasi var. tenuistriata, Jura, Franken 1901 I 20
— incurva, Kreide, Südaustralien . . . . . 04 I 119
Aucellen u. ähnl. Formen BB XIV *319*
— schwäbische, u. verwandte Formen . . 1900 I *48*
— König-Karlsland . . 01 II 112
Aucellina aptiensis und gryphaeoides, Kreide BB XIV *366*
Aude-Département, Tertiär u. marin. Quartär CBl 1904 92
Auerbach, Marmor . . . BB XIX *219*
Auerbachit, Mariupol, = Zirkon, Vorkommen 1900 I 391 02 II 394
Auernigg-Schichten, Obercarbon . . . . 01 I 109
Aufbau, geolog., d. Erdoberfläche . . . . 1900 I 34 ff.
Auflösende Krystalle, Bewegung . . . . . 01 I 5
Auflösungsgeschwindigkeit 02 I 161
— der Krystallflächen . 02 I 334
Aufnahme, mikrophotogr., von Dünnschliffen . CBl 1903 *628*
— geolog., siehe Geolog. Aufnahmen.
Aufstellung, richtige, der Krystalle u. Complicationsgesetz . . . . 03 II 1
Augengneiss, Structur . CBl 1902 *170*
Augengranitschiefer, Bergen (Norw.) . . . 04 I 392
Augit
— Begriffsbestimmung . 01 II 395
— Krystallisations-Vermögen u. -Geschwindigkeit . . . . . CBl 1903 *613*
— magnet. Influenz . . BB XIX *419*
— monokliner, Bildung im Magma . . . . 1900 II 251
— Neubildung aus Schmelzen . . . . . BB XVII *512*
— Pseudom. Granat nach A., im Diorit, Wischkowitz b. Marienberg 01 I 172
— -Hornblende nach A. (Traversellit) . . . . 04 I 164
— -Serpentin nach A. . BB XVI *413*
— sesquioxyd- u. titanhaltig . . . . . CBl 1902 732
— verwachsen mit Biotit BB XVI *417*
— — mit Bronzit . . . BB XVI *409*
— — mit Hornblende . BB XVI *420*

Augit
— verwachsen m. Olivin BB XVI *415*
— — mit Orthoklas u. Biotit . . . . . BB XVI *428*
— — mit Serpentin . . BB XVI *413*
— — mit Titaneisen . BB XVI *385*
— zusammengeschmolzen mit Eläolith CBl 1903 *748* CBl 1904 *742*
— — mit Labradorit . CBl 1903 *713*
— — mit Leucit . . . CBl 1903 *746*
— — mit Olivin CBl 1904 *367. 715*
— Arendal, Dichte nach Schmelzen . . . . . 1901 II *152*
— Badensteine b. Marburg, rhomb. und monokl. verwachsen im Basalt . . . . . CBl 1902 *15*
— Grönland, im Neph.-Syenit . . . . . 01 I 42
— Ilmengebirge, Natrium-Pyroxen in Gesteinen . . . . . 03 II 368
— Laacher See, Kryst. 01 II *139*
— Mähren . . . . . CBl 1904 *362*
— Mährisch-Altstadt-Goldenstein, im körn. Kalk . . . . . 01 I 193
— Rosenegg, im Opaltuff 1900 I 22
— Stromboli, Zwillinge 03 II 23
— Sumatra, daraus hervorgegangene Carbonate . . . . . CBl 1903 *505*
— Yoneyama, Japan, vulcan., Krystallform u. Zusammensetzung 1900 II 18
— siehe auch Pyroxen, Diopsid, Hedenbergit etc.
Augitaggregate in rhein. Basalten . . . . . 04 I 208
Augitandesit
— Molukken . . . . . CBl 1902 *6*
— Ulu Rawas, Süd-Sumatra . . . . . BB XVIII *442*
— (siehe auch Andesit, Bronzit-, Hypersthenandesit etc.)
Augitdiorit, Magnitnaja-Berg, Ural, Verwitterung . . . . . 03 II 366
Augitgranatgesteine, Bogoslowsk'sches Bergrevier, Ural, Mineral. 1900 I 343
Augitit, Amphibol-, Giumarra bei Ramacca, Sicilien . . . . . 03 I 253
Augitminette, Brest . . 1903 II 373
Augitporphyr, Campiglia Marittima, Tosk., Erzlagerstätten . . . . 01 I 139
Augitporphyrit
— Fleims . . . . . 03 I 61
— Monzoni . . . . . CBl 1901 *678*
— quarzführender, Mte. Zuflan bei Timan, karn. Alpen . . . . 1900 II 396
Augitsyenit
— Monzoni, graph. Darstellung der Zusammensetzung . . . . 1900 I *111*
— Gneiss, Loon Lake, New York . . . . . 01 II 244
Augittrachyt
— Averner See, sodalithführend . . . . . 03 I 252
— cimin. Gebirge (Viterbo) 04 II 216
Auklands-Inseln, Basalt 1900 II 236
Aulacomerella angusta u. macroderma, Unt.-Silur . . . . . 01 II 154
Aulacopteris, eingewurzelt, Kohlenform., Frankr. 03 II 154
Aulacothyris angusta, cymbula, gregalis, Löffelholzii, oberula u. semiplana, Muschelkalk, Trebevic, Bosnien . . . . . 04 I 116
— Geyeri und redunca, Muschelkalk, Mte. Cucco, Friaul . . . 04 I 116
— incurvata, praevaliana, simulatrix, supina, turgidula und Wähneri. Muschelkalk. Süddalmatien . . . . . 04 I 115
Aulolepis, Lower Chalk, Sutheram b. Lewes. 02 II 302
Aulolepis-Arten. Kreide, England . . . . . 04 II 322
Aulopsammia lithothamnioides, reptans und vermiculata, Gosauschichten, Ost-Alpen 04 II 154
Aumalit, Lançon . . . 02 I 368
Aureolen durch Kalkeinschlüsse in Eruptivgesteinen . . . . . 01 I 404
Aurichalcit
— Andover-Grube, Sussex Co., N. Jersey . 02 I 361
— Rosas, Sardinien . . 1900 II 364

Auricula scotina, Eocän, Loire inférieure . . 1903 I 128
Auripigment im carrar. Marmor . . . . . 01 I 30
— mit Realgar, Graphitlagerst., Grosstresny, Mähren . . . . . 01 II 204
Auronzo, Cadore, Trias 01 I 461
Ausblühungen, salzige, Scapeu, Rumän. . . 1900 I 64
Ausbruchsröhren, tufferfüllte, Wallrode, Hessen . . . . . CBl 1902 *353*
Ausflussgeschwindigkeit
— Eis . . . . . 02 I 337
— kryst. Stoffe 1902 I 337 03 II 311
— Metalle . . . . . 04 I 327
Auslöschungsschiefe in Dünnschliffen . . . 02 II 3
— von Amphibol u. Pyroxen auf Spaltflächen . . . . . CBl 1900 127
Ausscheidung eines Minerals aus einem Magma 1900 II 255
— von Mineralien aus Schmelzflüssen CBl 1903 *715* CBl 1904 *368*
Ausscheidungsfolge der Mineralien aus einem Magma . . . . . CBl 1900 187
— — — im basalt. Magma 02 II 40
— — — in Eruptivgesteinen . . . . . CBl 1902 *545*
— — — aus dem Schmelzfluss . CBl 1903 *743* CBl 1904 *295*
— und Schmelzpunkte v. Mineralien . . . . . 03 I 364
Aussicht, Verschiebung d. 1900 II 211
Austenit im Eisen . . . 01 II 11
Austerlitz, geologische Karte . . . . . 1900 II 261
Austernbank, Panderkliff, Sylt . . . . . 02 I 124
Austernnagelfluh, Schweiz, Alter . . . . . CBl 1904 *135*
Austinocrinus radiatus, Senon, Kaukasus . . 01 I 472
Australien
— Eiszeiten . . . . . 02 II 129
— Goldgänge, Entstehg. 1900 I 245
— Goldlagerst. d. Peak Hill und von Kalgoorlie etc. . . . 1900 I 243 ff.
— — Anreicherung am Ausgehenden in West- 01 I 83
— grosses Wallriff . . 1900 II 380
Australien
— Kreidemollusken in Südaustralien . . . 1904 I 119
— Meteoreisen . . . . 1900 I 352
— nutzb. Lagerstätten des westlichen . . . 04 II 241
— permocarb. Glacialbildungen in Süd- 1900 II 107. 109
— Tellursilbergolderze von Westaustralien . CBl 1901 *201*
— tert. Blätter von Bungonia und Wingello 04 I 156
— triass. u. carb. Pflanzen von Neu-Süd-Wales . . . . . CBl 1901 728
Austrar . . . . . CBl 1903 697
Autochthone Versteinerungen . . . . . 1900 II 407
Autochthonie d. Kohlenflötze . . . . . 02 I 156
Autun u. Epinac. Kohlenbecken, Pflanzen . . 02 II 164
Autunit, siehe Uranglimmer.
Auvergne, Geologie . . CBl 1900 *305*
Avalonia, Sanfordi. Rhät. Wedmore Hill . . . 1900 I 310
Avellana chilensis, Quiriquinaschichten, Chile BB XVIII *208*
Averner See, sodalithführ. Augittrachit . . . . 03 I 252
Avicula aptiensis, gryphaeoides u. hughendenensis, Kreide . . BB XIV *352*
— Barklyi, Jura, White Cliff, Australien . . BB XIV *484*
— biradiata, Untersenon, Ilsede u. Braunschweig 02 I 128
— Bittneri, St. Cassian 02 II 487
— danica und faxensis, Kreide, Dänemark . 02 II 434
— efflata, Loomisi, prosslinensis. Salomoni u. seisiana, Pachycardientuffe, Seiser Alp 04 I 119
— efflata, Loomisi, Prosslineri, Salomoni u. seisiana. Pachycardientuffe, Seiser Alp . . CBl 1900 *369*
— Folgeni, unt. Trias, Val di Liana . . . 1900 II 314
— Huberti. Posidonienschiefer, Lias, Hannover CBl 1904 *386*
— japodica u. Kossmati. Trias, Idria. Krain . 02 I 485

Avicula Lieberti und ntandensis, Kreide, Deutsch-Ostafrica 1901 II 295. 296
— reticulata . . . . . 1902 I 316
— Szadetzkyi, ob. Kreide, Urmös, Siebenbürgen 01 I 469
— Kossmati-Schichten, Trias, Krain . . . . 02 I 485
Aviculopecten Jugleri, Unterdevon, Rolshausen BB XVII *35*
Axen, siehe Krystallaxen.
— opt., Bestimmg. durch Beobachtung der Auslöschungsschiefe . . 02 II 218
— d. Symmetrie, mögliche 01 II 334
— topische der Krystalle 02 I 336
— — Zinnerzgruppe. . 04 I 19
Axenbilder, mikrosk. Beobachtungen . . . . 02 II 401
Axendispersionsarten u. deren Bestimmung . 03 II 315
Axenfehler einaxiger Krystallplatten, Bestimmung . . . . . 04 I 163
Axenmodelle zur Demonstration der Symmetrieverh. d. Kryst. 1900 II 331
Axenwinkel, opt., Berechnung aus den Grenzwinkeln der Totalreflexion . . . . . 1900 II 170
— — Bestimmung in gesteinsbildenden Mineralien . . . . . 02 II 217
Axiale Krystallklassen . 1900 II 331
Axinaea juxtadentata, Nummulitenfauna, Egypten . . . . . 02 I 464
Axinit
— Polychroismus . . . 04 II 343
— Zusammensetzung . 04 II 27
— Dartmoor Forest, Devonshire, im Granitcontact . . . . . BB XIII 131
— Japan . . . . . 01 I 199
— Pyrenäen im Granitcontact . 1900 I 16 01 II 233
— Rešic, Mähren . . . CBl 1904 *360*
— Epidot, pseudom. nach 1900 I 20
Axinus cretaceus, obere Kreide, lib. Wüste . 03 I 510
Axonolipa . . . . . 01 I 330
Axonophora . . . . . 01 I 333
Azara Vinassai, Priabona-Schichten . . . . . 04 I 283
Azoicum, Barren Lands, Hudsonsbay . . . . 1901 I 267
— siehe auch Archaicum etc.
Azurit, siehe Kupferlasur.

B.

Babbits-Metall, chem. u. mikrosk. Verhalten . 1900 I 84
Babingtonit, Somerville u. Athol, Mass. . . . 04 I 358
Bača-Thal, Küstenlande, Geologie . . . . . 04 I 95
Bacchus Marsh, permocarb. Glacialbildungen 1900 II 108
Bachergebirge, nördl. Theil, Steiermark, Geologie . . . . . 02 II 419
Bachmut (Donetz), oberpalaeoz. Cephalopoden und Gastropoden . . 01 I 309
Backzähne, complic., d. Säugeth., Erklärung 02 II 134
Bactridium Calabrum, Postpliocän, Spilinga 1900 II 158
Bactrites . . . . . 1900 I 130
Bactroptyxis, Jura, Frankreich . . . . . 1900 II 154
Baculitenmergel, Tetschen, Mikrofauna . 03 II 151
Baculites, südind. Kreide 1900 I 442
— Hochstetteri, Friedecker Baculitenmergel, Beskiden . . . 03 II 263
— Lyelli, ornatus u. vagina, Quiriquina-Schichten, Chile . BB XVIII *188*
Baden
— Baumaterialien . . . CBl 1901 144
— Erdbeben, 14. Febr. u. 3. Juli 1899 . . . 01 I 207
— geol. Aufnahme (Bl. Villingen, Königsfeld-Niedereschenbach) . 01 I 90
— — — (Bl. Mannheim-Ladenburg und Philippsburg) . . . . . 01 I 441
Badenit, Badeni-Ungureni, Rumänien . . 01 II 365
Badiotella concentrica, gracilis u. subpunctata, Pachycardientuffe, Seiser Alp . . . . . CBl 1900 *370*
Bänderthon, Schweden, Störungen und chem. Umsetzungen . . . . 1900 I 207

Bänderung der Gletscher, Zusammenhang mit Schichtung . . . . . 1902 I *23*
Bär im Torf, Ugglarp, Schonen . . . . . 03 I 525
Bären
— Miocän, La Grive St. Alban (Isère) . . . 01 I 496
— Tertiär, Europa . . 1900 II 142
Bärenhöhle(Sibyllenhöhle) bei Kirchheim u. T., Württemberg . . . 02 I 286
Bäreninsel
— Devonflora d. Ursa-Stufe . . . . . 02 II 318
— oberdevon. Fische . 02 II 304
— Geologie . . . . . 01 II 258
— Geol. u. devon. Flora 04 II 474
— Untersilur mit Tetradium apertum . . . 01 II 163
Baffinsland
— Geologie . . . . . 04 I 419
— Unt. Silur-Fauna . . 01 I 482
Baganwala-Gruppe, Cambrium Saltrange . . CBl 1903 *45*
Bagshot-District, Feuersteingeschiebe . . . 01 I 127
Baikalsee
— Hebung . . . . . 02 II 376
— Mineralien . . . . . 02 I 39
Bairdia Beadnelli u. minuta, Egypten, untereocän . . . . . 03 I 484
Bajocien
— Basel, oberes . . . . 02 I 469
— Belfort, Ammoniten 1900 II 478
Bakal-Grube, südl. Ural, Erzvorrath . . . . . 04 I 86
Bakewellia, Dyas, Buntsandstein u. Muschelk. CBl 1902 *619*
Bakony
— Triasbrachiopoden 1901 II 155, 156
— Triasgastropoden . . 02 II 305
— Triaskorallen . . . 02 I 153
— Triasmegalodonten . 03 I 171
— Triaszweischaler . . 02 I 313
Bakterien d. Salzsoole u. d. Schlamms d. Limane . 1900 I 225 01 II 382
Baktrische Stufe
— Ostindien . . . . . CBl 1900 *2*
— Salt Range, Ostindien, eingezogen . . . . . BB 14 *423*
Bala beds u. Eruptivgesteine, Lombay Island, Dublin . . . . 1900 I 269
Balanophyllia angustinensis, annularis, elongata, inauris und ponderosa, Palaeogen, Nordamerika . . . . 1904 I 470
— Guidottii u. cornucopia, Neogen, Italien 02 I 154
Balantium superbum, olig. Niemtschitzer Schichten, Mähren . . . . 04 II 116
Balatonites spinosus, unt. Muschelk., Sondershausen . 1901 II 151 02 I 310
Balbriggan, County Dublin, Silur u. Ordovician . . . . . 01 I 457
BaliaMaaden, Kleinasien, Anthrakolith. Fauna 02 I 114
Balikesri, Kleinasien, Erdbeben vom 14. Sept. 1896 . . . . . 01 I 214
Balkan-Halbinsel, Geologie . . . . . 03 II 247
Ballabio, Italien, Mineralien . . . . . 02 II 203
Ballersbach, Unterdevon BB XVII *10*
Ballinoo, Meteoreisen . 1900 I 352
Balta'scher Kreis, Podolien, Geol. u. Gesteine 02 II 396
Balta-Stufe, Tertiär, Podolien . . . . . 02 II 396
Balticum Silur, Asaphiden . . . . . 03 I 337
Baltische Calluna-Heide im Alterthum . . . 01 I 138
— Endmörane, Norddeutschl., exist. nicht 04 II 446
Baltischer Gletscher, letzter grosser . . . . . 1900 I 296
— Höhenrücken, Holstein 04 II 449
Baltisches Untersilur, vergl. m. skandinav. CBl 1901 *611*
Baltschiederthal, Wallis, Mineralien im Triasdolomit . . . . . 1900 I *16*
Baluchistan, siehe Beludschistan.
Banakit . . . . . 02 I 216
Banatit
— Kullen-Vorgebirge . 1900 I 222
— Lofoten und Vesteraalen, Norwegen . . 1900 I 384
Bandas . . . . . CBl 1903 697
Bandos . . . . . CBl 1903 697
Bandperthit im Rapakiwi, südl. Russland . . . 04 I 71

Bangka, Zinnerzlagerstätten . . . . . 1901 I 422
Baraba-Steppe und Eintrocknen ihrer Seen . CBl 1901 124
Barbatia tenuidentata, Kreide, Schonen . . 01 I 281
— valbertensis, ob. Oxford, Berner Jura . 03 I 323
Barbertonformation, Transvaal . . . . . 1900 I 263
Barcelona
— Echiniden der Provinz 03 I 529
— Neogen . . . . . 1900 II 287
— Nummulitenkalk . . 1900 II 125
— Silur . . . . . 02 I 435
Bardiglio (Marmor), Carrara . . . . . BB XIX *277*
Bargallo zw. Parma und Spezia . . . . . 1900 I 26
Bargate beds, Kreide, Surrey, mikrosk. Fauna 1900 I 483
Bari, Beschreibung der Gegend . . . . . CBl 1901 20
Barkevikit-Gabbro, Madagascar . . . . . 03 I 79
Barrandella Kjerulfi, Etage 5, Silur, Christiania . . . . . 02 I 111
Barrandit, Isomorphie m. Strengit 1903 I 396 CBl 1901 504
Barrêmien
— franz. Voralpen . . 02 I 252
— Viviers a. Rhône . . CBl 1902 26
Barren
— Begriff . . . . . CBl 1903 *213*
— oceanische, Persistenz CBl 1902 *551*
— Lands, Hudsons Bay, Geologie . . . . . 01 I 267
Barrièrenriff, grosses australisches . . . . . 1900 II 380
Barsowit-Anorthit, Borsowka . . . . . 1900 II 255
Bar-sur-Aube, Kimméridien . . . . . CBl 1902 284
Bartonien
— Loingthal und Fontainebleau . . . . 01 I 126
— Montpellier . . . . 01 II 446
— Pariser Becken . . . 1900 II 123
Barus-Schichten, Obercarbon, Kaschmir und Spiti . . . . . 02 I 263
Barylit, Beziehung zu Cordierit . . . . . 02 I 176
Baryt, siehe Schwerspath u. Bariumsulfat.
Barytfeldspath, Schweden, kryst. u. opt. . . . . 1904 II 175
Barytherium grave, Tert., Egypten 1902 I 466 04 I 135
Barytische Blei- u. Silberformation, Freiberg . CBl 1901 249
Barytocalcit, verwachsen m. Kalkspath . . . BB XVI *385*
— — mit Schwerspath BB XVI *406*
Barytocölestin
— Binnenthal . . . . 04 I 181
— Bristol . . . . . 03 I 298
Baryum
— bromsaures, Kryst. . 03 I *149*
— Verbreitung in Gesteinen u. Quellen . 04 I 217
— weite Verbreitung in Quellen . . . . . 03 II 180
Baryumbromid, kryst. u. opt. . . . . 04 II 161
Baryumjodat, kryst., Darstellung . . . . . 04 II 195
Baryumparisit = Cordylit im Syenit, Narsarsuk, Südgrönl. . . . . 02 I 21
Baryumsulfat, künstl. Darstellg. d. Sublimation . . . . . CBl 1901 *682*
Baryumsulfid, Kryst. . . CBl 1900 *178*
Basalcomplex, katarchäischer, Finnland . . 03 II 74
Basalt
— künstlich . . . . . 1900 II 253
— — (Enstatit-) . . . 1900 II 253
— Olivinfels . . . . . CBl 1902 *15*
— antarkt. Gegenden . 1900 II 237
— Arafali (Erythraea) . 04 II 401
— Armenien, Plagioklas- 1900 I 230
— Aucklands-Inseln . . 1900 II 236
— Böhmen, östl. 1901 I 401 03 I 245
— —, Contactmetam. . 03 I 411
— —, Contactwirkungen an Kreidemergel . . CBl 1901 503
— — (Rongstock-Bodenbach), Feldspath- und Nephelin- etc. . . . 1900 II 81
— — (Schluckenau), Gabbro- u. Graniteinschl. 04 I 54
— brit. Ostafrika . . . 04 II 58
— Buri (Erythraea) . . 04 II 402
— Cap Marsa, Algier, albitisirt . . . . . 02 I 409
— Centralappalachian, Virg., Feldspathgänge 1900 II 69
— Chile, nördl. . . . . 01 I 420

Basalt
— Clermont, Miocän 1902 I 71. 282
— Cotopaxi . . . . . 03 II 218
— Disko, eisenführender 03 I 182
— Ecuador, Westcordillere, Feldspath- . . 1900 I 410
— Eibenstock, Melilith- 02 II 55
— Eiserfeld, wandelt Spatheisen in Magneteisen um . . . . . CBl 1901 *489*
— Elsass . . . . . 01 II 428
— erythr. Kolonie . . . 01 I 67 1903 II 79 1904 II 401. 402
— Färöer . . . . . 03 II 374
— Fidschi-Inseln . . . 01 I 246
— Franz-Josephs-Land . 01 I 277
— galatisches Andesitgebiet, Kleinasien . BB XVI *110*
— Giessen . . . . . 01 II 223
— Griechenland, Feldspath- u. Tuff d. nördlichen . . . . . BB XVIII *14*
— Hassberge, Melilith- 03 I 235
— Herniker Vulcane . 03 II 371
— Hessen, chemisch . . 03 II 40
— Hinterhermsdorf, Sachsen, Heimat der Edelsteine i. Seufzergrunde 01 I 22
— Höhgau . . . . . 01 II 224
— Homberg a. Efze, Hessen BB XVI *241* BB XIX *503*
— — a. Ohm, Hessen BB XVIII *460*
— Izalco, Eruption von 1902 . . . . . CBl 1903 *129*
— Karlsbad-Marienbader Bahn . . . . . 03 I 242
— Kenya, Ostafrika . . 02 I 233
— Kleinasien u. Syrien 1900 II 61
— König-Karlsland 1901 I 71 03 I 286
— Kronprinz Rudolfs-Insel . . . . . 04 II 227
— Laubach-Mücke-Bahn (auch Sonnenbrenner) 04 II 51
— Laysan, Südseeinsel BB XV *91*
— Little Belt Mountains, Montana . . . . . 03 I 433
— Löwenburg, Siebengeb. 04 II *86*
— Madagascar u. Sudan 02 II 56
— Mariupoler Kreis, Südrussland . . . . 1900 I 393. 395
— Mexico 1900 II 229. 234 04 I 230
— Moabit-Stein, Feldspath- . . . . . 04 II 52
— Mte. Ferru, Sard. . . 04 II 222

Basalt
— Mt. Rainier, Feldspath- . . . . . 1900 II 66
— Mücke-Laubach-Bahn 04 II 51
— Naabberg b. Erbendorf, Oberpfalz . . . CBl 1904 *586*
— Necker-Insel, Südsee BB XV *90*
— Niederhessen . . . . 01 II 386 1902 I *1* BB XVI *241* BB XVIII *460* BB XIX *503* CBl 1901 *65* CBl 1904 *38*
— Nieder-Ofleiden, Hessen, mit Eisen im Tuff CBl 1901 *65*
— —, Hoher Berg, Dolerit und Tuff . . . BB XVIII *479*
— Nordeck, Dolerit, merkwürd. Bildung . CBl 1904 *38*
— Nordgriechenland u. türk. Grenzländer, Feldspath- u. -Tuff . BB XVIII *14*
— Oelberg, Siebengeb., mit Granat . . . . 1900 I 197
— Pachuca, Mexico . . 04 I 230
— Pangkadjene, Südcelebes, Leucit- . . 01 I 421
— Patagonien . . . . 04 II 428
— Perim-Insel . . . . 04 II 53
— Puebla, Mex., und Basaltlaven . . 1900 II 229. 234
— Radicofani, Anal. . . 01 I 224
— Rheinland, Traussscheidungen . . . . 04 I 205
— —, Zirkon . . . . . 04 I 212
— Rhön (Schwarze Berge) 1904 II 205. 207
— Rockall Island . . . 1900 II 406
— Rom, Zeolithe . . . 02 II *63*
— Rongstock-Bodenbach (Feldspath- u. Nephelin etc.) . . . . . 1900 II 81
— Rotuma, Südseeinsel, Plagioklas- . . . . 1900 I 238
— Sandwich- u. Samoa-Inseln . . . . . BB XV *66*
— Sardinien . . . . . 1900 I 219
— —, Decken- . . . . CBl 1902 *331*
— Schonen, Feldspath- 1904 I 369 CBl 1902 *357*
— —, errat. im holländ. Diluvium . . . . . CBl 1904 *694*
— —, Diluv.-Geschiebe in Sylt . . . . 1901 I *109*. 478
— Siebengebirge, Nordabfall . 1901 I 282 01 II 222
— — siehe auch Löwenburg u. Oelberg.
— Somaliland . . . . . 02 I 411

Basalt
— Spring Cove, England, Strom- . . . . . CBl 1904 125
— Sylt, Diluv.-Geschiebe aus Schonen . . 1901 I *109.* 478
— Taiwan-Inseln . . . 1902 I 413
— Trosky (Burg), Böhmen 04 II 387
— Türkei, griech. Grenzländer, Feldspath- u. -Tuff . . . . . BB XVIII *14*
— Vivara . . . . . 02 I 406
— Vizzini, Val di Noto, Sicilien . . . . . 03 I 254
— Vogelsberg (Lauterbach-Grebenhainerbahn) . . . . . 04 I 46
— — (Laubach-Mücke-Bahn) . . . . . 04 II 51
— — siehe auch Niederhessen, Homberg. Niederofleiden u. Nordeck.
— Witim-Plateau . . . 02 I 223
— siehe auch Dolerit, Basanit, Tephrit etc.
Basalteruptionen, Schwäbische Alb, Ober-Miocän . . . . . CBl 1901 *133*
Basaltgeschiebe
— Flachland, östlichstes, bei Massin . . . . 02 II 446
— Holland u. Sylt, siehe Schonen.
— im Westen d. Weser 03 II 412
Basaltmagma, Ausscheidungsfolge d. Mineralien . . . . . 02 II *40*
Basaltmagmen, künstlich 1900 II 253
Basalttuff
— in Explosionsröhren CBl 1902 *353*
— Hoher Berg b. Ofleiden (Hessen) . . . BB XVIII *479*
— Sillö, Schonen . . . CBl 1902 *357*
— Puebla und Jorullo . 1900 II 235
— Rivagna in Novale, mit Eocänfauna . . 02 I 286
— Steiermark . . . . 1900 II 389
— Waltsch, Säugethiere 03 I 349
Basanit
— Kaiserstuhl . . . . 02 I 395
— Rhön (Schwarze Berge) 04 II 206
— siehe auch Basalt etc.
Basilicata, Geologie . . 1900 I 253
Basiluzzo, Geologie . . 1900 II 51
Basische Concretionen in Tiefengesteinen . . 03 II 361
Basite = bas. Gesteine CBl 1900 184
Baskuntschak-See, Astrach. Steppe, Kreidefauna 1900 I *216* 1904 II 431
Basler Tafeljura
— Geologie . . . . 1903 I 105. 106
— altmioc. Verwerfg. . 01 II 107
— Opalinus-Murchisonaeschichten . . . . . CBl 1901 *327*
Basse-Sambre, Carbon . 01 II 271
Bassein-Division, Miocän, Birma . . . . . 02 II 122
Bastit
— verwachsen mit Bronzit . . . . . BB XVI *403*
— Bogoslowsk'sches Bergrevier, im Serpentin 1900 I 345
Bastnäsit, Pikes Peak, Analyse . . . . . 01 I 33
Bathycles, Trias, Hallstatt . . . . . 02 I 144
Bathygenys, White River beds, Montana . . . 03 II 426
— alpha, Titanotherium-Schicht, Montana . . 04 II 462
Bathygnathus, ein Pelycosaurier . . . . . BB XX *343*
Bathytoma granconensis, Priabona-Schichten . 04 I 284
Batrachichnus plainvillensis, Plainville, Mass., Fussspuren im Carbon . . . . . 03 I 342
Battak-Hochfläche, Sumatra, Gesteine . . 1900 II 235
Baumhauerit, Binnenthal 03 I 377 CBl 1901 761 CBl 1903 25
Bauschanalysen, Schreibweise . . . . . 01 I 396
Bausteine
— Prüfung . . . . . 02 I 242
— Baden . . . . . CBl 1901 144
— natürl., Festigkeitsuntersuchung . . . 02 II 240
— — Baden, Schweiz u. Wisconsin . . . . . CBl 1901 144
Bauxit
— Arkansas . . . . . 03 II 18
— Calabrien? . . . . . 01 II 15
— Fuciner See . . . . 03 I 481
— Georgia . . . . . 04 II 17
— Italien 1901 II 15 1904 II 235. 236
— Neu-Süd-Wales . . . 01 II 178
— Var und Brignoles, Frankreich . . . . . CBl 1904 308
— siehe auch Hydrargillit u. Laterit.

Baveno u. Montorfano, Mineralien im Granit 1903 II 33 1904 I 181
Bavenoer Zwillinge, Anpassungserscheinungen 04 I 21
Bayania poleana, Priabona-Schichten . . . 04 I 283
Bayern
— Erdbeben der letzten Jahre . . . . . 1900 I 376
— Lagerung d. Braunkohle in Grube Hausham . . . . . 01 II 445
— Pendelbeobachtungen u. Schweremessungen 01 I 380
— schwäb. Hochebene, Dinotherium-Sand . 01 I 498
Bayr. Wald, Pfahlschiefer CBl 1903 *186*
Bazar Valley, Ostindien, Geologie . . . . . 02 I 432
Beania Carruthersi, mesozoisch . . . . . 04 I 155
Beaufort Dyke, Küste v. Mull of Galloway, Ireland . . . . . 02 II 51
Beaufort-Schichten, Cap-Colonie . . . . . 1900 I *118*
Beaumont-Erdölfeld, Tex. 04 I 403
Beauxit, siehe Bauxit.
Bechilit, Maremmen, Toskana . . . . . 02 I 171
Becraft Mountain, Columbia Co., N.Y., Geologie 04 II 249
— New York, Oriskanyfauna . . . . . 01 II 457
Beegerit, Silverton Quadrangle, Colorado . . 03 II 343
Beekmantown-Formation, Rensselaer County, N. Y., Silur, Graptolithen-Facies . . . . 03 I 115
Beekmantown Limestone, Ordovician, New York 01 II 265
Beerbachit systemat. Stellung . 03 II 357
— Ganggefolge granitodiorit. Tiefengest., Riesengebirge . CBl 1902 *488. 676*
Beerbachit-Porphyrit, Ardnamurchan, Schottland, Gang im Gabbro 02 II 68
Beerbachos . . . . . CBl 1903 697
Beine, Streckung bei Proboscidiern etc. . . . 03 I 145
Béla, Com. Esztergan, Geologie . . . . . 03 II 245
Belastungsmetamorphismus . . . . . 1901 I 220
Beldorf am Nordostsee-Canal, diluv. Torf . BB XVI *36*
Belemnitella, bes. Corbières . . . . . 01 II 317
— baculus, Bentongruppe, Kansas . . . . . 01 II 298
Belemniten neben Nummuliten, Eocän, Sind CBl 1900 138
Belemnites
— erstes Auftreten . . 04 II 325
— cordobaensis, espinazitensis u. Gottschei, Bajocien, Espinazitopass, Argentinien . . 1900 II 116
— Kleinii, Jura, White Cliff, Australien . . BB XIV *489*
— Lahuseni, Kreide, Russl. 02 I 446
— persulcatus, spinosus u. tricissus, Jurensis-Schichten, Elsass . . 03 I 300
Belemnoteuthis antiqua BB XV *208*
— Montefiorei, U. Lias, Charmouth . . . . . 03 I 332
Belfort, Bajocien, Ammoniten . . . . . 1900 II 478
Belgien
— Cambrium . . . . . 03 II 103
— — und Devon . . . 01 II 114
— Carbon . . . . . 01 II 442
— — v. Charleroi und Basse-Sambre . . . 01 II 271
— — Kohlenfelder nördl. vom Lütticher Becken 01 II 268
— — Kohlenkalk 1900 I 114 03 II 110
— Dinosaurier . . . . 03 II 440
— palaeocaene Fische . 03 II 442
— Quartär . . . . . 03 II 272
— quartäre Meere und Diluvium . . . . . 1900 II 448
— Quarze . . . . . 02 I 168
— Silur . . 1902 I 435 03 II 104
— Tektonik d. Mulden von Theux etc. . 1903 II 95—97
— Tertiär 1900 I 125. 451 02 II 440
— — Classif. d. mittl. u. oberen . . . . . 04 I 100
Belgrano-Schichten, Kreide, südl. Patagonien . . . . . 1900 II 426
Belinurus grandaevus. Unter-Carbon, Neu-Schottland . . . . . 01 I 510

Bellasien, Portugal, Ammoniten . . . . . 1900 II 476
Belledonne-Kette, Geol. 1903 I 66 CBl 1901 475
Bellerophon Attalicus, anthrakolith. Fauna, Balia Maaden, Kleinasien . . . . . 02 I 115
— polonicus, poln. Mittelgebirge . . . . . BB XIII *361*
— vicinus, Remscheider Schichten, Devon . . CBl 1904 *602*
— (Bucania?) sphaericus, Unterdevon. Rossbach . . . . . BB XVII 47
Bellerophonkalk
— südalpiner, Ammoniten CBl 1901 *436*
— Vicentin . . . . . 01 II 100
Bellerophonschichten, Bosnien . . . . . 05 I 105
Beloceras . . . . . 1900 I 130
— praecursor, karn. Alpen, Unterdevon . . 03 II 146
Belodon ingens, Stubensandst., Keuper, Aixheim, Württemberg . 1900 I 309
Belone tenuis, Miocän, Kroatien . . . . . 01 I 308
Beloptera belemnitoidea u. var. excentrica, Deshayesi u. Levesquei, belg. Eocän . . . . 02 I 141
Belopterina Levesquei, Londonthon, Sheppey 03 I 332
Belosepia Oweni, proxima und sepioidea, belg. Eocän . . . . . 02 I 141
Beludschistan
— Uebergang zw. Kreide u. Tertiär . . . . CBl 1903 *514*
— Wüste, Geologie . . 02 II 110
Belugit, systemat. Stellg. 03 II 356
Bendigo-Serie, Ordovician, Victoria, Austr. . . 1900 II 430
Beneckeia cf. Buchi, unt. Muschelk., Sondershausen . . . . . 01 II 152
Benedenius deneensis, Carbon, Deneé, Belgien . . . . . 01 II 148
Bennetland, Expedition d. Barons E. v. Toll CBl 1904 *228*
— siehe auch Sibirien, Schmidt, C. u. v. Toll.
Bennettites, mesozoisch 04 I 155
Benton-Gruppe, Kreide, Kansas . . . . . 1901 II 297
Berdjansk, Kreis, Geologie . . . . . 01 II 110
Berea grit Oil Sand, Cadix quadrangle, Ohio, Petroleum u. Gase . 04 II 81
Beresowit . . . . . 1900 I 195
— Beresowsk . . . . . 01 II 200
— ps. nach Rothbleierz 1900 I 195
Bereten-Verwerfung, Schweizer Jura . . . CBl 1902 *483*
Bergen (Norwegen) Geologie . . . . . 04 I 391
— Labradorfelse etc. . 04 II 390
Berggieshübel (Sachsen), Marmor . . . . . BB XIX *247*
Bergkalk mit Zwischenlagerung v. Quarzgestein, Derbyshire 1900 I 232
Bergkrystall
— Heidelbach, sächs. Erzgebirge . . . . . 04 II 362
— Kasbek . . . . . 1900 I 10
— Madagascar . . . CBl 1902 698
— Nordamerika 1901 I 32 CBl 1902 404
— Piz Aul, Graubünden mit Einschlüssen von Rutilnadeln . . . . 1900 II 12
Bergleder
— ps. nach Biotit . . . 1900 I 19
— Chlorit ps. nach B. . 1900 I 19
Bergmehl, Mte. Amiata 1900 II 349
Berg-Meridianoskop . . 02 I 374
Bergmilch, Mähren . . CBl 1904 *358*
Bergsturz
— v. Kursk, 31. Juli 1901 . . . . . CBl 1902 86
— St. Pierre-de-Livron (Tarn-et-Garonne) . 1900 II 46
— Valendas, Schweiz, diluvial . . . . . 03 II 416
Bergstürze, Glarner Alpen, vorhistorische . 01 II 209
Bericht, XX. amtlicher, über die Verwaltung der naturhistorischen, archäologischen und ethnologischen Sammlungen des westpreussischen Provincial-Museums für das Jahr 1899 . . . . . 02 II 444
Berkeley Hills, Calif., Geologie . . . . . 04 II 249

Berkeley-Stufe, Berkeley Hills, Californien . . 1904 II 250
Berlin, geolog. Ausflüge 1900 II 267
Bernardsonschichten, Devon, Massachusetts . 1900 II 89
Berner Jura, Mollusken und Brachiopoden
— Ober-Oxford . . . . 03 I 322
— Unter-Oxford . . . 01 I 139
— Zone d. Amm. Renggeri . . . . . 1900 I 315
Bernstein
— Ausstellung in Paris 1900 . . . . . CBl 1900 297
— Constitution . . . . 02 I 355
— Erscheinungen d. eingedrungenes Wasser 1900 II 33
— künstl. Trübung . . 1900 II 34
— Polychroismus . . . 04 II 344
— Vorkommen u. Verwendung . . . . . 02 I 356
— Elbemündung . . . 02 I 17
— nordwestl. Deutschl. 02 I 17
— Rigaer Strand . . . 1900 I 456
— Wesermündung . . . 02 I 17
Berrias-Kalke, Frankreich, Voralpen . . 02 I 250
Berrias-Stufe, Frankreich 1900 I 116
Berschad-Ustje-Eisenbahn, Geologie 1902 II 396 03 II 249
Berthierit, Bräunsdorf, chemisch . . . . . 04 I 10
— Mte. Gibbs, Cal. . . 1900 I 31
Beryciden, Kreide . . . 02 I 310
— siehe auch Beryx.
Beryll
— verwachsen mit Mikroklinperthit, orientirt 1900 I 170
— zonale Verhältnisse . 03 II 2
— Brasilien, Polychroismus . . . . . 04 II 342
— Haddam Neck, Conn., im Granit . . . . . 03 II 188
— Herrestad bei Kårda, Schweden . . . . . 01 II 19
— Iglau, Mähren . . . CBl 1904 *363*
— Marschendorf, Mähren 03 I 199
— Miask, Aquamarin, Analyse . . . . . 01 II 205
— Mongolei, im Pegmatit 01 II 192
— Nordamerika . . . . 03 II 40
— Nordamerika, Edelstein, Vorkommen 1900 I 199 CBl 1902 404. 405
— Nordcarolina . . . . 1900 I 32
Beryll
— Pisek, im Pegmatit, Krystallformen . . . 1903 II 32
— Slatoust . . . . . 01 II 192
— Sondalo, Veltlin, im Pegmatit 1902 I 358 03 II 32
— Ural., Vorkommen . 01 II 190
— Zöptau-Petersdorf . 04 I 30
— siehe auch Aquamarin, Smaragd etc.
Beryx multidentatus und polymicrodus, Niobrara-Kreide, Kansas 01 I 309
— siehe auch Beryciden.
Beskiden, Kreide, Fossilien . . . . . 03 II 262
Bessarabien, unterplioc. Säugethiere . . . . 03 I 325
Bestimmung
— mikrosk., d. Min. nach d. Brechungsindex . 1900 I 326
— von Mineralien im Dünnschliffe . . . . 01 II 334
Betula nana, lebend, Westpreussen . . . 02 I 463
Beudantit
— chemisch . . . . 1901 I 359. 360
— Isomorphismus . . . CBl 1901 507
Beudantit-Hamlinit-Gruppe, Beziehung zw. Zusammensetzung u. Molekularvolumen . 04 I 4
Beutelthiere, Gebiss . . 03 I 140
Bewegung sich auflösender Krystalle . . . 1900 I 5
Bewegungen d. Erdkruste 1900 I 367 01 II 372
— siehe auch Niveauschwankungen.
Bewegungsgruppen, 230, Beziehungen zu Krystallstruktur . . . . CBl 1901 *746*
Bewegungsrichtung des diluv. Inlandeises, Norddeutschland . . 01 II 131
Beyrichia Angelini bildet neue Gattung . . . CBl 1902 154
— embryoniformis und trisecta, Remscheider Schichten, Devon CBl 1904 *600. 602*
— (?) trigonata, poln. Mittelgebirge . . . . BB XIII *366*
Biarritz
— Geologie CBl 1902 251 CBl 1903 88
— Nummuliten und Orbitoiden . . . . . 04 I 154

Bibliographie der Geologie, Palaeontologie, Petrographie u. Mineralogie von Nordamerika für 1897 und 1898 CBl 1900 159
Bicia, Cambrium . . . 1902 I 486
Biegungen
— an Krystallen . . . 02 II *133*
— bruchlose, Quarz, Somoixerthal, Bündener Oberland . . . . . CBl 1900 *81*
Biegungselasticität von Schiefern . . . . . 01 I 395
Biewende b. Wolfenbüttel, Fauna d. Senon . . . 01 II 297
Bigenerina triadica, Spitzkalk, Recoaro u. Schio 1900 I 274
Billiton, Zinnerzlagerstätten . . . . . 01 I 422
Biloculina Guerrerii, Pliocän, Sicilien . . . . 02 I 155
Bimagmatische Laven, Kasbek . . . . . 02 II 390
Bimsstein
— mit Thon imprägnirt 01 II 379
— Coatepec-See . . . . CBl 1903 *130*
— Mayor Island, Neuseeland . . . . . CBl 1904 *210*
— Sta. Maria, Mexico, Eruption Oct. 1902 . CBl 1903 *112*
— und-Tuffe, Neuseeland 01 II 71
Bimssteintuff mit Quarzkrystallen, Bourboule 1900 I 221
Bindheimit, Oberzeiring, Steiermark . . . . 03 II 31
Binnenmollusken, alttert., Südostfrankreich . . 01 II 282
Binnenseefauna in der Buntsandsteinwüste CBl 1904 5
Binnenthal
— Mineralien . . . . . CBl 1901 761
CBl 1903 25. 32 CBl 1904 56
— Minerallagerstätte im Dolomit . . . . . 01 II 201
— Rathit, Krystallform 02 II 182
— Rutil . . . . . 1900 I 12
— Sulfarsenide 1903 I 185. 377 CBl 1902 443
Binnit, Binnenthal . . . CBl 1903 25
Binnit = Tennantit . . 01 II 12
Biotit
— Analysen . . . 1900 II 197 198
— gesteinsbildend, Anal[illegible]
— —, Beziehung z[illegible]
stein . . .
— verwachs[illegible]
Biotit
— verw. mit Hornblende BB XVI *419*
— — mit Kalkspath BB XVI *387* CBl 1902 *356*
— — mit K J, K Br u. K Cl . BB XVI *368* CBl 1902 *355*
— — mit Melilith . . BB XVI *397*
— — mit Orthoklas u. Augit . . . . . BB XVI *428*
— Mähren . . . . . CBl 1904 *360*
— Narsarsuk, südl. Grönl., im Syenit 1900 I 347 02 I 29
— OldHampshireCo., Mass. 01 I 34
— ob. Veltlin im Pegmatit . . . . . 1900 II 362
— Asbestpseudom. n. B., Rudnik, Serbien . . 01 I 173
— Bergleder ps. nach B. 1900 I 19
— Chlorit ps. nach B. . 1900 I 19
— siehe auch Glimmer etc.
Biotit-Augit-Latit-Strom, Sierra Nevada, Cal. 1900 I 70
Biotitgneiss. Feldspathbestimmung . . . . CBl 1902 *396*
Biotitgranit, Lausitz, Druckprodukte . . . 04 I 41
— Ussuri-Fluss . . . . 1900 I 389
Biotitprotogin, Aarmassiv, Minerallagerstätten . BB XIV *43*
Birch Creek Series, Alaska 1900 II 77
Birkenia elegans, Silur, Schottland . . . . . 01 I 505
Birma
— Jadeit u. Szechenyit 1900 I 341
— Miocän . . . . . 02 II 122
— Petroleum . . . . . 02 II 250
Birsthal, Schweiz, Tektonik . . . . . 1900 I 256
Bischoff, Mt., Zinnerzlagerstätten . . . . 01 I 423
Bischofit
— spec. Gew. u. Schmelzp. CBl 1904 *234*
— Vorkommen in Kalisalzlagern . . . . . 04 I 336
Biscuits, Squaw Island, Canandaigua, New York 03 I 482
Bisilikatische Magmen . CBl 1900 184
Bismutit mit Wolframit, Argentinien . . . . 02 I 41
Bison antiquus, Osteologie 01 I 149
— Alleni, alticornis, antiquus, bison, crassicornis, ferox, gramm[illegible], latifrons und [illegible]atalis, Nordka . . . . . 03 I 146

Bison, siehe auch Bos, Bubalus etc.
Bistritza-Gebirge, nordmoldausche Karp. . 1900 II 420
Bithinella Dumasi, Eocän, Loire inférieure . . 03 I 128
Bittersalz
— Zwillinge . . . . . CBl 1903 *728*
— Alma Mine, Calif. . 04 II 40
— Kalusz . . . . . 03 I 400
— Kirkby Thore, Westmoreland, im Gyps . CBl 1901 153
— Willcox Station, Wyoming . . . . . 01 I 366
Bitterseen, Kaspi-Becken und Kreis Omsk . . 1900 I 228
Bitterspath
— Agordo . . . . . 03 I 203
— Alpen, im Talk- und Chloritschiefer, chem. 03 I 21
Bittium Dumasi, Eocän, Loire inférieure . . 03 I 128
— reticulatum var. Konkensis, Schichten m. Venus Konkensis, Konka-Fluss . . . . 1900 II 123
Bittneria efflata, Pachycardientuffe, Seiser Alp 04 I 119
Bittnerites Bittneri, Werfener Schichten, Mué (Dalmatien) . . . . 03 II 445
Bitumen, Cardenas, Cuba 03 II 391
— Libollo, Angola . . 1900 I 18
Bituminöse Subst. der Thone u. Mergel . . 04 I 379
Bivalven, engl. Kreide . 01 II 154
Bjelosom = Weisserde, Russland . . . . . 01 II 66
Black Hills, Wyoming
— Kreide, Cykadeenstämme . . . . . 1900 II 496
— Kreidepflanzen . . . 1900 II 438
— Mineralien . . . . . 03 I 406
Black Reef-Serie, Transvaal . . . . . 1900 I *115*. 264
Blagodat, Ost-Ural. Eisenerze . . . . . 1900 I 81
Blanco-bed, Nordamerika, Landsäugethiere . . 01 II 139
Blankenese, Diluvium . BB XVI *61*
Blansko und Boskowitz, geol. Karte . . . . 1900 II 261
Blasenzüge und Contractionscylinder im Melaphyr, Darmstadt . 1904 I 47. 48 CBl 1901 *610* CBl 1903 *217. 409*
Blastoidea d. British Museum . . . . . 1900 II 485
Blastomeryx, Tertiär. N.O.-Colorado . . . 04 I 133
— Wellsi, Süd-Dakota und Nebraska . . . 04 II 313
Blattiden, palaeozoische 04 I 462
Blei
— bromsaures, Kryst. . 03 I 150
— destillirtes . . . . . 03 I 369
— Krystallform . . . . 01 I 182
— radioaktives . . . . 02 I 336
Bleierze
— Dellach (Oberdrauthal), in der Trias . . . . 04 I 396
— Neu-Schottland . . . 02 I 362
Bleierzgänge, Entstehung 1900 II 246
Blei- u. Silbererzgänge, Svenningdal, südl. Norwegen . . . . . 04 I 398
Bleiformation, Freiberg
— barytische . . . . . CBl 1901 249
— edle . . . . . CBl 1901 246
— kiesige . . . . . CBl 1901 242
Blei- u. Kupferformation, Freiberg . . . . . CBl 1901 242
Blei- u. Silberformation, barytische . . . . . CBl 1901 249
Bleiglanz
— elektrische Leitfähigkeit . . . . . BB XX *412*
— Krystallformen . . . 02 II 204
— verwachsen mit Arsenkies . . . . . BB XVI *366*
— — mit Bournonit . BB XVI *363*
— — mit Chlorblei . . BB XVI *362*
— — mit Fahlerz . . . BB XVI *339*
— — mit Kupferkies . BB XVI *353*
— — mit Magnetkies . BB XVI *343*
— — mit Pyromorphit BB XVI *350*
— — mit Schwefel . . 1900 II 365
— — mit Schwefelkies 1902 II 329 BB XVI *338*
— Aarmassiv, in Biotitprotogindrusen . . BB XIV *64 ff.*
— Binnenthal . . . . . CBl 1904 57
— Botes-Berg, regelm. verwachs. m. Fahlerz 04 II 168
— Campiglia Marittima, Toscana . . . . . 01 I *141*
— Freiberg mit (744) . 01 I 183
— Gnesta, Schweden . 1900 I 412
— Grönland . . . . . 1900 I 347
— Iowa . . . . . 1900 I 414
— Little Belt Mountains, Montana . . . . . 01 II 366

Bleiglanz
-- Pressnitz, böhm. Erzgeb., Ag-haltig . . . 1904 II 411
— Rosas (Sulcis), Sardinien, Bi-haltig . . 04 I 341
— S. Antonio und Val d'Aspra, Prov. Grosseto 03 I 205
— Utah, Zn-haltig . . 01 I 182
— Vesuv (Somma), Ag-haltig . . . . . CBl 1901 47
Bleiglanz- und Blende-Gänge, Metnitz und Zweinitz, Kärnten . 02 II 34
Blei- und Zinkerze
— Iowa . . . . . 1900 I 414
— Radwig b. Hermagor, Kärnten . . . . . 1900 II 75
Bleigummi, chem. . 1901 I 358. 360
Bleimalachit, Kirgisensteppe . . . . . CBl 1901 281
Bleiniere, siehe Bindheimit.
Blekinge, Schweden, Diabase . . . . . 1900 I 65
Blende, siehe Zinkblende.
Bleu turquin (Marmor), Carrara . . . . . BB XIX 277
Blitzröhren, siehe Fulguriten.
Blitzstrahl, Gang im Boden . . . . . 03 I 51
Block Island, Neuengl. Inseln, Geol. . . . . 1900 I 99
Blocklehm, Saltrange . CBl 1904 321
Blöcke, errat., Nordrand schweiz. Alpen . . . 1900 I 87
Blödit, Hallstatt . . . 01 II 359
Bobierrit, künstl. Nachbildung . . . . . 04 II 187
Bobrůvka, Mähren, Mineralien . . . . . 03 I 201
Bodenbewegungen
— bei Sprengungen, Messung . . . . . 01 I 252
— im Mansfeld'schen . CBl 1900 281
— südwestl. Frankreich CBl 1901 177
Bodeneis
— der Eishöhlen . . . 1900 I 208
— Beresawka, NO.-Sibirien . . . . . CBl 1902 409
— Sibirien 1903 II 348 CBl 1902 409. 411
Bodengestalten d. Erdoberfläche. Charakteristik u. Terminologie 02 I 52
Bodengesteine, lose, Nomenklatur. Schweden 04 I 377
Bodenkunde
— petrogr. Grundlage . 1900 I 216
— praktische . . . . . 1900 I 381
Bodenmais, Silberberg
— Beziehg. d. Erzlagerst. zu Schneeberg (Tirol) und Entstehung . . 04 II 239
— Erzlager . . . . . 02 I 80
— Schwefel- u. Magnetkieslagerstätte . . . 03 I 444
Bodenrelief, Entwicklung in Vorpommern, Rügen etc. während d. letzten Vereisung . 04 II 448
Bodensee
— Entstehung . . . . 03 I 513
— Molasse . . . . . 03 I 471
Bodenuntersuchung
— chem., Bedeutung für Bonitierung . . . . 01 II 222
— wissenschaftliche . . CBl 1904 150
Böden
— Bestimmung d. lösl. Alkalisalze . . . . . 01 I 240
— Deutsch-Südwestafrika 01 I 234
— Kordofan . . . . . BB XVII 396
— Russland (Transkaukasien und Aralokaspien etc.), Zonalität in der Verthlg. 01 II 65
Böhmen
— altpalaeoz. Korallen CBl 1901 502
— Basalte d. östlichen . 01 I 401
— Berg- und Hüttenwesen . . . . . 04 I 224
— Beziehung zu Goethe 01 II 41
— Braunkohlenform., Thaumaturus lusatus 1900 II 470
— —, Fische u. Schildkröten . . . . . 01 I 143
— chem. Betriebe . . . 04 I 223
— Erdbeben 1897 . 1900 I 373. 374
— — 1898 . . . . . 01 I 209
— — 10. Jan. 1901 . . CBl 1901 503
— Eruptivgest. d. Präcambriums . . . . . 04 I 50
— Feldspathvorkommen 03 I 82
— Flora der Chlomeker Schichten . . . . . 01 I 527
— Geologie d. südl. . . 1900 II 268
— Gesteine 1902 I 57 04 I 48 ff.
— Gneissgebiet am Ostrande . . . . . 02 II 422
— Granaten, Vorkommen 1901 II 21 CBl 1901 504
— Graptolithen . . . . 1900 I 146

Böhmen
— Grenze zw. Silur u. Cambrium . . . . . 1901 I 269
— Kreide, Chlomeker Schichten . . . . . 1900 I 439
— — bei Pardubitz . . 02 I 276
— — d. westlichen . . 02 I 118
— Kreidefische . . . . CBl 1901 503
— Meteorbeobachtungen 1900 II 207
— obersil. Algenrest . . 1900 I *129*
— pleistoc. Conchylienfauna . . . . . 03 II 277
— Pyroplagerstätten, Ertrag . . . . . CBl 1901 504
— Quartär, Conchylienfauna . . . . . 01 I 144
— Zeolithe 1903 I 389 04 I 175
— und Mähren, Kaolinlager . . . . . BB XV *290 ff.*
— — —, Moldavit . 1900 I 361 ff.
Böhmerwald
— Granulite . . . . . 02 II 52
— Wolynkathal, Ganggesteine . . . . . 04 I 52
Böhmisches Mittelgebirge
— Eruptionsfolge der Gesteine . . . . . 02 II 52
— Pflanzen . . . . . 1900 II 328
— Zeolithe . . . . . 04 I 175
Boghead, Ossa a. Angara (Irkutsk) . . . . . 04 I 230
Bogoslowsk, Bergrevier
— Eisenerzlagerstätten 1903 II 234. 235
— Geologie . . . . . 03 II 226
— Manganerze . . . . 1901 II 406
— Mineralien . . . . . 1900 I 343
Bohnerze
— eocäne Säugethiere, Chamblon b. Yverdon 04 II 305
— — —, Lissieu (Rhône) 01 I 147
— tert., in Spalten des Neocom, Belle-Roche bei Gibraltar, Neuchâtel . . . . . 01 I 124
Boizenburg a. Elbe, Quartär 02 I 458
Bokhara
— Goldgebiet . . . . . 01 I 80
— goldhalt. Conglomerat 01 I 180
— Hornfels-Chiastolith-Seebenit . . . . . 01 I 74
Bokkeveld Beds, Cap-Colonie . . . . . 1900 I *115*
Bokuwka-Berg, Gouv. Kielce, Phosphate . . 01 II 199
Bolderien, Fauna . . . 03 I 128
Boleït
— Aetzfig. u. opt. Anom. 1900 I 332
— verwachsen m. Cumengeït . . 1903 II *125* BB XVI *352*
Bolgruppe . . . . . CBl 1901 505
— Zusammensetzung . 03 I 388
Bolivia
— Geol. d. südöstl. . . CBl 1904 *1*
— Glacialbildungen . . 01 II 292
Bolivina Beyrichii, elongata, nobilis, pectinata und reticulata, Bryozoenhorizont, Priabona . . . . . 01 I *119*
Bologna, mioc. Fische u. Mollusken . . . . . 01 I 127
Bologneser Appennin, Eruptivgesteine . . 1900 II 396
Bolsena, Vulcane . . . 1900 II 218
Bomben, vulcanische
— Papandejan-Vulcan, West-Java . . . . . BB XX *128*
— Tusnad, Bad in Siebenbürgen . . . . . 04 I 60
— Vulcano . . . . . 03 II 46
Bonanzas in Erzgängen, Entstehung . . . . 01 I 372
Bonarda und San Bartolomeo, Sardinien, Tertiärfauna . . . . . 04 II 286
Bonebed
— England, Rhät. . . . CBl 1904 59
— Pikermi, Attika und Euböa . . . . . 03 II 283
Bonin-Inseln, Geologie . 03 II 253
Bonitirung, Werth der chem. Bodenuntersuchung . . . . . 01 II 222
Boothit, Leona Heights, Californien . . . . 04 II 39
Boracit
— Einfluss d. Eisengeh. auf die Modificationsänderung . . . . . 1900 II 108
— opt. Erscheinungen bei Druck . . . . . 03 II 166
— Volumänderung bei Umwandlung . . . . 01 I 16
— Vorkommen in Kalisalzlagern . . . . . 04 I 336
— Nordamerika, Produktion . . . . . 04 II 18
Borax
— Verein. Staaten, Produktion 1901 . . . 04 I 33
— — — — 1902 . . 04 II 17

Boraxlager, Death Valley und Mohave Desert, Great Basin . . . . 1904 II 82
Bordeu-Quelle, Luchon, Argon und Schwefel 03 II 361
Boreale Periode, Quartär, Schweden . . . 1900 II 495
Borgo, Cima d'Asta-Gruppe, Geol. . 1902 II 420 03 I 122
— Finnland, Meteorit . 1900 I 356
Borhyaena, Gebiss . . . 03 I 141
Borkholmer Schicht, balt. Silur . . . . . 03 I 505
Borneo
— Geologie . . . . . 02 I 109
— Geologie d. nördl. . CBl 1901 536
— Hebung durch Massenerguss . . . . . BB XX *354*
— Juramollusken . . . 01 I 487
— Kreide von Temojoh 04 I 120
— Lias . . . . . 1900 II 119
— Tertiärversteinerungen . . . . . 02 II 490
Bornholm
— Geologie . . . . . 01 I 102
— geol. Führer . . . . 01 I 95
— Kaolinlager . . . . BB XV *329*
— Lias, Fossilien . . . 1900 II 435
Bornia, Classification . . 1900 II 327
— esnostensis u. latixylon, Kohlenbecken, Autun und Epinac . 02 II 166
Bornit, siehe Buntkupfererz.
Borolanos . . . . . CBl 1908 *697*
Boronatrocalcit, künstl. 03 I 188
Borosilikate, Californien CBl 1903 *334*
Borrowdale, granatführ. etc. vulc. Gesteine . CBl 1904 58
Borsäure und Borate, Suffionen, Toscana . 02 I 170
Borsäureanhydrid zum Aufschliessen von Silikaten . . . . . CBl 1902 504
Borsonia africana, ob. Kreide, lib. Wüste . 03 I 510
— castellorum, Priabona-Schichten . . . . . 04 I 284
Borstenit, Borsteni, Rum. 01 II 365
Bos, Quartär, Algier . . 01 II 146
— elaphus, quartär, Algier . . . . . 01 II 146
— Pallasi, syst. Stellung CBl 1904 *315*
— priscus, Kurgan, Gouv. Tobolsk, Schädelfragment . . . . . 03 I 324
Bos scaphoceras, Nicaragua . . . . . 1903 I 148
— Vindonissa . . . . 03 I 149
— siehe auch Bison. Bubalus etc.
Boscampo, Ganggesteine CBl 1903 *639*
Boskowitz und Blansko, Mähren, geologische Karte . . . . . 1900 II 260
Bosnien
— Eisenerze bei Vareš 01 I 428
— Gebirge, glac. u. morpholog. . . . . 1900 II 382
— Geologie . . . . . CBl 1900 *218*
— Gesteine der Serpentinzone . . . . . 02 I 67
— Glaubersalz in den Werfener Schichten . CBl 1904 *399*
— Kohlen in Werfener Schiefer . . . . . CBl 1902 *9*
— norische Petrefacten 02 I 467
— Pavlovac-Bach, Zusammensetzung einer Goldseife . . . . . 03 II 378
— Süsswasserneogen, Alter . . . . . CBl 1901 *227*
— Tertiär, Petrefacten 02 I 471
— tertiäre Fische . . . 03 I 160
— Trias . . . . . 03 I 110
— —, Brachiopoden und Muscheln . . . . . 04 I 114
— Vergletscherung, ehemalige . . . . . 02 II 447
Bosnien-Herzogowina, Mineralindustrie . . 02 I 81
Bosporus
— Devonfossilien . . . 1900 II 431
— Entstehung . . . . 02 I 207
Bostonit
— syst. Stellung . . . 03 II 357
— Cabo Frio b. Rio de Janeiro . . . . . 02 II 400
— Orkney . . . . . 02 II 67
Bostonitartige Gänge, Predazzo u. Monzoni 04 II 210
Bothriolepis, Beziehung zu Hatteria . . . . CBl 1901 27
Bothrodendron Beyrichi, jüng. Steinkohlengeb., Prov. Sachsen . . . 01 I 458
— — Unterrothl., Sennewitz . . . . . 04 I 476
— brevifolium, Devon, Bäreninsel . . . . . 04 II 476
— Depéreti, Carbon, Mâcon . . . . . 04 II 478

Botryogen = Palacheit, Redington Mine, Knoxville, Cal. . . . . 1904 II 191
Bottnische Formation, archäisch, Finnland . 1901 II 64
— Schiefer, Finnland . 03 II 74
Bouchardia patagonica, Kreide, Pico Salamanca . . . . . 04 II 287
Boušina Hochstetteri, Alge, Oberneocom, Piret . . . . . 1900 II 329
Boulonnais
— Geologie . . . . . 02 I 90
— Pycnodonten d. Cenoman . . . . . 02 II 303
Bourguetia Lias-Mesalia 02 I 144
— sulcata, ob. Muschelk., Niederbronn . . . . 02 I 143
Bournonit
— verwachsen m. Bleiglanz . . . . . BB XVI *363*
— — — Kupferkies . . BB XVI *396*
— Argentiera della Nurra, Sardinien . . . . . 03 II 14
Bovey Tracey, Granit etc. . . . . BB XIII *92*
Boviden
— Gruppirung . . . . 04 II 311
— prähistorische . . . 03 II 133
— siehe auch Bison u. Bos.
Bowlingit
— Lake Superior . . . 1900 II 29
— Monzoni im Melaphyr CBl 1901 *678*
Bowmanites Roemeri, Niedzielisko b. Krakau, Carbon . . . . 04 I 316
Bracciano, Alter d. Vulcane . . . . . 04 I 369
Brachiopoden
— Beurtheilung . . . . CBl 1901 *33*
— lebende . . . . . 03 II 300
— Cambrium . . . . . 03 II 401
— — Nord-Amerika . . 03 II 300
— Bakonyer Wald, Trias 01 II 155
— karn. Alpen und Karawanken, Trogkofelschichten . . . . . 01 II 118
— Stramberger Tithon 1900 II 316
— Südtirol, mittl. Lias 01 I 166
Brachycephalie u. Dolichocephalie bei niederen Säugethieren . 04 II 302
Brachycyathus danensis, ob. Kreide, lib. Wüste 03 I 509
Brachylemur robustus . 01 II 141
Brachymetopus Strzeleckii . . . . . 1904 I 144
Brachyodus, Olig., Pyrimont und Challonges 04 I 444
— africanus, Egypten, Tertiär . . . . . 01 II 460
— Moghara, Egypten. Miocän, Unterkiefer 02 II 459
Brachypodinae . . . . 03 I 557
Brachyuren d. Münchener Sammlung . . . . . 1900 II 148
Bradylemur Bastardi, Madagascar . . . . 03 I 353
Bradytherium grave, Tertiär, Fayum, Egypten . . . . . 04 I 135
Brahmaïtes, südindische Kreide . . . . . 1900 I 445
Brancoceras, poln. Mittelgeb., Oberdevon . . BB XIII *346*
Brandenburg, Diluvium . BB XVI *1*
Brandproducte, St. Pierre, Martinique . . . . . 03 II 378
Brasilien
— Amazonas-Niederung, Geologie . . . . . CBl 1901 120
— Nordostküste, Geol. . 02 I 435
— Pará, Geologie . . . 04 I 420
— Carbonflora . . . . 02 I 497
— Devonmollusken, Pará 01 I 297
— Diamanten . . . . . 04 II 365
— Diamantsande, Favas u. and. Mineralien . 1900 II 36
— diluv. Säugethierreste 04 II 148
— Goldlagerstätten . . 04 II 411
— Leucitgranophyr, Serra de Caldas . . 1900 I *22*
— Manganerze . . . . 1900 II 40
— ölführendes Tertiär 01 II 267
— Pseudomorphosen . . 01 II 6
— Silurfauna, Rio Trompetas, Pará . . . . 01 I 297
Brauneisenerze, südl. Ural 04 I 85
Brauneisenstein
— Bogoslowsk'sches Bergrevier, Ural . . 1900 I 345
— Brasilien, Pseudom. n. Hydrargillit und Staurolith . . . . . 01 II 7
— Campiglia Marittima, Toscana . . . . . 01 I *147*
— — —, pseudom. n. Schwefelkies . . . . 01 I *149*
— Chessy, pseudom. n. Kupferlasur und Malachit . . . . . 1900 I 21

Brauneisenstein
— Kisel, Ural, Erz . . 1904 II 415
— Massachusetts, aus Kalkstein . . . . . 01 I 35
— Monte Valerio, mit Zinnstein . . . . . 01 I 187
— Monteregian Hills, Ca., pseudom. n. Arfvedsonit od. Aegirin 04 II 410
— Neu-Guinea, pseudom. n. Schwefelkies (?) . 01 I 173
— Neu-Schottland, Mnhaltig . . . . . 02 I 362
— Schlaggenwald, Pseudom. v. Limonit nach Karpholith . . . . . 01 II 6
— Schlaggenwald, pseudom. n. Karpholith . 01 II 6
Brauneisenstein-Zinnsteinmassen, Campiglia Marittima, Tosc. . . 01 I *144*
Brauner Jura, siehe Dogger.
Braunerzlager, Michipicoten-Fluss, Canada 01 I 187
Braunkohle
— Untersuchung m. X-Strahlen . . . . . 1900 II 409
— Alaska . . . . . 1900 II 77
— Bogoslowsk'sches Bergrevier, Ural . . 1900 I 345
— Bosnien, Kamengrad CBl 1901 *230*
— Costarica, Alteocän, atlant. Küste. . . . 1900 II 271
— Griechenland . . . . 03 II 389
— Gross-Räschen b. Senftenberg, Entstehung 02 I 156
— Messel b. Darmstadt 1900 I 449
— —, Affe . . . . . CBl 1902 *289*
— Moskau, Gouvernement . . . . . 02 I 420
— Niederlausitz, Entstehung . . . . . 02 I 156
— Oberbayern, Lagerung auf Grube Hausham 01 II 445
— Posen . . . . . 04 II 79
— Türkei . . . . . 04 II 80
— Ungarn . . . . . CBl 1904 52
— Vicenza, lösl. organ. Substanzen . . . . 02 I 16
Braunkohlenbriquettirung. Chemismus . . . . . 01 II 83
Braunkohlenformation, Böhmen
— Schildkröten u. Fische 01 I 143
— Wirbelthiere . . . . 04 I 286
Braunschweig
— Umgebung, Geol. . . CBl 1903 *49*
— und Ilsede, Mollusken d. Untersenon . . . 1902 I 127
Braunspath
— Feodosia . . . . . 01 II 364
— Kuttenberg 1903 II 338 CBl 1901 504
Braunspathformation, Freiberg . . . . . CBl 1901 246
Brecciato (Marmor), Carrara . . . . . BB XIX *282*
Breccien
— d. Rothliegenden etc. verglichen mit recenten und Entstehung 04 II 203
— Davos . . . . . 01 II 96
— Grizzly Peak, Col., vulcanische . . . . 01 I 237
— und Tuffe, vulc., Waitemata series, Neuseeland . . . . 04 II 253
Breccienlager, Oberjura in Sutherland . . . . . 03 II 403
Brechung d. Lichts
— an inactiven durchsicht. Krystallplatten BB XX *159*
— an Zwillingseb. vollk. durchsicht., inact., einax. Krystalle . . BB XX *1*
Brechungsexponenten
— Bestimmung n. Schröder v. d. Kolk . . 02 II 401
— — in Dünnschliffen. 04 II 2
— z. Bestimmung d. Mineralien benützt . . 1900 I 326
— Prismenmethode . . CBl 1904 57
— Flüssigkeiten, Bestimmung durch Indicatoren von Glas . CBl 1904 *14*
— Flussspath u. Steinsalz, Beziehung zu Färbung . . . . . 04 I *7*
Bredvadporphyr, Diluv.-Geschiebe, Sylt . . . 01 I *108*
Breislakit
— ist Liëvrit . . . . . 04 I 174
— Vesuverupt. 1895—99 CBl 1901 *48*
Breitenberg-Verwerfung, Schweizer Jura . . . CBl 1902 *486*
Bremen, Schlachthof, Bohrloch, Schichtproben . 01 I 169
Brenham, Meteorit, Fall 1900 I 352
Brennstoffe, mineral., Untersuchung mit X-Strahlen . . . . . 1900 II 409

Bretagne
— Geologie . . . . . 1902 II 258
— — d. centralen . . . 01 II 108
— Silur . . . . . 01 I 271
Bretonian division, Cambrium, Cape Breton 03 II 402
Breunerit, Maisur, im verwitterten Dunit . 03 I 78
Brewsterit, Lockerung d. Krystallgebäudes durch HCl . . . . . CBl 1902 *594*
Briançon, Intrusivmassen d. Carbon . . . . . 03 I 67
Briançonnais-Zone, franz. Alpen . . . . . 04 I 430
Bridger bed, Nordamerika 01 II 137
— Fauna, Colorado . . 1900 I 132
Brissoides confractus u. Cossmanni, Eocän, Barcelona . . . . . 03 I 530
Brissopatagus Damesi, Tert., S. Floriano . 1900 II 161
Brissopneustes aturensis, Garumnien inférieur, Landes . . . . . 1900 II 485
Brissopsis, Kreide . . . 02 I 319
— Bofilli, Eocän, Barcelona . . . . . 03 I 530
— Pasquali, Nummulitenschichten, Egypten . 01 II 484
— sypontinus, Eocän, Mte. Gargano . . . 04 I 465
Britholit, Grönland, im Elaeolithsyenit . . . 01 I 374
Britisch Columbia, Geol. 02 I 430
— Guyana, Geol. . CBl 1901 310. 315
Brittsia problematica, Lower Coal measures, Missouri . . . . . 01 II 490
Broc, Alpes Maritimes, Breccie, Pliocän . . CBl 1904 92
Brochantit
— Paposo, Chile . . . 1900 II 370
— Rosas, Sardinien 1900 I 29 1900 II 357. 365
— Utah, Kryst. . . . . 02 II 31
Brodkrustenbomben, andesit., Bad Tusnad, Siebenbürgen . . . . 04 I 60
Bröggeria, Cambrium, Nordamerika . . . . 03 II 300
Bröggerit, Analyse . . 02 II 341
Broken Hill, Neu-Süd-Wales
— Erzlagerstätten . . 02 II 87
— Geologie . . . . . 01 I 86
— Mineralien . . . . . 02 II 14
Brom
— in vesuv. Fumarolenproducten . . . . . 1900 I 52
— Production 1901, Vereinigte Staaten . . . 04 I 34
Bromargyrit 1903 I 373 CBl 1902 186
Brombaryum, kryst. u. opt. 02 II 161
Bromcaesium, kryst. u. eutrop. Beziehungen u. phys. Eigensch. BB XVIII *121 ff.*
Bromhaltiges Calciumalumosilikat . . . . CBl 1904 *731*
Bromkalium
— kryst. und eutrop. Beziehungen, physikal. Eigenschaften . BB XVIII *120 ff.*
— verwachsen mit Glimmer . . . . . BB XVI *368*
Bromradium, kryst., verwandt mit Brombaryum . . . . . CBl 1903 *134*
Bromrubidium, kryst., eutrop. Beziehungen u. phys. Eigensch. BB XVIII *121 ff.*
Bromsaures Barium, Blei und Strontium, Kryst. u. eutrop. Beziehungen 1903 I *148. 155*
Bromsilber . 1903 I 373 CBl 1902 186
Brontosaurus, Bone Cabin Quarry, Como District, Vorderextremitäten . 03 I 157
Brontotherium Leydyi etc. Amerika Oligocän . 04 I 298
Bronzit
— im Kelyphit . . . . 01 I 20
— verwachsen mit Augit BB XVI *409*
— — mit Bastit . . . BB XVI *403*
— — mit Hornblende . BB XVI *412*
— Mähren . 1903 I 402 CBl 1904 *362*
— Mohelno, Mähren . . 03 I 402
— Nord-Carolina . . . 1900 I 32
— —, mit Rhodolith . 1900 I 188
Bronzitandesit, Tibet . 02 II 236
— siehe auch Andesit, Enstatitandesit etc.
Brookit
— hemimorph und Aetzfiguren . . . . . 01 II 135
— Mol.-Vol. vergl. mit Tantalit u. Hübnerit, und Formel . . . . 04 I 5
— Polychroismus . . . 04 II 342
— = Ti_6O_{12} . . . . . CBl 1903 25
— verwachsen mit Rutil BB XVI *396*
— Brindletown, N.-Car. 03 I 21

Brookit
— Kuttenberg, Böhmen 1903 I 401 CBl 1901 504
— Magnet Cove, Arkansas, Anal. . . . . CBl 1902 144
— Veltlin, im Gneiss . 1901 I 190
Brooksella rhenana, Mittel-Devon, Rupbachthal 03 II 455
Brosso, Erzlagerstätte 1903 II 381 04 I 235
Bruchlinien, Zusammenhang mit Dislokationen . . . . . CBl 1902 *449*
Brucit
— Grönland . . . . . 1900 I 350
— Slatoust . . . . . 01 II 177
— Texas, Polychroismus 04 II 343
Brünn
— Aufnahmen im Eruptivgebiet . . . . . 04 II 385
— Wasserversorgung . 03 II 395
Brüx
— Bewegung d. Grundwassers . . . . . 02 I 388
— Phonolith d. Spitzbergs 03 I 242
— Schwimmsandeinbrüche 19. u. 20. Juni 1895 1900 II 377
Brugg (Aargau), Quellenkarte . . . . . 03 I 99
Brunnen
— artesische, Geschichte CBl 1902 435
— —, Cascina, Italien . 1900 II 49
— —, Indien . . . . . 02 II 417
Brunnengase, Holland . 01 II 84
Brunnengrabungen bei Treviso . . . . . 1900 I 218
Brunonia grandis und irregularis, Untersenon, Braunschweig u. Ilsede 02 I 128
Brunsvigit, Radauthal, Harz . . . . . 03 I 29
Brushit
— künstl. Nachbildung 04 II 187
— Insel Mona, Westindien . . . . . 02 II 28
Brushit und Gyps, Beziehung zw. Molekularvolum und Zusammensetzung . . 04 I 5
Brusson, Piemont, Grünschiefer mit Albit . CBl 1901 *303*
Bruxellien, Belgien, mit Numm. laevigatus . 1900 I 451
Bryograptus . . . . . 01 I 331
Bryozoen
— **Bestimmung** d. Spec. 1900 I 477
Bryozoen
— brit. Museum (Cyclostomata d. Kreide) . 1900 II 484
— cyclostome . . . . . 1900 I 478
— Flustridae . . . . . 1900 I 478
— Jura . . . . . 1900 I 478
— Revision d. v. d'Orbigny aus der Kreide abgebildeten . . . . . 02 I 488
— Altai, untercarb. . . . CBl 1902 409
— amerikanische, Synopsis 02 II 151
— Bada, Eocän . . . . 1900 I 478
— Frankreich, Kreide . 03 I 536
— Italien, pliocäne und postpliocäne . . . . 1900 II 318
— ital. Tert. 1900 II 157 03 I 534
— Kansas und Missuri, Coal measures . . . 01 II 157
— Neuseeland . . . . 01 II 159
— Occaignes (Orne), Ovicellen d. Bathonien . 1900 II 317
— Pianosa-Insel, miocäne und pliocäne . . . . 03 I 536
— Sardinien, tertiäre 1900 I 479 1900 II 317
— Tours, Tertiär 1901 II 157 03 II 301
— Victoria, Austr., tertiäre Polyzoen . . . 1900 II 483
Bryozoenhorizont, Priabona, Foraminiferen 01 I *111*
Buanó, Molukken, Geol. CBl 1902 *1*
Bubalus, quartär, Algier 01 II 146
Bucanella und Bucania (Bellerophon), Unterdevon, zw. Marburg und Herborn . . . . BB XVII *46*
Bucania makatikhae, Oberpaläoz., Russland 01 I 310
Buccinum Annae, patag. Formation . . . . . 02 I 295
— Hupeanum, Quiriquina-Schichten, Chile . BB XVIII *210*
Buch, L. von, Biographie CBl 1900 296
Buchara, Kreidefoss. . . 1900 II 287
Bucharei, Geologie . . . CBl 1903 86
Buchberg, Ries . . . . BB XV *457*
Buchberggeschiebe, Ries BB XV *460*
Buchensteiner Schichten, Trias, südl. Bakony 03 I 125
Buchiola cf. digitata u. n. sp., Unterdevon, zw. Marburg u. Herborn BB XVII *45*
Buchiola laevior, poln. Mittelgebirge, Goniatitenkalk v. Lágóco BB XIII *258*

Buchoria angulifera, Paris. Becken, Eoc. . 1900 II 479
Buchsweiler, Els., Mitteleocän . . . . . 1900 I 131
Bucklandit, Achmatowsk 01 II 193
Buddleigh-Salterton Pebble beds, feinere Bestandtheile . . . . . 04 I 218
Büdesheimer Schiefer, östl. Oberharz . . . 01 II 438
Buenos Aires, Prov., Geologie . . . . . 02 II 428
Büsserschnee, Entstehung 03 I 50
Bug-Liman, Süd.-Russl., period. Aenderung d. Salzgehalts . . . . 1900 I 224
Bukowina
— Erdbeben 1898 . . . 01 I 209
— Fauna der Unterlias 01 I 483
Bulgarien
— Geologie d. Gegend v. Rustschuk . . . . . 1900 I *29*
— Mineralien . . . . . 01 II 362
— Mineralindustrie . . 02 I 82
— Urgonien . . . . . CBl 1901 569
Bulima Andreaei, nordmähr. Miocäntegel . 03 II 151
Bulimina buchiana und elegantissima var. seminuda, Bryozoenhorizont, Priabona . 01 I *118*
Bulimus carnaxidensis, Basaltlager, Lissabon 02 I 483
Bulla chilensis, Quiriquina-Schichten, Chile BB XVIII *220*
— cf. elegans, Parana-Stufe . . . . . BB XIV *215*
— subglobosa, Quiriquina-Schichten, Chile . BB XVIII *222*
Bunaelurus infelix, Titanotherium-Schicht, Montana . . . . . 04 II 461
— lagophagus, White River Oligocän, Colorado . . . . . 04 I 296
Bunodontia, Algier . . 01 I 500
Bunomeryx, Uinta-Eocän 02 II 296
— elegans u. montanus, N.-Amerika . . . . 01 II 462
Bunte klast. Gesteine d. continentalen Trias, Bildung . . . . . CBl 1901 *463*
Bunter Pebble-Bed, mineralogische Zusammensetzung . . . . . CBl 1902 475
Buntkupfererz,
— ausgeriebener Strich . CBl 1901 *519*
— chem. Formel . . . 1904 II 13
— ersetzt Eisentheile eines Schmelzofens . 02 II 336
— Bogoslowsk'sches Bergrevier, Ural . . . . 1900 I 344
— Mähren . . . . . CBl 1904 *356*
— Mellitzgraben, grosser Krystall . . . . . 01 II 14
— Mexico, goldhaltig . 01 I 181
— Old Hampshire Co., Mass. . . . . 01 I 36
— Silverton Quadrangle, Colorado . . . . . 03 II 344
Buntsandstein
— Estherien . . . . . CBl 1904 *195*
— Elsass . . . . . 01 II 423
— Ostthüringen, mittlerer, Gervillienhorizont . CBl 1903 *660*
— Pfalzburg . . . . . 03 II 93
— St. Georgen, Schwarzwald . . . . . CBl 1900 29
Buntsandsteinwüste,
— Ablehnung . . . . . CBl 1904 *107*
— Fauna eines Binnensees . . . . . CBl 1904 *5*
Bure-Schichten, Devon, Belgien . . . . . 01 II 440
Bureau of mines, Toronto, Ontario, Can., reports 04 II 363
CBl 1901 371 CBl 1902 240
Burgstall b. Wechselburg, Felsitporphyr . . . 1900 I 380
Burgtonna, Conchylien d. interglac. Travertine 03 II 277
Buri (Erythraea), Gesteine 04 II 402
Burtinella solarioides, ob. Kreide, lib. Wüste . 03 I 510
Buru
— Molukkeninsel, Geol. CBl 1902 *460*
— Molukken, Gesteine . CBl 1900 *373*
Buschfeldmandelstein m. Achat etc., Waterberg-Distr., Transvaal 01 II 93
Bythinella steinheimensis, Obermiocän, Steinheim 02 I 483

C.

Caban-Gruppe, Silur, Wales . . . . . 01 I 457
Cabo Frio-Insel, bei Rio de Janeiro, foyaitisch-theralitische Erupt.-Gesteine . . . . . 02 II 399

Cabrerit, künstl. . . . . 1904 II 187
Cadmium
— destillirtes . . . . . 03 I 370
— Kryst. . . 1901 II 8 04 I 328
— Vorkommen etc. . . 01 I 175
Cadmiumoxyd, Mte. Poni CBl 1901 *549*
Cadmium-Vanadinit.
künstlich . . . . . 01 II 4
Cadoceras catostoma, Grewingki, Petelini, Schmidti, stenoloboide und subobtusiforme, Callovien, Alaska . . 01 II 125
— Nanseni, Callovien, Cap Flora, Franz-Josephs-Land . . . . 01 I 278
Cadore, Trias . . 1901 I 461, 462
Caenotherium, tertiär, Russland . . . . . 03 II 289
— commune, Olig., Pyrimont und Challonges 04 I 444
Caeruleit, siehe Coeruleit.
Caesium, Beziehung zu Kalium und Rubidium 04 II 167
Caesiumhaloide, Kryst. u. eutrop. Beziehungen, phys. Eigensch. . BB XVIII *121 ff.*
Calabrien
— Erdbeben, 16. Nov. 1894 . . . . . 01 I 213
— und Messina, Erdbeben von 1169—1895 1900 I 377
Calaf b. Montserrat, Oligocän . . . . . 1900 II 125
Calamariaceen, Anatomie 1902 I *119. 124*
Calamarien, Autun und Grand'Croix, anat. Bau 1900 II 324
Calamarienfruchtstand, Stiletzer Steinkohlenbecken . . . . . 04 II 474
Calamites, primäre Structur d. Stamms . . . 1900 I 321
— bistriata, Rothliegendes, Ilfeld . . . . . CBl 1901 *422*
— cannaeformis u. pachyderma, aufrecht eingewurzelt in d. Kohlenform., Frankreich 03 II 155
Calamites Suckowii, Wald bei Trenil, Frankreich 03 II 154
— —, ident. mit C. Cistii. foliosus u. schatzlarensis, Calamocladus parallelinervis u. Calamostachys vulgaris 03 II 154
Calamocladus parallelinervis = Calamites Suckowii . . . . . 1903 II 154
Calamodendreen, anat. Bau u. Classif. . . . . 1900 II 325
Calamodendron, Chemnitz, Rothliegendes . 02 II 492
— intermedium, Kohlenbecken, Autun und Epinac . . . . . 02 II 166
Calamophyllites vaginatus, Carbon, Heraclea (Kleinasien) . . . . . 03 I 175
Calamopitys annularis, Unterculm, Saalfeld 04 I 317
Calamopsis dubia, Unterculm. Saalfeld . . . 04 I 317
Calamostachys vulgaris = Calamites Suckowii 03 II 154
— Zeilleri, Kohlenbecken, Autun und Epinac . 02 II 166
Calanda, Geologie . . . 1900 I 254
Calaverit, Kryst. . . 1903 I 14. 377
1904 I 343 CBl 1901 373. 507
— kryst. u. chem. . . . 03 I 17
— Cripple Creek Distr., Col. 1901 II 345 CBl 1901 373
— Silverton Quadrangle, Colorado. . . . . 03 II 343
— Westaustralien, Kalgoorlie
1903 I 20 1904 I 8 CBl 1901 *201*
Calcare metallifero, Presolana-Gruppe . . . 01 II 110
Calcarina rotula, Kreidemergel der oberbayr. Alpen . . . . . 02 I 155
Calceola sandalina, Westabhang d. Urals . . CBl 1901 534
Calceolaschiefer, Elend, Harz . . . . . 01 II 421
Calcimirische Eruptivgesteine . . . . . CBl 1903 686
Calcispongien, böhmische Kreide . . . . . 04 II 157
Calcit, siehe Kalkspath.
Calciumalumosilikate, haloidhaltige . . . . . CBl 1904 *729*
Calciumcarbonat
— Einfluss von $CaSO_4$, K_2SO_4 und Na_2SO_4 auf Krystallisation . 1900 II 7
— Entstehung d. heterom. Modificationen im Meerwasser und Alter der Erde . . . 1900 II 9
02 I 45

Calciumchloroaluminat, Umlagerungen und Struktur . . . . . BB XIV *264*
Calciumchromat, mit verschied. Krystallwassergehalt . . . . . 1902 II 179
Calciumoxydhydrat, Krystalle . . . . . CBl 1901 727
Calciumsulfathalbhydrat, Bildung . . . . . 02 II 5
Calciumsulfid, Kryst. . . CBl 1900 178
Caledonit
— Challacollo-Grube, Atacama . . . . . 02 II 356
— Montana . . . . . 02 II 205
— Stenenson-Bennett-Mine, Neu-Mexico . 01 I 365
Calianassa rakosensis, ungar. Leithakalk . 1900 II 475
Californien
— Eruptivgesteine . 1900 I 69. 72
— Howlit u. Borosilikate CBl 1903 *334*
— Inseln d. Südens, Topographie . . . . . 02 II 215
— Mineralien 1900 I 31 . 03 I 402
— Mother Lode Region, Tellurerze . . . . . 01 I 184
— postplioc. Hebungen und Senkungen . . . 04 I 108
— Trias . . . . . 01 I 276
— tertiäre Seeigel . . 01 II 324
Californit, Indian Creek, South Fork, Cal. . . 04 II 179
Caliman-Gebirge, nordmoldauische Karp. . 1900 II 420
Callabonna-Lake, Australien, Genyornis Newtoni . . . . . 01 I 501
Calliostoma Bavardi, puelchanum und punctatulum, Paraná-Stufe . BB XIV *227*
— Cossmanni, Garretti, Iheringi u. observationis, patag. Form. 02 I 295
— suturatum, Nummulitenfauna, Egypten 02 I 464
Callipteridium densifolia, Rothl., Ilfeld . . . . CBl 1901 *592*
— gigas, Rothl., Ilfeld . CBl 1901 *591*
Callipteris Bergeroni, Nicklesi u. strigosa, Perm, Lovède . . . 04 I 158
— Naumanni, Rothliegendes, Ilfeld . . . . . CBl 1901 *420*
— Nicklesii, Rothl., Ilfeld . . . . . CBl 1901 *592*
Callistotapes vetula, Tert., Piemont u. Ligurien 1902 II 309
Callocystidae . . . . . 01 I 320
Callograptus . . . . . 01 I 331
Calloneghe, Kreidefossilien . . . . . 03 II 273
Callonema superstes, Kohlenkalk, Visé . . . . 01 II 457
Callonia acutispira, megalomphalus u. Pissaroti, Eocän, Loire inférieure . . . . . 03 I 128
Callovien (siehe auch Kelloway)
— Cap Flora, Franz-Josephs-Land . . . . . 01 I 278
— Villers-sur-Mer, Grenze gegen Oxfordien . . 04 I 307
— Woëvre . . . . . 01 I 468
Calluna-Heide, baltische, im Alterthum . . . 01 I 138
Calops consors . . . . 1900 II 140
Calycocarpus thuoides, Charlottenbrunn, Schlesien . . . . . CBl 1902 *233*
Calymmene senaria, Venezuela, Untersilur . 04 I 91
— ultima u. vexata, Tremadoc, Ramsay, Island 01 II 150
Calyptraea Beyrichi und pectinata, Egypten, Eocän . . . . . 04 II 459
Calyptraeidae, Jura, England . . . . . 1900 I 515
Camarosaurus, Osteologie 02 II 478
Cambrium
— Grenze gegen Untersilur . . . . . 03 I 202
— Obolus und Obolella mit Untergattungen 02 I 486
— Quellen . . . . . 01 I 337
— Versteinerungen . . 03 II 401
— Aachen . . . . . 01 II 421
— Alemtejo, Portugal . 04 II 471
— Aspen Mining District, Colorado . . . . . 01 II 431
— Belgien . . . . . 02 I 436
— —, Stavelot . . . . 01 II 114
— —, Viel-Salm . . . 03 II 104
— Bennet-Land . CBl 1904 *438. 527*
— Böhmen, Grenze zum Silur . . . . . 01 I 269
— —, westl., petrogr. . 03 I 249
— Bolivia . . . . . CBl 1904 *1*
— Bornholm . . . . . 01 I 96
— Brabant, Llandeilo . 03 II 103

Cambrium
— Cap Breton, Neu-Schottland 1901 II 133 1903 I 292 II 401
— Deutsch-Südwestafrika CBl 1902 *65*
— Eastern Berkshire County, Mass. . . . 1901 II 430
— England, Conocoryphe-Species . . . . . 01 II 149
— Europa, Phosphoritführung . . . . . BB XV *52*
— Groningen (Holland), Diluvialgeschiebe . . 04 II 456
— Hemelum (Holland), Geschiebe i. Geschiebemergel . . . . . 03 I 137
— Holland, Diluv.-Geschiebe . . . . . 04 II 124
— Kennebecasis Valley, Canada . . . . . 1900 I 111
— Krasnojarsk . . . . CBl 1901 215
— Kunda, Russl., Kohlen CBl 1900 299
— Labrador . . . . . 01 I 447
— Lake Champlain-Becken, Potsdam-Sandstein . 03 I 115
— Malvern Hills, Engl., 1903 I 292 CBl 1902 154
— — —, Erupt.-Gest. CBl 1901 181
— Massachusetts . . . 1900 II 86
— Mount Stephen, Brit. Columbien, Brachiop. 03 II 401
— —, —. Crustaceen . 04 I 144
— —, —, Fauna . . . 1900 II 292
— Neu-Braunschweig, St. Johns Group . . 1900 I 267
— — u. Neu-Fundland (Eteheminian) . . . 1900 I 434
— Neu-Fundland . . . 01 I 162
— —, Fauna . . . . . 1900 II 292
— —, Metadoxides magnificus . . . . . 1900 I 132
— Neu-Schottland . . . 01 I 448
— siehe auch oben Cap Breton.
— —, Dictyonema-Schiefer . . . . . 03 I 115
— New York, Dictyonema-Fauna . . . . . 04 II 96
— —, Gliederung . . . 01 II 265
— Nordamerika . . . . 03 I 104
— —, Brachiopoden . . 03 II 300
— Ontario, westl. . . . 1900 II 429
— Pennsylvanien, Eisenerze . . . . . 02 I 87
— Volborthella . 04 I 145
Cambrium
— Ronder, Norw. (Rondesparagmiten) . . . . 1900 I 268
— Rozel (Manche) . . . CBl 1901 571
— Sachsen . . . . . CBl 1903 *577*
— Saltrange . . . . . CBl 1903 *45*
— —, östliche, Fauna . 02 I 260
— Schantung. Ascosomaceae . . . . . CBl 1904 *193*
— —, Trilobiten des oberen . . . . . 04 II 322
— Schweden, Acerocare-Zone . . . . . 1900 II 103
— —, älteste Trilobiten 1900 II 149
— —, Paradoxides-Schicht 03 I 545
— Sibirien . . . . . 01 I 114
— Stavelot, Belgien . . 01 II 114
— Stephen-Field, Orycto-cephalus Reynoldsii . 01 I 509
— Ströms Vattudal, Norwegen . . . . . 1900 I 269
— Viel-Salm . . . . . 03 II 104
— Westböhmen, Petrographie . . . . . 03 I 249
Camelidae, Tertiär
— Colorado, nordöstl. . 04 I 130
— Nord-Amerika . . . 01 II 462
— Uinta-Eocän . . . . 02 II 294
Camelomeryx, Uinta-Eocän 02 II 295
Camelopardalis giraffa, Algier, Quartär . . 03 I 347
Camelops kansanus, Nord-Amerika . . . . . 01 II 465
Camelus, quartär, Algier 01 II 146
— alutensis, Rumänien, Quartär . . . . . 03 I 347
— americanus, Nord-Amerika . . . . . 01 II 465
— Knoblochi, Pleistocän, Sarepta a. Wolga . 03 II 139
— Thomasi, Algier, Quartär . . . . . 03 I 347
Camera zur stereoskop. Abbildg. mikro- und makrosk. Objekte . . 04 II 340
Camerothyris cymbula, Muschelkalk, Trebevic, Bosnien . . . . 04 I 116
Campagnatico, Provinz Grosseto, pont. Schichten . . . . . 1900 I 448
Campanar . . . . . CBl 1903 697
Campanien, ob. Kreide . 02 I 452
Campbell-Insel, Gesteins 1900 II 236
Campeloma harlowtonensis, Kreide, Montana 04 I 271

Campiglia Marittima
— Erzlagerstätte und Entstehung . . . . 1902 I 82
— Zinnstein und andere Erze . . . . . 01 I *135*
Campine, Tertiär 1900 I 125. 289. 290 03 II 113
Campo, Val Maggia, Tessin, Erdrutsch . . . 1900 II 43
Campo del Cielo, Argent., Meteoreisen . . . . 1900 I 353
Camptonectes, Kreide, England . . . . . 03 II 299
— bellestriatus var. distans, Kreide, Yellowstone National Park . . . 02 I 129
Camptonit
— syst. Stellung . . . . 03 II 358
— Ditro, Analyse . . . 01 I 402
— Fleims . . . . . 03 I 62
— Las Vegas, Neu-Mexico, Analcim . . . 04 II 404
— Monteregian Hills, Quebec, Can. . . . . 04 II 410
— Monzonigebiet . . . CBl 1904 *275*
— Orkney . . . . . 02 II 67
— Quebec, Canada, gangförmig . . . . . 04 I 395
— Rongstock . . . . . 1900 II 83
Camptonitgang, Monzoni CBl 1900 *677*
Camptonit-Monchiquit-Gänge, Predazzo und Monzoni . . . . . 04 II 215
Camptonit-Monchiquit-Gest., Kaiserstuhl . 01 I 400
Campus-Stufe, Berkeley Hills, Calif. . . . . 04 II 251
Campylognathus . . . . 02 II 480
Campylosepia triasica, unt. Muschelk., Sondershausen 1901 II 152 02 I 310
Canada
— Asbest, Vorkommen u. Gewinnung . . . 04 II 237
— Bergwerksverträge . . CBl 1901 371
— Bureau of mines, reports (Toronto, Ontario) . . . . . CBl 1901 371 CBl 1902 240 04 II 363
— Camptonit 1900 I 395 04 II 410
— Devon . . . . . 1900 II 432
— Erzlagerstätten . . 04 II 363
— Geologie . . . . . 02 I 430
— geolog. u. mineralog. Sammlungen . . . . 1900 I 327
— Gold im Seine River 01 I 180
Canada
— Granit . . . . . 1900 I 67
— Huron im westl. Ontario . . . . . 1900 II 429
— Intumescens-(Naples-) fauna . . . . . 1900 I 131
— Korund . . . . . 1900 I 180
— korundführender Syenit 01 I 189
— nutzb. Mineralien von Ontario . . . . . CBl 1902 241
— paläoz. Korallen . . 01 II 325
Canadabalsam, Verhalten in Dünnschliffen . . 04 I 377
Canaliscala (?) dictyella, Eocän, Loire inférieure 03 I 127
Canavaria capriotica und Volscorum, Tithon . 02 II 153
Cancellaria Zitteli, ob. Kreide, lib. Wüste . 03 I 510
Cancer Böckhi, ungar. Eocän . . . . . 1900 II 474
— Szontaghi, ungar. Leithakalk . . . . . 1900 II 475
Cancrinit, umgewandelt aus Nephelin 1900 II *68* BB XVI *376*
— aus Nephelin, Neph.-Syenit, Grönland . . 01 I 38
Cancrinit-Aegirin-Tinguait, Elfdalen . . . 02 II 56
Cancrinitsyenit
— Elfdalen, Diluvial-Geschiebe, Lüneburg 01 II 285
— Miask . . . . . 01 II 126
Candoglia b. Ornavasso, Marmor . . . . . BB XIX *261*
Caniden
— Miocän, Colorado . . 04 I 294
— Pliocän und Quartär, Great Valley, Californien . . . . . 04 II 469
— Tertiär, Nordamerika 02 I 134
— White River-Oligocän 1902 I 297 04 II 308
Canis, Vindonissa und Siggenthal . . . . . 03 I 148
Canis-Arten, prähist. . . 03 II 421
Cañon City, Meteorit, Fall. . . . . 1900 I 352
Cantal, Vulcane etc. . . CBl 1900 *308*
Cantharus subcostulatus, Priabona-Schichten . 04 I 283
Cap
— Diamanten, Lagerstätte und Gesteine 1900 I 1. 336
— —, Newland . . . . 1900 I 336

Cap
— Diamanten, Rietfontein, Transvaal . . . 1900 I 338
— Diamantgruben . CBl 1904 153. *442*
Cap d'Aggio, Alter der Eruptivgesteine . . . CBl 1901 180
Cap Blanc (Algier), liparit. Gesteine . . . . . 01 I 228
Cap Flora, foss. Flora . 02 II 327
Cap York, Melville Bay, Meteoreisen . . . . 1900 I 352
Cape Breton, Cambrium 01 II 133
Cape Fairweather beds, tert., Süd-Patagonien 03 II 400
Cape Nome, Gold Region, Alaska . . . . 1902 II 246. 247
Cap-Formation
— Südafrika . . . . . 1900 I *115*
— Transvaal . . . . . 1900 I 263
Cap-System, Transvaal 1901 II 91 CBl 1901 178
Capeisen, Capland . . . 01 II 36
Capeisengruppe, Ataxit . 1900 I 353
Capillaranalyse . . . . 03 I 54
Capillarität, Beziehung zu Cohäsion mit Krystallwachsthum . . . 03 II 161
Capillaritätsconstanten d. Krystallflächen . . CBl 1901 *753*
Capo di Bove, Tiefbohrung 02 II 59
Cappelinitähnl. Mineral, Grönland . . . . . 1900 I 350
Capra, Vindonissa . . . 03 I 149
— aegagrus, Mosbach . 1900 II 60
Capri, Geologie 1903 I 277 04 II 421
Caprina Choffati, Kreide, Portugal . . . . . 02 I 486
— ramosa, Caprinidenkalk, Cerro Escamela bei Orizaba . . . . 1900 II 121
Capriniden, Mexico . . 1900 II 480
Caprinidenkalke, Mexiko 1900 I 123 1900 II 121
Caprinula di Stefanoi, Kreide, Lago di Santa Croce . . . . . 1900 II 122
Caprolagus, Extremitäten 03 I 144
Capromeryx furcifer, Nebraska, Pleistocän 1904 I 297 04 II 313
Caprovis Savini, Mosbach 1900 II *60*
Captivos, Structur . . . BB XVI *392*
Capulus planus, Priabona-Schichten . . . . . 04 I 283
Caracolit, isomorph m. Herderit . . . . . CBl 1901 507
Caratomus londinianus, Nummulitenschichten, Egypten . . . . . 1901 II 484
— bültensis, circularis und tenuiporus, Kreide, Westfalen . . . . . 03 I 530
Carbide
— Bedeutung f. Geologie 01 II 7
— des Eisens u. Mangans, Krystallf. . 1904 I 6 CBl 1903 26
Carbon
— Ausdehnung d. Kohlenfelder . . . . . 01 II 268
— Allochthonie von Kohlenflötzen . . . 02 I 159
— Autochthonie von Kohlenflötzen . . . 02 I 156
— Crustaceen . . . . . 01 I 510
— fossile Wälder u. Vegetationsböden . . . . 03 II 305
— Glossopteris-Fauna, Charakter . . . . . 02 I 502
— Granitbarre zw. dem ocean. Triasmeer und dem europ. Triasbinnenmeer . . . . BB XX *466*
— Lethaea palaeozoica 01 I 109
— Pflanzen . . . . . 04 II 474
— — und deren Organisation . . . . . 1903 II 302 f.
— Vergleichung d. Floren 03 II 463
— Altai, Bryozoen des unteren . . . . . CBl 1902 409
— —, Flora v. Kusnezk 02 I 501
— Argentinien, Flora . 02 I 497
— Aspen Mining District, Colorado . . . . . 01 II 432
— Autun u. Epinac, Steinkohlenbecken, Flora . 02 II 164
— Bäreninsel . . . . . 01 II 259
— Balia Maaden, Kleinasien, anthracolith. Fauna . . . . . 02 I 114
— Belgien, Alter des Kohlenkalks . . . . 03 II 110
— —, Charleroi u. Basse Sambre . . . . . 01 II 271
— —. Kohlenkalk . . . 01 II 443
— —, Wahrscheinlichkeit von Kohlenlagern nördl. Lüttich . . . 01 II 268
— Blanzy, Pflanzen . . 03 I 358
— Briançonnais, Intrusivmassen . . . . . 03 I 67
— Bristol-District, Eruptivgest. d. Kohlenkalks CBl 1904 59

Carbon
— Bruay (Pas-de-Calais) CBl 1904 310
— Centralrussland, Eisenerzlager . . . . . 1901 II 407
— China, Kohlenfelder d. nordöstl. . . . . 04 II 79
— Commentry, Arachniden . . . . . CBl 1902 212
— —, Insecten . . . . 04 I 310
— Congleton Edge, Melaphyreruption . . . . 01 II 118
— Derbyshire, Quarzgestein zw. Bergkalkschichten . . . . . 1900 I 232
— Deutschland, florist. Gliederung . . . . . 02 I 322
— Dolhain, Schichten m. Spiriferina octoplicata 01 II 442
— Donetzbecken, Flora 02 I 321
— Dortmund, Kalkspath CBl 1901 *494*
— Ebersdorf (Schlesien), Culm . . . . . 03 II 108
— Edinburgh district, Fische . . . . . 04 I 460
— Elsass-Lothringen, Kohlenablagerungen 03 II 385
— England . . . . . CBl 1901 537
— —, Edestus in den Coal-Measures . . . CBl 1904 57
— —, Eintheilung nach Pflanzen . . . . . 01 I 517
— —, Fische d. Millstone Grit . . . . . 02 II 482
— —, Liegendes d. Millstone-Grit . . . . . CBl 1901 316
— —, Reef Knolls d. unt. 03 II 50
— —, Structur gewisser Concretionen in den Coal Measures (Coal balls) . . . . . CBl 1902 153
— Europa, Eintheilung 1900 I 113
— Fifeshire, Fische des unteren . . . . . 04 I 306
— Frankreich, eingewurzelte Farne . . 1903 II 153. 155
— —, m. Palechiniden im nördlichen . . . 01 I 460
— —, Salzwasser im Carbon des nördlichen 03 II 392
— —, Flora des Westphalien . . . . . 01 I 523
— Glätzisch-Falkenberg (Schlesien), structurbietende Pflanzen der Culmkalke . . . . . 04 I 308
— Harz, Culm 1900 I 429 01 II 439
— Harz und Magdeburg, Flora . . . . . 1901 II 495
— Hennegau, Placard-Schichten, Mariemont 01 II 442
— Heraclea, Kleinasien, Kohlenbecken . . . 01 II 441
— —, —, Pflanzen . . 03 I 173
— Herstal, Belgien (Bonne Espérance), Vertheilung d. Pflanzen . . 02 I 112
— Illinois, terrestr. Arthropoden . . . . . 04 I 311
— Ireland, Orthoceratidae 01 I 511
— Kansas und Missouri, Bryozoen . . . . . 01 II 157
— — und Nebraska . . 01 I 460
— Karnische Alpen und Karawanken, Brachiopoden der Trogkofelschichten . . . . . 01 II 118
— Kaschmir, Alter der Gondwana-Schichten CBl 1904 *129*
— — und Spiti, anthracolithische Fossilien 02 I 263
— Kellerwald, Culm . . 03 I 470
— Kleinasien, Flora . . 01 II 441
1902 I 496 03 I 173
— Laach, Lothringen . 03 I 475
— Landeshut in Schl., Erweiterung des Gebiets des productiven CBl 1904 *403*
— Leschnitz (Schlesien) 03 II 109
— Mâcon . . . . . 04 II 478
— Mazon creek, Fische 1903 II 442 1904 I 140. 141
— Mississippi-Thal, Bildungszeiten . . . . 02 II 369
— Missouri, unter Coal measures, Pflanzen . . 01 II 485
— Mitteleuropa, Leitpflanzen d. Steinkohlenablagerungen . . CBl 1900 25
— Neu-Schottland, Sidney Coal Field, Cape Breton . . . . . 02 I 114
— Neustadt-Magdeburg, Fauna d. unteren . . 01 I 483
— Neu-Süd-Wales, Pflanzen . . . . . CBl 1901 728
— Noeux (Pas de Calais), Conglomeratbank i. d. Steinkohlenschichten 03 II 109
— Nordamerika, Centralweststaaten, Fischfauna . . . . . 04 I 140

Carbon
— Oberharz, Culm 1900 I 429 1901 II 439
— Oberschlesien, Gliederung d. Steinkohlengebirges . . . . . 03 II 107
— — marine Fauna im Steinkohlengebirge . 03 II 109
— Oheim-Grubenfeld, Profil . . . . . 02 I 157
— Ohio, Central-, . . . 02 I 439
— Olean quadrangle, New York . . . . . 03 I 118
— Ostasien . . . . . 1900 II 93
— Pará, Brasilien . . . 04 I 422
— Petschora, Flora . . 02 I 500
— Pilsener Becken . . CBl 1901 503
— Plainville, Mass., Fußspuren v. Batrachichnus plainvillensis . . 03 I 342
— Pottsville Formation, Pennsylvania, Reihenfolge d. foss. Floren 04 II 479
— Rampur-Kohlenfelder, Indien . . . . . 02 I 438
— Reichslande, Kohlenablagerungen . . . . 03 II 385
— Rhune und Ibantelly (Basses Pyrenées), Pflanzen . . . . . 03 I 357
— Rio Grande do Sul, Brasilien, Flora . . 02 I 497
— Rossbergmassiv, Südvogesen, Trilobiten d. unteren . . . . . 04 II 324
— Saalfeld, Pflanzen d. Unterculm . . . . . 04 I 317
— Sachsen (Provinz), jüngeres Steinkohlengebirge . . . . . 01 I 458
— —, — — und Rothliegendes . . . . . 04 I 470
— San Juan de las Abadesas, Steinkohlen . 03 II 389
— Schatzlar-Schwadowitzer Muldenflügel 02 I 262
— Schlesien, Trilobiten d. unteren . . . . . 03 I 336
— —, Culm v. Ebersdorf u. Leschnitz . . . . 03 II 108
— schles.-böhm. Grenze CBl 1900 *338*
— Shropshire, Coal measures . . . . . CBl 1901 152
— Stăncesti, Rumänien, Pflanzen . . . . . 1900 II 490
— Theux, Belgien . . 1903 II 95—97
Carbon
— Thüringen, Pflanzen d. Culm-Dachschiefers 1904 I 320
— Tkwartschali, Kaukasus, Kohlenflötze . 03 II 389
— Tournay, Fauna der Kalkschiefer . . . . 02 I 113
— Visé . . . . . CBl 1901 667
— —, Versteinerungen im Kohlenkalk . . . 01 II 456
— Vogesen . . . . . 01 II 422
— —, Echiniden d. Rossberg-Massivs . . . . 01 II 158
— Wales, Kohlenfelder d. südlichen . . . . 01 II 274
— Yorkshire, Fische d. Coal measures . . . 02 II 483
— —, Pflanzen . . . . 03 I 356
— —, Phillipsia cracoensis . . . . . 01 I 510
— —, Verbreitung der Rhadinichthys monensis . . . . . 02 I 309
— Zwickau, Kohlenform. und Rothlieg., Palaeontologie (Pflanzen) . 03 II 403
— —, palaeont. Charakter . . . . . 03 II 455
— siehe auch Permocarbon, Steinkohlenformation etc.
Carbonate
— aus Augit hervorgegangen, Sumatra . CBl 1903 *505*
— eutropische Beziehungen . . . . . 03 I *152*
— rhomboëdrische, Aetzfiguren . . . . . 02 II 347
Carbonatgesteine, körnige, Structur u. Entstehg. BB XIX *197*
Carcharodon orientalis, Palaeogen, südöstl. Russland . . . . . 01 I 265
Carcinodon, Puerco . . 1900 I 303
Cardiaster pseudoitalicus, ob. Kreide, Urmös, Siebenbürgen . . . . 01 I 469
— truncatus, Mastrichter Kreide . . . . . 01 II 162
Cardiensande, diluv., Elbing . . . . . BB XVI *89*
Cardinia lucinaeformis, Infralias, Vendée . . 04 II 430
Cardiniopsis jurensis, Bajocien, Espinazito-Pass, Argentinien . 1900 II 116

Cardiocaris . . . . . 1903 I 172
Cardiocarpus bicaudatus u. nervosus, Carbon, Schottland . . . . . 01 I 523
Cardiola Lehmanni, Devon, Nowaja Semlja 1900 I 272
— pectinata, Unterdevon BB XVII *45*
Cardiolucina Agassizi, Tertiär, Piemont und Ligurien . . . . . 02 II 309
Cardiopteris Loretzii, Culm-Dachschiefer, Thüringen . . . . . 04 I 320
Cardita Baziniformis, Priabona-Schichten . 04 I 283
— Burmeisteri und Iheringi, Roca, Argent. 04 I 433
— cancellata, Kalk, England . . . . . 01 I 280
— diformis u. tubulicosta, Egypten, Eocän . . 04 II 459
— palaeopatagonica, Kreide, Pico Salamanca, Argent. . . 04 II 287
— paranensis, Paraná-Stufe . . . . . BB XIV *201*
Cardita Jouanneti-Horizont, Forabosco (Asolo), Fossilliste . . . . . 01 II 129
Cardium acuticostatum australe, australinum, Diazi, diminutum, hualpense, obliquatum, obtusangulatum, pencanum, subangulatum u. vicentinum, Quiriquina-Schicht., Chile BB XVIII *232*
— Andrusowi u. scyloticum, Sch. m. Venus konkensis a. d. Konka 1900 II 123
— Böhmi, Kreide, Tölz 02 I 117
— bonariense und magnum, Paraná-Stufe . BB XIV *202*
— Bronnii, Egypten, Eocän . . . . . 04 II 459
— Browni, Kreide, Südaustralien . . . . . 04 I 119
— Chartroni, Infralias, Vendée . . . . . 04 II 430
— Costae, Cenoman, Galatina . . . . . 04 I 120
— Duboisi und cfr. fragilis, Mediterranschichten, Tomakowka 04 II 121
— Fantappiei, Pliocän Viterbo . . . . . 04 I 289
Cardium haeringense, Unt.-Olig., Häring . . . 1904 II 116
— Laboricum, Miocän, Mti. Livornesi . . . 04 I 288
— Lepplai, Untersenon, Braunschweig und Ilsede . . . . . 02 I 128
— subsociale, Pliocän, Egypten 1902 II 106 CBl 1900 *213*
— Tommasii, Bath-Stufe, Sardinien . . . . . 04 II 285
— turoniense, Chalk, England . . . . . 01 I 280
Carinaria mirabilis, Eocän, Loire inférieure 03 I 128
Carinocarcinus Zitteli, Kressenberg . . . . 1900 II 148
Carnallit, Entstehung a. Meerwasser . . . . 01 I 7. 13
— spec. Gew. u. Bildung aus d. Componenten CBl 1904 *234*
— Vorkommen in Kalisalzlagern . . . . . 04 I 332
— grosse Krystalle, Beienrode . . . . . 02 II 13
Carnassidentata, Eocän, Marsh Collection . . 04 I 446
Carneol, Nordamerika . 01 I 33
Carnidia, Trias, Bakonywald . . . . . 02 I 314
Carnivora placentalia, Gebiss . . . . . 03 I 140
— Eocän, Marsh Collection . . . . . 04 I 446
— Quartär, Algier . . 01 I 148
Carnotit
— Radioactivität . . . CBl 1904 *207*
— Colorado . . . . . 01 II 357
— Montrose, Col. . . . 1900 I 17
— Nordamerika, Prod. 1902 . . . . . 04 II 31
Carolina, Nord-, Mineralien . . . . . 1900 I 32
Carolozittelia — Pyrotherium-Reihe, Entwickelung d. Proboscidier 04 II 464
Carpoideen, neue Pelmatozoen-Classe . . . 03 I 533
Carpolithes drupaceus, böhm. Mittelgeb. . . 1900 II 329
— minimus, Rothliegendes, Ilfeld . . . . . CBl 1901 *423*
Carrara, Marmor . . . BB XIX *271*
Carrarischer Marmor, Mineralien . . . . . 01 I 30
Caryocrinidae . . . . . 01 I 321

Caryophyllia Arnoldi, pleistocän, Japan . . . 1901 II 326
— Dalli u. texana, Palaeogen, Nordamerika 04 I 468
— Jasmundi, ob. Kreide, lib. Wüste . . . . . 03 I 509
— Oppeli, Nesselsdorfer Schichten, Stramberg 03 II 419
Caryosmilia granosa, ob. Kreide, lib. Wüste . 03 I 509
Casanna-Schichten, Petrographie . . . . 03 I 65
Casanna-Schiefer
— Davos . . . . . 01 II 94
— östl Rhätikon . . . 1900 I *125*
Casentino-(Arno-)Thal, Tektonik . . . . . 04 II 420
Cassianastrea quinqueseptata, Sturia-Kalk, Recoaro und Schio . 1900 II 433
Cassianer Kalk, Basisschichten von Idria und Gereuth . . . . 01 II *28*
— Zone, obere, Südtirol 03 I 123
Cassidulina globosa, Bryozoenhorizont, Priabona 01 I *125*
Cassis preangerensis, rembangensis u. tegalensis, Tertiär, Java . . 1900 II 289
Cassiterit, siehe Zinnstein.
Castlemain-Serie, Ordovician, Victoria, Australien . . . . . 1900 II 430
Catadoxides magnificus, Cambrium, Neufundland . . . . . 01 I 162
Catalogue of the types and figured specimens in the palaeontological collection of the Geological Department of the American Museum of Natural History . . . . . CBl 1902 750
Catalonien
— Kreide (Barrême) . . 1900 I 283
— Senon (Hippuritenschichten) . . . . . 02 I 453
Cathaica, Quartär, Central und Ost-Asien . 03 I 542
Catopygu Fraasi, Kreide, Libanon . . . . . 03 II 454
— Rouvillei, Kreide . . 01 II 321
Catria-Massiv, Centralappennin, angelagertes Tertiär . . . . . 01 II 128
Caturus Woodwardi, Kimmeridge, Fumel (Lot-et-Garonne) . . . . . 1904 I 281
Cavolinia Audeninoi, Miocän, Bologna . . . 1900 II 480
Cavoscala fasciata, ob. Kreide, lib. Wüste . 03 I 510
Cayugan, Silur, New York 1901 II 265 03 II 261
Cea tuberculata, Cenoman. Janières (Sarthe) 1900 II 159
Ceará, Brasilien, Geol. und Oberfläche . . . 03 II 250
Cebochoerus minor, Gebiss 02 II 469
Cedrelophyllum antiqua, Tert., Australien . . 04 I 156
Ceideen, Tours, Ovicellen 01 II 157
Čejkovice u. Čejc, unt. Marchthal, Neogenkalke . . . . . 1900 I 292
Celastrus Engelhardtii, böhm. Mittelgeb. . . 1900 II 329
Celebes
— geograph.-geolog. Beschreibung . . . . . 02 II 426
— geolog. Geschichte auf Grund der Thierverbreitung . . . . . 02 II 424
— Gesteine . . . . . 03 I 424
— Minahassa, Geol. 1901 II 262. 392
Celsian, Jakobsberg kryst. u. optisch . . 04 II 175
Celyphia submarginata, Trias, Bakony . . . 02 I 492
Cementit im Eisen . . 01 II 10
Cenoman (siehe auch Kreide)
— Boulonnais, Pycnodonten . . . . . 02 II 303
— Diego Suarez, Madagascar . . . . . 02 I 280
— Honiton . . . . . 01 II 278
— Labergebirge b. Oberammergau . . . . . 1900 II 415
— rumän. Karpathen . 1900 II 286
— Schwarzraingraben b. Ohlstadt . . . . . 1900 II 285
Cenomane Transgression 03 II 407
Cenomanscholle im Neocom, Cressier b. Neuchâtel . . . . . 01 I 443
Centralappennin, Lias-Ammoniten . . . . 01 I 165
Centralasien, Geologie . 02 I 105
Centralgneiss
— Alpen . . . . . CBl 1902 *197*
— Hohe Tauern . . . 04 II 84

Centraljemtländer Eisseè 1900 I 454
Centralplateau (Frankreich), geol. Excursion 1900 . . . . . CBl 1900 *305*
Centrogene Sphärolithe 04 I 378
Centrogonia Cureti, Urgonkalk, Oregon . . . 02. I 313
Cephalaspis Carteri, Looe, Cornwall, unt. Devon . 03 II 444
— lornensis, Old Red, Schottland . . . . . 01 I 504
Cephalograptus . . . . 01 I 334
Cephalomyidae, Pyrotherium-Schichten, Argentinien . . . . . 1900 II 304
Cephalomys arcidens u. plexus, Pyrotherium-Schichten, Argentinien 1900 II 304
Cephalopoden
— d. Brit. Museums . . 1900 I 141
— Haftmuskel . . . . 1900 I 475
— österr.-schles. Unterkreide . . . . . 03 II 296
— südind. Kreide . . . 1900 I 441
— u. Gastropoden, oberpalaeoz., Bachmut, Donetz . . . . . 01 I 309
Cephalopodensuiten, Trias der Südalpen . . . 01 II *23*
Cephalopterus = Thelodus 01 I 505
Cephalotheca affinis, major u. mirabilis, Devon, Bäreninsel . . . . . 04 II 476
Cerargyrit siehe Chlorsilber.
Cerargyritgruppe 1903 I 373 CBl 1902 186
— siehe auch Chlorsilber etc.
Ceraterpeton . . . . . 03 I *109*
— Galvani, Coal measures, Castlecomer, Irel. . . 1900 I 312
Ceratiocaris inaequalis, Obersilur, in Phosphoritknollen, Vogtland . . . . . BB XV *18*
Ceratiten, nodose, Sardinien, Vicentin etc., u. Beziehungen zw. deutschen und mediterranen CBl 1901 *385. 551. 740*
Ceratitenformation, Salt Range, Ostindien . BB XIV *401*
Ceratitenschichten
— Salt Range . . . . CBl 1901 *109*
— —, Alter . . . . BB XVIII *531*
— —, Verhältniss zu Productus-Kalk . . . . . CBl 1904 *321*
Ceratites Münsteri, deutscher Muschelkalk . . CBl 1900 *93*
— —, Trias, Vicentin . CBl 1901 *396*
— semipartitus mit Placunopsis ostracina . 1902 II 484
— subnodosus, Neubezeichnung . . . . . CBl 1900 *92*
— — var. romanicus im Nodosenkalk, Dobrudscha . . . . . 1900 I *173*
— subrobustus, Muschelkalk . . . . CBl 1901 *391. 557*
— Tornquisti . . . . . CBl 1901 *554*
Ceratodes, siehe Ampullaria 02 I 484
Ceratodus Kannemeyeri, Süd-Afrika . . . . . 1900 I 311
Ceratogaulus rhinoceros, Amerika, Tertiär . . 04 I 301
Ceratorhinae (C. platyrhinus, sansaniensis, Schleiermacheri, simorrensis, steinheimensis) . . . . . 03 I 558
Ceratotrochus Amphitrites, Gosauschichten, Ostalpen . . . . . 04 II 154
— duodecimcostatus var. trigona, Neogen, Italien (Parma) . . . . 02 I 154
Cercomya Matheyi, ob. Oxford., Bern. Jura . 03 I 323
— punctata, Jura, Yellowstone Nat. Park 02 I 129
— schoensis, Jura, Schoa 1900 I 439
— semiradiata, Kreide, Königin Charlotte-Sund . . . . . 02 I 292
Ceriopora multiformis, Kreide, Abu Roasch, Egypten . . . . . 04 I 270
— pannonica, Trias, Bakony . . . . . 02 I 154
Cerit, zersetzt d. H_2S-Gas 01 I 172
Ceritella Blankenhorni u. margaritata, Kreide, Libanon . . . . . 02 I 312
— (Fibula) Lavillei und Schlumbergeri, Jura, Frankreich . . . . . 1900 II 153
Cerithiella, Jura, Frankreich . . . . . 1900 II 153
— Welschi, Infralias, Vendée . . . . . 04 II 114
Cerithiidae, Jura, England 01 I 512
Cerithioderma Fortini Cenom., Frankreich . 1900 II 286

Cerithium abbas, Jura, England . . . . . 1901 I 512
— acuminatum u. cukense, Unterlias, Serbien . 01 I 467
— appulum, lyciense u. messapicum, Cenoman, Galatina . . . . . 04 I 120
— Capuletti u. Mathildae, Oligocän, venet. Voralpen . . . . . 01 II 282
— chlomekense, Chlomeker Schichten, böhm. Kreide . . . 1900 I 440
— contortum, Jura, Borneo 01 I 488
— Cureti, Turon, Frankreich . . . . . 1900 II 286
— Elias u. intercalatum, Kreide, Karmel . . 02 I 313
— Girardoti, Z. d. Amm. Renggeri, Lons-le-Saunier . . . . . 02 I 293
— Griepenkerli, subimbricatum u. Damesi, Untersenon, Braunschweig u. Ilsede . . 02 I 128
— Josefinae, Tegel, Gross-Florian . . . . . 02 I 472
— Paronai, Kreide, Aquilaner Abruzzen . . . 04 I 98
— pustuliferum, Bajocien, Espinazito-Pass . . 1900 II 116
— rhaphidoides, Eocän, Loire inférieure . . 03 I 128
— semen (Semivertagus), Priabona-Schichten . 04 I 283
— stellense, Eocän, Tarcento, Friaul . . . 03 I 480
— tjilonganense, sucaradjanum, preangerense, Fennemai, talahabense. Noetlingi, parungpontengense, gedinganense, karangense, djampangtengahense, Tertiär, Java . . . . . 1900 II 289
Cerithiumkalk, Geschiebe im norddeutschen Diluvium . . . . . 02 I 451
Ceritmineral, Batum-Gebiet . . . . . 03 II 191
Ceroniola australis, Quiriquina-Schichten, Chile BB XVIII *249*
Cerussit, siehe Weissbleierz.
Cervantit, Cetine di Cotorniano, Toscana . 1903 I 184
Cervavus Rütimeyeri und speciosus, Tert., China CBl 1902 *534*
Cerviden, Geweihbildung 03 II 423
— Nordamerika, Tertiär 04 II 313
Cervus, quartär, Algier 01 II 146
— Cazioti, Nonza, Corsica 1900 II 463
— elaphus, Mosbach, interglacial . . . . 1900 II *56*
— euryceros, Gegend v. Frankfurt a. M. . . 02 I 302
— percultus und tuberculatus, Tarija-Thal, Argentinien . . . . 04 I 290
Cetine di Cotorniano, Toscana, Antimonerzlagerstätte . . . . . 03 I 184
Ceylanit
— verwachsen m. Eisenglanz (Titaneisen) BB XVI *344*
— Fassa-Thal, Anal. . CBl 1902 146
— Pearl, Larimer Co., Colorado . . . . . 04 II 408
— Pisek . . . . . 01 II 202
— Unter-Lhota, Böhmen 01 II 203
Ceylon
— Geol. von Südcentral- 1903 I 78 CBl 1901 182
— Gesteine, Korund u. Graphit 1902 I 74 CBl 1900 104
— Graphit u. Gesteine CBl 1900 104
— Kaolinlager . . . . BB XV *291*
— kryst. Kalke, Entstehung . . . . . 04 II 54
— — — u. Schiefer 1904 I 380. 384 CBl 1902 474
Chabasit
— Einwirkung von Salmiak . . 1903 I 394 1904 II 6
— Wassergehalt . . . 01 I 22
— Aarmassiv, in Biotitprotogindrusen . . BB XIV *87 ff.*
— Agordo . . . . . 03 I 203
— Fellberg b. Stettenhof, Mähren . . . . . 04 I 31
— Golden, Col. . . . . 01 II 197
— Marschendorf, Mähren 03 I 199
— Predazzo . . . . . 04 I 175
— Sardinien u. Striegau, chemisch . . . . . 01 II 356
— Wachendorf, Mähren 01 I 200
— Wermsdorf, Mähren 03 I 199
Chaenocardiola areolata, poln. Mittelgeb., Oberdevon . . . . . BB XIII *360*

Chaetodon Hoeferi, Miocän, Tüffer, Steiermark . . . . . 1901 I 308
Chalcedon
— Belgien, im Kohlenkalk . . . . . 01 II 351
— Bory, Mähren . . . CBl 1904 *357*
— Californien, Gerölle 1903 II 40 CBl 1902 *404*
— Nordamerika . . . . 01 I 33
Chalcolamprit, südl. Grönland, im Syenit . . 02 I 36
Chalcophyllit
— Cornwall (?), Anal. . 01 I 201
— Schmiedeberg (Erzgebirge) . . . . . CBl 1902 442
Chalicotheroidea . . . . 01 II 300
Chalk, England, Bivalven 01 I 280
Chalkopyrit, siehe Kupferkies.
Challonges u. Pyrimont (Savoyen), Säugethiere d. aquitan. Asphaltlager 1901 I 146 04 I 443
Chalmasia . . . . . 1900 I 159
Chalmersit, Morro Velho, Minas Geraës, Brasilien . . . . . CBl 1902 *69. 207*
Chalypit . . . . . 01 II 8
Chama pulchra, Kreide, Dänemark . . . . . 02 II 434
— subsquamosa, Priabona-Schichten . . . 04 I 283
Chamosit, Thüringen . . BB XIX *40*
Champlainic, New York, Gliederung . . . . . 01 II 265
Champorcher Thal, Graische Alpe, Geol. . . 1900 II 265
Champsodelphis, Wiener Becken . . . . . 03 II 135
Chapman sandstone-Fauna, Nord-Amerika . . . 01 II 117
Charactophyllum, New York, Unterdevon . . . . 03 I 483
Charakter der Doppelbrechung, Bestimmung CBl 1901 *653*
Chargeh-Oase, Geologie. 02 I 259
Charleroi, Carbon . . . 01 II 271
Charnokit, Ceylon . . . 04 I 380
Chartronia, engl. Unterool. 1900 I 315
— binodata, engl. Unterool. 1900 I 315
— digoniata, Infralias, Vendée . . . . . 04 II 115
Chasellas-Trinkquelle, Oberengadin . . . . 02 II 415
Châtel-St. Denis, Ammoniten d. unt. Kreide 1903 I 333
Chatham-Inseln, Neu-Seeland, Gesteine . . . 08 I 255
Chautauquan, Devon, New York . . . . . 01 II 266
Chauvinismus in der Wissenschaft . . . . CBl 1903 *264*
Cheddar-Schlucht, Mendip Hills, zickzackförm. Verlauf . . . . . 04 II 45
Cheiloceratitidae, Devon 03 II 146
Cheiropyge, Permocarbon, Tschititschun, Thibet 01 I 275
Cheiruridae, genet. Bez. 1900 II 472
Chelonier, Tert., Mainzer Becken . . . . . 03 II 141
Chelydra argillarum, böhm. Braunkohlenformation 1901 I 143 1904 I 286
Chemische Classification d. hessischen Eruptivgesteine . . . . . 03 II *33*
— Untersuchung v. Silicatgesteinen . . . . 03 II 367
— Verbindungen, Kryst. 01 II *105*
— Zusammensetzung, Beziehung zu Krystallform . . . . . 04 I 323
— — v. Mineralien, Beziehung zu Schmelzpunkten . . . . . 04 II 165
Chemismus d. Mineralien und Gesteine, graph. Darstellung . . . . 01 II 53
Chemnitz, Araucaritenholz aus dem Rothliegenden und Verkieselungsprocess . . 02 II 491
Chemnitzia Blezingeri, ob. Muschelk., Süddeutschland . . . . 02 I 143
— kieslingswaldensis, Chlomeker Schichten, Kreide, Böhmen . . 1900 I 440
Chemungsandstein, New York, Thecoideen . . 03 I 172
Chemungschicht, New York, Versteinerungen 1903 I 120. 172
Chenopus? fenestratus, Quiriquina-Schichten, Chile . . . . . BB XVIII *204*
— uttingerianus u. pespelecani, Pliocän, Italien . . . . . 1900 II 479

Chester-Amphibolit und -Serpentin, U.-Silur, Massachusetts . . . 1900 II 87
Chesterville, S.-Carolina, Meteoreisen . . . . 1900 I 353
Chiastolith
— Verwachsungen . . 01 II 336
— Nordamerika, Vorkommen, Edelstein . CBl 1902 407
Chiastolithähnl. Krystalle, Old Hampshire Co. . 01 I 36
Chiastolithschiefer, Columbia . . . . . 03 II 207
Chibinit, Kola . . . . . 02 II 378
Chideru-Gruppe, Skythische Stufe, Salt Range . . BB XIV *449*
Chiemgauer Alpen, Lias und Dogger . . . . CBl 1901 *719*
Chile
— Cordillere, Geol. . . CBl 1901 207
— Gesteine des nördlichen . . . . . 01 I 414
— Grenze gegen Argentinien . . . . . 1900 I 432
— mesozoische Fossilien 01 I 484
— Quiriquina-Schichten unt. Kreide . . . . BB XVIII *181* BB XVII *286*
Chillington, Staffordshire, Fährten v. Rhynchosaurus im Keuper . . 03 I 158
Chiloceras, poln. Mittelgeb., Oberdevon . . BB XIII *343*
— lagowiense, poln. Mittelgeb., Oberdevon . BB XIII *343*
Chilodontoidea oolitica, Jura, England . . . 01 I 515
Chimäriden, Eier und Zähne, Jura . . . . BB XIV *540*
China
— Erzreichthum . . . 02 II 83
— fossile Säugethiere . CBl 1902 *529*
— Geol. d. inneren . . 02 I 105
— Kohlen u. Eisenerze d. östlichen . . . . 1900 I 84
— Kohlenlager v. Kueitschau, Devon. . . . CBl 1901 185
— kryst. Eruptivgest. d. östlichen . . . . . 01 I 405
— palaeoz. Foraminiferen . . . . . 1900 II 488
— Quecksilbererze . . . 1900 I 179
— Triasversteinerungen 1900 I *186*
Chinameca, Infiernillos . 1900 I 41
Chin-Division, Miocän, Birma . . . . . 02 II 122
Chirocrinidae . . . . . 01 I 319
Chiruartige Antilope, Schädel, Tibet . . . CBl 1901 665
Chitichun, Himalaya, Trias u. Perm . . . 1903 I 113
Chiton Pissaroi, Eocän, Loire inférieure . . 03 I 128
Chlamydoconchidae, tert. u. rec., Nordamerika u. Westindien . . . 1900 II 315
Chlamys . . . . . 02 I 317
— Kreide, England . . 03 II 299
— Chartroni, Infralias, Vendée . . . . . 04 II 430
— Clarae var. sublacensis, Nummulitenkalk, Subiaco . . . . . 01 II 320
— Meneghini u. Orsini, Miocän, Mittelitalien 01 II 320
— salamanca, Kreide, Pico Salamanca, Argentinien . . . . . 04 II 287
Chlomeker Schichten
— Böhmen, Kreide . . 1900 I 439
— —, Flora 1900 II 496 01 I 527
Chlorargyrit 1903 I 373 CBl 1902 186
— vergl. auch Chlorsilber.
Chlorastrolith, Lake Superior . . . . . 1900 II 30
Chlorblei, verwachsen m. Bleiglanz . . . . . BB XVI *362*
Chlorbromsilber, Sardinien . . . . . 1900 I 202
Chlorcaesium, Krystalle, eutrop. Beziehungen u. physikalische Eigenschaften . . . . BB XVIII *121 ff.*
Chlorcalcium, Salpetergebiet, Chile . . . . 01 I 364
Chlorhaltige Calciumalumosilicate . . . . . CBl 1904 *729*
Chlorit
— chemisch . . . . . CBl 1901 *631*
— verwachsen m. Dolomit . . . . . BB XVI *386*
— — — Glimmer . . . BB XVI *427*
— — — Magneteisen . BB XVI *368*
— Aarmassiv in Biotitprotogindrusen . . BB XIV *62 ff.*
— Acherwiese, Fichtelgebirge . . . . . 1900 II 359
— Aj-Fluss bei Slatoust 02 II 351
— Bogoslowsk'sches Bergrevier, Ural (Pennin) . . . . . 1900 I 344
— Brusson, Piemont, im Grünschiefer . . . . CBl 1901 *304*

Chlorit
— Ciorari etc., Piemont (Klinochlor) . . . CBl 1903 *81 ff.*
— Grönland . . . . . 1900 I 347
— Jordansmühl, Anal. . CBl 1902 *388*
— Oberpfalz . . . . . CBl 1904 *584*
— Portugal. im Staubfall vom Januar 1902 CBl 1902 *258*
— Slatoust, chem. . . . CBl 1901 215
— Veltlin im Pegmatit 1900 II 363
— pseud. n. Bergleder . 1900 I 19
— — Biotit . . . . . 1900 I 19
— — Granat . . . . . 1900 I 18
Chloritgruppe . . . . . CBl 1901 *627*
Chloritgeschiebe bei Bublitz, Pommern . . . 1900 I 65
Chloritmineral d. Phyllite u. Thonschiefer . CBl 1901 *627*
Chloritoid
— Ain Oudrer, Algier, in metam. Schiefern 1900 I 400
— Kincardineshire . . 1900 I 231
Chloritschiefer
— Umschmelzungsproducte . . . . . BB XIX *161*
— Umschmelzen m. $CaCl_2$ u. KF . . . . . BB XIX *164*
— Hrubschütz (Mähren) BB XIX *161*
— Nordgriechenland u. türk. Grenzländer . BB XVIII *40*
Chlorit-Sericitschiefer, Délul Cetátyei Neamtz, Rumänien . . . . . 1900 II 394
Chlorkalium
— kryst. und eutrop. Beziehungen, phys. Eigenschaften . BB XVIII *119 ff.*
— verwachsen m. Glimmer . . . . . BB XVI *368*
Chlornatrium- u. Chlorkaliumlösung, bei 25° gesättigt, Beziehungen 02 II 5
Chloromelanit
— Dispersion 1903 I 382 04 II 23
— Pfahlbauten u. Rohmaterial . . . . . BB XVI *166*
— Černikal im österr. Küstenland, Beil. . . 02 I 352
— Guatemala, verarbeitet CBl 1904 *75*
— ligur. Appennin . . 02 I 408
— Riparo sotto Roccia, Val di Susa, Artefacte 03 I 25
— Vayes, Val di Susa, Steinwerkzeuge . . . 03 II 370
— siehe auch Jadeit.
Chloropal, Jamnitz, Mähren . . . . . 1901 I 353
Chlorophaëit, Casal Brunori b. Rom . . . . CBl 1901 *399*
Chlorrubidium, kryst. u. eutrop. Beziehungen, phys. Eigensch. BB XVIII *121 ff.*
Chlorsaures Natrium, Wachsthum u. Eigenschaften der Krystalle 01 I 171
Chlorsilber . . . . . CBl 1902 186
— verw. m. Jodsilber . BB XVI 351
— Kotschkar, Ural . . 01 I 80
— siehe auch Cerargyrit.
Choeromorus, Gebiss . . 02 II 465
Choeropotamus, Gebiss . 02 II 465
Choerotherium, Gebiss . 02 II 465
Choffatia bajocensis und faunus . . . . . 1900 II 313
Chondren, meteorit. . . 1900 I 359
Chondrit . . . . . 1900 II 205
— siehe auch Meteoriten und Meteorsteine.
— Allegan, Mich., mit Kügelchen . . . . . 01 II 38
— Lançon . . . . . 02 I 368
— Oakley, Kansas . . 01 II 39
— Structur u. Entstehung . . . . . 1900 II 205
Chondrites . . . . . 1900 I 157
— Moldavae, böhm. Obersilur . . . . . 1900 I *129*
— Zuzlawitz, Böhmerwald, im Kalk und Gneiss . . . . . 04 I 53
Chondritische Meteorsteine, Structur und Entstehung . . . . CBl 1901 *641*
Chondrodonta . . . . . 04 I 151
— glabra, Kreide . . . 04 I 151
— Joannae (Ostrea), Schiosi-Schicht., Görz, Istrien, Dalmatien u. Hercegovina . . . . 04 I 149
— Joannae u. Munsoni, istro-dalmatin. Rudistenkalk . . . . . 04 I 149
Chonella congregata und petagiata, Cenoman, Kuttenberg . . . . 04 II 156
Chonetes, Unterdevon, zw. Marburg u. Herborn . . . . . BB XVII *59*
— angustestriata, Spiriferenkalk, poln. Mittelgebirge . . . . . BB XIII *359*

Chriacidae
— Beziehung zu Primaten . 1901 II 467 1902 I 301
— Puerco . . . . 1900 I 301. 302
Chriacus, Puerco . . . 1900 I 302
Christiania
— geologische Karte . 1900 I 423
— Silur, Etage 5 . . . 02 I 111
Christianiagebiet
— Heimath der meisten Diluv.-Geschiebe, Sylt 1901 I *104* 03 I *91*
— spät- u. postglaciale Niveauveränderungen (Molluskenfaunen) . 02 II 447
Christianiageschiebe, Geschiebe auf Sylt, Amrum und Helgoland 1901 I *104* 03 I *91*
Christiania-Silurgebiet, pseudoglacialeSchrammung . . . . . CBl 1900 *265*
Christmas-Island, Korallen, Foraminiferen u. Geologie . . 1903 II 99. 100. 101
Chromeisenstein
— Abscheidung aus bas. Eruptivgesteinen . . 03 I 83
— Entstehung in Magmen . . . . . 1900 II 386
— Löslichk. in H F . . CBl 1902 *648*
— Vork., Entstehung u. Zusammensetzung . 1900 II 177
— Bogoslowsk'sches Bergrevier . . . . . 1900 I 344
— Nordgriechenland u. türk. Grenzländer . BB XVIII *52*
— Rhodope-Gebirge, im Serpentin . . . . . 01 II 363
— Verein. Staaten, Prod. 1901 . . . . . 04 I 37
— Brauneisen pseudom. nach, Bogoslowsk . 1900 I 345
Chromglimmer, Schweizer Alpen . . . . . 1900 I 189
Chromsodalith, chemisch CBl 1904 *728*
Chromverbindungen, phys. Eigenschaften . . . 1900 I *168*
Chronologie, geologische 1900 I 265
Chrysoberyll
— Absorptionsspectrum b und c des Alexandrits 04 II 14
— u. Olivin, Beziehung zw. Molekularvol. und Zusammensetzung . 04 I 5
— Vork. im Granit . . 03 II 179
Chrysoberyll
— Ceylon 1902 I 166. 194 1904 I 15
— —, Zwilling . . . . 02 I 166
— — und Brasilien . . 02 I 195
— Marschendorf . . . . 03 II 339
— New York 1902 I 339 02 II 33
— Nordamerika . . . . 03 II 40
— Veltlin, im Pegmatit 1900 II 362. 363
— Zuzlawitz, Böhmerwald, im Aplit 1903 I 413 04 I 53
Chrysodomus Gageli, Untersenon, Braunschweig und Ilsede . 02 I 128
— Zitteli, ob. Kreide, lib. Wüste . . . . . 03 I 510
Chrysokolla
— Bena (de) Padru, Sard. 04 I 360
— Kuttenberg, a. Schlacken 03 II 339
— Mitterberg bei Kraubath, Steiermark . . 03 II 30
— Nordamerika, Edelstein Vorkommen . CBl 1902 405
— Pinal Co., Arizona . 04 I 361
— Rosas, Sardinien . . 1900 II 364
Chrysophrys Schoppi, mittelolig. Meeressande, Mainzer Becken . . 02 I 310
Chrysopras, Nordamerika 01 I 33
Chrysostoma insolitum, Oligocän, Venetianische Voralpen . . 01 II 282
Chrysotil, Amerika, Production . . . . . CBl 1902 431
— Bogoslowsk'sches Bergrevier . . . . . 1900 I 344
— Mähren . . . . . 03 II 339
— Malencothal . CBl 1902 *488. 491*
— Rhodopegebirge . . 01 II 363
— Zbešov, Mähren . . CBl 1904 *361*
— siehe auch Serpentinasbest.
Chrysotil-Asbest, Canada, Vorkommen und Gewinnung . . . . . 04 II 237
Chrysotil-Serpentin, Val Malenco . . . . . CBl 1902 *489*
Chuniola Carolinae, Miocän, Holstein . . . 04 I 466
Churchill-Arkose, Hudsons Bay-Länder . . 01 I 267
Churchill River geg. Athabasca Lake, Can. . . 1900 I 258
Cicatrites Abichi, Kreide, Kaukasus . . . . . 01 I 472

Cichow, Mähren, Mineralien im Urkalk . . 1903 I 200
Cidaris, Stacheln . . . BB XIII *206*
— Börssum und Königslutter, Stachelabdruck in Feuerstein . . . 02 II 154
— aizyensis, chomeracensis, dagordaensis, julianensis, mauritanicus, Ortmanni, noyarezensis u. Pasquieri 03 II 454
— antarctica, patag. Formation . . . . . 02 I 295
— dagordaensis, Jura, Portugal . . . . . 03 II 454
— eliasensis u. Zumoffeni, Kreide, Libanon 03 II 454
— florescens u. fragilis, Helvétien, Piemont u. Ligurien . . . . . 03 II 453
— Leenhardti, Kreide . 01 II 321
— nesseldorfensis, Remesi u. Zetesi, Tithon, Nesseldorf (Mähren) . 03 II 454
— pseudopistillum . . . 1900 II 485
— Rohlfsi, ob. Kreide, lib. Wüste . . . . . 03 I 509
— Rossi, Priabona-Schichten . . . . . 04 I 283
Cilicien, Geologie . . . 03 I 291
Cima d'Asta, Geologie 1902 II 420 03 I 123
Cimbrische Fluth, Mecklenburg . . . . . 03 II 412
Cimini, Monti
— granat- u. vesuvianführ. Blöcke . . . . 1900 I 28
— Vulcane 1900 II 217 1904 II 216. 217
Ciminische Vulcane
— Beginn der Eruption 02 I 120
— Mineralien . . . . . 1900 I 363
Ciminit . . . . . 02 I 216
— Ciminer Gebirge, Anal. 1901 I 224 1904 II 216. 217
Ciminos . . . . . CBl 1903 697
Cimoliosaurus laramiensis, Jura, Wyoming . 03 I 343
Cimolit, Argentiera, Anal. 04 II 26
Cincinna andreana und Geyeri . . . . . 04 II 472
Cincinnatian, Silur, Albany 01 II 435
Cingoli (Macerata), Geol. 03 I 481
Cinnamomum personatum, Chlomeker, Schichten, Böhmen 1900 II 496 01 I 528
Cinulia australis, Kreide, Patagonien . . . . 1902 II 435
— chilensis, Quiriquina-Schichten, Chile . BB XVIII *218*
— costata, Kreide, Mt. Laurel, N. J. . . . . 01 II 300
Cionelasma, New York, Unterdevon . . . . 03 I 483
Ciply, Kreide-Echiniden 1900 I 480
Cipolline, Carrara . . . BB XIX *280*
Circe, Morphologie des Schlosses . . . . . BB XIII *170*
Circophyllia bovina, brentana u. vas, Priabona-Schichten . . . . . 04 I 283
Circularpolarisation, Hydrocinchonin-Sulfat . 02 I 2
Circum-mediterranes Faltensystem, Beziehung z. Geol. v. Sardinien 04 I 259
Cirrus gradatus u. varicosus, Jura, England 01 I 514
— Martucci, Z. d. Lioc. opalinum, Rossano in Calabrien . . . . . 1900 II 453
Citrin
— Färbung . . . . . 1900 II 343
— Nordamerika . . . . 01 I 33
CladiophlebisStewartiana, Tert., Ostgrönland . 02 II 324
Cladocora Johnstoni, Pliocän, östl. Nordamerika 01 II 327
Cladodus Girtyi, Carbon, Mazon Creek . . . . 03 II 442
— Neilsoni, Kohlenkalk, East Kilbride . . . 1900 I 465
— unicuspidatus, unteres Carbon, östl. Fifeshire . . . . . 04 I 307
Claenodon, syst. Stellung 03 II 432
— Puerco . . . . . 1900 I 303
Clanculus Tellinii, Eocän, Tarcento (Friaul) . . 03 I 480
Claosaurus, Laramie beds 03 II 286
— annectens, Reconstruction . . . . . 03 I 157
Clapsavon, Monte, karn. Alpen, Fauna der rothen und grauen Kalke . . . . . 01 II 134
Claraia, unt. Trias . . 02 II 308
Clarno-Formation, John Day Basin, Oregon . 04 I 418
Classification, chem., d. hessischen Eruptivgesteine . . . . . 03 II *33*

Classification, petrographische, der Erguss-, Eruptiv-, Gang-, Tiefengesteine etc., siehe Gesteine, Classification.
Clathrograptus . . . . 1901 I 336
Clathurella costicrenata u. karikalensis, Pliocän, Karikal . . . . 02 I 296
Clausthal, geol. Führer 1900 I 91
Clava b. Inverness, Thon m. marinen Mollusken 1900 II 448
Clavatula bituberculata, Nummulitenfauna, Egypten . . . . . 02 I 464
— Curognae, Priabona-Schichten . . . . . 04 I 283
— modesta u. Pellegrinii, Neogen, Vigoleno . . 02 I 295
— unisulcata, Pliocän, Karikal . . . . . 02 I 296
Clavulina budensis und communis, Bryozoenhorizont, Priabona . 01 I *117*
— Szaboi-Horizont, Priabona . . . . . 01 I *112*
Clemmys guntiana, bayr.-schwäb. Dinother.-Sand . . . . . 04 II 140
Clermont
— geol. Excursionen . CBl 1901 *293*
— mineralog. Unterricht a. d. Universität . . 1900 II 1
Cleveït, Moss, Radioactivität . . . . . CBl 1904 *207*
Cliftonit
— Toluca u. Magura . 02 I 366
— Youndegin, West-Australien . . . . . 1900 II 203
Climacograptiden
— Climacograptus . . . 01 I 333
— poln. Mittelgeb. . . BB XIII *332*
Clinohedrit, Franklin, N. J. . . . . 1900 I 186
Clipperton-Atoll, Südsee, phosphatisirt. Trachyt 1900 I 239
Clonograptus . . . . . 01 I 332
Clupea crenata (Meletta), Tert., Ales, Sardinien 02 I 308
— pontica, Apscheron . 03 II 296
Clusen, Querthäler, Entstehung . . . . . 1900 I 256
Clymenien, Devon . . . 03 II 144
Clymenienkalk, östl. Oberharz . . . . . 01 II 439
Clymeniidae, poln. Mittelgebirge, Oberdevon . BB XIII *351*
Clypeaster, Stacheln . . BB XIII *206*
— Depereti, Fakhryi, intermedius, subsinuatus u. Vasseli, Miocän, Egypten . . . . 1903 I 532
— Guentheri, Miocän, Urmi-See, Armenien 02 II 154
— Isseli, Tongrien, Piemont u. Ligurien . . 03 II 453
— Paronai u. Taramellii, Tertiär, Piemont . . 01 II 485
— priscus, Priabona-schichten . . . . . 04 I 283
Clypeaster-Sandstein, Pliocän, Egypten . . 02 II 107
Clypeus (Semiclypeus) pretiosus, Nummulitenschichten, Egypten . 01 II 484
Coaks, natürl., Sonora, Mexico . . . . . 02 I 247
Coal-balls
— Coal measures, Entstehung . . . . . 03 II 374
— — —, Structur . . CBl 1902 153
Coal measures
— — Missouri, Pflanzen d. unteren . . . . . 01 II 485
— — Shropshire . . . CBl 1901 152
— — Yorkshire, Fische 02 II 483
Coatepec-See, Bimsstein und Obsidian . . . . CBl 1903 *130*
Coblenzschichten zw. Marburg u. Herborn BB XVII *24. 68*
Coccodiscus, Upper Chalk, Coulsdon (Surrey) . . 02 II 155
Coccosphären, Organisation . . . . . 1900 I 487
Coccosteiden, Ohio, Cleveland shales u. Allgem. 03 I 339
Coccosteus, Bau u. Verwandtschaft . . . . 04 II 321
Coccyges, Osteologie . . 03 II 436
Cochlearites, Bau . . . 04 II 326
Codinella Generelli, Marmolatakalk . . . . 02 I 142
Codiopsis Hoheneggeri, Tithon, Nesselsdorf, Mähren . . . . . 03 II 454
— libanicus, Kreide, Libanon . . . . . 03 II 454
Codites . . . . . 1900 I 157
Codonophyton epiphyticum, Devon, Bäreninsel . . . . . 04 II 475

Coelacanthopsis curta, unteres Carbon, östl. Fifeshire . . . . . 1904 I 307
Coelacanthus, Brustflosse 02 I 309
— exiguus, Mazin Creek, Ill., Carbon . . . . 04 I 140
— lunzensis, Lunzer Schichten, Trias . . 02 II 483
Coelenteraten, palaeoz., Eintheilung . . . . 01 I 330
Cölestin
— Färbung . . . . . 1900 II 343
— künstl. Nachbildung . 04 II 187
— Polychroismus . . . 04 II 341
— Baltschiederthal, Wallis, im Triasdolomit . 1900 I *18*
— Bristol, Vorkommen 04 II 236
— Cà Bernardi, Kryst. 04 I 364
— Dschebel Kebbouch u. Dschebel Bezina, Tunis, Krystallformen . 03 II 334
— Feodosia . . . . . 02 II 264
— Harmony, New Jersey, im Sr-haltigen Kalk 02 I 360
— Kaukasus . . . . . 01 II 199
— Mähren . . . . . CBl 1904 *359*
— Marienstein b Tegernsee . . . . . 02 II 202
— Mentor, Salina Co, Kansas, Krystallf. . 02 II 205
— Naumburg, im Wellenkalk . . . . . CBl 1904 *116*
— Nicolai I.-Insel (Aralsee), Krystallformen 03 II 182
— Oulx, ob. Dora Riparia, im Gyps . . . 1900 I 28
— Wymore, Nebraska . 04 II 35
Coelocentrus Möllendorfi, Trias, China . . . . 1900 I *200*
Coeloceras annulatiforme, Rosso ammonitico . 01 I 468
— colubriforme, inaequiornatum, Lorioli und ?praecarium, Medolo, Brescia . . . . . 02 I 441
— subfibulatum, Jura, Japan . . . . . 04 II 325
Coelochrysalis Kittli, Z. d. Lioceras opalinum, Rossano in Calabrien 1900 II 453
Coelodonta Mercki (= hemitoechus), Parma . 01 I 151
Coelodus suprajurensis, Boulogne, ob. Jura . 04 I 303
Coelohelia Wagneriana, Paläogen . . . . . 04 I 469
Coelolepidae, Silur, Schottland . . . . . 1901 I 505
Coeloma vareolata, Kressenberg . . . . . 1900 II 148
Coeloptychium cfr. agaricoides, Kreide, Lenzennes . . . . . 02 I 495
Coelosmilia libyca, obere Kreide, lib. Wüste . 03 I 509
— Milneri, Eocän, Egypten . . . . . 01 II 163.
Coelosphaeridium, Silur 1902 II 156. 162
— excavatum u. wesenbergense, balt. Silur 02 II 160
Coelostylina algarvensis, gracilior u. tumida, Pereiros-Schichten, Jura, Portugal . . . 02 I 469
— biconica, Veszprémer Mergel, Trias, Bakony 02 II 306
— Chartroni, elatior, mamillata, mesaliaeformis u. paludinoides, Infralias, Vendée . . 04 II 115
— cf. conica, Trias, China 1900 I *202*
— rhenana u. signata, ob. Muschelk., Marlenheim . . . . . 02 I 143
Coelotus latus, Montien inf., Pariser Becken 02 II 303
Coenites polonica, poln. Mittelgebirge . . . BB XIII *358*
Coenograptus . . . . . 01 I 332
Coenothyris cuccensis u. Kraffti, Muschelkalk, Mte. Cucco, Friaul . 04 I 116
Coeruleit, Huanaco, Prov. Taltal, Chile . . . . 02 I 15
Coeymans limestone, Devon, New York . 1901 II 266. 457
Cohäsion, Beziehung zw. Capillarität und Krystallwachsthum . . . 03 II 161
Cohenit . . . . . 01 II 8
— zackige Stücke aus d. Cohenit-Reihe, Met.-Eisen d. Var. Magura 1900 II 201
— Cañon Diablo, Arizona . . . . . 02 I 365
Coimadai bei Adelaide, Geol. u. perm. Glacial 1900 II 108
Col di Tenda-Tunnel, Geologie . . . . . 03 I 277
Coldbrookian, Cambrium, Cap Breton . 1903 I 292 II 402

Colemanit
— Nordamerika . . . . 1904 II 18
— Süd-Californien, Krystalle . . . . . 03 II 171
Colhuapia Rösei, Tertiär, La Plata . . . . . 03 II 293
Colhuelia Frühi, Tertiär, La Plata . . . . . 03 II 293
Colima, Eruption 1903 . 04 II 381
Colina hemidictya, Eocän, Loire inférieure . . 03 I 128
Collina Meneghinii, Rosso ammonitico . . . . 01 I 468
Colloidale Lösungen . . 02 II 91
— Metalllösungen . . . 01 I 5
Colloide, Eigenschaften . 01 I 439
Collonia pilula, Turon, Frankreich . . . . . 1900 II 287
— plicicostata, Veszprémer Mergel, Trias, Bakonywald . . . . 02 II 306
Collyrites Loewinsoni, rostrata u. Warwarae, Jura, Kaukasus . . 1900 II 323
Colodon cingulatus, White River beds, Montana 03 II 426
Colorado
— Fauna d. Devon, Ouray limestone . . . . . 04 I 428
— Kaolinlagerstätten . BB XV *283*
— Telluride . . . . . 01 II 344
— tert. Säugethiere von Nordostcolorado . . 04 I 122
Coloradoit
— Californien . . . . 01 I 184
— Cripple Creek, Col. . 01 II 346
— West-Australien . . 04 I 9
Coloradostufe, Kreide, westl. Amerika . . . 02 I 118
Colpodon . . . . . 1900 II 458
Colpospermum inflexum und multinerve, Kohlenbecken, Autun und Epinac . . . . . 02 II 168
Colpospira . . . . . 02 II 149
Colubrella, Trias, Hallstatt 02 I 144
Columbella acuta, Paraná-Stufe . . . . . BB XIV *218*
— multicostata, Pliocän, Egypten . . . . . 02 II 107
Columbia
— Erze . . . . . 01 I 434
— Gesteine . . . . . 03 II 203
Columbia, britisch-, Geol. 02 I 430
— Praecambrium und Cambrium . . . . . 1900 II 292
Columbia-Lava, John Day Basin, Oregon . . . 1904 I 419
Columbit
— Black Hills, Wyoming 03 I 408
— Sonikedal b. Kragerö 1900 I *159*
— Tschoroch-Mündung, Batum-Gebiet . . . 03 II 191
Comasker Alpen, Geol. der südlichen . . . 04 II 244
Comba di Compare Robert, Piemont, Mineralien . . . . . 01 II 204
Comer See, Geologie . . CBl 1901 *737*
— Seebecken, Entstehung CBl 1902 *323*
Commendit, Behringsstrasse . . . . . 03 II 201
Compensationsdilatometer 01 II 168
Complication u. Harmonie CBl 1902 433
Complicationsgesetz und richtige Aufstellung der Krystalle . . . 03 II 1
Compsognathus, Organisation . . . . . BB XVI *476*
— longipes, vermuthlich Hautpanzer . . . . 01 I 157
Comptonit (Zeophyllit), Böhmen . . . . . 03 I 389
— böhm. Mittelgebirge 04 I 176
— Predazzo . . . . . 03 II 70
Conacodon, Puerco . . 1900 I 304
Conactaeon brachyteles u. macrospira, Jura, Frankreich . . . . . 1900 II 153
Concentrationsprocesse b. Bildung von Erzlagerstätten . . . . . 1900 II 244
Concentrationsstörungen beim Krystallwachsthum 1903 II 312 04 II 333
Conchidium hassiacum, Stringoceph.-Kalk, sö. Taunus . . . . . 1900 I 112
Conchiferen, Morphologie des Schlosses . . . . BB XIII *140*
— siehe Muscheln und Pelecypoden.
Conchiolin d. Molluskenschale . . . . . 03 I 162
Conchit in Muschelschalen 1901 I 347 02 II 348
CBl 1900 *139* CBl 1901 *134*
Conchodus hungaricus, Trias, Bakony . . . 03 I 171
Conchophyllum (?) dubium. jüng. Steinkohlengeb., Prov. Sachsen . . . 01 I 458

Concilium bibliographicum . . . . . CBl 1901 535
Concretionen
— aus $CaCO_3$ u. Pyrit, Coal measures, England, Entstehung . . 1903 II 374
— basische in Tiefengesteinen 1903 II 361 CBl 1901 698
— kalkige, im Schiefer, Kettle Point, Ontario 01 I 351
— Ottawa Co., Kansas 02 II 399
Condensor mit drehbarer Halbkugel . . . . . CBl 1903 *658*
Condiloceras Manciatii, Lias, Mte. de Cetona (Siena) . . . . . 03 I 301
Condylarthra
— Puerco . . . . . 1900 I 304
— Pyrotherium-Schichten, Argentinien . . . . 1900 II 300
Congeria Lörentheyi und Kochy, Nagy-Almas 01 II 319
— subcarinata, Tertiär, Rustschuk . . . . . 1900 I *34*
— Touzini, aquitanica, Neumayri, panticapaea, Tournouëri, oxyrrhyncha, homoplatoides, Rhodanica, labiata, Bittneri, byzantica, Wähneri, moravica, Sandbergeri, navicula, modiolopsis, digitifera, subrhomboidea, ? Stefani und ? Bosniaki, Eurasien 01 II 319
Congerien, foss. u. leb., Eurasien . . . . . 01 II 319
Congerienschichten, tert., Imola . . . . . 1900 II 440
Conglomerate
— Christiania, Rhombenporphyr- . . . . . 01 I 406
— im Gneiss, Boden in Sachsen . . . . . CBl 1903 *465*
Conglomeratschiefer, archäisch, Finnland . . 01 II 60
Congomündung, Versenkung . . . . . CBl 1901 316
Congostaat, Erzlagerstätten . . . . . 02 I 84
Congrès géologique international, Paris 1900 CBl 1900 *241*
Coniopteris cfr. arguta, mitteljurass. Sandstein, Ostsardinien . BB XX *158*
Coniopternium andinum, Pyrotherium-Schichten, Argentinien . . 1900 II 301
Connecticut, Granit . . 01 II 244
Conoclypeiden . . . . . 04 I 152
Conoclypeus Delanouei, lib. Stufe, Egypten 02 I 149
— Pignatari, Mioc., Calabrien 1901 II 483 04 I 152
— Sowerbyi, Nummulitenschichten, Egypten . . . . . 01 II 484
Conocoryphe, brit. Species 01 II 149
Conomitra hortensis, Priabona-Schichten . 04 I 283
Conorbis somniator, Priabona-Schichten . . . 04 I 284
Contact
— Ariège, am Granit mit Pegmatitgängen 1901 I 63 01 II 228
— —, am Lherzolith, Kalk m. Forsterit etc. 02 II 26
— Berdjausch a. d. Samara-SlatousterBahn, Granit und Kalk . . 01 II 69
— BrünnerEruptivmasse, Syenit und Kalk . . 01 II 387
— Ceylon, Granit . . . 02 I 76
— Debarštica, Bulgarien, Kalk mit Mineralien 01 II 362
— Erzgebirge, westliches, am Granit . . . . . 02 II 227
— GreatWhin, England, Schiefer m. Diabas . 1900 I 397
— Harz, Granit u. Porphyroide . . . . . BB XIV *28*
— Ligurien, westl., Diabas u. Serpentin . . 1900 I 218
— New Hampshire, Granit . . . . . 1900 II 73
— Pallet, Loire inférieure, Gabbro . . . 01 I 64
— Pjatigorsk, nrdl. Kaukasus, Liparitlakkolithen . . . . . 01 I 73
— Pyrenäen, Granit u. and. Gesteine 1901 I 63 01 II 228
— —, — u. Kalk mit Prehnit . . . . . 02 II 195
— —, Lherzolith u. Kalk mit Forsterit etc. . . 02 II 26
— Rongstock, Essexit . 1900 II 81
— Tasmanien, Diabas . 02 I 79
— Tunugdliarfik, Grönl. 1900 I 349

Contact
— Ulten-Iffinger Masse b. Meran, am Tonalit 1900 II 391
— Ural-Rapakiwi und mitteldev. Kalk . . 1900 I 389
Contactbildungen
— Cordierit 1902 II 54 CBl 1901 *369*
— Finisterre, m. Korund 1902 I 11 CBl 1901 183
— Tasmanien, am Diabas 02 I 79
— siehe auch Hornfels etc.
Contacteisenerzlagerstätten . . . . . 1900 II 245
Contactgesteine
— Eibenstock, am Granit 02 II 54
— Great Whin Sill, Engl., am Diabas . . . . . 1900 I 395
— Predazzo, Granathornfels . . . . . CBl 1904 *661*
Contactgoniometer, einfaches . . . . . 01 II 337
Contactkalk
— Ariège, mit Forsterit am Lherzolith . . . 02 II 26
— Pyrenäen, mit Prehnit am Granit . . . . . 02 II 195
Contactlagerstätten 1900 II 245 03 I 438
Contactmetamorphe Erzlagerstätten . . . . 04 II 231
— Marmore . . . . . BB XIX *308*
Contactmetamorphose . 04 II 50
— bei Entstehung des Marmors . . . . . BB XIX *197*
— chem. Vorgänge . . CBl 1903 *15*
— Substanzverlust des Nebengesteins . . . 03 II 61
— Berdjausch a. d. Samara-Slatoust-Bahn, Granit und Kalk . . 01 II 69
— Cornwall, nördl. . . 04 II 389
— Fichtelgebirge des Granits . . . . . CBl 1902 *162*
— Gaggio Montano, bologn. Appennin, am Gabbro . . . . . 1900 II 397
— Hennberg b. Weitisberga. am Granit . . CBl 1901 *368*
— Loch Awe-Gegend, Schottland . . . . . 1900 II 222
— Luganer See, Quarzporphyr und Gneiss 02 I 407
— Mähren, am Granit, rother Zoisit im Kalk CBl 1901 *689*
— Michigan, Mansfieldschiefer durch Diabas 01 I 238
Contactmetamorphose
— Monzoni . . . . . CBl 1901 *678*
— Nordböhmen . . . . 1903 I 411
— —, d. jungen Eruptivgesteine . . . . . CBl 1901 503
— Orteler Alpen, am Pegmatit . . . . . 04 II 209
— Pallet, Loire inférieure, am Gabbro . . . . 1900 II 399
— Predazzo, Granathornfels . . . . . CBl 1904 *661*
— Småland, Schweden, Granit u. Hälleflinta 03 I 77
Contactproducte, Eibenstocker Granit . . . 02 II 54
Contactverhältnisse, sächs. Granulitgebirge . . CBl 1904 *195*
Contactwirkungen
— Iser- u. Riesengebirge, Granite . . . . . BB XV *184*
— Pyrenäen, Lherzolith und Granit . . . . CBl 1901 *98*
Continent, alter pacifischer 02 II 43
Contraction erstarrender Schmelzflüsse u. Metalle . . . . . 01 II *14*
— Contractionscylinder und Blasenzüge im Melaphyr, Darmstadt 1904 I 47. 4
CBl 1901 *610* CBl 1903 *217. 40*
Conularia fimbriata, Unterdevon. Rolshausen BB XVII *4*
— gracilis, Utica-Schiefer, angeheftet . . . . . 03 I 53
Conus aulacophorus, Bonneti, cosmetulus, hypermeces, karikalensis u. subvimineus, Pliocän Karikal . . . . 02 I 296
Conwaygranit, Mt. Kearsarge, N Hampshire 04 II 406
Cookeit, Haddam Neck, Conn., im Granit . . 03 II 188
— Minot, Maine, im Pegmatit . . . . . 03 I 34
Coolgardie-Goldfeld, Westaustralien . . . . . 01 II 402
Coolgardit
— Kalgoorlie, Westaustralien) 1903 I 20 CBl 1902 442
— Westaustralien, ein Gemenge . . . . . 04 I 10
Copiapit, Alma Mine, Californien . . . . 04 II 40
Copper Queen-Grube, Arizona, Kupfererze . . 03 I 90

gyptiacum,
ypten . . 1903 I 532
. Tertiär,
. . . . . 01 II 485
Turon,
. . . . . 03 I 532
cän, Bar-
. . . . . 03 I 530
ledington-
ube, Cali-
. . . . . 03 II 36
teine . . 01 I 414
problema-
ir, Java . 1900 II 289
en. . . . 01 II 317
. . . . . 03 II 408
ni, Chalk,
. . . . . 01 I 280
rata, Mio-
ivornesi . 04 I 288
Quiriquina-
Chile . BB XVIII *263*
des, Kreide,
. . . . . 02 II 435
Jura, Bor-
. . . . . 01 I 488
Cenoman,
. . . . . 04 I 120
pleist. Un-
Bottendorf
en . . . 04 I 103
Renggeri-
Berner Jura 01 I 139
patagon.
. . . . . 02 I 295
Schichten
konkensis,
ss . . . . 1900 II 123
wi, Ceno-
ana . . . 04 II 458
, pulchella
i, Paraná-
. . . . . BB XIV *210*
crenulata,
ustralien . 04 I 156
ellipticus,
ten, Autun
c . . . . 02 II 167
approxi-
lenbecken.
Epinac . 02 II 167
liptica und
Kohlen-
utun und
. . . . . 02 II 167

Cordaioxylon permiense,
Autun und Epinac,
Kohlenbecken . . . 1902 II 167
— Chemnitz, Rothliegendes 02 II 492
Cordaites, aufrechte
Stämme etc. . . . . 03 II 303
Cordieria bucciniformis,
Priabona-Schichten . 04 I 284
Cordierit
— Beziehung zu Barylit 02 I 176
— Bildung im Magma . 1900 II 250
— Contactmineral
1902 II 54 CBl 1901 *369*
— Polychroismus . . . 04 II 343
— Pseudomorphosen . . 02 II 193
— verwachsen m. Glimmer . . . . . BB XVI *415*
— Alpen . . . . . 1900 II 352
— Bokhara (östl.), im
Seebenit . . . . . 01 I 74
— Eibenstock, Contactproducte . . . . . 02 II 54
— Elba, in turmalinführ.
Gängen . . . . . 01 II 355
— Graubünden, mit Andalusit . . . . . 01 II 195
— Linz a. D.
1903 I 193 II 332 1904 I 58
— Nord-Carolina, mit
Rhodolith . . . . . 1900 I 188
— Nordcelebes und aus
verglastem Sandstein 01 II 72
— Ostbokhara i. Seebenit 01 I 74
— Pearl, Larimer Co.,
Colorado . . . . . 04 II 408
— Radauthal, im Pegmatit . . . . . 03 II 337
Cordieritandesit, künstl. 1900 II 253
Cordieritfels, Wood's
Point Dyke, Victoria,
Australien . . . . . 03 II 259
Cordieritgneiss
— Borry in Mähren . . 02 II 230
— Deutschbrod, Böhmen 04 II 385
— Lotru-Berge, Rumänien . . . . . 1900 I 63
— Mähren . . . . 1902 II 230. 421
— Molukken . . . . . CBl 1902 *1*
Cordierithaltige Einschlüsse im Norit,
Pallet, Loire inférieure 1900 II 399
Cordieritnorit
— Pallet, Loire inférieure . . . . . 1900 II 399
— —, —, endom. Contactmetamorphose . 01 I 64

Cordillere
— 34°—36° südl. Br., Geologie . . . . . 1902 II 429
— Argentinien, Querschnitt, Geologie . . CBl 1903 55
— chilen.-argentinische, Geologie . . . . . CBl 1901 207
— —, Jura und Kreide 04 II 87
— — Grenzzone . . . 1900 I 432
— Columbia, Gesteine, Geologie . . . . . 03 II 202
— Ecuador, Geol. u. Gesteine . . . . . 1903 II 209. 218
— —, westl., Gesteine 1900 I 409
Cordylit = Baryumparisit im Syenit, Narsarsuk, südl. Grönland . . . 02 I 23
Coresodon scalpridens, Pyrotherium-Schichten, Argentinien . . . . 1900 II 301
Corfu, Geologie 1904 II 430 CBl 1904 *257*
Coriogene Sphärolithe . 04 I 378
Cornon b. Predazzo, Melaphyr . . . . . CBl 1903 *6*
Cornuspira concava, Kinkelini, deutscher Zechstein . . . . . 1900 II 163
Cornwall
Geol. u. Contactmetam. im nördl. . . . 04 II 389
— Granit und Greisen 04 I 390
— Kaolinlagerstätten . BB XV *279*
— Kupferglanzzwillinge 1900 I *155*
— Unterdevon, Anneliden . . . . . 1900 II 433
Corsas . . . . . CBl 1903 697
Corsica, Trias, Granitbarre etc. . . . . BB XX *466*
Cortlandit, Massachusetts 1900 II 90
Corynella Rauffi, Trias, Bakony . . . . . 02 I 492
Coryphodon, Verwandtschaft . . . . . 1902 I 473. 478
— radians, vollständiges Skelett, Wasatch beds, Neu-Mexico . . . . 01 II 460
Cosalit, Silverton Quadrangle, Colorado . 03 II 343
Coscinocyathus irregularis, Torgoschino-Schichten, Cambrium, Sibirien . . . . . 01 I 115
Coscinoporidae, senon. ost- und westpreuss. Diluv.-Geschiebe . . . 04 II 158
Cosmoceras Mrazeci, Kelloway, rumän. Südkarpaten . . . . . 1900 II 294
Cosmogyria, Unteroolith, England . . . . . 01 II 317
Costarica, Geologie 1900 I 259 1900 II 269
Costazia, Pliocän, Bologna 1900 II 157
— celleporina, Miocän, Sardinien . . . . . 1900 II 318
Cotopaxi . . . . . 03 II 209
Cotype . . . . . 1900 II 485
Covellin, Montana, Anal. 01 I 34
Cowee Creek-Rubine, Nordcarolina . . . . 01 I 187
Crag v. Essex, verglichen mit dem von Suffolk und Norfolk . . . . 01 II 283
Crania anomala, Beripung d. Dorsalschale CBl 1904 *12*
Cranidae, Silur, Ostseeländer (ausser Gotland) . 1900 II 155 01 II 155
Craspedarges Wilcanniae, Devon, Neu-Süd-Wales BB XIV *532*
Craspedites complanatus, fissuratus. flexicosta, undulatus, Neocom, Norddeutschland . . 03 II 448
Craspedodon = Physocardia, mittl. Alpen, Trias . . . . . 02 II *131*
— Hornigi, Trias, Bakonywald . . . . . 02 I 314
Crassatella faxensis, Kreide, Dänemark . . . . . 02 II 434
— Ombonii, Oligocän, venet. Voralpen . . 01 II 282
— quarta, patag. Form. 02 I 295
— Schaurothi, Seccoi u. Tournoueri, Priabona-Schichten . . . . . 04 I 283
— veneriformis, Quiriquina-Schichten, Chile BB XVIII *237*
— Zitteli, obere Kreide, lib. Wüste . . . . . 03 I 510
Crassimarginatella, Kreide, Frankreich . . . . 02 I 490
Crassiscala millepunctata, Eocän, Loire inférieure 03 I 127
Crater Lake, Oregon, Geologie . . . . . 1900 I 369
Craticularia micropora, senone ost- u. westpreuss. Diluv.-Gesch. 04 II 158

Craticularia Zitteli, Cenoman, Kuttenberg . . 1904 II 156
Creniceras valbertense, ob. Oxford., Berner Jura . . . . . 03 I 322
Creodonta
— eocäne . . . . . 03 I 148
— —, Marsh Collection 04 I 447
— Systematik . . . . . 03 II 430
— Nordamerika, Tert. . 02 I 140
— Puerco . . . . . 1900 I 302
Creosaurus, Gattungsbegriff . . . . . 03 I 344
Crepidula Cossmanni, indigena u. kahirensis, Egypten, Eocän . . 04 II 459
— paranensis, Paraná-Stufe . . . . . BB XIV *225*
Crescenzaxe der Pelecypoden . . . . . BB XV *402*
Creta, westliches, metamorph. Schichten . . 04 I 65
Crevoia b. Domodossola, Marmor . . . . . BB XIX *267*
Cribrilina Gaudryana, Kreide, Frankreich . 02 I 491
Cricosaurus = Geosaurus 03 I 153
Crinoidenkalk, Hochgern CBl 1901 *658*
Crioceras sp., Kreide, Bulgarien . . . . . 1900 I *39*
— aequicostatum, Andreae, annulatum, centrifuga, curvicosta, Denckmanni, elegans, hildesiense, horridum, Hoyeri, intumescens, pingue, rarinodum, Römeri, Strombecki, varicosum, Wermbteri u. Wöckeneri, Neocom, Norddeutschland . . 03 II 447 ff.
— clausum u. Munieri, unt. Kreide, Châtel Saint Denis . . . . 04 I 147
— cf. Duvali u. Duvali var. Emerici, unt. Kreide, Chile . . . BB XVII *298*
— Waageni, Kreide, Kaukasus . . . . . 01 I 474
Cripple Creek, Col., Krennerit . . . . . 1900 I 7
Cristellaria arcuata, convergens, cymboides, depauperata, gladius var. arcuata, irregularis, Kochi, cf. minuta, rotulata var. calcar u. var. cultrata, simplex, Bryozoenschichten, Priabona . 1901 I *123*
Cristellaria barbata, Kreidemergel d. oberbayr. Alpen 02 I 155
— costata var. spinata u. Orbignyana, Miocän, Karwin . . . . 03 II 152
— crepidula var. dentata, Oberkreide, Ostgalizien 03 II 150
— fragaria var. dentata u. Rzehaki, nordmähr. Miocäntegel . 03 II 151
Cristobalit, kryst. . . . 03 I 177
— verwachsen mit Tridymit . . . . . BB XVI *351*
— Kendall Co., Texas, im Meteoreisen . . . 02 I 365
Crocodilus Anchitherii, schwäb.-bayr. Dinotherium-Sand . . . . 04 II 140
Cronstedtit, chem. . . . CBl 1901 *631*
Crossit im Hornblende-Kersantit, Co. Down 01 II 390
Crozon-Halbinsel, Bretagne, Obersilur . . 01 I 271
Crucibulum dubium, patag. Formation . . . . . 02 I 295
Crush-Conglomerate, Argillshire 1903 I 74 CBl 1901 665
Crustaceenpanzer, Zustand d. Kalkes . . 03 I 165
Cryphaeus impressus, ocellus und pusillus, Devon, Bokkeveld beds, Südafrika . . 04 II 323
— laciniatus u. Lethaeae, Unterdevon zw. Marburg u. Herborn . . BB XVII *31*
Cryptaenia aperta, Dogger, Franken . . . 03 I 320
Cryptoclidus oxoniensis, Becken . . . . . 1900 I 310
Cryptocoelopis locularis, St. Cassian . . . . 02 II 487
Cryptocoenia irregularis, Neocom, Bukowina . 04 II 150
Cryptodon undulatus, Pliocän, Viterbo . . 04 I 289
Cryptonerita multispiralis, Spitzkalk, Recoaro u Schio . . . . . 1900 I 274
Cryptopithecus macrognathus Braunkohler Messel . . . . . CBl 1902 *289*

Ctenodonta callifera, Eschbachiana u. oblonga, Remscheider Schichten, Devon . . . . CBl 1904 *601*
— Fritschi, Unt. Carbon, Neustadt-Magdeburg 1901 I 483
— cfr. Krotonis, Unterdevon, Rossbach . . BB XVII *39*
Ctenomys brachyrhinus, subassentiens u. subquadratus, Tarija-Thal, Argentinien . 04 I 290
Ctenostreon Ponti, Kreide, Krym . . . . . 03 I 324
Ctenothrissa, Kreide . . 02 I 310
Arten, Kreide, England 04 II 322
Cuba
— foss. Echiniden . . . 1900 I 143
— Manganerzlagerstätten, Santiago. . . . . 04 II 231
Cuban, Röstprod., Sudbury 04 II 364
Cubosilicit, Stellung zu anderen SiO_2-Min. . 01 I 189
— Castelluccio di Capugnano bei Porretta . 03 I 187
Cucullaea brevis (Arca), Chile, unt. Kreide . BB XVII *290*
— infraliasica u. suboblonga, Unterlias, Serbien . . . . . 01 I 467
— Lasti, ob. Jura, Deutsch-Ostafrica . . . . . 01 II 295
— meridionalis, quadrata, Bajocien, Espinazito-Pass, Argentinien . 1900 II 116
— ponderosa, Kreide, Königin Charlotte-Inseln . . . . . 02 I 292
— rocana, Kreide, Roca, Argentinien . . . . 04 II 286
— seisiana u. tschapitana, Pachycardientuffe, Seiser Alp . . . . . CBl 1900 *372*
— urschelaviensis, Cenoman, Urschelau bei Traunstein . . . . . 1900 II 416
Cucullata-Stufe, Pliocän, Egypten . . . . . 02 II 107
Cucullella cfr. oblongata, Unterdevon, Rossbach BB XVII *40*
Cuesta = Glint . . . . 01 I 52
Culm
— England, Devonshire 03 I 296
— Harz u. Magdeburg, Flora . . . . . 02 II 495
— Kellerwald . . . . . 03 I 470
Culm
— Magdeburg, m. Glacialschrammen . . . . 1901 I 135
— Nassau . . . . . 1900 I *132*
— Oberharz, nordwestl. 1900 I 429
— — östlicher . . . . 01 II 439
— Schlesien, Ebersdorf. 03 II 108
— — Leschnitz . . . . 03 II 109
— Thüringen etc., Pflanzenreste . . . . 1904 I 315. 320
— — Pflanzen der Dachschiefer . . . . . 04 I 320
Cultellus australis, Quiriquina Schichten, Chile BB XVIII *249*
— Rossii, Priabona-Schichten . . . . . 04 I 283
Cultriopsis cultellus, Infralias, Vendée . . . 04 II 430
Cumengeit, verwachsen mit Boleit 1903 II *125* BB XVI *352*
Cummingtonit (Rhodonit), Oldhampshire Co., Mass. 01 I 36
Cuprit, siehe Rothkupfererz.
Curaçao, Diabas mit sphärol.-dendr Structur . 1900 II *140*
Curvilineare Gesteinsstructur . . . . . 04 II 49
Cuspate Forlands. . . . 1900 I 45
Cutch, Indien, Lakkolithen 1900 I 237
Cyanit
— Constitution . . . . 02 I 15
— Dichte nach Schmelzg. 01 II *151*
— Verhalten in Glühhitze 04 I 28
— verwachsen mit Andalusit . . . . . BB XVI *416*
— — mit Staurolith . BB XVI *415*
— Brasilien, Pseudom. v. Pyrophyllit u. Muscovit nach C. . . . 01 II 6
— Lincoln N.C., Anal. . CBl 1902 504
— Mähren, Vorkommen 03 I 199
— Nordcarolina . . . . 1900 I 32
— St. Gotthard, Vork. 01 II 201
— Trpin, Böhmen . . . 01 II 203
Cyanitschiefer, Diamantina, Brasilien . . . . . 01 I 413
Cyathoceras portoricensis, gehobenes Riff, Portorico . . . . . 03 II 301
Cyathophora Annae u. pygmaea, Neoc., Bukowina 04 II 150
Cyathophyllum Dawsoni, Lower Carboniferous, Canada . . . . . 01 II 325
— Spenceri, Devon, Canada 01 II 325

Cyathoseris Zitteli, Gosauschichten, Ostalpen . 1904 II 152
Cycadeenstämme, Kreide, Black Hills, Nordamerika . . . . . 1900 II 496
Cycaden, mesozoische . 04 I 156
Cycadocephalus Sewardi, mesozoisch . . . . . 04 I 155
Cycadophyten, mesozoische 1904 I 154. 155
Cycadospadix milleryensis, Kohlenbecken, Autun u. Epinac . . . . . 02 II 167
Cyclammina gracilis, Inoceramenschichten, Gorlice . . . . . 03 II 153
Cyclocladia Brittsii, Lower coal measures, Missouri 01 II 491
Cyclocrinus, Silur 1902 II 157. 161. 162
— balticus, oelandicus, Mickwitzi, Schmidti u. Vanhoeffeni, balt. Silur . . . . . 02 II 161
— membranaceus, multicavus, planus, porosus, pyriformis, Roemeri u. subtilis, Silur . . . 02 II 157
Cyclolites undulata var. cycloides u. robusta, Gosauschichten, Ostalpen . . . . . 04 II 151
Cycloporella, Pliocän, Puglie . . . . . 1900 II 157
Cyclopteris Marioni, Perm, Lodève . . . . . 04 I 158
Cycloseris pusilla, ob. Jura, Deutschostafrika 01 II 326
— Vinassai, Priabona-Schichten . . . . . 04 I 283
Cyclosphaeroma trilobatum, Purbeck, Aylesbury . . . . . 1900 II 149
Cyclostoma Schrammeni, tert. Landschneckenmergel, Oppeln . . . 03 I 539
Cyclostomata, Bestimmung d. Species . . 1900 I 477
— d. Kreide, d. brit. Museums . . . . . 1900 II 484
Cyclostome Bryozoen . 1900 I 478
Cyclostrema nitidulum, Eocän, Loire inférieure 03 I 128
Cyclus, geographischer . 01 I 51
Cycnorhamphus suevicus 02 II 145
Cylichna chilensis, Quiriquina-Schicht., Chile BB XVIII *220*
Cylichna expansa, Chlomeker Schichten, böhmische Kreide . . . 1900 I 440
Cylichnina melitopolitana, Sch. m. Venus konkensis, Konka-Fluss 1900 II 123
Cylicoceras, Unteroolith, England . . . . . 01 II 317
Cylinderabsonderung, Melaphyr, Darmstadt, siehe Blasenzüge od. Contractionscylinder.
Cylindrites intermedius, Jura, Frankreich . . 1900 II 153
Cylindrobullina Ammoni, coarctata und subfragilis, Pereiros-Schichten, Jura, Portugal . . . . . 02 I 469
— bulloides u. peracuta, Infralias, Vendée . . 04 II 114
— germanica u. alsatica, Muschelk., Süddeutschland . . . . . 02 I 143
— Peroni, portlandica, Schlumbergeri, vaginoides, Jura, Frankreich . . . . . 1900 II 153
Cylindrodon fontis, White River beds (Titanotherium-Schicht), Montana . 1903 II 425 04 II 461
Cylindrophyllum, New York, Unterdevon . 03 I 484
Cynarctus saxatilis, Miocän, Colorado . . . 04 I 295
Cynodictis paterculus, Titanotherium-Schicht, Montana . . . . . 04 II 461
— temnodon etc., Tertiär, Nordamerika . . . . 02 I 137
Cynodontomys, Eocän, Amerika . . . . . 04 I 294
Cynognathus, Schädel u. Vork. in der Karruformation, Südafrika, vergl. m. Anomosaurus BB XX *348*
Cynohyaenodon, syst. Stellung . . . . . 03 II 433
Cynopithecinae, Femur . 01 II 142
Cyon, Miocän, Colorado 04 I 295
— Tert., Nordamerika . 02 I 137
Cypholioceras, Unteroolith, England . . . . . 01 II 317
Cyphosoma mollense. Chile. unt. Kreide . . . . BB XVII *286*

Cyphosoma radiatum, Kreide, Normandie . 1900 II 161
— thevestense, Turon, Egypten . . . . . 03 I 532
Cypraea aequipartita, Eocän, Loire inférieure 03 I 128
— insculpta, simplicissima, gendinganensis, caput-viperae, beberkiriana, Junghuhni, cincta, sondeiana, Tertiär, Java . . . 1900 II 289
— obolus und persona, Priabona-Schichten . 04 I 283
Cypricardia Bittneri, SturiaKalk, Recoaro u. Schio . . . . . 1900 II 434
Cypridinenschiefer, östl. Oberharz . . . . . 01 II 439
Cyprina altissima, Chlomeker Schicht., böhm. Kreide . . . . . 1900 I 440
— Boonei, Infralias, Vendée . . . . . 04 II 430
— cinnabarensis, Haguei(?) und Iddingsi, Jura, Yellowstone Nat. Park 02 I 129
Cyprinenthon, Alsen . . BB XVI *71*
Cyrena, Jura, White Cliff, Australien . . . . . BB XIV *486*
— prierensis, Priabona-Schichten . . . . . 04 I 283
Cyrtia Murchisoni, Matagneschiefer, Belgien 01 II 440
Cyrtina Katzeri, Muschelkalk, Cevljanovic, Bosnien . . . . . 04 I 117
Cyrtoclymenia . . . . . 1900 I 130
Cyrtocrinus marginatus, Tithon, Stramberg . 03 II 419
Cyrtodelphis, Wiener Becken 03 II 136
Cyrtodonta(?), Interrupta-Schiefer, poln. Mittelgebirge . . . . . BB XIII *360*
Cyrtodontopsis dunensis, Untercoblenz, Oberstadtfeld i. Eifel . . 03 I 528
Cyrtograptus . . . . . 01 I 335
Cyrtolith, Nordcarolina, mit Rhodolith . . . 1900 I 188
Cyrtoma posthumum, patag. Formation . . 02 I 295
Cystoblastidae . . . . 01 I 320
Cystoidea, Stammesgeschichte (Dichoporita u. Diploporita) . . . 01 I 315
Cythere farafrensis, Egypten, Untereocän . . 1903 I 484
Cytherea, Morphologie d. Schlosses . . . . . BB XIII *156*
— argentina, Paraná-Stufe . . . . . BB XIV *204*
— auca, Quiriquina-Schichten, Chile . . BB XVIII *243*
— chalcedonica, Kreide, Pico Salamanca, Argent. 04 II 287
— paradeltoidea und praecerycina, Priabona-Schichten . . . . . 04 I 283
— subundata, Pliocän, Egypten . . . . . 02 II 106
— subaurita, Kreide, Südaustralien . . . . . 04 I 119
Cytheridea mulukensis, Pliocän, Egypten . . 02 II 106
Cytherocardia, Tertiär, Piemont u. Ligurien 02 II 309

D.

Dacas . . . . . CBl 1903 697
Dachschiefer, Marienthal b. Pressburg (Ungarn), Jurafauna . . . . . 01 I 123
Dacit
— Battack-Hochfläche, Sumatra . . . . . 1900 II 235
— Chile, nördl. . . . . 01 I 419
— Ecuador . . . . . 03 II 225
— galat. Andesitgebiet BB XVI *110*
— Kasbek . . . . . 02 II 390
— Ménerville, Algerien 02 I 410
— Minahassa, N.-Celebes 01 II 395
Dacitandesit, Kasbek . 02 II 390
Dacos . . . . . CBl 1903 697
Dacosaurus maximus, Staufen b. Giengen . 03 I 152
Dacrytherium Cayeuxi, Phosphorit, Quercy . 01 II 468
Dactylioceras cf. commune, Posidonienschiefer, Hannover . . . . . CBl 1904 *387*
— helianthoides, Jura, Japan . . . . . 04 II 325
— Pantanellii, Rosso ammonitico . . . . . 01 I 468
Dactylius robiacensis, Lutétien, Languedoc . 04 II 433
Dactylocystidae . . . . 01 I 321
Dactylocystis . . . . . 01 I 321
Dadoxylon Pedroi, Carbon, Rio Grande do Sul . 02 I 499

Daemonhelix, Molasse, Oberbayern . . . . 1902 I 280
— Krameri . . . . . 03 II 112
Dänemark
— Glacialbildungen 1903 I 524 BB XVI *1*
— Glacialschrammen . 01 I 135
— Jura- u. Kreidegeschiebe . . . . . 1900 II 435
— Kreide, Mollusken u. Gliederung . . . 1902 II 433. 434
— Lakune oder Discordanz zw. Senon und Danien . . . . . CBl 1903 *267*
— nutzb. Mineralien . . CBl 1902 663
— Quartär . . . . 1904 II 262. 271
— —, Gliederung . . . 01 I 133
Daghestan, Jura . . . . 04 II *71*
Dahamit, Sokotra . . . 03 II 196
Dakhla-Oase, Geologie . 02 II 109
Dakota, Kreide . . . . 02 II 436
Dalformation, Schweden, Algonkian . . . . . 02 II 100
Dalmanella n. sp., Trogkofelschichten, karn. Alpen . . . . . 01 II 120
Dalmanites lunatus, devon. Bokkeveld beds, Südafrika . . . . . 04 II 323
Dalmatien
— Cephalopoden d. Werfener Schichten . . . 03 II 444
— Erdbeben 1897 u. 1898 1900 I 373. 377
— Erdbeben 1898 . . . 01 I 209
— Geologie . . . . . 04 I 91 ff.
— Geologie d. südl. . . 01 I 100
— Sinken d. Küste . . 01 II 51
— Tertiärbildungen 1903 I 275 CBl 1902 *266*
— Trias, Brachiopoden und Muscheln . . . 04 I 114
— Unter-Miocän . . . 03 I 275
Dalmatites, Werfener Schichten, Mué (Dalmatien) . . . . . 03 II 446
Damerow, geol. Karte, Flachland . . . . . 1900 II 413
Dampferuptionen in Flussthälern, W.-Indien 1902 04 II 380
Dampfspannung
— isom. Mischkryst. v. Salzhydraten . . . . 02 II 176
— kryst. Hydrate, mit der Zusammensetzung veränderlich . . . . 1900 I 334
Danalit, Walrus Island, Ungava-Distr., Can.. 1902 II 38
Dananformation, Borneo 02 I 109
Danburit
— Japan, Kryst. . . . 04 II 177
— Piz Casanel, Graubünden, Kryst. . . . CBl 1904 *725*
Dandotegruppe, Pandschab-Stufe, Salt Range . . . . . BB XIV *430*
Danien, Lakune od. Discordanz gegen Senon, Dänemark . . . . . CBl 1903 *267*
Dannemora, Eisenerze . 01 I 433
Danzig
— Tiefbohrungen . . . 01 II 451
— Verwaltungsbericht d. Provincialmuseums pro 1899 . . . . . 02 II 444
Daonella Bergeri, Muschelkalk, Deutschland . 03 II *87*
— franconica, Muschelkalk, Deutschland . 03 II *84*
Daonellen, deutscher Muschelkalk . . . . 03 II *83*
Daphaenus, Tert., Nordamerika . . . . . 02 I 136
— Dodgei und felinus, White River beds . 04 II 308
— felinus, White River Oligocän 1902 I 297 04 II 308
Daphnit, chem. . . . . CBl 1901 *631*
Dardanelle-Lavastrom, Sierra Nevada, Cal. . 1900 I 70
Dardanellen
— Entstehung . . . . 02 I 207
— Tertiär . . . . . CBl 1904 310
Darial-Schlucht, Kauk., Granitit . . . . . 1900 I 230
Darjeling-Gneiss, südl. Indien, Entstehung . 04 II 53
Darmstadt, Absonderungserscheinungen u. Blasenzüge im Melaphyr, siehe Contractionscylinder oder Blasenzüge.
Darriwill-Serie, Ordovician, Victoria, Austr. 1900 II 430
Darstellung, künstl., von Mineralien, siehe künstl. Darstellung.
Dartmoor, Granit. Alter, Lager. u. Entstehg. 1900 II 403
— Forest, Devonshire, Granit u. Contactgest. BB XIII *90*

Dasycladaceen, Cenom., Cerro Escamela, Mex., Organisation . . . . 1900 I 323
Dasypoda, Pyrotherium-Schichten, Argent. . 1900 II 305
Dasypus tarijensis, Tarija-Thal, Argentinien . 04 I 290
Dasyuridae, arboricolen Ursprungs . . . . . 01 II 473
Datolith
— Bogoslowsk, Doppelbrechung . . . . . 03 I 3
— Daisy-Glimmergrube, Ottawa Co., Canada 02 II 366
— Dartmoor Forest, Devonshire, im Granitcontact . . . . . BB XIII *126*
— Feodosia, Krym . . 01 II 205
— Golden Gate, Cal., im Serpentin . . . . . 03 II 35
— Guanajuato . . . . 1900 I 192
— Karadagh-Berg, Krym 04 II 32
— Listic b. Beraun . . CBl 1903 *229*
— Massachusetts, Kryst. 01 I 36
— West-Paterson, N. J., im Thaumasit . . . CBl 1901 *547*
Daudebardia praecursor, tert. Landschneckenmergel, Oppeln . . . 03 I 539
Davidstow-District, Cornwall, Geologie . . . 04 II 389
Davos
— Geologie . . . . . 01 II 94
— Lherzolith u. Serpentin 1900 I 222
Davyn, Vesuv, Beziehung zu Nephelin . . . . 1900 II 17
Decapoden, foss., England 1900 II 307
Decapodenfauna, ungar. Tertiär . . . . . 1900 II 473
Dechenella pusilla, poln. Mittelgebirge. . . . BB XIII *365*
Deckdiabas, Hartenrod, Nassau . . . . . BB XVII *116*
Deckenbasalte, Sardinien CBl 1902 *331*
Deckenschotter, Schwaben . . . . . 1900 II *157*
Deckgläser, Ersatz durch Gelatinepapier . . . 02 II 175
Deck- u. Spiegelaxen zur Darstellung d. Krystallklassen . . . . 1900 II 331
Declination u. Inclination in geol. Vorzeit . . 02 II 370
Deformation d. Erde durch d. Last d. Inlandeises 1900 II 208 01 I 383
Degonia Kollmanni, Tertiär, La Plata . . . 1903 II 292
Deiphon, genet. Beziehungen . . . . . 1900 II 473
De Kroon-Diamant-Mine, Transvaal . . . . . 01 II 93
Delessit, chem. . . . . CBl 1901 *632*
Dellach, Blei- und Zinkerzlagerstätten . . . 04 I 397
Delphine, langschnäbelige, Boldérien, Antwerpen . . . . . 03 I 549
Delphinites Ritteri, Valangien-Mergel, Südostfrankreich . . . . 03 II 447
Delphinula apenninica und pseudoscalaris, Kreide, Aquilaner Abruzzen . . . . . 04 I 98
— Kokeni, mitteldeutsch. Muschelkalk . . . . 04 I 312
— obsoleta, Urgonkalk, Orgon . . . . . 02 I 313
— Stuarti, Kreide, Südaustralien . . . . . 04 I 119
Deltocyathus urschelaviensis, Cenoman, Urschelau bei Traunstein . . . . . 1900 II 416
Demantoid, Krystalle
— Nischne Tagil . . . CBl 1902 412
— Teljapskij-Kljutsch-Seifen bei Nischne Tagil . . . . . 03 II 176
Denckmannia, englischer Unteroolith . . . . 1900 I 315
Dendritische Grundmasse d. Diabases, Curaçao 1900 II 153
Dendrograptidae . . . . 01 I 331
Dendrograptus . . . . 1901 I 331
Dendrophyllia lisbonensis und striata, Palaeogen, Nordamerika 04 I 470
Deneshkin Kamen, Gouv. Perm, Geologie . . 02 I 395
Dent Blanche-Massiv, Wallis, Granitgneiss 01 I *49*
Dentalina Adolphina var. armata, catenulata var. continuicosta, communis var. inflata u. globularis, nordmähr. Miocäntegel . 03 II 151
— communis, consobrina, debilis, cf. elegans, fissicostata, intermedia,

cf. simplex, soluta, cf. subtilis, Bryozoenhorizont, Priabona . 1901 I *114. 115*
Dentalina labiata, deutscher Zechstein . . . . . 1900 II 164
Dentalium bicarinatum, ob. Kreide, lib. Wüste 03 I 510
— breviforme und praecursor, Egypten, Eocän . . . . . 04 II 459
— chilense, Quiriquina-Schichten, Chile . BB XVIII *222*
— coislinense, Eocän, Loire inférieure . . 03 I 128
— elongatum, Posidonienschiefer, Hannover . CBl 1904 *387*
— kahiraense, Nummulitenschichten, Egypten . . . . . 02 I 464
— limatum, Kreide, Patagonien . . . . . 02 II 435
— octevillense, Cenoman, Frankreich . . . . . 1900 II 286
Dentilucina lunulicava u. tenuilineata, Infralias, Vendée . . . . . 04 II 430
Denudation . . . . . 01 II 46
— obere Elbe . . . . . 02 II 212
— glaciale, Kinnekulle 01 II 130
— moderne, Nord-Wales 01 I 228
— Wüsten-, Heluan . . 01 I 92
Deposition u. Denudation 01 II 46
Derbyia, Abgrenzung 1900 I *3, 10* 01 II 121
— regularis . . . . . 1900 I *10*
Dercetis latiscutatus und maximus, Kreide, England . . . . . 04 II 322
Dermaster Boehmi, Bathonien, Vogisheim, Baden . . . . . 01 II 484
Desmin
— Einwirkung von Salmiak . 1903 I 394 04 II 6
— Lockerung des Krystallgebäudes durch HCl . . . . . CBl 1902 *594*
— Aarmassiv, in Biotitprotogin . . . . BB XIV *66 ff.*
— Agordo . . . . . 03 I 203
— Elba, im Granit . . 01 II 28
— Lake Superior (Stilbit) . . . . . 1900 II 30
— Maddalena, im Granit 03 I 195
— Radauthal . . . . . 01 II 360
— Schlaggenwald, ist Albit 04 I 351
Desmoceras akuschaense und falcistriatum, Kreide, Kaukasus . . 1901 I 471
— Beudanti var. Petersi, Kreide, Conducia-Mündung . . . . . 03 II 275
— carolense, Kreide, Südaustralien . . . . . 04 I 119
— difficileforme, untere Kreide, Biassala, Krym 03 II 406
— Loryi und Sayni . . 02 I 254
— Munieri, ob. Aptien, Maïre b. Marseille . 01 I 469
— phyllimorphum, südind. Kreide . . . . . 1900 I 445
— tenuicinctum, untere Kreide, Châtel Saint Denis . . . . . 04 I 145
Desmophyllum Willcoxi, ob. Olig., atlant. Küste, Nordamerika . . . . 01 II 327
Desmosit, Michigan . . 01 I 239
Desoxalsäureester, Kryst. 1900 I *164*
Detonationen
— Beziehung zu Erdbeben . . . . . 02 II 206
— unterird., Melnik, Böhmen . . . . . 1900 II 374
Detonationsphänomen, Duppauer Gebirge, 14. August 1899 . . 02 II 207
Deuterosaurier verglich. m. Pelycosauriern . . BB XX *341*
Deuterosaurus biarmicus, Perm, Ural, vergl. m. Anomosaurus . . . BB XX *339*
Deuterotektische Magmen CBl 1900 187
Deuterotherium distichum, Pyrotherium-Schichten, Argentinien . . . . 1900 II 301
Deutsche Schutzgebiete, nutzb. Lagerstätten 04 II 243
Deutschland
— Quartär im nördl. 1904 II 262. 272
— Trias, Gastropoden u. Scaphopoden . . . . 1900 I 316
Deutsch-Ostafrika
— Oberflächengestaltung und Geologie . . . . CBl 1900 121
— mesoz. u. kainoz. Korallen . . . . . 01 II 326
Deux-Sèvres, Infralias . 04 II 429
Devon . . . . . 1900 II 280
— Lethaea palaeozoica 01 I 107
— Ammoneen 1903 II 144 CBl 1902 *172*

Devon
— Entstehung v. Eisenerzlagerstätten 1901 I 426 1903 I *179*
— Gliederung d. oberen, nach den Ammoneen 03 II 148
— Aachen, Unter-, 1901 II 421 02 I 112
— Amerika und Russland, Korallen . . . 04 II 101
— Arcticum, Fische . . 02 II 304
— Aspen Mining District, Colorado . . . . . 01 II 431
— Attendorn-Elsper Doppelmulde, Gliederung am NW.-Rand . . . 1900 I 272
— Bäreninsel, Fische des oberen . . . . . 02 II 304
— —, Flora . . . . . 04 II 474
— —, — d. Ursa-Stufe 1901 II 258 02 II 318
— Becraft Mountain, N. York 1901 II 457 04 II 249
— Belgien 1901 II 114 03 II 105
— —, geol. Bedeutung v. Rhynchonella Dumonti und Omaliusi 03 II 106
— —, Matagne-Schiefer 01 II 440
— —, Ophiuren im Famennien bei Tohogne 03 II 106
— —, Dinant-Becken, Givetien u. Frasnien 03 II 105
— —, Taillefer . . . . CBl 1901 667
— —, Theux . . . 1903 II 95—97
— Berg'sches Land, Lenneschiefer . . . . . 1900 I 273
— Bilstein . . . . . CBl 1904 *603*
— Böhmen, mittleres, Bande F_1 . . . . . 02 I 261
— Boskowitz u. Blansko, Mähren . . . . . 1900 II 261
— Bosporus u. Marmara-Meer, Fossilien . . . 1900 II 431
— Canada . . . . . 1900 II 432
— Chitral im Hindukusch 03 I 291
— Colorado, Fauna d. Ouray limestone, im südwestlichen . . . 04 I 428
— Cornwall, Anneliden d. unteren . . . . . 1900 II 433
— Deneshkin Kamen, Gouv. Perm . . . . 02 I 396
— Deutschland, Spiriferen 01 I 315
— Devonshire . . . . 02 II 266
— Dillenburg, Diabasgesteine . . . . . BB XV *594*

Devon
— Ebersdorf in Schlesien 1903 II 108
— Eifel, Faunen . . . 01 I 139
— —, Fischreste 1900 I *64* CBl 1900 *177*
— —, Jovellania triangularis . . . . . CBl 1900 *118*
— Eigtheen-mile Creek, westliches New York, Fauna d. Hamilton group . . . . . 02 II 267
— Elberfeld, Dolinen . 03 I 471
— —, Lenneschiefer m. Modiomorpha praecedens . . . . . 03 I 471
— Europa, Phosphoritknollen . . . . . BB XV *62*
— — und Nordamerika, unteres . . . . . 01 I 118
— Grönland, Fische . . 03 II 444
— Grund i. Harz, Trilobiten im Iberger Kalk . . . . . 04 II 323
— Hartenrod—Uebernthal-Bahn, Diabase BB XVII *78*
— Harz . . . . . 01 II 421
— —, östl., Oberdevon 01 II 435
— —, Unterdevon . . . 1900 II 267
— — und Kellerwald, Flora . . . . . 02 II 502
— —, Entstehung von Rotheisensteinlagerstätten . . . . . 03 I *179*
— Helderbergplateau . 03 I 296
— Ireland, Süsswasserbildungen . . . . . 03 I 120
— Kellerwald 1903 I 467 03 II 95
— Kneitschau, China, Kohlenlager . . . . CBl 1901 185
— Krakau m. Spir. mosquensis . . . . . 04 II 98
— Kusnetzk, Rand des Steinkohlenbeckens 902 I 437 CBl 1902 *568*
— Lahngebiet (Leun), Tentaculitenschiefer 1900 II 280
— Lancaster, Strafford-Kalk, Erie Co., N. Y. 03 I 118
— Langenaubach bei Haiger, Tuffbreccie 02 II 112
— Lennethal u. Hönnethal, unt. Grenze d. Oberdevon . . . . . 04 II 255
— Lindener Mark, Massenkalk, Fauna . . . . 01 I 272

Devon
— Looe, Cornwall, Cephalaspis Carteri . . 1903 II 444
— Loreley-Gegend . . 01 I 273
— Mähren, Eisenerzlagerstätten . . . . . 01 I 426
— Marburg gegen Herborn, unteres . . . . BB XVII *1*
— Maryland, unteres . 03 II 107
— Michigan, Hamiltonschichten . . . . . 03 II 259
— — etc., Korallenriffe 04 II 97
— Montreal, Can. . . . 03 I 297
— Nassau, Pentamerus-Quarzit und Greifensteiner Kalk . . . . 02 II 265
— Neu-Braunschweig, pflanzenführ. Riversdale-Schichten . . . 03 I 330
— Neu-Schottland, kohlenführ. Schichten . 03 I 507
— Neu-Süd-Wales, Lichas BB XIV *519*
— Neuweilnau, Quarzit 03 I 506
— New York . . . . . 03 I 482
— —, westliches . . . 03 I 117
— —, Algen, Haliserites 03 I 120
— —, Crustaceen . . . 03 I 335
— —, Fauna . . . . . 03 I 119
— —, Fauna d. Pyritlagers im Tully-Kalk 04 I 427
— —, Gliederung . . . 01 II 266
— —, Hamilton-Fauna am Cayuga lake . . 04 I 112
— —, Naplesfauna mit Manticoceras intumescens im westlichen . 1900 I 128
— —, Portage Sandstone . . . . . 03 I 119
— —, Süsswasserbildg. 03 I 120
— —, Thecoideen des Chemungsandsteins . 03 I 172
— Nordamerika . . . . 03 I 104
— —, Restauration des Stylonurus Lacoanus 03 I 334
— —, Silurgrenze . . . 01 II 117
— —, Unter-Helderberg- u. Oriskanyform. . . 01 I 117
— — u. Europa, unteres 01 I 118
— Nowaja-Semlja und Waigatsch, Kalksteinfauna . . . . . 1900 I 271
— Oberstadtfeld i. Eifel, Fauna . . . . . 03 I 527
— Ontario, Hamiltonschichten . . . . . 03 II 260
— Oran, oberes . . . . CBl 1903 87

Devon
— Ostasien . . . . . 1900 II 93
— polnisches Mittelgebirge, Cephalopoden d. oberen . . . . . BB XIII *190*
— Pará, Brasilien . . . 04 I 423
— Paraná, Brasilien . . 01 II 133
— Percé-Insel, Canada, ältestes . . . . . 04 II 429
— Podolien und Wolhynien . . . . . 04 I 263
— Rheinland, Ireland, New York, Süsswasserbildungen m. Amnigenia 03 I 120
— Rheingebiet, Rensselaerien des unteren 04 II 328
— rhein. Schiefergebirge, SO.-Rand, Pent. rhenanus . . . . . 04 I 97
— Remscheid . . . . . CBl 1904 *599*
— Salaïr-Gebirge am Altai, mit Archaeocyathinen . . . . . CBl 1901 214
— Südafrika . . . . . 1900 I *119*
— —, glac. Conglom. im Table Mountain Sandstone . . . . . 04 I 428
— —, Trilobiten d. Bokkeveld beds . . . . 04 II 323
— Taunus, südöstl. . . 1900 I 111
— Timan, Russland, Fische . . . . . 02 II 304
— Torquay, Devonshire 04 I 96
— Tschitral im Hindukusch . . . . . 03 I 291
— Ural, Westabhang, mit Calceola sandalina . . . . . CBl 1901 534
— Weitisberga, metamorpher Kalk des oberen . . . . . CBl 1901 *113*
— White Cliff, Australien . . . . . BB XIV *484*
Devonshire, Dartmoor Forest, Granit und Contactgesteine . . BB XIII *90*
Deweylit, Hoboken, N. J., auf Serpentin . . . 02 I 361
Diabantit, chemisch . . CBl 1901 *632*
Diabas
— Beziehung zu Eisenerzen . 1901 I 426 03 I *179*
— Diluvialgeschiebe . . 01 I 479
— Verwitterung . . . 1900 I 55
— Aroostock County, Maine . . . . . 03 I 428

Diabas
— Böhmen, praecambr. 1904 I 51
— Bottor Rock, Hennock, b. Bovey Tracey, Devonshire . . . . BB XIII *103*
— Brünn, Uralit- . . . 04 II 386
— Columbia . . . . . 03 II 205
— Curaçao, mit sphärolith.-dendrit. Structur 1900 II *140*
— Dartmoor Forest, Devonshire . . . . . BB XIII *132*
— Dillenburg, im Mitteldevon . . . . . BB XV *594*
— Fitz am Berg, Salzkammergut . . . . 01 I 61
— Gablenz b. Stolberg, Sachsen . . . . . 04 I 41
— Gorgona-Insel (Toscana) mit Lawsonit 04 II 220
— Great Whin Sill, nördl. Engl., Contactbildg. 1900 I 395
— Hartenrod-Uebernthal-Bahn . . . . . BB XVII *77*
— Hessen, chemisch . . 03 II *37*
— Hodkovicky, Böhmen 02 I 60
— Humboldtbai, Neu-Guinea . . . . . CBl 1901 *650*
— Isle Royale, Mich. . 1900 II 227
— Isthmus von Panama 02 II 430
— Jersey . . . . . 01 I 409
— Kasbek . . . . . 02 II 391
— Kola . . . . . 02 II 385
— Kroutoï-Ouwal, nördl. Ural . . . . . 03 II 365
— Kullen, Schweden . 01 II 58
— Lausitz, mit Kantengeröllen . . . . . 03 I 233
— Ligurien, im Tertiär des westlichen . . . 1900 I 218
— Mähren, Devon, Beziehung zu Eisenerzen 01 I 426
— Mariupoler Kreis, Südrussland . . . . . 1900 I 393
— Minahassa, Nord-Celebes . . . . . 01 II 394
— Mt. Tom, Mass., Feldspath- . . . . . 04 II 404
— Nassau, Lagerung im Devon . . . . . 1900 I *134*
— Nordgriechenland u. türk. Grenzländer, u. Tuff . . . BB XVIII *16. 25. 38*
— Nord-Jersey, mit intrusiv. Granitgängen 01 I 77
— Poizat (Isère), veränd. 1900 I 221
— Radotin, mit Kohle 04 II 77

Diabas
— Rödö, Christianiafjord 1900 II 220
— Romito b. Livorno . 03 I 250
— Schweden . . . . . 02 II 100
— —, Ragunda . . . . 02 I 95
— —, Sarjektract, dynamometamorphosirt CBl 1901 441
— —, südliches . . . . 1900 I 65
— St. Brieuc (Côtes-du-Nord), geschmolzen . 01 II 85
— südruss. kryst. Plateau 1900 II 96
— Sylt, Diluv.-Gesch. aus Schweden . 1901 I *108. 110*
— Tasmanien, Contact. 02 I 79
— Uhu Rawas, Süd-Sumatra . . . . . BB XVIII *421*
— Valle del Degano u. Mte. Crostis, Karn. Alpen . . . . . 1900 II 396
— Zbirow-Gegend, Böhm. 02 I 63
— siehe auch Grünstein.
Diabasbomben, Hartenrod, Nassau . . . . BB XVII *145*
Diabasgänge im Biotitgranit, Lausitz, Druckproducte . . . . . 04 I 41
Diabasgesteine, Systematik u. Nomenclatur nach Lacroix . . . 1900 II 401
Diabasit . . . . . 02 I 228
Diabasporphyrit
— Dillenburger Gegend, Mitteldevon . . . . BB XV *631*
— Ortakioi, Dobrudscha 1900 II 393
Diabastuff
— Hartenrod, Nassau . BB XVII *145*
— Langenaubach bei Dillenburg . . . . . 02 II 112
— Neumark im sächs. Vogtl., mit Astrolith CBl 1904 *108*
Diabastuffite, Vogesen . 01 I 61
Diacranodus texensis . BB XIX *467*
Diadema, Stacheln . . . BB XIII *206*
Diadiaphorus minusculus, Tert., Rio Negro u. Neuquen, Argentinien . 02 I 305
Diallag
— Bogoslowsk'sches Bergrevier, Ural, umwachsen v. Hornblende . 1900 I 343
— Mähren . . . . . CBl 1904 *362*
— Namest, Mähren . . 03 I 402
— San Pablo, Californien 03 I 405
Diallagit, Nordgriechenland u. türk. Grenzländer . . . . . BB XVIII *12*

Diallag-Uralit, Ardennen 1902 II 222
Diamant
— directe Umwandlung aus Kohle . . . . . 03 I 366
— Entzündungstemp. u. Verbrennung in O . 03 II 317
— Fluorescenz u. Phosphorescenz . . . . . 03 II 168
— künstl. Darstellung aus Silicatschmelzen 03 I 367
— Wirkung d. Lichts auf geschliffenen . . . . 03 I 360
— Cap, grosser Krystall d. k. k. Hofmuseums Wien . . 1901 II 7 CBl 1900 *165*
— — Muttergestein . . 01 II 342
— De Kroon-Diamant-Mine, Transvaal . . 01 II 93
— Jenissei'sche Taiga . 01 II 169
— Newland, Griqualand 1900 I 336
— Nordamerika 1900 I 339 03 II 38
— Nordamerika, Vork. 02 I 246 1904 II 365 CBl 1902 403. 405
— Prätoria, Transvaal . 03 I 290
— Rietfontein, Transvaal . . . . . 1900 I 265. 338
— Transvaal, Kryst. . 01 II 169
— Ural, Lagerstätten 1901 II 169 03 II 169
Diamantenfelder d. gross. Seeen, Nordamerika . 02 I 246
Diamantfelder, Südafrika CBl 1901 635
Diamantgruben
— Kimberley, Entwicklung . . . . . CBl 1904 *442*
— Newland, West-Griqualand, Boulders . CBl 1901 91
— Südafrika . . . . . CBl 1904 153
Diamantlagerstätte, Monastery, Oranje-Freistaat u. Griqualand, Mineralien . . . . . 1900 I 1
Diamantsande, Brasilien, Favas u. and. Mineralien . . . . . 1900 II 36. 38
Diamantseifen, Minas Geraes, Schiefer . . 02 I 416
Diana amplior, gracilis u. Petkovici, Tertiär, Babin Dol, Serbien . CBl 1900 394
Diaphanometopus . . . 1900 II 473
Diaspor
— verwachsen m. Korund BB XVI *384*
— Langesund, Norw., im Nephelinsyenit . . . 1900 II 368
— Ober-Arö, Anal. . . 02 II 361
Diaspor, Old Hampshire Co., Mass. . . . . 1901 I 35
Diastoma Fuchsi, Oligocän, venet. Voralpen 01 II 282
— Loeï, Untersenon, Mehaigne-Thal . . . . 02 I 128
Diastopora Reussi und Gregoryi, Bathonien, Occaignes . . . . . 1900 II 317
Diatomeenführende Hornschwämme, Lias . . 1900 I 150
Diatomeenlager
— Norddeutschland, quartäre . . . . . BB XVI *23. 42*
— Rom . . . . . 02 I 257
Dicellocephalus ? Villebruni, Tremadoc, Montagne Noire . . . . 02 I *2*
Dicellograptus beds. Silur, Albany . 1901 I 334 01 II 434
Diceras-ähnl. Zweischaler d. mittl. alp. Trias . 02 II *127*
Diceratherinae . . . . 03 I 555
Diceratherium asphaltense, Pyrimont u. Challonges. Oligocän. . . . . 04 I 443
— Douvillei u. minutum 03 I 556
— proavitum . . . . . 1900 II 140
Diceratosaurus . . . . 03 I *112*
Dichobuniden, Russland 03 II 289
Dichocoenia alabamensis. Palaeogen, N.-Amerika 04 I 469
Dichodon, Phosphorit v. Quercy, Schädel . . 01 II 468
Dichograptidi . . . . . 01 I 331
Dichograptus . . . . . 01 I 332
Dichoporita (Cystoidea) 01 I 321
— regularia u. irregularia . . . . . 01 I 3[illegible]
Dichte
— mittlere, d. Erde . . 04 I 5[illegible]
— der flüss. und festen Magmen und Metalle 01 II [illegible]
Dichtenzunahme d. Erde. Erklärung durch neue Hypothesen . . . . [illegible]
Diclidaster Gevreyi Angulatenschicht. Mer[illegible] (Ardèche) . . . . . 190[illegible]
Dicotyles, Gebiss . . [illegible]
Dicranograptus . . . . [illegible]
— cf. Clingani Carruthers [illegible]
Dicroceras [illegible] Geweih in [illegible] Leithakalk[illegible] Doms in [illegible]

Dictyocephalites Villebruni, Tremadoc, Montagne Noire . . . . . 1902 I 2
Dictyoconos, Tert., Egypten 01 II 164
Dictyomitra pagoda u. tiara, Upper Chalk, Coulsdon (Surrey) . 02 II 155
Dictyonema cavernosum, Silur, Gotland 1901 I 331 1900 I 144. 145
Dictyonema-Fauna, Hudson river-Formation, New York . . . . . 04 II 96
Dictyonema-Schiefer, Neu-Schottland, cambrisch 03 I 115
Dictyoneura clarinervis, Carbon, Illinois . . 04 I 311
Dictyopteris sub-Bronguiarti, Zone d. Westphalien, Nord-Frankreich . . . . . 01 I 525
Dictyothyris altirostris und koprionicensis, Stramberg, Tithon . 1900 II 315
Dicynodon latifrons, Burgersdorp, Südafrika 03 II 439
Dicynodonten. Geschlechtsunterschied. am Schädel 03 II 439
Didelphodus, syst. Stellg. 03 II 433
Didolodus multicuspis, Pyrotherium-Schichten, Patagonien und Argent. . 1900 I *229* 1900 II 300
Didymictis Dawkinsianus, Tert., Nordamerika . 02 I 140
Didymodus ? compressus BB XIX *467*
Didymograptini . . . . 01 I 332
Didymograptus . . . . 01 I 332
— Christiania . . . . 1900 I 423
Die, franz. Voralpen, Geol. 04 I 416
Dieconeura maxima, Carbon, Illinois . . . . 04 I 311
Diedenhofen, 34. Versammlg. d. oberrhein. Geol. Vereins 1901 . CBl 1901 *406*
Dielasma rhenana, Untercoblenz, Oberstadtfeld i. Eifel . . . . . 03 I 528
Dielektricitätsconstanten
— d. Krystalle, Bestimmung m. elektr. Wellen 03 II 316
— v. Krystallen im homog.-elektr. Felde 03 II 7
Dieppe, Bohrloch in der Kreide . . . . . 01 II 278
Diestien, Belgien . . . 1900 I 125
Diestit, Pierra Blanca . 1900 II 350
Differentiation der Magmen . . . . . CBl 1903 *605*
— bei Bildung von Erzlagerstätten . . . . 1900 II 245
— beim Erstarren von Eruptivgesteinen . . CBl 1902 *550*
— chemische, Ursache . 1900 II 70
— durch die Schwerkraft 1900 II 70
— durch Krystallisation 1901 I 240 CBl 1900 187. 190. *288* CBl 1903 *608* CBl 1904 *49*
— statische . . . . . CBl 1900 191
— tektische Ausscheidungsfolge . . . . . CBl 1900 188
— tiefmagmatische . . CBl 1900 192
— Versuche . . . . . BB XVII *516*
— Bergen's Eruptivgebiet, Norwegen . . . 04 II 398
— Judith Mountains, Montana . . . . . 1900 I 406
— Kullen-Vorgebirge, Schweden . . . . . 1900 I 222
— Monzoni . . . . . 04 I 68
— siehe auch Eruptivmassen, Magmen etc.
Diffusion von Wasser durch Sandlagen . . 03 II 89
Diffusionsfähigkeit fester Körper b. hohem Druck CBl 1901 142
Dilatometer, Compensations- . . . . . 01 II 168
Dillenburg, Diabasgesteine d. Mitteldevon BB XV *594*
Dillgebiet, grosse flache Ueberschiebungen . . 03 II 93
Dillthal, Silur, Flora . . 02 II 496
Dillwynella (?) namnetensis, Eocän, Loire inférieure . . . . . 03 I 128
Dilobodon . . . . . 1900 II 459
— Argentinien . . . . 1900 I *225*
Dilophaspis lata, Unterdevon, Rossbach . . BB XVII *30*
Dilut gefärbte Krystalle 03 II *134*
Diluvialbildungen, Kirchheimer Gegend, Württ. BB XIX *85*
Diluvialgebilde, nordböhm. Elbthal . . . 1900 I 481
Diluvialgeschiebe
— Amrum, Helgoland u. Sylt, krystallinische 1901 I *99* 1903 I *91* CBl 1903 *453*
— Dänemark . . . . . 03 I 286
— Holland, Schonen'sche Basaltypen . . . . CBl 1904 *694*

Diluvialgeschiebe
— Kloosterholt, Prov. Groningen . . . . . 1901 I 132
— Schlesien u. Mähren, mit verkieselten Korallen . . . . . CBl 1903 *561*
— Norddeutschland, südnorw. (Christiania) . CBl 1904 *216*
— westl. d. Weser, Basalt u. Aegirinsyenit 03 II 412
Diluvialsand m. Geröllen von Geschiebelehm, Osnabrück . . . . . 02 II 127
Diluvium
— Amrum, geschiebeführendes . . . . . 01 I *100*
— Dirschau . . . . . BB XIX *90*
— Donauschotter, ältester, Immendingen—Ulm . . . . . BB XIX *85*
— Egypten (Fajûm und Natronthal), Nematognathi . . . . . 04 I *1*
— Helgoland, geschiebeführendes 1903 I *91* CBl 1903 *453*
— Hochalb bei Kirchheim u. T., Württemb. BB XIX *137*
— Jütland . . . . . BB XVI *67*
— Landeshut in Schlesien, nordisches . . CBl 1900 *341*
— Neckargebiet, oberes CBl 1902 *181*
— Norddeutschland und Dänemark . . . . . BB XVI *1*
— Rastenburg, oberes . 02 II 128
— Riesengebirge, nördl. 01 I *89*
— Sylt, geschiebeführendes . . . . . 01 I *99*
— Tarbeck, Holstein, Süsswasserfauna . . 03 I 133
— Württemberg 1900 I 249 BB XIV *120*
— siehe auch Quartär, Glacial. Pleistocän etc.
Dimbovicioara, rumän. Karp., Quellgebiet. Tithon und Neocom 1900 I 429
Dimetrodon. Schädel . . BB XX *343*
— gigas, Perm, Texas, vergl. m. Anomosaurus BB XX *343*
Dimorphastraea sulcosa var. minor und Wähneri, Gosauschichten. Ostalpen . . . . . 04 II 151
Dimorphina Ursulae und minuta, Kreidemergel d. oberbayr. Alpen . 02 I 155
Dimorphismus . . . . . CBl 1902 150
— Arten . . . . . 1901 I 3
— Theorie . . . . . 1900 I 330
— bei tert. Pecten . . 1900 II 132
Dimorph-monotrope Körper, Umwandlungspunkte . . . . . CBl 1901 339
Dimorphoceras Tornquisti, unteres Carbon, Neustadt—Magdeburg . 01 I 483
Dimorphodon . . . . . 02 II 480
Dimorphograptus . . . 01 I 334
Dimorphosoma substenoptera, Untersenon, Braunschweig und Ilsede . . . . . 02 I 128
Dimya Crearoi, Priabona-Schichten . . . . . 04 I 283
Dimyodon costatus, Kreide, Dänemark . . . . . 02 I 148
— ungulatus, Pereiros-Schichten, Portugal . 02 I 469
Dimyopsis Emmrichi, unt. Lias, Val Soldae . . 04 II 112
Dinarische Falten, Balkanhalbinsel . . . . 03 II 247
Dineuron pteroides, Kohlenbecken, Autun u. Epinac . . . . . 02 II 165
Dinichthys eifelensis, Devon, Eifel . . . . . 1900 I *64*
Dinictis squalodon, Tert., NO.-Colorado . . . . 04 I 128
Dinoceraten
— Entwicklung . . . . 02 I 474
— Streckung d. Beine . 03 I 145
Dinocyon diversidens, Gidleyi und maeandrinus, Miocän, Texas, Schädel 04 I 295
Dinocystis Barroisi, Glimmersandst., Condroz 04 I 153
Dinornis maximus, fast vollst. Skelet . . . . 01 I 155
— novae-zealandicus u. robustus (Moa), Eier 04 I 138
Dinornithidae, Neuseeland . . . . . 01 II 474
Dinosaurier
— Analogie des Laufs bei leb. Eidechsen . CBl 1902 667
— Beziehung zu Vögeln 03 I 149
— epistocöle, Bau und Verwandtschaft . . 04 II 320
— Synopsis u. Abstammung . . . . . 03 I 155
— Belgien . . . . . 03 II 440

Dinosaurier
— Black Hills, jurassische, Fährten . . . 1901 I 305
— europ. Continent, triass. 01 II *89*
— Nordamerika . . . . 1900 I 462
— Oxford Clay, Fletton CBl 1901 *715*
— Siebenbürgen 1901 I 307 03 I 156
— Wyoming . . . . . 01 I 305
Dinosaurierlager, Jura, Grand River Valley, Colorado . . . . . 02 II 432
Dinotheriensand
— bayr.-schwäb. Hochebene . . . . . 01 I 498
— Rheinhessen . . . . 1900 II *52*
Dinotherium gigantissimum, Skelett, Mansati, Rumänien . . . 03 I 347
Diodon Scillae, Mioc., Rocca Malatina bei Modena . . . . . 1900 I 465
Dione, Morphologie des Schlosses . . . . . BB XIII *163*
— purpurata, Paraná-Stufe . . . . . BB XIV *209*
Dioonites spectabilis, mesozoisch . . . . . 04 I 155
Diopsid
— Polychroismus . . . 04 II 343
— mit Albit zusammengeschmolzen . . . . CBl 1904 *366*
— Alathal, Krystallf. . 02 II 31 CBl 1900 *43* CBl 1903 124
— Binnenthal . . . . . 04 I 32
— Casteldelfino, Piemont, Analyse . . . . . CBl 1903 *80*
— Comba di Compare Robert . . . . . 01 II 204
— Mte. Pian Real, Piemont CBl 1903 *83*
— Moravicza . . . . . 04 II 21
— Rocca nera, Alathal CBl 1900 *44*
— Saulera, Alathal . . CBl 1900 *43*
— südafrik. Diamantlager . . . . . 1900 I 1
— Tollegno, Piemont, im Kalk . . . . . CBl 1903 *122*
— Antigorit ps. nach D. BB XVI *413*
Dioptas, Kirgisensteppe, Analyse . . . . . 02 II 31
Diorit
— Anglesey . . . . . 04 I 219
— Ariège, andesitischer 02 I 70
— Bidwell Bar Quadrangle, Cal., Quarz-Amphibol- . . . . . 1900 I 72
Diorit
— Böhmen, präcambr. . 1904 I 51
— Brünn . . . . . 04 II 386
— Chile, nördl. . . . . 01 I 415
— Col du Chardonnet, Briançonnais . . . . 03 I 67
— ecuad. Westcordillere 1900 I 410
— Eliasberg, Alaska . CBl 1901 313
— Hessen, chemisch . . 03 II *38*
— Kasbek, versch. Var. 02 II 391
— Kyffhäuser . . . . . 03 II *60*
— Lofoten u. Vesteraalen, Norwegen . . . . . 1900 I 384
— Magnitnaja-Berg, Ural 1903 II 235. 366
— Martley, Worcester, zerquetscht (Martley-Quarzit) . . . . . 1900 II 404
— Massachusetts . . . 1900 II 90
— Michigan, Variationen 1900 I 73
— Minahassa, Nord-Celebes . . . . . 01 II 394
— Molukken . . . . . CBl 1902 *6*
— Nordgriechenland und türk. Grenzländer . . BB XVIII *3*
— Oberpfalz . . CBl 1904 *586. 590*
— Pyrenäen, Glimmer-, quarzhaltig, Anal. . 01 II 233
— Salzkammergut, Quarz- 01 I 61
— Schladminger Tauern 04 I 64
— Schriesheim, Anal. . 03 II *71*
— Schwarzenberg, Vog., graph. Darstellg. d. Zusammensetzung . 1900 I *111*
— Sokotra . . . . . 03 II 196
— südl. uss. kryst. Plateau 1900 II 96
Dioritische Gesteine, Pusterthal . . . . . 1900 I 381
Dioritporphyrit
— Briançonnais . . . . 03 I 68
— Columbia . . . . . 03 II 205
— Mariupoler Kreis, Südrussland . . . . . 1900 I 392
— Monzoni . . . CBl 1903 *383. 497*
— St. Lorenzen, Pusterthal . . . . . 1900 I 383
Dioritschiefer
— Crocetta b. S. Piero, Elba, Analyse . . . 03 I 250
— Senftenberg, niederösterr. Waldviertel, Analyse . . . . . 03 II 367
Diplocaulidae, Perm, Kansas . . . . . CBl 1902 *540*
Diplocaulus . . . . . 03 I *126*
— Perm, Kansas . . . CBl 1902 *536*

Diplocaulus Copei und pusillus, Kansas . . CBl 1902 *536*
Diplocoenia Bornhardti, ob. Jura, Deutsch-Ostafrika . . . . . 1901 II 326
— Hegyesina, Neocom, Bukowina . . . . . 04 II 150
Diplodetus brevistella cretaceus u. recklinghausenensis, Kreide . 02 I 319
Diplodocus, vollst. Skelett, Kansas-Kreide . 01 I 156
— Bone Cabin Quarry, Como-District, Vorderextremitäten . . 03 I 157
Diplodon amplicatus, Tertiär, La Plata . . . 03 II 293
— colhuapiensis, Kreide, Pico Salamanca, Argentinien . . . . . 04 II 287
— Rothi, Pliocän, Argent. 04 II 289
Diplodonta platensis, Paraná-Stufe . . . . . BB XIV *214*
Diplograptidi (Diplograptus) . . . . . 01 I 334
— poln. Mittelgeb. . . BB XIII *334*
Diplolabis esnostensis u. forensis, Kohlenbecken, Autun und Epinac . 02 II 165
Diplopodia Almerai und marticensis var. Bofilli, Barcelona, Aptien 03 I 529
— Blanckenhorni, Kreide, Libanon . . . . . 1900 I 479
Diplopora vicentina, Spitzkalk, Recoaro u. Schio 1900 I 274
Diploporenkalk, Süddalmatien, Brachiopodenfauna . . . . . 01 I 100
Diploporita (Cystoidea) . 01 I 322
Dipnoer, Verwandtschaft m. Amphibien . . . 03 I 158
Dipoides Majori, Tertiär, China . . . . . CBl 1902 *531*
Diprotodon australis, Callabonna-See, Süd-Australien, Extremitäten . . . . . 03 I 355
Diprotodonta, Pyrotherium-Schichten, Argentinien . . . . . 1900 II 304
Dipterus, rhein. Devon . 01 II 478
Dipyr, Forsterit u. Spinell pseudom. nach D., im Kalk am Lherzolithcontact, Ariège . 02 II 26
Dirschau, Diluvium . . BB XVI *90*
Discina multiradiata, mittl. Miocän, Touraine . . . . . 1902 I 466
Discinocaris . . . . . 03 I 172
Discites nikitowensis, oberpaläoz., Russland 01 I 310
Discocystis, Chemungsandstein, New York 03 I 172
DiscohelixCureti, Neocom, Frankreich . . . . . 1900 II 286
— venetus, Oligocän, Venet. Voralpen . . 01 II 282
Discoidea inferus, Turon, Tancarville, Normandie, Täfelung d. Periprokts . . . . . 01 II 321
Discopteris Rallii, Carbon, Heraclea, Kleinasien . . . . . 03 I 173
Discorbina, Tert., Italien 1900 I 318
— Bertheloti var. baconica, cf. disca, elegans u. villardeboana, Byrozoenschicht, Priabona . . . . . 1901 I *127. 128*
Disko, eisenführende Gesteine . . . . . 03 I 182
Dislocationen
— Kohlenfelder, Indiana 1900 II 42
— Zusammenhang mit Vulkanen . . . . . CBl 1902 *449*
— siehe auch Ueberschiebung, Verwerfung etc.
Dislocationskräfte, Wirkung . . . . . 1900 II 42
Dislocationsmetamorphismus . . . . . 01 I 220
Dismal Swamp-Canal, Virginia u. N.-Carolina, Tertiär . . . . . 1900 I 125
Dispersion
— d. Doppelbrechung am Aegirin u. Riebeckit 04 I 161
— reg. u. hex. Mineralien 03 II 8
Dispotaea argentina, Paraná-Stufe . . . . . BB XIV *224*
Distefanaster garganicus, Eocän, Mte. Gargano 04 I 465
Disthen, siehe Cyanit.
Dithionate, eutropische Beziehung . . . . . 03 I *153*
Ditoecholasma, Helderbergian . . . . . 03 I 483
Ditremaria (?) cretacea, Kreide, Südaustralien 04 I 119

Ditremaster Masciae. Eocän, Mte. Gargano . 1904 I 465
Ditroit, Ice River Valley, Canada . . . . . 04 II 60
Dittodus Lucasi, Carbon, Mazon creek . . . . 03 II 442
Dnjepr-Plateau, Geol. . 1900 II 95
Doabs = Riedel . . . . 01 I 52
Doberg b. Bünde, Geol. 03 I 513
Dobrudscha
— Nodosenkalk m. Ceratites subnodosus var. romanicus . . . . . 1900 I *173*
— Riebeckit- u. Aegirin-granit . . . . . 01 I 68
Dobschau, Ungarn, Erzlagerstätten . . . . 03 I 446
Docalcische Eruptivgesteine . . . . . CBl 1903 685. 686
Dofemanische Eruptivgesteine . . . . . CBl 1903 680
Doferrische Eruptivgesteine . . . . . CBl 1903 686
Dogger
— Chiemgauer Alpen CBl 1901 *361. 719*
— Franken u. Oberpfalz, Fauna . . . . . 03 I 318
— Mte. Foraporta bei Lagonegro, unterer . 01 I 124
— schweiz. Juragebirge 01 I 464
— siehe auch Jura.
Dohaemische Eruptivgesteine . . . . . CBl 1903 685
Dolenische Eruptivgest. CBl 1903 684
Dolerit
— Hoher Berg b. Ofleiden, Hessen . . . . . BB XVIII *460*
— Nordeck, merkw. Bildung . . . . . CBl 1904 *38*
— Rocky Hill, N. J., gangförmig, triass. . 01 I 243
— siehe auch Basalt etc.
Dolerophanit, Hüttenproduct, Åtvidaberg, Schweden 1903 1 186 03 II 334
Dolerophyllum Berthieri und fertile, Kohlenbecken, Autun u. Epinac 02 II 167
Dolichocephalie u. Brachycephalie bei niederen Säugethieren . . . . 04 II 302
Dolinen im Devonkalk, Elberfeld . . . . . 03 I 471
Dolium modjokasriense u. losariense, Tertiär, Java . . . . . 1900 II 289
Dolium ovulum, patag. Form . . . . . 1902 I 295
Dollosaurus Lutugini, ob. Kreide, Donetz-Becken 03 I 344
Dolni Bory bei Gross-Meseritsch, Mähren, Mineralien . . . . . 03 I 200
Dolnja Tuzla, Umgegend, Bosnien, Geologie . . CBl 1900 *218*
Dolomit
— Analysen . . . . . 03 I 180
— Bildung . . . . . CBl 1903 *659*
— chemisch . . . . . 03 I 190
— magnet. Moment . . 03 II 316
— Plasticität . . . . . CBl 1902 *166*
— Structur und Entstehung des körnigen BB XIX *197*
— Translationen . . . 02 II *139*
— Uebergemengtheile d. körnigen . . . . . BB XIX *317*
— verwachsen m. Chlorit BB XVI *386*
— — mit Kalkspath . . BB XVI *374*
— — mit Natronsalpeter BB XVI *375*
— — mit Nemaphyllit . BB XVI *383*
— Bakal'sche Gruben, Südural . . . . . 02 II 347
— Baltschiederthal, Wallis, Mineralien im Triasdolomit . . . . 1900 I *17*
— Binnenthal, Kryst. . 04 I 181
— —, Zwill. n. ∞ R. . CBl 1903 149
— —, Mineralien 1901 II 201 04 I 181
— Californien, dient als Geld . . . . . 01 I 367
— Elba, Phosphorescenz u. chemisch . . . . 1900 II 14
— Hrubschütz, Mähren 03 I 401
— Kintsiniemi, Dolomitbruch . . . . . 02 II 362
— Kurland, pseudomorph nach Steinsalz . . . 01 II 6
— Oulx, ob. Dora Riparia, im Gyps . . . 1900 I 28
— Reschitza, Quarz pseudomorph nach . . . 04 II 7
— Rhätikon, östl. . . . 1900 I *127*
— Rosenegg . . . . . 01 I 30
— Simplon-Tunnel, im Anhydrit . . . . . 04 II 228
— Steven's Point, N. J. 04 II 37
— Wildkreuzjoch, regelm. Verwachsung m. Nemaphyllit . . . . . 03 II 328
— Wirralbergwerk, Uebergang in Kohle . . . 03 I 76

)and, übergehend
ohle . . . . . CBl 1901 665
)n
rol . . . . . 1904 I 252
'ektonik . . . . 01 II 417
gebiet, Luganer
ı . . . . . 04 II 244
sche Kalke und
el, Portugal . . 1900 I 234
sirung, Aspen
ıg Distr., Col. . 01 II 433
narmor, Etusis,
sch-Südwestafrika BB XIX *309*
iffe, Lagerung,
ikon . . . . . CBl 1901 *233*
Serie, Transvaal 1900 I *115*
esische Eruptiv-
ine . . . . . CBl 1903 686
ılische Eruptiv-
ine . . . CBl 1903 685. 686
)ordogne- u. Lot-
ronne- . . . . CBl 1901 177
t
tl., Kryst. . . . 04 I 7
Superior . . . 02 I 7
t = Federerz . CBl 1904 314
a, Westindien,
)gie CBl 1902 247 CBl 1903 *305*
he Eruptivgest. CBl 1903 686
che Eruptivgest. CBl 1903 686
he Eruptivgest. CBl 1903 685
he Eruptivgest. CBl 1903 685
obere, Thalge-
nte . . . . . CBl 1903 *597*
hotter, älteste,
ndingen—Ulm . BB XIX *1*
rrassen u. Alter
Eisernen Thors . CBl 1904 92
flüsse, Walachei,
. . . . . 01 I 293
ıtrum, Schichten
Venus konkensis,
:a-Fluss . . . . 1900 II 123
ecken
)nflora . . . . 02 I 321
'alaeozoicum . . 02 II 106
kohlen, mikrosk.
rsuchung . . . 01 II 82
Höhenzug, Tek-
. . . . . CBl 1903 *644*
he Eruptipgest. CBl 1903 685
ische Eruptiv-
ine . . . . . CBl 1903 685
echung, Bestim-
; des Charakters
1900 I 48 CBl 1901 *653*

Doppelbrechung
— Charakter, mikrosk. Beobachtungsapparat 1902 II 401
— Bestimmung mittelst der Universalmethode 03 I 1
— — von Mineralien in Schliffen durch das Maximum der D. . . 01 II 334
— für versch. Farben . 03 I 359
— reg. Krystalle durch Druck . . . . . 03 II 165
— transversalschwingender Glasplatten . . 03 II 6
Doppelgang, Schriesheim, Odenwald . . . . . CBl 1904 *622*
Doppelsalze
— Beziehungen zu Mischkrystallen . . . . BB XVIII *377*
— isomorpher Salzpaare CBl 1904 *513*
— tetragene . . . . . 04 II 349
— Unterscheidung von Mischkrystallen . . . CBl 1904 *641*
Doppelspath, Island, Production . . . . . CBl 1902 664
Doppeltbrechende Krystallplatten, Photographien von Interferenzerscheinungen im converg. Licht . CBl 1904 472
Doppeltbrechende Krystalle, Totalreflexion BB XX *311*
Doppelverticalpendelseismograph . . . . 1900 I *151*
Dopplerit, Fichtelgebirge CBl 1901 *519*
Dopyrische Eruptivgest. CBl 1903 685
Doquarische Eruptivgest. CBl 1903 684
Dorcas, quartär, Algier 01 II 146
Dordogne-Thal, oberes, Geologie . . . . . 01 II 389
Dorygnathus . . . . . 02 II 480
Dosalanische Eruptivgesteine . . . . . CBl 1903 680
Dosinia, Morphologie d. Schlosses . . . . . BB XIII *168*
— patagonica, Paraná-Stufe . . . . . BB XIV *204*
— vicentina, Quiriquina-Schichten . . . . BB XVIII *242*
Dosodische Eruptivgest. CBl 1903 685
Dotilische Eruptivgesteine CBl 1903 685
Douvillina elegans, Untercoblenz, Oberstadtfeld i. Eifel . . . . . 03 I 528
Drehungsvermögen. kinet. Theorie . . . . . 1900 II 5
Dreikantner, Entstehung CBl 1903 *593*

Dreispitzenzirkel, Anwendung für kryst. Zwecke . . . . . 1903 II 311
Dreissensia anisoconcha, baraganica, Benedeni, berbestiensis, Brusinae, Bukowskii, filifera, Fischeri, graecata, Huoti, impar, irregularis, Pallasi, pontocaspica, Retowskii, Theodori, Tschaudae, lebend u. fossil, Eurasien . . . . . 01 II 319
Dreissensidae
— fossile, S.-W.-Frankr. 1900 II 315
— (Dreissensia), leb. u. foss., Eurasiens . . 01 II 319
Dreissensiomya Fuchsi, Kamyschburun . . . 01 II 319
Dreissensiomyen, foss. u. leb., Eurasien . . . 01 II 319
Drepanaspis, Silur, Schottl. 01 I 506
Drepanura Ketteleri, Schantung, Obercambr. 04 II 323
Drifttheorie. J. J. Ferber ältester Vertreter . CBl 1901 *705*
Drillia adelomorpha, Bonneti, ferenuda, karikalensis und quadricarinata, Pliocän, Karikal . . . . . 02 I 296
— aegyptiaca, Nummulitenfauna, Egypten. 02 I 464
— erronea, Eocän, Loire inférieure . . . . . 03 I 128
— santacruzensis, patag. Formation . . . . . 02 I 295
Drimys levifolia, Tert., Bungonia, Australien 04 I 157
Dromocyon vorax, Eocän, Bridger bed . . . . 04 I 453
Druck
— Einwirkung auf das elektr. Leitungsvermögen . . . . . 01 I 440
— hoher, Einwirkung auf feste Körper . . . . CBl 1901 142
— Umformung v. Kalkspathkrystallen und Marmor . . . . . 03 I *160*
Druckfestigkeit. Feldspath u. Quarz . . . CBl 1902 *262*
Druckproducte, Lausitzer Biotitgranit u. dessen Diabasgänge . . . . 04 I 41
Drucksuturen, Beziehg. zu Stylolithen . . . 1903 I 59
Drumlin-Landschaft, Nord-Deutschland . . . . . 01 I 289
Drumlins, Labrador . . 01 I 448
Dryandroides gleinoglypha, Chlomeker Schichten, Böhmen 1900 II 496 01 I 527
Dryas-Flora, Schweden . 1900 II 495
Dryas-Thone, Lübeck . 04 II 127
Dryopithecus, Unterkiefer, St. Gaudens (Haute-Garonne) 1901 I 497 01 II 145
— Darwini, II. Medit.-Stufe, Neudorf a. March CBl 1903 *179*
— Fontani, menschenähnl. Zähne im Bohnerz, schwäb. Alb . . 1900 I 45
— rhenanus, Femur . . 01 II 14
Dschebel Garra, Egypten, Geologie . . . . . 04 I 26
Dualina? Soreili, Kohlenkalk, Visé . . . . . 01 II 45
Ducktown, Tennessee
— Erzgänge, Anreicherung durch Zersetzung 01 I 37
— Kupfererze . . . . . 03 II 18
Ducktownit, Ducktown, Tenn. . . . . 03 II 190
Dünen
— Egypten, Flussthal-, Quartär . . . . . 02 II 108
— Nildelta . . . . . 02 II 215
— siehe auch Wanderdünen.
Dünenbau, Handbuch . CBl 1900 161
Dünnschliffe
— Anfertigung . . . . 1900 I 346
— Bestimmung von Brechungsindices . . 04 II 2
— Bestimmung v. Mineralien, optisch . . . 1900 I 217
1901 II 334 02 II 217
— kryst. Orientirung in Mineraldurchschnitt. CBl 1903 *554*
— mikrophotogr. Aufnahme . . . . . CBl 1903 *628*
— Verhalten d. Canadabalsams . . . . . 04 I 377
Dünnschliffmineralien, Bestimmung . . . . . 1900 I 217
Dürrheim, Baden, Geol. 03 I 464
Dürrloch bei Schwaighausen, unweit Regensburg, quartäre Höhlenfauna . . . . . 01 I 479

Dufrenit, umgewandelt aus Triplit, Mähren . 1901 I 355
Dufrenoysit, Binnenthal 03 I 377
CBl 1901 761 CBl 1903 25
Dumasella pretiosa, Eocän, Loire inférieure . . 03 I 128
Dumortieria Paronii u. Taramellii, Lias, Centralappennin . . . . . 01 I 165
Dumortierit
— Vorkommen im Granit 03 II 179
— Zusammensetzung . 04 II 27
— Clip, Yuma Co., Ariz. CBl 1902 505
— Ratkovic, Mähren . CBl 1904 *360*
— Veltlin, im Pegmatit 1900 II 362
Dunderlandsthal, Norw., Eisenerzlager . . . 04 II 414
Dunit
— Humboldtbai, Neu-Caledonien . . . . . CBl 1901 *649*
— Koswinsky Kamen, Ural . . . . . 02 II 387
— Maisur, verwittert . 03 I 78
— Massachusetts, westliches . . . . . 1900 II 69
— Ural, nördlicher . . 03 II 364
Dunmail-Raise (Lake District), Entstehung 1903 I 51 CBl 1901 314
Durbachit . . . . . CBl 1902 *684*
Durchschnitte gesteinsbild. Min. in Dünnschliffen, kryst. Orientirung . . . . . 02 II 219
Durchstechapparat für kryst. Zeichnungen . CBl 1904 *461*
Duruma, Meteoritenfall 1900 I 352
D'Urville-Insel, Neu-Seeland, Nephrit im Muttergestein . . . CBl 1901 *334*
Dwina, nördliche, Saurier CBl 1901 213
Dwyka-Conglomerat
— Südafrika . . . . . 1900 I *115*
— Perm, Transvaal, glacial 01 II 274
Dynamik d. Krystalle . CBl 1900 *313*
Dynamitsprengungen, Einwirkung auf Gneiss 1900 I 416
Dynamometamorphe Erscheinungen, nord. Granitgneissgeschiebe 1900 II *39*
— Granite, Böhmen . . 02 II 423
Dynamometamorphose
— allgem. Bedeutung, auch bei Meteoriten 1900 II 205
— und Piëzokrystallisation . CBl 1901 51 CBl 1902 *193*
Dynamometamorphose
— bei Entstehung des Marmors . . . . . BB XIX *197*
— Kullen-Vorgebirge, Schweden . . . . . 1900 I 222
— Loch Awe-Gegend, Schottland . . . . . 1900 II 222
— Rhätikon, östl. . . . 1900 I *121*
Dysanalyt, Monzoni, Contactmineral . . . . CBl 1901 *678*
Dystrophaeus viaemalae, Jura . . . . . BB XIX *319*

E.

Eatonia eifeliensis und peregrina, Untercoblenz, Oberstadtfeld . 03 I 528
Eberbach, Odenwald, Grabenverwerfung . 03 I 473
Eberhardt-Höhle, Ultima Esperanza, Patagonien, Kunstproducte und Säugethierreste . . . 04 I 121
Ebreuil-, Golf, Oligocän 1900 II 126
Ecca-Schichten, Südafrika 1900 I *115*
Echetus, Trias, Hallstatt 02 I 144
Echiniden
— Aude, endocyclische, eocäne u. System . . 1900 I 141
— Barcelona, Provinz . 03 I 529
— Ciply, Kreide . . . . 1900 I 480
— Cuba . . . . . 1900 I 141
— Egypten . . . . . 1900 I 317
1903 I 531 CBl 1902 213
— —, tertiäre . . . . 1900 I 317
— Libanon, Kreide . . 1900 I 479
— Mte. Gargano, Eocän 04 I 465
— Piemont, tertiäre Spatangiden . . . . . 1900 I 141
— Piemont u. Ligurien, tertiäre . . . . . 03 II 453
— Suez, recent u. fossil 04 II 426
— Vogesen, Unt. Carbon d. Rossbergmassivs . 01 II 158
Echinobrissus ghazirensis, Kreide, Libanon 1900 I 480
Echinocardium geneffense, Miocän, Egypten . . 03 I 532
Echinocaris sloliensis und Whidbornei, Marwood beds, Sloley Quarry b. Barnstaple 1903 I 544 04 I 144
Echinocorys, Species der Landes (Frankreich) 03 I 529

Echinocorys belgicus, Kreide, Ciply . . . 1900 I 481
— ciplyensis, Kreide, Ciply . . . . . 1900 I 480
Echinocystis pomum, englisches Silur . . . . 1900 II 322
Echinodermen
— Literatur für 1898 . 1900 II 162
— — 1899—1901 . . . 03 I 528
— Systematik v. Sollas 1900 II 322
— von Loriol . . . . 03 II 454
— Elginsandstein, Abdrücke . . . CBl 1901 *261. 473*
— schwäb. Meeresmolasse 04 II 458
Echinodermenbreccie, palaeoz., als Diluvial-Geschiebe in Norddeutschland . . . . 01 II 132
Echinodiscus, Chemungsandstein . . . . . 03 I 172
multidactylus, palaeoz. 01 II 324
Echinofauna. oligomioc., der Gardaseesenke . 04 I 152
Echinogale gracilis, Oligocän, Pyrimont und Challonges . . . . . 04 I 445
Echinoidea, engl. Silur . 1900 II 318
Echinoidenstacheln und deren systemat. Bedeutung . . . . . BB XIII *185*
Echinolampas amygdalina, minichensis und praecedens, Nummulitenschichten, Egypten . . . . . 01 II 484
— cassinellensis, Oligocän, Piemont . . . . 1900 II 486
— Eberti, Doberg . . . 1900 II 161
— hydrocephalus, Justinae, subaffinis und Zignoi, Priabona-Schichten . . . . . 04 I 283
— Laurillardi, Manzonii, Rangii u. Richardi, Abgrenzung . . . . 04 I 152
— Lepsiusi, Tertiär, Südtirol . . . . . 1900 II 161
— Meslei, Pliocän, Egypten . . . . . 03 I 533
— Morgadesi, Eocän, Barcelona . . . . . 03 I 530
— Orlebari, Miocän. Egypten . . . . . 03 I 532
— tumidopetalum . . . 1900 I 317
— Yoshiwarai, Kreide, Japan . . . . . 03 II 454
Echinopedina Ameghinoi, Tert., Patagonien . 1903 II 454
— granulosa, Eocän, Barcelona . . . . . 03 I 530
Echinosphaeridae . . . 01 I 321
Echinostella Traquairi, palaeozoisch . . . . 01 II 324
Echinus, Stacheln . . . BB XIII *206*
Ectocentrites, U. Lias, nordöstl. Alpen . . . 1900 I 312
Ectoconodon, Verwandtschaft . . . . . 02 I 473
Ectomaria exigua und girvanensis, Silur, England . . . . . 02 I 311
— Ecuador, Geologie u. Gesteine . . . . 1903 II 209. 218
— —, Gesteine d. Westcordillere . . . . . 1900 I 409
Edaphodon pliocenicus, Pliocän, Parma u. Piacenza . . . . . 1900 I 466
Edaphophyllum, New York, palaeozoisch . . . . 03 I 484
Edelopal, White Cliffs, NS.-Wales 1902 II 169 BB XIV *473*
Edelsteine
— Erkennung etc. . . . CBl 1901 203
— Wirkung d. Lichts . 03 I 360
— Ceylon . . . . . 02 I 194
— Madagascar . . . . CBl 1902 697
— Nordamerika, Production 1896 u. 1897 1900 I 199. 200
— — 1898 . . . . . 01 I 32
— — 1899 u. 1900 CBl 1902 401. 405
— — 1901 . . . . . 03 II 38
— — 1902 . . . . 1904 II 196. 365
— Washington, National-museum . . . . . 03 II 11
Edelsteinseife, Seufzergründl, Sachsen . . 01 I 21
Edentata, Pyrotherium-Schicht, Argentinien 1900 II 305
Edenville-Subtypus, Aetzfiguren d. Hornblende 1900 II 339
Edestiden . . . . . 1900 II 144
Edestus, Coal-measures, England . . . . . CBl 1904 57
Edmondia Bittneri, unt. Carb., Balia Maaden, Kleinasien . . . . . 02 I 115
Edolo-Schiefer, Adamellogebiet . . . . . 02 I 65
Edrioaster Buchianus, Devon, Denbigshire . 04 I 153

Edrioasteroidea . . . . 1904 I 153
Egeran, Pisek . . . . . 01 II 202
Egertonia Gosseletii etc., Sande mit Unionen u. Teredinen, Epernay 02 II 302
Eggenburg b. Wien, Tertiär 1900 I 124 1904 I 273. 275
Eglestonit, Terlingua, Texas . . . . . 04 I 339
Egypten
— Gizeh, Pliocän . . . 01 II 484
— Conchylien, Eocän- . 04 II 459
— —, Tert. u. Pleist. . 01 II 300
— Dünen u. Nildelta 1902 II 108. 215
— Echiniden 1903 I 531 CBl 1902 213
— —, tertiäre . . 1900 I 317. 318
— Fayum-Depression etc. 03 I 487
— Fische, eocäne . . . 01 II 148
— Foraminiferengesteine des Tertiärs . . . . 03 I 484
— Gastropoden d. Untertertiärs . . . . . 02 I 483
— Geologie . . . 1902 I 99 ff. 427 1902 II 109 1904 I 268 ff.
— — d. westl. Wüste . 01 I 92
— geolog. Aufnahmen . 01 II 90
— Haifischzähne im unt. Mokattam bei Wasta 03 I *29*
— Kerunia (Hydractinia) cornuta, Eocän . . . CBl 1902 *46*
— Korallen, tert. u. cret. 01 II 162
— Kreide, Petrefacten . 01 I 281
— — von Abu-Roach . 02 II 423
— —, oberste, d. libyschen Wüste . . 1903 I 507. 509
— Miocänmollusken . . 01 I 283
— Natronthal . . . . . 1900 I 236
— Nematognathiden des Diluviums u. Tertiärs im Fajum u. Natronthal . . . . . 04 I *1*
— Neogen u. seine Pectinidenfauna . . . . CBl 1900 *209*
— Nil zur Tertiär- und Quartär-Zeit . . . . 03 I 485
— Palaeogen . . . . . CBl 1901 *265*
— Patelliden- u. Foraminiferenkalke des Tertiärs . . . . . 01 II 164
— Phosphate, Asphalt, Asphaltkalk u. Petroleum, Vorkommen 1904 II 237. 425
— Phosphatlager . . . 01 II 429
— Pliocän u. Quartär . 02 II 106
Egypten
— pliocäne Säugethiere d. Natronthales . . 1904 II 304
— Quartär von Alexandrien . . . . . 04 II 426
— Säugethiere . . . . 02 II 459
— —, eocäne . . . . . 03 I 565
— —, tertiäre . . . . 01 II 460
— Seeigel u. Seesterne, tertiäre . . . . . 01 II 482
— Tertiär 1901 II 482 02 I 121
— —, Petrefacten . . 1901 II 482 ff.
— Wirbelthiere, tertiäre 02 I 466
— und Sinai, Seeigel . 02 I 148
— und Syrien, Vola-Arten d. Neogens . . BB XVII *163*
Ehlit, Frauenstein bei Wiesbaden . . . . . 1900 II 31
— Böhmen, im Felsitporphyr, Kozakow . 02 I 64
Ei, fossiles, Süd-Dakota 01 I 156
Eier
— Aepyornis 1901 I 302 02 I 305
— Eryapteryx, Tertiär, Neu-Seeland . . . . 04 I 138
— und Zähne jurass. Chimäriden . . . . BB XIV *540*
Eibenstocker Granit . . 02 II 53
Eifel
— devon. Faunen . . . 01 I 139
— — Fischreste . . . 1900 I *64*
— Jovellania triangularis, im Mitteldevon CBl 1900 *118*
Einfach-Schwefeleisen, heterom. Modific. . . 1900 II 346
Einschlüsse
— in Eruptivgesteinen . 01 I 404
— im Kies, Rammelsberg b. Goslar . . . . . 04 I 398
— im Quarz . . . . . 04 I 16
Einschmelzungstheorie . CBl 1900 189
Eis
— Ausflussgeschwindigkeit 02 I 337
— aus Schnee . . . . . BB XVIII *87*
— Elasticität und innere Reibung . . . . . 04 I 14
— Kornwachsthum durch Druckschmelzung . . 01 I *40*
— Krystallform . . . . CBl 1902 215
— Krystallform v. Hagelkörnern . . . . . 01 II 175
— Mitwirkung bei Gypsbildg., Tunkinsk'sche Alpen . . . . . 01 II 68
— regelmässige Orientirung d. Krystalle 01 I 438

Eis
— Structur u. Bewegung 1901 I *37*
— — u. Gletscher . . CBl 1902 *225*
— Translationsfähigkeit 1900 II *80*
— —, Beziehung zur Temperatur . . . . 01 I *38*
— Beresawka, N.-O.-Sibirien, Boden- . . . CBl 1902 409
— Feldberg, 1901 . . . 02 II 185
— Grönland, Inland- . 1900 I *71*
— Sibirien, Bodeneis 1903 II 348 CBl 1902 411
— siehe auch Glacial.
Eisbildung im Sommer in Lava des Vulcans von Côme, Auvergne 02 II 373
Eisdecke d. Salzigen Sees, Faltung . . . . . 03 II 50
Eisdruck
— deformirt die Erde . 01 I 382
— u Tektonik, Rügen 04 II 123
Eisen
— culturhistorisch . . . 1900 I 175
— eines Schmelzofens, d. Kupferkies u. Buntkupfererz verdrängt. 02 II 336
— geätzte Schliffe . . . 1900 I 174
— künstl., chemisch . . 01 II 10
— Legirung mit Ni . . 1900 I 352
— Umwandlung d. Kleingefüges . . . . . 01 II 172
— Dettelbach b Würzburg 04 II 349
— Long Creek, Jefferson Co., Tenn., künstl. . 1900 I 353
— Mähr.-Trübau . . . CBl 1904 *356*
— siehe auch Meteoriten.
Eisenalaun, magnet. Influenz . . . . . BB XIX *419*
Eisenanhäufungen in Mooren 1901 II 379 02 I 288
Eisenarsenid, Ofenprod. 1900 I 23
Eisenbakterien, d. Schlamm d. Limane verändernd 1900 I 225
Eisenboracit, Modificationsänderung . . . . . 1900 II *168*
Eisencarbid im Eisen . 01 II 10
Eisen- u. Mangan-Carbide u. Silicide, Kryst. 1904 I 6 CBl 1903 26
Eisenchlorid, Wasser u. Salmiak, Gleichgew. 1900 I 335
Eisenerzbergbau, Schweden 04 II 413
Eisenerze
— Löslichk. in Flusssäure CBl 1902 *647*
— Adirondacks, Titaneisen . . . . . 01 II 410

Eisenerze
— Ain Oudrer, Algier . 1900 I 400
— Bilbao . . . . . 04 II 74
— Bray, Neocom 1901 I 427 03 I 88
— Campiglia Marittima 01 I *147*
— Cartersville, Georgia 03 I 89
— Centralrussland, Paragenesis . . . . . 01 II 407
— Crystal Falls, Michigan 01 II 411
— Graubünden . . . . 03 I 86
— Harz, Rotheisenstein, Entstehung . . . . 03 I *179*
— Helgelöt, Schweden . CBl 1902 571
— Kaluga, Gouv. . . . 01 II 408
— Lombardei . . . . . 01 I 431
— Lothringen, Entstehg. 01 I 428
— — und Luxemburg 1902 II 88. 90 CBl 1901 *410*
— Neu-Schottland . . . 02 I 363
— Ontario, Canada . . CBl 1902 241
— Orel'sches Gouv. . . 01 II 409
— Pennsylvanien, cambrosilur. Limonit . . 03 I 87
— Saratow, Gouv. . . 01 II 408
— Sasurk'sche Wälder, Gouv. Simbirsk, unt. Kreide . . . . . 01 II 406
— Stubai-Thal . . . . 03 I 86
— Toul, Umgegend, im Jura . . . . . 01 I 428
— Ural . . . . . 03 I 263 ff.
— —, südl. . . . . 04 I 85
— Vareš in Bosnien . . 01 I 428
— Verein. Staaten, Prod. 1901 . . . . . 04 I 34
— Wesergebirge b. Minden, oolith. Rotheisenstein . . . . . 04 II 412
— siehe auch Eisenerzlagerstätten.
Eisenerzgruben, südlicher Ural . . . . . 01 II 402
Eisenerzlagerstätten . . 1900 I 78 ff.
— siehe auch Erzlagerstätten u. Eisenerze.
— Beziehung zu Diabas 1901 I 426 03 I *179*
— Concentr. d. Elemente 1900 II 242
— Entstehung d Contact- 1900 II 245
— Bogoslowsk . . 1903 II 234. 235
— Cogne (Piemont), Magneteisen . . . . . 04 II 413
— Dunderlandsthal, Norw., regional-metam. . . 04 II 414
— Elba . . . . . 04 II 413
— Gonzen b. Sargans . 03 I 85

Eisenerzlagerstätten
— Lothringen, Entstehg. d. oolith. . . . . 1903 II 380
— Mähren, Devon. . . 01 I 426
— Magnitnajaberg bei Werchnjeuralsk. . . 03 II 235
— Michipicoton, Ontario 1901 I 186 03 II 340
— Neumarkt in Obersteier . . . . . 04 II 412
— Nikolajewski Zawo (Irkutsk), Magneteisen 04 II 416
— Nordmark, Schweden 01 I 434
— Portugal . . . . . 04 I 234
— Römerstadt, Mähren 03 II 380
— Schweden, mittl. 1901 I 432. 434
— Tula, Gouv. . . . . 03 II 249
— Varanger (südl., Finmarken), Magneteisen 04 II 415
Eisenführende Gesteine, Disko . . . . . 03 I 182
Eisengehalt d. Staubfalls, 10. u. 11. März 1901, Europa . . . . . 03 II 362
Eisenglanz
— Bildung im Magma . 1900 II 250
— Krystallformen . . . 04 II 351
— Löslichkeit in H Fl . CBl 1902 *648*
— magn. Influenz . . . BB XIX *419*
— Neubildg. d. Schmelzen BB XVII *512*
— Schmelzpunkt . . . 04 II 167
— verwachsen m. Glimmer BB XVI *388*
— — mit Kalkspath . BB XVI *373*
— — mit Magneteisen (Magnoferrit u. Ceylanit) . . . . . BB XVI *344*
— — mit Magnoferrit . BB XVI *447*
— — mit Rutil . . . . BB XVI *376*
— Aarmassiv in Biotitprotogindrusen . . . BB XIV *86ff.*
— Ain Oudrer, Algier . 1900 I 400
— Antonio Pereira, Bras., Krystalle . . . . . 04 I 345
— Bogoslowsk'sches Bergrevier . . . . . 1900 I 344
— — —, Magneteisen ps. n. (Muschketowit) 1900 . I 344
— Gosenbach, Siegen, ps. nach Eisenspath 03 II 325
— Grönland . . . . . 1900 I 349
— Grunbach (Niederösterr.), im Gyps . . 04 II 207
— Hessen-Nassau, im Pikrit . . . . . BB XVIII *323*
— Hood River, Oregon (Blutstein) . . . . . 03 II 41
Eisenglanz
— Mte. di Avane (Pisa), im schwarzen Kalk . 1904 II 218
— Neumarkt (Obersteier) 04 II 412
— Prägraten . . . . . 04 I 15
— St. Gotthard (Eisenrose) 04 I 168
— Tulomosersk, Gouv. Olonez, in Gängen . 03 I 262
— Tvedestrand, im Sonnenstein . . . . . CBl 1902 441
— Waldenstein, Kärnten 04 I 179
— siehe auch Rotheisenstein.
Eisenglanzlager, Canada, am Michipicoton-Fluss 1901 I 186 03 II 340
Eisenglanzschuppen, Lage im Oligoklas v. Tvedestrand . . . . . 03 I 24
Eisenglanz-Magneteisengemenge, Dunderlandsthal, Norwegen 04 II 414
Eisenglimmerschiefer
— Jarmeritz, Mähren 1902 II 422 03 I 273
— Trebitsch u. Jarmeritz, Mähren . . . . . 03 I 273
Eisenhydroxyd . . . . . 02 II 345
— und Schwefeleisen in Böden d. Limane und d. Schwarzen Meeres 1900 I 224
— Kintsiniemi, Dolomitbruch . . . . . 02 II 362
Eisenindustrie
— der Welt . . . . . 01 II 74
— Togo . . . . . 03 I 87
Eisenkappel u. Kanker, Mähren, geol. Karte 1900 II 261
Eisen- u. Manganformation, Freiberger Revier . . CBl 1901 250
Eisennickelkies, Sudbury, Canada . . . . . 04 II 364
Eisenoxyd
— in Mooren . . . . . 01 II 379
— und Hydrate . . . . 02 II 345
— Krystallisationsbedingungen . . . . 03 I 383
Eisenoxyde, Portugal, im Staubfall vom Januar 1901 . . . . . CBl 1902 *260*
Eisenoxydul, Bestimmung in Gesteinen . . . . 02 I 55
Eisenoxydulnitrat, Vesuv 02 I 209
Eisenrose, St. Gotthard 04 I 168
Eisensalmiak, Kryst. . . 03 II *94*
Eisenschefferit, Kaukasus 02 II 350

Eisenspath, siehe Spatheisenstein.
Eisensulfate, natürl., Constitution u. Entstehung 1901 II 34 1903 I 36 1904 II 191
Eisensulfide, natürliche, chem. Reaction auf Kupfer und Silber bei gew. Temp. . . . . CBl 1901 *401*
Eisenvitriol
-- Alma Mine, Calif. . 04 II 37
— Falun . . . . . 02 II 29
Eisenvitriolähnl. Sulfat, Montana, faserig . . 01 I 34
Eisenwolframit, Dakota 02 I 353
Eiserner Hut, Silverton Quadrangle, Colorado 03 II 344
Eisernes Thor, Alter . . CBl 1904 92
Eiserosion am Grindelwaldgletscher . . . 1900 II 46
Eisgeschwindigkeit, Hintereisferner . . . . 01 I 390
Eishöhlen
— Firnhalde . . . . . 1900 I 208
— Tropfeis . . . . . 1900 I 208
— u. Höhlencis, Erzgeb. 1900 I 207
Eiskrystalle
— d. Eishöhlen . . . . 1900 I 208
-- plattige Grundform . 01 I *46*
— Feldberg 1901 . . . 02 II 185
Eismeer, nördl., hydrolog. u. biolog. Forschungen . . . . . CBl 1901 *443*
Eismeertransgression, quartäre, a. Wilui, Sibirien CBl 1904 *234*
Eissee, Centraljemtländer 1900 I 454
Eisstudien . . . . . BB XVIII 57
Eiszapfen, Structur . . 02 II 185
Eiszeit
— Einheitlichkeit d. quartären . . . . . BB XVI *1*
— Erklärung ihrer Ursachen und Perioden 1902 II 373. 443. 447
— muthmassl. Ursachen 02 II 443
- Theorien . . . . . 02 II 447
- Alpen . . . . . 03 I 514
— —, vierte . . . . . 1900 II 443
— Australien . . . . . 02 II 129
— Kola . . . . . 1900 II 450
— Riesengebirge . . . 1900 I 127
— —, nördliches . . . 01 I 96
- - südl. Halbkugel und Erklärung . . . . . 1900 I 110
— siehe auch Glacial, Quartär etc.
Eiszeitalter, Alpen im . 1903 II 51
Eiszeit-Problem 1903 II 114 CBl 1904 280
— rechnerische Behandlung . . . . . 04 II 129
— siehe auch Glacial, Quartär etc.
EkbainacanthusTschernyschewi, Spitzbergen, Trias . . . . . 03 II 440
Eklogit
— Aiguilles Rouges . . 04 I 69
— Bergensgebiet, Norwegen . . . . . 04 II 395
— Cornu-See, Aiguilles Rouges . . . . . 03 I 416
— Kola . . . . . 02 II 385
— SchweizerPfahlbauten BB XVI *166* BB XX *136*
Eklogitischer Glimmerschiefer, Biella, Feldspath-Uralitisirung . 02 II *112*
Eläolith
— geschmolzen, Lösungsvermögen . . . . . CBl 1902 *201*
— Krystallisationsvermögen und -geschwindigkeit . . . . . CBl 1903 *615*
— und Augit, zusammengeschmolzen . . . . CBl 1904 *742*
— und Hedenbergit, zusammengeschmolzen CBl 1903 *748*
— und Korund, zusammengeschmolzen . . CBl 1904 *710*
— siehe auch Nephelin.
Eläolithgestein, Monzoni 03 II 70
Eläolithsyenit
— Cabo Frio bei Rio de Janeiro . . . . . 02 II 400
— Kenya, Ostafrika . . 02 I 232
— Langesund, Norwegen, Mineralien . . . . . 1900 II 366
— Mariupoler Kreis, Südrussland 1900 I 395 02 II 394 1904 I 220 CBl 1901 727
— Miask . . . . . 01 II *124*
— Mt. Jombo, Ost-Afrika 02 I 236
— Picota, graph. Darstellung d. Zusammensetzung . . . . . 1900 I *111*
— Schottland, nordwestl. 01 I 72
— Transvaal . . . . . 1900 I *117*
Eläolithsyenitaplit, syst. Stellung . . . . . 03 II 357
Eläolithsyenitgeschiebe, nordwestl. Moldau . 1900 II 393

Eläolithsyenitporphyre, systemat. Stellung . 1903 II 357
Elasmocoenia Kittliana, Gosauschichten, Ost-Alpen . . . . . 04 II 153
Elasticität
— fester Körper b. hohem Druck . . . . . CBl 1901 141
— d. Gesteine und Fortpflanzung d. Erdbebenwellen . . . . . 02 I 51
— d. Metalle, Einfluss d. Temperatur . . . . 03 II 164
Elastische Wellen und Erdbeben . . . . . 01 II 373
Elba
— Eisenindustrie . . . 04 II 413
— Gesteine . . . . . 03 I 250
— Porphyrgesteine . . 1900 I 53
— Mineralien d. turmalinführ. Gänge . . . 01 II 355
— Turmalin, neue Var. 1900 I 192
— Zeolithe im Granit . 01 II 30
Elbe, obere, Denudation 02 II 212
Elbthal, böhm., Quartär 01 I 481
Elbthalgebirge, sächsisches, Alter des Ueberquaders . . . . . 1900 II 438
Elb-Urstromthal . . . . CBl 1902 376
Elbing, Diluvium . . . BB XVI *87*
Elbingeröder Mulde, Wissenbacher Schiefer . 01 II 421
Elbrus, hypersthenführ. Andesit . . . . . 1900 I 230
Elch, Themsethal . . . 04 II 314
— siehe auch Elenthier.
Elektrische Oefen CBl 1901 *680* CBl 1902 *426*
Elektr. Leitfähigkeit einiger Schwefelmetalle BB XX *365*
— Leitungsvermögen, abhängig vom Druck 01 I 440
Elemente
— Paragenesis . . . . 1900 II 243
— relat. Seltenheit . . 1900 II 239
— relat. Verbreitung in der Erde . . . 1900 II 239. 242
Elenthier
— Dordogne, im Diluvium . . . . . CBl 1902 215
— La Plagnotte (Ariège) 03 I 563
— Mosbach, Interglacial (Alces latifrons) . . 1900 II 56
— Themsethal . . . . 04 II 314
Elephas, Kurgan, Gouv. Tobolsk, Quartär . . 03 I 324
Elephas antiquus, Jagdthier d. altdiluv. Menschen, Thüringen . . 1902 II 132
— ganesa, Pliocän, Siwalik Hills . . . . 02 II 463
— maximus, Bau . . . 04 II 318
— primigenius, Schädel im Museum in Olten 04 II 139
— —, Toscana, Quartär 1903 I 348. 349 03 II 288
— — odontotyrannus, Dobrudscha . . . . 03 I 349
— trogontherii, Montecatini . . . . . 03 I 349
— —, Schlesien CBl 1901 *588. 683* CBl 1902 *55. 183*
— siehe auch Mammuth.
Elfdalen, Porphyrwerk . CBl 1901 441
Elgin-Sandstein
— Echinodermenabdrücke CBl 1901 *261. 473*
— Invertebraten . . . CBl 1901 *261*
Eliasberg in Alaska, Forschungsreise des Herzogs d. Abruzzen CBl 1901 313
Eligmoloxus Choffati, Z. d. Amm. Renggeri, Lons-le-Saunier . . . 02 I 293
Eliomys hamadryas, Mioc. 02 II 461
Elipsodon Heimi, Rio Negro und Neuquen, Tertiär, Argentinien 1902 I 305. 434
Ellipsactinienkalk, Stellung . . . . . 1900 II 126
Ellipsoglandulina, Zancleano, ob. Tiberthal 03 I 108
Elonichthys disjunctus u. perpennatus, Mazon Creek, Ill., Carbon 1904 I 140. 142
— Scheidi, Culm, Lenzkirch . . . . . 1900 II 144
Elotherium, Osteologie . 02 II 136
Elpidit
— Grönland . . . . . 1900 I 347
— Narsarsuk, südl. Grönland, im Syenit . . 02 I 34
Elsabecken, Toscana, Karsterscheinungen . 01 I 393
Elsass
— geol. Führer . . . . 01 II 421
— Obertertiär-Flora . . 1900 I 486
— Thone . . . . . 02 II 222
Elsass-Lothringen, Gliederung d. quart. Lehmablagerungen u. Mardellen . . . . . 04 I 102

Elsworth-Rocks = St.Ives-Rocks, Jura, England CBl 1901 152
Emarginula, Kreide, Rustschuk . . . . . 1900 I *47*
— gouetensis u. Pissaroti, Eocän, Loire inférieure 03 I 128
— trientina, Z. d. Lioc. opalinum, Rossano in Calabrien . . . . . 1900 II 453
Embolit . 1903 I 378 CBl 1902 186
— Sardinien . . . . . 1900 I 202
EmbolophorusDollovianus, Perm, Texas, vergl. m. Anomosaurus . . . . BB XX *337*
Emeus crassus, Tertiär 04 I 138
Emilia (Appennin von Parma), Erdbeben v. 4. u. 5. März 1899 1900 II 377 01 I 214
Empelde bei Hannover, unt. Lias . . . . . CBl 1902 *33*
Empo lisbonensis, Fort Pierre-Kreide, Kansas 01 II 479
Enallaster Peroni u. Pomeli, Aptien, Algier 02 I 318
Enantiostoma, Trias, Hallstatt . . . . . 02 I 144
Enargit
— verwachs. m. Schwerspath . . . . . BB XVI *404*
— Montana, Analyse . 01 I 34
— Peru . . . . . 04 I 13
— Silverton Quadrangle, Colorado . . . . . 03 II 342
Enchelurus-Arten, Kreide, England . . . . . 04 II 322
Enchodus-Arten, England, Turon . . . . 04 II 322
Enchodus amicrodus und parvus, Niobrara-Kreide, Kansas . . . 01 I 308
Endeiolith, Narsarsuk, südl. Grönl., im Syenit 02 I 36
Endianaulax planicallosum, Infralias, Vendée 04 II 115
Endingen, Pommern, bearbeitete Säugethierknochen . . . . . 01 II 131
Endlichit. Hillsboro, N. Mex. 02 I 186
Endmoräne
— balt., existirt nicht . 04 II 446
— Lieban (Schles.), scheinb. 03 II 415
— Ortelsburg u. Neidenburg . . . . . 01 I 284
— Ostpreussen . . . . 03 II 413
— Schleswig-Holstein . 1900 II 289
Endmoräne
— Weissrussland und Lithauen . . . . . 1903 II 412
— Westpreussen . . . 02 I 122
— siehe auch Moränen, Glacial etc.
Endocontactgesteine, Witim-Plateau . . . 02 I 227
Endopachys Lonsdalei, minutum und Shaleri, Palaeogen, N.-Amerika 04 I 470
Endothyra acutidorsata und rotundidorsata, Bryozoenhoriz., Priabona . . . . . 01 I *126*
England
— Ammoniten d. Unteroolith . 1900 I 314 01 II 316
— Carbon . . . . . 1900 I 113
— Conocoryphe-Species . 01 II 149
— Diluvialgeschiebe des südlichen . . . . . 01 II 455
— erste geol. Karte . . 1900 I 85
— Fische der Millstone grit . . . . . 02 II 482
— foss. Decapoden . . 1900 II 307
— Juraschnecken . . . 01 I 512
— Kreide, Bivalven des Chalk . . . . . 01 I 280
— Kreidebivalven . . . 01 II 154
1903 II 298 04 II 472
— Kreidefische . . . . 04 II 322
— Mineralienverzeichniss 1900 II 36
— Quartär 1904 II 263, 278 CBl 1902 315
— Silur, Clogher Head District, Ireland 1903 I 504 CBl 1902 315
— — Echinoidea und Ophiuroidea . . . . 1900 II 318
— u Wales. geol. Karte 1900 I 252
Engonoceras Gabbi, Hilli u. Gonoceras Stolleyi 02 I 141
Enhydrictis galictoides, Schädel, Pleistocän, Sardinien . . . . . 03 II 429
Enhydrocyon, Tertiär, Nordamerika . . . . 02 I 137
Ennea oppoliensis u. E. oppoliensis var. turrita, tertiäre Landschneckenmergel, Oppeln . . . . . 03 I 540
Enon-Conglomerat, Capland, mit Estherien . 02 II 268
Enon-Schicht., Südafrika 1900 I *115*

Ense-Kalk b. Wildungen
=Greifensteiner Kalk 1902 II 266
Enstatit
— Bildung im Magma . 1900 II 251
— im Kelyphit . . . . 01 I 20
— Mähren . . . . . CBl 1904 *362*
— Massachusetts, im Serpentin, chem. . . . 1900 I 36
— Nord-Carolina . . . 1900 I 32
Enstatitbasalt, künstlich 1900 II 253
Enstatitmassen in rhein. Basalten . . . . . 04 I 209
Enstatitporphyrit
— Elbingerode, Harz, gangförmig . . . . 03 I 233
— Tortworth Inlier, Silur 03 I 76
Entelodon, Gebiss . . . 02 II 466
Entelomorphus . . . . 1900 II 459
Enterolasma, Helderbergian 03 I 483
Entglasung, primäre und secundäre . . . . . 04 II 47
Entoconus, Verwandtschaft 02 I 473
Entolium . . . . . 02 I 317
Entomodus . . . . . 1900 II 459
Entomotaeniata, Jura, Frankreich . . . . 1900 II 153
Entrerios-Stufe, Argent., Mollusken u. Alter . BB XIV *171*
Entrochus rotiformis, Trias, China . . . . 1900 I *212*
Entwässerungsproducte
— des Kalkuranits (Metakalkuranite) . . . . CBl 1901 *709*
— des Kupferuranits (Metakupferuranite) . CBl 1901 *618*
Eocän
— Revision der Pleurotomen . . . . . 1900 II 479
— Aude, Echiniden . . 1900 I 141
— Barcelona, Echiniden 03 I 529
— Beludschistan, Uebergang z. Kreide . . . CBl 1903 *514*
— Buda (Ofen), Bryozoen . . . . . 1900 I 478
— Egypten u. Rumänien, Fische . . . . . 01 II 148
— Gassino, Piemont, Fische 01 I 308
— Huerfano Lake Basin, Col., Säugethiere . . 1900 I 132
— Istrien b. Pinguente 02 I 277
— Kamerun . . . . . CBl 1903 *373*
— Loire inférieure, Mollusken . 1900 II 125 03 I 127
— Mississippi, Louisiana u. Texas, Mollusken 01 I 128
— Monferrato, Gesteine 1900 I 448
Eocän
— Mte. Bolca u. Postale, Fische . . . . . 1900 I 466
— Pariser Becken und Buchsweiler, mittl. . 1900 I 131
— Patagonien, südl. . . 1900 II 427
— Sind, mit Nummuliten und Belemniten . . CBl 1900 138
— Trasimener See . . 01 I 99
Eohippus . . . . . 03 I 352
Eoluidiae, palaeoz. . . . 1900 I 481
Eopsephaea (?) subzonata, Priabona-Schichten . 04 I 283
Eosiren libyca, Fayum, Egypten, pliocän . . 03 I 566
— —, Natronthal, Egypt., pliocän . . . . . 04 II 305
Eospondylus, palaeoz. . 1900 I 481
Epalxis cavasana und Dionysus, Priabona-Schichten . . . . . 04 I 283
— Lemoinei u. subaffinis, Pariser Becken, Eocän 1900 II 479
Epanorthus chubutensis, Pyrotherium-Schichten, Argentinien . . 1900 II 304
Epigenetische Massenbewegungen . . . . 1900 I 367
Ephippioceras clitellarium u. costatum, Carbon, Coalbrookdale . . . 03 I 331
Ephippites peissenbergensis, Molasse, Oberbay. 02 I 280
Epiaster Blayaci und Puyannei, Aptien, Algier 02 I 318
— Leenhardti, Kreide . 01 II 321
— prior, Aptien, Barcelona 03 I 530
— ultimus, Nummulitenschichten, Egypten . 01 II 484
Epicentrum der Erdbeben
— Bestimmung . . . . 04 I 370
— Fortschreiten b. vielen Nachbeben . . . . . 03 II 346
Epididymit
— verwachsen mit Eudidymit . . . . . BB XVI *414*
— Klein-Arö, Analyse . 02 II 361
— Langesund, im Nephelinsyenit, Norw. . . 1900 II 367
— Narsarsuk, Südgrönl., im Syenit . . . . . 02 I 24
Epidiorit, Killiney Park Co., Dublin . . . . 02 II 65
Epidot
— Beziehung zu Zoisit 02 I 13
— Entstehung . . 1902 II 27. 222

Epidot
— Kryst. u. Anal., versch. Fundorte . . . . . 1904 I 25
— magnet. Influenz . . BB XIX *419*
— Polychroismus . . . 04 II 343
— verwachsen mit Orthit 1900 I 400 04 II 390
— — mit Zoisit . . . BB XVI *415*
— Aarmassiv, in Drusen d. Biotitprotogin . BB XIV *76ff.*
— Acherwiese, Fichtelgebirge . . . . . 1900 II 358
— Alaska, Kryst. . . . 03 I 30
— Bogoslowsk'sches Bergrevier, Ural, in Feldspathgesteinen . . . 1900 I 343
— —, —, pseudom. n. Granat . . . . . 1900 I 343
— Brusson, Piemont, im Grünschiefer . . . . CBl 1901 *305*
— Colle del Paschietto, Alathal, gelb . . . 02 II 31
— Comba Peraegüe, Piemont, Kryst. . . . . CBl 1903 *117*
— Cornwall, in bas. Erupt.-Gest., Mantel um Orthit 04 II 390
— Dauphiné, pseudom. nach Axinit . . . . 1900 I 20
— Eule, Böhmen . . . 03 II 25
— Grönland . . . 1900 I 349. 350
— Idaho, Krystalle . . 01 I 195
— Marschendorf u. Zöptau 04 I 30
— Massachusetts . . . 01 I 36
— Philippopel, im Syenit 01 II 363
— Rocca Rossa, Val di Susa, Kryst. . . . . 02 II 203
— Saulera, Alathal . . CBl 1900 *42*
— schott. Granit u. Gneiss, verwachs. mit Orthit 1900 I 400
— Striegau u. Zöptau, Analyse . . . . . CBl 1902 144
— Sulzbach, Krystalle . 1900 I *181*
— Wermsdorf, Mähren . 03 I 198
— Ural, pseudom. nach Olivin . . . . . 01 II 193
— Zöptau, Mähren 1904 II 179 CBl 1902 144
Epidotfels (Klinozoisitfels) eines Steinbeils, Ostpriegnitz . . . . . CBl 1903 *51*
Epinac u. Autun, Kohlenlager, Pflanzen . . . 02 II 164
Epirogenetische Massenbewegungen . . . . 1900 I 367
Episageceras in Perm u. Trias, Indien . . BB XIX *334, 363*
Episageceras dalailamae, latidorsatum und Wynnei . . . . . BB XIX *366ff.*
Epistolit im Eläolithsyenit, Grönland . . 1901 I 373
Epitornoceras Bertrandi u. irideum, Devon . CBl 1902 *172*
Epsomit, siehe Bittersalz.
Equiden
— Stammesentwickelung 04 II 462
— zebraähnliche, Algier 02 II 459
— siehe auch Equus.
Equisetites spatulatus, Ibantelly (Basses Pyrennées) . . . . . 03 I 357
Equisetum Grimaldi, Miocän, Spitzbergen . . 02 II 320
Equus, nordamerik. Arten, Zahnbau u. Revision der Spezies . . . . 04 I 121
Equus Scotti, Pleistocän, Nordamerika . . . . 04 I 122
— —, —, Texas . . . 03 I 562
Equus-Arten, foss., Nordamerika . . . . . 02 II 142
— siehe auch Equiden.
Era-Becken b. Pisa, Pliocänversteinerungen 1901 II 129. 481
Eratopsis rediviva, Priabona-Schichten . . . 04 I 283
Erbendorf, Oberpfalz, Gesteine . . . . . CBl 1904 *577*
Erdbeben
— u. and. Erdbewegungen CBl 1900 134
— Ansichten darüber . 1900 I 41 1900 II 371 1901 I 384 02 I 49
— Art der Fortpflanzung 04 I 370
— — — u. Geschwindigkeit . . . . . 01 I 387
— Beobachtungen am Seismographen . . . 02 II 209
— Beziehung zu Detonationen . . . . . 02 II 206
— Einwirkung auf Säulen 02 I 48
— elast. Wellen . . . . 01 II 373
— Epicentrum, Bestimmung . . . . . 04 I 370
— —, Fortschreiten bei vielen Nachbeben . . 03 II 346
— Erregungsart u. Propagation . . . . . 02 I 346
— Fortpflanzung . . . 01 I 387
Fortpflanzungsgeschwindigkeit u. elast. Constante d. Gesteine 02 I 51

Erdbeben
- Fortschreiten d. Epicentrums bei vielen Nachbeben . . . . . 1903 II 346
- Geschwindigkeit der Verbreitung, scheinb. 1900 II 371
- graph. Darstellung . 03 I 47
- Horizontalpendelstation Hamburg . . . 02 I 383
- siehe auch Erdbebenhorizontalpendel.
- Hypothesen . . . . 1900 I 41 1900 II 371 1901 I 384 02 I 49
- Intensität u. Häufigkeit . . . . . 02 I 381
- Periodicität . . . . 03 II 47
- Seismograph für starke 04 I 371
- submarine . . . . . 1900 I 371
- sussultorische, Beobachtung . . . . . 02 II 209
- Theorie . . . . . 1900 I 41 1900 II 371 1901 I 384 02 I 49
- Verwerfung, entstanden bei Carlisle und Inverness . . . . . 04 I 371
- Wirkung auf Gebäude 02 I 50
- Wirkungen und Ursachen . . . . . 04 II 43
- adriat. Küstengebiet und Marken . . . . 01 I 212
- Agram 9. Nov. 1880 02 II 208
- Aidin, Kleinasien, 19. VIII. 95 . . . . 1900 I 378
- Baden, 14. Febr. und 3. Juli 1899 . . . . 01 I 207
- Balikesri (Kleinasien), 14. Sept. 1896 . . . 01 I 214
- Bayern, der letzten Jahre . . . . . 1900 I 376
- Böhmen 1898 . . . 01 I 209
- —, deutsche Gebiete 1900 . . . . . 03 I 224
- —, nordöstl., 10. Jan. 1901 . . . . . CBl 1901 503
- Calabrien . . . . . 1900 I 377
- —, 16. Nov. 1894 . 01 I 213
- Carlisle, 9. u. 11. Juli 1901, Verwerfungen 04 I 371
- Centralamerika . . . 01 I 49
- Cornwall, 29. März bis 2. April 1898 . . . 02 II 211
- Dalmatien 1898 . . 01 I 209
- Emilia (Appennin von Parma), 4. u. 5. März 1898 . . 1900 II 377 01 I 214
- England 1893—99 . 02 II 211

Erdbeben
- England 1900 . . . 1903 I 225
- erzgebirg. Schwarmbeben, Hartenberg 1824 . . . . . 01 I 210
- Gardasee . . . . . 03 II 48
- Görz u. Gradiska 1898 01 I 208
- Graslitz 1824 . . . 01 I 210
- —, 24. Okt. bis 25. Nov. 1897 . . . . . 1900 II 214
- Guatemala 1902 . . 04 I *44*
- Haiti, 29. Dez. 1897 . 1900 II 377
- Indien, 12. Juni 1897 1900 II 376 1901 II 372 CBl 1901 *482*
- Inverness, 18. Sept. 1901, Verwerfung . 04 I 371
- Istrien 1898 . . . . 01 I 209
- Japan . . . . . 1900 I 205
- —, Hokkaido, 22. März 1894, Nachstösse . . 02 I 49
- —, Mino-Owari, 28. Okt. 1891 . . . . . 02 I 47
- —, Tokyo, 20. Juni 1894 . . . . . 02 I 50
- —, —, Juli 1898 bis Dezember 1899 . . . 02 I 47
- Kärnten 1898 . . . 01 I 208
- Krain 1898 . . . . 01 I 208
- Kremsmünster . . . 02 II 46
- Labuan, 21. Sept. 1897 1900 II 376
- Lahr, 19. Jan. 1897 01 II 208
- Laibach 1851—1886 1900 I 373
- —, Osterbebenperiode 1895—1898 . . . . 02 II 45
- Lissabon, Einfluss auf d. Urquelle in Teplitz 1900 I 203 01 I 386
- —, grosses, Erschütterungsbezirk . . . 02 II 44
- Mähren, Schlesien, Galizien und Bukowina 1898 . . . . . 01 I 209
- Manchester, 27. Febr. 1892 . . . . . 02 I 211
- Messina u. Calabrien 1900 I 377
- Mignano (Rocca monfina), Juni—Juli 1902 03 II 49
- Nicaragua etc., 29. April 1898, Beziehung zu Maribios-Vulcanen . 01 II 208
- Nieder-Oesterr. 1898 01 I 208
- —, 11. Juni 1899 . 02 II 47
- Norwegen 1902 . . 04 I 372
- österr. Länder 1897 1900 I 372
- Oesterreich 1899 . . 02 II 49
- Ostseeprovinzen . . 1900 I 371

Erdbeben
— Palombara Sabina, 24. April 1901 . . . 1903 I 49
— Pergamon, 16. April 1896, Fortpflanzungsgeschwindigkeit . . 1900 II 375
— Rieti, Umbrien, seit 80 v. Chr. . . . . 1900 II 376
— —, —, 28. Juni 1898 1900 II 424
— Rom und Albaner Gebirge, 19. Juli 1899 01 I 215
— Rumänien u. Umgebg. 1900 I 204
— Sachsen 1898 bis Mai 1900 . . . . . 01 II 374
— Salò (Brescia), 30. Okt. 1901 . . . . . 03 II 48
— Salzburg 1898 . . . 01 I 208
— Schemacha (Kaukasus), 13. Febr. 1902, Beziehg. zu Schlammvulcanen 04 I 373
— Schlesien, 10. I. 1901 CBl 1901 253
— Schwarzwald, nördl., 13. I. 95 . . . . . 1900 I 43
— Schweden 1497—1849 04 I 368
— — 1899 bis März 1901 03 I 50
— Sinj-Ebene, Dalmatien, 2. Juni 1898 . . . . 1900 I 377
— Steiermark 1897 . . 1900 II 375
— — 1898 und 1899 1901 I 208. 209
— sudetisches, 10. Jan. 1901 . . . . . BB XVI *199*
— —, —, sächs. Schütter-gebiet . . . . . 03 I 47
— südwestdeutsch., 22. Januar 1896 . . . . . 1900 I 42
— Thy u. Mors, Inseln im Lijmfjord, Jütland 03 I 50
— Tirol 1898 . . . . . 01 I 209
— — und Vorarlberg . 03 II 347
— Tocopilla (Iquique), 9. Mai 1877 . . . . 1900 I 43
— Triest 1898 . . . . 01 I 208
— — 1899 . . . . . 02 II 47
— Tripolis u. Triphylia 1898 und 1899 . . . 02 II 210
— Voigtland 1900 . . 01 II 375
— —. Sept. 1900 bis März 1902 . . . . . 03 II 347
— voigtländ.-westböhm., 1897. Einwirkung auf Karlsbader Thermen 1900 I 374
— Wermland, 9. und 10. Nov. 1901 . . . 04 I 372
— Württemberg u. Hohenzollern, 1. März 1900 bis 1. März 1901 . . 03 I 48

Erdbebenbeobachtung
— Böhmen 1900 . . . 1903 I 224
— Göttingen . . . . . 01 I 386
— Hamburg, Horizontalpendelstation, 1901 . 03 II 47
— Laibach . . . . 1900 II 372. 373
— Lemberg . . . . . 03 I 223
— Oesterreich 1900 . . 03 I 223
— Triest . . . . . 03 I 222
— v. Filippo Luigi Gilli 1900 II 377
Erdbebenkatalog, Italien 01 I 215
Erdbebencommission, Wien
— 1900 I 372 II 214. 374 01 I 208
1902 II 45. 206 03 I 222
— Mittheilungen f. 1897 1900 I 372
— — aus 1898 . . . . 01 I 208
— — für 1899 . . . . 02 II 48
— — — 1900 . . . . 03 I 223
— Beziehungen zwischen Erdbeben und Detonationen . . . . . 02 II 206
— Graslitz . . . . . 1900 II 214
— Kremsmünster . . . 02 II 46
— Laibacher Osterbeben, 16. April 1895 bis Ende Dezember 1898 . . . 02 II 45
— Lemberg . . . . . 03 I 223
— Melnik, unterird. Detonation . . . . . 1900 II 374
— Niederösterr., 11. Juni 1899 . . . . . 02 II 47
— Obersteiermark, 1. Halbjahr 1899, bes. 1., 7. und 29. April . . . 01 I 209
— Triest, 1. März bis Ende Dezember 1899, beob. am Horizontalpendel . . . . . 02 II 47
— —. period. Schwankung d Erdbodens nach d. Horizontalpendel . . 03 I 222
Erdbebenforschung
— Instrumente mit Dämpfung . . . . . 03 I 47
— moderne . . . . . 1900 II 372
— Strassburg . . . . . 02 I 379
Erdbebenhorizontalpendel
— Hamburg 1901 . . . 03 II 47
— Nicolajew, Wirkung 1897—1899 . . . . 02 II 208
— Triest, Beobachtungen 1902 II 47 03 I 222
— Wien, siehe Erdbebencommission.
Erdbebenkunde, Handbuch . . . . . CBl 1904 408

Erdbebenlinien, Niederösterreich . . . . . 1903 I 221
Erdbebenmessungen, Miyako, Japan . . . . 01 I 388
Erdbebenschwingungen, Natur . . . . . 01 I 385
Erdbebensignalapparate 1901 I 211. 212
Erdbebenstösse, Modification d. Intensitätsscala . . . . . 03 II 346
Erdbebenwarte
— Herausgegeben von Albin Belar . . . CBl 1901 405
— unterird., Pribram . CBl 1903 238
Erdbebenwellen
— Schwingungen . . . 03 I 221
— Theorie . . . . . 1900 II 371
— siehe auch Erderschütterungen.
Erdbildung, Nebularhypothese u. Anhäufung von Meteoriten . . . 02 II 368
Erdboden
— period. tägl. Schwankungen, Triest . . . 03 I 222
— Wärmeaustausch . . 03 II 345
Erde
— Alter . . . . . 03 I 41
— Altersbestimmung . 02 I 375
— — nach dem Salzgehalt des Meeres . 03 I 219
— Gestalt . 1901 II 41 04 II 198
— Gravitationsconstante, Masse und Dichte . 1900 I 39
Erden, seltene, mikroskop. Nachweis . . . . . 03 II 11
Erderschütterungen, Fortpflanzung . . . . . 01 I 387
— siehe auch Erdbeben.
Erdgase, Holland . . . 01 II 84
Erdinneres, versch. Ansichten . . . . . 01 II 44
Erdkobalt, schwarzer, Neu-Caledonien, chem. 02 II 343
Erdkruste
— Bewegungen . . . . 1900 I 367
— Formen . . . . . 1900 I 36
— Oscillationen . . . . 01 II 372
— Temperaturzunahme. 03 I 220
Erdmagnetische Untersuchungen, Zobtengeb. 01 II 45
Erdmagnetismus u. Geotektonik . . . . . 1900 I 40
Erdoberfläche, geolog. Aufbau . . . . . 1900 I 34 ff.
Erdoberfläche
— Terminologie u. Charakteristik d. Bodengestalten . . . . . 1902 I 52
— Text z. Atlas . . . CBl 1900 70
— Ursache d. Umrisse . 1900 II 211
— Wärmeregime u. Beziehungen zu geol. Erscheinungen . . . CBl 1904 *721*
Erdöl
— Entstehung 1900 II 79 01 II 35
— Entstehung u. Lagerung . . . . . 1900 II 247
— Geologie u. Entstehung 02 I 421
— Geschichte d. Bildung 02 I 424
— Productionsgebiete u. Entstehung . . . . 02 I 420
— Veränderung i. Naturzustand . . . . . CBl 1901 513
— Regensburg's Bedeutung f. d. Petroleummarkt . . . . . 02 I 357
— Birma . . . . . 02 II 250
— Brasilien, im Tertiär 01 II 267
— Buchara i. u. Turkestan CBl 1903 86
— Emba im Ural'schen Gebiet . . . . . CBl 1902 216
— Galizien 1902 II 260 04 I 404
— Lüneburger Heide . 04 I 403
— Russland, organ. Basen 02 I 40
— Schmarden, Kurland 02 I 422
— Texas . 1902 II 358 04 I 403
— Woznesensk, Kaukasus . . . . . 1900 II 35
— siehe auch Naphtha, Petroleum etc.
Erdölablagerungen, galiz. Karpathen . . . . . 02 II 260
Erdölwerke, Lüneburger Heide . . 1902 I 17 CBl 1901 760
Erdpech, künstl. Darstellung . . . . . 01 II 200
— siehe auch Asphalt.
Erdpfeiler i. Tuff v. Uergüb 1900 II 61
Erdpyramiden, Piemont, Entstehung . . . . 01 I 393
Erdrinde, siehe Erdkruste.
Erdrutsche, Odessa . . 1900 I 215
Eremopteris trilobata, Lower coal measures, Missouri . . . . . 01 II 490
Ergheo, Somalihalbinsel, Meteorit . . . . . 1900 I 357
Ergussgesteine
— chem. Classification . 03 I 226
— Abessynien, südl. . . 04 I 394

Ergussgesteine
— galat. Andesitgebiet, Kleinasien . . . . . BB XVI *110*
— Witim-Plateau, Sibir. 1902 I 223
Eridroaster Buchianus, Devon, Denbigshire . 04 I 153
Erinaceidae, Phylogenie auf Grund d. Gebisses 04 II 144
Erinocystis . . . . . 01 I 320
Eriphyla argentina, Neocom, argent.-chilen. Cordillere . . . . . 04 II 88
— Stuhlmanni, Kreide, Deutsch-Ostafrika . 01 II 296
Eriptycha chilensis, Quiriquina-Schichten, Chile BB XVIII *218*
— ovoides, Turon, Frankreich . . . . . 1900 II 286
Erismacanthus barbatus, Perm, Mississippithal 04 I 142
Erkaltung durch flüssige Luft bei kryst. Untersuchungen . CBl 1902 *11. 321. 402*
Erlangen, Schwabachthal 1900 I 428
Erosion
— durch Gletscher, Ansichten darüber . . 02 II 374
— durch Windwirbel . 03 II 353
— Anden, rückgreifende 02 II 375
— Harney Peak-District 01 I 394
— Kinnekulle, in losen Ablagerungen . . . 01 II 130
— Piemont . . . . . 01 I 393
— Nil, am Semna-Katarakt . . . . . 04 I 376
— rumän. Karpathen . 1900 I 379
— Wüste Gobi . . . . 03 II 352
Erosionsepoche zw. Leithakalk u. sarmat. Schichten, Leitha-Gebirge . 04 I 435
Erosionsformen
— des Landes . . . . 01 I 52
— entstanden durch Aufeinanderfolge von Strudellöchern . . . 03 II 353
— Wüste Gobi . . . . CBl 1901 693
Erosionsthätigkeit der Gletscher im festen Gestein 1900 II *117* 02 II 374
Erstarrung
— von Schmelzflüssen u. Metallen, Contraction 01 II *145*
— überkühlter Schmelzen 02 I 425
Erstarrungsfolge der Bestandtheile in Eruptivgesteinen . . . . . 01 II 221
Erstarrungspunkte von Mischkrystallen . . 1901 I 177
Eruption des Vulcans Santa Maria, Guatemala . . . . CBl 1903 *33. 65. 71*
— siehe vulcan. Eruptionen.
Eruptionen
— sicil. Vulcane 1899 . 02 I 210
— submarine . . . . . 1900 I 371
— siehe auch Vulcane etc.
Eruptionscentren Südamerikas, nach STÜBEL CBl 1902 *718*
Eruptionserscheinungen und der Begriff der Spalte . . . . . CBl 1903 *374*
Eruptionsfolge d. Gesteine, böhm. Mittelgebirge. 02 II 52
Eruptionsproducte, siehe Vulcane, Aschen, Bomben etc.
Eruptive Nachwirkung bei Bildung von Erzlagerstätten . . . . 1900 II 245
Eruptivgänge, Anglesey, Alter . . . . . 01 II 389
Eruptivgesteine
— basische, Verwitterung durch Kalkverlust . . . . . 1900 I 54
— Classification u. Charakteristik 1900 II 389 01 I 396 1902 I 212 1903 I 226 1903 II 355. 356 CBl 1900 183 CBl 1903 677
— Diagramme der Zusammensetzung . . . 01 II 220
— Differentiation der Magmen . . . . . BB XVII *516*
siehe auch Differentiation.
— Einwanderung von Metall. in E. durch CO CBl 1900 160
— Entstehung, Anwendung d. Phasenregel 01 II 256
— Entstehungsverhältnisse quarz- u. feldspathhaltiger . . . . 03 II 330
— Entwickelung von Gasen in der Wärme 01 II 377
— Erstarrungsfolge der Bestandtheile . . . 01 II 221
— mikrokryptokryst. . CBl 1903 689
— mikrolithisch-glasige CBl 1903 690
— Modalvarietäten . . CBl 1903 688
— Nomenclatur . . . . 03 I 226
— Structur . . . . . CBl 1903 689

Eruptivgesteine
— Systematik 1903 II 355. 356 CBl 1903 677
siehe auch Eruptivgesteine, Classification.
— Beludschistan u. Ost-Persien . . . . . 1902 II 110
— Bergensgebiet, Norw. 04 II 390
— Böhmen, im Präcambrium . . . . . 04 I 50
— böhm. Mittelgebirge, Eruptionsfolge . . . 02 II 52
— Bretagne . . . . . 01 II 108
— britische, durchschnittl. Zusammensetzung u. spez. Gewicht . . . 1900 II 387
— brit. Ost-Afrika . . 04 II 55
— Cap d'Aggio, Alter . CBl 1901 180
— China, östl. . . . . 01 I 405
— Columbia, ältere . . 03 II 203
— Creuse-Departement . 03 II 373
— erythr. Kolonie . . . 01 I 67
— Erzgebirge 1903 I 236 04 II 383
— Fassa- u. Fleims-Thal, Altersfolge . . . . . 04 II 212
— Foxriver Valley, Wisc., präcambrisch . . . . CBl 1901 *185*
— Hessen, chem. Classification . . . . . 1903 II *33. 39*
— Holbak u. Požoritta 01 I 63
— Malvern Hills . . . 1900 I 234
— Man, Insel, carbon., Einwirkung der Gebirgsbewegung . . . 01 I 408
— Marsa-Cap, Algier, vulcanische . . . . 02 I 409
— Massachusetts . . . 1900 II 89
— Neu-Schottland . . . 01 I 450
— Neu-Seeland . . . . 01 II 70
— Niederrhein, sollen Sedimentärbildungen sein . . . . . CBl 1902 147
— Požoritta u. Holback 01 I 63
— Predazzo u. Monzoni, Altersfolge . . . . . 04 II 211
— Quebec-Provinz, Canada, umgewandelte 04 I 395
— Salzkammergut . . . 01 I 61
— siebenbürg. Erzgeb., Beziehung d. Trachyt zu Goldlagerstätten . CBl 1901 173
— Skye, Altersfolge . . 03 I 420
— Somaliländer . . . . 01 I 454
— Spring-Cove, England CBl 1904 125
— Suceava, Moldau . . 01 I 68
— Südafrika . . . . . 04 II 55
Eruptivgesteine
— Texas . . . . . 1901 I 451
— Ulu Rawas, Süd-Sumatra, jüngere . . BB XVIII *409*
— Vicentin, Trias . . . 01 II 104
— Waterford, England CBl 1900 70
siehe auch Massengesteine, Massive, Tiefengesteine und Ergussgesteine.
Eruptivmagmen u. Schmelzlösungen, Beziehungen der Krystallisationsfolge d. Mineralien zu Schmelzpunkten . . CBl 1904 *49*
Eruptivmassen, chem. Differenzirung, Ursache . . . . . 1900 II 70
— siehe auch Differentiation, Magmen etc.
Eryapteryx, Eier, Tert., Neu-Seeland . . . . 04 I 138
Eryops megacephalus, Big Wichita beds, Perm. Texas . . . . . 1900 II 144
Erythräische Kolonie
— Eruptivgesteine . . . 01 I 67
— Gesteine . . . . . 03 II 78
— Gesteine von Aráfali 04 II 401
— — von Buri . . . . 04 II 402
— — von d. Insel Dissei 04 II 402
Erzbergbaue
— Tirol . . . . . 04 II 238
— Wallis . . . . . 04 II 241
Erze
— Bestimmung im Dünnschliff . . . . . CBl 1901 *195*
— Tabelle mit dem Metallgehalt . . . . . 04 II 229
— Columbia . . . . . 01 I 434
Erzgänge . . . . . 03 I 438
— Aenderung m. d. Tiefe 01 II 244
— Anreicherung durch Zersetzung . . . . . 01 I 372
— Umwandlung d. Nebengesteins . . . . . 04 I 81
— Freiberger Revier . . CBl 1901 236
Erzgangformationen, Freiberg
— ältere . . . . . CBl 1901 242
— jüngere . . . . . CBl 1901 249
— siehe auch Gänge.
Erzgebirge
— Eishöhlen . . . . . 1900 I 207
— Eruptivgesteine 1903 I 236 04 II 383

Erzgebirge
— Eruptivgneiss . . . 1903 I 236
— Genesis d. archäischen Formation . . . . . CBl 1904 566
— Gegend v. Graslitz, Böhmen, Geologie . . 02 II 53
— Erzlagerstätten, Freiberg . . CBl 1901 236. 242. 249
— — zw. Klingenthal u. Graslitz . . . . . 03 I 442
— Schwarmbeben b. Hartenberg 1824 . . . . 01 I 210
Erzlager . . . . . 03 I 438
Erzlagerstätten 1901 I 422 02 II 366
— Allgemeines . . . . 1900 I 75
— Beiträge zur Lehre . 02 II 77
— Besprechung d. Werks von Beck . . . . . CBl 1901 558
— Beck u. Stelzner . CBl 1901 83
— Beziehung zu Kaolinlagern . . . . . BB XV 285
— Bildung durch Absorptionsprocesse . . 04 II 70
— Classification 1902 II 76 03 I 438
— Concentrirung d. Metallgehalts etc. . . . 1900 II 239
— contactmetamorphe . 04 II 231
— Entstehung . . . . 1900 II 244 1904 II 70 CBl 1901 501
— — nach Posepny . . 03 II 87
— — und Geologie . . 04 I 75
— Fällungen . . . . . CBl 1901 502
— geschichtete . . . . 03 I 82
— Gold, reduc. durch organische Substanz in Gängen . . . . . 04 II 230
— Gold-u. Silbererzgänge, secund. Anreicherung siehe auch Goldlagerstätten etc. 02 II 80
— hypotaxitische, eutaxitische, ataxitische 02 II 77
— idiogenite . . . . . 03 II 87
— Kupfererz, Entstehung 03 II 383
— Kupferlösungen durch Schwefelkies reduzirt 04 II 230
— Kupferschiefer, Genesis 03 I 90
— Nebengestein beeinflusst Gangfüllung . 04 II 230
— secundäre Anreicherung . . . . 1902 II 78. 79. 80
— Abbadia S. Salvatore (Mte. Amiata), Zinnoberlager im Liaskalk 03 I 94

Erzlagerstätten
— Adervielle, Pyrenäen, Manganerze . . . . 1902 I 191
— Adirondacks, Titaneisen . . . . . 01 II 410
— Alaska . . . . . 1900 II 77
— —, Cape Nome und Norton Bay, Seward-Halbinsel, Gold . . . 04 II 71
— —, Copper River-District, Kupfer . . . 04 II 74
— —, Klondyke, Yukon-Distr., Gold 1902 II 244 CBl 1901 761
— Ambatofangehana, Madagascar . . . . . 02 I 191
— Amolanas, Copiapó, Chile, Kupfererz . . 04 I 240
— Anatolien, westl. . . 03 I 449
— Aspen Mining Distr., Colorado . . . . . 01 II 433
— südl. Bakal, Süd-Ural 02 II 365
— Bakal, Ural, Eisenerze . . . . . 03 I 265
— Bakal-Grube, Ural . 04 I 86
— Bangka und Billiton, Zinnerze . . . . . 01 I 422
— Berdjansk, Eisenerz . 01 II 112
— Beślinac-Trgove (Kroatien . . . . . 04 II 240
— Bilbao, Eisen . . . . 04 II 74
— Black Hills, Wyoming 03 I 407
— Bodenmais, Silberberg 02 I 80
— —, Schwefel- u. Magnetkies . . . . . 03 I 444
— Böhmen, Ursprung d. Goldlagerstätten . . 03 I 440
— Bogoslowsk'sches Bergrevier . . . . . 03 II 226
— Bogoslowsk, Manganerze . . . . . 01 II 406
— Bortschalinsk'scher Kreis, Gouv. Tiflis . 04 I 226
— Bosnien-Herzegowina 02 I 81
— Bray, Eisenerze im Neocom . 1901 I 427 03 I 88
— Broken Hill, NS.-Wales 02 II 14
— —, (Ag, Pb, Zn) . . 02 II 87
— Brosso u. Traversella 04 I 235
— — —, Entstehung . 03 II 381
— Californien, Nieder-, Kupfererze . . . . . 01 II 73
— Campiglia Marittima 02 I 82
— — —, Toscana, bes. Zinnstein . . . . . 01 I 135
— Canada 1904 II 363 CBl 1902 241

Erzlagerstätten

— Cap Garonne, Frankreich . . . . . 1903 I 82
— Cartersville, Georgia, Eisenerze . . . . . 03 I 86
— Cetine di Cotorniano, Prov. Siena, Antimonerze . . 1902 II 36 03 I 187
— China . . . . . 02 II 83
— —, Kohlen- u. Erzlager . . . . . 1900 I 84
— Cogne (Piemont), Magneteisen . . . . . 04 II 413
— Congostaat . . . . . 02 I 84
— Copaquire (Chile), Kupfersulfat . . . . 04 I 239
— Copper Queen-Grube, Arizona . . . . . 03 I 90
— Crystal Falls, Michigan, Eisenerze . . . 01 II 410
— Cuba (Santiago), Manganerze . . . . . 04 II 231
— Dellach (Oberdrauthal), Blei u. Zink in Trias . . . . . 04 I 396
— Demonsagatsk, Aghalt. Bleiglanz . . . 03 I 262
— deutsche Schutzgebiete 04 II 243
— Dobschau in Ungarn 03 I 446
— Douglas County, Wisconsin, Kupfer . . . CBl 1902 282
— Dunderlandsthal, Norwegen, regional-metam. Eisenerze . . . 04 II 414
— Eibenberg b. Eibenstock, Erzgebirge . . 02 II 56
— Ekibas-Tus, Kirgisensteppe, Kupfererze . 03 I 261
— Elba, Eisenerze . . 04 II 413
— Elisabetpol, Gouv. Transkaukasien (Sünik-Grube) . . . . . 04 I 239
— El Paso, Texas, Zinnstein . . . . . 02 II 342
— Erzgebirge zwischen Klingenthal u. Graslitz 03 I 442
— —, Freiberg CBl 1901 236. 242. 249
— Eule, Böhmen, Goldlagerstätte . . . . . 03 I 440
— Feistritz-Peggau, Frohnleiten, Uebelbach u. Thalgraben . 04 I 225
— Franklin, N. J. . . . 01 I 367
— Freiberg . . CBl 1901 236. 242. 249
— Gellivara u. Grängesberg, Schweden . . . 1900 I 80

Erzlagerstätten

— Gnesta, Schweden, Silbergrube . . . . 1900 I 413
— Gonzen bei Sargans, Eisenerze . . . . . 03 I 85
— Graubünden 1902 II 81 03 I 86
— Guyana, engl., Gold 02 II 248
— —, franz., Gold . . 02 II 85
— Harz, Rotheisenerz im Devon, Entstehung 03 I 179
— Haslach, Schwarzwald, Erzgänge . . 03 I 459
— Hin Boun, Laos, Zinnerz . . . . . 03 I 188
— Huelva, Kiese . . . 04 I 339
— Iowa, Blei und Zink 1900 I 414
— Irschen u. Zwickerberg, Oberkärnten . 01 I 248
— Jekaterinoslaw, Gouv. u. Kriwoi-Rog, tert. Manganerze . . 1903 I 257. 258
— Judith Mts., Mont. . 1900 I 407
— Kara-Barun, Kleinasien, Zinnober . . . 04 II 349
— Kartatinsk b. Wladikawkas, Kupfererze. 04 I 227
— Katschkanar-Berg, Ural, Magneteisen . 04 I 86
— Kaukasus, mittl. . . 01 II 405
— Kedabek, Gouv. Jelisabetpol, Kupfererze 03 I 260
— Klondyke, Yukon-Distr., Gold- 1902 II 244 CBl 1901 761 siehe auch Alaska.
— Kostaïnik, Serbien, Antimonerze . . . . 03 I 91
— Krivoj-Berg, Südruss., Eisenerze . . . . . 1900 I 82
— — Manganerze . 1903 I 257. 258
— Kulmberg b. St. Veit a. d. Glan . . . . . 04 I 177
— Kupferberg (Schles.), Entstehung . . . . 04 II 229
— Kurunavaara u. Luossavaara, Norbotten . . 1900 I 79
— Lading, Kärnten, Kiesvorkommen . . . . 02 II 34
— Lamnitz- und Wellathal, Kärnten . . . 1900 II 76
— Långfallsgrube b. Räfvåla, Schweden, Gesteine d. Zinkblendelagerstätten . . . . 03 I 257
— Laurium, im Alterthum . . . . . 02 II 83

Erzlagerstätten

— Lena'sches Bergrevier, Sibirien . . . . . 1902 II 409
— Lengholz und Siflitz, Mähren, Gold . . . 02 II 34
— Lindener Mark, Manganeisenerze . . . . . 1900 I 411
— Little Belt Mountains, Montana . . . . . 01 II 366
— Lothringen, oolith. Eisenerze, Entstehung 03 II 389
— Luxemburg u. Lothringen, Minette 1902 II 88. 90 CBl 1901 410
— Madagascar . . . . CBl 1902 697
— Malaguit-Gebiet, Luzon, kupferreiche Sande 03 II 384
— Mandschurei 1901 II 404 03 I 261
— Metnitz, Kärnten, Blende- u. Bleiglanz-Gänge . . . . . 02 II 34
— Michipicoton, Ontario, Eisenerz . . . . . 03 II 340
— Minahassa, N.-Celebes 01 II 394
— —, Celebes, Gold . . 01 II 263
— Miniera di Casale (Grosseto) . . . . . 03 I 205
— Mölnbo, Schweden, Zinkgrube . . . . 1900 I 413
— Montanto di Marema, Toscana, Antimonerze . . . . . 03 I 202
— Monteponi, Entstehung d. Erze . . . . . 03 I 201
— Morro-Velho, Bras., Gold . . . . . 04 II 411
— Mt. Bischoff, Zinnerze 1901 I 423 03 I 91
— Mte. Amiata, Toscana 04 I 400
— Müsener Bergrevier . 03 I 467
— Murchison Range, Transvaal, Gold- und Kupfererze . . . . . 01 I 84
— Neu-Caledonien . . . 03 I 95
— —, Kobalterze . . . 02 II 343
— Neumarkt (Obersteier), Eisenerze . . . . . 04 II 412
— Neu-Schottland . . . 02 I 362
— Nikolajewski Zawod (Irkutsk), Magneteisenlager . . . . . 04 II 416
— Nord-Carolina . . . 04 II 33
— Nordgriechenland u. türk. Grenzländer . BB XVIII 52
— Nordmark b. Filipstad 1900 I 79

Erzlagerstätten

— Norwegen, Pt-Gehalt der Nickelerze . . . 1904 I 237
— Ober-Rosbach b. Friedberg, Wetterau, Manganerze . . . . . CBl 1902 656
— Oberschlesien, Bildung 1904 II 229. 230 CBl 1904 40
— Olekmisches System, Sibirien, Seifen . . . 02 II 334
— Ontario, Canada . . CBl 1902 240
— Ookiep, Kleinnamaland, Kupfererze . . 04 I 239
— Ouray, Col., Silbererzgang . . . . . 02 II 243
— Ozark uplift, Missouri 03 I 95
— Pachuca, Mexico . . 04 I 230
— —, —, Silbererzgänge 1900 I 413
— Panama (Columbia), Manganerze . . . . 04 II 232
— Paracale (Luzon), Magneteisen . . . . 04 I 234
— Pennsylvanien, cambrosilur. Eisenerze . 03 I 87
— Persien . . . . . 01 I 250
— Pfunderer Berg bei Klausen, Südtirol . . 04 II 239
— Pitkäranta . . . . . 04 II 412
— Platten und Johanngeorgenstadt, Mangan- neben Eisenerzen 04 I 238
— Poggio dei Leccioni, Maremmen, am Gabbro 02 II 58
— Portugal, Eisenerze . 04 I 234
— Presolana-Gruppe, Zinkerze . . . . . 01 II 110
— Pressnitz, böhm. Erzgeb., Ag-halt. Bleiglanz etc. . . . . 04 II 411
— Přičow, Böhmen, Antimonitgänge . . . . 03 I 92
— Pyrenäen . . . . . 02 I 83
— Queluz (Lafayette) District, Minas Geraës, Brasilien, Manganerze 03 II 381
— Radnig b. Hermagor, Kärnten, Blei u. Zink 1900 II 75
— Rammelsberg b. Goslar 01 I 247
— Römerstadt, Mähren, Eisenerze . . . . . 03 II 380
— Russland . . . . . 04 I 226
— —, Eisen- u. Manganerze . . . . . 1901 II 407 ff.
— S. Antonio und Val d'Aspra (Grosseto) . 03 I 205
— Sardinien, Fahlerz . 04 II 350

Erzlagerstätten
— Sardinien, Manganerze . 1902 II 343 1903 II 383
— Sasurk'sche Wälder, Gouv. Simbirsk, Eisenerze d. unt. Kreide . 01 II 406
— Schneeberg (Tirol), Beziehung z. Silberberg b. Bodenmais . 04 II 239
— Schwarze Krux bei Schmiedefeld, Magneteisen . . . . . 04 I 235
— Schwarzenbg. i. Sachs. CBl 1900 275
— Schweden, Eisen . . 04 II 413
— Seisk, Sibirien, Gold 02 II 333
— Selva (Grosseto), Antimonerze . . . . . 03 I 204
— Senze do Itombe, Angola, Kupfererze . 04 I 240
— Serbien (Rebelj und Wis), Kupfererze . . 03 II 384
— Sibirien . . . . . 01 I 249
— Siebenbürg. Erzgebirge, Goldlagerstätten . . CBl 1901 172
— Silver City, Idaho, Gold- u. Silbererze . 03 I 450
— Silverton Quadrangle, Colorado . . . . . 03 II 341
— Slättberg und Kuso, Dalekarlien, Nickelerze . . . . . 04 II 171
— Slawkow, Polen, Zinkerze . . . . . 04 I 227
— Sohland, Oberlausitz, Ni-halt. Magnetkies . 04 I 224
— Sotschi-Kreis, Schwarzmeerdistrict, Eisenkies u. Mineralquellen 03 I 263
— Stahlberger u. Klinger Störung, Thür. Wald 1900 I 78
— Steiermark, Graphitlager, Metamorphismus . . . . . 03 II 385
— Steiermark, Kieslager 03 I 446
— Steirische Alpen, Entstehung . . . . . 04 II 240
— Stubai-Thal, Eisenerze 03 I 86
— Sudbury, Pt-Gehalt d. Ni-Erze . . . . . 04 I 343
— Südspanien, Kiese . 04 I 399
— Svenningdal, südl. Norwegen, Blei- und Silbererze . . . . . 04 I 398
— Svenningdalen, Helgeland, Norwegen . . 02 I 93
— Swaziland . . . . . 03 I 94

Erzlagerstätten
— Tasmanien, Westküste, geschwefelte Erze . 1902 II 84
— Thüringer Wald, Eisen- u. Manganerze . . . 04 I 239
— Tintic District, Utah 01 II 414
— Toscana, Hg- u. Sb-führende, Beziehung zu Eruptivgesteinen 03 I 92
— Transvaal . . . . . 03 I 94
— Tschoroch-Thal, Gouv. Kutais . . . . . 01 II 405
— Tulomosersk, Gouv. Olonez, Eisenglanzgänge . . . . . 03 I 262
— Ulu Rawas, Süd-Sumatra . . . . . BB XVIII 452
— Ungarn . . . . . 1900 I 410
— Ural, südl. 1901 II 402 04 I 85
— —, Eisenerze . . 1903 I 263 ff.
— —, Eisenerz an Syenit gebunden . . . . . 1900 I 81
— Uspenskij-Gruben bei Slatoust, Ural . . . 01 II 178
— Varanger (südl. Finmarken), Magneteisen 04 II 415
— Verespatak . . . . 03 II 243
— Vintrosa, Nerike . . CBl 1902 247
— Virgilina Distr., Virg. u. N.-Car., Kupfererze 04 II 73
— Vrijheid-Bezirk, Transvaal . . . . . 01 II 92
— Waldenstein, Kärnten, Eisenglanz . . . . . 04 I 179
— Wandelitzen b. Völkermarkt, Kärnten . . 04 I 178
— Wermland, Schweden, Eisenerze 1900 I 79 01 I 434
— —, —, Manganerze . 01 I 433
— Wesergebirge b. Minden, ool. Rotheisenst. 04 II 412
— Westaustralien . . . 04 II 241
— Woronesch, Gouv. . 03 I 262
— Zweinitz, Kärnten, Blende- u. Bleiglanz-Gänge . . . . . 02 II 34
siehe auch Kieslagerstätten etc.
Erzzuführende Processe bewirken Gesteinsumwandlung, Ulu Rawas, Süd-Sumatra BB XVIII 452
Escamela-Kalk, Kreide, Gegend von Orizaba, Mexico . . . . . 02 II 119
Eschatius conidens, Oregon 01 II 465

Esinokalk
— Gastropoden . . . . 1902 I 141
— Trias, Südalpen, Cephalopoden . . . . . 01 II *25*
Esker in Ireland . . . 1900 II 446
Esmeraldit, Californien . 03 II 36
Esnost, Kohlenbecken von Autun und Epinac, Pflanzen und Alter . 02 II 164
Esopus grit, Devon, Becraft mountain, N. Y. 01 II 457
Esox destructus, böhm. Braunkohle . . . . 04 I 286
Espinazito-Pass, Argent., Dogger . . . . . 1900 II 116
Essex Co., Mass., Sölvsbergit u. Tinguait 1900 II 66. 71
Essex-Crag, verglichen m. Crag von Norfolk und Suffolk . . . . 01 II 283
Essexas, Essexos . . . CBl 1903 697
Essexit
— Cabo Frio b. Rio de Janeiro . . . . . 02 II 400
— Gross-Priesen, böhm. Mittelgeb., Beziehung z. Sodalithaugitsyenit 04 I 57
— Kuusamo, Finnland 01 II 238
— Madagascar . . . . 03 I 79
— Monteregian Hills, Quebec, Ca. . . . . 04 II 409
— Rongstock, Böhmen . 1900 II 81
— —, graph. Darstellung d. Zusammensetzung 1900 I *111*
Essexitkörper, Rongstock, kein Lakkolith . . . CBl 1901 *119*
Essexos . . . . . CBl 1903 697
Estheria anomala, Enon-Congl., Trias, Capland 02 II 268
— Hauchecornei u. (?)nucula, jüng. Steinkohlenformation. Provinz Sachsen . . . . . 01 I 458
— membranacea, Old Red. Schottland, Russland u. New York . 03 I 335
— Ortoni, Carrolton, Lower barren coal measures . . . . . 03 I 335
Estherien, Buntsandstein CBl 1904 *195*
Estheriina extuberata, Perm, Frankfurt a. M. 01 I 510
Etcheminian, Cape Breton, Neu-Schottl., u. Smith Sound, Neu-Fundland, Fauna . . 1900 II 292
Etcheminian, Cape Breton, Neu-Schottland, Cambrium 1903 I 292 1903 II 402
— Neu-Braunschweig u. Neu-Fundland, Cambr. 1900 I 435
Etinde-Vulcan, Kamerun 03 I 425
Etoile-Massif, Lagerung 1900 II 264
Eucaenus attenuatus u. mazonus, Carbon, Illinois . . . . . 04 I 311
Eucastor tortus, Amerika, Tertiär . . . . . 04 I 302
Eucathaica, quartär, Central- u. Ostasien . . 03 I 542
Eucentrurus paradoxus, unt. Carbon, östl. Fifeshire . . . . . 04 I 307
Eucinepeltus complicatus, Sta. Cruz-Formation, Patagonien . . . . 04 II 306
Eucladia Woodwardi, engl. Silur . . . . . 1900 II 319
Eucladiidae
— palaeozoische . . . . 1900 I 481
— engl. Silur . . . . . 1900 II 318
Eucrotaphus Helenae, White River beds, Montana . . . . . 03 II 426
Euctenodopsis, Millstone Grit, England . . . 02 II 483
Eucycloscala margaritata und semicancellata, Veszprémer Mergel, Trias, Bakonywald . 02 II 306
Eucyclus Bureaui, Eocän, Loire inférieure . . 03 I 127
— tectiformis, Infralias, Vendée . . . . . 04 II 115
Eudialyt
— Grönland . . . 1900 I 347. 350
— —, im Neph.-Syenit . 01 I 40
— Kola . . . . . 02 II 378
— Narsarsuk, südliches Grönl., im Syenit . . 02 I 27
Eudialytpseudomorphosen, Neph.-Syenit, Grönl. 01 I 41
Eudiaplocus, Jura, Frankreich . . . . . 1900 II 154
Eudiataenia Terquemi, Infralias, Vendée . . 04 II 114
Eudiatrachelus Pellati, Jura, Frankreich . . 1900 II 154
Eudictyon Steinmanni, unt. Lias, Val Solda 04 II 112
Eudidymit, verwachsen mit Epididymit . . . BB XVI *414*

Eudidymit
— Grönland . . . . . 1900 I 347
— Langesund, Norw., im Nephelinsyenit . . . 1900 II 366
Eudolops tetragonus, Pyrotherium-Schichten, Argentinien . . . . 1900 II 304
Euganeen
— Mineralien im Basalt 01 II 361
— Zeolithe . . . . . 03 I 391
Eugeniacrinus cupuliformis, granulatus, holopiformis und tithonicus, Tithon, Stramberg . 03 II 419
— Gevreysi, Neocom, Isère . . . . . 1900 I 318
EugereonBoeckingi, Perm, Mundtheile . . . . 04 I 312
Euklassubstanz im Beryll, Mongolei . . . . . 01 II 192
Euktolith
— nach LOEWINSON-LESSING . . . . . 1900 II 388
— Pian di Celle, Umbrien . . . . . 1900 II 216. 218
— —, graphische Darstellung d. Zusammensetzung . . . . . 1900 I *112*
Eule
— Böhmen, Geologie u. Ursprung der Goldlagerstätten . . . . 03 I 440
— —, Gesteine, chem. . 04 I 49
Eulen, Osteologie . . . 03 II 435
Eulithothamnium langhianum und Vernae, Langhien, Casentino (Toscana) . . . . . 03 I 109
Euloma u. Pharostoma . 1900 I *135*
— Filacovi, Tremadoc, Combes de Barroubio, Südfrankreich . . . 02 I *5*
Eulotiden, Asien, Convergenzerscheinungen 03 I 542
Eulytin, Wismuthocker ps. nach Eul., Graul 03 I 181
Eumargarita Bourdoti, Eocän, Loire inférieure 03 I 128
Eumorphotis, unt. Trias 02 II 308
— austriaca, Beneckei, Kittlii u. Liepoldi, unt. Trias . . . . . 02 II 308
Eumys minor, White River beds, Montana 03 II 425
Eunoa accola, Untersilur. New York . . . . . 03 I 172
Euomphalus infratuberculatus, oberpaläoz., Russland . . . . . 1901 I 311
Eupecten . . . . . 02 I 317
Euphotit, Saasthal . . . CBl 1902 153
Euphyllites, U. Lias, nordöstl. Alpen . . . . 1900 I 312
— Bonifacii, U. Lias, nordöstl. Alpen . . . 1900 I 312
Eupithecops proximus, Pyrotherium-Schichten, Argentinien . . 1900 II 298
Euprotogonia, vergl. m. Phenacodus primaevus 02 I 300
— Puerco . . . . 1900 I 304. 305
Eupsammia Conradi, Palaeogen, Nordamerika 04 I 470
— flabelloides, Priabona-Schichten . . . . 04 I 283
Eurasien, foss. u. leb. Dreisensiden . . . . 01 II 319
Eureka-Schiefer, Arkansas, Anal. . . . . 04 I 401
Eurhinodelphis, Boldérien, Antwerpen . . . . . 03 I 550
Euritina, Kreide, Frankreich . . . . . 02 I 490
— Welshi, Kreide, Frankreich . . . . . 02 I 491
Europa, Geotektonik d. nördlichen . . . . . CBl 1901 532
Europäischer Continent, triass. Dinosaurier . 01 II *89*
Eurosaurus uralensis, Perm, Ural, vergl. m. Anomosaurus . . . BB XX *341*
Euryalox Boecki, rothe Kalke, Trias, Bakonywald . . . . . 02 II 305
Euryapteryx, vollständiges Ei, Neu-Seeland 04 II 470
Eurycarpus Oweni, Skelett 02 II 301
Eurydesma, Tasmanien, Palaeozoicum . . . CBl 1903 *296*
— ellipticum und globosum, Saltrange . . CBl 1904 *97*
Eurydesma-Horizont, Saltrange, Perm
CBl 1903 *45* CBl 1904 *97*
Eurygeniops normalis u. latirostris, Pyrotherium-Schicht, Argent. 1900 II 302
Eurypteriden, Silur, Pentland Hills . . . . . 03 I 544
Eurypteriden-Fauna (Hughmilleria), Erie-Canal 04 II 98

Eurypterus, Silur, nördl. Schan-Staaten . . . CBl 1900 138
— Fischeri, Organisation . . . . . 1900 I 466
Eurystomus Stehlini, Tertiär, La Plata . . . 03 II 294
Euspatangus fragilis, Helvetian, Piemont und Ligurien . . . . . 03 II 453
Euspira possagnensis, Priabona-Schichten . 04 I 283
Eustatische Bewegung d. Grundniveaus, Terrassen am Rhône, Rhein etc. . . . . CBl 1901 570
Eustelea (Carpoideen) . . 03 I 534
Eutaxitische Erzlagerstätten . . . . . 02 II 76
Euthemon igerna, Silur, England . . . . . 1900 II 319
Euthria Guibei, Faluns, Touraine . . . . . 04 II 460
Euthystylus (= Orthostylus) balatonicus, Veszprémer Mergel, Trias, Bakonywald . 02 II 306
Eutomoceras, Raibler Schichten d. Schlernplateaus . . . . . 01 II *23*
Eutrachytherus conturbatus u. Spegazzinianus, Pyrotherium-Schichten, Argentinien 1900 II 299
— modestus, Tert., Rio Negro u. Neuquen . 02 I 304
Eutropie, katamere . . 02 I 3
Eutropische Beziehungen d. Alkalihaloide . . BB XVIII *135*
— Substanzen, Beziehung zu isomorphen . . . 03 I *135*
Eutypotherium Lehmann-Nitschei, Tertiär, La Plata . . . . . 03 II 294
Euxenit
— angebl. Germaniumhaltig . . . . . CBl 1904 *142*
— Zirkonerde . . . . . 02 II 349
— Huntila b. Pitkäranta, Radioactivität . . . CBl 1904 *208*
Euxenitähnl. Mineral, Swaziland . . . . . 01 I 31
Euzone, Trias, Hallstatt 02 I 144
Evansit, Siebenbürgen, Begleiter d. Goldes . CBl 1903 *331*
Exelissa infraliassica, Infralias, Vendée . . . 04 II 115
Exogyra africana var. peruana, arietina var. diceratina, olisiponensis und Reissi, Kreide, Peru . . . . BB XVII *265*
— aquilina, Kreide, argent.-chilen. Cordillere 1904 II 88
— callophylla, Kreide, Roca, Argent. . . . 04 II 286
— columba, Crespano Veneto . . . . . CBl 1902 *500*
— cfr. Couloni, Chile, unt. Kreide . . . . BB XVII *291*
Exotische Blöcke, Malla Johar, Himalaya . . 03 I 112
Exot. Gebiete, Klippen u. Blöcke, Nordrand d. Schweiz. Alpen . . . 1900 I 87
Expansionsstructur von Eruptivgesteinen . . 01 I 241
Experimente, geol., in d. Schule . . . . . 01 I 251
Experimentelle Geologie und Petrographie . . CBl 1901 633
— Petrographie . . . BB XVII *498*
Explosionen, kosmische, Ursache . . . . . 03 II 42
Explosionsröhren m. nichtvulcan. Material . . 02 II 69

F.

Facettengerölle, Hiltrup bei Münster . . . . 02 I 288
Facettengeschiebe
— Entstehung . . CBl 1903 *593 662*
— antarkt. Eisberge . . CBl 1904 *737*
— Saltrange . . . CBl 1903 *97. 625*
Faciesbildung, Kreide im Jurageb. u. Sachsen 1902 I 447. 449
Fächerstructur, französ. Alpen, Ursprung . . CBl 1904 92
Fährten
— Ichnium, Rothliegendes, Tambach (Thür.) 1900 I 311
— Rhynchosaurus, Keuper, Staffordshire . . 03 I 158
Fällungen in Erzlagerstätten . . . . . CBl 1901 502
Fältelung des Gneisses, alp. Centralmassiv . 02 I 218
Färbung
— Beziehung zu Brechungscoëfficienten . 04 I 7
— dilute der Krystalle 03 II *134*
— künstl. der Krystalle 02 I 162

Färbung
— natürliche der Mineralien 1900 II 342 ff. 1901 II 335 ff.
— Haloidsalze, durch Kathodenstrahlen . . 1900 II 344
— Andalusit, Graubünden 01 II 193
— Flussspath- u. Steinsalz, Beziehung zu Brechungscoëfficienten 04 I 7
— Rauchtopas 1900 II 345 01 II 336
— Zirkon . . . . . 1900 II 344
Färöer, Geologie . . . 03 II 374
Fagus Benthami und Pittmanni, Tertiär, Australien . . . . . 04 I 156
Fahlbänder, Norwegen, Entstehung . . . . 04 II 230
Fahlerz
— Beziehg. zw. Krystallform und Zusammensetzung . . . . . 04 I 324
— verwachsen mit Bleiglanz, Schwefelkies u. Zinkblende . . . BB XVI *339*
— — mit Kupferkies . BB XVI *357*
— Zusammensetzung . 01 II 12
— Baltschiederthal, Wallis, im Triasdolomit 1900 I *20*
— Binnenthal = Binnit 01 II 12
— Bogoslowsk'schesBergrevier . . . . . 1900 I 343
— Botes-Berg . . . 1902 I 10. 11
— —, regelmässig verwachsen m. Bleiglanz 04 II 168
— Kirgisensteppe . . . CBl 1901 281
— Palmavexi, Sardinien 04 II 350
— Southtown, NewJersey 02 I 360
Fahrenkrug bei Segeberg, diluv. Kohle etc. . BB XVI *38. 78*
Fajumia Schweinfurthi. Mitteleocän, Fajum, Egypten . . . . . 04 I *3*
— siehe auch Fayum.
Falaises, Biarritz . . . CBl 1902 603
Falciferen, mittl. Lias, Centralapennin . . . 01 II 152
Falkenhaynit, verglichen mit Stylotyp . . . . 04 I 12
Falte, Glarner . . . . CBl 1902 250
Faltengebirge, Entstehg. 04 II 368
Faltschauer, Ultenthaler Alpen, sdl. vom, Geol. 04 I 61
Faltung d. Eisdecke d. Salzigen Sees . . . 03 II 50
Faltungspräparat. natürliches . . . . . 02 II 56
Faluns
— Tertiär . . . . 1901 I 477. 478
— Touraine . . . 1902 I 129. 465
— —, Aturia Aturi . . 1900 II 477
— — u. Orther, Fossilien 1904 II 434. 459
Falzarego-Thal, obere St. Cassianer Zone . 01 II 121
Farafra-Oase, Geologie . 02 I 427
Farbgläser, Absorption des Lichts . . . . . 03 II 164
Farne
— eingewurzelte, der Steinkohlenformation, Frankreich . . . 1903 II 153. 155
— Carbon, Kleinasien . 03 I 172
— Perm, Lovède . . . 04 I 157
siehe Calamites etc.
Farrisit, syst. Stellung . 03 II 358
Fassait, Contactbildungen, Monzoni . . . . . CBl 1901 *674*
Fassathal
— Analcim-Melaphyr von Pizmeda . . . . . CBl 1904 *79*
— Geologie . . . . . 04 I 247
— Gesteine CBl 1904 *79. 275. 428. 661*
Fassa- und Fleims-Thal, Altersfolge d. Eruptivgesteine . . . . . 04 II 213
Faujasit, Daisy-Glimmergrube, Ottawa Co., Canada . . . . . 02 II 366
Faulberg, Oberaletschgletscher, Geologie . BB XVI *299*
Favas
— brasil. Diamantsande 1900 II 36
— Serra de Caldas, Minas, Brasilien . . . . . 04 II 359
Favia ammergensis, Cenoman, Ammergebirge 01 I 261
— Merriami, Palaeogen, Nordamerika . . . . 04 I 469
Faxekalk, Inoceramus . 01 I 281
Faxelag-(Cerithium-Kalk-) Geschiebe, Eberswalde 02 I 451
Fayalit
— Krystallisationsvermögen u. -Geschwindigkeit . . . . . CBl 1903 *616*
— zusammengeschmolzen mit Sarkolith . . . CBl 1903 *747*
— Rockport, Mass., mit Anthophyllit . . . 04 II 197
— Villacidro, im Granit. zersetzt . . . . . 01 II 20
Fayalitfels, Collobrières 02 I 71

Fayum-Depression, Egypten, Geologie . . . 1903 I 487
— vergl. Fajumia, siehe auch Egypten.
Fedaiella magna, unt. Muschelkalk . . . . 04 I 313
— somensis, rothe Kalke, Trias, Bakonywald . 02 II 305
Federerz (Domingit) . . CBl 1904 314
Fedorow'scher Tisch . . 1900 II 181
Fedorowit, Prov. Rom . 02 I 174
Feinsande, glaciale, Flämming . . . . . 03 II 411
Feldspath
— andesitischer, m. eigenthüml. Glaseinschl. . CBl 1902 *129*
— Anwendung der universaloptischen Untersuchungen . . . . . 04 II 20
— Ausscheidung aus Schmelzflüssen . . . CBl 1904 *369*
— Bestimmung i. Biotitgneiss . . . . . CBl 1902 *396*
— Biegungsaxe . . . . 1900 II 195
— Bildung im Magma 1900 II 253. 386
— chem. Constitution d. Kalknatronfeldsp. . . 03 I 22
— Dichte nach Schmelzen 01 II *153*
— Druckfestigkeit . . . CBl 1902 *264*
— geschmolzen, Lösungsvermögen . . . . . CBl 1902 *201*
— Glaukisiren . . . . 02 I 341
— Karlsbader Zwilling des Kalifeldspaths . 02 I 173
— Krystallisationsvermögen u. -Geschwindigkeit . . . . . CBl 1903 *614*
— Neubildung durch Schmelzung . . . . BB XVII *512*
— opt. Verhältniss der Periklinzwillinge . . 02 II 193
— Pleochroismus d. Amazonensteins . . . . CBl 1903 *450*
— Polychroismus d. Kalif. 04 II 342
— Schmelzbarkeit . . . 02 II 216
— Schmelzpunkte . . . 04 II 166
— verschiedene . . . 1900 II 180 ff.
— Verwachsung v. Orthoklas u. Plagioklas . BB XVI *429*
— Zwillinge . . . . . 04 II 334
— Zwillingsbildung bei triklinen . . . . . 03 II 158
— Acherwiese. Fichtelgebirge . . . . . 1900 II 359
— Böhmen, südl. . . . 01 II 353
— Baikalsee, Lasurfeldsp. 02 I 38
Feldspath
— Bogoslowsk'sches Bergrevier. aus Feldspathgesteinen . . . . . 1900 I 343
— Brusson, Piemont, im Grünschiefer . . . . CBl 1901 *306*
— Cala Francese, Insel Maddalena, im Granit 02 I 346
— Ceylon, Mondstein . 02 I 195
— Grönland . . . . . 1900 I 346
— Haddam Neck, Conn., im Granit . . . 1903 II 187. 188
— Jelisawetgrader Kreis, Labradorit . . . . . 04 II 21
— Kola . . . . . 02 II 379
— Mähren . . . . . CBl 1904 *363*
— Morro-Velho-Goldgrube, Brasilien, Gangmineralien . . . 04 II 411
— Neu-Süd-Wales, Labradorit, Zusammensetzung . . . . . 02 I 184
— Nünistock, im Biotitprotogyn. Bestimmung 02 I 345
— Portugal, Alkaligranit CBl 1902 *54*
— —. im Staubfall vom Januar 1902 . . . . CBl 1902 *259*
— Raven Hill, Cripple Creek, Col. . . . . 02 I 351
— Royat, Puy-de-Dôme, in Fumarolen . . . 1900 I 30
— Schweden, Baryt-, kryst. u. opt. . . . 04 II 175
— Tilai-Kamen i. Kosswa-Becken, Ural, i. Gabbro 02 I 346
— Tvedestrand, Eisenglanz im Sonnenstein CBl 1902 441
— Veltlin, im Pegmatit 1900 II 361
— siehe auch Orthoklas, Celsian, Plagioklas, Mikroklin, Oligoklas, Labradorit etc.
Feldspathbasalt
— dureh Umschmelzen von Amphibolit, Radlgraben, Steiermark . BB XIX *172*
— Chile, nördl. . . . . 01 I 420
— Puebla, Mexico . 1900 II 229. 234
Feldspathgesteine
— Nomenclatur . . . . 01 II 220
— Bogoslowsk'sches Bergrevier, Ural, Mineral. 1900 I 343
Feldspathgrauwacken, Hinter-Taunus . . . 04 II 382
Feldspathmassen in rhein. Basalten . . . . . 04 I 214

Feldspath-Uralitisirung d. Natron-Thonerde-Pyroxene, Biella . . 1902 II *112*
Feldspathvorkommen, Südböhmen . . . . 03 I 82
Felis, quartär, Algier . 01 II 147
— platensis, Tarija-Thal, Argentinien . . . . 04 I 289
— Zitteli, La Grive, St. Alban, Miocän . 03 II 126
Felsbecken, Entstehung 1900 II *133* 01 II 130
Felsenthal, versunkenes und vergletschertes, Caermarthenshire . . CBl 1901 728
Felsitische Lava u. Tuffe, Conway, Caernarvonshire . . . . . 01 I 74
Felsitporphyr
— Achen- u. Murg-Quellgebiet . . . . . 04 I 255
— Böhmen, präcambr. . 04 I 52
— Burgstall u. Traschke bei Wechselburg, Sachsen . . . . . 1900 I 380
— Campiglia Marittima, Erzlagerstätte . . . 01 I *139*
— Centralappalachen, Virginien, Gänge von Felsophyr . . . . . 1900 II 69
— Chile, nördl. . . . . 01 I 415
— Columbia . . . . . 03 II 205
— Conway, Caernarvonshire, Lava u. Tuffe 01 I 74
— Creuse-Dep. . . . . 03 II 373
— ecuador. Westcordill. 1900 I 410
— Hessen, chemisch . . 03 II *39*
— Isle Royale, Mich. . 1900 II 224
— Luganer See, Contactmetamorphose am Gneiss 02 I 407
— Mariupoler Kreis. Südrussland . . 1900 I 392. 395
— Montblanc . . . . . 01 I 65
— Mt. Bischoff, topasirte u. turmalinisirte Zinnerzlagerstätte . . . 01 I 424
— Mte. Zuflan b. Timan, karnische Alpen . . 1900 II 396
— Predazzo . . . . . 03 II 71
— Rödö, Christianiafjord 1900 II 221
— Thal b. Eisenach, Parallelstructur, Entstehung . . . . . 01 II 224
— Val Floriana, versch. Ausbildung d. Orthoklases . . . . . CBl 1903 236
Felsitporphyr, siehe auch Quarzporphyr.
Felsoliparit u. Sphärolith, Nordgriechenland u. türk. Grenzländer . BB XVIII *12*
Felsophyrit, Pürglitz-Rockycan. Gebirgszug CBl 1901 505
Felsrutsch, Campo im Maggiathal, Tessin . 1900 II 43
Femische Eruptivgest. . CBl 1903 679
Femur, Mensch u. Affen 01 II 141
Fennoscandia, Quartär 1904 II 261. 264
FERBER, F. J., ältester Vertreter der Drifttheorie . . . . . CBl 1901 *705*
Ferberit, Dakota . . . 02 I 353
Fergana
— eoc. u. cretac. Fossilien 04 II 458
— Kreide . . . . . 03 II 408
Fergusonit
— Beziehung zu Scheelit, bezügl. Molecularvol. u. Zusammensetzung 04 I 5
— isom. m. Scheelit . . CBl 1901 507
— Swaziland . . . . . 01 I 31
— Terek, nördl. Kaukasus 03 II 193
— Wiesenburg und Marschendorf, Mähren, im Pegmatit . . . . CBl 1901 *444*
Fergusos . . . . . CBl 1903 697
Ferrit im Eisen . . . . 01 II 10
Ferromangan
— Kryst. . . . 1904 I 6 CBl 1903 26
— Beraun, künstl., Kryst. 04 II 11
Ferropallidit, Chile . . 04 II 195
Ferru, Mte., Sard., Gesteine, Laven . . . 04 II 222
Feste Körper
— Fliessen, Versuche . 03 I 452
— Verhalten bei hohem Druck . . . . . CBl 1901 141
Fester Zustand, Grenzen 1901 II 252 03 I 452
Festigkeit von Quarz, Feldspath u. Glimmer CBl 1902 *262*
Festigkeitsuntersuchung an natürl. Bausteinen 02 II 240
Feuerblende, isom. mit Stylotyp . . . . . 04 I 12
Feuerland, Tert. u. Quart. 1900 I 106
Feuerstein
— Bildung i. d. Schreibkreide . . . . . CBl 1902 650
— Bornholm, gerollt in Moränen . . . . . CBl 1903 377

Fichtelgebirge
— Kaolinlager . . . . BB XV *320*
— Marmor . . . . . BB XIX *232*
— Mineralien . . . . . CBl 1903 650
— Pseudophitbildung in granit. Gesteinen . . 1902 II 224
— Schalstein . . . . . 01 I 59.
— Torf, Fichtelit, Dopplerit . . . . . CBl 1901 *519*
Fichtelit, Fichtelgebirge CBl 1901 *519*
Ficula menengtengana u. pamotanensis, Tert., Java . . . . . 1900 II 289
— priabonensis, Priabona-Schichten . . . 04 I 283
Ficus Marioni. fraterna, callophylla, ambigua, irregularis, rotunda u. diffusa, étage sannoisien, Célas b. Alais 1900 II 496
Fidschi-Inseln
— Geologie . . . . . 03 II 98
— Gesteine . . . . . 01 I 246
Filicudi, Geologie . . . 1900 II 49
Filisparsa, Cenoman, St. Calais (Sarthe) . . . 1900 II 159
Filograna glomus, Priabona-Schichten . . . 04 I 284
Finisterre, Contactbildungen m. Korund . 02 I 11
Finkenberg b. Bonn, Urausscheidungen im Basalt . . . . . 04 I 205
Finne, Störungszone CBl 1903 *532. 660*
Finnland
— archäische Sedimentformation . . . . . 01 II 59
— Gebirgsbau . . . . 03 II 73
— Ijolithmassiv v. Kunsamo . . . . . 01 II 237
Fiorit, Toscana . . . . 1900 II 349
Firnhalde d. Eishöhlen . 1900 I 208
Fische
— Belgien, palaeocäne . 03 II 442
— Böhmen, Kreide . . CBl 1901 503
— Bosnien, Tertiär . . 03 I 160
— Calanna (Calabrien), Pliocän . . . . . 03 I 160
— Chile, Quiriquina-Schichten . . . . BB XVIII *186*
— Edinburg, Carbon . 04 I 460
— Egypten (Fayum und Natronthal), Nematognathi d. Diluviums u. Tertiärs . . . . 04 I *1*
— — u. Rumänien, Eocän 01 II 148
Fische
— Eifel, Devon 1900 I *64* CBl 1900 177
— England, Carbon 1902 II 482. 483
— Epernay, Sande mit Unionen u. Teredinen 1902 II 302
— Gassino, Piemont, Eocän . . . . . 01 I 308
— Japan, mesozoische . 03 II 295
— Kansas, Niobrara-Kreide . . . . . 01 I 308
— Mazon Creek, Carbon 03 II 441
— Messina, Provinz . . 03 I 160
— Mte. Bolca u. Postale, Eocän . . . . . 1900 I 466
— Pariser Gyps . . . . 02 II 301
— Portugal, Jura und Kreide . . . . . 03 I 325
— Reggio (Calabria), Tertiär . . . . . 04 I 460
— Schottland, Carbon . 04 I 460
— —, Silur . . . . . 01 I 505
— Steiermark u. Kroatien, Miocän . . . . 01 I 307
— u. Schildkröten, böhm. Braunkohlenform. . . 01 I 143
Fischschiefer im Flysch, schweiz. Nordalpen . CBl 1903 *742*
Fissodus dentatus, Perm, Kansas u. Nebraska 04 I 141
Fissurella acuticosta, Egypten, Eocän . . 04 II 459
Fissurellidae. Jura, England . . . . . 01 I 515
Fissurellidea Bourdoti, Eocän, Loire inférieure 03 I 128
Fjällformation, Torneträsk (Lofotenbahn) . 04 II 223
Fjällgebirge
— Schweden, Ueberschiebung . . . . . 03 I 283
— Torneträsk (Lofotenbahn) . . . . . 04 II 223
Fjorde
— Entstehung . . . . 1900 II 133
— Norwegen . . . . . 03 I 225
Flabellina budensis, Bryozoenhorizont. Priabona . . . . . 01 I *121*
Flabellinella. Kreide, Aachen u. Böhmen . 03 II 150
Flabellum californicum, conoideum, Johnsoni, Lerchi. Mortoni und rhomboideum, Palaeogen, Nordamerika . 04 I 468

Flabellum extensum var. placentina, avicula var. ponderosa u. parmensis, Bagattii und Manzonii, Neogen, Italien (Parma) . . . . 1902 I 154
— vindobonense, Tert., Wien . . . . . 02 I 455
Flachbeil aus Jadeit, Niederrhein . . . . 1900 II 19
Flachland
— geolog. Führer . . . 01 I 285
— Quartär . . . . . 02 II 445
— — d. östlichen . . . 1900 II 411
— siehe auch Glacial etc.
Flacilla, Trias, Hallstatt 1902 I 144
Flächenbezeichnung isomorpher Krystalle . 04 I 322
Flächencombination, Beurtheilung d. Wahrscheinlichkeit durch kettenbruchähnl. Entwickelungen . . . . CBl 1903 *537*
Flächenentwickelung u. Krystallstructur bei rhomb. Schwefel und Anatas . . . . . CBl 1903 *665*
Fläming
— jungglacialeFeinsande 03 II 411
— Quartär . . . . . 04 II 446
Flamingos, Osteologie . 03 II 438
Flandrien, Belgien . . . 03 II 272
Fleckenmergel
— Chiemgauer Alpen . CBl 1901 *364*
— Hochgern . . . . . CBl 1901 *661*
Fleims, Eruptivgebiet
— Gesteine . . . . . CBl 1904 417
— Karte . . . . . 03 I 59
Flemingites praenuntius, Trias, Kaschmir . . CBl 1902 *135*
Fliessen fester Körper, Versuche . . . . . 03 I 452
Flötztrümmerzüge der Braunspathformation CBl 1901 248
Flora
— Elsass, Ober-, tertiäre 1900 I 486
— Franzensthal, böhm. Mittelgebirge, Tertiär 1900 II 328
— Ilfeld, Rothliegendes CBl 1901 *417. 590*
— Sardinien, Tertiär . 1900 II 167
— Schweden arktische, 1900 II 495
— St. Gallen, Tertiär . 1900 I 485
Florencit
— Isomorphismus . . . CBl 1901 507
— Brasilien . . . . . 01 I 359
Florenz
— Geologie . . . . . 1902 II 423
— Kreide . . . . . 03 I 280
Floridina vendoma, Kreide,
— Frankreich . . . . 02 I 491
Flüsse, Vertheilung . . 01 II 219
Flüssige Krystalle . . 1901 I 1. 2. 339 1902 II 3. 173 1903 I 178 03 II 163
— — und einfache rationale Indices . . . . 02 II 1
— —, Dichroismus . . 03 II 163
— —, Structur u. magnetisches Verhalten . 01 II 338
Flüssige Luft, Erkaltungsmittel bei kryst.-opt. Untersuchungen CBl 1902 *11. 321. 402*
Flüssigkeiten
— Erstarrung überkühlter 02 I 425
— krystallinische, siehe flüssige Krystalle.
Flugsand, Takla-makan-Wüste, Centralasien 02 II 236
Flugsaurier . . . . 02 II 144. 479
Fluocerit, kryst. u. opt. 1900 I 179
Fluorbestimmung, neue CBl 1902 504
Fluorescenz
— Diamant . . . . . 03 II 168
— — und Rubin . . . 03 I 360
Flussablagerungen
— diluviale, Norddeutschland . . . . . BB XVI *19*
— Thüringen u. Harzvorland, pleist. mit Succinea Schumacheri 04 I 103
Flussläufe
— Curven u. Einmündung der Nebenflüsse . . 04 II 46
— Entstehung . . . . 04 II 45
Flussnetz in Thüringen vor d. 1. Vereisung . 03 II 120
Flusssäure, Löslichkeit von Eisenerzen . . . CBl 1902 *647*
Flussschotter
— oberes Neckargebiet (Horb – Altenburg) . 02 I *60*
— Kirchheim u. Teck, diluviale . . . . . BB XIX *92*
Flusssysteme
— Entstehung . . . . 1900 I 214
— Süd-Wales, Entstehg. 04 II 204
Flussterrassen, Gardasse 04 II 284
Flussthaldünen, Quartär, Egypten . . . . . 02 II 108
Flusswasser b. Osnabrück, beeinfl. v. d. Industrie 01 I 437

Flussspath
— Brechungscoëfficienten und Färbung . . . 1904 I 7
— Dispersion, auch im Ultraroth . . . . . 03 II 8
— Färbung . . . . . 1900 II 342
— Lichtbrechung . . . 04 I 8
— opt. Erscheinungen bei Druck . . . . . 03 II 166
— — u. Aetzfiguren . . 1900 I 176
— Structur . . . . . 03 I 178
— verwachsen m. Quarz BB XVI *351*
— — — Scheelit . . . BB XVI *361*
— Aarmassiv, in Biotit-protogindrusen . . BB XIV *64 ff.*
— Baltschiederthal, Wallis . . . . . 1900 I 18
— Beaujolais, m. freiem Fluor . . . . . 02 II 15
— Campiglia Marittima, Toscana, Erzlagerst. 01 I *138*
— Carrara, im Marmor 01 I 30
— Cichau, Mähren . . CBl 1904 *358*
— Congians-Grube, bei Iglesias . . . . . 1900 I 6
— Cumberland u. Schweiz, Polychroismus . . . 04 II 341
— Derbyshire, im Bergkalk . . . . . 1900 I 232
— Epprechtstein, Fichtelgebirge . . . . . 04 I 166
— Freiberg, Anal. CBl 1902 505. 506
— Grönland . . . 1900 I 347. 350
— Heidelbach, sächs. Erzgebirge . . . . . 04 II 362
— Kintsiniemi, Dolomitbruch . . . . . 02 II 362
— Kozakow, Böhmen, im Felsitporphyr . . . . 02 I 64
— Montorfano b. Baveno, im Granit . . . . . 04 I 182
— Narsarsuk, Südgrönland, im Syenit . . 02 I *19*
— Nordamerika, Production . 1904 II 11 CBl 1902 242
Flustra und Flustridae, Classification . . . . 1900 I 478
Flysch
— Bildung . . . . . 1900 I 87
— Fucoiden . . . . . 1900 I 150
— Biarritz etc. . . . . 04 I 99
— Graubünden . . . . CBl 1902 117
— nordmoldausche Karpathen . . . . . 1900 II 420
— Salzburger Vorland u. Wienerwald, Kreide 02 I 276
Flysch, schweiz. Voralpen, Fischschiefer . . . . CBl 1903 *742*
Foetorius Eversmanni, Diluv., Quedlinburg . CBl 1904 *13*
Fondo Riccio-Krater, phlegräische Felder, Trachyte . . . . . 1903 II 369
Fontainebleau, Morphogenie der Gegend . CBl 1901 666
Foordiceras bidorsatum, dolomiticum und Goliathus . . . . . BB XVII *487*
Foramen entepicondyloideum b. Säugethieren 04 I 121
Foraminiferen
— Beschreibung einiger Formen . . . . . 1900 I 484
— Index der lebenden und fossilen . . . . 02 I 154
— Kreide u. Tertiär . 03 II 150
— China, palaeoz. . . . 1900 II 488
— Funafuti-Atoll . . . 04 II 160
— Italien, tertiäre . . 1900 I 318
— Kansas, Kreide . . . 01 II 165
— Kiew, blauer oligocäner Thon mit Spondylus 03 I 327
— Krosno, Karpathen, naphthaführ. Tertiärschichten . . . . . 1900 II 163
— malaiischer Archipel, recente . . . . . 1900 I 149
— New Jersey, Kreide . 1900 I 318
— oberbayr. Alpen, Kreidemergel . . . . . 02 I 155
— Priabona, Bryozoenhorizont . . . . . 01 I 111
— St. Rufillo b. Bologna, Miocän . . . . . 1900 I 483
— Schleswig-Holstein, pleistocäne . . . . . 01 II 328
— Sinai, Eocän . . . . 01 II 165
— Singapur, recente . . 03 I 324
— Surrey, Bargate beds, Kreide . . . . . 1900 I 483
— Tirol, südl., Oligocän 02 I 281
— Ungarn, pannon. Stufe 1900 II *99*
— Weihnachtsinsel . . 03 II 101
Foraminiferengesteine, Tertiär, Egypten . . 03 I 484
Foraminiferensandstein, Neogen, Egypten . . 01 II 164
Foratella, Kreide, Frankr. 02 I 490
— Glangeaudi, Kreide, Frankreich . . . . . 02 I 491
Forbesiceras, südindische Kreide . . . . . 1900 I 443

Forel'sche Streifen . . . BB XVIII *78*
Forellenstein, Lofoten . 1900 I 385
Foresit, Elba, im Granit 01 II 29
Formationen, Bildung durch Polverschiebung der Oceane . . . . 04 I 365
Formosa, Geologie . . . 03 II 255
Forsterit
— Albaner Geb., Analyse 02 II 30
— Ariège, z. Th. nach Dipyr, im Contactkalk am Lherzolith . . . 02 II 26
— Ceylon, Analyse . . 03 I 181
— —, im Marmor . 1904 I 381. 384
— Cichow, Mähren, serpentinisirt im Urkalk 03 I 200
— Glenelg limestone . . 1900 II 365
— Mähren, im Kalk am Granitcontact . . . CBl 1901 *689*
— Pesmedaalp, Pseudomorphosen . . . . . 04 I 165
Fort Kennedy, Penns., Knochenhöhle . . . 02 II 140
Fort Pierre-Gruppe, Kreide, Kansas . . . . . 01 II 297
Fortymile series, Alaska 1900 II 77
Fouquea cambrensis, Süd-Wales, Lower Coal-measures . . . . . 04 I 311
Fox River Valley, Wisconsin, präcambr. Eruptiv-Gesteine . . 01 II 242
Foyait
— Heum, graph. Darstellung d. Zusammensetzung . . . . . 1900 I *111*
— Ostkap, Ostsibirien . 03 II 199
— Sylt, Diluv.-Geschiebe 01 I *107*
Foyaitische Ergussgesteine, Massailand, Ostafrika . . . . . 03 I 80
Foyait.-theralith. Gesteine, Insel Cabo Frio, Rio de Janeiro . . . . . 02 II 399
Franken, Fauna d. Lias u. Dogger . . . . . 03 I 318
Frankenberger Kupferletten bei Marburg . CBl 1901 *427*
Frankfurt a. M.
— Geologie (Glacial) . 03 I 459
— Tertiär . . . . . 01 II 282
— Versammlg. d. deutsch. geol. Versammlung, Sept. 1900 . . . . . CBl 1900 *273*
Frankfurt a. O., Geologie 03 I 519
Franklin, N. J., Erze . 01 I 367
Franklin Co., Mass., Mineralien . . . . . 1901 I 36
Franklin-Insel, Gesteine 1900 II 238
Franklin-Kalk, Sussex Co., N. J., Alter . . 1900 II 103
Frankreich
— alttert. Binnenmollusken, d. südöstlichen 01 II 282
— Carbon m. Palechiniden im nördlichen . . . 01 I 460
— Centralplateau, geol. Excursion . . . . . CBl 1900 *305*
— foss. Dreissensidae d. südwestl. . . . . 1900 II 315
— Jura, Schnecken 1900 II 152. 153
— Kalkphosphate, Ausbeutung . . . . . CBl 1902 249
— Kaolinlagerstätten BB XV *281. 284*
— Orgon, Urgonkalke . 02 I 313
— Pelecypoden u. Brachiopoden d. mittl. Miocän im nordwestl. Frankr. 02 I 465
— Portland u. Tithon . 1900 I 116
— Säugethierreste, Vertheilung . . . . . 03 I 564
— Tertiär . . . . . 02 II 440
— verkieste Ammoniten des Valangien-Mergels 03 II 446
Französ. Alpen, Entstehung der Fächerstructur . . . . . CBl 1904 92
Franzensthal, böhm. Mittelgeb., Tertiär, Flora 1900 II 328
Franz-Josephs-Land
— Geologie . . . . . 03 I 466
— Geologie u. Flora . 02 II 318
— Jura, Fauna . . . . 01 I 277
Frechiella brunsvicensis, Posidonienschiefer, Hannover . . . . . CBl 1904 *387*
— curvata, subcarinata und subcarinata var. truncata. Rückschlagsformen . . . . . 04 I *32*
Freiberger Gneiss, Entstehung . . . . . CBl 1904 *566*
— Revier, Erzgänge . . CBl 1901 236
Freiburger Alpen
— Ammoniten d. ob. Lias 1900 I 139
— Lias-Ammoniten . . 01 I 163
Freixialin, Jura, Portugal 02 I 274
French River, Ontario, Geologie . . . . . 01 I 269
Frenzel, Aug., Nekrolog CBl 1902 *641*
Freudenthal, Mähren, geol. Karte . . . . 1900 II 259

Friedel, Charles, Nekrol. CBl 1900 *53*
Friedelit, Adervielle, Pyrenäen . . . . . 1902 I 191
Fritschia multicostata u. paucicostata, mitteldeutscher Muschelkalk 04 I 313
Frondicularia archiaciana, Bryozoenhorizont, Priabona . . . . . 01 I *121*
— Fischeri, deutscher Zechstein . . . . . 1900 II 164
— inconstans u. Karreri, nordmähr. Miocäntegel 03 II 151
— Zittelina, Kreidemergel d. oberbayr. Alpen . 02 I 155
Frondicularien, Pliocän, Italien . . . . . 1900 I 484
Fuchsit
— Binnenthal . . . . . 04 I 181
— Guatemala, Material z. prähist. Artefakten CBl 1900 *291*
— Schweizer Alpen . . 1900 I 189
Fuchsitschiefer, Petersdorf, Mähren . . . . CBl 1901 *444*
Fuciner See, Geologie . 03 I 481
Fucoiden
— eocäne, Rumänien . 1900 II 491
— Flysch . . . . . 1900 I 150
Fünen, Geologie . . . . 03 I 267
Fürstenberg b. Schwarzenberg. Marmor . . . BB XIX *250*
Fulgurit, spiralig . . . 01 I 15
Fulguriten, Tupungato und Aconcagua-Spitze 01 I 413
Fumarolenbildungen, Lipari . . . . . 02 II 58
Fumarolengase, Mt. Pelé, Martinique . . . . . 03 II 377
Fumarolenmineralien, Royat (Puy-de-Dôme) . 1900 I 30
Fumarolenproducte. Vesuv, Se-, Br- u. J-haltig . 1900 I 52
Furcifer, siehe Hippocamelus . . . . . 04 I 290
Fusshörner am Oberaletschgletscher . . BB XVI *293*
Fusulinella Loczyi, China 1900 II 489
Fusulinenkalk, Bäreninsel 01 II 259
Fusus antiquus, Vork. . 1900 II 479
— Archimedis, cancellatus u. Pilsbryi, patag. Formation . . . . . 02 I 295
— chilinus, difficilis, dubius u. Metzdorfi, Quiriquina-Schichten, Chile . . . . . BB XVIII *210*
Fusus Durvillei, Hombroniana und longirostra, Quiriquina-Schichten, Chile . . BB XVIII *212*
— Ferrieri, Quiriquina-Schichten, Chile . BB XVIII *208*
— florianus, Gross-Florian, Tegel . . . . 1902 I 472
— perbellicosus, Tertiär, Lavacille b. Bassano 01 II 129
Fussfährten im Rothliegenden, Deutschl. 02 I 308

G.

Gabbrit . . . . . 02 I 227
Gabbro
— Adirondacks, m. Titaneisenerz . . . . . 01 II 410
— Bergen (Norw.) . . . 04 I 392
— —, —, Norit- u. Saussuritgabbro . . . . 04 II 396
— bosn. Serpentinzone . 02 I 67
— Brookville, N. J. . . 01 I 245
— Chile, nördl. . . . . 01 I 415
— Columbia . . . . . 03 II 206
— Ebersdorf b. Neurode, im Liegenden d. oberdevon. Kalks . . . 02 I 57
— erythr. Colonie . . . 03 II 79
— Gaggio Montano, bologn. Appennin . . . 1900 II 396
— Griechenland, nördl. u. türk. Grenzländer BB XVIII *3. 36*
— Hessen, chemisch . . 03 II *38*
— Humboldtbai, Neu-Guinea . . . . . CBl 1901 *652*
— Kasbek, versch. Var. 02 II 391
— Kola . . . . . 02 II 385
— Kordofan . . BB XVII *393. 410*
— Koswinsky-Kamen, Ural, Olivin- . . . . 02 II 387
— Kullenvorgeb., Schweden, Hypersthen- . . 1900 I 222
— Madagascar, Barkevikit- . . . . . 03 I 79
— Maremmen, rother . 02 II 58
— Mariupoler Kreis, Südrussland . . . . . 1900 I 392
— Massachusetts, Quarz- 1900 II 90
— Michigan, Variationen 1900 I 73
— Neustadt, Oberpfalz, Calvarienberg . . . CBl 1904 *591*
— Pallet, Loire inférieure 1900 II 398
— —, —, endom. Contactmetamorphose . 01 I 64

Gabbro
— Pegli, Glaukophan- . 1901 I 67
— Radauthal, graph. Darstellung d. Zusammensetzung . . . . . 1900 I *111*
— Romito bei Livorno, rother . . . . . 03 I 250
— Salzkammergut . . . 01 I 61
— Studenê b. Eule, Böhmen 04 I 49
— Syrien, nördliches . . 1900 I 401
— Taiwan-Inseln . . . 02 I 415
— Tilai-Kamen i. Koswabecken, Ural, Feldspathe 02 I 346
— Ural, nördl. . . 1903 II 363. 365
— Veltlin, oberes . . . BB XVII *313*
— Wischkowitz, Böhmen 04 I 48
— siehe auch Norit.
Gabbroeinschlüsse im Basalt, Schluckenau, Böhmen . . . . . 04 I 54
Gabbroide Ergussgesteine, Massailand, Ostafrika 03 I 80
Gabbrolehm, Neurode . 01 II 55
Gabbronorit
— Bergen, Norwegen . 04 II 396
— Pallet, Loire inférieure 1900 II 399
— Witim-Plateau, Sibirien . . . . . 02 I 223
Gabbroporphyrit, syst. Stellung . . . . . 03 II 357
— Kordofan . . . . . BB XVII *393*
Gabbro-Pyroxenit-Dunit-Formation, Deneshkin Kamen. Gouv. Perm 02 I 397
Gabbroschiefer, SW.-Minnesota . . . . . 01 II 245
Gabbrozug b. Neurode u. daraus entstandene Schieferthone . . . . 01 II 54
Gadinia nitida, Miocän, Cap Lenia . . . . . 03 I 281
Gadolinit
— Montorfano bei Baveno, im Granit . . 04 I 181
— Tschoroch-Mündung, Batum-Gebiet . . . 03 II 191
— Westaustralien . . . 04 I 362
Gänge
— Bestimmung d. Alters 1900 II 247
— Sattel- und Mulden-, Tigeraugenquarzit, Griqualand . . . . . 03 I 256
— Predazzo u. Monzoni, im Monzonit . . . . 04 II 210
— siehe auch Gang, Erzlagerstätten etc.
Gaëta, Geologie . . . . 1902 I 99
Gafienthal, Graubünden, Tektonik . . . . . CBl 1901 *353*
Gagat, Nordamerika, Vorkommen als Edelstein CBl 1902 407
Gaggio Montano, bologn. Appennin, Eruptivgesteine . . . . . 1900 II 396
Gahnit mit Rhodolith, Nord-Carolina . . . 1900 I 188
— Snuggen's Kupfergrube, Helsingland, Schweden 02 I 165
Gailbach bei Aschaffenburg, Marmor . . . BB XIX *229*
Gailthaler Alpen, Geol. . 03 I 102
Galactochilus silesiacum, tert. Landschneckenmergel, Oppeln . . . 03 I 541
Galatisches Andesitgebiet
— Geologie . . . . . BB XVI *99*
— Ergussgesteine . . . BB XVI *110*
Galenobismutit, Silverton Quadrangle, Colorado 03 II 343
Galenopsis quadrilobata ungar. Eocän . . . 1900 II 475
Galeocerdo latidens, unt. Mokattam, Wasta in Egypten . . . . . 03 I *33*
Galeommatidae, tert. u. recent, Nordamerika u. Westindien . . . 1900 II 315
Galeropsis laevis, Quiriquina-Schichten . . BB XVIII *195*
Galgenberg bei Hildesheim, Geologie . . . 02 I *35*
Galizien
— Erdbeben 1898 . . . 01 I 209
— Erdöl . . . . . 04 I 404
Galiz. Karpathen, Erdölablagerungen . . . 02 II 260
Gallenschichten, Unterdevon zw. Marburg und Herborn . . . . BB XVII *18*
Gallinuloides wyomingensis, mitteleoc. Green River shales, Wyoming 01 II 474
Galmei
— Iowa . . . . . 1900 I 414
— Laorca bei Esino . . 02 II 203
— siehe auch Zinkspath.
Gang, doppelter, Schriesheim, Odenwald . . CBl 1904 *622*
— siehe auch Gänge.
Gangbildung (Gesteine) . 01 II 398
Gangfüllung, Einfluss des Nebengesteins . . . 04 II 230

Ganggefolge von Malchit und Beerbachit bei granitodiorit. Tiefengesteinen . . . . . CBl 1902 *676*
Ganggesteine
— chem. Classification . 1903 II 356
— Systematik . . . . . 03 II 356
— Boscampo . . . . . CBl 1903 *639*
— Hessen, chem. Classification . . . . . 1903 II *35. 39*
— Kullenvorgeb., Schweden, postsilurische . 01 II 57
— Monzoni, Gefolge des Monzonits . . . . . 01 II *675*
— Orkney-Inseln . . . 02 II 65
— Predazzo, aplitische . CBl 1902 *369*
— Rödö, Christianiafjord 1900 II 219
— Serra de Caldas, Brasilien, leukokrates gemischtes . . . . . 1900 I *22*
— Vogesen . . . . . 01 II 427
— Witim Plateau, Sibirien . . . . . 02 I 223
— Wolynkathal, Böhmerwald . . . . . 03 I 412
Gangporphyre, Småland . 03 I 77
Gangquarzit, Kordofan . BB XVII *395*
Gangscharungen, -veredelungen etc., Freiberger Revier . . . CBl 1901 252
Ganoiden, Verwandtschaft mit Knochenfischen, Kreide von Kansas . 04 I 308
Ganomalit, New Jersey . 01 I 367
Gardasee
— Erdbeben . . . . . 03 II 48
— mittl. Kreide . . . . 04 I 120
Gardasee-Becken, Quartär 04 II 284
Gardasee-Senke, Echinofauna d. Oligomiocän 04 I 152
Garnconglomerate und -Phyllite, Angelsea . CBl 1901 53
Garnieria angulosa und cardioceroides, Valangien-Mergel, Südostfrankreich . . . . 03 II 447
Garnierit, Neu-Caledonien 03 I 95
Garnieritgänge, Entstehg. 1900 II 246
Garoide-Thal b. Toulouse. Quartär . . . . . 1900 I 451
Gas
— aus Eruptivgesteinen, Wasserstoff . . . . 01 II 376
— — Meteoriten und Mineralien d. Erhitzen ausgetrieben . . . . 1900 II 199
Gas
— Baku, brennbares . . 1904 I 230
— Ost-Sussex, natürl. . 1900 II 410
— Texas, natürl., brennb. 02 II 358
Gas-Quellen, Baldwinsville, N. Y. . . . . 01 I 270
Gaspé-Kalk- u. Sandschichten, Devon, Canada 1900 II 432
Gassino, Piemont, eocäne Fische . . . . . 01 I 308
Gastein, Thermen, Zusammensetzung . . . 02 II 411
Gasteinthal, Mineralien . CBl 1903 651
Gasterenthal (Aarmassiv), Lakkolith . . . . . BB XVI *322*
Gastrochaena supercretacea, ob. Kreide, Schonen . 01 I 281
Gastropoda sinuata, neritaemorphi u. trochomorphi, Trias, Hallstatt . . . . . 02 I 147
Gastropoden
— deutsche Trias . . . 1900 I 316
— England, Jura . . . 01 I 512
— Frankreich, Jura 1900 II 152. 153
— Maestrichter Kreide . 01 I 312
— und Cephalopoden, Oberpaläocän, Bachmut, Donetz . . . . 01 I 309
Gastropodenschalen, Bau und Entstehung . . 03 I 164
Gauderndorfer Schichten, Tert., Eggenburg . . 1900 I 124
Gaudryceras, südindische Kreide . . . . . 1900 I 441
Gaudryina conversa, Inoceramenschichten, Gorlice . . . . . 03 II 153
— minima, Kreidemergel d. oberbayr. Alpen . 02 I 155
— pupa, Reussi, rugosa u. siphonella var. asiphoniata, Bryozoenhorizont, Priabona 1901 I *117. 118*
Gauteït
— Predazzo u. Monzoni 04 II 210
— Rongstock . . . . . 1900 II 83
Gauteït-Malchit-Gabbroporphyrit, Kordofan . BB XVII *419*
Gauthieria radiata, Kreide, Normandie . . . . . 1900 II 161
Gay-Lussit, Sweetwater Valley, Wyoming . . 01 I 566
Gazella altidens, dorcadoides u. palaeosinensis, Tertiär, China . CBl 1902 *534*

ypeatus, Great
, Northampton 1900 II 307
ewegungen, Ein-
ng auf carbon.
ivgesteine, Man 01 I 408
ildung
rat zur Demon-
on . . . . . 04 II 83
ie . . . . . 04 II 368
ıltung, Apparat
monstration . . CBl 1902 *362*
ebung . . . . . 02 I 198
ben, Schweiz,
eranalysen . . 04 II 388

hiere, Entwicke-
. . . . . 1900 II 306
thiere, Reduction 1900 II 132

iguren . . . . 1900 II 341
läen, Entstehung
1901 II 20. 237
(dilut) Krystalle 03 II *134*
auch Färbung.
ınktsänderungen 1900 I 173
ınktscurven, voll-
ige, binärer Me-
girungen . . . 03 II 166
schutt, Kirch-
rGegend (Würt-
), verschleppter BB XIX *134*
h, Rakwana . . 04 I 14
Hans Bruno,
log . . . . . CBl 1903 *6*
la acuta, deut-
Zechstein . . . 1900 II 164
im a. Rh, Geol. CBl 1902 439
gubib, Vulcan,
ich-Südwestafrika 03 II 46
talke, oberster
helkalk, am unt.
ar . . . . . CBl 1902 *74*
papier, Ersatz
Deckgläser . . . 02 II 175
erz
assiv in Biotit-
gindrusen . . BB XIV *69 ff.*
a, im Dolomit
ino . . . . . 02 II 203
Collioux, Anni-
Thal, Wallis . 02 II 354
bus, Sard. . 1901 II 31. 360
, Russland . . 01 II 66
, Eisenerze . . 1900 I 80
Laubei, böhm.
nkohle . . . . 04 I 286

Gelterkinden, Basler
Tafeljura . . . . . 1903 I 106
Genauigkeit d. Gesteins-
analysen . . . . . 03 II *69*
Genotia ecostata, Eocän,
Loire inférieure . . 03 I 128
— liancourtensis, Eoc. 1900 II 479
Genyornis Newtoni, Lake
Callabonna, Austr. . 01 I 501
Geokronit
— Val di Castello, Tos-
cana . . . . . 02 II 19
— ident. m. Kilbrickenit 03 I 374
Geographie
— Grenze . . . . . 02 I 198
— physikalische . . . . 1900 I 36
Geographischer Cyclus . 01 I 51
Geologie
— agricole . . . . . CBl 1901 *603*
— Congrès international,
Paris 1900 . . . . CBl 1900 *247*
— Einfluss auf d. prakt.
Leben . . . . . 04 II 198
— experimentelle . . . CBl 1901 633
— Grundprobleme der
physikalischen . . . 03 I 218
— Hilfswissenschaften . 04 II 198
— Namen u. Geschichte 02 II 368
— prakt., Fortschritte . CBl 1904 151
— in der Schule . . . 01 I 205
— stratigraphische . . CBl 1900 24
— u. Palaeontologie, Ge-
schichte . . . . . CBl 1900 23
Geolog. Aufbau der Erd-
oberfläche . . . . . 1900 I 34 ff.
Geologische Aufnahmen,
Karten etc.
— Aargau, Quellenkarte
(speciell Brugg) . . 03 I 99
— Apennin, nordtos-
canischer u. ligurischer 01 I 98
— Baden (Bl. Zell am
Harmersbach, Horn-
berg-Schiltach, Tri-
berg, Hartheim-Ehren-
stetten) . . . . . 1900 I 419
— — (Bl. Kandern) . . 1900 I 428
— — (Bl. Königsfeld-
Niedereschenbach, Vil-
lingen) . . . . . 01 I 90
— — (Blatt Mosbach,
Epfenbach. Sinsheim) 01 I 252
— — (Bl. Mannheim-
Ladenburg u. Philipps-
burg) . . . . . 01 I 441
— — (Bl. Haslach) . . 03 I 455

Geologische Aufnahmen, Karten etc.

— Baden (Bl. Rappenau) 1903 I 460
— — (Bl. Dürrheim) . 03 I 464
— Bäreninsel . . . . . 01 II 258
— Belgien . . . . . 04 II 243
— Böhmen (Bl. Rongstock-Bodenbach) . . 1900 II 81
— Bornholm, Führer . 01 I 95
— Brünner Eruptivmasse 04 II 385
— Christiania . . . . . 1900 I 423
— Costarica u. Panama 1900 II 269
— Dänemark, Bl. Bogenese 03 I 266
— Dalmatien, südliches 01 I 100
— —, Bl. Zaravecchia-Stretto . . . . . 04 I 93 ff.
— Egypten . . . . . 01 II 90
— —, westl. Wüste . . 01 I 92
— Elsass, Führer . . . 01 II 421
— Elsass-Lothringen. Bl. Altkirch u. Pfalzburg 03 II 91
— England, Schottland u. Irland, älteste geol. Karte . . . . . 1900 I 85
— — und Wales, Karte 1900 I 252
— — und Schottland, Silur . . . . . 1900 II 273
— —, Bl. Torquay, Devonshire . . . . . 04 I 96
— Fleimser Eruptivgebiet 03 I 59
— Frankreich, Bl. Montpellier . . . . . 1900 I 95
— —, Bl. Metz u. Sarrebourg . . . . . 1900 I 423
— —, Bl. Saint-Affrique 02 II 96
— Franz-Josephs-Land. 03 I 466
— Galizien, Bl. Przemysl, Brzozow u. Sanock, Lupkow und Wola Michowa . . . . . 03 II 91
— Grönland . . . . . 03 I 466
— Hessen, Bl. Lindenfels (Odenwald) . . 03 II 90
— Italien, (Bl. Caramanica, Palena, Scanno u. Solmona im Abruzzo Aquilano u. in Terra di Lavoro) . . . . . 1900 I 253
— —, Sardinien . . . 03 I 476
— —, Trasimener See, Perugia u. Umbertide 01 I 99
— —, Umbrien (Piediluco b. Rieti) und Gegend von Piceno . . . . 1900 II 423
— —, zw. Volturno u. Liri . . . . . 01 I 99

Geologische Aufnahmen, Karten etc.

— Kansas (Logan u. Cove Counties) . . . . . 1900 I 85
— Karnische Alpen . . 01 I 93
— Kellerwald 1903 I 467 03 II 94
— Labergebirge b. Oberammergau . . . . . 1900 II 418
— Luganer u. Comer See CBl 1901 737
— Mähren . . . . . 1900 II 257
— —, Trebitsch u. Jarmeritz . . . . . 03 I 272
— —, Brünner Eruptivmasse . . . . . 04 II 385
— Magellan-Territorium 01 I 92
— Montblanc . . . . . 02 I 89
— Monti Sablacensi . . 01 I 97
— Müsener Bergrevier . 03 I 467
— Oesterreich, Pollau-Schweinbart, Jura, Klippengebiet zw. Donau u. Thaya . . 1900 II 418
— Oesterreich. 1. u. 2. Liefg. d. Jubiläumsausg. Blätter: NW.-Gruppe 41 Freudenthal, 54 Olmütz, 66 Boskowitz und Blansko, 67 Prossnitz und Wischau, 77 Austerlitz, 84 Znaim; SW.-Gruppe 83 Eisenkappel und Kanker, 84 Prassberg a. Sann, 85 Pragerhof-Windisch-Feistritz, 86 Pettau und Vinica . . . . . 1900 II 257
— — Tirol, Dolomiten 01 I 417
— Panama u. Costarica 1900 II 269
— Po-Ebene . . . . . 01 II 428
— Preussen u. Thüringen, Bl. Schwochow und Beyersdorf, Langenhagen, Gützlaffshagen, Gross-Sabow u. Moratz, Artlenburg, Lüneburg, Wartenburg u. Mensguth, Lippehne u. Schönow 1900 I 416
— — —, Bl. Lanzig mit Vith, Saleske, Regenwalde, Grupenhagen, Peest; Altenhagen, Karwitz, Schlawe, Damerow, Zirchow, Wussow;

Kösternitz, Alt-Zowen, Pollnow, Klannin, Kurow u. Sydow; Gross-Voldekow, Bublitz, Gross-Carzenburg, Gramenz, Wurchow, Kasimirshof, Bärwalde, Persanzig, Neustettin . . . . . 1900 II 411

Geologische Aufnahmen, Karten etc.

— Preussen und Thüringen, Bl. Nechlin, Brüssow, Löcknitz, Prenzlau, Wallmow, Hohenholz, Bietikow, Gramzow, Pencun . 01 I 254

— — —, Bl. Angermünde, Woldegk, Fahrenholz, Polssen, Passow, Kunow, Greiffenberg, Schwedt . . . . . 01 I 256

— — —, Bl. Pestlin, Gross-Rohdau, Gross-Krebs, Riesenburg, Niederzehren, Freystadt, Lessen, Schwenten 01 I 258

— — —, Bl. Gr.-Peisten, Bartenstein, Landskron, Gr.-Schwansfeld, Bischofstein, Schippenbeil, Dönhoffstädt, Langheim, Lamgarben, Rössel, Heiligelinde . . . . . 01 II 87

— — —, Bl. Greifenhagen, Woltin, Fiddichow, Bahn . . . 01 II 89

— — —, Bl. Dransfeld, Jühnde, Einbeck, Gross-Freeden . . . 01 II 415

— — —, Bl. Wargowo, Owinsk, Sady, Posen 02 I 88

— — —, Bl. Seehesten, Sensburg, Angerburg u. Kruglanken . . . 02 I 125

— — —, Bl. Artlenburg u. Windsen, Lindenbusch, Zuckau und Carthaus, Sensburg u. Cabienen, Rambow, Bernstein . . . . . 02 I 249

— — —, Bl. Hüttengesäss, Windecken, Hanau und Gross-Kratzenburg . . . . 02 II 93

Geologische Aufnahmen, Karten etc.

— Preussen und Thüringen, Bl. Grabow, Rambow, Karstadt (Westpriegnitz), Lebus, Seelow, Küstrin, Sonnenberg, nördl. Kassubei (Prangenau und Gross-Paglau), Kutten (Ostpreussen), Massin, Hohenwalde, Költschen . . . . . 1902 II 445

— — —, Kellerwald 1903 I 467 03 II 94

— — —, Bl. Lengefeld 03 II 94

— — —, Bl. Rambow, Kutten (Ostpreussen) 03 II 413

— — —, Bl. Oliva, Danzig, Praust, Weichselmünde, Nickelswalde, Trutenau, Käsemark 04 II 417

— — —, Warthedurchbruch v. Posen . . . CBl 1901 *602*

— — —, Pommern und oberes Moselthal . . CBl 1902 *141*

— — —, Elburstromthal CBl 1902 *376*

— — —, Bl. Graudenz, Okonin, Linowo und Gr.-Plowenz . . . . CBl 1902 *437*

— — —, Geisenheim a. Rh. CBl 1902 *439*

— Sachsen, Bl. Döbeln-Scheergrund . . . . 02 II 95

— Sardinien . . . . . 03 I 476

— Schweden . . . . . 02 II 97

— —, Schonen, Kalk- u. Mergelvorkommen . 01 I 259

— —, Bl. Oerkelljunga 01 I 259

— —, Bl. Ulricehamn . 01 I 442

— —, Bl. Åmål . . . CBl 1900 *330*

— Siebenbürgen, Erzgebirge, Nordrand . 03 II 274

— Tirol, Dolomiten . . 01 I 417

— Transvaal 1900 I 263 01 II 91

— Ungar. Altenburg, Bodenkarte . . . . 01 II 90

— Ungarn, Marmaros, Zips, zw. Wallendorf, u. Kirchdorf, Pressburg, Com. Bihar, Klopotiva u. Malomviz 03 I 267 ff.

— Württemberg, Bl. Böblingen, Kirchheim, Liebenzell, Stuttgart 1900 I 249

— —, Kochendorf . . . 02 I 85

— —, Bl. Urach . . . 02 II 254

Geolog. Bedeutung der Tropenflora . . . . CBl 1900 *274*
Geolog. Erscheinungen, Beziehungen zum Wärmeregime d. Erdoberfläche . . . CBl 1904 572. *721*
Geolog. Gesellschaft, deutsche, Versammlung Frankfurt a. M., Sept. 1900 . . . . . CBl 1900 *273*
Geolog. Landesanstalt, Berlin, künftige Entwicklung . . . . . CBl 1901 *373*
Geolog. Litteratur des Jahres 1898 . . . . 1900 I 34
Geolog. Verein, oberrhein., 34. Versammlung in Diedenhofen 1901 . CBl 1901 *406*
Geolog. und mineralog. Sammlungen, Verein. Staaten u. Canada . 1900 I 327
Geomorphogenie der Provinz Bari . . . . . CBl 1901 20
Geophysik
— Grundprobleme . . . 03 I 219
— Handbuch . . . . . CBl 1900 135
Geosaurus = Rhacheosaurus u. Cricosaurus 03 I 153
— suevicus, weisser Jura, Nusplingen . . . . . 03 I 153
Geotektonik und Erdmagnetismus . . . . 1900 I 40
Geothermische Tiefenstufe, Michigan . . . . . 02 I 45
Gephyroceras . . . . . 1900 I 130
— calculiforme, poln. Mittelgeb., Oberdevon BB XIII *339*
Gereuth, Basisschichten der Cassianer Kalke, Cephalopoden . . . 01 II *28*
Geritzte Geschiebe, künstl. 03 I 452
Germanar . . . . CBl 1903 691. 697
Germanische Trias, Bildg. 01 I 119
Germanium, angebl. in Euxenit, Samarskit etc. CBl 1904 *142*
Germanonautilus, Hallstätter Kalk . . . . 03 I 314
Geröllconglomerat, Perm, Saltrange . . . . CBl 1903 *45. 71*
Geröllführende Schichten in d. Gneissformation, Boden in Sachsen . CBl 1903 *465*
Gervilleia . . . . . CBl 1902 *609*
— angusta, aviculoides, Bouéi, aff. ensiformis, costata, exilis, glaciana, Hagenowi, Hartmanni, Murchisonae, polydonta, solenoides, subcostata und substriata . . . CBl 1902 *609*
Gervilleia Deeckei, Zone d. Parkinsonia ferruginea, Insel Gristow in Pommern . . . . CBl 1902 *613*
— falciformis u. rhombica, Infralias. Vendée . . 1904 II 430
— Hatcheri, Kreide, Patagonien . . . . 02 II 435
— Holzapfeli, Chlomeker Schicht., böhm. Kreide 1900 I 440
— isoptera, unt. Trias, Val di Liana . . . 1900 II 314
— latealata, Paronai, planata, Rothpletzi, Pachycardientuffe, Seiser Alp . . . . . CBl 1900 *371*
— latobica, Trias, Idria 02 I 485
— Murchisoni, Buntsandstein, Thüringen CBl 1904 *5* CBl 1903 *660*
— Newcombi, Kreide, Königin Charlotte-Inseln . . . . . 02 I 292
— ovalis, Chlomeker Schicht., böhm. Kreide 1900 I 440
— Pancici, Unterlias, Serbien . . . . . 01 I 467
— ventrosa, Pereiros-Schichten, Jura, Portugal . . . . . 02 I 469
Gervilleia Murchisoni-Horizont, mittl. Buntsandstein, Ostthür. . CBl 1903 *660*
Gervilliopsis ensiformis, Kreide . . . . . CBl 1902 *616*
Geschiebe
— diluviale, Kloosterholt, Prov. Groningen 01 I 132
— facettirte, Saltrange, perm. Geschiebelehm, siehe Facettengeschiebe.
— künstlich geritzte . 03 I 452
— krystalline, Sylt . . 01 I *99*
— —, Amrum, Helgoland u. Sylt, aus Norwegen 1903 I *91* CBl 1903 *453*
Geschiebelehm
— scheinbarer, Holzen a. Ith . . . . . 03 II 415
— Saltrange, Perm CBl 1903 *45. 71. 97*

Geschiebelehm, Scarborough, Abrutschungen . . . CBl 1901 666
Geschiebelehmgerölle im Diluv.-Sand, Osnabrück 1902 II 127
Geschiebemergel, Norddeutschland u. Dänemark . . . . . BB XVI *1*
Geschiebezählungen, Graudenz . . . . . CBl 1902 438
Geschmolzene Mineralien, gegenseitige Löslichkeit etc. CBl 1902 *199* CBl 1903 *707. 743* CBl 1904 *295. 340. 364. 705. 739*
Gesenke, hohes, Mähren, Mineralien . . . CBl 1901 *444.* 171
Gesteine
— Bestimmung des Fe O 02 I 55
— Classification . . 1902 I 227. 389
— —, chemische, der hess. Eruptivgesteine . . . 03 II *33*
— —, internationale . . CBl 1901 347
— —, Ergussgesteine, chemische . . . . . 03 I 226
— —, Eruptivgesteine . 1900 II 388 1901 I 396 1903 I 226 03 II 355. 356 CBl 1900 183 CBl 1903 677
— —, Ganggesteine, chemische . . . . . 03 II 356
— —, lose Bodengesteine, Schweden . . . . . 04 I 377
— —, Tiefengesteine, chemische . . . . . 02 I 212
— Einfluss auf Quellwasser . . . . . 03 I 54
— nutzbare, Bezeichnung 03 I 81
— Plasticität . . . . . CBl 1902 *161*
— unterseeische, Instrumente z. Untersuchung 01 II 53
— Bogoslowsk'sches Bergrevier . . . . . 03 II 229
— Columbia . . . . . 03 II 202
— Griechenland, nördl. u. türk. Grenzländer BB XVIII *1*
— Magnitnaja-Berg bei Werchnje-Uralsk . . 03 II 235
— Ostsibirien . . . . . 03 II 199
— Sokotra, Abd el Kûri und Semha . . . . . 03 II 195
Gesteinsanalyse
— Berechnung . . . . CBl 1904 *338*
— Ersatz der Analyse . 03 II 58
— Genauigkeit . . . . 03 II 69
— Methoden . . . . . 02 II 52
— Methode von Wülfing 01 I 216
— Bayern . . . . . 01 I 397
Gesteinsbildung
— durch Adsorptionsprocesse . . . . . 1904 II 70
— Beziehung zur Plasticität fester Körper . 01 I 87
Gesteinseruptionen, Westseite d. Sierra Nevada, Californien . . . . . 1900 I 69
— siehe auch vulcan. Eruptionen etc.
Gesteinsgläser, Entglasung . . . . . 04 II 47
Gesteinsmetamorphose
— Ursache . . . . . 1900 I 367
— Loch Awe-Gegend, Schottland . . . . . 1900 II 223
— siehe auch Metamorphose, Gesteinsumwandlung etc.
Gesteinssaft, erzbringender . . . . . 01 I *141*
Gesteinschichtung, Einfluss a. d. Landschaft 1900 I 206
Gesteinsumwandlung
— Ursachen . . . . . 1900 I 409
— d. erzzuführende Processe, Ulu Rawas, Süd-Sumatra . . . BB XVIII *452*
— siehe auch Gesteinsmetamorphose.
Gesteinsvariationen, Michigan . . . . . 1900 I 73
Geweihbildung d. Cerviden 03 II 423
Gewitterkugeln, Nordböhmen . . . . . 03 I 412
Geyerella, Definition und Abgrenzung 1900 I *4. 12* 01 II 121
— Gemmellaroi . . . . 1900 I *12*
Geyeria globosa, Jura, Sicilien . . . . . 01 II 157
— Unteroolith, England 01 II 317
Geyserit
— Builth (Wales) . . . 04 I 222
— Neuseeland . . . . 01 II 71
Geysir, Westindien 1902 04 II 381
Geysirthätigkeit abnehmend, Yellowstone National Park . . . 02 II 56
Ghizeh, Pliocänsande . . 01 II 484
Giallo, Siena, Alter . . 04 II 258
Gibbomodiola, Tert., Piemont u. Ligurien . . 02 II 309
Gibbsit, Palni Hills, Südindien (Hydrargillit) 03 I 381 CBl 1901 761 CBl 1902 *176*

Gibbula arthonensis und Bourdoti, Eocän, Loire inférieure . . . . . 1903 I 128
— laevigata, Paraná-Stufe BB XIV *226*
Gibraltar, Neue Höhle a. d. Ostseite . . . CBl 1904 29
Gieseckit, Grönland, aus Nephelin, im Neph.-Syenit . . . . . 01 I 39
Giessen, Basalte . . . . 01 II 223
Gilgit (Hindukusch) Geol. 02 I 235
Gilsakalk, Kellerwald, Obersilur mit Goniatiten . . . . . CBl 1900 138
Ginglymostoma Blanckenhorni, unt. Mokattam, Wasta in Egypten . 03 I *34*
Gio-Schichten, Kreide, südl. Patagonien . . 1900 II 425
Giraffa vetusta, Samos. ob. Miocän . . . . . 03 I 553
Gismondin
— Bogoslowsk'sches Bergrevier, Ural . . . . 1900 I 344
— Nicolstadt b. Liegnitz, im Basalt, chem. . . CBl 1904 *215*
— Rom . . . . . 02 II *77*
— Salesl a. Elbe . . . 04 I 175
— Somma, Dampfspannung . . . . . 1900 I 335
Gisortia, Eocän . . . . 04 II 472
Giumarrit, Giumarra b. Ramacca, Sicilien . . 03 I 254
Glacialerscheinungen u. Bildungen
— Erklärung . . . . . 03 II 355
— Denudation u. Erosion loser Ablagerungen . 01 II 130
— Eiszeit, muthmassl. Ursachen . . . . . 02 II 443
— Eiszeit-Problem 1903 II 114 CBl 1904 280
— Ursache der Vergletscherung . . . . CBl 1901 539
— wiederholte Vereisungen d. Erdoberfläche . . CBl 1904 28
— Adelaide (Austr.), Permocarbon . . . . 1900 II 107 ff.
— Alb, schwäb. . . . . BB XIV *120*
— Alleröd bei Lilleröd, Seeland . . . . . 02 II 129
— Alpen . . . . . 03 I 514
— — im Eiszeitalter . 03 II 51
— — Vergletscherung b. letzter Eiszeit, Aenderung v. Klima etc. . 04 II 437
Glacialerscheinungen u. Bildungen
— Alpen, Vergletscherung nach d. letzten Eiszeit . . . . . CBl 1904 *266*
— —, vierte Eiszeit . . 1900 II 443
— —, östliche . . . . 04 II 281
— —, westl. Schweizer 01 I 261
— Alpenthäler, Uebertiefung . . . . . 02 II 282
— Arco-Pass, chil.-argent. Cordilleren . . . . . 1900 I 434
— argent. Cordillere . . CBl 1903 58
— Australien, Eiszeiten 02 II 128
— —, Permocarbon . 1900 II 107 ff.
— Baffinsland . . . . 04 I 420
— Bitterfeld, Gletschertöpfe . . . . . 04 I 278
— Bodensee . . . . . 03 I 513
— Bolivia 1901 II 292 CBl 1904 *4*
— Bosnien, Herzegowina und Montenegro . . 1900 II 382
— Bremer Schlachthof, Tiefbohrung . . . . 01 I 169
— Caermarthenshire, versunkenes u. vergletschertes Felsenthal . CBl 1901 728
— Canada zw. Athabasca Lake u. Churchill River, Ispatinows etc. 1900 I 258
— Champorcher Thal, Graische Alpen . . . 1900 II 265
— Christianiageschiebe u. südnorweg. Eisstrom CBl 1904 *217*
— siehe auch Geschiebe v. Amrum, Helgoland u. Sylt.
— Chur und Filisur . . 03 II 416
— Clava bei Inverness, Thon m. marinen Mollusken . . . . . 1900 II 448
— Connecticut Valley, Perm . . . . . 04 I 439
— Dänemark 1903 I 524 BB XVI *1*
— —, Selbjerggard . . 03 I 524
— Danzig (Umgegend) . 04 II 418
— Deutschland, Nord- 1900 I 417 1900 II 411 CBl 1901 204 BB XVI *1*
— —, Südwest- . . . . 01 I 131
— Dinarische Alpen . . 1900 II 382
— Dombes in der Anse du Bugey . . . . . CBl 1902 284
— Donauschotter, Immendingen—Ulm . . . . BB XIX *1*
— England . . . . . CBl 1902 315

Glacialerscheinungen u. Bildungen
— England, Thäler d. Tees, Wear u. Tyne 1903 II 121
— Faxe, Dänemark, Schrammen . . . . 03 I 526
— Finkenwalde b. Stettin, Störungen in Kreidegruben . . . . . 04 II 446
— Fläming, Feinsande . 03 II 411
— Frankfurt a. M. . . 03 I 459
— Frankreich u. Schweiz, plioc. Conglomerate . 03 I 309
— French River, Ontario 01 I 269
— Garda-See, Moränenamphitheater . . . . 02 II 284
— Gay Head Cliffs, älteres Pleistocän . . 04 I 438
— Glatz, Grafschaft, Inlandeis . . . . . CBl 1900 *281*
— Gommern bei Magdeburg, Gletschertöpfe 03 II 115
— Gräfentonna, Conchylien d. interglacialen Travertine . . . . . 03 II 277
— Graubünden . . . . CBl 1902 117
— Grönland, nördl. . . 1900 I 294
— Groningen (Holland) 02 II 127
— Gross-Britannien, Interglacial . . . . . 1900 II 447
— Gross-Wanzleben b. Magdeburg . . . . CBl 1900 *85*
— Gudbjerg, Fünen, interglac. Thon m. Nematurella stenostomata . . . . . 03 I 526
— Herzegowina . . . . 1900 II 382
— Höve, Seeland, mit Tellina calcarea . . 03 I 524
— Hohenberg bei Denkingen, Gerölle . . . CBl 1903 *597*
— Hudsonbayländer . . 01 I 267
— Irland, Eskers . . . 1900 II 446
— Iseosee . 1900 I 127 02 II 257
— Iseo- und Comerseebecken . . . . . CBl 1902 *323*
— Island, Palagonitformation . . . . . 01 II 291
— Isle Royale, Mich. . 1900 II 228
— Juragletscher, Recurrenzfacies . . . . . 01 I 480
— Karpathen, südliche, Klima . . . . . CBl 1902 604
— Kinnekulle, Denudation u. Erosion loser Massen . . . . . 01 II 130

Glacialerscheinungen u. Bildungen
— Kirchheim u. Teck, Württemberg . . . BB XIX *85*
— König Karls-Land . 1903 I 285
— Kolahalbinsel . . . . 1900 II 450
— Kopenhagen, Moränen m. Jurablöcken . . . 1900 I 296
— Labrador . . . . . 01 I 448
— Lappland, schwed. . 03 I 282
— Lauenburg a. Elbe, Käfer im interglacialen Torf . . . . . 02 II 444
— Liebau, Schlesien, Endmoränen . . . . 02 II 127
— Lübeck, Dryasthone . 04 II 127
— —, Endmoräne . . . 03 II 115
— —, Hauptendmoränen CBl 1901 695
— —, Moränen . . . . 02 I 460
— Magellansländer . . 1900 I 107
— Massachusetts . . . 1900 II 91
— Montenegro 1900 II 382 03 I 310
— Mosbach, Sande, Schotter, Blöcke . . . . 1900 II *54*
— Neckargebiet, oberes 02 I *60*
— Neumark, i. d. Thälern 03 I 519
— Neuseeland . . . . . 04 II 93
— Norbotten . . . . . 02 II 283
— norddeutsches Flachland . . 1900 I 417 CBl 1901 204
— — —, östliches . . 1900 II 411
— Norddeutschland und Dänemark . . . . . BB XVI *1*
— Norwegen, Pseudoglaciale Schrammung CBl 1900 *265*
— Odergebiet, Druck- und Faltenerscheinungen . . . . . 02 I 459
— Oetzthal, Endmoräne 02 II 446
— Oranje River-Colonie 04 II 457
— —, permische Grundmoräne . . . . . 03 II 261
— Ostbalticum . . . . CBl 1901 726
— Ostseeboden, Muschelconcretionen . . . . 04 II 457
— Patagonien, südl. . . 1900 II 411
— pommersches Küstengebiet, Stillstand des letzten Inlandseises 1900 II 443
— Rambow . . . . . 03 II 413
— Rastenburg, End- u. Grundmoränen . . . 02 II 128
— Riesengebirge . . . 1900 I 126 1901 I *96* 02 I 286
— Rivoli, Moränengebiet 04 II 457

Glacialerscheinungen u. Bildungen
— Sachsen, nordw., Sedimentärgeschiebe . 1900 II 128
— Saltrange . . CBl 1904 *103. 321*
— —, Facettengeschiebe CBl 1903 *72. 97. 593. 625. 662*
— —, Perm . . CBl 1903 *45. 71. 97*
— Salzburg, Nagelfluh . BB XVI *325*
— Schleswig-Holstein, Endmoränen . . . . 1900 II 289
— Schönbuch b. Tübingen CBl 1901 *6. 10*
— Schonen . . . . . 04 I 105
— Schussenried, Culturschicht, Moose . . . 02 I 329
— Schwarzwald, Acher- und Murgquelle . . 04 I 388
— —. Wutach-Gebiet . 03 I 516
— Schweden 1903 I 526 04 I 438
— —, südliches . . . . 01 I 259
— —, Ed in Dalsland . CBl 1901 728
— —, Jemtland, Central-, Eissee . . . . . 1900 I 455
— —, Ulricehamn . . . 01 I 442
— —, Ume-Thal, Eissee 04 I 438
— —, Waberg, westlich von Wettersee . . . 02 II 283
— Sierra Nevada und Yosemite-Thal . . . 02 II 284
— Südafrika, Prieska-Conglomerat . . . . CBl 1900 366
— —, Conglom. im devon. Table Mountain Sandstone . . . . . 04 I 428
— Tasmanien . . . . . CBl 1904 58
— Thüringen . . . . . 04 I 103
— Toronto, Canada . . 04 II 44
— Transvaal, permisches Dwykaconglomerat . 01 II 274
— Vicentin, Schuttkegel 1900 II 265
— Vogesen . . . . . 02 I 287
— —, französische . . 03 I 522
— —, Schwarzer See . 02 I 287
— Vorpommern, Rügen etc., Entwickelung d. Bodenreliefs während der letzten Vereisung 04 II 448
— Vratnica planina in Bosnien, ehemalige Vergletscherung . . 02 II 447
— Wallensen (Hilsmulde), Interglacial . . . . 04 II 455
— Weissrussl. u. Lithauen 03 II 412
— Westpreussen, Endmoränen . . . . . 02 I 122

Glacialerscheinungen u. Bildungen, siehe auch Gletscher, Moränen, Quartär etc.
Glaciale Erosion, Ansichten darüber . . 1902 II 374
— Schleppung, Granitmassiv der Hornisgrinde, Schwarzwald CBl 1903 *448*
Glacialer Druck, Bewegung grosser Schichtmassen . . . . . CBl 1900 *115*
Glacialdiluvium, NW.-Sachsen, Sedimentärgeschiebe . . . . . 1900 II 128
Glacialschrammen
— Dänemark . . . . . 01 I 135
— Hannover, südliches, anstehend . . . . . CBl 1903 *509*
— Magdeburg, auf Culm 01 I 135
— Norwegen, pseudoglaciale . . . . . CBl 1900 *265*
Glacialseen, Schweden . 04 I 438
Glacialzeit, nördl. Riesengebirge . . . . . 01 I *96*
Gladenbach, Unterdevon BB XVII *10*
Glärnisch, ansteh. Gesteine am Ostfuss . 01 II 209
Glandina costellata var. mammertensis, Lutétien, Languedoc . 04 II 433
Glandulina laevigata, Bryozoenhorizont, Priabona . . . . . 01 I *115*
Glanzschiefer, Westalpen 03 I 65
Glaphyrocystis . . . . 01 I 320
Glaphyroptera lotharingiaca, ob. Muschelk., Chaudfontaine bei Lunéville . . . . . 04 I 310
Glarner Alpen, alte Bergstürze . . . . . 01 II 209
Glarus, Doppelfalte . . CBl 1902 250
Glas
— Dichte nach Schmelzen 01 II *153*
— Einwirkung v. Wasser auf heisses . . . . . 01 I 439
— farbig, Absorption d. Lichts . . . . . 03 II 164
— Gesteins-, Entglasung 04 II 47
Glaseinschlüsse, eigenthümliche in andesitischen Feldspathen . . . . CBl 1902 *129*
Glaserit, Bildung aus Meerwasser . . . . 01 I 9
— Kalisalzlager, York. 04 I 335

Glasplatten, transversalschwingende, Doppelbrechung . . . . . 1903 II 6
Glastonbury, Somerset, Vögel u. Säugethiere aus Pfahlbauten . . 01 I 155
Glatz, Grafschaft, Inlandeis . . . . . CBl 1900 *281*
Glatzer Neisse, Niederschlagsgebiet, Geol. . 04 I 87
Glauberit
— Entstehung aus Meerwasser . . . . . 01 I 13
— Kalisalzlager, Vorkommen . . . . . 04 I 336
— Dürnberg b. Hallein, Krystalle . . . . . 02 I 16
— Hallstatt, Krystalle . 01 II 359
Glauberitpseudomorphosen, Rosenegg . . . . . 1900 I 22
Glaubersalz
— Bosnien, Werfener Schichten . . . . . CBl 1904 *399*
— Kirkby Thore, Westmoreland, im Gyps . 02 II 202
Glauconia Böhmi, Kreide, Aquilaner Abruzzen . 04 I 98
Glaukamphibole . . . . . 1900 I 48
Glaukisiren d. Feldspathe 02 I 341
Glaukochroit, N. Jersey 01 I 368
Glaukonitsandstein, südl. Russland . . . . . 02 II 398
Glaukophan, Chateyroux im Valle di Gressoney 03 I 26
Glaukophangabbro, Pegli 01 I 67
Glaukophangesteine . . 01 I 62
— Deutung . . . . . 1900 I 48
Glaukophanschiefer
— Alathal . . . . . 04 I 389
— Coast Range, Cal. . 04 II 405
— Walliser Alpen und Casanna-Schiefer . . 03 I 65
Glaukophan-Sölvsbergit, Essex Co. . . . . 1900 II 67
Glaukophan-Typus. Aetzfiguren d. Hornblende 1900 II 339
Gleichenberg, Steiermark, Eruptivgesteine . . 04 I 59
Gleichgewicht zw. Krystall und seiner Schmelze 01 II 255
Gleichgewichte, heterogene, vom Standpunkt der Phasenlehre . . . . CBl 1901 664
Gleitflächen und mimetische Krystalle . . BB XIV *246*
Gleitung der Krystalle . 01 II 167
Gleitung der Krystallkörner im Marmor bei Pressung 1902 II 252 1903 I *160*
Gletscher
— Bericht der internat. Kommission . . . . 02 I 383
— Bewegung und Zusammenhang von Schichtung u. Blätterung . . 1902 I *23* CBl 1902 *103*
— Beziehung zu Alpenthälern . . . . . CBl 1902 570
— erodirende Thätigkeit im festen Gestein . . 1900 II *117*
— — unmöglich . . . 04 I 374
— period. Veränderungen 1900 II 46
1902 I 384. 386 03 II 348
— Schichtung u. Bänderung . . . . . CBl 1902 *225*
— Ursache der früheren Ausdehnung und Variation . . . . . 1900 I 211
— Verhalten im 19. Jahrhundert . . . . . 02 I 383
— Zusammenhang zw. Schichtung u. Bänderung . . 1902 I *23* CBl 1902 *103*
— Afrika, Veränderung 02 I 386
— Alaska 1901 I 393 CBl 1900 *330*
— Alpen, Aenderung . 02 I 384
— —, im Eiszeitalter . 03 II 52
— —, nach der letzten Eiszeit . . . . . CBl 1904 *266*
— Amerika, Veränderung . . . . . 02 I 385
— Arktisches Gebiet, Veränderung . . 1902 I 385. 386
— Asien, Veränderung. 02 I 385
— baltischer, letzter grosser . . . . . 1900 I 296
— Grindelwaldgletscher, Erosion, Längen- u. Dickenveränderung . 1900 II 46
— Grönland . . . . . 1900 I 294
— Hintereisferner, Eisgeschwindigkeit . . 01 I 390
— Karpathen, alte . . 01 I 391
— Kaukasus . . . . . CBl 1902 217
— Malaspina, Alaska, todter . . . . . CBl 1900 *330*
— Mont Blanc, Erosion 1900 II 213
— Rilagebirge . . . . 1900 II 381
— Skandinavien, Veränderung . . . . . 02 I 384
— Schwarzwald . . . . 1900 I 250
— siehe auch Glacial etc.

Gletscherbewegung
— Theorie und die Structur des grönl. Inlandeises . . . . 1900 I *71*
— Ursache . . . . . 01 I *37*
— und Geschwindigkeit, Hintereisferner . . . 01 I 390
Gletschererosion
— Ansichten darüber . 02 II 374
— im festen Gestein . 1900 II *117*
— Unmöglichkeit . . . 04 I 374
— Grindelwaldgletscher 1900 II 46
— Himalaya . . . . . 04 I 374
— Mont Blanc . . . . 1900 II 213
Gletscherforschung und Staubfall v. 11. März 1901 . . . . . CBl 1901 *662*
Gletscherkörner, orientirte Lagerung . . . 01 I *41*
Gletscherlawine an der Altels . . . . . 1900 I 209
Gletschermühlen, Mont Blanc . . . . . 1900 II 213
Gletscherschliffe, Chur . 03 II 416
Gletscherschrammen
— auf Culm. Magdeburg 01 I 135
— auf Muschelkalk, Gross-Wanzleben bei Magdeburg . . . . CBl 1900 *87*
— Dänemark 1901 I 135 03 I 526
— — auf Faxekalk . . 03 I 526
Gletscherspuren
— Mt. Kosciusko, Australien . . . . . 1900 II 130
— mysischer Olymp . . 03 II 252
— Weissachthal . . . . 02 I 287
Gletscherstaub, Fläming 03 II 411
Gletscherstudien . . BB XVIII *57. 87*
Gletschertöpfe
— Bitterfeld . . . . . 04 I 278
— Gommern b. Magdeburg . . . . . 03 II 115
Glimmer
— Krystallisationsvermögen u. -Geschwindigkeit . . . . . CBl 1903 *617*
— Krystallsymmetrie . 1900 II 196
— regelmässige Verwachsung m. anderen Substanzen . . . . CBl 1902 *353*
— verwachsen mit Augit BB XVI *417*
— — mit Chlorit . . . BB XVI *427*
— — mit Cordierit . . BB XVI *415*
— — mit Eisenglanz (u. Titaneisen) . . . . . BB XVI *388*
— — mit Hornblende . BB XVI *419*
Glimmer
— verwachsen mit Jodkalium, Bromkalium u. Chlorkalium . . . BB XVI *368*
— — mit Kalkspath . BB XVI *387*
— — mit Leucit . . . 1900 I 173
— — mit Magneteisen BB XVI *367*
— — mit Melilith . . . BB XVI *397*
— — mit Orthoklas . . BB XVI *428*
— — mit Rutil . . . . BB XVI *396*
— — mit Salpeter . . BB XVI *389*
— — mit Turmalin . . BB XVI *388*
— zersetzt durch Chloralkalien . . . . . 02 II 330
— Acherwiese, Fichtelgebirge . . . . . 1900 II 359
— Argentinien . . . . 02 II 402
— Binnenthal . . . . . CBl 1904 57
— Black Hills, Wyoming, im Pegmatit . . . . 03 I 409
— Dürnstein b. Krems, mit Anthophyllit . . CBl 1902 58
— Indien, Lagerstätten 03 I 27
— Kossoj-Brod (Muscovit) . . . . . 04 II 25
— Narsarsuk, im Syenit, südl. Grönland . . . 01 I 29
— Nordamerika, Prod. . CBl 1902 242
— Pisek, Pseudom. nach Topas . . . . . 03 II 32
— Portugal, im Staubfall vom Januar 1902 CBl 1902 *258*
— Rosenegg (Hohentwiel), Meroxen im Opaltuff 1900 I 22
— Sierra de Cordoba . 02 I 41
— Simplon-Tunnel im Anhydrit . . . . . 04 II 228
— Striegau, Drusenmineral, Kalinatron- . . CBl 1903 *422*
— Veltlin, im Pegmatit 1900 II 361
— siehe auch Muscovit, Biotit etc.
Glimmerdiabas
— Hartenrod, Mitteldevon . . . . . BB XVII *149*
— Zbirow, Böhmen . . 02 I 63
Glimmergneiss, flasriger, östl. Rhätikon . . . 1900 I 127
Glimmergruppe, Schmelzpunkte . . . . . 04 II 166
Glimmerperidotit, Kaltes Thal bei Harzburg, graph. Darstellung d. Zusammensetzung . 1900 I *112*
Glimmerschiefer, Bergen (Norwegen) . . . . 04 I 393

Glimmerschiefer
— Biella, eklogitischer, Feldspath-Uralitisirung . . . . . 1902 II *112*
— Brixen, Tirol, Umschmelzen mit CaF_2, KF u. Li_3VO_4 . . BB XIX *183*
— —, —, Umschmelzen mit MoO_3, LiCl und MgF_2 . . . . . BB XIX *186*
— Finnland, archaeisch 01 II 61
— Gorgona-Insel (Toscana) Kalk- . . . . 04 II 220
— Griechenland, nördl. u. türk. Grenzländer BB XVIII *39*
— Gross-Seran, Molukken CBl 1901 *325*
— Salm-Château, mit sehr viel Granat . . 01 I 195
Glint = Cuesta . . . . 01 I 52
Globiconcha sulcata, Untersenon. Braunschweig und Ilsede . . . . . 02 I 128
Globigerina bulloides, Bryozoenhorizont, Priabona . . . . . 01 I *129*
— spinosa, Kreide, Kansas 01 II 165
Globigerinenkalk, Molukken . . . . . CBl 1902 *5*
Globigerinenmergel, Humboldtbai, Neu-Guinea CBl 1901 *650*
Globilemur Flacourti, Madagascar, Gehirn . 03 II 288
Globus zur Darstellung von Vulkanreihen etc. 04 II 198
Gloioconis Borneti, Kohlenbecken, Autun u. Epinac . . . . . 02 II 168
Glorietta, Meteorit, Fall 1900 I 352
Glossopteris, Francis b. Johannesburg, Transvaal . . . . . 02 I 495
Glossopteris-Flora, Argentinien . . . 1902 I 500. 502
Glossotherium, Ultima Esperanza-Höhle . . 01 II 309
1903 I 554 1903 II 382 04 I 121
Glossotherium-Höhle, Patagonien . . . . 02 II 291
Glycimeris eyrensis, Kreide, Südaustralien . . . 04 I 119
— haeringensis, Oligocän, Häring . . . . . 04 II 116
— regularis, patag. Form. 02 I 295
Glyphaea Stokesi, Kreide, Admirality Inlet, Antarcticum . . . . . 04 I 434
Glyphioceras, Entwickelung . . . . . 1903 II 148
Glyphioceratidae, Phylogenie . . . . . 03 II 148
Glyphodon Langi, patag. Schichten, Patagonien 01 II 470
Glyptatelus tatusinus, Pyrotherium-Schichten, Argentinien . . 1900 II 305
Glyptias, Cambrium . . 02 I 486
Glyptochrysalis, Trias, Hallstatt . . . . . 02 I 145
Glyptodon, Texas . . . 01 II 139
— reticulatus, Tarija-Thal, Argentinien . 04 I 290
Glyptodontia, Pyrotherium-Schichten, Argentinien . . . . . 1900 II 305
Glyptograptus . . . . . 01 I 334
Glyptosphaeridae . . . 01 I 321
Glyptostylina sulcata, ob. Muschelk., Niederbronn 02 I 143
Glyptotherium texanum, Texas, pleistocän . . 04 II 306
Gmelinit, Flinders Victoria, Dampfspannung 1900 I 334
Gmunden
— Flyschbreccie . . . . 03 I 109
— Geologie . . . . . 03 II 241
Gneiss
— Biotit-, Bestimmung von Feldspath . . . CBl 1902 *396*
— Achen- und Murg-Quellengebiet . 1904 I 254. 385
— alp. Centralmassiv, Fältelung . . . . . 02 I 218
— Arafali (Erythräa) . 04 II 401
— Baffinsland . . . . 04 I 419
— Berdjansk . . . . . 01 II 111
— Bergen (Norwegen) . 04 I 393
— Borry in Mähren . . 02 II 229
— Ceylon 1902 I 75 1904 I 380. 384
— —, Wollastonit-Skapolith- . . . . . CBl 1902 571
— —, südl. Central-, gebändert . . . . . 03 I 78
— Champorcher Thal, Graische Alpen . . . 1900 II 265
— Darjeling, Indien, Entstehung . . . . . 04 II 53
— Deutschbrod, Böhmen, Cordierit- . . . . . 04 II 385
— Dissei-Insel, Erythräa 04 II 402
— Dnjepr, verändert d. Dynamitsprengungen 1900 I 416
— Eidfjord, gefaltet . . 02 II 56

Gneiss
— erythr. Colonie 1903 II 79 1904 II 402
— Erzgebirge, eruptiv . 03 I 236
— Freiberg, Entstehung CBl 1904 *566*
— — in Sachsen, Biotit-, Umschmelzproducte BB XIX *174*
— — —, —, Umschmelzen m. KF u. CaF_2 BB XIX *177. 181*
— — —, —, — mit K_2WO_4 u. MgF_2 . BB XIX *178*
— Gorgona-Insel (Toscana) . . . . . 04 II 220
— Griechenland, nördl. u. türk. Grenzländer BB XVIII *41*
— Gross-Meseritsch, Mähren . . . . . 02 II 421
— Gutannen, mit dem sog. Stamm . . . . 1900 II 394
— Haslach im Schwarzwald . . . . . 03 I 455
— Hohe Tauern, Central- 04 II 84
— Innertkirchen, Schweiz 01 II 227
— Kola . . . . . 02 II 385
— Kordofan . . . . BB XVII *448*
— Kyffhäuser . . . . . 03 II *49*
— Loon Lake, New York, Augit-Syenit- . . . . 01 II 244
— Luganer See, Contactmetamorphose am Quarzporphyr . . . 02 I 407
Mariupoler Kreis, Südrussland . . . . . 1900 I 390
— Massailand, Ostafrika 03 I 80
— Minnesota, südwestl. 01 II 245
— Moine, Schottland . CBl 1904 312
— N. Hampshire, Augen-Granit . . . . . 1900 II 73
— Nežárkagebiet, südl. Böhmen . . . . . 1900 II 268
— Oberpfalz . . . . . CBl 1904 *588*
— Raffeinertobel, bei Meran, Anal. d. Biotit- 1900 II 391
— Roc noir, Dent Blanche-Massiv, Wallis . . . 01 I *55*
— Rum (Insel) . . . . 04 II 422
— Schlaggenwald-Schönefeld, Erzgebirge . . 03 I 237
— Schwarzwald 1900 I 419. 421 01 I 57
— —, Acher- u. Murgquelle . . . . . 1904 I 253. 385
— Schweden . . . . . 02 II 97
— —, Sarjektrakt, dynamometamorphosirt . . CBl 1901 441

Gneiss
— Sibeniční vrch bei Schüttenhofen, Böhmen 1903 I 410
— Socotra . . . . . 01 II 263
— südruss. kryst. Plateau 1900 II 95. 99
— Tabor, Böhmen, granathaltig . . . . . 01 II 227
— Trebitsch- und Jarmeritz, Mähren . . . 03 I 273
— Ultenthaler Alpen, südl. vom Faltschauer . . 04 I 61
— Veltlin, mit Anatas u. Brookit . . . . . 01 I 190
— Vogesen . . . . . 01 II 422
Gneissartiger Granitporphyr, Rofna . . . . 04 II 388
Gneissformation
— Erzgebirge . . . . . 04 II 385
— mit geröllführenden Schichten, Boden in Sachsen . . . . . CBl 1903 *465*
Gneissgebiet am Ostrande d. böhm. Masse . . 02 II 422
Gneissgranit, Pottenstein, Ostböhmen . . . . . 03 I 244
Gneiss-Sandstein-Schiefer-Scholle auf Perm u. Trias, Ueberschiebung im Iseogebiet . . . CBl 1901 *312*
Gnesta, Schweden, Silbergrube . . . . . 1900 I 412
Gnetopsis angustodunensis und esnostensis, Kohlenbecken, Autun und Epinac . . . . 02 II 166
Gnomonisches Netz . . CBl 1904 283
Gobi-Wüste
— Erosionserscheinungen u. -formen 1903 II 352 CBl 1901 693
— Geologie . . . . . 02 I 106
Gobio major, böhm. Braunkohle . . . . . 04 I 286
Görtschitz- u. Gurkthal, Mittelkärnten, Gosaukreide . . . . . 1900 II 285
Görz
— Erdbeben . . . . . 1900 I 372
— u. Gradiska, Erdbeben 1898 . . . . . 01 I 208
Goethe, Beziehungen zu Deutsch-Böhmen . . 01 II 31
Goethit nach Pyrit, Uspenskij-Gruben, südl. Ural . . . . . 01 II 178

Göttingen, seismometr. Beobachtungen . . . 1901 I 386
Gold
— destillirtes . . . . . 03 I 369
— gangförmig, reduzirt durch organische Substanz . . . . . 04 II 230
— Gewinnung . . . . 01 I 79
— Krystallisation etc. . CBl 1902 440
— Löslichkeit im Wasser 02 II 241
— Production in den letzten 50 Jahren . 03 I 371
— Schmelzpunkt . 1903 II 13. 318
— Wanderung . . . . 04 I 83
— u. Silber, Strichprobe CBl 1902 665
— Alaska . . . . . 04 II 71
— Black Hills, Wyoming 03 I 406
— Böhmen, Ursprung d. Lagerstätten . . . . 03 I 440
— Bogoslowsk'sches Bergrevier, Ural . . . . 1900 I 344
— Brazna, Böhmen, mit Antimonit . . . . . 01 II 173
— Clombinane (Victoria) 04 I 329
— franz. Guyana . . . 02 II 85
— Kansas, westl., im Kreideschiefer 1904 I 329 04 II 73
— Lengholz u. Siflitz in Kärnten . . . . . 02 II 34
— Madagascar . . . . 02 II 4
— Mexico, in Buntkupfererz . . . . . 01 I 181
— Morro-Velho-Grube, Brasilien . . . . . 04 II 411
— Nord-Carolina . . . 04 II 33
— Olekmisches System, Sibirien, Seifen 1902 II 334 CBl 1902 215
— Seine River, Canada . 01 I 180
— Seisk, Krystalle d. Seifen u. Vorkommen 02 II 333
— Siebenbürgen, Paragenese . . . . . CBl 1903 331
— Silverton Quadrangle, Colorado . . . . . 03 II 343
— Tschoroch-Thal, Gouv. Kutais . . . . . 01 II 405
— Verespatak, Vork. . 03 II 243
— Victoria (Austr.) am Woods Point-Gang . CBl 1902 475
— Vrijheid-District, Transvaal . . . . . 01 II 92
— Wood Point Dyke, Victoria, Australien . 04 II 59
Goldbergbau, Egypten . 04 I 232
Golderz, Te-, Se- u. Nihaltig, Californien . 1900 I 31
Goldfelder
— Alaska, Cape Nome und Norton Bay, Seward-Halbinsel . . . 04 II 71
— Indien . . . . . CBl 1902 311
— Kalgoorlie, W.-Austr., Nebengest. d. Gold-Tellur-Gänge u. Bibliographie 1900 I 243 04 II 242
— Lake of the Wood, Canada . . . . . 1900 I 345
— Neuseeland (Hauraki), Rhyolithe . . . . . 01 I 78
— Südafrika . . . . . CBl 1901 635
— Transvaal, Murchisonkette . . . . . 01 I 84
— Yukon . . . . . CBl 1902 432
Goldfrage, neuester Stand 01 I 422
Goldführ. Conglomerate
— Bokhara . . . . . 01 I 180
— Goldküste, Westafrika 1900 I 241
— Transvaal . . . . . 1900 I 240
Goldführende Districte, Sibirien . . . . . 02 II 402
Goldführender kiesiger Quarzlagergang, Passagem, Minas Geraës 1900 I 242
Goldgänge
— Australien u. Neuseeland. Entstehung . . 1900 I 245
— Donny brook, Westaustralien . . . . . 02 II 249
Goldgehalt v. Gesteinen, Böhmen . . . . . 01 II 401
Goldgruben
— Ost-Bokhara . . . . 01 I 80
— Kotschkar, südl. Ural 1901 I 79 CBl 1902 345
Goldhaltiges Holz, Australien . . . . . 1900 I 339
Goldindustrie, Transvaal 01 I 175
Goldklumpen, Structur 02 I 6
Goldküste, goldführ. Conglomerate . . . . . 1900 I 241
Goldlagerstätten . . . . 1900 II 242
— Zusammenhang mit Vegetation . . . . . 02 II 241
— Alabama . . . . . 1900 I 241
— Alaska 1900 II 77 01 I 81
1902 II 244 04 II 71
CBl 1901 215. 761 CBl 1902 432
— Argentinien . . . . 04 II 196
— Atschinsk-Minussinsk'scher Kreis, Sibirien CBl 1901 136

Granat
— Seegraben b. Leoben, Steiermark . . . . 1903 II 30
— Sibirien, Aufbau . . CBl 1902 216
— Veltlin, im Pegmatit 1900 II 362
— Wermsdorf, Mähren (Hessonit) 1903 I 198 04 I 31
— Wischkowitz b. Marienbad, pseudom. nach Augit, im Diorit . . 01 I 172
— siehe Grossular, Hessonit etc.
Granatfels im Serpentin, Paringu, Rumänien . 02 I 68
Granatführ. vulc. Gesteine
— Borrowdale . . . . CBl 1904 58
— Mti. Cimini . . . . 1900 I 28
— rhein. Basalt . . . . 04 I 211
Granatgneiss, Tabor, Böhmen . . . . . 01 II 227
Granatgruppe, Schmelzpunkte . . . . . 04 II 165
Granathornfels, Predazzo CBl 1904 *661*
Granatit
— Casteldelfino, Piemont CBl 1903 *79*
— Magnitnaja-Berg . . 03 II 237
Granatlagerstätten, Böhmen (Pyrop) . . . . 01 II 21
1903 I 383 CBl 1901 504
Granatolivinfels, Tirol . 1900 II 392
Granatreiche Aggregate in rhein. Basalten . 04 I 211
Grandidierit, Andrahomana (Madagascar) . . . . 03 I 388
Grand River Valley, Colorado, Dinosaurierlager im Jura . . . . . 02 II 432
Granit
— Altersbestimmung . 1900 II 394
— basische Concretionen CBl 1901 698
— Entstehung . . . . 02 I 390
— Erstarrung, Anwendung d. Phasenregel 01 II 257
— Verwitterung u. Steindenkmäler . . . . . 02 II 212
— Aarmassiv . . . . . BB XVI *320*
— Achen- u. Murg-Quellgebiet . . . . . 1904 I 254. 385
— Allerheiligen, andalusitführend . . . . . 04 I 254
— Antarkticum . . . . 1900 II 237
— Arran, tert. Alter . CBl 1901 537
— Arcostock County, Maine . . . . . 03 I 428
— Atlantische Küste, Nordamerika . . . . 01 II 244
Granit
— Baveno, Mineralien . 1903 II 33
— Berdjausch a. d. Samara-SlatousterBahn, Contact mit Kalk . 01 II 69
— Bergensgebiet, Norw. 1904 I 391 04 II 398
— Böhmen, dynamometamorph . . . . 02 II 423
— Bornholm . . . . . 01 I 95
— —, mit Sandsteingängen . . . . . 01 I 72
— Buru, Molukken . . CBl 1900 *373*
— Cala Francese, Insel Maddalena, Feldspathe u. andere Mineralien 02 I 346
— Canada, Beziehung zu Arkosen . . . . . 1900 I 68
— Ceylon . . . . . 02 I 76
— Chile, nördl. . . . . 01 I 415
— Cligga Head, Westcornwall . . . . . 04 I 590
— Columbia . . . . . 03 II 204
— Creuse-Departement . 03 II 374
— Crocetta b. S. Piero, Elba . . . . . 03 I 250
— Dartmoor, Alter, Entstehung u. Lagerung 1900 II 403
— Dartmoor Forest in Devonshire, und Contactgesteine . . . . BB XIII *96*
— Deutschbrod, Böhmen 04 II 385
— Dobrudscha, riebeckit- u. ägirinführend . . 01 I 68
— Eibenstock, Erzgeb. 02 II 53
— erythr. Colonie . . . 03 II 79
— Erzgebirge, westl., Contact . . . . . 02 II 227
— Eule, Böhmen . . . 03 I 412
— Filfila (Algier), Alkali- 04 I 222
— Flammanville . . . 03 II 372
— —, Einschlüsse . . . 04 I 218
— Fleims . . . . . 03 I 62
— FoxRiver-Valley, präcambrisch . . . . . 01 II 242
— Georgia, Verwitterung 03 I 436
— Gilgit, Hindukusch . 02 I 237
— Greifenstein, Sachsen, Contact . . . . . 1900 II 389
— Griechenland, nördl. u. türk. Grenzländer BB XVIII *2*
— Grönland. Mineralien 1900 I 346 ff.
— Gross-Seran, Molukken CBl 1901 *325*
— Grünhörnli, Aarmassiv BB XVI *302*
— Haddam Neck, Conn., Mineralien . . . . . 03 II 187

Granit
— Hautzenberg, graph. Darstellung der Zusammensetzung . . . 1900 I *111*
— Heidelberg, Analyse 1903 II *70*
— Hennberg b. Weitisberga, metamorphosiert. Oberdevonkalk CBl 1901 *113*. *368*
— Ilmengebirge, mit Aegirin . . . . . 01 II 242
— —, mit Graphitconcretionen . . . . 02 II 333
— Iser- u. Riesengebirge BB XV *105*
— Karlsbader Gebirge . 03 I 237
— Kasbek . . . . . 02 II 393
— Kola . . . . . 02 II 385
— Kordofan . . BB XVII *392*. *406*
— Kyffhäuser . . . . 03 II *45*
— Labrador . . . . . 01 I 447
— Lausitz, Biotit-Druckproducte . . . . . 04 I 41
— —, graphitreiche Zermalmungsproducte . 04 II 207
— Lindenfels, Odenwald 03 II 90
— LittleCottonwood, Wasatch Mountains, Alter 04 II 69
— Lofoten u. Vesteraalen, Norw., pyroxenführ. 1900 I 384. 386
— Madagascar, Ambongo, mit Aegirin, Arfvedsonit u. Ainigmatit . 02 I 220
— Magnitnaja-Berg . . 03 II 235
— MariupolerKreis, Südrussland . . . . . 1900 I 390
— Massachusetts . . . 1900 II 89
— Massailand, Ostafrika 03 I 79
— Miask, mit Aegirin . 01 II 242
— —, mit Graphitconcretionen . . . . 02 II 333
— Miltitz, Sachsen, Turmalin- . . . . . 04 I 39
— Minahassa, Nord-Celebes . . . . . 01 II 394
— Molukken . . . . . CBl 1902 *6*
— Mühlviertel, oberösterr. 04 I 58
— Neu-Schottland . . . 01 I 449
— New Hampshire (=Augengneiss), Contact . . . . . 1900 II 73
— —, Mt. Kearsarge (Conwaygranit) . . . . . 04 II 406
— Nežárkaflussgebiet, sdl. Böhmen . . . . . 1900 II 268
— Nord-Jersey, intrusiv, im Diabas . . . . . 01 I 77
Granit
— Northern Cascades, Nordamerika, Tertiär 1902 II 238
— Oberpfalz . . . . . CBl 1904 *586*
— PikesPeak, Umschmelzen m. Natriumthiosulfat BB XIX *193*
— Pine Lake, Ontario, mit Knoten . . . . 1900 I 67
— Plan de Phazy (Hautes Alpes) . . . . . 1900 I 220
— Podolien u. Wolhynien 04 I 261
— PointReyes-Halbinsel, Californien . . . . . 01 II 267
— Portugal, Alkali- . . CBl 1902 *49*
— Predazzo u. Monzoni 04 II 210
— Pyrenäen m. Contacten 01 II 228
— Quérigut, Ariège, veranlasst einen Magneteisengang . . . . . 01 I 227
— Reifnig, zusammengeschmolzen m. anderen Gesteinen . . . 03 II *22*
— Riesengebirge, Ganggestein . . . . . CBl 1902 *676*
— Rockall Ireland . . 1900 II 406
— sächs. Granulitgebirge CBl 1904 *206*
— Sarrabus, Sardinien . 1900 I 218
— Schladminger Tauern 04 I 64
— Schwarzwald. Acher- u. Murgquelle . . . 04 I 386
— —, Bl. Villingen u. Königsfeld-Niedereschenbach . . . . . 01 I 90
— Schweden . . . . . 02 II 98
— —, schwarzer (= Hyperitdiorit) . . . . . CBl 1901 347
— —, Ragunda . . . . 02 I 94
— —, Sarjektrakt, dynamometamorphosirt . . CBl 1901 441
— —, Småland, Contact, mit Hälleflinta . . . 03 I 77
— Sokotra . . . . . 03 II 195
— StoneMountain, Georgia u. Begleit-Gesteine . 04 II 402
— Südafrika, rother . . 1900 I *117*
— Südrussland, Rapakiwi 04 I 70
— Sylt, Diluv.-Geschiebe 1901 I *109* 03 I *91*
— siehe auch Amrum, Helgoland u. Diluvium.
— Torneträsk (Lofotenbahn) . . . . . 04 II 224
— Trebbiathal, jüngerer 1900 I 220
— Tyrone u. Londonderry Counties, Alter . . . 1900 I 74
— Ussuri, Sibirien, Biotit- 1900 I 389

Granit
— Vogesen . . . . . 1901 II 427
— Witimplateau,Sibirien 02 I 223
Granitaplit
— syst. Stellung . . . 03 II 357
— Rofna-Schlucht,Schamser Thal, Schweiz . 04 II 388
Granitbarre, carbon., zw. d. ocean. Triasmeer u. d. europ. Triasbinnenmeer . . . . BB XX *466*
Granitbreccie
— Cripple Creek-Region, Colorado . . . . . 1900 I 68
— Grizzly Peak, Col. . 01 I 237
Granitcontact
— Ariège . . . . . 1900 I 57
— —, Pegmatitgänge . 01 I 63
— Harz, d. Porphyroide BB XIV *28*
— Hennberg b. Weitisberga . . . . . CBl 1901 *113. 368*
— Pyrenäen, Kalk mit Prehnit . . . . . 02 II 195
— Schottland . . . . . 1900 II 279
— Transvaal . . . . . 1900 I 265
Graniteinschlüsse im Basalt
— Pardubitz, Böhmen . 03 I 245
— Schluckenau in Böhmen 04 I 54
Granitformation, westl. Erzgebirge . . . . . 02 II 227
Granitfragmente im ob. Culm, Dartmoor . . 1900 II 404
Granitgänge
— Dent Blanche-Massiv, Wallis, im Schiefer . 01 I *81*
— Kyffhäuser . . . . 03 II *65*
— Monzoni, im Monzonit CBl 1901 *677*
Granit-Gesteine
— accessor. Mineralien 03 II 179
— Plasticität . . . . . 03 II 62
— Cap Marsa, Analyse 01 I 403
— St. Johann-Stromschnellen in d. Moldau 02 I 61
Granitgneiss
— Finnland . . . . . 03 II 73
— Roc noir, Dent Blanche-Massiv, Wallis . . . 01 I *49*
Granitgneissgeschiebe, nord., Dynamometamorphose . . . . . 1900 II *39*
Granit-Intrusivmassen, Aarmassiv . . . . . BB XVI *292*
Granitit
— Brünn . . . . . 04 II 385
— Darial-Schlucht, Kaukasus, Hornblende- . 1900 I 230
Granitit
— Jersey . . . . . 1901 I 409
— Kullen-Vorgebirge, Schweden . . . . . 1900 I 222
— Petschau, Erzgebirge 03 I 237
Granitmassiv
— Arve-Thal . . . . . 04 I 218
— Triberg-Hornberger . 1900 I 420
Granitodiorit. Tiefengesteine, Malchit und Beerbachit als Ganggefolge, Riesengeb. etc. CBl 1902 *676*
Granitpegmatit, Diamantina, Brasilien . . . 01 I 412
Granitporphyr
— systemat. Stellung . 03 II 356
— Diluv.-Geschiebe, Sylt 01 I *109*
— Briançonnais . . . . 03 I 170
— Judith Mts., Mont., ägirinhaltig . . . . 1900 I 405
— Kordofan . . . . . BB XVII *418*
— Mt. Kearsarge, N. Hampshire . . . . . 04 II 407
— Rödö, Christianiafjord 1900 II 221
— Rofna-Schlucht, Schamser Thal, Schweiz . 04 II 387
— Schriesheim, i. Doppelgang . . . . . CBl 1904 *622*
— Sibenicni vrch bei Schüttenhofen, Böhmen 03 I 410
Granitsande des Pariser Beckens . . . . . CBl 1902 604
Granitschiefer, Bergen (Norwegen) . . . . 04 I 392
Granodiorit, amerikan. Cordillere . . . . . 01 II 239
Granophyrgang, Ardnamurchan, Schottland, im Gabbro . . . . . 02 II 68
Granularia (Flyschfucoiden) 1900 I 156
Granulit
— Aiguilles Rouges . . 04 I 69
— böhm. Wald, nördl. . 02 II 52
— Ceylon . . . . . 02 I 74
— —, Beziehg. zu Marmor 04 I 380
— Jordansmühl, sogen. Weissstein d. Nephritvorkommens . . . . CBl 1902 *385*
— Mlietsch a. Zobten . CBl 1902 *385*
Granulitgebirge
— Sachsen, Genesis CBl 1904 *196. 625*
— —, Gliederung und Entstehung . . . . 04 II 383
Granulitzug, Borry in Mähren . . . . . 02 II 229

Graph. Darstellung
— d. Gesteinszusammensetzung 1900 I *100* 1902 I 212
— — chem. Zusammensetzung d. Mineralien und Gesteine . . . . 1900 II 53
Graph. Lösung krystallographischer Aufgaben 01 II 334
— Methoden in der Krystallographie . . . . 04 II 334
Graphit
— in Eisen . . . . . 01 II 256
— Entzündungstemp. u. Verbrennung im Sauerstoff . . . . . 03 II 317
— Ceylon . . . . . 1902 I 74. 193
— —, Analyse . . . . CBl 1902 505
— Čučic, Mähren, im Urkalk . . . . . CBl 1904 *356*
— Euganeen, im Basalt 01 II 361
— Grönland . . . . . 1900 I 347
— Ilmengebirge, kugelige Concretionen im Granit . . . . . 02 II 333
— Narsarsuk, Südgrönland, im Syenit . . 02 I 18
— Neu-Schottland . . . 02 I 362
— Nordamerika, Production . . . . . CBl 1902 243
— Nord-Carolina . . . 04 II 34
— Radauthal . . . . . 01 II 361
— rhein. Basalte . . . 04 I 217
— Schwarzwald, i. Gneiss 01 I 57
— Tollegro, Piemont, im Kalk . . . . . CBl 1903 *122*
— Toluca-eisen . . . . 1900 I 352
Graphitgneiss, Kordofan BB XVII *455*
Graphitgrube, Gross-Tresny, Mähren, Auripigment u. Realgar . 01 II 204
Graphitlager
Entstehung . . . . 04 I 405
— Cottische Alpen . . . 1900 I 415
— Klein-Tresny, Mähren, Mineralien . . 1900 I 24. 25
Graphitit, Botogolskij-Golez (Alibertgraphit) 01 II 74
Graphitlagerstätten
— alpine . . . . . 01 II 77
— Berdjansk'scher Kreis, Südrussland . . . . 01 II 112
— Botogolskij-Golez (Alibertgraphit) . . . . 01 II 74
— Ceylon 1901 II 77 CBl 1900 104
— Dargaw-Schlucht, Kaukasus . . . . . 04 I 227
Graphitlagerstätten
— Gross-Tresny, Mähren 1901 II 204
— Klein-Tresny, Mähren 1900 I 24. 25
— Steiermark, Metamorphismus . . . . . 03 II 385
Graphitoid im Casanna-Schiefer, östl. Rhätikon . . . . . 1900 I *125*
Graphitreiche Zermalmungsprod. d. Lausitzer Granits . . . 04 II 207
Graphitschichten, piemont. Westalpen . . . . . 1900 II 266
Graphitschiefer, Botogolskij-Golez (Alibert-Gr.) 01 II 75
Graptolithen
— Structur . . . . . 1900 I 145
— in der Lethaea geognostica . . . . . 01 I 328
— armorican. Massiv . CBl 1902 285
— Böhmen . . . . . 1900 I 146
— Catalonien, vergl. mit Frankreich . . . . . 03 I 327
— poln. Mittelgebirge . BB XIII *332*
— Thüringen u. Vogtland 04 II 97
— Vogtland, i. obersilur. Phosphoritknollen . . BB XV *21*
Graptolithenablagerungen, Victoria, Australien . 1900 II 430
Graptolithenfacies der Beekmantown-Formation, Rensselaer County, N. Y. . . . . 03 I 115
Graptolithenschiefer, Ost-Thüringen u. Vogtland . . . . . 03 I 249
Graslitz
— Erdbeben 1824 . . . 01 I 210
— böhm. Erzgeb., Geol. 02 II 53
Grassmann's krystallograph. Methode . . 01 II 333
Graubünden
— Erzlagerstätten . . 02 II 81
— Gafienthal, Tektonik CBl 1901 *353*
— Geologie . . . . CBl 1902 115. 120
Graudenz
— Diluvium . . . . . BB XVI *48*
— Geologie d. Umgegend CBl 1902 437
Grauwacke
— Griechenland, nördl. u. türk. Grenzländer BB XVIII *48*
— Hinter-Taunus, Feldspath- . . . . . 04 II 382
Gravenoire, Vulcan . . 02 I 71
Gravigrada, Pyrotherium-Schichten, Argentinien 1900 II 305

Gravitationsconstante
— der Erde . . . . . 1900 I 39
— Bestimmung . . . . 04 I 365
Gravitationswirkung . . 01 I 380
— zweier Quarzkugeln . 01 I 380
Great Rift Valley, phonolith. Gest., vergl. m. St. Helena u. Ascension . . . . . CBl 1903 25
GreatWhin Sill, England, Contact von Schiefer mit Diabas u. Lagergang . . . . . 1900 I 397
Greenbushes, Westaustr., Zinnerzlagerstätte . 04 II 242
Greenockit
— Beziehung zu Rothnickelkies . . . . . 03 I 376
— Joplin, Missouri, auf Kalkspath . . . . . 03 I 375
— Montevechio, Sardin. 04 II 170
— Neudorf. Mähren . . CBl 1904 *354*
— siehe auch Schwefelcadmium.
Greifenstein, Sachsen, Gesteine . . . . . 1900 II 388
GreifensteinerKalk, Devon
— Nassau . . . . . 02 II 265
— Wildungen . . . . . 02 II 266
Greisen, Cligga Head, West-Cornwall . . . 04 I 390
Grenada, westind. Insel, Geologie . . . . . CBl 1903 *182*
Grenadinen, Westindien, Geologie . . . . . CBl 1902 247
Grès bigarré-Schichten, Tertiär, Argentinien, Säugethiere . . . . 1900 II 296
Griechenland
— Braunkohlen . . . . 03 II 389
— Trias . . . . . CBl 1904 *257*
— Aegäis. Geologie 1900 I 98 02 II 261
— Attika und Euböa, Bonebeds v. Pikermi 03 II 283
— Inseln, Geologie . . 03 II 251
— nördliches, Gesteine . BB XVIII *1*
Griechisch-albanes. System, Balkan-Halbinsel . . 03 II 247
Griffithides Barkei, Culm, Barnstaple . . . . . 04 II 149
— claviger, Damesi, depressus und Frechi, Unt.-Carbon, Schlesien 03 I 336
— tapajotensis, Pará, Brasilien, Carbon . . 04 I 426
Grillenberger Schichten, Rothl., Prov. Sachsen 1901 I 459
Grindelwaldgletscher, Eiserosion, Längen- und Dickenveränderung . 1900 II 46
Griottes, Pyrenäen . . . 02 I 83
Griphit, Black Hills, Wyoming . . . . . 03 I 409
Griphopithecus Suessi, II. Medit.-Stufe, Neudorf a. March . . . CBl 1903 *177*
Grizzly Peak-Andesit, Berkeley Hills, Calif. 04 II 251
Grodischter Schichten, österr.-schles. Kreide, Cephalopoden . . . 03 II 296
Grönland
— eisenführ. Gesteine, Assuk, Disko . . . . 03 I 182
— fossile Flora . . . . 02 II 318
— Geologie . . . . . 03 I 466
— Glacialbildungen im nördlichen . . . . . 1900 I 294
— Mineralfundstätten . 1900 I 346
— Mineralien d. Nephelinsyenits etc. . . 1901 I 38. 373
— —, Narsarsuk . . . 02 I 18
— —, Tunugdliarfikfjord etc. . . . 1900 I 349. 350
— Structur d. Inlandeises und Theorie d. Gletscherbewegung . . . 1900 I *71*
1900 II *80* 01 I *37*
— unterdevon. Fische . 03 II 444
Gronotherium . . . . . 1900 II 458
Grorudit
— syst. Stellung . . . 03 II 357
— Diluv.-Geschiebe, Sylt 01 I *108*
Grorudit-Tinguait-Gesteine, Abessynien . 01 II 391
Grorudos . . . . . CBl 1903 697
Gross-Bogdo-Berg, astrach. Steppe, Kreidefauna . 1900 I *216*
Gross-Bornholt, Nordostseekanal, Diluv.-Torf BB XVI *36*
Gross-Britannien
— Eruptivgesteine, durchschnittl. Zusammensetzung u. spec. Gewicht . . . . . 1900 II 386
— Interglacial . . . . 1900 II 447
— Quartär . . . . 1904 II 263. 277
— Steinkohlenvorrath . CBl 1902 218
— siehe auch England u. Schottland.
Grossouvria Siemiradzki 1900 II 311

Gross-Seran, Molukken, Geologie . . . . . CBl 1901 *321*
Gross-Tresny, Mähren, Mineralien . . . . . 1901 II 204
Grossular
— Casteldelfino, Piemont, Krystallformen . . . CBl 1903 *79*
— Radauthal . . . . . 01 II 360
Gross-Venedigerstock, petrogr. Untersuchung u. Beziehung z. Geologie d. Centralalpen CBl 1903 *401*
Gross-Zöllnig b. Oels in Schlesien. Tiefbohrung 02 II 268
Grotta del Bandito, Val del Gesso (Cuneo) . . 02 I 18
Grotte von Tavernola, Iseo-See, Entstehung 03 I 311
Grünerde, Mähren . . . CBl 1904 *361*
Grünewaldia, St. Cassian 02 II 489
Grünhörnli, Aarmassiv, Granit . . . . . BB XVI *302*
Grünschiefer
— Aarmassiv . . . . . BB XVI *292*
— Brusson, Piemont . . CBl 1901 *303*
— Gorgona-Insel (Toscana) . . . . . 04 II 220
— Vogesen . . . . . 01 I 61
— Westalpen, mesoz. Alter . . . . . 1900 I 426
— Westalpen, piemont., Trias . . . . . 1900 II 266
Grünstein
— südl. Schweden . . . 1900 I *65*
— Sutton Mountains, Quebec . . . . . 04 I 396
— Trebbia-Thal . . . . 1900 I 219
— siehe auch Diabas.
Grumia diploctenium, Tertiär, Vicentin . . 02 II 153
Grundgebirge, Centralbretagne . . . . . 01 II 108
— Finnland, Entstehung 01 II 59
— Vicentin . . . . . 01 II 98
Grundlawinen . . . . . 02 II 49
Grundmoräne
— Offenbach . . . . . 03 II 269
— Oranje River, Perm 03 II 261
Grundproben
— aus grossen Meerestiefen . . . . . 02 II 377
— oceanische, Analyse 1901 II 378 02 I 391
— Valdivia-Expedition . CBl 1901 *525*
Grundwasser im Kalkgebirge . . . . . 03 II 272
Grundwasseraufnahmen 1903 II 352
Grundwasserbewegung, Teplitz und Brüx . . 02 I 388
Grundwasserverhältnisse
— Lübeck . . . . . 03 I 139
— Po-Thal . . . . . 02 I 125
Grupenhagen, geol. Karte 1900 II 412
Gryphaea Burckhardti, Roca, Argentinien . 04 I 433
— hypoptera, ob. Kreide, libysche Wüste . . . 03 I 510
— Marcoui und Wardi, unt. Kreide, Texas . 1900 II 482
— rocana, Kreide. Roca, Argentinien . . . . 04 II 286
— Romanowskii (= Kaufmanni), Eoc., Fergana 04 II 458
— Schulzei, sublobata u. trisulcata, Jura, Chile 01 I 485
Gryphaeen (Gr. Pitcheri) d. unt. Kreide, Texas 1900 II 481
Grypotherium. Zeitgenosse der patag. Höhlenbewohner . . . . 03 II 282
— Darwini var. domestica, Eberhardt-Höhle, Ultima Esperanza, Patagonien . . . . 04 I 121
— domesticum, Eberhardt-Höhle . . . . 01 II 309
1902 II 291 03 I 554
Guadeloupe
— Westindien, Geologie 03 II 255
CBl 1901 538 CBl 1903 *319*
— Soufrière . . . . . CBl 1903 *319*
Guanaco, Chile, Mineralien d. Goldlagerstätte 1900 II 368
Guanajuato, Mexico, Datolith . . . . . 1900 I 192
Guaranien-Formation (Pyrotherium-Horizont), Argentinien, Säugethiere . . . . . 1900 II 296
Guaranitische Schichten, Kreide, südl. Patagonien . . . . . 1900 II 426
Guaranitisches System, Ostpatagonien . . . 1900 I 101
Guarinit . . . . . CBl 1902 *524*
— optisch . . . . . CBl 1902 *667*
Guatemala
— Eruption d. Vulcans Santa Maria, Okt 1902 CBl 1903 *33. 65. 71*
— —, —. Asche CBl 1903 *112. 132. 288. 290*

Guatemala
— prähistor. Artefacten aus Chloromelanit u. Jadeit . . . . . CBl 1904 *65*
— — aus Fuchsit . . . CBl 1900 *291*
Guelph Fauna, New York 1904 I 113
Gümbelina = Pseudotextularia . . . . . 03 II 150
— fructicosa, lata und acervulinoides, Kreidemergel der oberbayr. Alpen . . . . . 02 I 155
Gümbelit, Unterloquitz, Thüringen . . . . . 04 I 320
Guettardia trilobata var. enormis, Cenoman, Kuttenberg . . . . 04 II 156
Guettaria . . . . . 02 I 320
Guitermanit, Juni Mine, Colorado . . . . . 03 II 342
Gummierz (Uran), Mitchell Co., N. C., Radioactivität . . . . CBl 1904 *207*
Guntur-Vulcan, West-Java 04 II *114*
Gunung Ringgit, Java, Eruption im 16. Jahrhundert 1902 I 211 CBl 1900 *279*
Gutannen, sogen. Stamm im Gneiss . . . . . 1900 II 394
Guyana, Britisch, Goldseifen . . . . . 02 II 248
— franz., Goldseifen . . 02 II 85
Gwastaden Gruppe, Silur, Wales . . . . . 01 I 457
Gyaluer Gebirge, Geol. . 03 I 99
Gymnit
— Gross-Tresny, Mähren 1900 I 24
— Kraubat, Steierm., pseudom. n. Kämmererit . . . . . 1900 I 19
Gymnites, Trias v. Val di Pena b. Lorenzago (Belluno) . . . . . 01 II 151
Gymnoptychus minor u. minimus, Titanotherium-Schicht, Montana 04 II 461
Gyps
— Aetzerscheinungen . 02 I 187
— Bildung in ocean. Salzablagerungen . . 02 II 5
— Einwirkung von Alkalicarbonat . . . . 1900 II 9
— Entstehung . . . . CBl 1903 *211*
— — unter Mitwirkung v. Eis, Tunkinsk'sche Alpen . . . . . 01 II 68
Gyps
— isomorph. m. Pharmakolith . . . . . CBl 1901 507
— Krystallisationsfähigkeit mit Sandkörnern 1903 II 181
— Löslichkeit . . . . . 02 II 178
— — in Kochsalzlösungen 04 I 364
— mikroskopisch u. krystallographisch . . . 01 II 358
— optische Constanten 1900 II 183 1900 II 199
— physik.-chem. Eigenschaften . . . . . 03 II 12
— Pseudom. v. Aragonit nach G. (Schaumkalk) BB XVI *406*
— Richtungsverschiedenheiten bezügl. d. Löslichkeit an Spaltplättchen . . . . . CBl 1904 *116*
— Symmetrie . . . . . 02 II 357
— verwachsen mit Aragonit . . . . . BB XVI *406*
— — mit Entwässerungsproducten . . . . . BB XVI *437*
— Verwitterungsellipsoid 03 I 1
— Vorkommen in Kalisalzlagern . . . . . 04 I 332
— Australien, Pseudom. von Opal nach G. . 01 I 5
— Bad Lands, s. Dakota 04 II 34
— Cetine di Cotorniano, Prov. Siena . . . . 02 II 37
— Guanaco, Chile, Goldlagerstätten . . . . 1900 II 368
— Iowa, Alter u. Entstehung . . . . . 04 II 408
— Kansas . . . . . CBl 1901 280
— —, Krystallformen . 01 II 365
— Kommern bei Brüx, natürl. Aetzfiguren u. Einschlüsse . . . . 02 II 357
— Malfidano, Sardinien 01 I 364
— Neu-Schottland . . . 02 I 363
— Repetek, Transkaspien 01 II 67
— Richelle b. Visé (Belgien), mit Richellit, Krystallformen . . . 01 I 203
— Romagna, Brechungscoëfficienten . . . . 1900 II 199
— Rosenegg, Kalkspath pseudom. nach G. . 01 I 30
— Sicilien, opt. Const. durch Totalreflexion 1900 II 183
— Sotto Cavallo, im Dolomit von Esino . . 02 II 203
— Trebitsch, Mähren . CBl 1904 *360*

Gyps
— Untertürkheim(Württemberg), Riesenkrystalle . . . . . 1901 I 29
— Valdaspra . . . . . 1900 I 30
— u. Brushit, Beziehung v. Molekularvol. und Zusammensetzung . 04 I 5
— und Salz, Entstehung CBl 1903 *416*
Gypsbildung . 1902 II 5 CBl 1903 *211*
— unter Mitwirkung v. Eis, Tunkinsk'sche Alpen . . . . . 01 II 68
Gypsbreccie, Quartär, Egypten . . . . . 02 II 108
Gypslager, Oulx, ob. Dora Riparia . . . . . 1900 I 26
Gypspseudomorphosen . BB XVI *406*
— Australien . . . . . 01 I 5
— Rosenegg 1900 I 22 01 I 30
Gypstherme, eisenhaltige, Vals im Lugnetz, Graubünden . . . . 02 II 75
Gypsina crassitesta, Tert., Egypten . . . . . 01 II 164
Gyralina Roemeri, tert. Landschneckenmergel, Oppeln . . . . . 03 I 540
Gyrodes brunsvicensis, Untersenon, Braunschweig u. Ilsede . . 02 I 128
— chilina und euryomphala, Quiriquina-Schichten, Chile . BB XVIII *198*
Gyrodus Montmejai und oltis, Kimmeridge, Fumel (Lot-et-Garonne) . . . . . 04 I 282
Gyrophyllites (Flyschfucoiden) . . . . . 1900 I 156
Gyropleura Telleri, Kreide, Görz u. Pinguente . 02 I 486
Gyrorbis Gürichi, tert. Landschneckenmergel, Oppeln . . . . . 03 I 541

H.

Hachauer Schichten, Oberbayern, Jura . . . . 1900 II 295
Hackmanit, Kola (Nephelinsyenitgebiet), im Tawit . . . . . 02 II 383
Haddam Neck, Conn., Mineralien im Granit 1903 II 186 CBl 1901 373
Hadropithecus, Madagascar. . . . . 1903 I 344. 563
— stenognathus, Madagascar. . . . . 1903 I 344
Hadshibey, Liman, Geol. und Gesteine. . . . 02 II 397
Hälleflinta
— Schweden . . . . . 02 II 98
— Småland, Contact mit Granit . . . . . 03 I 77
Hämatit, siehe Eisenglanz.
Härte
— Beziehung zu Spaltbarkeit . . . . . CBl 1902 376
— Funktion des Atomgewichts. . . . . 02 I 161
Häuselberg bei Leoben, Magnesitbruch und Mineralien . . . . . 03 II 30
Haftmuskel und -Ring, Ammonoidea . . . . 1900 I 475
Hagelkörner, Krystallform, Odessa . . . . 01 II 175
Hagenowinella, Kreide, Frankreich . . . . . 02 I 490
Haifischzähne, unt. Mokattam, b. Wasta, Egypten . . . . . 03 I *29*
Haigerschichten, Obercoblenz, zw. Marburg u. Herborn . . . . BB XVII *72*
Haimesiastrea conferta, Palaeogen, N.-Amerika 04 I 469
Haine-Thal, Belgien, Quartär . . . . . 03 II 272
Haiti, Erdbeben, 29. Dezember 1897 . . . . 1900 II 377
Halbe b. Königswusterhausen, Diluvium . . BB XVI *53*
Halbhydrat von $CaSO_4$, Bildung . . . . . 02 II 5
Halbopal, Ungarn, Dampfdruck . . . . . 1900 I 335
Haliseritenschiefer, Unterdevon
— Altenvers . . . . . BB XVII *28*
— zw. Marburg und Herborn . . . . . BB XVII *19*
Haliserites Dechenianus, Devon. . . . . 03 I 121
— siehe auch Halyserites.
Halitherium, Lendengegend, Becken und Zungenbeinkörper . . 04 II 316
Hallett Cove, sdl. Adelaide, St. Vincent-Golf etc.,

permocarbon. Glacialbildungen . . . . . 1900 II 107
Halloysitähnl. Erde, Würb. Bistritz, Mähren . 1900 I 23
Hallstatt, Gastropoden d. Trias . . . . . 02 I 144
Hallstätter Kalk
— Cephalopoden . . . 03 I 311
— Seiser Alp . . . . . 1900 II 418
Halmaturus dryas, tert., Coimadai b. Adelaide 1900 II 108
Halogyra (?) progressa. Rothe Kalke, Trias. Bakonywald . . . . 02 II 305
Haloidhaltige Calciumalumosilicate . . . . CBl 1904 729
Haloidsalze
— Färbung unter Einfluss von Kathodenstrahlen 1900 II 344
— Translationen der regulären . . . . . 02 II 145
Halotrichit
— Montana . . . . . 01 I 34
— Schwefelgrotte bei Misenum . . . . . 03 I 252
Halotrichitähnl. Sulfat, Montana, fasrig . . 01 I 34
Halsbrücker Spath(-gang), Freiberger Revier . CBl 1901 250
Halycoryne . . . . . 1900 I 159
Halymenites . . . . . 01 I 157
Halyserites (Chiropteris) Reichi. Cenoman, Niederschöna . . . . 1900 I 158
— siehe auch Haliserites.
Hamburg
— Diluvium . . . . BB XVI 9. 60
— Erdbebenbeobachtung in der Horizontalpendelstation 1901 . 03 II 46
— Horizontalpendelstation 01 I 207
Hamilton group, Cayuga lake, New York, Fauna 04 I 112
— Eigtheen-mile creek, westl. New York. Fauna 02 II 267
Hamiltonschichten
— Michigan . . . . . 03 II 259
— Ontario . . . . . 03 II 260
Haminea megalope. Nummulitenfauna, Egypt. 02 I 464
Hamites, südind. Kreide 1900 I 442
— (Anisoceras) awajensis, ob. Kreide, Hokkaido, Japan . . . . . 02 II 485
— Gottschei u. Wernickei, Senon, Lüneburg . . 03 II 274
Hamites massiliensis u. tenuis, ob. Aptien, Maire b. Marseille . 1901 I 469
Hamlinia, Kreide, Libanon 01 I 488
— olivae, Kreide, Libanon 02 I 312
Hamlinit, Isomorphismus CBl 1901 507
Hamlinit-Beudantit-Gruppe, Beziehung von Molecularvolumen zur chem. Zusammensetzung . . . . . 04 I 4
Hammatoceras fasciatum, semilunatum u. speciosum, Jurensisschichten, Elsass . . . . 03 I 300
— Meneghinii, porcarellense u. Victorii, Rosso ammonitico . . . . 01 I 468
Hampshire Co., Mass., Mineralien . . . . . 1900 I 36
Hamulina parvula, unt. Kreide, Châtel Saint Denis . . . . . 04 I 147
Hamulinites . . . . . 02 I 254
Hamusina, Jura, England 01 I 514
Hancockit, N. Jersey . . 01 I 367
Handrefraktometer von Smith . . . . . CBl 1904 442
Hanksit, Zusammensetzg. 01 II 343
Hannover, Lias, Mollusken im Posidonienschiefer . . . . . CBl 1904 385
Hapalops antistis, Pyrotheriumschichten, Argentinien . . . . . 1900 II 305
Haplaraea Pratzi, Gosauschichten, Ostalpen . 04 II 151
Haploconus, Puerco . . 1900 I 304
Haplodontotherium . . . 1900 II 459
Haplohelia ornata, Gosauschichten, Ostalpen . 04 II 153
Haplophragmium deflexum u. horridum, Inoceramenschichten, Gorlice 03 II 153
— Eiseli, deutscher Zechstein . . . . . 1900 II 164
— grande, Gosaukreide 02 I 451
— Humboldti, Bryozoenhorizont, Priabona . 01 I 126
— petiolus, silex, spinulosum und trifolium, Kreidemergel d. oberbayr. Alpen . . . . 02 I 155
Haploscapha niobrarensis, Niobraragruppe, Kansas . . . . . 01 II 298

Haplostiche dentalinoides, obere Kreide, Ostgalizien . . . . . 1903 II 150
Hapsiphyllum, New York, Untercarbon . . . . 03 I 483
Hardystonit, Franklin-Furnace, N. Jersey 1900 II 20 02 I 175
Harmonie u. Complication CBl 1902 433
Harmotom, Sarrabus, Kryst. 01 II 362
Harpagolestes macrocephalus, Eocän, Bridger bed . . . . . 04 I 452
Harpoceras, mittl. Lias, Centralapennin . . . 01 II 152
— aequiundulatum und laeviornatum, Medolo, Brescia . . . . . 02 I 441
— carpathicum, Kelloway, Lupului, rum. Südkarpaten . . . . 1900 II 294
— Hauthali, malarguense und puchense, Lias, argent.-chilen. Cordillere . . . . . 04 II 87
— Meneghinii, Rosso ammonitico . . . . . 01 I 468
— parvicarinatum, Amaltheenthon, Reutlingen 1900 II 113
Harrisit. Canton Mine, Ga. BB XVI *367*
Hartenberg, Erzgebirge, Schwarmbeben 1824 01 I 210
Hartenrod-Uebernthal, Diabase an der Bahnlinie . . . . . BB XVII *77*
Hartsalz, Kalisalzlager 04 I 333
Harz
— Beeinflussung d. Loths 01 I 382
— Culm, Flora . . . . 02 II 495
— Devon . . . . . 01 II 421
— —, b. Zellerfeld und Goslar . . . . . 01 II 435
— Entstehung devon. Rotheisenerzlagerstätten . . . . . 03 I *179*
— Geologie (Culm) des nordwestl. Ober- . . 1900 I 429
— Keuper b. Thale . . CBl 1901 *1*
— Porphyroide, Petrogr. BB XIV *1*
— Regionalmetamorphose CBl 1903 *359*
— — u. Kupferschieferfrage . . . . . CBl 1903 *258*
— Schalstein . . . . . 01 I 59
— Schwerspathführung d. Erzgänge d. Ober- CBl 1900 *284*
Harz
— Silur, Flora . . . . 1902 II 495
— Umdeutung d. geolog. Verhältnisse d. Unter- 1900 II 267
Harzburgit
— Gotthardtunnel . . . BB XVI *185*
— Griechenland, nördl. u. türk. Grenzländer BB XVIII *11*
— südafrik. Diamantlagerstätten . . . . 1900 I 2
Harzburgitserpentin, Malenco . . . . . CBl 1902 *490*
Harzos . . . . . CBl 1903 697
Haselgebirge, Alpen, Entstehung . . . . . 1900 II 408
Haslach (Baden), geol. Karte . . . . . 03 I 455
Hassendorf, Fauna der mioc. Thone . . . . 01 II 445
Hastula O. Fraasi, Kreide, Karmel . . . . 1902 I 312. 313
Hatchericeras argentinense u. patagonense, Kreide, Patagonien . . . . 02 II 435
Hatherlit . . . . . 02 I 215
Hatteria, Beziehung zu Bothriolepis . . . . CBl 1901 27
Hauerit
— chem. Reaktion auf Metalle . . . . . CBl 1901 *257*
— Reaction auf Kupfer und Silber bei gewöhnl. Temperatur . CBl 1901 *401*
— Raddusa, Sicilien . . 1900 II 176
Hauptbrechungscoëfficienten
— Bestimmung in Kryst. 03 I 360
— 2-axiger Kryst. mittelst Totalreflectometer . 1900 II 172
Hauptrogenstein, Schweiz, Beziehung zum Schwäbischen Jura . . . . 1900 I 282
Hauraki-Goldfelder, Neu-Seeland, Rhyolith . . 01 I 78
Hausthierreste, Vindonissa u. Siggenthal . . . 03 I 148
Hauterivien
— franz. Voralpen . . 02 I 251
— Juragebirge . . . . 02 I 448
— Schaumburg-Lippe'sche Kreidemulde . . . . 03 I *77*
Hautpanzer von Compsognathus . . . . . 01 I *157*
Hauyn, Cappuccini bei Albano . . . . . 04 I 170
Hauynbasalt-Magma, künstlich . . . . . 1900 II 254

Hauyngruppe, Bildung im Magma . . . . . 1900 II 252
Hauyn-Monchiquit, Siebengebirge . . . . . 04 II *86*
Hauynophyr, Vulcan Etinde, Kamerun . . 03 I 425
Hawaii, vulcan. Ereignisse 1899 . . . . . 03 I 422
Hawaii-Archipel, Basalt BB XV *66*
Hawleyschiefer, U.-Silur, Massachusetts . . . 1900 II 88
Hebung
— der Korallenriffe, Curaçao . . . . . 02 I 320
— — —, Riukiu-Inseln 03 II 254
— durch Massenerguss, Insel Pula Laut bei SO.-Borneo . . . . BB XX *354*
— Rigaer Strand, postglaciale . . . . . 1900 I 455
— Schweden, ungleichförmig. nach Einwand. Menschen . . . . 02 II 129
— voller Seebecken . . 02 II 376
Hebungen u. Senkungen 03 II 49
— Californien, postpliocäne . . . . . 04 I 108
— Neuseeland, seculäre 04 II 253
— siehe auch Niveauschwankungen.
Hecticoceras bernense, Bonarelli, chatillonense u. Matheyi, Renggeri-Schichten, Berner Jura 1900 I 316
Hedenbergit
— Ausscheidung aus Schmelzflüssen . . . CBl 1904 *368*
— zusammengeschmolzen mit Albit, ... CBl 1904 *342*
— — — Anorthit . . . CBl 1904 *300*
— — — Elaeolith . . CBl 1903 *748*
— — — Korund . . . CBl 1904 *706*
— Dartmoor Forest, Devonshire, im Granitcontact . . . . . BB XIII *128*
Hedenstroemia-Schichten, Himalaya, Alter . BB XVIII *531*
Hedrumit . . . . . 02 I 216
Heersien, Belgien, Fische 03 II 443
Hegau, siehe Höhgau.
Hegetotheriidae, Pyrotherium-Schichten, Argentinien . . . . . 1900 II 298
Hegetotherium . . . . 1900 II 459
— andinum, Tert., Rio Negro u. Neuquen . 02 I 303
Heide, Calluna-, baltische 1901 I 138
Heidelberg, Geologie . . 01 II 420
Heilbronn, Steinsalzlager 01 I 436
Heilsberg, Ostpreussen, Diluvium . . . . . BB XVI *94*
Heilschlammbildung, Limane Südrusslands . 01 II 382
Heintzit, Kalisalzlager, Vorkommen . . . . 04 I 336
Helderberg, Unter-, ist Devon . . . . . 01 I 117
Helcioniscus luciferus, patag. Formation, Argentinien . . . . . 04 II 288
Helderbergian zum Devon, New York . . . 01 II 459
Helgeland, Norwegen, Geologie . . . . . 02 I 91
Helgoland
— kryst. Geschiebe . . 03 I *91*
— norwegische kryst. Diluvialgeschiebe . . CBl 1903 *453*
— siehe auch Diluvialgeschiebe, Amrum etc.
Heliastraea fontana, Tert., Vicentin . . . . . 02 II 153
— pseudolepida, Cenoman, Ammergebirge 01 I 261
Helicoprion . . . . . 1900 II 144
— Deutung als Selachier CBl 1901 *429*
— im Productuskalk der Salt Range . . . . CBl 1901 *225*
Helium in einer Quelle, Eaux-Bonnes, Pyren. 03 II 362
Helix armoricensis und cenchridium, Eocän, Loire inférieure . . 03 I 128
— banatica, pleist. Kalktuff, Bilzingsleben, Thüringen . . . . . 04 I 103
— quadridentata, Melanopsis-Stufe, Egypten 02 II 107
— (Tachea) tonnensis, Diluvium, Thüringen 03 II 277
Hellkofener Kreidemergel bei Regensburg . . 01 I 446
Helodus incisus, Carbon Mississippithal . . . 04 I 142
Heluan, Wüstendenudation 01 I 92
Helvétien
— Grenze gegen Oligocän in d. Schweizer Molasse . . . . . 04 I 285
— Verhältniss zum Randengrobkalk der Nordschweiz . . . . . CBl 1903 *477*

Hemiaster aquisgranense, Hornsteine d. Aachener Waldes . . . . . 1901 II 162
— Artini u. Figarii, Cenoman, Egypten . . 03 I 532
— chargensis, ob. Kreide, libysche Wüste . . . 03 I 509
— Fourtaui, nubicus u. Wilcocksi, Nummulitenschichten, Egypten 01 II 484
— hefourensis u. ibelensis, Kreide, Libanon . . 1900 I 480
Hemicara pomeranum, Senon, Grimme (Pommern) . . . . . 03 I 531
Hemicidaris ghazirensis, Kreide, Libanon . . 1900 I 479
Hemiedrie . . . . . 01 II 330
Hemifusus Koeneni, Untersenon, Braunschweig u. Ilsede . . 02 I 128
Hemigymnia, Garumnien inférieur, Landes . . 1900 II 486
Hemimorphie . . . . . 01 II 330
Hemipedina eliasensis, Tertiär, Patagonien. 03 II 454
— Mairei, Bathonien . 01 II 321
Hemithlaeus, Puerco . . 1900 I 304
Hemitissotia condouroensis, Kreide, Portugal 1900 II 477
Hemlock-Formation, Algonkian, Michigan . 01 II 412
Hennberg b. Weitisberga, Granitcontact . CBl 1901 *113. 368*
Hennegau
— Albien u. Cenoman . 02 II 117
— Carbon, Couches du Placard (Mariemont) 01 II 442
Heptorit, Siebengebirge 04 II *86*
Heraklea, Kohlenbecken 01 II 441
Herborn gegen Marburg, Unterdevon . . . . BB XVII *1*
Herbornseelbach, Coblenzschichten . . . . . BB XVII *68*
Herzegovina
— Glacial u. Morphologie 1900 II 382
— Lithiotidenschichten CBl 1904 *327*
— Trias . . . . . 02 I 439
— —, Susiča-Thal, Kohlen 01 I 464
— u. Bosnien, Mineralindustrie . . . . . 02 I 81
Hercegovites, Werfener Schichten, Mué (Dalmatien) . . . . . 03 II 445
Herderit, isomorph mit Caracolit . . . . . CBl 1901 507
Hermann, Rudolf, Moskau, Beschreibung d. Hermann'schen Mineraliensammlung . . CBl 1900 160
Herniker Vulcane, Laven 1903 II 371
Herodiones, Osteologie . 03 II 437
Heronit, Einwirkung v. NH_4Cl . . . . . 04 II 7
Herpestes Filholi u. crassus, La Grive St. Alban, Miocän . . . . 03 II 129
Herpetochirus brachycnemus, Klipfontein . . 1900 I 309
Herschelit, sicilian. Basalte . . . . . 04 I 363
Herstal, Vertheilung d. Pflanzen im productiven Carbon (Bonne Espérance) . . . . . 02 I 112
Hertsfeldhausen, Ries . BB XV *457*
Hessas, Hessos . . . . CBl 1903 697
Hessen
— Basalt . 1901 II 386 BB XIX *503*
— —, v. Homberg a. Efze BB XVI *241*
— chemische Classification d. Eruptivgesteine . 03 II *33*
Hessit
— Boulder Co., Col., Krystallformen . . 1901 II 345. 346
— Californien, Anal. . . 01 I 184
— Gold Creek, Pine Portage Bay, Rainy River, Canada . . . . CBl 1901 371
— Silverton Quadrangle, Colorado . . . . . 03 II 343
Hessonit
— Nordamerika, Edelstein, Vorkommen . CBl 1902 405
— Wermsdorf, Mähren 03 I 198
— siehe auch Granat.
Hessos . . . . . CBl 1903 697
Hessotiara minor, Infralias, Vendée . . . 04 II 430
Heterangium bibractense, Kohlenbecken, Autun und Epinac . . . . 02 II 167
Heterobrissus Formai, Helvétien, Piemont u. Ligurien . . . . . 03 II 453
Heteroceras simplicostatum, Beschreibung . 03 II 446
Heterochthone Versteinerungen . . . . . 1900 II 407
Heteroclypeus elegans, Miocän, Sardinien 1901 II 483 04 I 153

Heteroclypeus Nevianii, Miocän, Calabrien 1901 II 483 1904 I 152
Heterocosmia turrita, ob. Muschelkalk, Crailsheim, Württemberg . 02 I 143
HeterogeneGleichgewichte vom Standpunkt der Phasenlehre . . . . CBl 1901 664
Heteroglyphis Dewoletzkyi, patagon. Schichten, Patagonien . . . . 01 II 471
Heterogyra, Esino u. Marmolata . . . . . 02 I 143
Heteromorphe Modificationen, Tripelpunkte u. Zustandsdiagramme 03 II 10
Heteromorphit, siehe Jamesonit.
Heteropora Harmeri, Cenoman, St. Calais, Sarthe . . . . . 1900 II 159
Heterospira, Trias, Hallstatt . . . . . 02 I 145
Heterostelea (Carpoideen) 03 I 534
Heterotektische Magmen CBl 1900 186
Heulandit
— Einwirkung von Salmiak . 1903 I 394 04 II 6
— Lockerung d. Krystallgebäudes durch Salzsäure . . . . . CBl 1902 *594*
— Aarmassiv, in Biotitprotogindrusen . . BB XIV *89 ff.*
— Agordino superiore . 03 I 202
— Bambak-Aschai-Ebene, Kaukasus, im Porphyrit . . . . . 01 II 205
— Baveno, im Granit . 03 II 34
— Feodosia, Krym . . 01 II 205
— Lake Superior . . . 1900 II 30
— mährisches Gesenke . CBl 1901 172
— Prinz Rudolfs-Insel . 04 I 362
Heumit, systemat. Stellung . . . . . 1903 II 356. 358
Heuscheuergebirge, Alter d. ob. Quader . . . CBl 1904 *395*
Hexactinelliden
— Chemung-Bildungen, New York . . . . . 03 I 482
— Senon, ost- u. westpreuss. Diluvial-Geschiebe . . . . . 04 II 157
Hexaëdrit
— Capland . . . . . 01 II 36
— Iredell, Texas . . . 01 II 38
Hexaëdrit
— Murphy . . . . . 1901 II 38
— Tombigbee, Alabama 01 II 38
— siehe auch Meteoriten u. Meteoreisen.
Hexagonalsystem existiert nicht . . . . 01 II 336
Hexagonaria, Kreide, Rügen . . . . . CBl 1901 *469*
— Senongeschiebe . . . CBl 1901 *584*
— typica, poln. Mittelgebirge . . . . . BB XIII *358*
Hexagonocarpus rotundus, Kohlenbecken, Autun u. Epinac . . 02 II 168
Hexapoden, Phylogenie . 04 I 463
Hexaprotodon, Nordafrika 01 I 501
Hibbertia orbicularis, Obercarbon, Edinburg 01 I 510
Hicksia, Cambrium, Alemtejo, Portugal . . . 04 II 471
Hiddensöe, Diluvium . . BB XVI *84*
Highwoodos . . . . . CBl 1903 697
Hildesheim
— Geologie . . . . . 02 I *35*
— (Nettlingen), Alter d. Turon . . . . . CBl 1902 *305*
Hildoceras chrysanthemum, densicostatum und Inouyei, Jura, Japan 04 II 325
— Juliae, Rosso ammonitico . . . . . 01 I 468
— Lorioli?, micrasterias u. serotinum?, Medolo b. Brescia . . . . . 02 I 441
Hildoceratidae, englischer Unteroolith 1900 I 314 01 II 316
Himaerelites acuta, Kreide, Aquilaner Abruzzen. 04 I 98
Himalaya
— Brachiopoden u. Lamellibranchiaten der Trias . . . . . 03 I 169
— exotische Blöcke von Malla Johar . . . . 03 I 112
— Gletschererosion . . 04 I 374
— Muschelkalk, Gliederung . . . . . 03 I 122
— Otoceras beds . CBl 1901 *513. 655*
— Otoceras-Stufe . . . CBl 1901 *275*
— Verbreitung d. Juraform. am Nordabhang CBl 1904 *155*
Hindsia gendinganensis, tambacana, tjemoroensis, Tertiär, Java 1900 II 289
Hindukusch, Geol. (Devon) 03 I 291

Hintereisferner, Eisgeschwindigkeit etc. . 1901 I 390
Hinterhauptscondylus d. Säuger, Reptilien u. Amphibien . . . . . 03 I 145
Hipparion, Quartär, Algier 01 II 147
— gracile, Rumänien . 03 I 351
Hippocamelus (Furcifer) incognitus, Tarija-Thal, Argentinien . 04 I 290
Hippohyus, Gebiss . . . 02 II 468
Hippoidea . . . . . 01 II 300
Hipponyx carbasus, Priabona-Schichten . . . 04 I 283
Hippoporina, Pliocän, Puglie . . . . . 1900 II 157
— circumcincta u. Spilingae, Postpliocän, Spilinga . . . . . 1900 II 158
— integra, postpliocän, Calabrien . . . . . 1900 II 157
Hippopotamiden, Nord-Afrika . . . . . 01 I 500
Hippopotamus, Cypern . 04 II 143
— icosiensis, Nordafrika 01 I 501
— madagascariensis, Madagascar . . . . 04 II 142
Hippurites, Entwickelung u. Systematik . . . 03 II 451
— carinthiacus, Gosaukreide, Mittelkärnten 1900 II 286
— praepetrocoriensis, Angoumien . . . . 03 II 451
— styriacus, Kainacher Gosau . . . . . 04 I 120
Hirsche, Geweihbildung 03 II 423
Hirschgeweih in einem Leithakalk-Quader d. Doms in Pressburg . 03 I 348
Hisingeraster (= Asterias) antiqua . . . . 01 II 324
Hispanar . . . . . CBl 1903 697
Hitchcockit, chem. . 1901 I 358. 360
Hjelmit, Stripåsen, Westmanland, im Albitpegmatit . . . . . 04 I 391
Hochgern
— Crinoidenkalk . . . CBl 1901 *658*
— Lias u. Dogger . . . CBl 1901 *719*
Hochterrasse u. Steppenfauna, Tübingen . . 1900 I *143*
Hochterrassen, Schwaben 1900 II *157*
Hodkovičky, Böhmen, Diabas . . . . . 02 I 59
Hoeferia Noetlingi, Cambrium, östl. Saltrange 02 I 260
Höhenmessungen und -Aenderungen . 1900 II 211. 212
Höhenschotter, Schwaben BB XIV *132*
Höhenverzeichniss, Vereinigte Staaten . . . CBl 1900 159
Höhgau, vulcan. Auswurfsmassen . . . . 1901 II 224
Höhlen
— Altai, Sibirien u. Ural, mit quartären Säugethieren . . . . . 03 I 324
— Baoussé-Roussé bei Mentone, mit Knochen CBl 1904 121
— Capo Palinuro, Säugethiere u. Mensch . . 04 II 141
— Doveholes, Buxton (Derbyshire), m. plioc. Wirbelthierresten 1904 I 100 04 II 290
— Dürrloch b. Schweighausen, unweit Regensburg, quart. Fauna 01 I 479
— Eberhardt, Ultima Esperanza, Argentinien, Kunstproducte und Säugethiere . . 02 II 291
1903 II 282 04 I 121
— Gibraltar, Ostseite . CBl 1904 29
— Gough's bei Cheddar, Menschenreste . . . CBl 1904 313
— Indiana, Stagmaliten 02 II 398
— Karpathen, südl. . . 1900 I 379
— Karpina, Kroatien, m. palaeol. Menschen . 02 II 132
— Kennedy, Penns., Knochen u. Pflanzen 1902 II 140. 287
— Kesh, County Sligo, im Kohlenkalk, mit Knochen . . . . . 04 II 292
— Mähren . . . . . 04 II 442
— Montmaurin (Haute-Garonne) mit quart. Knochen 1904 II 291 CBl 1902 473
— Potter Creek, Shasta Co., Cal., m. Knochen 04 II 291
— Rübeland, Vogelfauna 04 I 137
— rumän. Karpathen . 1900 I 379
— Schwäb. Alb . . . . 03 II 284
— siehe auch Knochenhöhlen.
Höhleneis, in erzgeb. Eishöhlen . . . . . 1900 I 207
Höhlenmalereien, palaeolithische, Frankreich CBl 1902 87
Hörnesia . . . . . CBl 1902 *613*
— St. Cassian . . . . 02 II 488

Hörnesit, künstl. Nachbildung . . . . . 1904 II 187
Hoferia, St. Cassian . . 02 II 487
— compressa, Pachycardientuffe d. Seiser Alp . . . . . CBl 1900 *372*
Hohenberg b. Denkingen, Gerölle . . . . . CBl 1903 *597*
Hoher Berg, Ofleiden (Hessen), Dolerit . BB XVIII *475*
Hohle Sphärolithe, Yellowstone u. Grossbritannien . . 1903 I 53 CBl 1901 536
Hohofenschlacken, Constitution . . . . . 03 I 454
Hokkaidô, Japan, Ammoniten d. ob. Kreide 02 II 485
Holaster altus, Honiton 01 II 278
— Wilmingtonsand, England . . . . . 1900 I 317
— aptiensis, Aptien, Barcelona . . . . . 03 I 530
Holbak, Eruptivgesteine 01 I 63
Holcodiscus gemmatus, Quiriquina-Schichten, Chile . . . . . BB XVIII *187*
— Kiliani, franz. Voralpen 02 I 254
— Oosteri, unt. Kreide, Châtel Saint Denis . 04 I 146
— recurrens, südindische Kreide . . . . . 1900 I 444
Holcostephanus variegatus, franz. Voralpen 02 I 254
— Wilfridi, unt. Kreide, Biassala, Krym . . 03 II 406
Holectypus numismalis u. cfr. serialis, Kreide, Peru . . . . . BB XVII *261*
Holland
— Bohrungen . . . . . 01 II 452
— Brunnen m. Salzgehalt 01 II 454
— Diluvialgeschiebe . . 01 I 132
— Erd-, Brunnen-, Natur- oder Norton-Gase . . 01 II 84
— Quartär in Bohrlöchern 02 II 442
— — an versch. Stellen 04 II 456
— Sanduntersuchungen 01 I 136
— Schonen'sche Basalttypen im Diluvium . CBl 1904 *694*
Holocystis bukowinensis, Neocom, Bukowina . 04 II 150
Holoedrie . . . . . 01 II 330
Hologyra bicarinata, Muschelkalk, (Schwieberdingen) u. spec. (Waiblingen) . . . . . 02 I 143
Hologyra (?) progressa, rothe Kalke, Trias, Bakonywald . . . . 1902 II 305
Hololobus monoptychus, Werfener Schichten, Mué (Dalmatien) . . 03 II 445
Holoptychius monilifer, Oberdevon, Bäreninsel 02 II 304
Holorhynchus giganteus, Silur, Et. 5, Christiania . . . . . 02 I 111
Holotype . . . . . 1900 II 485
Holstein, balt. Höhenrücken . . . . . 04 II 449
Holyokeit, Mount Tom, Massachusetts . . . 04 II 404
Holz
— goldhaltig, Australien 1900 I 339
— verkieseltes, Entstehung . . . . . 03 I 97
— —, Nordamerika . . 1900 I 200
Holzapfel, Stolley, Entgegnung an H. . 1900 II *63*
Holzopal, Bildung . . . 03 I 97
Holzquarzit, Entstehung 03 I 97
Homacanthus acinaciformis und delicatulus. Carbon, Mississippithal . . . . . 04 I 142
Homacodontidae, Uinta-Eocän . . . . . 02 II 296
Homalodontotheriidae, Pyrotherium-Schichten, Argentinien . . 1900 II 302
Homalonotus armatus, crassicauda und gigas, Unterdevon zw. Marburg u. Herborn . . BB XVII *33*
— colossus u. quernus, devon. Bokkeveld beds, Südafrika . . . . . 04 II 323
— spinosissimus, Unterdevon, Singhofen . . 01 II 134
Homalophyllum, New York, Unterdevon . . . . 03 I 484
Homalostega multipunctata, ob. Kreide, lib. Wüste . . . . . 03 I 509
Homberg a. Efze, Hessen, Basalt . . . . . BB XVI *241*
Homberg a. Ohm, Basalt BB XVIII *460*
Homo acrogonus, alpinus, contractus, dinaricus, europaeus, hyperboraeus, meridionalis u. spelaeus, Pygmäen,

Rasse von Borreby u. Furfooz . . . . . CBl 1900 359
Homo siehe auch Mensch.
Homöotropie, erzwungene und spontane, plastischer, fliessender und flüssiger Krystalle . 1904 I 159
Homogene Deformation d. Quarzes u. Piezokrystallisation . . . CBl 1904 *181*
Homogene Medien . . . 03 I 178
Homogeneität
— Ableitung d. Krystallklassen . . . . . 03 II 160
— der Structur u. Symmetrie, mech. Ursache 1900 I 162
— u. Aetzung d. Krystalle 1900 II 3
— u. Krystallsymmetrie 02 I 331
Homoioptera gigantea, Commentry, Carbon . 04 I 310
Homolopsis depressa, Gault, England . . 1900 II 308
Homomya cuneata, Pereiros-Schichten, Jura, Portugal . . . . . 02 I 469
— gallatinensis, Jura, Yellowstone River National Park . . . 02 I 129
Honerdingen, Lüneburger Heide
— Diluvialflora . . . . 01 II 290
— Diluvialtorf . . . . BB XVI *35*
Honigstein, Thüringen, Polychroismus . . . 04 II 344
Hoosacschiefer, Unt. Silur, Massachusetts . . . 1900 II 87
Hoplites aesinensis, Bonarellii u. heterocosmus, Obertithon(?), Centralappennin . . . . . 1900 II 150
— ambiguus, austrosilesiacus, campylotoxus, Heheneggeri, hystricoides, Michaelis, paraplesius, perisphinctoides, scioptychus, teschenensis u. Zitteli, Teschener u. Grodischter Schichten, Schlesien 1902 II 147 03 II 297
— aptiensis, ob. Aptien, Maire b. Marseille . 01 I 469
— australis, molinensis, peregrinus u. vetustoides, Tithon, argent.-chilen. Cordillere . . 04 II 88
Hoplites consobrinoides, und subfissicostatus, Aptien, Saratow . . 1900 II 477
— Newcombi u. yakonnensis, Kreide, Königin Charlotte-Sund . . . 02 I 292
— cf. noricus, Chile, unt. Kreide . . . . . BB XVII *297*
— Paquieri und Sayni, Neocom, Frankreich 01 I 165
— pseudo-Malbosi, Renevieri und Retowskii, unt. Kreide, Châtel Saint Denis . . . . 04 I 146
— Rerollei, Berrias-Kalk, franz. Voralpen . . 02 I 251
— spiniger, Neocom, Norddeutschland . . 03 II 449
— tuberculatus, verkrüppelt . . . . . 01 I 163
— Vari var. praematura, Kreide, Tölz . . . . 02 I 117
— Wilfridi, unt. Kreide, Biassala, Krym . . 03 II 406
Hoplitides Brandesi und gibbosus, Neocom, Norddeutschland . . 03 II 448
Horb, Flussschotter des Neckars . . . . . 02 I *60*
Horiostomiden, Trias, Hallstatt . . . . . 02 I 145
Horizontalpendel
— als Seismograph . . 02 II 209
— dreifaches . . . . . 1900 I 370
— —, Beobachtungen in Triest . . . . . 03 I 222
— Theorie . . . . . 01 I 206
— Strassburg . . . . . 1900 I 370
Horizontalpendelbeobachtungen . . . . . 01 I 388
— Göttingen . . . . . 01 I 386
— Strassburg i. Elsass 1900 I 370 01 I 206
Horizontalpendelstation
— Hamburg . . . . . 01 I 207
1902 I 383 03 II 47
— Tokyo . . . . . 02 I 47
— siehe auch Erdbeben etc.
Hormotoma antiqua, dubia, Griffithi, Piperi und similis, Silur, England . . . . . 02 I 311
Hornblende
— geschmolzene, Löslichkeitsvermögen . . . CBl 1902 *200*
— im Kelyphit . . . . 01 I 20

Hornblende
— Neubildung durch Schmelzen . . . . . BB XVII *512*
— verwachsen mit Anthophyllit . . . . . BB XVI *413*
— — mit Augit 1904 I 164 BB XVI *420*
— — mit Biotit . . . BB XVI *419*
— — mit Bronzit . . . BB XVI *412*
— — mit Diallag, Bogoslowsk . . . . . 1900 I 343
— — mit Magneteisen BB XVI *367*
— — mit Serpentin . . BB XVI *414*
— Acherwiese, aus Augit, Fichtelgebirge . 1900 II 359
— Berkeley, San Pablo, Californien . . . . . 03 I 402
— Bogoslowsk'sches Bergrevier, mit Diallag verwachsen . . . . 1900 I 343
— Brusson, Piemont, im Grünschiefer . . . . CBl 1901 *305*
— Granatilla, Anal. . . CBl 1902 143
— Grönland . . . . . 1900 I 346
— —, im Nephelin-Syenit . . . . . 01 I 44
— Jablanica im Gabbro-Diorit . . . . . 04 II 24
— Lämmersbüchl b. Lanersbach, blaugrüne im Grünschiefer 1903 I 25 CBl 1902 441
— Nordamerika, in Quarz 01 I 33
— Old Hampshire Co., Mass. . . . . 01 I 34
— Pe-Thal in Steiermark, pseudom. nach Granat . . . . . 1900 I 18
— Rhätikon, östl., gestaucht . . . . . 1900 I *122*
— Rosenegg (Hohentwiel), im Opaltuff . 1900 I 22
— Salzkammergut, im Glaukophangestein, Dichroismus . . . . 01 I 62
— St. Christopher-Insel, Westindien . . . . 04 I 356
— Traversella, pseudom. nach Augit (Traversellit) . . . . . 04 I 164
— Zampach bei Eule, Böhmen, im Granit, chemisch . . . . . 04 I 49
— siehe auch Amphibol, Strahlstein, Tremolit etc.

Hornblendeandesit
— Hague Vulcan, Alaska, graph. Darstellung d. Zusammensetzung 1900 I *104. 106*
— Tupungato u. Aconcaguaspitze, blitzgeschmolzen . . . . . 1901 I 413
Hornblende-Hypersthen-Andesit, Ulu Rawas, Süd-Sumatra . . . BB XVIII *432*
— siehe auch Andesit u. Amphibolandesit.
Hornblendebasalt, Ahmed Aga, Sudan . . . . 02 II 57
— siehe auch Basalt etc.
Hornblendefels, Gablenz b. Stolberg, Sachsen 04 I 40
Hornblendegestein
— Bovey Tracey, Devonshire . . . . . BB XIII *102*
— Halire-Wald bei Eule, Böhmen, porphyrisch. 04 I 49
Hornblendegranit, Dent Blanche-Massiv, Wallis 01 I *87*
Hornblendekersantit, Co. Down, mit blauem Amphibol . . . . . 01 II 390
Hornblendemelaphyr, Monzoni . . . . . CBl 1903 *499*
Hornblendeporphyrit, Wood Point Dyke, Victoria, Australien . . . . . 04 II 59
Hornblendeschiefer
— Bergen, Norwegen . 04 I 393
— Columbia . . . . . 03 II 203
— Griechenland, nördl., u. türk. Grenzländer BB XVIII *42*
— Oberpfalz . . . . . CBl 1904 *590*
— Socotra . . . . . 01 II 263
Hornblendesyenit, Biella, graph. Darstellung d. Zusammensetzung . 1900 I *111*
Hornblendetypus der Aetzfiguren . . . . . 1900 II 337
Hornblendezoisitschiefer, östl. Rhätikon . . . 1900 I 120
Hornblendit
— Ariège-Département. 02 I 70
— Pyrenäen, Glimmer-, Analyse . . . . . 01 II 233
— siehe auch Amphibolit, Amphibolgranit etc.
Hornfels
— Columbia . . . . . 03 II 207
— Iser- u. Riesengebirge, am Granit . . . . . BB XV *184*

Hornfels
— Orteler Alpen, am Pegmatit . . . . . 1904 II 209
— Predazzo, Granat- . CBl 1904 *661*
Hornfels-Chiastolith-Seebenit, Ost-Bokhara 01 I 74
Hornfelsgneiss, Schwarzwald . . . . . 01 I 58
— siehe auch Contactmetamorphose etc.
Hornschwämme, diatomeenführend, Lias . 1900 I 150
Hornsilber . . . . . CBl 1902 186
— siehe auch Cerargyrit.
Hornstein, Nordgriechenland u. türk. Grenzländer . . . . . BB XVIII *48*
Howlit, Californien . . CBl 1903 *334*
Huamual, Molukken, Geologie . . . . . CBl 1902 *1*
Hudsonaster (= Palasterina) rugosa . . . . 04 II 324
Hudsonit ist Amphibol . 04 II 23
Hudsonriver beds, Silur, Albany . . . . . 01 II 434
Hudsonriver-Formation m. Dictyonema flabelliformis, New York . 04 II 96
Hudsonsbay-Länder, Geologie . . . . . 01 I 267
Hudsonstrasse, Geologie 04 I 419
Hübnerit
— Mol.-Vol. vergl. mit Brookit u. Tantalit 04 I 5
— Adervielle, Pyränen . 02 I 191
— Arizona . . . . . 1900 I 195
— Cape Breton, Neuschottland . . . . . 02 I 353
— Dragoon Mts., Arizona . . . . . CBl 1902 245
— Silverton Quadrangle, Colorado . . . . . 03 II 344
Huelva, Kieslagerstätten 04 I 399
Hüttenproducte, krystallisierte Beraun . 04 II 11
Hufthiere, Entwickelung 02 I 472
Hughmilleria socialis u. robustus, Silur, Erie-Kanal . . . . . 04 II 98
Humboldt, A. von, Biographie . . . . . CBl 1900 296
Humboldt-Bai, Neu-Guinea, Gesteine . . . . . CBl 1901 *646*
Humboldtilith, Vesuv . . 1900 II 18
Humit, verwachsen mit Klinohumit . . . . BB XVI *409*
Humit, verwachsen mit Olivin . . . . . BB XVI *408*
Humose Substanz der Thone und Mergel . 1904 I 379
Hunde
— prähistorische, Beziehung zu lebenden 03 II 421
— Pliocän u. Quartär, Great Valley, Calif. 04 II 469
— Vindonissa u. Siggenthal 03 I 148
Hungarites Arthaberi, Muschelkalk, südl. Bakony . . . . . 03 I 124
Hunyad-Comitat, Geol. . 03 II 243
Huron
— French River . . . . 01 I 269
— Michigan . . . . . 01 II 412
— Ontario, östliches . . 1900 II 429
Hussakit
— Vorkommen im Granit 03 II 178
— Diamantina, Brasilien 02 II 199
Hutbildung in Kalisalzlagern . . . . . 04 I 333
Hutmineralien, Silverton Quadrangle, Colorado 03 II 344
Hyaena, quartär, Algier 01 II 147
— gigantea, Tertiär, China . . . . . CBl 1902 *531*
— spelaea, Löss, Sossenheim b. Höchst . . . 02 I 302
Hyaenarctos od. Ursus od. Ursavus . . . . . CBl 1900 *261*
Hyaenocyon, Tertiär, Nordamerika . . . . 02 I 137
Hyaenodon, Gebiss . . . 03 I 141
— syst. Stellung . . . 03 II 433
— minutus, White River beds, Montana . . . 03 II 425
— montanus, White River beds, Montana . . . 03 II 426
Hyaenodontidae, syst. Stellung . . . . . 03 II 433
— Eocän, Marsh Collection . . . . . 1904 I 452. 457
Hyaenognathus dubius u. pachyodon, Great Valley, Cal. . . . . 04 II 470
Hyalaea angusticostata, Pliocän, Egypten . . 02 II 107
Hyaliuia (Gyralina) Roemeri, tertiärer Landschneckenmergel, Oppeln . . . . . 03 I 540
— (Polita) miocaenica, tert. Landschneckenmergel, Oppeln . . . 03 I 540

Hyalinia (Vitrea) procrystallina, tertiärer Landschneckenmergel, Oppeln . . . . . 1903 I 540
Hyalith
— Waltsch, Dampfdruck 1900 I 335
— ciminische Vulcane . 1900 II 364
Hyalophan
— Binnenthal, kryst. u. optisch . 1904 I 348 CBl 1901 761
— —, Zwillinge . . . CBl 1904 57
Hyaloplasmatische Lava von Chrety, Kasbek 02 II 390
Hyattia, Hyattina, Unteroolith, England . . . 01 II 317
Hyattites, Hallstätter Kalk 03 I 317
Hybodus . . . . . 1900 II 470
— systemat. Stellung . 04 I 304
— Fraasi u. Hauffianus 04 I 304
— Hauffi, Tübinger Sammlung . . . . . CBl 1904 *684*
Hydatica prostrata, Kohlenform., Frankreich 03 II 154
Hydnophoropsis thecalis, Cenoman, Ammergebirge . . . . . 01 I 261
Hydractinia (Kerunia) cornuta, Eocän, Egypten . . . . . CBl 1902 *47*
Hydractinien, eocäne . . CBl 1902 *137*
Hydrargillit
— Brasilien, Pseudom. von Limonit nach H. 01 II 7
— Klein-Tresny, Mähren 01 II 203
— Palni-Berge, Süd-Indien . . 1903 I 381 CBl 1902 *176*
— siehe auch Laterit u. Bauxit, Gibbsit etc.
Hydrate, kryst., Dampfspannung, m. Zusammensetzung veränderl. 1900 I 334
Hydroancylus (Flyschfucoiden) . . . . . 1900 I 156
Hydrobia Barroisi u. Cossmanni, Tertiär, Cuvilly (Oise) . . . . . 01 I 125
— sopronensis, sarmat. Stufe, Oedenburger Comitat . . . . . 01 I 475
— (Belgrandia) Dedieri, ob. Mioc., Cucuron, Vaucluse . . . . . 02 I 130
Hydroboracit, Vorkommen in Kalisalzlagern 04 I 336
Hydrocerussit, Långbanshyttan . . . . . 02 I 360
Hydrochoerus tarijensis, Tarija-Thal, Argentinien . . . . . 1904 I 290
Hydrocinchonin-Sulfat, Circularpolarisation . 02 I 2
Hydrodolomit, Jenny Jump Mountain, New Jersey 02 I 360
Hydrogoethit
— Centralrussland, im Eisenerz . . . . . 01 II 407
— Russland . . . . . 02 II 346
Hydrohämatit
— Entstehung . . . . 02 II 345
— Rovečin, Mähren . . 1900 I 25
— Uspenskij-Grube, südl. Ural . . . . . 01 II 178
Hydrologie der Seen . . 02 I 202
Hydromagnesit
— Emarese im Aostathal . . . 1904 I 168 CBl 1903 *661*
— Hoboken, N. J. . . . 02 I *364*
— Mähren . . . . . CBl 1904 *353*
Hydromica, chemisch . . 1900 II 198
Hydrophan, Mikrostructur 01 II 175
Hydrophilit, Salpetergebiet, Chile . . . . . 01 I 364
Hydrophlogopit, Ceylon, in Dolomit . . . . . 02 I 192
Hydrophosphate, Diamantsande, Brasilien . . 1900 II 36
Hydrotroilit, Limanabsätze, Russland . . 02 II 397
Hydroxyl, isomorph vertreten durch Fluor . 02 I 4
Hydrozinkit, Malfidano, Sardinien . . . . . 01 I 363
Hylobates, Femur . . . 01 II 142
Hylotrop-isomere Körperformen . . . . . 01 I 4
Hyolithus, Unterdevon zw. Marburg u. Herborn . . . . . BB XVII *49*
Hyopsodontidae, Eocän, Amerika . . . . . 04 I 291
Hyopsodus latiumens, Marshi, uintensis u. Wortmani, Eocän, America . . . . . 04 I 291
Hyotherium Sömmeringi u. simorrense, Gebiss 02 II 467
Hypautomorphe Structur d. Eruptivgesteine . CBl 1903 689
Hyperacanthus, Trias, Hallstatt . . . . . 02 I 144
Hyperitdiorit = schwarzer Granit, Schweden . . CBl 1901 347

Hyperodapedon, Elginsandstein . . . . . CBl 1901 *263*
— Gordoni, Elgin, Trias 1904 I 138
— —, Schädel . . . . 01 II 475
Hypersthen
— verwachsen mit ? Titaneisen . . . . . BB XVI *384*
— St. Christopher-Insel, Westindien . . . . 04 I 356
Hypersthenandesit
— Insel Alboran . . . 01 I 69
— Kaukasus u. Armenien 1900 I 230
— Sta. Maria (Guatemala), Erupt. Okt. 1902 CBl 1903 *112*
siehe auch Asche.
— Ulu Rawas, Süd-Borneo . . . . . BB X VIII *432*
Hypersthenandesittuffe, Mexico . . . . . 1900 II 233
Hypersthen-Augitandesit-Asche auf Barbados von St. Vincent . . 04 I 223
Hypersthengabbro, Kullenvorgeb., Schweden 1900 I 222
Hypersthengranit u.-Syenit, Michailowka, Podolien, mit Magneteisen . . . . . 02 II 397
Hypersthen-Plagioklasbasalt, Puebla, Mex. . 1900 II 230
Hypertragulidae
— Revision . . . . . 04 II 141
— Tert., N.O.-Colorado . 04 I 133
Hypertragulus, White River beds, Nordamerika . . 1902 II 293 04 II 142
Hypisodus, White River, Nord-Amerika . . . 02 II 292
Hypisodus-Schädel, White River beds, Col. . . 04 II 141
Hypobasite . . . . . CBl 1900 184
Hypohexagonaler Typus (Beryll) . . . . . 03 II 2
Hypoparia (Trilobiten) . 1900 I 133
Hypopotamus, Tertiär, Russland . . . . . 03 II 289
Hypospatagus hispaniae, Eocän, Barcelona . . 03 I 530
Hypostom-Augen d. Trilobiten . . . . . 04 II 149
Hyposyngonie . . . . . 1900 II 2
Hypotaxitische Erzlagerstätten . . . . . 02 II 76
Hypotemnodon, Tertiär, Nordamerika . . . . 02 I 135
Hypsilophodon . . . . . 03 I 155
Hypsocormus Combesi, Kimmeridge, Fumel (Lot-et-Garonne) . . 1904 I 282
Hypsospatangus japonicus, Kreide, Japan . 03 II 454
Hyracodon, Osteologie . 1900 II 460
Hyracoidea, Pyrotherium-Schichten, Argentinien 1900 II 299
Hyracotheridae, Revision d. europ. Arten . . 03 I 351
Hyracotherium . . . . 03 I 351
Hyrax = Leptodon, Samos 1900 I *67*
Hyrax, Pliocän, Samos u. Griechenland . . CBl 1901 26
Hysterium colpomaeforme, böhm. Mittelgebirge . 1900 II 329
Hysterolenus Törnquisti Dictyograptusschiefer, Sandby, Schweden . 1900 II 307
Hystricomorpha, Pyrotherium-Schichten, Argentinien . . . . . 1900 II 304
Hystrix, diluv., Ratonneau-Insel b. Marseille 01 I 497
— etrusca, Lignit von Ghivizzano, ob. Arnothal . . . . . 02 II 463

I.

Iberger Kalk, Grund im Harz, Trilobiten . . 04 II 323
Iberische Halbinsel, Mineralien . . . . . CBl 1902 662
Ichnium, Rothliegendes . 02 I 308
Ichthyodectes minor, Turon, England . . . 04 II 322
Ichthyosauren mit Haut, Tübinger Sammlung CBl 1904 *684*
Ichthyosaurier
— Osteologie . . . . . 03 II 441
— ob. weisser Jura . . 01 II 476
Ichthyosaurus, Abgrenzg. 01 II 476
— ob. Lias, Dobbertin, Mecklenburg . . . . 1900 I *63*
— bambergensis, ob. Lias, Gaisfeld . . . . . 01 II 314
— ingens, Frittlingen . CBl 1904 *683*
Icochilus . . . . . 1900 II 458
— endiadys, Tertiär, Rio Negro u. Neuquen . 02 I 304
Icticyon, Miocän, Colorado 1902 I 137 04 I 295
Ictops acutidens u. Thomsoni, Titanotherium-Schicht, Montana . . 04 II 460

Ictops austidens, White River beds, Montana 1903 II 425
— bullatus, Tertiär, Nordamerika . . . . . 01 II 139
Idaho, Gold- u. Silbererzgänge von Silver City . . . . . 03 I 450
Iddingsit
— Hessen, im Basalt . BB XVI 241
— Hodkovičky, Böhmen, im Diabas . . . . . 02 I 60
— Monzoni, im Melaphyr CBl 1901 *678*
— Rhön (schwarze Berge) im Nephelinbasalt . 04 II 205
— Taiwan-Inseln, im Basalt . . . . . 02 I 413
Idicethal, tortonianische Mollusken . . . . . 1900 II 440
Idiogenite Erzlagerstätten 03 II 87
Idmonea brutia u. Seguenzai, Neogen, Calabrien 02 II 310
Idokras, siehe Vesuvian.
Idria
— Basisschichten d. Cassianer Kalke, Cephalopoden . . . . . 01 II *28*
— Geologie . . . . . 01 II 123
Iffinger-Masse, Meran, Contact . . . . . 1900 II 391
Ightham (Kent), Wirbelthiere . . . . . 03 I 564
Iglesias, Congians-Grube, Flussspath . . . . . 1900 I 6
Iguanodon?, Oxford Clay, Fletton . . . . . CBl 1901 *715*
Ijolith, Iiwara, graph. Darstellung der Zusammensetzung . . . 1900 I *111*
Ijolithmassiv, Kuusamo, Finnland . . . . . 01 II 237
Ijolithporphyr, syst. Stellg. 03 II 357
Ilarionia Yoshiwarai, Kreide, Japan . . . . . 03 II 454
Ilex Sturdzai, Miocän, Rumänien . . . . . 1900 II 490
Ilfeld, Flora des Rothliegenden . . . CBl 1901 *417. 590*
Illaenus polonicus, poln. Mittelgebirge . . . . BB XI *363*
Illinois, terrestr. Arthropoden d. Carbon . . 04 I 311
Ilm, alter Lauf 1903 II 267 04 II 124
Ilmengebirge
— Graphitconcretionen, kugelige, im Granit. 02 II 333
— Mineralien u. Gesteine CBl 1901 727
Ilmengebirge
— Mineralien, Miask 1901 I 361 1901 II 205
— Natronpyroxenführende Gesteine . . . . . 03 II 368
— siehe auch Miask.
Ilmenit
— Löslichkeit in HF . CBl 1902 *648*
— magnet. Influenz . . BB XIX *419*
— Magneteisen u. Rutil, pseudom. nach I. . . 03 I 182
— Brasilien, verwachsen mit Magneteisen . . 04 I *94*
— Comba di Compare Robert . . . . . 01 II 204
— Prägraten . . . . . 04 I 15
— südafrik. Diamantlag. 1900 I 1
— siehe auch Titaneisen.
Ilmenitsand, Raritanfluss, New Jersey . . . . 02 I 361
Ilmenos . . . . . CBl 1903 697
Ilsede u. Braunschweig, Mollusken d. Untersenon . . . . . 02 I 127
Ilvait, siehe Lievrit.
Immendingen—Ulm, älteste Donauschotter . . . BB XIX *1*
Immersionsmethode bei der Bestimmung von Brechungscoëff. . . . 02 I 348
Imola
— Congerienschichten . 1900 II 440
— Subapennin . . . . 1900 I 448
Inactive, durchsichtige Krystalle, Brechung d. Lichts an Zwillingsebenen einaxiger . . BB XX *1*
— — Krystallplatten, Reflexion u. Brechung d. Lichts . . . . . BB XX *1. 159*
Inclination u. Declination in geolog. Vorzeit . 02 II 370
Indiana
— Dislocationen d. Kohlenfelder . . . . . 1900 II 43
— Höhlen, Stagmaliten 02 II 398
Indicatoren, Scala für Brechungsexponenten CBl 1904 *14*
Indices, rationale u. flüssige Krystalle . . . 02 II 1
Indien
— artesische Brunnen . 02 II 417
— Erdbeben 12. Juni 1897 1900 II 376 1901 II 372 CBl 1901 *482*
— Glimmerlagerstätten 03 I 27
— Goldfelder . . . . . CBl 1902 311

Indien
— Kreidecephalopoden aus dem südlichen . 1900 I 441
— Medlicottia u. Episageceras in Perm u. Trias BB XIX *334*
— Otoceras beds 1900 I *139* CBl 1900 *217*
— siehe auch Saltrange.
Indium, Krystallform . 04 II 168
Indonautilus Kraffẗi, Himalaya, ob. Trias . 03 I 313
Indrodon malaris, Eocän, Amerika . . . . . 04 I 294
Inesit
— Cayetano Mine, Durango, Mexico . . . 01 I 364
— Långbanshyttan . . 02 I 359
Infiernillos, Chinameca . 1900 I 41
Inflataster Abichi, Senon, Kaukasus . . . . . 01 I 471
Influenz, magnetische, in Krystallen . . . . . BB XIX *377*
Infracretaceum
— Algier und Tunis . . 02 II 115
— Lombardei . . . . . 01 I 142
Infralias
— Frankreich, Seeigel . 02 I 150
— Portugal . . . . . 04 II 112
— Spanien . . . . . 1900 II 114
— Vendée . . . . . CBl 1902 284
— — u. Deux-Sèvres 1904 II 114. 429
Infratongrien, Plan d'Orgon 01 II 446
Infravalanginien, Portugal 02 I 275
Infusorienlager, Bezirk Achaltisch, Gouv. Tiflis 01 II 69
Inguaran, Mexico, Kupfererze . . . . . 01 I 87
Injicirte Schiefer, Oberpfalz . . . . . CBl 1904 *588*
Inlandeis
— Deformation d. Erde durch die Last des 1900 II 208 01 I 383
— arktisches Gebiet . . 02 I 386
— Grafschaft Glatz . . CBl 1900 *281*
— Grönland, Structur . 1900 II *80*
— —, —, u. Theorie d. Gletscherbewegung . 1900 I *71*
— Norddeutschland, Bewegungsrichtung d. diluvialen . . . . . 01 II 131
— pommersches Küstengebiet, Stillstand des letzten . . . . . 1900 II 443
Inoceramenschichten v. Gorlice, Foraminiferenfauna 03 II 152
Inoceramus acuteplicatus, Kreide, Yellowstone National Park . . . 1902 I 129
— Böhmi, Haenleini u. Schröderi, Untersenon, Ilsede u. Braunschweig 02 I 127
— concentricus, pennatus, platinus, subconvexus, subtriangulatus u. truncatus, Niobraragruppe, Kansas 01 II 298
— globosus, labiatus var. carpathica u. var. regularis u. transsilvanicus, ob. Kreide, Urmös, Siebenbürgen 01 I 469
— Laubei, Ellgother Schichten, Beskiden- 03 II 262
— Schmidti, Kreide, Sachalin . . . . . 01 II 299
Insecten, Phylogenie . . 04 I 463
Insectivoren
— Entwickelung d. Zahnsystems . . . . . 01 I 299
— La Grive St. Alban, Isère, Miocän . . . 01 I 149
Insel, entstanden und wiederverschwunden, Walfischbai . . . . 03 II 50
Inselbildung u. Seenverwachsung, Livland . 1900 I 456
Inseln
— unter dem Winde, Geologie . . . . . 03 II 256
— vulcanische, geolog. Beobachtungen . . . 01 I 48
Insterburg, Diluvium . . BB XVI *51*
Instrumente, optische d. Firma Fuess . . . . 01 I 216
Intensitätsscala f. Erdbebenstösse, Modification . . . . . 03 II 346
Interatheriidae . . . . 1900 II 457
Interferenzerscheinungen an doppelbrechenden Krystallplatten in convergentem Licht, Photographien . . . CBl 1904 472
Interferenzkreuz zweiaxiger Krystalle, Construction . . . . . CBl 1900 *267*
Interglacial
— Benkendorf im Mansfeld'schen, Kies mit Brackwasserorganismen CBl 1902 *107*

Interglacial
— Gross-Britannien . . 1900 II 447
— Mosbach, Fauna . . 1900 II *56*
— Norddeutschland . . BB XVI *1*
— Ostpreussen, mit marinen Conchylien . . 01 I 258
— Süssenborn b. Weimar, Kieslager . . . . . 02 II 125
— Sylt . . . . . 02 I 124
— Toronto, Canada . . 04 II 44
— Westpreussen . . . 02 I 124
— siehe auch Glacial, Quartär etc.
Interglaciale Torflager
— Tesperhudt a. Elbe . 01 II 286
— und Pflanzenablagerungen, Norddeutschl. 01 I 289
Interglacialer Travertin, Thüringen . 1903 II 115. 116. 277
Interglacialschichten, Wallensen (Hilsmulde) 04 II 455
Intermittirende Quellen, Intensitätsmessung . 03 II 393
Intrusionen, Mechanik der 04 II 64
Intrusivgesteine
— tuffähnliche, Ireland 03 I 75
— Keweenawan-Formation, Michigan . . . 01 II 412
Intumescens-Fauna, Nord-Amerika . . . . . 1900 I 131
Iowa
— artes. Brunnen . . . 1900 I 47
— Intumescens-(Naples-) Fauna . . . . . 1900 I 131
— Pb- u. Zn-Erze . . 1900 I 414
Iporanga, Brasilien, Karsterscheinungen . . . 01 I 392
Iquique, Meteoreisen . . 1900 I 353
Ireland
— älteste geol. Karte . 1900 I 85
— carbon. Orthoceratidae 01 I 511
— Eskers, Verbreitung. 1900 II 446
— Intrusivgesteine, tuffähnliche . . . . . 03 I 75
— Mineralien . . . . . 04 II 33
— Silur d. Clogher Head-District . 1903 I 504 CBl 1902 315
Iridium
— in Goldseifen, Jenissei'sche Taiga . . . 01 II 174
— und Platin in Meteoriten . . . . . 1900 II 199
Iridosmin in Goldseifen, Jenissei'sche Taiga . 01 II 174
Irrawaddi-Series, Miocän, Birma . . . . . 02 II 122
Irschen, Oberkärnten, Erzlagerstätten . . . 1901 I 248
Isastraea serpentina, Sturia-Kalk, Recoaro u. Schio . . . . . 1900 II 433
Ischyodus aalensis, braun. Jura β, Schwaben . BB XIV *540*
— Dolloi, Landénien, Belgien . . . . . 03 II 443
Ischyromis veterior, Titanotherium-Schicht, Montana . . . . . 04 II 461
Iseogebiet, Unterschiebungen etc. . . . . CBl 1901 *311*
Iseosee
— Geologie . . . . . 02 II 255
— geolog. Aufnahme . CBl 1903 *264*
— Grotte von Tavernola 03 I 133
— Tiefe und quartäre Glacialbildungen . . 1900 I 127
Iseoseebecken, Entstehg. CBl 1902 *323*
Isère-Thal, Tektonik . . CBl 1902 215
Isergebirge, Granitgest. BB XV *116*
Ishawooa intrusives, Absaroka Range, Wyom. 01 I 236
Isium-District, Russland, Geologie 1902 II 105 03 II 244
Island
— glaciale Palagonitformation . . . . . 01 II 291
— gegen Jan Mayen, Seichtwasserthiere in grosser Tiefe . . . 02 II 318
Isle Royale, Michigan, Geologie . . . . . 1900 II 224
Isocardia calabra, Zone des Lioc. opalinum, Rossano in Calabrien 1900 II 453
— Heintzeli, Senon, Lüneburg . . . . . 03 II 274
— Lovisatoi, Bath-Stufe, Sardinien . . . . . 04 II 285
— subtenera, ob. Jura, Deutsch-Ostafrika . 01 II 295
— Tatei, Kreide, Südaustralien . . . . . 04 I 119
Isocardia-Thon, Christiania 02 II 454
Isocyprina percrassa, porrecta, praerupta und scapha, Pereiros-Schichten, Lias, Portugal . . . . . 02 I 469
— pulla, Infralias. Vendée 04 II 430
Isodectes, syst. Stellung 04 I 140
Isodimorphie, Begriff. . BB XIII *454*
— siehe auch Mischkrystalle.

Isomerie
— physikalische u. chemische, am Schwefel 1901 I 4
— physikalische, am Zinn 01 I 4
Isomorphe Fortwachsung
— Epidot u. Zoisit . . BB XVI *415*
— Kalkspath u. Dolomit, Natronsalpeter auf Kalkspath u. Dolomit BB XVI *374*
— Orthoklas u. Plagioklas . . . . . BB XVI *429*
Isomorphe Krystalle
— Flächenbezeichnung . 04 I 322
— opt. Eigenschaften . 03 I 363
Isomorphe Mischkrystalle
— Beziehung zu Doppelsalzen . . . . . BB XVIII *377*
— Bildung durch Sublimation . . . . . 03 II 5
— Unterschied v. Doppelsalzen . . . . . CBl 1904 *641*
Isomorphe Salzpaare, Doppelsalze . . . . CBl 1904 *513*
Isomorphe Substanzen, Beziehungen zu eutropischen . . . . . 03 I *135*
Isomorphe Vertretung v. Halogen u. Hydroxyl 02 I 4
Isomorphie
— Alkalihaloide . . . BB XVIII *117*
— Bildung von Mischkrystallen durch thermochem. u. thermodynam. Methoden . . . . . BB XIII *434*
— Dampfspannung der Salze isom. Mischkryst. v. Salzhydraten 02 II 176
— Löslichkeit hydratirter Mischkrystalle . 02 I 337
— Salze des Bi u. der seltenen Erden . . . 02 II 176
— Studien . . . . . 02 II *43*
— Theorie . . . . . 1900 I 330
Isotektische Magmen . . CBl 1900 187
Isotelus(?) Stacyi, balt. Silur 03 I 339
Isotemnidae, Pyrotherium-Schichten, Argent. . 1900 II 302
Isotemnus primitivus u. conspicuus, Pyrotherium-Schichten, Argentinien . . . . . 1900 II 303
Ispatinows, Glacialbildungen, Canada . . 1900 I 259
Istein, Baden, Alter u. Fauna der prähist. Station . . . . . 04 II 289
Isthmus von Panama, Geologie . . . . . 1902 II 430
Istrien
— Erdbeben 1897 . . . 1900 I 373
— — 1898 . . . . . 01 I 209
Itabirit. Jarmeritz, Mähren 02 II 422
Itacolumit, accessorische Bestandtheile . . . . 1900 I 207
Italar . . . . . CBl 1903 697
Italien
— Abruzzen u. Terra di Lavoro, geol. Aufnahmen und Karten 1900 I 253
— Erdbebenkatalog . . 01 I 215
— Geologie und phys. Geographie . . . . CBl 1904 407
— geol.-agron. Kartirung 01 II 89
— Mittelmeer-Eisenbahngebiet. Geologie . . 04 I 260
— Tertiär 1902 I 119 ff. 02 II 438
— tertiäre Bryozoen . . 1900 II 157
— Vulcanlinien v. Unter- 01 I 224
Itieria actaeonelliformis, crenulata u. cfr. polymorpha, Kreide, Aquilaner Abruzzen . . . 04 I 98
Ivigsarkut, Grönland, eisenführ. Gesteine . 03 I 184
Ivigtut, Grönland, Kryolithgrube . . . . . 1900 I 351
Izalco
— (Salvador), Eruption 1902 . . 1904 I *55* CBl 1903 *103*
— im Jahre 1904 . . . CBl 1904 *449*
— Lava v. 1902 (Feldspathbasalt) . . . . CBl 1903 *129*

J.

Jabalpur, Geologie . . . 02 I 430
Jablonowyj-Gebirgszug, Transbaikalien . . . 01 II 110
Jacksonit, optisch . . . 1900 II 29
Jadeit
— Dispersion 1903 I 382 04 II 23
— Pfahlbauten u. Rohmaterial . . BB XVI *166. 20. 133*
— Apennin, ligurischer 02 I 408
— Birma . . . . . 1900 I 341
— Cassine (Acqui) . . . 02 II 26
— Guatemala, prähist. Artefacte . . . . . CBl 1904 *65*
— Neu-Guinea . . . . 04 I 172
— Oropa b. Biella (Piemont) 02 II 25
— Riparo sotto Roccia, Val di Susa, Artefacte 03 I 25

Jadeit
— Val di Susa, Piemont . . . . . 1900 I 341
— Vayes, Val di Susa, Steinwerkzeuge . . . 03 II 370
— siehe auch Chloromelanit.
Jadeitbeile
— Mondsee (Oberösterr.) u. Zalelapáthi (Plattensee). Analysen . . . 02 I 351
— Niederrhein . . . . 1900 II 19
Jaekelaster petaliformis, palaeozoisch . . . . 01 II 324
Jakobsit im Contactkalk, Debarštica, Bulgarien 01 II 363
Jamaica, Geologie . . . 1900 I 260
Jamesonit
— Beziehung z. Plagionit u. Semseyit . . . . 01 I 185
— Altendorf b. Liebau, Mähren . . . . . CBl 1904 *353*
— Jenny Jump Mountain, New Jersey . . . . 02 I 361
Jamesville-See, New York, Topographie u. Entstehung . . . . . 01 I 296
Janassa maxima u. unguicula, Perm, Kansas u. Nebraska . . 04 I 141
Janeiros . . . . . CBl 1903 697
Janira, Stammesgeschichte 02 I 317
— concava u. Schweinfurti. Miocän, Egypten 02 I 428
Jan Mayen gegen Island, Seichtwasserthiere in grosser Meerestiefe . 02 II 318
Japan
— Ammoniten d. oberen Kreide, Hokkaido . . 02 II 485
— Erdbeben . . . . . 1900 I 205
— — (Hokkaido, 22. März 1894; Mino Owari, 29. Okt. 1891; Tokyo, 20. Juni 1894; Beobachtungen der Erdbebenwarte zu Tokyo etc.) . . . . . 1902 I 47 ff.
— Erdbebenmessungen u. -Katalog . . . 1901 I 388, 389
— Geologie . . . . . 03 II 252
— mesozoische Fische . 03 II 295
— Mineralien . . . . . 1900 II 40
— Vulcane . . . . . 02 I 49
Jarmeritz, Mähren, Geologie . . . . . 02 II 421
Jarosit
— Isomorphismus . . . CBl 1901 507
— Pasek b. Pisek . . . 1901 II 203
— Sichotin, Mähren . . 04 II 32
Jarosit-Alunit-Gruppe . 03 II 183
Jaspis
— Anglesey, Entstehung 04 I 219
— Griechenland, nördl. u. türk. Grenzländer BB XVIII *48*
— Nordamerika 1901 I 33 03 II 41
— —, Edelsteine, Vorkommen . . . . . CBl 1902 404
Jatulische Formation, archäisch, Finnland . 01 II 64
— Schiefer, Finnland . 03 II 74
Java
— Geologie . . . . . 1900 I 261
— Lavarinnen a. Guntur 04 II *114*
— Tertiär, Eintheilung 02 I 121
— —, Mollusken . . . 1900 II 288
Jeffersonit
— zersetzt durch H_2S-Gas . . . . . 01 I 172
— Franklin Furnace, Analyse . . . . . 01 I 34
Jemisch Listai, Ultima Esperanza-Höhle, Patagonien . . . . . 01 II 313
— siehe auch Glossotherium, Grypotherium und Höhlen.
Jemtland, Central-, Eissee 1900 I 454
Jenikale, Schlammvulcane . . . . . 01 II 209
Jenissei, Variolit . . . 1900 I 387
Jenissei'sche Taiga, Diamanten . . . . . 01 II 169
Jernpynten (Grönland), eisenführ. Gesteine . 03 I 184
Jersey, Gesteine d. Südost- u. Nordküste . . 01 I 409
Jeschkengebirge, Klüftigkeit . . . . . 02 II 213
Jet, Nordamerika, Vorkommen, Edelstein . CBl 1902 407
Jiu-Thal, Rumänien, Geol. 01 I 101
Jod
— Bestandtheil v. kryst. Gesteinen . . . . . 02 II 376
— in Kupfererzen, Neu-Süd-Wales . . . . . 1900 II 41
— Vesuv, Fumarolenproduct . . . . . 1900 I 52
Jodate v. Ba u. Sr, Kryst., Darstellung . . . . 04 II 195

Jodcaesium, Kryst., eutrop. Beziehungen u. phys. Eigenschaften BB XVIII *121 ff.*
Jodembolit . . . . . CBl 1902 186
Jodkalium
— Kryst., eutrop. Beziehungen u. physikalische Eigenschaften BB XVIII *121 ff.*
— verwachsen m. Glimmer (Muscovit und Biotit) CBl 1902 *355* BB XVI *368*
Jodobromit . . . . . 1903 I 373
Jodquecksilber
— rotes, Krystalle . . CBl 1902 *365*
— Broken Hill . . . . 02 II 32
Jodquelle, Tölz . . . . 03 II 395
Jodrubidium, Kryst., eutrop. Beziehungen u. phys. Eigenschaften BB XVIII *121 ff.*
Jodsilber (Jodyrit) . . . 03 I 373
— verwachsen mit Chlorsilber . . . . . BB XVI *351*
— — mit Miersit . . . BB XVI *349*
— Broken Hill . . . . 02 II 14
Johannesburg, Kohlenablagerungen . . . . CBl 1901 506
Johannian division, Cambrium, Cape Breton 03 II 402
John Day-Basin, Oregon, Geologie . . . . . 04 I 417
John Day-bed, Nordamerika, Landsäugethiere 01 II 138
John Day-Formation, Oregon . . . . . 04 I 418
Johnstrupitähnl. Mineral, Kangerdluarsuk . . 1900 I 349
Jordanit
— chem. u. kryst. . 1901 II 347. 348
— Krystalle . . . . . 02 II 336
— Beuthen, Blei-Scharley-Grube . . . . . CBl 1904 *723*
Jordansmühl, Weissstein, des Nephritvorkommens . . . . . CBl 1902 *385*
Jorullo, Mexico, Basalttuff . . . . . 1900 II 235
Josefit . . . . . 02 I 215
Jotnische Formation, archäisch, Finnland 1901 II 64 03 II 74
Jounia reticulata, Kreide, Lago di Santa Croce 1900 II 122
Jovellania triangularis, Mitteldevon, Eifel . CBl 1900 *118*
Judica, Monte, Sicilien, Secundärformation . 01 II 109
Judicarienverwerfung, Adamellogebiet . . . . 1902 I 65
Judith Mountains, Mont., Geol. u. Min. . . . 1900 I 405
Judithos . . . . . CBl 1903 697
Jütland, Diluvium . . . BB XVI *67*
Julianehaab, Grönland, Mineralien, im Eläolithsyenit . . . . . 1900 I 373
Jura
Allgemeines.
— Ammoniten d. oberen CBl 1904 57
— Bryozoen . . . . . 1900 I 478
— Chimäriden, Eier u. Zähne . . . . . BB XIV *540*
— diatomeenführ. Hornschwämme, Lias . . 1900 I 150
— Ichthyosaurier des oberen weissen . . . 01 II 476
— Meereskrokodile (Thalattosuchia) . . . . 03 I 152
— Rückschlagsformen liass. Ammoniten . . 04 I *30*
Afrika.
— Deutsch-Ostafrika . 01 II 294
— —, Korallen . . . . 01 II 326
— Madagascar . . . . 1900 II 454 1901 II 264 CBl 1904 309
— Schoa (Süd-Abessinien) 1900 I 438
— Somaliländer . . . . 01 I 453
— Südafrika . . . . . 1900 I *119*
Amerika.
— Mexico, Lias . . . . 1900 II 120
Nordamerika.
— Alaska, Fossilien . . 01 II 124
— Black Hills, Nevada . 03 II 404
— —, Dinosaurierfährten 01 I 305
— Grand River Valley, Colorado, Dinosaurierlager . . . . . 02 II 432
— Wyoming, Wirbelthiere . . . . . 03 I 342
— Yellowstone National Park . . . . . 02 I 128
Südamerika.
— Argentinien, Pietra Pintada, Liasfauna u. -flora . . . . . 04 I 429
— —, Espinazito-Pass, Dogger . . . . . 1900 II 116
— argent. Cordillere, Dogger und Malm . CBl 1903 55
— argent.-chilen. Cordillere . 1904 II 87 CBl 1901 208
— Chile, Fossilien . . . 01 I 485
— —, Liasmollusken . 04 II 138

Jura
— chilen.-argent. Cordillere . 1904 II 87 CBl 1901 208
— Cordilleren, Grenze zw. Argent. u. Chile 1900 I 432
— Cordillere zw. 34° u. 36° südl. Breite . . 02 II 429
— Patagonien, südliches 1900 II 425
Arktische Länder.
— Flora-Cap, Franz Josephs-Land, Fauna . 01 I 277
— König Karls-Land 1901 II 112 03 I 284
Asien.
— Ambon, Molukken . 03 II 103
— Borneo, Lias . . . . 1900 II 119
— —, Mollusken . . . 01 I 487
— Himalaya, Verbreitung am Nordabhang . . CBl 1904 *155*
— Indischer Archipel . 01 I 455
— Japan (Echizen u. Nagato), Ammoniten . 04 II 324
— Saltrange . . . . . CBl 1903 *439*
— siehe Saltrange.
Australien.
— Neuseeland . . . . . 04 II 91
— White Cliff, Neu-Süd-Wales . . . . . BB XIV *484*
Balkanländer. Griechenland nebst Inseln.
— Corfu . . . . . 04 II 430
— Creta, oberer . . . 03 II 405
— Dimbovicioara-Quellgebiet, rumänische Karpathen . . . . . 1900 I 429
— Hercegowina, Lithiotiden-Schichten von Trebinje . . . . . CBl 1904 *327*
— Rumänien, Südkarpathen, Kelloway . . 1900 II 294
— Serbien, östl., unterliass. Fauna v. Krška Ćuka . . . . . 01 I 467
Dänemark.
— Dänemark, Bornholm, Lias. Fossilien . . . 1900 II 435
— —, Geschiebe 1900 II 435 03 I 286
Deutschland.
— Deutschland, Mollusken im Posidonienschiefer d. nordwestl. CBl 1904 *385*
— Baden, Dürrheim . . 03 I 465
— —, Kandern . . . . 1900 I 428
— —, Katzenbuckel, Lias 1903 I 472 CBl 1902 *651*

Jura
— Baden, Schönberg b. Freiburg i. Br., Ober-Lias . . . . . 1900 I 283
— —, Vogisheim, Bathonien . . . . . 01 II 484
— Bayern, Chiemgauer Alpen, Lias u. Dogger CBl 1901 *719*
— —, Franken, Aucellen . . . . . 01 I *18*
— —, — u. Oberpfalz, Fauna d. Lias u. Dogger . . . . . 03 I 318
— —, Hachauer Schichten, in Oberbayern, Fauna . . . . . 1900 II 295
— —, Hochgern, Crinoidenkalk u. Fleckenmergel . . . . . CBl 1901 *658*
— —, Regensburg gegen Regenstauf . . . . 03 I 301
— —, Ries . . . . . BB XV *422*
— Einbeck und Gross-Freeden . . . . . 01 II 376
— Elsass . . . . . 01 II 424
— —, Dogger, Moyeuvre-Rangwall . . . . . CBl 1901 *408*
— —, Jurensis-Schichten 03 I 299
— Empelde b. Hannover, unt. Lias . . . . . CBl 1902 *33*
— Hildesheim . . . . . 02 I *42*
— Lothringen, Deutsch- 1900 II 282
— —, Lias-Dogger-Grenze . . . . . 1900 II 282
— —, oolith. Eisenerze im Lias . . . . . 01 I 428
— — und Luxemburg, Erzformation . . . . 02 I 269
— — —, Lias u. Dogger CBl 1901 *407*
— — —, Minette . . 1902 II 88. 90
— oberrhein. Tiefebene, Süd-Ost . . . . . 1900 I 279
— Ost- u. Westpreussen, Aufschlüsse durch Bohrungen . . . . . 01 I 288
— Pommern . . . . . 01 I 262
— —, Diluvialgeschiebe 1903 II 271 04 II 121
— Schwaben, Nerineen 02 I 481
— —, Weiss γ u. δ . . BB XV *473*
— —, — ε u. ζ, Altersverhältnisse . . . . 04 II 255
— —, Balingen, Keuper-Lias-Grenze . . . . 02 I 269
— —, Donau-Rheinzug, brauner . . . . . 1900 II 111

Jura
— Schwaben, Eningen— St. Johanner Steige, schwäb. Alb, brauner 1902 II 254
— —, Reutlingen, Amaltheenthon . . . . . 1900 II 113
— —, Ulm, weisser . . 1900 I 257
— —, Wiesensteig, Medusina geryonides, Murchisonae-Schichten 01 I *1*
— Sehnde . . . . . 03 II 242

Frankreich.

— oberster . . . . . 1900 I 117
— Gastropoden, Nerineen 1900 II 152 ff.
— Seeigel des Infra-Lias und Lias . . . . . 02 I 150
— Alpen, zone du Briançonnais . . . . . 04 I 430
— Aube- u. Loire-Thal, Kimmeridge . . . . CBl 1902 284
— Bar-sur-Aube, Kimmeridge . . . . . 04 I 431
— Belfort, Ammoniten d. Bajocien . . . . 1900 II 478
— Belledonne-Kette . . CBl 1901 475
— Boulogne, oberer, Pycnodonten . . . . . 04 I 303
— Fumel (Lot-et-Garonne), Wirbelthiere d. Kimmeridge . . . 04 I 281
— Languedoc (Montpellier) 1900 I 95
— Lons-le-Saunier, Mollusken und Brachiopoden der Zone d. Am. Renggeri . . . 02 I 293
— Marseille, Gegend . 1900 II 113
— Occaignes (Orne), Bryozoen . . . . . 1900 II 317
— Pariser Becken, Oxfordien u. Rauracien im Ost und Südwest 1900 I 281
— Saint-Affrique . . . 02 II 96
— Toul, Eisenerz . . . 01 I 428
— Trept (Isère), Ammoniten der Transversarium-Schichten . . 1900 II 150
— Vendée, Infralias 1904 II 114. 429
— Villers-sur-Mer, Grenze zw. Oxfordien, u. Callovien . . . . . CBl 1904 307
— Voralpen . . . . . 02 I 250
— Woëvre, Callovien . 01 I 468

Grossbritannien und Wales.

— England, Ammoniten d. Unteroolith . . . 01 II 316

Jura
— England, Lücken im Lias . . . . . CBl 1902 407
— —, neue Nautilusarten d. Unt.-Oolith . . . 1900 II 478
— —, Schnecken . . . 01 I 512
— Fletton, Dinosaurier CBl 1901 *715*
— Gross-Britannien, Unter-Oolith, Hildoceratidae . . . . . 1900 I 314
— Helmsdale (Sutherland), Breccienlager 03 II 403
— Northern Cotteswolds, England, Bajocian . CBl 1901 180
— St. Ives-Rocks = Elsworth-Rocks, England CBl 1901 152
— Sutherland, England CBl 1902 474
— Wales, südliches . . CBl 1902 571

Italien.

— Italien, Uebersicht . 04 II 431
— —, Rosso ammonitico, Ammoniten . . . . 01 I 468
— Amelia-Berge (Umbrien), unt. Lias . . 04 II 247
— Apennin, Tithon, Hopliten . . . . . 1900 II 150
— —, centraler, Lias-Ammoniten . . . . . 01 I 165
— —, —, mittl. Lias . 01 II 152
— Brescia, Provinz, Medolo . . . . . 02 I 441
— Fuciner See u. Liri-thal . . . . . 03 I 481
— Limone gegen Vicola, im Tunnel . . . . . 1900 II 265
— Liri- u. Sagittario-Thal . . . . . 02 I 426
— Lombardei, Petref. . 01 I 142
— Monte di Cetona, Prov. Siena, Liascephalopoden . . . . . 03 I 301
— Monte Foraporta b. Lagonegro, unterer Dogger . . . . . 01 I 124
— Monte San Giuliano (Erice), Nautili d. unt. Dogger . . . . . 03 I 331
— Monte Timilone, Sardinien, Oolith, Fauna 01 I 141
— Narni u. Terni . . . 04 II 248
— Rossano in Calabrien, Fauna d. Zone des Lioceras opalinum . 1900 II 453
— Sardinien, Nord- und Ost- . . . . . BB XX *436*
— —, Bath-Fauna . . 04 II 285

Jura
— Sardinien, Pflanzen des mitteljurassischen Sandsteins . . . . BB XX *150*
— Savoische Alpen, Ammoniten des Lias . . CBl 1901 506
— — —, Rhacophyllites im mittl. Lias . . . 1902 I 441
— Sicilien, Rhynchonellinen . . . . . 01 II 157
— Siena, gelber Marmor (marmo giallo). Alter 1903 II 407 04 II 258
— Tarcento (Friaul) . . 03 I 478
— Teramo, Abruzzen, Lias . . . . . 01 II 110
— Toscana, Ammoniten aus d. unt. rothen Ammonitenkalks . . 02 I 311
— Val Paradiso (Verona), Lithiotiden d. Lias . 04 II 326
— Val Solda, Fauna d. unt. Lias . . . . . 04 II 111
— Vicentin . . . . . 01 II 104

Oesterreich-Ungarn.

— Alpen, nordöstl., tiefere Zone d. unt. Lias . 1900 I 312
— Bukowina, Fauna d. unt. Lias 1901 I 483 02 II 269
— Jainzen b. Ischl, Korallenkalke, Alter . . 01 I 123
— Klippengebiet zw. Thaya u. Donau (Pollau-Schweinbarth) . 1900 II 418
— Mariathal bei Pressburg, Dachschiefer . 01 I 123
— Sonnwendgebirge . . 03 I 496
— Stenuletye, transsylvanische Alpen . . . 01 I 467
— Stramberg, Tithon, Brachiopoden . . . . 1900 II 315
— Tirol, südl., Brachiopoden d. mittl. Lias 01 I 166

Russland.

— Central-Russland, Eisenerze . . . . . 01 II 407
— Daghestan . . . . . 04 II *71*
— Donez-Höhenzug . . CBl 1903 *644*
— Gagry, Kaukasus, Asphaltkalke . . . . . 04 I 228
— Kamenka, Gouv. Charkow, Flora . . . . 02 II 171
— Kaukasus, Seeigel . 1900 II 323
— Krym . . . . . CBl 1902 85. 409
— Polen . . . . . 04 I 265
— Südost-Russland . . 01 I 263

Jura

Schweiz.

siehe auch Juragebirge.

— Hauptrogenstein, Beziehung zu Schwaben 1900 I 282
— Baden, Spongien . . 02 II 311
— Freiburger Alpen, Ammoniten des oberen Lias . . . . . 1900 I 139
— — —, Lias, Ammoniten . . 1900 I 139 01 I 163
— Graubünden, Lias u. Tithon . . . CBl 1902 116. 120
— Jura, Amm. Blagdeni-Zone, Zamites infraoolithicus . . . 01 I *5*
— —, brauner . . . . 01 I 464
— —, Basel, ob. Bajocien 02 I 469
— —, Bern, Mollusken u. Brachiopoden des oberen Oxford . . . 03 I 322
— —, —, — des Unter-Oxford . . . . . 01 I 139
— —, —, — der Zone der Amm. Renggeri 1900 I 315
— —, Liestal, Fauna d. ob. Bajocien . . . . 02 I 469
— —, —, schweiz. Tafeljura . . . . . 01 I 445
— Luganer Alpen, Dolomitgebiet, Lias . . . 04 II 244
— Luganer See, Lias . CBl 1901 *737*
— Nord-Schweiz, Vorkommen v. Lioceras concavum . . . . . CBl 1901 *585*
— Plessurgebirge um Arosa . . . . . 04 I 242

Spanien. Portugal.

— Barcelona, Echiniden 03 I 529
— Portugal, Fauna der Pereiros-Schichten . 02 I 468
— —, Grenze gegen Kreide . . . . . 02 I 273
— —, Infralias u. Sinémurien . . . . . 04 II 112
— —, Reptilien u. Fische 03 I 325
— —, Terebratula Rénieri im Lias . . . 04 I 429

Juragebirge

— Geologie . . . . 1903 I 105. 107
— Kreide, Facies und Transgressionen der unteren . . . . . 02 I 446
— Neocom u. Tektonik 1900 I 283
— tert. Süsswasserkalk des westlichen . . . CBl 1904 *609*

Juragebirge
— Transgression d. unt. Kreide . . . . . 1902 I 449
— Basel, Umgegend, ob. Bajocien . . . . . 02 I 469
— Basler, altmioc. Verwerfungen . . . . . 01 II 107
— Basler Tafeljura 1903 I 105. 106
— —, Kaiseraugst, Geol. 03 I 105
— —, Keuper . . . . 02 I 440
— —, Lias . . . . . 02 I 440
— —, Opalinus- u. Murchisonae-Schichten . CBl 1901 *327*
— Berner, Mollusken u. Brachiopoden d. Ober-Oxford . . . . . 03 I 322
— —, — d. Unter-Oxford . . . . . 01 I 139
— —, — d. Zone d. Am. Renggeri 1900 I 315 01 I 139
— —, Septarienthon von Laufen mit Spatangus 1900 I 144
— Liestal, schweiz. Tafeljura . . . . . 01 I 445
— —, oberes Bajocien, Fauna . . . . . 02 I 469
— nordschweizerisches, Tektonik CBl 1902 *481* BB XVII *464*
— Schweiz, brauner Jura 01 I 464
— schweizer Tafeljura, Geologie . . . . . 01 I 444
— siehe auch Jura.
— westliches, tertiäre Süsswasserkalke . . CBl 1904 *609*
Juracontinent, sino-australischer . . . . . 01 I 456
Jurascholle, Offenburg am Rheinthal . . . CBl 1900 29
Jurensis-Schichten, Elsass . . . . . 03 I 299
Jurjevčani, Kroatien, Miocän, Fische . . . . 01 I 307
Jushno-Saosersk, Gouv. Perm, Geologie . . . 02 I 395
Juvavionautilus, Hallstätter Kalk . . . . 03 I 313

K.

Kämmererit
— Kraubat, Steiermark, pseudom. nach Strahlstein im Dunit . . . 02 II 180
— —, —, Gymnit pseudom. nach K. . . . 1900 I 19
Kämmererit
— Kraubat, Steiermark, Serpentin pseudom. nach K. . . . . 1900 I 20
— —, —, Talk pseudom. nach K. . . . . 02 I 180
Kärnten
— Erdbeben 1897 . . . 1900 I 372
— — 1898 . . . . . 01 I 208
— Erzlagerstätten . . 02 II 34
Kahlebergsandstein, Devon, östl. Oberharz . 01 II 436
Kainit
— Bildung bei 25° in ocean. Salzablagerungen . . . . . 02 II 5
— chem. Constitution . 04 II 349
— Vorkommen in Kalisalzlagern . . . . . 04 I 333
Kaiseraugst, Basler Tafeljura, Geologie . . . 03 I 105
Kaiserstuhl
— Geologie u. Petrogr. 01 I 400
— Gesteine . . . . . CBl 1900 29
— Tephrite . . . . . 02 I 392
Kaiser Wilhelms-Kanal, Geologie . . . . . 03 II 413
Kakirit, Torneträsk (Lofotenbahn) . . . . . 04 II 224
Kakoxen, Oberrosbach b. Friedberg am südöstl. Taunusrand . . . . CBl 1902 *656*
Kalahari, Verkieselung der Gesteine . . . . 03 I 55
Kalevische Schiefer, Finnland . . . . . 03 II 74
Kalgoorlie, Westaustralien
— Goldlagerstätte . . . 04 II 242
— Nebengestein der Gold-Tellur-Gänge . . . . 1900 I 243
— Tellurmineralien . . CBl 1902 442
Kalgoorlit
— Kalgoorlie (Westaustralien) . . . . . 03 I 20
— Westaustralien, ein Gemenge . . . . . 04 I 10
Kalifeldspath, Anpassungserscheinungen b. Karlsbader und Bavenoer Zwillingen . . . . . 04 I 21
— siehe Feldspath, Orthoklas etc.
Kalinatronglimmer, Striegau, Drusenmineral CBl 1903 *422*
Kalisalpeter, verwachsen mit Aragonit . . . BB XVI *404*

Kalisalpeter, District Vrijheid . . . . . 1901 II 94
Kalisalzlager, primäre u. secundäre Mineralien, Hutbildung . . . . 04 I 331
Kalium, Beziehung zu Caesium u. Rubidium 04 II 166
Kaliumchlorid u. Doppelsalze, Ausscheidung aus Na Cl-halt. Lösg. 01 I 7
Kaliumhaloide, Kryst., eutrop. Beziehungen u. phys. Eigensch. BB XVIII *119 ff.*
Kaliumjodid, -bromid u. -Chlorid, verwachsen mit Glimmer . . . . CBl 1902 *355*
Kaliumsulfat u. Doppelsalze, Ausscheidung aus Na Cl-halt. Lösg. 01 I 7
Kalium- und Thalliumnitrat, Bildung u. Umwandlung von Mischkrystallen . . . . . 01 I 180
Kalk
— körniger, Structur u. Entstehung . . . . BB XIX *197*
— —, Uebergemengtheile BB XIX *317*
— Schmelze mit Quarz CBl 1902 *713*
— Alpen, mikrosk. Untersuchung . . . . . 1900 I 425
— Baffinsland . . . . 04 I 419
— Berdjausch a. d. Samara-Slatouster Bahn, im Granitcontact verändert . . . . . 01 II 69
— Brünner Eruptivgebiet, im Contact mit Syenit . . . . . 01 II 387
— Ceylon, kryst. . 1904 I 380. 384
— Gardasee, Lias, Analyse . . . . . 02 I 407
— Junagadh etc., mechanisch gebildet . . . CBl 1900 103
— Pjatigorsk, Kauk., contactmetam. Veränderung neben Liparitlakkolithen . . . . 01 I 73
— Singsdorf, Steierm., dolomitischer, pseudom. nach Magnesit 1900 I 19
— Ural, Mitteldevon, Contact m. Rapakiwi 1900 I 389
— Wür bei Bistritz, Mähren (Urkalk) . . 1900 I 23
— siehe auch Kalkstein, Marmor etc.

Kalkalgen
— cretac. und jüngere Ablagerungen trop. Inseln . . . . . CBl 1901 *161*
— in Silurgeschieben, Sachsen . . . . . 1900 II 128
Kalkalpen, österr., Posidonomya alpina . . 1900 II 264
Kalkbreccien
— Quartär, Egypten . . 02 II 108
— Pyrenäen und Lherzolith . . . . . 01 II 389
Kalkcarbonat, Modification
— Conchit . 1901 I 347 02 II 348 CBl 1900 *139* CBl 1901 *134*
— Ktypeit . . . . . 02 II 348
— siehe auch Aragonit u. Kalkspath.
Kalkconcretionen im Schiefer, Kettle Point, Ontario . . . . . 01 I 351
Kalkeinschlüsse verändern Andesit v. Santorin . 01 I 404
Kalkkalinatrolith = Zeagonit . . . . . 1900 II *73*
Kalknatronfeldspathe
— chem. Constitution . 03 I 22
— Voraussetzung des Isomorphismus . . . CBl 1901 *708*
Kalknatronplagioklase, Bau . . . . . 01 II 180
— siehe Feldspath, Plagioklas, Oligoklas etc.
Kalkphosphate, Ausbeutung in Frankreich . CBl 1902 249
— siehe Phosphate, Apatit etc.
Kalksandstein, künstlicher, sogenannter . CBl 1904 *335*
Kalkschwämme, Trias, Bakony . . . . . 02 I 491
Kalksilicatfelse im Gneiss, Schwarzwald . . . . 03 I 231
Kalksilicathornfelse, Ortler Alpen, am Pegmatit . . . . . 04 II 209
Kalksilicatsandstein, künstlicher, sogen. . CBl 1904 *337*
Kalkspath
— Abreissungsfiguren 1904 II 175 CBl 1904 *405*
— Aetzfiguren 1902 II 347 04 II 329
— Aetzfiguren, Lichtfiguren u. Lösungskörper . . . . . BB XVII *355*

Kalkspath
— Beziehung zu Aragonit 1901 II 351
— Dielektricitätsconstante 03 II 8
— Dispersion . . . . . 03 II 8
— Entstehung u. Unterscheidung v. Aragonit 03 II 19
— Gruppirung d. Atome im Molekül, Modell . CBl 1901 153
— Hemimorphie . . . . 03 I 177
— Krystallformen . . . 02 II 21
— Krystallisationsfähigkeit mit Sandkörnern 03 II 181
— künstl. Darstellung . BB XVI *495*
— lamellare Verwachsung mit Mineralien 1900 I 172
— Lösungskörper und Lösungsgeschwindigk. 04 I 335
— magnet. Influenz . . BB XIX *419*
— optische Constanten durch Totalreflexion 1900 II 183
— partielle Perimorphose am Kalkspath . . . CBl 1900 *113*
— Pseudomorphosen nach Aragonit . . . . . 1900 I 20
1901 II 408 BB XVI *379*
— —, Aragonit n. K. . BB XVI *381*
— Reaction zur Unterscheidung v. Aragonit
1903 I 189 03 II 19
CBl 1901 *577* CBl 1902 442
— — mit Kobaltnitrat 03 I 189
— Spaltung nach (01$\bar{1}$2) 03 II 19
— Umformung von Krystallen durch Druck 03 I *160*
— Unterscheidung von Aragonit durch Kobaltsolution 1903 I 189 03 II 19
CBl 1901 *577* CBl 1902 442
— verwachsen mit Aragonit . . . . . BB XVI *379*
— — mit Barytocalcit . BB XVI *385*
— — mit Biotit
CBl 1902 *356* BB XVI *387*
— — mit Dolomit . . BB XVI *374*
— — mit Eisenglanz . BB XVI *373*
— — mit Natronsalpeter
1904 II 329 BB XVI *375*
— — mit Quarz . . . BB XVI *370*
— Aarmassiv, in Biotitprotogindrusen . . BB XIV *63ff.*
— Agordo . . . . . 03 I 203
— Bad Lands, Dakota . 01 I 367
— —, —, kryst. Sandstein 01 I 346
— Baidarthor, Krym . 01 II 178
— Baltschiederthal, Wallis, im Triasdolomit . 1900 I *17*

Kalkspath
— Bargallo . . . . . 1900 I 26
— Bisbee, Arizona . . 01 I 16
— Bleiberg, Muschelmarmor, grössere Härte 02 II 189
— Bogoslowsk'sches Bergrevier, Ural . . . . 1900 I 344
— Buru, Molukken, mit Pleochroismus . . . CBl 1900 *374*
— Campiglia Marittima, Toscana, auf Erzlagerstätten . . . . 01 I *148*
— Cetine di Cotorniano, Provinz Siena . . . 02 II 37
— Cumberland, Kryst. . 01 I 191
— Dortmund, im Carbon CBl 1901 *494*
— Egremont, Cumberland, Zwillinge . . . 01 I 346
— Eisenerz, Steiermark, pseudom. nach K. . 1900 I 20
— Engis (Belgien), Fläche (4265) . . . . . 03 II 175
— England, nördliches, pseudostalaktit. Wachsthumsformen . . . . CBl 1903 334
— Euganeen, im Basalt 01 II 361
— Foros-Berg, zu Nicol'schen Prismen geeignet 03 II 174
CBl 1901 534 CBl 1902 409
— Gräsberg, Dalekarlien 02 I 172
— Great Plains, Nebraska u. Süd-Dakota, sandhaltig . . 1902 II 21 03 I 435
— Grönland . . . . . 1900 I 347
— Häuselberg etc., bei Leoben, Steiermark . 03 II 30
— Heidelberg, Pseudom. v. Sandstein nach K. 04 II 174
— Hohe (Westerwald) im Basalt, Aragonit pseudom. nach K. . BB XVI *381*
— Island, Doppelspath, Production . . . . . CBl 1902 664
— Ith, Krystallformen . 1900 II 14
— Joplin, Mo. . . . . 01 I 347
— Kansas, Kryst. . . . 01 II 365
— Kintsiniemi, Dolomitbruch . . . . . 02 II 362
— Lake Superior, Kupferminen . . . . . 1900 I 180
— Mähren . . . . CBl 1904 *358. 359*
— Malfidano. Sard., Pseudom. von Zinkspath nach K. . . . . 01 II 5
— Monte del Gesso (Reggio Emilia) . . 1900 I 14

Kalkspath
— Montreal, Canada, im Eläolithsyenit . . . 1901 I 346
— Narsarsuk, im Syenit, Südgrönland . . . . 02 I 19
— Nieder-Rabenstein . 1900 I 13
— nordamerik. Fundorte, Krystallformen . . . 02 II 204
— Nordmarken . . . . 01 I 342
— Offenbanya (Emericus-Grube), pseudom. nach Aragonit . . . BB XVI *379*
— Old Hampshire Co., Mass., pseudom. nach Steinsalz . . . . . 01 I 36
— Pallaflat, Cumberland 01 I 346
— Prager Umgegend . 01 I 343
— Portugal, im Staubfall vom Jan. 1902 . CBl 1902 *258*
— Pradalunga (Val Seriana), Kryst. . . . 03 I 189
— Reschitza, Quarz pseudom. nach K. . . . 04 II 7
— Rezbanya . . . . . 03 II 185
— Rosenegg (Hohentwiel), pseudom. nach Gyps . . . . . 01 I 30
— Russland, Eisenerzlager d. centralen, pseudom. n. Aragonit 01 II 408
— —, versch. Fundorte, Kryst. u. opt. (Nicols) 03 II 174
— Saulera, Alathal . . CBl 1900 *43*
— Stankgrube, Lankashire 01 I 346
— Tharandt, Krystallformen . . . . . 03 II 327
— Toros-Berg, Krym . CBl 1902 *409*
— Union Springs, Cayuga County, N. Y. . . . 01 I 345
— Upper Montclair, New Jersey . . . . . 04 II 36
Kalkstein
— abgelagert aus Wasser 01 II 378
— aeol. Ursprungs, Junagarh . . . . . 02 I 77
— Eintheilung . . . . 04 II 97
— Plasticiätt . . . . . CBl 1902 *161*
— Vertiefungen durch Schnecken . . . . . 02 II 214
— Canadian Rocky Mountains . . . . . 04 II 62
— Ceylon, krystallinischer, Entstehung . . . . 04 II 54
— Durham, magnesiahaltiger . . . . . 04 I 393
— Fidschi-Inseln . . . 03 II 98
Kalkstein
— Fulwell-Sunderland, cellular, Perm . . . CBl 1901 664
— Great Whin Sill, nördl. England, im Contact mit Diabas . . . . 1900 I 396
— Griechenland, nördl. u. türk. Grenzländer BB XVIII *49*
— Gross-Seran, Molukken CBl 1901 *323*
— Humboldt-Bai, Neu-Guinea . . . . . CBl 1901 *651*
— Junagarh, Entstehung 02 I 391
— Kruševac, Serbien, dolomitischer . . . . 1900 I 25
— Mte. di Avane (Pisa), schwarzer, Anal. u. Mineralien . . . . . 04 II 218
— Moravska Olešnice, Analyse . . . . . 01 II 225
— Rhodopegebirge, chem. 01 II 364
— Weihnachtsinsel, z. Th. dolomitisch . . . . 03 II 101
— Weitisberga (Thür.), oberdevon., im Contact mit Granit . . CBl 1901 *113. 368*
— siehe auch Kalk.
Kalktuff
— Albthäler . . . . . BB XIX *133*
— Lellinge, Dänemark, recent. . . . . 1900 I 454
— Peminken-Thal b. Jena 02 II 125
— Schwanebeck b. Halberstadt, pleistocän . 03 I 137
— Westergotland 1900 II 495 01 I 138
— siehe auch Travertin.
Kalktuffite, Vogesen . . 01 I 61
Kalkuranit u. Entwässerungsproducte . . . CBl 1901 *709*
Kalkverlust, basischer, Eruptivgesteine bei Verwitterung . . . 1900 I 54
Kalodontidae . . . . . 03 I 156
Kalomel
— Molekular-Volumen, vergl. mit Anatas . 04 I 5
— opt. Eigenschaften . 1900 I 6
— Terlingua, Texas 1904 I 338. 341
Kalusz, Galizien, Salze . 03 I 400
Kameel
— Rumänien . . . . . 03 I 347
— Samos, ob. Miocän . 03 I 553
Kameelschädel, pleistoc., Sarepta a. Wolga . . 03 II 138
Kamenka, Gouv. Charkow, Juraflora . . . 02 II 171

Kamerun
— Eocän . . . . . CBl 1903 *373*
— Etinde-Vulcan . . . 1903 I 425
Kames, Vorpommern u. Rügen . . . . . 04 II 449
Kangerdluarsukfjord, Grönland, Mineralien d. Nephelinsyenits . 1900 I 348
Kangersee b. Riga . . . 1900 I 456
Kangerseeschlamm, Ostseeprovinz . . . . . 01 II 384
Kanker u. Eisenkappel, Karawanken . . . . 1900 II 261
Kansas
— Beschreibung . . . . CBl 1900 159
— Carbon . . . . . 01 I 460
— Fischfauna, obercarbonische . . . . . 04 I 141
— geologische Karte . 1900 I 85
— Gypsvorkommen . . CBl 1901 280
— Kreide, Fauna . . . 02 I 147
— —, Fische der Niobrara-Stufe . . . . 01 I 308
— —, Gliederung der oberen . . . . . 01 II 280
— —, untere . . . . . 02 II 435
— —, Wirbellose . . . 01 II 297
— Meteoriten . . . . . 1900 II 199
— —, Admire, Lyon County . . . . . 03 I 216
— —, Long Island . . 04 I 191
— —, Ness Co . . . . 04 I 192
— —, Oakley . . . . 01 II 39
— Mineralien . . . . . 01 II 365
— Mineralreichthum . . CBl 1901 90
Kantengerölle im Lausitzer Diabas . . . 03 I 233
Kantengeschiebe
— Hiltrup b. Münster . 02 I 288
— Saltrange, perm. Geschiebelehm . . CBl 1903 *72. 593*
Kaolin
— Bildung . . . . . BB XV *375*
— Campiglia Marittima, Toscana, Gangart . 01 I *148*
— Jelisawetgrader Kreis 04 II 21
— Palni-Berge, Südindien . . . . . CBl 1902 *176*
— Pilsen, Steinkohlenbecken . . . . . 03 II 25
— Spezia . . . . . 02 I 173
— Vestana, Schweden . 1900 I 197
Kaolinit
Bakal, Ural, pseudom. nach Albit . . 02 II 366
Nossi-Bé, Madagascar 02 II 197
Kaolinlagerstätten
— Aufsuchung etc. . . CBl 1904 410
— Beziehung zu Erzlagerstätten . . . . BB XV *285*
— zahlreicher Gegenden und Entstehung . . BB XV *231*
— Karlsbad . . . . . BB XV *292*
— Schonen . . . . . 1904 II 76
Kaolinsandstein, Thüringen etc. . . . . BB XV *365*
Kaolinthone . . . . . BB XV *367*
Karang, Korallenriffe . CBl 1901 *165*
— Gross-Seran, Molukken CBl 1901 *324* CBl 1902 *5*
Kare
— Entstehung . . . . 04 I 375
— erodirt durch Gletscher im festen Gestein . . 1900 II *117*
— Bosnien, Herzegovina und Montenegro . . 1900 II 382
— Schwarzwald . . . . 04 I 388
— siehe auch Karrenfelder.
Karikal, Indien, Pliocänfauna . . . . . 02 I 296
Karlsbad
— Geologie u. Quellen . 03 II 393
— Granit . . . . . 03 I 237
— Kaolinlager . . . . BB XV *292*
— Salze der Thermen . CBl 1903 58
— Thermen, Ergiebigkei u Verhalten b. Erdbeben 1897 . . 1900 I 374
Karlsbader Zwillinge, Anpassungserscheinungen 04 I 21
Karmel, Kreidegastropoden . . . . . 02 I 312
Karnische Alpen, Gesteine 1900 II 396
Karnische Stufe, Bäreninsel . . . . . 01 II 259
Karoomys Browni, Karruform., Ariwal North 03 II 421
Karpathen
— alte Gletscher . . . 01 I 391
— Erosion u. Höhlen in den südlichen . . . 1900 I 379
— Klippenkalke . . . . CBl 1902 28
— Kreide, Fossilien . . 03 II 262
— Dimbovicioara-Quellgebiet, Tithon und Neocom . . . . . 1900 I 429
— Galizien, Erdölablagerungen . . . . 02 II 260
— Moldau, Geologie u. Tektonik d. nördl. . 1900 II 420
— Rumänien, Geologie . 1900 I 61
— —, Kelloway im südl. 1900 II 294

Karpathen
— Rumänien, ob. Kreide 1900 II 286
— —, Salzlagerstätten . 04 II 233
— —, Tithon u. Neocom 1900 I 429
Karpathenbildungen, Foraminiferenfauna der Inoceramenschichten v. Gorlice . . . . . 03 II 152
Karpathensandstein
— Sósmező, Com. Háromszék . . . . . 03 II 245
— Verespatak . . . . 03 II 243
Karpholith, Schlaggenwalde, Pseudom. von Limonit nach K. . . 01 II 6
Karpina, Kroatien, Höhle mit paläol. Menschen 02 II 133
Karrenfelder, Alpen . . 1900 I 214
— siehe auch Kare.
Karreria cretacea, Oberkreide, Ostgalizien . 03 II 150
— fallax, Bryozoenhorizont, Priabona . . . 01 I 528
Karru-Formation
— Südafrika . . . . 1900 I *115* 264
— Transvaal 1901 II 92 CBl 1901 178
Karsterscheinungen
— Brasilien . . . . . 01 I 392
— Elsa-Becken, Toscana 01 I 393
— dinarische Alpen . . 1900 II 382
Karstgebiet, Triest, Mineralien . . . . . CBl 1902 *442*
Karstphänomen, Gebirge in Bosnien, Herzegovina u. Montenegro 1900 II 383
Karsttrichter im Devonkalk, Elberfeld . . . 03 I 471
Karten, geologische, siehe geologische Aufnahmen, Karten etc.
— seismologische . . . 02 I 381
Kartirung, geol.-agron., Italien . . . . . 01 II 89
Karwendelgebirge, Zusammenhang mit d. Sonnwendjochgebirge 04 I 246
Karwitz, geol. Karte, Flachland . . . . . 1900 II 413
Kasbek
— Petrographie . . . . 1900 I 230
— u. Ausläufer, Gesteine u. Laven . . . . . 02 II 390
Kaschmir, Triasammoniten . . . . . CBl 1902 *134*
Kaspi-Becken. Salze d. Salzsee . . . . . 1900 I 228
Kaspische Länder, Miocän . . . . . 1901 I 127
Kassiterit, siehe Zinnstein.
Kataklastische Massengesteine, Kyffhäuser . 03 II *44*
Katamere Eutropie . . 02 I 3
Kataphorit, Kola . . . 02 II 379
Kataphorit-Aegirin-Trachyt, Insel Vivara . 02 I 348
Katapleït
— Beziehung zu Stokesit 01 II 355
— Umlagerungen und Structur . . . . . BB XIV *307*
— verwachsen m. Zirkon BB XVI *378*
— Grönland . . . . . 1900 I 347
— —, aus Eudialyt entstanden, im Neph.-Syenit . . . . . 01 I 41
— Narsarsuk, südl. Grönland, im Syenit. Kryst. 02 I 28
Katarchäische Formation, Finnland . . . 01 II 65
Katarchäischer Basalcomplex, Finnland . 03 II 74
Kathodenstrahlen, Färbung der Haloidsalze 1900 II 344
Katogen metamorphe Gneisse, Böhmen . . 02 II 422
Katschkanar, Ural, Magneteisenlagerstätte . 04 I 86
Katzenbuckel, Muschelkalk u. Lias 1903 I 472 CBl 1902 *651*
Kaui, Hawaii-Archipel, Basalt . . . . . BB XV *89*
Kaukasus
— Cölestin u. Scheelit . 01 II 199
— Erzlagerstätten . . . 01 II 405
— geol. Museum in Tiflis 03 II 250
— Gesteine 1900 I 230 1902 II 72. 389. 390
— Gletscher . . . . . CBl 1902 217
— Goldlager . . . . . 01 II 404
— Jura, Seeigel . . . . 1900 II 323
— Kreidefossilien und Uebersicht d. Sedimentärbildungen . . 01 I 470
— Lakkolithe v. Piatigorsk . . . . . 04 II 401
— Liparitlakkolithen, Contact b. Pjatigorsk 01 I 73
— Mineralquellen . . . 02 I 419
— Pliocän . . . . . 03 I 511
— Querprofil des centralen, vergl. m. Alpen 1900 I 423

Kaukasus
— Schefferit . . . . . 1902 II 350
— Steinkohlen v. Tkwartschali . . . . . 03 II 389
— Zeolithe im Porphyrit, Bambak-Aschai-Ebene 01 II 205
Kaukasusländer, Petrographie . . . . . 02 II 72
Kearsarge, Mt., N. Hampshire, Geologie . . . 04 II 406
Keckia (Flyschfucoiden) 1900 I 156
Kedabekit, Kedabek, Gouv. Jelisabetpol 1903 I 261 03 II 71
Keewatin Area, Minnesota 03 I 437
Keilotoma labiatum, Chlomeker Schichten, böhm. Kreide . . . . . 1900 I 440
Kellerwald
— Geologie 1903 I 467 03 II 94
— Obersilur mit Goniatiten . 1903 I 505 CBl 1900 138
— Silur, Flora . . . . 02 II 496
Kelliellidae, tert. u. rec., Nordamerika u. Westindien . . . . . 1900 II 315
Kellwasserkalk, Devon, östl. Oberharz . . . 01 II 438
Kelyphit . . . . . 01 I 19
Kenai series, Alaska . . 1900 II 77
Kennedy, Penns., Knochenhöhle . . . . . 1902 II 140 287
Kent, tert. Mensch . . 1900 II 455
Kentallenit
— systemat. Stellung . 03 II 355
— Argyllshire . . . . 01 II 233
Kentrolith, chem. . . . 01 I 37
Kenya, Ostafrika
— Geologie . . . . . 02 I 231
— Gesteine . . . . . CBl 1902 *204*
Kenyt (Kenit), Ostafrika 02 I 232
1904 II 58 CBl 1902 *204*
Kepplerites Petitclerci, Renggeri-Schichten, Berner Jura . . . . 1900 I 316
Keramische Industrie, Handbuch . . . . . CBl 1904 410
Keramohalit
— Dshusaly-kul. Omsk. 02 I 207
— Provinz Rom . . . 03 I 253
Kerargyrit, siehe Chlorsilber.
Keratophyr
— Harz . . . . . BB XIV *13*
— Hinter-Taunus . . . 04 II 382
— Marquette-Gegend, Wisc., präcambr. . . 01 II 242
Kerosenschiefer, Megalong, Australien . . . . . CBl 1901 90
Kersantit
— syst. Stellung . . . 1903 II 357
— Chile, nördliches . . 01 I 417
— Co. Down, Hornblende-, mit blauem Amphibol 01 II 390
— Creuse-Departement . 03 II 373
— Mte. Mulatto . . . CBl 1904 417
— Predazzo u. Monzoni 04 II 210
— Schwarzwald . . . . 01 I 399
— südruss. kryst. Plateau 1900 II 96
Kersantitähnl. Gestein, Monzoni . . . . . CBl 1903 *636*
Kersanton, Brest 1903 II 372 CBl 1902 473
Kerunia cornuta, Untertertiär, Egypten 1902 I 484 CBl 1902 *44. 137*
Kesselbildungen, Tiefbauschacht in Witkowitz b. Mährisch-Ostrau . . . . . 03 I 271
Kettenbruchähnl. Entwickelungen zur Beurteilung der Wahrscheinlichk. bestimmter Flächenkombinationen an Krystallen CBl 1903 *537*
Kettenfälle, Meteoriten . 1900 I 352
Kettenjura
— nordschweizer, Tektonik CBl 1902 *481* BB XVII *464*
— schweizer, siehe auch Juragebirge.
Keuper
— Basler Tafeljura . . 02 I 440
— continentaler, Entstehung . . . . . CBl 1901 *463*
— Dürrheim, Baden . . 03 I 465
— Elsass . . . . . 01 II 423
— Heidelberg, Granat als authigener Gemengtheil . . . . . 02 I 57
— Rappenau, Baden . . 03 I 461
— Süddeutschland . . . 02 I 265
— Thale a. Harz CBl 1901 *1* CBl 1904 *373*
Keuperkohle, östl. vom Teutoburger Wald . CBl 1902 *368*
Keuperletten. Schwarzwald, schwere Gemengtheile CBl 1900 29
Keupermergel, bunte, Württemberg, chem. und mineralog. Bestandtheile . . . . 01 I 217

Keweenawan Area, Minnesota, Geologie . . . 1903 I 436
Kibo (Kilimandscharo), Gesteine . . . . . CBl 1902 *205*
Kidstonia heracleensis, Carbon, Heraclea, Kleinasien . . . . . 03 I 173
Kiedricher Sprudel bei Eltville, Zusammensetzg. 02 II 414
Kiefern- u. Schneegrenze, frühere höhere Lage in Norwegen . . . . CBl 1903 *469*
Kieler Föhrde, Litorina- und Praelitorina-Bildungen . . . . . 04 II 452
Kiesbänke d. Flussbetten, scheinb. Bewegung . 1900 II 43
Kiese im Diluvium der Hochalb . . . . . BB XIX *138*
Kieselconcretionen, Mioc., Italien . . . . . 01 I 127
Kieselfluoreisen, kryst. u. optisch . . . . . 02 II 329
Kieselgesteine, Arkansas, Entstehung . . . . 1900 I 408
Kieselguhr, Ofleiden . BB XVIII *477*
— Farmatholi b. Amsterdam, Transvaal . . 01 II 93
— Malgersdorf . . . . 02 II 226
Kieselguhrlager, Achaltisch-Bezirk, Gouv. Tiflis . . . . . 01 II 69
Kieselhölzer
— Entstehung . . . . 03 I 97
— Greifswalder Oie . . 04 II 259
Kieselkalke, Gross-Seran, Molukken . . . . . CBl 1901 *324*
Kieselkalkformation, Molukken . . . . . CBl 1902 *4*
Kieselkörnchen im Sandstein, Bolchowskoi, Russland . . . . . 04 II 171
Kieselsäure, gelatinöse, als Kluftausfüllg., Simplon 01 I 222
Kieselsäureablagerung aus Fumarolen, Lipari . 02 II 57
Kieselsäuregallerten, Mikrostructur . . . 01 II 175
Kieselsäurelösung verdrängt Kalk, Bergkalk, Derbyshire . . 1900 I 232
Kieselschiefer
— Anglesea . . . . . CBl 1902 475
— poln. Mittelgeb., Westfuss der Karczówka BB XIII *354*
— Sarka b. Prag, mikrosk. 03 II 17
Kieselschieferbrüche, Voigtland . . . . . 1902 II 226
Kieselsinter, veränderter Builth, Breeknockshire, Wales . . 1904 I 222 CBl 1901 729
Kieselzinkerz
— Constitution . . . . 01 I 26
— Einwirkung v. Ammoniumchlorid . . . 04 II 6
— Krystallform . . . . 02 II 27
— Laorca, im Dolomit von Esino . . . . . 02 II 203
— Laurium . . . . . CBl 1900 *97*
— Moresnet, Kryst. . . 01 I 194
— Rosas, Sardinien 1900 I 28 1900 II 364
— Transbaikalien . . . 03 II 176
Kieserit
— Bildung bei 25° . . 02 II 5
— Vorkommen in Kalisalzlagern . . . . . 04 I 332
Kiesige Bleiformation, Freiberg . . . . . CBl 1901 242
Kieslagerstätten
— Entstehung 1900 II 246 04 I 77
— Bodenmais am Silberberg . . . . . 03 I 444
— Dellach, Oberdrauthal 04 I 396
— Garonne-Kap . . . . 04 I 400
— Spanien, südliches . 04 I 399
— Steiermark, Flatschach u. Feistritzgraben bei Knittelfeld . . . . . 03 I 445
— — Oeblarn . . . . 03 I 446
— siehe auch Erzlagerstätten.
Kiew-Stufe, Tertiär, Kreis Balta, Podolien . . 02 II 396
Kiirunavaara, Norbotten, Eisenerze . . . . . 1900 I 79
Kilbrickenit, ident. mit Geokronit 1903 I 374 CBl 1902 186
Kilimandscharo, Gesteine CBl 1902 *204*
— siehe auch Kenyt.
Kimberlit, südafrik. Diamantlager . . . . . 1900 I 1
Kimmeridge
— Bar-sur-Aube . . . . 04 I 431
— Fumel (Lot-et-Garonne), Wirbelthiere . . . . 04 I 281
Kincardineshire, Chloritoidgestein . . . . . 1900 I 231
Kingena Blanckenhorni, Kreide, Abu Roasch, Egypten . . . . . 04 I 270
— lima, Salzgitter . . 1900 II 317

Kingena Schweinfurthi, Kreide, Deutsch-Ostafrika . . . . . 1901 II 296
Kingston beds, Devon, New York . . . 1901 II 266. 457
Kinnekulle, glaciale Denudation u. Erosion loser Ablagerungen . . . 01 II 130
Kintsiniemi, Dolomitbruch, Mineralien . . . . . 02 II 362
Kinzigit, Schwarzwald . 01 I 57
Kirchberg b. Ulm, Stratigraphie u. Alter der Tertiärablagerungen CBl 1904 *481. 528. 545*
Kirchheim u. Teck (Württ.), Diluvialbildungen . . BB XIX *85*
Kirgisensteppe, Mineralien . . . . . CBl 1901 281
Kittmassen für Dünnschliffe . . . . . 1900 II 346
Kiwitten, Ostpreussen, Diluvium . . . . . BB XVI *93*
Klärung trüber Flüssigkeiten . . . . . 02 II 90
— durch Elektrolyte . . 03 I 453
Klastische Gesteine, Ardennen, Metamorphose 02 II 63
Klastogneiss, Kasbek . 02 II 393
Klausenit, Pusterthal . 1900 I 382
Kleinasien
— ägäisches, Tektonik . 1900 I 98
— anatol. Bahn, Geol. . 03 II 252
— Carbonflora . . . . 02 I 496
— — v. Heraclea . . . 03 I 173
— Erdbeben von Aidin, 19. August 1895 . . 1900 I 378
— — von Balikesri, 14. Sept. 1896 . . . 01 I 214
— Geologie d. westl. . 03 II 251
— — u. Petrographie . 1900 II 61
— galatisches Andesitgebiet, Geologie . . BB XVI *99*
— —. Ergussgesteine . BB XVI *110*
Klein-Tressny, Mähren, Mineralien d. Graphitwerke . . . . . 1900 I 24. 25
Klieken b. Anhalt, diluv. Diatomeenlager . . BB XVI *42*
Klima, beeinflusst durch Winde, im Pleistocän 1903 II 354 CBl 1901 538
Klinge b. Kottbus, quart. Torflager . . . . . BB XVI *27*
Klinochlor, chemisch . . CBl 1901 *631*
— optisch . . . . . 03 I 28
Klinochlor
— Achmatowsk, Polychroismus . . . . . 1904 II 342
— Civrari, Piemont . . CBl 1903 *81*
— Mte. Pian Real, Piemont . . . . . CBl 1903 *83*
— Ovarda, Piemont . . CBl 1903 *84*
— Rocca Rossa, Piemont CBl 1903 *83*
— Saulera, Alathal . . CBl 1900 *43*
— Zöptau . . . . . 04 I 31
Klinoëdrit, Franklin, N. J. 01 I 197
Klinohumit
— verwachsen mit Humit BB XVI *409*
— — mit Olivin . . . BB XVI *408*
— Ceylon im Marmor . 04 I 382
Klinozoisit, Acherwiese, Fichtelgebirge . . . 1900 II 358
Klinozoisitfels, Steinbeil von Weitgendorf, Ostpriegnitz . . . . . CBl 1903 *51*
Klipfontein, Theriomus u. Herpetochirus . . 1900 I 309
Klippen, Nordrand der schweiz. Alpen . . . 1900 I 87
Klippengebiet zw. Thaya und Donau (Pollau-Schweinbarth) . . . 1900 II 418
Klippenkalke, Karpathen CBl 1902 28
Klivometer . . . . . 1900 I 35
Klondyke, Yukon District, Alaska, Goldfelder und Goldlagerstätten . 1900 I 81 02 II 244 CBl 1901 761 CBl 1902 432
Klüftigkeit, Jeschkengeb. 02 II 213
Klusen, Querthäler, Entstehung . . . . . 1900 I 256
Knemiceras pinax, Kreide, Temojoh in Westborneo . . . . . 04 I 120
— syriacus . . . . . 02 I 141
Knochenfische, Verwandtschaft mit Ganoiden, Kreide von Kansas 04 I 308
Knochenhöhlen
— Baoussé-Roussé bei Mentone . . . . . CBl 1904 121
— Doveholes, Derbyshire, mit pliocänen Knochen . . . . . 04 II 290
— Kennedy, Pennsylvanien 1902 II 140. 287
— Montmaurin (Haute-Garonne) . . . . . 04 II 291
— Patagonien, m. Glossotherium (Neomylodon) 02 II 291

Knochenhöhlen
— siehe auch Glossotherium u. Grypotherium.
— Potter Creek, Shasta Co., Cal. . . . . 1904 II 291
— siehe auch Höhlen.
Knollenkalke d. Kellerwaldes, Obersilur mit Goniatiten . . . . . CBl 1900 138
Knoten d. Contactschiefer CBl 1901 *369*
Kobalt
— chemischer Nachweis 03 II 11
— mikrochem. Nachweis 02 II 176
— Prod. 1902 in Verein. Staaten . . . . . 04 II 357
Kobaltblüthe, künstliche 1902 I 187 04 II 187
Kobalterze
— Neu-Caledonien CBl 1901 217 02 II 343
— Pressnitz, böhm. Erzgebirge . . . . . 04 II 411
Kobaltglanz, Hokansbo, regelm. verwachsen m. Kupferkies 1902 II 329 BB XVI *354*
Kobalt-Magnesiacarbonat, Eiserfeld im Siegenschen . . . . . CBl 1903 *13*
Kobaltnickelkies, siehe Linneit.
Kobyia typica, ob. Oxford, bern. Jura . . 03 I 323
Kochendorf, Württemberg
— Lehm u. Löss . . . 1900 II *154*
— Steinsalzlager . . . 01 I 435
Kodrugebirge, Nordabfall 1900 I 92
Kölbingit, Neph.-Syenit, Grönland . . . . . 01 I 45
Koenenit, Volpriehausen CBl 1902 *493*
König Karls-Land
— Basalt . . . . . 01 I 71
— Geologie . . . . . 03 I 284
— marines Mesozoicum 01 II 112
Körnige Structuren . . 04 II 49
Körös, schwarze, Geol. 1900 I 92
Koettigit, künstl. Nachbildung . . . . . 04 II 187
Koh-I-Taftan, Vulcan, Persien . . . . . 01 I 233
Kohlen
— Brennwerth, Ermittlung durch Röntgen-Strahlen . . . . . 1900 II 247
— culturhistorisch . . . 1900 I 196
— diluviale . . . . . BB XVI *26*
Kohlen
— direkte Umwandlung in Diamant . . . . 1903 I 366
— übergehend in Dolomit 1903 I 76 CBl 1901 665
— Bosnien, Werfener Schiefer . . . . . CBl 1902 *9*
— Coldai, Südtirol, im Wengener Schiefer . 02 II 114
— Kunda, Russland, Cambrium . . . . . CBl 1900 299
— Niederrheinthal . . . 01 I 437
— Radotin, im Diabas . 04 II 77
— Rötschach, Steiermark 02 I 420
— Serbien, Unterlias . 01 I 467
— Südtirol, Wengener Schichten 1902 II 114 04 II 78
— Susiča-Thal, Hercegovina, Trias . . . 01 I 464
— Taunusquarzit . . . 03 I 230
— Ungarn . . . . . CBl 1904 52
— Wirralkohlenbergwerk, Uebergang in Dolomit . . . . . 03 I 76
— siehe Steinkohlen, Braunkohlen etc.
Kohlenablagerungen, Bosnien u. Hercegovina 03 II 388
Kohlenband, übergehend in Dolomit, England CBl 1901 665
Kohlenbecken
— Autun . . . . . 02 II 164
— Heraclea . . . . . 01 II 441
— Kusnetzk, Alter . . CBl 1901 151
Kohlenfelder
— Ausdehnung . . . . 01 II 268
— Collie, Westaustralien 04 II 243
Kohlenflötze, autochthone u. allochthone Entstehung . . 1902 I 156. 159
Kohlenformation
— England, foss. Pflanzen 01 I 517
— Zwickau, Versteinerungen (Pflanzen) . 03 II 402
— siehe auch Carbon.
Kohlengebirge, Wärmeverhältnisse . . . . 03 II 44
Kohlenindustrie d. Welt 01 II 74
Kohlenkalk
— Belgien, Alter . . . 03 II 110
— —, Eintheilung . . 01 II 443
— Irland, Orthoceratidae 01 I 511
Kohlenlager
— Kueitschau, China, Devon . . . . . CBl 1901 185
— europ. Türkei . . . CBl 1902 247

Kohlenoxyd, Mt. Pelé, Martinique, in den Fumarolen . . . . . 1903 II 377
Kohlenreiche gebänderte Sommablöcke . . . . CBl 1901 *309*
Kohlensattel
— Lothringen . . . . . 03 I 475
— Saarbrücken, Beziehung zu lothring. Hauptsattel . . . . CBl 1904 *390*
Kohlenstoff, Entzündungstemperatur und Verbrennung der 3 Modifikationen in Sauerst. 03 II 317
Kohlenstoffchemie u. anorg. Verbindungen des Kohlenstoffs . . 01 I 175
Kohlenstoffverbindungen, Gruppirung d. Atome in Krystallen . . . CBl 1904 315
Kohlenstoss-Explosionen, Braunkohlengrube Hausham, Oberbayern 01 II 445
Kohlenvorrath der Erde 02 I 375
Kohlenwasserstoffe, Mt. Pelé, Martinique, in den Fumarolen . . . 03 II 377
Kokenella Laczkoi, Veszprémer Mergel, Trias, Bakonywald . . . . 02 II 306
Kokkolith, Bystre, Böhmen . . . . . 01 II 203
Kokoma, Howard Co., Indien . . . . . 1900 I 353
Kola
— Geologie u. Gesteine 02 II 385
— Nephelinsyenitgebiet 02 II 377
— zur Quartärzeit . . 1900 II 449
Komorn, Geologie . . . 03 II 246
Kongadiabas, Kullen, Schweden . . . . . 01 II 58
Kongo-Gebiet, Geologie 03 I 488
Kongsberg, Bildung von Silber aus Silberglanz, u. Gangmineralien . 01 I 85
Koninckinidae, Trias, Bakonyer Wald . . . . 01 II 156
Koninckodonta Kastneri, Lias, Salzburg . . . 1900 II 316
Kopenhagen, Moräne mit Jurablöcken . . . . 1900 I 297
Korallen
— Aenderung d. Nomenklatur . . . . . 03 II 301
— Alpen und mediterr. Gebiete d. ob. Kreide 04 II 150
Korallen
— Bakony, Trias . . . 1902 I 153
— Böhmen, altpalaeozoisch . . . . . CBl 1901 502
— Canada, palaeoz. . . 01 II 325
— Curaçao etc., gehobene Riffe . . . . . 02 I 320
— Deutschostafrika, kainoz. u. mesoz. . . 01 II 326
— Egypten, tert. u. cret. 01 II 162
— Italien, neogene . . 02 I 153
— Maryland, eocäne . . 03 II 301
— New York, rugose . 03 I 483
— Nordamerika, palaeogene . . . . . 04 I 466
— —, tertiäre . . . . 01 II 327
— Portorico, gehobene 1902 I 320 03 II 301
— Sardinien, miocäne . 1900 II 317
— —, neogene . . . . 1900 I 479
— Schlesien und Mähren, verkieselte in Diluvialgeschieben . . . CBl 1903 *561*
— venet. Alpen, tertiäre CBl 1903 *484*
— Weihnachtsinsel . . 03 II 100
Korallenkalk
— Clipperdon Atoll, Südsee, phosphatisirt . . 1900 I 240
— Jainzen b. Ischl, Jura, Altersstellung . . . 01 I 123
Korallenriffe
— gehobene, Curaçao 1902 I 320 03 II 301
— —, Portorico . . . . 03 II 301
— —, Riu-Kiu-Inseln . 03 II 254
— Instrument z. Untersuchung . . . . . 01 II 53
— mit Kalkalgen . . . CBl 1901 *165*
— Bainbridge, Georgia, unt. Oberoligocän . . 01 II 327
— Michigan etc., palaeoz. 04 II 97
— Karang, siehe Karang.
— Samoa, Bau . . . . 1900 I 46
Korallenskelett, Morphologie . . . . . 04 I 467
Korbiskrug bei Königswusterhausen, diluv. Lager m. Süsswasserconchylien . . . . . BB XVI *46*
Kordofan
— Geologie . . . . . 02 II 263
— — u. Petrographie . BB XVII *391*
Korinth, Lherzolith . . 01 I 65
Korngrösse d. Eruptivgesteine, Isle Royale, Michigan . . . . . 1900 II 225

Korsun-Rapakiwi, Süd-Russland . . . . . 1904 I 71
Korund
— Bildung im Magma 1900 II 249. 386
— künstlicher . . . . 1900 II 11. 12
— und Eläolith, zusammengeschmolzen . . CBl 1904 *710*
— u. Hedenbergit, zusammengeschmolzen CBl 1904 *706*
— verwachsen mit Diaspor . . . . . BB XVI *384*
— — mit Rutil . . . . BB XVI *378*
— Zwillinge 1902 I 189 03 I 380
— Birma etc., Kryst. . 02 II 339
— Canada, im Syenit . 01 I 189
— Ceylon . 1902 I 74 CBl 1902 145
— —, Polychroismus . 04 II 342
— Finisterre, Contactmineral . . . . . CBl 1901 181
— Ilmengebirge am Tatkul-See . . . . . 01 II 206
— Indien u. Ceylon, edler, Anal. . . . . CBl 1902 145
— Montana, Sapphir 1901 II 368 04 II 366
— Nordamerika 1903 II 36 CBl 1902 403. 405
— —, Prod. 1904 I 37 CBl 1902 243
— —, Sapphir . . . . 01 I 32
— —, Vorkommen . . . 02 II 340
— Nordcarolina, im Peridotit . . . . . 1900 I 9
— —, mit Rhodolith . . 1900 I 188
— Nordcarolina 1901 I 187. 189 01 II 349
— Old Hampshire Co., Mass. . . . . 01 I 35
— Ontario . 1900 I 180 CBl 1902 241
— Pont Paul b. Morlaix, Contactbildung 1902 I 11 03 I 417
— Swazie-Land . . . . 1900 I 264
— Tatkul-See, Ilmengebirge, Ural . . . 1901 I 362
— Tetschinskij-Hütte, Kreis Kyschtym . . 03 II 171
— Tirol . . . . . 03 II 325
— Yogo-Mines, Mont. . 01 II 368
— siehe auch Rubin u. Sapphir.
Korundführende Contactbreccien am Monzoni CBl 1901 *677*
Korundgesteine, Ural . 1900 II 255
Korundophilit, Old Hampshire Co., Mass. . . 01 I 35
Korundpegmatit u. -syenit, Ural . . . . . 1900 II 256
Kosmische Explosionen, Ursache . . . . . 03 II 42
Kosmo-geolog. antiactualist. Theorie . . . . CBl 1904 *658*
Kosva-Thal, Ural, Entstehung . . . . . 04 II 87
Koswinsky Kamen, Ural, Olivingesteine und Pyroxenite . . . . . 02 II 387
Koswit, Koswinsky Kamen, Ural 1902 II 388 03 II 363
Kotschkar, südl. Ural, Goldfelder . . . . . CBl 1902 345
Kragerö
— Columbit . . . . . 1900 I *159*
— Phenakit . . . . . 1900 I 188
Krain
— Bačathal, Geologie . 04 I 95
— Erdbeben . . . . . 1900 I 372
Krakau, Devon . . . . 04 II 100
Krapina, Kroatien, diluv. Mensch . . . . . 03 II 281
Kratersee, Cascade Range, Oregon . . . . . 1900 I 369
Kreide . . . . . 1900 II 285
— Ammoniten d. Turon, bes. Amm. peramplus 01 II 307
— Anthozoen . . . . . 02 II 154
— Aucellenähnl. Formen d. Gault u. Cenoman BB XIV *351*
— Beryciden . . . . . 02 I 310
— Bryozoen, Revision d. v. D'ORBIGNY abgebildeten . . . . . 02 I 488
— Cenomane Transgression . . . . . 03 II 407
— Chondrodonta glabra u. Munsoni . . . . 04 I 151
— Cyclostomata d. brit. Museums . . . . . 1900 II 484
— Echiniden . . . . . 02 I 319
— Echinodermen, Beyrut, Dauphiné, Japan . . 03 II 454
— Feuersteinbildung . CBl 1902 659
— Fische . . . . . 01 II 315
— Geogr. Verbreitung d. Rudisten, Orbitolinen u. Orbitoiden . . . 02 I 449
— Gliederung und Begrenzung d. oberen . 02 I 452
— Grenze zum Tertiär 02 I 452
— Hippuriten, Entwicklung u. Classification 03 II 451

Kreide
— Horizont d. Thecosiphonia nobilis . . CBl 1903 *19*
— Lithothamnium tropischer Inseln . . . . CBl 1901 *161*

Afrika.

— Algerien, Echiniden des Aptien . . . . . 1902 I 318
— —. Zone mit Placenticeras Uhligi u. mit Marsupites ornatus . 02 I 453
— —, Sahara, Protechinus paucituberculatus CBl 1901 506
— — u. Tunis, Infracrétacé . . . . . 02 II 115
— Deutsch-Ostafrika . . 01 II 294
— —, Korallen . . . . 01 II 326
— Egypten . . . . . 01 II 90 1902 I 100. 427. 429 04 I 269
— —, Echiniden . . . 03 I 531
— —, Phosphatlager 1901 II 429 04 II 425
— —, Abu Roasch bei Kairo . . . . . 01 I 281 1902 II 423 1904 I 269. 271
— —, Baharije-Oase, Cenoman . . . . . 01 II 90
— —, Chargeh-Oase . . 02 I 259
— —, Dakhla-Oase . . 02 II 109
— —, Farafra-Oase . . 02 I 427
— —, libysche Wüste, oberste . . . . 1903 I 507. 509
— — u. Sinai, Seeigel . 02 I 148
— Madagascar . . . . 1900 II 454 1901 II 263 CBl 1904 308
— Madagascar (Diego Suarez), Cenoman . 02 I 280
— — —, Arialoor group 1900 II 287
— Mozambique (Conducia-Mündung) . . 01 II 281 1903 II 274 CBl 1903 87
— Palästina u. Egypten mit Phosphaten . . 04 II 425
— Südafrika, Aptien . CBl 1902 *465*
— Tunis . . 01 II 281 02 II 115

Amerika.

— Amerika, westliches, Coloradostufe . . . 02 I 118
— Argentinien . . . . 1900 I 102
— —, Cordillere, Neocom CBl 1903 56
— —, —, argent.-chilen. 1904 II 87 CBl 1901 210
— —, östl., Mollusken . 04 II 286
— —, Roca (Rio Negro) 04 I 432
— —, Patagonien, marine Invertebraten . 02 II 434

Kreide
— Argentinien, Cordillere, Mollusken . . . . . 1904 II 288
— —, —. Säugethiere d. unteren . . . . . CBl 1900 139
— —, —. östliches . . 1900 I 100
— —, —, südliches . . 1900 II 425
— —, —, —, Fossilien CBl 1904 *597*
— BlackHills, Cycadeenstämme . . . . . 1900 II 496
— —, Pflanzen . . . . 1900 II 438
— Brasilien. Bahia, Megalurus Mawsoni . . 04 I 143
— —, Pará . . . . . 04 I 422
— Californien, Berkeley Hills . . . . . 04 II 250
— Chile. Fossilien . . . 01 I 486
— —, Mollusken . . . 04 II 138
— —, Quiriquina-Schichten . . . . . BB XVIII *181*
— Columbia . . . . . 03 II 206
— Cuba, Echiniden . . 1900 I 141
— Dakota . . . . . 02 II 436
— Grönland, Flora . . 02 II 321
— Kansas . . . . . 1900 I 85
— —, Benton-, Niobrara- u. Fort Pierre-Gruppe, Wirbellose . . . . . 01 II 297
— —, Cheyenne sandstone 02 I 280
— —, Fauna . . . . . 02 I 147
— —. Fische. . . 1901 II 479. 480
— —, —, der Niobrara- 01 I 308
— —, obere, Foraminiferen . . . . . 01 II 165
— —, Gliederung . . . 01 II 280
— —, untere . . . . . 02 II 435
— —, Verwandtschaft d. Ganoid- u. Knochenfische . . . . . 04 I 308
— —, vollst. Mosasaurusskelett . . . . . 01 I 156
— Maryland, Potomac group . . . . . 04 I 98
— Mexico 1900 II 121 02 II 119
— —, Caprinidenkalke 1900 I 123
— —, Cenoman, Dasycladaceen . . . . . 1900 I 323
— —. Rudisten . . . . 1900 II 480
— —, Orizaba . . . . 01 II 444
— —, —, Maltrata- u. Escamela-Kalk . . . 02 II 119
— Montana. Süsswasserfauna . . . . . 04 I 271
— Neuenglische Inseln (Martha's Vineyard etc.) 1900 I 99

Kreide
— New Jersey, Foraminiferen . . . . . 1900 I 318
— —, Mount Laurel, Petref. im Bohrloch. 01 II 299
— Nordamerika, Gattung Scaphites . . . . . 02 II 119
— Oregon, John Day Basin . . . . . 04 I 418
— Peru, Versteinerungen 01 I 141
— Südamerika . . . BB XVII *252*
— Texas, Gryphaeen d. unteren (Gr. Pitcheri) 1900 II 481
— —, Rudisten . . . . 1900 II 480
— —, östliches . . . . 01 I 451
— Yellowstone National Park . . . . . 02 I 129

Arcticum und Antarcticum.

— Admirality Inlet, Antarcticum . . . . . 04 I 434
— König Karls-Land, Neocom . . . . . 01 II 113
— Königin Charlotte-Inseln . . . . . 02 I 292

Asien.

— Arabische Wüste . . 02 I 429
— Beirut, Echinodermen 03 II 454
— Borneo . . . . . 02 I 109
— — (Temojoh) . . . 04 I 120
— Buchara . . . . . 1900 II 287
— Fergana, Versteinerungen 1903 II 408 04 II 458
— Indien, Beludschistan, Uebergang in Eocän CBl 1903 *514*
— —, Saltrange . . . CBl 1903 *439*
— siehe auch Saltrange.
— Indien, südliches . . 1900 I 441
— Japan, Echinodermen 03 II 454
— —, ausser Hokkaidō, Ammoniten d. oberen 04 I 148
— —, Hokkaidō, Ammoniten d. oberen . 02 II 485
— Molukken, Ambon . 03 II 103
— —, Sula-Inseln . . . 02 II 425
— Ordu, Kleinasien . . 03 I 109
— Sachalin . . . . . 01 II 298
— Sinai und Egypten, Seeigel . . . . . 02 I 148
— Sirab, Persien, Senonpetrefacten . . . . 02 II 119
— Syrien . . . . . 1900 I 122
— —, Beyrut, Echinodermen . . . . . 03 II 454
— —, Libanon, Echiniden 1900 I 479
— —, —, Echinodermen 03 II 454
— —, —, Gastropoden 01 I 488

Kreide
— Syrien, Libanon und Karmel, Gastropoden 1902 I 312

Australien.

— Neuseeland . . . . 04 II 92
— Südaustralien, Mollusken . . . . . 04 I 119

Europa.

Balkanländer.

— Bulgarien, untere . . 1900 I *36*
— Bulgarien, Urgonien CBl 1901 569
— Rumänien . . . . . CBl 1901 *193*
— —, Pflanzen . . . . 1900 II 490
— —, Ceahlău-Berg, Moldau . . . . . 01 I 489
— —, Dobrudscha, Rudistenkalke . . CBl 1902 27. 28
— —, Karpathen, obere 1900 II 286
— —, —, Dimbovicioara-Quellgebiet . . . . 1900 I 429
— —, Mitok, Moldau . 01 I 488
— —, Olt- u. Oletzthal 01 II 280

Belgien und Holland.

— Belgien . . . . . 03 I 305
— —, Ausdehnung des Maestrichtien u Montien im Haine-Thal . 02 II 435
— —, Dinosaurier . . 03 II 440
— —, Ciply, Echiniden 1900 I 480
— —, Hennegau, Albien und Cénomanien . . 02 II 117
— —, Herbières im Bohrloch . . . . . 03 I 127
— —, Mehaigne-Thal, Untersenon . . . . 02 I 128
— —, Sambrethal, Kreidesilex . . . . . 02 II 436
— Holland, Maestricht, Gastropoden . . . . 01 I 312

Deutschland.

— Bayern, Alpen, Foraminiferen u. Ostracoden . . . . . 02 I 155
— —, —, Versteinerungen der oberen . . . . . CBl 1904 *654*
— —, Ammergebirge, Cenoman . . . . 01 I 261
— —, Hellkofen bei Regensburg . . . . . 01 I 446
— —, Labergebirge bei Oberammergau, Cenoman . . . . . 1900 II 415
— —, Leitzachthal, am Schlier- u. Tegernsee 02 I 276
— —, Schwarzraingraben b. Ohlstadt, Cenoman 1900 II 285

Kreide
— Bayern, Stallauer Eck u. Enzenauer Kopf bei Tölz . . . . . 1902 I 117
— Braunschweig, Podocrates, Senon . . . 01 I 509
— —, Biewende b. Wolfenbüttel, Fauna d. Senon 01 II 297
— —, Querum. Fauna d. Untersenon . . . CBl 1904 *33*
— —, Braunschweig u. Ilsede, Unter-, Senon, Molluskenfauna . . . 02 I 127
— —, Braunschweig u. Wolfenbüttel, Turon 03 I 306
— — und Hannover . . CBl 1903 *49*
— Hannover, Einbeck u. Gross-Freeden . . 01 II 376
— —, Hildesheim . . . 02 I *53*
— —, —, Nettlingen, Alter d. Turon CBl 1902 *179. 305. 399*
— —, Lüneburg, Alter d. N.—S.-Störungen 01 II 130
— —, —, Fauna . . . 03 II 274
— —, Misburg b. Hannover . . 1903 I 307 03 II 274
— —, Sehnde . . . . . 03 II 241
— Harzrand, Senon . . 1900 II *63*
— Mecklenburg, Kalkberg b. Rehna, Foraminiferen . . . . . 02 I 451
— Norddeutschland, Ammonitiden d. Neocom 03 II 447
— —, Geschiebe von Cerithium-Kalk bei Eberswalde . . . . 02 I 451
— —, Gliederung der unteren . . . . . 02 I 504
— —, untere . . . . . 02 I 271
— Nordwest-Deutschland, Actinocamax-Kreide . 02 I 115
— Pommern . . . . . 01 I 262
— —, Geschiebe . . . 03 II 271
— —, Rügen, Hexagonaria u. Goniolina . CBl 1901 *469*
— —, — und Möen . . 02 I 460
— Preussen, Ost-, Senon am Mauersee . . . . 01 II 278
— —, — u. West-, Hexactinelliden d. senon. Diluv.-Geschiebe . . 04 II 158
— —, West- . . . . . 04 II 417
— Sachsen, Kgr., Faciesbildung . . . . . 02 I 449
— —, —, Dresden, Discordanz gegen Tert. 02 II 441

Kreide
— Sachsen, Kgr., Elbthalgebirge, Alter des Ueberquaders. . . . 1900 II 438
— Sachsen, Prov., Halberstadt . . . . . 02 I 116
— Schaumburg-Lippe'sche Mulde . . . . . 03 I *59*
— Schlesien, Heuscheuergebirge, Alter d. ob. Quaders . . . . . CBl 1904 *395*

Frankreich.

— Bryozoen 1900 II 159 03 I 536
— Danien u. Montien . CBl 1902 603
— Neocomammoniten . 01 I 165
— neue Petrefacten . . 1900 II 286
— Salenia . . . . . 1900 II 160
— Aix-Noulette . . . . 03 II 264
— Alpes-Maritimes . . 1902 I 279 CBl 1902 26
— Aquitanien, Turon . 02 I 278
— Arras . . . . . 03 II 264
— Beauvais, Rhynchoteuthis im Senon . . CBl 1901 475
— Boulonnais, Pycnodonten d. Cenoman . 02 II 303
— Châtel-St. Denis, untere, Ammoniten 1903 I 333 04 I 145
— Corbières, Frankreich 1903 II 408 CBl 1902 603
— Dauphiné, Echinodermen . . . . . 03 II 454
— Dévoluy, Bodenbewegungen in der oberen 02 I 279
— Dieppe . . . . . 01 II 278
— Dordogne, Facies u. Tektonik . . . . . 02 I 452
— Janières (Sarthe), Cenoman, Bryozoen . . 1900 II 159
— Languedoc (Montpellier) . . . . . 1900 I 96
— Lezennes, Hexactinellidae . . . . . 02 I 495
— Louviers (Eure), weisse 1900 II 323
— Lumbres . . . . . 03 II 264
— Marseille, ob. Aptien 01 I 468
— Narbonne, étage de Rognac . . . . . 01 II 277
— Normandie, Echiniden 1900 II 161
— Orgon, Urgonkalke . 02 I 313
— Pariser Becken, nordöstl., Spongien . . . 02 I 495
— Provence, Vitrolles-Etage . . . . . 01 II 299
— Pyrenäen u. Krym . CBl 1901 *444*

Kreide
— Roisel. Phosphatlager 1903 II 263
— Saint Calais, Sarthe, Cenoman. Bryozoen . 1900 II 159
— Secalpen 1902 I 279 CBl 1902 26
— Südost-Frankreich, verkieste Ammoniten d. Valangien-Mergel 03 II 446
— Toulon, Cenoman . . 03 II 408
— Uzès (Gard), Aptien . CBl 1901 667
— Valangin, Neocom . 1900 I 283
— Viviers a. Rhône, Barrêmien . . . . . CBl 1902 26
— Voralpen . . . . . 02 I 251
Griechenland und Inseln.
— Argolis (Nauplia), unt. 03 II 405
— Corfu . . . . . 04 II 430
— Kreta, untere . . . 03 II 406
Grossbritannien und Irland.
— Antrim-Grafschaft, Ireland . . . . . 01 II 276
— Clayton (Sussex), Urenchelys anglicus im Lower Chalk . . . . 02 II 304
— England, Bivalven des Chalk . . . . . 01 I 280
— —, Decapoden . . . 1900 II 308
— —, Fische d. Chalk . 04 II 322
— —, Muscheln . . . . 01 II 154
1903 II 298 04 II 472
— —, geol. Stellung v. Micraster . . . . . 01 I 515
— Glynde, England, Fossilien d. Gault, Cenoman u. Turon . . . 02 II 436
— Honiton, Devonshire, Cenoman . . . . . 01 II 278
— Lincolnshire, Upper Chalk . . . . . 04 I 271
— Moreseadt in Aberdeenshire, in Diluv.-Geschieben . . . . . 01 II 299
— Surrey, Bargate beds, mikroskop. Fauna . 1900 I 483
— —, Coulsdon, Radiolarien im Upper Chalk . . . . . 02 II 155
— Wiltshire . . . . . CBl 1901 181
Iberische Halbinsel.
— Portugal, Ammoniten 1900 II 476
— —, fluviomarine Senonmollusken . . . 02 II 437
— —, Grenze gegen Jura 02 I 273
— —, Reptilien u. Fische 03 I 325
— —, Rudisten . . . . 02 I 486

Kreide
— Portugal, Senon . . 1902 I 279
— —, Turon . . . . . 02 I 452
— Spanien, Barcelona, Echiniden . . . . . 03 I 529
— —, Catalonien . . . 1900 I 283
— —, Muga-Thal, Gerona, Hippuritenschichten . 02 I 453
Italien.
— Abruzzen . . . . . 04 II 421
— —, Aquilaner . . . 04 I 97
— — Monte d'Ocre-Kette 04 I 97
— Amelia-Berge, Umbrien . . . . . 04 II 248
— Bari, Hippuritenkalk CBl 1901 22
— Cingoli (Macerata) . 03 I 481
— Crespano Veneto, Exogyra colomba . . . CBl 1902 *500*
— Florenz . . . . . 03 I 280
— Fuciner See u. Liri-Thal . 1903 I 481 04 II 246
— Galatina, Apulien, mittlere . . . . . 04 I 120
— Lecce, Apulien, mittlere . . . . . 04 I 120
— Leuca, Cap b. Otranto 03 I 280
— Narni u. Terni . . . 04 II 248
— Sardinien, Nord- u. Ost- . . . . . BB XX *436*
— Tarcento (Friaul) . . 03 I 478
— Titignano (Orvieto), Scaglia . . . . . 03 I 282
— Venetianer Alpen . . CBl 1902 *309*
— —, Calloneghe, Fossilien . . . . . 03 II 273
— — —, Lago di Santa Croce, Gliederung etc. 1900 II 121. 122
Oesterreich-Ungarn.
Böhmen, Chlomeker Schichten . . . . . 1900 I 439
— —, Fische . . . . . CBl 1901 503
— —, Flora d. Chlomeker Schichten 1900 II 496 01 I 527
— —, Schwämme . . . 04 II 156
— —, Heuscheuer-Gebirge, Alter des ob. Quaders . . . . . CBl 1904 *395*
— —, Ostroměř . . . . 03 I 306
— —, Pardubitz u. Přeloučí . . . . . 02 I 276
— —, Rongstock, Bodenbach . . . . . 1900 II 81
— —, Roveřin, Anal. d. Kreidemergels . . . 01 II 226

Kreide
— Böhmen, Tetschen, Baculitenmergel, Mikrofauna . . . . . 1903 II 151
— —, westliches . . . 02 I 117
— Bukowina, Korallen d. Neocom . . . . . 04 II 149
— Görtschitz- u. Gurkthal, Mittelkärnten, Gosaukreide . . . . 1900 II 285
— Görz und Pinguente, Petrefacten . . 1902 I 277. 486
— Gorlice, Foraminiferen d. Inoceramenschichten . . . . . 03 II 152
— Gosau, Haplophragmium grande . . . . 02 I 451
— —, Kainacher . . . 04 I 120
— Istrien, Pinguente 1902 I 277. 486
— istro-dalmatin. Rudistenkalk, Vola Lapparenti und Chondrodonta Joannae-Munsoni . . . . . 04 I 149
— Karpathen, Fossilien 03 II 262
— —, galiz., Erdölablagerungen . . . . 02 II 260
— Lesina, Insel . . . . 02 I 454
— Niederösterr. Kalkalpen, Schichten mit Orbitulina concava . 01 I 443
— Ostalpen, Anthozoen d. Gosau-Schichten . 04 II 150
— Ostgalizien, Foraminiferen d. oberen . . 03 II 150
— Rotschach, Steiermark, Kohlen . . . 02 I 420
— Salzburger Vorland, Flysch . . . . . 02 I 276
— Schlesien, Teschener u. Grodischter Schichten, Cephalopoden 1902 II 146 03 II 296
— Wienerwald, Flysch . 02 I 276
— Ungarn, Cserevitz-Bach, Petervarader Geb., Pironaea slavonica i. den Hippuritenschichten . . . . . 04 I 151
— —, Sósmezö, Com. Háromszék . . . . 03 II 245
— —, Szt-Peterfalva, Com. Hunyad . . . 03 II 244
— —, Siebenbürgen . . 01 II 279
— —, —, obere, Limnosaurus transsylvanicus 01 I 307

Kreide
— Ungarn, Siebenbürgen, Ürmös, obere . . . 1901 I 469

Russland.

— Russland, untere . . 02 I 442
— —, europäisches . . 02 I 280
— —, südl., Mosasaurus CBl 1901 533
— —, südöstliches . . 01 I 263
— Astrachaner Steppe . 1900 I *216*
— Baskun schak (Salzsee) b. Astrachan . . 04 II 431
— Donez-Höhenzug . . CBl 1903 *644*
— Kaukasus, Fossilien . 01 I 470
— Krim . . . . . CBl 1901 *444*
— —, mit Orbitolinen . 03 I 323
— —, Biassala, untere 03 II 406
— Ochotskisches Meer . CBl 1901 123
— Podolien, Unter-Cenoman . . . . . 02 I 295
— Polen, obere . . . . 02 II 117
— Saratow, Gouv. . . . 03 II 248
— — u. Ssimbirsk, Ammoniten . . . . . 1900 II 477
— Sasurskache Wälder, Gouv. Simbirsk, Eisenerze der unteren . . 01 II 406
— Schwarzmeer-Gegend 04 I 228
— Simbirsk u. Saratow, Ammoniten . . . . 1900 II 477
— Simbirsk-Gouv., Neoc. und Rjazan-Horizont 01 II 126
— —, Sasursk'sche Wälder, Eisenerze d. unt. 01 II 406

Skandinavien.

— Dänemark, Diluvialgeschiebe 1900 II 435 03 I 286
— —, Dimyodon . . . 02 I 147
— —, Lakune od. Diskordanz zw. Senon u. Danien . . . . . CBl 1903 *267*
— —, Mollusken u. Gliederung . . . . 1902 II 433. 434
— —, von Organismen angebohrte Seeigelstacheln . . . . . CBl 1901 *73*
— —, Faxe (Inoceramus) 01 I 281
— —, Möen und Rügen 02 I 460
— —, Stevn's Klint . . 02 II 434
— Schonen, jüngere, Lamellibranchiaten . . . 1901 I 280
— —, Tullstorp und Kvarnby, in den Moränen, nicht anstehend 04 I 105

Schweiz.

— Jura, Facies u. Transgressionen d. unteren 02 I 446

Kreide
— Jura, Neocom (Valangien) . . . . . 1900 I 283
— Cressier b. Neuchâtel, Cenomanscholle im Neocom . . . . . 01 I 443
— Graubünden . . . . CBl 1902 120
— Plejadenkette bei Vevey, untere u. Lagerung 03 II 405
— Plessurgebirge u. Arosa 04 I 243
Kremsmünster, Erdbeben 02 II 46
Krennerit
— Cripple Creek, Col. 1900 I 7 01 I 183
— Nagyag, Krystallf. . 04 I 10
Kreuzengraben, Steiermark, Geologie . . . 03 I 102
Krim
— älteste Ablagerungen CBl 1902 85
— Mineralien 1902 II 364 04 II 32
— —, vom Berg Karadagh b. Feodosia . . 01 II 205
— orbitolinenführende Kreideschichten . . 03 I 323
Krimmler Schichten, Oberpinzgau . . . . . 03 I 126
Kritische Mineralien d. Eruptivgesteine . . CBl 1903 688
Krivoi Rog, Südrussland
— Geologie . . . . . 1900 II 95
— — u. Eisenerzlagerstätten . . . . . 1900 I 82
Kroatien, oberpont. Bildungen . . . . . 02 I 471
Krokoit, siehe Rothbleierz.
Krokydolith
— Grönland, im Neph.-Syenit . . . . . 01 I 44
— —, im Syenit v. Narsarsuk . . . . . 02 I 26
Krugit
— künstl. Nachbildung. 04 II 195
— Vorkommen in Kalisalzlagern . . . . . 04 I 336
Krym, siehe Krim.
Kryokonit, Fläming . . 03 II 44
Kryolith, Grönland
— Analyse . . . . . CBl 1902 506
— Production . . . . . CBl 1902 664
Kryolithgrube, Ivigtut, Grönland . . . . . 1900 I 351
Krystalle
— Bewegung beim Auflösen . . . . . 01 I 5
— Beziehung zum chem. Bestand . . . . . BB XVIII *117*
Krystalle
— Beziehung zu festen Kolloiden . . . . . 1904 I 162
— Beziehg. zum Molekül 03 I 362
— durchsicht., inact., einax., Reflexion und Brechung des Lichts an Zwillingsebenen . BB XX *1*
— Dynamik . . . . . CBl 1900 *313*
— flüssige 1901 I 1. 2. 339 1902 II 3. 173 1903 II 163 04 I 159
— —, Dichroismus . . 03 II 163
— —, Structur u. magnet. Verhalten . . . . . 01 II 338
— — u. einfache rationale Indices . . . . . 02 II 1
— — u. sog. lebende . 03 I 178
— isomorphe Misch-, Bildung durch Sublimation 03 II 5
— —, labile Componenten 04 I 325
— mimetische, Umlagerung u. Structur . . BB XIV *246*
— moleculare Richtkraft 03 I 178
— plastische, fliessende u. flüssige, erzwungene u. spontane Homöotropie . . . . . 04 I 159
— pleochroitische Eigenschaften . . . . . 03 II 314
— regelmässige Orientirung . . . . . 01 I 438
— richtige Aufstellung. 02 II 174
— Structur . . . . . CBl 1903 *389*
— siehe auch Krystallstructur.
— Symmetrie . . . . 1900 II 4. 334 1901 II 329 CBl 1902 114
— — gegründet auf die Homogeneität . . . 02 I 331
— Totalreflexion doppeltbrechender . . . . . BB XX *311*
— Unterscheidung rechts- u. linksdrehender . . 01 I 171
— Volumtheorie . . . CBl 1902 *633*
— zweiaxige, Construction der Interferenzfigur . . . . . CBl 1900 *267*
Krystallbildung aus schwerkrystallisier. Stoffen. 02 II 177
Krystallflächen
— Capillaritätsconstanten CBl 1901 *753*
— Geschwindigkeit des Wachsthums und der Auflösung . . . . . 02 I 334

Krystallformen
— Beziehung zur chem. Zusammensetzung . 1904 I 323
— Ursprung u. gegenseitige Beziehungen . CBl 1902 113
Krystallformenentwicklung, Beeinflussung durch Substanzen . . 03 II 312
Krystallgebäude, Lockerung durch HCl bei Zeolithen . . . . CBl 1902 *594*
Krystallgestalten, Ableitung aus dem allgemeinen Gesetz d. Krystallbildung . . CBl 1904 154
Krystallinische Schiefer
— Entstehung . . . 04 II 50
CBl 1904 *658* BB XIX *153*
— Regeln für die Untersuchung . . . . . 04 II 405
— Alpen . . . . . CBl 1902 665
— Baffinsland . . . . 04 I 419
— Battak-Hochfläche, Sumatra . . . . . 1900 II 236
— Borneo . . . . . 02 I 109
— Columbia . . . . . 03 II 202
— Kordofan . . BB XVII *399. 448*
— Minnesota, südwestl. 01 II 245
— Montblanc . . . . . 01 I 65
Krystallinische Flüssigkeiten . . . . . 1901 I 1. 2. 339
— siehe auch Krystalle, flüssige.
Krystallisation
— anomale, Erklärung 1900 II 174
— concentr. Salzlösungen, Regelmässigkeiten . 01 II 86
— im elektr. Felde . . 04 I 160
— aus Lösungen ohne Krustenbildung . . . 02 II 177
— von Schmelzflüssen polymorpher Stoffe . 03 II 317
Krystallisationsdifferenzirung im Magma . . CBl 1900 190
Krystallisationsfähigkeit v. Kalkspath, Schwerspath und Gyps mit Sandkörnern . . . . 03 II 181
Krystallisationsfolge
— im Magma . . . . CBl 1900 *288*
— der Mineralien in Silicatschmelzen u. Eruptivmagmen, Beziehung zu Schmelzpunkten . CBl 1904 *49*
Krystallisationsgeschwindigkeit 1900 I 333. 334 CBl 1902 *608*
Krystallisationsgeschwindigkeit
— Abhängigkeit v. Temperatur . . . . . 1904 II 344
— Verminderung durch Fremdkörper 1903 II 4 04 II 345
Krystallisationsinterwalle in Eruptivgesteinen . 01 I 240
Krystallisationsvermögen u. -geschwindigkeit geschmolzener Mineralien . . . . . CBl 1903 *608*
Krystallisiren u. Schmelzen . . . . . CBl 1904 51
Krystallisirte Salze, Refractionsconstante . 1900 I 167
Krystallisirte Stoffe, Ausflussgeschwindigkeit 1902 I 337 03 II 311
Krystallklassen . . . . 01 II 330
— Ableitung a. d. Princip d. Homogeneität . . 03 II 160
— auf Grund d. Deck- u. Spiegelaxen . . . 1900 II 331
— Gründung der 32 auf die Symmetrie . . . 02 I 333
— homogen u. inhomogen, symmetrisch u. unsymmetrisch, polar u. gewunden . . . 1900 II 333
— Nomenclatur . . . . 03 I 178
— Verzeichniss zu den 32 Klassen gehör. Mineralien . . . . . 02 I 2
Krystallmodelle, 928 Stück, in Birnbaumholz zur Erläuterung d. Formen von Mineralien . . . CBl 1902 663
Krystallmodellirapparat 1900 II 345
Krystalloblastische Structur d. kryst. Schiefer CBl 1902 665
Krystallographie . . . 1901 II 333 ff.
— Aufgaben der rechnenden . . . . . 03 II 157
— Grassmann's Methode CBl 1904 154
— method. Lehrgang 1900 II 169 CBl 1903 5
— neue u. Weiss'sches Zonengesetz . . . . 01 II 1
— Rechenformeln und graph. Methoden . . 04 II 334
— Theorie der Krystallklassen . . . . . 04 II 335
— siehe auch Krystallklassen.

Krystallographie
— zonale . 1902 II 2 1902 II 174
1903 I 1. 2 03 II 1. 2
— — (Syngonie-Ellipsoidgesetz) . . . . 02 I 1
— — und Theorie der Krystallstructur . . 03 II 3
Krystallographische Orientirung d. Mineraldurchschnitte in Dünnschliffen . . . . CBl 1903 *323. 554*
Krystallographische Projectionen . . . . . 01 II 329
Krystallographischer Unterricht, Methodik
1900 II 169 CBl 1903 *5*
Krystallophotogrammetrie
1900 II *1* 01 I *9*
Krystallplatten
— einaxige, Bestimmung d. Axenfehlers . . . 04 I 163
— inactive, durchsicht., Reflexion u. Brechung des Lichts . . . . . BB XX *159*
— orientirte, Apparat zum Schleifen etc. 1901 II *1.* 337
Krystallpolymeter
1901 II 3 03 I 362
Krystallrefractometer, neues vereinfachtes von Leiss . . . . . 04 I 163
— siehe auch Refractometer.
Krystallschliffe, orientirte Apparat zur Herstellung . . . . . 1901 II *1.* 337
Krystallstructur
1900 II 3. 5 CBl 1903 *389*
— (Hilton und Schönflies) . . . . . 04 II 335
— histor. Entwicklung. CBl 1902 83
— Theorie . 1903 II 3 CBl 1901 *746*
— Aragonitgruppe . . 1900 II 14
— Metalle . . . . 1901 II 170. 171
— u. Flächenentwicklung b. rhomb. Schwefel u. Anatas . . . . . CBl 1903 *665*
Krystallsystem, hexag., existirt nicht. . . . 01 II 336
Krystallsysteme
1901 II *37* CBl 1901 *545*
— Abtheilungen. . . . 01 II 330
siehe auch Krystallklassen.
— Definition u. Erkennung . . . . . 1900 II 4
Krystalluntersuchung im converg. polar. Licht CBl 190
Krystallverwachsungen, optisch nicht erkennbare . . . . . 1901 II
Krystallvolumen . . . CBl 190
Krystallwachsthum . . 03 II
siehe auch Wachsthum d. Krystalle.
— Beziehung zu Cohäsion u. Capillarität . . . 03 II
— Untersuchungsmethode CBl 1903
— Alaun etc. . . . . 04 II
— $NaClO_3$ . . . . . 01 I
Krystallwasser
— Dampfspannung . . 1900 I
— Natur . . . . . 03 I
Krystallzeichnen
1900 II 333 01 II
Ktypeït . . . . . 02 II
Kuckucke, Osteologie . 03 II
Künstliche Darstellung
— Mineralien . . . . . 04 II
— — durch Sublimation CBl 190
— — und Gesteine
1900 II 248 03 II
— Anatas, a. trockenem Wege . . . . . 02 II
— Aragonit . . . . . BB XVI
— Arseniate (Adamin, Cabrerit, Kobaltblüthe, Koettigit und Nickelblüthe) . . . . . 04 II
— Arsenide durch Zusammenpressen . . . CBl 190
— Arsenstruvit . . . . 04 II
— Asphalt . . . . . 01 II
— Bobierrit . . . . . 04 II
— Boronatrocalcit . . . 03 I
— Brushit . . . . . 04 II
— Cadmiumvanadinit . 01 II
— Carnallit . . . . . CBl 1904
— Cölestin u. Vitriolblei 04 II
— Dolomit . . . . . CBl 190
— Hörnesit . . . . . 04 II
— Kalkspath u. Aragonit BB XVI
— Korund . . . . . 1900 II 1
— Krugit . . . . . 04 II
— Kupferglanz
1904 I 166 04 II
— Mineralien der Steinsalzablagerungen . . 02 II
— Monetit . . . . . 04 II
— Newberryit . . 1904 II 30.
— Pharmakolith . . . 04 I

Künstliche Darstellung
— Phosphate und Arseniate (Struvit, Arsenstruvit, Newberryit, Roesslerit, Wapplerit u. Pharmakolith) . . 1904 II 187
— Polyhalit . . . . . 02 II 12
— Roemerit u. Zinkroemerit . . . . . 04 II 191
— Scheelit . . . . . 04 II 187
— Schwefelcadmium . . 04 I 343
— Schwefelzink, kryst. 04 I 343
— Zinnstein . . . . . 1900 II 13
Küstenbewegungen, Californien . . . . . 04 I 108
— siehe auch Niveauschwankungen.
Küstenformen, Entwickelung . . . . . 01 I *53*
Küstenlande, Bača-Thal, Geologie . . . . . 04 I 95
Küstenlinien, Verschiebung . . . . . 1900 I 44
siehe auch Niveauschwankungen.
Kugelabsonderung, Melaphyr, Darmstadt . CBl 1901 *610*
— siehe Contractionscylinder.
Kugeldiorit, Pommiers, Isère . . . . . 1900 I 221
Kugelporphyr, Corsica . 04 I 378
Kujalnik-Hadshibey, Peressip, Geologie . . 02 II 397
Kujalnik-Liman, Süd-Russland, Schlammproben . . . . . 1900 I 224
Kullait
— systemat. Stellung . 03 II 356
— Kullen, Schweden . . 01 II 58
Kullen-Vorgebirge, Schweden
— Gesteine . . . . . 1900 I 222
— postsilurische Ganggesteine . . . . . 01 II 57
Kumatologie = Wellenlehre der Atmosphäre 01 I 392
Kundratitz, Jesuitengraben, Tertiärflora 1900 II 328
Kunzit, Pala, Diego Co., Col. 1904 I 357. 358 1904 II 354. 366
Kupfer
— Ausscheidung durch Eisenoxydulsalzlösung 02 II 334
— destillirtes . . . . . 03 I 369
— Schmelzpunkt . . . 03 II 318
— Structur der Klumpen 02 I 5
Kupfer
— Umwandlung d. Kleingefüges . . . . . 1901 II 172
— verwachsen m. Rothkupfererz . . . . . BB XVI *337*
— Alaska . . . . . 1900 II 79
— Bogoslowsk'sches Bergrevier, Ural . . . . 1900 I 343
— Douglas County, Wisconsin . . . . . CBl 1902 282
— Isle Royale, Mich., Auftreten u. Entstehung 1900 II 227
— Kawan Mine, Neu-Seeland, auf Grubenholz . . . . . 02 II 335
— New Jersey . . . . 02 I 360
— Oberer See etc., Entstehung . . . . . 1900 II 246
— Silverton Quadrangle, Colorado . . . . . 03 II 344
Kupferallophan, Sardinien 1900 I 16
Kupferarsenide, Lake Superior u. künstl. . 02 I 7
Kupferberg, Entstehung d. Erzlagerstätten . 04 II 229
Kupfererze
— Alaska . . . . . 04 II 74
— —, Copper River-District . . . . . 04 II 71
— Amolanas, Copiapo, Chile . . . . . 04 I 240
— Arizona, Copper Queen-Grube . . . . . 03 I 90
— Ducktown, Tenn. . . 03 II 188
— Griechenland, nördl., u. türk. Grenzländer BB XVIII *52*
— Inguaran, Mexico . . 01 I 87
— Massa Marittima, SnO_2-haltig . . . . 01 I *156*
— Neu-Schottland . . . 02 I 362
— NS.-Wales, jodhaltige 1900 II 41
— Nord-Carolina . . . 04 II 33
— Parry-Sund-District . 01 I 181
— Sünikgruben, Gouv. Elisabetpol, Transkaukasien . . . . . 04 I 239
— Transvaal, Murchison Range . . . . . 01 I 84
— Virgilina-District zwischen Virginia u. N.-Carolina . . . . 04 II 73
Kupfererzlagerstätten
— Eintheilung . . . . 03 II 383
— Kartatinsk b. Wladikawkas . . . . . 04 I 227
— Ookiep, Kleinnamaland 04 I 239

Kupfererzlagerstätten
— Senze do Itombe, Angola . . . . . 1904 I 240
— Serbien(Rebelj u. Wis) 03 II 384
Kupferformation, Freiberg . . . . . CBl 1901 244
Kupfer- u. Bleiformation, Freiberg . . . . . CBl 1901 242
Kupferglanz
— elektr. Leitfähigkeit BB XX *383*
— künstl., Kryst. 1904 I 166 04 II 171
— Butte, Mont. u. Darstellung . . . . . 04 II 171
— Cornwall, Zwillinge . 1900 I *155*
— Silverton Quadrangle, Colorado . . . . . 03 II 342
Kupferkies
— ersetzt das Eisen eines Schmelzofens . . . . 02 II 336
— verwachsen m. Bleiglanz . . . . . BB XVI *353*
— — m. Bournonit . . BB XVI *396*
— — m. Fahlerz . . . BB XVI *357*
— — m. Kobaltglanz 1902 II 329 BB XVI *354*
— — m. Polybasit . . BB XVI *394*
— — m. Silberglanz . . BB XVI *361*
— — m. Zinkblende . . BB XVI *354*
— Aarmassiv, in Biotitprotogindrusen . . BB XIV *69 ff.*
— Bogoslowsk'sches Bergrevier, Ural . . . . 1900 I 344
— Burgholdinghausen, Zwillinge . . . . . 1900 II 6
— Cornwall, Kryst. . . 02 I 9
— Engihoul, Verwitterung . . . . . 01 I 186
— Hokansbo, regelm. verwachsen m. Kobaltglanz . . . . . 02 II 329
— Silverton Quadrangle, Colorado . . . . . 03 II 343
— St. Agnes, Cornwall, eigenartige Krystallisation . . . . . 03 I 374
— Sudbury, Canada . . 04 II 364
— Visé, Belgien . . . 01 I 185
Kupferlasur
— Verwitterung von Kupfermünzen . . . 04 I 330
— Altai, Polychroismus 04 II 341
— Engihoul, Belgien . 01 I 186
— Chessy, Pseudom. nach Kupferlasur und von Limoniten nach K. . 1900 I 21
Kupferlasur, Rosas, Sardinien . . 1900 I 29 1900 II
Kupferletten, Frankenberg bei Marburg . . CBl 1901
Kupferlösungen, durch Schwefelkies reduz. 04 II
Kupfermünzen, Verwitterungsproducte . . . 04 I
Kupferreiche Sande, Malaguit-Gebiet, Luzon 03 II
Kupferschiefer, Entstehung 1903 I 90 CBl 1903 *258.*
Kupfersulfat, bas., Nassau 01 I
Kupfersulfatlagerstätte, Copaquire, Chile . . 04 I
Kupferuranit
— Krystallformen . . . 1900 I
— und Entwässerungsprodukte (Metakupferuranit) . . . . . CBl 1901
— Wassergehalt . . . CBl 1903
Kupfervitriol, Alma Mine, Californien . . . . . 04 II
Kupferzinkallophan, Valdaspra . . . . . 1900 I
Kurkur-Oase, Egypten, Geologie . . . . . 04 I
Kursk, Bergsturz, 31. Juli 1901 . . . . . CBl 190?
Kuskit, syst. Stellung . 03 II
Kuskitporphyr, Alaska . 02 I
Kusnetzk, Altai
— Alter d. Kohlenbeckens CBl 1901
— Carbonflora . . . . 02 I
— Devon am Rande des Steinkohlenbeckens . 02 I
Kutnohorit = Mangandolomit, Kuttenberg 03 II
Kuttenberg, Böhmen
— Mangan- etc. Mineralien . . . . . 03 II
— Mineralien . . . . . 03 I 1903 II 338 CBl 1901
Kyffhäuser, kataklast. Massengesteine . . . 03 II
Kyschtym-Bezirk, Ural, Mineralien 1901 I 361 01 II
Kyschtymit . . . . . CBl 1900
— Borsowka, Ural . . 1900 II

L.

Labeo Cuvieri, Pariser Gyps . . . . . 02 II
Labergebirge b. Oberammergau, Geologie 1900 II

Labidosaurus hamatus, Perm, Texas, vergl. m. Anomosaurus . . BB XX *352*
Labile Componenten in Mischkrystallen . . . 1904 I 325
Laboratorium, Anwendung d. Mikroskopes . . . CBl 1901 19
Labrador, Halbinsel, Geologie . . . . . 01 I 447
Labradorfelse
— Bergen, Norwegen . 04 II 390
— Lofoten u. Westeraalen, Norwegen . . . . . 1900 I 384
Labradorit . . . . . 01 II 220
— Dichte nach Schmelzen 01 II *153*
— geschmolzen, Lösungsvermögen . . . . . CBl 1902 *201*
— Krystallisationsvermögen u. -geschwindigkeit . . . . . CBl 1903 *614*
— u. Apatit, zusammengeschmolzen . . . . CBl 1904 *739*
— u. Augit, zusammengeschmolzen . . . . CBl 1903 *713*
— u. Magneteisen, zusammengeschmolzen . CBl 1903 *710*
— u. Olivin, zusammengeschmolzen . . . . CBl 1903 *743*
— Gorodischtsche . . . 01 II 183
— Jelisawetgrader Kreis 04 II 21
— NS.-Wales, Zusammensetzung . . . . . 02 I 184
— Selischtsche, Ural . . 01 II 181
— Volhynien . . . . . 04 I 261
Labradorporphyrit
— Kola . . . . . 02 II 385
— Mariupoler Kreis, Südrussland . . . . . 1900 I 394
— Monzoni . . . . . CBl 1901 *677*
Labrax bosniensis, longiceps u. Steindachneri, Tertiär, Bosnien . . 03 I 160
Labuan, Erdbeben 21. September 1897 . . . . 1900 II 376
Labyrinthodon, Teinach, Buntsandstein . . . 02 II 301
Laccophyllum, Niagaran, New York . . . . . 03 I 483
Lacunaria laevigata, Eocän, Loire inférieure . . 03 I 127
Ladogische Formation, archäisch, Finnland . 01 II 64
Ladogische Schiefer, Finnland . . . . . 03 II 73
Ladysmith, Natal, Augitporphyrit . . . . . 03 I 428
Laekénien, Sande, Verbreitung in Belgien . 1900 I 451
Lafkenia sulcifera, Tertiär, La Plata . . . 03 II 293
Laganum Balestrai, Priabona-Schichten . . . 04 I 283
Lagena antarctica, Kreide, Admirality Inlet . . 04 I 434
— apiculata u. cf. laevis, Bryozoenhorizont, Priabona . . . . . 01 I *113*
Lagenosypho, Zechstein . 1900 II 164
Lagergang, Great Whin Sill, England . . . 1900 I 397
Lagerstätten, siehe Erzlagerstätten u. Minerallagerstätten.
Lagerstättenbildung durch Adsorptionsprocesse . 04 II 70
Lagerungsverhältnisse, Rhätikon . . . . . CBl 1901 *233*
Lago di Santa Croce, Geol. 1900 II 121
Lagomorpha, lebend u. fossil, Gebiss etc. . . 03 I 141
Lagomys, Gebiss etc. . 03 I 141
Lagonegro, Basilicata, Geologie . . . . . 1900 I 253
Lagonit, Maremmen, Toscana . . . . . 02 I 171
Lagopsis, Gebiss etc. . . 03 I 141
— verus, Oeningen . . 03 I 353
Lagoriolith, Bildung im Magma . . . . . 1900 II 252
Lahnthal, Silur, Flora . 02 II 496
Lahr, Erdbeben 19. Jan. 1897 . . . . . 01 II 208
Laibach
— Erdbeben 1851—1886 1900 I 373
— — 1895—1899, Osterperiode . . . . . 02 II 45
— Erdbebenbeobachtung 1900 II 372. 373
— Erdbebengebiet, Höhenbestimmungen . . . 1900 II 212
Lake District, Geologie CBl 1901 314
Lake Superior, Kalkspath d. Kupferminen . . . 1900 I 180
Lakkolithen
— Aletschhorn u. St. Gotthard . . . . . BB XVI *317*
— Cutch, Indien, Gesteine 1900 I 237
— Gasterenthal (Aarmassiv) . . . . . BB XVI *322*
— Judith Mts., Mont. . 1900 I 405
— Pjatigorsk, Kaukasus, von Liparit, Contact 01 I 73

Lambay-Insel, Irland, Bala beds . . . . . 1900 I 269
Lambdoconus suinus, Pyrotherium-Schichten, Argent. . 1900 I *230* 1900 II 300
Lambdotherium, verwandt mit Pferden . 01 I 150
Lambertia, Priabona-Schichten . . . . . 04 I 283
— Gardinalei, Priabona-Horizont, Lonigo . . 01 II 485
Lamna Bassanii, pietra da Cantoni, Monferrato 02 I 465
— macrota, unt. Mokattam, Wasta in Egypt. 03 I *32*
Lamprophyllit, Kola . . 02 II 379
Lamprophyr
— Verwitterung . . . 1900 I 55
— Creuse-Dep. . . . . 03 II 373
— Rhätikon, durch Dynamometamorphose verwandelt in Hornblende-Zoisitschiefer. 1900 I *124*
— Riesengebirge, im Granitgefolge . . . CBl 1902 *680*
— Rofna, Schweiz, im Schamser Thal . . . 04 II 388
Lampusia interstriata u. namnetensis, Eocän, Loire inférieure . . 03 I 128
Lanarkia horrida, spinosa u. spinulosa, Silur, Schottland . . . . . 01 I 505
Lancefield-Serie, Ordovician, Victoria, Australien . . . . . 1900 II 430
Landecker Bruchgebiet . 04 I 89
Landénien, Belgien, Fische 03 II 443
Landerhebung, spätquartäre, Schweden . . . 1900 I 452
— siehe auch Niveauschwankungen.
Landesanstalt, geolog., Berlin, künftige Entwicklung . . . . . CBl 1901 373
Landeshut i. Schl., Erweiterung d. Gebiets d. product. Kohlenformation . . . . . CBl 1904 *403*
Landformen . . . . . 1900 I 36
Landraubthiere, Wirbel 04 I 441
Landsäugethiere, Tertiär, Nordamerika . . . . 01 II 136
Landschaft, Gestalt, beeinflusst durch d. Gesteinsschichtung . . 1900 I 206
Landschneckenmergel, tertiärer, Oppeln . . 1903 I 538
Landverbindung z. Zeit d. Tertiärs . . . . CBl 1902 *705*
Långban, Manganerzlager, Schweden . . . . . 01 I 433
Langbeinit
— Entstehung . . . . 03 I 38
— Krystallformen . . . 03 I 37
— Vorkommen in Kalisalzlagern . . . . . 04 I 335
— Salt Range, Indien . 01 II 34
Langenaubach b. Haiger, oberdev. Tuffbreccie. 02 II 112
Langesundfjord, Mineralien . 1900 II 366 02 II 361
Langhiano in Piemont . 01 II 447
Languedoc
— Eocän u. Oligocän . 04 II 433
— Geologie v. Nieder- . 1900 I 95
Lanistes antiquus, Palaeogen, Egypten . . . CBl 1901 *271*
— bartonianus, irregularis u. Sandbergeri, Palaeogen, Egypten . . . CBl 1901 *275*
— siehe auch Ampullaria.
Lanzig mit Vith, geol. Karte . . . . . 1900 II 411
Laorca, Italien, Mineralien 02 II 203
Laotira silurica, Silur, Dalarne . . . . . CBl 1904 *459*
La Plata, Toxodontia . 02 I 130
Lappar . . . . . CBl 1903 697
Lappland, schwedisch, Seekettenregion, Geol. . 03 II 282
Lapworthura, palaeoz. . 1900 I 481
Lapworthuridae, palaeoz. 1900 I 481
Laramie, Ost-Patagonien 1900 I 101
Larderellit, Maremmen, Toscana . . . . . 02 I 172
Lare, Massif de la, Tektonik . . . . . CBl 1901 *459*
Larnaca, Cypern, Salzsee 03 II 392
La Roque-Esclapon-Becken, (Var), Tertiär . . . 01 I 126
La Saline, Jersey, Gesteine 01 I 409
Lasanius problematicus, Silur, Schottland . . 01 I 505
Lasiograptus . . . . . 01 I 336
Las Lajas, Grenzz. zw. Argentinien u. Chile 1900 I 432
Lasmogyra fenestrata, gracilis u. tortuosa, Gosauschichten, Ostalpen . 04 II 152
Las Pilas, Vulkan, Nicaragua . . . . . 02 I 210

Lassalit, Miramont . . 1902 II 197
Lasurfeldspath, Baikalsee, Krystallisation . 02 I 38
Lasuroligoklas, Baikalsee, Krystallisation . 02 I 38
Laterit . . . . . 02 II 342
-- Bildung . . . . . CBl 1900 *275*
— im rothen Schnee . . CBl 1901 *578*
— Humboldtbai, Neu-Guinea . . . . . CBl 1901 *651*
— Palni Hills, Südindien 03 I 381
CBl 1901 761 CBl 1902 *176*
— Russland . . . . . 01 II 66
— Sumatra u. Celebes, chemisch . . . . . CBl 1904 *467*
— siehe auch Bauxit u. Hydrargillit.
Latimaeandraraea Douvillèi u. lophiophora, Gosauschichten, Ostalpen . . . . . 04 II 151
Latit
— nach LOEWINSON-LESSING . . . . . 1900 II 388
— Sierra Nevada, Cal. 1900 I 70 1900 II 66
— Tintic-Distr., Utah . 01 II 414
Latit-(Biotit-Augit-)Strom, Sierra Nevada, Cal. . 1900 I 70
Latium
— Alter d. Vulcane . . 04 I 369
— Pyroxen . . . . . 02 II 24
Latschurgruppe, Steiermark, Geologie . . . 03 I 102
Laubeia, St. Cassian . . 02 II 488
Lauchheimer Tunnel, Ries BB XV *457*
Lauenburg a. Elbe, Quartär 02 I 458
Laumontit
— Aarmassiv in Biotit-protogindrusen . . BB XIV *69 ff.*
— Halle a. S., im Porphyr 01 I 24
— Lake Superior . . . 1900 II 30
— Maddalena, im Granit 03 I 195
— Ofenhorn, Binnenthal CBl 1904 57
— Plauen'scher Grund, Dampfspannung . . 1900 I 335
— Radauthal 1901 II 360 03 II 337
Laurdalas . . . . . CBl 1903 697
Laurdalit, Lougenthal, graph. Darstellung d. Zusammensetzung . 1900 I *111*
Laurdalos . . . . . CBl 1903 697
Laurentinian
— Baffinsland . . . . 04 I 419
— Barren Lands, Hudsons Bay . . . . . 01 I 267
Laurentinian
— Labrador . . . . . 1901 I 447
— Ontario, östliches . . 1900 II 429
— —, French River . . 01 I 269
Laurionit, Laurion . . 01 I 14
Laurit, Vorkommen . . 03 II 319
Laurium
— Bleimineralien . . . 01 I 14
— Erzlagerstätten, im Alterthum . . . . . 02 II 83
— Tektonik u. Mineralisation . . . . . 04 II 241
Laurvikit . . . . . 02 I 216
— Amrum, Geschiebe . 03 I *99*
— Helgoland, Geschiebe CBl 1903 *453*
— Sylt, Diluv.-Geschiebe 01 I *105*
Lausitz, Kaolinlager . . BB XV *335*
Lavacille bei Bassano, Tertiärconch. . . . 01 II 128
Laval, Geologie . . . . CBl 1904 310
Lavaspratzen, Papandajan-Vulcan, West-Java . BB XX *128*
Laven
— Dichte flüssiger u. fester 01 II *143*
— — nach Schmelzen, Aetna u. Vesuv . . 01 II *154*
— Ergüsse, Ursache . . 04 II 368
— Höhlen u. Stalaktiten, Südseeinsel Rotuma . 1900 I 238
— Kuppel am Vesuvgehänge . . . . . 03 I 42
— Rinnen, Vulcan Guntur, West-Java . . . . . 04 II *114*
-- Ströme, Sierra Nevada, Californien . . . . . 1900 I 69
— Kasbek . . . . . 02 II 390
— Mariupoler Kreis, Südrussland . . . . . 1900 I 393
— Puebla, Mex., basaltische 1900 II 230
— Sierra Nevada, Cal., Westabhang . . . . 1900 II 65
— siehe auch Vulcane, Eruptionen, Basalt etc.
Lavialit, Finnl., archäisch 01 II 63
Lawine, Gletscher-, von der Altels . . . . . 1900 I 209
Lawsonit, Gorgona-Insel (Toscana) im Diabas 04 II 220
Laysan, Insel, Südsee, Basalt . . . . . BB XV *91*
Lazariella subalpina, Tert., Piemont u. Ligurien 02 II 309
Lazulith
— Madagascar . . . . 03 II 27
— St. Veit-Berg, Mähren CBl 1904 *360*

Leadhillit
— Umlagerungen und Structur . . . . . BB XIV *259*
— Aarmassiv in Biotit-protogindrusen . . BB XIV *69 ff.*
— Cerro Gordo-Gruben, Californien . . . . . 1902 II 205
— Mendip Hills, in alten Bleischlacken . . . . 1900 II 31
— Sardinien . . . . . 01 II 358
Leaia Weissii, jüng. Steinkohlengeb., Provinz Sachsen . . . . . 01 I 458
Lebombo-Gesteine, Transvaal . . . . . 1900 I *118*
Lecanella complanata, Crenularis-Schichten, Malm, Baden i. Schweiz 02 II 315
Leda Cocchii, Bath-Stufe, Sardinien . . . . . 04 II 285
— corbuliformis, Kreide, Patagonien . . . . 02 II 435
— Futtereri, Cenoman, Fergana . . . . . 04 II 458
— patagonica, Paraná-Stufe . . . . . BB XIV *200*
— pella var. antecarinata, Miocän, Mti. Livornesi . . . . . 04 I 288
— pernula, im Diluvialmergel, Selbjerggård, Dänemark . . . . . 03 I 524
— phacoides, Nummulitenfauna, Egypten 02 I 464
— Prendeli, Tertiär, Taman-Halbinsel . . . 04 II 436
— cfr. subovalis, Posidonienschiefer, Hannover . . . . . CBl 1904 *386*
— vendaeensis, Infralias, Vendée . . . . . 04 II 430
Legirungen von Ni u. Fe 1900 I 352
Leguminosites trispermus, Mioc., Rumänien 1900 II 491
Lehm
— Elsass-Lothringen. quart., Gliederung . 04 I 102
— Kirchheimer Gegend (Württemberg) . . . BB XIX *125*
— Krusevac, Serbien, feuerfester . . . . . 1900 I 25
— Nürnberg . . . . . 02 II 223
— u. Löss, Schwaben . 1900 II 154
Lehmlager, Aufsuchung etc. CBl 1904 410
Leiner, Ludwig, Nekrolog CBl 1901 *344*
Leiocidaris Almerai u. Bofilli, Eocän, Barcelona 1903 I 530
Leiomyalina, Tasmanien, Palaeozoicum . . . CBl 1903 *296*
Leiospongia Hornigi, Trias, Bakony . . . 02 I 492
Leitfähigkeit, elektr., für einige Schwefelmetalle BB XX *365*
Leithia, Pleistocän, Malta 02 II 462
Leitpflanzen, mitteleurop. paläoz. Steinkohlenablagerungen . . . CBl 1900 25
Lelfunia Haugi, Tertiär, La Plata . . . . . 03 II 293
Lemberg, Johannes, Nekrolog . . . . . CBl 1903 *241*
Lemming, Höhle bei Santarem, Portugal . . 02 II 457
Lemuren
— fossile . . . . . 1900 II 463
— riesige, Gehirne, Madagascar . . . . . 03 II 288
— Urform der Anthropoiden . . . . . 1900 II 466
Lemuriden
— fossile, Knochen . . 01 II 141
— Madagascar . . . . 03 I 353
Lena'sches Bergrevier, Goldseifen . . . . . 02 II 409
Lenakalk, Cambrium, Sibirien . . . . . 01 I 114
Lendofelische Eruptivgesteine . . . . . CBl 1903 684
Lenfelische Eruptivgest. CBl 1903 684
Lenham-Schichten, Belgien, Alter . . . . 03 I 309
Lenneschiefer
— Berg'sche Lande . . 1900 I 273
— Elberfeld, mit Modiomorpha praecedens . 03 I 471
Lenticeras Andii, Kreide, Peru . . . . . BB XVII *279*
Leoben, Steiermark
— Mineralien . . . . . 03 II 30
— Wirbelthierfauna des Tertiär . . . . . 01 II 456
Leonessa (Prov. Aquila), Geologie . . . . . 02 I 98
Leonhardit, Schmenitz, Dampfspannung . . 1900 I 334
Leonit
— bildet Langbeinit . . 03 I 39
— Entstehung aus Meerwasser . . . . . 01 I 9
— Vorkommen in Kalisalzlagern . . . . . 04 I 335

Leonit, Leopoldshall . . 1903 II 335
Leontinia oxyrhyncha, stenognatha u. fissicollis, Pyrotherium-Schichten, Argentinien . . 1900 II 302
Leontinidae, Pyrotherium-Schichten, Argentinien . . . . . 1900 II 302
Leperditia baltica, errat., Groningen . . . . . 01 II 151
Lepidocarpon, Uebergangsform zw. Lycopodiales und Gymnospermen . . . . . CBl 1901 54
Lepidocladus fuisseensis, Carbon, Mâcon . . . 04 II 478
Lepidocyclina, Oligocän, Adour-Becken . . . 01 I 168
— formosa, Mioc., Borneo 02 II 490
— Philippinen . . . . . CBl 1901 *326*
Lepidodendron u. Lepidophloios . . . . . CBl 1901 25
— Baylei u. esnostense, Kohlenbecken, Autun u. Epinac . . . . . 02 II 166
— saalfeldense, Unterculm, Saalfeld . . . 04 I 317
Lepidolith
— Krystallbau . . . . 04 II 178
— Grönland . . . . . 1900 I 347
— Haddam Neck, Conn., im Granit . . . . . 03 II 187
— Limousin . . . . . 02 II 196
— Minot, Maine, im Pegmatit . . . . . 03 I 34
— Nordamerika, Production . 1904 I 35 CBl 1902 246
— Pala, Californien, Analyse . . . . . 04 II 26
— Ratkovic, Mähren . . 01 II 192
— Wakefield, Ottawa, Canada . . . . . 02 II 37
Lepidomelan
— zersetzt durch H_2S-Gas 01 I 172
— verwachsen m. Astrophyllit CBl 1902 *353* BB XVI *407*
Lepidophyllum fuisseense, Carbon, Mâcon 04 II 478
— Jenneyi und missouriense, Lower coal measures, Missouri . 01 II 491
— waldenburgense . . CBl 1902 *233*
Lepidosteids, Green River Shales, Wyoming . . 01 II 480
Lepidotrochus, Trias, Hallstatt . . . . . 02 I 144
Lepini, Mti., Tektonik . 1902 II 215
Leptaceratherium trigonodum, Oligocän, Amerika . . . . . 01 II 308
Leptauchenia-Schichten, Tert., NO.-Colorado 04 I 123
Leptechinus, Unt.-Carbon, Rossbergmassiv, Elsass . . . . . 01 II 159
Leptecodon rectus, Niobrara-Kreide, Kansas 01 II 479
Leptit, Finnland . . . 01 II 60
Leptochoeridae, Tert., NO.-Colorado . . . . 04 I 134
Leptochoerus quadricuspis, Oredon bed, Nebraska . . . . . 03 II 286
Leptochlorite, chemisch . CBl 1901 *631*
Leptodesma, Gattungsdiagnose . . . . . 04 II 112
— Valsoldae, unt. Lias, Val Solda . . . . . 04 II 111
Leptodomus lanceolatus, RemscheiderSchichten, Devon . . . . . CBl 1904 *602*
— striatulus, Dev., Waigatsch . . . . . 1900 I 271
Leptodon, Samos . . . 02 II 458
— graecus, Samos . . . 1900 I 66
Leptolepis Nathorsti, Oberdevon, Bäreninsel . . 02 II 304
Leptomerycidae, Revision 04 II 141
— Uinta-Eocän . . . . 02 II 295
Leptomeryx, White River, Nordamerika 1902 II 292 04 II 141
— esulcatus, Evansi u. mammifer, Titanotherium-Schicht, Montana . . . . . 04 II 462
Leptonacca, tert. u. recent, Nordamerika u. Westindien . . . . 1900 II 315
Leptonidae, tert. u. rec., Nordamerika u. Westindien . . . . . 1900 II 315
Leptophragma cauliformis, Cenoman, Kuttenberg . . . . . 04 II 156
Leptoreodon, Uinta-Eocän 02 II 295
— Marshi, N.-Amerika . 01 II 462
Leptoria cantharelloides, ob. Kreide, lib. Wüste 03 I 509
Leptothyra occidentalis, Eocän, Loire inférieure . . . . . 03 I 128

Leptotrachelus-Arten, Kreide, England . . 1904 II 322
Leptotragulus, Uinta-Eocän . . . . . 02 II 295
— profectus, Titanotherium-Schicht, Montana 04 II 462
Lepus, Gebiss etc. . . . 03 I 141
— variabilis, Ightham (Kent) . . . . . 03 I 564
Lerici, Meteoritenfall . . 1900 I 352
Lesina, Insel, Geologie . 02 I 454
Lesves, Belgien, Meteorit 1900 I 357
Lethaea geognostica I. 3. Lieferung (Graptolithen und Medusen) 01 I 328
Lettenkohle
— Alpen, Grenze gegen Muschelkalk . . . . 1900 I 437
— Thale a. Harz . . . CBl 1901 *1*
Lettenkohlengruppe, Lunzer-Schichten . . 1900 I 275
Leuchtenbergit, Einwirkung v. Salmiak . . 03 I 396
Leuciscus bohemicus, böhm. Braunkohle . 04 I 287
— Fritschi, böhm. Braunkohle . . . . . 04 I 286
— preschenensis u. vexillifer, böhm. Braunkohle . . . . . 04 I 286
— Turneri, Miocän, Nevada . 1901 II 477 04 I 461
— vexillifer, böhmische Braunkohlenform. . . 01 I 143
Leucit
— Einwirkung von Ammoniumchlorid 1901 I 27 04 I 5
— Krystallisationsvermögen u. -Geschwindigkeit . . . . . CBl 1903 *616*
— Neubildung durch Schmelzen . . . . . BB XVII *512*
— Schmelzpunkt . . . 04 II 166
— Umlagerungen und Structur . . . . BB XIV *279. 312*
— verwachsen m. Glimmer . . . . . 1900 I 173
— zusammengeschmolzen m. Akmit . . . . . CBl 1904 *344*
— — m. Augit . . . . CBl 1903 *746*
— Cappuccini b. Albano 04 I 170
Leucitbasalt
— Bongsberg. Eifel. Graph. Darstellung d. Zusammensetzung . 1900 I *112*
Leucitbasalt
— Herniker Vulcane . . 1903 II
— Pankadjene, Südcelebes . . . . . 01 I
Leucitbasanit
— Atrio del Cavallo, 1891—93, Analyse . . . 1900 II
— Herniker Vulcane . . 03 II
— siehe auch Basalt, Basanit etc.
Leucitfreie u. leucitführende Gesteine, Cimin. Gebirge (Viterbo) 04 II
Leucitgestein
— durch Umschmelzen d. Glimmerschiefers v. Brixen . . . . . BB XIX
— — — d. Biotitgneisses v. Freiberg . . . . BB XIX
— Verwendg. z. Düngung 04 II
— Trapezunt . . . . . 01 I
Leucitgranophyr, Serra de Caldas, Brasilien 1900 I
Leucitit
— Einwirkung v. NH_4Cl 04 II
— Bearpaw Peak, Mont., graph. Darstellung d. Zusammensetzung . 1900 I
— Capo di Bove, Anal. 01 I
— —, Dichte nach Schmelzen . . . . . 01 II
— Cimin. Gebirge (Viterbo) 04 II
— Herniker Vulcane . . 03 II
— Vulcan Etinde, Kamerun . . . . . 03 I
Leucitmonchiquit, Kaiserstuhl . . . . . 02 I
Leucitnephelinit, Vulcan Etinde, Kamerun . . 03 I
Leucittephrit
— Ciminisches Gebirge (Viterbo) . . . . . 04 II
— Herniker Vulcane . 03 II
— Vesuv, graph. Darstellung d. Zusammensetzung . . . . . 1900 I
Leucittinguait, Beemerville, New Jersey . . 03 II
Leucochilus Ferdinandi, tert. Landschneckenmergel, Oppeln . . . 03 I
Leukophanähnl. Mineral, Kangerdluarsuk . . 1900 I
Leukophönicit, N. Jersey 01 I
Leukophyre Eruptivgesteine . . . . . CBl 1903

Leukopyrit, siehe Arseneisen.
Leukotephrit
— verarbeitet, im Untergrund von Turin . . 1900 II 398
— röm. Mühlstein, Rivoli, Piemont . . . 01 I 67
Leverrierit, chem. u. opt. 1900 II 353
Levipalifer orientalis, recent?, Japan . . . . 01 II 327
Leydenthonschiefer, Massachusetts . . . . . 1900 II 88
Lherzolith
— Ariège, bas. Schlieren 03 I 417
— —, Contact m. Kalk (Forsterit etc.) . . . 02 II 26
— bosnische Serpentinzone . . . . . 02 I 67
— Davos, serpentinisirt 1900 I 222
— Griechenland, nördl. u. türk. Grenzländer BB XVIII *11*
— Korinth . . . . . 01 I 65
— Pyrenäen . . . . . CBl 1901 *97*
— —, Alter . . . . . 01 II 389
Liarthrus Copei, Pyrotherium-Schichten, Argentinien . . . . . 1900 II 301
Lias
— Ammoniten, Rückschlagsformen . . . 04 I *30*
— diatomeenführende Hornschwämme . . . 1900 I 150
— Albanien . . . . . CBl 1904 *257*
— Alpen, Chiemgauer, oberer . . . . . CBl 1901 *361. 719*
— —, Freiburger, Ammoniten d. oberen . 1900 I 139
— —, —, — d. unteren u. mittleren . . . . 01 I 163
— —, nordöstl., tiefere Zonen d. unteren . . 1900 I 312
— —, Savoyer, Ammoniten . . . . . CBl 1901 506
— —, —, Rhabdophyllites 02 I 441
— —, westliche, pietre verdi . . . . . 1900 I 426
— Apennin, centraler, Ammoniten d. mittleren 1901 I 165 01 II 152
— Basler Tafeljura . . 02 I 440
— Borneo . . . . . 1900 II 119
— Bornholm . . . . . 01 I 96
— —, Fossilien . . . . 1900 II 435
— Bukowina, Fauna d. unteren . . . . . 02 II 269
— Corfu . . . . . CBl 1904 *257*
Lias
— Dobbertin, Mecklenb., oberer, Ichthyosaurus 1900 I *63*
— Empelde b. Hannover CBl 1902 *33*
— Franken u. Oberpfalz, Fauna . . . . . 03 I 318
— Frankreich, Seeigel . 02 I 150
— Gardasee, Anal. d. Kalks 02 I 407
— Graubünden . . . . CBl 1902 116
— Katzenbuckel . . . CBl 1902 *651*
— Lothringen, Eisenerze 01 I 428
— — u. Luxemburg . . CBl 1901 *407*
— Mexico . . . . . 1900 II 120
— Mte. di Cetona (Siena), Cephalopoden . . . 03 I 301
— Nordwestdeutschland, Mollusken im Posidonienschiefer . . . CBl 1904 *385*
— Tirol, südl., Brachiopoden d. mittleren . 01 I 167
— u. Rhät a. Niederrhein CBl 1903 *722*
Libanon
— Kreideechiniden . . 1900 I 479
— Kreidegastropoden 1901 I 488 02 I 312
Libollit, Libollo, Angola 1900 I 18
Libycoceras chargense, Kreide, Oase Chargeh 02 I 259
Libysche Wüste
— Geologie . . . . . 03 I 507
— oberste Kreide . 1903 I 507. 509
Libytherium, quartär, Algier . . . . . 01 II 146
Liccaites, Werfener Schichten, Mué (Dalmatien) 03 II 445
Lichadae, Eintheilung . 03 I 161
Lichas . . . . . CBl 1902 152
— Devon, Neu-Süd-Wales u. Allgemeines . . . BB XIV *519*
— cf. Haueri, Unterdevon, Rolshausen . . . . BB XVII *34*
— (Dicranogmus) Lindströmi, Devon, Waigatsch . . . . . 1900 I 271
— scutalis, Wenlock, Malvern . . . . . 01 II 150
Lichtablenkung durch Prismen anisotr. Kryst. 01 II 167
Lichtbrechungs-Indicatoren, Scala . . . . . CBl 1904 *14*
Lichtfiguren
— geätzter Krystallflächen, Benützung z. kryst. Bestimmung d. Aetzfiguren . . . . BB XIII *649*
— Kalkspath . . . . . BB XVII *355*

Lichtwirkung der Edelsteine . . . . . 1903 I 360
Liebenerit . . . . . BB XV *259*
Liebeneritporphyr, Fleims 03 I 62
Liebeneritporphyrgänge im Monzonit, Monzoni CBl 1901 *677*
Liestal im Schweizer Tafeljura, Geologie . 01 I 444
Lievrit
— Einwirkung von Ammoniumchlorid . . . 03 I 395
04 II 6
— magnet. Influenz . . BB XIX *419*
— Grönland . . . . . 1900 I 349
— Grönland, Julianehaab 03 I 383
Ligérien, Kreide, Aquitanien . . . . . 02 I 278
Lignit, in CS_2 lösliche organische Substanzen 02 I 16
Ligurien
— mittelolig. (tongr.) Zweischaler . . . . 1900 II 482
— tertiäre Diabase und Serpentine d. westl. . 1900 I 218
— Trias . . . . . 1900 I *176*
— Unterwaschungen d. Steilküste . . . . . 02 II 51
— und Piemont, tertiäre Echiniden . . . . . 03 II 453
Lillö, Schonen, Basalttuff CBl 1902 *357*
Lima aquilensis, Kreide, Aquilaner Abruzzen . 04 I 98
— bisulcata, Kreide, Dänemark . . . . . 02 II 434
— carnica u. Marinelli, Kreide, Lago di Santa Croce . . . . . 1900 II 122
— cinnabarensis, Cinnaber Mountains, Yellowstone Nat. Park . . 02 I 129
— densestriata u. Holzapfeli, jüngere Kreide, Schonen . . . . . 01 I 281
— haeringensis u. Mittereri, Unt.-Olig., Häring . . . . . 04 II 116
— Mignaccii, pietra da Cantoni, Monferrato 02 I 465
— Schmeisseri, Cenoman, Lüneburg . . . . . 03 II 274
— serraticosta, Halorites beds, Obertrias, Himalaya . . . . . 03 I 170
— sinensis, Trias, China 1900 I *190*
— soyhierensis. Renggeri-Schichten, Berner Jura 01 I 139
Lima subpunctata, Jura, Schoa . . . . . 1900 I 439
— trembiazensis, ob. Oxford, Berner Jura . 03 I 323
— Vallismontanae, Kreide, Tarcento (Friaul) . 03 I 480
— vendaeensis, Infralias, Vendée . . . . . 04 II 430
— Zitteli, Pachycardientuffe, Seiser Alp 1904 I 119 CBl 1900 *370*
Limagne, Excurs. d. geol. Congress 1900 . CBl 1901 *97. 289*
Liman von Hadshibey, Geologie u. Gesteine 02 II 397
— von Minss, Russland CBl 1900 *333*
Limane
— Südrusslands, Böden 1900 I 224 02 II 397
— —, Bakterien d. Salzsoole u. d. Schlamms 1900 I 225 229 01 II 382
Limatulella, Tertiär, Piemont u. Ligurien . . 02 II 309
Limax crassissima, Tert., Steinheim a. Brenz . 03 I 544
Limburgit
— Ahmed Aga, Sudan . 02 II 57
— Cabo Frio b. Rio de Janeiro . . . . . 02 II 401
— Kola . . . . . 02 II 386
— Ostböhmen . . . . . 01 I 401
— Rhön (Schwarze Berge) 04 II 206
— Sasbach 1901 I 401 03 I 410
— —, Dichte nach Schmelzung . . . . 01 II *152*
Limnaea Cayeuxi u. cuvilliensis, Tertiär unter d. Lignit, Cuvilly (Oise) 01 I 125
— druentica, ob. Mioc., Cucuron, Vaucluse . 02 I 130
— lagotis var. striata, Quartär, Central- u. Ostasien . . . . . 03 I 543
— oncodes, Eocän, Loire inférieure . . . . . 03 I 128
Limnenetes anceps u. platyceps, White River beds, Montana . . . 03 II 426
Limnicolidae, Osteologie 03 II 438
Limnische Ablagerungen, diluviale, Norddeutschland . . . . . BB XVI *19*
Limnocardium Dumicici u. Vugici, oberpontisch, Kroatien . . . . . 02 I 471

Limnocyon dysotus, medius, velox u. verus = riparius, Eocän, Marsh Collection . . . . . 1904 I 456
Limnocyoninae, Eocän, Marsh Collection . . 04 I 456
Limnologie . . . . . 02 I 200
Limnosaurus, jetzt Telmatosaurus . . . . CBl 1903 *54*
— transsylvanicus, ob. Kreide, Siebenbürgen, Schädel . . . . . 01 I 307
Limnotheriidae, Eocän, Amerika . . . . . 04 I 292
Limonit, siehe Braun-eisenstein.
Limopsis albensis, Kreide, England . . . . . 01 II 154
Limoptera longialata, Untercoblenz, Stadtfeld i. Eifel . . . . 03 I 528
Limurit = Axinitcontactgesteine, Pyrenäen 1900 I 16 01 II 232
Linarit
— Cerro Gordo-Gruben, Californien . . . . 02 II 205
— Rosas, Sardinien 1900 I 29 1900 II 364
— Valdaspra . . . . . 1900 I 29
Linck'sches Rationalitätsgesetz, Alkalihaloide . . . . . BB XVIII *145*
Lindenberg bei Rössel, Diluvium . . . . . BB XVI *50*
Lindener Mark b. Giessen
— Manganeisenerze . . 1900 I 411
— Stringocephalenkalk, Fauna . . . . . 01 I 272
Lindström, Gustav, Nekrolog . . . . . CBl 1901 *527*
Lindströmaster antiqua 1900 II 487
Linearia Beushauseni, Untersenon, Braunschweig u. Ilsede . . 02 I 128
Lingula borealis, Trias, Süd-Ussuri-Gebiet . 1900 II 435
— Vistulae (cambr.) u. lagowiensis (oberdev.) BB XIII *358*
Lingulella, Cambrium . 02 I 488
— Fuchsi und Wanieki, Cambrium, östl. Saltrange . . . . . 02 I 260
— lepis, Tremadoc, Combes de Barroubio, Südfrankreich . . . . . 02 I *8*
Lingulina bursaeformis, Bryozoenhorizont. Priabona . . . . . 1901 I *121*
— Széchenyii und nankingensis, Palaeozoicum, China . . . . 1900 II 489
— Zimmermanni, deutscher Zechstein . . 1900 II 164
Lingulinen, piemont. Tertiär . . . . . 1900 II 162
Lingulops Derbyi, Silur, Pará, Brasilien . . . 01 I 297
Linksdrehende Krystalle, Unterscheidung von rechtsdrehenden . . 01 I 171
Linnarssonella, Cambrium, Nordamerika . . . . 03 II 300
Linneit, Mähren . . . . CBl 1904 *356*
Linnville Mountain, N.-Car., Meteoreisen . . 1900 I 353
Linograptus . . . . . 01 I 335
Linopteris elongata, Carbon, Heraclea, Kleinasien . . . . . 03 I 175
— gilkersonensis, Lower coal measures, Missouri . . . . . 01 II 491
Linsenränder, Polarisationswirkung . . . CBl 1900 *88*
Linthia Fraasi, Kreide, Libanon . . . . . 1900 I 480
— Hessi, Nummulitenschichten, Egypten . 01 II 484
— Joannis Böhmi, Roca, Argentinien . . . . 04 I 433
— Lorioli, Tert., Piemont 01 II 485
— pseudoverticalis, Priabona-Schichten . . . 04 I 283
— pulcinella, Tertiär, Südtirol . . . . . 1900 II 161
Linuparus u. Podocrates CBl 1901 *713*
Liocceras, Unteroolith, England . . . . . 01 II 316
— concavum, nordschweiz. Jura . . . . . CBl 1901 *585*
— opalinum-Zone, Rossano in Calabrien . 1900 II 453
Liostraciana Krausei, Schantung, Obercambrium . . . . . 04 II 323
LiotiaScotti, patag. Form. 02 I 295
Lipari, Geologie . . . . 1900 II 49
Liparit (siehe auch Rhyolith).
— kaolinisirt . . . . . BB XV *358*
— künstlich . . . . . 1900 II 253
— Arafali (Erythraea) . 04 II 401

Liparit
— Battak-Hochfläche, Sumatra . . . . . 1900 II 235
— brit. Ostafrika . . . 04 II 57
— Buri (Erythraea) . . 04 II 402
— Cap Marsa, Algier, Plagioliparit . . . . 02 I 409
— Chile, nördliches . . 01 I 419
— Ecuador . . . . . 03 II 224
— erythr. Colonie 1903 II 79 04 II 401
— Gleichenberg, Steiermark . . . . . 04 I 60
— Griechenland, nördl. u. türkische Grenzländer . . . . . BB XVIII *12*
— Guanaco, Chile, goldhaltig . . . . . 01 II 401
— Ménerville, Algier . 02 I 410
— Neuseeland, m. Tuffen 01 II 70
— —, Hauraki-Goldfelder 01 I 78
— Puebla, Mexico . . . 1900 II 231
— Ulu Rawas, Süd-Borneo . . . . . BB XVIII *423*
Liparitgesteine, Cap Blanc (Algier) . . . 01 I 228
Liparitlakkolith, Pjatigorsk, nördl. Kaukasus, Contact . . . . 01 I 73
Liparitlava, Mayor Island, Neuseeland, pantelleritartig . . . . . CBl 1904 *208*
Liparittuff, Ürgüb, Kleinasien . . . . . 1900 II 61
— siehe auch Quarztrachyt u. Rhyolith.
Liri-Thal
— Italien, Geologie 1902 I 426 03 I 481
— gegen den Volturno . 01 I 99
Liskeardit, Cap Garonne b. Hyères . . . . . 02 II 201
Lisopterna, Pyrotherium-Schichten, Argentinien 1900 II 301
Lispodesthes G. Mülleri (= Schlotheimi) und Bodei, Untersenon, Braunschweig u. Ilsede . . . . . 02 I 128
Lissabon
— Erschütterungsbez. d. grossen Erdbebens . 02 II 44
— Wasser . . . . . 1900 I 235
Lissien (Rhône), Säugethiere der eocänen Bohnerze . . . . . 01 I 147
Lissochilus benahensis, Kreide, Libanon . . 1902 I 312
— Schnarrenbergeri, Kreide, Aquilaner Abruzzen . . . . . 04 I 98
Listrodon, Gebiss . . . 02 II 465
Litharaea latistellata u. Vaughani, Gosauschichten, Ostalpen . 04 II 151
Lithionmineralien, Verein. Staaten, Prod. 1901 04 I 35
Lithiotiden, Familie . . 04 II 326
Lithiotiden-Schichten, Jura, Hercegovina . CBl 1904 *327*
Lithiumsilicat Li_2SiO_3, künstlich . . . . . 02 II 330
Lithobia atava, altsilurische Bohrmuschel, Balticum . . . . . CBl 1902 *132*
Lithocardium erroris, Priabona-Schichten . 04 I 283
Lithodomus patagonicus, Paraná-Stufe . . . . BB XIV *212*
— Zignoi, Priabona-Schichten . . . . . 04 I 283
Lithogenesis durch Adsorptionsprocesse . . 04 II 70
Lithophysen
— m. Palaeotrochis, vulc. Gesteine, Mexico . . 01 I 411
— Obsidian Cliff, Yellowstone River . . . 04 II 48
— Yellowstone u. England . . . . . 03 I 53
Lithops . . . . . 1900 II 459
Lithostrotion Macounii, Lower carboniferous, Canada . . . . . 01 II 325
Lithothamnienkalke, pliocäne, Viterbo . . . . 01 I 475
Lithothamnium in cretac. u. jüngeren Ablagerungen trop. Inseln CBl 1901 *161*
— triadicum, Spitzkalk, Schio u. Recoaro . . 1900 I 274
Literatur
— geolog., für 1898 . . 1900 I 34
— geolog.-mineralog. für Bayern . . . . . 1900 I 34
Littorina, Jura, England 01 I 513
— coislinensis, Eocän, Loire inférieure . . 03 I 128
— Grumi, Oligocän, venet. Voralpen . . . 01 II 283
— montaneyensis, ob. Oxford, bern. Jura . 03 I 322

Littorina paranensis und unicostalis, Paraná-Stufe . . . . . BB XIV *223*
— urgonensis, Urgonkalk, Orgon . . . . 1902 I 313
Litorina-Ablagerungen, Warnemünde beim Hafenbau . . . . . 03 I 135
Litorina-Zeit
— Mecklenburg . . . . 03 II 412
— Schonen . . . . . 03 I 525
Litorina- u. Praelitorina-Bildungen der Kieler Föhrde . . . . . 04 II 452
Litracophyllum wingellense, tert., Australien 04 I 156
Little Belt Mountains, Montana
— Erzlagerstätten . . . 01 II 366
— Gesteine . . . . . 03 I 430
Little Cottonwood-Granite, Wasatch Mountains, Alter . . . . 04 II 69
Little River-Series, Neu-Braunschweig = Riversdale-Schichten . 03 I 330
Liveingit, Binnenthal . CBl 1902 443
Livland, Inselbildung u. Seenverwachsung . . 1900 I 456
Ljardit, Eisenerzlager, Centralrussland . . . 01 II 408
Llandeilo, Brabant . . 03 II 103
Loch Awe-Formation . . 1900 II 222
Loch Awe-Gegend, Schottland, Geologie . . . 1900 II 221
Lóczia cryptocoelioides, Trias, Bakony . . . 02 I 493
Lodanella mira, Unterdevon . . . . . 01 II 133
Lodève, perm. Farne . . 04 I 157
Löllingit, siehe Arseneisen.
Löslichkeit
— d. Mineralien in Magmen . . . . . 02 II 216
— gegenseitige, geschmolzener Mineralien . . CBl 1902 *199*
— —. der Mineralien im Schmelzfluss CBl 1903 *705. 743* CBl 1904 *295*
— hydratirter Mischkrystalle . . . . . 02 I 335
— und Oberflächenspannung, Beziehung . . 02 II 178
— Richtungsunterschiede auf Gypsspaltplättchen CBl 1904 *116*
Löslichkeit
— schwer lösl. Salze . CBl 1904 *441*
— von natürlichen Silicaten in Wasser . . 1901 II 342
Löss
— Alter . 1901 II 449 03 I 519
— — u. Verbreitung 1900 I 297. 298
— subaëraler . . . . . 1900 I 298
— Achenheim u. Bläsheim (Elsass), mit Conchylien . . . . . 02 II 126
— Altenburg u. Meuselwitz, zweierlei . . . 03 II 268
— Amu Darja . . . . CBl 1903 86
— Asien, nördl. u. central. CBl 1901 536
— Bretagne . . . . . 1900 II 129
— Costarica, Vulc. Irazu 1900 II 271
— Elsass-Lothringen, a. d. Niederterrasse . . 01 I 131
— Holland . . . . . 02 I 289
— Kirchheimer Gegend (Württemberg) . . . BB XIX *125*
— Lutzk'scher Kreis, Volhynien . . . . . 1900 I 298
— Mähren . . . . . 04 II 442
— Neckargebiet, oberes 02 I 60
— Piemont . . . . . 01 I 292
— Rappenau, Baden . . 03 I 462
— Rheinhessen . . . . 1900 II *62*
— Rheinthal zwischen Neuwied und Köln . 04 II 440
— Saltrange . . . . . CBl 1903 *433*
— St. Galler Rheinthal, postglacial . . . . . 01 II 448
— Schwaben 1900 II *154* 02 I 60
BB XIV *120* BB XIX *125*
— Siebengebirge . . . 02 I 257
— Südwestdeutschland . 01 I 129
— Thüringen, Sand-, mit Succ. Schumacheri . 04 I 102
— Trebnitz, Odergebiet 02 I 460
— Vogelsberg, Lauterbach — Grebenhain, Bahnlinie . . . . . 04 I 47
— u. Lehm, Schwaben . 1900 II *154*
Lösung, graphische, krystallogr. Aufgaben . 01 II 334
Lösungen
— Klärung trüber durch Elektrolyte . . . . 03 I 453
— schwere, Benützung in Mineralogie und Petrographie . . . . 01 II 220
Lösungsgenossen, Einfluss auf Krystallisation d. Calciumcarbonats . . 1900 II 7. 9

Lösungskörper, Kalkspath . . . BB XVII *355. 18. 328*
Löthrohranalyse, Anleitung . . . . . 1904 I 4
Loewe'it
— Entstehung . . . . 03 I 38
— Vorkommen in Kalisalzlagern . . . . . 04 I 335
Lofoten, Gabbrogesteine 1900 I 384
Lofotenbahn, geol. Profil am Torneträsk . . . 04 II 223
Lofotengranit, Norwegen 1900 I 386
Loibersdorfer Schichten, Eggenburg, Tertiär . 1900 I 124
Lombardei
— Eisenerze . . . . . 01 I 431
— Jura u. Infracretaceum 01 I 142
Lomma-Thon, Schweden, Alter . . . . . 01 II 288
Lomthal, Bulgarien, Alluvium . . . . . 1900 I *31*
Lonchopteris Bricei, Zone der, Westphalien, Nordfrankreich . . . 01 I 524
Londonthon-Geschiebe, Schleswig-Holstein, Beziehungen zur Mo-Formation . . . 1900 II 125. 127
Long Creek, Jefferson Co., Tenn., künstl. Eisen 1900 I 353
Lonkus Rugei, Tertiär, La Plata . . . . . 03 II 294
Lonquimay-Kette, Grenze zw. Argentinien und Chile . . . . . 1900 I 433
Lonsdaleia indica, unt. Carb., Balia Maaden, Kleinasien . . . . . 02 I 115
Lons-le-Saunier, Mollusken u. Brachiopoden der Renggeri-Zone, Unter-Oxford . . . . 02 I 292
Lophiodon
— Beschreibung . . . . 04 II 465
— La Livinière, Schädel 1904 II 148 CBl 1902 603
— Mte. Bolca, Eocän, Zähne . . . . . 04 I 299
Lophiotherium . . . . 03 I 352
Lopholasma. Hamilton . 03 I 483
Lorandit, Allchar, Maced. 1900 I 7
Lorenzenit
— verwachsen m. Aegirin BB XIII *413*
— Narsarsuk, sdl. Grönland im Syenit . . . 02 I 32
Lothablenkung, Harz . 01 I 382
Lothlinie, zeitl. Veränderung . . . . . 1900 I 369. 3
Lothringen
— Eisenerze 1902 II 88. 90 CBl 1901 4
— —, Ursprung . . . 1901 I 4
— Eisenerzformation, Gliederung . . . . 02 I 2
— Hauptsattel, Beziehung z. Saarbrücker Kohlensattel . . . . . CBl 1904 *3*
— Kohlensattel . . . . 03 I 4
— Lias u. Dogger . . CBl 1901 *4*
— — —, Grenze . . . 1900 II 2
— Minette . . . . . 1902 II 88.
Lotrit in kryst. Schiefern, Paringu, Rumänien . 02 I
Loup Fork-bed. Nordamerika, Landsäugethiere 01 II 1
Louviers (Eure), weisse Kreide . . . . . 1900 II 3
Lovcenipora Vinassai, Trias, Montenegro . 03 II 3
Lower Coal Measures, Missouri, Pflanzen . 01 II 4
Loxogoniacea . . . . . BB XV 4
Loxonema sp., Trias, China 1900 I *2*
Loxonema Arpadis, eucycloides u. modestum, Veszprémer Mergel, Trias, Bakonywald . 02 II 3
— columnare, elongatum, falcatum, Kokeni u. rectecostatum, mitteldeutsch. Muschelkalk 04 I 3
— robustum, ob. Muschelkalk, Niederbronn . 02 I 1
Luciellina contracta, rothe Kalke, Trias, Bakonywald . . . . . 02 II 3
Luciit
— Stellung in d. Ganggefolgsch. granitodiorit. Tiefengesteine . CBl 1902 6
— systemat. Stellung . 03 II 3
Lucina Berlieri, Zone d. Am. Renggeri, Lons-le-Saunier . . . . . 02 I 2
— dachelensis, ob. Kreide, lib. Wüste . . . . . 03 I 5
— dubia, Dumoulini u. Grangei, Quiriquina-Schichten, Chile . BB XVIII 2
— Fuggeri, Reisi u. Zitteli, Tertiär, Reit im Winkel . . . . . 03 II 4

Lucina globulosa u. pomum, „mioc." Macigno-Mergel, Apennin . . . 1900 I *87*
— libyca und metableta, Nummulitenschichten, Egypten . . . . . 02 I 464
— phaenomenalis, Callovien, Espinazito-Pass, Argentinien . . . . 1900 II 117
— plicatocostata, Chile, untere Kreide . . . BB XVII *290*
— priabonensis u. textilis, Priabona-Schichten 04 I 283
— Volderi, Bruxellien . 03 II 299
Lucinen, grosse des Macignomergels, Apennin . . . 1900 I *87* 03 I 129 04 I 314 CBl 1900 *375*
Ludwigina, Unteroolith, England . . . . . 01 II 317
Lübeck
— Diluvium im Wackenitzgebiet . . . . . 03 II 270
— Grundwasserfrage . 03 I 139
— Hauptendmoränen . . CBl 1901 695
— Moränen . . . . . 02 I 460
Lüderichgestein i. Lenneschiefer d. Berg'schen Landes . . . . . 1900 I 274
Lüneburg
— Alter d. N.-S.-Störungen in der Kreide . 01 II 130
— Diluvialgeschiebe . . 01 II 285
— frühdiluviale und präglaciale Flora . . . 04 II 454
— Geologie . . . . . 1900 I 418
— Kreidefauna . . . . 03 II 274
— Muschelkalk u. Keuper der Schafweide . . . 1900 II 433
Lüneburger Heide
— Erdöl . . . . . 04 I 403
— Erdölwerke . . . . 02 I 17
— — und Salzlager . . CBl 1901 760
Lüttich, Carbon nördlich von . . . . . 01 II 268
Luft, flüssige, Erkaltungsmittel bei kryst. Untersuchungen CBl 1902 *11. 321. 402*
Luganer See, Geologie . CBl 1901 *737*
Lugano, Dolomitgebiet 04 II 244
Lujavras . . . . . CBl 1903 697
Lujavrit, Halbinsel Kola 02 II 377
Lujavros . . . . . CBl 1903 697
Lunatia constricta und pueyrrydonensis, Kreide, Patagonien . . . . 02 II 435
Lunatia singularis, Quiriquina-Schicht., Chile BB XVIII *196*
Lunucammina permiana, deutscher Zechstein . 1900 II 164
Lunzer Sandstein, Weyer, Ober-Oesterreich . . 01 II 123
— Schichten u. Lettenkohlengruppe, Ostalpen . . . . . 1900 I 275
Luossavaara, Norbotten, Eisenerze . . . . . 1900 I 79
Lusitanien, Jura, Portugal 02 I 274
Lussatit
— Bolchowskoi, i. Sandstein . . . . . 04 II 173
— Dolni Bory, Mähren 03 I 200
— Mähren, ist fasriger Tridymit . . . . . CBl 1901 *690*
Lutra brachygnathus, Tertiär, China . . . . CBl 1902 *531*
— franconica, Solenhofen, mioc., auf Spalten im lith. Schiefer . . BB XIX *499*
Lutzk'scher Kreis, Wolhynien, Geol. u. Löss 1900 I 298
Luxemburg
— Lias und Dogger . . CBl 1901 *408*
— Eisenerzformation, Gliederung . . . . . 02 I 269
— Minette 1901 I 428 1902 II 88. 90 CBl 1901 410
Luzonit, Antimon-, Peru 04 I 13
Lycopodites Stielerianus, Rothliegendes, Ilfeld CBl 1901 *422*
— Suissei, Blanzy, Carbon 03 I 358
Lyme Regis, Tiefbohrung CBl 1902 475
Lyonsia? vicentina, Quiriquina-Schichten, Chile BB XVIII *226*
Lyra angustirostris, Stramberg, Tithon . 1900 II 315
Lysechinus, St. Cassianer-Schichten, Südtirol . 1900 I 482
— incongruens, tirol. Trias . . . . . 1900 I 482
Lysophiurae, palaeoz. . 1900 I 481
Lysorophus tricarinatus, Peru, Texas . . . . 04 I 140
Lytoceras, südindische Kreide . . . . . 1900 I 441
— Abichi, belliseptatum, heterosulcatum und latericarinatum. Kreide, Kaukasus . . . . . 01 I 471
— alsaticum, Jurensis-Schichten, Elsass . . 03 I 300

Lytoceras apenninicum u. praesublineatum, Lias, Centralapennin . . . 1901 I 165
— Capellinii, cornurolandi, mompianense u. Victoriae, Medolo, Brescia . . . . . 02 I 441
— crebricosta, Mittellias, Oltre Serchio . . . 04 I 148
— Frechi und Helenae, Jura, Daghestan . . 04 II *73*
— Kayei und Varuna, Quiriquina-Schichten, Chile . . . . . BB XVIII *187*
— Polidorii, Rosso ammonitico . . . . . 01 I 468
— Richei, Valangien-Mergel, Südostfrankreich . . . . . 03 II 447
— tenuistriatum, ob. Aptien, Maïre b. Marseille 01 I 468
— (Tetragonites) epigonum und Kingianum, südindische Kreide . 1900 I 442

M.

Macedonien, Oligocän . CBl 1902 *266*
Macerata, Provinz, Geol. 02 II 259
Machairodontinen, Tert., NO.-Colorado . . . . 04 I 127
Machairodus, europ. Arten 1903 I 345 CBl 1902 28
— Knochenhöhle, Fort Kennedy . . . . . 02 II 142
— Ursache d. Aussterbens 03 I 554
— ensenadensis, Tarija-Thal, Argentinien . . 04 I 289
— n. sp., Tertiär, China CBl 1902 *531*
Macigno
— Apennin, grosse Lucinen . . . . . 1900 I *87* 1903 I 129 CBl 1900 *375*
— Cortona, Italien . . 04 I 277
— Ripafratta, (Mte. Pisani), Analyse . . . 04 II 218
Macomopsis elliptica, Tert., Piemont und Ligurien . . . . . 02 II 309
Mâcon, Carbon nebst Flora . . . . . 04 II 478
Macrocephalites andicus, araucanus, Noetlingi und vergarensis, Bathonien, argent.-chilen. Cordillere . . . 04 II 88
Macrocephalites Greppini, Renggeri-Schichten, Berner Jura . . . . 1900 I 316
— Köttlitzi, Callovien, Cap Flora, Franz Josephs-Land . . . . . 01 I 278
Macrochilina onondagaensis, Marcellus-Schiefer, Devon, New York 03 I 118
Macrochlamys Ponzii, Pliocän, Civitavecchia 01 II 320
Macrodiadema, Kreide, Ciply . . . . . 1900 I 480
Macrodon Klipsteini u. Laubei, Pachycardientuffe, Seiser Alp . . CBl 1900 *372*
— montaneyense, ob. Oxford, Berner Jura 03 I 323
Macropneustes Schweinfurti, Sickenbergeri und similis, Nummulitenschichten, Egypten . . . . . 01 II 484
Macrostachya, anatomischer Bau etc. . . . 1900 II 324
— Fructification . . . 1900 II 166
Mactra ambigua, amphirhyncha, araucana, Beneckei, chiliensis, Conchae, Cuadrae, dubia, Gabbi, Ganae, hualpensis, nesaea, oxyrrhyncha, Quiriquinae, ?Steinmanni u. vicentina, Quiriquina-Schichten, Chile . BB XVIII *251*
— Cecileana, Quiriquina-Schichten, Chile BB XVIII *228*
— colossea, Quiriquina-Schichten, Chile . BB XVIII *261*
— Fourtaui, Nummulitenfauna, Egypten . 02 I 464
— miocaenica, Tertiär, Loire inférieure . . 04 II 473
— d'Orbignyi, Ferrieri, pinguis und tumida, Quiriquina-Schichten, Chile . . . . . BB XVIII *237*
— patagonica, Paraná-Stufe . . . . . BB XIV *210*
— Stromeri, Kreide, Deutsch-Ostafrika . 01 II 296
— subcordiformis, mittl. Miocän, Touraine . . 02 I 466
— subtruncata var. elongata, Pliocän, Egypten 02 II 107

Madagascar
— Aepyornis . . . . . 1901 I 302
— Gehirn zweier Riesenlemuren . . . . . 03 II 288
— Geologie u. Mineralien CBl 1902 696
— Goldlagerst. d. Boeni 1900 I 242
— Granit u. Syenit mit Aegirin, Arfvedsonit u. Aenigmatit . . . 02 I 220
— Hippopotamus-Reste 04 II 142
— Jura u. Kreide . . . CBl 1904 308
— — —. Fossilien . . 1900 II 454
— — —, Geologie . . 01 II 264
— — von Diego Suarez 1900 II 287
— Lemuriden . . . . . 03 I 353
— Petrographie d. nordwestlichen . . . . . 03 I 79
— Primaten . . . 1903 I 344. 562
Madracis Ganei, Gregorioi u. Johnsoni, Palaeogen, Nordamerika 04 I 469
Madrepora interlimitata, alttertiär, Deutsch-Ostafrika . . . . . 01 II 326
Madrishorn im Gafienthal, Graubünden, Tektonik CBl 1901 *353*
Madupit
— Einwirkung von Salmiak . . . . . 04 II 7
— nach LOEWINSON-LESSING . . . . . 1900 II 388
Maeandrina pseudo-Michelini, Cenoman, Ammergebirge . . . . . 01 I 261
Mähren
— devon. Eisenerzlagerstätten . . . . . 01 I 426
— Erdbeben 1898 . . . 01 I 209
— Geologie . . . . . 02 II 421
— geol. Karten . . . . 1900 II 261
— Mineralien von versch. Fundorten . . . . . 1900 I 23 ff. 1903 I 401. 402 CBl 1904 *353*
— Minerallagerstätten d. westlichen . . . . . 01 II 202
— Mineralvorkommen 1901 I 353 04 I 176
— Miocän . . . . . 04 I 275
— Quartär . . . . . 04 II 442
— rother Zoisit . . . . CBl 1901 *686*
— u. Schlesien, verkieselte Korallen in Diluvialgeschieben Schlesiens und Mährens . CBl 1903 *561*
Maeneceras Koeneni, Cabrières, Devon . . . 03 II 145
Maeotische Ablagerungen, Gebiet des Krivoi Rog CBl 1902 411
— Oedenburger Comitat 1901 I 474
Maestricht, Kreide, Gastropoden . . . . . 01 I 312
Magaliesberg-Schichten, Transvaal . . . . . 1900 I *116*
Magdeburg
— Fauna d. Untercarbon 01 I 483
— Flora des Culm . . . 02 II 495
— — des Silur . . . . 02 II 495
Magellanian beds, oligocän . . . . . 03 II 399
Magellanische Schichten, Punta Arenas . . . 01 I 128
Magellanische Serie, unt. Tert., südl. Patagonien 1900 II 427
Magellansländer, Tertiär und Quartär . . . . 1900 I 106
Magellan-Territorium, geol. Karte etc. . . . 01 I 92
Magma
— Entstehung d. Mineralien . . . . . 1900 II 248
— Dichte des flüssigen und festen . . . . . 01 II *141*
— Krystallisationsfolge CBl 1900 *288*
Magmasaft, erzführender 01 I *141*
Magmat. Differentiation CBl 1900 189 CBl 1903 *605*
— Entstehung von Erzlagerstätten . . . . 04 I 75
— Versuche . . . . . BB XVII *516*
— Judith Mts., Mont. . 1900 I 406
— Kullenvorgebirge, Schweden . . . . . 1900 I 222
Magmen
— Chemie der . . . . 02 I 216
— gegenseitiges Lösungsvermögen d. Mineralien CBl 1902 *199*
— Löslichkeit der Mineralien im . . . . . 02 II 216
— monotekitische . . . 02 I 216
Magmentypen nach LOEWINSON-LESSING . . 1900 I 185
Magnesiaaluminat, künstliches, Krystallform . 03 II 326
Magnesiacarbonat, kobalthaltiges . . . . CBl 1903 *13*
Magnesiaglimmer, Oulx, ob. Dora Riparia, lithionhaltig im Gyps 1900 I 27
— siehe auch Biotit etc.
Magnesiahydrocarbonate CBl 1903 *147*
Magnesiaferrische Eruptivgesteine . . . . . CBl 1903 686

Magnesit
— chemisch (Talkspath) 1903 I 190
— Translationen . . . 02 II *139*
— dolomit. Kalk pseudomorph nach M. . . 1900 I 19
— Griechenland, chem. . 04 I 346
— Häuselberg b. Leoben, Wald und Jassing, Steiermark . . . . . 03 II 30
— Jolsva, Ungarn, chem. 02 I 340
— Maisur (Indien), Adern im verwitterten Dunit 03 I 78
— Nova Hora, Mähren . CBl 1904 *358*
— Steiermark, mit Talk 1900 I 15
— steir. Alpen, Entstehung der Lagerstätten 04 II 240
Magnesium, Aetzfiguren u. Krystalle . . . . 02 I 7
Magnesium-Ammonium-Phosphat und Struvit 02 II 29
Magnesiumcarbonat
— wasserhalt., Asbestgruben, Veltlin . . . 1900 II 17
— u. Doppelverbindungen 04 II 346
Magnesiumchlorid und Doppelsalze, Ausscheidung aus Na Cl-Lösung . . . . . 01 I 7. 13
Magnesiumkaliumsulfat-fünfviertelhydrat, Entstehung . . . . . 02 II 5
Magnesiumsulfat u. Doppelsalze, Ausscheidung aus Na Cl-halt. Lösung . . . . . 1900 I 7
Magneteisen
— Ausscheidung aus Schmelzflüssen . . . CBl 1904 *368*
— Bildung im Magma . 1900 II 250
— geschmolzen, Lösungsvermögen . . . . . CBl 1902 *200*
— Krystallisationsvermögen u. -geschwindigkeit . . . . . CBl 1903 *616*
— Löslichkeit in Flussäure . . . . . CBl 1902 *647*
— Magnetismus i. Wärme CBl 1902 *294*
— magnet. Influenz . . BB XIX *419*
— Neubildung durch Schmelzen . . . . . BB XVII *512*
— Paramagnetismus . . 03 II 167
— verwachsen m. Chlorit BB XVI *368*
— — m. Eisenglanz u. Titaneisen 1904 I *94*
— — m. Glimmer . . . BB XVI *344*
— — m. Hornblende . BB XVI *367*
Magneteisen
— verwachsen m. Rutil BB XVI *352*
— zusammengeschmolzen m. Albit . . . . . CBl 1903 *720*
— — m. Anorthit . . . CBl 1904 *297*
— — m. Labradorit . . CBl 1903 *710*
— Ain Oudrer, Algier . 1900 I 400
— Aquacetosa u. Tavolata b. Rom . . . . 1900 I 9
— Binnenthal, pseudomorph nach Ilmenit . 03 I 182
— Bogoslowsk'sches Bergrevier . . . . . 1900 I 344
— Brasilien, verwachsen m. Ilmenit . . . . . 04 I *94*
— Cogne (Piemont), Erz 04 II 413
— Congostaat . . . . 02 I 85
— Eiserfeld, Siegen, gebildet aus Spatheisen durch Basalt . . . . CBl 1901 *489*
— Grönland . . . . . 1900 I 347
— Hinksford in den „Upper Bunter Sands" . CBl 1903 *333*
— Midlands (Engl.), in Trias . . . . . 04 II 354
— Moose Mountain, Can., Lager . . . . . 04 II 364
— Narsarsuk, im Syenit, Südgrönland . . . . 02 I 19
— Neumarkt (Obersteier) 04 II 412
— Nikolajewski Zawod, Sibirien, Erz . . . . 04 II 416
— Ontario . . . . . 03 II 340
— Pe-Thal, Obersteiermark, pseudomorph nach Magnetkies . . 1900 I 18
— rhein. Basalten . . . 04 I 217
— St. Christopher-Insel, Westindien . . . . 04 I 357
— südl. Ural . . . . . 03 I 187
— Varanger (südl. Finmarken), Erz . . . . 04 II 415
— Vintrosa in Nerike, Untersilur . . . . . CBl 1902 247
— Wermsdorf, Mähren 03 I 199
— Wiesenberg in Mähren, im Granit . . . 02 I 338
— u. Rutil, Binnenthal, pseudom., nach Ilmenit, Binnenthal . . . 03 I 182
Magneteisen-Eisenglanz-Gemenge, Dunderlandsthal, Norw. . . 04 II 414
Magneteisengang, durch Granit veranlasst, Quérigut (Ariège) . . 01 I 227

Magneteisenlagerstätte
— Berg Katschkanar, Ural . . . . . 1904 I 86
— MagnitnajaGora,Vorkommen 1903 II 241. 366 CBl 1902 411
— Norwegen, Schweden, Sachsen . . . . . 03 II 240
— Paraeale, Luzon . . 04 I 234
— Schwarze Krux bei Schmiedefeld (Thür.) 04 I 235
— südl. Ural . . . . . 04 I 85
Magnetische Constanten d. Erde (Inclination und Declination) in geol. Vorzeit . . . . 02 II 370
— Influenz in Krystallen BB XIX *377*
— Verhältnisse, beeinflusst durch vulcanische Gesteine, Italien. . . 1900 II 214
Magnetismus
— in Wärme, Magneteisen . . . . . CBl 1902 *294*
— reg. u. hex. Kryst. . 03 II 167
— von Erzen . . . . . 02 I 163
— (Pyro- u. Piëzo-) d. Krystalle . . . . . 03 II 316
Magnetit, siehe Magneteisen.
Magnetitgestein, Michailowka, Podolien . . 02 II 397
Magnetitgneiss, westl. Schweden . . . . . 01 I 259
Magnetkies
— heterom. Modifikation 1900 II 348
— Löslichkeit in H F . CBl 1902 *648*
— React. auf Cu u. Ag bei gew. Temp. . . CBl 1901 *402*
— verwachsen mit Bleiglanz u. m. Schwefelkies . . . . . BB XVI *343*
— — mit Markasit und Arsenkies . . . . . BB XVI *381*
— Bodenmais, Lagerstätte am Silberberg 03 I 444
— Burgk. b. Dresden . 04 II 361
— Canada, Frontenac County, Kryst. . . . 1900 II 10
— Canada, Sudbury. Nihaltig . 1904 II 364 CBl 1901 372
— Heidelbach, sächs. Erzgebirge . . . . . 04 II 362
— Pe-Thal, Obersteiermark, Magneteisen pseudomorphos. nach 1900 I 18
— rhein. Basalten . . . 04 I 217
Magnetkies
— Sohland, Lausitz, Nihaltig . . . . . 1904 I 224. 225
— Slättberg und Kuso, Dalekarlien, Ni-haltig 1904 II 171
— Tollegno, Piemont im Kalk . . . . . CBl 1903 *121*
Magnitnaja-Berg
— Ural, Verwitterung d. erzführ. Gesteine 1903 II 241. 366 CBl 1902 411
— Werchnie uralsk . . 03 II 235
Magnoferrit, verwachsen m. Eisenglanz (Titaneisen) . . . . . BB XVI *344. 447*
Magnosia pauperata und Suessi, Tithon, Nesselsdorf (Mähren) . . 03 II 454
Maine, Aroostock County, Geologie . . . . . 03 I 428
Mainzer Becken, Spariden im mittelolig. Meeressand . . . . . 02 I 309
Maïre bei Marseille, ob. Aptien . . . . . 01 I 468
Majevica-Gebirge, Bosnien, Geologie . . . CBl 1900 *218*
Malachit
— Verwitterung v. Kupfermünzen . . . . 04 I 330
— Bakal'sche Gruben, Südural . . . . . 02 II 347
— Campiglia Marittima, Tosc., Zinnerzlagerst. 01 I *154*
— Chessy, Pseudom. von Limonit nach M. . . 1900 I 21
— Dhramala, Thessalien, pseudom. nach Rothkupfererz . . . . . BB XVIII *52*
— Engihoul, Belgien . 01 I 186
— N.-S.-Wales, jodhaltig 1900 II 41. 350
— Rosas, Sard. 1900 I 29 1900 II 365
Malacolith der turmalinführ. Gänge, Elba . 01 II 355
Malakka-Halbinsel, triass. Muscheln . . . . . 01 I 454
Malaspina-Gletscher, todter, Alaska CBl 1900 *330* CBl 1901 313
Malayischer Archipel, rec. Foraminiferen . . . 1900 I 149
Malchit, syst. Stellung . 03 II 357
— Riesengebirge, im Ganggefolge granitodiorit. Tiefengesteine CBl 1902 *488. 676*

Malchit, Studenė b. Eule, Böhmen . . . . . 1904 I 49
Malchit-Gauteit-Gabbroporphyr, Kordofan . BB XVII *419*
Maleïnsäureanhydrit, Umlagerungen u. Structur . . . . . BB XIV *311*
Malencoserpentin u. sein Asbest . . . . . CBl 1902 *488*
Malfidano, Sard., Schwefel 1900 I 2
Malgersdorfer Weisserde 02 II 225
Malletia pencana, Quiriquina-Schichten, Chile BB XVIII *230*
Malmani-Dolomit, Transvaal . . . . . 1900 I 264
Malmesburg Beds, Südafrika . . . . . 1900 I *113*
Maloarchangelsk, Bezirk, Geologie . . . . . 02 II 105
Maltrata-Kalk, Kreide, Gegend von Orizaba 02 II 119
Malvern Hills
— Eruptivgesteine . . . 1900 I 234
— cambr. Eruptivgesteine . . . . . 02 II 64. 181
Mammuth
— Ursache d. Aussterbens 03 I 554
— Beresowka-Kolyma, geborgene Leiche mit Futter . . . . CBl 1902 91. 217
— Diebach, Oberhessen CBl 1904 250
— Sibirien, Leiche am Fluss Tschendon . . CBl 1904 *226*
— Srednii-Kolymsk, NO.-Sibirien, Leiche . . CBl 1901 476
— siehe auch Elephas primigenius etc.
Man, Insel
— Einwirkung der Gebirgsbewegung auf carb. Eruptivgesteine 01 I 408
— Geologie . . . . . CBl 1902 568
Mancalla californiensis, Miocän, Californien . 04 I 460
Mandelsteine, Griechenland, nördl. u. türk. Grenzländer . . . . BB XVIII *14*
Mandschurei, Erzlagerstätten 1901 II 404 03 I 261
Manganapatit, Vestana . 1900 I 193
Manganblende, Adervielle, Pyrenäen . . 02 I 191
— Debarštica, Bulgarien, im Contactkalk . . . 01 II 362
Mangancalcit, Kuttenberg 03 II 338
Mangandioxyd
— Art des Absatzes aus Wasser . . . . . 1904 II 82
— Ueberzug auf den Gesteinen an den Nilkatarakten . . . . 03 II 78
Mangandolomit = Kutnohorit, Kuttenberg . . 03 II 338
Mangan- u. Eisen-Carbide u. Silicide, Krystalle 1904 I 6 CBl 1903 26
Mangan- u. Eisenformation, Freiberger Revier . . . . . CBl 1901 250
Manganeisenerze, Lindener Mark b. Giessen 1900 I 411
Manganerze, Amazonasgebiet . . . . . 1900 I 411
— Bogoslowsk, Ural . . 01 II 406
— Brasilien . . . . . 1900 II 40
— Jekaterinoslaw und Kriwoi-Rog, tertiär 1903 I 257. 258
— Neu-Schottland . . . 02 I 362
— Nordcarolina . . . . 04 II 34
— Platten und Johanngeorgenstadt, mit Eisenerzen . . . . . 04 I 238
— Pyrenäen . . . 1902 I 83. 191
— Queluz (Lafayette) District, Minas Geraës, Brasilien . . . . . 03 II 381
— Sardinien 1902 II 343 03 II 383
— Tambow . . . . . 01 II 408
Manganerzlagerstätten Adervielle, Pyrenäen 02 I 191
— Långban, Wermland 01 I 433
— Ober-Rosbach b. Friedberg, Wetterau . . CBl 1902 *656*
— Panama (Columbia) . 04 II 232
— Rheinhessen u. Wetterau, Schwerspath . 02 I 354
— Santiago, Cuba . . . 04 II 231
Manganglaukonit, Bogoslowsk'sches Bergrev. 1900 I 345
Manganhedenbergit, Kaukasus . . . . . 01 II 189
Manganit
— Bogoslowsk'sches Bergrevier, Ural . . 1900 I 344. 345
— Ilsfeld, Kryst. . . . 02 II 31
— Kintsiniemi, Dolomitbruch . . . . . 02 II 362
— Mähren . . . . . CBl 1904 *357*
Manganocalcit
— (Agnolith) . . . . . BB XIII *265*
— Gross-Tresny, Mähren 01 II 204

Manganosphärit im Basalt, Horhausen . . 1901 II *129*
Mangansilicate, Carbonathaltige, Pyrenäen 1900 II 21
Manganspath
— Adervielle, Pyrenäen 02 I 191
— Bear Mine, Colorado 03 II 342
— Mähren . . . . . CBl 1904 *358*
— Narsarsuk, südl. Grönland, im Syenit . . 02 I 20
Manganspathknollen im Tertiärthon, Bologna 1900 II 288
Mangansumpferz, Bogoslowsk . . . . . 01 II 406
Mangerit, Bergengebiet, Norwegen . . . . . 04 II 397
Mangilia Duperrayi, Faluns, Touraine . . . 04 II 460
Manicina pliocenica, Plioc., östl. Nordamerika . 01 II 327
Manlius-Kalk, oberstes Silur. Becraft mountain, New York . . 01 II 457
Manselia, Unteroolith, England . . . . . 01 II 317
Mansfeld, Bodenbewegungen . . . . . CBl 1900 *281*
Mansfelder Schichten, Rothl., Prov. Sachsen 01 I 459
— Seen, Beziehung zu Halophyten . . . . 04 I 440
Mansfield-Schiefer. Algonkian, Michigan . . . 01 II 412
Manticoceras . . . . . 1900 I 129
— Devon . . . . . 03 II 146
— intumescens - Fauna, westl. New York . . 1900 I 128
Manytsch-Becken, nordkaukas. Tiefebene . 04 I 436
Marattites nov. sp., Kreide, Rumänien . . . . . 1900 II 490
Marburg
— Frankenberger Kupferletten . . . . . CBl 1901 *427*
— Unterdevon, gegen Herborn . . . . . BB XVII *1*
Marcellus-Schiefer. New York. Kalkeinlagerungen . . . . 1903 I 117. 118
Mardellen, Lothringen . 04 I 102
Marekanit, Ochotsk . . 01 II 70
Maretia barcissensis, Eocän. Barcelona . . . 03 I 530
— Zeisei. Miocän. Holstein . . . . . 04 I 466
Margarit. Mähren . . . CBl 1904 *361*
Margarit, Old Hampshire Co., Massachusetts . 1901 I 35
Margarophyllia capitata, Sturia-Kalk, Recoaro und Schio . . . . . 1900 II 433
Marginella condensata, Eoc., Loire inférieure 03 I 128
— Fourtaui, Nummulitenfauna, Egypten . 02 I 464
— olivaeformis, patag. Formation . . . . . 02 I 295
— Perkeo u. praegnans, Priabona-Schichten . 04 I 283
— prunum, Paraná-Stufe BB XIV *216*
Marginulina Behmi, indifferens, paucilocu-lata, pediformis, splendens u. tunicata, Bryozoenhorizont, Priabona . . . . . 1901 I *123. 124*
— grandis, Amaltheenthon, Reutlingen . . 1900 II 113
Maribios-Vulcane in Beziehung z. Erdbeben vom 29. April 1898 in Nicaragua etc. . . . 01 II 208
Marienburg, Diluvium . CBl 1902 *90*
Marienwerder, Diluvium BB XVI *91*
Marines Diluvium, cimbr. Halbinsel . . . . . BB XVI *56*
Mariposit, Mariposa Co., Californien . . . . 01 II 346
Mariupol, südruss. kryst. Plateau . . . . . 1900 I 391
— Petrogr. 1902 II 394 CBl 1901 727
— Tertiär . . . . . 1900 II 127
Mariupolit = Aegirinnephelinsyenit
— Küste des Asowschen Meeres . . . . . 04 I 220
— Mariupoler Kreis 1902 II 394 CBl 1901 727
Mark, Diluvium . . . . BB XVI *1*
Markasit
— Reaction auf Cu- und Ag-Blech . . . . . CBl 1901 *401*
— Unterscheidg. v. Pyrit 03 I 10
— m. Magnetkies u. Arsenkies verwachsen . BB XVI *351*
— verwachs. m. Proustit BB XVI *378*
— verwachsen m. Schwefelkies . . . . . BB XVI *363*
— Danilowo, pseudom. n. Schwefelkies. Paramorphosen . . . . . 01 II 174
— New Jersey . . . . 02 I 361

Marken u. adriat. Küstengebiet, Erdbeben . . 1901 I 212
Markirch, Marmor . . . BB XIX *209*
Markt-Redwitz, Kaolinlager . . . . . BB XV *328*
Marlenheim, Muschelkalkgastropoden . . . . 02 I 143
Marmara-Meer, Devonfossilien . . . . . 1900 II 431
Marmo giallo, Siena, Alter 04 II 258
Marmolatakalk
— Cephalopoden . . . 01 II *24*
— Gastropoden . . . . 02 I 141
Marmolatella plana, unt. Muschelkalk, Mitteldeutschland . . . . 04 I 313
Marmor
— Structur u. Entstehg. BB XIX *197*
— thermische Eigensch. 02 I 390
— Umformung durch Druck . . . . . 03 I *160*
— Carrara, Mineralien . 01 I 30
— —, Verhalten bei starker Pressung . . . 02 II 252
— Ceylon, Beziehung zu Granulit . . . . 1904 I 380. 384
— —, Entstehung . . 04 II 54
— Griechenland, nördl., u. türk. Grenzländer BB XVIII *49*
— Kordofan . . . . . BB XVII *460*
— Miask (Ural) . . . . 01 I 363
— Moravska Olešnice, Analyse . . . . . 01 II 225
Marmorlager, Tirol . . 04 I 380
Marokko
— Atlasvorland . . . . 02 I 258
— Bodenschätze . . . 02 I 84
Marquette-Formation, Michigan . . . . . 01 II 412
Marsa, Cap, Algier, vulc. Gesteine . . . . . 02 I 409
Marschendorf (Mähren), Mineralien . . . . . 04 I 30
Marseille
— Aptien, oberes . . . 01 I 468
— Jura . . . . . 1900 II 113
Marshit . . . . . 03 I 374
— Broken Hill, Austr. . 02 II 14
Marsica (Toscana), Geol. 04 II 246
Marsjatskit (= Manganglaukonit), Bogoslowsk'sches Bergrev. 1900 I 345
Marsräthsel, Lösung . . 02 I 246
Marsupialia
— arboricolen Ursprungs 01 II 472
— Gebiss . . . . . 03 I 140
Marsupialia, tertiäre (Wynyardia bassiana), Table Cape, Tasmanien 1903 II 140
Martensit im Eisen . . 01 II 10
Martesia argentinensis, Kreide, Patagonien . 02 II 435
— Heberti, Landenien, Nordfrankreich, Bohrlöcher . . . . . 04 II 328
— pumila, patag. Formation . . . . . 02 I 295
Martha's Vineyard, neuengl. Inseln, Geologie 1900 I 99
Martinique
— ältere vulcanische Bildungen . . . . . 03 II 377
— Brandproducte der Feuersbrunst in St. Pierre . . . . . 03 II 378
— Geologie . . . . . CBl 1902 247
— Geol. u. Eruption 1902 CBl 1903 *337*
— Mont Pelée, siehe Mont Pelée.
— Vulcan, gegenwärtiger Zustand . . . . . 03 II 375 ff.
— vulc. Erscheinungen 1902 u. 1903 . . . 04 II *1*
— vulcan. Eruptionen 1902 . CBl. 1903 85 04 I 202
— siehe auch Westindien.
Martinsburg shale, Silur, Maryland u. Virginia 01 I 456
Martit
— Bogoslowsk'sches Bergrevier . . . . . 1900 I 344
— Magnitnaja-Berg, Ural 03 II 239
— Portugal . . . . . 04 I 234
Martley, Worcestershire, Syenit neben Quarzit 1900 I 399
Martley-Quarzit = zerquetschter Diorit, Worcestershire . . . 1900 II 404
Maryland
— Bau- u. Ziersteine . 1900 II 410
— eocäne Fische . . . 04 I 303
— Eocänmollusken . . 02 II 438
— Silur . . . . . 01 I 456
— Unter-Devon u. Ontario-Formation . . . 03 II 107
Masaya-Vulcan, Nicaragua
— Eruption 1902 . . . 04 I *55*
— Verhalten 1903 . . . CBl 1904 *449*
Mascal-Formation, John Day Basin, Oregon . 04 I 419
Maskelynit, Meuselbach-Meteorit . . . . . 1900 I 356

Massachusetts
— Geol. v. Eastern Berkshire County . . . . 1901 II 430
— Mineralien . . . . . 01 I 34. 36
— Old Hampshire Co., Geologie . . . . . 1900 II 85
Massailand, Ostafrika, Petrographie . . . . 03 I 79
Massenbewegungen in d. Erdkruste . . . . . 1900 I 367
Massendefecte der Erdrinde, Zusammenhang mit d. Entstehung v. Tiefengesteinen. . . CBl 1903 *444*
Massenerguss verursacht Hebung, Insel Pula Laut bei SO.-Borneo BB XX *354*
Massengesteine
— Columbia, ältere . . 03 II 203
— Kyffhäuser, kataklast. 03 II *44*
— siehe auch Eruptivgesteine etc.
Massenisomorphe Körper, Mischungen . . . . 03 II *123*
Massive von Tiefengesteinen, Entstehung CBl 1903 *445* 04 I 204
Mastodon, Werragebiet 03 II 285
— angustidens und cfr. longirostris, Kertsch 04 II 468
— angustidens var. latidens, Zähne, unterster Suffolk-Crag 02 II 459
— Borsoni, Südrussland (Kertsch) . . . . . 03 I 350
— longirostris, Rheinhessen . . . . . 1900 I *52*
Mastopora = Nidulites, Silur . . . . . 02 II 158
— Odini, balt. Silur . . 02 II 162
Masuren, Sumpferz (Raseneisenstein) . . . 1900 I 13
Matagne-Schiefer, Devon. Petrefacten . . . . 01 II 440
Mathilda hortensis. Priabona-Schichten . . . 04 I 283
— distinguenda u. gracilis, Eocän, Loire inférieure . . . . . 03 I 128
Matyoscor perditus. Tarija-Thal, Argentinien 04 I 290
Maui, Hawai-Archipel, Basalt . . . . . BB XV *67*
Mawensi, Gesteine . . . CBl 1902 *204*
Mayer River-Schichten. Jura. Patagonien . . 1900 II 425
Mazon Creek, Ill., carbon. Fische 1903 II 442 1904 I 140. 141
Mecklenburg
— Diluvium . . . . . BB XVI *54*
— Oberflächengestaltung 1900 II 85
— vor 3000 Jahren . . 03 II 412
— Küste, postglac. Niveauschwankungen . CBl 1901 *582*
Mediterranstufe, erste, in Piemont . . . . . 01 II 447
Medlicottia in Perm u. Trias, Indien . . BB XIX *334. 349*
— bifrons, Marcoui, Orbignyana, primas, Trautscholdi u. Verneuili, Perm u. Trias, Indien . . . . . BB XIX *335 ff.*
— Dalailamae, Otoceras beds, Himalaya . . CBl 1901 *656*
Medlicottinae, Perm und Trias, Indien . . . . BB XIX *343*
Medolo, Brescia, Fauna 02 I 441
Medullosa, Rothliegendes, Chemnitz . . . . . 02 II 492
— gigas, Kohlenbecken, Autun u. Epinac . . 02 II 167
— Leuckarti, Rothl., Hilbersdorf b. Chemnitz 1900 II 164
Meduse
— Dalekarlien, Obersilur CBl 1904 *450*
— rhein. Devon . . . . 03 II 455
— palaeoz., Ausgüsse . 01 I 337
Medusina geryonoides. Deutung . . . . CBl 1901 *166. 167*
— geryonides, Murchisonae-Schichten, Wiesensteig, Württemberg 01 I *1*
Meekella. Definition . . 01 II 121
— Abgrenzung . . . . 1900 I *4. 12*
— striatocostata . . . 1900 I *12*
— irregularis. Trogkofelschichten, karn. Alpen 01 II 120
Meekoceras. Otoceras beds, Himalaya . . . . . CBl 1901 *656*
Meekoceras beds, Trias. West-Amerika . . . 03 I 121
Meekoceras-Schichten, unt. Trias. Nordamerika . CBl 1902 *690*
Meer. Rothes. Morphologie und Entstehung 01 I 265
Meeresboden
— Beschaffenheit . . . 03 II 63
— — in grossen Tiefen 02 II *377*
Meeresgrenze, spätglaciale, Schweden . . 1900 I 453

Meereskrokodile, Jura . 1903 I 152
Meeresniveau, Aenderung der Lage . . . . 03 II 49
— siehe Niveauschwankungen.
Meeressand, Maremmenküste, mit Titan- u. Chromeisen . . . . 02 II 233
Meerschaum
— Anatolien . . . . . 03 I 449
— Mähren . . . . . CBl 1904 *361*
— Tempelstein, Mähren CBl 1904 *357*
Meerwasser
— Verdunstung . . . . 1900 II 47
— Zusammensetzung . 01 I 11
Meerwasseruntersuchung in der Tiefe . . . . 01 I 54
Megacardita Jouaneti, Tertiär, Piemont und Ligurien . . . . . 02 II 309
Megacerops bicornutus, brachycephalus, Marshi etc., Amerika, Oligocän . . . . . 04 I 298
Megacrodon planus u. prolixus, patagon. Schichten, Patag. . . 01 II 470
— prolixus, Patagonien 1900 I *230*
Megaladapis, Madagascar, Gehirn . . . . . 03 II 288
— brachycephalus, Madagascar . . . . . 03 I 345
— insignis, Madagascar 03 I 562
Megalelasma dispansum, Cenoman, Kuttenberg 04 II 157
Megalodon Laubei, St. Cassian . . . . . 02 II 487
— Mülleri, Stringoc.-Kalk, Lindener Mark 01 I 272
Megalodonten, Bakony, Trias . . . . . 03 I 171
Megalodus bicarinatus, Stringoc.-Kalk, Lindener Mark . . . . 01 I 272
— Boeckhi u. Laczkói, Trias, Bakony . . . 03 I 171
Megalonychidae, Pyrotherium-Schichten, Argentinien . . . . . 1900 II 305
Megalurus Mawsoni, Kreide, Bahia, Bras. 04 I 143
Megaphytum Wagneri, Carbon . . . . . 04 II 474
Megastus elongatus, Collon Cura, Argent., graue Tuffe . . . . 02 I 434
Megastus elongatus, Rio Negro und Neuquen, Tertiär . . . . . 1902 I 305
Megatherium tarijense, Tarija-Thal, Argentinien . . . . . 04 I 290
Megerlea tithonica und proloricata. Stramberger Tithon . . . 1900 II 315
Mehaigne-Thal, Belgien, Untersenon . . . . 02 I 128
Meionit, Krystallisationsvermögen u.-geschwindigkeit . . . . . CBl 1903 *617*
Melanglanz, siehe Stephanit.
Melania benahensis, Kreide, Libanon . . . . . 02 I 312
— melaviensis, tert. Melawi-Gruppe, Borneo 1900 II 132
— subcorrugata, Senon, Frankreich . . . . . 1900 II 287
Melanioptyxis, Jura, Frankreich . . . . . 1900 II 154
Melanit
— Cortejana, Huelva, Spanien . . . . . 04 I 23
— Frascati, Dichte, fest und geschmolzen . . 01 II *151*
Melanopsis acicularis im pleist. Unstrutkies . 04 I 103
— aegyptiaca, Melanopsis-Stufe, Egypten . 02 II 107
— Karici, Tertiär, Babin Dol, Serbien . . . . CBl 1900 394
— serrensis, Cazères (Haute-Garonne), Unter-Eocän . . . . . 04 II 459
Melanopsis-Stufe, oberes Pliocän u. unt. Quartär, Egypten . . . . 02 II 107
Melanotekit, Hillsboro . 01 I 37
Melanterit, siehe Eisenvitriol.
Melaphyr
— Verwitterung . . . . 1900 I 54
— Böhmen, präcambr. . 04 I 51
— Boscampo, Gang . . CBl 1903 *639*
— Chile, nördliches . . 01 I 416
— Cornon (Predazzo) . CBl 1903 *6*
— Darmstadt, Absonderungserscheinungen, Contractionscylinder u. Blasenzüge 1904 I 47. 48 CBl 1901 *481. 609* CBl 1902 *513. 521* CBl 1903 *217. 409*

Melaphyr
— Darmstadt, Gänge . CBl 1902 *513*
— ecuador. Westcordillere . . . . . 1900 I 410
— Fleims . . . . . 03 I 61
— Forni di Sopra, karn. Alpen . . . . . 1900 II 396
— Hessen, chemisch . . 03 II *39*
— Isle Royale, Mich. . 1900 II 224
— Monzoni CBl 1901 *678* CBl 1904 *275*
— — u. Predazzo, Beziehung zu Monzonit 1904 II 212. 213
— Mulatto Süd, Umschmelzen m. Quarz-Syenit-Aplit, Monzoni BB XIX *187*
— Piz meda, Fassathal, Analcim- . . . . . CBl 1904 *79*
Melaphyreruption, Congleton Edge, gleichzeitig mit Kohlenkalk 01 II 118
Melaphyrmandelstein, Neumarkt i. sächs. Vogtl. CBl 1904 *115*
Melaphyrtuffe, Predazzo 04 II 210
Melaphyre u. leukophyre Eruptivgesteine . . CBl 1903 695
Meles taxipater, Tertiär, China . . . . . CBl 1902 *531*
Meletta crenata, Tert., Ales, Sardinien . . . 02 I 308
Melicerita triforis, patag. Formation . . . . . 02 I 295
Melilith
— verwachsen m. Biotit BB XVI *397*
— brit. Ostafrika . . . 04 II 59
— Hassberge, im Basalt 03 I 235
— Mti. Cimini, vulc. Blöcke . . . . . 1900 I 28
— Vesuv (Humboldtilith) 1900 I 18
Melilithbasalt
— Eibenstock . . . . . 02 II 55
— Madagascar . . . . 02 II 57
Melilithbasaltlava, S. Venanza, Umbrien (Venanzit = Euktolith) 1900 II 218
Melilithgruppe . . . . . 01 II 19
Melilithmonchiquit, Orkney 02 II 67
Melinit, Wür b. Bistritz, Mähren . . . . . 1900 I 23
Mellit
— Saalfeld, Thüringen 1901 I 200 02 II 30
— Thüringen, Polychroismus . . . . . 04 II 344
Melnik, Böhmen, unterird. Detonation . . 1900 II 374
Melonit
— Zusammensetzung . CBl 1901 *168*
— Calaveras Co., Cal., Analyse . . . . . 1901 I 184
— Cripple Creek, Col. . 01 II 346
— Südaustralien . . . CBl 1900 *98*
Melville Bay, Cap York, Meteoreisen . . . . 1900 I 352
Membranipora janieresiensis, Cenoman, Janières (Sarthe) . . . 1900 II 159
— Boulei, d'Orbignyana, Meunieri, Pallaryi, Thevenini und Welshi Kreide, Frankreich . 02 I 491
— pratensis, Neogen, Calabrien . . . . . 02 II 311
Membraniporiidae, Eintheilung . . . . . 1900 II 159
Memel, diluv. Kohle . . BB XVI *40*
Mendelgebirge, Geol. . . CBl 1903 *451*
Mendip Hills, Leadhillit auf alten Bleischlacken 1900 II 31
Ménerville, Algier, vulc. Gesteine . . . . . 02 I 410
Menez-Bré-Massiv, Côtes-du-Nord . . . . . CBl 1904 92
Menilitschiefer, Szinever-Polana, Marmaros, tert. . . . . 03 I 267
Meniscophyllum, New York, Untercarbon . 03 I 483
Mensch
— Beziehung zu Pithecanthropus . . . . . 04 II 297
— Femur . . . . . 01 II 141
— Fortschritte in der Kenntniss d. fossilen 1900—1903 . . . . 04 II 294
— Steinwerkzeuge der Pfahlbauten u. Rohmaterial . . . . . BB XVI *166*
— tertiärer 1900 II 455 04 II 297
— Algier, quartär . . . 01 II 147
— Argentinien, Zeitgenosse des Grypotherium . 1901 II 309 03 II 282
siehe auch Grypotherium etc.
— Baumannshöhle bei Rübeland . . . . . 03 II 122
— Capo Palinuro, Höhle 04 II 141
— England, prähistorischer . . . . . CBl 1904 123
— Gärde, Schweden, quartär . . . . . 1900 II 455

Mensch
— Gough's Höhle b. Cheddar . . . . . CBl 1904 313
— Istein (Baden), prähistor. Station . . . 1904 II 289
— Karpina, Kroatien, diluvial 1902 II 132 03 II 281
— Kent, tertiärer . . . 1900 II 455
— Kesh-Höhle, County Sligo. Zähne, Knochen u. Artefacte . . . . 04 II 294
— Lansing, Kansas, Alter 04 II 299
— Mähren, im Löss . . 04 II 442
— —, diluvial, nebst Begleitern . . . . . 02 II 289
— Neanderthal . . 1903 II 278. 280
04 II 294
— Patagonien, zusammen m. Grypotherium 1901 II 309 03 II 282
— Prag, quartär, bearb. Rhinocerosknochen . 1900 II 455
— schwäb. Alb, Ofnet-Höhle . . . . . 03 II 284
— Taubach i. Thüringen 03 II 115
— Thüringen, altdiluvialer, Jagdtiere . . 02 II 132
— siehe auch Homo.
Menschenähnliche Zähne, Bohnerz, schwäb. Alb 1900 I 457
Menschenaffen, Tertiär, Wiener Becken (Neudorf a. March) . . . CBl 1903 *176*
— siehe auch Primaten.
Menschenrassen, vorgeschichtliche . . . . CBl 1900 359
Menschenzähne, Aehnlichkeit mit Tierzähnen 1903 II 428 CBl 1902 248
Mephitis suffocans, Ultima Esperanza-Höhle, Patagonien . . . . 01 II 313
Mercure-See, pleistocäner, Unteritalien . . . . 01 I 290
Meretrix pseudopedemontana, mittl. Miocän. Touraine . . . . . 02 I 466
Mergel
— Gehalt an Stickstoff u. org. Substanzen . 04 I 379
— Griechenland, nördl., u. türk Grenzländer BB XVIII *51*
Meridianoskop, Berg- . 02 I 374
Merignac, Tertiär . . . 1900 I 291
Meroxen, Opaltuff. Rosenegg . . . . . 1900 I 22
Meroxen, siehe auch Glimmer, Biotit etc.
Merychyus, Tertiär, NO.-Colorado . . . . . 1904 I 130
Merycochoerus laticeps, Montana . . . . . 03 I 346
— proprius u. rusticus, Tertiär, NO.-Colorado 04 I 129
Merycodesmus, Uinta-Eocän . . . . . 02 II 295
Merycodontidae, System 04 II 312
Merycodus Osborni, Pawnee Creek, Colorado, Mittelmiocän, vollst. Skelett . . . . . 04 II 311
Merycotherium sibiricum, pleistocän, Sarepta a. Wolga . . . . . 03 II 139
Mesalia dialyptospira u. Locardi (= obruta), Nummulitenfauna, Egypten . . . . . 02 I 464
Mesite = neutrale Gesteine . . . . . CBl 1900 184
Mesitin, Hoboken, N. J., im Serpentin . . . . 02 I 361
Mesoadapis destructus, Madagascar . . . . 03 I 345
Mesocarboniferous, Pennsylvanien . . . . . 04 II 480
Mesocystidae . . . . . 01 I 321
Mesodevonic, New York 01 II 266
Mesodon Bouchardi, Lennieri, Rigeauxi und simulans, ob. Jura, Boulogne . . . . . 04 I 303
— Combesi, Fourtaui u. lingua, Kimmeridge, Fumel (Lot-et-Garonne) 04 I 281
Mesodonta, Eocän, Amer. 04 I 291
Mesogaulus ballensis, Montana, Deep River beds . . . . . 03 I 354
Mesolith
— aus Nephelin . . . 1900 II *66*
— Agordo . . . . . 03 I 203
— Golden, Col. . . . . 01 II 197
Mesomorpha Duncani, Palaeogen, Nordamer. 04 I 470
Mesonychidae
— syst. Stellung . . . 03 II 434
— Eocän, Marsh Collect. 04 I 452
— Nordamerika, Eocän 03 I 148
— Puerco . . . . . 1900 I 303
Mesorhinidae, Argentin., Pyrotherium-Schicht. 1900 II 301

Mesotherium . . . . . 1900 II 459
Mesotyp siehe Natrolith
Mesozoicum
— Cycadophyten . . . 04 I 154
— Chile, Fossilien . . 01 I 484
— Frankreich, Seeigel . 02 I 151
— Jalomita-Thal, Rumänien . . . . . CBl 1904 121
— Japan, Fische . . . 03 II 295
— König Karls-Land . 01 II 112
— Ostasien, Pflanzen . 1900 II 93
— Patagonien, Säugethiere . . . . . 01 II 469
— Schweden . . . . . 02 II 103
— Somaliländer . . . . 01 I 452
— Spitzbergen, Flora . 02 II 318
— Westalp., pietre verdi 1900 I 426
— West-Amerika, Grenze gegen d. Palaeozoicum 03 I 121
Messel bei Darmstadt, Braunkohle . . . . 1900 I 449
Messelit, Braunk., Messel b. Darmstadt . . . 1900 I 449
Messina
— Provinz, foss. Fische 03 I 160
— u. Calabrien, Erdbeben 1900 I 377
Metachlorite, chem. etc. CBl 1901 *630*
Metacoceras trigonotuberculatus und variabilis, oberpalaeoz., Russland . . . . . 01 I 309
Metadinitrodiphenylcarbamid, kryst. . . . 1900 II 170
Metadoxides magnificus, Cambrium, Neu-Fundland . . 1900 I 132 01 I 162
Metakalkuranite . . . . CBl 1901 *709*
Metakupferuranite . . . CBl 1901 *618*
Metallätzung mittels elektr. Stroms . . . . . 04 I 7
Metallcolloide, opt. Verhalten und Theilchengrössen . . . . . 04 I 323
Metalldestillation . . . 03 I 368
Metalle
— Ausdehnung b. hohen Temperaturen . . . 03 II 167
— Ausflussgeschwindigkeiten . . . . . 04 I 327
— Concentrirung in Erzlagerstätten . . . . 1900 II 239
— Contraction b. d. Erstarrung . . . . . 01 II *146*
— destillirte . . . . . 03 I 368
— Einfluss d. Temperat. auf Elasticität . . . 03 II 164
Metalle
— Einwanderung i. Eruptivgesteine durch Vermittlung von CO . . CBl 1900 160
— Geschichte . . . . . CBl 1904 281
— Krystallstructur 1901 II 170. 171
— Structurflächen . . . 1900 I 4
Metallischer Zustand. Wesen 03 II 12
Metalllegirungen, binäre, vollst. Gefrierpunktscurven . . . . . 03 II 166
Metalllösungen, colloidale 01 I 5
Metallplatten, dünne, opt. Eigenschaften . . . 03 II 315
Metallsulfide und Oxyde, thermoelektr. Verhalt. 03 II 167
Metamorphe (regional-) Eisenerze, Dunderlandsthal . . . . . 04 II 414
— Gesteine, Bastogne, Belgien . . . . . CBl 1901 25
— Schiefer etc., Anglesey 1900 I 233
Metamorphismus, siehe auch Metamorphose
— der Gesteine . . . . 04 II 50
— —, Ursache . . 1900 I 367. 409
— — durch Untergrundwasser etc. . . . . 01 I 218
— Böhmen, nördl., Kreidemergel im Contact mit jungen Eruptivgesteinen . . . . . CBl 1901 503
— Dunderlandsthal, Eisenerz . . . . . 04 II 414
— Loch-Lomond-District, Schottland . . . . . CBl 1904 28
— Rofnagestein . . . . 04 II 387
— Torneträsk (Lofotenbahn) . . . . . 04 II 225
— Witim-Plateau, Sibir. 02 I 224
— siehe auch Contactmetamorphismus etc.
Metamorphose, siehe auch Metamorphismus
— des Kalks . . . . . BB XIX *197*
— Loch Awe-Gegend, Schottl., der Gesteine 1900 II 222
— Westalpen . . . . . 03 I 65. 66
Metarhyolith, präcambr., Fox River Valley, Wisconsin . . . . . 01 II 242
Metatype . . . . . 1900 II 485
Metauranglimmer
— Kalk- . . . . . CBl 1901 *709*
— Kupfer- . . . . . CBl 1901 *618*
— Verwachsungen . . . BB XVI *397*

Meteorbeobachtungen, Böhmen . . . . . 1900 II 207
Meteoreisen
— dichte, Untersuchung 02 I 367
— Einwirkung einer Kupfervitriol-Lösung 04 I 190
— Entstehung . . . . 04 II *122*
— Maschine z. Schneiden 1900 I 351
— Oktaëdrite, Eintheilung . . . . . 04 I 195
— —, Untersuchung 1902 I 367. 369
— schwarze Adern, Kendall, Texas . . . . 02 I 365
— zackige Stücke aus d. Cohenitreihe, Varietät von Magura . . 1900 II 201
— Admire, Lyon County, Kansas, Pallasit . . 03 I 216
— Albuquerque etc., Kettenfall . . . . . 1900 I 352
— Alt-Bělá bei Mähr.-Ostrau . . . . . 02 I 42
— Augusta Co., Virginien . . . . . 04 I 194
— Australien . . . . . 1900 I 352
— Babbs Mill, Tennessee 01 II 36
— Ballinoo . . . . . 1900 I 352
— Bethany, Gross-Namaqualand . . . . . 02 I 369
— Bingera, Neu-Süd-Wales . . . . . 1900 II 201
— Brenham etc., Kettenfall . . . . . 1900 I 352
— Bückeberg b. Obernkirchen, Oberhessen . 02 I 364
— Bugaldi Postoffice, Neu-Süd-Wales . . . 02 I 370
— Cacaria, Durango, Mexico . . . . . 02 I 364
— Campo del Cielo, Argentinien . . . . . 1900 I 353
— Cañon City etc., Kettenfall . . . . . 1900 I 352
— Cañon Diablo, Arizona, Cohenit . . . 02 I 365
— Caperr, Rio Senguerr, Patagonien . . . . 1900 II 203
— Capland bei Graaff Reynet (sog. Capeisen) 01 II 36
— Cap York, Melville Bay . . . . . 1900 I 352
— Casas Grandes, Mexico, Oktaëdrit . . . 04 I 195
— Central-Missouri, dicht 01 II 39
— Chesterville, Südcarolina . . . . . 1900 I 353
Meteoreisen
— Coahuila, Pt- u. Irhaltig . . . . . 1900 II 199
— Cosby Creek, Cocke Co., Tenn. . . . . 02 I 365
— Cuernavaca, Mexico, Oktaëdrit . . . . . 04 I 194
— Deep Springs Farm, Rockingham Co., Nordcarolina . . . . . 02 I 364
— Dehesa (Deesa), Chile, Eisen . . . . . 1900 II 200
— Durango, Mexico . . 02 I 364
— Farmington, metall. Adern . . . . . 03 I 207
— Finnmarken, Pallasit 04 I 191
— Glorietta etc., Kettenfall . . . . . 1900 I 352
— Graaff Reynet, Capland, Hexaëdrit . . 01 II 36
— Griqualand, Ost- . . 02 I 369
— Guatemala 1903 I 208 04 I 196
— Hammond, St. Croix Co., Wisconsin . . . 02 I 364
— Hayden Creek, Idaho, Oktaëdrit . . . . . 01 II 40
— Hopewell Mounds, Ohio . . . . . 04 I 193
— Hayden Creek, Idaho 01 II 40
— Illinois Gulch, Deer Lodge Co., Montana 1901 II 39 02 I 364
— Iquique . . . . . 1900 I 353
— Iredell, Texas, Hexaëdrit . . 1901 II 38 04 I 195
— Kendall Co., Texas, schwarze Adern . . 02 I 365
— Kenton Co., Tänit . 04 I 193
— Kokoma, Indiana . . 1900 I 353
— Linnville Mountain, Nordcarolina . . . . 1900 I 353
— Los Muchachos, Arizona . . . . . 01 II 37
— Luis Lopes, Neu-Mexico, Oktaëdrit . . . 01 I 39
— Mähr.-Trübau, unsicher . . . . . CBl 1904 *356*
— Magura, Schreibersit 02 I 365
— —, zackige Stücke aus der Cohenitreihe 1900 II 201
— Mart, Texas, Oktaëdrit . . . . . 03 I 214
— Merceditas, Chanaral, Chile, Oktaëdrit, Analyse . . . . . 02 I 365

Meteoreisen
— Mezquital, Durango, Mexico . . . . . 1902 I 364
— Missouri, Central- . . 01 II 39
— Mooranoppin, Austr. 1900 I 352
— Morradal, Norwegen 1900 I 354
— Mount Joy, Penns. . 1900 I 352
— Mukerop, Bez. Gibeon, Grossnamaland 1903 I 212 CBl 1902 441
— Mungindi, Australien 1900 I 352
— Murphy, Cherokee Co., Nordcarolina 1901 II 38 02 I 364
— N'Goureyma, Sudan = Sudan 1902 I 369. 373 03 I 213
— Paraña-Fluss, Brasilien . . . . . 1900 I 353
— Port Oxford, Kettenfall . . . . . 1900 I 352
— Quesa, Spanien 1900 I 355 02 I 365
— Rafrüti, Emmenthal, Canton Bern 1903 I 208 CBl 1900 *152*
— Ranchito, Mexico . . 04 I 195
— Roebourne . . . . . 1900 I 352
— Saint François Co., SO.-Missouri . . . . 02 I 364
— Saltriver, Kentucky, Oktaëdrit . . . . . 01 II 36
— San Cristobal, Chile . 1900 I 355
— San Gregorio, Mexico, Aufbewahrungsort . CBl 1901 *154*
— Santa Fé de Bogota 1900 I 353
— Santa Rosa . . . . 1900 I 353
— São Julião, Portugal 1900 I 352
— Shingle Springs, El Dorado Co, Cal., Eisen 1900 II 200
— Staunton No. 7, siehe Andover.
— Sudan = N'Goureyma 1902 I 369, 373 03 I 213
— Surprise Springs, Südcalifornien . . . . . 02 I 368
— Thunda, Queensland, Austr., Oktaëdrit, Analyse . . . . . 02 I 365
— Tocavita bei Santa Rosa . . . . . 1900 I 353
— Toluca, Mexico . . . 1900 II 201 1901 II 36 04 I 193
— —, Graphit . . . . 1900 I 352
— —, Pt- u. Ir-haltig . 1900 II 199
— Toluca-Mañi . . . . 04 II *118*
Meteoreisen
— Tombigbee River, Alabama . . . . . 1901 II 38
— Wöhlereisen . . . . 1900 I 353
— Youndegin, West.-Austr., Cliftonit und Tänit . . . . . 1900 II 203
Meteoriten
— Anleitung zur Beobachtung des Falles u. zum Aufsammeln . 04 I 185
— Bildung u. Structur der Chondriten 1900 II 205
— C-Gehalt des Tänits im Meteoreisen 1900 II 202
— Classification v. Weinschenk . . . . . 1900 II 204
— Gase beim Erwärmen 1900 II 199
— Gestalt, Zahl u. Grösse 04 I 184
— Greifswalder Sammlung . . . . . 02 I 368
— Kettenfälle . . . . 1900 I 352
— künstl. Nachbildung . 04 I 183
— Olivinbomben u. Moldavite . . . . . 1900 I 360
— siehe auch Moldavit und Tektit.
— Phosphor, frei, im Meteoriten von Saline Townshipe . . . . . 04 I 190
— Pt u. Ir im Meteoreisen . . . . . 1900 II 199
— Relief d. Oberfläche . 04 I 184
— Rinde und schwarze Adern . . 1902 I 365 04 I 183
— Statistik . . . . . 03 I 206
— Staubfall, eisenhaltig, 10. u. 11. März 1901, Europa . . . . . 03 II 362
— Structur und andere allg. Eigenschaften . 04 I 182
— Tauschwerth . . . . 1900 I 351
— Ursache des Eisengehalts . . . . . 04 II *122*
— Vertheilung nach Ländern . 1904 I 188 CBl 1903 236
— Kansas . . . . . 1900 II 199
— —, Admire, Lyon County . . . . . 03 I 216
— —, Long Island . . 04 I 191
— —, Ness Co . . . . 04 I 192
— —, Oakley . . . . . 01 II 39
— Minas Geraës, Pseudometeorit . . . . . 02 I 365
— Saline Township, freier Phosphor . . 04 I 190

Meteoriten
— Thüringer Fundorte 1902 I 370
— siehe auch Meteoreisen, Meteorsteine, Pseudometeoriten etc.
Meteoritenanhäufung, Ursache der Erdbildung vergl. m. d. Nebularhypothese von KANT-LAPLACE . . . . . 02 II 368
Meteoritensammlung
— Berlin, Universität . 04 I 186
— Riga, Naturforscherverein . 1900 I 352 03 I 207
— Strassburg, Universität 04 I 190
— Tübingen 1904 II *118* CBl 1904 *689*
— Washington, U. S. National-Museum . . 03 I 207
— Wiener Hofmuseum 1904 I 187 ff. CBl 1903 236
Meteorsteine
— chondritische, Structur u. Entstehung . CBl 1901 *641*
— Allegan, Mich., grauer Kügelchenchondrit 1901 II 38 03 I 214
— Andover, Chondrit . 04 I 194
— Bath Fournace, Chondrit 04 I 194
— Bjurböle bei Borgo, Finnland, Kügelchenchondrit 1900 I 356 01 II 40 1902 I 42 03 I 209
— Ceylon, gef. 13. Apr. 1795 1902 I 371 1903 I 208
— Chatillens, Waadtland, 30. Nov. 1901 . . . CBl 1901 762
— Duruma u. Segowlee (Ostindien), Kettenfall . . . . . 1900 I 352
— Ergheo, Somalihalbinsel, Chondrit . . . 1900 I 357
— Felix County, Alabama 03 I 215
— Karatasch b. Smyrna, Fallzeit . . . . . CBl 1903 149
— Lançon, Chondrit 1902 I 42. 368
— Lerici b. Spezia . . 1900 I 352
— Lesves, Belgien 1900 I 357. II 205
— Long Island, Kansas, Erxlebenit . . . . . 04 I 191
— Meuselbach, Thüring., Chondrit . . . . . 1900 I 355
— Ness Co., Kansas, Erxlebenit . . . . . 04 I 192
— Niederländisch-Indien, Obsidianbomben . . 1900 I 360
— Oakley, Kans., Chondrit 01 II 39
Meteorsteine
— O'Connell b. Bathurst (Australien), Obsidianbombe . . . . . 1902 I 370
— Segowlee u. Duruma (Ostindien), Kettenfall . . . . . 1900 I 352
— Tschuwaschskja Kissy, Gouv. Kasan, Chondrit 03 I 212
— Zavid, chondritisch, Structur u. Analyse 1900 II 203 1903 I 210 CBl 1901 *642*
— Zomba, brit. Centralafrika . . . . . 02 I 371
— siehe auch Moldavit etc.
Methyläther des Dibrom-p-oxy-Mesitylalkohols u. des p-p-Dimethylbenzoins, Kryst. . . 1900 I *95*
Methyl-para-Brom-Benzoat, Kryst. . . . . 03 I *22*
Methyl-para-Chlor-Benzoat, Kryst. . . . . 03 I *19*
Metriorhynchus . . . . 03 I 153
Metula Boettgeri, Tertiär, Java . . . . . 1900 II 289
Metz, Dogger . . . . . CBl 1901 *411*
Meule de Bracquegnies, Hennegau, Gliederung 02 II 117
Meuselbach, Meteorit . 1900 I 355
Mexicanischer Onyx, Arizona, Vorkommen . CBl 1902 407
Mexico
— Caprinidenkalke . . 1900 I 123
— centrale Hochfläche, Entstehung u. Kreide 01 II 444
— Eruptivgesteine und Tuffe . . . . . 1900 II 229. 232
— Geologie . . . . . 03 II 253
— Kreide 1900 II 121. 480 01 II 444
— Lias . . . . . 1900 II 120
— Meteoreisen, Cuernavaca . . . . . 04 I 194
— —, Mezquital, Durango . . . . . 1900 II 200
— —, Ranchito u. Casas grandes . . . . . 04 I 195
— —, San Gregorio . . CBl 1901 *154*
— —, Toluca . . . 1900 II 199. 201 1904 I 193 04 II *118*
— Miargyrit, Zacatecas 1900 I 340
— natürl. Coaks in den Santa Clara-Kohlenfeldern (Sonora) . . 02 I 247
— Niveauänderungen . 01 I 53
— Rudisten . . . . . 1900 II 480

Mexico
— Verbindung zwischen atlant. u. pacif. Ocean 1901 II 292
— Vulcane nicht auf Spalte 02 I 208
Miacidae, Puerco . . . 1900 I 303
Miargyrit
— isomorph. m. Lorandit 1900 I 8
— Zacatecas . . . . . 1900 I 340
Miascit, Miask . . . . 01 II *117*
Miask
— Amazonenstein . . . 01 II 179
— Natronsyenit . . . . 01 II *117*
— siehe auch Ilmengebirge.
Michigan
— Eisenerze . . . . . 01 II 411
— geotherm. Tiefenstufe 02 I 45
— Gesteinsvariationen . 1900 I 73
Micraster, geol. Stellung 01 I 515
— cor-anguinum, corbovis, Leskei u. praecursor, England, Kreide 01 I 516
— corbaricus, Senon, Barcelona . . . . . 03 I 530
— cormarinum, weisse Kreide, Louviers (Eure) 1900 II 323
— Fortini, Kreide, Normandie . . . . . 1900 II 162
— ultimus (Epiaster), Nummulitenschichten, Egypten . . . . . 01 II 484
Micrentoma, Carbon, England . . . . . 02 II 150
Micrococcus Zeilleri, Kohlenbecken, Autun u. Epinac . . . . . 02 II 168
Microdiscus Kochi und lenaicus, Lenakalk, Cambrium, Sibirien . 01 I 114
Micromaya (?) priabonensis, Priabona-Schichten . 04 I 284
Microporella ciliata var. senensis (Fenestrulina), Tert., Toscana 02 II 310
— Manzonii, Postpliocän, Spilinga . . . . . 1900 II 158
Micropternodus borealis, Titanotherium-Schicht, Montana . . . . . 04 II 460
Microsyops, Eocän, Amer. 04 I 294
Miersit
— Broken Hill, Neu-Süd-Wales
1900 I 5 1902 II 14 03 I 374
— verwachsen m. Jodyrit BB XVI *349*
Mikrochemische Analyse
1900 I 327 CBl 1902 *198*
Mikrochemische Analyse
— Hilfsapparate . . . 1902 II 401
— seltener Erden . . . 03 II 11
Mikrochemische Technik CBl 1900 297
Mikrochemischer Nachweis von Kobalt . . 02 II 176
Mikrodichroskop . . . . 04 II 1
Mikrodiorit
— Verwitterung . . . 1900 I 56
— Pallet, Loire inférieure 1900 II 401
Mikrofelsit, Rödö, Christianiafjord . . . . 1900 II 219
Mikroklin
— Dichte u. Schmelzen 01 II *153*
— Pleochroismus des grünen . . . . . CBl 1903 *450*
— Cala Francese, Insel Maddalena, im Granit 02 I 346
— Haddam Neck, Conn., im Granit . . . . . 03 II 187
— Kola, im Elaeolithsyenit . . . . . 02 II 379
— Miask, Ural . . . . 01 II 179
— Montorfano b. Baveno, im Granit . . . . . 04 I 182
— Süd-Russland, im Rapakiwi . . . . . 04 I 72
Mikroklinpegmatit, Buri u. Dissei-Insel (Erythraea) . . . . . 04 II 402
Mikroklinperthit
— verwachsen mit Quarz und Beryll . . . . 1900 I 169
— Cala Francese, Insel Maddalena, im Granit 02 I 346
Mikrokryptokrystalline Eruptivgesteine . . CBl 1903 689
Mikrolith
— Grönland . . . . . 1900 I 348
— Narsarsuk, südl. Grönland, im Syenit . . 02 I 37
— Skogböle, Finnland . 01 I 352
Mikrolithisch-glasige Eruptivgesteine . . . . CBl 1903 690
Mikroorganismen, den Schlamm der Limane umändernd . . . . 1900 I 225
Mikropegmatit, Rödö, Christianiafjord . . 1900 II 219
Mikrophotographische Aufnahme von Dünnschliffen . . . . . CBl 1903 *628*
Mikroseismograph . . . 03 I 49
Mikroskop
— für converg. Licht . 02 I 161
— i. chem. Laboratorium CBl 1901 19

Mikroskop
— mit Planimeterocular CBl 1904 *626*
— mit Polarisation, Anleitung zum Gebrauch CBl 1901 500
— Polarisationseinrichtung 1903 I 361. 362
— Polarisations-, neue Vorrichtungen . . . 1904 II 1
Mikroskopirlampe . . . 02 II 175
Mikroskopische Analyse siehe Mikrochemische Analyse.
Mikrosommit (= Davyn), Vesuv, Beziehung zu Nephelin . . . . . 1900 II 17
Mikrosyenit, Creuse-Dep. 03 II 373
Mikrotinit . . . . . 01 I 404
Mikrotonalit, Cap Marsa, Analyse . . . . . 01 I 403
Miliolina Rodolphina var. striatula, nordmähr. Miocäntegel . . . . 03 II 151
Miliolit, Kathiawar . . 02 I 78
Militz b. Meissen, Marmor BB XIX *242*
Milleporidium, Tithon, Stramberg . . . . . 04 II 155
Millerit, Andenne, Belgien, auf Kalkspath . . . 03 II 171
Millersches Gesetz, Beweis 01 II 334
Millestroma Nicholsoni, Turon, Abu Roasch b. d. grossen Pyramiden 01 II 163
Millstone-Grit, Liegendes, Pendle Hill, England CBl 1901 316
Mimetische Krystalle, Umlagerung u. Structur BB XIV *246*
Mimomys intermedius, Arnothal u. Norwich Crag . . . . . 04 II 307
— Newtoni, Crag und Forest bed, Norwich 04 II 307
Minahassa. Nord-Celebes, Geologie . . . 1901 II 262. 392
Minas Geraës, Brasilien
— Diamant- und Goldwäschen, Schiefer . . 02 I 416
— Manganerze . . . . 03 II 381
Mineralanalysen, Interpretation . . . . . 01 II 23
Mineral- u. Gesteinsanalysen d. Geol. Survey of the United States 04 II 346
Mineralbenützung jetzt und früher. . . . . 03 I 81
Mineralbestimmung durch stärkste Doppelbrechg. 01 II 220
Mineralbestimmung, Tabellen . 1900 II 169 CBl 1900 22
Mineralbildung i. Magma 1900 II 248
Mineralien
— Ausscheidung aus Schmelzflüssen . . . CBl 1903 *715*
— Bestimmungstabellen 1900 II 169 CBl 1900 22
— gegenseitige Löslichkeit im Schmelzfluss CBl 1903 *705*
— in Dünnschliffen . . 1800 I 217
— wasserhaltige, Constitution . . . . . CBl 1903 752
— zu den 32 Krystallklassen gehörig . . 02 II 2
— Dänemark, nutzbare CBl 1902 663
Mineraliensammlung von Rudolf Hermann, Moskau . . . . . CBl 1900 160
Mineralindustrie, Ontario, Canada . . . . . 1900 I 345
Mineralische Brennstoffe, Untersuchung mit X-Strahlen . . . . . 1900 II 409
Minerallagerstätten . . 01 I 422
— siehe auch Erzlagerstätten etc.
— Classification . . . . 02 I 244
— Graphitlager, Entstehung . . . . . 04 I 405
— siehe auch Graphit.
— Kaolin . . . . . BB XV *231*
— siehe auch Kaolin.
— im Marmor u. Dolomit BB XIX *197*
— secundäre Mineralien auf Kalisalzlagern . 04 I 331

Afrika.

— Madagascar . . . . CBl 1902 696
— Marokko . . . . . 02 I 84
— Swaziland, Niobate u. Titanate . . . . 01 I 31
— Vrijheid-Bezirk, Transvaal . . . . . 01 II 92

Amerika.

Nordamerika.

— Canada 1901 II 366 02 II 366
1903 II 339 04 II 237
CBl 1901 371 CBl 1902 240
— —, Asbest . . . . . 04 II 237
— —, Ontario 1901 II 366 03 II 339
CBl 1901 371 CBl 1902 240
— Grönland 1900 I 346 01 I 373
— —, Julianehaab, im Eläolithsyenit . . . 01 I 373
— —, Narsarsuk . . . 02 I 18

Minerallagerstätten
— Vereinigte Staaten 1900 I 8. 31. 198 1901 I 34. 367 1901 II 365 ff. 02 I 360 1903 I 402 ff. 03 II 391 1904 II 37 ff. 196. 356. 365 CBl 1901 90
— —, Edelsteinproduction . . . . . 1904 II 196. 365
— Californien 1900 I 31 03 I 402
— —, Alma Mine . . . 04 II 37
— —, Leona Heights, Alameda Co., . . . 04 II 37
— —, südliches, Turmalin etc. . . . . 04 II 356
— Connecticut, Haddam Neck . . . . . CBl 1901 373
— Kansas . . . . . CBl 1901 90
— —, Gyps u. Kalkspath 01 II 365
— Massachusetts . . 1901 I 34. 36
— Montana . . . . . 01 II 368
— —, Black Hills . . 03 I 406
— New Jersey . . . . 02 I 360
— —, Franklin County 1901 I 36. 367
— Nordcarolina . . . . 1900 I 8. 32
— Texas . . . . . 04 II 34
— —, Petroleum . . . 03 II 391

Süd- und Mittelamerika.
— Argentinien 1904 II 196 CBl 1901 50
— —, Glimmer . . . . 1902 II 402
— Brasilien . . . . . 04 II 357
— Chile, Goldlagerstätte von Guanaco . . . . 01 II 401
— —, Salpetergebiet . 01 I 364
— Cuba, Cardenas . . . 03 II 391

Asien.
— Ceylon . . . . 1902 I 191. 195
— —, Graphit . . . . 01 II 77
— Egypten u. Palästina, Phosphate, Asphalt u. Asphaltkalk u. Petroleum . . . . . 04 II 237
— Persien, nutzbare . . 01 I 250

Australien.
— Broken Hill, Neu-Süd-Wales . 1900 I 5 1902 II 14. 87
— Clarendon, Otaga, Neuseeland, Phosphorite 04 II 254

Europa.
Balkanländer.
— Bulgarien . . . . . 02 I 82
— Rhodope-Gebirge . . 01 II 363
— Rumänien . . . . . 01 II 364
— —, Steinsalz . . . . 04 II 232

Minerallagerstätten
Deutschland.
— Fichtelgebirge . . . CBl 1903 650
— Rheinhessen u. Wetterau, Schwerspath . . 1902 I 354
— Rösteberg, Oberharz, Beziehung d Schwerspathvork. z. Erzgängen 04 II 236
— Rosenegg am Hohentwiel . . . . . 01 I 30
— Sachsen . . . . . 04 II 361
— —, Heidelbach bei Wolkenstein, Erzgeb. 04 II 362
— Taunus . . . . . 04 II 239

Frankreich.
— Frankreich . . . . CBl 1902 146
— Brassac (Tarn) im Pegmatit . . . . . 03 I 206
— Pyrenäen, schwarze Phosphate . . . . . 01 II 74
— Royat (Puy-de-Dôme), Fumarolenmineralien 1900 I 30

Grossbritannien und Irland.
— Bristol, Cölestin . . 04 II 236
— Irland . . . . . 04 II 33
— Schottland . . . . . CBl 1901 530
— Tintagel, Cornwall . 02 I 190

Iberische Halbinsel.
— Iberische Halbinsel . CBl 1902 662
— Portugal . . . . . 1900 I 30

Italien.
— Italien . 1900 I 26 ff. 01 I 363 1901 II 201 ff. 369 02 I 358 1902 II 203 04 I 181 1904 II 235 CBl 1900 *41* CBl 1901 *45* CBl 1903 *78. 117*
— Agordino superiore . 03 I 202
— Ballabio und Laorca, im Esinodolomit . . 02 II 203
— Bargello zw. Parma u. Spezia . . . . . 1900 I 26
— Baveno, im Granit v. Montorfano . . . . 04 I 181
— Comba di Compare Robert . . . . . 01 II 204
— cottische Alpen, Graphit . . 1900 I 415 01 II 77
— Laorca, im Esinodolomit . . . . . 02 II 203
— Maddalena-Insel, Zeolithe im Granit . . 03 I 194
— Malfidano, Sardinien 01 I 363
— Mti. Cimini, vulc. Blöcke . . . . . 1900 I 28
— Mussaalp 1901 II 201 CBl 1900 *41*

Minerallagerstätten
— Oulx, ob. Dora Riparia, im Gyps . . . . . 1900 I 26
— Piemont . . . . CBl 1903 *78. 117*
— Rocca Rossa u. Mte. Pian Real (Val di Susa) 02 II 203
— Rosas nel Sulcis, Sardinien . . . . . 1900 I 28
— Saulera-Alp, Alathal u. Rocca nera an der Mussaebene 1901 II 201 CBl 1900 *41*
— Siena (Prov.), Schwefel 04 II 236
— Sondalo, Veltlin, im Pegmatit 1901 II 369 02 I 358
— Valdaspra (Massa maritima) . . . . . 1900 I 29
— Vesuv (Somma) . . . CBl 1901 *45*

Oesterreich.

— Alpen, Graphit . . . 01 II 77
— Böhmen, Zeolithe . . 03 I 389
— —, Kuttenberg . . . 03 I 401 1903 II 338 CBl 1901 504
— —, Pisek . . . . . 01 II 202
— —, Polička . . . . 01 II 203
— Mähren . . . . . 1900 I 23 ff. 1901 I 353. 462 1901 II 202 ff. 1902 II 33 1903 I 198 ff. 401 ff. 1903 II 339 04 I 30 CBl 1901 171. *444* CBl 1904 *353*
— —, Bobrůvka b. Gross-Meseritsch . . . . . 03 I 201
— —, Cichow b. Akrisko, im Urkalk . . . . . 03 I 200
— —, Dolni Bory bei Gross-Meseritsch . . 03 I 200
— —, Hohes Gesenke CBl 1901 171. *444*
— —, Hüttellehne bei Wermsdorf . . . . 02 II 33
— —, Klein-Tressny, Graphitwerke . . . 1900 I 24
— —, Oels . . . . . 1900 I 24
— —, Trhonic . . . . 03 I 401
— —, Wür b. Bistritz . 1900 I 23
— — u. Oesterr.-Schlesien . . . . . 04 I 177
— Niederösterreich 1903 I 400 CBl 1903 731
— Oberösterreich u. Wels 04 II 78
— Salzburg, Gasteinthal CBl 1903 651
— Steiermark, Graphitlager, Metamorphismus . . . . . 03 II 385
— —, Magnesit, Entstehung . . . . . 04 II 240
— Triest, Karstgebiet . CBl 1902 442

Minerallagerstätten

Russland.

— Finnland, Kintsiniemi, Dolomitbruch . . . 1902 II 362
— Jelisawetgrader Kreis, Cherson, Kaolin . . 04 II 21
— Kaukasus, Naphtha 1900 II 35 04 I 229
— —, Balachan, Sabuntschin, Romanin und Sabratsk, Naphtha . 01 II 85
— —, Bambak-Aschai-Ebene, Zeolithe im Porphyrit . . . . . 01 II 205
— —, Bibi-Eikat (Baku), Naphtha . . . . . 01 II 85
— —, Dargaw-Schlucht, Graphit . . . . . 04 I 227
— —, Gagry, Asphalt . 04 I 228
— Krym . . . . . 01 II 205 1902 II 364 04 II 32
— —, Cap St. Elias b. Feodosia . . . . . 04 II 32
— —, Karadagh, Berg b. Feodosia . . . . 01 II 205
— Schwarzmeer-Gegend 04 I 228
— Sibirien, nutzbare . 01 I 249
— —, Gold . . . . . 02 II 402
— —, Botogolskij Golez. Graphitit, (Alibert-Graphit) . . . . . 01 II 74
— Ural, Platin . . . . 04 II 347
— —, Bogoslowsk'sches Bergrevier 1900 I 345 03 II 226
— —, Ilmengebirge . . CBl 1901 727
— —, — u. Kyschtim 1901 I 361 01 II 205
— —, Tschuwasch-Berg bei Slatoust, Perowskit . . . . . 01 II 179
— —, Uspenskyi-Grube 01 II 178

Schweiz.

— Aarmassiv in Biotitprotogin . . . . . BB XIV *43*
— Baltschiederthal, Wallis, im Triasdolomit . 1900 I *16*
— Binnenthal im Dolomit . . . . . 01 II 201 1903 I 377 1904 I 32. 180
— St. Gotthard, Cyanit- u. Staurolith am südlichen . . . . . 01 II 201

Skandinavien.

— Dänemark, nutzbare CBl 1902 663
— Finnland, Kintsiniemi, Dolomitbruch . . . . 02 II 362

Minerallagerstätten
— Norwegen. Langesundfjord . . . . . 1902 II 361
— —, —, Arö, Ober- u. Klein- . . . . . 02 II 361
— Schweden, Långbanshyttan . . . . . 02 I 358
— —, Salagrube . . . 1900 I 31
— —, Schonen, Kaolin . 04 II 76
— —, Skrickeram-Grube 01 I 361
Mineralogie
— Congrès géologique international, Paris 1900 . . . . . CBl 1900 *249*
— Fortschritte . . . . CBl 1901 50
— in der Schule . . . 01 I 205
Mineralog. und geolog. Sammlungen, Verein. Staaten u. Canada . 1900 I 327
Mineralproduktion 1901, Verein. Staaten . . 04 I 33
Mineralquellen
— Amagleh . . . . . 02 I 419
— Frankreich . . . . 02 II 74
— Kaukasus, nördl. . . 02 I 419
— Kiedrichthal b. Eltville, Zusammensetzung 02 II 414
— Sotschi-Kreis, Schwarzmeerdistrikt . . . . 03 I 263
— Val Brembana, Lombardei . . . . . 02 II 60
— Val Sinestra b. Sent (Unt.-Engadin) . . . 02 II 75
— Vals i. Lugnetz, Graubünden, eisenh. Gypstherme . . . . . 02 II 75
Mineralschnitte, krystallographische Orientirung in Schliffen . CBl 1903 *323. 554*
Mineralverwachsungen, regelmässige 1900 I 169 BB XVI *335*
Mineralwasser, Zusammensetzung
— durch elektr. Leitungsfähigkeit bestimmt . 02 II 411
— Arva-Polhora, Ural . 1900 II 390
— Kiedrichthal bei Eltville . . . . . 02 II 414
— Monfalcone, Thermen 02 II 413
Minervit, Clipperton-Atoll, Südsee. . . . 1900 I 240
Minette
— systemat. Stellung . 03 II 357
— Böhmen, praecambr. 04 I 51
— Eule, Böhmen . . . 03 I 413
Minette
— Hessen, chemisch . . 1903 II *39*
— Little Belt Mountains, Montana . . . . . 03 I 432
— Schriesheim, im Doppelgang . . . . . CBl 1904 *622*
— Wolynkathal, Böhmerwald . . 1903 I 412 04 I 52
Minimalablenkung des Lichts in doppeltbrechenden Prismen 04 I 322
— in Prismen zweiaxiger Krystalle . . . . . 1900 I 57
Minnesota, SW., krystallinische Schiefer . . 01 II 245
Minss-Liman, Russland . CBl 1900 *333*
Miocän, siehe auch Tertiär
— Apennin, grosse Lucinen und Alter des Macigno-Mergels . . 1900 I *87*
— Argentinien . . . . 1900 I 225
— Basler Tafeljura, Verwerfungen . . . . . 01 II 107
— Bosnien, Süsswasserneogen . . . . . CBl 1901 *233*
— Dalmatien, unteres . 03 I 275
— Deruta (Umbrien), exotische Geschiebe . 03 I 279
— Egypten . . . . . 02 I 427
— —, Mollusken . . . 01 I 283
— —, Pectinidenfauna . CBl 1900 *209*
— Frankreich, nordwestl., Pelecypoden u. Brachiopoden des mittleren . 02 I 465
— Italien, Kieselconcretionen . . . . . 01 I 127
— —, Pectiniden d. mittl. 01 II 319
— Kaspische Länder . . 01 I 127
— La Grive St. Alban, Insectivoren . . . . 01 I 149
— Loirebecken, Pelecypoden . . . . . 03 II 299
— Norddeutschland, Beziehung zu Polen, Mähren, Oberschlesien und Böhmen . . . . 02 I 483
— Patagonien, südliches 1900 II 427
— Sardinien, Bryozoen und Korallen . . . 1900 II 317
— Steiermark u. Kroatien, Fische . . . . 01 I 307
— Steinheim, Schnecken 02 I 483
— Syrakus . . . . . 01 I 476
— Verona . . . . . 04 II 260
Mioclaenidae. Puerco . 1900 I 305
Mioclaenus, Puerco . . 1900 I 307

Miolania, Tertiär, Patagonien . . . . . CBl 1901 26
Mioporomya, Tert., Piemont und Ligurien . 1902 II 309
Miospondylus, palaeoz. . 1900 I 481
Mirsa Matru, Egypten, Geologie . . . . . 04 I 269
Mirzapur, Ostindien, Geol. 02 I 430
Mischkrystalle, isomorphe
— Aenderung der freien Energie bei der Bildung . . . . . BB XIII *464*
— anomale . . . . . 03 II *93*
— Beziehung zu Doppelsalzen . . . . . BB XVIII *377*
— — zwischen Bildungswärme u. Löslichkeit BB XIII *454*
— Bildung . . . . . 02 II *43*
— — durch Sublimation 03 II 5
— Dampfspannung bei Salzhydraten . . . . 02 II 176
— Erstarrungspunkte . 01 I 177
— labile Componenten . 04 I 325
— Löslichkeit v. hydratierten . . . . . 02 I 335
— Lösungswärme . . . BB XIII *436*
— thermochem. u. thermodynam. Methoden für die Bildung . . . . BB XIII *434*
— Umwandlungspunkte 01 I 179
— Unterscheidung von Doppelsalzen . . . . CBl 1904 *641*
— von HgJ_2 u. $AgNO_3$ 04 II 345
— von KNO_3 u. $TlNO_3$, Bildung u. Umwandlung 01 I 180
— von $NaNO_3$ mit KNO_3 u. $NaNO_3$ mit $AgNO_3$, Umwandlung . . . 01 I 340
— v. Quecksilberbromid u. -Chlorid, Umwandlung und Bildung . 01 I 341
Misenit, Schwefelgrotte b. Misenum . . . . 03 I 252
Misenum, Schwefelgrotte 03 I 252
Mission Creek series, Alaska . . . . . 1900 II 77
Mississippithal, carbon. Fischfauna . . . . 04 I 142
Missouri, Pflanzen der lower coal measures 01 II 485
Missourit, Einwirkung von Salmiak . . . . 04 II 7
Mistechinus Mayeri, coc., Egypten . . . . . 1900 I 318
Mithracia oblita, Greensand. England . . . 1900 II 308
Mitra(Conomitra) hortensis, Priabona-Schichten . 1904 I 283
Mitscherlichia chinensis, Cambrium, Schantung CBl 1904 *194*
Mittelamerika
— vulk. Erscheinungen 04 I *39*
— — 1903 u. 1904 . . CBl 1904 *449*
— siehe auch Westindien etc.
Mittelmeer, Tiefseeuntersuchung . . . . . 01 I 53
Mittelmeergebiet, westl., Trias, verglichen mit deutscher . . . . . CBl 1901 *551*
Mittelmeerländer, westl., Geologie . BB XX *149. 436. 466*
Mittenwalde (Mark), fossilführende Diluvialschichten . . . . . 04 II 283
Mixodectes
— Eocän, Amerika . . 04 I 294
— Puerco . . . . . 1900 I 301
Mixodectidae, Eocän, Amerika . . . . . 04 I 293
Mixosaurus
— Abgrenzung . . . . 01 II 476
— Trias, Besano . . . 04 I 139
Moa und andere Riesenvögel . . . . . 01 II 474
— Eier, Neu-Seeland . 04 I 137
Moa-Ei, vollständig. Molineux-Fluss, Otaga . 04 II 470
Mobergia, Cambrium, östl. Saltrange . . . . . 02 I 260
Mochlodon Suessi, Siebenbürgen . . . . . 03 I 156
Modalvarietäten der Eruptivgesteine . . . . CBl 1903 688
Modelle, 928, in Birnbaumholz z. Erläuterung der Krystallformen der Mineralien CBl 1902 663
Modificationsänderung, Einfluss des Fe-Gehalts beim Boracit . 1900 II *108*
Modiola andina, patag. Formation . . . . . 02 I 295
— araucana u. cretacea, Quiriquina-Schichten, Chile . . . . . BB XVIII *227*
— contorta, lepida u. cf. tulipa, Paraná-Stufe BB XIV *194*
— deflexicardo, Infralias, Vendée . . . . . 04 II 430
— ensiformis, eyrensis u. Tatei, Kreide, Südaustralien . . . . . 04 I 119

Modiola Frauscheri und granconensis, Priabona-Schichten . . . 1904 I 283
— Grecoi, Pliocän, Val d'Era, Toscana . . . 01 II 481
— longaticensis, Trias, Idria . . . . . 02 I 485
— Pantanellii, Jura, Schoa . . . . . 1900 I 439
— Rosignani, Miocän, Mti. Livornesi . . . 04 I 288
— wemmelensis, oberes Tongrien, Belgien . 02 I 130
Modiolula, Tert., Piemont und Ligurien . . . 02 II 309
Modiomorpha rhomboidalis, Remscheider Schichten, Devon . . CBl 1904 *601*
Möen, Geologie . . . . 02 I 460
Mölln, Geologie . . . . 04 II 283
Mölnbo, Schweden, Zinkgrube . . . . . 1900 I 413
Moeritherium gracile u. spec., Fajum, Egypten 03 I 566
— —, Natronthal, Egypten, pliocän . . . . 04 II 305
— Lyonsi, Tert., Egypten 02 I 466
1904 I 134 04 II 319
Mo-Formation, Beziehung zu Geschieben von Londonthon, Schleswig-Holstein . . 1900 II 125. 127
Mohawkit, Mohawk-Mine, Lake Superior . . . 02 II 17
— und Mohawkit-Withneyit, Lake Superior 02 I 7. 8
Mohsit, Beaume a. d. Dora Riparia . . . . . 03 II 14
Moine-Gneiss, Schottland CBl 1904 312
Mokattam, eocäne Fische 01 II 148
Molaren
— complicirte, der Säugethiere, Erklärung . . 02 II 134
— tituberculäre, Entstehung . . . . . 04 I 455
Molasse
— Bayern u. Württemberg, Säugethiere . BB XIX *489*
— Bodensee . . . . . CBl 1904 *135*
— Lausanne, Lagerung 03 II 112
— Nordschweiz . . . . CBl 1903 *477*
— Oberbayern . . . . 03 II 112
— Schweiz, Grenze zwischen Oligocän und Helvetien . . . . . 04 I 285
— Ueberlingen . . . . 03 I 471
Moldau, oberhalb der St. Johann-Stromschnellen, Granitrand . . 1902 I 61
Moldavit
— Vorkommen u. kosm. Ursprung . . . . . 1900 I 361 ff.
— Zusammensetzung . 01 I 195
— Mähren . . . . . CBl 1904 *360*
— Neuhaus-Wittingau, Böhmen . . . . . 02 I 41
— Niederländisch Indien, Obsidianbomben . . 1900 I 360
— siehe auch Tektit.
Moldawa, hydrogr. Verhältnisse . . . . . 1900 II 421
Molekül, Beziehung zum Krystall . . . . . 03 I 362
Molekulare Bewegungen in der Erdkruste beim Gesteinsmetamorphismus . . . . . 1900 I 367
Molekulargrösse d. Körper im festen u. flüssigen Zustand . . . . . 01 I 177
Molekularvolumen
— Beziehung zu chem. Zusammensetzung bei krystallographisch ähnlichen Substanzen CBl 1903 25
— — — — bei Mineralien . . . . . 04 I 4
Molina, Aragonien, Geol. 1900 II 114
Molukken
— Geologie 1902 II 425 CBl 1901 321
CBl 1902 *1. 460*
— Geologie und Vulcane 01 I 49
— Gesteine . . . . . 1900 I 240
— (Ambon) Geologie . . 03 II 103
— (Buru) Gesteine . . CBl 1900 *373*
Molluskenfaunen, spät- u. postglaciale, Christianiagebiet . . . . 02 II 453
Molluskenschalen
— Bau und Entstehung 03 I 162
— Bildung durch Krystallisation . . . . 03 I 328
Molokai, Hawaii-Archipel, Basalt . . . . . BB XV *71*
Molybdän in amerikan. Eruptivgesteinen . . 1900 II 68
Molybdänglanz,
— künstl., Krystalle . . 04 I 19
— wismutschaltig . . . 1900 II 350
— Aarmassiv, im Biotitprotogin . . . . . BB XIV *91*
— Californien . . . . 1900 I 31

Molybdänglanz
— Cooper, Maine . . . 1904 II 31
— Neuschottland . . . 02 I 363
— Radauthal, im Pegmatit 03 II 337
— Silverton Quadrangle, Colorado . . . . . 03 II 343
— Verein. Staaten, Produktion 1901 . . . 03 I 35
— Vierstöck (Odenwald), im Gabbro . . . . . 02 I 336
Molybdänsaures Cer, Didym, Lanthan, Calcium u. Blei . . . . . CBl 1901 *682*
Molybdophyllit, Långbanshyttan . . . . 02 I 359
Monalysidium politum u. Sollasi, Funafuti Atoll 04 II 160
Monastery, Oranje-Freistaat, Diamantlagerstätte . . . . . 1900 I 1
Monazit
— isomorph mit Krokoit CBl 1901 507
— u. Krokoit, Beziehung zw. Molekularvolumen u. Zusammensetzung 04 I 5
— Polychroismus . . . 04 II 344
— verwachs. m. Xenotim BB XVI *397*
— Vork. im Granit . . 03 II 180
— Brasilien, Bahia und Minas . . . . . 04 II 357
— Delaware Co., Penns. 01 I 200
— Diamantina, Bras. . 01 I 413
— Impilaks, Finnland . 1900 I 17
— Mt. Bischoff, in Zinnseifen . . . . . 01 I 425
— Nordcarolina, mit Rhodalith . . . . . 1900 I 188
— Pisek, Böhmen . . . 01 II 202
— Swaziland . . . . . 01 I 31
— Tintagel, Cornwall . 02 I 190
— Verein. Staaten, Production . . . . . 04 I 34
— versch. Fundorte . . 02 I 185
Monchiquit . . . . . CBl 1900 186
— systemat. Stellung . 03 II 358
— Cabo Frio bei Rio de Janeiro . . . . . 02 II 401
— Hessen, chemisch . . 03 II *41*
— Kaiserstuhl . . . . 02 I 395
— Mti. Girnar, Junagarh, Kathiawar, Indien 1902 I 415 CBl 1901 53
— Orkney-Inseln . . . 02 II 66
— Predazzo . . . . . 03 II 70
— Rongstock, Böhmen . 1900 II 83
— Siebengebirge, Hauyn- 04 II *86*
Mondhaldëit
— systemat. Stellung . 1903 II 358
— Kaiserstuhl . . . . 01 I 401
Mondstein
— Ceylon . . . . . 02 I 195
— —, Glaukisiren . . . 02 I 341
— Nordamerika . . . . 03 II 39
Moneiodon primum, graue Tuffe, Collon Cura, Argentinien . . . . 02 I 434
Monetit, künstl. Nachbildung . . . . . 04 II 187
Monfalcone, Thermen, Zusammensetzung . 02 II 413
Monferrato, Cementsteine des Eocän . . . . . 1900 I 448
— pietra da Cantoni, Tertiär . . . . . 02 I 465
Monobisilikatische Magmen . . . . . 1900 I 184
Monocerina (Lepralia) monoceros, Neogen, Italien . . . . . 02 II 311
Monocidodon primum, Tertiär, Rio Negro u. Neuquen . . . . . 02 I 305
Monoclimacis . . . . . 01 I 334
Monogene Vulcane . . . 04 I 198
Monograptidi . . . . . 01 I 334
— poln. Mittelgebirge . BB XIII *334*
Monograptus . . . . . 01 I 335
— Silur, nördl. Schan-Staaten . . . . . CBl 1900 138
Monophora Darwini, Paraná-Stufe . . . . . BB XIV *229*
Monopleura, Verwandtschaften . . . . . 1900 II 480
— ambigua, Quiriquina-Schichten, Chile . BB XVIII *226*
— Felixi (Petalodontia), Coalcoman, Mexico . 1900 II 480
— multicostata, Cenoman, Galatina . . . 04 I 120
Monosilikatische Magmen CBl 1900 184
Monotekitische Magmen 1902 I 216 CBl 1900 186
Monotremen, Schädelbau 03 II 283
Monotrop-dimorphe Körper, Umwandlungspunkt . . . . . 1901 I 3, 339
Monotrypa Böckhiana u. hirsuta muralis, Trias, Jerusalemer Berg, Bakony . . . . . 02 I 153
Montagne Noire, Südfrankreich, Tremadoc 02 I *1*

Montana, Little Belt Mountains, Gesteine 1903 I 430
Montanaria curta, elongata u. ovata, Remscheider Schichten, Devon . . . . . CBl 1904 *601*
Montanto di Maremma etc. 03 I 202
Montblanc
— Eistunnel . . . . . 1900 II 212
— Geologie und Petrographie . 1900 I 50 01 I 65
— Gletschererosion . . 1900 II 213
— Gletschermühle am Mer de glace . . . 1900 II 213
— Tektonik des SW.-Rands (Mont Joly) . 1900 I 255
Mont-Dore . . . . . CBl 1900 *307*
— geol. Excursionen CBl 1901 *97. 289*
— Gesteine, chemisch . 01 I 225
Mont Joly (Montblanc), Tektonik . . . . . 1900 I 255
Mont Pelé, Martinique
— Asche . . . . . CBl 1902 603
— Aschen und Gesteine, 1903 und früher . 1903 II 79—86
— Eruption 1902 1904 II 369 CBl 1903 *337*
— Eruption 1902 u. 1903 04 II *1*
— frühere Eruptionen . 03 II 79
— Gase der Eruption von 1902 . . . . 1903 II 375 ff.
— siehe auch Martinique u. Westindien.
Monte Bolca, eoc. Fische 1900 I 466
Monte Ferru, Sardinien, Gesteine . . . . . 04 II 222
Monte Judica (Prov. Catania), Raibler Schichten . . . . . 1900 I 114
Monte Postale, eoc. Fische 1900 I 466
Montenegro
— Gebirge, Glacial und Morphologie . . . . 1900 II 382
— Geologie . . . . . 02 II 259
— Gesteine . . . . . 04 II 222
— Glacialspuren . . . 03 I 311
Monteponi, Entstehung d. Mineralien . . . 03 I 201
Monteregian Hills, Quebec, Can., Gesteine . 04 II 408
Monterey Formation, Berkeley Hill, Calif. . . 04 II 250
Monti Sablacensi, Geol. 01 I 97
Monticellitpseudomorphosen, Pesmedaalp . . 04 I 164
Montien, Belgien, Fische 03 II 443
Montlivaltia fungiformis, Alttertiär, Deutsch-Ostafrika . . . . . 1901 II 326
— Latona, Gosauschichten, Ost-Alpen . . . 04 II 152
— montis Hierosolymorum und Loczyana, Trias, Jerusalemsberg, Bakony . . . . . 02 I 153
Mortofano, Mineralien im Granit . . . . . 04 I 181
Montpellier, Geologie . 1900 I 95
Montroydit, Terlingua, Texas . . . . . 04 I 339
Montserrat, Westindien, Geologie . . . . . CBl 1903 *279*
Monzonas . . . . . CBl 1903 697
Monzonat . . . . . CBl 1903 691
Monzonos . . . . . CBl 1903 691. 697
Monzonot . . . . . CBl 1903 691
Monzoni
— Allochetit . . . . . 04 I 389
— Altersfolge d. Eruptivgesteine . . . . . 04 II 211
— Dioritporphyrite . . CBl 1903 *383*
— Geologie . . . . . 04 I 247
— — und Gesteine . . CBl 1901 *673*
— Gesteine . . . . . 1904 II 210 CBl 1902 *139* CBl 1903 *497* CBl 1904 *79. 275. 428. 661*
— —, Zusammensetzung und Genesis . . . . 04 I 66
— kersantitähnl. Gestein CBl 1903 *636*
— Marmor . . . . . BB XIX *289*
— Monzonit siehe Monzonit.
— Monzonit-Aplit CBl 1901 *675* CBl 1902 *13. 81. 139*
— Pseudomorphosen . . 04 I 164
— Untersuchung . . . 04 I 389
Monzonigebiet, Camptonit und Melaphyr . . . CBl 1904 *275*
Monzonit
— Spaltungsgesteine . . CBl 1901 *675*
— Argyllshire, Olivin- . 01 II 233
— Böhmen, präcambr. . 04 I 51
— Cordillere, Quarz- . . 01 II 240
— Fleims . . . . . 03 I 60
— Judith Mts., Mont. . 1900 I 406
— Kadi-Kalé (Smyrna) 04 I 221
— Little Belt Mountains, Montana . . . 03 I 431
— Lofoten u. Vesteraalen, Norwegen . . . . . 1900 I 384
— Monzoni . . . . . CBl 1901 *673* CBl 1903 *501* 04 I 66

Monzonit
— Monzoni u Predazzo, Beziehung zum Melaphyr . . . . . 1904 II 212. 213
— Ulu Rawas, Süd-Sumatra . . . . . BB XVIII *417*
Monzonit-Aplit, Monzoni CBl 1901 *675* CBl 1902 *13. 81. 139*
Monzonit-Gefolge, Monzoni, ... CBl 1901 *675*
Monzonitische Gesteine
— Bergengebiet, Norw. 1904 II 397
— Monzoni . . . . . 03 II 69
— siehe auch Monzoni.
Moorabool-Fluss, Austr., Unterlauf, Geol. . . 1900 I 261
Mooranoppin, Austr., Meteoreisen . . . . . 1900 I 352
Moorausbrüche, Irland und Schottland . . . 1900 II 45
Moore
-- Bildung von Eisenanhäufungen 1901 II 379 02 I 288
— Sassenberg (Westph.), Vegetation . . . . . 1900 II 492
Moorerde, Bad Sülze u. Göldenitz, Anal. . . 03 II 390
Moorniederung, westphäl., Geologie . . . . . 02 II 103
Moorproben, Tiefbohrung im Bremer Schlachthof 01 I 169
Moosachat, Californien, Edelstein . . . . . CBl 1902 407
Moose, Schussenried, Culturschicht . . . . . 02 I 329
Moränen
— Alpen, im Eiszeitalter 03 II 52
— Hohenberg bei Denkingen a. Donau . . CBl 1903 *604*
— Holstein, balt. Höhenrücken . . . . . 04 II 449
— Kola . . . . . 1900 II 450
— Kopenhagen, m. Jurablöcken . . . . . 1900 I 297
— Labrador . . . . . 01 I 448
— Lübeck . 1902 I 460 CBl 1901 695
— —. Hauptend- . . . CBl 1901 695
— Lüneburg . . . . . 04 II 454
— Neuseeland, Leith-Thal (Dunedin) und Kingston . . . . . 04 II 282
— nordd. Flachland . . 1900 II 411
-- Norddeutschland, quartäre . . . . . BB XVI *1*
— Oetzthal, End- . . . 02 II 446
Moränen
— Patagonien (Lago Buenos Aires) . . . . . 1904 II 427
— Rastenburg, End- u. Grund- . . . . . 02 II 128
— Riesengebirge, in Hochthälern . . . . 01 I *96*
— Südwestdeutschland . 01 I 131
— Sylt . . . . . 01 I *101*
— Vogesen . . . . . 02 I 287
— Vorpommern, Rügen etc. 04 II 448
— Wallensen (Hilsmulde) 04 II 455
— Weissacherthal bei Backnang . . . . . CBl 1900 28
— siehe auch Glacial, Grundmoränen etc.
Moränengebiet, Rivoli . 04 II 457
Moränenschutt, Ulricehamn, Schweden . . 01 I 442
Morawisches Gebiet, Böhmen, Geologie . . . 02 II 423
Moriogramm . . . . . CBl 1904 315
Morion, Nordamerika . . 01 I 33
Moris pamotanensis, Tertiär. Java . . . . . 1900 II 289
Morosaurus, Osteologie . 02 II 478
— Bone Cabin Quarry, Como-District, Vorderextremitäten . . 03 I 157
—-Reste, Jura, Grand River Valley, Colorado . . . . . 02 II 432
Moroxit, Swakop, SW.-Afrika . . . . . CBl 1902 *748*
Morphippus complicatus, hypselodus u. imbricatus, Pyrotherium-Schichten, Argentinien 1900 II 301
Morphologie der Pelecypoden . . . . . BB XV *394*
Morphotrop. Wirkungen an organ. Verbindungen . . . . . 03 I *28*
Morradal, Norw., Meteoreisen . . . . . 1900 I 354
Morro-Velho-Goldgrube, Brasilien . . . . . 04 II 411
Mosasaurus, vollst. Skelett, Kreide, Kansas 01 I 156
— ob. Kreide, Südrussland . . . . . CBl 1901 533
Mosbach-Sande
— Fauna etc. . . . . 1900 II *54. 56*
— Säugethierfauna . . 1900 II 456
— geschrammter Nummulitenkalk . . . . CBl 1902 251

Moschusochs, Schädel, Dordogne . . . . . CBl 1902 26
Moskau-Briansk, Eisenbahnlinie . . . . . 1903 II 249
Mossamedes-Distrikt, Westafrika, Gesteine . . 02 II 233
Mossotit, Montieri (Grosseto) . . . . . 1900 I 14
Mount Bischoff, Zinnerzlagerstätten 1901 I 423 03 I 91
Mount Joy, Penns., Meteoreisen . . . . . 1900 I 352
Mount Kearsarge, N.-Hampshire, Geologie . . . 04 II 407
Mount Rainier, Laven u. Tufte . . . . . 1900 II 66
Mozambique, ob. Kreide 01 II 281
Mucor combrensis, Kohlenbecken, Autun u. Epinac . . . . . 02 II 168
Muć (Dalmatien), Cephalopoden d. Werfener Schichten . . . . . 03 II 444
Mühlviertel, oberösterr., Gesteine . . . . . 04 I 58
Müllerit
— Dep. Dordogne . . . 01 I 199
— Starbo, Skandinavien 02 II 30
Mümliswiler Verwerfung, schweizer Jura . . . CBl 1902 *486*
München, Quartär . . . 03 I 520
Münster'sche Originale a. Lias u. Dogger, anders gedeutet . . . . . 03 I 320
Müsen, Bergrevier, Geol. 03 I 467
Multituberculata (Diprotodonta), Pyrotherium-Schichten, Argentinien 1900 II 304
Mungindi, Austr., Meteoreisen . . . . . 1900 I 352
Murchison Range, Transvaal, Goldlagerstätten etc. . . . . 01 I 84
Murchisonaeschichten, Basler Tafeljura . . CBl 1901 *327*
Murchisonia angulata var. margaritata, Stringoc.-Kalk, Lindener Mark . . . . 01 I 272
— Golowkinskii u. Tschernyschewi, ob. Paläozoicum, Russland . . 01 I 311
— hungarica (Cheilotoma), Muschelkalk, Bakonywald . . . . . 02 II 305
Murchisonia Stachei und pergamena, unt. Carbon, Balia Maaden, Kleinasien . . . . . 1902 I 115
Murchisonidae . . . . . 02 II 149
Murex coislinensis, Eocän, Loire inférieure 03 I 128
— expugnans, Tert., Lavacille b. Bassano . 01 II 129
— Hatcheri, patag. Formation . . . . . 02 I 295
— rigidus (Pteronotus), Priabona-Schichten . 04 I 283
Murg u. Achen, Quellgebiet, Geologie . 1904 I 253. 385
Muricopsis leoninus, Priabona-Schichten . . . 04 I 283
Muschelbänke, spät- u. postglaciale, Christianiagebiet . . . . 02 II 447
Muschelconcretionen, quartär, Ostseegrund . . 04 II 457
Muschelkalk, siehe auch Trias
— Ceratites subnodosus resp. Münsteri . . . CBl 1900 *92*
— Gastropoden d. süddeutschen . . . . . 02 I 143
— Schwämme . . . . . CBl 1904 *464*
— Vorkommen v. Rhynch. decurtata . . . . . CBl 1904 *503*
— Alpen, Grenze gegen Lettenkohle . . . . 1900 I 437
— Bakony, Cephalopoden 03 I 123
— siehe auch Bakony.
— China . . . . . 1900 I *177*
— deutscher, Daonellen 03 II *83*
— —. Pelycosaurier . . BB XX *321*
— Dobrudscha mit Cer. subnodosus var. romanicus . . . . . 1900 I *173*
— Dürrheim, Baden . . 03 I 464
— Elsass . . . . . 01 II 423
— Himalaya, Gliederung 03 I 122
— —, Brachiopoden u. Lamellibranchiaten . 03 I 169
— Idria gegen Tribusa 01 II 123
— Katzenbuckel . . . CBl 1902 *651*
— Lüneburg, Schafweide 1900 II 433
— Mitteldeutschland, Gastropoden . . . . . 04 I 312
— Rappenau, Baden . . 03 I 461
— Rüdersdorf, Trachypleura . . . . . CBl 1900 300
— Sachsenburg a. Unstrut, unterer . . . 03 II 403

Muschelkalk
— Schwieberdingen, unt. Trigonodus-Dolomit 1900 I 436
— Sondershausen, Cephalopoden des unt. 01 II 151
— Uehrde bei Braunschweig . . . . . 02 II 267
— unt. Neckar, Gekrösekalk des obersten . CBl 1902 *74*
— Weissenbach a. Enns, Stylolithen . . . . . 03 I 59
Muscheln
— Morphologie . . . . BB XV *394*
— — d. Schlosses . . . BB XIII *140*
— Eocän, Loire inférieure 1900 II 125
— siehe auch Pelecypoden.
Muschelschalen, thonhaltig 01 II 379
Muschketowit, Bogoslowsk'sches Bergrevier . . 1900 I 344
Muscovit
— Polychroismus . . . 04 II 342
— verwachsen m. Jodkalium, Bromkalium u. Chlorkalium CBl 1902 *355* BB XVI *368*
— — m. Orthoklas . . BB XVI *429*
— — m. Turmalin . . CBl 1902 *354*
— Bobrůvka, Mähren . 03 I 201
— Brasilien, pseudom. nach Cyanit . . . . 01 II 6
— Graubünden, mit Andalusit . . . . . 01 II 195
— Haddam Neck, Conn., im Granit . . . . . 03 II 186
— Kossoj-Brod, Ural . . 04 II 25
— Mitchell Co., Kryst. 01 I 198
— Monte Orfano b. Baveno, optisch . . . . 1900 II 196
— Montrambert (Loire), dicht, i. Sericitschiefer 1900 I 15
— Riesengebirge, Zersetzungsprod. d. Granitits . . . . . BB XV *113*
— Veltlin, im Pegmatit 1900 II 361
— siehe auch Glimmer etc.
Muscovit-Granatgneiss, östl. Rhätikon . . . 1900 I 126
Mussa-Alp, Minerallagerstätte . 1901 II 201 CBl 1900 *41*
Mussa-Ebene, im Alathal, Vesuvian etc. . . . CBl 1900 *41*
Mustela diluviana, Knochenhöhle, Fort Kennedy . . . . . 02 II 141
— ogygia, Tertiär, NO.-Colorado . . . . . 04 I 127
Mustela palaeattica, Pikermi u. Samos . . 1904 II 143
— transitoria, delphinensis u. Filholi, La GriveSt. Alban, Mioc. 03 II 129
Muszla, Com. Esztergan, Geologie . . . . . 03 II 245
Mutiella semisulcata, Untersenon, Braunschweig u. Ilsede . . 02 I 128
Mya-Bänke, Christiania . 02 II 449
Myagrostoma plexum, Kreide, Libanon 1901 I 488 02 I 312
MyalinaSchamarae, Trias, Süd-Ussuri-Gebiet . 1900 II 434
Myeloxylon . . . . . 1900 I 319
— Rothl., Chemnitz . . 02 II 492
Mykonos-Insel, Geologie 03 II 251
Mylagaulidae, Sciurimorphenfamilie . . . . 03 I 354
Mylagaulus ballensis, laevis, monodon, paniensis und sesquipedalis, Amerika, Tert. 04 I 302
— monodon, Tert., NO.-Colorado . . . . . 04 I 126
Myliobates placentinus, Pliocän, Parma und Piacenza . . . . . 1900 I 466
Mylodon, Patagonien, mit Mensch zusammen . 01 II 310
Mylonit, Insel Rum . . 04 II 423
Mylostoma, Ohio, Clevelandshales . . . . . 03 I 340
Mynydd-y-Garn, Angelsea, Geologie . . . . . CBl 1901 53
Myoconcha curiculata, nervata, recta u. retroflexa, Pachycardientuffe, Seiser Alp . . CBl 1900 *372*
— Ecki, Spitzkalk, Recoaro u. Schio . . . 1900 I 274
— Schaurothi, Sturia-Kalk, Recoaro und Schio . . . . . 1900 II 434
— transatlantica, Kreide, argent.-chilen. Cordillere . . . . . 04 II 88
Myodes lemmus crassidens, Höhle bei Santarem, Portugal . . . . . 02 II 457
Myolagus Zitteli, Diluv., Eppelsheim . . . . CBl 1902 *562*
Myophoria — Gruenewaldia, St. Cassian . . . 02 II 488

Myophoria acuticostata, Pachycardientuffe, Seiser Alp . . . . . CBl 1900 *373*
— burgensis, Fuchsi, oblonga, rotunda u. schizodontiformis, Remscheider Schichten, Devon . . . . . CBl 1904 *601*
— inflata, schwäb. Rhät 1900 I *218*
— —, Süd-Dalmatien u. Tretto . . . . . CBl 1900 *5*
— peregrina u. Roemeri, Unterdevon, zw. Marburg u. Herborn . . BB XVII *41*
— Pesarinae, unt. Trias, Val di Liana . . . 1900 II 314
— radiata, Trias, China 1900 I *191*
Myoxus sansaniensis, Miocän . . . . . 02 II 461
Myriastiches gigas, engl. Silur . . . . . 1900 II 320
Myriopora, Obercarbon, Sumatra . . . . . 04 II 155
Myrmecidium (?) Hindei, Trias, Bakony . . . 02 I 492
Mirmekit, Finnland, archäisch . . . . . 01 II 62
Myrsopsis pernarum, Tertiär, Piemont u. Ligurien . . . . . 02 II 309
Myrteopsis, Tert., Piemont u. Ligurien . . 02 II 309
Mysidioptera, Trias, Beziehung zu palaeoz. Zweischalern . . . . 01 II 153
— acuta, angusticostata, aviculaeformis, Bittneri, compressa, crassicostata, elongata, globosa, gracilis, interrupta, latefissa, marginata, multistriata, obliqua, planata, Readi, rotunda u. striata, Pachycardientuffe, Seiser Alp . . CBl 1900 *371*
— Emiliae, Pachycardientuffe, Seiser Alp 01 II 153
Mystriosuchus, schwäb. Trias . . . . . 1900 I 309
Mytilus araucanus, Quiriquina-Schichten, Chile BB XVIII *227*
— argentinus, Kreide, Patagonien . . . . 02 II 435
— Chartroni, Infralias, Vendée . . . . . 04 II 430
Mytilus edulis im Schwemmland, Sibirien . . . CBl 1904 *233*
— primulafontensis, Kreide, Südaustralien 1904 I 119
— sambasanus, Jura, Borneo . . . . . 1901 I 487
— trigonus, Paraná-Stufe . . . . . BB XIV *193*
Mytilus-Grus, Christiania, diluvial . . . . . 02 II 450
Myxomycetes Mangini, Kohlenbecken, Autun u. Epinac . . . . . 02 II 168

N.

Nachstösse, Erdbeben von Hokkaido, Japan, 22. März 1894 . . . 02 I 49
Nachwirkung, eruptive, bei Bildung von Erzlagerstätten . . . . 1900 II 245
Nagelfluhe
— Salzburg, Alter, Entstehung u. Zerstörung BB XVI *325*
— Schweiz, Alter 1903 I 512 04 I 100
Nagethiere
— System von Tullberg CBl 1902 *705*, *737*
— oberes Arnothal . . 02 II 463
Nagethiergebiss, Entwickelung . . . . . 1900 II 306
Najadina? ambigua, Quiriquina-Schichten, Chile BB XVIII *226*
Najadita, Rhät, Bau und Verwandtschaft . . CBl 1901 314
Nakalak-Berg, Grönland, Mineralien . . . . . 1900 I 350
Namurien, étage, belg. Karbon . . . . . 01 II 273
Naphtha, Cardenas, Cuba 03 II 391
— siehe auch Erdöl, Petroleum etc.
Naphthagebiet, Bibi-Eibat, Baku . . . . 01 II 85
Naphthalagerstätten
— Balachan, Bibi-Eikat, Sabuntschin, Romanin und Sabratsk . . . 01 II 85
— Kaukasus 1900 II 35 04 I 229
— Russland (Schwarzmeer-Gegend, Apscheron, Baku) . . . . 04 I 229
— siehe auch Erdöl etc.

Napier bis Puketitiri, Neuseeland, geolog. Profil . . . . . 1904 II 253
Naples fauna mit Manticoceras intumescens, Nord-Amerika . . . 1900 I 128
Narica Bourdoti, Eocän, Loire inférieure . . 03 I 127
Narni u. Terni, Geologie 04 II 248
Narsak-Halbinsel, Grönland . . . . . 1900 I 350
Narsarsuk, südl. Grönland, Mineralien 1900 I 346 02 I 18
Narsarsukit, südl. Grönland, Mineralien im Syenit . . . . . 02 I 35
Nasonit, New Jersey . . 01 I 369
Nassa Miqueli, Faluns, Touraine . . . . . 04 II 460
— reticulata var. Mainardii, Pliocän, Val d'Era, Toscana . . . 01 II 481
Nassau
— Culm . . . . . 1900 I *132*
— min. u. geol. Beschreibung v. Becher 1789 CBl 1902 602
— Schalstein . . . . . 01 I 59
Natica, Quiriquina-Schichten, Chile . . BB XVIII *196. 202*
— Ammonis, Nilthal, Mitteleocän . . . . 03 I 166
— —, Steinkerne, Urbild der Ammonshörner . 02 I 480
— araucana, australis, Ganae u. Grangeana, Quiriquina-Schichten, Chile . . . . . BB XVIII *196*
— auca, chilina, Cuadrae und Darwini, Quiriquina-Schichten, Chile BB XVIII *200*
— billodensis, Z. d. Am. Renggeri, Lons-le-Saunier . . . . . 02 I 293
— calloneghensis u. De-Stefanii, Kreide, Calloneghe . . . . . 03 II 274
— Canovae. possagnensis, Rossii u. scapulata, Priabona-Schichten . 04 I 283
— entreriana, Paraná-Stufe . . . . . BB XIV *225*
— euryomphala, Quiriquina-Schichten, Chile . BB XVIII *198*
— farafrensis. ob. Kreide, libysche Wüste . . . 03 I 510
Natica forumjuliensis, Eocän, Tracento (Friaul) 1903 I 480
— goleana (Amauropsis), Kreide, Abu Roasch bei Cairo . . . . . 04 I 270
— helicina var. Styriaca, Tegel, Gross-Florian 02 I 472
— Larteti, Kreide, Karmel 02 I 312
— libanensis (Amauropsis), Kreide, Libanon 1901 I 488 02 I 312
— Nysti und achatensis, Oligocän . . . . . 02 II 486
— sogdiana (Pseudamaura), Kreide, Buchara . . 1900 II 287
— stenoglossa u. synaptoglossa, Eocän, Loire inférieure . . . . . 03 I 127
— subalpina, Tert., Reit im Winkel . . . . . 03 II 420
— suprajurensis, ob. Jura, Deutsch-Ostafrika . 01 II 295
— Sybarita, Z. d. Lioc. opalinum, Rossano in Calabrien . . . . . 1900 II 453
— tenuiradula, Turon, Frankreich . . . . 1900 II 286
— variabilis, Jura, White Cliff, Australien . . BB XIV *489*
Naticella Bergeri und tenuicostata, mitteldeutsch. Muschelkalk 04 I 313
Naticidae, Jura, England 01 I 513
Naticopsis Arthaberi, Untercarbon, Balia Maaden, Kleinasien . 02 I 115
— Kokeni. Tschernijschewi, Oberpaläozän, Russland . . . . . 01 I 311
— plana (Marmolatella), Muschelsandstein, Ruaulx . . . . . 02 I 143
— signata, Trias, China 1900 I *202*
Nationalmuseum, Washington, Catalog d. Mineraliensammlung. 1901 I 173. 174
Natriumchlorat, Wachsthum u. Eigenschaften der Krystalle . . . 01 I 171
Natriumchloratkrystalle, nicht zwillingsartige Verwachsung . . . 1900 I 328
Natriumpyroxen, Ilmengebirge, in Gesteinen 03 II 368
Natriumthiosulfat, Wirkung als Schmelzmittel BB XIX *189*

Natroalunit . . . . . 1903 II 184
Natrojarosit, Soda, Springs-Thal, Nevada . . . 03 II 183
Natrolith
— Dampfspannung . . 1900 I 335
— Einwirkung von Salmiak 1901 II 339 04 II 6
— Wassergehalt . . . 01 I 23
— u. -hydrat, aus Nephelin entstanden . . 1900 II *66*
— Agordo . . . . . 03 I 203
— böhm. Mittelgeb. . . 04 I 176
— Euganeen, im Basalt 01 II 361
— Feodosia, Krym . . 01 II 205
— Grönland . 1900 I 347. 349. 351
— —, im Nephelinsyenit (Spreustein) . . . . 01 I 39
— Gross-Priesen etc. (Böhmen) . . . . . 03 I 390
— Langesundfjord. Kryst. 02 II 195
— Limberger Kopf . . 1900 II 29
— Narsarsuk, südl. Grönland, im Syenit . . 02 I 29
— Valle dei Zuccanti . 01 II 357
— siehe auch Spreustein.
Natrongranat (Lagoriolith), künstlich . . . . . 1900 II 252
Natrongranit, Diluv.-Geschiebe, Sylt . . . . 01 I *107*
Natronkalisimonyit, Kalusz 03 I 400
Natronliparit, Somaliland 01 I 226
Natronsalpeter
— verwachs. m. Kalkspath 04 II 329
— — — und Dolomit . BB XVI *375*
— Californien, San Bernhardino Co. . . . . 04 I 401
Natronsanidin, Mayor Island, Neu-Seeland, im Liparit . . . . . CBl 1904 *208*
Natronsilikatlösung löst Quarz . . . . . 01 I 222
Natronsussexit, Kuusamo, Finnland . . . . . 01 II 238
Natronsyenit, Bergensgebiet, Norwegen . . 04 II 397
— Laupstadeid, Norw. . 1900 I 385
— Miask . . . . . 01 II *117*
Natronthal
— Egypten . . . . . 1900 I 236
— —, plioc. Säugethiere 04 II 304
Natron-Thonerde-Pyroxene, Biella, Feldspath-Uralitisierung . 02 II *112*
Natternstein bei Zautig, böhm. Mittelgebirge, Tertiärflora . . . . 1900 II 329
Naturgase, Holland . . 1901 II 84
Nauheim, Bohrung . . . CBl 1900 28
Naujakasik, Grönland, Mineralien . . . . . 1900 I 349
Nauplia, Geologie . . . CBl 1904 306
Nautiloidea, poln. Mittelgebirge, Oberdevon . BB XIII *352*
Nautilus bidorsatus . . BB XVII *486*
— bradfordensis, fuscus, crassisinuatus, exterebratus, rotundus, subrotundus, semiornatus u. exiguus, Unter-Oolith, England . . 1900 II 478
— Caroli-Ameghinoi, patag. Stufe, Patagon. 04 II 139
— drepanensis, Erycinus, mazzarensis u. Thyrrenus, unt. Dogger, Monte San Giuliano 03 I 331
— Nubari, Nummulitenfauna, Egypten . . 02 I 464
— plicatus, Kreide, Bulgarien . . . . . 1900 I 39
— Romeroi, Kreide, Roca, Argentinien . . . . 04 II 286
— subplicatus, Quiriquina-Schichten, Chile . BB XVIII *186*
— truncatus, Cornbrash 03 I 331
— vicentinus, Priabona-Schichten . . . . . 04 I 284
Nautilusfauna d. unteren Dogger, Monte San Giuliano (Erice) . . 03 I 331
Neaera sambasana, Jura, Borneo . . . . . 01 I 488
Neanderthaler Mensch, Knochen, Glieder und Schädel 1903 II 278. 280 04 II 295
Neapel, Schichtenfolge in einem Bohrloch . . . 03 I 43
Nebenflüsse, Einmündung in den Hauptfluss . 04 II 46
Nebengestein
— Einfluss auf Gangfüllung . . . . . 04 II 230
— Umwandlung durch Erzgänge . . . . . 04 I 81
Nebraska
— Carbon . . . . . 01 I 460
— —, Fischfauna . . . 04 I 141
Nebularhypothese Laplace-sche, verglichen mit der Bildung der Erde aus Meteoriten . . . 02 II 368
Nechlin, diluv. Wälle . 01 I 289

Neckargebiet, oberes, Flussschotter . . . . . 1902 I *60*
Neckarthal, Löss . . . 1900 II *154*
Necker-Insel, Südsee, Basalt BB XV *90*
Necrocarcinus glaber, Upper Greensand, Baycliffe, Wiltshire . . . . . 1900 II 149
Necymylacris Boulei, Commentry, Carbon . . 04 I 310
Negundo bohemica, böhm. Mittelgebirge . . . 1900 II 329
Neihart-Ablagerungen . 01 I 373
Neissegraben, Tektonik 04 I 89
Neithea . . . . . 02 I 317
Nekrologe
— Frenzel, August . . CBl 1902 *641*
— Friedel, Charles . CBl 1900 *53*
— Geinitz, Hans Bruno (mit Porträt) . . . CBl 1900 *6*
— Leiner, Ludwig . . CBl 1901 *344*
— Lemberg, Johannes . CBl 1903 *241*
— Lindström, Gustav . CBl 1901 *527*
— Muschketow, J. W. CBl 1902 *209*
— Neumann, Franz . . CBl 1904 410
— Nordenskiöld, A. E. CBl 1903 *161. 193*
— Rammelsberg, Karl Friedrich (m. Portr.) CBl 1900 *221. 319. 342*
— Riva, Carlo . . . . CBl 1902 *673*
— Waagen, Wilhelm . CBl 1900 *380*
— Weisbach, Albin (mit Porträt) . . . . . CBl 1902 *417*
Nemacanthus . . . . . 1900 II 471
Nemachilus tener, böhm. Braunkohle . . . . 04 I 286
Nemaphyllit, regelm. Verwachsungen m. Dolomit, Wildkreuzjoch 1903 II 328 BB XVI *383*
Nematognathi, Fayum u. Natronthal, Egypten, Diluvium u. Tertiär 04 I *1*
Nematurella stenostomata, interglac. Thon, Gudbjerg, Fünen . . . 03 I 526
Nemertites sudeticus, Muschelkalk, Oberschlesien, Vorkommen und Entstehung . . CBl 1903 *76*
Nemocardium Vogeli, Kreide, Schonen . . 01 I 281
Neobolus-Shales, Cambrium, Saltrange . . CBl 1903 *45*
Neoclypeus syriacus, Kreide, Libanon . . 03 II 454
Neocom
— Bray, Eisenerze . . 1901 I 427
— Dimbovicioara-Quellgebiet, rumän. Karp. 1900 I 429
— Frankreich, Ammoniten . . . . . 01 I 165
— —, Ammonitiden . . 03 II 446
— Norddeutschland, Ammonitiden . . . . . 03 II 447
— Simbirsk-Gouvernement 01 II 126
— siehe auch Kreide.
Neocrassina, Tert., Piemont u. Ligurien . . 02 II 309
Neodevonic, New York . 01 II 266
Neodymsulfat, kryst. u. optisch. . . . . 03 I 179
Neogen
— Bosnien, Alter des Süsswasser- . . . . CBl 1901 *227*
— Egypten, Pectinidenfauna . . . . . CBl 1900 *209*
— — u. Syrien, Vola-Arten . . . . . BB XVII *163*
— Montpellier . . . . CBl 1901 179
— Nežárka-Gebiet, südl. Böhmen . . . . . 1900 II 268
— Russland, südl., sarmat. Stufe . . . . . 1900 I 290
— —, südöstliches . . 01 I 263
Neogenkalke. unt. Marchthal . . . . . 1900 I 292
Neoinoceramus Ameghinoi, patag. Stufe, Patagonien . . . . . 04 II 139
Neolenus, Neu-Fundland, Cambrium . . . . . 1900 II 293
Neolobites Vibrayeanus-Schichten, Portugal, Ammoniten . . . . 1900 II 476
Neomeris, Boldérien, Antwerpen . . . . . 03 I 550
Neomylodon-Höhle, Patagonien . . . . . 02 II 291
Neomylodon Listai, ob lebend, Argentinien . 1900 II 142
— —, Ultima Esperanza-Höhle, Patagonien . 01 II 309
— siehe auch Höhlen.
Neopithecus, Name . . . CBl 1903 *513*
Neoplesiosaurus, Palaeogen, südöstl. Russland 01 I 265
Neoptychites, südind. Kreide . . . . . 1900 I 442
Neotantalit, Colettes u. Echassières, Dep. Allier . . . . . 03 II 27

Nephelin
— Krystallisationsvermögen u. -geschwindigkeit . . . . . CBl 1903 *615*
— Neubildung durch Schmelzen . . . . . BB XVII *512*
— Schmelzpunkt . . . 1904 II 166
— Umwandlung, bes. in Zeagonit . . . . . 1900 II *65*
— — in Cancrinit . . BB XVI *376*
— Grönland, im Nephelinsyenit . . . . . 01 I 38
— Mähren . . . . . CBl 1904 *361*
— Vesuv, Beziehung zu Davyn . . . . . 1900 II 17
— siehe auch Elaeolith.
Nephelin-Anorthit-Magmen, künstliche . . 1900 II 255
Nephelinaplit, Cabo Frio b. Rio de Janeiro . 02 II 400
Nephelinbasalt, Ostböhmen 01 I 402
Nephelinit, siehe auch Basalt.
— brit. Ostafrika . . . 04 II 59
— Etinde-Vulcan, Kamerun . . . . . 03 I 426
— Massailand, Ostafrika 03 I 80
— Waldra, Böhmen, Dichte nach Schmelzen 01 II *154*
Nephelinpseudomorphosen, Neph.-Syenit, Grönland 01 I 39
Nephelinsyenit
— Brookville N. J. . . 01 I 245
— China . . . . . 01 I 406
— Ditro, Analyse . . . 01 I 402
— Grönland, Mineralien 01 I 38
— Kangerdluarsuk, Grönland, Mineralien . . 1900 I 346
— siehe auch Grönland.
— Langesund, Norw., Mineralien . . . . . 1900 II 366
— Madagascar . . . . 03 I 79
— Miask . . . . . 01 II *124*
— Port Coldwell, Ontario 04 II 62
— Schottland, nordwestl. 02 I 72
Nephelinsyenitaplit. Predazzo u. Monzoni . . 04 II 210
Nephelinsyenitgebiet
— Grönland, siehe Grönland.
— Halbinsel Kola . . 02 II 377
— Serra de Caldas, Brasilien, Leucitgranophyr 1900 I 22
Nephelinsyenitpegmatitgänge, südl. Norwegen, Entstehung . 04 I 76
Nephelinsyenitporphyr
— Griechenland, nördl. u. türk. Grenzländer BB XVIII *2*
— Predazzo . . . . . 1903 I 415
Nephelintephrit
— Griechenland, nördl. u. türk. Grenzländer BB XVIII *25*
— Kunetitzer Berg bei Pardubitz, Böhmen, Einschlüsse . . . . 04 I 56
— Pardubitz, Böhmen . 01 I 401
Nephelintinguaitporphyr, Predazzo . . . . . 03 II 70
Nepheliospongia, Chemung-Bildungen, New York . . . . . 03 I 482
Nephelites aequidentata u. ovata, Tert., Wingello, Australien . . 04 I 156
— denticulata, Tert., Bungonia, Australien 04 I 157
Nephrit
— Festigkeit . . . . . 01 I 189
— Jordansmühl, mit Weissstein . . . . . CBl 1902 *385*
— Neu-Guinea, Jordansmühl. Alpen etc. . . 04 I 172
— Neuseeland, D'Urville-Insel und (anstehend) Stephens-Insel . . . 03 I 256
— Neuseeland, im Muttergestein . . . . . CBl 1901 *334*
— Pfahlbauten, verarbeitet u. Rohmaterial BB XVI *166*
— Sibirien, Structur u. Vorkommen . . . . 1900 I 389
Nephritähnl. Amphibolschiefer . . . . . CBl 1903 *51*
Nephritblock im Strassenpflaster, Breslau . . CBl 1901 *71*
Nephrops Reedi, Crag, Boyton . . . . . 1900 II 307
Neponset Valley, Mass., jüngere Vulkangest. 02 II 237
Neptocarcinus millenaris, ungar. Eocän . . . 1900 II 475
Neptunistische Ansichten über d. niederrhein. Eruptivgesteine . . CBl 1902 147
Neptunit
— Grönland . . . . . 1900 I 347
— Narsarsuk, südl. Grönland, im Syenit, Krystalle . . . . . 02 I 31
Neptunus antiquus, Vorkommen . . . . . 1900 II 479

Neptunus hungaricus, ungar. Eocän . . . . . 1900 II 474
— vectensis, Corbula-beds, Hamstead . . 1900 II 308
Nerinea acutecochleata, Kreide, Krym . . . 03 I 324
— astrachanica, Kreide, Astrachansteppe . . 1900 I *217*
— —, —, Baskuntschak-Salzsee . . . . . 04 II 432
— Credneri, ob. Jura, Deutsch-Ostafrika . 01 II 295
— Di Stefanoi, Kreide, Aquilaner Abruzzen . 04 I 98
— nerinaeformis, Kreide, Peru . . . . . BB XVII *275*
Nerineen
— Frankreich, Jura . . 1900 II 153
— Rustschuk, Kreide . 1900 I *46*
— schwäb. Jura . . . . 02 I 481
Nerineidae, England, Jura 01 I 512
Nerinella Grossouvrei, Janeti und subimbricata, Jura, Frankreich 1900 II 154
Nerita Bourdoti, Dumasi u. internuda . . . . 03 I 127
— pygmaea, Zone d. Lioc. opalinum, Rossano in Calabrien . . . . . 1900 II 453
Neritidae, Jura, England 01 I 514
Neritaemorphi, Trias, Hallstatt . . . . . 02 I 147
Neritaria depressa, magna, prior u. sphäroidica, mitteldeutscher Muschelkalk . . . . . 04 I 313
— involuta u. aequicrescens, Muschelkalk, Süddeutschland . . . 02 I 143
Neritina Grateloupiana, quart. Themse-Schotter b. Swanscomb . . 04 I 279
— oxytropida, Tertiär, Taman-Halbinsel . . 04 II 436
— wyomingensis, Jura, Yellowstone Nat. Park 02 I 129
Neritodonta Suskalovici, Tertiär, Babin Dol, Serbien . . . . . CBl 1900 394
Neritopsidae, Jura, England 01 I 514
Neritopsis algarvensis, Pereiros-Schichten, Jura, Portugal . . . . . 02 I 469
— Maleniana, Zone d. Lioc. opalinum, Rossano in Calabrien . . 1900 II 453
Neritopsis radulaeformis, Oligocän, venet. Voralpen . . . . . 1901 II 282
Nesciotherium indiculus, Collon Cura, Argentinien, graue Tuffe . 02 I 434
— indiculus, Rio Negro und Neuquen . . . 02 I 304
Nesodontidae, Pyrotherium-Schichten, Argentinien . . . . . 1900 II 302
Nesodonopsis Burckhardti und deformis, Tert., Rio Negro und Neuquen . . . . . 02 I 304
Nesopithecus, Madagascar . . . . . 03 I 563
Nesseldorfer Schichten, Stromberg, Fauna . 03 II 418
Nettlingen bei Hildesheim, Turon . . . . CBl 1902 *398*
Nettostoma bolcense, eoc., Mte. Bolca . . . . . 1900 I 466
Nettuno, vulc. Tuffe, plioc. und postplioc. Bryozoen . . . . . 1900 II 318
Netzchondrite . . . . . CBl 1901 *646*
Neubildung v. Mineralien durch Schmelzung . BB XVII *498*
Neu-Braunschweig und Neu-Fundland, Cambrium (Etcheminian) 1900 I 435
Neu-Caledonien
— Erzlagerstätten . . . 03 I 95
— Kobalterze 1902 II 343 CBl 1901 216
Neuenglische Inseln (Martha's Vineyard), Geologie . . . . . 1900 I 99
Neu-Fundland und Neu-Schottland, Etcheminian . . . . . 1900 II 292
Neu-Guinea
— Gesteine, Humboldtbai . . . . . CBl 1901 *647*
— Nephrit . . . . . 04 II 172
Neu-Knin, Böhmen, mass. Gesteine . . . . . 02 I 57
Neumann, Franz, Lebensbild . . . . . CBl 1904 410
Neumark, Entstehung d. Thäler . . . . . 03 I 519
Neumayria Bukowskii, Falloti u. Romani, Transversarius-Schichten, Trept (Isère) . . . . 1900 II 151

Neuquen-Thal, Argentinien, Geologie . . . 1902 I 433
Neurocallipteris gleichenioides, Rothliegendes, Ilfeld . . . . . CBl 1901 *593*
Neurode, Gabbro u. daraus entstandene Schieferthone . . . . . 01 II 54
Neuropteris densifolia u. tesselata, Rothliegendes, Ilfeld . . . . . CBl 1901 *592*
— Schlehani, Zone der, Westphalien, Nordfrankreich . . . . . 01 I 523
— subauriculata, Carbon, Zwickau . . . . . 03 II 460
Neu-Schottland
— devon. Alter d. kohlenführ. Schichten . 03 I 507
— Geologie des südwestlichen . . . . . 01 I 448
— Sidney Coal Field, Cape Breton . . . . 02 I 114
Neuseeland
— Bryozoen . . . . . 01 II 158
— Eruptivgesteine . . . 01 II 70
— Geologie . . . . . 04 II 89
— geol. Literatur . . . 04 II 252
— Goldgänge, Entstehg. 1900 I 245
— Liparit der Hauraki-Goldfelder . . . . . 01 I 78
— Moränen im Leith-Thale bei Dunedin u. bei Kingston . . 04 II 282
— Nephrit im Muttergestein . 1903 I 256 CBl 1901 *334*
— Phosphoritlager, Clarendon, Otago . . . 04 II 254
— Pliocän-Mollusken d. Wanganui-Distrikts 04 II 289
— seculäre Hebungen u. Senkungen . . . . . 04 II 253
— vulc. Tuffe u. Breccien, Waitemata series . . 04 II 253
Neusibirische Inseln, Expedition v. E. v. Toll CBl 1904 *225*
— siehe Toll.
Neustadt, Oberpfalz, Gesteine . . . . . CBl 1904 *577*
Neustadt-Magdeburg, Fauna des Untercarbon . . . . . 01 I 483
Neusticosaurus pygmaeus, schwäb. Trias . . . 1900 I 308
Neustosaurus, system. Stellung . . . . . CBl 1903 *504*
Neu-Süd-Wales
— jodhalt. Kupfererze . 1900 II 41
— trias. u. carb. Pflanzen CBl 1901 728
Neuweilnau, devonischer Quarzit . . . . . 03 I 506
Nevis, Westindien, Geol. CBl 1903 *284*
Newberyit
— Synthese . . . . 1904 II 30. 187
— Yukondistr., Canada 02 II 37
Newjanskit in Goldseifen, Jenissei'sche Taiga . 01 II 174
New Jersey, Kreideforam. 1900 I 319
Newland, Griqualand
— boulders der Diamantgrube . . . . . CBl 1901 91
— Diamanten . . . . . 1900 I 336
New York
— Devon, Fauna d. Pyritlagers des Tully-Kalks . . . . . 04 I 427
— Gliederung d. altpaläoz. Schichten . . . 01 II 265
— Naplesfauna m. Manticoceras intumescens des westlichen . . . 1900 I 128
— New Scotland beds, Devon, New York 1901 II 266. 457
— Palaeozoicum . . . 03 I 482
— palaeoz. Fossilien . . 03 II 273
— Silur u. Devon 1903 I 115 ff. 04 I 112
— State Museum, Mineralog. Abtheilung, Führer . . . . . 04 I 32
Nežárka-Flussgebiet, südliches Böhmen, Geologie . . . . . 1900 II 268
Niagara-Schlucht, Entstehung . . . . . 01 I 293
Niakornarsuk, Grönland, Mineralien . . . . . 1900 I 350
Nickel
— Erklärung d. Namens 01 I 181
— Legirung mit Eisen . 1900 I 352
— Ontario, Produktion CBl 1901 372
— Vereinigte Staaten, Produktion 1902 . . 04 II 357
Nickelblüthe, künstl. Nachbildung . 1902 I 187 04 II 187
Nickelerze
— Neu-Caledonien . . . 03 I 95
— Nordamerika, Produktion . . . . . CBl 1902 246
— Norwegen, Pt-Gehalt 04 I 237
— Pressnitz, böhm. Erzgebirge . . . . . 04 II 411

Nickelerze
— Sohland, Sachsen 1904 I 225 1905 I 98
— Sudbury-Distr., Canada 04 II 364
— Sudbury, Platingehalt 04 I 344
Nickelsulfat, magnet. Influenz . . . . . BB XIX *419*
Nickeltellurit, Cripple Creek, Colorado . . 01 II 346
Nicols
— aus Kalkspath vom Berg Foros, Krym 1903 II 175 CBl 1901 534
— neue, v. Fedorow . 04 II 1
Nidulites = Mastopora, Silur . . . . . 02 II 158
Niederhessen, Basalte chemisch . . . . . 02 II *1*
Nieder-Oesterreich
— Erdbeben . . . . . 01 I 208
— — 11. Juni 1899 . . 02 II 47
— Mineralien . . . . . CBl 1903 731
Niederrhein, Salz u. Kohlen 01 I 437
Niederursel, Oberpliocänflora . . . . . 01 II 282
Niemtschitzer Schichten, Mähren, Oligocän . . 04 II 116
Nil, siehe auch Egypten.
— Erosion des Semna-Katarakts . . . . . 04 I 376
— Geschichte in Tertiär- und Quartär-Zeit . . 03 I 485
— zum Rothen Meer, Geologie . . . . . 02 I 101
Nildelta, Sanddünen . . 02 II 215
Nilgau, Samos, ob. Miocän 03 I 553
Nilkatarakte, MnO_2-Ueberzug der Gesteine . . 03 II 78
Nilthal
— Geologie . . . . . 01 II 90
— Geschichte . . . . . CBl 1900 *277*
— — in der Pliocän- u. Quartärzeit . . . . 02 II 106
— Tertiär . . . . . 02 I 121
Niobate u. Titanate, Swaziland . . . . . 01 I 31
Niobe Lindströmi, balt. Silur . . . . . 03 I 339
Niobit, Sonikedal, Kragerö . . . . . 1900 I *163*
Niobrara-Gruppe
— Kreide, Kansas. . . 01 II 297
— Kansas, Fische . . . 04 I 308
Nischni Nowgorod—Timirjasewo, Eisenbahnlinie, Geologie . 03 II 248
Nischnij Tagilsk, Eisenerze . . . . . 1900 I 81
Niso Dumasi, Eocän, Loire inférieure . . 03 I 127
Nitrate von K und Tl, Bildung u. Umwandlung von Mischkrystallen . . . . . 01 I 180
Nitro- und Nitroso-Bakterien, den Schlamm d. Limane umändernd 1900 I 225
Niveauschwankungen
— des Meeresspiegels, period. Cyklen . . . 03 II 49
— in der Erdrinde 1900 I 367 01 II 372
— Verschiebung der Küstenlinien . . . . 1900 I 44
— Californien . . . . . 04 I 108
— Christiania-Gebiet, spät- und postglacial . . . 02 II 447
— Mecklenburgische Küste, postglaciale . . . . CBl 1901 *582*
— Mexico . . . . . 01 I 53
— Molukken . . . . . CBl 1902 *7*
— Neuseeland, säculare 04 II 253
— Santa Lucia Range, Californien . . . . 02 II 206
— Schweden, spätquart. Landerhebung . . . 1900 I 452
— —, ungleichförmige Hebung des Landes nach Einwanderung der Menschen . . . 02 II 129
— siehe auch Hebungen und Senkungen etc.
Noce-See, pleistocän, Unteritalien . . . . . 01 I 290
Nodosaria Eiseli, striatoclavata, deutscher Zechstein . . . . . 1900 II 164
— Knihnitziana var. obliquestriata, nordmähr. Miocäntegel . 03 II 151
— latejugata u. cf. venusta, Bryozoenhorizont, Priabona . . . 01 I *114*
— orthophragma u. longispina, Kreidemergel der oberbayr. Alpen . 02 I 155
— (Dentalina) seminuda var. pseudoseminuda, Miocän, Karwin . . 03 II 152
Nodose Ceratiten, Deutschland u. Westmittelmeergebiet . . . . . CBl 1901 *551*

Nodose Ceratiten, Sardinien, Vicentin etc. u. Beziehungen zw. den deutschen u. mediterranen . . . CBl 1901 *385. 740*
Nodosenkalk m. Cer. subnodosus var. romanicus, Dobrudscha . . 1900 I *173*
Nodosinella simplex, China, palaeozoisch . . . . 1900 II 489
Noetlingia, Madagascar, Kreide . . . . . CBl 1904 308
Nomadisierende Schuttmassen, Ostalpen . . CBl 1904 *161*
Nomenclatur der losen Bodengesteine, Schwed. 04 I 377
— der Eruptivgesteine . 03 I 226
— siehe auch Gesteine, Classification.
Nonionina turgida var. inflata, nordmähr. Miocänmergel . . . 03 II 151
Nonsberg, Tirol, Olivingesteine . . . . . 1900 II 392
Nontronit
— Dordogne-Departement 01 I 199
— Jamnitz, Mähren . . 01 I 353
— Mähren . . . . . CBl 1904 *361*
— Omsk'scher Kreis . . 02 I 207
Norberg, Westmannland, Eisenerze . . . . . 01 I 432
Nordamerika
— Bibliographie d. Geologie, Palaeontologie, Petrographie u. Mineralogie 1897 u. 1898 CBl 1900 159
— carbon. Fischfaunen 04 I 140 ff.
— Catalog d. Wirbelthiere 03 I 343
— Diamanten, grosse Seen . . . . . 1900 I 338
— Edelsteine 1901 I 32 CBl 1902 403. 405
— Gesteine a. d. Grenze gegen Mexico . . . 01 I 410
— min. u. geol. Sammlungen . . . . . 1900 I 327
— Mineralproduction d. Verein. Staaten 1897 1900 I 198
— Nickelerze, Product. CBl 1902 246
— Palaeozoicum . . . 03 I 104
— Pelecypodenzonen in der Trias . . . . . CBl 1902 *689*
— Silur—Devongrenze . 01 II 117
— Tertiär, verglichen mit Westeuropa . . 1900 I 291
— Tertiärkorallen . . . 01 II 327
Nordamerika
— Vulcane . . . . . CBl 1900 163
— vulcan. Staub . . . CBl 1900 164
Nordcarolina, Mineralien 1900 I 32 1904 II 33
Norddeutschland
— Oberflächengestaltung CBl 1901 204
— Quartär . . . . 1904 II 262. 272
— siehe auch Quartär.
Nordenskiöld, A. E., Nekrolog . . CBl 1903 *161. 193*
— als Polarforscher . . 03 I 477
Nordeuropa, Quartär . . 04 II 261
— siehe auch Quartär.
Nordgriechenland, Gest. BB XVIII *1*
Nordmark, Schweden, Eisenerzlager 1900 I 79 1901 I 432. 434
Nordmarkit
— Cabo Frio bei Rio de Janeiro . . . . . 02 II 399
— Ditro, Analyse . . . 01 I 402
— Sylt, Diluv.-Geschiebe 01 I *106*
Nord-Ostsee-Kanal, Geol. 03 II 413
Nordseefauna
— diluviale . . . . . BB XVI *86*
— quartäre . . . . . 04 II 446
Norella manganophila, Muschelkalk, Cevljanovic, Bosnien . . . 04 I 117
Norgar . . . . . CBl 1903 697
Norit
— Bergensgebiet, Norw. 04 II 395
— Chile, nördliches . . 01 I 417
— Gaggio Montano, bologn. Apennin . . . 1900 II 397
— Griechenland, nördl., u. türk. Grenzländer BB XVIII *4. 36*
— Lofoten u. Vesteraalen, Norwegen . . . . . 1900 I 384
— Massachusetts . . . 1900 II 90
— Michigan, Variationen 1900 I 74
— Pallet, Loire inférieure, Cordierit 1900 II 399 01 I 64
— Transvaal . . . . . 1900 I *117*
— Veltlin . . . . . BB XVII *337*
— siehe auch Gabbro.
Noritgabbro, Bergensgebiet, Norwegen . . 04 II 395
Noritporphyrit
— St. Lorenzen, Pusterthal . . . . . 1900 I 383
— Tortworth Inlier, Silur 03 I 76
Normandie, weisse Kreide, Louviers (Eure) . . 1900 II 323

Normans Kill-Schiefer, Silur, Albany . . . 1901 II 435
Norrisia coislinensis (?) und radiata, Eocän, Loire inférieure . . 03 I 128
Nortongas, Holland . . 01 II 84
Norwegen
— Fjords . . . . . 03 I 225
— Heimath v. Diluvialgeschieben auf Sylt . 01 I *103*
— pseudoglaciale Schrammung . . . . . CBl 1900 *265*
— Bergen's Gebiet, Gest. 04 II 395
— Helgeland, Geologie des südlichen . . . 02 I 91
Notharctidae, Eocän, Amerika . . . . . 04 I 292
Notharctus venticolus etc., Eocän, Amerika . . 04 I 292
Nothocyon, Tert., Nordamerika . . . . . 02 I 137
Nothosauridae d. unteren Muschelk., Oberschles. 02 I 307
Nothosaurus chelydrops, Hohenecker Kalk . . 1900 I 308
— ichthyospondylus, schwäb. Trias . . . 1900 I 308
Notohippidae und Notohippus, Pyrotherium-Schichten, Argentin. 1900 II 301
Notopithecidae, Pyrotherium-Schichten, Argentinien . . . . . 1900 II 297
Notopithecus adapinus, fossulatus u. summus, Pyrotherium-Schichten, Argentinien . . 1900 II 298
Notostylopidae, Pyrotherium-Schichten, Argentinien . . . . . 1900 II 303
Notostylops bicinctus murinus u. parvus, Pyrotherium-Schichten, Argentinien . . . . 1900 II 303
Notostylops-Fauna und -Schichten, Argentinien u. Patagonien 1900 I *226*
Nototictes, arboricolen Ursprungs . . . . . 01 II 473
Novaculit, Arkansas, Entstehung . . . . . 1900 I 408
Nowaja-Semlja, Nechwatowa-Fluss, devon. Kalksteinfauna . . . 1900 I 271
N-Strahlen, Ansammlung in gewissen Substanzen 04 II 334
Nubecularia elongata, Bryozoenhorizont, Priabona 1901 I *130*
Nubischer Sandstein, Egypten etc. 1902 I 99ff. 04 I 416
Nucleolithes avellana, Nummulitenschichten, Egypten . . . . . 01 II 484
Nucula Albertina, apicina u. Cecileana, Quiriquina-Schicht., Chile BB XVIII *228*
Nucula circularis u. Lieseri, Remscheider Schichten, Devon . . . . . CBl 1904 *601*
Nucula confluentina, Unterdevon, Rossbach . BB XVII *39*
— Cottaldi und Zieteni, Renggeri-Schichten, Berner Jura . . . . 01 I 139
— Degrangei, Faluns, Touraine . . . . . 04 II 461
— Eymari, Nummulitenschichten, Egypten . 02 I 464
— haeringenis, Unteroligocän, Häring . . 04 II 116
— Lamplughi, Kreide, England . . . . . 01 II 154
— lanceolata, Remscheider Schichten, Devon CBl 1904 *601*
— Largillierti, Quiriquina-Schichten. Chile . BB XVIII *248*
— leia und tremolatestriata, obere Kreide, lybische Wüste . . . 03 I 510
— pencana, Quiriquina-Schichten, Chile . BB XVIII *230*
— puelchana, Paraná-Stufe . . . . . BB XIV *200*
— pueyrrydonensis, Kreide, Patagonien . . . . 02 II 435
— reticularis, patag. Form 02 I 295
— speetonensis, Kreide, England . . . . . 01 II 154
— strigilata, Trias, China 1900 I *203*
Nuculana lanceolata, Remscheider Schichten, Devon . . . . . CBl 1904 *601*
Nuculidae, Familie . . BB XV *418*
Nuculina liasina, unterer Lias, Val Solda . . 04 II 112
Nürnberg, Thone u. Lehme 02 II 223
Nuggets von Silber und Kupfer, Structur . . 02 I 5
— von Gold . . . . . 02 I 6
Nummopalatus paucidens u. Vaillanti, Eocän, Reims . . . . . 04 I 306

Nummopalatus Sauvagei u. trapezoidalis, Epernay, Sande mit Unio und Teredo . . . . 1902 II 302
Nummuliten . . . . . 02 II 317
— Aquitanien, Gliederung d. Tertiärs . . 02 II 121
— Belgien im Bruxellien 01 I 478
— Italien . . . . . 03 II 153
— Sind neben Belemniten, Eocän . . . . CBl 1900 138
Nummulitenkalk
— Barcelona . . . . . 1900 II 125
— Mosbacher Sand, geschrammtes Geschiebe CBl 1902 251
— Poggia (Monti livornesi) . . . . . 03 I 129
— Subiaco, mit Pecten 01 II 320
Nummulitenschichten
— Aquitanien 1902 II 121 CBl 1902 *213*
— Egypten, Seeigel . . 01 II 483
Nummulites
— Originalexemplare v. D'Archiac . . . . . 04 I 154
— Baroni, mitteleocän, Sinai . . . . . 01 II 166
— laevigatus, Bruxellien, Belgien . . . . . 1900 I 451
— Tschihatscheffi var. subdistans, Ordu, Kleinasien . . . . . 03 I 109
— und Orbitoides, Tert., Biarritz . . . . . 04 I 154
Nutzbare Mineralien, Bezeichnung . . . . . 03 I 81
Nyctodactylus . . . . . 02 II 145

O.

Oahu, Hawaii-Archipel, Basalt . . . . . BB XV *82*
Oberaletschgletscher, Geologie . . . . . BB XVI *293*
Oberammergau, Labergebirge, Geologie . . 1900 II 415
Oberbayern, Molasseprofile . . . . . 03 I 510
Oberflächengestaltung, Norddeutschland . . CBl 1901 204
Oberflächenspannung u. Löslichkeit, Beziehung 02 II 179
Oberharz, nordwestlicher. Geologie (Culm) . . 1900 I 429
Oberharzer Erzgänge. Schwerspathführung CBl 1900 *284*
Ober-Oesterreich
— Erdbeben 1898 . . . 1901 I 208
— nutzbare Mineralien . 04 II 78
— Mühlviertel, Gesteine 04 I 58
Oberpfalz
— Fauna d. Lias u. Dogger 03 I 318
— Gesteine zw. Erbendorf und Neustadt . CBl 1904 *577*
— Kaolinlager . . . . BB XV *320*
Oberrheinische Tiefebene, Jura d. südöstl. . . 1900 I 279
Oberrhein. geolog. Verein, 34. Versammlung in Diedenhofen . . . . CBl 1901 *406*
Oberscheibe b. Scheibenberg (Sachsen), Marmor . . . . . BB XIX *258*
Oberscheld b. Dillenburg, Unterdevon . . . . BB XVII *14*
Oberschlesien
— Erzlagerst., Entstehung 1904 II 229. 230 CBl 1904 *40*
— Steinkohlengebirge, Gliederung . . . . . 03 II 107
— —, marine Fauna . 03 II 109
— Trias bei Oppeln . . 03 II 111
Obliquarca, Tertiär, Piemont u. Ligurien . . 02 II 309
Obolella, Cambrium . . 02 I 486
Obolus
— Cambrium 1902 I 486 03 II 401
— Meneghini u. Zoppi, Cambrium. Sardinien 02 I 488
— (Acritis) rugatus, Eureka, Nevada . . 02 I 488
— (Lingulella) bellus (Neufundland u. Neuschottland); Bornemanni (Sardinien); bicensis (Bic Harbour, Canada); Linnarssoni, Westgotland; randomensis (Neufundland); Schucherti (Troy, New York); Siemiradzkii, (Sandomir, Polen); Winona var. convexus (Wisconsin), Cambrium 02 I 488
— tetonensis, Wyoming 02 I 488
Obsidian
— Entglasung . . . . 04 II 47
— Astroni . . . . . 03 I 43
— Coatepec-See . . . . CBl 1903 *130*
— Ecuador . . . . . 03 II 224
— Fondo Riccio-Krater. phlegr. Felder, Trachyt 03 II 369

Obsidian
— Lipari, Schmelzversuche . . . . . 1901 II 155
— Massailand, Ostafrika 03 I 80
— Mayor Island, Neuseeland . . . . . CBl 1904 *210*
— Neuseeland . . . . . 01 II 71
Obsidianbomben
— Bathurst, Austr. (Tektit) . . . . . CBl 1901 52
— Chile, nördl., Analyse 01 I 420
— holländ. Indien, Tektit 1900 I 360
Oceane, Polverschiebung, Ursache d. Formationsbildung . . . . . 04 I 365
Oceanische Grundproben, Analyse . . . . . 02 I 391
— Salzablagerungen, Bildungsverhältnisse . 1902 II 5. 13
Ocellen, Trilobiten . . . 1900 I 133
Ochotsk. Marekanit . . 01 II 70
Ocinebra bantamensis, Tertiär, Java . . . 1900 II 289
Ocker
— Amerika, Production 04 II 16
— New Jersey, Cu-haltig 02 I 361
Octodontherium crassidens, Pyrotherium-Schichten, Argentin. 1900 II 305
Oculina alabamensis, Aldrichi, Harrisi, Singleyi u. ? Smithi, Palaeogen, Nordamerika 04 I 468
— Ogilviae u. Schlosseri, Gosauschichten, Ostalpen . . . . . 04 II 153
— Osiris, ob. Kreide, lib. Wüste . . . . . 03 I 509
Odensjö, Schweden, Entstehung . . . . . 04 I 367
Oder-Bank, Pommern, Ostsee, Geologie . . BB XX *445*
Oderberg, Diluvium . . BB XVI *54*
Odergebiet. Glacialerscheinungen . . . . 02 I 459
Odessa, Erdrutsche . . 1900 I 215
Odinit, nördl. Chile . . 01 I 417
Odontaspis elegans und Abbatei, Mokattam-Stufe, Egypten . . . 01 II 148
— elegans u. verticalis, unt. Mokattam, Wasta in Egypten . . . . 03 I *31*
Odontocallipteris hercynica, Rothliegendes, Ilfeld . . . . CBl 1901 *421. 593*
Odontoceti, Boldérien, Antwerpen . . . . . 1903 I 549
Odontoglossae, Osteologie 03 II 438
Odontogryphaea concors u. rostrigera, Kreide, Pico Salamanca, Argentinien . . . . . 04 II 287
Odontoperna . . . . . CBl 1902 *613*
Odontophyllum, New York, Unterdevon . . . . 03 I 483
Odontoptera globosa, Remscheider Schichten, Devon . . . . . CBl 1904 *600*
Odontopteris (Odontocallipteris) hercynica, Rothliegendes, Ilfeld CBl 1901 *421. 593*
— rigida, Culm-Dachschiefer, Thüringen . 04 I 320
Odontostomia campbonensis, Dumasi, Oppenheimi u. pervicina, Eocän, Loire inférieure 03 I 127
Oecotraustes Kobyi, Renggeri-Schichten, Berner Jura . . . . . 1900 I 316
Oedenburger Comitat, sarmat. Conchylien . 01 I 474
Oefen, elektrische . . . CBl 1902 *426*
— — von C. A. Timme CBl 1901 *680*
Oelberg, Siebengebirge, Granat im Basalt . 1900 I 197
Oels, Mähren, Mineralien 1900 I 24
Oeningen, Nagethierreste 03 I 353
Oerkelljunga, Schweden, geol. Karte . . . . 01 I 259
Oesterreich
— Erdbeben 1897 . . . 1900 I 372
— — 1898 . . . . . 01 I 208
— — 1899 . . . . . 02 II 49
— geol. Karte, 1. u. 2. Lieferung d. Jubiläumsausgabe, Blätter der N.W.- u. S.W.-Gruppe 1900 II 257
— Gesteine . . . . . 04 I 58 ff.
Oesterreich-Ungarn, Photographien . . . . . CBl 1901 280
— siehe auch Ober- und Niederösterreich etc.
Oetzthal, Endmoräne am Eingang . . . . . 02 II 446
Oeynhausen, Thermen, Zusammensetzung . 02 II 414
Offenbach, Grundmoräne 03 II 269
Ofnet-Höhle, schwäb. Alb, Mensch . . . . . 03 II 284

Ogasamara-Inselgruppe, Geologie . . . . . 1903 II 253
Ogiva Glangeaudi, Kreide, Frankreich . . . . . 02 I 491
Ohio, Central-, Carbon . 02 I 439
Oioceras, Stammform d. Schafe . . . . . 03 II 294
Okenit, Grönland, Dampfspannung . . . . . 1900 I 335
Oktaedrit siehe Anatas.
Oktaedriten
— Eintheilung . . . . 04 I 195
— Untersuchung 1902 I 367. 368. 369
— versch. Fundorte, Anal. 02 I 365
— siehe Meteoreisen.
Olbodotes Copei, Eocän, Amerika . . . . . 04 I 294
Olcostephanus antarcticus, Kreide, Admirality Inlet . . . . . 04 I 434
— superstes, südindische Kreide . . . . . 1900 I 444
Old Hampshire, County, Mass.
—, Geologie . . . . . 1900 II 85
—, Mineralien . . . . 01 I 34
Old Red, Fische . . . . 01 I 504
— Schottland, Russland und New York, mit Estheria membranacea 03 I 335
Oldenburg, geol. Kartierung 03 II 410
Oldesloe, Untergrund . 03 I 137
Oleacina (Salasiella) fossilis, tertiärer Landschneckenmergel, Oppeln . . . . . 03 I 540
Olenek-Schichten, Cambrium, Sibirien . . . 01 I 114
Olenellus-Fauna, Cambrium, Saltrange . . CBl 1903 *45*
Olenus expansus, Lingula flags, Moel Gron . . 01 II 150
— Planti = Parabolinella Planti, Lingula flags, Moel Gron . . 01 II 150
Olenus-Schiefer, Schonen 1900 II 103
Oligobunis, Tertiär, Nordamerika . . . . . 02 I 137
Oligocän
— Grenze gegen Helvetian in d. schweiz. Molasse 04 I 285
— verschiedene Lokalitäten . . . . . 02 I 280
— Bosnien, Süsswasserneogen . . . . . CBl 1901 *233*
— Issoire gegen Brionde 01 I 125
Oligocän
— Patagonien, südl. . . 1900 II 427
— siehe auch Tertiär.
Oligocarpia missouriensis, lower coal measures 01 II 490
Oligocoelia Zitteli, Trias, Bakony . . . . . 02 I 493
Oligoklas
— Baikalsee, Lasur- . . 02 I 38
— Cala Francese, Insel Maddalena, im Granit 02 I 347
— Mähren . . . . . CBl 1904 *361*
— Tvedestrand, Lage der Hämatitschuppen CBl 1902 441
1903 I 24 04 I 352
Oligoklas-Albit, Cala Francese, Insel Maddalena . . . . . 02 I 347
— Wilmington u. Soboth, opt. Orientierung . . 02 I 343
Oligoklasgruppe, optische Orientierung . . . . 04 I 354
Oligoklasit, Lofoten und Vesteraalen, Norweg. 1900 I 384
Oligophyrische Andesite, Kasbek . . . . . 02 II 390
Oligotoma Burrowsi, similima, exasperata, mitraeformis, fayellensis, lirisculpta, crassilirata u. rugosa, Eocän, Pariser Becken 1900 II 479
Oliva reticularis var. brasiliana, Paraná-Stufe BB XIV *215*
Olivensandstein, Perm, Saltrange CBl 1903 *45* BB XIV *425*
Olivin, siehe auch Peridotit
— Ausscheidung aus Schmelzflüssen . . . CBl 1904 *369*
— Dichte nach Schmelzen 01 II *151*
— Krystallisationsvermögen u. -geschwindigkeit . . . . . CBl 1903 *616*
— Neubildung durch Schmelzen . . . . . BB XVII *512*
— verwachsen m. Augit BB XVI *415*
— — mit Klinohumit . BB XVI *408*
— — mit Serpentin . . BB XVI *401*
— — mit Titaneisen . BB XVI *384*
— und Albit zusammengeschmolzen . CBl 1904 *345. 364*
— und Augit zusammengeschmolzen . CBl 1904 *367. 715*
— und Labrador zusammengeschmolzen CBl 1903 *743*

Olivin
— zersetzt von H_2S-Gas 1901 I 172
— Badensteine b. Marburg, -Fels im Basalt CBl 1902 *15*
— Golden Gate, Cal. . 03 II 34
— Latium, Kryst. u. Anal. 1901 I 194 02 II 30
— Monzoni, im Monzonit CBl 1901 *674*
— — Ps. von Iddingsit nach O. im Melaphyr CBl 1901 *678*
— Pesmedaalp, Pseudom. nach Olivin . . . . 04 I 164
— piemont. Alpen, Titan- 03 I 27
— Ural, Pseudom. von Steatit, Serpentin u. Epidot nach . . . . 01 II 193
— u. Chrysoberyll, Beziehung zw. Molekularvolumen u. Zusammensetzung . . . 04 I 5
Olivindiabas
— Curaçao, mit dendritisch-sphärolithischer Grundmasse . . . . 1900 II 148
— Fichtelgebirge . . . 01 I 60
— Quebec, gangförmig 04 I 395
Olivinfels, Tirol, Pyroxenit . . . . . 1900 II 392
Olivingabbro, nördl. Ural 1903 II 363. 364
Olivingestein siehe Olivinfels und Peridotit.
Olivingruppe, Schmelzpunkte, Beziehung zu Zusammensetzung . 04 II 165
Olivinknollen im Basalt 04 I 206
— —, künstlich . . . . 1900 II 254
Olivinreiche Tuffe, San Venanzio, Umbrien . 1900 II 373
Olmütz, geol. Karte . . 1900 II 260
Olonoskalk, Griechenland CBl 1904 *259*
Olt- und Oletzthal, Rumänien, Kreide . . . 01 II 280
Omosaurus, Oxford Clay, Fletton . . . . . CBl 1901 *718*
Omphaloptycha extensa u. gregaria var. lata, mitteldeutsch. Muschelkalk . . . . . 04 I 313
— fusiformis, gracillima. pyramidata u. Schaurothi, ob. Muschelk., Marlenheim, Elsass . 02 I 143
— Ludwigi, Veszprémer Mergel, Trias, Bakonywald . . . . . 02 II 306
Omphaloptycha permiana, Oberpalaeoz., Russland . . . . . 1901 I 311
Omsk'scher Kreis, Russland
— Mineralogie . . . . 02 I 204
— Salze der Salzseen . 1900 I 228
Oncolepis Isseli, Eocän, Mte. Bolca . . . . 1900 I 466
Onegische Schichten, Finnland . . . . . 03 II 74
Onofrit, China . . . . 1900 I 179
Onohippidium, Eberhardthöhle, Patagonien . 03 II 282
Onondaga-Kalk, Devon, Becraft mountain, New York . . . . . 01 II 457
Ontario, New York, Gliederung . . . . . 01 II 265
Ontario, Canada
— Bergwerkserträge . CBl 1901 371
— Bureau of mines, reports . . . . . 04 II 363 CBl 1901 371 CBl 1902 240
— Mineralien . . . . . 01 II 366
— Mineralindustrie . . 1900 I 345
— Mineralproduktion . 03 II 339
— nutzbare Mineralien CBl 1902 240
Onychasteridae, palaeoz. 1900 I 481
Onychopyge, genet. Bez. 1900 II 473
Onyx, mexicanischer, Arizona, Vorkommen CBl 1902 407
Onyx-Marmor, Argentin. 04 II 196
Oodectes herpestoides, Eocän, Marsh Collection 04 I 450
Oolith, unterer, Ammoniten in England . . 01 II 316
Oolithe, Bildung . . . . BB XVI *495*
Oolithischer Rotheisenstein, Wesergebirge b. Minden . . . . . 04 II 412
Oonia glandiformis, ob. Muschelk., Marlenheim 02 I 143
Opake Mineralien, Strich CBl 1901 *75*
Opal
— Dampfdruck . . . . 1900 I 335
— Farbenspiel des edlen CBl 1902 152
— Mikrostruktur . . . 01 II 175
— Acherwiese, Fichtelgebirge . . . . . 1900 II 358
— Australien, edler, pseudom. nach Gyps 01 II 5
— Bogoslowsk'sches Bergrevier, im Serpentin . 1900 I 345
— Bory, Mähren . . . CBl 1904 *357*
— Dolni Bory, Mähren 03 I 200
— Neuseeland . . . . 01 II 71

Opal
— Nordamerika 1900 I 201 1903 II 41
— —. Vorkommen als Edelstein 1904 II 367 CBl 1902 404
— Rosenegg (Hegau), edler, im Opaltuff . 1900 I 22
— Rovečin, Böhmen, eisenhaltig, Anal. . . 01 II 226
— Tolfa, edler . . . . 1900 I 10
— Toscana, chem. . . . 1900 II 348
— White Cliffs, Neu-Süd-Wales, edler 1902 I 167 BB XIV *472*
Opalinus- und Murchisonaeschichten, Basler Tafeljura . . . . . CBl 1901 *327*
Opalisierte Versteinerungen, Devon und Jura, White Cliff, Australien . . . BB XIV *472. 484*
Opalpseudomorphosen, WhiteCliff, Australien BB XIV *472*
Opaltigerauge, Tasmanien? . . . . . CBl 1902 665
Opaltuff, Rosenegg, Hegau 1900 I 22
Operculina complanata var. granulosa, Bryozoenhorizont, Priabona 01 I *126*
— Tellinii, Eocän, Tarcento (Friaul) . . . 03 I 480
Opetiosaurus Bucchichi, unt. Kreide, Lesina . 02 II 145
Ophicalcareous Grits, Davos . . . . . 01 II 95
Ophicalcit, Anglesey . . 01 I 76
Ophiocistia, engl. Silur 1900 II 318
Ophiocoma Döderleini, lebend . . . . . 1900 II 486
Ophio-Encrinasteridae, palaeozoisch . . . . 01 II 323
Ophioglossites antiqua, Kohlenbecken, Autun u. Epinac . . . . . 02 II 165
Ophit, nördl. Chile . . . 01 I 418
Ophiuriden, palaeozoische 1900 I 481 01 II 322
— Classification . . . . 1900 I 481
— engl. Silur . . . . . 1900 II 318
Opis alata, Infralias, Vendée . . . . . 04 II 430
— Hauchecornei, Untersenon, Braunschweig u. Ilsede . . . . . 02 I 128
— locularis (Cryptocoelopis), St. Cassian . 02 II 488
Opisthobranchiata, Jura, England . . . . . 1901 I 515
Opisthocoelus, poln. Mittelgeb., Oberdevon . BB XIII *360*
Opisthogoniacea . . . . BB XV *416*
Opisthoparia (Trilobites) 1900 I 134
Oppelia Dupasquieri, episcopalis, Heimei, inconspicua, Langi, Mayeri, puellaris, Richei u. Rollieri, Renggeri-Schichten, Berner Jura . . . . . 1900 I 316
— echizenica, Jura, Japan 04 II 325
— Futtereri, Jura, Deutsch-Ostafrika . . . . . 01 II 294
— ledonica, Zone d. Amm. Renggeri, Lons-le-Saunier . . . . . 02 I 293
— scalata, Neocom, Nord-Deutschland . . . . 03 II 450
— subnerea, Jura, südöstl. Russland . . . 01 I 264
Oppeln, tertiärer Landschneckenmergel . . 03 I 538
Optisch nicht erkennbare Krystallverwachsungen 01 II 336
Optische Anomalien
— Theorie . . . . . 1900 I 330
— Granat, Affaccata, Elba 1900 II 195
— Plagioklas, Constatierung . . . . . 1900 II 193
Optische Axen, Bestimmung durch Beobachtung d. Auslöschungsschiefe . . . . . 02 II 218
Optische Axenwinkel, Bestimmung in Gesteinsbild. Mineralien . . 02 II 217
Optische Constanten der Krystalle
— Bestimmung . . . . 1900 II 171
— — an Zwillingen durch Totalreflexion . . . 1900 II 183
— — aus einem beliebigen Schnitt . . . 03 II 7
Optische Erscheinungen regulärer Krystalle bei Druck . . . . . 03 II 165
Optische Untersuchung mittelst flüssiger Luft CBl 1902 *11. 321. 402*
Orangit, Brevik, Radioaktivität . . . . . CBl 1904 *208*
Oranje River-Colonie, Glacialspuren . . . 04 II 457

Orbitoides, Philippinen . CBl 1901 *326*
— stellata, Bryozoenhorizont, Priabona . 1901 I *125*
Orbitoides u. Nummulites, Biarritz . . . . . 04 I 154
— Orbitoides-Schichten, Adour-Becken . . . 01 I 168
Orbitolinen
— Bau . . . . . 04 II 473
— u. Orbitoiden, geogr. Verbreitung . . . . 02 I 449
Orbitolinenkalk, Kreide, Rustschuk . . . . . 1900 I *42*
Orbitolinenmergel, Alland, niederösterr., Kalkalpen 01 I 443
Orbitolitenschichten, Piemont . . . . . 02 II 438
Orbitulipora excentrica, Miocän, Sardinien . 1900 II 318
Orcagnia trivigiana, Priabona-Schichten, Venetien . . . . . 01 II 318
Orchiomys prostans, Pyrotherium-Schichten, Argentinien . . . . . 1900 II 304
Ordovician
— Balbriggan, County Dublin . . . . . 01 I 457
— Insel Man . . . . . CBl 1902 569
— New York, Gliederung 01 II 265
— Victoria, Australien 1900 II 430
Ordu (Kleinasien), Kreide und Eocän . . . . . 03 I 109
Orenburg, Gouv., Geol. 1901 I 263 03 II 250
Orendit
— Einwirkung von Salmiak . . . . . 04 II 7
— 15 mile spring, Wyoming, graph. Darstellung der Zusammensetzung . . . . 1900 I *112*
Oreodon robustus, White River beds, Montana 03 II 426
Oreodon-Schichten, Tert., NO.-Colorado . . . 04 I 123
Oreodontidae, Tert., NO.-Colorado . . . . . 04 I 128
— Uinta-Eocän . . . . 02 II 296
Organische Substanzen
— d. Thone u. Mergel . 04 I 379
— im Staubfall vom 5. Mai 1902 . . . . 02 I *261*
Orientirte Krystallschliffe, Apparat zur Herstellung . . . . 01 II *1*
Orientirung, krystallographische in Mineralschnitten der Dünnschliffe . . . CBl 1903 *323. 554*
Originalexemplare, holotype, cotype, paratype u. metatype . . 1900 II 485
Orindon-Formation, Berkeley Hills, Cal. . . 04 II 250
Oriskany-Fauna, Becraft mountain, New York 01 II 457
Oriskany-Formation ist Devon . . . . . 01 I 117
Orizaba, Mexico
— Kreide . . . . . 01 II 444
— Maltrata- und Escamelakalke, Kreide . 02 II 119
Orkney-Inseln, Ganggesteine . . . . . 02 II 66
Orlaer Szt. Kereszt-Erbstollen b. Verespatak, Profil . . . . . 03 II 243
Ornatella, Kreide, Frankreich . . . . . 02 I 490
— maestrichtensis, Kreide, Frankreich . . . . . 02 I 491
Ornithocheiridae . . . . 02 II 145
Ornithocheirus . . . . . 02 II 481
Ornithopoden, Oxford Clay, Flettow . . . . . CBl 1901 *718*
Ornithopodidae, Phylogenie 03 I 156
Ornithostoma, Osteologie 02 II 479
Ornithosuchus Woodwardi, Trias, Elgin . 04 I 138
Orobische Alpen . . . . 1900 I 426
Orodus intermedius, Perm, Kansas und Nebraska 04 I 141
Orogenetische Massenbewegungen . . . . 1900 I 367
Orohippidium Saldiasi, Ultima-Esperanza-Höhle; Patagonien . . . . 01 II 313
Orohippus . . . . . 03 I 352
Oromeryx, Uinta-Eocän 02 II 296
Orophodon hapaloides, Pyrotherium-Schichten, Argentinien . . 1900 II 305
Orteler Alpen, Pegmatit 04 II 208
Orthacodus hybodoides . 1900 II 471
Orthaspidotherium, Tert., Russland . . . . . 03 II 292
Orthechinus Schweinfurthi, Eocän, Egypten 03 I 532
Orthis callactis var. amazonica, Silur, Pará, Brasilien . . . . . 01 I 297

Orthis Christianae, Tremadoc, Combes de Barroubio, Südfrankreich 1902 I 7
— circularis mut. transfuga, hysterita, tectiformis u. triangularis, Unterdevon, zw. Marburg u. Herborn . . BB XVII 62
— distorta, Konjeprus . 1900 I 5
— Nocheri, Zone d. Spirifer Hercyniae, Lorelei-Gegend . . . . . 01 I 273
— Smithi, Silur, Pará, Brasilien . . . . . 01 I 297
— (Rhipidomella?). Devon, White Cliff, Austr. BB XIV 502
— (Schizophoria?), Devon, White Cliff, Austr. BB XIV 502
Orthit, siehe auch Allanit.
— Cornwall in bas. Erupt.-Gest., Kern in Epidot . . . . . 04 II 390
— Darial-Schlucht, Kaukasus, im Granitit . 1900 I 230
— Dent Blanche-Massiv, Wallis, im Gneiss, z. Th. umgewandelt in Epidot . . . . . 01 I 65
— Radauthal . . . . . 01 II 360
— Schottland, im Granit u. Gneiss, parallelverwachsen m. Epidot 1900 I 400
Orthithjelmit, Stripåsen, Westmanland, im Albitpegmatit . . . . 04 I 391
Orthoaugitandesit, Nord-Celebes, Minahassa . 01 II 396
Orthoceras, Zusammenhang m. Ammonoideen 1900 I 130
— currens, Obersilur, in Phosphoritknollen, Vogtland . . . . . BB XV 20
— Kochinae, oberpalaeoz., Russland . . . . . 01 I 310
— olorus, Venezuela, Untersilur . . . . . 04 I 92
Orthoceratidae, Carbon, Ireland . . . . . 01 I 511
Orthoceren
— grosse, aufrecht im oberdevon. Sandstein, New York . . . . . 03 I 482
— über die Thesen Jaekel's . . . . . 03 II 298
Orthocerina permiana, deutscher Zechstein . 1900 II 164
Orthochlorit, chem. Formel CBl 1901 628. 631
Orthogenium Ameghinoi, Tertiär, La Plata . . 1903 II 294
Orthogneiss
— durch Dynamometamorphose aus Granit entstanden . . . . 1900 II 50
— Ceylon . . . . . 04 I 380
— Kordofan . . . . . BB XVII 448
Orthogoniacea . . . . . BB XV 416
Orthograptus . . . . . 01 I 334
Orthoklas
— Anpassungserscheinungen bei Karlsbader und Bavenoer Zwillingen . . . . . 04 I 21
— Bildungsweise in Eruptivgesteinen . . . . 03 II 329
— Dichte nach Schmelzen 01 II 153
— Einfluss v. Zwillingsbildung auf Ausbildung der Krystallform . . . . . 04 I 349
— Krystallisationsvermögen u. -Geschwindigkeit . . . . . CBl 1903 615
— Neubildung durch Schmelzen . . . . . BB XVII 512
— verwachsen m. Augit u. Biotit . . . . . BB XVI 428
— — mit Muscovit . . BB XVI 429
— — mit Plagioklas . BB XVI 429
— u. Akmit, zusammengeschmolzen . . . . CBl 1904 366
— Acherwiese, Fichtelgebirge . . . . . 1900 II 359
— Bobrůvka, Mähren . CBl 1904 363
— Calabrien, opt. Constanten . . . . . 1900 II 190
— Ceylon, mit Graphit 02 I 194
— —, im Pegmatit . . 04 I 383
— Habachthal (Venediger), Prehnit, pseudom. nach . . . . . 1900 I 19
— Kozakow, Böhmen, im Felsitporphyr . . 02 I 64
— Marschendorf u. Zöptau (Adular) . . . . . 04 I 30
— Monzoni, Zusammensetzung . . . . . 01 II 676
— Senftenberg, im Pegmatit . . . . . 03 I 401
— Shinano, Japan, auf Gängen im Quarzdiorit . . . . . 01 I 17

Orthoklas
— Val Floriana, versch. Ausbildung im Quarzporphyr . . . . . CBl 1903 236
— siehe auch Feldspath etc.
Orthoklasplagioklasgesteine . . . . . 1902 I 221
Orthoklasporphyr, Fleims 03 I 62
Ortholophodon prolongus, Tertiär, La Plata . 03 II 293
Orthophyr
— argent. Cordillere, jurassisch . . . . . CBl 1903 *58*
— Creuse-Departement . 03 II 373
— Grandes Rousses, Briançonnais . . . . . 03 I 73
Orthopoden, Oxford Clay, Fletton . . . . . CBl 1901 *718*
Orthosit . . . . . 01 I 220
Orthostomia, Esino und Marmolata . . . . . 02 I 142
Orthothetes, Abgrenzung 1900 I 3. 6
— Definition . . . . . 01 II 121
— persicus, semiplanus u. umbraculum . . . 1900 I *5 ff.*
Orthybodus . . . . . 1900 II 471
Ortlerit, syst. Stellung . 03 II 357
Oryclenidae, Eocän, Marsh Collection . . . . . 04 I 452
Oryctocephalus Reynoldsii, Cambrium, Stephen-Field . . . . . 01 I 564
Osachila Tiechei, Molasse, Schweiz . . . 1900 II 308
Oscillationen d. Erdrinde 01 II 372
— siehe auch Niveauschwankungen.
Osmiridium in Goldseifen, Jenissei'sche Taiga . 01 II 174
Ostafrika
— jüngere Ablagerungen 02 II 264
— Britisch-, Geologie . 02 I 231
— Deutsch-, Geologie . CBl 1900 121
— —, Jura u. Kreide . 01 II 294
— —, mesoz. u. kainoz. Korallen . . . . . 01 II 326
Ostalpen, Tektonik . . CBl 1904 *161*
Ostasien
— Geologie . . . . . 03 I 490
— — u. Palaeont. . . 1900 II 92
Ostbalt. Untersilur, vergl. m. d. skandinavischen CBl 1901 *611*
Osthimasia Lovisatoi, Miocän, Sardinien . 1900 II 318
Ostindien, nördl., Geologie . . . . . 02 I 430
Ostindisches Faunengebiet, Grenze zw. Perm u. Trias . . . . . CBl 1900 *1*
Ostpreussen
— Aufschlüsse durch Bohrungen . . . . . 1901 I 288
— Diluvium . . . . BB XVI *49 ff.*
— Endmoränen bei Ortelsburg und Neidenburg . . . . . 01 I 284
— geolog. Aufnahmen . 01 II 87
— Provincialmuseum 1902 II 444 CBl 1901 27
— Senon . . . . . 01 II 278
Ostracoden
— Bargate beds, Kreide, Surrey . . . . . 1900 I 483
— Kreidemergel d. oberbayr. Alpen . . . . 02 I 155
— pleistocän. Valvata-Mergel, Memleben a. Unstrut, Brackwasser- . . . . . CBl 1903 *586*
— Unterdevon zw. Marburg u. Herborn . . BB XVII *34*
Ostracodenschalen, fossile, als Staubregen, Oullins bei Lyon . . 02 I 98
Ostrea, Quiriquina-Schichten, Chile . . . . BB XVIII *227*
— Alvarezii, patagonica u. puelchana, Paraná-Stufe . . . . . BB XIV *185*
— anceps, Bentongruppe, Kansas . . . . . 01 II 298
— attenuata, canonensis, crenula, ellsworthensis, exogyroides, incurva, jewellensis, kansaensis, lata, Leci, Welleri u. Willistoni, Kreide, Kansas . . . 02 I 147
— baissunensis, Kreide, Buchara . . . . . 1900 II 287
— Beloiti, Bentonstufe, Nordamerika . . . . 02 II 119
— bryozophila, Priabona-Schichten . . . . . 04 I 283
— drepanon und helios, Senon, Lüneburg . . 03 II 274
— Fuchsiana, Miocän, Egypten . . . . . 01 I 284
— gingensis var. setensis, Neogen, Egypten . . CBl 1900 *212*
— hyotiformis, Tertiär, Ostafrika . . . . . 02 II 264

Ostrea Joannae-Munsoni 1902 I 147
— Lipoldi, Trias. Idria 02 I 485
— Nicaisei u. cfr. Pasiphaë, Kreide. Peru . BB XVII *262*
— Ramsis, ob. Kreide, lib. Wüste . . . . . 03 I 510
— reflexa. Kreide. Dänemark . . . . . 02 II 434
— rionegrensis u. rocana, Kreide, Roca, Argentinien . . . . 04 II 286
— tardensis, Kreide, Patagonien . . . . . 02 II 435
— tenuitesta. Posidonienschiefer. Hannover . CBl 1904 *386*
Ostrea-Bänke, Christiania, Diluvium . . . . . 02 II 453
Ostsee, Bänke vor d. pommerschen Küste . . BB XX *445*
Ostseegrund, quart. Muschelconcretionen . . 04 II 457
Ostseeländer (ausser Gotland), silur. Craniaden 1900 II 155
Ostseeprovinzen
— Erdbeben . . . . . 1900 I 371
— Limanschlamm . . . 01 II 384
Ostseequarzporphyr, Diluv.-Geschiebe, Sylt . 01 I *109*
Ost-thüring.-vogtländ. Schiefergebirge, Geol. 04 I 90
Otoceras, Salt Range . 1900 I *139*
Otoceras-Schichten
— Himalaya CBl 1901 *275. 513. 655* BB XVIII *528*
— —. Rimkin Paiar, (Painkhanda), Alter BB XVIII *528*
— Indien . . . . . CBl 1900 *216*
— Salt Range . . . . CBl 1900 *287* BB XIV *467* BB XVIII *550*
— — u. Himalaya CBl 1900 *2* BB XVIII *528*
Otocyon, Tertiär, Nordamerika . . . . . 02 I 137
Otodus biauriculatus. ob. Kreide, lib. Wüste . 03 I 510
Otolithen, auf d. Meeresgrund zwischen Jan Mayen u. Island . . 02 I 463
Otomphalus Dumasi, Eocän, Loire inférieure 03 I 128
Otozamites sp. n. typ. major, Jura, Kamenka, Gouv. Charkow 02 II 172
— Ameghinoi, Barthianus u. Rothianus, Lias, Argentinien . . . . 04 I 430
Otozamites Beani, mitteljurass. Sandst., Ostsardinien . . . . . BB XX *157*
Otronia Mühlbergi, Tert., La Plata . . . . 1903 II 293
Ottenhöfen, Schwarzwald, Quarzporphyrstiele . CBl 1900 28
Oudenodon truncatus, Hanover in Südafrika 03 II 439
Oulx, obere Dora Riparia, Gypslager . . . . . 1900 I 26
Ouray limestone, Colorado, Fauna . . . . 04 I 428
Ovactaeonina aulacophora Chartroni, Gaiffei, gymna, hypermeces, Stueri. Jura, Frankreich . . . . . 1900 II 153
Ovibos-Schädel
— Bielschowitz, Oberschlesien . . . . . 04 II 148
— Kulm (Westpreussen) 02 II 458
Ovicellen
— der Bryozoen. Bath., Occaignes (Orne) . . 1900 II 317
— der Ceideen. Tertiär, Tours . . . . . 01 II 157
Oviden, Quartär, Algier 01 II 147
Ovifak. siehe Uifak.
Ovis, Vindonissa . . . 03 I 149
Ovopteris cristata. Rothliegendes, Ilfeld . . CBl 1901 *590*
— punctulata. Rothliegendes, Ilfeld . . . CBl 1901 *419*
Ovula javana, Tert., Java 1900 II 289
— (Gisortia), grosse, des Eocän . . . . . 04 II 472
Oxalate, Krystallform 1901 I 342 02 I 5
Oxfordien
— Berner Jura . . . . 01 I 140
— —, Brachiopoden u. Mollusken d. Zone d. Am. Renggeri . . . 1900 I 315
— Trept (Isère), Ammoniten des oberen . . 1900 II 150
— Villers-sur-Mer, Grenze gegen Callovien . . CBl 1904 307
Oxyacodon, Puerco . . . 1900 I 303
Oxyaena . . . . . 03 I 560
— Nordamerika . . . . 04 I 453
— lupina, Restauration 03 I 147
Oxyaenidae, Eocän. Marsh Collection . . . . . 04 I 452
Oxyaenodon dysodus, Uinta bed . . . . . 03 I 147

Oxyclaenidae, syst. Stellung . . . . . 1903 II 433
— u. Oxyclaenus, Puerco 1900 I 302
Oxyde und Metallsulfide, thermoelektr. Verhalten 03 II 167
Oxynoticeras falcatum u. inflatum, Neocom, Norddeutschland . . 03 II 448
— Haueri, oenotrium u. pulchellum, Lias, Mte. di Cetona, Siena . . 03 I 301
— pseudograsianum, Teschener Schichten, Schlesien . . . . . 03 II 297
Oxyrhina Desorii, unt. Mokattam b. Wasta, Egypten . . . . . 03 I *30*
— hastalis, Miocän, Alba 01 II 481
— pusilla, Amaltheenthon, Reutlingen . . 1900 II 113
Oxytoma inaequivalve var. cenomanica, Kreide, Görz u. Pinguente . . . . . 02 I 486
— tardensis, Kreide, Patagonien . . . . . 02 II 435
— wyomingensis, Jura, YellowstoneNat. Park 02 I 129
Ozokerit, Bucharei und Turkestan . . . . . CBl 1903 86

P.

Pachuca, Mexico, Silbererzgänge . . . . . 1900 I 413
Pachyaena, Vaugirard, Eocän . . . . . 04 II 308
— intermedia, Nordamerika, Eocän . . . . 05 I 148
Pachycardia Plieningeri. Pachycardientuffe, Seiser Alp . . . . . CBl 1900 *373*
Pachycardientuffe
— Seiser Alp . . . . . CBl 1900 *369*
— — —, Fauna . . . 04 I 118
Pachydiscus, südindische Kreide . . . . . 1900 I 445
— conduciensis, Kreide, Conducia-Mündung . 03 II 274
— neubergicus var. stallauensis, Kreide, Tölz 02 I 117
— Waageni, Kreide, Kaukasus . . . . . 01 I 474
Pachygyra microphyes, Gosauschichten, Ostalpen . . . . . 04 II 153
Pachynolophus, Verhältnis zu Hyracotherium 1903 I 351
Pachyornis elephantopus (Moa), Eier, Neuseeland . . . . . 04 I 138
Pachypithecus macrognathus, Pyrotherium-Schichten, Argentin. 1900 II 298
Pachyrhizodus caninus, Kingii, latimentum, leptognathus, leptopsis, Sheareri, velox, Niobrara-Kreide, Kansas 01 I 309
— curvatus, Niobrara-Gruppe, Kansas . . 04 I 309
— minimus, Kreide, Kansas, Unterkiefer . . 01 II 480
Pachyrucos . . . . . 1900 II 459
Pacifische Vulcankette, Gesteine . . . . . CBl 1903 25
Pacifischer Continent, alter 02 II 429
Paganico, Prov. Grosseto, pont. Schichten . . . 1900 I 448
Pagliari-Fauna, Kreide, Aquilaner Abruzzen 04 I 98
Pagurus Lepsii, mitteloligocän, Meeressand, Mainzer Becken . . 02 I 310
Paimpol-Massiv, Bretagne, Altersbeziehungen d. alten krystallinen Gesteine . . . . . 1900 II 402
Paisanit
— syst. Stellung . . . 03 II 357
— Abessinien . . . . . 01 II 391
Palacheit = Botryogen . 04 II 191
Palacheit(=Rubrit?), Redington-Quecksilbergrube, Knoxville, Cal. 04 II 189
Palaeasteridae, Classification von Gregory 1900 II 486
Palaeictops, Tert., Nordamerika . . . . . 01 II 139
Palaeobolus, Etcheminian, Cape Breton, Neu-Schottland . . . . . 1900 II 292
Palaeobotanik . . . . . CBl 1900 195
Palaeochirogalus, Madagascar . . . . . 03 I 563
— Juliyi, Belo, Madagascar . . . . . 01 II 141
Palaeochoerus, Gebiss . 02 II 467
Palaeocollonia laevigata, St. Cassian . . . . 02 I 142
Palaeocyon tarijensis, Tarija-Thal, Argent. 04 I 289

Palaeodevonic, New York 1901 II 266
Palaeodiscus ferox, engl. Silur . . . . . 1900 II 320
Palaeodyas, Alpen . . . 02 I 261
Palaeoerinaceus intermedius, La Grive St. Alban, Miocän . . . 03 II 125
Palaeogen
— Egypten . . . . . CBl 1901 *265*
— südöstl. Russland . . 01 I 263
Palaeograpsus Loczyanus, Ungarn, Eocän . . . 1900 II 475
Palaeohydatina perinflata, Jura, Frankreich . . 1900 II 153
Palaeolagus, Gebiss etc. 03 I 142
— brachyodon u. temnodon, Titanotherium-Schicht, Montana . . 04 II 461
— intermedius, Tertiär, Nordamerika 1901 II 139 04 I 124
— temnodon, White River beds, Montana . . . 03 II 425
Palaeolagus-Species, Amerika, Tertiär . . . . 04 I 303
Palaeolama Castelnaudi und Weddeli, Tarija-Thal, Argentinien . 04 I 290
Palaeolimburgit, nördl. Chile . . . . . 01 I 416
Palaeolithische Höhlenmalereien, Frankreich CBl 1902 87
Palaeomastodon Beadnelli, Bau . . . . . 04 II 319
— —, Tertiär, Egypten 1902 I 466 04 I 134
Palaeomeryx antilopinus und borealis, Nordamerika, Tertiär . . 04 II 313
— parvulus und pumilis, Dinotherien-Sand d. bayr.-schwäb. Hochebene . . . . . 01 I 498
— simplicicornis, Solenhofen, mioc. Spaltenausfüllung im lithogr. Schiefer . . . . . BB XIX *497*
Palaeomeryx-Arten, Süd-Russland, Tertiär . . 04 II 315
Palaeometeorologie des Pleistocän . . . . . 03 II 354
Palaeomyces gracilis und majus, Kohlenbecken, Autun und Epinac . 02 II 168
Palaeonictidae, Eocän, Marsh Collection . . 04 I 451
Palaeontologie
— Congrès géologique international, Paris 1900 . . . . . CBl 1900 *241*
— in der Schule . . . 1901 I 205
— u. Geologie, Geschichte CBl 1900 23
Palaeonycteris Reinachi, Tertiär, Friedberger Warte b. Frankfurt a. M. 01 II 283
Palaeopeltis inornatus, Palaeotherium-Schichten, Argentinien . . 1900 II 305
Palaeophiuridae, palaeoz. 1900 I 481
Palaeopikrit, Dillenburger Gegend, Mitteldevon, amphibolführend . . BB XV *597*
— siehe auch Pikrit.
Palaeoporella grandis, Silur . . . . . 02 II 159
Palaeopropithecus ingens 01 II 141
Palaeopsammia multiformis u. Zitteli, ob. Kreide, lib. Wüste . 03 I 509
Palaeoreas (?) sinensis, Tertiär, China . . . CBl 1902 *534*
Palaeosinopa, syst. Stellung . . . . . 03 II 433
— veterrima . . . . . 03 II 433
Palaeosolaster Gregoryi, palaeozoisch . . . . 01 II 324
Palaeostrophia Matheroni, Kreide, étage de Vitrolles, Pennes . . . 01 II 299
Palaeosyopinae, Osteologie 01 I 148
Palaeotragus Roueni, Samos, ob. Miocän . 03 I 553
Palaeotrochis in vulcan. Gesteinen, Mexico . 01 I 411
Palaeozoicum
— Lethaea palaeozoica . 01 I 105
— Asteroiden . . . . . 01 II 322
— Blattiden . . . . . 04 I 462
— Ophiuroidea . . . . 1900 I 481
— Pflanzen, Beurtheilung der Zweckmässigkeit 03 I *42*
— Pflanzen im Lichte der physiologischen Anatomie . . . . . 02 I *99*
— Strophomeniden, Systematik . . . . . 1900 I *1*
— Arktis . . . . . CBl 1901 533
— Böhmen, Korallen d. alten . . . . . CBl 1901 502
— Bornholm . . . . 1901 I 96. 102
— Canada, Korallen . . 01 II 325
— China, Foraminiferen 1900 II 488

Palaeozoicum
— Europa, Phosphoritführung des alten . BB XV *1*
— karnische Alpen . . 1901 I 93
— Neu-Schottland . . . 01 I 448
— Neu-Seeland . . . . 04 II 90
— New York, Fossilien . 03 II 273
— —, Gliederg. d. älteren 01 II 265
— —, rugose Korallen . 03 I 483
— Nordamerika . . . . 03 I 104
— Ohio, Nomenklatur . 04 II 102
— Paraná, Fossilien . . 01 II 133
— polnisches Mittelgeb. BB XIII *331*
— Russland, Cephalopoden u. Gastropoden d. oberen, Bachmut, Donetz . . . . . 01 I 309
— Südafrika . . . . . 03 I 290
— Tasmanien, mit Eurydesma u. Leiomyalina CBl 1903 *296*
— West-Amerika, Abgrenzung von Mesozoicum . . . . . 03 I 121
Palästina, Phosphate, Asphalt, Asphaltkalk und Petroleum, Vorkommen . . . . 1904 II 237. 425
Palagonit-Formation, glaciale, Island . . 01 II 291
Palagonittuff, Antarkticum . . . . . 1900 II 237
Palasterina, paläozisch . 01 II 324
Palatin, Rom, Geologie 04 II 421
Palechiniden im Carbon, Nordfrankreich . . . 01 I 460
Palechinus Lacazei, Carbon, Rossbergmassiv, Elsass . . . . . 01 II 161
Palladium, Vorkommen 1903 II 319. 323
Pallasit siehe Meteoreisen und Meteoriten.
Pallet, Loire inférieure, Gabbro u. Contact . 01 I 64
Palmoxylon Cavallottii u. Lovisatoi, Oligocän, Sardinien . . . . . 02 II 495
Palo, plioc. u. postplioz. Bryozoen im Macco . 1900 II 318
Palo Duro-bed, Nordamerika, Landsäugethiere 01 II 139
Paloplotherium Cuguenense, Eocän, Robiac 03 II 285
— Depéréti u. Rütimeyeri, eocäne Bohnerze, Chamblon bei Yverdon . . 04 II 305
Paludina Martensi, Melanopsis-Stufe, Egypten 1902 II 107
Paludinenbank
— im Bohrloch von Carolinenhöhe b. Spandau 03 I 135
— Quartär, Norddeutschland . . . . . BB XVI *19*
Pamba-marca-Vulcan, Ecuador . . . . . 03 II 218
Pampas-Formation
— Argentinien . . . . 02 I 433
— Säugethiere . . . . 03 II 292
Panama
— Isthmus, Geol. . . . 1900 I 259
1900 II 269 1901 I 49. 105 02 II 430
— Manganerzlagerstätten 04 II 232
Panaria, Geologie . . . 1900 II 49
Panautomorphe Structur der Eruptivgesteine . CBl 1903 689
Pandschabische Stufe (Rothliegendes), Salt Range, Indien . . . BB XIV *424*
Pannon. Stufe, Ungarn, Foraminiferen . . . 1900 II 99
Panopaea simplex, Quiriquina-Schicht., Chile BB XVIII *263*
— truncata, Paraná-Stufe BB XIV *212*
Pantelleras . . . . . CBl 1903 697
Pantelleritartige Liparitlava, Mayor Island, Neuseeland . . . . CBl 1904 *208*
Pantelleros . . . . . CBl 1903 697
Pantholops hundiensis, Hundes (Tibet) . . . 03 I 347
Pantodonta, Entwicklung 02 I 472
Pantolambda, Verwandtschaft . . . . . 1902 I 473. 477
Pantolambdidae, Entwicklung . . . . . 02 I 477
Paonazzo (Marmor), Carrara . . . . . BB XIX *279*
Papageien, Osteologie . 03 II 438
Papandajan-Vulcan, West-Java . . . . . BB XX *123*
Pappichtys Barroisi, Epernay, Sande mit Unio und Teredo . . . . 02 II 302
Pará, Brasilien
— Devonmollusken . . 01 I 297
— Geologie . . . . . 04 I 420
Paraamphibolgneiss, Schwarzwald . . . . 03 I 232
Paraaugitgneiss, Schwarzwald . . . . . 03 I 231
Parabolina megalops, Cambrium, Schonen . 1900 II 103

Paraboselaphus, Tertiär, China . . . . . CBl 1902 *535*
Paracalamostachys striata = Asterophyllites striatus . . . . . 1904 II 474
Paracamelus gigas, Tert., China . . . . . CBl 1902 *533*
Paraceltites, südalpiner Bellerophonkalk . . CBl 1901 *437*
Paracerithium acanthocolpum. Chartroni loxocolpum u. Moorei, Infralias, Vendée . . 04 II 114
Paracyathus alternatus, bellus, cylindricus, granulosus und rugosus, Palaeogen. Nordamerika . . . . . 04 I 468
— marylandicus, Eocän, Maryland . . . . . 03 II 301
— Vaughani, Miocän, Californien . . . . 01 II 327
Paradaphaenus transversus, Tertiär, Nordamerika . . . . . 02 I 136
Paradoxides Choffati, Cambrium, Portugal 04 II 471
Paradoxides-Dorypyge-Fauna, Cambrium, Kennebecasis-Valley, Canada . . . . . 1900 I 111
Paradoxides-Schicht, Schweden, Profile . 03 I 545
Paraëpanorthus, Pyrotherium-Schichten, Argentinien . . . . 1900 II 304
Paragenesis der körn. Kalke und Dolomite BB XIX *312*
Paragneiss, Kordofan . BB XVII *455*
Parahoplites Abichi, aschiltaensis, Melchioris, multispinatus, Sjögreni u. Uhligi, ob. Kreide, Kaukasus . . 01 I 471
— Martini var. Gottschei, Aptien, Südafrika . CBl 1902 *465*
Paralaurionit = Rafaelit, Laurion . . . . . 1901 I 14. 15
Paralecanites, südalpiner Bellerophonkalk . . CBl 1901 *437*
Parallelodon Chartroni, Infralias, Vendée . . 04 II 430
Parallelstructur i. Quarzporphyr, Thal . . . 01 II 224
Paramagnetismus reg. u. hex. Krystalle . . . 03 II 167
Parameter der Krystallphysik . . . . . 1903 II 6
Paramorphosen
— Markasit nach Schwefelkies, Danilowo . . 01 II 174
— Schwefel, Kertsch . . 02 II 364
— siehe auch Pseudomorphosen.
Paraña, palaeoz. Fossilien 01 II 133
Paraña-Fluss, Meteoreisen . . . . . 1900 I 353
Paraña-Formation, Argentinien, Fische . . . 04 I 143
Paraná-Stufe
— Argentinien, Mollusken und Alter . . . BB XIV *171*
— Patagonien, Alter 1904 II 139 CBl 1901 *111*
Paranautilus, Hallstätter Kalk . . . . . 03 I 313
Parasmilia flabelliformis, Priabona-Schichten . 04 I 283
— ludoviciana, Palaeogen, Nordamerika . . . . 04 I 468
Parastrapotherium, Pyrotherium-Schichten, Argentinien . . . . 1900 II 301
Parastylops coelodus, Pyrotherium-Schichten, Argentinien . . 1900 II 304
Paratapirus, Oligocän, Pyrimont u. Challonges 04 I 444
Paratrochus marginenodosus (Tectus?), Esino u. Marmolata . . . 02 I 142
Paratype . . . . . 1900 II 485
Pareiosaurus, nördliche Dwina . . . . . CBl 1901 214
Parhybodus . . . . . 1900 II 471
Paris, Congrès géologique international 1900 . CBl 1900 *241*
Pariser Becken
— granitische Sande . CBl 1902 604
— Mitteleocän . . . . 1900 I 131
— Montien, Fische . . 02 II 303
— Oligocän und Miocän im südlichen . . . . 02 I 119
— Oxfordien und Rauracien im S. u. SW. 1900 I 281
Pariser Gyps, Fische . . 02 II 301
Parisit
— Analyse und Polychroismus . . . . . 04 II 344
— Grönland . . . . . 1900 I 348
— Narsarsuk, Südgrönland, im Syenit, Kryst. 02 I 20

Parisit, Ravalli Co., Montana, chem. u. Vorkommen . . . . . 1901 I 17
Parkinsonia Parkinsoni var. radiata, Daghestan 04 II 77
Parma
— Apennin (Emilia), Erdbeben 4. u. 5. März 1899 01 I 214
— pliocäne Fische . . . 1900 I 466
Parodoceras, poln. Mittelgebirge, Oberdevon . BB XIII 346
Parsonia patagonica, patag. Formation . . 02 I 295
Parvivenus, Tertiär, Piemont und Ligurien . 02 II 309
Pasceolus = Cyclocrinus, Silur . . . . . 02 II 156
Pas-de-Calais, Ober-Silur 01 I 271
Paso del Arco, Grenze zwischen Argentinien und Chile, Geologie . 1900 I 434
Passagem, Minas Geraës, Au-führender kiesiger Quarzlagergang . . 1900 I 242
Passau, Kaolinlager . . BB XV 286
Passauit . . . . . BB XV 256
Patagonien
— Ausgrabungen fossiler Wirbelthiere durch Franzosen . . . . . CBl 1903 85
— Geologie 1900 I 225 04 II 427
— — d. östlichen . . . 1900 II 442
— geol. Karte d. südlichsten . . . . . 01 I 92
— Glossotherium-Höhle 01 II 309
— Invertebraten d. patagon. Formation u. d. Tertiärs . . . . . 03 II 396
— Kreidefossilien d. südlichen . . . . . CBl 1904 597
— Kreide- und Tertiär-Mollusken . . . . . 04 II 288
— marine Kreideinvertebraten . . . . . 02 II 434
— mesoz. Säugethiere . 01 II 469
— Paraňá-Stufe, Alter 1904 II 139 CBl 1901 111
— patag. Formation . . 02 I 295
— patag. Stufe . . . . 1900 I 101 1900 II 428 03 II 396
— Phororhacos inflatus 1900 II 467
— Sedimentärformationen des östlichen . . . . 1900 I 100
— — (Jura etc.) d. südl. 1900 II 425
— Tertiär . . 1900 II 296. 428. 441 1904 II 122. 139
Patagonien, Ultima Esperanza-Höhle, Grypotherium domesticum 1901 II 309
— siehe auch Argentinien.
Patagonische Formation
— Argentinien, Säugethiere . . . . . 1900 II 296
— Patagonien, östliches 1900 I 101
— —, südliches . . . . 1900 II 428
— —, —, Wirbellose u. Alter . . . . . 03 II 396
Patagonische Stufe, Argentinien . . . 1900 I 103. 225
Patella Bourdoti, Eocän, Loire inférieure . . 03 I 128
— facilis, Egypten, Eocän 04 II 459
— striatissima, Untersenon, Braunschweig und Ilsede . . . . . 02 I 128
Patellidensandstein, Tert., Egypten . . . . . 01 II 164
Patellina aegyptiensis, Eocän, Egypten 1901 II 164 CBl 1901 475
Patriarchus . . . . . 1900 II 458
Patriofelis . . . . . 03 I 561
— und P. felix, Eocän, Marsh Collection . . 04 I 456
Pattalophyllia Gnatae u. Leymeriei, Tertiär, Südwestfrankreich resp. Vicentin . . . 02 II 153
Paucituberculata (diprotodonta), Pyrotherium-Schichten, Argentin. 1900 II 304
Pawlograd, Russland, Geologie . . . . . 02 II 105
Paxos, Insel im jonischen Meer, Geologie . . . 03 I 480
— u. Antipaxos, Geologie 03 I 276
Pays de Bray, Tertiär . 1900 II 124
Pechstein
— Dampfdruck . . . . 1900 I 335
— Quarzporphyrit-, Erbendorf, Oberpfalz . CBl 1904 581
Pecopteris, Rothliegendes, Chemnitz . . . 02 II 492
— aquilina, longifolia, Pluckenetti u. Regina, Rothliegendes, Ilfeld (Harz) . . . . . CBl 1901 590 ff.
— Armasi, Carbon, Kleinasien . . . . . 1902 I 497. 500
— esnostensis (Asterotheca), Kohlenbecken, Autun und Epinac . 02 II 165

Pecopteris Jenneyi und pseudovestita, lower coal measures, Missouri . . . . . 1901 II 490
— oreopteridia, Rothliegendes, Ilfeld . . CBl 1901 *420*
— pilosa, Carbon, Zwickau 03 II 459
Pecten-Arten, Neogen, Egypten BB XVII *163* CBl 1900 *209*
Pecten, tert., Dimorphismus . . . . . 1900 II 132
— aduncus, Pianchina, Livorno, Pliocän . . 01 II 482
— —, Rosignano, Toscana, Neogen . . . 01 II 320
— —, concavus, cristatocostatus, Fraasi, Josslingi, pharaoni, pseudoBeudanti, revolutus Schweinfurthi u. Ziziniae, Egypten und Syrien, Miocän . . . BB XVII *167*
— amuricus, sichoticus, ussuricus, Trias, Süd-Ussuri-Gebiet . . . 1900 II 434
— andium, Bajocien, Espinazito-Pass, Argentinien . . . . . 1900 II 116
— araucanus, delicatus, granulatus, Larenasi und pencanus, Quiriquina-Schicht., Chile BB XVIII *224*
— argentinus, octoplicatus und pueyrrydonensis, Kreide, Patagonien . . . . . 02 II 435
— arlesiensis, britannicus, dubriensis, gaultinus, pexatus, sarumensis, Kreide, England . . . . . 03 II 299
— Barthi, Senon, Biewende b. Wolfenbüttel 01 II 297
— bassanensis (Janira) u. Balestrai, Bassano, Venetien, mioc. Schio-Schichten . . . . . 03 I 168
— benedictus, erythraensis, jacobaeus und Vasseli, Pliocän, Egypten u. Syrien . . . BB XVII *176*
— Besseri, Miocän . . 01 II 130
— Canavarii, Beudanti var. varilamellosa u. Hörnesi, Miocän, Mittelitalien . . . . . 01 II 320
Pecten castellorum, Gardinalei, Rossii u. tela, Priabona-Schichten . 1904 I 283
— chilensis, Quiriquina-Schichten, Chile . BB XVIII *225*
— concava, Fourtaui, Schweinfurthi, sub-Malvinae u. Ziziniae, Miocän, Egypten . . 02 I 428
— concentrice-sulcatus, Untersenon, Braunschweig u. Ilsede . . 02 I 128
— corzenensis, Esinokalk, Presolana . . 03 I 477
— costifidus, unt. Trias, Val di Liana . . . . 1900 II 314
— cristatocostatus var. Newtoni, Fraasi und Schweinfurthi (Janira), Neogen, Egypten . . . . . CBl 1900 *211*
— Darwinianus, oblongus und paranensis, Paraná-Stufe . . . . BB XIV *190*
— De-Angelisi, Nummulitenkalk, Subiaco . 01 II 320
— De Giorgii, Cenoman, Lequile b. Lecce . . 03 I 281
— Dendyi, Miocän, Chatham-Inseln (Neuseeland) . . . . . 04 II 473
— denudatus, Ungarn, Tertiär . . . . . 03 I 168
— dienvillensis, Unter-Dogger, Lothringen 1900 II 283
— discites var. microtis, Trias, Süd-Ussuri-Gebiet . . . . . 1900 II 434
— discors, Chile, unt. Kreide . . . . . BB XI[illegible]
— Di Stefanoi, Turon od. Senon, Murga . . [illegible]
— Estheris u. subclavatus Pliocän, Viterbo u. Tiberthal . . . [illegible]
— fenestratus. Kreide Dänemark . . . [illegible]
— Harneckeri Lias [illegible]
— hungaricus [illegible] Bakonywald
— interstriatus [illegible] Gajina [illegible]
— Mayer-[illegible] Kreide [illegible]
— [illegible] laras [illegible]

Pecten Ponzii, Pliocän, Civitavecchia . . . . 1901 II 320
— silanus, Zone d. Lioceras opalinum, Rossano in Calabrien . . 1900 II 453
— subnumidus, Neogen, Egypten . . . . . CBl 1900 *211*
— Telleri, Tert., Reit im Winkel . . . . . 03 II 420
— trettensis, Spitzkalk, Recoaro u. Schio . . 1900 I 274
— vigolenensis, Neogen, Vigoleno . . . . . 02 I 295
— Werthi, Tert., Ostafrica . . . . . 02 II 264
Pecten-(Vola)-Arten d. egypt. u. syr. Neogens BB XVII *163* CBl 1900 *209*
Pectinarca pectinata, Tert., Piemont und Ligurien . . . . . 02 II 309
Pectiniden
— Eintheilung . . . . 03 I 537
— Stammesgeschichte . 02 I 316
— Egypten BB XVII *163* CBl 1900 *209*
— England, Kreide . . 03 II 298
— Italien, Tertiär . . 1901 II 319 ff.
— Rossano-Calabria, Miocän . . . . . 01 II 482
Pectinidenkalk, Subiaco 01 II 320
Pectunculus euglyphus, Kreide, England . . 01 II 154
— glycimeris und insubricus, Plioc., Italien 01 II 482
— minutus u. symmetricus, Paraná-Stufe . . BB XIV *198*
— subalpinus, Tert., Reit im Winkel . . . . . 03 II 420
— sublenticularis, Kreide, Dänemark . . . . . 02 II 434
— Vaughani, Kreide, Blackdown . . . . . 04 II 472
Peest, geol. Karte, Flachl. 1900 II 411
Pegmatit
— Buri und Dissei-Insel (Erythraea), Mikroklin 04 II 402
— Grönland, Mineralien 1900 I 346
— Kordofan . . . . BB XVII *393*
— Massachusetts . . . 1900 II 89
— Orteler Alpen . . . 04 II 208
— Sondalo, Veltlin, Mineralien 1900 II 360 02 I 358
— StoneMountain, Georgia 04 II 402
— Stripåsen, Westmanland, Albit-, mineralführend . . . . . 04 I 390
Pegmatit
— südruss. kryst. Plateau 1900 II 96
— Veltlin, Mineralien 1900 II 360 02 I 358
Pegmatitische Verwachsung, Entstehung . . 04 I 74
Pegu-Division, Miocän, Birma . . . . . 02 II 122
Pehuenia Wehrlii, Tertiär, La Plata . . . 03 II 293
Pektolith
— Constitution . . . . 01 I 25
— Einwirkung von Salmiak . 1901 II 339 04 II 6
— Bergen Hill, Kryst. . 02 II 32
— Golden Gate, Cal., im Serpentin . . . . 03 II 35
Pelagosit, Termiti-Inseln 02 II 189
Pelecypoden
— Morphologie 1903 II 300 BB XV *394*
— mitteloligocän (Tongrien), Ligurien . . 1900 II 482
Pelecypodenschale, Stellung u. Terminologie BB XV *419*
Pelecypodenschloss, Morphologie . . . . . BB XIII *140*
Pelecypodenzonen, Trias, Nordamerika . . . . CBl 1902 *689*
— siehe auch Muscheln, Conchiferen etc.
Pelitgneiss, Schwarzwald 01 I 58
Pelmatozoen
— neue Klasse d. Carpoideen . . . . . 03 I 533
— Stammesgeschichte . 01 I 316
Peloponnes, Geologie . . CBl 1904 *257*
Peltastes Remesi, Tithon, Nesseldorf (Mähren) . 03 II 454
Peltateloidea, Pyrotherium-Schichten, Argentinien . . . . . 1900 II 305
Peltephilus depressus, protervus u. undulatus, Pyrotherium-Schichten, Argent. . 1900 II 305
Peltoceras subannulare, Kelloway, rumän. Südkarpathen . . . . . 1900 II 294
Peltoceras transversarium-Schichten, Trept (Isère), Ammoniten . 1900 II 150
Pelycodus frugivorus, Jarrovii u. tutus etc. 04 I 292
Pelycosauria . . . . . 04 I 140
Pelycosaurier, deutsch. Muschelkalk . . . . BB XX *321*

Pendelbeobachtungen, Bayern . . . . . 1901 I 380
Pendisetta, Euganeen, Mineralien . . . . . 01 II 361
Pennin
— chemisch . . . . . CBl 1901 *631*
— optisch . . . . . 03 I 28
— Bogoslowsk'sches Bergrevier, Ural . . . . 1900 I 344
Pensa, Geologie . . . . 02 I 258
Pentacrinus Legeri, ob. Aptien, Maïre b. Marseille . . . . . 01 I 468
— personatus, Dogger Luxemburg . . . . CBl 1901 *407*
— subangularis der Tübinger Sammlung . . CBl 1904 *682*
— zeltbergensis, Cenoman, Lüneburg . . . 03 II 274
Pentadactylus rhombiformis, Tertiär, Java 1900 II 289
Pentamerus rhenanus, Greifenstein u. Kellerwald, Alter . . . . 02 II 265
— —, SO.-Rand d. rhein. Schiefergebirgs . . . 04 I 97
Pentamerus-Quarzit, Nassau, Devon . . . 02 II 265
Pentatoma Boettgeri u. Kinkelini, Salzhausen, mioc. Braunkohle . . 04 I 311
Pentlandit, Sudbury, Can. 04 II 364
Peperin
— Cimin. Geb. (Viterbo) 1904 II 216. 217
— Mittelitalien . . . . 1900 II 218
Peralkalische Eruptivgesteine . . . . . CBl 1903 685
Perameles, rudimentäre Placenta . . . . . CBl 1901 26
Peratherium titanelix., Titanotherium-Schicht, Montana . . . . . 04 II 460
Percalcische Eruptivgesteine . . . . . CBl 1903 685
Percé-Insel, (Canada), Geologie . . . . . 04 II 428
Percichthys antiquus. Tertiär, Taubaté, S. Paulo, Brasilien . . . . . 01 II 149
Pereiros-Schichten, Jura, Portugal . . . . . 02 I 468
Peressip von Kujalnik-Hadshibey, Geologie 02 II 397
Perfelische Eruptivgesteine . . . . . CBl 1903 684
Perfemanische Eruptivgesteine . . . . . CBl 1903 680
Perferrische Eruptivgesteine . . . . . CBl 1903 686
Pergamon, Erdbeben, 16. April 1896, Fortpflanzungsgeschwindigkeit . . . . . 1900 II 375
Perhaemische Eruptivgesteine . . . . . CBl 1903 685
Periaster Fourtaui, Nummulitenschichten, Egypten . . . . . 01 II 484
Pericosmus Mariani und Paronai, Tertiär, Piemont . . . . . 01 II 485
— pedemontanus, pietra de Cantoni, Monferrato 02 I 465
Peridot siehe Olivin.
Peridotit
— Pfahlbauten . . . . BB XVI *166*
— Bosnien . . . . . CBl 1900 *219*
— Griechenland, nördl., u. türk. Grenzländer BB XVIII *11. 26*
— Gross-Seran, Molukken CBl 1901 *325*
— Ladakh, Himalaja . 03 I 79
— Lofoten u. Vesteraalen, Norwegen . . . . . 1900 I 384
— Maisur, Indien, verwittert . . . . . 03 I 78
— Massachusetts, Pyroxen-Biotit- . . . . . 1900 II 90
— Michigan, feldspathführende Variationen 1900 I 74
— Molukken CBl 1901 *325* CBl 1902 *2*
— Nordcarolina, mit Korund . . . . . 1900 I 8
— Pyrenäen, Analyse des Bronzit-Hornblende- 01 II 233
— südafrikan. Diamantlagerstätten . . . . 1900 I 2
— Syracuse, N. Y., in Gangform . . . . . 04 I 394
— Tirol . . . . . 1900 II 392
— —, Pyroxen- . . . . . 1900 II 392
— — Ultenthaler Alpen, südl. vom Faltschauer 04 I 62
— siehe auch Olivinfels und Olivingestein.
Peridotitische Ergussgesteine, Massailand, Ostafrika . . . . . 03 I 80
Periklas, Serpentin pseudomorph nach P. . . BB XVI *366*

Periklas, verwachsen mit Serpentin . . . . . BB XVI *366*
Periklin
— Binnenthal . . . . . 1904 I 32
— Kramkogel, Ranzio . 1900 II 191
— Weidalpe, Salzburg, opt. Constanten . . 1900 II 188
Periklingesetz, mikrosk. Bestimmung . . . . 1900 II 192
Periklinzwillinge, opt. Verhalten . . . . . 02 II 193
Perim-Insel, Geologie . 04 II 53
Perimorphose, partielle, am Kalkspath . . . CBl 1900 *113*
Periphragnis Harmeri, patagon. Schichten, Patagonien . . . . 01 II 471
Periptychidae
— Argentinien, Pyrotherium-Schichten . . 1900 II 300
— Puerco . . . . . 1900 I 304
Periptychinae, Puerco . 1900 I 304
Periptychus, Puerco . . 1900 I 304
Perisphinctes, Monographie . . . . . 1900 II 309
— beltranensis, choicensis u. crinoides, Jura, argent.-chilen. Cordill. 04 II 88
— bernensis, Kobyi, Matheyi, mirandus, Möschi, Noetlingi, Picteti, Sarasini und subfunatus, Renggeri-Schichten, Berner Jura 1900 I 316
— billodensis, Bonjouri, Girardoti, ledonicus, Mairei u. montrivelensis, Zone des Amm. Renggeri, Lons-le-Saunier . . . . . 02 I 293
— Choffati, Depereti, Elisabethae, Idelettae, Kiliani, Luciae, Richei u. Sayni, Transversarius-Schichten, Trept (Isère) . . . . 1900 II 151
— Elisabethae, Jura, Deutsch-Ostafrika . 01 II 294
— episcopalis, montaneyensis, Montfolconensis, paturaltensis, Rollieri u. Thurmanni, ob. Oxford, bern. Jura 03 I 322
— Guliensis, Schäferi u. Wysógorskii, Jura, Daghestan . . . . . 04 II *78*
Perisphinctes Hikii, Kaizaranus, Kochibei u. Matsushimai, Jura, Japan . . . . . 1904 II 325
— pseudoeuryptychus, Callovien, Espinazito-Pass, Argentinien . 1900 II 117
— Taramellii, Jura, Lombardei . . . . . 01 I 142
— tardivus, tenuissimus, faunus, bajocensis . 1900 II 311
Perissodactylen, Gebiss . 01 I 154
Perissolax Hombroniana, Quiriquina-Schichten, Chile . . . . . BB XVIII *213*
Perlenische Eruptivgest. CBl 1903 684
Perlit im Eisen . . . . 01 II 11
— Ecuador . . . . . 03 II 224
Perlmutterschicht d. Molluskenschalen . . . 03 I 163
Perm
— in der Lethaea geognostica . . . . . 04 II 102
— Australien, Glacialbildung . . . 1900 II 107. 110
— Autun und Epinac, Flora . . . . . 02 II 164
— Bellongue, Ariège . CBl 1902 249
— Chemnitz-Hilbersdorf, Gruppe foss. Araucaritenstämme u. Verkieselungsprocess . . 02 II 491
— Deutschland, florist. Gliederung . . . . . 02 I 322
— —, Foraminiferen d. Zechsteins . . . . . 1900 II 163
— —, Fussfährten im Rothliegenden . . . 02 I 308
— Durham, Mg-haltiger Kalkstein . . . . . 04 I 393
— Fulwell-Sunderland, cellulare Kalke . . . CBl 1901 664
— Graubünden . . . . CBl 1902 115
— Ilfeld, Pflanzen des Rothliegenden CBl 1901 *417. 590*
— Indien, Grenze gegen Trias im ostindischen Faunengebiet . . . . CBl 1900 *1*
— —, Medlicottia und Episageceras . . . . BB XIX *334*
— —, Otoceras-Schichten, s. Otoceras-Schichten.
— Kellerwald, Zechstein 03 I 470
— Lodève, Farne . . . 04 I 157
— Mellrichstadt, Bayern, im Bohrloch . . . . 02 I 264

Perm
— Orange River, Grundmoräne . . . . . 1903 II 261
— Pará, Brasilien . . . 04 I 422
— Région des Maures et de l'Estoul . . . . 02 I 114
— Sachsen (Prov.), jüng. Steinkohlengebiet u. Rothliegendes . . . 04 I 470
— Saltrange, Glacial CBl 1903 *45. 72. 97. 625*
— siehe auch Saltrange u. Otoceras-Schichten.
— —, Verh. von Productuskalk zu Ceratitenschichten . . . . . CBl 1904 *321*
— —, Pandschabische Stufe (Rothliegendes) BB XIV *424. 431*
— siehe auch Permotrias.
— Schlesien, böhmische Grenze . . . . . CBl 1900 *337*
— Schwarzwald, Rothliegendes der Achen- und Murgquelle . . 04 I 387
— Südafrika . . . . . 1900 I *119*
— Transvaal, glacialer Ursprung d. Dwykaconglomerats . . . . 01 II 274
— Uggowitzer Breccie und Verrucano . . . 02 I 261
— Vicentin . . . . . 01 II 100
— Zwickau, palaeontol. Charakter . . . . . 03 II 454
— siehe auch Permocarbon, Permotrias, Zechstein, Rothliegendes.
Permagnesische Eruptivgesteine . . . . . CBl 1903 686
Permirische Eruptivgest. CBl 1903 686
Permirlische Eruptivgest. CBl 1903 686
Permocarbon
— Alpen . . . . . 02 I 261
— Bacchus Marsh, n. w. Adelaide . . . . 1900 II 108. 109
— Bachmut, Donetz, Cephalopoden und Gastropoden . . . . 01 I 309
— Bäreninsel . . . . . 01 II 259
— Donetzbecken u. Samara 02 I 106
— Neuseeland . . . . 04 II 91
— Pilsen, Korallen . . CBl 1901 503
— Saltrange, siehe Perm.
— Tschititschun, Tibet, Fauna d. unteren . 01 I 275
— siehe auch Perm.
Permotrias, Francis b. Johannesburg, Transvaal 1902 I 496
Permotriassische Schichtenfolge, Saltrange, Ostindien . . . . . BB XIV *416*
— siehe auch Saltrange.
Perna Kobyi, ob. Oxford, Berner Jura . . . . 03 I 323
— militaris, Neocom, argent.-chilen. Cordillere . . . . . 04 II 88
Perolische Eruptivgesteine . . . . . CBl 1903 685
Peroniceras amakusense, ob. Kreide, Hokkaido, Japan . 1902 II 485 04 I 148
Peronidella, Trias, Bakony 02 I 492
Perowskit
— verwachsen m. Titaneisen . . . . . BB XVI *351*
— Emarese (Val d'Aosta), im Amiant . . . . . 02 I 339
— Monzoni (Contactmineral) . . . . . CBl 1901 *678*
— Tschuwasch-Berg b. Slatoust, grosse Kryst. 01 II 179
— Valle di Susa, im Serpentin . . . . . 01 II 16
Perpolische Eruptivgest. CBl 1903 685
Perpottassische Eruptivgesteine . . . . . CBl 1903 685
Perpyrische Eruptivgest. CBl 1903 685
Perquarische Eruptivgest. CBl 1903 684
Persalanische Eruptivgesteine . . . . . CBl 1903 680
Persberg, Wermland, Eisenerze . . . . . 01 I 432
Persien
— nutzb. Lagerstätten 01 I 250
— östl. u. Beludschistan, Wüste, Geologie . . 02 II 110
Persodische Eruptivgest. CBl 1903 685
Persoonia propinqua, Tert., Bungonia, Austr. 04 I 157
Perthit . . . . . BB XVI *435*
— Band-, Rapakiwi, südl. Russland . . . . . 04 I 71
Perthitfeldspäthe . . . 04 I 350
Pertilische Eruptivgest. CBl 1903 685
Peru
— Kreide . . . . . BB XVII *260*
— —, Versteinerungen . 01 I 141
Perugia, Eocän . . . . 01 II 128
Pessac, Tertiär . . . . 1900 I 291
Pesth, Sammlungen des Nationalmuseums . . CBl 1902 666

Petalodontia Felixi, Coalcoman, Mexico . . . 1900 II 480
Petalograptus . . . . . 01 I 334
Petersdorfer Sand, Schles., mit Elephas trogontherii . . . . . CBl 1902 *55*
Petrefacten siehe Versteinerungen.
Petrisco, Cimin. Gebirge (Viterbo) . . 1904 II 216. 217
Petrogenetische Fragen . CBl 1902 *545*
— Studien . . . . . BB XIX *152*
Petrographie
— Congrès géologique international, Paris 1900 C Bl 1900 *249*
— Entwicklung d. modernen 1903 II 58 CBl 1901 346
— experimentelle . . . 03 II *20* CBl 1901 633 BB XVII *498*
— Ideen, Entwicklung 1903 II 58 CBl 1901 346
— Nomenclatur d. losen Bodengesteine, Schwed. 04 I 377
— Rechentabelle . . . CBl 1903 *737*
— Systematik 1902 I 212. 227. 389 CBl 1903 677
Petroleum
— Entstehung . . . . 1900 II 79
— appalachisches Oelfeld 04 II 81
— Birma . . . . . 02 II 250
— Egypten u. Palästina. Vorkommen . . 1904 II 237. 425
— Sosmezö, Comitat Háromszek . . . . 03 II 245
— Texas . . . . . 03 II 391
— Tramutola (Potenza), Unter-Italien . . . . 04 II 81
— siehe auch Erdöl, Naphtha etc.
Petroleumlager, europ. Türkei . 1904 II 80 CBl 1902 247
Petromartus indistinctus, Carbon. Illinois . . 04 I 311
Petschora, Carbonflora . 02 I 500
Pettau u. Vinica, geolog. Karte . . . . . 1900 II 264
Petzit
— Californien, Analyse . 01 I 184
— Cripple Creek, Colorado, Analyse . . . 01 II 346
— Westaustralien 1904 I 9 CBl 1901 *201*
Peucedanites Lommeli, Oberpliocän, Frankfurt a. M. . . . . 01 II 283
Pexidella Kittlii, Muschelkalk, Trebevic, Bosn. 04 I 116
Pfahlbauten
— Glastonbury, Somerset, Vögel u. Säugethiere . . . . . 1901 I 155
— Schweiz, Steinwerkzeuge u. Rohmaterial BB XVI *166. 20. 133*
Pfahlschiefer, bayr. Wald CBl 1903 *186*
Pfeilerschüsse, Braunkohlengrube, Hausham, Oberbayern . . 01 II 445
Pferde
— Entwickelung des Stamms . . . . . 04 II 462
— Algerien, zebraähnliche . . . . . 02 II 459
— Nordamerika, Zahnbau u. Revision der Spezies . . . . . 04 I 122
— Vindonissa u. Siggenthal . . . . . 03 I 149
Pflanzen, fossile . . . . CBl 1900 195
— —, Entwickelung . . 02 II *97*
— leitende der paläoz. Steinkohlenablagerungen Mitteleuropas . CBl 1900 25
— palaeozoische, Beurtheilung der Zweckmässigkeit . . . . . 03 I *42*
— —, im Lichte d. physiolog. Anatomie . . 02 I *99*
— Autun und Epinac, Carbon . . . . . 04 II 164
— Bäreninsel, Devon . 04 II 474
— Böhmen, Kreide, Chlomeker Schichten . . 01 I 528
— böhm. Mittelgebirge, im Polirschiefer . . 1900 II 328
— Bornholm, Rhät . . 01 I 103
— Bremer Schlachthof, Moorproben der Tiefbohrung . . . . . 01 I 169
— Chemnitz, Rothliegendes, Araucaritenholz und Verkieselungsprocess . . . . . 02 II 491
— Gaubert-Quelle, Dordogne, im Tuff . . . 1900 II 490
— Ilfeld, Rothliegendes CBl 1901 *417. 590*
— Ostasien . . . . . 1900 II 94
— Rumänien . . . . . 1900 II 490
— Sardinien, jurass. Sandstein des östl. . BB XIX *149*
— siehe auch Phanerogamen etc.

Pflanzenablagerungen, interglaciale, Norddeutschland . . 1901 I 289. 290
Pflanzencuticulen, tingirt CBl 1901 503
PflanzendeckeMitteleuropas nördl. d. Alpen, Entwickelung der Phanerogamen . . . 1904 I 279
Pflanzenführ. mitteljurass. Sandstein, Ostsardinien . . . . . BB XX *149*
Pflanzenpalaeontologie . CBl 1900 195
Pflanzenreste (?) in Kohle und Anthrazit . . . 1900 I 240
Pfundererberg b. Klausen, Südtirol, Erzlagerstätte . . . . . 04 II 239
Phacops arbuteus, devon. Bokkeveld beds, Südafrika . . . . . 04 II 323
Phaenodesmia, St. Cassian 02 II 488
— Beneckei, Sturia-Kalk, Recoaro u. Schio . . 1900 II 434
Phakolith
— Richmond, Dampfspannung . . . . . 1900 I 334
— Rom . . . . . 02 II *93*
PhalacrocidarisGauthieri, Eocän, Barcelona . . 03 I 530
Phanerische Eruptivgesteine . . . . . CBl 1903 689
PhaneriteEruptivgesteine CBl 1903 694
Phanerogame Pflanzendecke Mitteleuropas nördl. d. Alpen, Entwickelung . . . . . 04 I 279
Phanerogamen
— halophile, Verbreitung nördlich der Alpen . . . . . 04 I 439
— Verbreitung im Saalebezirk und Beziehung zu den Mansfelder Seen . . . . . 04 I 440
Phaneroptyxis Chaperi, Colloti, Douvillei, mumia und proboscidea, Jura, Frankreich . . 1900 II 154
Phantomkrystalle (Quarz), Nordamerika . . . . 01 I 33
Pharmakolith
— isom. mit Gyps . . . CBl 1901 507
— künstlich 1904 I 363 04 II 187
Pharmakosiderit, Cornwall, Analyse . . . 01 I 201
Pharostoma u. Euloma . 1900 I *135*
Pharsophorus tenuis, mitis, tenax u. lacerans, Pyrotherium-Schichten, Argentinien . . 1900 II 305
Phasenlehre . . . . . CBl 1901 150
— und die heterogenen Gleichgewichte . . . CBl 1901 664
Phasenregel
— Anwendung auf Legirungen u. Gesteine 01 II 256
— Anwendung auf die Schmelzp. von Cu, Ag und Au . . . . . 03 II 318
Phasianella Bonneti u. infracallosa, Eocän, Loire inférieure . . 03 I 127
Phellomycetes dubius, Kohlenbecken, Autun u. Epinac . . . . . 02 II 168
Phenacodontidae, Pyrotherium-Schichten, Argentinien . . . . . 1900 II 300
— Puerco . . . . . 1900 I 304
Phenacodus, Puerco 1900 I 304. 305
— primaevus, Skelett, verglichen mit Euprotogonia . . . . . 02 I 300
Phenakit
— Greenwood, Me, Pseudom. nach Ph. . . . 01 I 37
— Kragerö . . . . . 1900 I 188
— Ural, Polychroismus 04 II 343
Philhedra Schwerdi, Untercoblenz, Oberstadtfeld i. Eifel . . . . 03 I 528
Philine chilensis, Quiriquina-Schichten, Chile BB XVIII *222*
Philippinen
— Geologie . . . . . 03 I 423
— Orbitoides . . . . . CBl 1901 *326*
Phillipsia cracoensis, Untercarbon, Yorkshire 01 I 510
— silesiaca, Untercarbon, Schlesien . . . . . 03 I 336
— spatulata, Culm, Barnstaple . . . . . 04 II 149
Phillipsit
— Dampfspannung . . 1900 I 335
— böhm. Mittelgeb. . . 04 I 175
— Rom . . . . . 02 II *65*
Philipstadit, Definition u. Aetzfiguren . . . . 1900 II 341
Philipstad-Subtypus, Aetzfiguren der Hornblende 1900 II 339
Phiomia serridens, Eocän, Egypten 1903 I 565 04 I 136

Phlaocyon, leucosteus, Tert., Nordamerika . 1902 I 138
Phlegräische Felder
— Astroni-Krater . . . 03 I 43
— Misenum, Schwefelgrotte . . . . . 03 I 252
— vulcan. Thätigkeit . CBl 1904 313
Phlogopit
— Einwirkung von Salmiak . . . . . 03 I 396
— Ceylon, im Dolomit . 02 I 192
— Cichow, Mähren, im Urkalk . . . . . 03 I 200
— siehe auch Glimmer etc.
Phlyctenodus Hantkeni und Krenneri, ungar. Eocän . . . . . 1900 II 474
Phoberotherium . . . . 1900 II 458
Phoca vindobonensis, Nussdorf b. Wien . . 1900 II 459
Phocaena, Boldérien, Antwerpen . . . . . 03 I 540
Phoebodus dens-neptuni, Carbon, Mississippithal 04 I 142
— Knigthianus, Perm, Kansas u. Nebraska 04 I 141
Pholadomya clausa, Kreide, Schonen . . 01 I 281
— cuneiformis, Jura, Schoa . . . . . 1900 I 439
— ebaensis, Kreide, Südaustralien . . . . . 04 I 119
— elegans, Amaltheenthon, Reutlingen . . 1900 II 113
— Fuchsi, mediterran. Tiefseebildungen . . 1900 II 482
— inaequiplicata, Jura, Yellowstone National Park . . . . . 02 I 129
— Ragazzii, Jura, Schoa 1900 I 439
Pholas ornata, Paraná-Stufe . . . . . BB XIV *213*
Pholidocidaris, Untercarbon, Rossbergmassiv, Elsass . . . . . 1901 II 159. 161
Phonolith
— Böhmen, Contactmetamorphose am Kreidemergel, im nördlichen CBl 1901 503
— —, Brüxer Schlossberg, Schmelzversuche 01 II *155*
— —, Rongstock-Bodenbach . . . . . 1900 II 81
— —, Spitzberg . . . . 03 I 242
— Britisch Ostafrika . 04 II 56
— Hegau . . . . . 01 II 224
Phonolith
— Hessen, chemisch . . 1903 II *40*
— Judith Mts., Mont. . 1900 I 408
— Kenya, Ostafrika . . 02 I 233
— Kola-Halbinsel . . . 02 II 377
— Kordofan . . . . . BB XVII *394*
— Massailand, Ostafrika 03 I 80
— Possession-Insel . . 1900 II 237
Phonolithische Gesteine, St. Helena u. Ascension, vergl. mit Abessynien etc. . . . . CBl 1903 25
Phonolithtuff, Kola . . 02 II 386
Phororhacos inflatus, Patagonien, Schädel u. Skelett . . . . . 1900 II 467
Phosgenit
— Colorado . . . . . 04 II 197
— Laurion . . . . . 01 I 14
Phosphate
— Bokuwka-Berg, Gouv. Kielce . . . . . 01 II 199
— Clipperton-Atoll, Thonerde-, Südsee . . . 1900 I 239
— Frankreich, Ausbeutung . . . . . CBl 1902 249
— Palästina u. Egypten 1904 II 237. 425
— Pyrenäen, schwarze . 01 II 73
— Tennesee, Thoriumhaltig . . . . . 1900 II 31
— —, weisse . . . . . 03 II 27
Phosphatlager
— Arkansas . . . . . 04 I 401
— Dakhla-Oase . . . . 02 II 109
— Egypten . . . . . 01 II 429
— siehe auch Phosphorit u. Phosphoritlager.
Phosphor
— freier im Meteoriten von Saline Township 04 I 190
— heterom. Modification 1900 II 346
— rother . . . . . 03 I 10
Phosphoreisen, Kryst. . 04 II 12
Phosphorescenz . . . . 01 I 6
— Diamant . . . . . 03 II 168
— Dolomit, Elba . . . 1900 II 14
Phosphorit
— Blatt Artlenburg, miocäner . . . . . 1900 I 417
— Marschendorf, Mähren CBl 1904 *360*
— Schweden, Fluorgehalt . . . . . 03 I 195
— Vogtland, Obersilur u. im Altpalaeozoicum Europas . . . . . BB XV *1*

Phosphoritlager, Clarendon, Otaga, Neuseeland . . . . . 1904 II 254
— siehe auch Phosphate u. Phosphatlager.
Photogrammetrie d. Krystalle . . . . . 1900 II *1*
Phototropie . . . . . 01 I 6
Phycopsis, Flyschfucoide 1900 I 156
Phyllangia floridana, Pliocän, östl. Nord-Amerika . . . . . 01 II 327
Phyllit
— chlorit. Mineral . . . CBl 1901 *627*
— Delul Cetátyei Neamtz, Rumänien . . . . . 1900 II 394
— Finnland, archaeisch 01 II 61
— Griechenland, nördl. und türkische Grenzländer . . . . . BB XVIII *38*
— Kordofan . . . . BB XVII *458*
— Michigan, contactmetam. veränderter Thonschiefer . . . . 01 I 239
— Ripafratta (Mte. Pisano), Analyse . . . 04 II 219
— Vogesen . . . . . 01 II 422
Phyllites (Banksia?) conspicuus, Miocän, Rumänien . . . . . 1900 II 492
Phyllitgneiss, Acherwiese, Fichtelgebirge . . . 1900 II 358
Phyllobrissus Kiliani, Aptien, Barcelona . . . 03 I 530
Phyllocarida
— New York, Salina-Schichten und Devon 03 I 335
— Pensylvanien, Chemung- u. Wawerly-Gruppe . . . . . 03 I 334
Phylloceras Beatricis u. Virginiae, Rosso ammonitico . . . . . 01 I 468
— Bonarellii u. Emergi, Medolo, Brescia . . 02 I 441
— decipiens, ellipticum u. Whiteavesi, südind. Kreide . . . . . 1900 I 441
— dubium u. oenotrium, Lias, Mte di Cetona 03 I 301
— Kobyi u. Riazi, Renggeri-Schichten, Berner Jura . . . . . 1900 I 316
— Laurae u. mediterraneum var. caucasica, Jura, Daghestan . . 04 II *79 ff.*
Phylloceras modestum u. torulosum, Bajocien, Espinazito-Pass, Argentinien . . . . . 1900 II 116
— ramosum u. Velledae, Quiriquina-Schichten, Chile . . . . . BB XVIII *187*
Phyllocoenia roaschensis, Kreide, Abu Roasch, Egypten . . . . . 04 I 270
Phyllocrinus cyclamen, Tithon, Stramberg . 03 II 419
Phyllodus Gaudryi, Eocän. Reims . . . . . 04 I 306
— hipparionyx, Maryland, Eocän . . . . 04 I 303
Phyllograptini (Phyllograptus) . . . . . 01 I 333
Phyllosmilia transiens, Gosau, Kreide . . . 02 II 154
Phylloteuthis incertus, Kreide, Königin Charlotte-Sund . . . . . 02 I 292
Phyllothallus . . . . . 1900 I 157
Phyllotheca Rallii, Cosslou (Kleinasien), Carbon . . . . . 02 I 496
— —, Heraclea (Kleinasien), Carbon . . . 03 I 175
Phylogenie d. Säugethiere auf Grund d. Gebisses 04 II 144
Phymatocarcinus eocenicus, ungar. Eocän . 1900 II 474
Phymatoderma, Lias, Betznau . . . . . 1900 I 158
Phymosoma Almerai, Eocän, Barcelona . . . 03 I 530
Physichthys, Devon . . CBl 1900 177
Physikal. Eigenschaften, Beziehung zu chem. Zusammensetzung . 01 I 176
Physikal. Geographie . . 1900 I 36
Physiocardia carintiaca, Hornigi, Ogilviae u. Verae, mittl. alp. Trias 1902 II *129 ff.*
Physonemus hamus-piscatorius u. pandatus, Carbon, Mississippithal . . . . . 04 I 142
Piacenza, plioc. Fische . 1900 I 466
Piceno, Umgegend, Geologie . . . . . 1900 II 423
Pichleria, St. Cassian . 02 II 488
Pici, Osteologie . . . . 03 II 435
Pickerte, Nordböhmen . 03 I 412

Picotit
— im Kelyphit . . . . 1901 I 20
— Bogoslowsk'schesBergrevier, im Serpentin 1900 I 345
— rhein. Basalte . . . 04 I 217
— Rhön(SchwarzeBerge) im Basalt . . . . . 04 II 206
Picrodon Herveyi, Rhät, Widmore Hill . . . 1900 I 310
Picunia nitida, Tertiär, La Plata . . . . . 03 II 293
Piediluco bei Rieti, Geol. 1900 II 423
Piemont
— Alpen, Geologie . . 1900 II 266
— Löss . . . . . 01 I 292
— Mineralien . . . . . CBl 1903 *78*
— Orbitoidenschichten . 02 II 438
— Parallelisirung der Miocänschichten . . 01 II 447
— Schweremessungen . 01 I 46
— tertiäre Echiniden . 01 II 485
— u. Ligurien, tertiäre Echiniden . . . . . 03 II 453
Piemontit
— San Marcello, Kryst. 04 I 28
— Schottland, im Granit u. Gneiss . . . . . 1900 I 400
Pietra da Cantoni, Monferrato, Tertiär . . . 02 I 465
Pietra verde, Griechenland, nördl. u. türk. Grenzländer . . . . BB XVIII *47*
Pietre Nere bei Lesina, Triasversteinerungen 01 II 154
Pietre verdi der Westalpen, mesoz. Alter . 1900 I 426
Piëzocontactmetamorphe Marmore . . . . . BB XIX *311*
Piëzocontactmetamorphose 1904 II 50 CBl 1902 *197*
Piëzokrystallisation
— u. Dynamometamorphismus . CBl 1901 51 CBl 1902 *193*
— u. homogene Deformation des Quarzes CBl 1904 *181*
Piëzomagnetismus der Krystalle . . . . . 03 II 316
Pikermi, Bonebed u. ähnl. Ablagerungen i. Euböa 03 II 283
Pikrit
— amphibolführend, Dillenburger Gegend, Mitteldevon . . . . BB XV *597*
— Hessen und Nassau, oberdev., Contactbildungen mit Diabas BB XVIII *299*
Pikrit, Hessen u. Nassau, oberdev., nebst Neubildungen . . . . . 1904 I *285*
Pikritähnl. Deckdiabas, Hartenrod, Nassau . BB XVII *129*
— siehe auch Palaeopikrit etc.
Pikritporphyrit . . . . 1900 II *153*
Pikromerit, Kalusz . . 03 I 400
Pilandit . . . . . 02 I 215
Pileolus Canavarii, Bath-Stufe, Sardinien . . 04 II 285
— Chelussii, Kreide, Aquilaner Abruzzen . 04 I 98
— parvulus, Kreide, Karmel . 1901 I 488 02 I 312
Pilit, Mähren . . . . . CBl 1904 *361*
Pilitkersantit, Murgthal, Schwarzwald . . . . 01 I 400
Pilodius mediterraneus, ungar. Leithakalk . 1900 II 475
Pilsen, permocarbonisches Becken . . . . . CBl 1901 503
Pimelodus Gaudryi, Epernay, Sande mit Unio u. Teredo . . . . . 02 II 302
Pinacites, Devon . . . 03 II 145
Pindoskalk, Griechenland CBl 1904 *258*
Pine Lake, Ontario, Knotengranit . . . . . 1900 I 67
Pinit
— Böhmen, Unter-Lotha, Analyse . . . . . 01 II 225
— Elba, in den turmalinführenden Gängen 01 II 355
— Oetzthal . . . . . 1900 II 353
Pinites permiensis, Kohlenbecken, Autun u. Epinac 02 II 167
Pinna Ristorii, Bath-Stufe, Sardinien . . 04 II 285
Pinnipedia, Eocän, Marsh Collection . . . . . 04 I 447
Pinnoit, Vorkommen in Kalisalzlagern . . . 04 I 336
Pino Hachado-Kette, Grenze zw. Argentinien u. Chile . . . . 1900 I 433
Pinolith, Häuselberg bei Leoben, Wald u. Jassing, Steiermark . . 03 II 30
Pintodiorit, Little Belt Mountains, Montana 03 I 432
Pironaea slavonica, Hippuritenbänke, Cserevitz-Bach, Petervaradder Gebirge . . . . 04 I 151

Pisanit, Alma Mine, Cal. 1904 II 38
Pisek, Mineralien, im Pegmatit . . . . . 03 II 32
Pisidium Futtereri, kükenurense, obliquatum, lateumbonatum und supinoides, Quartär, Ost- u. Centralasien . . . . . 03 I 543
Pithecanthropus erectus 1900 I 457 1900 II 138 1901 II 139. 144
— —, Beziehung zum Menschen . . . . . 04 II 297
Pithecodon Sikorae, Madagascar . . . . . 03 I 345
Pitkäranta, Erzlagerstätten . . . . . 04 II 412
Pittosporum bohemicum, böhm. Mittelgebirge . 1900 II 328
Placard-Schichten, Carbon des Hennegau . 01 II 442
Placentalier, Gebiss . . 03 I 140
Placenticeras attenuatum, Kreide, Peru . . BB XVII *280*
— Warthi, südind. Kreide 1900 I 443
Placeros . . . . . CBl 1903 697
Placochelys placodonta, Keuper, Jerusalemer Berg bei Vesprem, Ungarn . . . . . 02 I *127*
Placocoenia decamera u. Uhligi, Neocom, Bukowina . . . . . 04 II 150
-- major, Gosauschichten, Ostalpen . . . . . 04 II 153
Placodermen
— Organisation und Beziehung . . . . . 04 II 321
— Ohio, Cleveland shales und Allgemeines . . 03 I 339
Placodus duplicatus, schwäb. Trias . . . 1900 I 309
— gigas, Schädelmodell CBl 1903 237
Placohelia bigemmis, Gosauschichten, Ostalpen 04 II 153
Placoparia
— genetische Beziehung. 1900 II 472
— Skiddaw slates . . . 1900 II 150
Placophyllum, New York, Unterdevon . . . . 03 I 484
Placopsilina bibullata, Kreidemergel d. oberbayrischen Alpen . . 02 I 155
Placosmilia europhila, Gosauschichten, Ostalpen . . . . . 04 II 153
Placosmilia polygonata, Priabona-Schichten . 1904 I 283
Placunopsis cordobaensis, Callovien, Espinazito-Pass, Argentin. 1900 II 117
— ostracina auf Ceratites semipartitus . . 02 II 484
— Pampalonii, Bath-Stufe, Sardinien . . 04 II 285
Plagia andina, Lias, Cerrode, Doña Ana, Chile 01 I 485
Plagiaplit, syst. Stellung 03 II 357
Plagiarthrus clivus, Pyrotherium-Schichten, Argentinien . . . . 1900 II 300
Plagioklas
— Bestimmung i. Dünnschliff in Schnitten ⊥ P/M . . . . . 1900 II 193
— Biegungsaxe . . . . 1900 II 195
— Bildung im Magma . 1900 II 253
— chemische Constitution 03 I 22
— Constatirung optisch. Anomalien . . . . . 1900 II 193
— keine isomorphe Reihe 03 I 363
— Methode zur Orientirung . . . . . 1904 I 352. 354
— Neubildung durch Schmelzen . . . . . BB XVII *512*
-- optische Bestimmung in Dünnschliffen . . 02 II 221
— — Verhältnisse der Periklinzwillinge . . 02 II 193
— Schmelzbarkeit . . . 02 II 216
— verwachs. m. Orthoklas BB XVI *429*
— Voraussetzung des Isomorphismus . . . CBl 1901 *708*
— Zonarstructur . . . 1900 II 194
— Zusammensetzung u. spezifisches Gewicht . 01 II 181
— Zwillinge, opt. Constatierung durch Totalreflexion . . . . 1900 II 184
— Zwillingsbildung . . 03 II 158
— Bakal, Ural, Albitzwillinge, Umwandlung in Kaolin . . . 02 II 366
— Kedabek'sche Kupfergrube, Schalenbau . 02 I 342
— Mähren . . . . . CBl 1904 *363*
— Tilai-Kamen, Kosswa-Becken, Ural, im Gabbro 02 I 346
— Veltlin, im Pegmatit 1900 II 361
— siehe auch Mikroklin, Albit, Anorthit, Oligoklas, Labradorit etc.

Plagioklasgestein, Jordansmühl, Schlesien . CBl 1902 *389*
Plagioliparit . . . . . 1902 I 215
— Cap Marsa, Algerien 02 I 409
Plagionit, Beziehung zu Heteromorphit und Semseyit . . . . . 01 I 185
Plagiosternum, schwäb. Trias . . . . . 1900 I 308
— pustuliferum . . . . 1900 I 308
Planimeterokular zum Mikroskop . . . . . CBl 1904 *626*
Planispirina agglutinans, Kreidemergel d. oberbayrischen Alpen . . 02 I 155
Planorbis Gürichi (Gyrorbis), tertiärer Landschneckenmergel, Oppeln . . . . . 03 I 541
— irregularis, Palaeogen, Egypten . . . . . CBl 1901 *273*
— Kraussi, Obermiocän, Steinheim . . . . . 02 I 483
— mammertensis u. Vasseuri, Lutétien, Languedoc . . . . . 04 II 433
— Mammuth, Palaeogen, Egypten . . . . . CBl 1901 *275*
— multiformis trochiformis, Uebergang in Pl. multiformis oxystomus, Steinheim . 03 I 166
Planorbulina, Tertiär, Italien . . . . . 1900 I 318
Plantagenet-Grund, W. von Rügen, Geologie BB XX *445*
Plantus impennis, ausgestorben . . . . . 04 I 137
Plassenkalk, Bača-Thal, Krain . . . . . 04 I 95
Plasticität fester Körper bei hohem Druck . . CBl 1901 141
— — — bei Gesteinsbildung, Versuche . 01 I 87
— der Gesteine . . . . CBl 1902 *161*
— granitischer Gesteine 03 II 62
Platanistiden, Wiener Becken . . . . . 03 II 135
Platanus onomastus, Chlomeker Schichten, Böhmen 1900 II 496 01 I 528
Plateosaurus, europ. Continent . . . . . 01 II *89*
Platin
— Mikrostructur . . . 03 I 372
— Muttergestein . . . 03 II 320
Platin
— geol. Vorkommen, Verbreitung und Begleiter . . . . . 1903 II 319
— Alaska . . . . . 1900 II 79
— Jenissei'sche Taiga, Goldseifen . . . . . 01 II 173
— Nordamerika . . . . CBl 1902 245
— — Produktion . . . 04 II 10
— Rhambler Mine, Wyoming . . . . . 03 I 377
— Ural, Lagerstätten 1904 II 347. 411
— —. — am Tura . . 1900 I 339
— und Iridium, in Meteoriten . . . . . 1900 II 199
Platingehalt v. Ni-Erzen, Norwegen . . . . . 04 I 237
— —. Sudbury, Canada 04 I 344
Platinklumpen, Mineralien darin . . . . . 03 II 320
Platinmineralien u. -metalle, Vorkommen u. Verbreitung . . . . 03 II 319
Platychonia conchiformis, tumida u. wettingensis, Wettinger Schichten, Malm, Baden (Schweiz) . . . . . 02 II 314
Platycoenia Jacksonensis, Palaeogen, Nordamerika . . . . . 04 I 469
Platygonus, Gebiss. . . 02 II 466
Platyrhinae, Femur . . 01 II 142
Plectinia minuta, Cenoman, Kamajka . . . 04 II 158
Pleistocän
— meteorolog. Zustand CBl 1902 152
— West-Wittering, Sussex, Fauna . . . . CBl 1901 347
— siehe auch Quartär, Diluvium, Alluvium, Glacial etc.
Pleistocäne Seeen, grosse, Unteritalien . . . . 01 I 290
Plejadenkette bei Vevey, unt. Kreide u. Lagerung . . . . . 03 II 405
Pleochroismus im ultravioletten Theil des Spektrums . . . . . 04 II 340
— Turmalin von Elba . 01 II 24
Pleochroitische Krystalle, Eigenschaften . . . 03 II 314
Pleonast siehe Ceylanit.
Plesiaddax Depereti, Tertiär, China . . . . CBl 1902 *535*

Plesiaster bucardium u. parvistella, Hornstein des Aachener Waldes 1901 II 162
— cavifer u. cordiformis, Kreide . . . . . 02 I 319
Plesictis leobensis, Tert., Leoben . . . . . 01 II 456
— mutatus, Miocän, La Grive St. Alban . . 03 II 128
— robustus, Oligocän, Pyrimont u. Challonges 04 I 444
Plesiodimylus Chantrei, Miocän, La Grive St. Alban 1901 I 149 03 II 126
Plesiodoxodon tapalquensis, Pampasformation 03 II 294
Plesiophyllia Acrisionae, Gosauschichten, Ostalpen . . . . . 04 II 152
Plesiosaurus, White Cliff, Australien . . . . . BB XIV *492*
— shirleyensis, Wyoming, Jura . . . . . 03 I 342
Plesiospatangus Cotteaui, Oberegypten . . . . 02 I 319
Plesiosuchus = Dacosaurus . . . . . 03 I 152
Plessurgebirge um Arosa, Geologie . . . . . 04 I 240
Plethodus, Kreide . . . 01 II 315
Pleurocoelodon Wingei u. cingulatus, Pyrotherium-Schichten, Argentinien . . . . 1900 II 303
Pleurocystidae . . . . 01 I 320
Pleurodonte (Galactochilus) silesiaca, tertiärer Landschneckenmergel, Oppeln . . . . . 03 I 541
Pleurograptus . . . . . 01 I 332
Pleuromeia, Bernburg, Buntsandstein . . . 04 I 317
Pleuromya americana, Callovien, Espinazito-Pass, Argentinien . 1900 II 117
— arcacea, Posidonienschiefer, Hannover . CBl 1904 *387*
— latisulcata, Kreide, Patagonien . . . . 02 II 435
— tricarinata, Trias, Bakonywald . . . . 02 I 314
Pleuronautilus cfr. esinensis, Marmolatakalk 01 II *25*
— Kossmati, Basisschichten d. Cassianer Kalke, Idria und Gereuth . 01 II *28*
Pleuronautilus cfr. Tommasii, Raibler Schichten d. Schlernplateau 1901 II *32*
Pleuronectia comitatus, Tertiär, Ungarn . . 03 I 168
Pleuronectiden, Familienzugehörigkeit . . . CBl 1902 *19*
Pleuronectites Beyrichi, Spitzkalk, Recoaro u. Schio . . . . . 1900 I 274
Pleurosmilia schiosensis, Kreide, Lago di Santa Croce, venet. Alpen . 1900 II 122
Pleurostomella alternans var. hians, telostoma u. parvifinita, Miocän, Karwin . . . . . 03 II 152
— alternans var. moravica, nordmähr. Miocäntegel . . . . . 03 II 151
— cfr. alternans, Bryozoenhorizont, Priabona 01 I *120*
Pleurostylodon minimus u. modicus, Pyrotherium-Schichten, Argentinien . . . . . 1900 II 303
Pleurotoma, eocäne, Revision . . . . . 1900 II 479
— Gross-Florian, neue Form im Tegel . . 02 I 472
— acuticinctus, alnensis, ambigua, asperrima, Barreti, Baudoni, Bayani, Baylei, Bernayi, Berthelini, Besançoni, bilirata, Bourdoti, Boutillieri, Chameryensis, Chaperi, Cossmanni (= Mauritii), Dameriacensis, Delmasi, Deshayesi, distinguenda, Dolfusi, elegantula, Fayellensis, finitima, flexicosta, frumentum, gallica, Gardneri, Goossensis, Guetaini, herouvalensis, hordeola, Houdasi, insueta, intermedia, Lavillei, leptoides, minuta, Munieri, Nantheuilensis, Newtoni, Orbignyi, Parisiensis, plesiomorpha, Ramondi, rissoinaeformis.

ruellensis, Sainti, septenilensis, subcostaria, submonilifera, subplicaria, subspirata, subturrella, terebraloides (= subterebralis), tremenda u. valdancurtense, Eocän, Pariser Becken . . . . 1900 II 479
Pleurotoma araucana, Quiriquina-Schichten, Chile . . . . . BB XVIII *217*
— Bonneti, Pliocän, Karikal . . . . . 02 I 296
— cavasana, Dionysus, granconensis u. pyramidalis, Priabona-Schichten . . . . 04 I 284 ff.
— constricta, ob. Kreide, libysche Wüste . . . 03 I 510
— prisca, Tertiär, Barton, grosses Exemplar 02 II 149
— Sinzowi, Schichten mit Venus Konkensis, Konka-Fluss . . . . 1900 II 123
Pleurotomaria anatolica, Balia Maaden, Kleinasien . . . . . 02 I 115
— andelotensis, Zone d. Amm. Renggeri, Lonsle-Saunier . . . . . 02 I 293
— baranowkensis, Kingii, nikitowkensis, praeplatypleura u. Sibirzewi, oberpalaeoz., Russland . . . . . 01 I 310
— Burckhardti u. squamosa, Dogger, Franken 03 I 319
— daghestanica, Kreide, Kaukasus . . . . . 01 I 474
— Gottschei, Trias, China . . . . . 1900 I *197*
— lindonensis u. subarenosa, Jura, England 01 I 515
— minuscula, Remscheider Schichten, Devon . . CBl 1904 *602*
— Schaurothi, Priabona-Schichten . . . . . 04 I 283
— tardensis, Kreide, Patagonien . . . . 02 II 435
Pleurotomariidae, Jura, England . . . . . 01 I 514
Pleurotomella orthocolpa, Eocän, Loire inférieure 03 I 128
Plexodonte Molaren der Säugethiere, Erklärung 02 II 134
Pliauchenia, Tertiär, N.O.-Colorado . . . 1904 I 131
— humphresiana u. minima, Nordamerika . . . . 01 II 465
Plicatula (? Placunopis), sessilis, Trias, China 1900 I *204*
— cf. Fourneli, Kreide, Peru . . . . . BB XVII *264*
— obsoleta, Infralias, Vendée . . . . . 04 II 430
— Pegoti, Cazères (Haute-Garonne), unt. Eocän 04 II 459
— Quenstedti, Renggeri-Schichten, Berner Jura 01 I 139
Plinthiotheca anatolica, Carbon, Heraclea (Kleinasien) . . . . 03 I 175
Pliocän
— Belgien, Alter der Schichten von Lenham . . . . . 1903 I 308. 309
— Bessarabien, Säugethiere d. unteren . . 03 I 325
— Bosnien, Süsswasserneogen . . . . . CBl 1901 *233*
— China, Säugethiere . CBl 1902 *529*
— Egypten . . . . . CBl 1900 *213*
— England, Gliederung im östlichen . . . . 03 I 308
— Frankreich u. Schweiz, glaciofluviatile Conglomerate . . . . . 03 I 309
— Kaukasus . . . . . 03 I 511
— Nordamerika, Landsäugethiere . . . . 01 II 139
— Ostheim v. d. Rhön, oberes mit Mastodon arvernensis . . . . 03 I 512
— Patagonien, südl. . . 1900 II 428
— Rheinhessen, Sande des oberen . . . . . 1900 II *53*
— Schweiz, subalpine glacio-fluviatile Conglomerate . . . . . 03 I 309
— Thüringen . . . . . 03 II 117
— Viterbo . . . . 1901 I 475. 476
— siehe auch Tertiär.
Pliocäne Fische, Parma und Piacenza . . . 1900 I 466
Pliocänmollusken, Palombara-Marcellina, Castelarquato u. Piemont 1900 II 131
Pliocathaica, Quartär, Central- u. Ost-Asien 03 I 542
Pliohylobates, Eppelsheim . . . . . 1900 I 457

Pliohylobates eppelsheimensis, Femur . . 1901 II 143
Pliohyrax, Pliocän, Samos und Griechenland CBl 1901 26 02 II 458
— Kruppi = Leptodon graecus, Samos . . . 1900 I *66*
Pliolophus . . . . . 03 I 351
Plumatopteris elegans, Carbon, Schottland . 01 I 523
Plumbogummit, chem. 1901 I 358. 360
Plumbojarosit, Cooks Peak, Neu-Mexico . 03 II 184
Plusinglanz = Argyrodit 01 II 12
Podocnemis aegyptica, Tertiär, Moghara . . 01 II 460
— Blanckenhorni u. Stromeri nebst var. major, Tertiär, Egypten . . 04 II 149
Podocrates, Senon, Braunschweig u. Benennung 01 I 508
— und Linuparus . . . CBl 1901 *713*
Podolien, Silurfauna . . 1900 II 104
Podylopsidae, Pyrotherium-Schichten, Argentinien 1900 II 304
Podzol, Bildung im russ. Waldgebiet . . . . 01 I 231
Po-Ebene seit Eocänzeit 01 II 428
Poëbrotherium
— Colorado, Tertiär . . 04 I 131
— Nordamerika, Tertiär 01 II 464
Pössneck in Thüringen
— diluviale Knochen a. Spalten im Zechsteingyps . . . . . 03 II 295
— Zechstein mit Thamniscus giganteus . . 1900 II 483
Poikilitische Verwachsung, Entstehung . . 04 I 74
Point de Galle-Gruppe, Ceylon (Wollastonit-Skapolith-Gneiss) . . 04 I 383
— Reyes-Halbinsel, Cal., Geologie . . . . . 01 II 266
Polarexpedition des Barons v. Toll CBl 1904 *225. 289. 437. 527*
Polarisationsbank . . . CBl 1904 *330*
Polarisationsmikroskop
— Anleitung z. Gebrauch CBl 1901 500
— im Laboratorium . . CBl 1901 19
— neue Vorrichtungen . 04 II 1
Polarisationsvorrichtung der Mikroskope . . . 03 I 361
Polarisationswirkung an Linsenrändern . . . CBl 1900 *88*
Polarländer
— Geologie . . . . . 1903 I 478
— devon. Flora der Bäreninsel . . . . . 04 II 474
Polen
— Formationen bis Jura incl. . . . . 04 I 260
— obere Kreide . . . . 02 II 117
Poln. Mittelgebirge, Geologie . . . . . BB XIII *331*
Polirschiefer, böhm. Mittelgebirge Pflanzen 1900 II 328
Polita miocaenica tert. Landschneckenmergel, Oppeln . . . . . 03 I 540
Pollau-Schweinbarth, Jura, Klippengebiet zw. Donau u. Thaya . . 1900 II 418
Pollia plicata var. d'Anconai, Pliocän, Val d'Era, Toscana . . . 01 II 481
Pollicipes, Silur, Albany 01 II 435
— aff. Hausmanni Cenoman, Lüneburg . . 03 II. 274
Polmitische Eruptivgesteine . . . . . CBl 1903 685
Polverschiebung der Oceane, Ursache der Formationsbildung . . . 04 I 365
Polyacrodon lanciformis u. ligatus, patagonische Schichten, Patagonien . . . . . 01 II 470
— ligatus, Patagonien . 1900 I *230*
Polyacrodus . . . . . 1900 II 470
Polybasit
— verwachsen m. Kupferkies . . . . . BB XVI *394*
— — m. Silberglanz . BB XVI *366*
— — m. Sprödglaserz . BB XVI *401*
— Little Belt Mountains, Montana . . . . . 01 II 367
— Přibram, pseudom. nach Stephanit . . . . . 1900 I 20
— Silverton Quadrangle, Colorado . . . . . 03 II 343
Polychroismus
— im ultravioletten Theil d. Spectrums . . . . 04 II 340
— Phenakit, Ural . . . 04 II 343
— Turmalin von Elba . 01 II 25
Polycidodon obtusum, Collon Cura, Argentinien, graue Tuffe . 02 I 434
— obtusum, Rio Negro u. Neuquen, Tertiär . 02 I 304

Polyconites sub-Verneuilli, Kreide, Portugal . . . . . 1902 I 486
Polydolops Thomasi, Pyrotherium-Schichten, Argentinien . . . . 1900 II 304
Polygene Vulcane . . . 04 I 198
Polyhalit
— künstl. Darstellung . 02 II 12
— Vorkommen in Kalisalzlagern . . . . . 04 I 332
Polykras, Hitterö, Radioaktivität . . . . . CBl 1904 *208*
Polylithionit, Grönland
— Kangerdluarsuk . . 1900 I 349
— Narsarsuk, im Syenit 02 I 29
Polymignyt, Wiesenburg und Marschendorf, Mähren, im Pegmatit CBl 1901 *444*
Polymorphe Körper, Allgemeines und labile Constanten in Mischkrystallen . . . . . 04 I 325
— Krystallarten, Systematik . . . . . CBl 1904 51
— Modificationen, Tripelpunkte u. Zustandsdiagramme . . . . . 03 II 10
Polymorphe Substanzen
— Umwandlung 1903 I 364 04 II 345
— Unterkühlung u. Krystallisation v. Schmelzflüssen . . . . . 03 II 317
Polymorphe Umwandlung bei hohem Druck . . CBl 1901 141
Polymorphie . . . . . CBl 1902 150
— Theorie . . . . . 1900 I 330
Polymorphina cfr. problema u. sororia, Bryozoenhorizont, Priabona 01 I *120*
— secans, Kreidemergel d. oberbayr. Alpen . 02 I 155
Polymorphites polymorphus amalthei, Amaltheenthon, Reutlingen 1900 II 113
Polymorphus Lechei, patagon. Schichten, Patagonien . . . . . 01 II 470
Polyphyma Lapworthi, Malvern Hills, Cambrium . . . . . 03 I 161
Polyphyrische Andesite, Kasbek . . . . . 02 II 390
Polyptychites ascendens, biscissus, bullatus, diplotomus, euomphalus, gradatus, interjunctus, laticosta, orbitatus, Pavlowi, perovalis, polytomus, ramulosus, sphaericus, tardescissus u. terscissus, Neocom, Norddeutschland . 1903 II 447 ff.
Polysilikatische Magmen 1900 I 185
Polytektische Magmen . 1900 I 186
Polytrema papyracea, Tertiär, Egypten . . 01 II 164
Polytremacis Lindströmi, verkieselt in Diluvialgeschieben Schlesiens u. Mährens . . . . CBl 1903 *574*
Polyzoen, tert., Victoria, Australien . . . . . 1900 II 483
Pomelia Delgadoi, Kreide 01 II 321
Pommern
— Bänke vor der Küste BB XX *445*
— Diluvialgeschiebe . . 03 II 271
— geol. Führer . . . . 01 I 262
— — Karten von Vor- 01 I 254
Pommersches Küstengebiet, Stillstand des letzten Inlandeises . 1900 II 443
Pompeckjites, Hallstatter Kalk . . . . . 03 I 316
Pompeji, alte Lavaströme 03 I 42
Pontische Schichten, Campagnatico u. Paganico, Prov. Grosseto . . . 1900 I 448
Pontobdellopsis, Silur, Albany . . . . . 01 II 435
Pontocypris Ursulae, Kreidemergel d. oberbayr. Alpen . . . . 02 I 155
Ponza-Inseln, Geologie . 02 II 58
Porcellanjaspis
— Medlowitz u. Haya, Mähren . . . . . 03 I 243
— Pardubitz, Böhmen . 03 I 247
Porcellanspath . . . . . BB XV *256*
Porciens, Algerien . . . 01 I 500
Porcula, Gebiss . . . . 02 II 468
Porina impervia, Postpliocän, Spilinga . . 1900 II 158
— porosevallata, obere Kreide, lib. Wüste . 03 I 509
Poromya, Tert., Piemont u. Ligurien . . . . 02 II 309
Porosphaera texturata, Cenoman, Kamajka . 04 II 158
Porphyr, Behuliby bei Eule, Böhmen, dunkler 04 I 49

Porphyr
— Elba . . . . . 1900 I 53
— erythr. Colonie . . . 03 II 79
— Little Belt Mountains, Montana . . . . . 03 I 432
— Montblanc . . . . . 01 I 65
— Rödö, Christianiafjord 1900 II 219
— Sarrabus, Sand . . . 1900 I 218
— South Brent, Devonshire . . . . . BB XIII *109*
— Sylt, und Porphyrit, Diluv.-Geschiebe . . 01 I *108*
— siehe auch Felsitporphyre etc.
Porphyrconglomerate, Christianiagebiet . . 01 I 406
Porphyrische Einsprenglinge, Entstehung . . 01 I 240
Porphyrischer Vulcan Geitse! gubib, Deutsch-Südwestafrika . . . 03 II 46
Porphyrit
— Abd el Kûri, Quarzglimmer- . . . . . 03 II 199
— argent. Cordillere, jurassisch . . . . . CBl 1903 58
— Böhmen, praecambr. 04 I 51
— Chile, nördliches . . 01 I 415
— Creuse-Departement 03 II 373
— Erbendorf, Oberpfalz, Quarz- u. Tuff . . . CBl 1904 *578*
— Finnland, archaeisch 01 II 60
— Fleims . . . . . 03 I 61
— Fortworth Inlier, im Silur . . . . . 03 I 76
— Griechenland, nördl. u. türk. Grenzländer BB XVIII *13*
— Guillestre (Hautes Alpes) . . . . . 02 II 60
— Isle Royale, Mich. . . 1900 II 224
— Kola . . . . . 02 II 385
— Lambay-Insel, Ireland in Bala beds . . . . 1900 I 270
— Mariupoler Kreis, Südrussland . . 1900 I 394. 395
— Montenegro, Diorit- . 04 II 222
— Monzoni . . . . . CBl 1901 *677*
— Rödö, Christianiafjord 1900 II 220
— St. Lorenzen, Pusterthal . . . . . 1900 I 383
— Wood Points Dyke, Victoria, Austr., Hornblende . . . . . 03 II 259
Porphyritischer Gneiss, N. Hampshire, ist Granit . . . . . 1900 II 73
Porphyritoide, Finnland, archäische . . . . . 1901 II 60
Porphyroide, Taunus, Devon. d. südöstlichen 1900 I 112
— Harz, Petrographie . BB XIV *1*
Porphyroidschiefer, Hinter-Taunus . . . . . 04 II 382
Porphyrquarz, Corrosion CBl 1902 572
Porphyrtuff
— Sachsen, Aschenstructur 04 I 40
— Erbendorf, Oberpfalz CBl 1904 *578*
Porphyrwerk, Elfdalen CBl 1901 441
Port Kennedy, Penns., Knochenhöhle, Thier- u. Pflanzenreste . . 02 II 287
Portage Sandstone, Devon, New York . . . 03 I 119
Porthocyon dubius, Great Walley, Cal. . . . . 04 II 470
Portland, Frankreich . . 1900 I 116
Portland-Cement, petrogr. Bau . . . . . CBl 1901 281
Portlandia-Thon, Christiania . . . . . 02 II 449
Portlockia kamenkensis und rotundata, oberpaläoz., Russland . . 01 I 311
Portorico, Korallen der gehobenen Riffe . . 03 II 302
Portugal
— Cambrium am oberen Alemtejo . . . . . 04 II 471
— dolomit. Kalke u. Mergel u. and. Sedimentgesteine . . . . 1900 I 234. 235
— fluviomarine Senonmollusken . . . . . 02 II 437
— Infralias u. Sinemurien 04 II 112
— Kreideammoniten . . 1900 II 476
— Lias (Ter. Renieri) . 04 I 429
— Mineralien 1900 I 30 CBl 1902 662
— Pereiros-Schichten d. Jura . . . . . 02 I 468
— Staubfall im Januar 1902 . . . . . CBl 1902 *257*
— Turon . . . . . 02 I 452
Posen
— Braunkohlenlager . . 04 II 79
— interglac. Süsswassermollusken . . . . . 03 I 138
— Thalbildungen . . . 01 II 450
Posidonienschiefer, Mollusken im Lias von Nordwestdeutschland CBl 1904 *385*
Posidonomya alpina in den österr. Kalkalpen 1900 II 264

Possession-Insel, Gesteine 1900 II 237
Possruck, Steiermark, Geologie . . . . . 02 II 419
Postglaciale Niveauschwankungen, mecklenburgische Küste . CBl 1901 *582*
Postglacialer Löss, Schweiz 01 II 448
Potamides aegyptiacus, Egypten, Nummulitenfauna . . . . . 02 I 464
— beberkirianus, sucaradjanus. Noetlingi, sucabuminus, djadjuriensis, preangerensis, palabuanensis u. odengensis, Tertiär, Java 1900 II 289
— dyscritus u. orientalis, Eocän, Loire inférieure . . . . . 03 I 128
— thenensis, Belgien, ob. Tongrien . . . . . 02 I 130
Potamoceras hortensis, Priabona-Schichten . 04 I 284
Potamochoerus, Gebiss . 02 II 467
Poterionella trunciformis, Cenoman, Kuttenberg 04 II 157
Po-Thal, Grundwasserverhältnisse . . . . 02 I 125
Potoniea adiantiformis, Carbon, Heraclea, Kleinasien . . . . . 03 I 175
Potsdam-Sandstein, Lake Champlain-Becken . 03 I 115
Pottenstein, Ostböhmen, Geologie . . . . . 03 I 244
Pottsville Formation, Pennsylvania, Reihenfolge der foss. Floren 04 II 479
Powellit
— künstl. Darstellung durch Sublimation . CBl 1901 *682*
— Michigan, Kryst. . . 1900 II 33
Požoritta, Eruptivgesteine 01 I 63
Präcambrium
— Böhmen, Eruptivgesteine . . . . . 04 I 50
— Cape Breton, Neu-Schottland, Etchemi-nian . . . . . 1900 II 292
— Finnland . . . . . 03 II 74
— Fox river Valley, Eruptivgesteine . . . . . CBl 1901 185
— Smith Sound, Neu-Fundland, Etchemi-nian . . . . . 1900 II 292
— siehe auch Archaicum.
Präferrische Eruptivgesteine . . . . . CBl 1903 686
Präglaciale Ablagerungen, NO.-Deutschland . . 1904 II 446
— siehe Glacial etc.
Prähistorie . . . . . 02 II 289
— siehe auch Mensch etc.
Prähistorische Artefacte
— Guatemala, aus Jadeit und Chloromelanit . CBl 1904 *65*
— Wolvercote (Oxfordshire), im Quartär . CBl 1904 124
Prähistorische Station, Istein (Baden), Alter und Fauna . . . . . 04 II 289
— Zeiten, Classification und Fauna . . . . . 02 II 289
Prälitorina- u. Litorina-Bildungen der Kieler Föhrde . . . . . 04 II 452
Prämagnesische Eruptivgesteine . . . . . CBl 1903 686
Präpotassische Eruptivgesteine . . . . . CBl 1903 685
Präradiolites . . . . . CBl 1903 87
Präsodische Eruptivgesteine . . . . . CBl 1903 685
Prättigau, Graubünden, Tektonik . . . . . CBl 1901 *354*
Prag
— bearbeit. Rhinocerosknochen . . . . . 1900 II 455
— Wasserversorgung . 01 II 52
Pragerhof-Windisch-Feistritz, geol. Karte . 1900 II 263
Prasem, Wermsdorf, Mähren 03 I 198
Prasemquarz, Lager, Hautes-Alpes . . . . . 01 II 15
Praseodymsulfat . . . . 03 I 179
Prassberg a. Sann, geol. Karte . . . . . 1900 II 263
Pravitoceras sigmoidale, ob. Kreide, Hokkaido, Japan . 1902 II 485 04 I 148
Pražákia, Kreide, Böhmen CBl 1901 503
Predazzo
— Alkalisyenit v. Malga Gardone . . . . . 03 II *11*
— Altersfolge der Eruptivgesteine . . . . . 04 II 211
— aplit. Ganggesteine . CBl 1902 *369*
— Geologie . . . . . 04 II 85
— geolog.-petrogr. Untersuchung . . . . . 03 II 68
— Gesteine 1903 I 415 04 II 210 CBl 1903 *6. 497*

Predazzo, Marmor . . . BB XIX *285*
Prehnit
— Einwirkung von Salmiak 1901 II 339 1904 II 6
— Erkennung . . . . . 1900 I 15
— Acherwiese, Fichtelgebirge . . . . . 1900 II 359
— Agordo . . . . . 03 I 203
— Černin, Mähren . . . 03 I 200
— Grönland . . . . . 1900 I 350
— Habachthal(Salzburg), pseudom. nach Orthoklas . . . . . 1900 I 19
— Isle Royale, Michigan, Vorkommen und Entstehung . . . . . 1900 II 227
— Jordansmühl, Analyse CBl 1902 *390*
— Maddalena-Insel, im Granit . . . . . 03 I 194
— Mte. Pian Real, im Euphotid . . . . . 02 II 204
— New Jersey, Dampfdruck . . . . . 1900 I 335
— Pyrenäen, im Contactkalk . . . . . 02 II 194
— Radauthal, im Gabbro 1901 II 361 03 II 336
— Trebnitz, Mähren . . CBl 1904 *360*
Prenaster boninensis . . 03 II 454
— carinatus, Kreide, Kaukasus . . . . . 01 I 474
Presolana-Stock, Geologie 1901 II 110 03 I 477
Pressung v. carrarischem Marmor . . . . . 02 II 252
Pretoria-Schichten, Transvaal . . 1900 I *115* 1900 I 264
Preussen
— Diluvium . . . . BB XVI *86ff.*
— und Thüringen, siehe geolog. Aufnahmen, Karten etc.
Priabona
— Foraminiferen d. Bryozoenhorizonts . . . 01 I *111*
— Tertiär (Oligocän) . 1900 II 288
Priabona-Schichten, Fauna und Vergleich . . . 04 I 282
Přibram, unterirdische Erdbebenwarte . . . CBl 1903 238
Prieska-Conglomerat, Südafrika, Glacial . . . CBl 1900 366
Primaten
— Beziehung zu Chriacidae 1901 II 467 02 I 301
— fossile . . . . . 1900 II 464
Primaten
— Amerika, Eocän . . 1904 I 290
— Madagascar, fossile 1903 I 344. 562
— Wiener Becken (Neudorf a. March), Tertiär CBl 1903 *176*
— siehe auch Prosimia. Pseudopithecus etc.
Primordialidae, poln. Mittelgeb., Oberdevon BB XIII *339*
Prismatophyllum, New York, palaeoz. . . . 03 I 484
Prismen
— anisotr. Medien, Lichtablenkung . . . . . 01 II 167
— zweiax. Krystalle, Minimalablenkung . 1900 I 57
Prismenmethode zur Bestimmung v. Brechungscoëfficienten . . . . CBl 1904 57
Prismenschicht der Molluskenschalen . . . 03 I 162
Pristiograptus . . . . . 01 I 334
Proacrodon transformatus, patagon. Schichten, Patagonien . . . . 01 II 470
Proadiantus excavatus, Pyrotherium-Schichten, Argentinien . . 1900 II 301
Proadinotherium angustidens, Pyrotherium-Schichten, Argent. . 1900 II 302
Proamphicyon nebrascensis, White River beds . 04 II 309
Proarcestes caminensis, Trias, Val di Pena bei Lorenzago . . . . . 03 II 150
— extralabiatus, Schlerndolomit . . . . . 01 II *26*
Probeloceras . . . . . 1900 I 130
Proborhyaena antiqua u. gigantea, Pyrotherium-Schichten, Argentin. 1900 II 305
Proboscidea
— Entwicklung . . . . 04 II 318
— Streckung der Beine 03 I 145
— Argentinien, Entwicklung und Vorkommen in Kreide u. Tertiär . . . . . 04 II 464
Procamelus, Tertiär, NO.-Colorado . . . . . 04 I 131
— Spassk, Cherson, olig. 04 II 316
— robustus, occidentalis, caninus, angustidens, gracilis u. fissidens, Nordamerika . . . . 01 II 465

Procardia, Eocän u. Miocän, Piemont u. Ligurien . . . . . 1902 II 309
Procerithium plocophorum, potamidulum, quinquegranosum u. vendaeense, Infralias, Vendée . . . . . 04 II 114
Prochlorit
— chemisch . . . . . CBl 1901 *631*
— Californien . . . . . 03 I 405
Procolophonidae, Anmodontierfamilie, Trias 02 I 307
Procynodictis vulpiceps, Nordamerika, Tertiär 02 I 136
Procyonidae, Nordamerika, Tertiär . . 1902 I 134. 138
Prodaphaenus, Eocän, Marsh Collection . . 04 I 449
— Scotti, Nordamerika, Tertiär . . . . . 02 I 135
Prodasypus ornatus, Pyrotherium - Schichten, Argentinien . . . . 1900 II 305
Productus Abichii, Sculptur . . . . . CBl 1903 *529*
— amazonicus, Pará, Brasilien, Carbon . . 04 I 426
— cora, Saltrange, Pendschab . . . . . BB XIV *398*
— Mysius u. Troianus, unt. Carbon, Balia Maaden, Kleinasien . 02 I 115
Productus-Kalk, Saltrange, Beziehung zu den Ceratitenschichten . CBl 1904 *321*
— — zur Trias . . . . 1900 I *141*
— Helicoprion . . . . CBl 1901 *225*
— Mollusken . . . . . BB XIV *383*
— = Thüringische Stufe, Zechstein . . . . . BB XIII *433*
Proëdrium solitarium, Pyrotherium - Schichten, Argentinien . . 1900 II 299
Proëtus coddonensis, Culm, Barnstaple . . . . . 04 II 149
— Fletcheri, Wenlock, Dudlay . . . . . 01 II 150
— malacus, devonische Bokkeveld beds, Südafrika . . . . . 04 II 323
— margaritaceus, Michalskii u. pyriformis, poln. Mittelgebirge . BB XIII *365*
— waigatschensis, Devon, Waigatsch . . 1900 I 271
Proeuphractus laevis u. setiger, Pyrotherium-Schichten, Argentinien 1900 II 305
Proeutatus lagenaeformis, Pyrotherium - Schichten, Argentinien . . 1900 II 305
Proganochelys Quenstedti, Keuper, Aixheim in Württemberg 1900 II 469 02 I *143*
Prohegetotherium sculptum, Pyrotherium-Schichten, Argentinien . . . . . 1900 II 298
Projection, stereographische . . . . . 02 II 2
Projectionen, krystallographische . . . . . 01 II 329
Projectionsapparat f. d. mineralog. Unterricht 03 II *1*
Projectionsmikroskop f. d. mineralog. Unterricht . . . . . 03 I 9
Projectionssatz . . . . 01 II 330
Prolagus, Gebiss etc. . . 03 I 141
Prolates = Pseudolates Heberti, Egypten, Eoc. 01 II 148
Prolebias egeranus und pulchellus, böhmische Braunkohle . . . . 04 I 287
Prolecanites Kiliani u. latiseptatus, Devon . . 03 II 146
Prolecanitinae, Devon . 03 II 146
Promalacoclemmys, Tertiär, Mainzer Becken 03 II 142
Promathildia abbas, opalina var. canina und strangulata, Jura, England . . . . . 01 I 513
— biseriaetuberculatus, Oberplioc., Russland 01 I 311
— confluens, Hornigi u. hungarica, Veszprémer Mergel, Trias, Bakonywald . . . . 02 II 306
— terebralis, Infralias, Vendée . . . . . 04 II 115
— Terquemi, unt. Lias, Val Solda . . . . . 04 II 112
Promina-Schichten, Gebiet d. Blattes Zaravecchia-Stretto . . . 04 I 91
Proneusticosaurus silesiacus u. Madelungi, unterer Muschelkalk, Oberschlesien . . . . 03 II 141

Propachynolophus . . . 1903 I 351
Propachyrucos, Collon Cura, Argentinien, graue Tuffe . . . . 02 I 434
— depressus, medianus u. robustus, Rio Negro u. Neuquen, Tertiär 02 I 304
— Smith-Woodwardi u. crassus, Pyrotherium-Schichten, Argent. . 1900 II 298
Propalaeohoplophorus informis, Tert., Rio Negro u. Neuquen . 02 I 305
Propalaeotherium . . . 03 I 352
Proparia (Trilobiten) . . 1900 I 134
Prophaëton Schrubsolei, London Clay, Sheppy 1900 II 468
Proroporus surgens, Kreidemergel, oberbayr. Alpen . . . . 02 I 155
Proscalops miocaenus, Tert., NO.-Colorado . 04 I 124
Proscapanus sansanensis, La Grive St. Alban, Miocän . . . . . 03 II 125
Prosciurus vetustus, Titanotherium-Schicht, Montana . . . . . 04 II 461
Prosimia, Femur . . . 01 II 143
Prosimiae, Pyrotherium-Schichten, Argent. . 1900 II 297
ProsocoelusSchereri, Remscheider Schichten, Devon . . . . . CBl 1904 *601*
— vetustus, Unterdevon, Rossbach . . . . . BB XVII *42*
Prosodacna Athanasini u. inflata, oberpont., Kroatien . . . . . 02 I 471
Prosogoniacea . . . . . BB XV *416*
Prosopit, Utah, Anal. . 01 I 33
Prosotherium Garzoni, triangulidens u. robustum, Pyrotherium-Schichten, Argent. . 1900 II 299
Prospondylus crassus, palliatus u. spec., Pachycardientuffe, Seiser Alp . . . . . CBl 1900 *370*
Prossnitz und Wischau, Mähren, geol. Karte 1900 II 261
ProstylophorusMargeriei, Tertiär, La Plata . 03 II 293
Prostylops typus, Pyrotherium-Schichten, Argentinien . . . . . 1900 II 303
Protagriochoerus, Uinta-Eocän . . . . . 1902 II 297
Protamusium(?) gradatum, Kreide, Südaustralien 04 I 119
Protaster im Psammit von Condroz b. Tohogne, Luxemburg . 01 II 321
— Decheni, Schichten v. Esneux, Tohogne . . 02 I 148
— Sedgwicki . . . . . 01 II 323
Protasteridae, palaeoz. . 1900 I 481
Protemnocyon inflatus, White River beds . 04 II 310
Proteodidelphys, Kreide, Patagonien . . . . CBl 1900 139
ProterotektischeMagmen CBl 1900 187
Proterotheriidae, Pyrotherium-Schichten, Argentinien . . . . . 1900 II 301
Protetraceros Gaudryi, Tertiär, China . . . CBl 1902 *534*
Protheosodon, Pyrotherium-Schichten, Argentinien . . . . . 1900 II 301
Prothylacinus, Gebiss . 03 I 141
Prothyris truncata, Hamilton-Fauna, Cayuga Lake, New York . . 04 I 112
Protocardia Schencki, Kreide, Deutsch-Ostafrika . . . . . 01 II 296
— substricklandi, Bajocien, Espinazito-Pass, Argentinien . . . . 1900 II 116
— truncata, Posidonienschiefer, Hannover . CBl 1904 *386*
— vallonensis, Kreide, Görz u. Pinguente . 02 I 486
— valbertensis, ob. Oxford, Berner Jura . 03 I 323
Protoceras, Merkmale . 1900 II 139
— Osteologie . . . . . 01 I 489
— White River, Nord-Amerika . . . . . 02 II 293
Protoceratidae, Merkmale 1900 II 139
Protocerithium, unt. Lias, Val Solda . . . . . 04 II 112
Protochriacus, Puerco . 1900 I 302
Protocidaris acuaria, engl. Silur . . . . . 1900 II 322
Protocodon . . . . . 1900 II 458
Protoconchae . . . . . BB XV *416*
Protodictyon pulchripenne, Carbon, Illinois . . . 04 I 311
Protogaulus hippodus, Montana . . . . . 03 I 354

Protogene (Ur-)Ausscheidungen in rhein. Basalten . . . . . 1904 I 205
Protogin
— Aarmassiv . . . . . BB XVI *292*
— —, Minerallagerstätten im Biotit- . . . BB XIV *50*
— Montblanc . . . . . 01 I 65
— Nünistock, Bestimmung d. Feldspaths 02 I 345
Protogonodon, Puerco 1900 I 304. 305
Protohippus, Krivoi Rog, Cherson . . . . . 04 II 316
Protoindris globiceps, Madagascar . . . . . 03 I 345
Protoklase der Eruptivgesteine, Gilgit im Hindukusch . . . . 02 I 237
Protoklasstructur . . . CBl 1900 189
Protolabis, Tert., NO.-Colorado . . . . . 04 I 132
— heterodontus, prehensilis u. transmontanus, Nordamerika . 01 II 464
Protolenus-Fauna, Cambrium, Kennebecasis Valley, Canada . . . 1900 I 111
Protomeryx, Tert., NO.-Colorado . . . . . 04 I 131
Protophiureae, paläoz. . 01 II 323
Protopteris, Rothliegendes, Chemnitz . . . 02 II 492
Protoreodon, Uinta-Eocän 02 II 296
Protoselene, Puerco . . 1900 I 307
Protoseris cretacea, Gosauschichten, Ostalpen 04 II 152
Protosphyraena gigas, Fort Pierre-Kreide, Kansas 01 II 479
— obliquidens u. tenuis, Niobara-Gruppe, Kansas . . . . . 04 I 309
— recurvirostris, Niobara-Kreide, Kansas 01 I 308
Protostega, Kansas, ob. Kreide, Hinterbein . 03 I 158
Protothymallus princeps, böhm. Braunkohle . 04 I 286
Protoxodontidae . . . . 1900 II 457
Protrachyceras cf. Aspasia, Raibler Schichten des Schlernplateau . 01 II *34*
— cf. longobardicum, Cassianer Kalk, Idria u. Gereuth . . . . . 01 II *30*
— recubariense, Trias, Südalpen . . . . . 01 II *24*
Protulophila Gestroi, Pliocän, Italien . . . . 1903 I 535
Protylopus, Uinta-Eocän 02 II 294
— Petersoni, Nordamerika . . . . . 01 II 463
Protypotheriidae, Pyrotherium-Schichten, Argentinien . . . . . 1900 II 298
Protypotherium . . . . 1900 II 458
Proustit, Kryst. CBl 1903 24 04 I 11
— Sarrabus, Sardinien . 01 II 361
— siehe auch Rothgiltigerz u. Pyrargyrit.
Provence, tekton. Probleme . . . . . CBl 1901 *449*
Provermicularia torsa, Esino u. Marmolata 02 I 142
Provincialmuseum
— ostpreussisches . . . CBl 1901 27
— westpreussisches 1899 02 II 444
Provins, Tertiär . . . . 01 II 284
Proviverra, syst. Stellung 03 II 433
Prozaëdius impressus u. planus, Pyrotherium-Schichten, Argent. . 1900 II 305
Psammechinus Fuchsi, Miocän, Egypten . . 03 I 532
— hispaniae, Eocän, Barcelona . . . . . 03 I 530
— Lyonsi, Egypten . . 1900 I 317
— Zumoffeni, Kreide, Libanon . . . . . 1900 I 480
Psammochelys keuperina, Stubensandstein, Aixheim in Württemberg 1900 II 470
Psaronius
— in loco natali, Steinkohlenform., Frankreich . . . . . 03 II 153
— Chemnitz, Rothl. . . 02 II 492
— Ilfeld, Rothliegendes CBl 1901 *419*
Psephodus, Millstone Grit, England . . . 02 II 483
Psephophorus eocaenus, Egypten, Tertiär . . 02 I 466
Psephosaurus, schwäb. Trias . . . . . 1900 I 308
Pseudaelurus Lorteti, quadridentatus und transitorius, La Grive St. Alban, miocän . 03 II 127
Pseudalaria, Jura, England . . . . . 01 I 512
Pseudarctos bavaricus, Tertiär . . . . . 1900 II 143

Pseudoarietites, Devon . 1903 II 146
Pseudoberyx, Kreide . . 02 I 310
Pseudobos gracilidens u. sinensis, Tertiär, China CBl 1902 *535*
Pseudochalcedon . . . . 01 II 15
Pseudocidaris douarensis, Kreide, Libanon . . 03 II 454
— Zitteli, Tithon, Nesselsdorf (Mähren) . . 03 II 454
Pseudoclymenia, Devon 03 II 145
Pseudocrania divaricata, Silur, England . . . CBl 1901 *719*
Pseudocyon bohemicus, Tertiär . . . . . 1900 II 143
Pseudodiadema interjectum, Kreide . . . . 01 II 321
— primaevum, Infralias, Vendée . . . . . 04 II 430
Pseudogaylussit aus dem Clyde-Fluss . . . . 02 II 346
Pseudogeschiebelehm, Holzen a. Ith . . . 03 II 415
Pseudoglaciale Schrammung, Norwegen . . CBl 1900 *265*
Pseudoglaciale Verwitterungsfurchen auf devon. Kalk, Prag . CBl 1901 503
Pseudohercynella rara, Kreide, Maestricht . 01 I 313
Pseudohexagonale und -tetragonale Krystalle, Structur . . . . . BB XIV *289*
Pseudokingena, Mittellias, Südtirol . . . . 01 I 167
Pseudolates Heberti, Eoc. = Prolates . . . . 01 II 148
Pseudolestodon armatus u. tarijensis, Tarija-Thal, Argentinien . 04 I 290
Pseudomejonit, Schwarzwald, im Gneiss . . 03 I 232
Pseudomelania aquilensis, Kreide, Aquilaner Abruzzen . . . . . 04 I 98
— Chartroni u. miliacea, Infralias, Vendée . . 04 II 115
— goniophana, Veszprémer Mergel, Trias, Bakonywald . . . . 02 II 306
— pachymorpha, Urgonkalk, Orgon . . . . 02 I 313
— Paosi var. flexuosa, Kreide, Calloneghe . 03 II 274
Pseudomelaniden, Jura, England . . . . . 01 I 513
Pseudometeoriten . . . 02 I 365
Pseudometeoriten
—, Long Creek, Jefferson Co., Tenn., Roheisen 1900 I 353
— Weliki Ustjug, Gouv. Wologda . . . . . 02 I 42
Pseudomonotis
— Arten . . . . . CBl 1902 *21*
— Beziehung zu Aucella BB XIV *332*
— Typus der Gattung CBl 1902 *343* CBl 1903 *17*
— bolgiensis, Val Soldae, unterer Lias . . . . 04 II 112
— echinata, Kreide . . BB XIV *367*
— illyrica, Idria, Trias 02 I 485
— Iwanowi und multiformis, Süd-Ussuri-Gebiet, Trias . . . 1900 II 434
— Jacksoni, Callovien, Franz Josephs-Land, Cap Flora . . . . . 01 I 278
— Laczkoi, Trias, Bakonywald . . . . . 02 I 315
— Stachei, Telleri und tridentina, unt. Trias 1902 II 307 ff.
Pseudomorphosen (siehe auch Paramorphosen etc.)
— mikroskop. Untersuchung . . . . . 04 I 164
— Bogoslowsk'sches Bergrevier, Ural . . . . 1900 I 343
— Brasilien . . . . . 01 II 6
— Gross-Veitsch, Steiermark . . . . . 01 II 6
— Habachthal, Salzburg 1900 I 20
— Kraubat, Steiermark 1900 I 20 02 II 180
— Monzoni 1904 I 164 CBl 1901 *678*
— Pe-Thal, Obersteiermark . . . . . 1900 I 18
— Rosenegg (Hegau) im Opaltuff . 1900 I 22 01 I 30
— nach Cordierit . . . 02 II 193
— nach Feldspat (Orthoklas), Limousin . . . 02 II 196
— nach Forsterit (nicht Monticellit), Pesmedaalp . . . . . 04 I 165
— nach Glauberit, Rosenegg (Hegau) . . . . 1900 I 22
— nach Gyps, Rosenegg 1900 I 22
— nach Kalkspath, partielle Perimorphosen, Trentschin-Teplitz . CBl 1900 *113*
— nach Monticellit, Pesmedaalp . . . . . 04 I 164

Pseudomorphosen
— nach Olivin, Pesmeda-alp . . . . . 1904 I 164
— nach Phenakit, Greenwood, Me. . . . . 01 I 37
— nach Spinell, Monzoni 04 I 165
— nach Topas, Greenwood, Me. . . . . 1900 I 37
— — im Albitpegmatit, Stripåsen, Westmanland . . . . . 04 I 391
— Antigorit n. Diopsid, Pyrenäen . . . . . BB XVI *413*
— Aragonit nach Gyps (Schaumkalk), Thüringen etc. . . . . BB XVI *406*
— Asbest nach Biotit, Rudnik, Serbien . . 01 I 173
— Bergleder nach Biotit, Habachthal, Salzburg 1900 I 20
— Bowlingit (Iddingsit) nach Olivin, Monzoni, im Melaphyr . . . . CBl 1901 *678*
— Brauneisen n. Chromeisen, Bogoslowsk'sches Bergrevier . . 1900 I 345
— — nach Eisenspath, Zinnerzlagerstätten, Mt. Bischoff . . . . 01 I 425
siehe auch Pseudomorphosen. Limonit.
— Braun- u. Rotheisenerz nach Schwefelkies, Campiglia Marittima, Zinnerzlagerstätten . 01 I *149*
— Buntkupfererz nach Eisen, künstlich . . 02 II 336
— Captivos, Brasilien u. Ural . . . . . BB XVI *392*
— Chlorit nach Bergleder, Habachthal, Salzburg 1900 I 20
— — nach Biotit, Habachthal, Salzburg . . . 1900 I 20
— — nach Granat, Pe-Thal, Obersteiermark 1900 I 19
— — Brandisit, Monzoni . . . . . 04 I 165
— Dolomit nach Steinsalz, Kurland . . . 01 II 6
— dolomit. Kalk nach Magnesit, Singsdorf, Obersteiermark, im Pinolith . . . . . 1900 I 19
— Edelopal nach Gyps, Barcoo River, Queensland, Australien . . 01 II 5

Pseudomorphosen
— Edelopal nach Kalkspath, White Cliff, Neu-Süd-Wales . . . BB XIV *472*
— Eisenglanz n. Eisenspath, Gosenbach, Siegen . . . . . 1903 II 325
— — nach Magneteisen (Martit), Bogoslowsk'sches Bergrevier, Ural 1900 I 344
— Epidot nach Axinit, Dauphiné . . . . . 1900 I 21
— — n. Granat, Bogoslowsk'sches Bergrevier, Ural . . . . 1900 I 343
— — u. Rotheisenstein nach Granat, Bogoslowsk'sches Bergrevier, Ural . . . . 1900 I 343
— Fassait u. Serpentin n. Olivin (Forsterit, nicht Monticellit), Pesmeda . . . . . 04 I 164
— Forsterit und Spinell nach Dipyr, Ariège, Contactkalk am Lherzolith . . . . . 02 II 26
— Glimmer nach Topas, Pisek, Böhmen . . . 03 II 32
— Goethit n. Schwefelkies, Uspenskij-Gruben, südl. Ural . . . 01 II 178
— Granat nach Augit im Diorit, Wischkowitz bei Marienbad . . . 01 I 172
— — n. Fassait, Monzoni 04 I 165
— — nach Fuggerit (nicht Gehlenit), Monzoni . 04 I 165
— Gymnit n. Kämmererit, Kraubat, Steiermark . . . . . 1900 I 19
— Hornblende n. Granat, Pe-Thal, Obersteiermark . . . . . 1900 I 19
— Iddingsit (Bowlingit) nach Olivin, im Melaphyr, Monzoni . . . CBl 1901 *678*
— Kalkspath n. Aragonit, Eisenerz, Steiermark (Eisenblüthe) . . . . 1900 I 20
— — —, Eisenerzlager Centralrussland . . 01 II 408
— — —, Herrengrund und Offenbanya . . BB XVI *379*
— — n. Gyps, Rosenegg (Hegau) . . . . . 01 I 30

Pseudomorphosen
— Kaolin n. verschiedenen Mineralien . . . BB XV *260*
— Kaolinit nach Albit, Bakal, Ural . . . . 1902 II 366
— Kupferglanz n. Bleiglanz (Harrisit), Canton Mine Ga. . . . BB XVI *366*
— Kupferkies n. Eisen, künstlich . . . . . 02 II 336
— Kupferlasur n. Kupferlasur, Chessy . . . . 1900 I 21
— Limonit nach Arfvedsonit oder Aegirin, Monteregian Hills, Canada, im Tinguáit 04 II 410
— — nach Hydrargillit, Brasilien . . . . . 01 II 7
— — nach Karpholith, Schlackenwald . . . 01 II 6
— — nach Kupferlasur und Malachit, Chessy 1900 I 21
— — n. Schwefelkies (?), Neu-Guinea . . . . 01 I 173
— —n. Staurolith, Brasilien 01 II 7
siehe auch Pseudomorphosen, Brauneisen.
— Magneteisen n. Eisenglanz (Muschketowit), Bogoslowsk'sches Bergrevier, Ural . . 1900 I 344
— — n. Magnetkies, Pe-Thal, Obersteiermark 1900 I 18
— — u. Rutil n. Ilmenit, Binnenthal . . . . . 03 I 182
— Malachit nach Rothkupfererz, Dhramala in Thessalien . . . BB XVIII *52*
— Markasit n. Schwefelkies, Paramorphosen, Danilowo . . . . . 01 II 174
— Martit, Portugal . . 04 I 234
— —, Bogoslowsk'sches Bergrevier, Ural . . 1900 I 344
— Meerschaum n. Laumontit, Natrolith, Prehnit und Asbest, Mährisch-Kromau. . . . CBl 1904 *357*
— Muschketowit, Bogoslowsk'sches Bergrevier, Ural . . . . . 1900 I 344
— Muscovit nach Cyanit, Brasilien . . . . . 01 II 6
— —, —, n. Gyps, Barcoo River, Queensland, Australien . . 01 II 5

Pseudomorphosen
— Opal, edler, n. Kalkspath (?), White Cliff, Australien . . . . . BB XIV *472*
— Polybasit n. Stephanit, Barbaragang, Přibram 1900 I 20
— Prehnit n. Orthoklas, Habachthal, Salzburg 1900 I 19
— Pyrolusit n. Rhodonit, Gross-Veitsch, Steiermark . . . . . 01 II 6
— Pyrophyllit n. Cyanit, Brasilien . . . . . 01 II 6
— Pyroxen . . . . . BB XVI *403*
— Quarz n. Aggregaten v. Albit, Massachusetts 01 II 430
— — n. Kalkspath oder Dolomit, Reschitza . 04 II 7
— — n. (?) Rhodolithdodekaëdern, Nordcarolina . . . . . 1900 I 187
— — n. Rhodonit, Gross-Veitsch, Steiermark . 01 II 6
— Röthel n. Aktinolith, Brasilien . . . . . 01 II 7
— Rotheisenstein nach Granat, Bogoslowsk'sches Bergrevier, Ural 1900 I 343
— — nach Schwefelkies, Brasilien . . . . . 01 II 7
— — nach Wolframit, Zinnwald . . . . . 03 I 181
— Roth- u. Brauneisenstein nach Schwefelkies, Campiglia Marittima, Zinnerzlagerstätten . . . . . 01 I *149*
— Rotheisenstein und Epidot nach Granat, Bogoslowsk'sches Bergrevier, Ural . . . . 1900 I 343
— Rutil n. Anatas (Captivos), Brasilien und Ural . . . . . BB XVI *392*
— Sandstein nach Kalkspath, Heidelberg . . 04 II 174
— Schwefelkies n. Epidot, St. Lorenzen, Steiermark . . . . . 1900 I 21
— — nach Zinkblende, Siebenbürgen, m. Gold CBl 1903 *332*
— Serpentin n. Augit im zersetzten Trapp, Ayrshire . . . . . 01 I 79
— — nach Kämmererit, Mitterberg b. Kraubat 1900 I 20

Pseudomorphosen
— Serpentin nach Olivin BB XVI *401*
— — nach Diallag . . BB XVI *413*
— — n. Periklas, Tilly Forster Mine . . . . BB XVI *366*
— —, Thermophyllit etc. nach Olivin . . . . BB XVI *401*
— Sillimanit n. Andalusit BB XVI *399*
— Steatit n. Laumontit, Natrolith, Prehnit u. Asbest . . . . . CBl 1904 *357*
— — n. Olivin (Forsterit, nicht Monticellit), Pesmeda . . . . . 1904 I 164
— — n. Quarz, Cichow, Mähren . . . . . 03 I 201
— —, Serpentin, Thon u. Epidot nach Olivin, Schischimsk'sche u. Nasjamsk'sche Berge, Ural 01 II 193
— Steinmark nach Flussspath, Buntsandstein, Schwarzwald . . . . CBl 1900 28
— Stilpnosiderit n. Uranit, Zschorlau . . . 03 I 181
— Talk nach Turmalin, Roschna, Mähren . . CBl 1904 *361*
— Titaneisen n. Titanit, Hüttellehne b. Wermsdorf, Mähren . . . . 02 II 33
— Traversellit . . . . 04 I 164
— Weissbleierz n. Phosgenit, Malfidano, Sardinien . . . . . 1901 II 5. 484
— Wismuthocker nach Eulytin, Graul . . . 03 I 181
— Wolframit n. Scheelit, Trumbull Mine, Conn. 1902 I 353 03 II 29
— Zinnstein, Eisenkies, Magnetkies u. Arsenkies nach Feldspath im Felsitporphyr, Mount Bischoff . . . . . 01 I 424
Pseudomurchisonia, Hallstatt, Trias . . . . 02 I 144
Pseudoniscus Roosevelti, Eurypterus beds, New York . . . . . 03 I 335
Pseudopalasterina (= Palasterina) Follmanni . 01 II 324
Pseudoperna rugosa, torta, attenuata und orbicularis, Kansas, Kreide 02 I 147
— Wilsoni, Niobarastufe, Nordamerika . . . . 02 II 119
Pseudophillipsit, Rom . 1902 II *73*
Pseudophit
— Cichow, Mähren, im Urkalk . . . . . 03 I 200
— Fichtelgebirge. Bildung in granit. Gesteinen . . . . . 02 II 224
Pseudophyllites, südind. Kreide . . . . . 1900 I 441
Pseudopileus Zumoffeni, Kreide, Libanon . . 03 II 454
Pseudopithecus modestus, Tertiär, La Plata . 03 II 292
Pseudoplacunopsis, St. Cassian . . . . . 02 II 489
Pseudoplanopsis, St. Cassian . . . . . 02 II 488
Pseudopterodon minutus, Titanotheriumschicht, Montana . . . . . 04 II 461
Pseudosalenia Zumoffeni, Tertiär, Patagonien . 03 II 454
Pseudoserpentin, Steevens Co., Washington 1904 I 345 04 II 64
Pseudotheca Waageni, östl. Saltrange, Cambrium . . . . . 02 I 261
Pseudothryptodus intermedius, Niobara-Gruppe, Kansas . . 04 I 309
Pseudotriplit, Mähren . 01 I 353
Pseudotrochus meta, Esino und Marmolata 02 I 143
Pseudotubina, Hallstatt, Trias . . . . . 02 I 144
Pseudotylostoma Romeroi, Kreide, Roca, Argentinien . . . . 04 II 287
Pseudovintlit, Pusterthal 1900 I 382
Pseudoxyperas proaspera, Tertiär, Piemont und Ligurien . . . . . 02 II 309
Psilichthys Selwyni, Victoria, Mesozoicum . 04 I 308
Psilogyra Telleri, Gosauschichten, Ostalpen . 04 II 153
Psilomelan, Amazonasgebiet . . . . . 1900 I 411
Psittaci, Osteologie . . 03 II 438
Psychotriphyllum attenuatum, tertiär, Australien . . . . . 04 I 156
Pteranodon, Stellung im System . . . . . 02 II 145
— Osteologie . . . . . 02 II 479

Pteria Tatei, Kreide, Südaustralien . . . . . 1904 I 119
Pteridoleimma, Chlomeker Schichten, Böhmen . . . . . 01 I 527
Pterinea Damesi und Lindströmi, Gotland, Silur . . . . . 02 I 316
— costata und lineata, Unterdevon, zwischen Marburg und Herborn . . . . . BB XVII *37*
— gracilis, Remscheider Schichten, Devon . . CBl 1904 *600*
— leptodesma und subrectangularis, Untercoblenz, Oberstadtfeld i. Eifel . . . . 03 I 528
Pteriptychidae, Stellung 01 I 149
Pterocera aff. Pelagi, Kreide, Rustschuk . 1900 I *44*
Ptérocérin, Portugal, Jura . . . . . 02 I 274
Pterodactyloidea . . . . 02 II 144
Pterodactylus, systemat. Stellung . . . . . 02 II 481
Pterodon, systemat. Stellung . . . . . 03 II 433
Pterograptus . . . . . 01 I 332
Pteronotus Fornisetae u. rigidus, Priabona-Schichten . . . . . 04 I 283
Pteroperna Camoënsi, Portugal, Pereiros-Schichten, Jura . . . 02 I 469
— Fucinii, Sardinien, Bath-Stufe . . . . . 04 II 285
Pterophyllum subaequale, Ost-Grönland . . . . 02 II 324
Pterotheca undulata, Silur, England . . . . CBl 1901 *718*
Ptilograptus . . . . . 01 I 331
Ptilolith, Prinz Rudolf-Insel . . . . . 03 II 26
Ptilophyllum (Williamsonia) pecten, mitteljurass. Sandstein, Ostsardinien . . . . . BB XX *155*
Ptychoceras Oosteri, unt. Kreide, Châtel Saint Denis . . . . . 04 I 147
— teschenense, ob. Teschener Schichten (Valanginien) . . . . . 02 II 147
Ptychocylindrites, Jura, Frankreich . . . . . 1900 II 153
Ptychodus, England, ob. Kreide, knorpelige Kiefer . . . . . CBl 1904 125
Ptychogaster emydoides etc., Tertiär, Mainzer Becken . . . . . 1903 II 142
— Reinachi, bayr.-schwäb. Dinotherium-Sand . 04 II 140
Ptychomya elongata, Kreide, Kaukasus . 01 I 474
Ptychopariа Czekanowskii u. Meglitzkyi, Cambrium, Lenakalk, Sibirien . . . . . 01 I 114
— Richteri, Cambrium, östl. Saltrange . . . 02 I 260
Ptychosiagum, Schädel u. Extremitäten . . 03 II 439
— Murrayi, Colesberg . CBl 1901 90
Ptychoxylon Levyi, Kohlenbecken, Autun u. Epinac . . . . . 02 II 167
Puebla, Mexico, Eruptivgesteine . . . . . 1900 II 229
Puelia plicata, Tertiär, La Plata . . . . . 03 II 292
Puerco-bed, Neu-Mexiko, Landsäugethiere . . 01 II 136
Puerco-Fauna, Revision 1900 I 299
Pürglitz-Rokycanyer Gebirgszug, Böhmen, Felsophyrit . . . . CBl 1901 505
Pueyrredon-Serie, Kreide, südl. Patagonien . . 1900 II 425
Pugnellus tumidus und uncatus, Quiriquina-Schichten, Chile . BB XVIII *205*
Puketitiri bis Napier, Neuseeland, geol. Profil 04 II 253
Pula Laut-Insel (bei SO.-Borneo), Hebung durch Massenerguss . BB XX *354*
Pulaskit
— Cabo Frio bei Rio de Janeiro . . . . . 02 II 399
— Monteregian Hills Quebec, Canada . . . 04 II 410
Pulaskitaplit, Predazzo CBl 1902 *369*
Pultusk, Meteorit, Fall . 1900 I 352
Pulverförmige Massen, Gleichgewicht . . . 03 I 97
Pulvinulina, Tert., Italien 1900 I 318
— affinis, auricula, Brongniarti, cordiformis u. oblonga, Bryozoenschichten, Priabona . 01 I *126*

Pulvinulina rotula var. spinata, grüner Tuff, S. Giovanni Ilarione 1903 II 152
Pupa aperta u. Lentili, Steinheim, oberes Miocän . . . . . 02 I 483
Purmallen, diluv. Torf und Kohle . . . . . BB XVI 39
Purpura angsanana, bantamensis und preangerensis, Tertiär, Java . . . . . 1900 II 289
— juridica, Tertiär, Lavacille b. Bassano . 01 II 129
— rectangularis, Pliocän, Egypten . . . 02 II 107
Purpurina (?) Mairei, Lonsle-Saunier, Zone d. Amm. Renggeri . . 02 I 293
Purpuroidea balatonica, Hauptdolomit, Trias, Bakonywald . . . . 02 II 307
Pusterthal, dioritische Gesteine . . . . 1900 I 381. 383
Pustularia sp., Süddeutschland, Muschelkalk u. -Sandstein . . . . . 02 I 143
Pycnodonten
— Aude-Departement, Tertiär . . . . . CBl 1902 249
— Boulogne, ob. Jura . 04 I 303
Pygaster Petitclerci var. granulosus, Bajocien, Comberjon (Hte.-Saône) . . . . . 03 II 454
Pygope elongata . . . . 02 I 254
Pygopistes douarensis, Kreide, Libanon . . 03 II 454
Pygorhynchus grandiflorus, Nummulitenschichten, Egypten . 01 II 484
Pygurus nummuliticus, Nummulitenschichten, Egypten . . . . . 01 II 484
Pyknochlorit, Radauthal, im Gabbro . . . . . 03 II 336
Pyramidon Klaatschii, Tertiär, La Plata . 03 II 294
Pyrargyrit
— verwachsen m. Silberglanz . . . . . BB XVI 351
— Little Belt Mountains, Mont. . . . . 01 II 367
— Sarrabus, Sardinien . 01 II 361
— siehe auch Rothgiltigerz u. Proustit.
Pyrenäen
— Exkursionen d. VIII. geol. Congresses, Paris 1900 1903 I 418 CBl 1901 97. 444
— Geologie 1901 I 405 04 II 52
— Granit u. a. Eruptivgest. mit Contact 01 II 228
— Granitcontact . . . 1900 I 57
— krystallinische Gesteine . . . . . 02 I 219
— Rolle d. Eruptivgesteine . . . . . 02 I 70
— schwarze Phosphate 01 II 73
— Steinkohlenbecken v. San Juan de las Abadesas . . . . . 03 II 389
— Tephroit . . . . . 01 II 57
— Tertiär (Ariège) . . 03 I 511
Pyrenäit, Aetzfiguren u. opt. Anomalien . . . 1900 I 332
Pyrgulina (?) roxelanica, Schichten m. Venus konkensis, Konka-Fluss . . . . . 1900 II 123
Pyrimont u. Challonges, Säugethiere d. aquitan. Asphaltlager 1901 I 146 04 I 443
Pyrina Lamberti u. Zumoffeni, Kreide, Libanon . . . . . 1900 I 480
Pyrit, siehe Schwefelkies.
Pyroaurit, Långbanshyttan . . . . . 02 I 358
Pyrochlor
— Grönland . . . 1900 I 348. 350
— Tschoroch-Mündung, Batum-Gebiet . . . 03 II 192
Pyrochroit, Långbanshyttan . . . . . 02 I 359
Pyrolische Eruptivgest. CBl 1903 685
Pyrolusit
— Bogoslowsk'sches Bergrevier, Ural 1900 I 344. 345 01 II 406
— Gross-Veitsch, Steiermark, pseudom. nach Rhodonit . . . . . 01 II 6
— Narysov, Böhmen . . 04 II 16
— Sardinien, chem. . . 02 II 343
— Stepanovitz, Mähren 1900 I 25
Pyromagnetismus der Krystalle . . . . . 03 II 316
Pyromorphit, Brechungsexponenten . . . . . CBl 1903 149

Pyromorphit
— verwachsen m. Bleiglanz . . . . . BB XVI *350*
— Friedrichssegen bei Ems, Zwilling n. 2 P (2021) . . . . . CBl 1902 *748*
— Sarrabus, Sardinien . 1901 II 31
— Tarkaicza, Comitat Bihar . . . . . 03 II 185
Pyrop
— Dichte nach Schmelzen 01 II *151*
— Böhmen, Lagerstätten 1903 I 383 CBl 1901 504
— Nordamerika 1903 II 40 04 II 366
— Reutmühle, Anal. . . 01 I 21
— südafrikan. Diamantlager . . . . . 1900 I 1
Pyrophyllit
— Constitution . . . . 01 I 25
— Brasilien, pseudom. nach Cyanit . . . . 01 II 6
— Westanå, Schweden 1900 I 197
— Zermatt, Dampfspannung . . . . . 1900 I 335
Pyrophyllitähnl. Mineralien, Klutschi (Orenburg) . . . . . 04 I 24
Pyrophyllitlager, Nord-Carolina . . . . . 02 I 13
Pyropsis Hombroniana, Quiriquina-Schichten, Chile . . . . . BB XVIII *213*
Pyrosmalith
— Beziehung zwischen Krystallform und chemischer Zusammensetzung . . . . . 04 I 325
— Bjelke-Grube, Nordmarken . . . . . 02 II 196
Pyrotherium planum, giganteum, Sorondoi, Roemeri, Pyrotherium-Schichten, Argent. . 1900 II 300
Pyrotherium-Fauna und -Schichten, Argentinien u. Patagonien . 1900 I *226*
Pyrotherium-Formation, Argentinien . . 1900 I 103. 105
Pyrotherium-Schichten
— Argentinien, Säugethiere . 1900 II 296 03 II 131
— südl. Patagonien . . 1900 II 427
Pyroxen
— Aetzfiguren . . . . 1900 II 336
— Bildung im Magma . 1900 II 250
Pyroxen
— Chloromelanit, Dispersion . . . . . 1902 I 408
1902 II 26 03 I 382
— Feldspath-Uralitisirung d. Natron-Thonerde-P. . . . . 02 II *112*
— geschmolzener, Lösungsvermögen . . . CBl 1902 *200*
— im Kelyphit . . . . 01 I 20
— opt. Charakter d. Vertikalzone . . . . . CBl 1900 127
— Pseudomorphosen . . BB XVI *403*
— Schmelzpunkte . . . 04 II 166
— Acherwiese, Fichtelgebirge . . . . . 1900 II 359
— Ducktown, Tenn. . . 02 II 33
— Kola . . . . . 02 II 379
— Latium . . . . . 1902 II 24. 32
— Mähren . . . . . CBl 1904 *362*
— Oropa b. Biella (Piemont), Na-haltig (Jadeit) . . . . . 02 II 25
— Royat (Puy-de-Dôme), Fumarolen . . . . . 1900 I 30
— Süd-Afrika, rhombischer . . . . . 02 I 188
— Veltlin, rhombischer im Norit . . . . . BB XVII *340*
— siehe auch Augit, Diopsid, Hedenbergit etc.
Pyroxenandesit
— Ulu Rawas, Süd-Sumatra . . . . . BB XVIII *432*
— Vlegyasza-Gebirge, Ungarn . . . . . 03 II 72
Pyroxengneiss, schweizer Pfahlbauten . . . . BB XVI *166*
Pyroxengruppe, Begriffsbestimmung . . . . 01 II 395
Pyroxenit
— der Pfahlbauten . . BB XVI *166*
— Fleims . . . . . 03 I 60
— Griechenland, nördl. u. türk. Grenzländer BB XVIII *12*
— Koswinsky Kamen, Ural . . . . . 02 II 388
— Mariupoler Kreis, Südrussland 1900 I 395 04 I 220
— Monzoni . . . . . 04 I 66
Pyroxenitische Ausscheidungen im Labradorfels, Bergen, Norw. . 04 II 394
Pyroxenmineralien, Grönland, im Nephelinsyenit . . . . . 01 I 42

Pyroxenolivinfels, Tirol . 1900 II 392
Pyroxentrachyt, Lipowez'scher Kreis, Kiew . 02 II 57
Pyrrhotin, siehe Magnetkies.
Pyrula dilatata, Durvillei, Hombroniana, longirostra u. nodulifera, Quiriquina-Schichten, Chile . BB XVIII *213*
— rugosa, Quiriquina-Schichten, Chile . BB XVIII *216*
Puys, Kette
— geolog. Excurs. CBl 1901 *97. 289*
— Vulcane etc. . . . . CBl 1900 *305*
Puzosia Alimanestianui und Takei, Cenoman, rumän. Karpathen . 1900 II 286
— compressa, crebrisulcata, indopacifica, insculpta u. Stoliczkai, südindische Kreide . 1900 I 446

Q.

Quader, oberer, Alter. im Heuscheuergebirge . CBl 1904 *395*
Quallen, cambrische . . 01 I 337
Quardofelische Eruptivgesteine . . . . . CBl 1903 684
Quarfelische Eruptivgesteine . . . . . CBl 1903 684
Quartär . . . . . 1900 II 289
— siehe auch Glacial, Diluvium, Moränen etc.
Allgemeines.
— Aussterben v. Säugethieren, Ursache . . 03 I 554
— Drifttheorie, J. J. Ferber, ältester Vertreter CBl 1901 *705*
— Einfluss der Winde auf das Klima . . . CBl 1901 538
— Eintheilung nach Säugethieren . . . . 02 II 374
— Eiszeit, Ursachen 1902 II 373. 443. 447
siehe auch Eiszeit.
— geolog.-agronom. Karten. Einführung . . 02 II 282
— Geschiebe . . . . . 01 I 478
siehe auch Sylt, Amrum, Helgoland.
— in der Lethaea geognostica, Flora und Fauna . . . . . 04 II 131
— — —, Nordeuropa . 04 II 261
Quartär
— Löss, Alter und Verbreitung 1900 I 297 1903 I 519
siehe auch Löss.
— meteorolog. Zustände des Pleistocäns 1903 II 354 CBl 1902 152
— Rullstensåsar, Entstehung . . . . . 1900 I 292

Afrika.

— Algerien, Säugethiere 1901 I 147 01 II 146
— Egypten . . . . . 02 II 106
— —, Alexandrien . . 04 II 426
— —, Fajum u. Natronthal, Nematognathi des Diluviums . . . 04 I *1*
— —, Nilthal 1901 II 300 03 I 485
— —, Suez . . . . . 04 II 426
— Madagascar, Affen 1903 I 344. 353. 562
— Rothes Meer, Conchylien der pleistoc. Uferterrassen. . . . 01 II 291

Amerika.

— Bolivia, Glacialbildungen . . . . . 01 II 292
— Brasilien, Alagôas u. Pernambuco, Säugethiere . . . . . 04 II 148
— —, Pará . . . . . 04 I 421
— Nordamerika, Barren Lands, Hudson Bay 01 I 267
— —, Californien, Hebungen und Senkungen 04 I 108
— —, —, Caniden des Great Valley . . . . 04 II 469
— —, —, Sierra Nevada und Yosemite-Thal . 02 II 284
— —, Fort Kennedy, Knochenhöhle . . . 02 II 140
— —, Massachusetts . 1900 II 91
— —, Nebraska, Hay Springs, pleistocäne Fauna . . . . . 04 I 296
— —, neuengl. Inseln . 1900 I 100
— —, Oregon, John Day Basin . . . . . 04 I 419
— —, Klondyke, Yukondistrikt 1902 II 245 CBl 1901 761
— —, Texas, Equus Scotti 1903 I 562 04 I 122
— —, Wisconsin-Ufer d. Lake Superior . . . 04 I 439

Quartär
— Patagonien . . . . 1904 II 428
— —, Eberhardthöhle mit Grypotherium . 03 II 282
— —, Magellansländer . 1900 I 106
— Westindien, Pleistocän . . . . . CBl 1902 247
— —, Antillen . . . . 03 II 257
— —, Portorico, Korallen d. gehobenen Riffe 03 II 301

Asien.

— Celebes, Minahassa, Krebs- u. Molluskenschalen . . . . . 01 II 263
— China, Säugethiere . CBl 1902 *529*
— Indien, Saltrange, Diluvium . . . . . CBl 1903 *433*
siehe Saltrange.
— Molukken . . . . . CBl 1902 *5*
— —, Gross-Seran . . CBl 1901 *321*
— Ostasien . . . . . 1900 II 94
— Ost- u. Centralasien, Land- u. Süsswasserschnecken . . . . . 03 I 542
— Sinai . . . . . 02 II 263
— Weihnachts-Insel, Mollusken d. Riffkalke 03 II 100

Australien.

— Australien, Eiszeiten 02 II 129

Europa.

— Europa, nördliches, in der Lethaea . . . . 04 II 261

Balkanländer.

— Bosnien . . . . . CBl 1900 *219*
— Bulgarien, Alluvium des Lomthals . . . 1900 I *31*
— Montenegro, Glacialspuren . . . . . 03 I 310
— Rumänien, Steppenzeit 03 I 347

Belgien.

— Belgien . . . . . 03 II 272
— —. Diluvium u. Meere 1900 II 448

Deutschland und Flachland.

Allgemeines über das Flachland.

— norddeutsches Flachland . . . . . 1904 II 262. 272
— östliches 1900 II 411 01 I 254 1902 I 122 ff. CBl 1901 204

Quartär
— baltische Calluna-Heide im Alterthum 1901 I 138
— baltische Endmoräne und Nordseefauna . 04 II 446
— Bewegungsrichtung d. diluvialen Inlandeises 01 II 131
— Drift . . . . . CBl 1901 24
— Drumlin-Landschaft . 01 I 289
— Einheitlichkeit d. Eiszeit . . . . . BB XVI *1*
— Elb-Urstromthal . . CBl 1902 376
— geolog. Führer . . . 01 I 285
— grosse errat. Blöcke der balt. Provinzen . 1900 I 455
— interglaciale Torflager und Pflanzenablagerungen . . 1901 I 289. 290
— Kartenaufnahmen 1900 I 416 02 II 445
siehe auch geolog. Aufnahmen, Karten etc., sowie einzelne spezielle Localitäten unter Quartär.
— krystallinische Geschiebe . . . . . 01 II 131
siehe auch Sylt, Amrum, Helgoland etc.
— Maasse v. Renthierstangen aus Wiesenkalk im nordöstlichen 01 I 155
— Muschelconcretionen auf dem Ostseeboden 04 II 457
— palaeoz. Echinodermenbreccie . . . . . 01 II 132
— präglaciale Ablagerungen im Nordosten 04 II 446

Brandenburg.

— Berlin . . . . . 1900 II 267
— Carolinenhöhe bei Spandau, Paludinenbank im Bohrloch . 03 I 135
— Eberswalde, Cerithium-Kalkgeschiebe . . . 02 I 451
— Fläming . . . . . 04 II 446
— —, jungglac. Feinsande . . . . . 03 II 411
— Frankfurt a. Oder . 03 I 519
— Halbe, Aufschlüsse im Diluvium . . . . . 01 I 288
— Lychen (Uckermark), Kalkschlammablagerungen in den Seeen 03 I 134
— Mittenwalde (Mark), fossilführ. Diluvium 04 II 283

Quartär
— Nechlin, diluviale Wallberge . . . . . 1901 I 289
— Neumark, Entstehung der Thäler . . . . . 03 I 519
— Uckermark und Vorpommern . . . . . 01 I 254

Dänemark.

— Dänemark . . . 1904 II 262. 271
— —, Diluvialgeschiebe 03 I 286
— —, Einheitlichkeit d. Eiszeit . . . . . BB XVI *1*
— —, Glacialbildungen 03 I 524
— —, Gliederung . . . 01 I 133
— Alleröd bei Lilleröd, Seeland . . . . . 02 II 129
— Bornholm . . . . . 01 I 97
— Fünen . . . . . 1903 I 267. 526
— —, Gadbjerg, interglac. Thon mit Nematurella stenostomata 03 I 526
— Hostrup, marines Diluvium . . . . . 04 II 128
— Island, Glacial-Palagonitformation . . . 01 II 291
— Möen und Rügen . . 02 I 460
— Seeland, Moränenthon mit Tellina calcarea bei Höve . . . . . 03 I 524
— —, norweg. Blöcke . 1900 II 128
— Selbjerggård, m. Leda pernula . . . . . 03 I 524

Hannover und Harz.

— Baumannshöhle bei Rübeland, Mensch . 03 II 122
— Hildesheim . . . . . 02 I *55*
— Honerdingen, Diluvialflora . . . . . 01 II 290
— Lüneburg, Diluvialgeschiebe . . . . . 01 II 285
— —, frühdiluviale und präglaciale Flora . . 04 II 454
— —, Grand- u. Sand-Nester in der Kreide 01 II 130
— Osnabrück, Gerölle von Geschiebelehm im Diluvialsand . . . . 02 II 127
— Tesperhudt a. Elbe, interglacial. Torflager 01 II 286
— Wesergebiet, westl., Basalt- und Aegirinsyenit-Geschiebe . . 03 II 412

Holland.

— Holland . . . . . 02 I 289
— —, Bohrungen etc. . 01 II 452
1902 II 442 04 II 456

Quartär
— Holland, cambr. Diluvialgeschiebe . . . 1904 II 124
— —, Geschiebe d. Ceratopygus-Zone . . . . 04 II 127
— —, Schonen'sche Basalttypen, errat. . . CBl 1904 *694*
— — und Belgien, Bohrungen . . . . . 04 I 105
— Groningen, cambr. u. silur. Geschiebe . . 04 II 456
— Hemelum, cambr. Geschiebe im Geschiebemergel . . . . . 03 I 137
— Kloosterholt (Prov. Groningen), Geschiebe 01 I 132
— Seeland (Holland), Bohrungen . . . . . 02 II 127
— Veluwe-Grand, Quarzgehalt . . . . . 04 II 127

Mecklenburg, Lauenburg und Lübeck.

— Boizenburg a. Elbe . 02 I 458
— Herrenfähre a. d. Untertrave, Süsswasserfauna . . . . . 02 II 445
— Lauenburg a. Elbe . 02 I 458
— —, Käfer in Braunkohle und Torf . . . 02 II 444
— Lübeck, Dryasthone . 04 II 127
— —, Grundwasserfrage 03 I 139
— —, Hauptendmoräne CBl 1901 695
— —, Moränen . . . . 02 I 460
— —, Wackenitzgebiet 03 II 270
— Mecklenburg, Neubrandenburg, Triasgeschiebe . . . . . 1900 II 127
— —, nordöstl. Heide . 02 II 282
— —, postglaciale Küstenschwankungen . . CBl 1901 *582*
— — u. Pommern, Senongeschiebe m. Aphrocallistes (Hexagonaria) CBl 1901 *584*
— Ratzeburg und Mölln 04 II 283
— Travemünde, Brunnenbohrung . . . . 03 II 409
— Warnemünde, Litorina-Ablagerungen beim Hafenbau . . . 03 I 135
— Wismar . . . . . 01 I 289

Ost- und Westpreussen.

— Danzig . . . . . 04 II 418
— —, Tiefbohrungen . 01 II 451
— Gilgenburg u. Geierswalde, Ostpreussen . 04 II 127
— Graudenz, Umgegend CBl 1902 437

Quartär
— Königsberg, Untergrund . . . . . 1902 II 279
— Kutten, Ostpreussen . 03 II 413
— Ortelsburg u. Neidenburg (Ostpreussen), Endmoränen . . . . 01 I 284
— Ostpreussen 1901 I 257 01 II 87
1902 I 157 02 II 445
— Ost- u. Westpreussen, Aufschlüsse durch Bohrungen . . . . . 01 I 288
— —, Hexactinelliden d. senonen Diluvial-Geschiebe . . . . . 04 II 158
— Rastenburg (Ostpr.), End- u. Grundmoränen 02 II 128
— Tucheler Haide . . . 02 I 124
— Westpreussen . . . 02 I 122
1902 II 444 04 II 417
— Zlottowo, Westpr., Kalke im Diluvium . 04 II 128
Pommern mit Rügen.
— Pommern
1901 I 254. 263 01 II 89
— —, Bänke vor der Küste . . . . . BB XX *20. 445*
— —, Bewegungsgeschwindigkeit von Wanderdünen . . . 01 I 285
— —. Diluvialgeschiebe 03 II 271
— —, jurass. Geschiebe 04 II 123
— — und Mecklenburg, siehe Mecklenburg.
— Endingen, bearbeitete Säugethierknochen . 01 II 131
— Finkenwalde bei Stettin, glac. Störungen in den Kreidegruben 04 II 446
— Küstengebiet . . . . 1900 II 443
— Naugard, Wallberge 02 II 126
— Polzin, Tertiärgeschiebe im Diluvialkies 04 II 433
— Rügen 1902 I 457. 460 04 II 448
— —, Lagerung . . . 04 II 123
— —, Sassnitz, Diluvium BB XVI *85*
— Vorpommern . . . . 01 I 254
— — u. Rügen etc., Entwicklung des Bodenreliefs während der letzten Vereisung . . 04 II 448
Posen.
— Posen . . . . . 02 I 88
— —, interglac. Süsswassermollusken . . 03 I 138
— Thalbildungen . . . 01 II 450

Quartär
Rheinland und Westfalen.
— Almethal, südw. Paderborn . . . . . 1904 II 441
— Rheinthal zw. Neuwied und Köln . . . 04 II 440
— Siebengebirge, Diluvium . . . . . 02 I 257
Sachsen, Königreich.
— versteinerungsführende Sedimentgeschiebe d. nordwestlichen Sachsens . . . . . 1900 II 128
Sachsen, Provinz.
— Diluvium . . . . . 03 II 268
— Benkendorf im Mansfeldschen, interglac. Kies m. Brackwasserorganismen . . . . CBl 1902 *107*
— Hundisburg b. Magdeburg, Glacialschrammen auf Culm . . . 01 I 135
— Nachterstedt u. Frose, im Braunkohlentagebau . . . . . 03 II 268
— Quedlinburg, Steppeniltis . . . . . CBl 1904 *13*
— Schwanebeck b. Halberstadt, pleistocäne Kalktuffe . . . . . 03 I 137
— siehe auch Quartär, Thüringen.
Schlesien.
— verkieselte Korallen in Diluvialgeschieben CBl 1903 *561*
— Vorkommen des Elephas trogontherii CBl 1901 *588. 683* CBl 1902 55. *183*
— Landeshut, nordisches Diluvium . . . . . CBl 1900 *341*
— Liebau, Endmoränen 02 II 127
— Odergebiet, Breslau etc. 02 I 459
— Riesengebirge
1900 I 126 01 I *89*
— —, Glacial . . . . 02 I 286
Schleswig-Holstein, Hamburg.
— Hamburg, Untergrund 02 II 281
— Helgoland, Amrum u. Sylt, Diluvialgeschiebe aus Norwegen
1903 I *91* CBl 1903 *453*
— Holstein, baltischer Höhenrücken . . . . 04 II 449
— Kaiser Wilhelm-Canal 03 II 413

Quartär
— Kieler Föhrde. Litorina und Praelitorina-Bildungen . . . . . 1904 II 452
— Oldesloe, Holstein . 03 I 137
— Schleswig-Holstein, Endmoränen . . . . 1900 II 289
— —, marines Diluvium 01 II 286
— —, pleistoc. Foraminiferen . . . . . 01 II 328
— Schulau (Schleswig), altes Torfmoor am Elbufer . . . . . 04 II 454
— Sylt . . . . . 02 I 124
— —, Bau u. kryst. Geschiebe . . . . . 01 I *99*
siehe auch Geschiebe.
— Tarbeck (Holstein), diluv. Süsswasserfauna 03 I 133
— Tondern, Tapes aureus 03 I 525

Thüringen.

— Thüringen . . . . . 04 I 103
— ältestes Pleistocän . 03 II 117
— Elephas antiquus u. Rhinoceros Mercki, Jagdthiere des altdiluvialen Menschen 02 II 132
— Flussnetz, Entstehung 04 II 125
— — vor der ersten Vereisung . . . . . 03 II 120
— Gliederung . . . . . 03 II 264
— Helix (Tachea) tonnensis . . . . . 03 II 277
— Altenburg u. Meuselwitz. 2 Lösse . . . 03 II 268
— Brüheim bei Gotha, Conchylien der diluv. Sande und Tuffe . . 03 II 276
— Burgtonna u. Gräfentonna b. Gotha, Conchylien der interglac. Travertine . . . . . 03 II 277
— Ilmlauf, alter . . . 03 II 267
— Jena, Süsswasserkalk im Pemnkenthal . . 02 II 125
— Memleben a. Unstrut, Valvata-Mergel mit Brackwasser-Ostracoden . . . . . CBl 1903 *586*
— Oepitz, diluv. Säugethiere im Gypsbruch 02 II 458
— Pössneck, diluviale Knochen auf Spalten im Gyps . . . . . 03 II 295
— Saale, zwischen Ilm und Unstrut . . . . 03 II 415
Quartär
— Sonnendorf, Verwitterungsdecke im Diluvium . . . . . 1903 II 267
— Unstrutbett, altes . . 03 II 265
— Unstrutgebiet, fossilführende Flussablagerungen . . . . . 04 II 441
— Weimar, Geschiebelehm . . . . . 03 II 266
— Weimar—Süssenborn, interglac. Kieslager 1902 II 125 03 II 276
— Weimar—Taubach, Conchylien im Travertin . . . . . 03 II 277
— —, Menschenspuren 1903 II 115. 116

Süddeutschland.

— Süddeutschland, Bodensee . . . . . 03 I 513
— Südwestdeutschland . 01 I 129

Baden.

— Dürrheim . . . . . 03 I 466
— Kartenblätter: Hartheim—Ehrenstetten (Schwarzwald) . . . 1900 I 421
— — Mosbach, Epfenbach u. Sinsheim . . 01 I 252
— — Mannheim—Ladenburg u. Philippsburg 01 I 441
— Rappenau . . . . . 03 I 462
— Schwarzwald, Gebiet der Acher- u. Murgquelle . . . . . 04 I 388

Bayern.

— Dürrloch b. Schwaighausen unweit Regensburg . . . . . 01 I 479
— München . . . . . 03 I 520

Hessen und Hessen-Nassau.

— Darmstadt, diluviale u. recente Conchylienfauna . . . . . 03 II 275
— Diebach (Oberhessen), Mammuthfund . . . CBl 1904 *250*
— Frankfurt a. M., Glacial . . . . . 03 I 459
— Hessen, südliches . . 02 II 95
— Mainthal, unteres, altalluv. Fauna . . . 03 II 276
— Mosbach, geschrammter Nummulitenkalk CBl 1902 251

Quartär
— Mosbacher Sand, errat. Block von Nummulitenkalk . . . . 1902 II 269
— Offenbach am Main, Grundmoräne . . . 03 II 268
— Rheinhessen, diluv. Conchylienfauna . . 03 II 275
— —, diluvialer Flussschotter . . . . . 03 II 269

Elsass-Lothringen.
— Achenheim und Bläsheim, Elsass, Conchylien im Löss . . 02 II 126
— Altkirch, Elsass . . 03 II 91
— Elsass . . . . . 01 II 426
— — und Lothringen, Gliederung der Lehmablagerungen . . . 04 I 102
— Lothringen, Mardellen 04 I 102
— Vöklinshofen, Ober-Elsass, Wirbelthiere 01 I 494

Württemberg.
— Württemberg, Diluvium . 1900 I 249 BB XIV *120*
— Löss und Lehm . . 1900 II *154*
— Alb, schwäbische, Höhlen . . . . . 03 II 284
— Albthäler, diluviale Kalktuffe . . . . . BB XIX *133*
— Hochalb, Diluvium . BB XIX *137*
— Hohenberg b. Denkingen, Gerölle . . . . CBl 1903 *597*
— Immendingen-Ulm, älteste Donauschotter BB XIX *1*
— Kirchheimer Gegend, Diluvialbildungen 1902 I 286 BB XIX *85*
— Kochendorf . . . . 02 I 88
— Neckargebiet, oberes, Diluvium 1902 I *60* CBl 1902 *181*
— Rottweil . . . . . 01 I 132
— Schussenried, Moose 02 I 329
— Schwarzwald, Gebiet der Acher- u. Murgquelle . . . . . 04 I 388
— Schwaben, Hochterrassen . . . . . 1900 II *157*
— —, Höhenschotter . BB XIV *132*
— Sibyllenhöhle auf der Teck bei Kirchheim, Württemberg . . . 02 I 286
— Tübingen, Hochterrasse u. Steppenfauna . . . . . 1900 I *143*
— Ulm . . . . . 1900 I 258

Grossbritannien und Irland.
— Grossbritannien 1904 II 263. 277
— —, Interglacial . . 1900 II 447
— England . . . . . CBl 1902 315
— —, Fische . . . . . 04 I 307
— —, Geschiebe im südl. 01 II 455
— —, postpliocäne Binnenmollusken d. südl. 04 I 437
— —, Bagshot-District, Feuersteingeschiebe . 01 I 127
— —, Portland, Mollusken aus der rubble drift 03 II 123
— —, Prah Sands, Cornwall, ältere Steinzeit CBl 1904 123
— —, Scarborough, Abrutschungen im Geschiebelehm . . . . CBl 1901 666
— —, Suffolk . . . . CBl 1901 538
— —, Sussex, Fauna von West-Wittering CBl 1901 347
— —, Swanscomb a. Themse, Neritina Grateloupiana . . . 04 I 279
— —, Wolvercote, Oxfordshire, Profil mit Artefacten . . . . . CBl 1904 124
— Irland, Eskers . . . 1900 II 446
— Schottland, Clava bei Inverness, Thon mit marinen Mollusken . 1900 II 448
— —, Moreseadt i. Aberdeenshire, Geschiebe m. Kreidepetrefacten 01 II 299

Frankreich.
— Aude-Département, marines 1904 II 259 CBl 1904 92
— Bellegarde . . . . . 02 I 283
— Bretagne, Löss . . . 1900 II 129
— Corsica, Säugethiere 1900 II 463
— Dombes in der Anse du Bugey . . . . . CBl 1902 284
— Dordogne, mit Elch . CBl 1902 215
— Garonne-Thal b. Toulouse . . . . . 1900 I 451
— Mittelmeerküsten, Uferlinien . . . . . 04 I 101
— Montmaurin (Haute-Garonne), Höhle 1904 II 291 CBl 1902 473
— Pariser Becken, granit. Sande . . . . . CBl 1902 604
— Ratonneau-Insel bei Marseille, mit Hystrix 01 I 497

Quartär
— Südfrankreich, Säugethiere . . . . . 1902 II 143
— —, Vorkommen von Saiga . . . . . 03 II 132
— Vogesen, französische 03 I 522
— Voralpen (Lyon etc.), Alter u. Verbreitung 1900 I 297

Italien.

— Italien, Bryozoen 1900 II 157. 318
— Aniothal . . . . . 04 II 247
— Capo Palinuro, Säugethiere und Mensch . 04 II 141
— Chieri . . . . . 04 I 278
— Gardasee-Becken . . 04 II 284
— Iseo-See 1900 I 127 02 II 255
— —, Grotte v. Tavernola . . . . . 03 I 133
— Mentone, Strandbildungen und Höhlen . CBl 1904 121
— Monteleone (Calabrien) postpliocäne Echinodermen . . . 03 II 452
— Piemont, Löss . . . 01 I 292
— piemontesische Ebene, Grundwasser . . . . 02 I 125
— Po-Thal, unteres, Bohrlöcher . . . . . 02 II 284
— Sardinien, Knochenbreccien mit Enhydrictis galictoides 03 II 429
— südliches, grosse pleistocäne Seeen . . . 01 I 290
— Toscana, mit Elephas primigenius . . . . 03 II 288
— Vicentin . . . . . 01 II 105

Oesterreich-Ungarn.

— Böhmen, Conchylienfauna . . . . . 01 I 144
— —, pleistocäne Conchylienfauna . . . . 03 II 277
— —, nördliches, Gliederung . . . . . 01 I 481
— —, Prag, bearbeit. Rhinocerosknochen . 1900 II 455
— Mähren . . . . . 04 II 442
— —, der Mensch und Begleiter . . . . . 02 II 289
— —, verkieselte Korallen in Diluvialgeschieben . . . . . CBl 1903 *561*
— Tirol, Oetzthal, Endmoräne . . . . . 02 II 446
Quartär
— Ungarn, Alföld . . . 1900 I 93
— —, Muszla und Béla, Com. Esztergan . . 03 II 245

Russland.

— Russland . . . 1904 II 262. 269
— Donez-Höhenzung . CBl 1903 *644*
— Kurgan, Gouv. Tobolsk, Altai u. Ural, Säugethiere . . . . 03 I 324
— Lithauen und Weissrussland, Endmoränen 03 II 412
— Lutzk'scher Kreis, Wolhynien, Löss . . 1900 I 298
— Moskau, an der Bahn nach Windau . . . 02 I 290
— Neusibirische Inseln . CBl 1904 *225*
— Rigaer Strand, postglac. Hebung, Torfschiefer u. Bernstein 1900 I 455
— Ssaratow, Gouvernem. 03 II 248
— Sibirien, Eismeertransgression . . . CBl 1904 *234*
— —, Walross u. Mytilus edulis . . . . . CBl 1904 *233*
— — und Ural, Säugethiere . . . . . 03 I 324

Schweiz. Alpen.

— Alpen, Vergletscherung bei letzter Eiszeit und Wandlung des Klimas etc. 04 II 436
— Schweiz, Juragletscher 01 I 480
— —, Rheinthal bei St. Gallen, postglac. Löss 01 II 448
— —, Valendas, Bergsturz . . . . . 03 II 416

Skandinavien ausser Dänemark.

— Fennoscandia . . 1904 II 261. 264
— Finnland, Kola, Halbinsel . . . . . 1900 II 449
— Norwegen, Christianiagebiet, spät- u. postglaciale Niveauänderungen (Molluskenfaunen) . . . . . 02 II 447
— —, Helgeland . . . 02 I 91
— Schweden . . . . . 03 I 525
— —, Alter des Lommathons . . . . . 01 II 288
— —, arkt. Flora . . . 1900 II 495

Quartär
— Schweden, Säugethierfauna . . . . . 1901 I 146
— —, Schwefelkrystalle im schwarzen Thon . 02 II 332
— —, Askeröd-Moor, Säugethiere . . . . CBl 1902 246
— —, Ed in Dalsland . CBl 1901 729
— —, Jemtland, Central-, Eissee . . . . . 1900 I 454
— —, Norbotten . . . 02 II 283
— —, —, Landerhebung 1900 I 452
— —, Ragunda-Gebiet . 02 I 95
— —, Sarjektrakt . . . CBl 1901 183
— —, Schonen . . . . 03 I 525
— —, —, Kreide in den Bodenmoränen von Tullstorp u. Kvarnby 04 I 105
— —, —, Rullsteensåsar 01 II 289
— —, südliches . . . . 01 I 259
— —, Ulricehamn . . . 01 I 442
— —, Waberg, westl. vom Wettersee . . . 02 II 283
— —, Westgotland, Fauna d. Yoldia-Thons 02 II 131
— —, —, Kalktuff . . 01 I 138
Quartenschiefer-Röthidolomit, Piz Urlaun, mikroskopische Untersuchung . . . . . 02 I 219
Quarz
— Aetzfiguren bei hoher Temperatur . . . . 03 II 16
— Bildung in Eruptivgest. (Schmelzflüssen) 03 II 330
— chem. u. elektr. Verhalten . . . . . 1900 II 334
— chem. Reaktionsfähigkeit . . . . . CBl 1904 *333*
— Dichte nach Schmelzen 01 II *153*
— Dielektricitätsconstanten . . . . . 03 II 8
— Dispersion . . . . . 03 II 8
— Druckfestigkeit . . . CBl 1902 *263*
— fremde Einschlüsse . 04 I 16
— gekrümmter, Erklärung . 1900 II 174 03 I 187
— geschmolzener, Ausdehnung 1903 II 326 04 I 168
— —, Dichte . . . . . 01 II *153*
— —, Eigenschaften 1904 I 17 04 II 173
— homogene Deformation u. Piëzokrystallisation . . . . . CBl 1904 *181*
— Krystallstructur . . 1900 II 5
Quarz
— Krystallisation 1903 I 177 1903 II 17
— Lamellen, Kalkspath durchsetzend . . . . 1900 I 172
— Löslichkeit in einer Lösung von Natrontetraborat . . . . . 02 II 93
— Lösungsfähigkeit in Natronsilicatlösungen 01 I 222
— magnet. Influenz . . BB XIX *419*
— optisch . . . . 1901 II 334. 335
— opt. Const. mittelst Totalreflexion . 1900 II 183. 189
— Plasticität . . . . . CBl 1902 *167*
— Polychroismus . . . 04 II 342
— porphyrischer, Corrosion . . . . . CBl 1902 572
— Reflexionsnormale . . 04 I 161
— Schmelze mit Kalk . CBl 1902 *713*
— Schmelzpunkt 1903 I 51 04 II 167
— verwachsen m. Flussspath . . . . . BB XVI *351*
— — m. Kalkspath 1900 I 172 BB XVI *370*
— — m. Mikroklinperthit u. Muscovit . 1900 I 169 ff.
— — m. Orthoklas . . BB XVI *391*
— Wärmeausdehnung // Hauptaxe . . . . 03 II 326
— Zwillingsbildung . . 03 II 159
— Aarmassiv, in Biotitprotogindrusen . . BB XIV *63 ff.*
— Acherwiese, Fichtelgebirge . . . . . 1900 II 358
— Aich und Karlsbad, Kryst. . . . . CBl 1903 *292*
— Annaberg i. S., Zwilling nach P2 . . . CBl 1902 *649*
— Augustusburg, im Quarzporphyr . . . CBl 1903 *295*
— Baltschiederthal, Wallis, im Triasdolomit 1900 I 19
— Belgien, im Kohlenkalk . . . . . 01 II 350
— —, Maredsous, Amethyst. . . . . 01 II 350
— —, Nil-Saint-Vincent, Kryst. . . . . 02 I 168
— —, Quenast . . . . 02 I 168
— Binnenthal, Wallis . 04 I 32
— Blossburg, Pa., Aetzung in Conglomeraten . 04 II 406
— Bogoslowsk'sches Bergrevier, Ural . . . . 1900 I 343

Quarz
— Bourboule, Krystalle im Bimsteintuff . . 1900 I 221
— Bourg d'Oisans, Kryst. 02 II 341
— Brasilien, Krystallform . . . . . 03 II 16
— —, mit Rutil . . . 03 I 188
— Carrara, im Marmor . 01 I 30
— Cetine di Cotorniano, Prov. Siena . . . . 02 II 37
— ciminische Vulcane . 1900 II 363
— Dartmoor Forest, im Granitcontact . . . BB XIII *131*
— De Aar, Südafrika, Kryst. . . . . CBl 1903 150
— Derbyshire, auf Kalkspath in Eruptivgesteinen . . . . . 01 I 70
— Grönland . . . . . 1900 I 346
— —, Narsarsuk, im Sodalithsyenit . . . . 02 I 19
— Gross-Veitsch, Steiermark, pseudom. n. Rhodonit . . . . . 01 II 6
— Guanaco, Chile, Goldlagerstätte . . . . . 1900 II 369
— Kasbeck (Bergkrystall) . . . . . 1900 I 10
— Haddam Neck, Conn., im Granit . . . . . 03 II 188
— Hancock (Michigan), Kryst. 1904 II 37 BB XVIII *155. 173*
— Herkimer (New York), Kryst. . . . . BB XVIII *165. 176*
— Karlsbad, scheinbare Spaltbarkeit . . . . 02 II 188
— Kintsiniemi, Dolomitbruch . . . . . 02 II 362
— Lizzo bei Bologna, ohne Circularpolarisation . . . . . 1900 II 179
— Madagascar . . . . CBl 1902 698
— Mähren . . . . . CBl 1904 *356*
— Meylan, Isère, Krystalle im Oxfordmergel 1900 II 179 03 II 17
— Mies, Kryst. . . . . 03 II 17
— Minot, Maine, im Pegmatit . . . . . 03 I 34
— Nordamerika 1900 I 200 03 II 39
— —, Bergkrystall . . 01 I 32
— —, blau, Edelstein . 02 II 404
— —, mit Einschlüssen, Edelstein . . . . . CBl 1902 406

Quarz
— Nordcarolina, pseudom. nach Dodekaëdern v. Rhodolith . . . . . 1900 I 187
— Oulx, obere Dora Riparia, im Gyps . . . 1900 I 27
— Poretta, gewundene Krystalle, Erklärung 1900 II 174
— Portugal, im Staubfall vom Januar 1902 CBl 1902 *260*
— Radauthal, Harz . . 01 II 361
— Reschnitza, pseudom. n. Kalkspath od. Dolomit . . . . . 04 II 7
— rhein. Basalte . . . 04 I 216
— Rosas, Sardinien . . 1900 I 29
— Schweiz, Somvixerthal, Bündener Oberland, gebogener . . CBl 1900 *81*
— Sierra Nevada, Cal., mit kohliger Substanz . . . . . 1900 I 31
— Striegau, Schlesien, Kryst. . . . . 1900 II 178
— Toscana, im Gyps . 1900 I 10
— Trarbach, Zwillinge mit gekreuzten Axen CBl 1900 *94*
— Verruca (Mti Pisani) mit Basis . . . . . 1900 I 10
— siehe auch Bergkrystall, Rauchtopas, Amethyst, Hornstein etc.
Quarzalkalisyenitporphyr, Boscampo . . . . . CBl 1903 *639*
Quarzbasit (Quarztrapp, resp. -Diabas) . . . 1900 I 184
Quarzdiorit
— Oberpfalz . . . . . CBl 1904 *586*
— Salzkammergut . . . 01 I 61
Quarz-Feldspathaggregate in rhein. Basalten . 04 I 215
Quarz-Feldspath-Sandsteine, Selkirk-Gebirge, Canada . . . 04 II 54
Quarzfelsit, Socotra . . 01 II 263
Quarzformation, edle, Freiberg . . . . . CBl 1901 242
Quarzgänge
— Bildung . . . . . 01 I 222
— Diamantina Brasilien, in Thongesteinen . . 01 I 412
Quarzgestein, Derbyshire, im Bergkalk . . . . 1900 I 232
Quarzglas, Eigenschaften 04 II 173
— siehe Quarz, geschmolzener.

Quarzin
— Bogoslowsk'schesBergrevier, Ural . . . . 1900 I 343
— Bolchowskoi (Russland), im Sandstein 04 II 173
— Dolni Bory, Mähren 03 I 200
Quarzit
— Griqualand, Sattel- u. Muldengänge im Tigerauge|uarzit . . 03 I 256
— Kordofan . . BB XVII *395. 457*
— Oulx (Dora Riparia) 02 II 232
Quarzitgerölle, älteste Donauschichten, Immendingen—Ulm . . BB XIX *1*
Quarzkeratophyr
— Bukowina . . . . . 01 I 63
— China . . . . . 01 I 406
— Taunus, hinterer . . 04 II 382
— Neponset-Valley,Mass. 02 II 237
Quarzkörner in der Kreide, Entstehung . . . . 01 I 403
Quarzkugeln, Gravitationswirkung zweier 01 I 380
Quarzplatten ⊥ Axe, Untersuchung der Güte 04 I 164
Quarzporphyr
— kaolinisirt . . . . . BB XV *344*
— Buri (Erythraea) . . 04 II 402
— Dufton Pike, Westmoreland . . . . . 02 II 64
— Kinzigthal, Analyse . CBl 1902 504
— Kozakov, Böhmen . 02 I 63
— Mt. Kearsarge, North Hampshire . . . . . 04 II 407
— Neumark im sächs. Vogtlande . . . . . CBl 1904 *114*
— Ottenhöfen, Schwarzwald, mit Stiel . . . CBl 1900 28
— Patagonien . . . . 04 II 427
— siehe auch Felsitporphyr.
Quarzporphyrit u. -Tuff, Erbendorf, Oberpfalz CBl 1904 *578*
Quarzprismen, Doppelbrechung . . . . . 03 II 327
Quarzschiefer
— Bergen (Norw.) . . 04 I 393
— Griechenland, nördl., u. türk. Grenzländer BB XVIII *41. 45*
Quarz-Skapolith-Porphyr, Alaska . . . . . 02 I 416
Quarzsyenit, Madagascar 02 I 220
Quarz-Syenit-Aplit. Monzoni, Umschmelzen m. Melaphyr . . . . . BB XIX *187*
Quarz-Trachyt-Andesit, Battak-Hochfläche, Sumatra . . . . . 1900 II 235
Quarzvarietäten, Nordamerika . . . . . 1900 I 200
Quebec. Provinz, Canada, Geologie . . . . . 04 I 395
Quecksilber
— Solagrube, Schweden 1900 I 31 01 II 173
— Terlingua, Texas . . 04 I 338
— Verein. Staaten, Prod. 1901 . . . . . 04 I 36
Quecksilbererze
— China . . . . . 1900 I 179
— Terlingua, Texas . . 04 I 338
Quecksilbererzlager, jüngere, Entstehung . . 1900 II 246
Quecksilberjodid
— Farbenänderung des rothen bei versch. Temperaturen . . . 04 I 327
— Krystallisation des rothen . . . . . CBl 1902 *365*
— isomorphe Mischung mit Quecksilberbromid durch Sublimation 03 II 5
— Mischkrystalle m. $AgNO_3$ 04 II 345
— Broken Hill, Neu-Süd-Wales . . . . . 02 II 32
Quecksilbersulfid, amorphes, elektr. Leitfähigkeit . . . . . BB XX *427*
Quellen
— intermittirende, Intensitätsmessung . . . 03 II 393
— weite Verbreitung des Baryums . . . . . 03 II 180
— Kansas u. Oklahoma, im Tertiär . . . . . 02 II 417
— Mont-de-Chamblon . 01 I 394
— Pyrenäen, stickstoffreiche . . . . . 03 II 362
— Schuls-Tarasp, CO_2-haltige, erbohrt . . . 01 II 56
— Tölz, jodhaltig . . . 03 II 395
— Wolkersdorf bei Frankenberg, Geologie . 02 II 416
— siehe auch Mineralquellen etc.
Quellenkarte, Aargau, speciell Brugg. . . . 03 I 98
Quellenkunde . . . . . 01 I 395
Quellenlinie, Karlsbad . 03 II 393
Quellwasser, Beziehung z. Ursprungsgesteinen 03 I 54

Queluzittypus der Manganerzlager . . . . 1903 II 383
Quenstedticeras subflexicostatum, Jura, südöstl. Russland . . . 01 I 264
Quenstedtit, Montpellier, Iowa . . . . . 1900 II 32
QuercusStefanescui,Mioc., Rumänien . . . . . 1900 II 490
— Velenovskyi, ChlomekerSchichten, Böhmen 1900 II 496 01 I 527
Querthäler (Clusen), Entstehung . . . . . 1900 I 256
Quesa, Spanien, Meteoreisen . . . . . 1900 I 355
Quilindaña-Vulcan,Ecuador . . . . . 03 II 215
Quiriquina-Schichten,Chile
— Fauna . . . . . CBl 1904 126
— Senon . . . . . BB XVIII *181*

R.

Rachiosoma sp., ungar. Eocän . . . . . 1900 II 475
Radauthal, Harz, Mineralien . 1901 II 360 03 II 336
Radiärsepta bei foss. Echinoidenstacheln . BB XIII *195*
Radioactives Blei u. seltene Erden . . . . 02 I 336
Radioactivität d. Mineralien, Untersuchung durch photogr. Verfahren . . . . . CBl 1904 *206*
Radiolarien
— Arcevia, Miocän . . 01 I 169
— Borneo . . . . . 02 I 111
— —, tertiäre . . . . 02 II 490
— Coulsdon(Surrey), Upper Chalk . . . . . 02 II 155
— Vogtland, in Phosphoritknollen, Obersilur . . . . . BB XV *23*
Radiolarienhornstein,Davos . . . . . 01 II 96
Radiolites cordiformis, Kreide, Aquilaner Abruzzen . . . . . 04 I 98
— ga'ensis, Kreide, Abu Roasch, Egypten . . 04 I 270
Radiolitidae,Classification CBl 1903 87
Radiotin im Serpentin, schwarze Steine bei Oberscheld, Nassau BB XVIII *314*
Radiumbromid, siehe Bromradium . . . . CBl 1903 *134*
Radschputana, westl., Geologie . . . . . 1903 I 111
Rafaëlit = Paralaurionit 01 I 15
— Sierra Gorda, Chile . 1900 II 370
Rafrüti, Ct.Bern,Meteorit CBl 1900 *152*
Ragunda-Massiv, Schweden, Geologie . . . 02 I 93
Rahtit, Ducktown, Tenn. 03 II 190
Raibler Schichten
— zw. Idria u. Tribusa 01 II 124
— Mte. Judica (Prov. Catania) . . . . . 1900 I 114
— Schlernplateau,Cephalopoden . . . . . 01 II *32*
— Seiser Alp . . . . . 1900 II 416
Raimondit(?), Valdaspra 1900 I 30
Rajmahal-Flora, Lias, Piedra Pintada, Argentinien . . . . . 04 I 430
Rammelsberg, Karl Friedrich, Nekrolog . . CBl 1900 *221*
Rammelsberg b. Goslar
— Erzlagerstätte . . . 01 I 247
— Einschlüsse im Kies 04 I 398
Rampart series, Alaska 1900 II 77
Ramulina cf. Bradyi, Fornasinii u. globulifera, Bryozoenhorizont, Priabona . . . 01 I *113*
Rana Meriani, Rott a. Rh., Oberoligocän . . . . 04 II 321
Randengrobkalk
— Alter . . . . . CBl 1904 *135*
— Verh. zu Helvétien, Nordschweiz . . . . CBl 1903 *477*
Randville-Dolomit, Algonkian, Michigan . 01 II 411
Ranella pamotanensis, Tertiär, Java . . . 1900 II 289
Ranina atava(Raninella?), Upper Greensand, Wiltshire . . . . . 1900 II 308
— brevispina, Longhien, Algerien . . . . . 1900 II 148
— budapestinensis, ungar. Eocän . . . . . 1900 II 474
Rankelia elegans, Tertiär, La Plata . . . 03 II 292
Ransätit,Ransäter,Wermland . . . . . 1900 I 187
Rapakiwi
— Rödö, Christianiafjord . . . . . 1900 II 218
— Süd-Russland . . . 04 I 70

Rapakiwi
— Sylt, Diluv.-Geschiebe 1901 I *109*
— Ural, u. Contact . . 1900 I 389
— Wiborg, graph. Darstellung der Zusammensetzung . . . . 1900 I *111*
Raphitoma microstriata, Pliocän, Karikal . . 02 I 296
Rappenau, Baden, Geologie . . . . . 03 I 460
Raschau b. Schwarzenberg, Marmor . . . BB XIX *253*
Raseneisenstein
— in Mooren . . . . . 02 I 289
— Masuren . . . . . 1900 I 13
Rasgata, Meteoreisen . . 1900 I 353
Raspit
— Broken Hill, Kryst. 1900 I 196
— Sumidoru, Brasilien . CBl 1903 *723*
Rastenburg, Ostpreussen, End- und Grundmoränen . . . . . 02 II 128
Rastrites . . . . . 01 I 335
Rathit, Binnenthal, Kryst. 1902 II 182. 337
Rationale Indices und flüssige Krystalle . . 02 II 1
Rationalitätsgesetz
— bei vicinalen Flächen 03 II 158
— Lincк'sches, Alkalihaloide . . . . . BB XVIII *145*
Ratschinges-Thal b. Sterzing, Marmor . . . BB XIX *291*
Rattlesnake Formation, John Day Basin, Oregon . . . . . 04 I 419
Ratzeburg, Geologie . . 04 II 283
Raubthiere
— Wirbel der Land- . 04 I 441
— Vöklinshofen, Ober-Elsass, Diluvium . . 01 I 494
Rauchquarz, Nordamerika 01 I 33
Rauchtopas (siehe auch Morion)
— Färbung 1900 II 342. 345 01 II 336
— Mt. Apatite, Virg. . 04 II 367
Raumgitter, nahezu cubisches, rhomboëdrischer Krystalle . . . 02 I 2
Rauracien, Yonne-Dep., Seeigel-Stacheln . . CBl 1901 177
Rauris, Mineralien . . . 1900 II 359
Reactionsfähigkeit fester Körper bei hohem Druck . . . . . CBl 1901 142
Realgar
— Carrara, im Marmor 1901 I 30
— Gross-Tresny, Mähren, mit Auripigment im Graphitwerk . . . . 01 II 204
— Snohomish Co, Washington, Kryst. . . 02 II 33
Rechentabellen, petrographische . . . . . CBl 1903 *737*
Rechnung, graphische, b. Universalgoniometer 01 II 2
Rechtsdrehende Krystalle, Unterscheidung von linksdrehenden . . . 01 I 171
Recoaro
— Geologie . . . . . 01 II 98
— Sturia-Kalk . . . . 1900 II 433
— Subnodosus-Schichten 1900 I 115
— u. Schio, Spitzkalk, Trias . . . . . 1900 I 274
Rectilineare Gesteinsstructur . . . . . 04 II 49
Redonit, Clipperton-Atoll, Südsee . . . . . 1900 I 240
Reef Knolls, Untercarbon, England . . . 03 II 50
Reflectometer, Anwendung in Petrographie 1900 II 183
Reflexion
— des Lichts an Zwillingseb. vollk. durchsicht., inact., einax. Krystalle . . . . . BB XX *1*
— u. Brechung d. Lichts an durchsicht. inact. Krystallplatten . . . BB XX *159*
Refractionsconstanten kryst. Salze . . . . 1900 I 167
Refractometer
— Bestimmung d. Hauptbrechungsexp. mittelst d. Prismas . . . . . 1900 II 172
— f. mikrosk. Krystalle 1900 I 332
— neues Modell . . . . 03 II 9
— von Abbe 1900 II 180. 184. 188
— von Pulfrich mit veränderl. brechendem Winkel . . . . . 1900 II 172
— von Smith, Hand- . CBl 1904 *442*
— v Wallerant, Anwendung . . . . . 03 II 165
Regelmässige Verwachsung
— Bleiglanz u. Fahlerz. Botes-Berg . . . . . 04 II 168
— Mineralien verschiedener Art . . . . . BB XVI *335*

Regionalmetamorphe Eisenerzlager, Dunderlandsthal, Norw. . . 1904 II 414
Regionalmetamorphe Marmore . . . . . BB XIX *308*
Regionalmetamorphose am Harz . . CBl 1903 *258. 358*
Reguläre einfache Formen, Volumen . . . 04 II 333
Reguläre Krystalle, opt. Erscheinungen durch Druck . . . . . 03 II 165
Reibungsbreccien . . . 1900 I 207
Reichardtit, Vorkommen in Kalisalzlagern . . 04 I 335
Reiflinger Kalk, Bakony, Trias . . . . . 03 I 123
Reihenfolge u. Correlation d. Formationen, Süd-Afrika . . . . . 1900 I *113*
Reiher, Osteologie . . . 03 II 437
Reineckeia Bodenbenderi, enodis, espinazitensis, paucicostata pseudogoweriana, Callovien, Espinazito-Pass, Argentinien . . . . . 1900 II 117
Reinschia australis im Kerosenschiefer, Megalong . . . . . CBl 1901 90
Reit im Winkel u. Reichenhall, tert. Molluskenfauna . . . . 03 II 420
Relictenseen, Rigaer Busen . . . . . 1900 I 456
Remscheid, Devon . . . CBl 1904 *599*
Remscheider Schichten, Devon . . . . . CBl 1904 *600*
Renchgneiss, Schwarzwald 1901 I 57 04 I 385
Rendena-Schiefer, Adamellogebiet . . . . 02 I 65
Renggeri-Zone
— Berner Jura, Mollusken u. Brachiopoden 1900 I 315 01 I 139
— Lons-le-Saunier, Mollusken und Brachiopoden . . . . . 02 I 292
Rennes, Conchylien d. Obermiocän . . . . 04 II 459
Rensselaer County, N. Y., Silur . . . . . 1903 I 115. 116
Rensselaeria carinatella, confluentina, posthuma, robustella und strigiceps var. propinqua, Unterdevon, Rheingebiet . . . . . 1904 II 328
Rensselaeria laevicosta, Remscheider Schichten, Devon . . . . CBl 1904 *602*
Rensselaerien d. Unterdevon, Rheingebiet . 04 II 328
Renthierstangen aus Wiesenkalk, Norddeutschland, Maasse . . . . 01 I 155
Reophax ovuloides, Inoceramenschichten von Gorlice . . . . . 03 II 153
Reptilien
— Jura u. Kreide, Portugal . . . . . 03 I 325
— Vomer . . . . . 03 II 439
Reptoceritites Rowei, Kreide . . . . . 1900 II 484
Reschen-Scheideck, Tirol, Seen . . . . . 01 II 212
Reteporа Pignatarii, Postpliocän, Spilinga . . 1900 II 158
Reticrisina, Kreide . . 1900 II 484
Reticulipora patagonica, patag. Form. . . . . 02 I 295
Retinit, Thessalien 1902 I 357 03 II 389
Retiograptus . . . . . 01 I 353
Retiolitidi, poln. Mittelgebirge . . . . . BB XIII *336*
Retiolitidi u. Retiolites 01 I 335
Retusa mirabilis u. Pellati, Jura, Frankreich 1900 II 153
Retzia Fuchsi, Trias, China . . . . . 1900 I *205*
— magnifica, ob. Trias, Gajine, Bosnien . . 04 I 117
Reutlingen, Amaltheenthon . . . . . 1900 II 113
Rhabdion, Carbon, Schladebach . . . . . 04 I 476
Rhabdit
— chemisch . . . . . 04 I 12
— Krystallform . . . . 04 II 12
Rhabdocarpus mucronatus u. rostratus, Kohlenbecken, Autun u. Epinac . . . . . 02 II 167
Rhabdocidaris Abbatei u. Gaillardoti, Eocän, Egypten . . . . . 03 I 532
— abdaensis, libanoticus u. orientalis, Kreide, Libanon . . . . . 03 II 454

Rhabdocidaris libyensis, Egypten . . . . . 1900 I 317
— Rovasendai, Gassino-Kalk, Piemont und Ligurien . . . . . 03 II 453
— Schweinfurthi, Turon, Egypten . . . . . 03 I 532
Rhabdoconcha Fritschi, mitteldeutscher Muschelkalk . . . . 04 I 314
Rhabdocyathus sibiricus, Torgoschino-Schichten, Cambrium, Sibirien . . . . . 01 I 115
Rhabdosphären, Organisation . . . . . 1900 I 487
Rhabdospira compacta u. Selkirkii, Carbon, England . . . . . 02 II 150
Rhacheosaurus = Geosaurus . . . . . 03 I 153
Rhachiopteris . . . . . 1900 I 485
— esnostensis, Kohlenbecken, Autun und Epinac . . . . . 02 II 165
Rhacophyllites, savoische Alpen, mittl. Lias . 02 I 441
— admirandus, gigas, Quadrii, u. separabilis, Lias, Mte. Cetona, Siena . . . . . 03 I 301
— bucovinicus, unt. Lias, Bukowina . . . 1902 II 269. 270
Rhacopteris subcuneata, Carbon, Schottland . 01 I 523
Rhadinichthys monensis, Yorkshire, Kohlenformation . . . . . 02 I 309
Rhät
— Najadita, Bau u. Verwandtschaft . . . . CBl 1901 314
— Amelia-Berge (Umbrien) . . . . . 04 II 247
— Bornholm . . . . 1901 I 96. 103
— —, Pflanzen . . . . 01 I 103
— Bridgend, Glamorganshire, mit Zanclodon cambrensis . . . . . 1900 I 310
— Bristol . . . . . 03 I 298
— England . . . . . CBl 1904 59
— Limone u. Vicola, im Tunnel . . . . . 1900 II 265
— Narni und Terni . . 04 II 248
— Schwaben, Myophoria inflata . . . . . 1900 I *218*
— Wales . . . . . CBl 1904 219
Rhät
— Wedmore Hill, grosse Saurier . . . . . 1900 I 310
— und Lias am Niederrhein . . . . . CBl 1903 *722*
Rhätidia, St. Cassian . . 02 II 487
Rhätikon
— Geologie CBl 1901 *233* CBl 1902 115
— Petrographie u. Tektonik des östlichen . 1900 I *120*
Rhätische Ueberschiebung CBl 1902 114
Rhätisches Gebirge, Geologie . . . . CBl 1902 114. 120
Rhagasostoma turonica, Frankreich, Kreide . 02 I 491
Rhamphocephalus . . . 02 II 481
Rhamphorhynchoidea . . 02 II 145
Rhamphorhynchus . . . 02 II 480
Rhaphidonema cenomanense, Cenoman, Kamajka . . . . . 04 II 157
Rhayader, Wales, Silur 01 I 456
— pale shales, Wales, Silur . . . . . 01 I 457
Rhectopsammia claibornensis, Palaeogen, Nordamerika . . . . 04 I 470
Rheindurchbruch zwisch. Bingen und Lorch, Bildung . . . . . CBl 1900 *283*
Rheinhessen
— Schwerspath im Meeressand . . . . . 02 I 354
— Tertiär . . . . . 1900 II *54*
— Trinkwasserversorgung 1903 II 123 04 II 81
Rheinthal
— Bildung zwisch. Neuwieder Becken und Bonn–Cölner Bucht 04 II 440
— bei Mannheim etc., Geologie . . . . . 01 I 441
— Steinsalz und Kohle des unteren . . . . 01 I 437
Rhineoderma Andrieui, Kohlenkalk, Visé . . 01 II 457
— nikitowkensis, oberpalaeoz., Russland . 01 I 311
Rhinoceros, Quartär, Algerien . . . . . 01 II 147
— vollst. Skelett, Hundsheim . . . . . CBl 1901 55
— Zähne, jungtertiär, Gobi, östl. Mongolei 03 I 146
— antiquitatis, Pössneck, Unterkiefer . . 03 I 562

Rhinoceros antiquitatis, Prag, bearbeitete Knochen . . . . . 1900 II 455
— asphaltense (Diceratherium), Pyrimont u. Challonges, Savoyen, Oligocän . . . . . 04 I 443
— Brancoi u. Habereri, Tertiär, China . . . CBl 1902 *532*
— hundsheimensis (Ceratorhinus), Hundsheim (Nieder-Oesterreich), Alt-Pleistocän . . . 04 I 300
— megarhinus, Parma, Skelett . . . . . 01 I 151
— Mercki, Jagdthier d. altdiluv. Menschen, Thüringen . . . . . 02 II 132
— minutum (Aceratherium), Oligocän. Pyrimont u. Challonges . 04 I 444
— palaeindicus u. siwalensis . . . . . 03 I 560
— tichorhinus, Kurgan, Gouv. Tobolsk, Schädel 03 I 324
Rhinoceros-Arten, Museum in Parma . . 01 I 151
Rhinoceros-Reste, Museum in Leyden . . 02 II 298
Rhinocerotiden
— Phylogenie . . . . . 03 I 554
— Schädel und Gebiss . 01 II 300
Rhinocerotinae . . . . 03 I 560
Rhinocerotoidea . . . . 01 II 300
Rhinolophus delphinensis, La Grive St. Alban, Miocän . . . . 03 II 125
Rhipidogyra Poseidonis, Gosauschichten, Ostalpen . . . . . 04 II 153
Rhipidomella ? sp., Devon, White Cliff . . BB XIV *502*
Rhizodopsis mazonicus, Carbon. Mazon creek . 03 II 442
Rhizomopteris, Kohlenform., Frankreich . . 03 II 154
— Nordenskiöldi, Devon, Bäreninsel . . . . . 04 II 476
Rhizopoterion cervicorne var. profunda, regulare u. Zitteli, senone ost- und westpreuss. Diluvial-Geschiebe . 04 II 159
Rhodanomys Schlosseri, Pyrimont u. Challonges, Oligocän . . . 04 I 443
Rhode Island, Granit . 1901 II 244
Rhodochrosit, siehe Manganspath.
Rhodolith
— Nordamerika . . . . 03 II 40
— u. Begleitmineralien, N.-Carolina . . . . 1900 I 187
Rhodonit
— Agordo . . . . . 03 I 203
— Broken Hill, Austr. 01 I 86
— Gross-Veitsch, Steiermark, Pyrolusit, pseudomorph, nach Rh. . 01 II 6
— — —, Quarz nach Rh. 01 II 6
— Mähren . . . . . CBl 1904 *362*
— —, ist rother Zoisit . CBl 1901 *689*
— Nordamerika, Edelst., Vorkommen . . . . CBl 1902 405
— Old Hampshire Co. (Cummingtonit) . . 01 I 36
Rhodonitähnl. Mineral, Kangerdluarsuk . . 1900 I 349
Rhodope-Gebirge, Mineralien . . . . . 1901 II 363. 364
Rhodope-Masse, Geologie 03 II 248
Rhoechinus elegans, Carbon, Rossbergmassiv, Elsass . . . . . 01 II 161
Rhön
— schwarze Berge, Gesteine . . . . . 04 II 205
— Vulcane . . . . . CBl 1902 *459*
— vulcan. Durchbrüche 04 II 41
Rhombenporphyr
— Amrum, Geschiebe . 03 I *99*
— Christiania . . . . 01 I 407
— Sylt, Diluv.-Geschiebe 01 I *105*
Rhomboëdr. Carbonate, neues Co-haltiges Glied . . . . . CBl 1903 *13*
Rhombomya rhombifera, Tertiär. Piemont u. Ligurien . . . . . 02 II 309
Rhophalodon, Perm, Texas, verglichen m. Anomosaurus . . . BB XX *347*
Rhynchaeites messelensis, Braunkohle, Messel bei Darmstadt . . . 1900 I 449
Rhynchippus equinus u. pumilus, Pyrotherium-Schichten, Argentin. 1900 II 301
Rhynchocephalus, Schädel, Chalk v. Cuxton 02 II 300
Rhynchodus, Devon, Eifel 1900 I 65
— emigratus, Devon, Eifel CBl 1900 *178*

Rhynchogonium Weissii, jüngere Steinkohlenform., Prov. Sachsen 1901 I 458
Rhynchonella ambitiosa, begum, nissa u. perpusilla, Muschelkalk, Trebevic, Bosnien . 04 I 116
— ammergaviensis und pseudo-regia, Dachsteinkalk, Ammergebirge . . . . . 01 I 260
— argentinica, Mörickei, Bajocien, Espinazito-Pass, Argentinien . . 1900 II 116
— Arthaberi, Kelloway, rumän. Südkarpathen 1900 II 294
— bambanagensis, Hauerites beds, Obertrias, Himalaya . . . . . 03 I 170
— Dannenbergi mut. minor, dunensis u. pila, Untercoblenz, Oberstadtfeld . . . . . 03 I 528
— cfr. Dannenbergi und daleidensis, Unterdevon zwischen Marburg und Herborn . BB XVII *59*
— decurtata, Vorkommen CBl 1904 *503*
— deserta, obere Trias, Gajine, Bosnien . . 04 I 117
— dinarica, illyrica, Pastrovicchiana u. vicaria, Muschelkalk, Süddalmatien . . . . . 04 I 115
— Dumonti, Matagne-Schiefer, Belgien . . 01 II 440
— Dunii (= pleurodon), Devon, White Cliff, Australien . . . . . BB XIV *504*
— espinazitensis, Callovien, Espinazito-Pass, Argentinien . . . . 1900 II 117
— Eyrei, Kreide, Südaustralien . . . . . 04 I 119
— Glockeri, Friči, Pompeckji u. strambergensis, Stramberg, Tithon 1900 II 315
— inversaeformis u. pillula, Mittellias, Südtirol 01 I 167
— lodanensis, Leun a. Lahn, Tentaculitenschiefer . . . . . 1900 II 281
— Maleniana, Aranii u. Fucinii, Zone d. Lioc. opalinum, Rossano in Calabrien . . . . . 1900 II 453
Rhynchonella manganophila (Norella), Muschelkalk, Cevljanovich, Bosnien . . . 1904 I 117
— oberula und orthidioides, Kreide, Königin Charlotte-Inseln 02 I 292
— Omaliusi u. Dumonti, geolog. Bedeutung . 03 II 106
— rionensis, Kreide, Kaukasus . . . . . 01 I 472
— sinensis, Trias, China 1900 I *206*
— subnobilis, ob. Jura, Deutsch-Ostafrika . 01 II 295
— Tornquisti, Kreide, Deutsch-Ostafrika . 01 II 295
Rhynchonellina adunca, Bösei, Canavarii, Capellinii, carenata, clathrata, Di-Stefanoi, filosostriata, Gastonei, globosa, insignis, irionensis, isidensis, Neumayri, reticulata, striatula, Taramellii, tenuicostata u. uncinata, Jura, Sicilien 01 II 157
— ammergaviensis, Lias γ u. δ, Weidachlahne 1900 II 416
Rhynchosauria . . . . . 01 II 475
Rhynchosaurus-Fährten, Staffordshire, Keuper, 03 I 158
Rhynchotella, Kreide, Frankreich . . . . . 02 I 490
Rhynchoteuthis (? Dutemplei) im Senon, Beauvais, Frankreich . . CBl 1901 475
— Dutemplei, Senon, Beauvais . . . . . 02 I 481
Rhyncopora incurvata, Neogen, Calabrien . 03 I 535
Rhyolith
— kaolinisirt . . . . . BB XV *358*
— Antarcticum . . . . 1900 II 238
— Aroostock County, Maine . . . . . 03 I 428
— Neu-Seeland, Hauraki-Goldfelder . . . . . 01 I 78
— —, u. Tuffe . . . . 01 II 71
— Pachuca, Mexico . . 04 I 230
— Sardinien . . . . . 1900 I 219
— Somaliland . . . . . 02 I 411
— —, Aegirin- u. Riebeckit- 01 I 226
— Vlagyasza-Gebirge, Ungarn . . . . . 03 II 72
— siehe auch Liparit.

Rhyolith-Gneiss, Fox River Valley, Wisc. 1901 II 243
Rhyolithische Gesteine, Dufton Pike, Westmorland . . . . . CBl 1901 53
Rhyolithporphyr, Judith Mts., Montana . . . 1900 I 406
Rhyolithtuff
— Neuseeland . . . . . 01 II 71
— Oaxaca, Mexico . . . 1900 II 232
— Sierra Nevada, Cal. . 1900 II 66
Rhytidopilus, Jura, Frankreich . . . . . 1900 II 153
Rhytisma carpini, böhm. Mittelgebirge . . . . 1900 II 329
Richellit mit Gyps . . 01 I 203
Richtkraft, molekulare, d. Krystalle . . . . 03 I 178
Rickardit, Good Hope Mine, Col. . . . . 04 II 12
Riebeckit
— Einwirkung v. Salmiak . . 1903 I 395 04 II 6
— Abessynien, im Trachyt . . . . . 01 I. 18
— Dobrudscha, im Granit 01 I 69
— Gloggnitz, Dispersion d. Doppelbrechung . 04 I 161
— Grönland, im Nephelinsyenit . . . . . 01 I 44
— Mariupoler Kreis, Südrussland, im Felsitporphyr u. Syenit . . 1900 I 392
— Portugal, im Alkaligranit, von Alter Pedroso, Prov. Alemtejo CBl 1902 *50*
— Somaliland, im Rhyolith . . . . . 01 I 226
Riebeckit-Aegirin-Tinguáit, Rupbachthal . 02 II 57
Riebeckit-Feldspath-Gesteine, Abessynien . 01 II 391
Riebeckitgranit
— Dobrudscha . . . . 01 I 68
— Madagascar . . . . 02 I 220
— Sokotra . . . . . 03 II 195
Riebeckitrhyolith, Somaliland . . . . . 01 I 226
Riedel = Doabs . . . 01 I 52
Riegel im Carbon, Schlesien . . . . . CBl 1900 *341*
Ries
— Bau u. Geschichte . CBl 1900 *280*
— Eruptionen, Obermiocän . . . . . CBl 1901 *133*
— Geologie 1904 I 406 BB XV *422*
Ries, Schlifflächen und Geologie . . . . 1901 II *67. 128*
Rieseleis (Krystallform, Schichtung) . . BB XVIII *63. 74*
Riesenalk, ausgestorben 1904 I 137
Riesengebirge
— Diluvium des nördl. . 01 I *89*
— Ganggesteine d. Granits . . . . . CBl 1902 *676*
— granit. Gesteine . . BB XV *105*
— Quartär u. Eiszeit . 1900 I 126
Riesentöpfe. Gommern bei Magdeburg . . . 03 II 115
Riesentopfbildung, recente, im Geschiebemergel d. Ostseeküste CBl 1903 *414*
Riesenvögel, ausgestorbene . . . . . 01 II 474
Rieti, Gegend, Erdbeben seit 80 v. Chr. . . . 1900 II 376
Riffe, Korallen-, gehobene, Curaçao . . . . . 02 I 320
Riga, Geologie . . . . 04 II 86
Rigaer Strand, postglac. Hebung, Torfschiefer u. Bernstein . . . . 1900 I 455
Rigaud Mountain, Canada, Geologie . . . 03 I 437
Rilagebirge, Vergletscherung . . . . . 1900 II 381
Rimella duplicicosta, Egypten, Nummulitenfauna . . . . . 02 I 464
Rimula delicatula, Eocän, Loire inférieure . . 03 I 128
— jonica, Zone d. Lioc. opalinum, Rossano in Calabrien . . . . . 1900 II 453
Rinder
— prähistorische . . . 03 II 133
— Vindonissa . . . . . 03 I 149
Ringicardium acuticostatum, Quiriquina-Schichten, Chile . BB XVIII *231*
Ringicula Bonneti, Pliocän. Karikal . . . . 02 I 296
— Ptahis, ob. Kreide, lib. Wüste . . . . . 03 I 510
Rinkit, Kangerdluarsuk, Grönland . . . . . 1900 I 349
Rinkit-ähnliches Mineral, Grönland . . . . . 1900 I 350
Rio Negro-Gebiet, Argentinien, Geologie . . 02 I 433
Rio Negro-Sandstein, Tertiär, Argentinien . . 02 I 433

Rio Negro-Sandsteinformation, Patagonien . 1900 I *228*
Rio Tinto, Concentration d. Elemente . . . . 1900 II 242
Rissoa gymnoides, Jura, England . . . . . 01 I 513
— texta, Paraná-Stufe . BB XIV *223*
Rissoina pseudodiscreta, oligocän, venet. Voralpen . . . . . 01 II 282
Ristinge Klint, Langeland, Diluvium . . . BB XVI *74*
Riukiu-Curve, Geologie . 03 II 254
Riukiu-Inseln
— gehobene Korallenriffe . . . . . 03 II 254
— Tertiär . . . . . 1903 II 254 ff.
Riva, Carlo, Nekrolog . CBl 1902 *673*
Rivagna di Novale, Eocänfauna in Basalttuffen . 1902 I 286 04 I 288
Riversdale-Schichten, Neu-Braunschweig, pflanzenführend, Devon . 03 I 330
Rivoli, Moränengebiet . 04 II 457
Rixdorf, Diluvium . . . BB XVI *52*
Rizzonit, Rizzoni, Monzonigebiet . . . . . 04 I 388
Rjazan-Horizont, Gouv. Simbirsk . . . . . 01 II 126
Robinia affinis, Miocän, Rumänien . . . . . 1900 II 491
Robustites 1903 I 318 CBl 1901 *557*
Roccanera, Mussa-Ebene, Mineralien . . . . . CBl 1900 *41*
Rockall Island, Gesteine 1900 II 405
Rockallit . . . . . 02 I 216
— Rockall Island . . . 1900 II 406
Rocky Hill, N. J., Trappgang, triassisch . . 01 I 243
Rodheim, Unterdevon . BB XVII *14*
Rocnoir, Dent Blanche-Massiv, Wallis, Granitgneiss . . . . . 01 I *49*
Rodentia, Pyrotherium-Schichten, Argentinien 1900 II 304
Roebourne, Meteoreisen 1900 I 352
Rödö, Christianiafjord, Eruptivgesteine . . . 1900 II 218
Roemerit, Entstehung, Nachbildung u. Formel . . . . . 04 II 191
Roesslerit, künstl. Darstellung . . . . . 04 II 187
Röthel, pseudom. n. Aktinolith, Brasilien . . 01 II 7
Röthidolomit-Quartenschiefer, Piz Urlaun, mikroskopische Untersuchung . . . . . 1902 I 219
Rofnagestein, Metamorphose . . . . . 04 II 387
Rogensteine, Bildung . BB XVI *495*
Rognac-Horizont, Tertiär, Gegend v. Narbonne . . . . . 01 I 126
Rollsteinfeld, Vorpommern, Rügen etc. . . 04 II 449
Rolshausen, Unterdevon BB XVII *21*
— Singhofener Horizont BB XVII *67*
Rom, Gegend
— Diatomeenlager . . . 02 I 258
— Erdbeben 19. Juli 1899 01 I 215
— Geologie . . . . . 03 I 280
— Magneteisen . . . . 1900 I 8
— Palatin, Geologie . . 04 II 421
Rondesparagmit, südl. Norwegen . . . . . 1900 I 268
Rondout waterlime, Silur, New York . . . . . 01 II 265
Rongstock, Essexitkörper, kein Lakkolith . CBl 1901 *119*
Rongstock—Bodenbach, Böhmen, geol. Karte . 1900 II 81
Ronzotherium Gaudryi u. velaunum . . . . 03 I 555
— Reichenaui, Oligocän, Weinheim b. Alzey . 04 II 469
Rosa, Marmor, Carrara BB XIX *280*
Rosas, Sardinien, Mineralien . . . . . 1900 II 357. 364
Roscoelith, chem. etc. . 1900 II 21
Rosenegg, Hegau
— Mineralien . . . . . 01 I 30
— Pseudomorphosen . . 1900 I 22
Rossano in Calabrien, Fauna d. Zone des Lioceras opalinum . 1900 II 453
Rossbach, Nassau
— Obercoblenz . . . . BB XVII *69*
— Unterdevon . . . . BB XVII *28*
Rossbergmassiv, Südvogesen, Untercarbon, Echiniden . . . . . 01 II 158
Rosso ammonitico, Ammoniten . . . . . 01 I 468
Rostellaria chubutensis u. striatissima, Kreide, Pico Salamanca, Argentinien . . . . . 04 II 287
— butaciana, Powisi var. modesta, Verbeeki.

spinifera, tjilonganensis u. semicancellata, Tertiär, Java . . . 1900 II 289
Rostellites Willistoni, Bentongruppe, Kansas 01 II 298
Rotalia, Tertiär, Italien 1900 I 318
— papillosa var. tuberculata, grüner Tuff, S. Giovanni Ilarione 03 II 152
— cf. Soldanii, Bryozoenhorizont, Priabona . 01 I *127*
Rotaliden, Tert., Italien 1900 I 318
Rothbleierz
— isom. m. Monazit . . CBl 1901 507
— Tasmanien, Krystalle 03 I 396
— u. Monazit, Beziehung zwischen Molekularvolumen u. chem. Zusammensetzung . . . 04 I 5
Rotheisenstein
— Entstehung . . . . 02 II 345
— Bogoslowsk'sches Bergrevier, pseudom. nach Granat . . . . . 1900 I 343
— Brasilien, pseudom. nach Schwefelkies . 01 II 7
— Dherwèn Quelle, Thessalien . . . . . BB XVIII *52*
— Wesergebiet bei Minden, oolithisch . . . 04 II 412
— Zinnwald, pseudom. nach Wolframit . . 03 I 181
— siehe auch Eisenglanz etc.
Rotheisensteinlagerstätten im Devon, Harz, Entstehung . . . . 03 I *179*
Rother Granit, Südafrika 1900 I *117*
Rothes Cliff, Sylt, diluv. Moränen etc. . . . . 01 I *101*
Rothes Meer
— Conchylien der pleistoc. Uferterrassen . 01 II 291
— Entstehung . . . . CBl 1900 *214*
— Geschichte . . . . . CBl 1900 *277*
— Morphologie u. Entstehung . . . . . 01 I 265
— Untersuchung . . . 01 I 55
— zum Nil, Geologie . 02 I 101
Rothgiltigerz
— Krystalle . . . . . 04 I 11
— verwachsen mit Markasit . . . . . BB XVI *378*
— — mit Silberglanz . BB XVI *351*
— Andreasberg. Zwillinge u. Rinnenbildung 01 II 175
Rothgiltigerz
— Little Belt Mountains, Montana . . . . . 01 II 367
— Sarrabus . . . . . 01 II 361
— siehe auch Proustit und Pyrargyrit.
Rothkupfererz
— jodhaltig, Neu-Süd-Wales . . . . . 1900 II 41. 350
— verwachsen m. Kupfer BB XVI *337*
— Verwitterung von Kupfermünzen . . . 04 I 330
— Åtvidaberg, Schweden, künstlich . . . 03 I 184
— Bogoslowsk'sches Bergrevier . . . . . 1900 I 344
— Dhramala, Thessalien, Pseudom. von Malachit nach R. . . . . BB XVIII *52*
— Engihoul, Belgien . 01 I 186
— Obran, Mähren . . . CBl 1904 *357*
— Neu-Süd Wales, jodhaltig . . . . . 1900 II 41. 350
— Rosas, Sardinien 1900 I 29 1900 II 365
Rothliegendes
— palaeont. Charakter . 03 II 455
— Chemnitz-Hilbersdorf, Araucaritenhölzer u. Verkieselungsprocess 02 II 491
— Elsass . . . . . 01 II 423
— Hausach, Schwarzwald . . . . . 03 I 455
— Hessen, südliches . . 02 II 94
— Ilfeld, Flora CBl 1901 *417. 590*
— Sachsen, Provinz . . 01 I 458
— Saltrange (Indien) = Pandschab'sche Stufe BB XIV *369*
— schles.-böhm. Grenze CBl 1900 *337*
— Tambach, Thüringen, Ichnium-Fährten 1900 I 311
— Zwickau, Versteinerungen (Pflanzen) . 03 II 402
— u. jüngere Steinkohlenformation, Provinz Sachsen . . . . . 04 I 470
Rothnickelkies, Krystalle 03 I 375
Rothspiessglanz, Cetine di Cotorniano, Toscana . . . . . 03 I 184
Rottweil (Württemberg), Geologie . . . . . 01 I 132
Rotuma-Insel, Südsee, Geologie . . . . . 1900 I 238
Rousselia Guilhoti, Kreide, Portugal . . . . 02 I 486

Rovasendia Canavarii, Gassino-Kalk, Piemont u. Ligurien . . 1903 II 453
Rowe-Schiefer, Untersilur, Massachusetts 1900 II 87
Royat (Puy-de-Dôme), Fumarolenmineralien 1900 I 30
— —, Mineralwasser . 02 I 71
Rubidium, Beziehung zu Kalium u. Cäsium . 04 II 167
Rubidiumhaloide, Kryst., eutrop. Beziehungen u. phys. Eigenschaften BB XVIII *121ff.*
Rubin
— künstlich, durch Schmelzung . . . . 03 II 325
— phys. Eigenschaften . 1900 I *168*
— Wirkung des Lichtes 03 I 360
— Birma u. Siam, Anal. CBl 1902 145
— Ceylon . . . . . 02 I 194
— —, Polychroismus . 04 II 342
— Nordamerika 1900 I 199 03 II 40
— —, Vorkommen als Edelstein . . CBl 1902 403. 405
— Nordcarolina, Vorkommen u. Krystalle 1901 I 187. 189
— siehe auch Korund etc.
Rubrit = Palacheit . . 04 II 188
Rudisten
— Amerika . . . . . 1900 II 480
— geogr. Verbreitung . 02 I 449
— Kreide, Vorkommen . 02 I 486
Rudistenführende Schichten, Texas . . . . . 1900 II 480
Rudistenkalk, istro-dalmatin., Vola Lapparenti u. Chondrodonta Joannae-Munsoni . . 04 I 149
Rudolfsee, Westafrika . 01 I 104
Rübeland, Höhlen, Vogelfauna . . . . . 04 I 136
Rückschlagsformen liass. Ammoniten . . . . 04 I *30*
Rüdersdorf, Glacialbildungen . . . . . BB XVI *11*
Rügen
— Entwicklung des Bodenreliefs während d. letzten Vereisung . . 04 II 448
— Geologie . . . . 1902 I 457. 461
— Kreide mit Hexagonaria u. Goniolina . CBl 1901 *469*
— Tektonik u. Eisdruck 04 II 123
Rügenwalde, geologische Karte, Flachland . . 1900 II 411
Rufilla, Trias, Hallstatt 02 I 144
Rugose Korallen, palaeoz., New York . . . . . 03 I 483
Rullstensåsar Entstehung . . . . 1900 I 292
— Süd-Schonen . . . . 01 II 289
Rum (Insel), Geologie . 04 II 422
Rumänien
— eocäne Fische . . . 01 II 148
— Erdbeben . . . . 1900 I 204
— fossile Kameele und pleistoc. Steppenzeit 03 I 347
— Gesteine . . . . . 1900 II 393
— Mineralien . . . . . 01 II 364
— Olt- und Oletzthal, Kreide . . . . . 01 II 280
— Pflanzen . . . . . 1900 II 490
— russische Tafel . . . CBl 1901 *193*
— Salzlagerstätten . . 04 II 232
Rumänische Karpathen
— Geologie und Petrographie . . . . . 1900 I 61
— Kelloway der südl. . 1900 II 294
— obere Kreide . . . . 1900 II 286
— Tithon u. Neocom . 1900 I 429
Rumpfit, Häuselberg u. Jassing bei Leoben, Steiermark . . . . . 03 II 30
Rupelthon . . . . . CBl 1902 *567*
— unter der luxemburg. Campine . . . . . 01 I 126
Russische Polarexpedition, siehe Sibirien u. Toll.
Russische Tafel in Rumänien . . . . . CBl 1901 *193*
Russland
— Eisenerze d. unteren Kreide, Simbirsk'sches Gouvernement . 01 II 406
— — u. Manganerze 1901 II 407 ff.
— Endmoränen v. Weissrussland und Lithauen 03 II 412
— Geologie des südöstl. 01 I 263
— Kreide, untere . . . 02 I 442
— Liman v. Minss etc. CBl 1900 *333*
siehe auch Limane.
— Quartär . . . . 1904 II 262. 269
— sarmat. Stufe, Gliederung und Verbreitung im südlichen . . . . 1900 I 290
— Schwerspath . . . . 02 II 356
— Stilpnomelan u. Thuringit . . . . . 02 II 351

Russland
— südrussisches kryst. Plateau . 1900 I 390 1900 II 95
— tert. Selenodonten . 04 II 315
— Untersilur, vergl. m. skandinavischem . . CBl 1901 *611*
— Zonalität in der Verbreitung der Böden in Transkaspien, Aralokaspien etc. . . . . 01 II 65
Rustschuk, Bulgarien, Geologie d. Umgegend 1900 I *29*
Rutil
— magnet. Influenz . . BB XIX *419*
— Molecular gewicht Ti_3O_4 . . . . . CBl 1903 25
— Molecularvolumen in Beziehung zu Zirkon, und Formel . . . . 04 I 5
— Polychroismus . . . 04 II 341
— Structur d. Krystalle CBl 1902 *72*
— verwachsen m. Anatas BB XVI *392*
— — mit Brookit . . . BB XVI *396*
— — mit Eisenglanz u. Titaneisen . . . . . BB XVI *376*
— — mit Glimmer . . BB XVI *396*
— — mit Korund . . . BB XVI *378*
— — mit Magneteisen . BB XVI *352*
— Binnenthal . . . . . 1900 I 12
— — mit Magneteisen, pseudom. n. Ilmenit 03 I 182
— Brasilien, im Quarz, Volumvermehrung . 03 I 188
— — u. Ural, pseudom. n. Anatas (captivos) . BB XVI *392*
— Brusson, Piemont, im Grünschiefer . . . . CBl 1901 *306*
— Carrara, im Marmor 01 I 30
— Feistritz, Steiermark 03 II 30
— Graves Mountains, Georgia. Analyse . . CBl 1902 144
— Piz Aul, Graubünden, im Bergkrystall . . 1900 II 12
— Portugal, im Staubfall vom Januar 1902 CBl 1902 *260*
— Tintagel, Cornwall . 02 I 190
Rutilquarz, Nordamerika 03 II 40
Ryphodon Lankasteri, patagon. Schichten, Patagonien . . . . 01 II 471

S.

Saalekies, pleistocän, fossilführend, Uichteritz 04 I 103
Saalfeld, Culm, Pflanzen 04 I 317
Saalfelden, transversale Schieferung d. Werfener Schiefer . . . 1900 I *143*
SaarbrückerKohlensattel, Beziehg. z. Lothringer Hauptsattel . . . . CBl 1904 *390*
Saba, Westindien, Geol. CBl 1901 538 CBl 1903 *314*
Sablé-sur-Sarthe, Geologie CBl 1904 310
Sachalin
— Kreide . . . . . 01 II 298
— Steinkohlen . . . . 01 II 83
Sachsen
— Cambrium u. Silur . CBl 1903 *577*
— Entstehung des Granulitgebirges . CBl 1904 *196. 625*
— Erdbeben 1898—1900 01 II 374
— Gesteine . . . . . 04 I 39
— jüngere Steinkohlenformation u. Rothliegendes der Provinz 1901 I 458 04 I 470
— Kaolinlager . . BB XV *334. 353*
Sacramento, Meteorit, Fall . . . . . 1900 I 352
Säugethiere
— Brachycephalie u. Dolichocephalie der niederen . . . . . 04 II 302
— diluviale . . . . . BB XVI *52*
— eocäne, Marsh Collection . . . . . 04 I 446
— foramen entepicondyloideum u. trochanter 04 I 121
— in Höhlen, siehe Höhlen u. Knochenhöhlen
— Insectivoren, Entwicklung d. Zahnsystems 01 I 299
— Phylogenie auf Grund d. Gebisses . . . . 04 II 144
— Reduktion des Gebisses . . . . . 1900 II 132
— Ursache d. Aussterbens im Diluvium . 03 I 554
— Ursprung 1900 II 135 03 I 144
— Vertheilung auf die Formationen . . . . 02 II 274
— Vomer, vergl. m. Reptilien . . . . . 03 II 439
— Zahnentwickelung . 02 I 296
— Algerien, Quartär . 01 II 146
— —, Suiden d. Quartär 01 I 147
— Argentinien, patag. Formation . . . . . 1900 II 296
— —, Pyrotherium-Horizont . . . . . 1900 II 297

Säugethiere
- Argentinien, Tertiär etc. 1902 I 434 1904 I 121. 289
Bessarabien, Unter-Miocän . . . . . 1903 I 325
China, fossile . . . CBl 1902 529
Colorado, NO.- . . . 04 I 123
- Corsica . . . . . 1900 II 459
— Glastonbury, Somerset, in Pfahlbauten (u. Vögel) . . . . . 01 I 155
— Huerfano Lake Basin, Col., Eocän . . 1900 I 132
— Ightham (Kent) in Spalten . . . . . 03 I 564
— Lago del Mercure, Calabrien . . . . . 1900 II 141
— La Grive St. Alban, Miocän . . . . . 03 II 124
— Madagascar (Ambolisatra) . . . . . 03 I 353
— Nordamerika, Palo Duro-bed . . . . . 01 II 139
— —, tertiäre Land- . 01 II 136
— Patagonien, Kreide des südlichen . . . 1900 II 426
— —, mesozoische . . 01 II 469
— Puerco- u. Torrejon-Fauna . . . . . 1900 I 299
— Pyrimont (Savoyen), aquitan. Asphaltgruben 01 I 146
— — u. Challonges, Savoy. 04 I 443
— Samos . . . . . 1900 I *66*
— Schweden, Quartär . 01 I 146
— Sibirien, Altai u. Ural, Quartär . . . . . 03 I 324
— Südfrankreich, Quartär 02 II 143
— Tarija-Thal, Argent. 04 I 289
— Waltsch, im Basalttuff . . . . . 03 I 349
— siehe auch Quartär, Tertiär, Höhlen etc.
Säugethierfauna, Mosbach . . . . . 1900 II 456
Säugethierfaunen, Bayern u. Württemberg, miocäne . . . . . BB XIX *485*
Säugethierhorizonte im Tertiär etc. in Europa u. Amerika . . 02 II 275
Säugethiermolaren, complicirte, Erklärung . 02 II 134
Säugethierzahnformen, Entstehung . . . . 04 II 300
Säulenförmige Absonderung d. Eruptivgest. CBl 1901 *481*
Sagamos . . . . . CBl 1903 697
Sagana, Hallstatt, Trias 1902 I 144
Sagenina, Funafuti-Atoll 04 II 160
Sagenodus Copeanus, Carbon, Kansas . . . . 01 II 149
— cristatus, Perm, Mazon Creek, Ill. . . . 04 I 142
Saghatherium antiquum, Eocän, Egypten 1903 I 565 04 I 136
— — u. minus, Tert., Fayum, Egypten . . 04 I 136
Sagittario-Thal, Geol. . 02 I 426
Sahara, Kreideseeigel . CBl 1901 506
Saiga, Vorkommen in Südfrankreich . . . 03 II 132
Saiga-Schädel, Diluvialthon von Kulm in Westpreussen . . . 02 II 458
Saintopsis, Tert., Piemont u. Ligurien . . . . 02 II 309
Saksagan'sches Becken, Südrussland, Geol. . 1900 II 95
Saksagan'sche Quarzitschiefergruppe . . . 1900 II 97
Salagrube, Schweden, Mineralien . . . . . 1900 I 31
Salair-Gebirge am Altai, Archaeocyathinen im Devon . . . . . CBl 1901 214
Salasiella fossilis, tert. Landschneckenmergel, Oppeln . . . . . 03 I 540
Salemas, Salemos . . . CBl 1903 697
Salenia hokkaidoensis, Kreide, Japan . . . 03 II 454
— maxima, Pesmei und Rejaudryi, Kreide, SW.-Frankreich . . 1900 II 161
Saleske, geol. Karte, Flachland . . . . . 1900 II 411
Salfemanische Eruptivgesteine . . . . . CBl 1903 680
Salfemisch abnormativer Modus d. Eruptivgesteine . . . . . CBl 1903 687
Salies-du-Salat, metamorphes Steinsalz . . . 1900 I 4
Salina, Geologie . . . . 1900 II 49
Salina-Schichten, New York, Crustaceen . . 03 I 335
Salische Eruptivgesteine CBl 1903 679
Salit, Hessen-Nassau, im Pikrit . . . . . BB XVIII *321*
Salix Stefanescui, Pliocän, Rumänien . . . 1900 II 492

Salm-Thal, Belgien, Cambrium . . . . . 1901 II 114
Salmiak
— Einwirkung auf Analcim und Leucit . . 01 I 27
— — auf Silicate 1903 I 393 04 II 3
— — auf Zeolithe . . 01 II 339
— Krystalle . . . . . 03 II 170
— —, verzerrte . . . . 02 I 164
— optisch anomal durch Druck . . . . . 03 II 165
— Vesuvkrater 1902 I 209 CBl 1901 *45*
— Wasser u. Eisenchlorid, Gleichgewicht . 1900 I 335
Salmiak-Gruppe bezüglich der Translationen 02 II *148*
Salmiak-Mischkrystalle, anomale . . . . . 03 II *94*
Salmo teplitiensis, böhm. Braunkohle . . . . 04 I 287
Salmoniden, böhm. Braunkohlenformation . . 1900 II 470
Salò (Brescia), Geol. u. Erdbeben, 30. Okt. 1901 03 II 48
Salpeter
— verwachsen m. Aragonit . . . . . BB XVI *404*
— — m. Glimmer CBl 1902 *355* BB XVI *389*
— Chile . . . . . 01 I 364
— Nordamerika, in Höhlen, Ursprung . . . 01 I 193
— Transvaal, Kali- . . 01 I 92
Salse, Jenikale, Schlammvulcane . . . . . 01 II 209
Saltrange
— Ceratiten-Schichten . CBl 1901 *109*
— Diluvium . . . . . CBl 1903 *433*
— Geologie CBl 1903 *45. 72. 97* BB XIV *369*
— Helicoprion im Productus-Kalk . . . . CBl 1901 *225*
— Kreide u. Jura . . . CBl 1903 *439*
— Medlicottia und Episageceras . . . . . BB XIX *334*
— Otoceras-Schichten . CBl 1900 *217*
siehe auch Otoceras.
— Perm, siehe Perm.
— Productus-Kalk . . . 1900 I *140*
siehe auch Productus-Kalk.
— —, Verhältnis zu den Ceratitenschichten 1900 I *139* CBl 1904 *321*
Saltrange
— Rothliegendes = Pandschab'sche Stufe . . BB XIV *369*
— skythische Stufe . . BB XIV *448*
— speckled sandstone . BB XIV *424*
— Talchir-Gruppe, unt. Pandschab'sche Stufe (Rothliegendes) . . . BB XIV *431*
— Thüringische Stufe (= Productuskalk), Zechstein . . . BB XIV *369. 433*
— Trias . . . . . 1900 I *139* CBl 1900 *285* CBl 1904 *321* BB XIV *369* BB XVIII *528*
— —, Beziehung d. Ceratitenschichten zum Productus-Kalk 1900 I *139* CBl 1904 *321*
— Virgalgruppe, skythische Stufe . . . . . BB XIV *433*
— Warcha-Gruppe . . BB XIV *430*
— Werfener Schiefer CBl 1900 *285* CBl 1901 *197*
Saluzzesi, Monti, piemont. Westalpen, Geologie 1900 II 266
Salvadorit, Varietät des Pisanit . . . . . 04 II 39
Salz, siehe Steinsalz.
Salzausblühungen, Scăpĕu, Rumänien . . . 1900 I 64
Salzberg, Tirol, Olivingesteine . . . . . 1900 II 392
Salzberge der Alpen . . 1900 II 408
Salzburg
— Erdbeben 1897 . . . 1900 I 372
— — 1898 . . . . . 01 I 208
— Nagelfluh, Alter, Entstehung u. Zerstörung BB XVI *325*
— Vorland, Geologie . 02 I 276
Salzexhalationen, Vesuv 1900 I 175
Salzgehalt des Meeres, Maassstab für das Alter der Erde . . . . 03 I 219
Salzhydrate, Dampfspannung der Mischkrystalle isomorpher . . 02 II 176
Salzkammergut, Eruptivgesteine . . . . . 01 I 61
Salzlachen, Gouv. Pultawa 01 II 67
Salzlösungen, Regelmässigkeit b. d. Krystallisation concentriter . 01 II 86
Salzpelit, Pfanne Ntschokutsa, Kalahari . . 03 I 56
Salzquellen, Halle a. S., Ursprung . . . . . CBl 1901 282

Salzseen
— Kaspi-Becken (Salze) u. Omsk'scher Kreis 1900 I 228
— Larnaca, Cypern . . 03 II 392
— Omsk'scher Kreis 1900 I 228 02 I 204
— Ungarn, als Wärme-accumulatoren . . . 04 I 165
Salzsoole mit Bakterien, Limane Südrusslands 01 II 382
Salzthon, Kalisalzlager, Vorkommen . . . . 04 I 333
Salzwasser im Carbon, Nordfrankreich . . . 03 II 392
Samara
— Gouv., Geologie . . 01 I 263
— Halbinsel, ob. Palaeozoicum . . . . . 02 II 106
Samariumsulfat . . . . 03 I 179
Samarskit
— angebl. Germanium-Gehalt . . . . . CBl 1904 *142*
— Radioactivität . . . CBl 1904 *207*
— Tschoroch-Mündung, Batum-Gebiet . . . 03 II 191
Sammlungen, öffentl., geolog. u. mineralog. in den Verein. Staaten u. in Canada. Verzeichniss . . . . . 1900 I 327
Samoa-Inseln
— Basalt . . . . . BB XV *66*
— Korallenriffe . . . . 1900 I 46
Samos, Säugethiere . . 1900 I 66
Santa Ana, Vulcan Guatemala
— Lava (Pyroxenandesit) CBl 1903 *130*
— Verhalten 1904 . . CBl 1904 *449*
St. Bartolomeu, Westindien, Geologie . . CBl 1901 538
St. Cassian, Lamellibranchiaten . . . . . 02 II 486
St. Cassianer Schichten, Seiser Alp . . . . . 1900 II 416
— Zone, obere, Falzaregothal . . . . . 01 II 121
San Christopher, Westindien, Geologie CBl 1901 538 CBl 1903 *284*
San Cristobal, Chile, Meteoreisen . . . . . 1900 I 355
Santacruz-Formation
— Argentinien . . . . 1900 I 104
— —, Säugethiere. . . 1900 II 297
— Ost-Patagonien . . . 1900 I 101
— Süd-Patagonien . . 1900 II 428
San Domingo, Geologie 1900 II 94
St. Eustatius, Westindien, Geologie . . . . . CBl 1903 *314*
Santa Fé de Bogota, Meteoreisen . . . . 1900 I 353
San Francisco-Formation, Berkeley Hills, Californien . . . . . 04 II 250
St. Gallen, Tertiärflora . 1900 I 485
St. Gotthard
— Cyanit- u. Staurolithvorkommen . . . . 01 II 201
— Geologie . . . . . 1900 I 51
— krystallin. Schiefer, Alter . . . . . 03 I 416
St. Helena, phonolith. Gesteine, verglichen mit Abessynien etc. . . CBl 1903 25
St. Ives-Rocks and Elsworth-Rocks, Jura, England . . . . . CBl 1901 152
Santiago-Vulcan 1903 . CBl 1904 *449*
St. John terraine, Cambrium, Cape Breton . 03 II 402
St. John's Group, Neu-Braunschweig . . . 1900 I 267
São Julião, Portugal, Meteoreisen . . . . 1900 I 352
S. Kitts, Westindien, Geologie . . . . . CBl 1903 *284*
St. Lorenzen, Pusterthal, Diorit- u. Noritporphyrite . . . . . 1900 I 383
Santa Lucia, Westindien, Geologie CBl 1902 247 CBl 1903 *273*
San Marcelino, Vulcan, Centralamerika, Lava (Pyroxenandesit) . . CBl 1903 *130*
Santa Maria, Vulcan, Guatemala
— Asche CBl 1903 *131. 132. 288. 290*
— Eruption October 1902 CBl 1903 *33. 65. 71*
— Eruptionsproducte v. October 1902 . . . CBl 1903 *112*
— Verhalten im Jahre 1904 . . . . . CBl 1904 *449*
St. Martin, Westindien, Geologie. . . . . CBl 1901 538
San Martin-Serie, Kreide, südl. Patagonien . . 1900 II 426
St. Moritz, Ursprung d. Thermen . . . . . 03 II 350
Santa Rosa, Meteoreisen 1900 I 353
San Severino, Marchen, Schlier . . . . . 1900 I 448

San Stefano, Cadore, Trias . . . . . 1901 I 461. 462
San Venanzio, Umbrien, vulcan. Tuff . . . . 1900 II 373
St. Vincent, Westindien
— Eruption 1902, Asche auf Barbados . . . 04 I 223
— Geologie CBl 1902 247 CBl 1903 *248*
— Soufrière 1903 II 86 1904 II *1.* 369 CBl 1902 442 CBl 1903 *248. 369*
— —, Eruption 1902 . 04 II 369
— vulcan. Asche . . . CBl 1902 569
— — Erscheinungen 1902 und 1903 . . 1904 II *1.* 202
Sand
— Ash, Sevenoaks, England . . . . . 02 II 67
— Bravetta bei Rom . . 02 II 59
— Grotta del Bandito bei Cuneo 1902 I 18 03 I 251
— Maremmenküste, mit Titan- u. Magneteisen 02 II 233
— Takla-makan-Wüste, Centralasien . . . . 02 II 236
Sandbergeroceras . . . 1900 I 130
Sanddünen, Nildelta . . 02 II 215
Sande, aeolische, verfestigte, Kathiawad . . CBl 1900 104
Sandkrystalle, Great Plains, Süd-Dakota . 03 I 435
Sandlöss
— Kirchheimer Gegend (Württemberg) . . . BB XIX *98*
— Thüringen, mit Succinea Schumacheri . 04 I 103
Sandstein
— Bildung . . . . . 01 I 88
— künstl. Kalk- u. Kalksilicatsandstein . . . CBl 1904 *333*
— verglaster, mit Cordierit . . . . . 01 II 72
— Antarcticum . . . . 1900 II 238
— Bolchowskoi, Russland, mit Kieselkörnchen . . . . . 04 II 173
— England, mit Schwerspathbindemittel . . 1900 I 195
— Great Plains-Region, Nebraska, krystallisirter . . . . . 02 II 21
— Great Whin Sill, nrdl. England, im Contact mit Diabas . . . . 1900 I 395
— Griechenland, nördl., u. türk. Grenzländer BB XVIII *46*
Sandsteine
— England, turmalinisirte, im Südwesten . 1900 II 404
— Russland südl., mikroskop. Bau der tertiären . . . . . 02 II 398
Sandsteinformation, Kola 02 II 385
Sandsteingänge im Granit, Bornholm . . . 01 I 72
Sanduntersuchungen, Holland . . . . . 01 I 136
Sandwich-Inseln, Basalt BB XV *66*
Sangonini-Horizont, Priabonă . . . . . 1900 II 288
Sanidin
— geschmolzen, Lösungsvermögen . . . . . CBl 1902 *201*
— Eifel, opt. Constante durch Totalreflexion . 1900 II 183
— —, Polychroismus . 04 II 342
— ital. Fundorte . . . 01 II 17
Sanidinit
— Holbak, Siebenbürgen 01 I 63
— Phlegräische Felder . 02 I 348
— Vivara, quarzführend 02 I 405
Sanidintrachyt, ciminisches Gebirge (Viterbo) 04 II 216
Santerno-Ufer b. Imola, Subappennin . . . . 1900 I 448
Santiago-Vulcan 1903 . CBl 1904 *449*
Santorin, Einschlüsse im Andesit . . . . . 01 I 404
Santorinit . . . . . 02 I 214
Sapindus Brandzai, Mioc., Rumänien . . . . . 1900 II 491
Saponit, Klein-Tressny, Mähren, mit Graphit 1900 I 24
Sappada-Gruppe, Trias, Cadore . . . . . 01 I 461
Sapphir
— Zwillinge . . . . . 02 I 189
— Ceylon . . . . . 02 I 194
— —, Analyse . . . . CBl 1902 145
— —, Polychroismus . 04 II 342
— Montana . . . . . 04 II 366
— —, Yogo mines . . 01 II 368
— Nordamerika . . . . 1900 I 199 1901 I 32 03 II 38
— —, Vorkommen als Edelstein . . CBl 1902 403. 405
— rheinische Basalte . 04 I 212
— siehe auch Korund etc.
Saputan-Vulcan, Nord-Celebes . . . . . 01 II 263
Saratow, Gouvernement, Geologie 1901 I 263 03 II 248

Saratow, Gouvernement, u. Ssimbirsk, Ammoniten des Aptien . . 1900 II 477
Sarcobora, Pyrotherium-Schichten, Argentinien 1900 II 305
Sarcolemur furcatus und pygmaeus, Eocän, Amerika . . . . . 04 I 292
Sarcothraustes, Puerco . 1900 I 303
Sarder, Nordamerika . . 01 I 33
Sardinien
— Deckenbasalte . . . CBl 1903 *331*
— Erzlagerstätten . . 04 II 350
— Fauna der Bath-Stufe 04 II 285
— Geologie 1903 I 476 04 I 259
— Gesteine bei Fontanaccio und Flumentorgiu . . . . . 1900 I 219
— Kreide und Jura von Nord- und Ost-. . . BB XX *436*
— Mineralien 1900 I 202 1900 II 357. 364
— — von Malfidano . . 01 I 363
— — von Rosas . . . 1900 II 364
— — von Sarrabus . . 01 II 361
— neogene Korallen u. Bryozoen . . . . . 1900 I 479
— Oligocän, Palmoxylon 02 II 495
— Oolithfauna des Mte. Timilone . . . . . 01 I 141
— Pflanzen des mitteljurass. Sandsteins . BB XX *150*
— Tertiärpflanzen . . . 1900 II 167
— Trias mit nodosen Ceratiten . . . . . CBl 1901 *385*
Sarjektrakt, Schweden, anstehendes Gebirge CBl 1901 *441*
Sarkolith
— Krystallisationsvermögen u. -Geschwindigkeit . . . . . CBl 1903 *617*
— mit Fayalit, zusammengeschmolzen . . CBl 1903 *747*
Sarmatische Conchylien, Oedenburger Comitat 01 I 474
Sarmatische Stufe
— kaspische Länder . . 01 I 128
— Russland, Gliederung und Verbreitung im südlichen . . . . . 1900 I 290
Sarrabus, Sardinien
— Granit- und Porphyrgesteine . . . . . 1900 I 218
— Mineralien . . . . . 01 II 361
Sarsella Lorioli, Eocän, Barcelona . . . . . 03 I 530
Sarsen-Steine, Structur . 1903 I 419
Sartorit, Binnenthal
— Grosser Krystall . . CBl 1903 *333*
— Krystallform . . . . 01 II 349
Sassenberg, Westfalen, Vegetation d. Moore 1900 II 492
Sassnitz, Diluvium . . . BB XVI *85*
Sassolin, Suffionen, Maremmen . . . . . 02 I 171
Sauerland, Geologie . . CBl 1900 *283*
Saulera-Alp, Alathal, Mineralien . . . . . CBl 1900 *41*
Saurier
— nördliche Dwina . . CBl 1901 213
— Trias-, Stuttgarter Sammlung . . . . . 1900 I 308
Saurocephalus . . . . . 01 I 308
Saurodelphis, Boldérien, Antwerpen . . . . . 03 I 550
Saurodon und verwandte Arten . . . . . 01 I 308
— pygmaeus, Niobrara-Gruppe, Kansas . . 04 I 309
Saurodontidae, Allgemeines . . . . . 01 II 479
Sauropoden, Bone Cabin Quarry, Como-District, Vorderextremitäten . 03 I 157
Saussurit, Schweiz, Steinwerkzeuge der Pfahlbauten BB XVI *166* BB XX *133*
Saussuritgabbro, Bergensgebiet, Norwegen 04 II 396
Savoyer Alpen, Lias, Ammoniten . . . . . CBl 1901 506
Savoyschiefer, Untersilur, Massachusetts . . . 1900 II 88
Saxaul-Hehrs, Rübeland, Höhlen . . . . . 04 I 137
Saxicavella (=Arcinella), Tertiär, Piemont u. Ligurien . . . . . 02 II 309
Scala mediana, microscopica, perelegans, Pissaroi u. tenuicincta, Eocän, Loire inférieure 03 I 127
Scalaria araucana und Steinmanni, Quiriquina-Schichten, Chile BB XVIII *202*
— bryozophila, Priabona-Schichten . . . 04 I 283
— elegans, Paraná-Stufe BB XIV *226*
Scalpellum, Silur, Albany 01 II 435
— judiense, patagonische Formation . . . . . 02 I 295

Scaphaster Humberti, lebend . . . . . 1900 II 486
Scaphella aegyptiaca, ob. Kreide, libysche Wüste 03 I 510
Scaphites, Arten der ob. Kreide, Nordamerika 02 II 119
— südind. Kreide . . . 1900 I 444
— constrictus var. quiriquinensis, Quiriquina-Schichten, Chile . BB XVIII *189*
— cruciformis, Kreide, Südaustralien . . . 04 I 119
— Niedzwiedzkii, obere Kreide, Pralkowce b. Przemysl . . . . . 02 II 260
Scaphognathus . . . . 02 II 480
Scaphopoden, deutsche Trias . . . . . 1900 I 316
Scaphops gryphus, Pyrotherium-Schichten, Argentinien . . . . 1900 II 302
Scaptonyx dolichochir u. Edwardsi, La Grive St. Alban, miocän . 03 II 126
Scenophyllum, New York, Unterdevon . . . . 03 I 483
Schaf
— vom alten Egypten . 03 II 294
— von Tukh, neolith. . 03 II 295
Schafe
— Gehörn u. Stammform, Unterschied v. Antilope u. Ziege . . . 03 II 294
— Vindonissa . . . . . 03 I 149
Schalenbau im Plagioklas, Kedabek'sche Kupfergrube . . . . . 02 I 342
Schalendicke v. Aucella Kayserlingi . . . . CBl 1901 *497*
Schalenschiefe der Pelecypoden . . . . . BB XV *402*
Schalentorsion bei Pelecypoden . . . . . BB XV *407*
Schalstein
— Cornwall (nördl.) . . 04 II 389
— Dartmoor Forest, Devonshire . . . . . BB XIII *132*
— Fichtelgebirge, Harz, Nassau, Vogesen . . 01 I 59
— Griechenland, nördl. u. türk. Grenzländer BB XVIII *25*
— Langenaubach b. Haiger, Oberdevon. . . 02 II 112
— Uebernthal, Nassau . BB XVII *156*
Schantung, Ascosomaceae d. Cambrium . . . . CBl 1904 *193*
Schantung, obercambr. Trilobiten . . . . . 1904 II 322
Schapbachgneiss, Schwarzwald . . 1901 I 57 04 I 386
Schatzlar-Schwadowitzer Muldenflügel d. niederschles.-böhm. Steinkohlenbeckens . . . 02 I 262
Schaumburg-Lippe, Kreidemulde . . . . . 03 I *59*
Schaumkalk (Aragonit nach Gyps) . . . . BB XVI *406*
Scheelbleierz
— künstl. Darstellung durch Sublimation . CBl 1901 *682*
— Broken Hill, Kryst. u. Aetzfig. . . . . 1900 I 196
Scheelit
— isomorph mit Fergusonit . . . . . CBl 1901 507
— künstliche Nachbildung . . . . . 04 II 187
— — — durch Sublimation . . . . . CBl 1901 *682*
— verwachsen m. Flussspath . . . . . BB XVI *361*
— Baveno, im Granit . 03 II 33
— Centralalpen, östl. . 1900 II 33
— Kaukasus . . . . . 01 II 199
— Maderaner Thal, Schweiz 03 II 29
— Marianna de Itacolumy, Brasilien . . . CBl 1903 *727*
— Nordamerika, Production 1901 . . . . 04 I 35
— Nordmarken, Kryst. 02 I 360
— Trumbull Mine, Conn., Wolframit, pseudom. nach Sch. und Vorkommen 1902 I 353 03 II 29
— und Fergusonit, Beziehung zw. Molekularvolum u. Zusammensetzung . . . . 04 I 5
Schefferit
— Franklin Furnace, N. Jersey, Zink- . . . 02 I 174
— Kaukasus 1901 II 189 02 II 350
Schelingen, Kaiserstuhl, körniger Kalk . . . BB XIX *216*
Schichten
— Bezeichnung der Lage 03 II 42
— Entstehung . . . . 04 I 403
— unter dem Millstone-Grit, England . . . CBl 1901 316
Schichtenbildung, eigenthümliche . . . . . CBl 1900 *379*

Schichtenmassen, grosse, Bewegung durch glacialen Druck . . . . CBl 1900 *115*
Schichtung
— der Gesteine, Einfluss auf die Landschaft . 1900 I 206
— der Gletscher, Beziehung zu Bänderung 02 I *23*
Schiebungen in mimet. Krystallen . . . . . BB XIV *246*
— siehe auch Translationen.
Schiefer
— Biegungselasticität . 01 I 395
— krystalline, Entstehung . . . . . CBl 1904 *658*
— Davos, rothgrüne . . 01 II 95
— Oberpfalz, injicirte . CBl 1904 *588*
— Pallet, Loire inférieure 1900 II 401
— Ripafratta (Mte. Pisano), Anal. . . . . 04 II 219
Schieferformation, Kola . 02 II 385
Schiefergesteine, nied. Tauern u. Seethaler Alpen . . . . . 01 II 56
Schieferstücke, auf Meerwasser schwimmend, Ultima-Esperanza-Canal, Patagonien . 01 I 57
Schieferthon
— Great Whin Sill, nördl. England, im Contact mit Diabas . . . . 1900 I 397
— Neurode, aus Gabbro entstanden . . . . . 01 II 54
Schieferung, transversale, Werfener Schiefer . 1900 I *141*
Schildkröten
— egypt. Tertiär . . . 04 II 148
— Mainzer Becken, Tertiär . . . . . 03 II 141
— Veszprém, Ungarn, Keuper u. Stammesgeschichte . . . . . 02 I *127*
— u. Fische, böhm. Braunkohlenformation . . 01 I 143
Schio
— Sturia-Kalk . . . . 1900 II 433
— Subnodosus-Schichten 1900 I 115
— u. Recoaro, Spitzkalk, Trias . . . . . 1900 I 274
Schiosi-Schichten, Görz, Istrien, Dalmatien u. Hercegovina, Chondrodonta (Ostrea) Joannae . . . . . 04 I 149
Schiro-See, Sibirien, Geologie . . . . . CBl 1901 151
Schizaster askharensis, Eocän, Egypten . . 1903 I 532
— indigenus u. Mongei, Nummulitenschichten, Egypten . . . . . 01 II 484
— ozzanensis, pietra da Cantoni, Monferrato 02 I 465
— Vidali, Eocän, Barcelona . . . . . 03 I 530
Schizocoelorhynchus rossicus, Palaeogen, südöstl. Russland . . . 01 I 265
Schizodelphis, Wiener Becken . . . . . 03 II 136
Schizolith im Elaeolithsyenit, Grönland . . 01 I 375
Schizophoria? spec., Devon, White Cliff, Australien . . . . . BB XIV *502*
Schizoporella sulcata var. laevigata, Tert., Toscana . . . . . 02 II 310
Schizoporellopsis abnormis, Tert., Victoria (Austr.) . . . . . 1900 II 483
Schlacken
— Constitution d. Hochofen- . . . . . 03 I 454
— König-Karlsland, basaltische . . . . . 01 I 71
Schladminger Tauern, Gesteine . . . . . 04 I 64
Schlammabsatz im Vierwaldstätter See . . 02 I 217
Schlammeruptionen in Flussthälern, Westindien 1902 . . . . 04 II 380
Schlammproben, Limane Süd-Russlands u. des Schwarzen Meers . . 1900 I 224
Schlammströme, Westindien bei den Eruptionen 1902 . . . . 04 II 380
— siehe auch Martinique etc.
Schlammvulcane
— Jenikale . . . . . 01 II 209
— Schemacha (Kaukasus), Beziehung zu Erdbeben . . . . . 04 I 373
Schlawe, geol. Karte, Flachland . . . . . 1900 II 413
Schleifmaterial, Verein. Staaten, Production 1904 I 37 CBl 1902 243

Schleppung, glaciale auf dem Granit d. Hornisgrinde, Schwarzwald CBl 1903 *448*
Schlern, Geologie . . . 1902 I 425
Schlerndolomit, Cephalopoden . . . . . 01 II 26
Schlernplateau, Raibler Schichten, Cephalopoden . . . . . 01 II *32*
Schlesien
— chem. Industrie . . 1900 II 407
— Culm von Leschnitz 03 II 109
— Devon und Culm v. Ebersdorf . . . . . 03 II 108
— Elephas Trogontherii CBl 1901 *683* CBl 1902 *55*
— Erdbeben 10 I. 1901 CBl 1901 253
— Erweiterung d. Gebiets d. prod. Kohlenformation bei Landeshut . . . . . CBl 1904 *403*
— Kaolinlager . . . . BB XV *335*
— Landeshut, nord. Diluvium . . . . . CBl 1900 *341*
— Steinkohlenformation in Oberschlesien mit mariner Fauna . . . 03 II 109
— Oesterreichisch-, Erdbeben 1898 . . . . 01 I 209
— — u. Mähren, Mineralvorkommen . . . 04 I 176
— — —, verkieselte Korallen in Diluvialgeschieben . . . . . CBl 1903 *561*
Schlesisch-böhm. Grenze, Rothliegendes und Carbon . . . . . CBl 1900 *338*
Schlesische Stufe, Steinkohlenformation, Oberschlesien . . . . . 03 II 107
Schleswig-Holstein
— Diluvium . . . . . BB XVI *56*
— marines Diluvium . . 01 II 286
— pleistoc. Foraminiferen . . . . . 01 II 328
Schlier
— Marchen, Fossilien . 01 I 476
— Mte. Cedrone, Umbrien . . . . . 02 I 120
— Ottnang, Repräsentanten in Ungarn . 03 I 168
— San Severino, Marchen 1900 I 448
Schliere, Bedeutung . . CBl 1904 426
Schlifflächen, Ries . 1901 II *67. 128*
Schlönbachia, Larvenzustand . . . . . 02 I 480
Schlönbachia dravidica u. gracillima, südind. Kreide . . . . . 1900 I 443
Schloss der Pelecypoden, Morphologie . . . . BB XIII *140*
Schlotheimia Neumayri, unt. Lias, Val Solda 04 II 111
Schlüteria, südind. Kreide 1900 I 441
Schmalkalden, Thüringer Wald. Brauneisenerze 1900 I 78
Schmelzbarkeit der Mineralien . . . . . 03 I 4
— — u. Löslichkeit in Magmen . . . . . 03 I 7
Schmelze v. Quarzkörnern u. Kalk . . . . . CBl 1902 *713*
Schmelzfluss, Verhalten v. Silikaten CBl 1904 *295. 340. 363. 705. 739*
Schmelzflüsse
— Ausscheidung der Mineralien . . . . . CBl 1903 *715*
— Differentiation . . . CBl 1903 *605*
— gegenseitige Löslichkeit der Mineralien . CBl 1903 *705*
— — — und Ausscheidungsfolge der Mineralien . . . . . CBl 1903 *743*
— polymorpher Substanzen, Unterkühlung u. Krystallisation . . . 03 II 317
Schmelzlösungen von Silikaten, Theorie . . 04 II 163
Schmelzpunkte
— v. Gesteinen u. Mineralien . . . . . 02 II 216
1903 I 4. 8 03 II 59
— von Kupfer, Silber u. Gold, Anwendung d. Phasenregel . . . 03 II 318
— von Mineralien, Bestimmung CBl 1901 *589* CBl 1902 *426*
— —, Beziehung z. chem. Zusammensetzung . . 04 II 165
— d. Mineralien, Beziehung zur Krystallisationsfolge in Silicatschmelzen u. Eruptivmagmen . . . . . CBl 1904 *49*
— u. Ausscheidungsfolge von Mineralien . . . 03 I 364
Schmelzpunktsbestimmungen CBl 1901 *589* CBl 1902 *426*
Schmelzpunktserhöhung durch Druck . . . . 01 II 254

Schmelzversuche
— mit Gesteinen . . . BB XVII *498*
— mit Mineralien, Metallen u. Gesteinen . 1901 II *141*
— petrogenetische . . . BB XIX *152*
Schmirgel
— Chester, Mass. . . . 01 I 35
— Nordamerika, Production . . . . . CBl 1902 243
Schnecken
— nagen Kalkfelsen an 02 II 214
— Jura, England . . . 01 I 512
Schnee, rother, gefallen 7. III. 01 . . . . . CBl 1901 *578*
Schneeberg, Tirol, Beziehung der Erzlagerstätte zu Silberberg bei Bodenmais . . . 04 II 239
Schneebergit, Schneeberg in Tirol 1904 I 167 CBl 1902 151
Schneedecke, Einfluss auf den Boden . . . . . 04 I 375
Schneegrenze u. Kieferngrenze, frühere höhere Lage in Norwegen . CBl 1903 *469*
Schoa, Süd-Abessynien, Jura . . . . . 1900 I 438
Schönberg b. Freiburg i. B., Ober-Lias . . . . . 1900 I 283
Schönbuch nördl. Tübingen, Glacialerscheinungen . . . . . CBl 1901 *6. 10*
Schönit, Vorkommen in Kalisalzlagern . . . 04 I 333
Schoenophyllum, New York, palaeozoisch . . 03 I 483
Schoharie grit, Devon, Becraft mountain, New York . . . . . 01 II 457
Scholtosom, Russland . 01 II 66
Schonen
— Diabase . . . . . 1900 I 65
— Feldspathbasalt . . 04 I 369
— Kaolinlager . . . . BB XV *332*
— Kreide, jüngere 1900 I 285. 289
— Lamellibranchiaten d. jüngeren Kreide . . 01 I 280
— Olenus-Schiefer . . . 1900 II 103
— Quartär . . . . . 01 I 259
Schonen'sche Basalttypen, Diluvial-Geschiebe in Holland . . . . . CBl 1904 *694*
Schorlomit, Ice River, Brit. Columbia, Can. 02 II 38
Schotter, oberes Neckarthal . . . . . 02 I *60*
Schotter
— Rappenau, Baden, diluviale . . . . . 1903 I 462
— Schwaben, diluviale . BB XIV *120*
Schotterablagerungen m. Conchylien, München 03 I 520
Schotterterrassen, Kirchheim u. Teck (Württ.), diluviale . . . . . BB XIX *85*
Schottland
— älteste geolog. Karte 1900 I 85
— Mineralien . . . . . CBl 1901 530
— Nephelinsyenit u. Gefolgschaft in Nordwest- . . . . . 02 I 72
— Orthit und Epidot in Granit und Gneiss . 1900 I 400
— Quartär . . . . 1904 II 263. 277
— Silur . . . . . 1900 II 273
Schrammen an Wildbachgeschieben, Kandersteg . . . . . 1900 I 209
Schrammung, pseudoglaciale, Norwegen . CBl 1900 *265*
Schratten, Alpen . . . 1900 I 214
Schreibersit
— aus versch. Meteoreisen, Analysen . . . 02 I 365
— Toluca-Mañi-Eisen . 04 II *118*
Schreibkreide, Feuersteinbildung . . . . . CBl 1902 659
— Schonen . . . . . 1900 I 289
Schriesheim, Odenwald, Doppelgang . . . . CBl 1904 *622*
Schriftgranit, Hohlräume an Stelle des Quarzes 1900 I 170
Schriftgranitähnl. Verwachsung von Quarz mit Muscovit resp. Turmalin . . . . . 1900 I 171
Schrötterit, Saalfeld, Anal. 02 II 30
Schuchertia . . . . . 1900 II 488
Schulau bei Hamburg, diluvialer Torf . . . BB XVI *39*
Schuls-Tarasp, CO_2-haltige Quelle erbohrt . 01 II 56
Schungit . . . . . 01 II 76
Schussenried, Moose der Culturschicht . . . . 02 I 329
Schuttkegel, Vicentin . 1900 II 265
Schuttmassen, nomadisirende, Ostalpen . . CBl 1904 *161*
Schwabachthal bei Erlangen . . . . . 1900 I 429
Schwaben, Glacialerscheinungen i. Schönbuch CBl 1901 *6. 10*

Schwaben
— Lehm und Löss . . 1900 II 154
— Moose der Culturschicht v. Schussenried . . . . . 02 I 329
— Schotter des oberen Neckarthals . . . . 02 I *60*
— —, diluviale . . . . BB XIV *120*
— Schotterterrassen von Kirchheim u. Teck, diluviale . . . . . BB XIX *85*
— Trigonodus-Dolomit, Schwieberdingen . . 1900 I 436
— weisser Jura γ u. δ . BB XV *473*
Schwaben's Medusenhaupt . . . . . CBl 1904 *682*
Schwäbische Meeresmolasse, Spongien und Echinodermen . . . 04 II 458
Schwämme
— Hexactinelliden, Chemungbildungen, New York . . . . . 03 I 482
— im Muschelkalk, Oberschlesien . . . . . CBl 1904 *464*
Schwaighausen b. Regensburg, quart. Höhlenfauna des Dürrlochs . 01 I 479
Schwankungen, period., des Wassers grosser Quellgebiete . . . . 1900 II 48
Schwarze Berge, Rhön, Petrographie . . . . 04 II 205
Schwarze Krux b. Schmiedefeld (Thür.), Magneteisen . . . . . 04 I 235
Schwarzenberg i. Sachs., Erzlager . . . . . CBl 1900 *275*
Schwarzerde, Ostpreussen 01 II 88
Schwarzes Meer
— Boden . . . . . 1900 I 224
— Geologie d. Umgebung 04 I 228
— Limanschlamm . . . 01 II 384
— Untersuchung . . . 01 I 55
Schwarzkohle, Mähren . CBl 1904 *363*
— siehe auch Steinkohle etc.
Schwarzraingraben bei Ohlstadt, Cenoman . 1900 II 285
Schwarzwald
— Acher- u. Murg-Quellgebiet, Geologie 1904 I 253. 385
— Eiszeitbildungen, im Wutach-Gebiet . . . 03 I 516
— geolog. Aufnahmen, Hornberg-Schiltach, Triberg und Zell . . 1900 I 419
Schwarzwald
— geolog. Aufnahmen, Villingen u. Königsfeld-Niedereschenbach 1901 I 90
— Gneiss . . . . . 01 I 57
— Gneissgebirge (Kalksilicatfelsen) . . . . 03 I 231
— Hauptverwerfung . . 1900 I 422
— Kersantit . . . . . 01 I 399
— Quarzporphyrstiele v. Ottenhöfen . . . . . CBl 1900 28
— Vergletscherung . . 1900 I 250
Schweden
— Alter d. Lomma-Thones 01 II 288
— arktische Flora . . . 1900 II 495
— Eisenerzbergbau . . 04 II 413
— Eisenerzlagerstätten des mittleren . . . 01 I 432
— Entwicklung der gegenwärtigen Flora . 04 II 437
— Erdbeben, Vulcanismus etc. . . . . 04 I 366
— Geologie . . . . . 02 II 97
— geolog. Aufnahme, Blatt Åmål . . . . CBl 1900 330
— — —, Blatt Örkeljunga . . . . . 01 I 259
— Heimath von Diluvialgeschieben, Sylt etc. 1901 I *103* 03 I *91*
— Nomenklatur d. losen Bodengesteine . . . 04 I 377
— physische Geographie CBl 1901 140
— Quartär 1902 II 283 03 I 525
— —, Edin Dalsland . CBl 1901 729
— —, Sarjektrakt . . . CBl 1901 183
— quartäre Säugethiere 01 I 146
— schwarzer Granit-Hyperitdiorit . . . . CBl 1901 347
— spätquartäre Landerhebung . . . . . 1900 I 452
— Störungen und chem. Umsetzungen im Bänderthon . . . . . 1900 I 207
— Ueberschiebungen des Fjällgebirges . . . . 03 I 283
— ungleichförmige Hebung des Landes nach Einwanderung der Menschen . . . . . 02 II 129
Schwefel
— amorpher . . . . 1903 I 9. 367
— chem. Reaction auf Kupfer u. Silber bei gew. Temperatur . . CBl 1901 *401*
— Dampfdichte . . . . 01 II 7

Schwefel
— Dielektricitätsconstanten . . . . . 1903 II 8
— dritte Modification 1900 I 3. 336
— Entzündungs- u. Verbrennungstemperatur in O und Luft . . . 04 II 346
— Kreislauf i. d. Natur durch Spaltpilze . . 1900 I 225
— Krystallisation aus CS_2 im elektr. Felde 04 I 160
— — aus dem Schmelzflusse . . . 1900 I 3 BB XIII *39*
— lange Beständigkeit mancher Modificationen . . . . . CBl 1902 *7*
— Löslichkeit in Wasser mit Glycerin . . . . 1900 I 336
— Mikrostructur des erstarrten, Sublimation, Ueberschmelzung, Uebersättigung, Globuliten etc. . . . . CBl 1900 293
— Mischkrystalle mit Selen . . . . . 03 II 12
— phys. u. chem. Isomerie 01 I 4
— rhombischer, Flächenentwickelung u. Krystallstructur . . . . CBl 1903 *665*
— Umwandlung d. Modificationen . . . . . 04 II 345
— Umwandlung durch Erhitzen . . . . . 1900 I 173
— Cà Bernardi-Grube,
— Romagna, Krystalle . 1900 II 174
— Carrara, im Marmor 01 I 30
— Cetine di Cotorniano, Toscana, Antimongruben, Krystalle . . 03 I 184
— Chile, Goldlagerst. v. Guanaco, aus Schwefelkies . 1900 II 369 01 II 401
— —, Salpetergebiet . 01 I 364
— Czarkow und Insel Tschelekenj . . . . 04 II 10
— Feodosia, Krym . . 04 II 32
— Girgenti, Zwillinge nach $P\breve{\infty}$ und $P\bar{\infty}$. 01 II *132*
— Kertsch, mehrere Modificationen . . . . 02 II 362
— Luchon, Bordeu-Quelle 03 II 361
— Malfidano, Sardinien 1900 I 2
— Oulx, ob. Dora Riparia, im Gyps . . . . . 1900 I 28
— Paris, Bildung im Boden . . . . . 03 II 418
Schwefel
— Rosas, Sardinien, aus Bleiglanz . . . . . 1900 II 365
— Russland, Krystalle 1904 II 8. 10
— Schweden, Krystalle im quart. Thon . . . 02 II 332
— Selva (Grosseto), auf Antimonglanz . . . 03 I 204
— Siena (Prov.), Lagerstätten . . . . . 04 II 236
— Spontin, Belgien . . 03 II 169
Schwefelantimon, Schmelzpunkt eines Gemenges mit Schwefelsilber . 04 I 328
Schwefelbakterien, Limane Südrusslands u. Schwarzes Meer 1900 I 225. 229 01 II 382
Schwefelcadmium, künstl. Krystalle . . . . . 04 I 343
Schwefeleisen
— Einfach-, heterom. Modificationen . . . 1900 II 346
— u. Eisenhydroxyd in Böden der Limane u. des Schwarzen Meers 1900 I 224 02 II 397
Schwefelgrotte, Misenum 03 I 252
Schwefelhaltige Gesteine, Italien, mikroskop. Versteinerungen . . 02 II 59
Schwefelkies
— Einfluss auf Fe O der Gesteine . . . . . 01 I 55
— Löslichkeit in HF . CBl 1902 *648*
— magnet. Influenz . . BB XIX *419*
— Reaction auf Cu und Ag bei gewöhnl. Temperatur . . . . . CBl 1901 *401*
— reducirt Cu-Lösungen 04 II 230
— Umwandlung im Grundwasser . . . . 02 I 8
— Unterscheidung von Markasit . . . . . 03 I 10
— verwachsen mit Bleiglanz . 1902 II 329 BB XVI *338*
— — mit Fahlerz . . . BB XVI *339*
— — mit Magnetkies . BB XVI *343*
— — mit Markasit (Arsenkies) . . . . . BB XVI *363*
— Aarmassiv, in Biotitprotogindrusen . . BB XIV *86 ff.*
— Alma-Mine, Calif. . . 04 II 37
— Baltschiederthal, Wallis, im Triasdolomit 1900 I *20*
— Bargallo . . . . . 1900 I 26

Schwefelkies
— Binnenthal . . . . . 1904 I 32
— Bodenmais, Lagerstätte am Silberberg 03 I 444
— Bois des Dames, Belgien . . . . . 01 II 343
— Brasilien, Rotheisenstein pseudom. nach Schwefelkies . . . . 01 I 7
— Campiglia Marittima, Tosc., Roth- u. Brauneisenstein pseudom. nach Schwefelkies . 01 I *149*
— Csetras, Ungarn, Krystalle . . . . . 03 II 13
— Danilowo, Paramorphose nach Markasit 01 II 174
— Dilln = Belabanya b. Schemnitz, Krystalle 1900 II 10
— French Creek, Penn., Spinellzwillinge . . . 04 II *93*
— Guanaco, Chile, mit Schwefel auf der Goldlagerstätte . . . . . 1900 II 369
— Jekaterinenskij-Grube am Ugachan im Lena'schen Bergrevier, goldhaltig . . . . . 03 II 171
— Krenhof, Steiermark, jugendliche Bildung . 04 II 172
— Mödnitz, Mähren . . CBl 1904 *356*
— Montana . . . . . 01 II 344
— — Little Belt Mountains . . . . . 01 II 367
— — Ravalli Co., mit Parisit . . . . . 01 I 17
— Monzoni . . . . . 04 I 8
— Muso, Columbia 1901 II *139*. 344
— Neu-Guinea, Limonit pseudom. nach Schw. 01 I 173
— Norwegen, Export . 04 II 414
— Old Hampshire Co., Massachusetts . . . 01 I 35
— Oulx, ob. Dora Riparia, im Gyps . . . 1900 I 27
— Ouray, Colorado . . 04 II 37
— Passobreve, Piemont, im Melaphyr, Kryst. CBl 1903 *122*
— Porkura, Ung., Kryst. 04 II 13
— Rammelsberg, Einschlüsse im Erz . . 04 I 398
— Rosas, Sardinien 1900 I 29 1900 II 365
— St. Lorenzen (Steiermark), pseudom. nach Epidot . . . . . 1900 I 21
Schwefelkies
— Seegraben b. Leoben, Steiermark . . . . . 1903 II 30
— Siebenbürgen, pseudom. n. Zinkblende, mit Gold . . . . . CBl 1903 *332*
— Silverton Quadrangle, Colorado . . . . . 03 II 342
— Sotschi-Kreis, Schwarzmeer-District, Lager 03 I 263
— Traversella, Kryst. . CBl 1902 *567*
— Uspenskij-Grube, südl. Ural, Goethit pseudom. nach Schwefelkies . 01 II 178
— Valgioie, Krystalle . 02 II 182
— Weehawken, N. J., Krystalle . . . . . 02 II 205
— Zuny-Mine, mit Zunyit 01 I 183
Schwefelkieslager d. devon. Tully-Kalks, Fauna 04 I 428
Schwefelquellen, alkalische, Entstehung . . . . 02 II 418
Schwefelwasserstoffgas, Einwirkung auf Silicate . . . . . 01 I 172
Schwefelzink, Krystalle, künstlich . . . . . 04 I 343
Schweine
— Algerien . . . . . 01 I 500
— Vindonissa . . . . . 03 I 148
Schweissbarkeit fester Körper bei hohem Druck . . . . . CBl 1901 142
Schweiz (siehe auch Alpen)
— Chromglimmer . . . 1900 I 189
— Molasse, Grenze zw. Oligocän u. Helvétien 04 I 285
— natürl. Bausteine . . CBl 1901 144
— postglacialer Löss . 01 II 449
— Tektonik des Jura . CBl 1902 *481*
— Tektonik des Kettenjura . . . . . BB XVII *464*
siehe auch Juragebirge.
— — der Voralpen . . 03 I 99
— tertiäre Süsswasserkalke des Jura . . CBl 1904 *609*
— Verhältniss d. Helvétien zum Randengrobkalk . . . . . CBl 1903 *477*
— Wasseranalysen der Gebirgsseeen . . . . 04 II 388
Schwemmlandbildungen an Meeresküsten . . 1900 I 45
Schwere im Erdinnern, Erklärung mittelst neuer Hypothese . . 01 II 42

'hwere unter der Erd-
oberfläche, Zusammen-
'ang mit Temperatur 1902 I 43
'remessungen
vern . . . . . 01 I 380
ıont . . . . . 01 I 46
temberg, relative 02 II 369
'ft
' der Massen-
gen . . . . 1900 I 367
Differen-
. Eruptiv-
en . . . . . 1900 II 70
'erlösliche Salze, Löslichkeit . . . . . CBl 1904 *441*
Schwerspath
— Aetzfiguren, natürl. . CBl 1902 *97*
— Biegungen und Lamellen . . . . . 02 II *133*
— Dielektricitätsconstante . . . . . 03 II 8
— Krystallisationsfähigkeit mit Sandkörnern 03 II 181
— künstl. Darstellung durch Sublimation . CBl 1901 *682*
— Löslichkeit . . . . 02 II 179
— Polychroismus . . . 04 II 341
— Umlagerungen und Structur . . . . . BB XIV *311*
— verwachsen mit Barytocalcit . . . . . BB XVI *406*
— — mit Enargit . . BB XVI *404*
— — mit Witherit . . BB XVI *399*
— Zwillingsbildung . . 03 II 159
— Agordino superiore . 03 I 203
— Auvergne, Krystalle . 01 I 203
— Baltschiederthal, Wallis, im Triasdolomit 1900 I *19*
— Basin, Montana . . 04 II 35
— Binnenthal . . . . . CBl 1904 57
— Böhmen, Krystalle . 03 I 397
— Bölet, Schweden . . 02 II 29
— Bogoslowsk'sches Bergrevier, Ural . . . . 1900 I 344
— Branik b. Prag, Kryst. 03 I 198
— England, Bindemittel im Sandstein . . . . 1900 I 195
— Guanaco, Chile, Goldlagerstätte . . . . . 1900 II 368
— Harzer Erzgänge und im Zechstein d. Rösteberges bei Grund 1904 II 236 CBl 1900 *284*
— Kansas City, Montana 02 II 205
— Kintsiniemi, im Dolomitbruch . . . . . 02 II 362
Schwerspath
— Lautenthal, Absatz aus einer Quelle . . 1903 II 181
— Leimen b. Heidelberg, auf Spalten im Wellenkalk . . . . . 1900 I 194
— Little Belt Mountain, Montana . . . . . 01 II 367
— Mähren . . . . . CBl 1904 *359*
— Malfidano, Sardinien 1900 I 3
— Neu-Schottland . . . 02 I 363
— Nordamerika, Production 1901 . . . 04 I 34
— — — 1902 . . . . 04 II 31
— Montorfano bei Baveno, im Granit . . 04 I 182
— Pitkäranta . . . . . 02 II 361
— Reichenau, Niederösterreich, Analyse . 03 I 249
— Rösteberg, Beziehung des Vorkommens zu den Oberharzer Erzgängen . 1904 II 236 CBl 1900 *284*
— Russland 1902 II 355 03 I 397
— Sarrabus, Sardinien . 01 II 361
— Saybusch (Galizien), in tertiären Septarien 1904 I 176 04 II 382
— Uspenskij-Gruben, südl. Ural . . . . . 01 II 178
— Wetterau u. Rheinhessen . . . . . 02 I 354
Schwerspathgänge
— Bildung aus Barythaltigen Quellen . . 03 II 181
— Entstehung . . . . 04 I 217
Schwieberdingen, unterer Trigonodus-Dolomit . 1900 I 436
Sciuromorpha
— Entwickelung des Gebisses . . . . . 1900 II 306
— Nordamerika . . . . 03 I 354
Sciuropterus albanensis, Gaudryi, Jourdani und sansaniensis, La Grive St. Alban, Mioc. 03 II 130
Sciurus Bredai, Oeningen 03 I 353
— Jeffersoni, White River beds, Montana 03 II 425
Sclerocrinus Batheri u. pyriformis, Tithon, Stramberg . . . . . 03 II 419
Scodelline im Tertiärthon, Bologna . . . 1900 II 288
Scoglien, Dalmatien, Geologie . . . . . 04 I 92

Scolecopteris, Rothliegendes, Chemnitz . . . 1902 II 492
Scoliocystidae u. Scoliocystis . . . . . 01 I 320
Scopotherium . . . . . 1900 II 458
Scorpaenoides Popovicii, eoc. Flysch, Valea Caselor, Rumänien . . 01 II 148
Scrobicularia-Thon, Christiania . . . . . 02 II 455
Scurria alta u. multangularis, Kreide, Aquilaner Abruzzen . . . 04 I 98
Scutella Deflersi u. Zitteli, Miocän, Egypten 03 I 532
— Isseli, Lamberti, Marianii und Paronai, Tongrien, Piemont und Ligurien . . . . 03 II 453
— melitensis, Oligomiocän, Malta . . . . . 04 I 152
Scutellidae, Stacheln . . BB XIII *206*
Scutum contractum, patulum u. semiradiatum, Eocän, Loire inférieure . . . . . 03 I 128
Scylacosaurus Sclateri, Gaumen . . . . . 03 II 441
Scylla molassica, Muschelsandstein, Weiherhof 1900 II 308
Scyllaemus, Kreide, England . . . . . 04 II 322
Seculäre Hebungen und Senkungen, Neuseeland . . . . . 04 II 253
— siehe auch Niveauschwankungen.
Sedimentärgesteine, Montblanc . . . . . 01 I 65
Sedimentation durch Salzzusatz . . . . . 02 II 90
Sedimentgneiss, Erzgebirge . . . . . 04 II 385
Seebecken
— erodirt durch Gletscher im festen Gestein . . . . . 1900 II *117*
— Hebung voller . . . 02 II 376
Seebenit, Hornfels-Chiastolith-, Ost-Bokhara 01 I 74
Seeeis, Krystallform und Schichtung . . BB XVIII *61. 72*
Seen
— sonst u. jetzt . . . 01 I 392
— Baraba-Steppe, Eintrocknen . . . . . CBl 1901 124
Seen
— Livland, Verwachsung 1900 I 456
— Lychen (Uckermark), Kalkschlammablagerungen . . . . . 03 I 134
— Minussinsk, Sibirien, mit Uferwällen . . . CBl 1901 534
— oberbayrische, hydrochem. Untersuchung 1900 II 71
— Reschen-Scheidegg, Tirol . . . . . 01 II 212
— Schweiz, Gebirgs-, Wasseranalyse . . . 04 II 388
— Simbirsk-Gouv., Verschwinden . . . . . CBl 1900 298
— Unteritalien, grosse, pleistocäne . . . . . 01 I 290
Seenkette, schwed. Lappland, Geologie . . . 03 I 282
Seenkunde . . . . . 02 I 200
Seeigel
— Californien, Tertiär . 01 II 324
— Egypten u. Sinai . . 02 I 148
— Frankreich, Infralias u. Lias . . . . . 02 I 150
— Kaukasus, Jura . . 1900 II 323
Seeigelfauna, Suez, recent u. fossil . . . . 04 II 426
Seeigelstacheln
— Dänemark, Kreide, angebohrt v. Organismen . . . . . CBl 1901 *73*
— Elgin-Sandstein CBl 1901 *261. 473*
— Yonne-Dep., Rauracien . . . . . CBl 1901 177
Seelöss . . . . . 1900 I 298
Seespiegel Mittelasiens, Schwankungen . . . 02 I 204
Seethaler Alpen u. niedere Tauern, Schiefergesteine . . . . . 01 II 56
Segowlee, Meteorit, Fall 1900 I 352
Seguenziella (Palinella) Manzonii, Neogen, Calabrien . . . . . 02 II 311
Sehnde, Geologie . . . 03 II 241
Sehuense-Stufe, Argentinien u. Patagonien . 1900 I *227*
Seichtwasserthiere in grosser Tiefe, zw. Jan Mayen u. Island 02 II 318
Seifenlager, Alaska . . 1900 II 78
Seiser Alp
— Geologie . . . . . 02 I 425
— Pachycardientuffe, Fauna . . 1904 I 118 CBl 1900 *369*

Seiser Alp, Wengener, St. Cassianer u. Raibler Schichten . . . . 1900 II 416
Seisk, Sibirien, Goldlagerstätten . . . . . 02 II 333
Seismische Bewegungen, Natur etc. 1900 I 367 01 I 385
Seismographen 1900 I *145* 01 I 212
— Beobachtungen . . . 02 II 209
— elektrische . . . . . 02 II 209
— für starke Erdbeben 04 I 371
— Horizontalpendel . . 02 II 209
Seismologie und Seismometrie . . . . . CBl 1900 134
Seismologische Kanten . 02 I 381
Seismometer
— krit. Zusammenstellung d. wichtigsten . 1900 I 370
— Störung durch die Atmosphären . . . . 03 I 49
Seismometr. Beobachtungen, Göttingen . 01 I 386
Seismoskop, neues . . . 01 I 211
Seja, Sibirien, Goldseifen 02 II 406
Sekundäre Mineralien auf Kalisalzlagern . . . 04 I 331
Sekundärformationen, Monte Judica, Sicilien 01 II 109
Seladonit, Klein-Tressny, Mähren, mit Graphit 1900 I 24
Selagit, Mte. Catini, Analysen . . . . . 01 I 224
Selbstentzündung der Steinkohle . . . . . 01 II 81
Selen
— Mischkrystalle mit Schwefel . . . . . 03 II 12
— Vesuv, Fumarolenproduct. . . . . 1900 I 52
Selenodonten
— Nordamerika, geweihtragende miocäne (Merycodus) . . . . 04 II 311
— —, Uinta-Eocän und vom White River . . 02 II 291
— Russland, Tertiär 1903 II 291 04 II 315
Selenosteus Kepleri, Cleveland shales . . . 03 I 339
Seligmannit, Binnenthal, Krystallform . . . . 02 II 18
1903 I 185 CBl 1903 25
Sellaclymenia, Devon . . 03 II 144
Seltene Erden im Mineralreich . . . . . CBl 1904 218
Sémha-Insel, Gesteine . 1903 II 195
Semiclypeus pretiosus, Nummulitenschichten, Egypten . . . . . 01 II 484
Semionotus, Systematik 01 II 477
Semivertagus dissimilis, Eocän, Loire inférieure . . . . . 03 I 128
— semen, Priabona-Schichten . . . . . 04 I 283
Semmering, Geologie . . 04 I 251
Semna-Katarakt, Nil . . 04 I 376
Semseyit, Beziehung zu Plagionit u. Heteromorphit . . . . . 01 I 185
Senait, Diamantina, Brasilien . . . . . 04 II 360
Senarmontit mit Valentinit, Grube Caspari-Zeche, Arnstadt . . CBl 1900 *96*
Senecan, Devon, New York . . . . . 01 II 266
Senkungen u. Hebungen
— Californien, Postpliocän . . . . . 04 I 108
— Neuseeland, seculäre 04 II 253
Senon
— Biewende b. Wolfenbüttel, Fauna . . . 01 II 297
— Böhmen, Flora der Chlomeker Schichten 1900 II 496
— Bornholm . . . . . 01 I 97
— Chile, Quiriquina-Schichten . . . . BB XVIII *181*
— Dänemark, Lakune od. Discordanz gegen Danien . . . . . CBl 1903 *267*
— Mecklenburg u. Pommern, Geschiebe mit Aphrocallistes (Hexagonaria) . . . . . CBl 1901 *584*
— Portugal, Ammoniten 1900 II 476
— —, Eintheilung . . 02 I 279
— rumän. Karpathen . 1900 II 286
— Tunis, besondere Facies . . . . . 01 II 281
— siehe auch Kreide.
Sepia hungarica, Piszke (Ungarn), oberbarton. Bryozoenmergel . . 03 I 166
Septarien
— barytführend, Tert., Saybusch, Galizien . 04 II 382
— riesige, Tertiär, Moeraki, Otaga, Neuseeland . . . . . 04 II 260

Septarienthon
— Tiefenzone . . . . . CBl 1902 *468*
— Laufen (Berner Jura), Spatangus . . . . . 1900 I 144
Sequania nodifera, Jura, Frankreich . . . . . 1900 II 154
Seran
— Molukkeninsel . . . CBl 1902 *462*
— Molukken, Gesteine . 1900 I 240
— Gross-,Molukken,Geologie . . . . . CBl 1901 *321*
Serbien
— Kupfererzlagerstätten v. Rebelj u. Wis . . 03 II 384
— unterliass. Fauna v. Krška Čuka . . . . 01 I 467
Serendibit, Ceylon, im Marmor . . . . . 04 I 382
CBl 1902 186 CBl 1903 25
Sericitgesteine, Columbia 03 II 203
Sericitphyllit, östl. Rhätikon . . . . . 1900 I *126*
Sericitschiefer
— Chatham-Inseln, Neuseeland . . . . . 03 I 255
— Chlorit-, Délul Cetátyei Neamtz, Rumänien . . . . . 1900 II 394
Serpentin
— Einwirkung von Salmiak . . . . . 03 I 395
— pseudom. nach Augit BB XVI *413*
— — nach Kämmererit 1900 I 20
— — nach Olivin, Ural 01 II 193
— — nach Periklas . . BB XVI *366*
— — nach Talk, Kraubat Steiermark, im Dunit . . . . . 02 II 180
— verwachsen m. Augit BB XVI *413*
— — m. Hornblende . BB XVI *414*
— — m. Olivin . . . . BB XVI *401*
— — m. Periklas . . . BB XVI *366*
— Alathal, Mineralien . CBl 1900 *44*
— Anglesey . . . . . 01 I 75
— Bergensgebiet . . . 04 II 395
— Bogoslowsk'schesBergrevier . . . . . 1900 I 344
— Bosnien . . . . . CBl 1900 *219*
— Brünn . . . . . 04 II 386
— Ceylon . . . . . 02 I 75
— —, im Dolomit . . . 02 I 192
— Davos . . 1900 I 221 01 II 95
— erythr. Colonie . . . 03 II 79
— Gaggio Montano, bologn. Appennin . . . 1900 II 397
— Golden Gate, Cal. . 03 II 34
Serpentin
— Gorgona-Insel (Toscana) . . . . . 1904 II 220
— Granville, N. J., mit Enstatit . . . . . 01 I 36
— Griechenland, nördl. u. türk. Grenzländer BB XVIII *26*
— Hessen-Nassau, im oberdevon. Pikrit . BB XVIII *213*
— Hornungsgraben bei Grünbach (Niederösterreich) . . . . . 04 II 207
— Humboldtbai, Neu-Guinea . . . . . CBl 1901 *650*
— Kraubat, pseudom. nach Talk, im Dunit 02 II 180
— Ladakh, Himalaja . 03 I 79
— Ligurien, Tertiär . . 1900 I 218
— Malenco u. seine Asbeste . . . . . CBl 1902 *488*
— Maremmen . . . . . 02 II 58
— Maremmenküste, bildet den Sand . . . 02 II 233
— Massachusetts,Dunit- 1900 II 69
— Monzoni, Contactmineral . . . . . CBl 1901 *678*
— Oberpfalz . . . . . CBl 1904 *583*
— Paringu, Rumänien, Granat- u.Vesuvianfels 02 I 68
— Portugal, im Staubfall vom Januar 1902 CBl 1902 *258*
— Rhodopegebirge . . . 01 II 363
— Schweiz, in Pfahlbauten . . . . . BB XVI *166*
— SteevensCo.,Washington, Pseudo- . . . . 04 II 64
— Syrien, nördl. . . . 1900 I 401
— Taiwan-Inseln . . . 02 I 415
— Traversella, Entstehung . . . . . 03 II 371
— Ural, pseudom., nach Olivin . . . . . 01 II 193
Serpentinasbest
— Graubünden u. Ural . 04 I 401
— Malenco-Thal . . . CBl 1902 *488*
— siehe auch Chrysotil.
Serpentinbildung, Indien 01 I 230
Serpentinhorste, Bogoslowsk'sches Bergrevier, Ural, Mineralien 1900 I 344
Serpentinzone, bosnische, Gesteine . . . . . 02 I 67
Serpula patagonica, patag. Formation . . . 02 I 295
— plana, Bentongruppe, Kansas . . . . . 01 II 298

Serpula torquata, Tithon, Stramberg . . . . . 1903 II 419
Serpulidae, tert. u. quart., Italien . . . . . 02 I 320
Serpulopsis aberrans, Veszprémer Mergel, Bakonywald . . . . 02 II 306
Serra de Caldas, Brasilien, Leucitgranophyr 1900 I *22*
Serranus (?) gracilispinis, Tertiär, Bosnien . . 03 I 160
Setebos terribilis, Tertiär, La Plata . . . . . 03 II 293
Seufzergründl, Sachsen, Edelsteinseife . . . 01 I 21
Sevilla, Provinz, Geologie 01 II 110
Seward-Halbinsel, Alaska, Geologie u. Goldfelder . . . . . 04 II 71
Sextener Dolomiten, Trias 01 I 462
Shasta-Chico-Schichten, Berkeley Hills, Calif. 04 II 250
Shelly-Dolomit, Silur, New York . . . . . 04 I 113
Shenandoah limestone, Silur, Maryland und Virginien . . . . . 01 I 456
Sheppy, Vogelfauna im London Clay . . . . 1900 II 468
Shonkinit, Little Belt Mountains, Montana 03 I 432
Shonkinitähnl. Gestein, Kentallen und Elsewhere, Argyllshire . CBl 1900 71
Shoshonit . . . . . 02 I 216
Shoshonos . . . . . CBl 1903 697
Shumardia Miqueli, Tremadoc, Combes de Barroubio, Südfrankreich . . . . . 02 I *5*
— oelandica, Silur, Schweden . . . . . 03 I 296
Sibillini, Mti., Geologie. 02 I 98
Sibirien
— Bodeneis 1903 II 349 CBl 1902 409. 411
— Erz- u. Minerallagerstätten . . . . . 01 I 249
— Expedition d. Barons E. v. Toll CBl 1904 *225. 289. 437. 527*
— Expedition zur Erforschung von Nordost- CBl 1902 90
— Geologie . . . . . CBl 1904 *233*
— Gesteine des östlichen 03 II 199
— goldführende Districte 02 II 402
Sibirien
— Goldlagerstätten im Atschinsk-Minussinsk'schen Kreis . . . . CBl 1901 *136*
— Goldseifen, Lena'sches Bergrevier . . . . . 1902 II 409
— — Olekma-System . CBl 1901 123
— Magneteisenlager, Nikolajewski Zawod . 04 II 416
— Nephrit . . . . . 1900 I 389
— quart. Säugethiere . 03 I 324
— Schiro-See, Geologie CBl 1901 151
— Trias d. östl. Küstenprovinzen . . . . . 1900 II 434
Sicilien
— Jura, Rhynchonellinen 01 II 157
— wichtigste Eruptionsvorgänge 1899 . . . 02 I 210
Siebenbürgen
— Dinosaurier, ob. Kreide 01 I 307
— Kreide . . . . . 01 II 279
— Paragenese des Goldes CBl 1903 *331*
Siebenbürg. Erzgebirge
— Geologie des Nordrands . . . . . 03 I 274
— Goldlagerstätten . . CBl 1901 172
Siebengebirge
— Basalte am Nordabfall . . . 1901 I 282 01 II 222
— Geologie . . . . . 02 I 254
— Mineralien . . . . . 1900 I 197
Siena, alte u. neue Seen bei S. Antonio . . . 01 I 392
Sierra de la Tinta, Geol. 1900 I 100
Sierra de la Ventana, Prov. Buenos Aires, Geologie . . . . . 02 II 428
Sierra Nevada, Californien
— Gesteinseruptionen . 1900 I 69
— Lavaströme . . . . 1900 II 65
Sierras de Olavarria, Provinz Buenos Aires, Geologie . . . . . 02 II 428
Sierre a. d. Rhône, Schweizer Voralpen, Tektonik 03 I 99
Sigapatella americana, patag. Formation . . 02 I 295
Siggenthal, Hausthierfunde . . . . . 03 I 148
Sigillaria carinata, nodulosa und subsulcata, Rothliegendes, Ilfeld CBl 1901 *594*
— euxina, Carbon, Heraclea (Kleinasien) . . 03 I 175
— Youngiana, Carbon, Schottland . . . . . 01 I 523

Sigillarien, aufrechte Stämme, Wurzeln etc. 1903 II 309
Silber
— destillirtes . . . . . 03 I 369
— Farbe der allotropen Modification . . . . 04 I 329
— Schmelzpunkt . . . 03 II 318
— u. -Amalgam, Alaska 1900 II 79
— Bogoslowsk'sches Bergrevier, Ural . . . . 1900 I 344
— Jenissei'sche Taiga, in Goldseifen . . . 01 II 174
— Kansas, westl., in Kreideschiefern 1904 I 329 04 II 73
— Kongsberg, entstanden aus Silberglanz . 01 I 85
— Little Belt Mountains, Montana . . . . . 01 II 367
— New Jersey . . . . 02 I 361
— Salagrube, Schweden 1900 I 31 01 II 173
— Silverton Quadrangle, Colorado . . . . . 03 II 344
Silber- u. Bleierzgänge, Svenningdal, südl. Norwegen . . . . . 04 I 398
Silber- u. Golderzgänge, secund. Anreicherung 02 II 80
Silber- u. Goldstrichprobe CBl 1902 665
Silber-Analcim, künstl. 1903 I 392 04 II 5
Silberberg b. Bodenmais, Schwefel- u. Magnetkieslagerstätte . . . 03 I 444
Silber-Chabasit, künstl. 03 I 392
Silberchlorid, Kotschkar, Ural . . . . . 01 I 80
— siehe auch Chlorsilber.
Silbererzgänge
— Entstehung . . . . 1900 II 246
— Ouray, Colorado . . 02 II 243
— Pachuca, Mexico . . 1900 I 413
Silbererzlagerstätten . . 1900 II 242
Silberformation, barytische, Freiberg . . CBl 1901 249
Silbergehalt von Gesteinen, Böhmen . . . . 01 II 401
Silberglanz
— elektr. Leitfähigkeit . BB XX *390*
— verwachsen m. Polybasit . . . . . BB XVI *366*
— — mit Kupferkies . BB XVI *361*
— — mit Rothgültigerz BB XVI *351*
— Kongsberg, Bildung von Silber aus S. etc. 01 I 85
Silberglanz, Silverton Quadrangle, Colorado 1903 II 343
Silbergrube Gnesta, Schweden . . . . . 1900 I 412
Silberklumpen, Structur 02 I 5
Silberkupferglanz, Silverton Quadrangle, Colorado . . . . . 03 II 342
Silbernitrat, Mischkrystalle mit HgJ_2 . . 04 II 345
Silicide von Eisen und Mangan, Krystalle . 04 I 6. 26
Silicificirung, Aspen Mining, District, Colorado . . . . . 01 II 433
Silicio-Ferro-Mangan, Krystalle . . . . . 04 I 6. 26
Silicium, künstl. Darstellung . . . . . 01 II 4
Siliciumchlorid, künstl. . 01 II 4
Siliciumfavas, brasilian. Diamantsande . . . 1900 II 36
Siliciumsulfid, künstl. . 01 II 4
Silikat von Al und Na, künstl., thomsonitähnlich . . . . . 1900 II 351
Silikate
— Angreifbarkeit durch H_2S-Gas . . . . . 01 I 172
— Aufschliessen m. Borsäureanhydrid CBl 1902 143. 504
— Bestimmung des FeO 02 I 55
— Constitution u. Classification . . . . . 1900 I 184
— Einwirkung von Salmiak . 1903 I 393 04 II 3
— Entstehungsfolge in vulcan. Gesteinen 1903 I 51. 52
— Löslichkeit der natürlichen in Wasser . . 01 II 342
— Theorie (Vernadsky) 02 II 190
— Verhalten i. Schmelzfluss CBl 1904 *295. 340. 364. 705. 739*
Silikatgesteine
— chem. Untersuchung 1900 I 379 03 II 367
— Gehalt an Va, Cr u. Mo . . . . . 04 II 381
Silikatschmelzlösungen, Theorie . . . . . 04 II 163
— und Eruptivmagmen, Beziehung d. Krystallisationsfolge d. Mineralien zu den Schmelzpunkten . . . . . CBl 1904 *49*

Sillimanit
— Bildung im Magma . 1900 II 249
— Verhalten beim Glühen 04 I 28
— verwachsen m. Andalusit . . . . . BB XVI *397*
— Ceylon . . . . 1902 I 195. 196
— Deutschbrod (Böhmen) im Cordieritgneis . . 04 II 385
— Linz a. D. (Oesterreich) . . . . . 03 I 193
— rhein. Basalte . . . 04 I 213
Siliquaria cretacea, obere Kreide, lib. Wüste . 03 I 510
Sillit, Salzkammergut . 01 I 61
Silur
— Grenze gegen Cambrium . . . . . 03 I 295
— Pflanzen . . . . 1902 II 156. 495
— Species d. Woodwardian Museum . . . 03 I 117
— Albany, Hudson River beds . . . . . 01 II 434
— Amsterdam, N. Y. . 01 I 270
— armorican. Massiv . CBl 1902 285
— Aspen Mining District, Col. . . . . 01 II 431
— Australien, südl. . . 1900 II 109
— Bäreninsel m. Tetradium apertum . . . 01 II 163
— Baffinsland, Fauna d. unteren . . . . . 01 I 482
— Balbriggan, County Dublin . . . . . 01 I 457
— baltisches, Asaphiden 1900 I 136 03 I 337
— —, Bohrmuschel Lithobia atava im unteren . . . . . CBl 1902 *132*
— —, Borkholmer Schicht 03 I 505
— —, Siphoneen . . . 02 II 160
siehe auch ostbaltisches.
— Barcelona, Spanien . 02 I 435
— Becraft, Mountain b. Hudson, N. Y. . . . 04 II 249
— —, —, N. Y., Oriskanyfauna . . . . . 01 II 457
— Belgien . 1902 I 435 03 II 104
— Böhmen, Graptolithen 1900 I 146
— —, Grenze gegen Cambrium . . . . . 01 I 269
— Bolivia . . . . . CBl 1904 *2*
— Bornholm . . . . . 01 I 96
— Brasilien, Pará . . . 04 I 424
— —, Rio Trompetas, Pará, Fauna . . . . 01 I 297
— Bretagne . . . . . 01 I 271
Silur
— Brockport u. Medinaquadrangle, oberes . 1903 I 108
— Cap Breton, Tremadoc 03 I 292
— Catalonien, Frankreich, Graptolithenhorizonte . . . CBl 1902 212. 328
— Christiania . . . . . 1900 I 423
— —, Etage 5 . . . . 02 I 111
— ClogherHead District, Irland etc. . . . . CBl 1902 315
— Dill- und Lahnthal, Kellerwald, Gommern u. Harz, Flora . . . 02 II 496
— England . . . . . 03 I 295
— —, Conocoryphe-Species . . . . . 01 II 149
— —, Echinoidea und Ophiuroidea . . . . 1900 II 318
— —, Ectomaria exigua u. girvanensis . . . 02 I 311
— —, Gastropoden . . 02 II 485
— —, Hormotoma . . . 02 I 311
— —, Trilobiten 1901 II 149. 150 03 I 336
— — u. Norwegen, Tramoria u. Apatokephalus . . . . . 01 II 150
— Erie-Kanal, Eurypteriden-Fauna (Hughmilleria) . . . . . 04 II 98
— Forfarshire und Kinkardineshire, Schottland . . . . . CBl 1901 665
— Gotland, Dictyonema cavernosum . . . . 1900 I 144
— —, Graptolithen . . 1900 I 145
— Groningen (Holland), Diluvialgeschiebe silur. Alters . . . . . 04 II 456
— Harz u. Magdeburg, Flora . . . . . 02 II 495
— Helderbergplateau . 03 I 296
— Irland, Clogher Head District . . . . . CBl 1902 315
— —, südöstl. . . . . 01 I 116
— Kellerwald 1903 I 467 03 II 95
— —, Goniatiten im oberen . 1903 I 505 CBl 1900 138
— Lambay Island, Dublin, Bala beds und Eruptivgesteine . . 1900 I 269
— Maryland, Ontario . 03 II 107
— — u. Virginien, Shenandoah limestone u. Martinsburg shale . 01 I 456

Silur
— Massachusetts . . . 1900 II 87
— Michigan etc., Korallenriffe . . . . . 04 II 97
— Montagne Noire, Südfrankreich . . . . . 02 I *1*
— Neddemin i. Tollense-Thal, Geschiebe im Miocän . . . . . 04 II 259
— New York, Cayugan . 03 II 261
— —, Crustaceen d. Salina-Schichten . . . 03 I 335
— —, Gliederung . . . 01 II 265
— —, Guelph-Stufe . . 04 I 112
— — (Staat), Mächtigkeit . . . . . 01 I 270
— Nordamerika . . . . 03 I 104
— —, Devongrenze . . 01 II 117
— Oeland u. Dalarne . CBl 1904 *450*
— ostbaltisches, verglichen mit skandinav. Unter- . . . . . CBl 1901 441. *611*
— Ostseeländer (ausser Gotland), Craniadae 1900 II 155 01 II 155
— Ostthüringen u. Vogtland, Graptolithenschiefer . 1903 I 294 04 II 97
— Pará, Brasilien 1901 I 297 04 I 424
— Pas de Calais, Wenlock . . . . . 01 I 271
— Pennsylvanien, Eisenerze . . . . . 03 I 87
— Pentland hills, Skorpion u. Eurypteriden d. oberen . . . . . 03 I 544
— Podolien, Fauna . . 1900 II 104
— — u. Wolhynien . . 04 I 261
— poln. Mittelgeb., Graptolitidae . . . . . BB XIII *332*
— Rensselaer County, N. Y., Graptolithen-Facies der Beekmantownformation . . . 03 I 115
— Russland, Aequivalente d. Ceratopygekalks . CBl 1901 151
— —, — d. engl. Tremadoc u. skand. Ceratopygekalk . . . . . CBl 1901 151
— — u. Skandinavien, Kalksteine des unteren CBl 1901 534
— Rysedorph Hill, Rensselaer County, N. Y., Trenton-Conglomerat 03 I 116
— Sachsen . . . . . CBl 1903 *577*

Silur
— Sarjektrakt . . . . CBl 1901 *441*
— Schan-Staaten, nördl., Monograptus u. Eurypterus . . . . . CBl 1900 138
— Schottland, Monographie des Geological Survey . . . . . 1900 II 273
— —, vergl. mit Ostbalticum . . . . . CBl 1901 *611*
— —, Fische . . . . . 01 I 505
— Schweden . . . . . 02 II 102
— —, Sularpsbach im südlichen . . . . . 04 II 246
— Sibirien . . . . . CBl 1904 439
— skandinav. Untersilur, verglichen m. Ostbalticum . . . . . CBl 1901 441
— Thüringen, Thuringit und Chamosit . . . BB XIX *40*
— thüringisch-vogtländisches, Vork. d. Graptolithen . 1903 I 294 04 II 97
— Torneträsk (Lofotenbahn) . . . . . 04 II 225
— Tortworth Inlier, Eruptivgesteine . . 03 I 75
— Tremadoc, Aequivalente im russ. Silur . CBl 1901 151
— Venezuela, unteres . 04 I *91*
— Victoria, Austr., Graptolithenablagerungen 1900 II 430
— Vogtland, oberes, Phosphoritführung . BB XV *1*
— Wales, Rhayader . . 01 I 456
Silurgeschiebe
— Groningen (Holland) 04 II 456
— Sachsen, mit Kalkalgen . . . . . 1900 II 128
Siluriden, fossile . . . 02 II 303
Silurodevon, Neu-Schottland . . . . . 01 I 449
Silver City, Idaho, Gold- u. Silbererzlagerstätte 03 I 450
Silverton Quadrangle, Colorado, Erzlagerstätten 03 II 341
Simbirsk-Gouvernement
— Geologie . . . . . 01 I 263
— Neocom u. Rjazan-Horizont . . . . . 01 II 126
Simbirskites Kowalewskii, polionensis, pseudobarboti u. umbonatiformis, Kreide, Russland . . . . . 02 I 445
Simonyit, Hallstatt . . 01 II 359

Simonyit ident mit Astrakanit . . . . . 1904 I 29
Simonyitähnl. Minerale, Kalucz . . . . . 03 I 400
Simplon, Geologie . . . 03 I 481
Sinai
— eoc. Foraminiferen . 01 II 165
— Geologie u. Tektonik 02 II 263
— u. Egypten, Seeigel . 02 I 148
Sinémurien, Portugal . 04 II 112
Singapore, recente Foraminiferenfauna . . . 03 I 324
Singhofener Horizont (?), Rolshausen, Nassau . BB XVII *67*
Sinj-Ebene, Dalmatien, Erdbeben 2. VI. 98 . 1900 I 377
Sinopa agilis, major minor u. rapax, Eocän, Marsh Collection . . 04 I 458
— multicuspis, opisthotoma, strenua u. viverrina . . . . . 03 II 434
— syst. Stellung . . . 03 II 433
Sinopsis Geologico-Paleontologica von Ameghino, Bemerkungen dazu . . . . . 1900 I *224*
Sioux-Quarzit, Geologie 1900 I 66
Siphonalia goniocolpa, Eocän, Loire inférieure . . . . . 03 I 128
— marosticana, Oligocän, venet. Voralpen . . 01 II 282
Siphoneen, balt. Silur . 02 II 160
Siphonodentalium armoricense, Eocän, Loire inférieure . . . . . 03 I 128
Sirab, Persien, Senonpetrefacten . . . . 02 II 119
Sirene, Schichten m. Carcharias japonicus, Togari, Provinz Mino, Japan . . . . . 04 II 464
Sisenna, Trias, Hallstatt 02 I 144
— infirma, Veszprémer Mergel, Trias, Bakonywald . . . . . 02 II 306
— Sandori, Mergel des Sandórhegy, Trias, Bakonywald . . . . 02 II 307
Sismondaea macrophylla und Zitteli, Nummulitenschichten, Egypten . . . . . 01 II 484
Sismondia Blanckenhorni, Eocän, Egypten . . 03 I 532
Sismondia Taramellii, Gassino-Kalk, Piemont und Ligurien . 1903 II 453
Sismondien, Nummulitenschichten, Egypten . 01 II 484
Sitkos . . . . . CBl 1903 696
Sitzungsberichte, siehe Versammlungen.
Sivaliks, Geologie . . . 02 II 111
Skala für Lichtbrechungsindicatoren . . . . CBl 1904 *15*
Skandinavien, nördliches, Gliederung d. Formationen . . . . . 03 I 283
Skapolith
— Ceylon, in Marmor . 04 I 382
— Mähren . . . . . CBl 1904 *361*
— Mte. di Avane (Pisa), im schwarzen Kalk . 04 II 218
Skapolith-Adamellitporphyr, Alaska . . . . 02 I 416
Skapolith-Belugit, Alaska 02 I 416
Skapolithgesteine, Alaska 02 I 416
Skapolith-Wollastonit-Gestein, Ceylon . . . 02 I 76
Skapolith-Wollastonit-Gneiss, Ceylon 1904 I 383 CBl 1902 571
Skolezit
— aus Nephelin . . . . 1900 II 66
— Dampfspannung . . 1900 I 335
— Einwirkung von Salmiak . 1901 II 339 04 I 6
— Aarmassiv, in Biotitprotogindrusen . . . BB XIV *91*
— Habachthal, Salzburg 03 I 393
— Maddalena im Granit 03 I 195
— Mairalp, Salzburg . CBl 1902 665
Skorodit, Böhm. Eisenberg, Mähren . . . CBl 1904 *354*
Skoroditgruppe . . . . CBl 1901 504
Skorpion, Silur, Pentland Hills . . . . . 03 I 544
Skrikerum-Grube, Schweden, Mineralien . . 01 I 361
Skye, Altersfolge der Eruptivgesteine . . 03 I 420
Skytische Stufe, Salt Range, Ostindien . . BB XIV *448*
Smaragd
— Nordamerika, Vorkommen als Edelstein CBl 1902 403. 405
— Nordcarolina . . . . 1900 I 32
— Ural, Vorkommen . 01 II 190
— siehe auch Beryll etc.

Smilax panortia, Chlomeker Schichten, Böhmen . . 1900 II 496 1901 I 527
Smirgel, siehe Schmirgel.
Smithsonit siehe Zinkspath und Galmei.
Smittia Canavarii, Tert., Toscana . . . . . 02 II 310
Smyrna, Geologie . . . 03 II 251
Snow mushrooms, Entstehung . . . . . CBl 1902 153
Snowdon, Geologie . . . 02 II 69
Socnopaea grandis, Mitteleocän, Fajum, Egypten 04 I 6
Socotra
— Geologie 1901 I 232 03 II 263
— Gesteine . . . . . 03 II 195
Soda, Mähren . . . . . CBl 1904 359
Sodalith
— Bildung im Magma . 1900 II 252
— Cappuccini b. Albano 04 I 170
— Grönland, im Nephelinsyenit . 1900 I 349 01 I 39
— —, Pseudomorphosen im Nephelinsyenit . . 01 I 39
— —, Kangerdluarsuk . 1900 I 349
— Viterbo . . . . 1901 II 19. 354
Sodalithaugitsyenit, Gross-Priesen, böhm. Mittelgebirge, Beziehung zu Essexit . . . . . 04 I 55
Sodalithgruppe
— chemisch . . . . . CBl 1904 727
— Schmelzpunkte . . . 04 II 166
Sodalithporphyr, Rongstock . . . . . 1900 II 83
— Grönland, Mineralien 1900 I 348
— Ice River Valley, Can. 04 II 60
— Kola . . . . . 02 II 383
Sodaseen, Egypten . . . 1900 I 236
Sodipotassische Eruptivgesteine . . . CBl 1903 685. 695
Sodom u. Gomorrha, Untergang . . . . . 02 I 374
Sölvsbergit
— Abessynien . . . . 01 II 392
— Essex Co., Mass. . . 1900 II 66
— Monteregian Hills, Quebec, Canada . . 04 II 410
Sohland, Oberlausitz, Nihalt. Magnetkies . . 04 I 224
Solariella asperrima, ?coislinensis, elevata, subcraticulata u. valvatoides, Eocän, Loire inférieure . . . . . 03 I 128
Solariella unio, Quiriquina-Schichten, Chile BB XVIII *194*
Solarium dachelense, ob. Kreide, lib. Wüste . 1903 I 510
— hortense, lucidum, Orcagnae u. subplicatum, Priabona-Schichten . . . . . 04 I 283
— moniliferum var. unicincta, Cenoman, Frankreich . . . . . 1900 II 286
Solecurtus? limatus, Kreide, Patagonien . 02 II 435
— platensis, Paraná-Stufe . . . . . BB XIV *210*
Solen australis, Quiriquina-Schichten, Chile BB XVIII *249*
— macromyus, Chlomeker Schichten, böhm. Kreide . . . . . 1900 I 440
— plagiaulax, Priabona-Schichten . . . . . 04 I 283
Solenhofen, mioc Säugethiere in Spalten des lithogr. Schiefers . . BB XIX *496*
Solenomya haeringensis, Unt.-Oligocän, Häring 04 II 116
— Semseyana, Trias, Bakonywald . . . . . 02 I 314
Soletellina brabantina, Belgien, ob. Tongrien 02 I 130
Soloma, Abruzzen, geol. Karte der Umgegend 1900 I 253
Somaliland
— Aegirin- u. Riebeckitrhyolith . . . . . 01 I 226
— Geologie . . . . . 01 I 452
— vulcan. Gesteine . . 02 I 411
Sombrero, Geologie . . CBl 1901 538
Somma, Mineralien . . CBl 1901 *45*
Sommablöcke, kohlenreiche, gebänderte . CBl 1901 *309*
Son Valley, Rewah-Staat, Indien, Geologie . . 02 I 430
Sondalo, Veltlin, Mineralien im Pegmatit . 01 II 369
1902 I 358 03 II 32
Sonnenbrenner im Basalt, Laubach-Mücke-Bahn, Vogelsberg . . . . . 04 II 51
Sonnenstein von Tvedestrand, Lage der Hämatitschuppen . . 03 I 24
1904 I 352 CBl 1902 441

Sonninia, Aptychus, Bajocien, Nancy . . . 1901 I 511
— altecostata, argentinica, Bodenbenderi, curviplex, deltafalcata, espinaxitensis, fascicostata, gracilis, intumescens, mirabilis, Stelzneri, subdeltafalcata, Bajocien, Espinazito-Pass, Argentinien . . . . . 1900 II 116
— Helenae, Jura, Daghestan . . . . . 04 II 76
Sonnwendgebirge, Geol. 03 I 494
Sonnwendjochgebirge, Zusammenhang mit Karwendelgebirge . 04 I 246
Soóvár, Nord-Ungarn, Steinsalzbergwerk . 1900 II 408
Sopki = Schlammvulcane, Jenikale . . . . . 01 II 209
Sorex pusillus, La Grive St. Alban, miocän . 03 II 125
Sosio-Kalk, Sicilien, verglichen mit den Trogkofelschichten der karn. Alpen . . . . 01 II 120
Sosiolytes (?) vassiliewskensis, oberpaläoz., Russland . . . . . 01 I 311
Sósmező, Com. Háromszék, Geologie . . . 03 II 245
Soufrière
— Guadeloupe, Westindien . . . . . CBl 1903 319
— St. Vincent, Westindien . . . . CBl 1903 248. 369
— —, Aschen vom Mai 1902 . . 1903 II 86 CBl 1902 442
— —, Eruption 1902 . 04 II 369
— —, — 1902 u. 1903 04 II 1
South Brent, Devonshire, Granit etc. . . . . BB XIII 107
Sowerbya meridionalis, Bajocien, Espinazito-Pass, Argentinien . 1900 II 116
Spalax Fritschi, Antelias-Höhle, Libanon . . . 04 II 147
Spaltbarkeit d. Krystalle
— Theorie . . . . . 02 I 9
— Beziehung zur Härte CBl 1902 376
Spalte, Begriff bei Eruptionserscheinungen . CBl 1903 374
Spalten, Beziehung zu Vulcanen . . . . . 04 II 20
Spaltenausfüllungen . . 1900 I 207
Spaltungsgesteine des Monzonit . . . . . CBl 1901 675
Spaltungsvorgänge in granit. Magmen, Riesengebirge . . . . . CBl 1902 680
Spanien
— Kieslagerstätten des südlichen . . . . . 04 I 399
— Mineralien . . . . . CBl 1902 662
Spaniodon-Schichten, Miocän, kaspische Länder 01 I 127
Sparagmit, Cambrium, Norwegen . . . 1900 I 268. 269
Spatangiden
— Laufen (Berner Jura), Septarienthon . . . 1900 I 144
— Piemont, Tertiär . . 1900 I 143
Spatangus, Stacheln . . BB XIII 207
— Almerai, Eocän, Barcelona . . . . . 03 I 530
— arcuarius, Bucklandi und lacunosus . 1901 II 161. 162
— Gottschei (Eupatagus ?), Miocän, Holstein . . . . . 04 I 466
— Meyni, Miocän, Holstein . . . . . 04 I 466
Spatheisenerze, südlicher Ural . . . . . 04 I 85
Spatheisenstein
— magnet. Influenz . . BB XIX 419
— Translationen . . . 02 II 139
— Zersetzung . . . 02 I 56
— in Torfmooren 1901 II 379 02 I 389
— Bogoslowskisches Bergrevier, Ural . . . 1900 I 544
— Eiserfeld Siegen, umgewandelt in Magneteisen durch Basalt . CBl 1900 489
— Gosenbach, Siegen, Eisenglanz pseudom. nach Sp. . . . 03 II 325
— Grönland . . . . 1900 I 547
— Nordböhmen aus Basalt . . . . . 03 I 422
— siehe auch Sphärosiderit
Spaltrisse . . . . . 03 I 172
Spezifische Gewichte . . 03 II 284
Spezifisches Gewicht, Instrumente zur Bestimmung bei Edelsteinen CBl 1902 331
Spezifisch schwerste Salz Lösungen, Bestimmen . 03 I 44

Speckstein
— Dichte nach Schmelzen 1901 II *153*
— Cichow, Mähren, pseudom. nach Quarz . . 03 I 201
— Mte. Bogno, Iseosee, im Dolomit . . . . 02 I 352
— Rozna, Mähren, pseudom. n. Turmalin . CBl 1904 *361*
— Tempelstein, Mähren CBl 1904 *357*
— Ural, pseudom. nach Olivin . . . . . 01 II 193
— siehe auch Steatit.
Speiskobalt
— Reaction auf Cu u. Ag bei gewöhnlicher Temperatur . . . . CBl 1901 *401*
— Nikolčic, Mähren . . CBl 1904 *356*
Spektrallampen 1902 II 3 03 II 9
Spencerit, Beraun, künstl., Krystallform . . . . 04 II 11
Spermophilus, Käsbachthal b. Tübingen im Löss . . . . . 1900 I *143*
— erythrogenoides, Ightham (Kent) . . . . 03 I 564
Sperrylith
— Vorkommen . . 1903 II 319. 322
— Nordcarolina, m. Rhodolith . . . . . 1900 I 188
— Rhambler Mine, Wyoming . . . . . 03 I 377
— Sudbury, Canada . . 04 II 364
— Vermillion Mine, Ontario . . . . . 04 I 344
Spessartin
— syst. Stellung . . . 03 II 358
— Debarštica, Bulgarien, im Contactkalk . . . 01 II 362
— Salm-Château, im Glimmerschiefer . . 01 I 195
— Mesa Grande, Diego Co., Cal. . . . . 03 II 40
Sphaeraster molassicus, schwäbische Meeresmolasse . . . . . 04 II 458
Sphaerexochus, genet. Beziehungen . . . . 1900 II 473
Sphaeria acericola, böhm. Mittelgebirge . . . . 1900 II 329
Sphaerium Gosseleti, Tert. unter dem Lignit, Cuvilly (Oise) . . . . 01 I 125
Sphaeroceras evolutum, extremum, Gottschei, rotundum, subtransiens, transatlanticum, Callovien und Bajocien, Espinazito-Pass, Argentinien 1900 II 116. 117
Sphaerocoryphe, genet. Beziehungen . . . . 1900 II 473
Sphäroidale Structur d. Eruptivgesteine . . . CBl 1903 690
Sphärolithe
— aus Sulfanilsäure . . 03 I 451
— centrogene und coriogene . . . . . 04 I 378
— neue Untersuchungsmethode . . . . . CBl 1902 409
— Griechenland, nördl. u. türk. Grenzländer BB XVIII *13*
— Neuseeland . . . . 01 II 71
— Obsidian Cliff . . . 04 II 47
— Yellowstone u. England, hohle 1903 I 53 CBl 1901 536
Sphärolithisch-dendritische Grundmasse d. Diabases, Curaçao . . . 1900 II *153*
Sphärolithische Structur d. Eruptivgesteine . CBl 1903 690
Sphaeronidae . . . . . 01 I 321
Sphärosiderit, Eisenerzlager d. Gouv. Orel, chemisch . . . . . 01 II 409
Sphaerucaprina Felixi u. u. Lenki, Caprinidenkalk, Cerro Escamela bei Orizaba . . . . 1900 II 121
Sphalerit, siehe Zinkblende.
Sphen, Tirol, grün, Polychroismus . . . . . 04 II 344
— siehe auch Titanit.
Sphenacanthus fifensis, unteres Carbon, östl. Fifeshire . . . . . 04 I 307
Sphenia Brocchii, mittl. Miocän, Touraine . . 02 I 466
Sphenophyllum lescarianum, lower coal measures, Missouri . . . 01 II 491
— Sewardi, Carbon, Heraclea (Kleinasien) . 03 I 175
Sphenopteridium Keilhavi, Devon, Bäreninsel . 04 II 476
Sphenopteris artemisiaefolia . . . . . CBl 1901 *592*
— bithynica, heracleensis u. Limai Carbon, Heraclea (Kleinasien) 03 I 174
— Broadheadi, canneltonensis, capitata, illinoisensis, missouri-

ensis, suspecta, van Ingeni, u. Wardiana, Lower coal measures, Missouri . . . . . 1901 II 490
Sphenopteris cristata, integra u. Landmannii, Rothliegendes, Ilfeld CBl 1901 *590*
— Förtschii u. triphyllopsis, Culm-Dachschiefer, Thüringen . 1904 I 320
— punctulata (Ovopteris), Rothliegendes, Ilfeld . . . . . CBl 1901 *419*
— sub-Hönighausenii u. subtridactylites, Carbon, Zwickau . . . 03 II 458
Sphenotrochus claibornensis, Palaeogen, Nordamerika . . . . 04 I 468
Spiegel- u. Deckachsen zur Darstellung der Krystallclassen . . . . 1900 II 331
Spiegeleisen, Krystallf. . 04 I 6. 26
Spilit
— Böhmen, praecambrisch . . . . . 04 I 51
— Fichtelgebirge etc. . 01 I 59
Spilosit, Michigan . . . 01 I 238
Spinell
— Bildung im Magma 1900 II 249. 386
— Dichte nach Schmelzung 01 II *151*
— opt. Erscheinung bei Druck . . . . . 03 II 166
— Ariège, im Contactkalk am Lherzolith . 02 II 26
— Brasilien, in Eisenerzen . . . . . 04 I *94*
— Ceylon . . . . 1902 I 193. 194
— —, im Marmor . . . 04 I 381
— —, blauer . . . . . 02 I 197
— —, edler, Anal. . . CBl 1902 146
— Fassathal (Ceylanit), Analyse . . . . . CBl 1902 146
— im Glenelg-limestone 1900 II 365
— Portugal, im Staubfall vom Januar 1902 CBl 1902 *260*
— Studenec, Mähren . . 03 I 401
— u. Forsterit, pseudom. nach Dipyr, Ariège, Contactkalk am Lherzolith . . . . . 02 II 26
Spinellide, Schmelzpunkt 04 II 167
Spinellzwillinge b Schwefelkies, French Creek, Penn. . . . . 04 II *93*
Spinigera Rollieri, ob. Oxford, bern. Jura . 1903 I 322
Spirifer Archiaci var. bisellata, minor und Orbeliana, Murchisonianus var. angustirostris, globosa und Zarenznyi, Devon, Krakau . . . . . 04 II 99
— arduennensis, carinatus, curvatus, daleidensis, Hercyniae, latestriatus, Nerei, paradoxus, subcuspidatus, Unterdevon zw. Marburg u. Herborn BB XVII *50*
— assimilis, Untercoblenz, Loreley-Gegend 01 I 273
— concentricus u. ostiolatus (= laevicosta), Mitteldevon . . . . 01 I 315
— coniculus, Devon (Ouray limestone), Colorado . . . . . 04 I 428
— Jaqueti, Devon, White Cliff, Australien . . BB XIV *503*
— melissensis, Balia, Maaden, Kleinasien, Unt.-Carbon . . . . 02 I 115
— mosquensis, Devon, Krakau . . . . . 04 II 98
— parvulus, Devon, Waigatsch . . . . . 1900 I 271
— primaevus, exot. Formen . . . . . 1900 II 316
— subhystericus, Siegener Schichten . . . 01 I 315
— sublimis, Stringocepha'enkalk, Lindener Mark . . . . . 01 I 272
— tibetanus, Permocarbon, Tschititschun . 01 I 275
— waigatschensis, Devon, Waigatsch . . 1900 I 271
Spiriferen Deutschlands 01 I 314
Spiriferina aequiglobata, unterer Lias, Bukowina . . . . . 02 II 269
— baliensis, Balia Maaden, Kleinasien, Unt.-Carbon . . . . . 02 I 115
— decipiens Mittellias, Südtirol . . . . . 01 I 167
— meridionalis u. solitaria, Muschelkalk, Süddalmatien . . . 04 I 115

Spiriferina microglossa (Mentzelia?), Muschelkalk, Trebevic, Bosnien . . . . . 1904 I 116
— osmana, oberer Trias Dragoradi, Bosnien . 04 I 117
— turcica, oberer Trias, Gajine, Bosnien . . 04 I 117
Spiriferina octoplicata-Schichten, Dolhain, Belgien . . . . . 01 II 443
Spirigera Bukowskii, cornutula und matutina, Muschelkalk, Süddalmatien . . . . . 04 I 115
— Kittlii (Pexidella), Muschelkalk, Trebevic, Bosnien . . . . 04 I 116
— ovata, Remscheider Schichten, Devon . . CBl 1904 *602*
Spirillina plana var. patella u. chinensis, palaeoz., China . . . . 1900 II 489
— spinigera u. tuberculato-limbata, Funafuti-Atoll . . . . . 04 II 160
Spiroloculina complanata, fissistomata, inclusa, occulta und simplex, Inoceramenschichten v. Gorlice . . . . . 03 II 153
Spiroplecta u. Sp. carinata . . . . . 03 II 152
— Clotho, Inoceramenschichten. Gorlice . . 03 II 153
— gracilis und robusta, Kreidemergel d. oberbayr. Alpen . . . . 02 I 155
Spirorbis, Bruay (Pas-de-Calais), Carbon . . . CBl 1904 310
Spitzbergen
— devon. Fische . . . 02 II 304
— mesoz. u. tert. Flora 02 II 318
— Triassaurier . . . . 03 II 440
Spitzkegelkette, Steiermark, Geologie . . . 03 I 102
Spodiosit, Narsarsuk, südl. Grönland, im Syenit 02 I 26
Spodumen
— Dichte nach Schmelzung . . . . . 1901 II *151. 152*
— Black Hills, Wyoming 03 I 408
— Cichow, Mähren, im Urkalk 1901 II 364 03 I 200
— James Bay, Ungava-District, Canada . . 02 II 38
Spodumen
— Mähren . . . . . CBl 1904 *362*
— Pala, Diego Co, Cal. (Kunzit) 1904 I 357. 358 1904 II 354. 366
— Verein. Staaten, Production 1901 . . . . 1904 I 35
Spondylus aegyptiacus, Tertiär, Egypten . . 01 I 477
— danicus, Kreide, Dänemark . . . . . 02 II 434
— serratus, Marsupites-Zone, England . . . 03 II 299
Spongien
— Baden (Schweiz), Jura 02 II 311
— Bakony, Trias . . . 02 I 491
— nordöstliches Pariser Becken, Kreide . . . 02 I 495
— schwäb. Meeresmolasse 04 II 458
Spongosphaera tritestacea, in Phosphoritknollen, Obersilur, Vogtland . . . . . BB XV *25*
Sporadoceras, poln. Mittelgebirge, Oberdevon BB XIII *350*
— pseudosphaericum, Devon . . . . . 03 II 147
Sportellidae, tertiär und recent, Nordamerika u. Westindien . . . 1900 II 315
Spreustein, Grönland, aus Nephelin, Sodalith etc., Nephelinsyenit . . 1901 I 38. 39
Sprödglaserz, siehe Stephanit.
Sprödglimmer, Acherwiese, Fichtelgebirge 1900 II 359
Squalodon, Boldérien, Antwerpen . . . . . 03 I 549
Squamularia (Flyschfucoiden) . . . . . 1900 I 156
Squatina Gaudryi, Eocän, Reims . . . . . 04 I 306
Ssaratow, siehe Saratow.
Stacheln foss. Echinoiden, systemat. Bedeutung BB XIII *185ff.*
Stachelschwein, diluv., Ratonneau-Insel bei Marseille . . . . . 01 I 497
Stade, Diluvium . . . . BB XVI *62*
Stagmaliten, Höhlen, Indiana . . . . . 02 II 398
Stahl
— chemisch . . . . . 01 II 10
— physik.-chem. Eigenschaften . . . . . 03 II 12

Stalagmiten-Eis . . . . BB XVIII *65*
Stalaktit, Montana, Anal. 1901 I 34
Stalaktiten-Eis . . . . BB XVIII *68*
Stamm, sog., im Gneiss von Guttannen . . . 1900 II 394
Stanisoara-Gebirge, Nordmoldausche Karpath. 1900 II 421
Stannit, Bolivia, krystallisirt . . . . . 02 II 17
Stassfurt
— Bildungsverhältnisse d. Steinsalzablagerungen . . . . . 1902 II 5. 13
— Salzlager, Entstehung 01 I 6
siehe auch HOFF, J. H. VAN'T etc.
Stassfurtit, Vorkommen in Kalisalzlagern . . 04 I 336
Statia (St. Eustatius), Westindien, Geologie CBl 1903 *314*
Statische Differentiation im Magma . . . . . CBl 1900 191
Statuario = Statuaire, Carrara, Marmor . . BB XIX *273*
Stau-Åsar, Naugard . . 02 II 126
Staub
— des Scirocco, Unteritalien . . . . . 03 I 46
— meteorischer, Europa 10. u. 11. März 1901 03 II 362
— vulcanischer, Nordamerika . . . . . CBl 1900 164
Staubfälle
— Europa, 10. und 11. März 1901, Eisengehalt . . . . . 03 II 362
— —, 11. März 1901, wichtig für Gletscherforschung . . . . . CBl 1901 *662*
— Italien . . . . . 04 II 215
— Iwangorod, Gouvern. Lublin, 7. März 1896 u. 18. April 1897 . 03 II 68
— Nordafrika und Südeuropa, 9.—12. März 1901 . . . . . 1903 II 64. 65
— Portugal, im Januar 1902 . . . . . CBl 1902 *257*
Staubkugeln, Unteritalien 03 I 46
Staubregen von Ostracoden, Oullins b. Lyon 03 I 98
Stauralastrum venustum, Upper Chalk, Coulsdon (Surrey) . . . . 02 II 155
Staurocephalus, genet. Beziehungen . . . . 1900 II 473
Staurodon Gegenbauri u. supernus, patagon. Schichten, Patagonien 1901 II 470
Staurogoniacea . . . . BB XV *416*
Staurolith
— verwachsen m. Cyanit BB XVI *415*
— Vorkommen im Granit 03 II 180
— Alpen, Vorkommen . 02 II 352
— Brasilien, Pseudom. von Limonit nach St. 01 II 7
— St. Gotthard, Vorkommen . . . . . 01 II 201
Stauungsmetamorphose, alpines Centralmassiv 02 I 218
Stavelot, Belgien, Cambrium . . . . . 01 II 114
Steatit
— Mte. Bogno, Iseo-See, im Dolomit . . . . 02 I 352
— Ural, pseudom. nach Olivin . . . . . 01 II 193
— siehe auch Speckstein.
Steenstrupin
— chem., Krystalle etc. 1900 II 27
— Grönland, im Elaeolithsyenit . . . . . 01 I 377
— Kangerdluarsuk 1900 I 349. 350
Steganopodes, Osteologie 03 II 436
Stegocephalen . . . . . 03 I *109*
Stegocephalus . . . . . CBl 1903 *266*
Stegoceras . . . . . CBl 1903 *266*
Stegodon ganesa, Pliocän, Sivalik Hills . . 02 II 463
Stegosauridae, Oxford Clay, Fletton . . . . CBl 1901 *717*
Stegosaurus Marshi, Süd-Dakota, unt. Kreide 1901 II 475 03 I 343
Steiermark
— Basalttuffe . . . . . 1900 II 389
— Erdbeben 1897 1900 I 372 1900 II 375
— — 1898 u. 1899 1901 I 208. 209
— Geologie . . . . . 02 II 419
— Mineralien . . . . . 03 II 30
Steinbeile, petrographisch CBl 1903 *51*
Steinbruchgraben d. Baltschiederthals, Mineralien im Triasdolomit 1900 I *16*
Steinheim
— obermioc. Schneckenfauna . . 1902 I 483 03 I 544
— Planorbis multiformis trochiformis, Uebergang zu Pl. multiformis oxystomus . . 03 I 166

Steinheimer Becken, Geologie 1904 I 406. 415 CBl 1900 *281*
Steinkohle
— Backen und Bildung 1904 I 405
— Entstehung, allochthone u. autochthone 1902 I 156. 159
— — und Lösung des Mars-Räthsels . . . 02 I 246
— Lagerungsverlust u. Selbstentzündung . . 01 II 81
— Untersuchung mit X-Strahlen . . . . . 1900 II 409
— China, nordöstl. . . 04 II 79
— Donezbecken, mikroskop. Untersuchung . 01 II 82
— Mähren . . . . . CBl 1904 *363*
— Niederrhein . . . . 01 I 437
— Otschemtschiri am Schwarzen Meer . . 04 I 230
— Sachalin . . . . . 01 II 83
— Santa Clara, Sonora 02 I 246
— Südafrika 1900 I 117 01 II 92
— Ungarn . . . . . CBl 1904 52
— Vrijheid-District, Transvaal . . . . . 01 II 92
— siehe auch Kohlen, Schwarzkohlen etc.
Steinkohlenablagerungen Leitpflanzen d. mitteleurop. palaeoz. . . . . CBl 1900 25
— Reichslande . . . . 03 II 385
— Rossitz, Mähren . . 03 II 387
— Tkwardschali im Kaukasus . . . . . 03 II 389
— Westgalizien . . . . 03 II 387
Steinkohlenbecken, San Juan de las Abadesas, östl. Pyrenäen . . . 03 II 389
Steinkohlenflötze, Entstehung . . 1902 I 156. 159. 246 1903 II 307 04 I 403
Steinkohlenformation
— Erweiterung des Gebiets des productiven, Landeshut in Schles. CBl 1904 *403*
— Noeux (Pas de Calais) mit Conglomeratbank 03 II 109
— Oberschlesien, Gliederung . . . . . 03 II 107
— —, marine Fauna . 03 II 109
— Sachsen (Prov.), jüngere u. Rothliegendes . . 04 I 470
Steinkohlengebirge, jüngeres, Prov. Sachsen 01 I 458
— siehe auch Carbon.
Steinkohlenvorrath, Grossbritannien . . . . . CBl 1902 218
Steinmannia Semseyi, Bakony, Trias . . . 1902 I 492
Steinmark
— Pseudomorphosen . . BB XV *259*
— Klein-Tressny, Mähren, mit Graphit . . 1900 I 24
Steinnägel im Melaphyr, Darmstadt, siehe Contractionscylinder etc.
Steinsalz
— blaues . . . . . CBl 1903 *381*
— Brechungscoëfficient und Färbung . . . 04 I 7
— Dispersion . . . . . 03 II 8
— Einschlüsse v. mikroskop. Mineralien . . 1900 I 175
— Entstehung . CBl 1903 *211. 416* siehe auch Stassfurt.
— Färbung . . . . 1900 II 342. 344
— Lichtbrechung . . . 04 I 8
— optisch anomal durch Druck . . . . . 03 II 165
— Polychroismus . . . 04 II 341
— Structur . . . . . 03 I 178
— Umformung unter allseitigem Druck . . 04 I *114*
— Vorkommen in Kalisalzlagern . . . . . 04 I 382
— — in der Wüste . . 01 II 216
— Hohenberg in Kurland, Pseudomorphose von Dolomit nach St. 01 II 6
— Lungro, Calabrien, Brechungscoëfficient. 1900 II 176
— Niederrheinthal . . . 01 I 437
— Oesterreich, Production etc. 1848—1898 1900 I 176
— Old Hampshire, Mass., pseudom. nach Kalkspath . . . . . 01 I 36
— Oulx, obere Dora Riparia, im Gyps . . . 1900 II 28
— Rumänien . . . . . 04 II 232
— Scapeu, Rumänien, Ausblühungen . . . 1900 I 64
— Salies-du-Salat, Pyrenäen, metamorphisch 1900 I 4
— Sicilien, pseudohexagonale Krystallisation . . . . . CBl 1904 *88*
— siehe auch Salz, Salzexhalationen etc.
— u. Gyps, Entstehung CBl 1903 *211. 416*

Steinsalzablagerungen, oceanische, Bildungsverhältnisse 1901 I 6 1902 II 5
siehe auch Hoff, J. H. van't.
Steinsalzbergbau . . . 01 II 246
Steinsalzgruppe bezügl. der Translationen . 02 II *146*
Steinsalzlager
— Entstehung, Verbreitung, Abbau . . . . 01 II 246
— Lüneburger Heide . CBl 1901 760
— Württemberg (Kochendorf und Heilbronn) . 01 I 435
Steinsalzstock, Soóvár, Nordungarn . . . . 1900 II 409
Steinschrauben, Oberbayern, Molasse . . 02 I 280
Steinwerkzeuge
— schweiz. Pfahlbauten und Rohmaterial BB XVI *166* BB XX *133*
— Vayes, Val di Susa, Jadeit, Chloromelanit etc. . . . . 03 II 370
Steinzeit
— Åloppe, Wohnplatz, Upland . . . . . CBl 1902 246
— Prah Sands, Cornwall, ältere . . . . . CBl 1904 123
Steirische Alpen, Entstehung von Erz- u. Magnesit-Lagerstätten . . . . . 04 II 240
Stelleriden, palaeozoische 01 II 323
Steloxylon . . . . . 1900 II 166
Stelznerit, Remolinos, Chile . . . . . 1900 II 369
Steneofiber, aquitanisch. Thon, Preschen bei Bilin, Böhmen . . . 03 I 355
— hesperus, White River beds, Montana . . . 03 II 426
Steneofiber-Species, Amerika, Tertiär . . . . 04 I 302
Steneosaurus = Dacosaurus . . . . . 03 I 152
Stenogyra sinuosa, Gosau-Schichten, Ostalpen . . . . . 04 II 153
Stenometopon Taylori, Trias, Elgin . . . . 04 I 138
Stenorrhachis Solmsi, mesozoisch . . . . . 04 I 155
Stenosepia compressa, Belgien, Eocän . . . 02 I 141
Stenosteus glaber, Cleveland shales . . . . 1903 I 339
Stenostrophaeus . . . . 1900 II 459
Stenuletye, transsylv. Alpen, Jurakalk . . 01 I 467
Stephanit
— verwachsen m. Polybasit . . . . . BB XVI 401
— Přibram, Kryst. . . 03 I 186
— —, Polybasit pseudom. n. St. . . . . 1900 I 20
— Sarrabus, Kryst. . . 02 II 338
StephanocareRichthofeni, Schantung, obercambr. 04 II 323
Stephanoceras Frechi u. var. caucasica, Jura, Daghestan . . . . . 04 II *77*
— granum, Zone d. Lioc. opalinum, Rossano in Calabrien . . . . . 1900 II 453
— sphaeroceroides, Bajocien, Espinazito-Pass, Argentinien . 1900 II 116
Stephanocoenia Fairbanksi, Kreide (?), Nordamerika . . . . 04 I 469
Stephanoconus Orcagnae, Priabona-Schichten . 04 I 284
Stephanocosmia dolomitica, Hauptdolomit, Trias, Bakonywald . 02 II 307
Stephanodiscus Binckhorsti . . . . . 02 I 141
Stephanomorpha monticuliformis, Palaeogen, Nordamerika . . . . 04 I 469
Stephens-Insel bei Neuseeland, Nephrit . . CBl 1901 *334*
Stepnoi Kutschuk-Fluss, Gouv. Tomsk, Temperatur a. d. Mündung CBl 1902 408
Steppe, russische, Anreicherung des Bodens mit $CaCO_3$ . . . . 01 I 231
Steppenfauna u. Hochterrasse, Tübingen . 1900 I *143*
Steppeniltis, Diluvium, Quedlinburg . . . . CBl 1904 *13*
Steppenzeit, diluviale, Rumänien . . . . . 03 I 347
Steppenzone, Südrussland, Geologie . . . . . 1900 II 95
StereogenysCromeri, Egypten, Tertiär . . . . 02 I 466
— podocnemoides, Mitteleocän, Egypten . 04 II 149

Stereographische Projection . . . . . 1902 II 2
Stereolasma, Hamilton . 03 I 483
Stereosternum tumidum, S. Paulo, Brasilien . 1900 I 311
Sternothaerus dewitzianus, Mittelpliocän, WadiNatrun,Egypten 04 II 149
Sterzing (Ratschinges-Thal), Marmor . . . BB XIX *291*
Stethacanthus erectus, Carbon, Mississippithal . . . . . 04 I 142
Stevn's Klint, (Dänemark), Kreide . . . 02 II 434
Stibarus montanus, Titanotherium-Schicht, Montana . . . . . 04 II 462
Stibiodomeykit, Lake Superior . . . . . 02 I 7
Stiblith, Kostaïnik, Serbien . . . . . 03 I 91
Stickstoffgeh. d. Thone u. Mergel . . . . . 04 I 379
Stickstoffreiche Quellen, Pyrenäen . . . . . 03 II 362
Stigmaria, autonome Pflanzen . . . . . 03 II 302
Stilbit
— Einwirkung von Salmiak . . . . . 04 II 6
— Eulenberg bei Leitmeritz . . . . . 04 I 175
— Lake Superior . . . 1900 II 30
— Prinz Rudolfs-Insel . 04 I 362
— Valle di Zuccanti . . 01 II 357
Stilbitähnl. Mineral, Kangerdluarsuk . . . . 1900 I 349
Stilpnomelan, Russland . 02 II 351
Stilpnosiderit
— Oels, Mähren . . . . 1900 I 24
— Zschorlau, pseudom. nach Uranit . . . . 03 I 181
Stirechinus suevicus, schwäbische Meeresmolasse . . . . . 04 II 459
Stockhorn, Lias-Ammoniten . . . . . 01 I 163
Stöchiometrie . . . . . CBl 1901 81
Störungen u. chem. Umsetzungen, Bänderthon, Schweden . . 1900 I 207
Störungszone der Finne CBl 1903 *523*
Stokesit, Cornwall 1901 I 19 01 II 355
Stoliczkaia, südind. Kreide 1900 I 441
Stolpe-Bank, pomm. Ostsee, Geologie . . . . BB XX *445*
Stolzenburgiella Bukowskii, Muschelkalk, Süddalmatien . . . 1904 I 115
Stolzit, Marianna de Itacolumy, Brasilien . . CBl 1903 *725*
Stomatia calabra, Zone d. Lioc. opalinum, Rossano in Calabrien 1900 II 453
Stomatograptus . . . . 01 I 336
Stomatopora dubia, Bakony, Trias . . . . 02 I 154
Stone Mountain, Georgia, Granit und andere Gesteine . . . . . 04 II 402
Strahlenburg b. Schriesheim, Doppelgang . CBl 1904 *622*
Strahlstein
— Brasilien, Estagão do brueeiro, Rio Verde, Pseudom. v. Röthel nach Strahlstein . . 01 II 7
— Fichtelgebirge im Schalstein . . . . . 01 I 59
— Ilmén-See . . . . . 01 I 363
— Kraubat in Steierm., Kämmererit pseudom. n. Strahlstein . . . 02 II 180
— Nordamerika, i. Quarz 01 I 33
— Old HampshireCo.,Mass. 01 I 35
Strahlsteinbüschel i. Serpentin, Anglesea . . 01 I 77
Stramberg
— Tithon, Brachiopoden 1900 II 315
— Fauna d. rothen Kalksteins (Nesseldorfer Schichten) . . . . . 03 II 418
Stramberger Schichten, Skalička, Mähren . . 03 I 323
Strandbildungen
— Algerien, Beziehung zu Mentone . . . . CBl 1904 122
— Mentone, altquartär . CBl 1904 121
Strandlinien, TorneTräsk-See, Lappmark . . . 1900 II 449
— siehe auch Terrassen.
Strandterrassen, Entstehung . . . . . 04 II 46
— siehe auch Terrassen etc.
Strandverschiebungen, Molukken . . . . . CBl 1902 7
— siehe auch Niveauschwankungen.
Strandwälle, Monastir u. Sfax (Tunis) . . . CBl 1904 309

Straparollus Lutingini, oberpalaeoz., Russland . . . . . 1901 I 311
— suprajurensis, oberer Jura, Deutsch-Ostafrika . . . . . 01 II 295
Strassburg i. E.
— Horizontalpendelbeobachtungen . . . . . 1900 I 370
— — im Meridian von Str. 1895—96 . . . 01 I 206
Stratameter . . . . . 03 I 81
Stratigraphie . . . . . CBl 1900 24
— Congrès géologique international, Paris 1900 . . . . . CBl 1900 *252*
Strausse, fossile. Lake Callabonna, Australien . . . . . 01 I 501
Streblodus angustus, Perm. Kansas u. Nebraska . 04 I 141
Streblopteria-Pleuronectites, jüng. Palaeozoicum . . . . . 02 I 317
Streckung der Beine bei Proboscidiern . . . 03 I 145
Strengit-Gruppe 1903 I 396 CBl 1901 504
Strenuella, Cambrium, Neufundland . . . . 1900 II 293
Strepsiceros annectens und praecursor, Tertiär, China . . . . . CBl 1902 *535*
Strepsodus arenosus. Carbon, Mazon Creek . 03 II 442
Streptophiurae, palaeoz. 1900 I 481
Streptorhynchus, Definition . . . 1900 I *3* 01 II 121
— crenistria var. senilis. Kayseri u. pelargonatus . . . . . 1900 I *5 ff.*
Striactaeonina, Jura, Frankreich . . . . 1900 II 153
Stribs am Kl. Belt, Diluvium . . . . . BB XVI *70*
Strich
— Buntkupfererz, ausgeriebener . . . . . CBl 1901 *519*
— opaker Mineralien . CBl 1901 *75*
Strichprobe, Gold- und Silber . . . . . CBl 1902 665
Striges, Osteologie . . . 03 II 435
Strigovit, chem. . . . . CBl 1901 *632*
Stringocephalenkalk
— Lindener Mark, Fauna 01 I 272
— östl. Oberharz . . . 1901 II 438
Seriphonotrochus pulcher. Palaeogen, Nordamerika . . . . . 1904 I 468
Strobilus Böttgeri, tert. Landschneckenmergel, Oppeln . . . . . 03 I 540
Ströms Vattudal, Norwegen, Cambrium . 1900 I 269
Stromberg-Schichten. Capcolonie . . . . . 1900 I *118*
Strombocolumbus Dumasi, Eocän, Loire inférieure 03 I 128
Stromboli 1901 . . . . 03 II 345
— Eruptionen 1899 . . 02 I 210
— Geologie . . . . . 1900 II 49
— u. Vulcano, atmosph. Niederschläge auf die Fumarolen . . . . . 02 I 379
Strombus Bavardi, Paraná-Stufe . . . . . BB XIV *220*
— coronatus var. Mayeri, Pliocän, Egypten . . 02 II 107
— naticiformis, Priabona-Schichten . . . . . 04 I 283
— Fennemai, gendinganensis, madiunensis, palabuanensis, rembangensis, sedanensis, tjilonganensis u. vaninginensis, Tertiär, Java . . . . . 1900 II 289
Stromeyerit, siehe Silberkupferglanz.
Stromzinn
— Alaska 1902 II 189 CBl 1902 245
— siehe auch Zinnstein.
Strontianit
— Umlagerungen und Structur . . . . . BB XIV *256*
— Feodosia, Krym . . 04 II 32
— glaises vertes des Pariser Beckens, Knollen CBl 1904 91
— Münsterland, Kryst. etc. . . . . BB XIII *389*
— Pardubitz, im Nephelintephrit . . . . . 01 II 364
— Těšan, Mähren . . . CBl 1904 *358*
Strontium, bromsaures, Krystallform . . . . 03 I 148
Strontiumhalt. Mineralien, Verein. Staaten 04 I 35
Strontiumjodat, Kryst., Darstellung . . . . 04 II 195
Stropheodonta, Unterdevon, zw. Marburg u. Herborn . . . . . BB XVII *65*

Stropheodonta elegans, fascigera u. virgata, Untercoblenz, Oberstadtfeld i. Eifel . . 1903 I 528
— sp. aff. perplanae, Devon, White Cliff, Australien . . . . . BB XIV *503*
Strophocheilus chubutensis u. Hauthali, Pliocän, Argentinien . . 04 II 289
Strophogyria, Unteroolith, England . . . . . 01 II 317
Strophomeniden, palaeozoische Systematik . 1900 I *1*
Strophostoma praeglobosum, Lutétien, Languedoc . . . . . 04 II 433
Strophostylus subexspansus, Devon, Eifel . . 01 I 139
Structur
— d. Eruptivgesteine . CBl 1903 689
— taxitische . . . . . 02 I 404
— u. Umlagerung mimet. Krystalle . . . . . BB XIV *246*
Structuren, Gesteins-, curvi- u. rectilineare u. körnige . . . . . 04 II 49
Structurbilder, mikroskopische, von Eruptivgesteinen . . . . 1900 II 215
Structurflächen, ged. Metalle . . . . . 1900 I 4
Structurtheorien, statische u. kinetische . . . . 1900 II 335
Strudellöcher, aufeinanderfolgende, erzeugen besond. Erosionsformen . . . . . 03 II 353
Struthiolariopsis Ferrieri, Quiriquina-Schichten, Chile . . . . . BB XVIII *208*
Struvit
— aus menschl. Enddarm . . 1903 I 198 CBl 1901 505
— künstliche Darstellung . . . . . 04 II 187
— u. künstl. Ammonium-Magnesium-Phosphat, Identität . . . . . 02 II 29
— Yukon-District, Canada . . . . . 02 II 38
Stubbenkammer, Diluvium . . . . . BB XVI *85*
Sturia-Kalk, Recoaro u. Schio . . . . . 1900 II 433
Sturtzura, palaeozoische 1900 I 481
Stylina parvistella, Neocom, Bukowina . . . 1904 II 150
Styliola-Schiefer, Devon, New York . . . . . 1900 I 128
Stylolithen, unt. Muschelkalk, Weissenbach a. Enns . . . . . 03 I 59
Stylonurus lacoanus, Devon, Verein. Staaten, Restauration . . . . 03 I 334
— Simonsoni, Obersilur, Oesel . . . . . 04 II 471
Stylophora asymmetrica, Miocän, Egypten . . 1901 II 163
— minutissima u. ponderosa, Palaeogen, Nordamerika . . . . 04 I 469
Stylophorus alonatinus, Tertiär, La Plata . 03 II 292
Stylotyp, Peru u. Isomorphie mit Xanthokon . . . . . 04 I 12
Stypolophus aculeata u. insectivora, Eocän, Marsh Collection . . 04 I 459
— pungens = Sinopa rapax . . . . . 04 I 459
Styrionautilus, Hallstätter Kalk . . . . . 03 I 313
Subbullatus-Fauna, Trias, Cadore . . . . . 01 I 462
Subemarginula paucicostata, Eocän, Loire inférieure . . . . . 03 I 128
Subiaco, Nummulitenkalk mit Pecten . . . . 01 II 320
Sublimation
— künstl. Darstellung von Mineralien . . . CBl 1901 *679*
— von Schwefel etc. . . CBl 1900 293
Submarine Eruptionen u. Erdbeben . . . . . 1900 I 371
Subnodosus-Schichten, Recoaro und Schio . 1900 I 115
Subrobustus-Schichten, Himalaya. Alter . BB XVIII *531*
Succase b. Elbing, Diluvium . . . . . BB XVI *89*
Succinea Schumacheri, in Sandlöss u. pleist. Flusskies, Thüringen 04 I 103
Succinit, siehe Bernstein.
Suceava, Moldau, Eruptivgesteine . . . . . 01 I 68
Sudbury, Canada, Pt-Gehalt der Ni-Erze . . 04 I 344

Sudbury, Canada, Nickelerze . . . . . 1904 II 364
Sudetisches Erdbeben, 10. Januar 1901 . . BB XVI *199*
Südafrika
— Diamantgruben . . . CBl 1904 153
— Eruptivgesteine . . . 04 II 55
— Gold- und Diamantfelder . . . . . CBl 1901 635
— Palaeozoicum . . . 03 I 290
— Reihenfolge u. Correlation d. Formationen 1900 I *115*
Südafrikanische Republik, geolog. Untersuchung 1897 . . . 1900 I 263
Südafrikanisches Primärsystem, Transvaal . 01 II 91
Südamerika
— Eruptionscentren nach Stübel . . . . . CBl 1902 *718*
— Geologie . . . . . BB XIV *171*
— Kreide . . . . . BB XVII *252*
Südcalifornische Inseln, Topographie . . . . 02 II 215
Süderholz, Alsen, Diluvium . . . . . BB XVI *71*
Südwest-Afrika, Deutsch, Böden . . . . . 01 I 234
Süssenborn bei Weimar, Conchylien der Diluvialkiese . . . . . 03 II 276
Suessionia eutaeniata, Eocän, Loire inférieure 03 I 128
Süsswasser, Verdunstung 1900 II 47
Süsswasserablagerung, quartäre, Norddeutschland . . . . BB XVI *19*
Süsswasserkalk, Poitou, Oligocän . . . . . CBl 1904 92
Süsswasserkalke, westl. Jura, Tertiär . . . CBl 1904 *609*
Süsswasserneogen, Bosnien, Alter . . . . CBl 1901 *227*
Suez, Geologie, nach d. Seeigelfauna . . . . 04 II 426
Suez-Golf, Tertiär . . . 02 I 121
Suidae, Quartär, Algerien 01 I 147
Suiden-Gebiss, Geschichte 02 II 463
Suilliens, Algerien . . . 01 I 500
Sula-Inseln, Geologie . . 02 II 425
Sularpsbach, Südschweden, Silur . . . . . 04 II 246
Sulcoactaeon Bigoti, ferenudus, Legayi und Rigauxi, Jura, Frankreich . . . . . 1900 II 153
Suldenit, systemat. Stellung . . . . . 1903 II 357
Sulfarseniate u. -antimoniate. Constitution . 1900 I 340
Sulfat, fasrig, Montana 01 I 34
Sulfate
— eutropische Beziehung 03 I *152*
— von Neodym, Praseodym und Samarium mit $8\,H_2O$ . . . . . 03 I 179
Sulfide von Ca, Ba u. Sr, Krystalle . . . . . CBl 1900 178
Sulfidlagerstätten, alpine, Entstehung . . . . 04 I 398
Sulfoborit
— Vorkommen in Kalisalzlagern . . . . . 04 I 336
— Wittmar a. Asse, u. Krystallform . . . . 03 II 19
Sulfohalit
— Bildung aus Meerwasser . . . . . 01 I 9
— Zusammensetzung . 01 II 343
Sulfosalze, natürl., Constitution . . . . . 1900 I 340
Sulfosilicate, künstl. . . 01 II 4
Sulloditz, böhm. Mittelgebirge, Tertiärpflanzen . . . . . 1900 II 328
Sulphur Springs, Dominica, Westindien . . CBl 1903 *306*
Sulvanit, Südaustralien 1902 I 164. 165
Sulzbach, Epidot, Kryst. 1900 I *181*
Sumatra
— Anordnung d. Vulcane 02 II 40
— Geologie . . . . . CBl 1901 535
— — des nördlichen . . 04 I 426
— — und Petrographie von Ulu Rawas . BB XVIII *409*
Sumpferz
— Bogoslowsk, Mangan- 01 II 406
— Masuren . . . . . 1900 I 13
Sunlight intrusives, Absaroka Range, Wyoming . . . . . 01 I 236
Surcula araucana, Quiriquina-Schichten, Chile BB XVIII *217*
— pyramidalis, Priabona-Schichten . . . 04 I 284
— streptopleura, Karikal, Pliocän . . . . 02 I 296
Surrey, pleistocäne Fauna von West Wittering CBl 1901 347
Sus-Arten, Algerien 1901 I 147. 500

Sus choeroides, palaeochoerus und Strozzii, Gebiss . . . . . 1902 II 467
— erymanthius, Corvarola di Bagnone 04 II 144
— grivensis, La Grive St. Alban, Miocän . 03 II 130
— hyotherioides, microdon u. Stehlini, Tertiär, China . . . . CBl 1902 *533*
Sussex, natürl. Gas . . 1900 II 410
Sussexit
— Elfdalen . . . . . 02 II 56
— Kuusamo, Finnland . 01 II 238
Sussultorische Erdbeben, Beobachtung . . . . 02 II 209
Svanbergit
— Isomorphismus . . . CBl 1901 507
— Stellung im System . 01 I 360
Svilajites cingulatus, Werfener Schichten, Mué (Dalmatien) . . 03 II 445
Swaziland
— Erzlagerstätten . . . 03 I 94
— Titanate u. Niobate 01 I 31
Syenit
— Arafali (Erythraea) . 04 II 401
— Bergen, Norwegen, Natron- . . . . . 04 II 397
— Beverley, Alkali- . . 02 II 73
— Brünner Eruptivgebiet, im Contact mit Kalk . . . . . 01 II 387
— Canada . . . . . 1904 II 60. 62
— —, korundführend . 01 II 189
— Canavese . . . . . 1900 I 218
— Grönland, Mineralien 1900 I 347
siehe auch Grönland.
— Gross-Priessen, böhm. Mittelgebirge, Sodalithaugit- . . . . . 04 I 57
— Laupstadeid, Norwegen, Natron- . . . . 1900 I 385
— Little Belt Mountains, Gesteine . . . . . 03 I 430
— Madagascar . . . . 03 I 79
— — Quarz-, m. Aegirin, Arfvedsonit u. Aenigmatit, Ambohitsosy 02 I 220
— Malga Gardone (Predazzo), Alkali- . . . 03 II *11*
— Mariupoler Kreis. Südrussland . . 1900 I 392. 394
— Plan, Böhmen . . . 03 I 414
— südrussisches kryst. Plateau . . . . . 1900 II 96
Syenit
— Transvaal . . . . . 1900 I *117*
— Ural, östlicher, mit Eisenerzen . . . . . 1900 I 81
— Witin-Plateau, Sibir. 02 I 223
Syenitaplit
— systemat. Stellung . 03 II 357
— Kadi-Kalé (Smyrna). 04 I 221
— Monzoni, Quarz-, Umschmelzen mit Melaphyr von Monzoni . BB XIX *187*
Syenitgänge, Monzoni . CBl 1901 *677*
Syenitische Gesteine, Monzoni . . . . . 03 II 70
Syenitischer Sericitphyllit, östl. Rhätikon . 1900 I *126*
Syenitisch-trachytisches Magma, Magnitnaja-Berg, Ural . . . . . 03 II 236
Syenitit . . . . . 02 I 227
Syenitporphyr
— systemat. Stellung . 03 II 356
— Adirondacks, gangförmig . . . . . 1900 II 62
— Boscampo, Quarzsyenit- . . . . . CBl 1903 *639*
— Briançonnais . . . . 03 I 69
— Kadi-Kalé b. Smyrna 04 I 221
— Kordofan . . . . . BB XVII *418*
— Rödö, Christianiafjord 1900 II 221
— Trebitsch, Mähren . 02 II 422
— Wolynkathal, Böhmerwald 1903 I 412 04 I 52
Sylt, krystalline Diluvialgeschiebe 1901 I *99* 03 I *91*
Sylvanakalk
— schwäbisch-bayr., Tertiär . 1903 I 307 CBl 1900 *89. 151* CBl 1901 *129. 217* CBl 1903 *141*
— Tertiär, Oberschwaben, Alter 1903 I 307 CBl 1900 *89* 1901 *129. 307* 1903 *141*
Sylvana-Schichten, Kirchberg b. Ulm CBl 1904 *481. 528. 545*
Sylvanit
— Cripple Creek, Colorado, Krystalle . . . 01 II 344
— Westaustralien 1904 I 9 CBl 1901 *200*
Sylvin
— Dispersion . . . . . 03 II 8
— Polychroismus . . . 04 II 341
— spec. Gewicht . . . CBl 1904 *234*
— Structur . . . . . 03 I 178

Sylvin
— Translationen . . . 1902 II *146*
— Umformung unter allseitigem Druck . 04 I *114*
— Vorkommen in Kalisalzlagern . . . . . 04 I 333
Sylvinit, Vorkommen in Kalisalzlagern . . . 04 I 333
Symbole der Flächen isomorpher Krystalle . 04 I 322
— zonale, der Krystalle 02 II 174
Symborodon-Species, Amerika, Oligocän . 04 I 298
Symmetrie der Krystalle 1900 II 4. 334 01 II 329
02 II 173
— Grundlage d. 32 Krystallclassen . . . . 02 I 333
— scheinbare . . . . . 02 II 2
Symmetrieaxen
— mögliche . . . . . 01 II 334
— Nichtmöglichkeit fünfzähliger und mehr als sechszähliger bei Krystallen . . . . . CBl 1904 *18*
Symmetrielehre . . . . 1900 I 166
Symmetrieverhältnisse d. Krystalle, Demonstration der Axenmodelle 1900 II 331
Symphysurus angustatus, Montagne Noire, Tremadoc . . . . . 02 I *3*
Symptogoniacea . . . . BB XVI *416*
Synaptophyllum, New York, Unterdevon . 03 I 483
Synchysit, Narsarsuk, Grönland, im Syenit 02 I 258
Synclonema, Kreide, England . . . . . 03 II 299
Synconodon, Verwandtschaft . . . . . 02 I 473
Syndesmiella plioovoides, Tertiär, Piemont u. Ligurien . . . . . 02 II 309
Synechodus Clarki, Maryland, Eocän . . . . 04 I 303
— eocaenus, Landénien, Belgien . . . . . 03 II 443
Syngenit, Bildung in ocean. Steinsalzablagerungen . . . . . 02 II 5
Syngonie, neue Auffassung . . . . . 1900 II 1
Syngonie-Ellipsoidgesetz in der zonalen Krystallographie . . . . 02 I 1
Syngonielehre . . . . . 1900 I 165
Syntegmodus altus, Niobrara-Gruppe, Kansas 04 I 309
Syntektische Theorie . . CBl 1900 189
Synthese, siehe künstliche Darstellung.
Syrakus, Miocän . . . . 01 I 476
Syrien
— Gabbro u. Serpentin im nördlichen . . . 1900 I 401
— Geologie . . . . . 1900 I 122
— — (Versteinerungen) 03 I 489
— und Aegypten, Vola-Arten des Neogens . BB XVII *163*
Syringonautilus, Hallstätter Kalk . . . . 03 I 313
Syrnola coislinensis, Eocän, Loire inférieure 03 I 127
Sysserskit, Jenissei'sche Taiga, in Goldseifen 01 II 174
Systematik der losen Bodengesteine Schwedens 04 I 377
Systematik der Eruptivgesteine . . . . . CBl 1903 677
— —, chemische (Tiefengesteine) . . . . 02 I 212
— — Loewinson-Lessing . 1900 II 388 02 I 214
— siehe Gesteine, Classification.
Systematik, mineralogische . . . . . 1900 I 336
— petrographische . . . 02 I 389
— siehe Gesteine, Classification.
Szechenyit, Birma . . . 1900 I 341

T.

Tabaschir, Mikrostructur 01 II 175
Tabellen zur Mineralbestimmung . . . . . 1900 II 169
Tabergit, Kangerdluarsuk . . . . . 1900 I 349
Table Mountain-Sandstone, Cap-Colonie . 1900 I *115*
— glaciale Conglomerate im Devon . . . . . 04 I 428
Table Mountain-Lavastrom, Sierra Nevada, Californien . . . . 1900 I 70
Tachhydrit
— Entstehung aus Meerwasser . . . . . 01 I 13
— Vorkommen in Kalisalzlagern . . . . . 04 I 336

Tachylyt, am Boden des Atlant. Meers . . . 1901 I 228
Taconic, New York, Gliederung . . . . . 01 II 265
Taeniophyllum latifolium, lower coal measures, Missouri . . . 01 II 491
Taeniopteris plauensis, Rothliegendes, Ilfeld CBl 1901 *421*
— submultinervia, Rothliegendes, Ilfeld . . CBl 1901 *593*
Taenit im Meteoreisen
— C-Gehalt . . . . . 1900 II 202
— Kenton, Co . . . . 04 I 193
— Youndegin, Westaustralien . . . . . 1900 II 203
Taeniura, palaeoz. . . . 1900 I 481
Tafeljura, Basler
— altmiocäne Verwerfungen . . . . . 01 II 107
— Keuper und Lias . . 02 I 440
— Opalinus u. Murchisonaeschichten . . . CBl 1901 *327*
Taftan-Berg, Vulcan, Persien . . . . . 01 I 233
Taganrog, Geologie und Gesteine . . . . . 02 II 393
Taiga, Russland. . . . 01 II 68
Taimyrit, nach Lœwinson-Lessing . . . . 1900 II 388
Tainiolith, Narsarsuk, südl. Grönland, im Syenit . . . . . 02 I 30
Tainionautilus, Hallstätter Kalk . . . . . 03 I 314
Taiwan-Inseln, Geologie 02 I 411
Takhandit series, Alaska 1900 II 77
Takla-makan-Wüste, Centralasien, Flugsand 02 II 236
Talchir-Gruppe, untere Pandschab'sche Stufe, Saltrange . . . . . BB XIV *431*
Taligrada, Entwicklung 02 I 472
Talk
— Bogoslowsk'sches Bergrevier, im Serpentin 1900 I 345
— Californien . . . . . 03 I 405
— Kraubat (Steiermark), im Dunit, Gymnit u. Serpentin, pseudom. nach T. . . . . 02 II 180
— —, —, pseudom. nach Kämmererit . . . . 02 II 180
— Oberpfalz . . . . . CBl 1904 *584*
— Rozna, Mähren, pseudom. nach Turmalin CBl 1904 *361*
Talk, Steiermark, im Magnesit . . . . . 1900 I 15
Talkgranit, Davos . . . 01 II 96
Talklager, Nordcarolina 02 I 12
Talkschiefer
— Gorgona-Insel (Toscana). Analyse . . . 04 II 221
— Griechenland, nördl. u. türk. Grenzländer BB XVIII *40*
Talkspath, chemisch . . 03 I 190
— siehe auch Magnesit.
Taman-Halbinsel, Geologie 04 II 435
Tamanit (= Anapait), Zelesnyi-Rog-Grube, Taman . . . . . 03 II 333
Tambach, Ichnium-Fährten, im Rothliegenden 1900 I 311
Tamnocladus Clarkei, Devon, New York . . . 03 I 120
Tancredia Knowltoni, Jura, Yellowstone National Park . . . 02 I 129
— partita, Pereiros-Schichten, Jura, Portugal . 02 I 469
Tanganyika, Entstehung als Relictensee . . . 02 II 264
Tangfacies, Unterdevon zwischen Marburg u. Herborn . . . . . BB XVII *19*
Tantalit
— Molecularvolumen, vergl. mit Brookit u. Hübnerit . . . . . 04 I 5
— Green Bushes, Westaustralien, chem. . . CBl 1903 *334*
— Paris, Me., Kryst. . 01 I 38
— Sardinien . . . . . 1900 I 202
— Wiesenberg u. Marschendorf, Mähren, im Pegmatit . . . . . CBl 1901 *444*
— — (Mähren), ist Magneteisen . . . . . 04 I 31
Taonurus (Flyschfucoiden) . . . . . 1900 I 156
Tapes? patagonica, Kreide, Patagonien . . . . 02 II 435
Tapes-Bänke, Christiania, diluviale. . . . 02 II 454
Tapiolith, Topsham, Me., Krystalle . . . . . 01 I 37
Tapir
— Entwickelung . . . CBl 1901 *135*
— Frankreich, fossil . . 01 II 468
Tapiroidea . . . . . 01 II 300
Tapirus tarijensis, Tarija-Thal, Argentinien 04 I 290

Tarbeck in Holstein
— diluv. Austernbank . BB XVI 77
— — Süsswasserfauna . 1903 I 133
Tarcento (Friaul), Geologie 03 I 478
Tarija-Thal, Argentinien, Säugethiere . . . . 04 I 289
Tarnowitzit, Umlagerungen und Structur . . BB XIV *256*
Tarsius, Verwandtschaft 1900 II 463
Taschen, Hauterivien- od. Cenoman-, Bieler See etc. . . . . 01 I 261
Tasmanien
— Diabase u. Contact . 02 I 79
— geschwefelte Erzlagerstätten der Westküste . . . . . 02 II 84
— Glacialbildungen . . CBl 1904 58
— Palaeozoicum mit Eurydesma u. Leiomyalina . . . . . CBl 1903 *296*
— Zinnerzlagerstätten . 01 I 423
Taspinit, Rofnagestein . 04 II 388
Taubach bei Weimar
— Conchylien des Travertins . . . . . 03 II 277
— Quartär, m. Menschenspuren . . . . 1903 II 115. 116
Taubaté, S. Paulo, Brasilien, tertiäre Fische 01 II 149
Tauern
— hohe, Geologie . . . 04 II 83
— niedere u. Seethaler Alpen, Schiefergesteine 01 II 56
— Schladminger, Gesteine . . . . . 04 I 64
Tauerngraben, Oberpinzgau, Geologie . . . 03 I 126
Taunus
— Devon im südöstl. . 1900 I 111
— nutzbare Mineralien und Gesteine . . . . 04 II 239
— Porphyroidschiefer d. hinteren . . . . . 04 II 382
Taunusquarzit, Einlagerung von Kohle 1902 II 267 03 I 230
Taunusvorland, Tertiär . 04 II 258
Tauraxinus miorugosus, Tertiär, Piemont u. Ligurien . . . . . 02 II 309
Taurotapes Craverii, Tertiär, Piemont u. Ligurien . . . . . 02 II 309
Tautomerie, Zusammenstellung . . . . . 01 I 175
Tavernola, Grotte am Iseo-See . . . . . 1903 I 133
Tawit, Kola . . . . . 02 II 378
Taxitischer Biotitandesit, Kasbek . . . . 02 II 390
Teallit, Bolivia . . . . CBl 1904 283
Tectospira Chopi, mitteldeutsch. Muschelkalk 04 I 313
Tectura Pissarroi u. var. depressa, Faluns, Touraine . . . . . 04 II 461
Tegulifera deformis, Trogkofelschichten, karn. Alpen . . . . 01 II 120
Tehuelche-Formation, Tertiär
— Argentinien, Säugethiere . . . . . 1900 II 297
— Magellans-Länder. . 1900 I 108
— Patagonien . . 1900 I 101. *228*
Tehuelche - Geröllformation, Patagonien . . 04 II 428
Tehuelia regia, Tertiär, La Plata . . . . . 03 II 293
Teign-Thal, Geologie. . CBl 1904 312
Teinistion Lansi u. Sodeni, Schantung, obercambr. 04 II 328
Tektische Ausscheidungsfolge in den Magmen CBl 1900 188
Tektit
— Niederländisch-Indien, Obsidianbomben . . 1900 I 360
— O'Connell b. Bathurst, Australien, Obsidianbombe . . . . . 02 I 370
— siehe auch Moldavit.
Tektonik
— Davos . . . . . 01 II 96
— Vicentin . . . . . 01 II 105
— und Eisdruck, Rügen 04 II 123
Teleoceras fossiger, vollständiges Skelett . . 01 I 499
— aurelianense, brachypus und Goldfussi . 03 I 557
Teleopternus orientalis, Knochenhöhlen, Fort Kennedy . . . . . 02 II 143
Telezki-See, Altai . . . CBl 1902 87
Tellina granconensis, Priabona-Schichten . 04 I 283
— Guembeli, Unter-Oligocän, Häring . . . 04 II 116
— Largillierti, Quiriquina-Schichten, Chile . BB XVIII *248*
— Peneckei u. floriana var. plicata, Tegel, Gross-Florian . . . 02 I 472

Tellina ürmösensis, ob. Kreide, Ürmös, Siebenbürgen . . . . . 1901 I 469
Tellur, destillirtes . . . 03 I 370
Tellurblei, siehe Altait.
Tellurerze, Californien . 01 I 184
Tellurgoldverbindungen, Silverton Quadrangle, Colorado . . . . . 03 II 343
Tellurmineralien
— Colorado . . . . . 01 II 344
— Keltz-Grube, Californien . . . . . 1900 I 31
— West-Australien 1904 I 8 CBl 1901 *199*
— —, Kalgoorlie 1903 I 20 CBl 1902 442
Tellurnickel, Süd-Australien . . . . . CBl 1900 *98*
Tellursäure, Krystallisation . . . . . CBl 1902 *207*
Telmatosaurus statt Limnosaurus . . . . . CBl 1903 *54*
Temiscouta Lake, Quebek, vulc. Gesteine . 01 I 413
Temnocheilus (Foordiceras) bidorsatum, dolomiticum u. Goliathus BB XVII *487*
Temnocyon, Nordamerika, Tertiär . . . . . 02 I 135
Temnographus . . . . . 01 I 332
Temnotropis Credneri u. parva, mitteldeutsch. Muschelkalk . . . . 04 I 312
Temperatur, Zusammenhang mit Schwere unter der Erdoberfläche . . . . . 02 I 43
Temperaturzunahme in der Erdkruste . . . 03 I 220
Tennantit, Binnenthal = Binnit . . . . . 01 II 12
Tennysonia subcylindrica, patag. Formation . . 02 I 295
Tentaculitenschiefer, Lahngebiet (Leun) . 1900 II 281
Tenuiscala mesomorpha, Eocän, Loire inférieure 03 I 127
Tephrit
— Kaiserstuhl . . . . 02 I 392
— Massailand, Ostafrika 03 I 80
— Nordgriechenland u. türk. Grenzländer, Nephelin- . . . . . BB XVIII *25*
— röm. Mühlstein, Rivoli, Piemont, Leuko- 01 I 66
Tephrit
— Rongstock-Bodenbach, Böhmen . . . . . 1900 II 81
— siehe auch Nephelintephrit etc.
Tephroit
— Krystallisationsvermögen u. -geschwindigkeit . . . . . CBl 1903 *617*
— Hautes-Pyrénées . . 01 II 57
Teplitz
— Bewegung des Grundwassers . . . . . 02 I 388
— Braunkohlenbecken, Lager, Alter u. untermiocäne Fauna . . . 04 I 101
— Thermalquellen . . . 1900 II 377
— Urquelle, beeinflusst durch das Lissaboner Erdbeben 1900 I 203 01 I 386
Teplitz-Schönau, Thermalquellen . . . . . 04 II 51
Teramo, Abruzzen, Geologie . . . . . 01 II 110
Terebra coislinensis, Eocän, Loire inférieure 03 I 128
— continuicosta, Pliocän. Karikal . . . . 02 I 296
Terebralia dertonensis var. alichensis, Pliocän, Val d'Era, Toscana . . . . . 01 II 481
Terebratella Caroli Magni, Gosaukreide, Salzburg 1900 II 316
— Mrazekii, Kreide, Rumänien . . . . . 01 II 281
Terebratula Bayani, Priabona Schichten . . . 04 I 284
— Bukowskii, Muschelkalk, Süddalmatien . 04 I 115
— collinaria u. tamarindus (Waldheimia), Chile, untere Kreide BB XVII *287*
— cuccensis und Krafti (Coenothyris), Muschelkalk, Mte. Cucco, Friaul . . . . . 04 I 116
— de Lorenzoi, Mittellias, Südtirol . . . . 01 I 167
— dzirulensis, Kreide, Kaukasus . . . . . 01 I 474
— faldensis, Kreide, Lago di Santa Croce . . . 1900 II 121
— Kittlii und suspecta, Muschelkalk, Trebevic, Bosnien . . . . 04 I 116

Terebratula libyca, obere Kreide, lybische Wüste 1903 I 509
— Nicolisi, Priabona-Schichten . . . . . 04 I 284
— Renieri, Portugal, Lias 04 I 429
— rhenana (Dielasma), Unter-Coblenz, Ober-Stadtfeld i. Eifel . . 03 I 528
— Salvatoris, Zone d. Lioc. opalinum, Rossano in Calabrien . 1900 II 453
— skidegatensis, Kreide, Königin Charlotte-Inseln . . . . . 02 I 292
— timilonensis, Oolith, Mte. Timilone, Sardin. 01 I 141
— uniplicata, Callovien, Espinazito-Pass, Argentinien . . . . . 1900 II 117
Terebratulina mairensis, ob. Aptien, Maïre bei Marseille . . . . . 01 I 468
Terebripora Manzonii, Neogen, Italien . . 03 I 534
Teredina opalina, Jura, White Cliff, Austral. BB XIV *488*
Teredo chilensis, Quiriquina-Schichten, Chile BB XVIII *264*
Terlingua, Texas, Quecksilbermineralien . . 04 I 338
Terlinguait, Terlingua, Texas . . . . . 04 I 339
Termierit, Miramont . . 02 II 197
Terni, Berge, Geologie . 04 II 248
Terra de Siena, Production, Nordamerika . 04 II 16
Terra di Lavoro, geolog. Karten . . . . . 1900 I 253
Terrassen
— Entstehung d. Strand- 04 II 46
— Comersee, rückläufige CBl 1902 *327*
— Iseo- und Comerseebecken . . . . . CBl 1902 *327*
— Kingersheim b. Mülhausen i. Els., niedere mit jüngerem Löss . 01 I 131
— Kirchheimer Gegend (Württ.), diluviale . BB XIX *96*
— Rhein, Mosel, Rhône etc., Ufer- . . . . . CBl 1901 570
— Riesengebirge, Hochthäler des nördlichen 01 I *89*
— Schwaben 1900 II *156* BB XIV *154*
— —, Neckar, oberer . 02 I *60*
Terrassen
— Schweden, Torne Träsk-See, Lappmark, Strandlinien . . . . 1900 II 449
— —, Wettersee . . . 02 II 283
— siehe auch Uferterrassen, Strandlinien etc.
Terrassenschotter, Schwaben . . . . . BB XIV *154*
Tertiär . . . . . 1900 II 287

Allgemeines.

— Acetabularieae . . . 1900 I 159
— Conchylien d. unteren 1900 I 131
— Flyschfucoiden . . . 1900 I 150
— Landverbindungen zur Tertiärzeit CBl 1902 *705. 737*
— Nummuliten . . . . 02 II 317
— Ovula (Gisortia), grosse, des Eocän . . . . . 04 II 472
— Rupelthon = Septarienthon.
— Septarienthon, Fauna 1900 II 439
— —, Tiefenzone CBl 1902 *468. 567*
— Schichten mit Nummulites contortus u. Cerithium Diaboli, Alter . . . . . 04 I 98
— Vertheilung d. Säugethiere in d. Schichten 02 II 274

Afrika.

— Algerien, Eocän . . 01 II 448
— —, Mollusken . . . 01 I 489
— —, Souk-Ahrras, Constantine, mittl. Eocän CBl 1902 249
— Deutsch-Ostafrika, Korallen . . . . . 01 II 326
— Egypten 1902 I 99 ff. 427 04 I 268
— —, Conchylien . . . 01 II 300
— —, — d. Eocän . . 04 II 459
— —, Dakhla-Oase . . 02 II 109
— —, Echiniden . 1900 I 317. 318 1901 II 482. 483 02 I 148 1903 I 530 CBl 1902 213
— —, Farafra-Oase . . 02 I 427
— —, Fayum u. Wirbelthiere . . . . . 04 I 134
— —, Fayum-Depression 03 I 487
— —, Foraminiferengesteine . . . . . 03 I 484
— —, Kerunia (Hydractinia) cornuta . . . CBl 1902 *46*
— —, Miocänmollusken 01 I 283
— —, Natronthal 1904 I 1 04 II 304

Tertiär
— Egypten, Nematognathi d. Dil. u. Tert. im Fayum u. Natronthal . . . . . 1904 I 1
— —, Neogen und seine Pectiniden-Fauna . . CBl 1900 209
— —, Nilthal . . . . . 03 I 485
— —, Nilthal u. Rothes Meer . . . . . CBl 1900 277
— —, Nummuliten-Fauna 02 I 464
— —, Palaeogen . . . CBl 1901 265
— —, Patellina- u. anderer Foraminiferenkalk . . . . . 01 II 164
— —, Pliocän . . . . 02 II 106
— —, Pliocänsande von Ghizeh . . . . . 01 II 484
— —, Säugethiere 1901 II 460 02 II 459 1903 I 565 1904 II 304 ff.
— —, —, pliocäne des Natron-Thals . . . . 04 II 304
— —, Schildkröten . . 04 II 148
— —, Seeigel und Seesterne . . . . . 1901 II 482. 483 siehe auch Echiniden.
— —, Suez-Golf etc. . 02 I 121
— —, Unteregypten . . 01 I 476
— —, —, Gastropoden 02 I 483
— —, versch. Petrefacten . . . . . 1901 II 482 ff.
— —, Wasta, Haifischzähne im unteren Mokattam . . . . . 03 II 29
— —, Wirbelthiere . . 02 I 466
— — u. Rumänien, eocäne Fische . . . . 01 II 148
— — u. Sinai, Seeigel . 02 I 148
— — und Syrien, Vola-Arten des Neogen . BB XVII 163
— Kamerun, Eocän . . CBl 1903 373
— Madagascar . . . . 01 II 264
— —, Affen . 1903 I 344. 353. 562
— Ostafrika . . . . . 02 II 264
— Somaliländer . . . . 01 I 454
— Tunis, Eocän . . . 01 II 448

Amerika.

— Amerika u. Europa, Säugethierhorizonte . 02 II 275

Nordamerika.

— Nordamerika, vergl. mit Westeuropa . . 1900 I 291
— Aceratherien . . . . 01 II 306
— Camelidae . . . . . 01 II 462

Tertiär
— Creodonten . . . . 1903 I 146
— Korallen . . . . . 01 II 327
— —, palaeogene . . . 04 I 466
— Landsäugethiere . . 01 II 136
— Primaten des Eocän 04 I 290
— Säugethiere, eocäne d. Marsh Collection . 04 I 446
— Sciurimorphen . . . 03 I 354
— selenodonte Artiodactylen d. Uinta-Eocäns und vom White River 02 II 291
— Titanotherien d. Oligocän . . . . . 04 I 297
— Wirbelthiere d. Marsh Collection . . . . . 04 I 452
— atlant. Küste . . . 01 II 327
— Bainbridge, Georgia, Korallenriff . . . . 01 II 327
— Berkeley Hills, Cal. . 04 II 250
— Californien, Seeigel . 01 II 324
— Colorado, mioc. Caniden 04 I 294
— —, Säugethiere des nordöstlichen . . . . 04 I 123
— Dismal Swamp, Virginien u. Nordcarolina 1900 I 125
— Great Valley, Calif., Caniden d. Pliocän . 04 II 469
— Grönland, Flora . . 02 II 321
— Huerfano Lake Bassin, Californien, eocäne Säugethiere . . 1900 I 132
— John Day Basin, Oregon 04 I 418
— Kansas u. Oklahoma, Quellen . . . . . 02 II 417
— Marthas Vineyard und Block island, Neuengl. Inseln . . 1900 I 100
— Maryland, eoc. Fische 04 I 303
— —, — Korallen . . 03 II 301
— —, Eocänpetrefacten 02 II 438
— Mississippi, Louisiana u. Texas, Eocänmollusken . . . . . 01 I 128
— Northern Cascades, Granit . . . . . 02 II 239
— Pipestone Springs, Montana, Säugethiere 04 II 460
— Point Reyes-Halbinsel, Californien . . 01 II 267
— White River beds, aeolisch? . . . . . 1900 II 441
— —, Colorado, Caniden 1902 I 297 04 II 308
— —, — und Montana, Säugethiere 1903 II 425 04 II 141

Tertiär
— Wyoming, Absaroka Range, Flora . . . 1901 I 236
— —, Vulcan der Absaroka Range . . . . 01 I 235
— —, Green River beds, Vögel . . . . . 01 II 474
— Nordamerika u. Westindien, Leptonacea . 1900 II 315
Mittel- und Südamerika.
— Antillen . . . . . 03 II 256
— Argentinien . . . . 04 II 288
— —, Pampasformation 02 I 433
— —, Paraná-Stufe, Alter . . . . . CBl 1901 *111*
— —, —, Fische . . . 04 I 143
— —, —, Mollusken u. Alter . . . . . BB XIV *171*
— —, Säugethiere . . 03 II 293
— —, — d. ob. Pampasformation, Rio Negro u. Neuquen . . . . 02 I 303
— —, — d. Pyrotherienhorizonts 1900 II 296 03 I 131
— —, — d. Tarija-Thals 04 I 289
— —, Süsswasserbildung in der Cordillere . . CBl 1903 56
— — und Patagonien 1900 I 100. *228*
siehe auch Patagonien.
— Bolivia, Jujuy-Schichten . . . . . CBl 1904 *3*
— Brasilien, erdölführend 01 II 267
— —, Pará . . . . . 04 I 422
— —, Paraná, Arrhinolemur . . . . . 01 II 471
— —, —, Zygolestes paranensis . . . . . CBl 1900 139
— —, Taubaté, Fische . 01 II 149
— Costa Rica u. Panama 1900 I 260
— Cuba, Echiniden . . 1900 I 141
— Feuerland . . . . . 1900 I 106
— Jamaica . . . . . 1900 I 260
— Patagonien . . 1900 II 427. 441
— —, Echinodermen 1903 II 453. 454
— —, Miolania . . . . CBl 1901 26
— —, Mollusken . 1904 II 139. 288
— —, Proboscidier . . 04 II 464
— —, wirbellose . . . 03 II 396
— —, Cape-Fairweather beds . . 03 II 400
— —, magellanische Schichten, oligocän . 03 II 399
— —, — —, Punta Arenas . . . . . 01 I 128
— —, Magellans-Länder 1900 I 106

Tertiär
— Patagonien, östliches 1904 II 122
— —, patagonische Formation, untermiocän 02 I 295
1903 II 399 04 II 427
siehe auch Argentinien.
— — u. Japan, Echinodermen . . . . . 03 II 454

Asien.

— Beludschistan, Uebergang zw. Kreide u. Eocän . . . . . CBl 1903 *514*
— Birma, Miocän . . . 02 II 122
— Bonin-Inseln (Ogasamara-Gruppe) . . . 03 II 253
— Borneo, Melawi-Gruppe 1900 II 132
— —, Radiolarien . . . 02 II 490
— Celebes . . . . . 02 II 427
— China, Säugethiere . CBl 1902 *529*
— Formosa u. Riukiu-Inseln . . . . . 03 II 255
— Japan, Echinodermen 03 II 453
— Java . . . . . 1900 I 262
— —, Eintheilung . . 02 I 121
— —, Mollusken . . . 1900 II 288
— Karikal (Indien), Pliocänfauna . . 02 I 296
— Ordu, Kleinasien, Eocän . . . . . 03 I 109
— Ostasien, Pliocän . . 1900 II 94
— Philippinen, Orbitoides . . . . . CBl 1901 *326*
— Samos, Kameel und Nilgai, ob. Miocän . 03 I 553
— Sinai, eocäne Foraminiferen . . . . . 01 II 165
— — u. Egypten, Seeigel . . . . . 02 I 148
— Sind, Eocän mit Nummuliten u. Belemniten CBl 1900 138
— Syrien . . . . . 1900 I 122
— Ulu Rawas, Süd-Sumatra . . . . . BB XVIII *410*
— Urmisee, Armenien, Miocän, Clypeaster . 02 II 154

Australien.

— Flora . . . . . CBl 1901 26
— Bungonia u. Wingello, Blätter . . . . . 04 I 156
— Coimadai b. Adelaide 1900 II 109
— Moorabool-Fluss, Unterlauf . . . . . 1900 I 261

Tertiär
— Table Cape, Tasmanien, Wynyardia bassiana . . . . . 1903 II 140
— Neuseeland . 1904 II 92. 260. 289
— —, Moeraki (Otaga), grosse Septarien . . 04 II 260
— —, Wanganui-District, plioc. Mollusken 04 II 289
— Tasmanien 1903 II 140 CBl 1901 52
— Victoria, Bryozoen . 1900 II 483

Europa.

— Europa, Bären und bärenähnl. Thiere . . 1900 II 142
— —, Hyracotheridae . 03 I 351
— — u. Amerika, Säugethierhorizonte . . . 02 II 275

Balkanhalbinsel.

— Bosnien . . . . . CBl 1900 *219*
— —, Alter d. Süsswasserneogen . . . . . CBl 1901 *227*
— —, Fische . . . . . 03 I 160
— —, Tesanj, Petrefacten 02 I 471
— Bulgarien, Rustschuk, jüngeres . . . . . 1900 I *32*
— Griechenland, bonebeds v. Pikermi, Attika u. Euböa . . . . . 03 II 283
— —, Paxos und Antipaxos, ion. Meer 1903 I 276. 480
— — u. Samos, Pliohyrax CBl 1901 26
— Rumänien, Karpathen, nordmoldauische . . 1900 II 420
— —, Pflanzen . . . . 1900 II 490
— —, Salzlagerstätten 04 II 232
— — u. Egypten, eocäne Fische . . . . 01 II 148
— Serbien . . . . . CBl 1900 393
— —, Babin Dol . . . CBl 1900 393
— —, Skoplje-Becken (Ueskueb) . . . . . CBl 1900 393
— Türkei, Dardanellen CBl 1904 310
— —, Kohlen u. Petroleum . . . . . 04 II 80
— —, Macedonien, Oligocän . . . . . CBl 1902 *266*

Belgien.

— Belgien . . . . . 1902 II 271 ff.
— —, Bohrlochprofile . 02 II 120
— —, Boldérien, Fauna 03 I 128
— —, Bruxellien mit Nummuliten . . . . 01 I 478
— —, — m. Nummulites laevigatus . 1900 I 125. 126. 451

Tertiär
— Belgien, Classification des mittl. u. oberen 1904 I 100
— —, Dibranchiaten des Eocän . . . . . 02 I 141
— —, Eocän, étage parnacien . . . . . 03 II 113
— —, Laekenien . . . 1900 I 451
— —, palaeocäne Fische 03 II 442
— —, Rupélien, Diestien, Poedertien . . . . . 02 II 441
— —, Rupelthon im nördlichen . . . . . 02 II 271
— —, Tongrien, Muscheln d. oberen . . 02 I 130
— —, Antwerpen, Delphine d. Boldérien . 03 I 549
— —, — Odontoceti d. Boldérien . . . . . 03 I 549
— —, Asch, Bohrloch . 02 II 272
— —, Bolderberg, Tympanotomus (Cerithium) lignitarum . . . . . 02 I 483
— —, Brasschaet u. Saalhof, Bohrlöcher . . . 02 II 272
— —, Brügge, Bohrlöcher 03 I 510
— —, — u. Brüssel . . 02 I 456
— —, Campine, Bohrprofile . . . . . 03 II 113
— —, —, Rupelthon . 01 I 126
— —, Droogenbosch, Forest u. Uccle, Bohrlöcher . . . . . 02 II 271
— —, Heyst-op-den-Berg, Bohrloch . . . . . 02 II 271
— —, Léau-Rummen, Rupélien . . . . . 02 II 440
— —, Lenham, Alter d. plioc. Schichten . 1903 I 308. 309
— —, Namur . . . . . 02 II 272
— —, Ostende, Bohrloch 02 II 120
— —, —, Sparnacien . 01 I 477
— —, Tirlemont, ob. Landénien . . . . . 02 I 119
— —, Westerloo, im artes. Brunnen . . . . 1900 I 126
— — u. England, Eintheilung d. Pliocän . 04 I 107
— — und Luxemburg, Campine . . 1900 I 125. 289. 290

Deutschland u. Flachland.

Bayern.

— bayrisch-schwäbische Hochebene, Alter d. Sylvana-Kalke CBl 1900 *89* CBl 1903 *141*

Tertiär
— bayrisch-schwäbische Hochebene, Dinotherien-Sande . . . . . 1901 I 498
— — —, Wirbelthiere d. Ober-Miocän . . . 04 II 140
— siehe auch Schwaben.
— Malgersdorfer Weisserde . . . . . 1902 II 225. 270
— Oberbayern, Kohlenmulde. Lagerung . . 01 II 445
— —, Kressenberg, Brachyuren . . . . . 1900 II 148
— —, Molasse, Profile . 03 I 510
— —, oligocäne Brackwassermolasse . . . 03 II 112
— —, Steinschrauben in der Molasse . . . . 02 I 280
— Regensburg . . . . 01 I 446
— Reit im Winkel und Reichenhall, Molluskenfauna . . . . . 03 II 420
— Ries . . . . . BB XV *443*
— Stallauer Eck und Enzenauer Kopf bei Tölz, Eocän . . . . 02 I 117
— Bayern u. Württemberg, Säugethierfaunen d. Miocän . . BB XIX *485*

Elsass.

— Elsass . . . . . 01 II 425
— —, Altkirch, Oligocän . . . . . 03 II 91
— —, Mühlhausen, Oligocän, Flora . . . . 1900 I 486

Mainzer Becken.

— Mainzer Becken . . 1900 II *52*
— Schildkröten . . . . 03 II 141
— Spariden im mitteloelig. Meeressand . . 02 I 309
— Frankfurt a. M. . . 01 II 282
— Hessen, südl. 1902 II 94 03 II 123
— Messel b. Darmstadt, Braunkohlenbildung 1900 I 449
— —, Braunkohle, Affe etc. . . . . CBl 1902 *289*
— Mosbach, Säugethierfauna . . . . . 1900 II 456
— Offenbach, Baugrube des Hafens . . . . 02 I 282
— —, Rupelthon . . . 02 I 455
— Rheinhessen . . . . 03 II 123
— Salzhausen, Wanzen in d. miocänen Braunkohle . . . . . 04 I 311
— Taunusvorland . . . 04 II 258

Tertiär

Norddeutschland und Flachland.

— norddeutsches Flachland, östliches . . . 1900 II 411
— Norddeutschland, Miocän, Beziehung zu dem von Polen, Mähren, Oberschlesien und Böhmen . . . . . 02 I 483
— Angerburg u. Lötzen, Ostpreussen, angebl. 03 I 512
— Bleckede a. Elbe, Bohrloch . . . . . 02 I 281
— Dänemark. Fünen . 03 I 266
— —, Samsö . . . . . 03 I 286
— Doberg b. Bünde . . 03 I 513
— — —, Echinolampas Eberti . . . . . 1900 II 162
— Dresden, Discordanz gegen Kreide . . . 02 II 441
— Hamburg, Untergrund 02 II 281
— Hannover, marines Oberoligocän d. nördlichen . . . . . 02 I 281
— Hassendorf, Fauna d. mioc. Thone . . . 01 II 445
— Hermannshöhe bei Gr.-Plowenz (unweit Graudenz) . . . . . CBl 1902 437
— Holstein, mioc. Spatangiden . . . . . 04 I 466
— Königsberg, Untergrund . . . . . 02 II 280
— Kummer b. Ludwigslust, Glimmerthon . 04 II 121
— Militz-Kreis, Posener Flammenmergel . . 04 II 259
— Neddemin (Tollense-Thal), Miocän mit Silurgeröllen . . . . 04 II 259
— Oberschlesien, Beziehung zu Norddeutschland, Böhmen, Mähren u. Polen im Miocän 02 I 483
— Oppeln (Schlesien), Landschneckenmergel 03 I 538
— Ost- u. Westpreussen, Aufschlüsse durch Bohrungen . . . . . 1901 I 288
— Polzin (Pommern), tert. Geschiebe im Diluvialkies . . . . . 04 II 433
— Pommern . . . 1901 I 256. 263
1902 I 455 03 II 271
— Posen, Braunkohlen 04 II 79

Tertiär
— Rhön, ob. Pliocän m. Mastodon arvernensis bei Ostheim . . . . 1903 I 512
— Schleswig-Holstein, Geschiebe d. Londonthons . . . . . 1900 II 125
— Schmardau, Hannover, Bohrloch . . . . . 02 I 282
— Sehnde . . . . . 03 II 241
— Siebengebirge, Nordabfall . . . . . 01 I 282
— Thüringen, Pliocän . 03 II 117
— Thüringerwald bis Rhön, Pliocän . . . 04 II 121
— Uckermark u. Vorpommern . . . . . 01 I 256
— Vardeilsen b. Einbeck, Unteroligocän . . . 02 I 281
— Werragebiet, Mastodon . . . . . 03 II 285
— Westpreussen . . . 04 II 418
— Wismar im Untergrund . . . . . 1900 II 287

Schwaben.

— Alb . . . . . CBl 1900 *145*
— —, menschenähnliche Zähne im Bohnerz . 1900 I 457
— Hegau, Alter d. Sylvanakalks . . . . . 03 I 307
— Immendingen—Ulm, älteste Donauschotter, z. Th. jungpliocän . BB XIX *29*
— Kandern, Baden . . 1900 I 428
— Kirchberg bei Ulm, Stratigraphie u. Alter CBl 1904 *481. 528. 545*
— Kirchheim u. Teck . BB XIX *146*
— Oberschwaben, Alter d. Sylvana-Kalks 1903 I 307 CBl 1900 *89* CBl 1901 *129. 217* CBl 1903 *141*
— Oeningen, Nager . . 03 I 353
— pliocäne Donau zwischen Immendingen u. Ulm . . . . . BB XIX *31*
— schwäbische Meeresmolasse, Spongien u. Echinodermen . . . 04 II 458
— Steinheim, Obermioc., Schnecken 1902 I 483 1903 I 166. 544
— Ueberlingen, im Tunnel . . . . . 03 I 471
— Ulm . . . . . 1900 I 257
— siehe auch Bayern.

Tertiär

England u. Schottland.

— England, Decapoden 1900 II 307
—, —, Arran, Vulcanschlot u. tert. Granit CBl 1901 557
— —, Bagshot-District, Feuersteingeschiebe . 01 I 127
— —, Cornwall . . . . CBl 1904 311
— —, —, südliches . . 04 II 435
— —, Doveholes, Buxton (Derbyshire), Höhle mit plioc. Wirbelthieren 1904 I 100 04 II 290
— —, Essex, Crag verglichen m. Crag von Suffolk u. Norfolk . 01 II 283
— —, Ipswich, Oldhaven beds . . . . . 04 I 100
— —, Kent, Mensch . . 1900 II 455
— —, Lyme Regis, Bagshot beds . . . . . 03 I 512
— —, östliches, Gliederung d. Pliocän . . 03 I 308
— —, Osborne beds . . 03 II 114
— —, Sheppey-Insel, Belopterina Levesquei im London-Thon . . 03 I 332
— —, —, cocäne Vogelfauna im London-Thon . . . . . 1900 II 468

Frankreich.

— Frankreich 1902 II 440 CBl 1904 *92*
— Eocän . . . . . CBl 1902 212
— Grenze zur Kreide . 02 I 452
— Adour-Becken, Orbitoïdes-Schichten . . 01 I 168
— Anse du Bugey (Bresse), Miocän . . . . . CBl 1902 212
— aquitan. Becken, Land- und Süsswasser-Mollusken . . . . . 1900 II 439
— —, Nummulitenschichten . . 1902 II 121 CBl 1902 213
— Aramon (Gard), Aquitanien . . . . . 03 I 129
— Ariège, Eocän u. Oligocän . . . . . 03 I 511
— Asprières (Aveyron) 1900 II 122 01 II 284
— Aude-Departement, Eocän, Echiniden . . 1900 I 141
— —, marines des südöstlichen . . . . . 04 II 259
— —, Nummulitenschichten, Alter . . . . . 01 II 446
— —, Pycnodonten . . CBl 1902 249

Tertiär
— Autignac, Miocän . . 1902 I 284
— Bagneux (Seine), Gyps 01 I 283
— Bas-Bugey, la Bresse Miocän . . . . . 02 II 442
— Bellegarde . . . . . 02 I 283
— Biarritz, Flysch . . 04 I 99
— —, Nummuliten und Orbitoiden . . . . . 04 I 154
— Boulonnais . . . . 02 I 457
— Breuillet (Seine et Oise), Sparnacien . . 04 II 434
— Carros b. Nizza, brêche du Broc . . . . . 04 II 435
— Célas b. Alais, Ficus-Arten . . . . . 1900 II 496
— Challonges u. Pyrimont (Savoyen), olig. Wirbelthiere 1901 I 146 04 I 443
— Clermont, miocäne Basalte . . . . . 02 I 282
— Corsica, Miocän . . 02 II 272
— Cuvilly (Oise), Süsswasserfauna unter dem Lignit . . . . 01 I 125
— Ebreuil-Golf, Oligocän 1900 II 126
— Epernay, Fische der Sande m. Unionen u. Teredinen . . . . . 02 II 302
— Gironde, Ausdehnung d. Aquitanmeeres 1902 II 442 CBl 1901 666
— Grignon, ob. Grobkalk . . . . . 02 II 441
— Issoire gegen Brioude, Oligocän . . . . . 01 I 125
— La Grive St. Alban (Isère), miocäne Bären u. Insektivoren . 1901 I 149. 496
— — —, mioc. Säugethiere . . . . . 03 II 124
— La Roque-Esclapon-Becken (Var) . . . 01 I 126
— Languedoc (Montpellier) . . . . . 1900 I 106
— —, Eocän u. Oligocän 04 II 433
— Lâon . . . . . 02 I 457
— Levas-Wald . . . . 02 I 284
— Lissien, Säugethiere der eocänen Bohnerze 01 I 147
— Loing-Thal b. Fontainebleau, Bartonien 01 I 126
— — —, mit Ferussacina aff. lapicida . . 04 II 260
— Loire-Becken . . . . CBl 1904 307

Tertiär
— Loire-Becken, Fossilien . . . . . 1904 II 473
— —, Pelecypoden d. Mittelmiocän . . . . 03 II 299
— Loire inférieure, Eocänmollusken 1900 II 125 03 I 127
— Mérignac und Pessac 1900 I 291
— Mittelmeerküste, Uferlinien . . . . . 04 I 101
— Montpellier . . . . 1900 I 106
— —, Bartonien . . . 01 II 446
— —, Neogen . . . . CBl 1901 179
— nordwestliches, Brachiopoden u. Pelecypoden des mittleren Miocän . . . . . 02 I 465
— Pargnan, Lutétien . 02 I 456
— Paris, oberes . . . . 04 I 98
— —, Fische d. Gypses 02 II 301
— —, Stadt, Bohrlöcher 02 II 271
— Pariser Becken . . . 01 II 447
— —, Bartonien . . . 1900 II 123
— —, Fische d. Montien 02 II 303
— —, granit. Sande . . CBl 1902 604
— —, Oligocän u. Miocän im südl. . . 1902 I 119. 283
— —, Pleurotomen . . 1900 II 479
— — und Buchsweiler, Mitteleocän . . . . 1900 I 131
— Pays de Bray, Faltungen . . . . . 1900 II 124
— Plan d'Orgon, Infra-Tongrien . . . . . 01 II 446
— Provence, Pflanzen 1901 II 446 02 I 283
— —, Vitrolles-Etage 01 II 299
— Provins . . . . . 01 II 284
— Pyrimont, siehe Challonges.
— Reims, Fische d. unt. Eocän . . . . . CBl 1902 27
— —, Eocän, Gliederung u. Fische . . . . . 04 I 305
— Rennes, Conchylienfauna d. Obermiocän 04 II 459
— —, Vilaine-Ufer . . 02 II 120
— —, Vilsine . . . . . CBl 1901 569
— Rhônebecken, Wirbelthiere . . . . . 04 I 445
— Robiac, Becken von Alais, eocäne Säugethiere . 1903 II 284 CBl 1902 699
— Rognac-Horizont . . 01 I 126
— Royan, Eocän . . . 02 I 456

Tertiär
— St. Gaudens (Haute-Garonne) mit Dryopithecus etc. . . . . 1901 II 145
— St. Jeannet, Burdigalien . . . . . 02 II 440
— Sédéron(Drôme),Nummulitenkalk . . . . 02 I 284
— Seine-Thal, Vork. d. Grobkalks . . . . . 02 II 440
— Siagne-Thal, lacustr. Miocän . . . . . 02 II 440
— Sologne, Sande . . . 03 I 309
— —, Gien . . . . . 03 I 128
— subalpines, glacio-fluviatile plioc. Conglomerate . . . . . 03 I 309
— südöstliches, Alttert., Binnenmollusken . . 01 II 282
— — u. Vicentin, Korallen . . . . . 02 II 153
— Thau, Hérault, Orb u. Aude, Pliocän u. Miocän . . . . . 02 II 270
— Touraine, Faluns 1902 I 129. 465 1904 II 434. 459
— —, —, Muscheln . . 01 I 477
— Tours, Bryozoen . . 03 II 301
— Trélon (Nord), Eocän 04 II 258
— Vaucluse, cañon de Régalon, Urgonien . 01 II 283
— —, Cucuron, fluvio-terrestr. Obermiocän 02 I 130
— —, Jonquerettes. Molasseblöcke im Pliocänsand . . . . 1903 I 128. 604
— Vilaine b. Rennes . CBl 1901 569

Iberische Halbinsel.

— Portugal, Lissabon, Basaltlager . . . . 02 I 483
— Spanien, Barcelona . 1900 II 287
— —, —, Echiniden d. Eocän . . . . . 03 I 529
— —, —, Nummulitenkalk . . . . . 1900 II 125
— —, Calaf (Barcelona), Lignit mit Säugethieren . . . . . 02 I 303
— —, —, Oligocän . . 1900 II 125

Italien.

— Italien . . . . . 02 II 438
— Anthozoen, neogene, d. Museums in Parma 02 I 154
— Bryozoen 1900 II 157 03 I 534
— — des Pliocän . . . 1900 II 318

Tertiär
— Bryozoen v. Savignano in Modena, v. Toscana, Calabrien u. Sicilien 1902 II 310
— Chenopus uttingerianus u. pespelecani . 1900 II 479
— Frondicularien d. Pliocän . . . . . 1900 I 484
— Kieselconcretionen im Miocän . . . . . 01 I 127
— Nummuliten . . . . 03 II 153
— Pectiniden im Miocän des mittleren . . 1901 II 319ff.
— Rotaliden . . . . . 1900 I 318
— Abruzzen . . . . . 04 II 421
— Anio-Thal . . . . . 04 II 247
— Apennin, grosse Lucinen im Macigno . 03 I 129 1904 I 314 CBl 1900 375
— Aqui, aquitan. Fossilien . . . . . 02 II 439
— Aquila-Apennin, Miocänfossilien 1901 II 129 03 I 132
— Arcevia, Raliolarien 01 I 169
— Bari . . . . . CBl 1901 22
— Bologna, Miocän, Fische und Mollusken . 01 I 127
— —, Pliocän, Uvigerina bononiensis . . . . 1900 I 149
— —, Scodelline . . . 1900 II 288
— Bonaria u. San Bartolomeo (Sardinien), Fauna im Kalk . . 04 II 286
— Bormida (Piemont), Echiniden . . . . . 01 II 485
— Calabrien, Conoclypeiden des Miocän . . 01 II 483
— Calanna (Calabrien), pliocäne Fische . . . 03 I 160
— Camerino (Marken), Miocänfossilien . . . 02 II 273
— Campagnatico u. Paganico (Prov. Grosseto), pont. Schichten 1900 I 448
— Casentino, Toscana, Langhien . . . . . 03 I 109
— Casinelle, Tongrien . 1900 II 288
— Castellarquato, Pliocänversteinerungen 1900 II 131 02 II 273
— Castelnuovo, Pietra Bismantova, Mittelmiocän . . . . . 02 II 274
— Catria-Massiv, Centralapennin, angelagert 01 II 128

Tertiär
— Chieri . . . . . 1904 I 278
— cimin. Gebirge (Viterbo), Vulcane . . . . 04 II 216
— Cingoli (Macerata) . 03 I 481
— Cortona, Macigno . . 04 I 277
— Corvo in Reggio di Calabria, Thone mit Coenopsammia scillae 03 I 132
— Deruta (Umbrien), exot. Geschiebe im Miocän . . . . . 03 I 279
— Era-Becken b. Pisa, Pliocän, Versteinerungen . . . . . 01 II 129
— Forabosco (Asolo), Fossilliste d. Cardita Jouanneti-Horizonts 01 II 129
— Gallina, Calabrien, Alter . . . . . 04 I 441
— Gardasee, Echinofauna des Oligomiocän . . 04 I 152
— Gassino, eocäne Fische 01 I 308
— Idice-Thal, oberes, tortonian. Fossilien . 1900 II 440
— Imola, Congerienschichten . . . . . 1900 II 440
— —, Subappennin . . 1900 I 448
— Lago del Mercure, Calabrien, Säugethiere 1900 II 140
— Lavacille b. Bassano 01 II 128
— Leuca-Cap b. Otranto 03 I 280
— Ligurien, Zweischaler des Tongrien 1901 II 314. 482
— Macerata, Provinz . 02 II 259
— Monferrato, Eocängesteine . . . . . 1900 I 448
— —, pietra da Cantoni 02 I 465
— Mte. Bolca u. Postale, eocäne Fische . . . 1900 I 466
— Mte Gargano, eocäne Echiniden . . . 04 I 465
— Neapel, Bohrloch . . 03 I 43
— Palombara-Marcellina, Pliocänfauna . . . . 1900 II 131
— Parma und Piacenza, pliocäne Fische . . . 1900 I 466
— Piemont, Cephalopoden 01 II 318
— —, Lingulinen . . . 1900 II 162
— —, Orbitolitenschichten . 02 II 438
— —, Parallelisirung d. Miocänschichten . . 01 II 447
— —, Spatangiden . . 1900 I 143
— — u. Ligurien, Echiniden . . . . . 03 II 453
Tertiär
— Piemont u. Ligurien, Mollusken 1902 II 309 1904 I 315
— Po-Ebene . . . . . 01 II 428
— Poggia (Mti. Livornesi), Nummulitenkalk . . . . . 1903 I 129. 476
— Popogna u. Cafaggio, miocäne Fauna . . . 04 I 288
— Priabona, Oligocän . 1900 II 288
— —, Foraminiferen d. Bryozoenhorizonts . 01 I *111*
— Reggio (Calabria), Fische . . . . . 04 I 460
— Rivagna Novale, Fauna d. eocän. Basalttuffe 1902 I 286 04 I 288
— Rom, Eocän u. Miocän 04 II 118
— —, Säugethiere v. d. San Paolo-Basilica . 04 I 278
— Rossano-Calabria, Pectiniden d. Miocän . 01 II 482
— SanGiovanni Ilarione, Foraminiferen des grünen Tuffes . . . 03 II 152
— Santa Giustina und Sassello, Tongrien . 02 II 272
— S. Rufillo b. Bologna, Foraminiferen . . . 1900 I 483
— San Severino, Marchen, Schlier 1900 I 448 01 I 476
— Santerno, Pliocän . 02 I 121
— Sardinien, Ales, Fischreste . . 1902 I 308 04 I 143
— —, miocäne Bryozoen und Korallen . 1900 II 317
— —, neogene Korallen und Bryozoen . . . 1900 I 479
— —, Palmoxylon im Oligocän . . . . . 02 II 495
— —, Pflanzen . . . . 1900 II 167
— Siena, Schwefelvorkommen . . . . . 04 II 236
— Subiaco, Nummulitenkalk mit Pecten 1901 II 320 02 II 438
— Syrakus, Miocän . . 01 I 476
— Tarcento (Friaul) . . 03 I 478
— Teramo-Abruzzen . 01 II 110
— Tibergebiet, oberes, Eocän . . . . . 01 II 128
— Tiberthal, oberes, Zancleano . . . . . 03 I 108
— Toscana, Pliocänfische 04 I 143

Tertiär
— Trasimener See, Eocän 1901 I 99
— Umbrien . . . . . 03 I 281
— —, Eocän u. Miocän 04 II 117
— —, Miocän 1902 I 119. 120. 285 04 I 277
— — (Mte. Deruto), exot. Gerölle im Miocän . 02 II 439
— Val d'Era, Toscana, Pliocän, Mollusken . 01 II 481
— Venetianer Alpen, Korallen . . . . . CBl 1903 *484*
— — —, oligocäne Mollusken . . . . . 1900 II 440
— — Voralpen, Oligocän 01 II 282
— Venetien u. Südtirol, Echiniden . . . . . 1900 II 161
— Verona, Miocän 1901 II 129. 130 04 II 260
— Vicentin und Südostfrankreich, Korallen 02 II 153
— Vigoleno, Neogen . . 02 I 295
— Viterbo b. Bagnaia . 02 I 120
— —, oberes . . . 1901 I 475. 476
— —, plioc. Mollusken . 04 I 289
— — u. Tiberthal, Pecten Estheris u. subclavatus . . . . . 04 I 315

Oesterreich-Ungarn.

— Böhmen, Beziehung zu Norddeutschland, Oberschlesien, Mähren und Polen im Miocän . . . . . 02 I 483
— —, Braunkohle, Salmoniden (Thaumaturus) . . . . . 1900 II 470
— —, Braunkohlenformation, Säugethiere 04 I 286
— —, —, Schildkröten und Fische . . . . 01 I 143
— —, Karwin, Foraminiferenfauna, Miocän 03 II 152
— —, Nežárka-Flussgebiet, Neogen . . . . 1900 II 268
— —, Rongstock-Bodenbach . . . . . 1900 II 81
— —, Teplitzer Braunkohlenbecken, mioc. Fauna . . . . . 04 I 101
— böhm. Mittelgebirge, Pflanzen . . . . . 1900 II 328
— Dalmatien, Untermioc. 03 I 275
— —. Mte. Promina . . CBl 1902 *266*
— —, Zaravecchia-Stretto, Promina-Schichten etc. 04 I 91 ff.

Tertiär
— Galizien, Dora am Pruth . . . . . 1903 I 271
— —, Karpathen, Erdölablagerungen . . . 02 II 261
— —, Kolomea, Foraminiferen des Tegels 03 II 150
— —, —, Miocän . . . 03 I 271
— —, Krosno, Foraminiferen d. naphthaführ. Schichten . . . . . 1900 II 163
— Istrien, bei Pinguente, Eocän . . . . . 02 I 277
— Mähren, Beziehung zu Böhmen, Polen, Oberschlesien und Norddeutschland im Miocän 02 I 483
— —, Čejkovice u. Čejc, nordw. Göding, Neogenkalk im Marchthal 1900 I 292
— —, Miocän . . . . 04 I 275
— —, Niemtschitzer Schichten . . . . . 04 II 116
— —, nördliches, Foraminiferen d. Miocäntegels . . . . . 03 II 151
— Steiermark, Leoben, Wirbelthiere . . . . 01 II 456
— — u. Kroatien, miocäne Fische . . . . 01 I 307
— Tirol, Häring u. Kirchbichl, Muscheln des Unteroligocän . . . 04 II 115
— —, Oligocän . . . . 02 I 281
— — u. Venetien, Echiniden . . . . . 1900 II 161
— — —, Priabona-Schichten, Fauna . . 04 I 282
— — —, —, Foraminiferen des Bryozoenhorizonts . . . . . 01 I *111*
— Ungarn, Decapodenfauna . . . . . 1900 II 473
— —, Foraminiferen d. pannon. Stufe . . . 1900 II *99*
— —, Sepia hungarica 03 I 166
— —, Alföld . . . . . 1900 I 93
— —, Gömör- u. Nograd-Comitat, Schlier von Ottnang . . . . . 03 I 168
— —, Kroatien, oberpont. Schichten . . . 02 I 471
— —, Muszla u. Béla, Com. Esztergan . . 03 II 245
— —, Neufeld, Wirbelthiere . . . . . 03 I 349

Tertiär
— Ungarn, Oedenburger Comitat, sarmat. Conchylien . . . . . 1901 I 474
— — Ofen (Buda), eoc. Bryozoen . . . . . 1900 I 478
— —, Pressburg, Congerienstufe . . . . 03 I 268
— —, siebenbürg. Erzgebirge, Nordrand . 03 I 275
— —, Sosmezö, Comitat Háromszek . . . . 03 II 246
— Wiener Becken . . 04 I 434
— — —, Störungen . . 04 I 436
— — —, Platanistiden 03 II 135
— — —, Belvedere . . 04 II 435
— — —, Eggenburg 1904 I 273. 275
— — —, —, Profil zw. dem Kuenringer Thal u. d. Schindergraben 1900 I 124
— — —, Gross-Florian, Tegel . . . . . 02 I 472
— — —, Leitha-Gebirge, Erosionsepoche zw. Leithakalk u. sarmat. Schichten . . . . . 04 I 435
— — —, Möding (Eichkogel), Säugethiere d. Pikermi-Formation . 03 II 132
— — —, Neudorf a. March, Menschenaffen CBl 1903 *176*
— — —, Niederösterreich, pont. Ablagerungen . . . . . 04 I 434
— — —, Wien, artes. Brunnen in Ottakring 02 I 455

Russland (europäisches und asiatisches).

— Russland, Artiodactylen . . . . . 03 II 288
— —, Selenodonten . . 04 II 315
— —, Balta'scher Kreis, Podolien . . . . . 02 II 396
— —, Bessarabien, unterplioc. Säugethiere 03 I 325
— —, Bucharei u. Turkestan . . . . . CBl 1903 86
— —, Donez-Höhenzug CBl 1903 *644*
— —, Fergana, eocäne Fossilien . . . . . 04 II 458
— —, Jekaterinoslaw, Gouv. u. Kriwoi-Rog, Manganerze . . 1903 I 257. 258
— —, —, Tomakowka, Mediterranablagerungen . . . . . 04 II 119

Tertiär
— Russland, kaspische Länder, Miocän . . 1901 I 127
— —, Kaukasus, Pliocän 03 I 511
— —, Kiew, Foraminiferen d. „blauen Thone mit Spondylus“ . . 03 I 327
— —, Konka-Fluss, Schichten mit Venus konkensis . . . . . 1900 II 123
— —, Manytsch-Becken, nordkaukas. Tiefebene 04 I 436
— —, Mariupol . . . . 1900 II 127
— —, Novotscherkask, 2. Medit.-Stufe . . . 02 II 120
— —, Ochotsk'sches Meer . . . . . CBl 1901 123
— —, Polen, Beziehung zu Norddeutschland, Böhmen, Mähren und Oberschlesien im Miocän . . . . . 02 I 483
— —, Spitzbergen, Flora 1902 II 318. 320
— —, südliches, mikr. Untersuchung von Sandsteinen . . . . 02 II 391
— —, —, Säugethiere . 03 I 350
— —, —, sarmat. Stufe 1900 I 290
— —, südöstliches, Neogen (Palaeogen?) . . 01 I 263
— —, Taman-Halbinsel 04 II 435
— —, Transkaukasien, Pliocän . . . . . CBl 1902 86

Schweiz.

— Alter der Nagelfluh 03 I 512
1904 I 100 CBl 1904 *135*
— Belle-Roche b. Gibraltar (Neuchâtel), Bohnerze . . . . . 01 I 124
— Chamblon b. Yverdon, Säugethiere d. eocänen Bohnerze . . . . . 04 II 305
— Juragebirge, Spatangus von Laufen im Berner . . . . . 1900 I 144
— —, Süsswasserkalke des westlichen . . . CBl 1904 *609*
— Lausanne, Molasse, Lagerung . . . . . 03 II 112
— Marbachgraben am Belpeberg, Brachyuren . . . . . 1900 II 308
— nördl., Verh. d. Helvétien zum Randengrobkalk . . . . . CBl 1903 *477*

Tertiär
— Nordalpen, Fischschiefer im Flysch . . . CBl 1903 *742*
— Plessurgebirge um Arosa . . . . . 1904 I 244
— Randengrobkalk und Austernnagelfluh, Alter . . . . . CBl 1904 *135*
— — u. Helvétien in der nördl. . . . . 03 II 113
— St. Gallen, Flora . . 1900 I 485
— subalpine, glacio-fluviatile plioc. Conglomerate . . . . . 03 I 309
Teschener Schichten, österr.-schles. Kreide, Cephalopoden . . . 03 II 296
Teschenit
— Arostock County, Maine 03 I 429
— Hodkovicky, Böhmen 02 I 60
— Jenisseisk, Gouv. . . 01 I 232
— Lissabon, postcretac. Teschenit . . . . . 03 I 419
— Madagascar . . . . 03 I 79
— —, Zusammensetzung 02 I 220
Tessinthal
— Entstehung . . . . CBl 1900 366
— Uebertiefung . . . . 04 I 374
Testa Ciarva, Alathal, Mineralien . . . . . CBl 1900 *47*
Testudo promarginata, Tertiär, Mainzer Becken 03 II 142
Tetartoedrie . . . . . 01 II 330
— d. regulären Systems am Langbeinit . . . 03 I 37
Tetrabelodon angustidens, Bau . . . . . 04 II 318
Tetracystidae . . . . . 01 I 321
Tetradium apertum, Untersilur, Bären-Insel 01 II 163
Tetraedrit, Botes-Berg 1902 I 10. 11
— siehe auch Fahlerz.
Tetragonites, südind. Kreide . . . . . 1900 I 441
Tetragonopteris avus u. ligniticus, Tert., Taubaté, S. Paulo, Brasilien . . . . . 01 II 149
Tetragraptini u. Tetragraptus . . . . . 01 I 332
Tetrahydropapaverin, partiell racemisch . . . 1900 I 169
Tetraodon Lawleyi, Plioc., Parma u. Piacenza . 1900 I 466
Tetraprotodon, Nord-Afrika . . . . . 01 I 501
Teutoburger Wald, Keuperhöhle, östl. vom . CBl 1902 *368*
Texas
— Geologie u. Grundwasser, im östlichen 1901 I 450
— Gryphaeen (Gr. Pitcheri), der unteren Kreide . . . . . 1900 II 481
— Mineralien . . . . . 04 II 34
— Petroleum 1903 II 391 04 I 403
— Rudisten . . . . . 1900 II 480
Textularia budensis, carinata, concava, conica, flabelliformis var. subflabelliformis, Bryozoenhorizont, Priabona . . . . . 01 I *116*
Thäler
— Entstehung in der Neumark . . . . . 03 I 519
— erodirt durch Gletscher im festen Gestein . . 1900 II *117*
— Uebertiefung in den Alpen . . . . . 02 II 282
Thal, versunkenes, gegenüber der Congomündung . . . . . CBl 1901 316
Thalassochelys libyca, Tert., Egypten . . . 02 I 466
Thalattosuchia, Jura . . 03 I 152
Thalbildung . . . . . 02 I 198
— Posen . . . . . 01 II 450
Thale a. Harz, Keuper . CBl 1901 *1*
Thalenit, Oesterby in Dalekarlien . . . . 01 II 25
Thalit, Lake Superior . 1900 II 29
Thallium-u. Kaliumnitrat, Bildung u. Umwandlung von Mischkrystallen . . . . . 01 I 180
Thamnaraea cladophora und lithodes, Gosauschichten, Ostalpen . 04 II 151
Thamnastraea carinata, leptophylla u. mortuosa, Gosauschichten, Ostalpen . . . . . 04 II 151
— Laczkóina u. Frechi var. baconica, Jerusalemer Berg, Bakony, Trias . . . . . 02 I 153
Thamniscus giganteus, Zechstein, Pössneck 1900 II 483
Thaumasit, West-Paterson, N. J., mit Datolith . . . . . CBl 1901 *547*

Thaumaturus Deichmülleri, böhm. Braunkohle . . . . . 1904 I 286
— lusatus, böhm. Braunkohlenformation . . 1900 II 470
Thecocyathus aegyptiacus, ob. Kreide, lib. Wüste . . . . . 03 I 509
— Nathorsti, Neocom, König Karls-Land . 01 II 163
Thecocystidae . . . . . 01 I 317
Thecoidea, Stammesgeschichte . . . . . 01 I 316
— Chemungsandstein, New York . . . . . 03 I 172
Thecosiphonia cenomana, Cenoman, Kuttenberg 04 II 157
— nobilis, Horizont . . CBl 1903 *19*
Thecosmilia spizzensis, Spitzkalk, Recoaro u. Schio . . . . . 1900 I 274
Thecospira textilis, ob. Trias, Gajine, Bosnien 04 I 117
Thecospirella, Trias, Bakonywald . . . . . 01 II 155
Thelodus Pagei, Old Red, Forfarshire . . . . 01 I 504
— planus u. scoticus, Silur, Schottland . . . 01 I 505
Thenardit, Entstehung aus Meerwasser . . 01 I 9
Theodolitgoniometer
— v. Czapski . . . . . 1900 II 180
— Fehlerquellen . . . . 03 II 7
— m. gewöhnl. Signalgebung . . . . . 1900 II 7
— siehe auch Goniometer, Universalgoniometer etc.
Theodolitmethode
— Gang der Rechnung 03 II 158
— am Colemanit . . . 03 II 171
Theralith
— Duppau, Böhmen . . 01 II 387
— Martinsdale, graph. Darstellung der Zusammensetzung . . . 1900 I *111*
Theralitische Ergussgesteine, Massailand, Ostafrika . . . . . 03 I 80
Theralitische Gesteine, Viezzenathal b. Predazzo . . . . . CBl 1903 *6*
Theralitisch-foyaitisches Eruptivgestein, Insel Cabo Frio b. Rio de Janeiro . . . . . 02 II 399
Therentherium, Eocän, Marsh Collection . . 1904 I 456
Theriomus leptonotus, Klipfontein . . . . 1900 I 309
Thermen
— Aufsuchung, Ursprung, Eigenschaften . . . CBl 1900 181
— Gastein, Zusammensetzung . . . . . 02 II 411
— Karlsbad, Salze . . CBl 1903 58
— Monfalcone, Zusammensetzung . . . . 02 II 413
— Oeynhausen, Zusammensetzung . . . . 02 II 414
— St. Moriz, Ursprung 03 II 350
— Töplitz-Schönau . . 04 II 51
— Trencsin-Teplicz, Karpathen . . . . . 03 II 394
— Wildbad, Grund des Zutagetretens . . . CBl 1902 *231*
siehe auch Quellen.
Thermenlinie, Wiener, nördl. Fortsetzung . 03 I 221
Thermenzone, Karlsbad 03 II 393
Thermodynamik d. Krystalle . . . . . 1900 I 167
Thermoelektr. Verhalten
— von Oxyden und Metallsulfiden . . . . . 03 II 167
— v. Wismuth . . . . 03 II 323
Thermomagnetismus, Wismuth . . . . . 03 II 323
Therocephalia . . . . . 03 II 441
Theropoden, Oxford Clay, Fletton . . . . . CBl 1901 *717*
Thetishaarsteine, Nordamerika . . . . . 01 I 33
Thibet
— Geologie v. Nordost- 02 I 104
— jungvulcan. Gesteine 02 II 236
Thibet series, Himalaya 03 I 114
Thierfährten (Ichnium), Rothliegendes, Tambach, Thüringen . . 1900 I 311
Thinolith aus dem Clyde-Fluss . . . . . 02 II 346
Thomashuxleya Rankei, Tertiär, La Plata . . 03 II 293
Thomsonit
— Einwirkung von Salmiak . . . . . 03 I 395
— Bogoslowsk'schesBergrevier . . . . . 1900 I 345
— Golden, Colorado . . 01 II 197
— Kilpatrik, Dampfspannung . . . . . 1900 I 335

Thomsonit
— Schicket, Erythaea 1903 I 33. 391
— Siebengebirge . . . 1900 II 29
Thomsonitähnl. künstl. Silikat . . . . . 1900 II 351
Thon
— Gehalt an N u. organischer Substanz . 04 I 379
— Permeabilität . . . 03 I 96
— Plasticität . . . . . 03 I 389
— in Muschelschalen . 01 II 379
— Elsass . . . . . 02 II 222
— Humboldbai, Neu-Guinea . . . . . CBl 1901 *651*
— Nordamerika, Vorkommen . . . . . 04 II 238
— Nürnberg . . . . . 02 II 223
— Pennsylvanien und Thonindustrie . . . 1900 II 21
— Ural, pseudom. nach Olivin . . . . . 01 II 193
— Vierzon, mit Kieselknauern . . . . . CBl 1901 506
— Vranová, Böhmen, feuerfest . . . . . 01 II 226
Thonerdehydrate im Boden . . . . . 02 II 342
Thongesteine mit Quarzgängen, Diamantina. Brasilien . . . . . 01 I 412
— Aufsuchung, Bewerthung etc. . . . . CBl 1904 410
Thonschiefer
— chlorit. Mineral . . CBl 1901 *627*
— Bergen, Norwegen . 04 I 393
— Mansfield, Mich., Anal. 01 I 238
— Mariathal bei Pressburg . . . . . 02 II 226
Thontheile, Absatz aus Wasser . . . . . 01 II 379
Thoracoceras Wilsoni, Marcellus-Schiefer, Devon, New York . 1903 I 118
Thorit
— Arendal, Radioaktivität . . . . . CBl 1904 *208*
— Grönland . . . . . 1900 I 347
Thorn-Eberswalder Hauptthal, Entwickelung . 04 II 124
Thracia Blanckenhorni, Priabona-Schichten . 04 I 283
— corbulopsis, Quiriquina-Schichten, Chile . BB XVIII *263*
— Lovisatoi, Oolith, Mte. Timilore, Sardinien . . . . . 01 I 141
Thracia parvula, Renggeri-Schichten, Berner Jura 1901 I 139
— pyramidarum, Egypten, Nummulitenfauna 02 I 464
— Wardi, Yellowstone National Park, Jura 02 I 129
Thryptodus rotundus u. Zitteli, Niobrara-Gruppe, Kansas . . . . . 04 I 309
Thuja occidentalis-thuringiaca u. Th. saviana . . . . . 04 I 156
Thulit, Mähren, im Granitcontact am Kalk . . CBl 1901 *690*
Thurammina splendens, Kreidemergel d. oberbayr. Alpen . . . . 02 I 155
Thüringen
— Bildung des Flussnetzes u. der Siedelungen . . . . . 04 II 125
— Chamosit u. Thuringit BB XIX *40*
— Culmpflanzen . . . . 04 I 320
— diluv. Säugethiere im Gypsbruch b. Oepitz 02 II 458
— Kaolinsandstein . . BB XV *365*
— Quartär 1903 II 115. 117. 264 ff. 276 ff.
— Trias, Gervillienzone des mittl. Muschelkalks . . . . . CBl 1903 *660*
— —, Störungszone d. Finne . . . . . CBl 1903 *660*
— vor der 1. Vereisung 03 II 120
Thüringer Wald, Mangan- u. Eisenerze . . . . 04 I 238
Thüringische Stufe, Zechstein (Productuskalk), Salt Range, Ostindien BB XIV *369. 433*
Thüringisch-vogtländ. Schiefergebirge . . . 04 I 90
Thuringionautilus, Hallstätter Kalk . . . . 03 I 314
Thuringit
— chemisch . . . . . CBl 1901 *631*
— Gebersreuth, Thür. Wald, Verunreinigung CBl 1902 *647*
— Russland . . . . . 02 II 351
— Thüringen . . . . . BB XIX *40*
Thylacinus, Gebiss . . . 03 I 141
Thylacoleo, ob Carnivore? 02 II 457
Tiber, Ueberschwemmung Dezember 1900 . . . 03 I 252
Tibergebiet, oberes, Eocän 01 II 128
Tibet, siehe Thibet.

Tiefbohrung, Lyme Regis CBl 1902 475
Tiefengesteine
-- basische Concretionen 1903 II 361 CBl 1901 698
— chem. Verhältnisse . 1904 II 47
— — Classification . . 02 I 212
— Entstehung, Zusammenhang mit Massendefecten der Erdrinde CBl 1903 *444*
— China . . . . . 01 I 406
-- Hessen, chem. Classification . . . . . 03 II *34*
— Witim-Plateau, Sibirien . . . . . 02 I 223
Tiefengesteinsmassive, Entstehung CBl 1903 *445* 04 I 204
Tiefenstufe, geotherm., Michigan . . . . . 02 I 45
Tiefenzone d. Septarienthons . . . . CBl 1902 *468. 567*
Tiefmagmatische Differentiation . . . . . CBl 1900 192
Tiefseeablagerungen
— chem. u. geol. . . . 01 I 53
— Kilacheri b. Madras, in einem Bohrloch . CBl 1904 219
siehe auch Grundproben.
Tigeraugenquarzit mit Sattel- u. Muldenbildungen in Handstücken . . . . . 03 I 256
Tilhaemische Eruptivgesteine . . . . . CBl 1903 685
Tilia prae-grandifolia u. prae-parvifolia, böhm. Mittelgebirge . . . 1900 II 329
Tillodontia, Pyrotherium-Schichten, Argentin. 1900 II 303
Tinca obtruncata, böhm. Braunkohle . . . . 04 I 286
Timan, Russland
— Geotektonik . . . . CBl 1901 532
— devonische Fische . 02 II 304
Timanites acutus, poln. Mittelgebirge, Oberdevon . . . . . BB XIII *341*
Timerostephanus angustus, biconus, scalaris u. scabrus, Pyrotherium-Schichten, Argentinien . . . . . 1900 II 303
Tinca lignitica, böhm. Braunkohle . . . . 04 I 287
— macropterygia, böhm. Braunkohle . . . . 04 I 286
Tinca obtruncata, böhm. Braunkohle 1901 I 142 1904 I 286
Tinguait
— systemat. Stellungen 03 II 357
— Beemerville, N. J., Leucit-, ... 03 II 375
— Cabo Frio bei Rio de Janeiro . . . . . 02 II 400
— Elfdalen u. Rupbachthal. . . . . 02 II 56
— Essex Co., Mass. . 1900 II 66. 71
— Gy.-Szt.-Miklos. Csanód, Analyse . . . . 01 I 402
— Monteregian Hills, Quebec, Canada . . 04 II 410
— Rongstock-Bodenbach, Böhmen . . . . . 1900 II 81
Tinguait-Grorudit-Gesteine, Abessynien . 01 II 391
Tinguaitische Ganggesteine, Kordofan . . BB XVII *394*
Tinguaitporphyr
Cone Butte, Montana, graph. Darstellung d. Zusammensetzung . 1900 I *109*
— Judith Mts., Mont. . 1900 I 406
Tinostoma guttiferum, Eocän, Loire inférieure 03 I 128
Tintagel-District, Cornwall, Geologie . . . 04 II 389
Tintic-District, Utah, Erzlagerstätten . . . . 01 II 414
Tirah, Ostindien, Geol. 02 I 432
Tiree-Marble, Ceylon . . 04 I 384
Tirol
-- Erdbeben . . . . . 03 II 347
— — 1897 . . . . . 1900 I 373
— — 1898 . . . . . 01 I 209
— Erzbergbau . . . . 04 II 238
-- Marmorlager . . . . 04 I 380
— mittelliass. Brachiopoden im südlichen . 01 I 166
— Seiser Alp u. Schlern 02 I 425
— Tektonik der Dolomite . . . . . 01 II 417
Tirolidia, St. Cassian . 02 II 488
Tirschenreuth, Kaolinlager . . . . . BB XV *320*
Tissotia Ficheuri var. peruana, Kreide, Peru BB XVII *277*
Titanate und Niobate, Swaziland . . . . . 01 I 31
Titaneisen, Ausscheidung aus bas. Eruptivgesteinen . . . . 1904 I 75. 84

Titaneisen
— chem. Constitution . 1901 II 410
— Löslichkeit in H F . CBl 1902 *648*
— magnet. Influenz . . BB XIX *419*
— verwachsen m. Augit BB XVI *385*
— — mit Glimmer . . BB XVI *388*
— — mit Magneteisen (Magnoferrit u. Ceylanit) . . . . . BB XVI *344*
— — mit Olivin und mit Hypersthen . . . . BB XVI *384*
— — mit Perowskit . BB XVI *351*
— — mit Rutil . . . . BB XVI *376*
— Acherwiese, Fichtelgebirge . . . . . 1900 II 358
— Brasilien, Mikrostructur . . . . . 04 I *94*
— Dillenburg, Wachsthumsformen im Diabas . . . . . BB XV *627*
— Norwegen, Ausscheidung aus bas. Eruptivgesteinen . . . 1903 I 82. 85
— —, Ausscheidungen aus Labradorfels bei Bergen . . . . . 04 II 398
— Prägraten . . . . . 04 I 15
— Valle di Susa, im Serpentin . . . . . 01 II 16
— siehe auch Ilmenit.
Titaneisenerze, Adirondacks, im Gabbro . 01 II 410
Titan-Favas, brasil. Diamantsande . . . . . 1900 II 37
Titanit
— Dichte nach Schmelzen 01 II *151*
— künstlich . . . . . 04 I 169
— Umlagerungen und Structur . . . . . BB XIV *306*
— Aarmassiv, in Biotitprotogindrusen . . . BB XIV *79ff.*
— Baikalsee, Krystalle 02 I 39
— Binnenthal, Ofenhorn 04 I 181
— — (Sphen) . . . . 1904 I 32. 181
— Cappuccini bei Albano 04 I 171
— Fichtelgebirge, im Schalstein . . . . . 01 I 60
— Floitenthal, farblos . 01 II 352
— Mähren . . . . . CBl 1904 *363*
— — Fellberg bei Stettenhof (Sphen) . . . 04 I 31
— —, Hüttellehne bei Wermsdorf . . . . 02 II 33
— —, Wür bei Bistritz, im Urkalk, Analyse . 1900 I 24
— Moos im Passeier . . 04 I 170
Titanit
— Norwegen, Skaatö, Krystalle . . . . . CBl 1901 505
— Pfitsch, Analyse . . CBl 1902 143
— Piemont, Brusson, im Grünschiefer . . . . CBl 1901 *306*
— —, Comba di Compare Robert . . . . . 1901 II 204
— —, Monte Acuto, Krystalle . . . . . CBl 1903 *123*
— —, Saulera im Alathal CBl 1900 *43*
— —, Tollegno, im Kalk CBl 1903 *121*
— Pisek, Krystalle . . 01 II 203
— Schweiz . . . . . CBl 1904 *464*
— Vondřichovec, Böhmen, kryst. . . . . 1900 I 14
— siehe auch Sphen.
Titanmagneteisen
— Brasilien, Mikrostructur . . . . . 04 I *94*
— Croustet bei Le Puy (Haute Loire), Anal. 03 I 181
— siehe auch Titanomagnetit.
Titanmagnetitgesteine, Lofoten und Vesteraalen, Norwegen . . 1900 I 384
Titanomagnetitspinellit, Norwegen . . . . . 03 I 83
— siehe auch Titanmagneteisen.
Titanmineralien, Vereinigte Staaten, Production 1901 . . . 04 I 35
Titanocarcinus Kochi, ungar. Eocän . . . 1900 II 474
Titanolivin, Val Malenco (Veltlin) . 1903 I 27 03 II 331
Titanomys, Gebiss etc. . 03 I 141
Titanophyllum Brittsii, lower coal measures, Missouri . . . . . 01 II 491
Titanotheriinen, Dolichocephalie und Brachycephalie . . . . . 04 II 302
Titanotherioidea . . . . 01 II 300
Titanotherium, Schädel und Dentition . . . 03 II 285
— dispar, Skelett . . . 04 I 299
Titanotherium beds, Tertiär, NO.-Colorado . 04 I 123
— —, Pipestone Springs, Montana, Säugethierfauna . . . . . 04 II 460
Titanotherium-Spezies, Amerika, Oligocän . 04 I 298

Titansäure, Trennung von ZrO_2 . . . . . 1900 I 48
Tithon
— Echinodermen . . . 03 II 454
— argent. Cordillere . . CBl 1903 56
— Centralapennin, Hopliten . . . . . 1900 II 150
— Dauphiné, Echinodermen . . . . . 03 II 454
— Dimbovicioara-Quellgebiet, rumän. Karpathen . . . . . 1900 I 429
— Frankreich . . . . . 1900 I 116
— —, Languedoc (Montpellier) . . . . . 1900 I 98
— —, Voralpen . . . . 02 I 250
— Graubünden . . . . CBl 1902 116
— Lombardei . . . . . 01 I 142
— Monte Judica, Sicilien 01 II 110
— Skalička, Mähren . . 03 I 323
— Stramberg, Brachiopoden . . . . . 1900 II 315
— —, Fauna d. Nesselsdorfer Schichten . . 03 II 418
— Teschen . . . . . 02 II 148
Tivela trigona, Paraná-Stufe . . . . . BB XIV *204*
Tmaegoceras Hyatt . . 01 II *158*
— crassiceps und dorsosulcatum . . . . . 01 II *161*
Tocavita bei Santa Rosa, Meteoreisen . . . . 1900 I 353
Todeopsis primaeva, Kohlenbecken, Autun u. Epinac . . . . . 02 II 165
Toechomya, Devon, Brasilien . . . . . 01 I 298
Tölz
— Jodquelle . . . . . 03 II 395
— Kreide und Eocän . 02 I 117
Tönsbergit . . . . . 02 I 216
Töpferthon, Nordamerika 04 II 238
— siehe auch Thon, Kaolin etc.
Togo. Eisenindustrie . . 03 I 86
Tokyo, Erdbeben 1894, 1898—99 . . . . 1902 I 47. 50
Tolfa, Edelopal . . . . 1900 I 10
Toll, E. v., Polarexpedition, Ausgang und Resultate CBl 1904 *225. 289. 437. 527*
Tollegno, Piemont, Mineralien im Kalk . . . CBl 1903 *121*
Toluca, Meteoreisen mit Graphit . . . . . 1900 I 352
Toluca-Mañi-Eisen . . . 1904 II *118*
Tomistoma africanum, Egypten, Tertiär . . 02 I 466
Tonalas . . . . . CBl 1903 697
Tonale-Schiefer, Adamellogebiet . . . . . 02 I 65
Tonalit
— Adamello, Alter etc. 1900 I 51
— Cap Marsa, Analyse 01 I 403
— Kasbek . . . . . 02 II 393
— Massachusetts . . . 1900 II 90
— Griechenland, nördl., u. türk. Grenzländer BB XVIII *3*
— Salzkammergut . . . 01 I 61
— Val Moya, graph. Darstellung der Zusammensetzung . . . . 1900 I *111*
Tonalitaplit
— systemat. Stellung . 03 II 357
— Cap Marsa . . . . . 01 I 403
Tonalitcontact, Ulten-Iffingermass. b. Meran 1900 II 391
Tonalitgneiss, Wistra, südl. Kärnten, Anal. 1900 II 388
Tonalos . . . . . CBl 1903 697
Tongrien, Ligurien, Zweischaler . . . . . 1900 II 314
— Infra-, Plan d'Orgon 01 II 446
Topas
— chem. Constitution . 04 II 185
— Dichte nach Schmelzung . . . . . 01 II *151*
— Färbung . . . . . 1900 II 342
— magnet. Influenz . . BB XIX *419*
— Polychroismus . . . 04 II 342
— Brasilien . . . . . 1900 I 33
— Greenwood, Me., Pseudom. nach T. . . . . 01 I 37
— Limousin . . . . . 02 II 196
— Neu-Süd-Wales, Zusammensetzung . . . 02 I 184
— Nordamerika . . . . 1900 I 199
— Ouro Preto, Muttergestein . . . . . 02 I 417
— Pike's Peak, Col., Kryst. 02 II 205
— Pisek, Kryst. u. Umwandlung in Glimmer 03 II 32
— San Luis Potosi, Kryst. 03 I 193
— Schneckenstein, Anal. CBl 1902 506
Topasirte Gesteine, Zinnerzlagerstätte, Mt. Bischoff . . . . . 01 I 424
Topaspseudomorphosen
— Greenwood, Me. . . 01 I 37
— Stripåsen, Westmanland, im Pegmatit . 04 I 390

Topazolith, Acherwiese, Fichtelgebirge . . . 1900 II 358
Topische Axen d. Mineralien d. Zinnerzgruppe 04 I 19
— Axenverhältnisse der Krystalle . . . . . 02 I 336
Tor Caldara, pliocäne u. postplioc. Bryozoen . 1900 II 318
Torbernit, siehe Kupferuranit u. Uranglimmer.
Tordrillyt . . . . . 02 I 216
Torf
— Analyse 1902 I 248 03 II 390
— Kieler Föhrde . . . 04 II 452
— Lüneburg, frühdiluv. 04 II 454
— Schweden u. Åland, mit Trapa natans 1901 I 480. 481
— Ugglarp, Schonen, mit Bärenskelett . . . . 03 I 525
Torflager
— Fichtelgebirge . . . CBl 1901 *519*
— Norddeutschland, interglaciale . . . . . 01 I 289
— —, quartäre . . . . BB XVI *26*
— Tesperhudt a. Elbe, interglaciales . . . . 01 II 286
Torfmoor, Schulau am Elbufer, altes . . . 04 II 454
Torfschiefer, Rigaer Strand . . . . . 1900 I 455
Torfschwein, Vindonissa 03 I 148
Torgoschino-Schichten, Cambrium, Sibirien . 01 I 115
Tornatellaea Brasili, inaequistriata, microsphaera, pachyptycha und rupellensis, Jura, Frankreich . . . . . 1900 II 152
— patagonica, Kreide, Patagonien . . . . 02 II 435
— Pharaonum, ob. Kreide, lybische Wüste . . 03 I 510
Tornatina Boutillieri, Jura, Frankreich 1900 II 153
Torneträsk (Lofotenbahn), geolog. Profil 04 II 223
Torne Träsk-See, Lappmark, Strandlinien . 1900 II 449
Tornoceras . . . . . 1900 I 130
— Devon . . . . . CBl 1902 *172*
— polnisches Mittelgebiet, Oberdevon . . BB XIII *341*
— acutum, Bertrandi, Escoti, Haugi, Holzapfeli, irideum und Verae, Devon . . . 03 II 145
Tornquistellus gracilis, Carbon, Rossbergmassiv, Elsass . . . 1901 II 161
Toronto, Canada
— Bergwerkserträge . . CBl 1901 371
— Bureau of mines . . CBl 1901 371
CBl 1902 240 04 II 363
Torrejon bed, New Mexico, Landsäugethiere . . 01 II 136
Torrejon- und Puerco-Fauna . . . . . 1900 I 299
Torrensit
— Pyrenäen . . . . . 1900 II 22
— Vielle-Aure, Pyrenäen 01 II 57
Torridon-Schichten, Insel Rum . . . . . 04 II 423
Torsionsstructur, tiroler Dolomite . . . . . 01 II 417
Tortworth Inlier, Erstarrungsgesteine u. Sedimente . . . . . CBl 1901 537
Toscana
— Hg- und Sb-führende Erzlagerstätten u. Beziehung zu Eruptivgesteinen . . . . . 03 I 92
— Opale, chem. . . . . 1900 II 348
— tert. Säugethiere . . 02 II 463
Totalreflectometer . . . 1900 II 183
— für mikrosk. Krystalle 1900 I 333
— mit Fernrohrmikroskop . . . . . 03 I 180
— Verbesserung . . . . 03 I 180
siehe auch Refractometer.
Totalreflexion
— Anwendung auf kleine u. mangelhafte Krystallflächen . 1900 II 173. 174
— — in Petrographie 1900 II 183. 384
— Berechnung des opt. Axenwinkels aus den Grenzwinkeln . . . 1900 II 170
— Bestimmung d. Hauptbrechungscoëfficienten 03 I 360
— Bestimmung bei mehreren übereinandergelegten Schichten . 01 II 3
— doppeltbrech. Kryst. BB XX *311*
— opt. 2-axige Krystalle 04 I 322
Totanus praecursor, böhm. Braunkohle . . . 04 I 286
Toucasia Steinmanni, Kreide, Monte d'Ocre-Kette . . . . . 04 I 98

Toucasia-Kalke, Bari . CBl 1901 22
Toul. Eisenerze im Jura 1901 I 428
Toulon, Tektonik . . . CBl 1901 *454*
Toulouse, quart. Säugethierarten der Sammlung . . . . . 02 II 143
Touraine
— Faluns, Palaeontologie . . . . . 1902 I 129. 465
— —, Muscheln. . . . 01 I 477
Tournay, Fauna d. carbon. Kalkschiefer . . 02 I 113
Toxaster libanoticus, Kreide, Libanon . . 1900 I 480
— tosaensis . . . . . 03 II 454
Toxoconcha Brocchii u. transitoria, Esino und Marmolata. . . 02 I 143
Toxodon Burmeisteri, Darwini, elongatus u. platensis, La Plata . 02 I 131
— elongatus, Argentinien 1900 I *225*
— giganteus, Argentinien 1900 I *225*
Toxodontia
— System . . . . . 1900 II 457
— Argentinien . . . . 02 I 130
— —, Pyrotherium-Schichten . . . . . 1900 II 302
Toxodontidae . . . . . 1900 II 457
Toxopneustes praecursor, patag. Formation . . 02 I 295
Trachyandesit, Fondo Riccio-Krater, phlegr. Felder . . . . . 03 II 369
Trachydolerit
— Astroni . . . . . 1903 I 43
— Unteritalien, Anal. . 01 I 224
Trachynerita sp., Muschelkalk, Süddeutschland 02 I 143
Trachypleura, Muschelkalk, Rüdersdorf . . CBl 1900 300
Trachyt
— Abessynien . . . . . 01 II 392
— —, mit Riebeckit . . 01 I 18
— Afiun Karahissar, Kleinasien . . . . . 1900 II 62
— Aroostock County, Maine . . . . . 03 I 429
— brit. Ostafrika . . . 04 II 57
— Bukowina, Aegirin- . 01 I 63
— cimin. Gebirge (Viterbo) . . . . . 04 II 216
— Clipperton-Atoll, Südsee, phosphatisirt . . 1900 I 239
— Freienhäuschen, Eifel, Absonderung . . . . CBl 1903 *224*
Trachyt
— Gleichenberg, Steiermark . . . . . 1904 I 59
— GrandesRousses, Briançonnais . . . . . 03 I 72
— Ischia, Aegirin-Augit-, Analyse . . . . . 01 I 223
siehe phlegräische Felder.
— Lipowetz'scher Kreis (Kiew), Pyroxen- . . 02 II 57
— Massailand, Ostafrika 03 I 80
— Mte. Catini (Glimmer-), Analyse . . . . . 01 I 224
— Mte. Ferru, Sardinien 04 II 222
— Nordböhmen, Contactmetamorphose an Kreidemergel . . . . CBl 1901 503
— phlegräische Felder . 02 I 348
— —, Astroni . . . . 03 I 43
— —, Cumae, glasreich, Analyse . . . . . 01 I 223
— —, Fondo Riccio-Krater . . . . . 03 II 369
— —, Lago Averno, sodalithführ. Augit- . 03 I 252
— —, Mte. Nuovo bei Pozzuoli, Analyse . 01 I 223
siehe auch Ischia etc.
— siebenbürg. Erzgeb., Beziehung zu den Goldlagerstätten . . CBl 1901 173
— Ulu Rawas, Süd-Sumatra . . . . . BB XVIII *430*
— Ungarn, kaolinisirt . BB XV *358*
— Vivara . . . . . 02 I 406
Trachyt-Andesit, Battak-Hochfl., Sumatra . . 1900 II 235
— cimin. Gebirge (Viterbo) . . . . . 1904 II 216. 217
Trachytherus . . . . . 1900 II 459
Tragoceros gregarius, ? Kokeni, spectabilis u. ? sylvaticus, Tertiär, China . . . . . CBl 1902 *535*
Traisenthal, tirol. Kalkvoralpen, Geologie . 03 I 100
Trajanella Munieri, Cenoman, rumän. Karpathen . . . . . 1900 II 286
Tramore-Kalke, Silur, SO.-Irland, verglichen mit skandinav.-russ. Orthocerenkalk . . . 01 I 116
Tramoria, Tramore-Kalk, Silur, SO.-Ireland . . 01 I 116

Tramoria u. Apatokephalus, Silur, England u. Norwegen . . . . . 1901 II 150
Transbaikalien, Jablonowyi-Gebirge u. Witim-Plateau . . . . 01 II 110
Transgressionen d. unt. Kreide, Juragebirge 02 I 449
Translationen
— am Arsen . . . . . 01 I 181
— an Krystallen . . . 02 II *133*
— an mimetischen Krystallen . . . . . BB XIV *246*
Translationsfähigkeit
— des Eises . . . . 1901 I *38. 46*
— d. grönländ. Inlandeises . . . . . 1900 II 80
Transsylvan. Alpen, Geol. 03 II 247
Transvaal
— Erzlagerstätten . . 03 I 94
— Geologie 1903 I 287 CBl 1901 178
— geolog. Untersuchung 1897 . . . . . 1900 I 263
— Goldfelder d. Murchisonkette . . . . . 01 I 84
— goldführ. Conglomerate . . . . . 1900 I 240
— Goldindustrie . . . 01 I 175
— Reihenfolge der Formationen . . . . . 01 II 91
— Schieferung, Werfener Schiefer . . . . 1900 I *141*
— Francis, permotriad. Pflanzen . . . . . 02 I 495
Transversarius-Schichten, Trept (Isère), Ammoniten . . . . . 1900 II 150
Trapa natans im Torf, Schweden und Åland 01 I 480
Trapezium occidentale, Infralias, Vendée . . 04 II 430
— rectangulare, Chalk, England . . . . . 01 I 280
Trapezunt, Leucitgesteine 01 I 226
Trapp
— Neu-Schottland . . . 01 I 448
— Rocky Hill, N. J., triassisch, gangförmig 01 I 243
Traschke bei Wechselburg, Felsitporphyre 1900 I 380
Trasimener See
— Eocän . . . . . 01 II 128
— Geologie . . . . . 01 I 99
Traspoatherium convexidens, Pyrotherium-Schichten, Argent. . 1900 II 301
Traversella, Erzlagerstätte . 1903 II 381 1904 I 235
Traversellit. mikr. Untersuchung . . . . . 04 I 164
Travertin
— Elsa-Fluss, Italien . 03 I 251
— Thüringen, Conchylien im diluvialen 1903 II 276. 277
— Vichy, Analysen . . 02 II 348
— siehe auch Kalktuff.
Trebbiathal, Gesteine . 1900 I 219
Trebitsch, Mähren, Geologie . . . . . 02 II 421
Tremadoc, Montagne Noire etc., Südfrankreich . . . . . 02 I *1*
Tremolit
— Dichte nach Schmelzen 01 II *152*
— Böhmen, Bystre . . 01 II 203
— —, Pisek, Anal. . . 01 II 202
— Bogoslowsk'sches Bergrevier, Ural, im Serpentin . . . . . 1900 I 345
— Mähren . . . . . CBl 1904 *363*
— San Pablo, Cal. . . 1903 I 403
Trencsin-Teplicz, Karpathen, Geologie u. Quellen . . . . . 03 II 394
Trenton beds, Albany, N. Y. . . . . 01 II 434
Trenton-Conglomerat, Rysedorpf Hill, Rensselaer County, N. Y., Silur . . . . . 03 I 116
Trentonaster (= Palasterina) stellata . . 01 II 324
Triaenoceras costatum, Mitteldevon, Nassau 03 II 444
Trias

Allgemeines.

— carbon. Granitbarre zw. d. ocean. Triasmeer und dem europäischen Triasbinnenmeer . . . . . BB XX *466*
— continentale, Bildung d. buntgefärbten klastischen Gesteine . . CBl 1901 *463*
— Estherien im Buntsandstein . . . . . CBl 1904 *195*
— Nautilus bidorsatus . BB XVII *486*
— Pseudomonotis Telleri u. Verwandte in der unteren . . . . 02 II 307
— Rhynch. decurtata, Vorkommen . . . . CBl 1904 *503*

Trias

Afrika.

— Capland, Enon-Conglomerat m. Estherien 1902 II 268
— Madagascar, Karru-Formation . . . . . 01 II 264

Amerika.

— Californien . . . . . 01 I 276
— Massachusetts . . . 1900 II 90
— Nordamerika, Pelecypodenzonen . . . . CBl 1902 *689*
— Yellowstone National Park . . . . . 02 I 128

Asien.

— China . . . . . 1900 I *186*
— Himalaya, Brachiopoden und Lamellibranchiaten . . . . 03 I 169
— —, Gliederung des Muschelkalks . . . . 03 I 122
— —, Kaschmir, Ammoniten . . . . . CBl 1902 *134*
— —, Otoceras beds . . CBl 1901 *513*
— —, Rimkin Paiar (Painkhanda), Alter der Otoceras-Schichten BB XVIII *528*
— —, Spiti, Werfener Schiefer CBl 1900 *265* CBl 1901 *197*
— Indien, Medlicottia u. Episageceras . . . . BB XIX *334*
— —, ostindisches Faunengebiet, Grenze gegen Perm . . . . . CBl 1900 *1*
— —, Salt Range, siehe Salt Range p. 506.
— Malakka-Halbinsel . 01 I 454

Australien.

— Neuseeland . . . . 04 II 91
— Neu-Süd-Wales. Pflanzen . . . . . CBl 1901 728

Europa.

— europäischer Continent, Dinosaurier . . 01 II *89*

Arktische Gegenden.

— arktisch-pacifische Provinz . . . . . CBl 1902 666
— Bäreninsel . . . . . 01 II 259
— Spitzbergen, Saurier 03 II 440

Balkanländer.

— Bosnien . . . . . 03 I 110
— —, Glaubersalz in den Werfener Schichten . CBl 1904 *399*
— —, Kohlen im Werfener Schiefer . . . CBl 1902 *9*
— —, Čevljanović, norische Petrefacten . 02 I 467

Trias

— Bosnien, Dalmatien u. Venetien, Brachiopoden u. Lamellibranchiaten . . . . . 1904 I 114
— Dobrudscha, Nodosenkalk mit Cer. subnodosus var. romanica 1900 I *173*
— Griechenland . . . . CBl 1904 *257*
— Hercegovina, Korjenići u. Klobuk . . . 02 I 439
— —, Schiosi-Schichten mit Chondrodonta (Ostrea) Joannae . . 04 I 149
— —, Susiča-Thal, Kohlen . . . . . 01 I 464

Deutschland.

— deutsche, Bildung . 01 I 119
— —, Gastropoden und Scaphopoden . . . . 1900 I 316
— —, in Frankreich, Toulon . . . . . CBl 1901 *392*
— deutscher Muschelkalk, Pelycosaurier . . . BB XX *321*
— Deutschland, Daonellen des Muschelkalks 03 II *83*
— Ammergebirge . . . 01 I 260
— Baden, Blatt Dürrheim . . . . . 03 I 464
— —, Eberbach (Odenwald), Grabenverwerfung . . . . . 03 I 474
— —, Katzenbuckel, Muschelkalk 1903 I 472 CBl 1902 *651*
— —, Mosbach, Epfenbach und Sinsheim . 01 I 252
— —, Villingen u. Königsfeld-Niedereschenbach . . . . . 01 I 90
— —, Rappenau . . . 03 I 460
— Bernburg, Pleuromoia im Buntsandstein . . 04 I 319
— Elsass . . . . . 01 II 423
— germanische, Bildung 01 I 119
— Hildesheim . . . . . 02 I *37*
— Lüneburg, Schafwaide, Muschelkalk . . . . 1900 II 433
— Mellrichstadt a. Rhön, Tiefbohrung . . . . 02 I 264
— Mitteldeutschland, Glossophoren . . . . 04 I 312
— Neubrandenburg, Geschiebe . . . . . 1900 II 127
— Oberschlesien, Nothosauriden des unteren Muschelkalks . . . 02 I 307

Trias
— Oberschlesien, Proneusticosaurus im unteren Muschelkalk . 1903 II 141
— —, Schwämme im Muschelkalk . . . . CBl 1904 *464*
— —, Tiefbohrung bei Oppeln . . . . . 03 II 111
— Pfalzburg . . . . . 03 II 92
— Pommern, Geschiebe 03 II 270
— Rhön (Schwarze Berge) 04 II 205
— Rüdersdorf, Trachypleura im Muschelkalk . . . . . CBl 1900 300
— Schwaben, Saurier d. Stuttgarter Sammlung . . . . . 1900 I 308
— —, Zanclodonten d. Tübinger Sammlung CBl 1904 *685*
— —, Balingen, Keuper-Lias-Grenze . . . . 02 I 269
— —, Kochendorf . . . 02 I 86
— —, Schwieberdingen, unt. Trigonodus-Dolomit . . . . . 1900 I 436
— Schwarzwald, Acher- u. Murgquelle, Buntsandstein . . . . . 04 I 388
— Süddeutschland, Gastropoden d. Muschelkalks 02 I 143
— —, Keuper . . . . 02 I 265
— Teutoburger Wald, Keuperkohle . . . . CBl 1902 *368*
— Thale a. Harz . . . CBl 1904 *373*
— Thüringen, Finne, Störungszone . . CBl 1903 *532. 660*
— —, östliches, Gervillienhorizont im mittl. Buntsandstein . . . CBl 1903 *660*
— —, Sachsenburg a. Unstrut, unt. Muschelkalk . . . . . 03 II 403
— —, Sondershausen, Cephalopoden des unteren Muschelkalks 1901 II 151 02 I 310
— Uehrde bei Braunschweig, Muschelkalk 02 II 267

England.
— England, Sandsteinplatten mit Echinodermen . . . . . 02 I 318
— Elgin, Reptilien . . 04 I 138
— Staffordshire, Rhynchosaurus-Fährten im Keuper . . . . . 03 I 158

Trias

Frankreich.
— Albières und Arques (Corbières) . . . . . 1903 I 122
— Toulon, deutsche . . CBl 1901 *392*

Italien.
— Apennin, nördl. Toscana u. Ligurien . . 01 I 98
— Besano, Lombardei, Mixosaurus . . . . 04 I 139
— Cadore (Sappada, San Stefano u. Auronzo) 1901 I 461. 462
— Corsica, Granitbarre etc. . . . . BB XX *466*
— Esino- u. Marmolata-Kalk, Gastropoden . 02 I 141
— Ligurien . . . . . 1900 I *176*
— Mittelmeergebiet, westl. CBl 1901 *385. 551. 740*
— Monte Judica, Prov. Catania, Sicilien . . 01 II 109
— —, —, —, Raibler Schichten . . . . . 1900 I 114
— piemont. Westalpen, Grünschiefer (pietre verdi) . . 1900 I 426 1900 II 266
— Presolana u. Cima di Camino . . . . . 03 I 477
— Recoaro und Schio, Spitzkalk . . . . . 1900 I 274
— — —, Sturia-Kalk . 1900 II 433
— — —, Subnodosus-Schichten . . . . . 1900 I 115
— Sardinien . . . . . 03 I 476
— —, nodose Ceratiten CBl 1901 *385. 551. 740*
— Tarcento (Friaul) . . 03 I 478
— Umbrien, Tektonik . 04 II 422
— Val di Liana, untere, Zweischaler . . . . 1900 II 314
— Val di Pena b. Lorenzago (Belluno), Cephalopoden . . . . . 03 II 149
— — — —, Gymnites 01 II 151
— Vicentin . . . . 1901 II 98. 105
— —, Ceratiten . . . . CBl 1901 *392*
— —, Cer. Münsteri . . CBl 1901 *396*
— —, nodose Ammoniten CBl 1901 *740*
— Westalpen, piemontesische, Grünschiefer (pietre verdi) 1900 I 426 1900 II 266

Oesterreich-Ungarn.
— alpine, Pseudomonotis 1902 II 307 CBl 1902 *20*

Trias
— Alpen, mittl., Diceras-ähnl. Zweischaler . . 1902 II *127*
— Dalmatien . . . . . 04 I 91 ff.
— —, Lesina, Fauna d. pietre nere . . . . . 01 II 154
— —, Muć, Cephalopoden d. Werfener Schichten 03 II 444
— —, Schiosi-Schichten mit Chondrodonta (Ostrea) Joannae . . 04 I 149
— Dellach (Oberdrauthal), Blei- und Zinkerze . . . . . 04 I 396
— Gailthaler Alpen . . 03 I 102
— Görz, Istrien, Dalmatien u. Hercegovina, Schiosi-Schichten mit Chondrodonta(Ostrea) Joannae . . . . . 04 I 149
— Hallstatt, Gastropoden . . . . . 02 I 144
— Hallstätter Kalk, Cephalopoden . . . . . 03 I 311
— Kärnten, Mte. Clapsavon, Fauna d. rothen u. grauen Kalke . . 01 II 134
— karnische Alpen . . 01 I 95
— Krain, Bača-Thal . . 04 I 96
— —, Hudiklanec bei Loitsch (Idria), Lamellibranchiaten . . 02 I 484
— —, zwischen Idria u. Tribusa . . . . . 01 II 123
— Lunzer Schichten . . 1900 I 275
— Oberösterreich, Weyer 01 II 123
— Oberpinzgau . . . . 03 I 126
— Oberseeland, Kärnten, Kalkm. Asteroconites radiolaris . . . . . 02 II 114
— Sonnwendgebirge . . 03 I 494
— Südalpen, Cephalopodensuiten . . . . . 01 II *23*
— Südtirol, obere Cassianer Zone . . . . 03 I 123
— —, Coldai, Kohle im Wengener Schiefer 1902 II 114 04 II 78
— —, Falzarego-Strasse, obere St. Cassianer Zone . . . . . 01 II 121
— —, Fassa u. Monzoni 04 I 248
— —, Sanct Cassian . 02 II 486
— —, Seiser Alp . . . 1900 II 416
— —, —, Fauna d. Pachycardientuffe . . . 04 I 118

Trias
— Südtirol, Seiser Alp u. Schlern . . . . . 1902 I 425
— Uggowitzer Breccien, in den Grödener Schichten . . . . . 02 I 261
— Ungarn, Bakony, Brachiopoden . . . . . 01 II 155
— —, —, Cephalopodensuiten . . . . . 03 I 123
— —, —, Gastropoden 02 II 305
— —, —, Koninckidae 01 II 156
— —, —, Korallen . . 02 I 153
— —, —, Megalodonten 03 I 171
— —, —, Schildkröten (Placochelys placodonta) im Keuper v. Veszprem . . . . . 02 I *127*
— —, —, Spongien . . 02 I 491
— —, —, Zweischaler . 02 I 313

Russland.

— Krym . . . . . CBl 1902 85
— Polen . . . . . 04 I 264
— Süd-Ussurigebiet . . 1900 II 434

Schweiz.

— Baltschiederthal, Wallis, Mineralien im Dolomit . . . . . 1900 I *16*
— Basel, Aristodesmus im Buntsandstein . . 02 I 306
— Basler Tafeljura, Keuper . . . . . 02 I 440
— Davos . . . . . 01 II 95
— Graubünden . . CBl 1902 115. 122
— Luganer Alpen, Dolomitgebiet . . . . . 04 II 244
— Plessurgebirge um Arosa . . . . . 04 I 241
— siehe auch Permotrias.
Triasdolomit, Baltschiederthal, Wallis, Mineralien . . . . . 1900 I *16*
Triasgeschiebe
— Neubrandenburg . . 1900 II 127
— Pommern . . . . . 03 II 270
Triboluminescenz . . . 02 II 176
Tribromtoluol, kryst. u. optisch . . . . . 03 I *1*
Tricentes, Puerco . . . 1900 I 302
Trichlor-3-Nitro-Benzoësäure, kryst. u. opt. 03 I *8*
— mit 1 Chloroform, kryst. u opt. . . . 03 I *9*
Trichlor-3-Nitro-Benzoësäure-Dimethylamid, kryst. u. opt. . . . 03 I *17*

Trichlor-3-Nitro-Benzoësäure-Monomethylamid, kryst. u. opt. . 1903 I *12*
Trichlor-3-Nitro-Benzoësäure-Monomethyl-Nitramid, kryst. u. opt. . . . . 03 I *15*
Trichopitys milleryensis, Kohlenbecken, Autun u. Epinac . . . 02 II 167
Tricoelodus bicuspidatus, Pyrotherium-Schichten, Argentinien . . 1900 II 301
Tridymit
— Bildung in einem vom Blitz geschmolzenen Dachschiefer . . . . CBl 1904 *87*
— Krystallform . . . . 03 I 177
— Krystallstructur . . 1900 II 5
— Neubildung durch Schmelzen . . . . . BB XVII *512*
— verwachsen m. Cristobalit . . . . . BB XVI *351*
— Zwillingsbildung . . 03 II 159
— Mähren, fasrig = Lussatit . . . . . CBl 1901 *690*
— Neuseeland, in Liparit . . . . . 01 I 78
— S. Pietro Montagnon, Euganeen . . . . . 01 II 176
Triest
— Erdbeben 1897 . . . 1900 I 372
— — 1898 . . . . . 01 I 208
— — 1899 . . . . . 02 II 47
— Karstgebiet, Mineral. CBl 1902 442
Triforis javanus, Tertiär, Java . . . . . 1900 II 289
Trigeria confluentina, Oehlerti u. posthuma, Unterdevon, Rheingebiet . . . . . 04 II 328
— Gaudryi, Unterdevon, Rolshausen . . . . BB XVII *57*
Trigonia Abichi u. akuschensis, Kreide, Kaukasus . . . . . 01 I 474
— Beyschlagi, Bornhardti, Kühni und Schwarzi, Kreide, Deutsch-Ostafrika . . . . . 01 II 296
— Bigoti, Callovien, Espinazito-Pass, Argentinien . . . . . 1900 II 117
— cinctula, Kreide, Südaustralien . . . . . 04 I 119
— crenulata var. peruana BB XVII *272*
Trigonia Delafossei, longa u. longa var. undulatostriata, nepos, progonos und transitoria, Chile, untere Kreide BB XVII *291*
— glabra, Hanetiana u. obtusa, Quiriquina-Schichten, Chile . BB XVIII *231*
— heterosculpta u. subventricosa, Kreide, Patagonien . . . . 1902 II 435
— cfr. Moorei, Jura, White Cliff, Austral. BB XIV *485*
— neuquensis, Neocom, argent.-chilen. Cordillere . . . . . 04 II 88
— Ovallei = Gottschei, Jura, Chile . . . . 01 I 485
— Steinmanni, Kreide, Chile . . . . . 1901 I 487
Trigonien, Kreide, England . . . . . 03 II 299
Trigonias Osborni, unt. Titanotherium bed, Nebraska . . . . . 03 II 287
Trigonoactura armata, Upper Chalk, Coulsdon (Surrey) . . . . 02 II 155
Trigonocarpus corrugatus u. elongatus, Kohlenbecken, Autun u. Epinac . . . . . 02 II 167
Trigonocyclia, Upper Chalk, Coulsdon (Surrey) . . . . . 02 II 155
Trigonodon . . . . . 1900 II 459
Trigonodus orientalis, Trias, Süd-Ussuri-Gebiet . . . . . 1900 II 434
Trigonodus-Dolomit, unt., Schwieberdingen, Württembérg . . . 1900 I 436
Trigonostylops Wortmanni, Pyrotherium-Schichten, Argentin. 1900 II 304
Triisodon u. Triisodontidae, Puerco . . . 1900 I 302
Trikline Krystalle, Aetzfiguren . . . . . 1900 I 169
Trilobiten
— älteste bekannte . . 1900 II 149
— Augen u. andere Sehorgane . . . . . CBl 1901 *443*
— — auf dem Hypostom 04 II 149
— — und Maculae auf dem Hypostom . . . 03 I 545

Trilobiten
— Beine . . . . . 1903 I 547
— blinde . . . . . 1900 I 133
— cambrische . . . . 1900 I 132
— Cheiruridae . . . . 1900 II 472
— Lichadae 1903 I 161 CBl 1902 152
— Organisation . . 1903 I 544. 547
— baltische (Asaphiden) 03 I 337
— —, ost-, silurische . 1900 I 137
— Bornholm, Trinucleusschiefer . . . . . 01 I 102
— England, Silur . . . 03 I 336
— Iberger Kalk b. Grund, mitteldevonische . . 04 II 323
— Neufundland, Cambrium . . . . . 01 I 156
— Rossbergmassiv (Südvogesen), Untercarbon 04 II 324
— Schantung, obercambr. 04 II 322
— Schlesien, Untercarbon 03 I 336
— Südafrika, Bokkeveld beds . . . . . 04 II 323
Trilobodon Brancoi, Tertiär, La Plata . . . 03 II 293
Trinkwasserversorgung, Rheinhessen . . . . 03 II 123
Trinucleus-Schiefer, Bornholm, Trilobiten . . 01 I 102
Triomphalia Bonneti, Faluns, Touraine . . 01 I 478
Trionyx aspidiformis u. preschensis, böhm. Braunkohle 1901 I 143 04 I 286
— Boulengeri, Tertiär, Mainzer Becken . . 03 II 144
— rostratum, Au am Leithagebirge . . . . . 01 II 314
— senckenbergianus, Untermiocän, Moghara . 04 II 149
Tripelpunkte bei polymorphen Modificationen . . . . . 03 II 10
Triphylin, Grafton, Nettampshire, mit Graftonit verwachsen 1901 I 356 BB XVI *405*
Triplit
— Lilla Elysjöbrottet, Analyse . . . . . 04 II 185
— Mähren . . . . . CBl 1904 *360*
— Wien und Cyrillhof, Mähren . . . . . 01 I 353
Triploidit, Mähren . . . 01 I 355
Triplophyllum, New York, Unterdevon . . . . 03 I 483
Triploporella Fraasi, Cenoman, Mexico, Organisation . . . . . 1900 I 323
Tripolitzakalk, Griechenland . . . . . CBl 1904 *260*
Tripterospermum mucronatum, Kohlenbecken, Autun und Epinac . 02 II 168
Tritaxia compressa, oberbayr. Alpen, Kreidemergel . . . . . 02 I 155
Triton bantamensis, Fennemai, losariensis, pseudopyrum, tjilonganensis u. tjiringanensis, Tertiär, Java 1900 II 289
— Luisae, Quiriquina-Schichten, Chile . BB XVIII *210*
— Rossii, Priabona-Schichten . . . . . 04 I 283
— wemmelensis, oberes Tongrien . . . . . 02 I 130
Tritonidea Everwijni, Tertiär, Java . . . 1900 II 289
— pseudostenomphalus, Priabona-Schichten . 04 I 283
Tritonium Morgani, patagon. Formation . . 02 I 295
— Strombecki, Braunschweig und Ilsede, Untersenon . . . . 02 I 128
Tuberculäre Molaren, Entstehung . . . . 04 I 455
Tuberculartypus d. Zähne 01 I 151
Trivia oligocaena, Oligocän, venet. Voralpen 01 II 282
Trochactaeonina Bigoti und Boutillieri, Jura, Frankreich . . . . 1900 II 153
Trochammina ammonoides, Draco, mitrata u. uviformis, Inoceramenschichten, Gorlice 03 II 153
— Bradyana, Zechstein, Deutschland . . . . 1900 II 163
Trochanter tertius der Säugethiere . . . . 04 I 121
Trocheropsis, Cenoman, Labergebirge . . . . 1900 II 416
Trochidae, Jura, England 01 I 514
Trochita laevis, Quiriquina-Schichten, Chile BB XVIII *195*
Trochobolus cuneiformis, Wettinger Schichten, Malm, Baden i. Schw. 02 II 313

Trochocyathus californianus (Kreide), cingulatus, depressus, Hyatti u. Stantoni, Palaeogen, Nordamerika . . . . 1904 I 468
— epicharis, ob. Kreide, libysche Wüste . . . 03 I 509
— microphyes, Gosauschichten, Ostalpen . 04 II 154
— Strobeli u. patelliformis, Italien (Parma), Neogen . . . . . 02 I 154
— Woolmani, Kreide, New Jersey . . . . 01 II 326
Trochodiadema abramense, Kreide . . . . . 01 II 321
Trochomorphi, Trias, Hallstatt . . . . . 02 I 145
Trochus, Jura, England 01 I 513
— n. sp., Kreide, Rustschuk . . . . . 1900 I *45*
— chatillonensis, Renggeri-Zone, Berner Jura 01 I 139
— Dumasi u. gouetensis, Eocän, Loire inférieure 03 I 128
— expunctulatus, Faluns, Touraine . . . 04 II 460
— granellensis, Priabona-Schichten . . . . . 04 I 283
— insularis, Quiriquinae, Steinmanni u. unio, Quiriquina-Schichten, Chile . . . . . BB XVIII *194*
— lüneburgensis, Senon 03 II 274
— Mariae und Boehmi, Braunschweig u. Ilsede, Untersenon . . 02 I 128
— Marioni, Maïre b. Marseille, ob. Aptien . . 01 I 468
— rotelloïdes, Quiriquina-Schichten, Chile . BB XVIII *198*
— spiralis, Kreide, Aquilaner Abruzzen. . . 04 I 98
— Vinassai u. Fucinii, Zone d. Lioc. opalinum, Rossano in Calabrien . . . . . 1900 II 453
Trögerit, Schneeberg, Krystalle . . . . . 01 I 202
Trogkofelschichten, karn. Alpen u. Karawanken, Brachiopoden. . . . 01 II 118
Troglodytenwohnung, Vayes, Val di Susa, Steinwerkzeuge (Jadeit, Chloromelanit etc.) 03 II 370
Trogontherium Cuvieri, Themsethal . . . . 1904 II 465
Troilit
— heteromorphe Modification . . . . . 1900 II 348
— Ballinoo, im Meteoriten . . . . . 02 I 367
— Toluca-Mañi-Eisen . 04 II *118*
Tromometer, Störung durch die Atmosphäre 03 I 49
Tropfeis der Eishöhlen . 1900 I 208
Trophon paranaensis u. cfr. patagonicus, Paraná-Stufe . . . . . BB XIV *219*
Tropidoceras Stefanii u. Zitteli, Lias, Centralapennin . . . . . 01 I 165
Tropische Flora u. geologische Bedeutung . CBl 1900 *274*
— Inseln, cretac. und jüngere Ablagerungen mit Lithothamnium . CBl 1901 *161*
Tropites-Kalke, San Stefano, Cadore . . . . 01 I 462
Trübe Lösungen, Klärung durch Elektrolyte u. Nichtleiter . . . . . 03 I 453
Truncatulina, Tertiär, Italien . . . . . 1900 I 318
— Dutemplei, grosserugosa, lobatula, osnabrugensis, propinqua u. Ungeriana, Bryozoenhorizont, Priabona . . . . . 1901 I *128. 129*
— favosoides, oberbayr. Alpen, Kreidemergel 02 I 155
Trypanostylus cylindricus u. rectelineatus, mitteldeutscher Muschelkalk . . . . . 04 I 314
Tschermak'sches Gesetz der Feldspathe . . . 03 I 23. 24
Tschernosem, Russland . 01 II 66
— Verwitterung . . . 01 I 231
Tschititschun, Tibet, Fauna d. Unter-Perm (Permocarbon) . . . 01 I 274
Tschokrak-Schichten, Miocän, kasp. Länder 01 I 127
Tschukotskii-Halbinsel, Geologie . . . . . CBl 1901 215
Tuba praecursor, Turon, Frankreich . . . . 1900 II 286
— reticulata, Kreide, Mt. Laurel N. J. . . 01 II 300

Tuberculopleura anomala, Kulogorae u. simensis, oberpalaeoz. Russland . . . . . 1901 I 311
Tubicaulis, Cotta . . . 1900 I 484
— Rothliegendes, Chemnitz . . . . . 02 II 492
Tubulostium pupoides, Kreide, Patagonien . 02 II 435
Tucheler Haide, Quartär 02 I 124
Tudicla Beushauseni, Senon, Biewende bei Wolfenbüttel . . . . 01 II 297
Tübingen
— geolog.-mineralog. Institut u. Meteoriten . CBl 1904 *673*
— Hochterrasse u. Steppenfauna . . . . . 1900 I *143*
Tüffer, Steiermark, Miocän, Fische . . . . 01 I 307
Türkei
— Gesteine der an Griechenland grenzenden Länder . . . . . BB XVIII *1*
— Kohlen u. Petroleum der europäischen 1904 II 80 CBl 1902 247
Türkis
— Zusammensetzung . 01 II 357
— Nordamerika . . . . 1900 I 200 1901 I 32 03 II 41
— —, Vorkommen als Edelstein 1904 II 367 CBl 1902 404. 407
— Mohave Co., Arizona 1900 I 194
— Neu-Mexico, chem. . 1900 II 32
— südl. Thüringen . . 02 I 187
Tuffbreccie, oberdevon., Langenaubach b. Haiger 02 II 112
Tuffe
— Erbendorf, Oberpfalz, von Quarzporphyrit . 04 II *578*
— Gleichenberg, Steiermark . . . . . 04 I 60
— Lambay-Insel, Irland, in Bala beds . . . . 1900 I 271
— Mexico, vulcanische . 1900 II 232
— Palatin (Rom), vulcanische . . . . . 04 II 422
— San Venanzio, Umbrien, olivinreiche . 1900 II 373
— Ulu Rawas, Süd-Sumatra, vulcanische BB XVIII *450*
— u. Breccien, vulcan., Waitemata series, Neuseeland . . . . . 04 II 253
Tuff, siehe auch Kalktuff und Travertin.
Tuffähnliche Intrusivgesteine, Irland . . . 1903 I 75
Tufferfüllte Ausbruchsröhre, Hessen . . . CBl 1902 *353*
Tuffoid, Vogesen . . . 01 I 61
Tula, Gouv., Geologie . 03 II 249
Tully-Fauna d. oberdev. Pyritlagers, New York 04 I 427
Tungstein, siehe Scheelit.
Tunis
— Eocän . . . . . 01 II 448
— Infracretacé . . . . 02 II 115
— Senon, besondere Facies . . . . . 01 II 281
Tunugdliarfjord, Grönland, Mineralien 1900 I 349. 350
Tupersiatsiap, Grönland, Mineralien . . . . . 1900 I 350
Turbinaria (?) alabamensis, Palaeogen, Nordamerika . . . . . 04 I 470
Turbinella subcraticulata, Paraná-Stufe . . . BB XIV *219*
Turbinidae, Jura, England 01 I 514
Turbinolina claibornensis, insignifica und wantubbensis, Palaeogen, Nordamerika . 04 I 468
Turbo euagatma u. inermis, Oligocän, venet. Voralpen . . . . . 01 II 282
— Fruchti, Braunschweig und Ilsede, Untersenon . . . . 02 I 128
— Kobyi und Rollieri, Renggeri-Schichten. Berner Jura . . . . 01 I 139
— Lecointreae, Faluns, Touraine . . . . . 01 I 478
— Ombonii, Priabona-Schichten . . . . . 04 I 283
— silanus, Zone d. Lioc. opalinum, Rossano in Calabrien . . . . . 1900 II 453
Turbonellina chatzepetovkensis u. kamenkensis, oberpalaeoz., Russland . . . . . 01 I 311
Turcicula (?) katrabocensis, Rothe Kalke, Trias, Bakonywald . 02 II 305
Turgit
— Rovečin, Mähren . . 1900 I 25
— Russland . . . . . 04 II 416

Turgit
— Russland, Eisenerzlager des centralen . 1901 II 407
— Ural, Entstehung . . 03 I 265
— —, Bakal, Bildung . 02 II 366
— —, Uspenskij-Gruben im südl. . . . . 01 II 177
Turkestan
— Geologie . . . . . CBl 1903 86
— Kreide . . . . . 03 II 408
Turmalin
— chemisch . . 1900 II 22. 25. 26
— Constitution . . . . 01 II 23
— Dielektricitätsconstante . . . . . 03 II 8
— gewöhnl. Umwandlung 03 I 32
— in Erzlagerstätten . 04 II 183
— Kirchhoff'sches Gesetz über Emission u. Absorption . . . . . 03 II 177
— Krystallform . . . . 03 II 177
— kryst. Constanten und deren Abhängigkeit v. Zusammensetzung CBl 1901 15
— Lichtbewegung und Brechungsexponenten CBl 1901 *299*
— Lichtbrechungsverhältnisse . . . . . 03 II 332
— magnet. Influenz . . BB XIX *419*
— Mischungsgesetz . . 03 I 31
— optisch . . . . . 01 II 334
— Polychroismus . . . 04 II 343
— Pyroelektricität . . CBl 1902 86
— secundäre Wachsthumserscheinungen im Itacolumit . . . 1900 I 217
— verwachsen mit Glimmer . . . . . BB XVI *388*
— — mit Muscovit . . CBl 1902 *354*
— Baveno, im Granit . 03 II 34
— —, — von Montorfano 04 I 182
— Binnenthal . . . . . 04 I 180
— Bobruvka, Mähren . 03 I 201
— Brasilien, roth u. grün 1900 I 33
— Brassac (Tarn), Lithion-, im Pegmatit 03 I 206
— Californien, Lagerstätten des südl. . . 04 II 356
— Carrara, im Marmor 01 I 30
— Castailhac (Aveyron), eisenhaltig . . . . . 03 I 33
— Ceylon, Kryst. etc. 1902 I 178. 195
— Eibenstock, Granit . 02 II 53
— Elba, neue Varietät . 1900 I 192
— —, Pleochroismus u. Polychroismus . . . 01 II 24
Turmalin
— Haddam Neck, Conn., im Granit . . . . . 1903 II 186
— Kinkardineshire, im Chloritoidgestein . . 1900 I 231
— Meldon, Dartmoor, im weissen Granit . . . 03 I 420
— Mte. Mulatto b. Predazzo, m. Kupferkies 04 II 184
— Nordamerika 1901 I 32 03 II 39
— —, Vorkommen als Edelstein 1900 I 200 CBl 1902 404. 406
— Old Hampshire Co., Massachusetts . . . 01 I 34
— Oulx, ob. Dora Riparia, im Gyps . . . . 1900 I 27
— Pisek, Böhmen, im Pegmatit, Krystalle 1901 II 203 03 II 32
— Portugal, im Staubfall vom Januar 1902 CBl 1902 *260*
— Radautha l, im Pegmatit . . . . . 03 II 337
— Senftenberg, im Pegmatit . . . . . 03 I 401
— Tessflussgerölle, Mähren . . . . . CBl 1901 *444*
— Veltlin, im Pegmatit des oberen . . . . . 1900 II 362
Turmalinaplit, Nicolowitz, Mähren . . . 02 II 422
Turmalincontactzonen, Orteler Alpen, am Pegmatit . . . . . 04 II 209
Turmalinfelsgeschiebe im Quartär, England . . 01 II 455
Turmalingranit, Miltitz, Sachsen . . . . . 04 I 39
Turmalinisirte Gesteine, Zinnerzlagerstätte, Mt. Bischoff . . . . 01 I 424
— Sandsteine, südwestl. England . . . . . 1900 II 404
Turmalinisirung, Erzlagerstätten zwischen Klingenthal u. Grasslitz . . . . . 03 I 442
Turmalinschiefer, Belcher Hill, Colorado . 1900 II 26
Turnerit, Prägratten . 04 II 29
Turnus dubius, Kreide, Patagonien . . . . 02 II 435
Turon, aquitan. Becken, Frankreich . . . . . 02 I 278

Turon
— Nettlingen b. Hildesheim, Alter . CBl 1902 *179. 305*
— Portugal . . . . . 1902 I 452
— —, Ammoniten . . . 1900 II 476
— siehe auch Kreide.
Turrilites, südind. Kreide 1900 I 442
— circumtaeniatus, südind. Kreide . . . . 1900 I 442
— interruptus, ob. Kreide, Ürmös, Siebenbürgen 01 I 469
— spinosus, südind. Kreide . . . . . 1900 I 442
Turritella Ameghinoi u. malaspina, Kreide, Pico Salamanca, Argentinien . . . . . 04 II 287
— americana u. indeterminata, Paraná-Stufe BB XIV *221*
— atamanica, 2. Medit.-Stufe, Novotcherkask 02 II 120
— baskuntschakensis, Kreide, Astrachan-Steppe. . . . . 04 II 432
— Boghosi (= heluanensis), pharaonica (= angulata) u. polytaeniata, Egypten, Nummulitenfauna . 02 I 464
— Burckhardti, Kreide, Roca, Argentinien . 04 II 287
— Capellinii, Miocän, Mti. Livornesi . . . 04 I 288
— dorsetensis, Jura, England . . . . . 01 I 513
— Koeneni, liscaviensis, oolithica u. striata, mitteldeutsch. Muschelkalk . . . . . 04 I 313
— nodioexcavata, Turon, Frankreich. . . . . 1900 II 286
— pompejana, Tertiär, Lavacille b. Bassano 01 II 129
— quadrilira, Kreide, Mt. Laurel, N. J. . . 01 II 300
Turritellidae . . . . . 02 II 149
— Jura, England . . . 01 I 512
Tusnad, Bad, Siebenbürgen, vulcan. Auswürflinge . . . . . 04 I 60
Tusotheutis longus, Niobraragruppe, Kansas 01 II 298
Tuzla, Bosnien, Geologie u. Wasserversorgung 03 I 437
Tylodendron, Rothliegendes, Chemnitz . . . 02 II 492
Tylosaurus dyspelor, vollständ. Skelett, Kansaskreide . . . . . 1901 I 157
Tylostoma aff. aequiaxis, Kreide, Peru . . . . BB XVII *273*
Tylotrochus, Hallstatt, Trias . . . . . 02 I 144
Typhis hortensis, Priabona-Schichten . . . 04 I 283
— sinuosus, Eocän, Loire inférieure . . . . . 03 I 128
Typilobus semseyanus, ungar. Eocän . . . 1900 II 474
Typotheria, Pyrotherium-Schichten, Argentin. 1900 II 298
Typotheriidae . . . . . 1900 II 457
Tysonit, Pikes Peak, Colorado, Analyse . 01 I 33

U.

Ubaghsia favosites, Obersenon, Maestricht . . 02 II 153
Uckermark u. Vorpommern, Geol. Karten 01 I 254
Ueberguss-Schichtung, Südseeinsel Rotuma . 1900 I 238
Ueberlingen, Tunnel im Tertiär . . . . . 03 I 471
Uebernthal-Hartenrod-Bahn, Diabase . . . BB XVII *77*
Ueberquader, sächs. Elbthalgebirge, Alter . 1900 II 438
Ueberschiebungen
— Alpen . . . . . CBl 1902 250
— Dillgebiet, grosse Fläche . . . . . 03 II 93
— Iseogebiet . . . . . CBl 1901 *311*
— Man . . . . . 01 I 408
— rhätische . . . . . CBl 1902 114
— Rhônethal . . . . . 1900 I 87
— siehe auch Dislocationen etc.
Uebertiefung der Alpenthäler . . . . . 02 II 282
— Tessinthal . . . . . 04 I 374
Ürmös, Siebenbürgen, ob. Kreide . . . . . 01 I 469
Uferlinien, plioc. u. quart., franz. Mittelmeerküsten . . . . . 04 I 101
Uferterrassen, Rothes Meer, pleistocäne Conchylien . . . . . 01 II 291
Uferwälle, Seen d. Bezirks Minussinsk (Sibirien) CBl 1901 534

Uggowitzer Breccie in den Grödener Schichten, Uggowitz . . . 1902 I 261
Uhligina (Uvigerina) Uhligi, Mioc., Karwin 03 II 152
Uifak, eisenführende Gesteine . . . . . 03 I 183
Uinta-bed, Nord-Amerika, Landsäugethiere . . 01 II 138
Uintacyon edax, Eocän, Marsh Museum . . . 04 I 448
— promicrodon u. pugnax, Tertiär, Nordamerika . . . . . 02 I 135
Uinta-Eocän, Selenodonten 02 II 291
Uintatherium, Verwandtschaft . . . . . 02 I 473
Ulexit, künstlich . . . 03 I 188
Ulm, Geologie . . . . . 1900 I 257
Ulm—Immendingen, älteste Donauschotter BB XIX *1*
Ulricehamn, Schweden, Geologie . . . . . 01 I 442
Ulsterian, Devon, New York . . . . . 01 II 266
Ulten-Iffinger-Masse bei Meran, Contact . . . 1900 II 391
Ultenthal, Tirol, Olivingesteine . . . . . 1900 II 392
Ultenthaler Alpen, südl. von Faltschauer . . 04 I 61
Ultima Esperanza, Patagonien, Säugethiere und Kunstprod. der Caverna Eberhardt . 04 I 121
— Esperanza-Höhle, Patagonien, Grypotherium = Neomylodon Listai . . . . . 01 II 309
Ultrabasische Magmen . CBl 1900 184
Ultramikroskopische Theilchen, Sichtbarmachung 04 I 161
Ultrapithecus robustus. Tertiär, La Plata . 03 II 292
Ulu Rawas, Süd-Sumatra, Geologie und Petrographie . . . . . BB XVIII *409*
— —, Gesteinsumwandlung durch erzzuführ. Processe . . . . . BB XVIII *458*
Umbertide, Mittelitalien, Eocän . . . . . 01 II 128
Umbonium graecense, Tegel, Gross-Florian 02 I 472
Umbra, Bogoslowsk'sches [illegible], Ural . . 1900 I 345
Umbra, Nordamerika, Production . . . . . 1904 II 16
Umbrien
— Eocän u. Miocän 1901 II 128 04 I 277
— Geologie . . . . . 1900 II 423
— Miocän . . . . 1902 I 119. 120
— Tektonik d. Trias . 04 II 422
Umformung durch Druck, Kalkspathkrystalle u. Marmor . . . . . 03 I *160*
Umläufer, Hornblendeandesit, Stenzelberg CBl 1903 *227*
Umlagerung u. Structur mimet. Krystalle . . BB XIV *226*
Umptekas u. Umptekos . CBl 1903 697
Umptekit, Cabo Frio bei Rio de Janeiro . . . 02 II 400
— Umpjaur-Ufer, graph. Darstellung d. Zusammensetzung . . . 1900 I *111*
Umschmelzungsproducte versch. Gesteine . . BB XIX *152*
Umwandlung d. Mischkrystalle von $NaNO_3$ mit KNO_3 u. $NaNO_3$ mit $AgNO_3$ 01 I 340
— und Bildung d. Mischkrystalle v. Quecksilberchlorid u. -Bromid 01 I 341
— polymorphe, bei hohem Druck . . . . . CBl 1901 141
— polymorpher Substanzen . . . 1903 I 364 BB XIV *226*
Umwandlungselemente, 6. Art (Zinn) . . . 01 I 339
Umwandlungspunkt monotrop-dimorpher Körper . . . . . 1901 I 3. 339
Umwandlungspunkte u. -Typen bei Mischkrystallen . . . . 1901 I 179. 180
Una-Una-Vulcan, Celebes 03 II 86
Uncinulus (Eatonia) antiquus, eifeliensis und peregrinus, Untercoblenz, Oberstadtfeld . 03 I 528
Undularia concava, dux u. tenuicarinata, mitteldeutsch. Muschelkalk . . . . . 04 I 314
— scalata var. alsatica, Muschelsandstein, Sulzbad . . . . . 02 I 143
Ungarisch-Altenburg, Bodenkarte . . . . . 01 II 90

Ungarische Bezirke, Geologie . . . . . 1903 II 241 ff.
Ungarn
— agro-geol. Aufnahmen 1904 I 256
— Mineralkohlen . . . CBl 1904 52
— Tertiär, Decapodenfauna . . . . . 1900 II 473
— Bakony, Trias, siehe Bakony p. 235.
— u. Siebenbürgen, Kaolinlagerstätten . . . BB XV 285
Ungulata . . . . . 04 II 315
— palaeont. Geschichte 03 II 288
— Pyrotherium-Schichten, Argentinien . . 1900 II 298
Unharmonisches Verhältnis, rationales, von 4 Flächen in einer Zone . . . . . 02 II 173
Unicardium exiguum u. paturattense, ob. Oxford, Berner Jura . 03 I 323
Unio Dollfusi u. gondavensis, Unter-Eocän 02 I 148
— Douglassi und Farri, Kreide, Montana . . 04 I 271
— Willcocksi, Pleistocän, Nilthal . . . . . 01 II 300
Universalgoniometer
— mit mehr als zwei Drehaxen . . . . . 01 II 2
— Anwendung zur Auflösung sphär. Dreiecke . . . . . 04 I 159
— siehe auch Theodolitgoniometer.
Universalmethode . . . 03 I 1
Universalopt. Untersuchungen, Feldspäthe 04 II 20
Universaltischchen, vollkommenes . . . . . 04 II 2
Unstrut, alter Lauf . . 03 II 266
Unstrutgebiet, pleistocäne fossilführ. Flussablagerungen . . . 04 II 441
Unstrutkies mit Corbula fluminalis u. Melanopsis acicularis, Bottendorf bei Rossleben, Thüringen . . . . . 04 I 103
Untergrundwasser, Ursache des Gesteinsmetamorphismus . . 01 I 218
Unterkühlung v. Schmelzflüssen polymorpher Stoffe . . . . . 03 II 317
Unteroolith, Grossbritannien, Hildoceratidae 1900 I 314
Unterricht, krystallographischer, Methodik . CBl 1903 5
Unterseeische Gesteine, Instrument zur Untersuchung . . . . . 01 II 53
Upsalagranit, Diluv.-Geschiebe, Sylt . . . . 01 I 109
Ural
— Brauneisenerz d. Reviers Kisel . . . . . 04 II 415
— Devon mit Calceola sandalina, Westabhang . . . . . CBl 1901 534
— Einebnung . . . . . 01 I 392
— Eisenerze d. östl., an Syenit gebunden . . 1900 I 81
— Erzlagerstätten 1903 II 226 ff., 235. 366
— — d. südlichen 1901 II 402 04 I 85
— Geologie des nördl. . 03 II 362
— Gesteine . . . . . 02 II 387
— — m. Natriumpyroxen im Ilmengebirge . . 03 II 368
— Goldfelder, Kotschkar CBl 1902 345
— Goldminen . . . . . 01 I 79
— Goldquarzgänge am Wischera-Fluss . . . CBl 1902 410
— Mineralien . . . . . 01 II 205
— Platinlagerstätten 1904 II 347. 411
— — am Tura . . . . 1900 I 339
— Pseudom. v. Steatit, Serpentin u. Epidot nach Olivin . . . . 01 II 193
— quartäre Säugethiere 03 I 324
— Smaragdgruben . . . 01 II 190
Uralit
— aufgewachsen (Traversellit) . . . . . 04 I 164
— Ardennen, Diallag- . 02 II 222
— Koswinsky Kamen, Ural . . . . . 02 II 387
Uralitdiabas, Brünn . . 04 II 386
Uralitgabbro, nördlicher Ural . . . . . 03 II 365
Uralitisirter Gabbro, Pallet, Loire inférieure . 1900 II 400
Uralitporphyr, Finnland, archäisch . . . . . 01 II 61
Uralitporphyrit, Kola . . 02 II 385
Ural-Rapakiwi u. Contact 1900 I 389
Uranaster Kinahani . . 1900 II 488
Uranerze, Nordamerika, Production 1903 I 35 CBl 1902 245

Uranglimmer
— Krystallform 1900 I 18 1901 I 203
— Polychroismus . . . 04 II 344
— Radioactivität . . . CBl 1904 *207*
— Verwachsungen. . . BB XVI *397*
— Wassergehalt u. Entwässerung . . . CBl 1901 *618. 709*
— Schmiedeberg (Erzgebirge) . . . . . CBl 1902 442
— Utsch-Kirtan, Turkestan, Anal. . . . 02 II 365
— Zschorlau (Sachsen), Stilpnosiderit nach Uranit . . . . . 03 I 181
— siehe auch Kalk- u. Kupferuranit.
Uranmineralien, Alai-Gebirge, Mittel-Asien . CBl 1900 299
Uranochalcit (Urangrün z. Th.), Radioactivität . . . . . CBl 1904 *207*
Uranogummit (Urangummierz), Mitchell Co., N. C., Radioactivität . . . . . CBl 1904 *207*
Uranophan, Georgia . . 03 I 392
— Villeneuve, Ottawa Co., Canada . . . . 02 II 38
Uranopilit (Uranocker z. Th.), Radioactivität . CBl 1904 *207*
Uranospinit, künstl., Krystallform . . . . . 01 I 203
Uranotil, Radioactivität CBl 1904 *207*
Uranpecherz, Erzgebirge, Radioactivität . . . CBl 1904 *207*
Uranschitz (Laibach), Höhenbestimmungen 1900 II 212
Uranyl-Doppelacetate, Kryst. . . . . 02 II 179
Urausscheidungen in rhein. Basalten . . . 04 I 205
Urenchelys anglicus, Lower Chalk, Sussex . 02 II 304
Urgebirge, Sarjektrakt, dynamometamorphosirt . . . . . CBl 1901 441
Urgonien, Bulgarien . . CBl 1901 569
— siehe auch bei Kreide.
Urocyon, Nordamerika, Tertiär . . . . . 02 I 137
Urosalpinx elegans, patag. Formation . . . 02 I 295
Urquelle, Teplitz, Verhalten beim Lissaboner Erdbeben 1755 1900 I 203
Ursa-Stufe, Devon, Bäreninsel, Flora 1901 II 258 1902 II 318
Ursavus
— Miocän, Colorado . . 04 I 295
— Tertiär . . . . . 1900 II 142
Ursus od. Ursavus od. Hyänarctos . . . . CBl 1900 *261*
— etruscus, Val di Magra 1900 II 141
— haplodon, Knochenhöhle, Fort Kennedy 02 II 140
— libycus, Quartär, Algerien . . . . . 01 I 148
— primaevus, La Grive St. Alban, Miocän . 03 II 128
Urtas u. Urtos . . . . CBl 1903 697
Urtit, Kola . . . . . 02 II 378
Urville siehe D'Urville.
Ussurigebiet, südliches, Trias . . . . . 1900 II 435
Ustje—Berschad-Eisenbahn, Südrussland, Geologie . . . . . 02 II 396
Utah, Erzlagerstätten d. Tintic-Districts . . . 01 II 414
Utahit, Tarapaca, Chile 1900 II 369
Uvigerina angulosa und gracilis, Bryozoenhorizont, Priabona . 01 I *120*
— laubeana und Uhligi (Uhligia), Miocän, Karwin . . . . . 03 II 152
— bononensis, Pliocän, Bologna . . . . . 1900 I 149
Uwarowit, Kuusjärvi . . 02 II 362

V.

Vaginulina cfr. recta, Bryozoenhorizont. Priabona . . . . . 01 I *124*
Val di Magra, Pliocän, Ursus etruscus . . . 1900 II 141
Valangien-Mergel, verkieste Ammoniten, Südost-Frankreich . 03 II 446
Valangin, Neocom . . . 1900 I 283
Valanginien
— Juragebirge . . . . 02 I 446
— Teschen . . . . . 02 II 146
Valdaspra, Massa maritima, Mineralien . . 1900 I 29
Valdemunitella, Frankreich, Kreide . . . . 02 I 490
— Marssonii, Frankreich, Kreide . . . . 02 I 491

Valdivia-Expedition, Grundproben . . . . CBl 1901 *525*
Valentinit
— Westfalen, m. Senarmontit, Caspari-Zeche, Arnsberg . . . . . CBl 1900 *96*
— Cetine di Cotorniano, Prov. Siena . . . . 1902 II 36
— Kostaïnik, Serbien . 03 I 91
— Su Suergiu, Sardinien 01 II 14
Valvata andreana und Geyeri (Cincinna) . . 04 II 472
— piscinalis var. kükenurica, Ost- u. Central-Asien . . . . . 03 I 543
Valvata-Mergel m. Brackwasser-Ostrakoden, Pleistocän, Memleben a. Unstrut . . . . . CBl 1903 *586*
Valvulina Davidiana, Funafuti-Atoll . . . 04 II 160
— Schwageri, Alveolinenkalk, libysche Stufe, Egypten . . . . . 03 I 484
Vanadinit
— Brechungsexponenten CBl 1903 149
— von Cadmium, künstl. 01 II 4
— Bena (de) Padru, Sardinien . . . . . 04 I 360
— Hillsboro, New Mexico (Endlichit) . . . . . 02 I 186
— Little Belt Mountains, Montana . . . . . 01 II 358
Vanadium in amerikan. Eruptivgesteinen und Mineralien . . . . . 1900 II 68
Vanadiumerze, Verein. Staaten, Prod. 1901 04 I 35
Vanikoro Bourdoti (Narica), Loire inférieure, Eocän . . . . . 03 I 127
— Dathei, Braunschweig u. Ilsede, Untersenon 02 I 128
Vanikoropsis (?) Stuarti, Kreide, Südaustralien 04 I 119
Vanthoffit
— Magdeburg-Halberstadter Becken, in Salzlagern . . . . . 03 I 37
— Wilhelmshall, i. Kalisalzlager . . . . . 04 I 335
VaranusHofmanni, bayr.-schwäb. Dinotheriensand . . 1901 I 498 04 II 140
Vareš, Bosnien, Eisenerze u. Geologie . . 01 I 428
Variationen von Gesteinen, Michigan . . . 1900 I 73
Varingas u. Varingos . CBl 1903 696
Variolit
— randliches Auftreten CBl 1900 188
— Celebes . . . . . 03 I 424
— Jenissei . . . . . 1900 I 387
— Ortakioi, Dobrudscha 1900 II 393
— Rumänien . . . . . 03 I 419
Variolitgerölle, Verbreitung in Schlesien . . 03 I 235
Variolitischer Dolerit, Hoher Berg b. Ofleiden BB XVIII *503. 520*
Variolitischer Serpentin, Anglesey . . . . . 01 I 75
Variscit, isomorph, mit Strengit 1903 I 396 CBl 1901 505
Vascoceras barcoicensis u. Grossouvrei, Kreide, Portugal . . . . . 1900 II 477
Vaucluse, cañon de Régalon, Urgonien . . 01 II 283
Veglia-Insel, Geologie . 04 I 257
Vélay, Geologie . . . . CBl 1900 *309*
Veltlin
— Gabbrogesteine im oberen . . . . . BB XVII *313*
— Gneiss mit Anatas u. Brookit . . . . . 1900 I 190
— Mineralien der Pegmatite im oberen . . 1900 II 360
— Sondalo, Mineralien . 01 II 369
Venanzio, San, Umbrien, vulcan. Tuff . . . . 1900 II 372
Venanzit = Euktolith . 1900 II 218
Vendée, Infralias 1904 II 114. 429 CBl 1902 284
Venericardia Bosniaskii, Pliocän, Val d'Era, Toscana . . . . . 01 II 481
— crassicostata, Paraná-Stufe . . . . . BB XIV *200*
— planicosta u. densata, Eocän . . . . . 02 II 310
— triparticosta, Egypten, Nummulitenschichten 02 I 464
Veneridae, Morphologie des Schlosses . BB XIII *145. 153*
Venerinae, Morphologie des Schlosses . . . . BB XIII *176*
Venetianer Alpen
— Kreide, Gliederung . 1900 II 121
— Oligocän-Mollusken . 1900 II 440
— Priabona-Schichten, Fauna . . 1901 I *111* 04 I 282
— tertiäre Echiniden . 1900 II 161

Venetianer Alpen
— tertiäre Korallen . . CBl 1903 484
— Trias. Brachiopoden und Muscheln . . . 1904 I 114
Venetianer Voralpen. Oligocän . . . . . 01 II 282
— siehe Voralpen.
Venjanporphyrit. Diluv.-Geschiebe. Sylt . . . 01 I *105*
Vent. Cambrium . . . 01 II 421
Vent-Stufe. Cambrium . 01 II 421
Ventricaria Hallstatt. Trias 02 I 144
Ventriculites borussicus u. cavernosus. senon. ost- und westpreuss. Diluvial-Geschiebe . 04 II 159
Venus. Morphologie des Schlosses . . . . . BB XIII *178*
— anca. compressa. Hiazi. d'Orbignyanus. Ferrieri. Hallii. hualpensis. Neomeris. Nephele. pacifica. pencana. rustica. scalenia u. steinmanni. Quiriquina-Schichten. Chile BB XVIII *243*
— brasiliana. Burmeisteri. Münsteri und paranensis. Paraná-Stufe . . . . . BB XIV *205*
— Quadrae u. navicula. Quiriquina-Schichten. Chile . . . . . BB XVIII *251*
— Dainellii. Cenoman. Galatina . . . . . 04 I 120
— fallax. Miocän. Anjou 04 I 151
— konkensis. Tertiär. Konka-Fluss . . . . 1900 II 123
— pliocenica var. popogiae u. pseudoscalaris. Miocän. Mti. Livornesi 04 I 288
Venus konkensis-Schichten. Tertiär. Konka-Fluss . . . . . 1900 II 123
Veränderung d. Winkel d. Krystalle während des Wachsthums . . 04 II 329
Veränderungen, recente geologische. Central- und Nordasien . . . CBl 1901 536
Verania. Hallstatt. Trias 02 I 144
Verbrennung. Dauer des Zeitalters der . . . CBl 1901 122
Verbreitung v. Meer- und Süsswasser . . 1900 II 47
Vereinigte Staaten
— Mineralproduction 1897 1900 I 198
— — 1901 . . . . . 04 I 33
— Verzeichniss der Höhen . . . . . CBl 1900 159
— u. Canada. geolog. u. mineralog. Sammlungen . . . . . 1900 I 327
— siehe auch Nordamerika.
Vereisung. arktisches Gebiet . . . . . 02 I 386
Verespatak. Grubenbezirk. Geologie . . . 03 II 243
Verkieselung der Gesteine. Kalahari . . 03 I 55
— kalkiger. thierischer Gebilde . . . . . 01 I 70
Verkieselungsprocess fossiler Hölzer. Rothliegendes. Chemnitz . 02 II 492
Vermiculit. Rocky Hill. New Jersey. im Kalkspath . . . . . 02 I 361
Verneuilina cfr. oberburgensis. Bryozoenhorizont. Priabona . . . 01 I *118*
Verona. Miocän 1901 II 129. 130 04 II 260
Verrucano
— Davos . . . . . 01 II 94
— Plessurgebirge um Arosa . . . . . 04 I 241
— Tirol . . . . . 02 I 261
Versammlungen und Sitzungsberichte
— internationaler Geologencongress CBl 1900 241. 305 (Paris 1900).
— — Zoologencongress CBl 1900 138 (Berlin).

Belgien.

— Société belge de géologie. de paléontologie et de hydrologie CBl 1900 72 (1900).

Deutschland.

— Deutsche geol. Gesellsch. CBl 1900 80 (4. April 1900. 103. 273 (13.—16. Sept. 1900. Frankfurt a. M.). CBl 1901 508 (4.—7. Okt. 1901, Halle a. S.).
— Naturwissensch. Verein für Sachsen und Thüringen in Halle a. S. CBl 1901 282 (März 1901).
— Oberrhein. geol. g. Verein CBl 1900 28 (1900. Donaueschingen). CBl 1901 409 (1901. Diedenhofen).

Versammlungen und Sitzungsberichte
— Versammlung deutscher Naturforscher u. Aerzte CBl 1900 165 (1900. Aachen). CBl 1901 252. 507. 693. 760 (Hamburg 1901).

England.
— London, geolog. Gesellschaft CBl 1900 70 (23. Mai 1900), 103 (6. Juni 1900). 236 (20. Juni 1900). CBl 1901 24 (7. Nov. 1900), 53 (21. Nov. 1900). 180 (5. Dezbr. 1900). 314 (6. Febr. 1901), 536 (6. u. 20. März, 3. u. 24. April u. 8. Mai 1901), 664 (22. Mai 1901). 728 (6. Nov. 1901). CBl 1902 152 (20. Nov., 7. Dezbr. 1901), 314 (8. u. 22. Jan. 1902). 407 (26. Febr. 1902), 474 (12. u. 26. März, 16. u. 30. April 1902), 569 (28. Mai, 11. u. 18. Juni 1902). CBl 1904 28 (14. Nov. 1903), 57 (18. Nov. 1903). 123 (6. Jan. 1904), 219 (3. Febr. 1904), 310 (24. Febr. 1904).
— —, geologist's association (CBl 1900 30 (1. Juni 1900), 105 (Circular 10 u. 11). CBl 1901 54 (7. Sept. 1900), 347 (1. März 1901).
— —, mineralog. Gesellsch. CBl 1901 373 (19. März 1901), 507 (18. Juni 1901), 761 (12. Nov. 1901). CBl 1902 186 (4. Febr. 1902). 313 (23. März 1902), 442 (10. Juni 1902). CBl 1903 24 (18. Nov. 1902), 149 (3. Febr. 1903), 333 (24. März 1903), 425 (9. Juni 1903). CBl 1904 56 (17. Nov. 1903), 314 (22. März 1904), 442 (7. Juni 1904).
— —, zoolog. Gesellsch. CBl 1901 52 (20. Nov. 1900).
— Manchester, Litterary and philosophical society CBl 1901 25 (20. Okt. 1900).
— Stratford, Essex field club CBl 1901 54 (26. Nov. 1900).

Frankreich.
— Franz. geolog. Gesellsch. CBl 1901 177 (9. Jan, 1901). 475 (4. Febr. 1901). 505 (25. Febr. 1901), 534 (18. März, 1. April 1901), 569 (30. Mai 1901). 666 (17. Juni 1901). CBl 1902 25 (4. u. 18. Nov., 2. Dezbr. 1901), 212 (16. Dezbr. 1901, 6. u. 20. Jan. 1902). 248 (3. u. 17. Febr. 1902), 284 (3. März 1902), 473 (6. März, 3. April 1902), 603 (26. Mai 1902), 699 (16. Juni 1902). CBl 1903 85 (3. u. 17. Nov., 1. u. 15. Dezbr. 1902). CBl 1904 91 (21. Dezbr. 1903). 121 (18. Jan. 1904), 306 (1. u. 22. Febr., 7. u. 21. März 1904).

Neu-Süd-Wales.
— Linnean society CBl 1901 26 (26. Nov. 1900) 90 (31. Okt. 1900).
— Royal society CBl 1901 52 (20. Nov. 1901).

Oesterreich.
— Akademie d. Wissenschaften, Wien CBl 1902 666 (22. Mai 1902).
— Böhm. Naturf. u. Aerzte CBl 1901 502 (3. Congress in Prag).
— Wiener mineralog Gesellsch. CBl 1902 58 (6. Mai 1901), 151 (2. Dezbr. 1901), 440 (13. Jan. 1902), 665 (3. März 1902). CBl 1903 58 (3. Nov. 1902), 236 (12. Jan. 1903), 424 (9. Febr. 1903), 651 (4. Mai 1903).

Russland.
— St. Petersburg, Geograph. Gesellschaft CBl 1901 124 (29. Nov. 1900). CBl 1902 87 (14. Nov. 1901).
— —, Mineralog. Gesellsch. CBl 1900 298 (19. Sept. 1900). 333 (24. Okt. 1900). CBl 1901 123 (28. Nov. 1900). 205 (7. Jan. 1901), 281 (13. Febr. 1901), 531 (6. März 1901). 726 (18. Sept. 1901). CBl 1902 215 (7. Jan 1902), 410 (5. März, 2. April 1902).
— —, Naturforsch. Gesellschaft CBl 1901 124 (3. Dezbr. 1900), 213. 214 (22. u. 23. Dezbr. 1900, 20. Jan. 1901), 443 (25. Febr., 3. März 1901). 534 (7. April 1901). CBl 1902 85 (3. u. 20. Nov. 1901), 408 (16. Febr. 7. April 1902).

Schweden.
— Geolog. Gesellsch. in Stockholm CBl 1900 30 (5. April 1900), 330 (3. Mai 1900). CBl 1901 183 (4. Nov. 1900). 347 (7. Febr. 1901), 441 (8. Jan. 1901), 476 (7. März 1901), 729 (2. Mai 1901). CBl 1902 246 (7. Nov. 1901), 571 (3. April 1902).

Schweiz.
— Schweizerische naturf. Gesellsch. CBl 1903 425 (Locarno, 2.—5. Sept. 1903).

Serbien.
— Serb. geol. Gesellsch. zu Belgrad CBl 1900 393 (10. Mai 1900).

Versammlungen und Sitzungsberichte Südafrika.
— Southafrican philosophical society CBl 1901 90 (28. Nov. 1900).
Verschiebung d. Küstenlinien . . . . . 1900 I 44
— siehe auch Niveauschwankungen.
Verschmelzungszone beim Gesteinsmetamorphismus . . . . . 01 I 221
Versteinerungen, autochthone u. heterochthone 1900 II 407
Vertebraria
— Verwandtschaft . . . 02 I 495
— Francis bei Johannesburg, Transvaal, Permocarbon . . . . . 02 I 495
Verticalpendelseismograph . . . . . 1900 I *145*
Verwachsung, regelmässige, verschiedener Mineralien . . . . . 1900 I 169 1903 II 168 BB XVI *335*
— chemische Verhältnisse . . . . . BB XVI *456*
— geometrische Verhältnisse . . . . . BB XVI *438*
— Arsen u. Arsenblüthe 01 I 181
— Bleiglanz mit Schwefelkies . . . . . 02 II 329
— Glimmer mit anderen Substanzen . . . . CBl 1902 *353*
— Kupferkies mit Kobaltglanz . . . . . 02 II 329
Verwachsung, nicht zwillingsartige, von Natriumchloratkryst. . 1900 I 328
Verwachsungsketten der Mineralien . . . . . BB XVI *440*
Verwerfungen
— Basler Tafeljura, altmiocäne . . . . . 01 II 107
— Carlisle u. Inverness, entstanden bei Erdbeben . . . . . 04 I 371
— Schwarzwald, prätriadische . . . . . CBl 1900 29
— siehe auch Dislocationen.
Verwitterung
— bas. Eruptivgesteine durch Kalkverlust . 1900 I 54
— concentr. fortschreitend in Sedimentgesteinen . . . . . 1900 II 65
Verwitterung
— d. Gesteine in Indien, untermeerisch . . . 1901 I 229
— oberflächliche, Russland . . . . . 01 I 231
— Alnöit, Manheim, New York . . . . . 1900 II 64
— Granit, Georgia . . 03 I 436
Verwitterungsdecke im Diluvium, Sonnendorf, Thüringen . . . . . 03 II 267
Verwitterungsellipsoide . 03 I 1
Verwitterungsfurchen, pseudoglaciale, Prag CBl 1901 503
Verwitterungsproducte von Kupfermünzen . 04 I 330
Vespertilio antiquus, La Grive St. Alban, Miocän . . . . . 03 II 124
Vestanâ
— Manganapatit . . . 1900 I 193
— Mineralien . . . . . 1900 I 197
Vestanit, Vestanâ . . . 1900 I 197
Vesteraalen, Norwegen, Gabbrogesteine . . . 1900 I 384
Vesuv
— auf antiken Bildern . 01 I 47
— Bildung einer Lavakuppel am Abhang . 03 I 42
— Bleiglanz (Ag-haltig), Breislakit u. Salmiak CBl 1901 *45 ff.*
— Einfluss des atmosph. Wassers auf die Thätigkeit . . . . . 01 II 378
— Eruption am 3. Juli 1895 . . . . . 1900 I 41
— Eruptionen vom Juli 1895 ab 1901 I 215 01 II 207
— Geologie . . . . . 02 I 376 ff.
— Geschichte . . . . . 1900 I 40
— kohlenreiche gebänderte Kalkblöcke . . CBl 1901 *309*
— Lava, Dichte nach Schmelzen . . . . . 01 II *153*
— N-haltige Exhalationsproducte . . . . . 02 I 209
— Salzexhalationen . . 1900 I 175
— Se-, Br- u. J-haltige Fumarolenproducte . 1900 I 52
— Thätigkeit seit 1895 1901 I 215 01 II 207
— — 1895—1899 . . . 01 I 48
— — Juli bis August 1899 01 I 46
— — 1901 . . . . . 03 I 42
— — 1902 u. 1903 . . 04 I 369

Vesuv
— und der alte latiale Vulcan bei Pompeji . 1903 I 42
— verglichen mit Vultur 03 I 41
Vesuvas u. Vesuvos . . CBl 1903 697
Vesuvian
— chem. Constitution . CBl 1902 726
— Doppelbrechung für verschiedene Farben 03 I 359
— magnet. Influenz . . BB XIX *419*
— Polychroismus . . . 04 II 342
— Californien, dichter. (Californit) . . . . 04 II 179
— Civrari, Piemont . . CBl 1903 *81*
— Franklin Furnace, New Jersey . . . . 02 I 361
— Kedabek, Doppelbrechung . . . . . 03 I 4
— Lewis and Clarke County, Montana . . 04 II 36
— Mähren . . . . . CBl 1904 *360*
— Mti. Cimini in vulcan. Blöcken . 1900 I 28 1900 II 364
— Monzoni, Kryst. . . 01 I 196
— Neu-Mexico, Kryst. . 02 II 33
— Nevada. chem. . . . 03 I 389
— Nordamerika . . . . 03 II 39
— Radauthal, Contactmineral . . . . . 03 II 337
— Rocca Nera u. Saulera, Mussa-Ebene im Ala-Thal . . . . . CBl 1900 *41*
— Rocca Rossa, Val di Susa, Krystalle 1902 II 203 CBl 1903 *83*
Vesuvianfels im Serpentin, Paringu, Rumän. 02 I 69
Veszprémer Mergel, Trias, Bakony . . . . . 03 I 125
Vibracella Seguenzai, Pliocän, Ligurien . . 1900 II 158
Vicentin, Schuttkegel . 1900 II 265
— Tektonik . . . . . 1900 II 105
— Tertiär, Korallen . . 02 II 153
— Trias, Ceratiten CBl 1901 *392. 740*
— — u. Perm . . . . 01 II 98
— triassische Eruptivgesteine . . . . . 01 II 104
Vicinale Flächen
— beim Krystallwachsthum . . . . . 04 II 329
— Rationalitätsgesetz . 03 II 158
Victoria, Australien
— Graptolithenablagerungen . . . . . 1900 II 430
— tert. Bryozoen . . . 1900 II 483
Victoria-Nyansa, Westufer, Geologie . . . 1903 I 489
Viellaurit, Vielle-Aure, Pyrenäen 1900 II 21 01 II 57
Viellinge, Theorie und Discussion . . . . . BB XV *562*
Vierwaldstätter See . . 02 I 217
Vieux Beaumont, Basse-Provence, Trias, Lagerung . . . . . 1900 II 264
Viezzenathal b. Predazzo, theralit. Gesteine . . CBl 1903 *6*
Vigläskalk, Corfu . . . CBl 1904 *257*
Vilaine b. Rennes, Tert. CBl 1901 569
Villarsit, Old Hampshire Co., Mass. . . . . 01 I 35
Vindhyan-Series, Ostindien . . . . . 02 I 430
Vindonissa, Hausthierreste . . . . . 03 I 148
Vinica u. Pettau, geol. Karte v. Oesterreich 1900 II 264
Vintschgau, Marmor . . BB XIX *298*
Violait, Kedabek, Kreis Jelisabetpol im Kedabekit . . . . . 03 II 71
Virgalgruppe, skythische Stufe, Salt Range . BB XIV *433*
Virgatites australis, Jura, argent.-chilen. Cordillere . . . . . 04 II 88
Virginia, Silur . . . . 01 I 456
Virgulina Schreibersi, Bryozoenhorizont, Priabona . . . . . 01 I *120*
Visé, Kohlenkalk, Versteinerungen . . . . 01 II 456
Vistilia, Hallstatt, Trias 02 I 144
Viterbo
— Geologie bei Bagnaia 02 I 120
— Mineralien d. errat. Blöcke . . . . . 01 II 354
— pliocäne Lithothamnienkalke . . . 1901 I 475. 476
— Vulcane 1900 II 217 1904 II 216. 217
Vitrea procrystallina, tert. Landschneckenmergel, Oppeln . . . 03 I 540
Vitrina intermedia var. crassitesta, tert. Landschneckenmergel, Oppeln . . . . . 03 I 540
Vitriolblei, siehe Anglesit.
Vitrolles-Etage, Provence 01 II 299
Vivara, Krater . . . . 02 I 404

Viverra modica u. leptorhyncha, La Grive St. Alban, Mioc. . . 1903 II 129
Viverravidae, systemat. Stellung . . . . . 03 II 431
— Eocän, Marsh Collection . . . . . 04 I 449
Viverravus minutus, Eocän, Marsh Collection 04 I 449
Viverridae, Nordamerika, Tertiär . . . . . 02 I 134
Viviana, Hallstatt, Trias 02 I 144
Vivianit
— in Mooren 1901 II 379 03 I 289
— Cornwall, Polychroismus . . . . . 04 II 344
— Rovečin, Mähren . . 1900 I 25
— Teschen, Mähren . . CBl 1904 *360*
Vivipara Eastoni, Tertiär, Melavi-Gruppe, Borneo . . . . . 1900 II 132
Viviparus montanaensis, Kreide, Montana . . 04 I 271
Vizzini, Val di Noto, Sicilien, Basaltgebiet . 03 I 254
Vlegyasza-Gebirge, Ungarn, Gesteine . . . 03 II 72
Vögel
— Beziehung zu Dinosauriern . . . . . 03 I 149
— lebende und fossile, Hand-Liste . . . . 01 I 503
— Osteologie . . . . 1903 II 435 ff.
— Ightham (Kent) in Spalten . . . . . 03 I 564
— Patagonien . . . . 1900 II 467
— Sheppy, London Clay 1900 II 468
— und Säugethiere, aus Pfahlbauten, Glastonbury, Sommerset . . 01 I 155
Vöklinshofen, Ober-Elsass, diluv. Wirbelthiere . . . . . 01 I 494
Vogelsberg
— Lauterbach—Grebenhainer Bahn, Aufschlüsse . . . . . 04 I 46
— vulcan. Durchbrüche 04 II 41
Vogesen
— Glacialbildungen . . 02 I 287
— — d. französischen . 03 I 522
— Schalstein . . . . . 01 I 59
— untercarb. Echiniden d. Rossbergmassivs . 01 II 158
Vogesit, systemat. Stellung . . . . . 03 II 358
Vogtländische Erdbeben, Sept. 1900 bis März 1902 . . . . . 1903 II 347
Vogtländisch-ostthüring. Schiefergebirge, Geologie . . . . . 04 I 90
Vogtland
— Phosphoritführung i. Obersilur und Petrefacten . . . . . BB XV *1*
— Gesteine b. Neumark im sächsischen . . . CBl 1904 *108*
Voigtland-Böhmen, Erdbeben 1897, Einfluss auf die Karlsbader Thermen . . . . . 1900 I 374
Vola . . . . . 02 I 317
— Lapparenti, istro-dalmatin. Rudistenkalk 04 I 149
— quinquecostata, Kreide, Peru . . . . . BB XVII *276*
Vola-Arten des egypt. u. syr. Neogens . . . . BB XVII *163*
Volborthella, Reval, Olenellus-Schichten . . 04 I 145
Volhynit, siehe Wolhynit.
Voltait, Schwefelgrotte b. Misenum . . . . 03 I 252
Volturno gegen den Liris, Geologie . . . . . 01 I 99
Volumtheorie von Krystallen . . . . . CBl 1902 *633*
Voluta nodulifera, Paraná-Stufe . . . . . BB XIV *216*
— Petersoni, patag. Formation . . . . . 02 I 295
— scalata, Kreide, Aquilaner Abruzzen . . . 04 I 98
— vesiculifera u. pileifera, Priabona-Schichten . . . . . 04 I 283
Volutilithes placentiger u. subzonata (Eopsephaea?), Priabona-Schichten . . . . . 04 I 283
— Wollemanni, Braunschweig und Ilsede, Untersenon . . . . 02 I 128
Volvocylindrites, Jura, Frankreich . . . . . 1900 II 153
Vomer bei Säugethieren u. Reptilien . . . . 03 II 439
Voralpen
— Schweizer, Tektonik 03 I 99
— Traisenthal, Geologie 03 I 100
— venetianer, Oligocän 01 II 282

arlberg
-dbeben . . . . . 1903 II 347
1897 . . . . . 1900 I 373
bei Hildesheim,
rie . . . . . 02 I *35*
.ern, Entwicke-
g des Bodenreliefs
ährend letzter Ver-
eisung . . . . . 04 II 448
rijheid, Transvaal, Geo-
logie nebst Erz- u.
Mineralvorkommen . 01 II 92
Vulcanello, Laven, Um-
wandlung . . . . . 03 I 253
Vulcano
— Bomben . . . . . 03 II 46
— Eruptionen 1899 . . 02 I 210
— Geologie . . . . . 1900 II 54
— u. Stromboli, atmosph.
Niederschläge auf die
Fumarolen . . . . 02 I 378
Vulkane
— Abhängigkeit v. Dis-
locationen . . . . . CBl 1902 *449*
— geograph. Verbreitung
1902 II 39 03 II 345
— monogene und poly-
gene . . . . . 04 I 198
— nicht auf Spalten,
Mexiko . . . . . 02 I 208
— Spaltenfrage . . . . 04 II 200
— siehe auch Eruptionen.
— Aetna . . . . . 02 I 210
— Bolseno, Mittelitalien 1900 II 217
— Bracciano u. Latium,
Alter . . . . . 04 I 369
— Centralamerika . . . 01 I 49
— Ciminisches Gebirge
(Viterbo)
1900 II 217 1904 II 216. 217
— Columbia . . . . . 03 II 209
— Ecuador . . . . . 1903 II 209
— Europa, Zustand 1898
u. 1899 . . . . . 01 II 207
— Färöer . . . . . 03 II 374
— Gunung Ringitt, Java,
1593 . . . . . 02 I 211
— Herniker Land, Laven 03 II 371
— Humboldtbai, Neu-
Guinea . . . . . CBl 1901 *652*
— Las Pilas, Nicaragua 02 I 210
— Martinique, Mt. Pelé 1903 II 375 ff.
siehe auch Martini-
que, Mont Pelée etc.
— Mexiko, unabhängig
von Spalten . . . . 02 I 208
Vulkane
— Mittelamerika 1903
u. 1904 . . . . . CBl 1904 *449*
— Mittelitalien
1900 II 217 1904 II 216. 217
— Nord-Amerika . . . CBl 1900 163
— Ost-Persien u. Belu-
dschistan . . . . . 1902 II 110
— Papandajan, West-
Java . . . . . BB XX *123*
— Plateau central, Frank-
reich . . . . . CBl 1900 *307*
— Stromboli 1901 . . . 03 II 345
— St. Vincent, Soufrière,
Asche . . . . . 03 II 86
siehe auch St. Vincent.
— Südeuropa, Zustand . 01 I 46
— Sumatra, Anordnung 02 II 40
— Vivara, Krater . . . 02 I 404
Vulkangebiete, Südame-
rika nach Stübel . . CBl 1902 *718*
Vulkanische Agglomerate,
Forkill, Co. Armagh 03 I 422
Vulkanische Asche
— Barbados . . . . . 04 I 223
— San Cristobal, Mex.,
gefallen 25. Okt. 1902 CBl 1903 *131*
siehe auch Santa Maria.
Vulkan. Auswürflinge,
Tusnad, Siebenbürgen 04 I 60
Vulkan. Auswurfsmassen,
Columbia . . . . . 03 II 208
Vulkan. Berge, genet.
Verschiedenheit . . 04 I 197
Vulkan. Bewegungen . . 1900 I 367
Vulkan. Bildungen, Trans-
vaal . . . . . 1900 I *116*
Vulkan. Durchbrüche,
Rhön u. Vogelsberg . 04 II 41
Vulkan. Ereignisse, Ha-
waii 1899 . . . . . 03 I 422
Vulkan. Erscheinungen
— im Licht d. STÜBEL'-
schen Theorie . . . 02 II 41
— Theorie . . . . . 04 II 368
— Kleine Antillen 1902
u. 1903 . . . . . 04 II *1*
Vulkanische Eruptionen
— Colima 1903 . . . . 04 II 381
— Izalco (Salvador) 1902
CBl 1903 *103. 129*
— Martinique 1902 . . CBl 1903 85
siehe auch Martinique.
— — u. St. Vincent 1902 04 I 202
siehe auch Westindien,
St. Vincent etc.

Vulkanische Eruptionen
— Mittelamerika 1902 . 1904 I *39*
— Santa Maria, Guatemala, Okt. 1902 CBl 1903 *33. 65. 71. 112. 131. 132*
— Westindien 1902 . . 04 II 369
— —, secund. Erscheinungen . . . . . 04 II 380
Vulkanische Gesteine
— beeinflussen magnet. Verhältnisse . . . . 1900 II 214
— Bildungsfolge der Gemengtheile . . . . . 03 I 53
— atlantische und pacifische Kette . . . . CBl 1903 25
— Berkeley Hills, Calif. 04 II 251
— Neponset Valley, Mass. 02 II 237
— Temiscouta Lake, Quebec . . . . . 01 II 413
— Ulu Rawas, Süd-Sumatra . . . . . BB XVIII *409*
Vulkan. Inseln, geolog. Beobachtungen . . . 01 I 48
Vulkan. Kräfte der Gegenwart, Sitz . . . 02 II 42
Vulkanische Tuffe
— Palatin (Rom) . . . 04 II 422
— u. Breccien, Waitemata Series, Neuseeland 04 II 253
Vulkanismus
— Ansichten darüber . 02 I 49
— eine Erscheinung d. Erdrinde . . . . . 02 II 372
— Physik des . . . . . 01 II 370
Vulkanlinien, Unteritalien 01 I 224
Vulkanreihen, auf dem Globus dargestellt . 04 II 198
Vulkanschlot, tertiär, Arran, m. tert. Granit CBl 1901 537
Vulkanspalten, Blatt Urach, Württemberg 02 II 254
Vulpavus, Eocän, Marsh Collection . . . . 04 I 447
— Hargeri u. palustris, Eocän. Marsh Collection 04 I 447
— palustris, Nordamerika, Tertiär . . . . 02 I 135
Vulpes sinensis, Tertiär, China . . . . . CBl 1902 *531*
Vulsella granellensis, Priabona-Schichten . 04 I 283
Vulsinit, Astroni . . . 03 I 43
Vultur
— pleistocäne Seen am V. 01 I 292
— verglichen mit Vesuv 03 I 41
Vulturas, Vulturos . . CBl 1903 697

W.

Waagen, Wilhelm, Nekrolog . . . . . CBl 1900 *380*
Wabeneis d. Eishöhlen . 1900 I 208
Wachsthum
— d. Kalialaunkrystalle 03 II 161
— d. Krystalle . . . . 03 II 312
— siehe auch Krystallwachsthum.
Wachsthumsgeschwindigkeit der Krystallflächen . . . . . 02 I 334
Wackenrodit, Sardinien, chem. . . . . 02 II 345
Wad
— Kuttenberg . . . . 03 II 338
— Sardinien, chemisch . 02 II 345
Wadi-Natrun, Egypten, plioc. Säugethiere . 04 II 304
Wärmeaustausch im Erdboden . . . . . 03 II 345
Wärmeleitung in Krystallen . . . . . 02 I 189
Wärmeleitungsfähigkeit der Krystalle, Einfluss auf regelmässige Orientirung . . . . . 01 I 438
Wärmeregime der Erdoberfläche und Beziehungen zu geolog. Erscheinungen CBl 1904 572. *721*
Wärmeverhältnisse in kohlenführenden Schichten . . . . . 03 II 44
Waigatsch-Insel, devon. Kalksteinfauna am Cap Grebeni . . . . 1900 I 271
Waitemata series, Neu-Seeland, vulcan. Tuffe und Breccien . . . 04 II 253
Walachei, Lauf der Donaunebenflüsse . . . 01 I 293
Walchia, Rothliegendes, Chemnitz . . . . . 02 II 492
— fertilis, Kohlenbecken, Autun und Epinac . 02 II 167
— pinniformis, Rothliegendes, Ilfeld . . CBl 1901 *422*
Walchowit, Mähren . . CBl 1904 *363*
Wald, versteinerter, und Verkieselungsprocess, Chemnitz . . . . . 02 II 491
Waldgebiet, russisches, oberflächl. Verwitterung . . . . . 01 I 231

Waldheimia ampezzana u. batillaeformis, Mittellias, Südtirol . . . 1901 I 167
— collinaria u. tamarindus, Chile, unt. Kreide BB XVII *287*
— pascuensis, Kreide, Rumänien . . . . . 01 II 281
— planoconvexa, Muschelkalk, Mte. Cucco, Friaul . . . . . 04 I 116
Wales
— Entstehung d. Flusssysteme im südlichen 1904 II 204 CBl 1902 407
— Rhayader, Silur . . 01 I 456
— Kohlenfelder des südl. 01 II 274
— mit England, geolog. Karte . . . . . 1900 I 252
Walfischbai, neuentstandene und wieder verschwundene Insel . . 03 II 50
Wallberge
— Naugard . . . . . 02 II 126
— Nechlin, diluvial . . 01 I 289
Wallis
— Alpen, Petrographie 03 I 65
— Erzbergwerke . . . 04 II 241
— Triasdolomit im Baltschiederthal, Mineralien . . . . . 1900 I 16
Wallriff, grosses, Austral. 1900 II 380
Wallsteine, Bornholm'sche Moränen . . . CBl 1900 *333*
Walross im Schwemmland, Wilui, Sibirien CBl 1904 *233*
Waltsch, Säugethiere im Basalttuff . . . . . 03 I 349
Wanderdünen, Bewegung u. Geschwindigkeit, Pommern . . . 01 I 285
Wapplerit, künstl. Darstellung . . . . . 04 II 187
Warcha-Gruppe, Pandschab-Stufe, Saltrange, Ostindien . . BB XIV *430*
Warnemünde, Hafenbau, Litorina-Ablagerungen 03 I 135
Warrenit = Federerz . CBl 1904 314
Wasatch-bed, Nordamerika, Landsäugethiere 01 II 136
Washington, Katalog der Mineraliensammlung d. National-Museums 1901 I 173, 174
Wasser, Bestimmung von Ca und Mg . . . . 02 II 410
Wasser
— Diffusion durch Sandlagen . . . . . 1903 II 89
— Einwirkung auf heisses Glas . . . . 01 I 438
— Salmiak und Eisenchlorid, Gleichgewicht 1900 I 335
— Wirkung des fliessenden im Niederschlagsgebiet der Glatzer Neisse . . . . . 04 I 90
— Chasellas, Oberengadin, Trinkquelle . . 02 II 415
— Lissabon . . . . . 1900 I 235
— siehe auch Quellen, Thermen etc
Wasserbewegung, unterirdische . . . . . 1900 II 377
Wassereis, Structur, Krystallform, Schichtung . . . . . BB XVIII *57*
Wasserhaltige Mineralien, Constitution . . . . CBl 1903 752
Wasserläufe, unterirdische 02 I 418
Wasserstoff
— atmosphärischer, Ursprung . . . . . 01 II 376
— freier, der Atmosphäre . . . . . CBl 1900 *333*
Wasserversorgung
— Impruneta u. Desco 04 II 82
— Prag . . . . . 01 II 52
— Rheinhessen . . . . 04 II 81
— Tuzla, Bosnien . . . 01 I 437
— Wismar 1901 I 289 02 II 416
— Wolkersdorf b. Frankenberg . . . . . 02 II 416
Waterberg-Sandstein, Südafrika 1900 I *117* 01 II 92
Waterford, England
— Eruptivgesteine . . CBl 1900 70
— Gesteine der Küste . 02 II 69
Wawani auf Amboina, angebl. vulcan. Ausbrüche . . . . . 1901 I 49, 50
Wawellit
— Bioulx, Belgien . . 01 I 200
— Manziana (Provinz Rom) . . . . . 03 I 36
Wealden
— Schaumburg-Lippe'sche Kreidemulde . . 03 I *60*
— Sehnde . . . . . 03 II 242
Webskyit, Hessen-Nassau, im Pikrit (Serpentin) BB XVIII *318*

Wechselburg, Burgstall u. Traschke, Felsitporphyre . . . . . 1900 I 380
Wehrlit
— Griechenland, nördl., u. türk. Grenzländer BB XVIII *11*
— Salzkammergut . . . 01 I 62
— Ursu-Berg, Rumänien 1900 I 63
Weihnachts-Insel
— Geologie . . . 1903 II 99. 101
— Korallen u. Foraminiferen . . . . . 1903 II 100. 101
Weimar
— Quartär . . . . 1903 II 266. 276
— quartäre Geschiebe-Vorkommnisse . . . 03 II 266
Weimar—Taubach
— Conchylien des Travertins . . . . . 03 II 277
— Menschenreste . . . 03 II 115
Weiss'sches Zonengesetz u. neue Krystallographie 01 II 1
Weissbleierz
— Umlagerungen und Structur . . . . . BB XIV *259*
— Aarmassiv, in Biotitprotogindrusen . . BB XIV *64 ff.*
— Alice-Mine, Butte, Montana, Krystalle . 04 II 36
— Bakal'sche Gruben, Südural . . . . . 02 II 347
— China, auf verwitterten Kupfermünzen . 04 I 330
— Colorado . . . . . 04 II 197
— Iowa . . . . . 1900 I 414
— Laorca, im Dolomit von Esino . . . . . 02 II 203
— Malfidano, Sardinien 01 I 363
— Mapimi, Mexico, Viellinge . . . . . BB XV *562*
— Mies, Krystalle . . . 01 II 352
1902 I 173 03 II 22
— Moresnet, Krystalle . 01 I 192
— Rheinbreitbach und Honnef, Krystalle . 1900 II 7
— Riddersk, Ural . . . 04 II 20
— Rosas, Sardinien . . 1900 II 365
— Sarrabus, Sardinien . 01 II 31
— Sta. Rosalia, Peru, Krystalle . . . . . 03 II 175
— Syrjanowsk, Altai . 01 II 179
— Tarkaicza, Comitat Bihar, Krystalle . . 03 II 185
— Villers-en-Fagne, Belgien, Krystalle . . . 01 I 192
— Westfalen, Kryst. . BB XIII *1*
Weisselbergit, Mariupoler Kreis, Südrussland . . . . . 1900 I 394
Weissenbachthal, Steiermark, Geologie . . . 03 I 102
Weisserde
— Malgersdorf, Oberbayern . . . . . 02 II 225
— Russland . . . . . 01 II 66
Weissspiessglanz siehe Valentinit.
Weissstein
— Mlietsch am Zobten . CBl 1902 *385*
— Jordansmühl, mit Nephrit . . . . . CBl 1902 *385*
Wellen
— der Atmosphäre . . 01 I 392
— elastische, i. Gesteinen 01 I 384
— —, und Erdbeben . 01 II 373
Wels, nutzbare Mineralien 04 II 78
Welschia, Unteroolith, England . . . . . 01 II 317
Weltmeer, Bodenformen 02 I 199
Wengener Schichten
— Bakony, südlich . . 03 I 125
— Idria und Tribusa . 01 II 124
— Seiser Alp . . . . . 1900 II 416
— Südtirol, mit Kohlenflötzen . 1902 II 114 04 II 78
Werfener Schichten
— transversale Schieferung . . . . . 1900 I *141*
— Bakony, südl. . . . 03 I 123
— Bosnien, mit Glaubersalz . . . . . CBl 1904 *399*
— —, mit Kohlen . CBl 1902 *9*
— Idria u. Tribusa . . 01 II 123
— Muć in Dalmatien, Cephalopoden . . . 03 II 444
— Ostindien verglichen mit der Ussurigegend CBl 1900 *4*
— — Saltrange . . . . CBl 1900 *285*
— — Spiti, Himalaja CBl 1900 *285* CBl 1901 *197*
Wermsdorf bei Zöptau, Mähren, Mineralvorkommen . . . . . 03 I 198
Wesergebirge b. Minden, oolith. Rotheisensteine 04 II 412
Westafrika, portug., Gesteine . . . . . 02 II 233
Westalpen, piemont., Geologie . . . . . 1900 II 266
Westaustralien, nutzb. Lagerstätten . . . . 04 II 241
Westgotland, Kalktuff . 1900 II 495

Westindien
— Geologie . . . . . CBl 1901 538
— Geysir 1902 . . . . 1904 II 381
— Pleistocän . . . . . CBl 1902 247
— Vulcanische Erscheinungen 1902 u. 1903 1904 II *1.* 869
— — Eruptionen 1902, secund. Erscheinungen 04 II 380
— Dominica . . . . . CBl 1903 *305*
— Guadeloupe . . . . CBl 1903 *319*
— Martinique, siehe Martinique u. Mont Pelée.
— Montserrat, Geologie CBl 1903 *279*
— Nevis und S. Kitts (Christopher) . . . . CBl 1903 *284*
— St. Eustatius (Statia) und Saba . . . . . CBl 1903 *314*
— S. Lucia, Geologie . CBl 1903 *273*
— St. Vincent, Vulcan Soufrière 1903 II 86 04 II *1* CBl 1902 442 CBl 1903 *248. 369*
— —, Soufrière, Asche 03 II 86
— Guadeloupe, St. Vincent etc., siehe auch diese.
Westindische Inseln, Geologie . . . . . 03 II 255
Westonia, Cambrium . 02 I 486
Westphalen
— Strontianit, Kryst. etc. BB XIII *389*
— Weissbleierz, Kryst. BB XIII *1*
Westphalien, Missouri . 01 II 488
Westphälische Moorniederung, Geologie . 02 II 103
Westpreussen
— Aufschlüsse durch Bohrungen . . . . . 01 I 288
— Diluvium . . . . BB XVI *49 ff.*
— Endmoränen . . . . 02 I 122
— Tertiär, siehe bei Tertiär.
— Zugänge d. Provincialmuseums 1899 . . . 02 II 444
Wetter bei Koert, diluv. Lager m. Süsswasserconchylien . . . . . BB XVI *46*
Wetterau, Schwerspath . 02 I 354
Wettersee, Strandlinien und Endmoränen . . 02 II 283
Wettiner Schichten, Rothliegend., Prov. Sachsen 01 I 459
Wetzschiefer, Arkansas, Entstehung . . . . 1900 I 408
Weyer, Ober-Oesterreich. Lunzer Sandstein . . 01 II 123
Whin Sill, nördl. England, Contactgesteine 1900 I 395
White Cliff, Australien, Jura und Devon . . BB XIV *484*
White-River-beds
— aeolisch? . . . . . 1900 II 440
— Colorado . . . . . 04 I 123
— oligocäne Caniden . 04 II 308
— Landsäugethiere . . 01 II 138
— Säugethiere . . . . 04 II 141
— —, Montana . . . . 03 II 425
— — d. Titanotherium-Schichten, Montana . 04 II 460
— Selenodonten . . . . 02 II 291
Widminnen, Kr. Lötzen, diluvialer Torf . . . BB XVI *41*
Wiederkäuer, diluviale, Vöklinshofen, Ober-Elsass . . . . . 01 I 494
Wien, Erdbebencommission, siehe Erdbebencommission.
Wiener Becken
— Menschenaffen im Tertiär . . . . . CBl 1903 *176*
— Tertiär . . . . . 04 I 434
— siehe auch Tertiär.
Wiener Thermenlinie, nördl. Fortsetzung . 03 I 221
Wiener Wald, Geologie 02 I 276
Wiesenkalklager, diluv., Angerburg (Ostpr.) . 02 I 125
Wildbad, Grund d. Zutagetretens d. Thermen . . . . . CBl 1902 *231*
Wildschwein, Vindonissa 03 I 148
Willemit
— Algerien und Congo 02 I 12
— Franklin Furnace, New Jersey . . . . 02 I 361
Willershausen, Coblenzquarzit . . . . . BB XVII *69*
Williamsonia angustifolia, mesozoisch . . . 04 I 155
— pecten, mitteljurass. Sandstein, Ostsardinien . . . . . BB XX *155*
Wilsonia liassica, Jura, England . . . . . 01 I 515
Wind, Einfluss auf Klima im Pleistocän 1903 II 354 CBl 1901 538
Winderosion, Heidelberger Schloss . . . . 01 II 218
Windisch-Feistritz-Pragerhof . . . . . 1900 II 263

Windablagerungen
— Ost-Minnesota . . . 1901 II 219
— Zusammensetzung . 1900 II 75
Windriver-bed, Wyoming und Colorado, Landsäugethiere . . . . 01 II 137
Windriver-Fauna, Color. 1900 I 132
Windwirbel, erodirende Wirkung . . . . . 03 II 353
Winkelprojectionen . . 03 II 157
Wirbel der Land-Raubthiere . . . . . 04 I 441
Wirbelthiere
-- Mähren, Quartär . . 04 II 442
— Nordamerika, Katalog 03 I 343
-- Spalte von Ightham (Kent) . . . . . 03 I 564
— siehe auch Säugethiere etc., Quartär und Tertiär etc.
Wischau und Prossnitz, Mähren, geologische Karte . . . . . 1900 II 261
Wisconsin, Bau- u. Ornamentsteine . . . . . CBl 1901 145
Wismar
— Quartär und Wasserversorgung . . . . 01 I 289
— Tertiär i. Untergrund 1900 II 287
— Wasserversorgung . 02 II 416
Wismuth
— destillirtes . . . . . 03 I 371
— Isomorphie der Salze mit denen d. seltenen Erden . . . . . 02 II 176
— regelmässige Orientirung der Krystalle 1901 I 438
— thermomagnet. und thermoelektr. Verhalten . . . . . 03 II 323
— Wärmeleitung . . . 04 II 10
— Pala, Diego Co., Californien . . . . . 04 II 168
Wismuthcarbonat, basisches, Schneeberg . . 1900 II 351
Wismuthglanz, Silverton Quadrangle, Colorado 03 II 343
Wismuthocker
— Graul bei Schwarzenberg, pseudom. nach Eulytin . . . . . 03 I 181
— Pala, Diego Co., Californien . . . . . 04 II 168
Wismuthspath, Ce-haltig, gangförmig, Argentinien . . . . . 1900 II 16
Wissenbacher Schiefer
— Elbingeröder Mulde . 1901 II 421
— östl. Oberharz . . . 01 II 437
Witchellia argentina, Lias, argent.-chilen. Cordillere . . . . . 04 II 87
Witherit
-- Umlagerungen und Structur . . . . . BB XIV *258*
— verwachsen m. Schwerspath . . . . . BB XVI *399*
Witimplateau, nördl. Theil, massige Gest. 02 I 222
Witteberg Beds, Cap-Colonie . . . . . 1900 I *115*
Witwatersrand-Schichten, Südafrika . . . 1900 I *114*
Wöhlereisen . . . . . 1900 I 353
Wolframerze, Nordamerika . . . . . CBl 1902 245
Wolframit
— magnet. Influenz . . BB XIX *419*
— Batum-Gebiet, Anal. 03 II 191
— Black Hills, Wyoming 03 I 408
— Colorado . . . . . 1900 I 195
— Connecticut, Dakota und Neuschottland . 02 I 353
— Mähren . . . . . CBl 1904 *359*
— Nevada . . . . . CBl 1902 245
— Sardinien . . . . . 1900 I 202
— Trumbull, Conn., Vorkommen u. Pseudom. nach Scheelit 1902 I 353 03 II 28
— Vereinigte Staaten, Production 1901 . . 03 I 35
-- Zinnwald, Rotheisenstein, pseudom. nach Wolframit . . . . . 03 I 181
Wolframmineralien
— (Wolframit), Sierra de Cordoba . . . . 02 I 40
— Verein. Staaten, Production 1901 . . . . 04 I 35
Wolframsaures Cer, Didym, Lanthan, Calcium u. Blei, künstl. Darstellung durch Sublimation . . . . CBl 1901 *682*
Wolfsberger Subtypus d. Aetzfiguren an Amphibolen . . . . . 1900 II 337
Wolga-Stufe
— König Karls-Land . 1900 II 112
— Russland . . . . . 1900 I 116
Wolhynit, Wolhynien . 04 I 261

Wolkersdorfer Quelle b. Frankenberg, Geol. . 1902 II 416
Wolkonskoit, Uchtym, Gouv. Wjatka . . . 03 II 177
Wollastonit
— Bildung im Magma . 1900 II 251
— Dichte nach Schmelzen . . . . . 01 II 152
— Bystré, Böhmen, im Kalk . . . . . 03 I 401
— cimin. Vulcane . . 1900 II 363
— Kedabek, Doppelbrechung . . . . . 03 I 3
— Mähren . . . . . CBl 1904 *362*
— Santa Fé, Staat Chiapas, Mexico, grosse Masse . . . . . CBl 1903 *425*
Wollastonit-Pegmatit, Ceylon . . . . . 04 I 383
Wollastonitreiche Aggregate in rhein. Basalten 04 I 211
Wollastonit-Skapolith-Gestein, Ceylon . . 02 I 76
Wollastonit-Skapolith-Gneiss, Ceylon 1904 I 383 CBl 1902 571
Woltschacher Kalk, Bača-Thal, Krain . . . . 04 I 96
Woods Point-Gang. Victoria (Australien) . . CBl 1902 475
Worthenia elatior, Fritschi, grandis, laevis u. subcostata, mitteldeutsch. Muschelkalk 04 I 312
— Gepidorum, Hauptdolomit, Trias, Bakonywald . . . . . 02 II 307
— gigas, Sulzbad, Muschelsandstein . . . 02 I 143
— Loczyi u. wamonensis, rothe Kalke, Trias, Bakonywald . . . . 02 II 305
— nuda u. tuberculifera, Trias, China . . 1900 I *199. 200*
— superba, Sturia-Kalk, Recoaro und Schio . 1900 II 434
Wortheniopsis denjatinensis, kyschertinaeformis u. Netschajewi, oberpalaeoz., Russland 01 I 310
Wür b. Bistritz, Mähren, Mineralien . . . . . 1900 I 23
Württemberg
— Entstehung d. geolog. Atlasses . . . . . 01 I 88
— geolog. Karten . . . 1900 I 249
Württemberg
— Schweremessungen . 1902 II 369
— Steinsalzlager . . . 01 I 435
Würtzit
— Beziehung zu Rothnickelkies . . . . . 03 I 376
— siehe auch Schwefelzink . . . . . 04 I 343
Wüste Gobi, Erosionserscheinungen . . . 03 II 352
Wüsten, fossile . . . . 01 II 217
Wüstenbildung . . CBl 1903 *1. 211*
— Gesetz . CBl 1902 *551. 577. 620*
— in Gegenwart u. Vorzeit . . . . . 01 II 212
Wüstendenudation
— Heluan . . . . . 01 I 92
— Radschputana . . . 03 I 111
Wüstengesteine, dunkle Rinden . . . . . 02 II 58
Wulfenit, siehe Gelbbleierz.
Wussow, geolog. Karte, Flachland . . . . . 1900 II 414
Wutach-Gebiet, Schwarzwald, Glacialbildungen 03 I 516
Wynyardia bassiana, tert.
— Tasmanien . . . . . CBl 1901 52
— Table Cape, Tasman. 03 II 140
Wyoming
— Dinosaurier . . . . 01 I 305
— Wirbelthiere d. Jura 03 I 342
Wyomingit
— Einwirkung von Salmiak . . . . . 04 II 7
— nach Lorwinson-Lessing . . . . . 1900 II 388

X.

Xanthilithes bavaricus, Kressenberg . . . . 1900 II 148
Xanthokon, isomorph m. Stylotyp . . . . . 04 I 12
Xanthopsis Bittneri, ungar. Bartonien . . 1900 II 475
Xanthosiderit, Tempelstein, Mähren . . . CBl 1904 *357*
Xenodiscus carbonarius, Productus-Kalk, Saltrange . . . . . 1900 I *140*
Xenogeniten (Erzlagerstätten) . . . . . 03 II 87
Xenotim
— verwachsen m. Monazit . . . . . BB XVI *597*
— Vorkommen i. Granit 03 II 178

Xenotim
— Brasilien, Beziehung zu Hussakit . . . . 1902 II 199
— —, São Paulo . . . 04 II 357
— Pisek, Böhmen . . 01 II 202
Xerocathaica, Quartär, Central- u. Ostasien 03 I 542
Xerothermische Periode 04 II 437
Xiphactinus
— individuelle Variabilität . . . . . 01 I 309
— Kansas, ob. Kreide, Schädel . . . . 1901 II 479. 480
Xiphodontiden, Tertiär, Russland . . . . . 03 II 290
Xotodontidae . . . . . 1900 II 457
X-Strahlen, Untersuchung mineral. Brennstoffe . 1900 II 409

Y.

Yarrowit aus dem Clyde-Fluss . . . . . 02 II 346
Yellowstone National-Park
— Fossilien . . . . . 02 I 128
— mesozoische Fossilien 02 I 128
Yenangyoungian, Miocän, Birma . . . . 02 II 123
Yentnit
— systemat. Stellung . 03 II 356
— Alaska . . . . . 02 I 416
Yogo Mines, Montana, Sapphir . . . . . 01 II 368
Yoldia-Thon
— Fauna . . . . . BB XVI 68
— Christiania, diluvial . 02 II 448
— Westgotland, Fauna 02 II 131
Yonne-Departement, Geologie . . . . . CBl 1901 177
Yosemite-Thal, Quartär und Entstehung . . 02 II 284
Youngia, genet. Beziehg. 1900 II 473
Ytterapatit, Narsarsuk, südl. Grönland, im Syenit . . . . . 02 I 38
Yukon, siehe Alaska.

Z.

Zabehlic, Böhmen, Ganggesteine . . . . . 02 I 59
Zacatecas, Miargyrit . . 1900 I 340
Zachenstein bei Crottendorf Sachsen), Marmor . . . . . BB XIX 255
Zähne
— complicirte, d. Säugethiere . . . . . 1902 II 134
— menschenähnliche, im Bohnerz d. schwäb. Alb 1900 I 457
— menschliche, Aehnlichkeit mit anderen Thieren . . . . . CBl 1902 248
— und Eier jurass. Chimäriden . . . . . BB XIV 540
Zahnentwickelung der Säugethiere . . . . 02 I 296
Zahnformen der Säugethiere, Entstehung . 04 II 300
Zahnsystem, Entwickelung bei den Insectivoren . . . . . 01 I 299
Zahnwale, fossile, Hautpanzerung . . . . . 03 II 138
Zamboninit, Dép. Dordogne 01 I 200
Zamites infraoolithicus, nordschweizer Jura, Zone d. Am. Blagdeni 01 I 5
Zancleano im Pliocän, oberes Tiberthal . . 03 I 108
Zanclodon, europ. Continent . . . . . 01 II 89
— arenaceus, Plieningeri u. Quenstedti, schwäb. Trias . . . . . 1900 I 309
— cambrensis, Rhät, Bridgend, Glamorganshire . . . . . 1900 I 310
— laevis, ob. Keuper d. Langenberg bei Wolfenbüttel . . . . . 1900 I 311
— Schützii, Trigonodus-Dolomit, Schwäb. Hall 02 II 301
Zanclodonten d. schwäb. Trias, Tübinger Sammlung . . . . . CBl 1904 685
Zaphrentis visetensis, Kohlenkalk, Visé . . 01 II 457
Zapus in Sibirien . . . CBl 1901 26
Zaravecchia-Stretto, Dalmatien, Geologie . . 04 I 91 ff.
Zeagonit, Zersetzungsproduct des Nephelins u. pseudom. nach N. 1900 II 65 ff.
Zebraähnliche Pferde, Algerien . . . . . 02 II 459
Zechstein
— Deutschland, Foraminiferen . . . . . 1900 II 163
— Halle a. S., Ursprung der Salzquellen . . . CBl 1901 282

Zechstein
— Kellerwald . . . . . 1903 I 470
— Marburg, Frankenberger Kupferletten . CBl 1901 *427*
— Mellrichstadt a. Rhön, im Bohrloch . . . . 02 I 264
— Pössneck, Thamniscus giganteus . . . . . 1900 II 483
— Rösseberg bei Grund, Schwerspathvorkommen . . . . . CBl 1900 *284*
— Salt range, Ostindien (= thüringische Stufe) BB XIV *369*
— siehe auch Perm.
Zeichnen der Krystalle . 1900 II 333
Zeilleria dubiosa, Kreide, Deutsch-Ostafrika . 01 II 296
Zellerfeld, Harz, Devon 01 II 435
Zeolithe
— Dampfspannung . . 1900 I 334
— Einwirkung von Salmiak auf . . . . . 01 II 339
— Lockerung des Krystallgebäudes durch HCl . . . . . CBl 1902 *594*
— Wassergehalt . . 1901 I 22. 23
— Aarmassiv, in Biotitprotogindrusen . . BB XIV *43 ff.*
— Agordo, im Melaphyr oder Augitporphyr . 03 I 203
— Bambak-Aschai-Ebene, Kaukasus, im Porphyrit 01 II 205
— Böhmen . . . . . 03 I 389
— böhm. Mittelgebirge . 04 I 175
— Elba, im Granit . . 01 II 30
— Euganeen . . . . . 03 I 396
— Lake Superior . . . 1900 II 29
— Maddalena, im Granit 03 I 194
— Prinz Rudolf-Insel . 04 I 362
— Rom . . . . . 02 II *63*
— Schiket, Erythraea . 03 I 391
Zeolithsubstanzen, Mischungen . . . . . 03 II 131
Zeolithwasser . . . . . 01 I 23
Zeophyllit
— Gross-Priesen, Böhmen, sogen. Comptonit 03 I 389
— Schlaggenwald . . . CBl 1903 149
Zerbröckelungszone beim Gesteinsmetamorphismus . . . . . 01 I 221
Zermalmungsproducte, graphitreiche, im Lausitzer Granit . . . . 04 II 207
Zertrümmerungszone bei Intrusionen . . . . 04 II 68
Zeuglodon cetoides, Hautpanzerung . . . . . 1903 II 138
— Boldérien, Antwerpen 03 I 549
Zeunerit, Radioactivität CBl 1904 *207*
Zewan beds, Obercarbon, Kaschmir u. Spiti . 02 I 263
Ziege
— Unterschied vom Schaf 03 II 294
— Vindonissa . . . . . 03 I 149
Zillerthaler Alpen, Geologie . . . . . 04 II 83
Zink
— destillirtes . . . . . 03 I 370
— Krystallform . . . . 01 II 8
Zink- und Bleierze
— Iowa . . . . . 1900 I 414
— Radnig bei Hermagor, Kärnten . . . . . 1900 II 75
Zinkblende
— opt. anomal durch Druck . . . . . 03 II 165
— verwachsen m. Fahlerz BB XVI *340*
— — mit Kupferkies . BB XVI *354*
— Andreasberg, angebl. Pseudom. nach Kalkspath u. Schwerspath 1900 I 173
— Baltschiederthal (Wallis), im Triasdolomit 1900 I *20*
— Carrara, im Marmor 1901 I 30
— Cornwall, mit Metallglanz . . . . . 01 I 182
— Galena, Kansas, Kryst. 01 II 11
— Gnesta und Mölnbo, Schweden . . . . . 1900 I 413
— Grönland, Kangerdluarsuk . . . . 1900 I 348. 350
— —, Narsarsuk, im Syenit . . . . . 02 I 19
— Iowa . . . . . 1900 I 414
— Little Belt Mountains, Montana . . . . . 01 II 367
— Mies, Zwillinge . . . 02 II 182
— Nagolnij-Höhenzug im Don-Gebiet . . . . 03 II 171
— Oulx, ob. Dora Riparia, im Gyps . . . 1900 I 28
— Sardinien 1904 I 341 04 II 169
— —, Rosas 1900 I 29 1900 II 365
— Siebenbürgen, Schwefelkies pseudom. nach Z., mit Gold . . . . CBl 1903 *332*
— Silverton Quadrangle, Colorado . . . . . 03 II 334
— Wittkowitz, Mähren CBl 1904 *356*
— siehe auch Schwefelzink.

Zinkblendelagerstätte. Räfvåla. Schweden. Gesteine . . . . . 1903 I 257
Zinkblende- u. Bleiglanzgänge, Metnitz und Zweinitz. Kärnten . 02 II 34
Zinkerze
— Dellach Oberdrauthal, in der Trias . 04 I 396
— Franklin. N. J. . . . 01 I 367
— Presolana-Gruppe 1901 II 43. 110
— Slawkow. Polen . . 04 I 227
Zinkgrube. Mölnbo. Schweden . . . . . 1900 I 413
Zinkit
— Cornwall. Ofenproduct . . . . . 1900 I 22
— Olkusch. Turkestan . 02 II 365
— Polen. im Galmey . CBl 1900 299
— Spanien. auf Blende 01 II 175
Zinkroemerit. künstl. . 04 II 194
Zinkschefferit. Franklin Furnace. New Jersey 02 I 174
Zinkspath. Arkansas. Analyse . . . . . 01 II 352
— Boleo. Cal. Co-haltig 01 I 38
— Freiberg . . . . . 04 II 362
— Mähren . . . . . CBl 1904 358
— Malfidano. Sardinien 01 I 363
— —. —. pseudom. nach Kalkspath . . . . 01 II 5
— siehe auch Galmei.
Zinkspinell. siehe Gahnit.
Zinn
— Modificationen . . . 02 II 181
— physik.-chem. Eigenschaften . . . . . 03 II 12
— — — u. Enantiotropie 01 II 9
— physikalische Isomerie 01 I 4
Zinnarsenid. Zinnoxyd u. Zinnsulfür. Ofenproducte. Cornwall . 1900 I 22
Zinnerze. Mt. Bischoff 1901 I 423 03 I 91
Zinnerzformation. Freiberger Revier . . CBl 1901 245
Zinnerzgänge. eruptive Nachwirkung . . . 04 I 76
Zinnerzlagerstätten
— Entstehung . . . 1900 II 245
— Bangka u. Billiton . 01 I 422
— Campiglia marittima 01 I [illegible]
— Mt. Bischoff 1901 I 423 03 I 91
Zinnkies Bolivia krystallisirt . . . . 02 II 17
Zinnober
— Krystallstructur . . 1900 II 5
— China . . . . . 1900 I 179
— Kara-Barun. Kleinasien. Lagerstätten . 04 II 349
— Miniera di Casale. Prov. Grosseto . . . 1903 I 205
— Mte. Amiata. Lagerstätte . . . . . 04 I 400
— —. Abbadia S. Salvadore. im Liaskalk 03 I 94
— Murchison Range. Transvaal . . . . . 01 I 84
— Nordamerika. Production . . . . . CBl 1902 246
— Salagrube. Schweden 1900 I 31
— Terlingua. Texas . . 04 I 338
Zinnstein
— künstlicher . . . . . 1900 II 13
— Alaska . . . . . 02 II 189
— Black Hills. Wyoming 03 I 408
— Böhmen. Polychroismus . . . . . 04 II 342
— Campiglia Marittima. Toscana . . . . . 1901 I 135
— El Paso. Texas . . 02 II 342
— Hin Boun. Laos . . 03 I 188
— Limousin. Frankreich 02 II 196
— Mte. Valerio. im Limonit . . . . . 01 I 187
— Niederwasser b. Triberg. Schwarzwald . CBl 1900 29
— Roschna. Mähren . . CBl 1904 357
— Swaziland 1900 I 264 01 I 31
— siehe auch Stromzinn.
Zinnsteingruppe. topische Axen . . . . . 04 I 19
Zinnsteinlagerstätten
— Greenbushes. Westaustralien . . . . 04 II 242
Zinnwaldit. Narsarsuk. südl. Grönland. im Syenit . . 02 I 29
Zirchow. geolog. Karte. Flachland . 1900 II 413
Zirkon
— Farbe 1900 II 342. 344 04 II 173
— kryst. u. phys. Eigenschaften . . . 1904 I 17. 20
— magnet. Influenz . . BB XIX 419
— Molecularvolumen. verglichen mit Rutil 04 I 5
— Polychroismus . . 04 II 342
— [illegible] m. Katapleit . . . . . BB XVI 378

Zirkon
— verwachsen mit Xenotim . . . . . BB XVI *391*
— Californien, im Goldsand . . . . . 1903 II 35
— Ceylon . . . . . 02 I 195
— — unregelmässige Krystalle . . . . . CBl 1904 314
— Eagle Gulch, Cal. . . 1900 I 31
— Grönland . . . 1900 I 347. 350
— —, Pseudomorphosen nach Eudialyt im Nephelinsyenit . . . . 01 I 42
— — Narsarsuk, im Syenit 02 I 29
— Mähren . . . . . CBl 1904 *357*
— Mariupol (= Auerbachit), im Elaeolithsyenit . 1900 I 395 02 II 394
— Miask im Ilmengeb. 01 II 206
— New Stirling, Nordcarolina . . . . . 1900 I 32
— Nordcarolina, mit Rhodolith . . . . . 1900 I 188
— Portugal, im Staubfall vom Januar 1902 CBl 1902 *260*
— rhein. Basalte . . . 04 I 212
— Sondalo, Veltlin, im Pegmatit 1902 I 358 03 II 33
— südafrikanische Diamantlager . . . . . 1900 I 1
Zirkonerde, Trennung von TiO_2 . . . . . 1900 I 48
Zirkongruppe, Kryst., spec. Gewicht etc. . 04 I 18
Zirkonoxyd, Serra de Caldas, Minas, Brasilien . . . . . 04 II 359
Zirkonoxyd-Favas, brasilian. Diamantsande 1900 II 37
Zleby, Böhmen, massige Gesteine . . . . . 02 I 57
Znaim, geolog. Karte . 1900 II 261
Zobtengebirge, Erdmagnetismus . . . . 01 II 45
Zöptau, Mähren, Mineralien . . 1903 I 198 04 I 30
Zoisit
— Beziehung zu Epidot 02 I 13
— optisch, und Vorkommen in metamorphen Schiefern der Alpen . 1900 I 190
— verwachsen m. Epidot BB XVI *415*
— Brusson, Piemont, im Grünschiefer . . . . CBl 1901 *305*
— Ducktown, Tenn. . 03 II 189
— Mähren . . . . . CBl 1904 *360*
Zoisit, Mähren, Bovina bei Trebitsch, roth 1903 I 201 CBl 1901 *686*
Zoisitführende Saussurite, Schweizer Pfahlbauten . . . . . BB XX *145*
Zoisit-Hornblendegestein, Jordansmühl, Schles. CBl 1902 *391*
Zonale Krystallographie 1902 II 174
Zonale Symbole d. Krystalle . . . . . 02 II 174
Zonalität in der Vertheilung der Böden in Russland . . . . 1901 II 65
Zone, rationales anharm. Verhältniss von 4 Flächen in einer Z. . 02 II 173
Zonengesetz
— Beweis . . . . . 1900 I 328
— Weiss'sches, und neue Krystallographie . . 01 II 1
— etc., Nichtexistenz . 01 II 334
Zonochlorit, Lake Superior 1900 II 3
Zunyit, Zuny, Mine, Col., mit Pyrit 1901 I 183 03 II 342
Zusammenschmelzen von Mineralien CBl 1904 *295. 340. 366. 705. 739*
Zusammensetzung der Verbindungen, Beziehung zu physik. Verhalten . . . . . 01 I 176
— chemische, Beziehung zum Molekularvolumen 04 I 4
— von Mineralien, Beziehung zu Schmelzpunkten . . . . . 04 II 165
— der Gesteine, graph. Darstellung . . . . 1900 I *100*
Zustandsänderung, adiabatische, zwischen dem Krystall u. seiner Schmelze . . . . . 01 II 255
Zustandsdiagramm bei heteromorphen Modificationen . . . . . 03 II 10
Zuzlawitzer Kalk, Wolynkathal, Böhmerwald . . 1903 I 412 04 I 52
Zweiaxige Krystalle, Minimalablenkung d. Lichts in Prismen u. Totalreflexion . . . 04 I 322
Zweifalter Schichten, Aachen, ob. Unterdevon . . . . . 02 I 112

Zwickau
— Fauna d. Carbon u. Rothliegenden . . . 1903 II 455
— Versteinerungen Pflanzen d. Kohlenformationen und des Rothliegenden . . 03 II 412
Zwickenberg, Oberkärnten, Erzlagerstätte . 07 I 245
Zwillinge
— Bildung . . . 03 II 413
— Definition . . . . 1900 I 330
— Erklärung der durch mechan. Wirkung erhaltenen . . . . 1900 I 329
— Gesetze . . . 1900 I 329
— Karlsbader u. Bavenoer, Anpassungserscheinungen . . 04 I 21
— opt. Constanten, mit Totalreflexion 1900 II 153
— Theorie u. Discussion BB XV 542
— — Illustrirt am Chrysoberyll . 02 I 166
Zwillingsbildung
— bei trikl. Feldspathen 1905 II 156
— Gesetzmässigkeit BI 1905 514
— Theorie . 1900 II 5 04 II 354
— von Krystallmassen u. Molekülen 05 II 159
Zwillingsgebilde, vollkommene Durchsichtigkeit, inactive einaxige Krystalle, Reflexion und Brechung des Lichts . . . BB XX 1
Zwillingsgesetze, Rangordnung . . 04 II 43
Zwillingskrystalle, Zeichnung . . . . 1900 II 353
Zwischenseeplateau, Centralafrika Geol. . 05 I 489
Zygolestes paranensis, Tertiär, Paraná, Brasilien . . . BI 1900 139
Zygopleura bachmutensis, oberpaläoz., Russland . 1 I 311
Zygopteris . . . . . 1900 I 484

Nachträge.

(Vor der Benützung des Repertoriums im Text einzufügen.)

I. Personenverzeichniss.

Andersson, siehe auch Gunnar Andersson.
Borchert, A.: Die Molluskenfauna und das Alter der Paraná-Stufe . . . . . BB XIV 171
Boyer, Ch. S., siehe Woolman, L.
Brandão, Souzo, siehe Souzo Brandão, V. de.
Dal Lago, D., siehe Lago, D. dal.
De Franchis, siehe Franchis, de.
De Lorenzo, siehe Lorenzo, G. de.
De Stefani, C., siehe Stefani, C. de.
Del Zanna, P., siehe Zanna, P. del.
Di Franco, S., siehe Franco, S. di.
Di Stefano, G., siehe Stefano, G. di.
Du Pasquier, L., siehe Pasquier, L. du.
Gorjanovic-Kramberger, siehe auch Kramberger.
Harra, C. C. O', siehe O'Harra, C. C.
Holmquist, P. J., siehe auch Törnebohm, A. E. zu den Torneträskprofilen.
Hennig, A., siehe Ravn, J. P. J.
Hibsch, J. E.: Ueber die Lagerungs- und Altersverhältnisse der Braunkohlengebilde im Teplitzer Becken . 04 I 101
Kemp, J. F., siehe Pratt, J. H.
Koettlitz, Reginald, siehe Raisain, C. A.
Lewin, L., siehe Schweinfurth, G. und L. Lewin.
Margerie, E. de, siehe Suess, Ed.
Nansen, F., siehe Pompeckj.
Nelli, B., siehe Stefani, C. de (nicht Stefano, C. di).
Paulcke, W.: Ueber die Kreideformation in Südamerika und ihre Beziehungen zu anderen Gebieten I. Theil BB XVII 252
Philippi, E., siehe Werth, E.
Schmidt, F., siehe auch Toll, E. v.

II. Sachverzeichniss.

Caeruleit, siehe Cocruleit.
Knochenhöhlen, Santarem, Portugal, mit Lemming . . . . . 1902 II 457
Kreide. Dalmatien, Görz, Istrien u. Hercegovina, Schiosi-Schichten mit Chondrodonta (Ostrea) Joannae . . . . . 1904 I 149
Quartär. Mosbach, Säugethierfauna . . . . . 1900 II 456
Seriphonotrochus siehe auf p. 535 oben rechts.

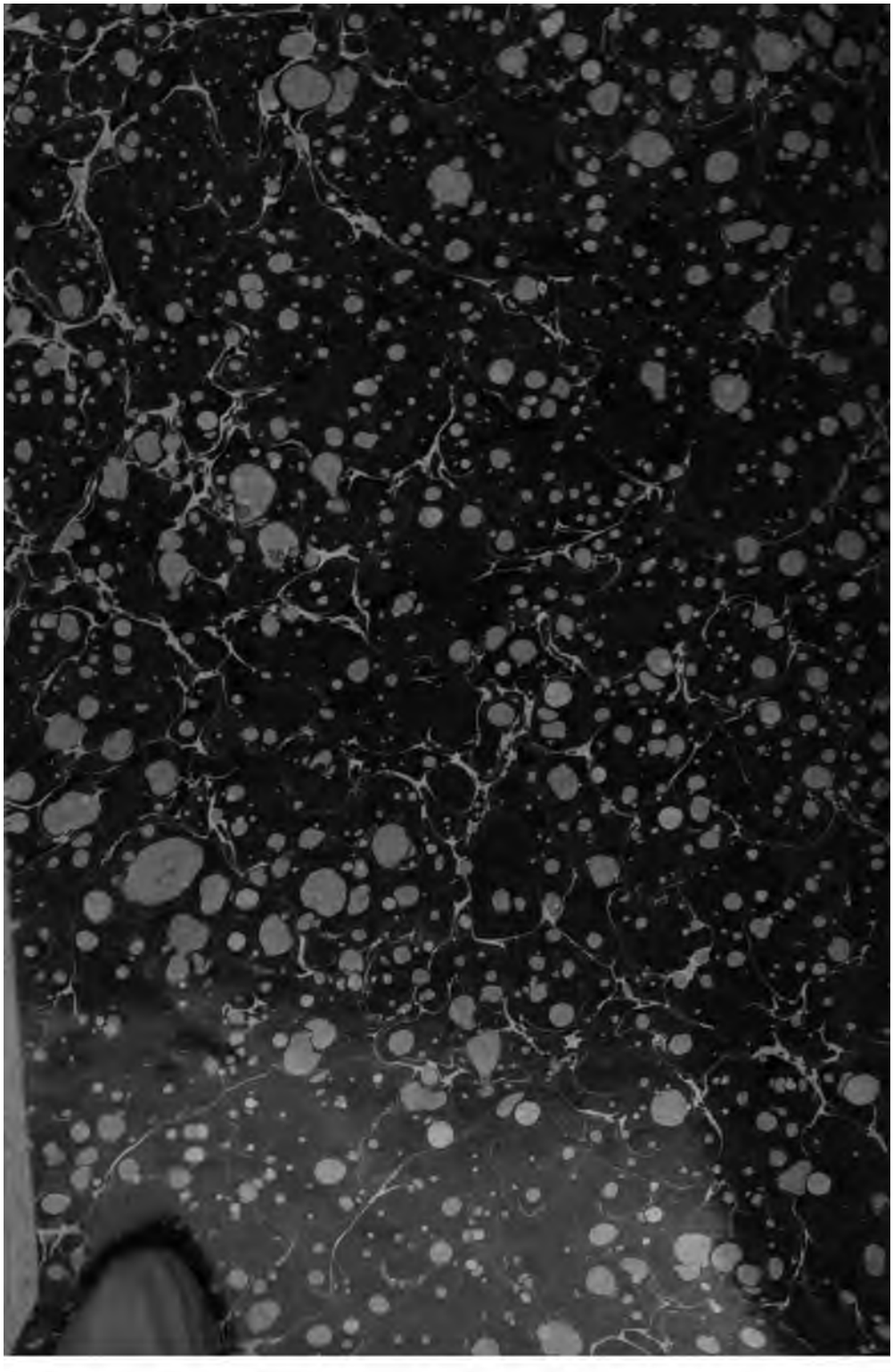

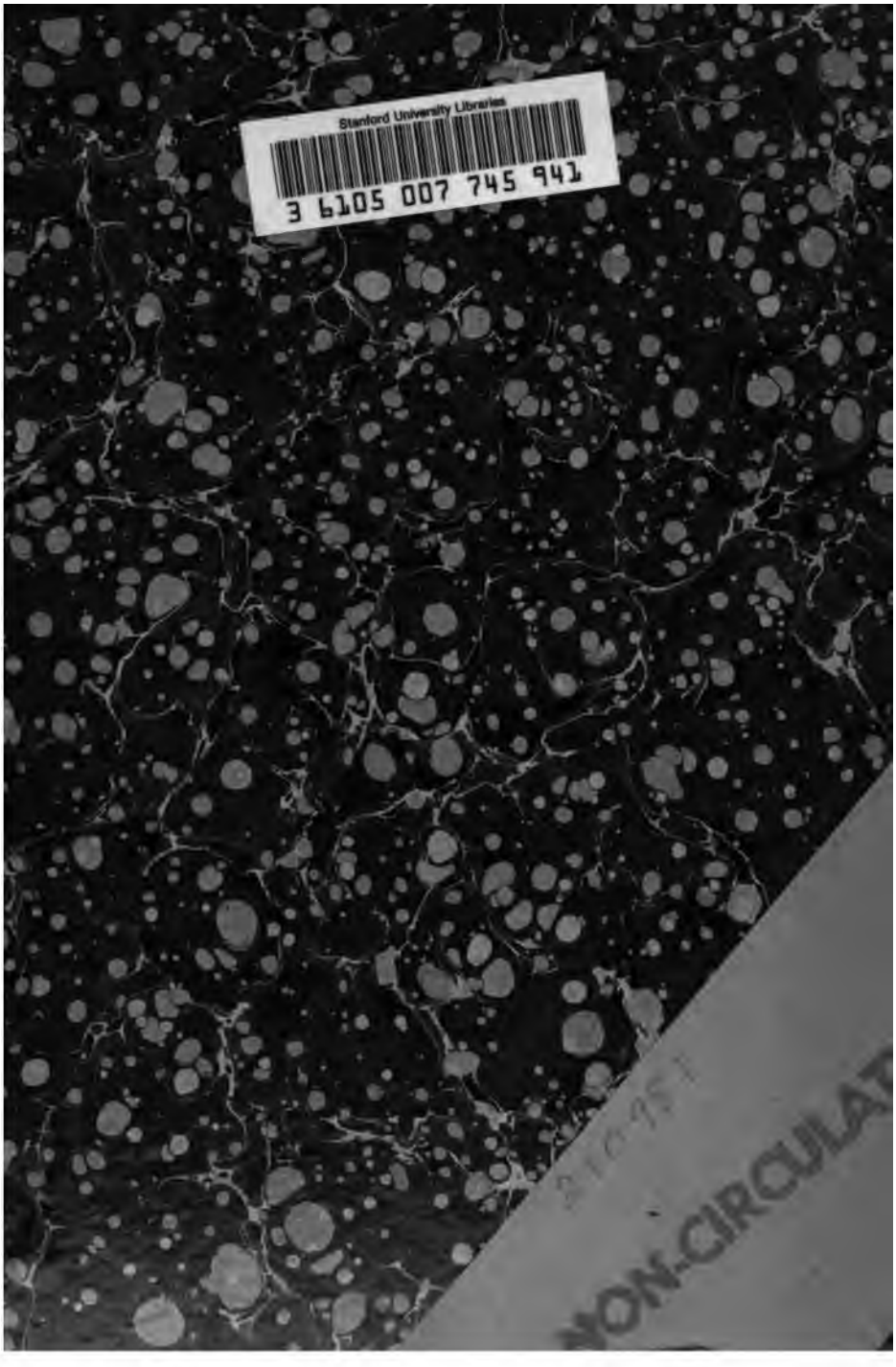
Stanford University Libraries
3 6105 007 745 941
NON-CIRCULAT